Daniela de Oliveira Vieira

Análise quantitativa e a perceção do doente sobre a fonação e deglutição no cancro da orofaringe

Universidade Fernando Pessoa

Porto, 2023

Daniela de Oliveira Vieira

Análise quantitativa e a perceção do doente sobre a fonação e deglutição no cancro da orofaringe

Universidade Fernando Pessoa

Porto, 2023

© 2023

Daniela de Oliveira Vieira

“TODOS OS DIREITOS RESERVADOS”

Daniela de Oliveira Vieira

Análise quantitativa e a perceção do doente sobre a fonação e deglutição no cancro da orofaringe

Atesto a originalidade do trabalho,

_____

Tese apresentada à Universidade Fernando Pessoa como parte dos requisitos para obtenção do grau de Doutor em Desenvolvimento e Perturbações da Linguagem, sob a orientação do Prof. Doutor Eurico Monteiro e coorientação do Prof. Doutor Mário Dinis-Ribeiro.

Abstract

DANIELA DE OLIVEIRA VIEIRA

Quantitative analysis and the patient's perception of phonation and swallowing in oropharyngeal cancer

(Under Professor Doctor Eurico Monteiro coordination, and Professor Doctor Mário Dinis-Ribeiro, coorientation)

Head and neck cancer is the fifth most common cancer among all locations, with oropharyngeal cancer, as a hypothetic result of Human Papilloma Virus (HPV) infection, having an increasing expression. Chemoradiotherapy is a selected treatment option in some of these tumors. The effects of chemoradiotherapy on swallowing and voice have been described, but the relationship between objective phonation and swallowing assessment measures and patient perception are still controversial.

Thus, we aimed to understand the relationship between quantitative measures and the patient's perception with oropharyngeal cancer undergoing treatment with radiotherapy and chemotherapy.

Initially, a systematic review was carried out in August 2020 (chapter II) to understand the state of the art regarding the studies developed on the mentioned topic. Twenty-five studies were selected, but only one of the studies addressed the phonation area, and all the others were about swallowing. Objective assessment is until now mainly analyzed by two methods, swallowing videoendoscopy or swallowing videofluoroscopy. However, these procedures due their performance and the multiplicity of questionnaires used did not allow the performance of a meta-analysis and made challenging the comparing of results. Nevertheless, it was possible to compile three main targets: 1) physiological measures; 2) oromotor skills; and 3) aspects related to swallowing safety that best correlated with patient self-reported perception.

We conducted a qualitative analysis (chapter III), using a semi-structured interviews technique, directed to the included patients (Oporto Oncology Portuguese Institute), ENT doctors (different Portuguese Hospitals) and speech language pathologists (different Portuguese Institutions) with experience in treating and monitoring patients with this type of pathology. Two main themes emerged from the interviews: swallowing and voice.

Regarding swallowing, aspects such as food selection, meal time, eating pleasure, appetite, social and family contacts, fear, and uncertainty, as well as the presence of symptoms related to dysphagia seem to have a negative impact on quality of life (QoL). About voice, changes in vocal quality, decreased communicative effectiveness in social, work, and familiar context as well as the number of interactions, and difficulties experienced due to not be understood by the message receptor especially in noisy environments or by phone are important limitations. Data was obtained in the three groups (patients, ENT doctors, and speech therapists), that is, health professionals have knowledge about the main sequelae, however not in terms of intensity.

We continued with a cross-sectional study (chapter IV) with a cohort of 38 oropharyngeal cancer patients from Oporto Oncology Portuguese Institute treated with chemoradiotherapy, with curative intent and disease free for one year, were included to analyze patient's self-reported perception and its relationship with sociodemographic and clinical data. The results of the questionnaires indicated changes in both general QoL and QoL related to dysphagia and/or dysphonia, with symptom-specific instruments detecting more changes. No consistent correlations were found between self-reported data and sociodemographic and clinical variables. Nevertheless, this study allowed us to understand that although chemoradiotherapy were not directed to the laryngeal region, were observed relevant disturbances in swallowing and phonation.

In the final part of the document, the author carried out a proper analysis about the relationship between objective and subjective evaluations. A cross-sectional study (chapter V) all patients included, from Oporto Oncology Portuguese Institute, underwent endoscopic swallowing assessment and answered three questionnaires (EORTC-C30, EORTC-HN43 and SWAL-QOL). Dysphagia proved to be a prevalent sequela and therefore of paramount importance in the treatment of these patients. The presence of residues for all ministered consistencies indicated inefficient pharyngolaryngeal cleanliness, associated with multiple bolus swallows and increased risk of aspiration. Increased viscosity had an impact on increased residue. Despite these findings, cough was an infrequent symptom. In addition, increased pharyngeal response time and decreased lower airway closure times were observed. Correlations were found between the overall HN43 score and the swallowing safety and efficiency variables. For the physiological variables no correlations were found. SWAL-QOL questionnaire identify well swallowing changes but was not possible to find a correlation pattern with the fiberoptic

endoscopic evaluation of swallowing results. Overall results of C30 and HN43 questionnaires related to the safety variables. For the efficiency variables of the scales of the three questionnaires showed significant correlations. Despite correlations inconsistency, both objective and subjective assessments indicated altered swallowing.

The same cohort of oropharyngeal patients (chapter VI), from the Oporto Oncology Portuguese Institute, was submitted to vocal assessment by acoustic analysis, audio perceptive evaluation with GRBAS classification, and resonance analysis methods, as well as with VHI-9i. Collected data showed vocal disturbance, indicative of dysphonia. However, only patients with severe disability measured by the VHI-9i obtained Dysphagia Severity Index values indicative of disorder. Overall, patients who underwent chemoradiotherapy for oropharyngeal cancer had shimmer greater than 3%, jitter greater than 1%, and maximum phonation time less than 10 seconds. F_0 values were also found to be altered. Time after treatment and speech therapy performance had a positive effect on the results. Acoustic analysis values, even after a long period after treatment remained disturbed. Loudness and harmonic-to-noise ratio measures were not effective in detecting dysphonia, but analyzing Dysphagia Severity Index results, more than10% of participants have dysphonia. The assessment with GRBAS identified over 31% of changes, as resonance analyses. VHI-9i identified 50% of participants with vocal impairment, however in correlation with objective data, the assessments seem to show different results.

In conclusion, despite de inconsistencies between objective and subjective assessment observed in the systematic review, some physiological, biomechanics and safety parameters showed a relationship with the patient's perception. Both patients and healthcare professionals (therapist and otolaryngologists) reported similar functional sequelae in phonation and swallowing. The questionnaires to assess the patient's perception allow the collection of these data, facilitating monitoring and preventive action in the treatment of these patients. The data collection from the sample studied showed a poor correlation between objective and subjective measures of phonation and swallowing.

Resumo

DANIELA DE OLIVEIRA VIEIRA

Análise quantitativa e a perceção do doente sobre a fonação e deglutição no cancro da orofaringe

(Sob a orientação do Professor Doutor Eurico Monteiro e coorientação Professor Doutor Mário Dinis-Ribeiro)

O cancro de cabeça e pescoço é o quinto mais comum entre todas as localizações, tendo o da orofaringe, na hipotética associação com a infeção por Vírus do Papiloma Humano (HPV) uma expressão crescente. Para os tumores com esta localização e com comprovada associação com o HPV o tratamento não cirúrgico é preferencial. O impacto da quimioradioterapia na deglutição e voz tem vindo a ser descrito, contudo a relação entre as medidas objetivas de avaliação da fonação e da deglutição e a perceção do doente ainda é controversa.

Assim, o principal objetivo foi compreender qual a relação entre as medidas quantitativas e a perceção do doente com cancro da orofaringe, submetido a tratamento com radio e/ou quimioterapia.

Para ajudar a melhor caracterizar este impacto realizou-se uma revisão sistemática, em agosto de 2020 (capítulo II), acerca do estado da arte englobando todas as publicações que incluíssem estudos sobre a temática acima mencionada. Foram selecionados 25 estudos, mas apenas um deles abordava a área da fonação, sendo os restantes sobre a deglutição. Os métodos de avaliação objetiva selecionados foram essencialmente dois, a videoendoscopia da deglutição e a videofluoroscopia da deglutição, mas os procedimentos para a sua realização e a multiplicidade de questionários utilizados não permitiram a realização de uma correta meta-análise, tornando-se por esta razão desafiante a comparação de resultados. Foi, contudo, possível compilar três principais focos: 1) as medidas fisiológicas; 2) as habilidades oromotoras; e 3) os aspetos relacionados com a segurança na deglutição, aspetos que comprovadamente melhor se correlacionavam com a perceção auto-reportada pelos doentes.

Seguidamente, conduziu-se uma análise qualitativa (capítulo III), com recurso à técnica de entrevista semi-estruturada, dirigida a doentes (Instituto Português de Oncologia do Porto), otorrinolaringologistas (de diferentes hospitais portugueses) e terapeutas da fala

(de diferentes hospitais portugueses) com experiência no tratamento e no acompanhamento de doentes com este tipo de patologia. Das entrevistas emergiram dois temas principais: a deglutição e a voz. No que à deglutição diz respeito, aspetos como seleção dos alimentos, o tempo da refeição, o prazer com a alimentação, o desejo de comer, a restrição de contactos sociais e familiares, o receio e a incerteza, bem como a presença de sintomas relacionados com disfagia evidenciaram ter um impacto negativo na qualidade de vida (QdV). No que se refere à voz, as alterações qualitativas, a diminuição da eficácia comunicativa e o número de interações a nível social, laboral e familiar, bem como as dificuldades sentidas, por não se conseguirem fazer compreender pelo recetor, especialmente em locais ruidosos ou ao telefone, foram os aspetos mais notórios. Os dados obtidos foram semelhantes entre os três grupos (doentes, otorrinolaringologistas e terapeutas da fala), ou seja, os profissionais de saúde manifestaram ter conhecimento sobre as principais sequelas, mas não em termos de intensidade e da experiência de viver com disfagia e disfonia.

Prosseguiu-se depois com um estudo transversal (capítulo IV) numa coorte de 38 doentes oncológicos, do Instituto Português de Oncologia do Porto, tratados com quimioradioterapia, com intenção curativa e livres de doença há pelo menos um ano, a fim de caracterizar a perceção auto-reportada pelos doentes e a sua relação com os dados sociodemográficos e clínicos. Os resultados dos questionários demonstraram alterações tanto na QdV geral, como na QdV relacionada com a disfagia e/ou a disfonia, sendo que quando utilizados instrumentos específicos para sintomas, as alterações funcionais foram mais evidentes. Não foram, contudo, encontradas correlações consistentes entre os dados auto-reportados e as variáveis sociodemográficas e clínicas. Apesar disso, este estudo permitiu compreender que mesmo quando a quimioradioterapia não é dirigida à região laríngea, observou-se um claro comprometimento nas funções de fonação e deglutição em que este órgão está envolvido.

No final do documento fez-se uma análise mais detalhada da relação entre a avaliação objetiva e subjetiva. Para tal foi realizado um estudo transversal (capítulo V), com 38 doentes, do Instituto Português de Oncologia do Porto, submetidos a quimioradioterapia por tumores da orofaringe, tendo todos sido submetidos a avaliação endoscópica da deglutição e responderam a três questionários (EORTC-C30, EORTC-HN43 e SWAL-QOL). A disfagia revelou-se uma sequela relevante e por isso, de suma importância quando analisadas as sequelas do tratamento destes doentes. A presença de resíduos para

todas as consistências ingeridas, indiciaram ineficácia dos mecanismos de limpeza faringolaríngea, associada a múltiplas deglutições por bolus e a maior risco de aspiração. O aumento da viscosidade teve impacto no aumento dos resíduos. Apesar dos achados, a tosse foi um sintoma pouco frequente. Observou-se também um tempo de resposta faríngea aumentado e uma diminuição do tempo de encerramento das vias aéreas inferiores. Encontraram-se correlações entre o resultado global do HN43 e as variáveis de segurança e de eficiência da deglutição. Para as variáveis fisiológicas não foram encontradas correlações. Relativamente ao questionário SWAL-QOL, apesar de identificar alterações da deglutição não foi possível constatar um padrão de correlações com os dados da videoendoscopia da deglutição. O resultado global do C30 e do HN43 relacionaram-se com as variáveis de segurança. Para as variáveis de eficiência algumas das escalas dos três questionários mostraram correlações significativas. Apesar da inconsistência destas correlações, tanto a avaliação objetiva como subjetiva indicaram alteração da função de deglutição.

A mesma coorte de doentes (capítulo VI), do Instituto Português de Oncologia do Porto, foi sujeita a avaliação vocal, por meio de análise acústica, avaliação áudio-percetiva com classificação pela GRBAS e análise da ressonância, bem como através do VHI-9i. Os dados recolhidos evidenciaram perturbação vocal, indicativa de disfonia. Contudo, apenas os doentes com incapacidade severa medida pelo VHI-9i obtiveram valores de índice de severidade de disfonia indicativos de perturbação. De uma forma global, os doentes que realizaram quimioradioterapia por cancro da orofaringe apresentaram *shimmer* superior a 3% e *jitter* superior a 1% e tempo máximo de fonação inferior a 10 segundos. Os valores de F_0 também se mostraram alterados. O tempo após tratamento e a realização de terapia da fala tiveram um impacto positivo nos resultados. Os valores de análise acústica, mesmo após um período considerado longo mantiveram-se perturbados. As medidas de intensidade e de ruído (HNR) não foram eficazes na deteção de disfonia, mas pela análise dos resultados de índice de severidade de disfonia mais de 10% dos participantes no presente estudo têm disfonia. A avaliação com a GRBAS identificou mais de 31% de alterações, bem como na análise da ressonância. O VHI-9i identificou 50% de participantes com incapacidade vocal, contudo na correlação com os dados objetivos, as avaliações parecem mostrar dados distintos, mas complementares.

Concluiu-se que apesar das inconsistências entre a avaliação objetiva e subjetiva, observada na revisão sistemática, alguns parâmetros fisiológicos, biomecânicos e de

segurança evidenciaram uma relação com a perceção do doente. Quer os doentes, quer os profissionais de saúde (terapeutas e otorrinolaringologistas) reportaram sequelas funcionais na fonação e na deglutição semelhantes. Os questionários de avaliação da perceção permitiram recolher estes dados, facilitando a monitorização e uma ação preventiva no tratamento destes doentes. Dos dados recolhidos da amostra estudada observou-se pobre correlação entre as medidas objetivas e subjetivas da deglutição e da fonação.

Dedicatória

Ao José.

Agradecimentos

À minha mãe e ao meu pai, símbolos de estabilidade e apoio incondicional. Agradeço-lhes profundamente pela presença constante, tanto nos sonhos como nos desafios.

Ao meu filho, pela paciência e ausência ao longo desta jornada.

Ao André pela sua presença e persistência no meu foco.

Aos meus orientadores, Professor Eurico Monteiro e Mário Dinis-Ribeiro por sempre me encorajarem.

À Eduarda, companheira ao longo desta jornada.

Aos meus queridos colegas de equipa da Escola Superior de Saúde - Fernando Pessoa.

À Rita Alegria pelo apoio imensurável.

Ao Sérgio Barreira.

Aos meus amigos pela ausência que uma tese requer; por terem estado sempre durante este percurso e me encorajarem com palavras, suporte e companhia.

À Fundação Fernando Pessoa por ter investido em mim e acreditado ao longo destes anos.

OBRIGADA

Índice

CAPÍTULO I - INTRODUÇÃO **1**

1.1. MOTIVAÇÕES 2

1.2. OBJETIVOS DA INVESTIGAÇÃO 2

1.3. REVISÃO DA LITERATURA 5

i. Avaliação objetiva da deglutição 6

ii. Avaliação objetiva da fonação 9

iii. Avaliação subjetiva *12*

Avaliação subjetiva da deglutição 15

Avaliação subjetiva da fonação 16

CAPÍTULO II - AVALIAÇÃO INSTRUMENTAL DA DISFONIA E DISFAGIA NOS DOENTES COM CANCRO DE CABEÇA E PESCOÇO E A PERCEÇÃO DO DOENTE: REVISÃO SISTEMÁTICA **16**

2.1. ABSTRACT 16

2.2. RESUMO 19

2.3. INTRODUÇÃO 21

2.4. MÉTODOS 22

i. Critérios de elegibilidade *22*

ii. Fontes de informação *23*

iii. Estratégia de pesquisa *23*

iv. Seleção dos estudos *24*

v. Dados extraídos dos estudos analisados *25*

vi. Qualidade da evidência *25*

2.5. RESULTADOS 25

i. Seleção dos estudos *25*

ii. Descrição dos estudos *26*

2.6. DISCUSSÃO 37

i. Medidas fisiológicas *37*

ii. Competências oromotoras *38*

iii. Segurança *39*

2.7. LIMITAÇÕES DA REVISÃO SISTEMÁTICA 40

2.8. CONCLUSÃO 41

CAPÍTULO III - PERCEÇÃO DOS DOENTES COM CANCRO DA OROFARINGE E CUIDADORES FORMAIS DA DEGLUTIÇÃO E DA VOZ, APÓS O TRATAMENTO COM RADIO E QUIMIOTERAPIA 43

3.1. ABSTRACT 43

3.2. RESUMO 44

3.3. INTRODUÇÃO 45

3.4. MÉTODOS 46

i. Amostra *46*

ii. Participantes *47*

iii. Procedimentos *47*

iv. Análise dos dados *48*

3.5. RESULTADOS 49

i. Tema 1 - Deglutição e disfagia *52*

Sintomas de disfagia 52

Seleção dos alimentos 53

Desejo de comer 54

Tempo de refeição 54

Receios 55

Burden 55

Vida social - deglutição 56

Vida familiar - deglutição 56

ii. Tema 2 - Voz e disfonia *57*

Comunicação 57

Qualidade vocal 58

Vida social - voz 59

Vida familiar - voz 59

3.6. DISCUSSÃO 61

Implicações clínicas *64*

3.7. CONCLUSÃO 65

CAPÍTULO IV - PERCEÇÃO DO DOENTE COM CANCRO DA OROFARINGE DOS EFEITOS DOS TRATAMENTOS DE RT E QT NA DEGLUTIÇÃO E NA VOZ 66

4.1. ABSTRACT 66
4.2. RESUMO 68
4.3. INTRODUÇÃO 70
4.4. MÉTODOS 72
i. Participantes *72*
ii. Avaliação da perceção do doente *72*
iii. Análise estatística *73*
4.5. RESULTADOS 75
i. População e amostra *75*
ii. Correlações entre perceção do doente e dados sociodemográficos e clínicos *79*
iii. Correlações entre QdV geral e perceção da voz e da deglutição *87*
4.6. DISCUSSÃO 93
Limitações do estudo *96*
4.7. CONCLUSÃO 98

CAPÍTULO V - VIDEOENDOSCOPIA DA DEGLUTIÇÃO E AVALIAÇÃO SUBJETIVA DA DEGLUTIÇÃO - QUE RELAÇÕES? 99

5.1. ABSTRACT 99
5.2. RESUMO 100
5.3. INTRODUÇÃO 101
5.4. MÉTODOS 103
i. Participantes *103*
ii. Avaliação da deglutição *104*
iii. Avaliação da deglutição auto-reportada pelo doente *105*
iv. Análise estatística *105*
5.5. RESULTADOS 107
i. População e amostra *107*
ii. Correlação das variáveis sociodemográficas e clínicas com a VED *114*
iii. Relação da VED com a perceção do doente *118*
5.6. DISCUSSÃO 129
Limitações do estudo *132*
5.7. CONCLUSÃO 133

CAPÍTULO VI - AVALIAÇÃO AUDITIVO-PERCETUAL E ACÚSTICA DA VOZ E AVALIAÇÃO SUBJETIVA VOCAL - QUE RELAÇÕES? 134

6.1. ABSTRACT 134
6.2. RESUMO 136
6.3. INTRODUÇÃO 138
6.4. MÉTODOS 140
i. Participantes *140*
ii. Colheita de dados *141*
iii. Avaliação áudio-percetiva *141*
v. Avaliação acústica *142*
v. Avaliação vocal auto-reportada pelo doente *142*
vi. Análise estatística *143*
6.5. RESULTADOS 144
i. População e amostra *144*
ii. Correlação das variáveis sociodemográficas e clínicas com a avaliação vocal *148*
iii. Correlação da avaliação vocal com a perceção do doente *149*
6.6. DISCUSSÃO 154
Limitações do estudo *157*
6.7. CONCLUSÃO 159
VII - DISCUSSÃO INTEGRATIVA 160
VIII - CONCLUSÃO 165
IX - BIBLIOGRAFIA 166
ANEXO I - PROCEDIMENTOS DA AVALIAÇÃO OBJETIVA - REVISÃO SISTEMÁTICA 184
ANEXO II - COMISSÃO DE ÉTICA DO IPO-PORTO 187
ANEXO III - GUIAS DA ENTREVISTA 189
ANEXO IV - AUTORIZAÇÃO DO USO DOS QUESTIONÁRIOS 191
ANEXO V - QUESTIONÁRIO SOCIODEMOGRÁFICO E CLÍNICO 194
ANEXO VI - EORTC QLQ-C30 (VERSION 3) 196
ANEXO VII - QLQ-H&N43 198
ANEXO VIII - SWAL-QOL 200

ANEXO IX - VHI-9I 204

ANEXO X - TABELAS COMPLEMENTARES DO CAPÍTULO IV 205

ANEXO XI - RECOLHA DADOS VIDEOENDOSCOPIA DA DEGLUTIÇÃO (VED) 239

ANEXO XII - AVALIAÇÃO ÁUDIO-PERCETIVA 242

ANEXO XIII - A HISTÓRIA DO RATO ARTUR 243

ANEXO XIV - AVALIAÇÃO DA CONCORDÂNCIA INTEROBSERVADOR DA VIDEOENDOSCOPIA DA DEGLUTIÇÃO 246

ANEXO XV - AVALIAÇÃO DA CONCORDÂNCIA INTEROBSERVADOR DA AVALIAÇÃO ÁUDIO-PERCETIVA 257

ANEXO XVI - TABELAS COMPLEMENTARES DO CAPÍTULO V 259

ANEXO XVII - TABELAS COMPLEMENTARES DO CAPÍTULO VI 425

Lista de figuras

Figura 1 - Diagrama de fluxo PRISMA usado na seleção dos artigos. 27
Figura 2 - Distribuição dos temas e sub-temas, resultantes da análise temática. 51
Figura 3 - Nuvem de palavras, resultante da análise temática. 51

Lista de tabelas

Tabela 1 - Lista de publicações e comunicações relacionadas com a tese. 4
Tabela 2 - Estratégia de pesquisa e termos utilizados. 24
Tabela 3 - Descrição dos estudos incluídos. 28
Tabela 4 - Avaliação subjetiva e objetiva: resumo de resultados. 32
Tabela 5 - Associações entre variáveis da avaliação subjetiva e objetiva: resultados detalhados. 33
Tabela 6 - Dados sociodemográficos dos participantes. 50
Tabela 7 - Número de referências e percentagem de cobertura por cada um dos códigos atribuídos. 52
Tabela 8 - Descrições do sub-tema sintomas de disfagia. 53
Tabela 9 - Descrições do sub-tema seleção dos alimentos. 54
Tabela 10 - Descrições acerca do sub-tema desejo de comer. 54
Tabela 11 - Descrições do sub-tema tempo de refeição. 55
Tabela 12 - Descrições do sub-tema receios. 55
Tabela 13 - Descrições do sub-tema burden. 55
Tabela 14 - Descrições do sub-tema vida social - deglutição. 56
Tabela 15 - Descrições do sub-tema vida familiar - deglutição. 57
Tabela 16 - Descrições do sub-tema comunicação. 58
Tabela 17 - Descrições do sub-tema qualidade vocal. 58
Tabela 18 - Descrições do sub-tema vida social - voz. 59
Tabela 19 - Descrições do sub-tema vida familiar - voz. 60
Tabela 20 - Caraterização demográfica da amostra (n=38). 76
Tabela 21 - Caraterização clínica da amostra (n=38). 76
Tabela 22 - Resultados do EORTC QLQ-C30 por escalas. 78
Tabela 23 - Resultados do EORTC QLQ-HN43 por escalas. 78
Tabela 24 - Classificação da incapacidade vocal (VHI-9i). 79
Tabela 25 - Resultados do SWAL-QoL por escalas. 79
Tabela 26 - Correlações entre escalas dos questionários e variáveis sociodemográficas. 80

Tabela 27 - Análise de correlação entre as escalas do questionário da EORTC QLQ-C30 e variáveis clínicas. 81
Tabela 28 - Análise de correlação entre as escalas do questionário da EORTC QLQ-HN43 e variáveis clínicas. 82
Tabela 29 - Análise de correlação entre as escalas do questionário SWAL-QOL e VHI-9i com as variáveis clínicas. 83
Tabela 30 - Análise das diferenças entre as variáveis clínicas e o questionário da EORTC QLQ-C30. 84
Tabela 31 - Análise das diferenças entre variáveis sociodemográficas e clínicas e o questionário da EORTC QLQ-HN43. 85
Tabela 32 - Resultados estatisticamente significativos entre SWAL-QOL e variáveis sociodemográficas e clínicas. 86
Tabela 33 - Resultados estatisticamente significativos entre VHI-9i e as variáveis clínicas. 86
Tabela 34 - Correlação VHI-9i com os instrumentos: EORTC QLQ-C30 e QLQ-HN43 e SWAL-QOL. 89
Tabela 35 - Análise de correlação entre EORTC QLQ-C30 e QLQ-HN43. 90
Tabela 36 - Análise de correlação entre EORTC QLQ-C30 e SWAL-QOL. 91
Tabela 37 - Análise de correlação entre EORTC QLQ-HN43 e SWAL-QOL. 92
Tabela 38 - Caraterização demográfica da amostra (n=38). 107
Tabela 39 - Caraterização clínica da amostra (n=38). 107
Tabela 40 - Resultados do EORTC QLQ-C30 por escalas. 109
Tabela 41 - Resultados do EORTC QLQ-HN43 por escalas. 110
Tabela 42 - Resultados do SWAL-QoL por escalas. 110
Tabela 43 - Resultados dos questionários QLQ-C30, HN43 e SWAL-QOL, por pontos de corte. 111
Tabela 44 - Dados descritivos da VED relativamente ao movimento das estruturas e sensibilidade. 112
Tabela 45 - Dados descritivos da VED respeitantes a avaliação da deglutição propriamente dita, nas consistências: pudim, líquido fino e sólido. 113
Tabela 46 - Dados descritivos da VED da latência, whiteout, tempo de latência inicial e tempo de encerramento da via aérea inferior. 113
Tabela 47 - Caracterização da aspiração face ao momento de deglutição nas consistências estudadas (pudim, líquido e sólido). 113

Tabela 48 - Caracterização da PAS e Escala de Desobstrução. 114
Tabela 49 - Análise de diferenças estatisticamente significativas e de correlação entre as variáveis anatómicas da VED e as variáveis sociodemográficas e clínicas. 115
Tabela 50 - Análise de diferenças estatisticamente significativas e de correlação entre as variáveis da avaliação da deglutição propriamente dita com VED e as variáveis sociodemográficas e clínicas. 117
Tabela 51 - Análise de diferenças estatisticamente significativas e de correlação entre as variáveis da aspiração com a VED e as variáveis sociodemográficas e clínicas. 118
Tabela 52 - Análise de diferenças e de correlação entre as variáveis referentes à penetração/aspiração e as escalas do QLQ-C30. 119
Tabela 53 - Análise de diferenças e de correlação entre as variáveis da avaliação anatómica da VED e as escalas do QLQ-C30. 119
Tabela 54 - Análise de diferenças e de correlação entre as variáveis da avaliação da deglutição propriamente, através da VED e as escalas do QLQ-C30, para a consistência líquida. 120
Tabela 55 - Análise de diferenças e de correlação entre as variáveis da avaliação da deglutição propriamente, através da VED e as escalas do QLQ-C30, para a consistência pudim. 120
Tabela 56 - Análise de diferenças e de correlação entre as variáveis da avaliação da deglutição propriamente, através da VED e as escalas do QLQ-C30, para a consistência sólida. 121
Tabela 57 - Análise de diferenças e de correlação entre as variáveis da avaliação anatómica, através da VED e as escalas do QLQ-HN43. 123
Tabela 58 - Análise de diferenças e de correlação entre as variáveis da avaliação da deglutição propriamente dita, através da VED e as escalas do QLQ-HN43, para a consistência líquida. 124
Tabela 59 - Análise de diferenças e de correlação entre as variáveis da avaliação da deglutição propriamente dita, através da VED e as escalas do QLQ-HN43, para a consistência pudim. 124
Tabela 60 - Análise de diferenças e de correlação entre as variáveis da avaliação da deglutição propriamente dita, através da VED e as escalas do QLQ-HN43, para a consistência sólida. 125
Tabela 61 - Análise de diferenças e de correlação entre as variáveis da avaliação da aspiração, através da VED e as escalas do QLQ-HN43. 125

Tabela 62 - Análise de diferenças e de correlação entre as variáveis da avaliação anatómica, através da VED e as escalas do SWAL-QOL. 127
Tabela 63 - Análise de diferenças e de correlação entre as variáveis da avaliação da aspiração, através da VED e as escalas do SWAL-QOL. 127
Tabela 64 -Análise de diferenças e de correlação entre as variáveis da avaliação da deglutição propriamente dita, através da VED e as escalas do SWAL-QOL, para as consistências líquido, pudim e sólido. 128
Tabela 65 - Caraterização demográfica da amostra (n=38). 144
Tabela 66 - Caraterização clínica da amostra (n=38). 145
Tabela 67 - Resultados do EORTC QLQ-C30 por escalas. 146
Tabela 68 - Resultados do EORTC QLQ-HN43 por escalas. 147
Tabela 69 - Resultados dos questionários QLQ C-30 e HN43 por ponto de corte. 147
Tabela 70 - Resultados do questionário VHI-9i pelos níveis de perturbação. 147
Tabela 71 - Frequência de ocorrência e percentagem por cada parâmetro da GRBAS e de acordo com a severidade. 147
Tabela 72 - Resultados da escala GRBAS por elemento a avaliar. 147
Tabela 73 - Medidas descritivas da análise áudio-percetiva da ressonância. 148
Tabela 74 - Medidas descritivas da análise acústica dos resultados do shimmer, jitter, intensidade, HNR e ISD. 148
Tabela 75 - Medidas descritivas da análise acústica dos resultados da F_0, TMF das vogais a, i, u, de acordo com o sexo. 148
Tabela 76 - Análise de diferenças e de correlação entre as variáveis de avaliação áudio-percetiva vocal, ressonância e análise acústica e as variáveis sociodemográficas e clínicas. 149
Tabela 77 - Análise de diferenças e de correlação entre as variáveis de avaliação áudio-percetiva, ressonância e análise acústica e as escalas do questionário EORTC-C30. ..152
Tabela 78 - Análise de diferenças e de correlação entre as variáveis de avaliação áudio-percetiva, ressonância e análise acústica e as escalas do questionário EORTC-HN43. 153
Tabela 79 - Resumo dos procedimentos da avaliação objetiva. 184
Tabela 80 - Medidas descritivas, correlação e diferenças estatística das variáveis sociodemográficas e clínicas com escalas funcionamento físico, desempenho e dispneia do EORTC QLQ-C30. 205

Tabela 81 - Medidas descritivas, correlação e diferenças estatística das variáveis sociodemográficas e clínicas com escalas dor, fadiga e insónia do EORTC QLQ-C30. 207
Tabela 82 - Medidas descritivas, correlação e diferenças estatística das variáveis sociodemográficas e clínicas com escalas perda de apetite, náusea e vómitos e obstipação do EORTC QLQ-C30. 209
Tabela 83 - Medidas descritivas, correlação e diferenças estatística das variáveis sociodemográficas e clínicas com escalas diarreia, funcionamento cognitivo e emocional do EORTC QLQ-C30. 211
Tabela 84 - Medidas descritivas, correlação e diferenças estatística das variáveis sociodemográficas e clínicas com escalas funcionamento social, dificuldades financeiras e estado de saúde geral do EORTC QLQ-C30.....213
Tabela 85 - Medidas descritivas, correlação e diferenças estatística das variáveis sociodemográficas e clínicas com escalas dor na cabeça e pescoço, problemas em engolir e problemas com os dentes do EORTC QLQ-HN43. 215
Tabela 86 - Medidas descritivas, correlação e diferenças estatística das variáveis sociodemográficas e clínicas com escalas abertura da boca, boca seca e saliva espessa e problemas com sentidos do EORTC QLQ-HN43.....217
Tabela 87 - Medidas descritivas, correlação e diferenças estatística das variáveis sociodemográficas e clínicas com escalas tossir, imagem corporal e comer em público do EORTC QLQ-HN43. 219
Tabela 88 - Medidas descritivas, correlação e diferenças estatística das variáveis sociodemográficas e clínicas com escalas problemas de fala, contacto social e problemas com a sexualidade do EORTC QLQ-HN43.....221
Tabela 89 - Medidas descritivas, correlação e diferenças estatística das variáveis sociodemográficas e clínicas com escalas problemas nos ombros, edema no pescoço e problemas de pele do EORTC QLQ-HN43. 223
Tabela 90 - Medidas descritivas, correlação e diferenças estatística das variáveis sociodemográficas e clínicas com as escalas perda de peso, ansiedade e problemas na cicatrização de feridas do EORTC QLQ-HN43.....225
Tabela 91 - Medidas descritivas, correlação e diferenças estatística das variáveis sociodemográficas e clínicas com a escala problemas neurológicos do EORTC QLQ-HN43. 227

Tabela 92 - Medidas descritivas, correlação e diferenças estatística das variáveis sociodemográficas e clínicas com as escalas burden, desejo de comer e duração da alimentação do SWAL-QOL.....229
Tabela 93 - Medidas descritivas, correlação e diferenças estatística das variáveis sociodemográficas e clínicas com as escalas frequência de sintomas, seleção dos alimentos e comunicação do SWAL-QOL.....231
Tabela 94 - Medidas descritivas, correlação e diferenças estatística das variáveis sociodemográficas e clínicas com as escalas receios, saúde mental e funcionamento social do SWAL-QOL. 233
Tabela 95 - Medidas descritivas, correlação e diferenças estatística das variáveis sociodemográficas e clínicas com as escalas fadiga e sono do SWAL-QOL. 235
Tabela 96 - Medidas descritivas, correlação e diferenças estatística das variáveis sociodemográficas e clínicas com o resultado global do VHI-9i. 237
Tabela 97 - Correlação interobservadores da avaliação VED componente anatómica nasofaringe. 246
Tabela 98 - Correlação interobservadores da avaliação VED componente anatómica oro e hipofaringe.....247
Tabela 99 - Correlação interobservadores da avaliação VED componente anatómica laringe.....248
Tabela 100 - Correlação interobservadores da avaliação VED componente da sensibilidade. 249
Tabela 101 - Correlação interobservadores da avaliação VED componente funcional da avaliação na consistência pudim. 250
Tabela 102 - Correlação interobservadores da avaliação VED componente funcional da avaliação na consistência líquida. 251
Tabela 103 - Correlação interobservadores da avaliação VED componente funcional da avaliação na consistência sólida - bolacha. 252
Tabela 104 - Correlação interobservadores da avaliação VED componente funcional da avaliação da aspiração e limpeza para as várias consistências.....253
Tabela 105 - Correlação interobservadores da avaliação VED componente funcional da avaliação da latência, whiteout e tempo de latência e de encerramento da via aérea (VA) para a consistência pudim. 254

Tabela 106 - Correlação interobservadores da avaliação VED componente funcional da avaliação da latência, whiteout e tempo de latência e de encerramento da via aérea (VA) para a consistência líquida.....255
Tabela 107 - Correlação interobservadores da avaliação VED componente funcional da avaliação da latência, whiteout e tempo de latência e de encerramento da via aérea (VA) para a consistência sólida. 256
Tabela 108 - Correlação interobservadores da escala GRBAS. 257
Tabela 109 - Correlação interobservadores da avaliação da ressonância. 258
Tabela 110 - Medidas descritivas, análise de correlação e diferenças estatísticas entre as variáveis sociodemográficas e clínicas e VED - acesso, nasofaringe encerramento velofaríngeo anatomia e deglutição de saliva. 259
Tabela 111 - Medidas descritivas, análise de correlação e diferenças estatísticas entre as variáveis sociodemográficas e clínicas e VED - nasofaringe encerramento velofaríngeo som e sílaba e fala e anatomia da oro/hipofaringe. 261
Tabela 112 - Medidas descritivas, análise de correlação e diferenças estatísticas entre as variáveis sociodemográficas e clínicas e VED - oro/hipofaringe movimento da língua, resíduo em valéculas e em seios piriformes. 263
Tabela 113 - Medidas descritivas, análise de correlação e diferenças estatísticas entre as variáveis sociodemográficas e clínicas e a VED - oro/hipofaringe produção /i/, manipulação de secreções e laringe - anatomia. 265
Tabela 114 - Medidas descritivas, análise de correlação e diferenças estatísticas entre as variáveis sociodemográficas e clínicas e VED - laringe - fala, deglutição de saliva e produção /i/.....267
Tabela 115 - Medidas descritivas, análise de correlação e diferenças estatísticas entre as variáveis sociodemográficas e clínicas e VED - laringe - tosse voluntária, apneia e sensibilidade da base da língua. 269
Tabela 116 - Medidas descritivas, análise de correlação e diferenças estatísticas entre as variáveis sociodemográficas e clínicas e VED - pudim - resíduos em seios piriformes e parede faríngea. 271
Tabela 117 - Medidas descritivas, análise de correlação e diferenças estatísticas entre as variáveis sociodemográficas e clínicas e VED - pudim - número de deglutições e reage sem tosse. 273

Tabela 118 - Medidas descritivas, análise de correlação e diferenças estatísticas entre as variáveis sociodemográficas e clínicas e VED - pudim - função vocal; líquido - escape prematuro e resíduo nas valéculas.....275
Tabela 119 - Medidas descritivas, análise de correlação e diferenças estatísticas entre as variáveis sociodemográficas e clínicas e VED - líquido - resíduo em seios piriformes, resíduos na parede faríngea.....277
Tabela 120 - Medidas descritivas, análise de correlação e diferenças estatísticas entre as variáveis sociodemográficas e clínicas e VED - líquido - número de deglutições e reage sem tosse. 279
Tabela 121 - Medidas descritivas, análise de correlação e diferenças estatísticas entre as variáveis sociodemográficas e clínicas e VED - líquido - reage sem tosse; bolacha - escape prematuro e resíduos nas valéculas. 281
Tabela 122 - Medidas descritivas, análise de correlação e diferenças estatísticas entre as variáveis sociodemográficas e clínicas e VED - bolacha - resíduos em seios piriformes e na parede faríngea. 283
Tabela 123 - Medidas descritivas, análise de correlação e diferenças estatísticas entre as variáveis sociodemográficas e clínicas e VED - bolacha - número de deglutições e reage sem tosse. 285
Tabela 124 - Medidas descritivas, análise de correlação e diferenças estatísticas entre as variáveis sociodemográficas e clínicas e VED - bolacha - função vocal, aspiração, momento de aspiração pudim.....287
Tabela 125 - Medidas descritivas, análise de correlação e diferenças estatísticas entre as variáveis sociodemográficas e clínicas e VED - momento de aspiração líquido e bolacha. 289
Tabela 126 - Medidas descritivas, análise de correlação e diferenças estatísticas entre as variáveis sociodemográficas e clínicas e VED - PAS e escala de limpeza.....291
Tabela 127 - Medidas descritivas, análise de correlação e diferenças estatísticas entre as variáveis sociodemográficas e clínicas e VED - pudim latência e tempo de latência, whiteout pudim.....293
Tabela 128 - Medidas descritivas, análise de correlação e diferenças estatísticas entre as variáveis sociodemográficas e clínicas e VED - pudim - tempo de encerramento da via aérea; líquido - latência e tempo de latência. 295

Tabela 129 - Medidas descritivas, análise de correlação e diferenças estatísticas entre as variáveis sociodemográficas e clínicas e VED - líquido - whiteout, encerramento das vias aérea; bolacha - latência. 297
Tabela 130 - Medidas descritivas, análise de correlação e diferenças estatísticas entre as variáveis sociodemográficas e clínicas e VED - bolacha - tempo de latência, whiteout e tempo de enceramento das vias aéreas. 299
Tabela 131 - Medidas descritivas, análise de correlação e diferenças estatísticas entre as variáveis da avaliação por VED componente anatomia e sensibilidade e as escalas funcionamento físico, desempenho e dispneia do questionário da EORTC QLQ-C30. 301
Tabela 132 - Medidas descritivas, análise de correlação e diferenças estatísticas entre as variáveis da avaliação por VED componente anatomia e sensibilidade e as escalas dor, fadiga e insónia do questionário da EORTC QLQ-C30.....302
Tabela 133 - Medidas descritivas, análise de correlação e diferenças estatísticas entre as variáveis da avaliação por VED componente anatomia e sensibilidade e as escalas perda de apetite, náusea e vómito e obstipação do questionário da EORTC QLQ-C30.....303
Tabela 134 - Medidas descritivas, análise de correlação e diferenças estatísticas entre as variáveis da avaliação por VED componente anatomia e sensibilidade e as escalas diarreia, funcionamento cognitivo e emocional do questionário da EORTC QLQ-C30. 304
Tabela 135 - Medidas descritivas, análise de correlação e diferenças estatísticas entre as variáveis da avaliação por VED componente anatomia e sensibilidade e as escalas funcionamento social, dificuldades financeiras e estado de saúde geral do questionário da EORTC QLQ-C30. 305
Tabela 136 - Medidas descritivas, análise de correlação e diferenças estatísticas entre as variáveis da avaliação por VED componente funcional e as escalas funcionamento físico, desempenho e dispneia do questionário da EORTC QLQ-C30. 306
Tabela 137 - Medidas descritivas, análise de correlação e diferenças estatísticas entre as variáveis da avaliação por VED componente funcional e as escalas dor, fadiga e insónia do questionário da EORTC QLQ-C30. 310
Tabela 138 - Medidas descritivas, análise de correlação e diferenças estatísticas entre as variáveis da avaliação por VED componente funcional e as escalas perda de apetite, náusea e vómito e obstipação do questionário da EORTC QLQ-C30. 314

Tabela 139 - Medidas descritivas, análise de correlação e diferenças estatísticas entre as variáveis da avaliação por VED componente funcional e as escalas diarreia, funcionamento cognitivo e emocional do questionário da EORTC QLQ-C30. 317
Tabela 140 - Medidas descritivas, análise de correlação e diferenças estatísticas entre as variáveis da avaliação por VED componente funcional e as escalas funcionamento social, dificuldades financeiras e estado de saúde geral do questionário da EORTC QLQ-C30. 320
Tabela 141 - Medidas descritivas, análise de correlação e diferenças estatísticas entre as variáveis da avaliação por VED componente funcional e o resultado global e por categoria do questionário da EORTC QLQ-C30. 323
Tabela 142 - Medidas descritivas, análise de correlação e diferenças estatísticas entre as variáveis da avaliação por VED componente funcional e as escalas dor de cabeça e pescoço e problemas em engolir do questionário da EORTC QLQ-HN43. 329
Tabela 143 - Medidas descritivas, análise de correlação e diferenças estatísticas entre as variáveis da avaliação por VED componente funcional e as escalas problemas com os dentes e abertura de boca do questionário da EORTC QLQ-HN43. 335
Tabela 144 - Medidas descritivas, análise de correlação e diferenças estatísticas entre as variáveis da avaliação por VED componente funcional e as escalas boca seca e saliva espessa e problemas com os sentidos, do questionário da EORTC QLQ-HN43. 341
Tabela 145 - Medidas descritivas, análise de correlação e diferenças estatísticas entre as variáveis da avaliação por VED componente funcional e as escalas tosse e imagem corporal, do questionário da EORTC QLQ-HN43.....347
Tabela 146 - Medidas descritivas, análise de correlação e diferenças estatísticas entre as variáveis da avaliação por VED componente funcional e as escalas comer em público e problemas de fala, do questionário da EORTC QLQ-HN43. 353
Tabela 147 - Medidas descritivas, análise de correlação e diferenças estatísticas entre as variáveis da avaliação por VED componente funcional e as escalas contacto social e problemas com a sexualidade, do questionário da EORTC QLQ-HN43.....359
Tabela 148 - Medidas descritivas, análise de correlação e diferenças estatísticas entre as variáveis da avaliação por VED componente funcional e as escalas problemas nos ombros e edema no pescoço, do questionário da EORTC QLQ-HN43. 365
Tabela 149 - Medidas descritivas, análise de correlação e diferenças estatísticas entre as variáveis da avaliação por VED componente funcional e as escalas problemas de pele e perda de peso, do questionário da EORTC QLQ-HN43. 371

Tabela 150 - Medidas descritivas, análise de correlação e diferenças estatísticas entre as variáveis da avaliação por VED componente funcional e as escalas ansiedade e problemas na cicatrização de feridas, do questionário da EORTC QLQ-HN43. 377
Tabela 151 - Medidas descritivas, análise de correlação e diferenças estatísticas entre as variáveis da avaliação anatómica e componente funcional da VED e as escalas problemas neurológicos, resultado final e categorial, do questionário da EORTC QLQ-HN43....383
Tabela 152 - Medidas descritivas, análise de correlação e diferenças estatísticas entre as variáveis da avaliação anatómica e funcional por VED e as escalas *burden* e desejo de comer, do questionário da SWAL-QOL. 389
Tabela 153 - Medidas descritivas, análise de correlação e diferenças estatísticas entre as variáveis da avaliação anatómica e funcional por VED e as escalas duração da alimentação e frequência de sintomas, do questionário da SWAL-QOL. 395
Tabela 154 - Medidas descritivas, análise de correlação e diferenças estatísticas entre as variáveis da avaliação anatómica e funcional por VED e as escalas seleção dos alimentos e comunicação, do questionário da SWAL-QOL.....401
Tabela 155 -Medidas descritivas, análise de correlação e diferenças estatísticas entre as variáveis da avaliação anatómica e funcional por VED e as escalas receios e saúde mental, do questionário da SWAL-QOL. 407
Tabela 156 - Medidas descritivas, análise de correlação e diferenças estatísticas entre as variáveis da avaliação anatómica e funcional por VED e as escalas funcionamento social e fadiga, do questionário da SWAL-QOL.....413
Tabela 157 -Medidas descritivas, análise de correlação e diferenças estatísticas entre as variáveis da avaliação anatómica e funcional por VED e as escalas sono, resultado total e categorial, do questionário da SWAL-QOL.....419
Tabela 158 - Medidas descritivas, análise de correlação e diferenças estatísticas entre as variáveis sociodemográficas e clínica e a avaliação áudio-percetiva com escalas para item G (grau de severidade) e R (rouquidão).....425
Tabela 159 - Medidas descritivas, análise de correlação e diferenças estatísticas entre as variáveis sociodemográficas e clínica e a avaliação áudio-percetiva com escalas para item B (soprosidade) e A (astenia).....427
Tabela 160 - Medidas descritivas, análise de correlação e diferenças estatísticas entre as variáveis sociodemográficas e clínica e a avaliação áudio-percetiva com escalas para item S (tensão) e avaliação da ressonância do texto variável hipernasalidade. 429

Tabela 161 - Medidas descritivas, análise de correlação e diferenças estatísticas entre as variáveis sociodemográficas e clínica e a avaliação da ressonância do texto variável hiponasalidade e de vogais variável hipernasalidade. 431
Tabela 162 - Medidas descritivas, análise de correlação e diferenças estatísticas entre as variáveis sociodemográficas e clínica e avaliação da ressonância de vogais, variável hiponasalidade e o tempo máximo de fonação (TMF) para a vogal /a/. 433
Tabela 163 - Medidas descritivas, análise de correlação e diferenças estatísticas entre as variáveis sociodemográficas e clínica e o tempo máximo de fonação (TMF) para as vogais /i/ e /u/. 435
Tabela 164 - Medidas descritivas, análise de correlação e diferenças estatísticas entre as variáveis sociodemográficas e clínica e o as variáveis da análise acústica - shimmer, jitter e F_0. 437
Tabela 165 - Medidas descritivas, análise de correlação e diferenças estatísticas entre as variáveis sociodemográficas e clínica e o as variáveis da análise acústica - intensidade, harmonics-to-noise-ratio (HNR) e índice de severidade de disfonia (ISD). 439
Tabela 166 - Medidas descritivas, análise de correlação e diferenças estatísticas entre as variáveis da avaliação vocal e as escalas funcionamento físico, desempenho e dispneia do questionário da EORTC QLQ-C30. 441
Tabela 167 - Medidas descritivas, análise de correlação e diferenças estatísticas entre as variáveis da avaliação vocal e as escalas dor, fadiga e insónia do questionário da EORTC QLQ-C30.....443
Tabela 168 - Medidas descritivas, análise de correlação e diferenças estatísticas entre as variáveis da avaliação vocal e as escalas perda de apetite, náusea e vómito e obstipação do questionário da EORTC QLQ-C30. 445
Tabela 169 - Medidas descritivas, análise de correlação e diferenças estatísticas entre as variáveis da avaliação vocal e as escalas diarreia, funcionamento cognitivo e emocional do questionário da EORTC QLQ-C30. 447
Tabela 170 - Medidas descritivas, análise de correlação e diferenças estatísticas entre as variáveis da avaliação vocal e as escalas funcionamento social, dificuldades financeiras e estado geral de saúde do questionário da EORTC QLQ-C30. 449
Tabela 171 - Medidas descritivas, análise de correlação e diferenças estatísticas entre as variáveis da avaliação vocal e as escalas resultado total e categorial do questionário da EORTC QLQ-C30. 451

Tabela 172 - Medidas descritivas, análise de correlação e diferenças estatísticas entre as variáveis da avaliação vocal e as escalas dor de cabeça e pescoço, problemas em engolir e problemas com os dentes, do questionário da EORTC QLQ-HN43.....453
Tabela 173 -Medidas descritivas, análise de correlação e diferenças estatísticas entre as variáveis da avaliação vocal e as escalas abertura de boca, boca seca e saliva espessa e problemas com os sentidos, do questionário da EORTC QLQ-HN43.....455
Tabela 174 - Medidas descritivas, análise de correlação e diferenças estatísticas entre as variáveis da avaliação vocal e as escalas tosse, imagem corporal e comer em público, do questionário da EORTC QLQ-HN43.....457
Tabela 175 - Medidas descritivas, análise de correlação e diferenças estatísticas entre as variáveis da avaliação vocal e as escalas problemas de fala, contacto social e problemas com a sexualidade, do questionário da EORTC QLQ-HN43. 459
Tabela 176 - Medidas descritivas, análise de correlação e diferenças estatísticas entre as variáveis da avaliação vocal e as escalas problemas nos ombros, edema no pescoço e problemas de pele, do questionário da EORTC QLQ-HN43.....461
Tabela 177 - Medidas descritivas, análise de correlação e diferenças estatísticas entre as variáveis da avaliação vocal e as escalas perda de peso, ansiedade e problemas na cicatrização de feridas, do questionário da EORTC QLQ-HN43. 463
Tabela 178 - Medidas descritivas, análise de correlação e diferenças estatísticas entre as variáveis da avaliação vocal e as escalas problemas neurológicos, resultado total e categorial, do questionário da EORTC QLQ-HN43. 465
Tabela 179 - Medidas descritivas, análise de correlação e diferenças estatísticas entre as variáveis da avaliação vocal e o resultado total e por nível de severidade do VHI-9i..467
Tabela 180 - Análise de correlação entre as variáveis da avaliação vocal, TMF das vogais /a/, /i/ e /u/ e variáveis acústicas (shimmer, jitter, F_0, intensidade, HNR e ISD) e as escalas funcionamento físico, desempenho, dispneia, dor, fadiga, insónia, perda de apetite, náusea e vómito, obstipação, diarreia e funcionamento cognitivo, do questionário da EORTC QLQ-C30. 469
Tabela 181 - Análise de correlação entre as variáveis da avaliação vocal, TMF das vogais /a/, /i/ e /u/ e variáveis acústicas (shimmer, jitter, F0, intensidade, HNR e ISD) e as escalas funcionamento emocional, social, dificuldades financeiras, estado geral de saúde, resultado total e categorial do questionário da EORTC QLQ-C30.....469
Tabela 182 - Análise de correlação entre as variáveis da avaliação vocal, TMF das vogais /a/, /i/ e /u/ e variáveis acústicas (shimmer, jitter, F0, intensidade, HNR e ISD) e as escalas

dor de cabeça e pescoço, problemas em engolir, problemas com os dentes, abertura de boca, boca seca e saliva espessa, problemas com os sentidos, tosse, imagem corpora, comer em público e problemas de fala, do questionário da EORTC QLQ-HN43.....470
Tabela 183 - Análise de correlação entre as variáveis da avaliação vocal, TMF das vogais /a/, /i/ e /u/ e variáveis acústicas (shimmer, jitter, F0, intensidade, HNR e ISD) e as escalas contacto social, problemas com a sexualidade, edema no pescoço, problemas de pele, perda de peso, ansiedade, problemas na cicatrização de feridas e problemas neurológicos do questionário da EORTC QLQ-HN43.....470
Tabela 184 - Análise de correlação entre as variáveis da avaliação vocal, TMF das vogais /a/, /i/ e /u/ e variáveis acústicas (shimmer, jitter, F0, intensidade, HNR e ISD) e as escalas resultado total e categorial do questionário da EORTC QLQ-HN43 e o resultado total e por níveis de severidade do VHI-9i.....471

Lista de abreviaturas e símbolos

≥	Maior ou igual
±	Mais ou menos
≤	Menor ou igual
%	Percentagem
<	Menor
>	Maior
AIQ	Amplitude Interquartil
ASHA	American Speech-Language-Hearing Association
cc	Colher de chá
CCP	Cancro de cabeça e pescoço
CPP	Cepstral Peak Prominence
CCPI	Head Neck Cancer Inventory
CRT	Chemoradiotherapy
CT	Chemotherapy
D	Doente
DB	Décibel
DEsDC	Drinking, Eating, Swallowing, Coughing
DO	Disfagia Orofaríngea
DOSS	Dysphagia outcome severity scale
DSI	Dysphonia Severity Index
EAT-10	Eating Assessment Tool 10
EES	Esfíncter Esofágico Superior
ENT doctor	Ear, Nose and Throat Doctor
EORTC-QOL C30	European Organisation for Research and Treatment of Cancer quality of life - module C30
EORTC-QOL HN35	European Organisation for Research and Treatment of Cancer quality of life head and neck module 35
EORTC-QOL HN37	European Organisation for Research and Treatment of Cancer quality of life head and neck module 37
EORTC-QOL HN43	European Organisation for Research and Treatment of Cancer quality of life head and neck module 43

et al.	E outros
F_0	Frequência fundamental
FACT-G	Functional Assessment of Cancer Therapy - General
FACT-HN	Functional Assessment of Cancer Therapy - Head & Neck
FEES	Fiberoptic endoscopic evaluation of swallowing
FOIS	Functional oral intake scale
GRBAS	Escala áudio-percetiva de avaliação vocal
Gy	Gray - Unidade de dose absorvida
HAD-QOL	Hospital Anxiety and Depression Questionnaires
HNC	Head and Neck Cancer
HNCI	Head and Neck Cancer Inventory
HNR	Harmonic-to-Noise Ratio
HPV	Vírus do Papilloma Humano
Hz	Hertz
IMRT	Intensity modulated radiotherapy
IPO-Porto	Instituto Português de Oncologia do Porto
ISD	Índice de Severidade de Disfonia
L	Litro
MDADI	MD Anderson Dysphagia Inventory
MDASI-HN	MD Anderson Symptom Inventory - Head and Neck
mL	Mililitro
MPT	Maximum Phonation Time
n.º	Número
NOMS	National Outcomes Measurement System
NPO	Nothing Per Os/Nada pela boca
OPSE	Oropharyngeal swallowing efficiency
ORL	Otorrinolaringologia
p	valor-p/nível descritivo ou probabilidade de significância
p.e.	Por exemplo
PAS	Penetration Aspiration Scale
PEG	Gastrostomia Percutânea Endoscópica
PRISMA	Preferred Reporting Itens for Systematic Reviews and Meta-Analysis
PROM	Patient Reported Outcome Measures

PSS-HN	Performance status scale for head and neck cancer
PV	Pregas vocais
QdV	Qualidade de vida
QoL	Quality of life
QRT	Quimioradioterapia
QT	Quimioterapia
RS	Revisão sistemática
RT	Radioterapia ou radiotherapy
s	Segundos
SF-36	Short-Form 36
SHI	Speech Handicap Index
SLPs	Speech Language Pathologists
SNG	Sonda Nasogástrica
SPSS	Statistical Package for the Social Sciences
SR	Systematic Review
SWAL-CARE	Swallowing care questionnaire
SWAL-QOL	Swallowing quality of life questionnaire
TF	Terapeuta da Fala
TMF	Tempo máximo de fonação
TNM	Tumor-Nódulo-Metástase
TQ	Traqueostomia
tto	Tratamento
UES	Upper Esophageal Sphincter
UW-QOL	University Washington Quality of life
VA	Vias aéreas
VDS	Videofluoroscopy Dysphagia Scale
VED	Videoendoscopia da Deglutição
VFS	Videofluoroscopy study/Videofluoroscopia da deglutição
VHI	Voice Handicap Index
VHNSS	Vanderbilt Head and Neck Symptom Survey
VRQOL	Voice Related Quality of Life
WHOQOL-BREF	World Health Organization Quality of Life Bref

Capítulo I - Introdução

O tema de investigação selecionado no âmbito do Doutoramento em Desenvolvimento e Perturbações da Linguagem, teve em vista compreender qual a relação entre as medidas quantitativas e a perceção do doente, ou seja, analisar de forma quantitativa a produção vocal e a deglutição, em doentes tratados por cancro da orofaringe e comparar estes resultados com a perceção dos mesmos sobre a sua voz e deglutição, através de questionários. Pretendeu-se assim objetivar e clarificar a relação complexa entre a perceção do doente sobre disfagia e disfonia e as medidas fisiológicas por meio de avaliação instrumental, possibilitando a otimização do tratamento e os resultados funcionais.

Nesta tese, foram abordadas as motivações e objetivos deste estudo, seguindo-se uma revisão da literatura sobre o tema central de investigação, servindo de suporte a todo o documento. Nesta desenvolveram-se aspetos relacionados com a deglutição e a fonação em doentes oncológicos com tumores da orofaringe, avaliando a sua perceção do impacto das alterações na fonação e na deglutição comparativamente com a avaliação instrumental (Capítulo 1).

Relativamente à investigação propriamente dita, inicialmente realizou-se uma revisão sistemática focada nos parâmetros estudados e avaliados, relativamente à avaliação instrumental da voz e/ou da deglutição (medidas fisiológicas) e da perceção destes aspetos em doentes com tumores de cabeça e pescoço (Capítulo 2).

Após terminar a primeira etapa, a Comissão de Ética do Instituto Português de Oncologia do Porto (IPO-Porto) (Anexo II) autorizou a realização de entrevistas e avaliações (videoendoscopia da deglutição, análise acústica da voz e questionários de análise de qualidade de vida), em doentes do Serviços de Otorrinolaringologia, com tumores da orofaringe tratados exclusivamente com radio e/ou quimioterapia. Tendo por base as escalas e os enunciados dos questionários selecionados para a avaliação da perceção dos doentes, foram organizadas entrevistas semi-estruturadas para uma análise qualitativa e para aprofundar e melhor compreender a autoperceção dos doentes (Capítulo 3). Seguidamente, descreveu-se a perceção do doente relativamente ao impacto da radio e quimioterapia nas funções de deglutição e fonação (Capítulo 4). Prosseguiu-se, com um estudo do tipo transversal, no qual se recolheram dados da avaliação instrumental

(videoendoscopia da deglutição e análise acústica da voz) e aplicaram questionários para avaliação da perceção dos doentes (SWAL-QOL, VHI-9i, QLQ-C30 e QLQ-HNC43), para posterior análise quantitativa. Numa primeira fase foram estudadas as relações ao nível da deglutição (Capítulo 5), seguindo-se o mesmo tipo de metodologia, mas ao nível da fonação (Capítulo 6).

Além disso, uma discussão integrativa para os principais resultados da tese será apresentada no capítulo 7, seguida das conclusões (Capítulo 8) e no final apresentam-se as referências que serviram de suporte à tese (Capítulo 9).

1.1. Motivações

Desde a licenciatura que a autora, na qualidade de Terapeuta da Fala, contacta e interage com doentes com patologia oncológica de cabeça e pescoço. Ao longo deste tempo constatou a dificuldade de viver com disfonia e disfagia após tratamento oncológico nesta área. Apesar do crescente número de publicações sobre qualidade de vida (QdV) e da sua indiscutível importância na avaliação dos resultados em saúde, são ainda escassas as interpretações e relações com a avaliação instrumental. Constatou-se, igualmente a ausência de dados objetivos para esta população e respetiva interpretação, bem como da relação com a autoperceção do impacto da disfonia e da disfagia na QdV.

Nas últimas décadas verificou-se um maior foco na investigação de medidas fisiológicas objetivas associadas à voz e à deglutição, através de estudos biomecânicos. No entanto e para um tratamento eficaz, a perspetiva do doente é crucial, ou seja, medir a QdV, incluindo função, bem-estar e satisfação, pode permitir compreender a experiência de viver com disfonia e disfagia. Isto porque, função fisiológica não é sinónimo de bem-estar.

Uma tese de doutoramento organizada por capítulos com estrutura de artigos, a serem publicados, foi adotada com foco na contribuição e na partilha de resultados com a comunidade científica. A coerência deste processo é descrita abaixo.

1.2. Objetivos da investigação

O objetivo geral desta tese de doutoramento foi compreender qual a relação entre as medidas quantitativas e a perceção do doente com cancro da orofaringe, submetido a tratamento com radio e quimioterapia e, assim, contribuir para um melhor entendimento

da problemática dos efeitos secundários dos tratamentos cuja intenção foi a preservação de órgão, na interceção entre a avaliação clínica e a perspetiva do doente.

Capítulo II - o objetivo do primeiro estudo foi tomar conhecimento do estado da arte no que respeita à relação entre a avaliação objetiva da voz e da deglutição, com a avaliação subjetiva.

Capítulo III - o objetivo do segundo estudo foi descrever a perceção do doente relativamente ao impacto da radio e quimioterapia nas funções de deglutição e fonação, por meio de entrevistas semi-estruturadas;

Capítulo IV - o objetivo do terceiro estudo foi definir alterações na perceção do indivíduo da função de deglutição após tratamentos, através do questionário SWAL-QOL e da voz, através do questionário VHI-9i e, da QdV geral utilizando os questionários QLQC30 e QLQ-H&NC43;

Capítulo V - o objetivo do quarto estudo foi clarificar a relação da função de deglutição após tratamentos, através da videoendoscopia da deglutição, com a avaliação subjetiva, colhida através do SWAL-QOL, QLQC30 e QLQ-H&NC43;

Capítulo VI - o objetivo do quinto estudo foi clarificar a relação da função da voz após tratamentos, mediante a avaliação auditivo-percetual do profissional e acústica da voz, com a avaliação subjetiva, através do VHI-9i, QLQC30 e QLQ-H&NC43.

O doutoramento em Desenvolvimento e Perturbações da Linguagem foi o suporte para a realização desta tese, uma vez que as pessoas com disfagia e disfonia podem diminuir os seus contactos e interações, causando limitações na sua habilidade de comunicar e na sua linguagem.

A Tabela 1 sumariza toda a atividade científica e/ou académica apresentada.

Tabela 1 - Lista de publicações e comunicações relacionadas com a tese.

Capítulo II	INSTRUMENTAL ASSESSMENT OF DYSPHAGIA AND DYSPHONIA IN HEAD AND NECK CANCER AND PATIENTS' PERCEPTION: SYSTEMATIC REVIEW
Póster	Vieira, D, Sousa, E, Monteiro, E, & Dinis-Ribeiro, M. (2019). Patient perception of dysphonia in oropharyngeal cancer: systematic review. Apresentado na International Conference - Person Centered Healthcare, 19 de outubro - Prémio melhor poster
Comunicação oral	Vieira, D., Sousa, E., Monteiro, E., & Dinis-Ribeiro, M. (2019). Patient's perception and physiological assessment of dysphonia and dysphagia in oropharyngeal cancer: systematic review, apresentado no 2.º Congresso Nacional de Disfagia em Lisboa, no dia 12 de dezembro.
Póster	Vieira, D., Sousa, E., Monteiro, E., & Dinis-Ribeiro, M. (2020). How to look for articles related to instrumental assessment of oropharyngeal dysphagia in Pubmed, apresentado no 10th ESSD Congress, no dia 8 de outubro. 10th ESSD Congress, 2020. *Dysphagia* **38** (Suppl 1), 1–60 (2023). https://doi.org/10.1007/s00455-022-10457-x
Póster	Vieira, D., Sousa, E., Monteiro, E., & Dinis-Ribeiro, M. (2020). Patient's perception and physiological assessment of dysphagia in oropharyngeal cancer: the art of statement, apresentado no 10th ESSD Congress, no dia 8 de outubro. 10th ESSD Congress, 2020. *Dysphagia* **38** (Suppl 1), 1–60 (2023). https://doi.org/10.1007/s00455-022-10457-X
Póster	Vieira, D., Sousa, E., Monteiro, E., Dinis-Ribeiro. (2021). Patients' Perception and Instrumental Assessment of Dysphagia and Dysphonia in Head and Neck Cancer: What We Know?, apresentado no 11th ESSD Congress, no dia 4-6 de novembro. 11th ESSD Congress, 2021. Dysphagia. 2023 Mar;38(Suppl 1):61-102. doi: 10.1007/s00455-022-10456-y.
Capítulo III	PERCEÇÃO DOS DOENTES COM CANCRO DE CABEÇA E PESCOÇO E CUIDADORES FORMAIS DA DEGLUTIÇÃO E DA VOZ, APÓS O TRATAMENTO COM RADIO E QUIMIOTERAPIA
Póster	Vieira, D., Sousa, E., Monteiro, E., Dinis-Ribeiro, M., Soares, A. Laranja, A. (2023). **A perceção dos doentes, terapeutas da fala e otorrinolaringologistas da deglutição e voz no cancro da orofaringe - estudo qualitativo**. In Sociedade Portuguesa de Terapia da Fala (Ed.), Livro de Resumos do III Congresso Internacional da Sociedade Portuguesa de Terapia da Fala (P03). ISBN: 978-989-53922-2-3
Capítulo IV	PERCEÇÃO DO DOENTE COM CANCRO DA OROFARINGE DO IMPACTO DOS TRATAMENTOS DE RT E QT NA DEGLUTIÇÃO E NA VOZ
Póster	Vieira, D., Sousa, E., Monteiro, E., Dinis-Ribeiro, M., Soares, A. Laranja, A. (2023). **Perceção do doente com cancro da orofaringe do impacto dos tratamentos de RT e QT na deglutição e na voz**. In Sociedade Portuguesa de Terapia da Fala (Ed.), Livro de Resumos do III Congresso Internacional da Sociedade Portuguesa de Terapia da Fala (P41). ISBN: 978-989-53922-2-3
Capítulo V	VIDEOENDOSCOPIA DA DEGLUTIÇÃO E AVALIAÇÃO SUBJETIVA DA DEGLUTIÇÃO - QUE RELAÇÕES?
Capítulo VI	AVALIAÇÃO AUDITIVO-PERCETUAL E ACÚSTICA DA VOZ E AVALIAÇÃO VOCAL - QUE RELAÇÕES?
Póster	Vieira, D., Guimarães, J., Monteiro, E., Dinis-Ribeiro, M., Soares, A. Laranja, A. (2021). Patients' Perception and Instrumental Assessment of Dysphagia and Dysphonia in Oropharyngeal Cancer: Preliminary Data, Poster apresentado no 11th ESSD Congress, no dia 4-6 de novembro. 11th ESSD Congress, 2021. *Dysphagia*. 2023 Mar;38(Suppl 1):61-102. doi: 10.1007/s00455-022-10456-y.

1.3. Revisão da literatura

As bases teóricas que suportam a pertinência da presente tese serão agora apresentadas. Do Capítulo 2 ao Capítulo 6, em formato de artigo detalham-se as etapas desta investigação.

O cancro de cabeça e pescoço (CCP) é o quinto mais comum em todo o mundo (Chapuy et al., 2013). Em Portugal, de acordo com dados do GLOBOCAN, no ano de 2018, surgiram 58199 novos casos de cancro, sendo 0,63% da orofaringe, 0,77% da hipofaringe, 1,08% da laringe e 1,65% dos lábios e cavidade oral. Apresentando um crescimento previsto de mais de 50% para 2040 (Cancer & Organization, 2019). Os CCP englobam lesões da cavidade oral, orofaringe, laringe, hipofaringe, seios perinasais e glândulas salivares (Rogers & Barber, 2017). As principais causas incluem exposição a agentes carcinogénicos como o tabaco e o álcool mas, mais recentemente o vírus do papiloma humano (HPV) tem estado associado ao aparecimento de tumores da orofaringe, em todo o mundo (Rogers & Barber, 2017).

A evolução no diagnóstico e no tratamento médico das doenças oncológicas tem permitido o aumento da sobrevida dos doentes. No entanto, e apesar dos avanços, os efeitos secundários inerentes ao tratamento cirúrgico e complementar, radioterapia (RT) e quimioterapia (QT), acarretam um ónus significativo no doente (Lafer et al., 2013). Isto porque a preservação da estrutura não resulta necessariamente em funcionalidade (Perry et al., 2016). Atualmente, os tratamentos focam-se numa estratégia de "preservação de órgão" recorrendo à RT e QT, traduzindo-se em efeitos secundários profundos e prolongados no tempo (Perry et al., 2016).

Os tratamentos, com RT e QT direcionados para estes tumores, produzem alterações sensitivas, déficites motores e fibrose da mucosa do trato aerodigestivo superior (Simental & Carrau, 2004), contribuindo assim, para o aparecimento de efeitos secundários a curto e longo prazo, o que condiciona a QdV e aumenta os cuidados a prestar aos sobreviventes (Nekhlyudov et al., 2017). As estruturas desta região partilham funções, designadamente ao nível da fonação e da deglutição e, por isso, a disfonia e a disfagia são sequelas comuns e ambas podem contribuir para a diminuição da QdV (Soldatova & Mirza, 2019). A disfagia pode acarretar limitações funcionais e complicações importantes, como a aspiração de alimentos para a via aérea, pneumonias e desnutrição, interferindo na QdV sob diversos aspetos, emocionais, físicos e socioculturais (Chen et al., 2001; McHorney, Bricker, Kramer, et al., 2000; Perry et al., 2016), bem como, limitações ou restrições na atividade e na participação (Perry et al., 2016; Threats, 2007).

A disfagia tem uma elevada prevalência em doentes portadores de tumores nestas localizações, sendo que 39-64% ficam com disfagia crónica (Arrese et al., 2017; Jones et al., 2018). Relativamente à disfonia a prevalência em indivíduos com tumores da orofaringe tratados é de 13% (Aggarwal et al., 2021; Zebralla, Wichmann, et al., 2021). Estas alterações na fonação e na deglutição, em conjunto, com a análise das medidas de QdV contribuem para avaliar e melhor controlar a efetividade dos resultados dos tratamentos para o CCP (Balaguer et al., 2020; Fung et al., 2005; Jones et al., 2018; Soldatova & Mirza, 2019; Su, 1997).

A avaliação instrumental permite compreender melhor a fisiopatologia destas entidades neste grupo de doentes e eventualmente estabelecer protocolos de reabilitação, visando diminuir a morbilidade da aspiração e melhorar a nutrição, a hidratação e globalmente a QdV (Simental & Carrau, 2004). Assim e de acordo com as *guidelines* da Sociedade de Oncologia América (Nekhlyudov et al., 2017), em doentes com disfagia e/ou aspiração, a deglutição deve ser avaliada de forma objetiva/instrumental (nível evidência IIA) através da videofluoroscopia da deglutição (nível evidência IIA). No caso de perturbações da fonação os sobreviventes devem ser encaminhados para terapia da fala (nível evidência IA, IIA).

A relação entre a consciência/perceção dos doentes sobre a dificuldade de deglutição e da fonação, comparativamente com os resultados da avaliação objetiva têm sido alvo de interesse (Balaguer et al., 2020; de Bruijn et al., 2011; de Bruijn et al., 2009; Kendall et al., 2014; Pauloski et al., 2009; Pauloski et al., 2002; Rogus-Pulia et al., 2015; Rogus-Pulia et al., 2014), mas, é ainda necessária maior investigação nesta área.

Seguidamente detalham-se os principais tipos de avaliação instrumental utilizados e da perceção dos doentes, quer ao nível da deglutição, quer da fonação.

i. Avaliação objetiva da deglutição

Ao nível da deglutição, os testes considerados padrão para a sua avaliação e guias, tanto para a reabilitação, como referente à tipologia da dieta, são a videofluoroscopia e a videoendoscopia da deglutição (Aviv et al., 1998; Langmore et al., 1988; Speyer et al., 2010). Para além da mera avaliação clínica, existem outras formas de avaliação como a manometria, a ultrassonografia, a eletromiografia e a cintilografia (Langmore et al., 1988).

O estudo da deglutição através da ingestão de um contraste baritado é o fundamento da videofluoroscopia, que permite a avaliação dinâmica da deglutição. Foi descrita pela primeira

vez em 1930 por Barclay, onde foi possível visualizar o trajeto do bolo alimentar ao longo do trato aerodigestivo, em tempo real (Barclay, 1930). Este procedimento veio depois permitir avaliar a fisiologia e a presença de aspiração, tendo passado a ser um auxiliar na identificação das causas fisiológicas da disfagia (Martin-Harris et al., 2008). Nesta avaliação, a aquisição de imagem pode ser latero-lateral, a mais comum e/ou anteroposterior, para avaliação da simetria. Contudo, podem ser utilizados outros planos (Peterson, 2018). Para além das vantagens anteriormente mencionadas, permite avaliar o efeito do volume do bolo, o resultado de estratégias que incidem nas texturas e nas estratégias compensatórias da deglutição (Martin-Harris et al., 2008). Esta avaliação instrumental permite ainda a colheita de medidas temporais, já descritas por diversos autores em indivíduos saudáveis (Cook et al., 1989; Dodds et al., 1990; Hamlet et al., 1989; Kendall et al., 2000; Rademaker et al., 1994; Tracy et al., 1989). Outro aspeto fundamental da avaliação é o número de imagens captadas por segundo - pulso. Como requisitos para esta técnica a evidência refere que uma taxa de pulso inferior a 15 pulsos/segundo pode não permitir detetar achados clínicos relevantes (Bonilha et al., 2013), recomendando-se uma taxa de 30 pulsos/segundo. Uma taxa inferior contribui para um julgamento impreciso e conclusões conservadoras com restrição de ingestão oral e diminuição do estado de saúde e da QdV do doente, pois alguns achados não serão corretamente visualizados (Bonilha et al., 2013). Relativamente ao contraste radiopaco podem ser utilizados materiais solúveis em água como os agentes não iónicos isotónicos. O mais utilizado é o sulfato de bário, pois permite maior detalhe, tendo também a vantagem de se tornar quimicamente inativo após passagem pelo corpo (Peterson, 2018). O uso da gastrografina está contraindicado devido às suas propriedades hipertónicas que acarretam risco elevado de edema pulmonar quando aspirada (Auffermann et al., 1988). Neste procedimento avalia-se: o encerramento labial, a mastigação, a preparação do bolo alimentar, o controlo e os movimentos da língua, o resíduo oral, o início do reflexo de deglutição, a elevação do palato mole, a elevação e anteriorização do complexo hiolaríngeo, a eversão da epiglote, o encerramento do vestíbulo laríngeo, a contração faríngea, a abertura do esfíncter esofágico superior (EES), a retração da base da língua, o resíduo faríngeo e a limpeza do esófago (Peterson, 2018).

A avaliação endoscópica por fibra ótica da deglutição (VED), descrita por Susan Langmore em 1988, como um novo procedimento para avaliação da fase faríngea da deglutição, permite a deteção de aspiração e assim, determinar a segurança na alimentação oral em doentes, inclusive em doentes com um quadro de letargia, agitados ou com dificuldades de posicionamento (Langmore et al., 1988). Em 1991, Bastian (Bastian, 1991) denomina este exame como

videoendoscopia da deglutição. Uma década depois, Aviv (Aviv et al., 1998) aprimorou esta técnica, tanto ao nível da avaliação motora como sensitiva, com recurso à emissão de um pulso de ar na mucosa inervada pelo nervo laríngeo superior. A avaliação por endoscopia de fibra ótica é realizada por otorrinolaringologistas e é um método seguro e fiável de avaliação (Aviv et al., 2000; Welch, 1982). Esta ferramenta permite uma visão clara e direta da orofaringe, hipofaringe e laringe, assim como, da aspiração ou evidência da mesma (Langmore et al., 1988). Neste procedimento e uma vez que a postura tem interferência na biomecânica da deglutição, o doente é avaliado na posição que normalmente se alimenta (Langmore et al., 1988). Para a avaliação funcional recomenda-se o uso de alimentos que reflitam bem a luz ou a adição de corante azul ou verde para facilitar a discriminação entre os alimentos sólidos e líquidos e a mucosa (Langmore & Murray, 2013). Normalmente não é necessária anestesia tópica, pois a sua interferência não está bem clarificada (Langmore & Murray, 2013; Langmore et al., 1988). Em 2011 foi criada uma forma de documentação mais eficiente, tomando em consideração o tempo consumido (Hey et al., 2011) e mais recentemente Desuster preconizou uma avaliação durante 12 minutos (Desuster, 2013). Este exame pode ser dividido em três fases (Bastian, 1991; Langmore & Murray, 2013; Langmore et al., 1988):

1) **Observação do movimento das estruturas**: *a) nasofaringe* - esfíncter velofaríngeo é avaliado durante tarefas de fala (vogais, contagem numérica, /s/ sustentado) e deglutição de saliva; *b) orofaringe* - quantidade de saliva nas valéculas; *c) hipofaringe* - quantidade de saliva nos seios piriformes, na base da língua ou paredes faríngeas, como indicador da integridade motora faríngea, aparência da faringe e epiglote, manobra de aperto faríngeo através da produção do /i/ hiperagudo sustentado (em alternativa falar alto ou manobra de valsalva); *d) laringe* - recurso a tarefas de fala, deglutição de saliva, pedido de apneia, tosse, produção rápida e repetida do /i/ hiperagudo, para avaliar a adução glótica. Nesta fase é possível observar a capacidade de deglutição de saliva e o manuseamento das secreções;

2) **Avaliação da deglutição propriamente dita**: determinadas quantidades de alimentos e líquidos são ingeridos, corados com corante alimentar (verde ou azul) para avaliar aspetos como: *a)* escape prematuro posterior; *b)* aspiração antes, durante ou após a deglutição; *c)* resíduo faríngeo (valéculas - diminuição da pressão da base da língua contra parede posterior da faringe - e seios piriformes - diminuição do movimento faríngeo e/ou elevação laríngea); *d)* resposta do doente em caso de aspiração; *e)* tempo

de latência para início da deglutição; *f)* tempo de encerramento da via aérea; *g)* número de deglutições por bolo para limpeza, como indicativo da eficiência da deglutição;

3) **Teste de sensibilidade**: avaliação direta através do toque bilateral com o laringoscópio na base da língua, nas paredes faríngeas laterais, face laríngea da epiglote, pregas ariepiglóticas, seios piriformes, aritnóides e/ou pregas vocais.

Para além destes aspetos também é fundamental interpretar o momento de "*whiteout*", que não deve durar mais do que meio segundo e representa o momento de encerramento máximo faríngeo. Quando este é incompleto, ou seja, está alterado, visualiza-se um tom de rosa ou são visíveis estruturas (Bastian, 1991; Langmore & Murray, 2013).

Com esta avaliação é possível uma análise compreensiva no que respeita à natureza, severidade e componentes da deglutição, resultantes de alterações anatómicas, função motora e sensitiva (Bastian, 1991). Para além disso, permite a deteção de perturbações fisiológicas na função dinâmica da deglutição (Hazelwood et al., 2017), nomeadamente: contenção oral/escape prematuro posterior; encerramento velofaríngeo; movimento da epiglote; propulsão faríngea; e resíduos faríngeos (Ickenstein, 2013; Pauloski et al., 2009). Assim, podem pesquisar-se anomalias dinâmicas e funcionais, com boa visualização do processo e dos movimentos (Tracy et al., 1989; Woisard-Bassols et al., 1994). Esta avaliação não permite analisar a complexa interação entre as várias estruturas, tal como na videofluoroscopia (Langmore et al., 1988). Tanto na videoendoscopia como na videofluoroscopia utiliza-se a escala de penetração aspiração (PAS) para avaliar a segurança da deglutição (Kelly et al., 2007; Rosenbek et al., 1996). A PAS é composta por oito pontos, avaliando a que nível o alimento entra na via aérea e a resposta do doente (Rosenbek et al., 1996). Para além desta, quando ocorre aspiração deve avaliar-se a eficácia de limpeza das vias aéreas inferiores, através da Escala de Desobstrução Mediante Pedido (Murray et al., 1996).

ii. Avaliação objetiva da fonação

A avaliação vocal (voz e ressonância) permite delinear um plano de tratamento e também recolher dados relacionados com o tratamento (Behrman, 2005). Engloba a avaliação áudio-percetiva, a avaliação instrumental e a perceção do doente. Os terapeutas da fala têm uma ampla variedade de procedimentos e ferramentas para a avaliação vocal. Contudo, por falta de dados

concretos sobre a sua validade, a precisão dos dados da avaliação recolhidos pode ser posta em causa (Behrman, 2005). Em 2005 e posteriormente em 2018 foram publicadas algumas recomendações relativamente aos protocolos para a avaliação multidimensional, por forma a melhorar as medidas de avaliação vocal, permitir tanto aos clínicos como aos investigadores a uniformização dos resultados e avaliações, possibilitando uma melhor comparação entre doentes e instituições e avaliação da eficácia dos tratamentos. Estes protocolos recomendam a inclusão dos diversos elementos para avaliação (Behrman, 2005; Dejonckere et al., 2001; Patel et al., 2018):

1) **Avaliação áudio-percetiva** - é dada atenção à qualidade vocal (rouquidão, soprosidade, tensão, frequência e intensidade), à fonação (vozeamento/desvozeamento e capacidade para suster vozeamento durante a fala) e à ressonância (normal, hiponasalidade, hipernasalidade ou *cul-de*-sac) (ASHA, n.d.). A classificação do grau de rouquidão (G) compreende algumas componentes tais como: a soprosidade (B), a rugosidade ou aspereza (R) e a astenia (A); e o parâmetro da tensão (S) (Dejonckere et al., 2001). Desta forma, compõem-se a escala GRBAS de Hirano (Hirano, 1981), onde cada elemento é cotado de 0 a 3, onde 0 indica ausência de desvio; 1 desvio ligeiro; 2 desvio moderado; e 3 desvio severo ou, através de uma escala visual analógica de 10cm (Dejonckere et al., 2001);

2) **Avaliação endoscópica** (nasolaringoestroboscopia), permite avaliar a estrutura e função global, bem como medir a vibração das pregas vocais (PV) através do uso de uma fonte luminosa e de um endoscópio com vídeo. A qualidade da imagem é fundamental, bem como a sua orientação, devendo ser visível a laringe no centro da imagem e toda a extensão das PV. O uso de anestésico pode ser recomendado para doentes com reflexo de náusea exacerbado ou hipersensibilidade à passagem do endoscópio. Nesta avaliação recomendam-se as seguintes tarefas: observação durante a respiração, diadococinesia laríngea, amplitude máxima entre adução e abdução glótica (/i/-*sniff* ou /i/-inspiração rápida), fonação do /i/ sustentado com frequência e intensidade estável e com variações de frequência e intensidade (Patel et al., 2018). As principais avaliações de imagem são: a videoendoscopia (avaliação da estrutura e mobilidade das PV e atividade supraglótica) e a videoestroboscopia (através do efeito estroboscópico avalia-se o padrão de encerramento glótico e a sua duração, a regularidade, a onda mucosa, a simetria do movimento das PV e a amplitude da vibração das PV). Para a realização destes exames são necessárias competências, conhecimento e treino específico. Os parâmetros avaliados podem ser classificados numa escala de 4 pontos, onde 0 indica ausência de desvio; 1 desvio ligeiro; 2 desvio moderado; e 3 desvio severo ou,

através de uma escala visual analógica de 10cm. Recomenda-se ainda a gravação vídeo e registo fotográfico para posterior análise e comparação (Dejonckere et al., 2001);

3) **Avaliação acústica** - refere-se a medidas objetivas da função vocal, nomeadamente medidas de perturbação (*shimmer* e *jitter)*; de ruído (*Harmonic-to-Noise Ratio* - HNR - em português Proporção Harmónico-Ruído) como medidas mais robustas e que se relacionam com a escala GRBAS; e de qualidade (medidas espectrais - proeminência do pico espectral - CPP - *cepstral peak prominence*). O *jitter* é uma medida relacionada com a F_0 (frequência fundamental) e o *shimmer*, com o nível de pressão sonora (Behrman, 2005; Dejonckere et al., 2001). Para além destas medidas pode ainda analisar-se a frequência mais alta (medida em Hz), a intensidade mais baixa (medida em dB) e o nível de pressão fonatória (medida em dB) (Dejonckere et al., 2001). A análise acústica da voz nos doentes oncológicos de cabeça e pescoço tratados exclusivamente com QRT pode ser uma ferramenta útil para avaliar os efeitos secundários e monitorizar o processo de intervenção (Radhakrishna et al., 2017). Para a realização deste tipo de análise sugerem-se algumas recomendações no que respeita à aquisição do sinal, nomeadamente no que concerne às especificações técnicas (do microfone, do pré-amplificador e da gravação digital); dos procedimentos para aquisição como a calibração e o ambiente de gravação (controlo do ruído de ambiente, posição e distância do microfone e postura do doente) (Patel et al., 2018). As tarefas para esta avaliação incluem a aquisição da vogal /a/ sustentada, a leitura de um texto, a extensão da intensidade (escala com aumento da intensidade - fraco/forte, com a vogal /a/) e da frequência (escala com aumento da frequência - grave/agudo, com a vogal /a/) (Patel et al., 2018). A recolha de algumas medidas acústicas permite quantificar a severidade da disfonia (ISD - *índice de severidade de disfonia*). As variáveis a adquirir são a frequência fundamental mais aguda em Hz; a intensidade mais fraca em dB; o tempo máximo de fonação em segundos; e o *jitter* em percentagem, sendo que o valor do ISD se correlaciona com a GRBAS (Bodt, 2010; Sobol & Sielska-Badurek, 2022; Wuyts et al., 2000). De uma forma global, quanto mais negativo o valor, pior a qualidade vocal (Wuyts et al., 2000), sendo o ponto de corte 3,05 (Latoszek et al., 2019; Hakkesteegt et al., 2008; Sobol & Sielska-Badurek, 2022). Dados normativos dos valores de análise acústica têm sido definidos por vários autores. Valores de *jitter* (%) superiores a 1% podem indicar alteração, enquanto que para o *shimmer* (%) são valores superior a 3% (Freitas, 2009). Relativamente ao HNR, resultados inferiores a 7dB indicam perturbação (Freitas, 2012). Valores inferiores 50dB na intensidade são percecionados como intensidade fraca e valores superiores a 80dB como intensidade forte

ou muito forte (Behlau et al., 2001). Os resultados referentes à frequência fundamental variam de acordo com a tarefa vocal e outras características pessoais, sendo que as mulheres apresentam valores mais elevados, mas perante uma perturbação os mesmos diminuem (Freitas, 2009; Guimarães, 2007; Guimarães & Abberton, 2005);

4) **Avaliação aerodinâmica** - diz respeito a medidas instrumentais como: fluxo de ar, pressão sub-glótica, eficiência glótica; e não instrumentais como: tempo máximo de fonação da vogal /a/, após inspiração máxima e com frequência e intensidade confortável e coeficiente s/z. Nesta avaliação recomendam-se as seguintes tarefas: produção da sílaba /pi/ com frequência e intensidade habitual, seguida da produção em escala ascendente de intensidade (Behrman, 2005; Dejonckere et al., 2001). Na avaliação aerodinâmica sugerem-se procedimentos no que respeita à aquisição do sinal, nomeadamente no que concerne às especificações técnicas (sistema do fluxo aéreo, sistema de pressão do ar e microfone); e dos procedimentos para aquisição (calibração, colocação da máscara e do cateter oral e do ambiente). Desta forma, avalia-se o fluxo de ar médio em L/s, a pressão de ar subglótica média em cmH_2O, o nível de pressão sonora em dB e a frequência vocal em Hz (Patel et al., 2018);

5) **Avaliação da auto-perceção** do doente (Behrman, 2005; Dejonckere et al., 2001) - este parâmetro é desenvolvido abaixo, no capítulo de avaliação subjetiva da voz;

6) **Avaliação da ressonância** - medidas objetivas na nasalidade através de nasometria (ASHA, n.d.).

iii. Avaliação subjetiva

Os tratamentos realizados no CCP condicionam um conjunto de funções, nomeadamente fonação, deglutição e socialização, sendo estas as principais preocupações do doente (ASHA, n.d.). Estas alterações acarretam um ónus significativo com implicações ao nível da QdV (Zebralla, Wichmann, et al., 2021). Por isso, a quantificação do sucesso dos tratamentos torna-se complexa. Inicialmente a sobrevida e a recidiva eram consideradas fatores de sucesso. Mais tarde, o tempo de permanência de traqueostomia e de sonda de alimentação, no que respeita ao resultado funcional e seu impacto na QdV relacionada com saúde, tornaram-se os principais indicadores. Assim, foi recomendado que se iniciasse o uso de instrumentos para avaliar a perceção do doente com CCP (Chera et al., 2014).

A avaliação subjetiva baseia-se no relato dos clínicos e dos doentes (Manduchi et al., 2022). Assim, os sintomas de disfagia e/ou disfonia são definidos como a perceção do doente sobre o estado alterado destas funções, incluindo físico, emocional e social (Wilson & Cleary, 1995). Os resultados dos questionários de autopreenchimento (PROM - patient reported outcome measure) são as ferramentas que permitem medir a perceção do doente e representam uma componente da avaliação dos resultados no âmbito da disfagia e disfonia, pois fornecem informação sobre os efeitos e benefícios do tratamento, que não são suscetíveis de avaliação objetiva (Manduchi et al., 2022; Wilson & Cleary, 1995).

A utilização do termo QdV relacionada com saúde resulta da evidência acumulada e dos resultados dos questionários que se mostram sensíveis às alterações clínicas, descrevendo o que o doente experiencia em consequência dos cuidados médicos, tornando-se úteis e complementares às medidas fisiológicas e biológicas do estado de saúde (Wilson & Cleary, 1995). Para Wilson e Cleary, o conceito de QdV relacionada com saúde engloba fatores biológicos, fisiológicos, sintomas, funcionamento, perceção geral de saúde e QdV no geral (Wilson & Cleary, 1995).

Os PROM têm a capacidade de melhorar os cuidados prestados aos doentes e cuidadores após CCP (Rogers & Barber, 2017). As ferramentas para avaliação da perceção do doente podem ser divididas em seis categorias: 1) saúde em geral; 2) genéricos para cancro; 3) genéricos para o CCP; 4) específico para sintomas relacionados com o CCP; 5) aspetos psicológicos; e 6) inventário de preocupações do doente (Rogers & Barber, 2017). Assim, cada questionário mede aspetos específicos e por isso, não há um padrão (Rogers & Barber, 2017). Com a evolução dos tratamentos para o CCP, os questionários existentes também necessitam de ajustes. Um exemplo disso são os questionários da organização europeia para a pesquisa e tratamento do cancro (EORTC) (Rogers & Barber, 2017). A eficiência do uso dos PROM nos cuidados dos doentes com CCP pode reduzir morbidade e custos, pois permite identificar dificuldades atempadamente e assim, uma intervenção precoce (Rogers & Barber, 2017).

Detalharemos, de seguida, as ferramentas utilizadas nesta investigação para avaliar a perceção dos doentes. O grupo de QdV da EORTC tem desenvolvido um amplo número de questionários para avaliar a QdV nos doentes oncológicos. O módulo QLQ-C30, composto por 30 itens, é geral para o cancro e depois existem diversos módulos de acordo com a localização e o tratamento. O módulo geral para o cancro é o QLQ-C30 e deve ser sempre aplicado em conjunto com o módulo da área específica. Este é composto por cinco escalas funcionais: física (5 itens),

funcional (2 itens), cognitiva (2 itens), emocional (4 itens) e social (2 itens); três escalas de sintomas: fadiga (3 itens), dor (2 itens), náusea e vomito (2 itens); uma escala de saúde global/QdV (2 itens) e seis itens isolados para avaliação de sintomas (dispneia, perda de apetite, insónia, obstipação, diarreia) e da perceção do impacto financeiro da doença (Aaronson et al., 1993; Fayers, Aaronson, Bjordal, Groenvold, Curran, & Bottomley, 2001). A cotação é realizada com uma escala de *likert* de quatro pontos, exceto nos itens da escala da saúde global/QdV, que é de sete pontos. Para todos deverá ser realizada uma conversão linear de 0 a 100. Um resultado elevado representa um nível alto dessa escala. Na escala funcional e na saúde global representam um resultado positivo, contudo na escala de sintomas revela um resultado negativo (Aaronson et al., 1993; Fayers, Aaronson, Bjordal, Groenvold, Curran, & Bottomley, 2001).

Para o CCP o módulo QLQ-HN37 (Bjordal & Kaasa, 1992) foi o primeiro, seguindo do QLQ-HN35 (Bjordal et al., 2000; Bjordal et al., 1999). Este último é considerado padrão para a avaliação da QdV nos doentes com CCP (Singer et al., 2019). Mais recentemente, por sugestão de utilitários e devido à evolução dos tratamentos (p.e. tratamento multimodal, terapias alvo, imunoterapia) foi revisto (Singer, Arraras, Baumann, et al., 2013; Singer, Arraras, Chie, et al., 2013) e atualizado na versão QLQ-HN43 (Singer et al., 2019; Singer et al., 2015). Esta última versão é composta por 12 escalas: dor na boca (4 itens), deglutição (4 itens), problemas com dentes (3 itens), boca seca e saliva espessa (2 itens), problemas com sentidos (2 itens), fala (5 itens), imagem corporal (3 itens), comer em público (4 itens), sexualidade (2 itens), problemas com ombros (2 itens), problemas de pele (3 itens) e medo de progressão (3 itens). Em adição, sete itens isolados para: problemas na abertura da boca, tosse, contacto social, edema no pescoço, perda de peso, problemas com cicatrização e problemas neurológicos. Todas as escalas e itens isolados são cotados de 1 a 4, sendo necessário converter para uma escala de 0 a 100, onde um valor alto representa um alto nível de sintomatologia ou dificuldade (Singer et al., 2019). Os resultados são de 0-100 (Bjordal et al., 1999), desta forma a interpretação do resultado global do QLQ-C30 segue uma direção positiva, ou seja, quanto maior a pontuação, melhor a QdV, já no QLQ-HN43 tem o sentido inverso, ou seja, quanto menor a pontuação, melhor a QdV. Como valor de ponto de corte foi definida uma diferença clinicamente relevante, quando o resultado apresenta uma diferença de 10% relativamente ao valor máximo do instrumentos, ou seja, de 10 pontos (Ringash et al., 2007).

Seguidamente serão abordados PROM para áreas funcionais da deglutição e fonação, tendo em conta que são os focos desta investigação.

Avaliação subjetiva da deglutição

Os utentes com CCP reportam, frequentemente, alterações físicas, funcionais e psicossociais (Ojo et al., 2012). O aumento da sobrevida e o bom estado funcional são os objetivos terapêuticos e desta forma, a QdV relacionada com saúde tornou-se um ponto-chave (Ojo et al., 2012; Rinkel et al., 2009). A seleção de um instrumento de medida pode ser árdua, pois o construto avaliado nem sempre é claro (Manduchi et al., 2022).

Nesta área os questionários específicos para avaliar a QdV relacionada com disfagia mais usados são: SWAL-QOL; MDADI; MDASI-HN; EAT-10 (de Oliveira Faria et al., 2021). Seguidamente detalha-se o SWAL-QOL, ferramenta adotada nesta investigação.

O SWAL-QOL mostrou ser um instrumento confiável e válido para avaliar o impacto da disfagia orofaríngea, decorrente de várias patologias (McHorney, Bricker, Kramer, et al., 2000; McHorney, Bricker, Robbins, et al., 2000; Rinkel et al., 2009), sendo que em doentes com CCP é o mais frequentemente utilizado para avaliar o impacto da disfagia na QdV (Jones et al., 2018). O SWAL-QOL é composto por três escalas (QdV geral, QdV relacionada com disfagia e sintomas) e 10 sub-escalas: comer (*burden*, duração, desejo, seleção de alimentos), comunicação, receio, saúde mental, impacto social, fadiga e sono, avaliadas através de 44 itens. As respostas seguem uma escala de *likert* de cinco pontos, que após transformação linear se obtêm resultados entre 0-100, onde valores mais baixos indicam pior QdV relacionada com disfagia (McHorney et al., 2002). O valor de ponto de corte do resultado global do SWAL-QOL é 14 pontos (94% sensibilidade e 84% especificidade), indicando que os problemas com a deglutição interferem com a QdV (Rinkel et al., 2016; Rinkel et al., 2009; Rinkel et al., 2014). As medidas de fluxo do bolo alimentar e as medidas do impacto da disfagia na QdV podem fornecer informação complementar acerca da experiência de viver com disfagia (McHorney et al., 2006). Este questionário tem versões para várias línguas, nomeadamente holandês (Bogaardt et al., 2009), português europeu (Antunes et al., 2015; Vieira et al., 2020), português do Brasil (Montoni et al., 2008; Portas et al., 2019), francês (Khaldoun et al., 2009), chinês (Lam & Lai, 2011), sueco (Finizia et al., 2012), espanhol (Zaldibar-Barinaga et al., 2013), alemão (Kraus et al., 2018), grego (Georgopoulos et al., 2018), italiano (Ginocchio et al., 2016), norueguês (Rivelsrud et al., 2019) e persa (Tarameshlu et al., 2017). Este instrumento permite uma ampla compreensão sobre tópicos específicos que outras ferramentas não possibilitam (Vieira & Antunes, 2017).

Avaliação subjetiva da fonação

A avaliação da fonação beneficia do uso de questionários validados para melhor compreensão dos problemas vocais e contribuem para a avaliação multidimensional (Behrman, 2005; Nawka et al., 2009; Patel et al., 2018). Questionários como: Voice Handicap Index (VHI); Speech Handicap Index (SHI); Voice-Related Quality of Life (V-RQOL); e a escala GRBAS, foram utilizados em alguns estudos (de Oliveira Faria et al., 2021) para avaliação do impacto das alterações vocais na QdV dos doentes.

As alterações de fonação, também significativas nesta população (Balaguer et al., 2020), têm sido avaliadas com recurso ao VHI (Soldatova & Mirza, 2019). A Sociedade Europeia de Laringologia propôs o uso deste questionário como parte integrante do protocolo de análise vocal multidimensional (Nawka et al., 2009). O VHI é uma escala específica com 30 itens, 10 por cada uma das três dimensões: funcional, física e emocional e uma como resultado global, analisados através de uma escala *likert* cinco pontos e cotadas de 0 (sem handicap vocal) a 4 (grande desvantagem vocal), com valores totais entre 0 e 120 (Guimarães & Abberton, 2004; Jacobson et al., 1997; Nawka et al., 2009). A escala física refere-se à produção do som da voz, a funcional à habilidade em comunicar em diferentes locais e a emocional aos aspetos emocionais da voz (Nawka et al., 2009). Uma das questões levantadas é a extensão do mesmo e por isso foi realizada uma validação internacional da versão reduzida (Nawka et al., 2009), utilizado na presente investigação. O VHI-9i mostrou-se uma versão muito próxima da versão completa evidenciando as suas propriedades psicométricas (Nawka et al., 2009), mantém as três dimensões: funcional, física e emocional e um item do resultado global, cotadas através de uma escala *likert* cinco pontos (cotado de 0 a 4) (Guimarães & Abberton, 2004; Jacobson et al., 1997; Nawka et al., 2009; Soldatova & Mirza, 2019; Verdonck-de Leeuw et al., 2008). A classificação de severidade do VHI-9i é realizada da seguinte forma: 0, como saudável e cotação entre 1 e 7; 1, como ligeira e cotação entre 8 e 16; 2 como moderada e cotação entre 17 e 26; e 3, como severa e cotação entre 27 e 36. O somatório dos pontos pode variar entre 0 (sem handicap vocal) a 36 (grande desvantagem vocal), onde um maior resultado, representa maior incapacidade (Caffier et al., 2021).

Capítulo II - Avaliação instrumental da disfonia e disfagia nos doentes com cancro de cabeça e pescoço e a perceção do doente: revisão sistemática

2.1. Abstract

Objective: Patients treated for head and neck cancer may experience compromised orofacial functions. Patient's perception has become a focus of research and clinical practice in the last decade. However, the relation between the two is not well-known. Therefore, we performed a systematic review to study the relation between patient's perception and instrumental assessment in dysphagia and dysphonia in head and neck cancer.

Method: Two independent researchers used the PubMed and CINHAL electronic databases to perform a SR, following the PRISMA diagram. All articles carried out with humans until August 2020 were included, based on the PICO strategy. Of the 3753 articles found, 25 matched the defined inclusion criteria. In the 1990s we found only one publication and, 12 articles in the last ten years, showing that the interest in this topic has increased.

Results: Studies designs (types of studies) were mostly cross-sectional (48%), and prospective (28%). Regarding the area of study, the majority were about swallowing (96%). Patients' perception was assessed using symptoms specific questionnaires, such as MDADI (26%) or SWAL-QOL (7%), head and neck cancer quality of life questionnaires (EORTC C30, H&NC35 and UW-QOL - 16%), or with dichotomic questions (23%). Instrumental assessments were performed with videofluoroscopy (77%) or fiber-optic endoscopic (23%). In the present systematic review, 68% of the included articles reveal a significant relationship between patients' perception and instrumental assessment. Main variables analyzed could be included into three groups: 1) oromotor skills, such as tongue control, residue, and efficient swallowing; 2) physiological measures, such as hyoid bone elevation, pharyngeal area, upper esophageal sphincter opening size, and bolus transit time; e 3) safety, such as aspiration.

Conclusion: The results of this systematic review show inconsistencies in the correlations between patients' perception and instrumental assessment. However, it was possible to provide some insights into several aspects that are significantly related. Findings such as swallowing residues and biomechanical changes show a clear relationship with patients' awareness. It's important to continue with this type of study and to analyze this issue in more detail to clarify the interceptions and the impacts of this disorder in clinical practice.

Key words: head and neck cancer, dysphagia, dysphonia, patient's perception, instrumental assessment, systematic review

2.2. Resumo

Objetivo: Doentes com cancro de cabeça e pescoço tratados, podem experienciar comprometimento de algumas funções orofaciais. A perceção do doente tem-se tornado foco de investigação e de prática clínica, na última década. No entanto, a relação entre ambos não é bem conhecida. Assim, realizou-se uma revisão sistemática com o intuito de estudar a relação entre a perceção do doente e a avaliação instrumental da disfagia e da disfonia, no cancro de cabeça e pescoço.

Método: Dois investigadores independentes utilizaram as bases de dados eletrónicas PubMed e CINHAL para realizar uma revisão sistemática, seguindo o diagrama PRISMA. Foram incluídos todos os artigos realizados em humanos, até agosto de 2020, com base na estratégia PICO. Dos 3753 artigos encontrados, 25 corresponderam aos critérios de inclusão definidos. Nos anos 90 apenas se encontrou uma publicação, contudo nos últimos dez anos foram identificados 12 artigos, mostrando que o interesse por este tema aumentou.

Resultados: Os tipos de estudos foram, maioritariamente, transversais (48%) e prospetivos (28%). Relativamente à área de estudo, a maioria foi sobre a deglutição (96%). A perceção dos doentes foi avaliada através de questionários específicos de sintomas, como o MDADI (26%) ou o SWAL-QOL (7%), questionários de qualidade de vida do cancro de cabeça e pescoço (EORTC C30, H&NC35 e UW-QOL - 16%), ou com perguntas dicotómicas (23%). As avaliações instrumentais foram realizadas por videofluoroscopia (77%) ou nasolaringoscopia (23%). Na presente revisão sistemática, 68% dos artigos incluídos revelaram uma relação significativa entre a perceção dos doentes e a avaliação instrumental. As principais variáveis analisadas foram incluídas em três grupos: 1) competências oromotoras, como controlo da língua, resíduo e deglutição eficiente; 2) medidas fisiológicas como, elevação do osso hioide, área faríngea, tamanho da abertura do esfíncter esofágico superior e tempo de trânsito do bolo; e 3) segurança, como aspiração.

Conclusão: Os resultados desta revisão sistemática mostraram inconsistências nas correlações entre a perceção dos doentes e a avaliação instrumental. No entanto, foi possível trazer alguns conhecimentos sobre diversos aspetos que estão significativamente relacionados. Achados tais como resíduos de deglutição e alterações biomecânicas demonstraram uma relação clara com a perceção dos doentes. É importante continuar com este tipo de estudos e analisar mais detalhadamente esta problemática, com o objetivo de esclarecer as interceções e os impactos

dessa perturbação na prática clínica.

Palavras-chave: cancro de cabeça e pescoço, disfagia, disfonia, perceção do doente, avaliação instrumental, revisão sistemática.

2.3. Introdução

Os tratamentos para cancro de cabeça e pescoço (CCP) produzem alterações sensoriais, disfunção motora e fibrose das membranas mucosas do trato aerodigestivo superior (Simental & Carrau, 2004). A avaliação instrumental permite a compreensão da fisiopatologia nestes doentes e o estabelecimento de protocolos de reabilitação, visando diminuir a aspiração, a morbidade e melhorando a nutrição e a hidratação, bem como a QdV (Simental & Carrau, 2004).

Os tratamentos para CCP, como cirurgia, radioterapia (RT) e quimioterapia (QT) contribuem para o aparecimento de efeitos colaterais a curto e longo prazo, que têm impacto na QdV, introduzindo a necessidade de melhores cuidados aos sobreviventes, num contexto de equipa multidisciplinar (Nekhlyudov et al., 2017). Mudanças na fonação e na deglutição, com medidas de QdV, permitem avaliar e controlar a eficácia dos resultados dos tratamentos para o CCP (Balaguer et al., 2020; Fung et al., 2005; Jones et al., 2018; Soldatova & Mirza, 2019; Su, 1997).

Existem alguns estudos que procuraram compreender melhor a relação entre a consciência/perceção dos doentes sobre as dificuldades em deglutir e alterações vocais com resultados da avaliação instrumental. No entanto, apenas foi observada a correlação entre a perceção dos doentes e a consistência alimentar e não com os aspetos fisiológicos (Pauloski et al., 2009). Outro estudo documenta que doentes com cancro da cavidade oral, faringe e laringe notam alterações na deglutição, mas não relacionam essas alterações com a fisiologia da deglutição (Pauloski et al., 2002). Nos distúrbios de fonação, em doentes com CCP, alguns estudos mostram uma relação entre os aspetos da avaliação acústica e a perceção do doente (Balaguer et al., 2020; de Bruijn et al., 2009), mas outros não (Balaguer et al., 2020; de Bruijn et al., 2011).

Alguns estudos já realizados nesta área revelaram discrepâncias entre a consciência da disfonia/disfagia e as medidas objetivas/fisiológicas (Kendall et al., 2014; Pauloski et al., 2002; Rogus-Pulia et al., 2015; Rogus-Pulia et al., 2014). Ou seja, os aspetos de avaliação instrumental nem sempre estão relacionados com a perceção do doente (Jones et al., 2018; Kendall et al., 2014; Rogers, 2016; Rogus-Pulia et al., 2015). Por isso, é importante combinar a avaliação objetiva e subjetiva (Rogers, 2016). Desta forma, não é clara a informação disponível sobre a relação entre medidas subjetivas e objetivas. Para além disso, não há uma revisão sistemática que explore esta relação na área da deglutição e da voz, permitindo uma

compreensão ampla sobre a relação entre a avaliação objetiva e subjetiva da voz e/ou deglutição.

2.4. Métodos

A presente revisão sistemática foi registada na PROSPERO com o registo CRD42022351349 e foi utilizada a metodologia PRISMA (*Preferred Reporting Itens for Systematic Reviews and Meta-Analyses*) (Moher et al., 2015).

i. Critérios de elegibilidade

Dois dos investigadores, por forma a elaborarem os critérios de inclusão e exclusão, realizaram uma longa troca de opiniões relativamente ao objetivo principal do estudo, tendo as divergências sido analisadas e resolvidas com um terceiro elemento, antes da criação da estratégia de pesquisa inicial.

Características dos artigos

1. Apenas os artigos na sua versão completa, submetidos a revisão por pares e publicados em revistas indexadas foram incluídos.

2. Foram considerados artigos escritos em inglês, francês, espanhol, português europeu e português do Brasil.

3. Outros textos de diferentes fontes, como teses de mestrado ou doutoramento não foram incluídos.

Características dos estudos

1. Participantes

a. Doentes com cancro de cabeça e pescoço.

b. Doentes com ≥ 18 anos; foram excluídos artigos com casos pediátricos.

c. Estudos realizados em animais ou cadáveres foram excluídos.

2. Resultados obtidos

a. Medidas apenas referentes à avaliação instrumental da deglutição e/ou voz foram excluídas.

b. Medidas apenas referentes, a instrumentos da avaliação da perceção da deglutição e/ou voz respondida pelos doentes apenas foram excluídas.

c. Medidas que estudam a relação entre a avaliação objetiva da deglutição e/ou voz e subjetiva das mesmas foram incluídas.

3. Tipos de estudo e metodologias

a. Coortes retrospetivos e prospetivos, casos-controlo e estudos transversais foram incluídos.

b. Estudos controlados randomizados e não randomizados foram incluídos.

c. Revisões sistemáticas, da literatura, meta-análises e artigos de opinião foram excluídos.

d. Não foram consideradas outras restrições no tipo de estudo, localização geográfica ou relativa à amostra.

ii. Fontes de informação

Por forma a reunir todos os estudos sobre a relação entre a avaliação objetiva e subjetiva da deglutição e da voz em doentes com cancro de cabeça e pescoço, dois autores executaram uma pesquisa eletrónica nas bases de dados PubMed/Medline e CINHAL. A pesquisa bibliográfica, baseada na estratégia do PICO, foi realizada em agosto de 2020.

iii. Estratégia de pesquisa

A tabela 2 mostra a listagem dos termos estandardizados da pesquisa e as palavras-chave, por meio de termos MESH, que foram utilizadas para identificar potenciais estudos relevantes nas bases de dados.

Tabela 2 - Estratégia de pesquisa e termos utilizados.

((((((((((((((((((((((((((((((head and neck neoplasm) OR (head and neck cancer)) AND (deglutition disorders)) OR (swallowing)) OR (oropharyngeal dysphagia)) OR (deglutition)) AND (dysphonia)) OR (voice)) OR (voice quality)) OR (voice disorders)) OR (dysphonia)) AND (perception/physiology)) OR (patient outcome assessment)) OR (Patient Reported Outcome Measures)) OR (surveys and questionnaires)) OR (quality of life)) OR (health related quality of life)) OR (HRQL)) OR (QRQoL)) OR (QoL)) AND (endoscopy)) OR (fiber optic technology)) OR (FEES)) OR (FESST)) AND (fluoroscopy)) OR (VFSS)) OR (VFS)) OR (MBS)) OR (barium swallow*)) NOT (esophag)

iv. Seleção dos estudos

A seleção dos estudos foi realizada depois da pesquisa inicial, na seguinte ordem:

1. Referências duplicadas foram removidas usando o End note web®;

2. O título e o *abstract* dos restantes artigos foram analisados de acordo com os critérios de elegibilidade por dois autores, de forma independente. Nesta fase os estudos foram excluídos se a amostra do estudo fosse constituída por:

a. crianças, animais ou cadáveres;

b. alterações funcionais decorrentes do cancro de cabeça e pescoço que não deglutição e/ou voz;

c. redigidos em outra língua que não inglês, francês, espanhol, português europeu e português do Brasil; e

d. revisões sistemática e editoriais.

3. A revisão do texto completo dos estudos incluídos na fase de análise do título e *abstract* e as listas de referências foram avaliadas independentemente por um dos autores de acordo com critérios de elegibilidade de inclusão e exclusão. Os estudos foram removidos se não obedecessem aos tipos de estudo, se as medidas avaliadas não incluíssem avaliação instrumental e subjetiva simultaneamente da deglutição e/ou voz. Para avaliar a confiabilidade da triagem dos estudos selecionados 20% foram selecionados independentemente pelo segundo

autor para avaliação em relação aos critérios de elegibilidade. Em caso de divergência entre os dois autores, um terceiro revisor independente resolveu a discordância.

v. Dados extraídos dos estudos analisados

Dois autores construíram uma lista de entradas de dados que foram considerados significativos para obter uma revisão confiável. Os dados de cada estudo selecionados foram:

1. Estudo: ano de publicação, local do estudo, tipo de estudo, tamanho da amostra.

2. Participantes: localização topográfica dos tumores.

3. Tipo de avaliação instrumental da deglutição e/ou voz, informação referente a aquisição de imagem, variáveis avaliadas, número de tentativas, viscosidade, quantidade administrada, escala de classificação utilizada.

4. Instrumento de avaliação subjetiva da deglutição e/ou voz e suas respetivas escalas.

5. Resultados principais com significância estatística, onde o valor de *p* fosse descrito.

vi. Qualidade da evidência

As recomendações da American Speech-Language-Hearing Association (ASHA) (Association, 2021) foram utilizadas para classificar o nível de evidência dos estudos incluídos. Os dois autores fizeram a revisão da qualidade da evidência de cada estudo, de acordo com a ASHA e decidiram um nível de evidência para cada estudo. Conflitos e divergências entre os autores foram discutidos e resolvidos por um terceiro autor.

2.5. Resultados

i. Seleção dos estudos

Utilizando as palavras MESH, 3423 artigos foram encontrados na Pubmed/Medline e 337 na CINHAL. Após a primeira análise, a partir do título e do resumo, sete artigos eram repetidos e 3702 artigos não correspondem aos critérios estabelecidos. Os investigadores analisaram, para elegibilidade, o texto completo de 51 artigos e 39 foram excluídos. Da lista de referências, 13 artigos foram considerados para a revisão final, terminando com 25 que correspondiam aos critérios de inclusão definidos, sendo incluídos na revisão sistemática. Os critérios de exclusões estão representados no diagrama de fluxo PRISMA (Figura 1).

ii. Descrição dos estudos

O número total de sujeitos com CCP incluídos nos 25 artigos foi 2433, com um mínimo de 18 e máximo de 386. Nos anos 90 apenas foi encontrada uma publicação e nos últimos dez anos 12 artigos, mostrando um crescente interesse neste campo. Os tipos de estudo foram principalmente transversais (n=12; 48%) e prospetivos (n=7; 28%), quatro foram retrospetivos e um randomizado controlado e um estudo de caso. No que respeita à área estudada, todos exceto um eram sobre a área da deglutição (n=24; 96%). A perceção dos doentes foi avaliada por questionários específicos para avaliação dos sintomas, como o MDADI (n=8; 26%) ou o SWAL-QOL (n=2; 7%), questionários que avaliam a QdV nos doentes com CCP (EORTC C30 e H&NC35, UW-QOL - n=5; 11%), ou com questões de resposta dicotómica (n=7; 23%). Estes resultados mostram heterogeneidade em relação às formas de avaliação subjetiva utilizadas, o que torna difícil a comparação de resultados. A avaliação instrumental foi realizada sobretudo por meio de videofluoroscopia da deglutição (VFS) na maioria dos artigos (n=20; 77%) ou por videoendoscopia da deglutição (VED) (n=6; 23%). A maioria dos estudos foram desenvolvidos na América do Norte (n=12), na Europa (n=9), na Ásia (n=2) e na América do Sul (n=1). Alguns estudos tinham um grupo controlo (n=7; 28%) e outros apenas um grupo (n=18; 72%). Através desta RS, 68% (n=17) dos artigos incluídos revelaram uma relação entre a perceção do doente e a avaliação instrumental (Tabelas 3, 4). No anexo I a tabela 79 descreve os procedimentos das avaliações instrumentais, no que respeita à aquisição, variáveis avaliadas, número de tentativas, viscosidade, quantidade administrada e escala de classificação utilizada.

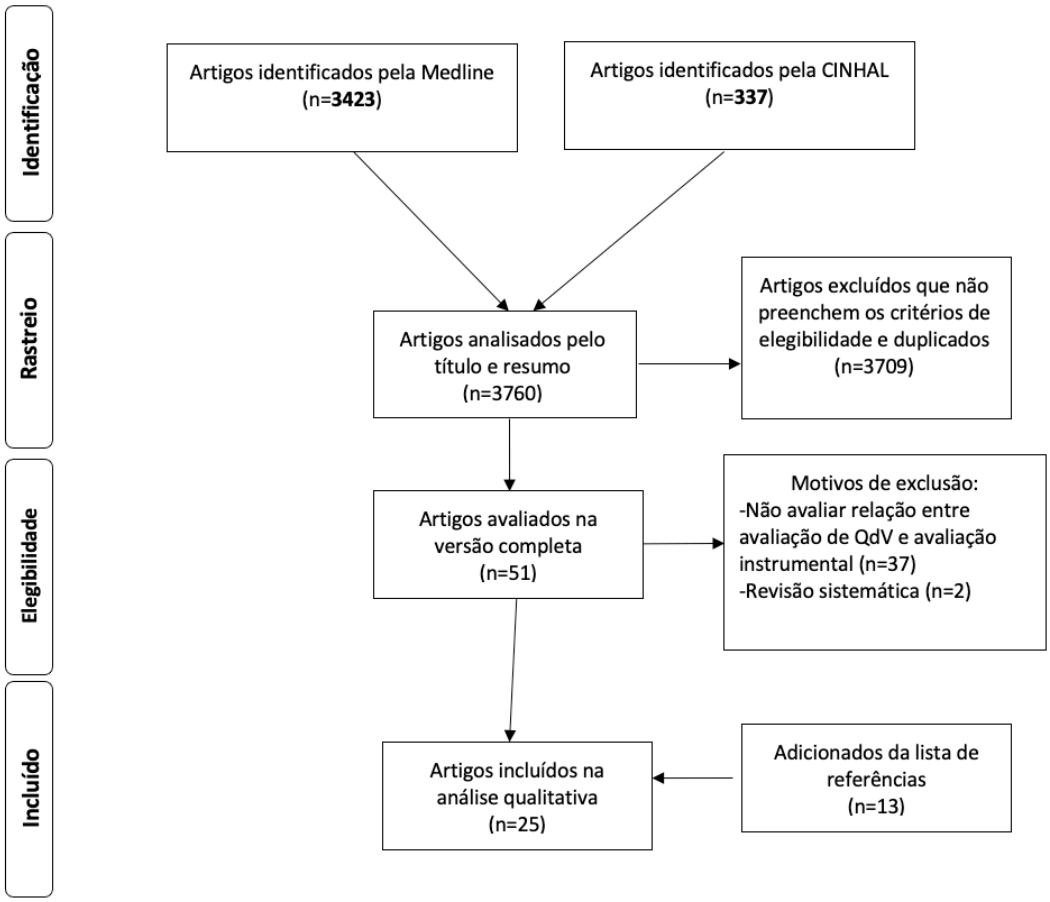
Pela análise detalhada dos resultados obtidos (Tabela 5) podemos concluir que os principais sinais biomecânicos que atingem uma relação estatisticamente significativa entre a avaliação objetiva e subjetiva podem ser divididos em três categorias (Figura 2):

1) *Medidas fisiológicas:* tempo de trânsito oral, tempo de trânsito faríngeo, duração da deglutição total, área faríngea, elevação do osso hioide, tamanho de abertura de esfíncter esofágico superior (EES) e eficiência da deglutição orofaríngea (OPSE).

2) *Habilidades oromotoras:* deglutição fragmentada/múltipla, resíduo e controle lingual.

3) *Aspetos de segurança:* aspiração e penetração.

Figura 1 - Diagrama de fluxo PRISMA usado na seleção dos artigos.



.

Tabela 3 - Descrição dos estudos incluídos.

Nível evidência	Autor(es)(A), País	N (características)	Avaliação		Conclusões dos autores/achados chave
			Subjetiva	*Objetiva*	
Retrospetivo					
2++	(Li et al., 2019), China	334 CCP: 143 com disfagia por RT (casos), 191 sem disfagia por RT (controlos)	WHOQOL-BREF	VFS Classificado com: VDS	Os resultados da escala disfagia por videofluoroscopia (VDS) mostraram correlação com WHOQOL-BREF
2-	(Andrade et al., 2017), Brazil	39CCP: 16 cavidade oral, 10 orofaringe, 5 hipofaringe, 8 laringe	MDADI	VFS; PAS	Volumes, penetração, aspiração e aspiração silenciosa mostraram correção com MDADI
3	(Jackson et al., 2016), USA	81CCP: 38 orofaringe, 19 cavidade oral, 12 laringe, 4 glândulas salivares, 3 nasofaringe, 2 hipofaringe, 2 seios perinasais, 1 outro	VHNSS	VFS; FEES; NOMS; DOSS	Resultado da escala deglutição/nutrição do VHNSS mostraram correlação com NOMS e DOSS Nível 5 da DOSS foi ponto de corte
2+	(Florie et al., 2016), Netherlands	63CCP: 4 nasofaringe, 16 orofaringe, 9 hipofaringe, 12 laringe, 11 cavidade oral, 1 cavidade nasal, 7 outro, 3 não conhecido	MDADI	FOIS; FEES	Deglutições múltiplas, resíduo valecular pós deglutição mostrou correlação com MDADI
2++	(Rogus-Pulia et al., 2014), USA	21 CCP: 3 nasofaringe, 1 hipofaringe, 1 não conhecido, 16 orofaringe, 21 saudáveis	12 questões relacionadas com função de deglutição	VFS	O item “Eu tenho dificuldades em engolir” correlacionou-se com eficiência deglutória (OPSE)
2++	(Mortensen et al., 2013), Denamark	259 CCP (laringe, faringe, cavidade oral)	EORTC QLQ-C30 EORTC H&NC35	VFS	Dados de QdV não mostraram correlação com medidas objetivas
1-	(van der Molen et al., 2009), Netherlands	55CCP: 5 cavidade oral, 24 orofaringe, 19 laringe/hipofaringe, 7 nasofaringe	EORTC C30 EORTC H&NC 35	FOIS; VFS; PAS	Resultado da PAS não mostrou correlação com perceção do doente dos problemas em deglutir
2+	(Hutcheson et al., 2008), USA	40 CCP: 1 subglótico, 12 glótico, 27 supraglótico	Disfagia auto-relatada pelo doente	VFS	Resultados das medidas objetivas não se correlacionaram com disfagia reportada pelo doente

Nível evidência	Autor(es)(A), País	N (características)	Avaliação		Conclusões dos autores/achados chave
			Subjetiva	*Objetiva*	
2-	(Teguh et al., 2008), Netherlands	56CCP: 24 orofaringe, 16 amígdalas, 16 base da língua	PSS EORTC H&N35 MDADI	FEES	Resultado da FEES (especial "penetração da bolacha "cracker"" e resíduo de "iogurte") correlacionaram bem com questionários de QdV Resultado da FEES mostraram correlação com questões de QdV relacionadas com deglutição de "puré" e "sólidos"
2++	(Thomas et al., 2008), UK	77CCP: 13 orofaringe, 16 palato mole, 26 base da língua, 44 fossa amigdalina, 1 outro	UW-QOL MDADI SWAL-QOL	FEES; PAS	Avaliação FEES não se correlacionou bem com medidas subjetivas
1-	(Ding & Logemann, 2008), USA	103: 24 défice estruturais (15CCP); 30 doenças neurológicas; 49 condição médica geral	4 questões dicotómicas	VFS	Correlação moderada entre a auto-perceção do doente e achados da VFS para doenças neurológicas e moderada para défices estruturais
2-	(Jensen et al., 2007), Denamark	35CCP: 2 nasofaringe 30 orofaringe, 3 hipofaringe	EORTC C30 EORTC H&N35	FEES; PAS	Questões de QdV não se correlacionaram com medidas de FEES
2++	(McHorney et al., 2006), USA	100CCP; 286 etiologia neurológica ou outra	SWAL-QOL SWAL-CARE	VFS; PAS	SWAL-QOL e SWAL-CARE relacionaram-se com medidas de fluxo do bolo alimentar, tempo de trânsito oral e tempo total da deglutição, tempo de trânsito faríngeo
3	(Campbell et al., 2004), USA	62 não laringectomizados: a) 22 com aspiração: 13 orofaringe, 7 cavidade oral, 3 hipofaringe, 4 laringe, 0 outro; b) 23 sem aspiração: 10 orofaringe, 9 cavidade oral, 2 hipofaringe, 11 laringe, 3 outros	UW-QOL PSS-HN FACT-G FACT-HN	VFS; OPSE	Item mastigação e deglutição do UW-QOL, normalidade da dieta do PSS-HN e FACT-HN apresentaram associação com a presença de aspiração avaliada pela VFS
1-	(Hughes et al., 2000), Australia	50CCP	Questionário ao doente: histórico sobre alimentação e deglutição	VFS	Questionário do doente não se correlacionou com VFS
2-	(Baker et al., 1991), USA	18CCP: 11 cavidade oral, 7 orofaringe	Questionário de perceção de problemas de deglutição	VFS	VFS não se correlacionou com descrições de problemas de deglutição relatadas pelos doentes

Nível evidência	Autor(es)(A), País	N (características)	Avaliação		Conclusões dos autores/achados chave
			Subjetiva	*Objetiva*	
2-	(Nguyen et al., 2005), USA	104CCP: 71 casos (29 orofaringe, 19 laringe, 6 hipofaringe, 3 nasofaringe, 10 cavidade oral, 4 desconhecido);; 31 controlos (8 orofaringe, 12 laringe, 1 hipofaringe, 0 nasofaringe, 7 cavidade oral, 2 desconhecido, 1 seios piriformes)	UW-QOL HAD	VFS; Escala de performance da deglutição	Alterações na VFS foram significativamente associadas com pobre QdV
Prospetivo					
2++	(Hedström et al., 2018), Sweden	118CCP: 63 amígdalas, 23 base da língua, 24 laringe, 8 hipofaringe	DESdC	VFS; PAS	Dificuldades de deglutição relatadas pelos doentes mostraram correção com VFS e PAS
1-	(Meyer et al., 2017), USA	168 CCP: 14 cavidade oral, 17 nasofaringe, 78 orofaringe, 23 hipofaringe, 22 laringe, 18 outros	HNCI PSS	VFS; PAS	Resíduo oral e faríngeo correlacionado com QdV
2-	(Pedersen et al., 2016), UK	173 CCP: 70 orofaringe, 20 hipofaringe, 62 laringe, 6 nasofaringe, 15 desconhecido	MDADI PSS	FEES; PAS; Teste deglutição de água	Correlação fraca entre MDADI e PAS Dificuldades de deglutição relatadas pelos doentes não se correlacionou com FEES e PAS
2++	(Yang et al., 2015), Republic Corea	191CCP: 46 cavidade oral, 58 orofaringe, 57 laringe, 30 hipofaringe	MDADI	VFS	Variáveis de controlo da língua e resíduo valecular mostraram-se correlacionadas com MDADI
2++	(Kendall et al., 2014), USA	62CCP: 31 orofaringe, 10 base da língua, 13 amígdalas, 3 epiglote, 2 faringe lateral, 3 desconhecido	MDADI UW-QOL	VFS	Não foram encontradas correlações entre QdV e medidas objetivas Área faríngea, tempo de trânsito faríngeo, elevação do hioide e tamanho da abertura do EES mostrou correlação com MDADI e UW-QOL
2++	(Schwartz et al., 2010), USA	48CCP	MDADI PSS	VFS; PAS; OPSE	MDADI correlacionou-se de forma fraca com OPSE

Nível evidência	Autor(es)(A), País	N (características)	Avaliação		Conclusões dos autores/achados chave
			Subjetiva	*Objetiva*	
2+	(Markkanen-Leppänen, Isotalo, Mäkitie, Rorarius, et al., 2006), Finland	44CCP: 28 cavidade oral, 13 orofaringe, 3 hipofaringe	UW-QOL	VFS	Aspiração não silenciosa foi significativamente correlacionada com habilidade de deglutição percebida pelo doente, enquanto a aspiração silenciosa não
2++	(Pauloski et al., 2002), USA	132CCP: 10 cavidade oral, 83 faringe, 31 laringe, 8 desconhecido	Queixas dos doentes	VFS; OPSE	Queixas de deglutição do doente correlacionaram com eficiência da deglutição, tempo de trânsito oral e faríngeo, resíduo oral e faríngeo e deglutições com aspiração

UW-QOL = University Washington Quality of life; PAS= penetration aspiration scale; SWAL-QOL-Swallowing quality of life questionnaire; SWAL-CARE = Swallowing care questionnaire; FEES=Fiberoptic endoscopic evaluation of swallowing; VFS = Videofluoroscopy study; MDADI=MD Anderson Dysphagia Inventory; OPSE = oropharyngeal swallowing efficiency; PSS -HN=Performance status scale for head and neck cancer; FACT-G= Functional Assessment of Cancer Therapy - General; FACT-HN = Functional Assessment of Cancer Therapy - Head & Neck; EORTC-QOL C30 = European Organisation for Research and Treatment of Cancer quality of life – module C30 =; EORTC-QOL H&N35 = European Organisation for Research and Treatment of Cancer quality of life head and neck module 35; FOIS= functional oral intake scale; VHNSS= Vanderbilt Head and Neck Symptom Survey; NOMS= National Outcomes Measurement System; DOSS= dysphagia outcome severity scale; CCP = head and neck cancer; QOL = quality of life; RT = radiotherapy; CT = chemotherapy; CRT = chemoratiotherapy; IMRT = intensity modulated radiotherapy; DEsDC = Drinking, Eating, Swallowing, Coughing

Tabela 4 - Avaliação subjetiva e objetiva: resumo de resultados.

Autor(es)(A), País	N	Relação estatística	Avaliação subjetiva														Avaliação objetiva	
			WHOQOL-BREF	SWAL-QOL	SWAL-CARE	FACT-G	FACT-HN	CCPI	MDADI	VHNSS	PSS-HN	Questões doente	EORTC QOL-C30	EORTC H&N35	UW-QOL	HAD	VFS	FEES
Retrospetivo																		
(Rogus-Pulia et al., 2014), USA	42	+										X					X	
(Li et al., 2019), China	334	+	X														X	
(Andrade et al., 2017), Brazil	39	+							X								X	
(Jackson et al., 2016), USA	81	+								X							X	X
(Florie et al., 2016), Netherlands	63	+							X									X
(Mortensen et al., 2013), Denamark	259	-											X	X			X	
(van der Molen et al., 2009), Netherlands	55	-															X	
(Hutcheson et al., 2008), USA	40	-										X					X	
(Teguh et al., 2008), Netherlands	56	+							X		X		X	X				X
(Thomas et al., 2008), UK	77	-		X					X						X			X
(Ding & Logemann, 2008), USA	103	+/-										X					X	
(Jensen et al., 2007), Denamark	35	-											X	X				X
(McHorney et al., 2006), USA	386	+/-		X	X												X	
(Campbell et al., 2004), USA	62	+/-				X	X				X				X		X	
(Hughes et al., 2000), Australia	50	-										X					X	
(Baker et al., 1991), USA	18	-										X					X	
(Nguyen et al., 2005), USA	104	+													X	X	X	
Prospetivo																		
(Hedström et al., 2018), Sweden	118	+										X					X	
(Meyer et al., 2017), USA	168	+						X									X	
(Pedersen et al., 2016), UK	173	+							X		X							X
(Yang et al., 2015), Republic Corea	191	+							X								X	
(Kendall et al., 2014), USA	62	-							X						X		X	
(Schwartz et al., 2010), USA	48	+/-							X		X						X	
(Markkanen-Leppänen, Isotalo, Mäkitie, Rorarius, et al., 2006), Finland	44	+/-													X		X	
(Pauloski et al., 2002), USA	132	+										X					X	

UW-QOL = University Washington Quality of life; SWAL-QOL-Swallowing quality of life questionnaire; SWAL-CARE=Swallowing care questionnaire; FEES=Fiberoptic endoscopic evaluation of swallowing; VFS = Videofluoroscopy study; MDADI=MD Anderson Dysphagia Inventory; PSS-HN=Performance status scale for head and neck cancer; FACT-G= Functional Assessment of Cancer Therapy - General; FACT-HN= Functional Assessment of Cancer Therapy - Head & Neck; EORTC-QOL C30 = European Organisation for Research and Treatment of Cancer quality of life – module C30 =; EORTC-QOL H&N35 = European Organisation for Research and Treatment of Cancer quality of life head and neck module 35; VHNSS= Vanderbilt Head and Neck Symptom Survey; CCPI = Head Neck Cancer Inventor

Tabela 5 - Associações entre variáveis da avaliação subjetiva e objetiva: resultados detalhados.

Avaliação subjetiva	**Avaliação objetiva**	
	VFS	**FEES**
WHOQOL-BREF (Li et al., 2019)		
Saúde física (7itens)	+ com VDS**	
Saúde psicológica (6 itens)	+ com VDS**	
Relações sociais (4 itens)	+ com VDS **	
Ambiente (9 itens)	+ com VDS **	
SWAL-QOL (McHorney et al., 2006)		
- Seleção dos alimentos	+* Penetração e aspiração para líquido e semissólido	
- *Burden*	+* Tempo de trânsito oral para líquido e penetração e aspiração para líquido; +* tempo de trânsito oral e tempo total de deglutição para semissólido	
- Saúde mental	+* Tempo de trânsito oral, penetração e aspiração para líquido; +* tempo de trânsito oral e total da deglutição para semissólidos	
- Funcionamento social	+* Tempo de trânsito oral para líquidos e penetração e aspiração para líquido; +* tempo de trânsito oral, faríngeo e total para semissólidos; e penetração e aspiração para semissólidos	
- Medo	- para líquidos; +* tempo de trânsito oral para semissólidos	
- Duração refeição	+* Tempo de trânsito oral, penetração e aspiração para líquidos;	
- Desejo de comer	+* tempo de trânsito oral e total para semissólidos; penetração e aspiração para semissólidos	
- Comunicação	+* Tempo de trânsito oral para líquidos e penetração e aspiração para líquidos; - para semissólidos	
- Sono	+* Tempo de trânsito oral e total para líquidos; +* tempo de trânsito oral, faríngeo e total para semissólidos	
- Fadiga	- para líquidos e semissólidos	
	+* Tempo de trânsito oral para líquidos; - para semissólidos	
SWAL-CARE (McHorney et al., 2006)		
- Informação clínica	+* Tempo de trânsito oral para líquidos;	
- Conselhos gerais	+* penetração e aspiração para semissólidos	
- Satisfação doentes	+* Tempo de trânsito oral para líquidos; - para semissólidos	
	+* Tempo de trânsito oral para líquidos; +* tempo de trânsito oral e total para semissólidos	
FACT-G + FACT-HN+UWQOL+PSS(Campbell et al., 2004)		
FACT-G+FACT-HN+UWQOL+PSS	+* Aspiração e itens de mastigação e deglutição do UWQOL, PSS - normalidade da dieta	
	+** Aspiração e FACT-H&N - preocupações adicionais	
HNCI (Meyer et al., 2017)		
- Fala	+* Resíduo oral 5mL líquido fino e 5 ml pudim; resíduo faríngeo com 5 ml néctar	

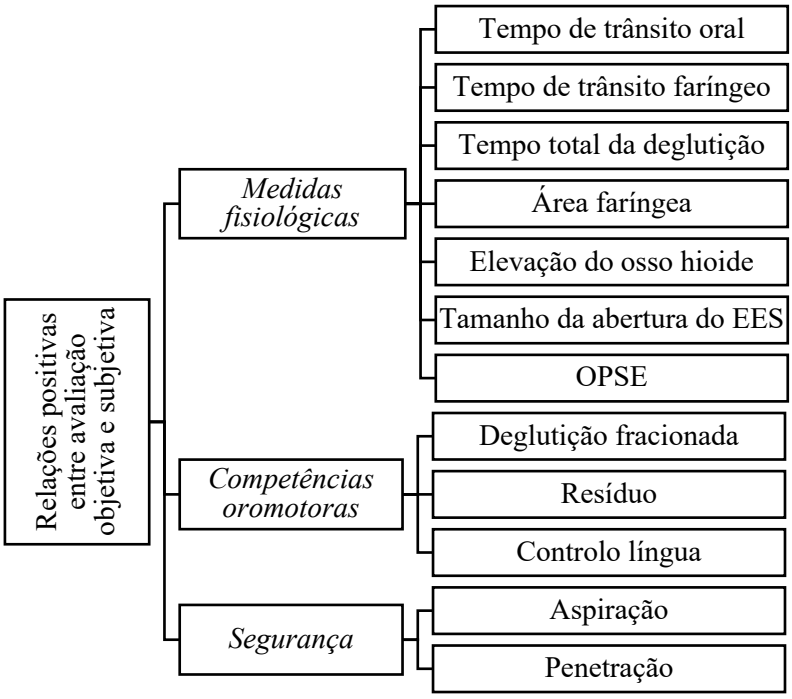
Avaliação subjetiva	Avaliação objetiva	
	VFS	**FEES**
- Comer - Estética - Relacionamento social	+* Resíduo oral 5mL líquido fino, néctar e pudim; resíduo faríngeo com 5 ml pudim - com PAS +*PAS com 5mL pudim; resíduo oral com 5 ml de pudim	
MDADI (Yang et al., 2015)		
- Resultado total - Avaliação global - Emocional - Funcional - Físico	+ controlo da língua* + controlo da língua e resíduo valecular* + controlo da língua* + controlo da língua e resíduo valecular* + controlo da língua*	
- Resultado total (Schwartz et al., 2010)	- OPSE	
- Resultado total (Pedersen et al., 2016)		+/- Classificação PAS
(Andrade et al., 2017) - Avaliação global - Emocional - Funcional - Físico - Resultado média	- Para 5ml néctar +* Penetração e aspiração para 20 ml néctar +* Penetração para 5ml néctar +* Penetração e aspiração para 20 ml néctar - Para 5ml néctar e para 20 ml néctar +* Penetração, aspiração, aspiração silenciosa para 5mL néctar +** Penetração para 20ml néctar +* Aspiração e aspiração silenciosa para 20ml néctar +* Penetração para 5mL néctar +* Penetração e aspiração para 20 ml néctar	
(Florie et al., 2016) - Avaliação global - Emocional - Funcional - Físico - Resultado total		+* Resíduo valecular após deglutição para líquido espesso - com medidas fisiológicas da deglutição +* Resíduo valecular após deglutição para líquido espesso +* Deglutição múltiplas para líquido espesso - com medidas fisiológicas da deglutição
(Kendall et al., 2014) - Resultado total MDADI - MDADI global - MDADI físico - UW-QOL	- com medidas fisiológicas da deglutição +* Área faríngea, elevação do osso hioide e tempo de trânsito do bolo para 1 ml de líquido +* Tempo de trânsito do bolo para 3ml líquido +*Tamanho da abertura do EES para 20 ml líquido +* Elevação do hioide para 1ml líquido +* Área faríngea para 3 ml líquido +* Área faríngea e tempo de trânsito do bolo para 3ml líquido	
(Teguh et al., 2008) - Resultado total - EORTC H&N35		+* Resíduo iogurte, penetração bolacha craker e resultado total FEES

Avaliação subjetiva	Avaliação objetiva	
	VFS	**FEES**
		+* Resíduo iogurte, penetração bolacha craker e resultado total FEES para sólidos +* Resíduo iogurte, penetração bolacha craker e resultado total FEES para puré
(Thomas et al., 2008) - Resultado total - SWAL-QOL - UWQOL		- com medidas fisiológicas da deglutição +** Avaliação FEES (exceto escala sono SWALQOL) +** Avaliação FEES com escala deglutição do UWQOL
VHNSS (Jackson et al., 2016)		
- Resultado deglutição/nutrição	+** com NOMS (sólido, líquido e nutrição DOSS (sólido, líquido e nutrição)	
Questões doentes		
(Hedström et al., 2018) - 4 questões dicotómicas relacionadas com dificuldades de deglutição (Beber, Comer, Engolir, Tossir)	+ com resultados da PAS	
(Pauloski et al., 2002) - 1 questão dicotómica relacionada com deglutição	+** OPSE - menor eficiência para 1, 3 e 5 ml líquido e bolo pastoso +** TTO - maior TTO para 3ml líquido e bolo pastoso +* TTF - maior TTF para 1 e 3 ml para líquido +* Maior resíduo oral para 1ml líquido e bolo pastoso +** % pior de resíduo faríngeo para todos os bolus, exceto 10ml líquido +**/* melhor % de aspiração para todos os bolus	
(Rogus-Pulia et al., 2014)- Série de 12 itens (7 escala likert) - Itens - Total	+** item de "dificuldade em engolir" com OPSE +*item "preciso de água para ajudar a descer a comida" com resíduo - com medidas fisiológicas da deglutição	
(Hutcheson et al., 2008)- Queixas do doente de disfagia (dicotómica)	- com medidas fisiológicas da deglutição	
(Hughes et al., 2000)- Questionário ao doente: histórico de comer e engolir (16 itens dicotómicos)	- com medidas fisiológicas da deglutição	
(Baker et al., 1991)- Questionário ao doente: 27 itens dicotómicos	+/- com medidas fisiológicas da deglutição	
(Ding & Logemann, 2008)- 4 questões	+** presença, localização e severidade das dificuldades em engolir +* Problemas estruturais (diagnóstico) +** Problemas gerais (diagnóstico) +* Problemas estruturais com localização da dificuldade em engolir +** Problemas globais com localização da dificuldade em engolir	

Avaliação subjetiva	Avaliação objetiva	
	VFS	**FEES**
	+** Problemas gerais com severidade da dificuldade em engolir	
(van der Molen et al., 2009)- Questionário Holandês específico para o estudo	- com classificação PAS	
(Jensen et al., 2007) EORTC QOL-C30 EORTC H&N35		- com medidas fisiológicas da deglutição - com medidas fisiológicas da deglutição +* Aspiração com problemas de deglutição reportados pelo doente com alimentos sólidos, escalas de deglutição, escala de comer e tosse
(Mortensen et al., 2013) EORTC H&N35 - Engolir - Comer social - Boca seca - Saliva pegajosa	- com medidas fisiológicas da deglutição	
UW-QOL		
(Markkanen-Leppänen, Isotalo, Mäkitie, Rorarius, et al., 2006)- Resultado global	+* Antes da cirurgia, 3 e 12 meses após +** 6 semanas e 6 meses após +* Aspiração com perceção do doente antes da cirurgia, após 6 semanas, após 6 e 12 meses +* Aspiração silenciosa com pobre perceção do doente antes da cirurgia	
(Nguyen et al., 2005) UW-QOL+HAD-QOL	+**Grupo com disfagia, exceto emprego no UWQOL +** Baixa QdV com aumento da severidade da disfagia	

* p<0.05; ** p<0.001; + variáveis subjetivas com diferenças estatisticamente significativas; - variáveis subjetivas sem diferenças estatisticamente significativas; +/- variáveis subjetivas pobres diferenças estatisticamente significativas
WHOQOL-BREF = World Health Organization Quality of Life Instruments - Bref; VDS = Videofluoroscopy Dypshagia Scale; SWAL-QOL-Swallowing quality of life questionnaire; SWAL-CARE=Swallowing care questionnaire; FEES=Fiberoptic endoscopic evaluation of swallowing; VFS = Videofluoroscopy study; FACT-G= Functional Assessment of Cancer Therapy - General; FACT-HN= Functional Assessment of Cancer Therapy - Head & Neck; UW-QOL = University Washington Quality of life; MDADI=MD Anderson Dysphagia Inventory; PSS-HN=Performance status scale for head and neck cancer; HNCI = Head and Neck Cancer Inventory; PAS = Penetration Aspiration Scale; EORTC-QOL C35 = European Organisation for Research and Treatment of Cancer quality of life - module C35; EORTC-QOL C30 = European Organisation for Research and Treatment of Cancer quality of life - module C30; VHNSS= Vanderbilt Head and Neck Symptom Survey; CCPI = Head Neck Cancer Inventor; HAD-QOL = Hospital Anxiety and Depression Questionnaires

Figura 1 - Mapa conceptual acerca dos resultados significativamente estatísticos entre as medidas da avaliação objetiva e subjetiva.



2.6. Discussão

Esta RS forneceu uma visão geral das evidências publicadas sobre a relação entre a avaliação subjetiva e objetiva da disfagia orofaríngea e a disfonia em doentes com CCP. Numa pesquisa extensa, apenas 25 estudos corresponderam aos critérios de inclusão. As avaliações subjetivas e objetivas mostraram alguns pontos de conexão. Esta relação pôde ser dividida em 1) medidas fisiológicas; 2) habilidades oromotoras; e 3) aspetos de segurança.

i. Medidas fisiológicas

Relativamente às medidas fisiológicas, alguns estudos mostraram diferenças estatisticamente significativas entre as medidas subjetivas e objetivas. Num estudo de Li e colaboradores verificou-se uma correlação forte entre medidas fisiológicas e avaliação da QdV, através do WHOQOL-BREF (Li et al., 2019). Quando utilizado o questionário SWAL-QOL foram mais evidentes as diferenças, no que respeita às medidas fisiológicas, como o tempo de trânsito oral para líquidos e o tempo de trânsito oral e tempo total de deglutição para semissólidos (McHorney et al., 2006). Quando analisadas as escalas, estas diferenças foram encontradas principalmente na relação com: *burden*, saúde mental, funcionamento social, receio, duração da refeição, desejo de comer e comunicação

(McHorney et al., 2006). Relativamente ao SWAL-CARE o parâmetro do tempo de trânsito oral para líquidos foi comum às três escalas (informação clínica, conselhos gerais e satisfação do doente) (McHorney et al., 2006). Quando utilizado o FACT-G e FACT-HN não se verificaram relações com as medidas fisiológicas (Campbell et al., 2004), tal como com o CCPI (Meyer et al., 2017), o MDADI, tanto na análise por escalas (Andrade et al., 2017; Florie et al., 2016; Yang et al., 2015), como pelo resultado total (Kendall et al., 2014; Pedersen et al., 2016; Schwartz et al., 2010; Teguh et al., 2008; Thomas et al., 2008) do SWAL-QOL (Thomas et al., 2008), do UW-QOL (Markkanen-Leppänen, Isotalo, Mäkitie, Rorarius, et al., 2006; Nguyen et al., 2005; Thomas et al., 2008), do VHNSS (Jackson et al., 2016) e do EORTC H&N35 (Jensen et al., 2007; Mortensen et al., 2013; Teguh et al., 2008). Contudo, noutro estudo, na análise por escalas do MDADI com a avaliação objetiva, encontraram-se diferenças significativas para as seguintes medidas fisiológicas: área faríngea, elevação do osso hioide, tempo de trânsito do bolo e tamanho da abertura do EES, bem como entre a escala física e a elevação do osso hioide e a área faríngea (Kendall et al., 2014). Quando aplicado o UW-QOL constataram-se diferenças nas variáveis: área faríngea e tempo de trânsito oral (Kendall et al., 2014). Nos estudos que utilizaram questões para aferir a presença de disfagia e alterações associadas, foi possível averiguar diferenças nas variáveis fisiológicas: eficiência da deglutição (OPSE), tempo de trânsito oral e faríngeo (Baker et al., 1991; Pauloski et al., 2002; Rogus-Pulia et al., 2014). Apesar disso, noutros não se verificou uma relação entre a avaliação objetiva e subjetiva (Ding & Logemann, 2008; Hedström et al., 2018; Hughes et al., 2000; Hutcheson et al., 2008; van der Molen et al., 2009).

Os resultados que evidenciaram diferenças estatisticamente significativas tendencialmente ocorreram quando se analisaram as variáveis da avaliação instrumental por videofluoroscopia (Kendall et al., 2014; Li et al., 2019; McHorney et al., 2006; Pauloski et al., 2002; Rogus-Pulia et al., 2014) e o SWAL-QOL e SWAL-CARE na avaliação subjetiva (McHorney et al., 2006). Assim, poderá ser possível uma melhor discriminação das diferenças e uma análise mais detalhada da função de deglutição.

ii. Competências oromotoras

Atendendo às competências oromotoras, o CCPI evidenciou diferenças nas variáveis resíduo oral e faríngeo nas consistências líquido, néctar e pudim (Meyer et al., 2017); da análise do resultado do MDADI, tanto na análise por escalas, como pelo resultado global

total, verificou-se uma relação com o controlo motor da língua e o resíduo valecular (Mortensen et al., 2013; Teguh et al., 2008; Yang et al., 2015), bem como com a deglutição fracionada (Mortensen et al., 2013); o EORTC H&N35 permitiu encontrar diferenças relativamente à presença de resíduo, tanto em sólidos como na consistência pudim (Teguh et al., 2008). Os estudos que recorreram a entrevista também mostraram diferenças para as variáveis: resíduo oral e faríngeo (Pauloski et al., 2002; Rogus-Pulia et al., 2014).

Da análise das variáveis respeitantes às competências oromotoras, as diferenças foram encontradas, tanto com recurso à videofluoroscopia (Meyer et al., 2017; Pauloski et al., 2002; Rogus-Pulia et al., 2014; Yang et al., 2015), como à videoendoscopia da deglutição (Mortensen et al., 2013; Teguh et al., 2008).

iii. Segurança

As variáveis relacionadas com a segurança na deglutição, ou seja, penetração, aspiração e aspiração silenciosa expuseram diferenças significativas, quando relacionadas com os resultados do SWAL-QOL nas escalas de seleção dos alimentos, *burden*, saúde mental, funcionamento social, duração da refeição e desejo de comer (McHorney et al., 2006). Estas diferenças também foram obtidas com o SWAL-CARE, na escala de informação clínica (McHorney et al., 2006). O questionário FACT-G mostrou diferenças na variável aspiração (Campbell et al., 2004), o UWQOL no item de mastigação e de deglutição e o PSS na escala de normalidade da dieta (Campbell et al., 2004). O resultado total do FACT-HN obteve relação estatisticamente significativa com a variável aspiração (Campbell et al., 2004). De mencionar ainda, diferenças na avaliação com o questionário UWQOL e o seu resultado total (Markkanen-Leppänen, Isotalo, Mäkitie, Rorarius, et al., 2006). A escala de Rosenbeck de penetração e aspiração (PAS) evidenciou diferenças com a escala do envolvimento social do CCPI (Meyer et al., 2017), com o resultado total do MDADI (Pedersen et al., 2016), bem como quando foi utilizada uma questão com resposta dicotómica acerca da presença de disfagia (Hedström et al., 2018; Pauloski et al., 2002). As diferenças ao nível da penetração e aspiração, bem como aspiração silenciosa foram ainda patentes com a avaliação subjetiva do MDADI, quando analisada por escalas e no seu resultado global (Andrade et al., 2017). Um outro estudo mostrou essa diferença, mas apenas no resultado total, na penetração de sólido (Teguh et al., 2008). Com o EORTC-H&N35, também na penetração de sólidos foram encontradas diferenças

(Jensen et al., 2007; Teguh et al., 2008).

Neste tópico das alterações referentes à segurança na deglutição, a maioria dos estudos enumerados recorreu à avaliação objetiva por videofluoroscopia da deglutição (Andrade et al., 2017; Campbell et al., 2004; Hedström et al., 2018; Markkanen-Leppänen, Isotalo, Mäkitie, Rorarius, et al., 2006; McHorney et al., 2006; Meyer et al., 2017; Pauloski et al., 2002; Pedersen et al., 2016).

Numa apreciação global dos achados descritos, verificou-se que a videofluoroscopia da deglutição, no doente com CCP, foi a avaliação instrumental mais frequentemente utilizada e com um número maior de dados face à comparação com instrumentos de avaliação subjetiva, no conjunto de artigos selecionados. Assim, para uma análise comparativa entre aspetos objetivos e subjetivos relacionados com a deglutição nestes doentes este foi o exame mais utilizado nos artigos incluídos nesta RS. Relativamente aos instrumentos de avaliação subjetiva, o SWAL-QOL e SWAL-CARE foram os que mostraram possibilidade de uma análise mais detalhada por escala e respetiva relação com os achados objetivos.

2.7. Limitações da revisão sistemática

Uma das limitações desta revisão foi a restrição das línguas. A literatura não indexada conduziu a que muitos artigos fossem excluídos. Outra restrição relacionou-se com a presença apenas de um artigo que abordava a área da voz, tornando-se esta uma área fulcral para aprofundar. Por outro lado, a grande quantidade de variáveis em cada um dos estudos e procedimentos utilizados na avaliação, tanto instrumental como dos questionários utilizados, bem como a amplitude do tamanho da amostra e características relacionadas com o tumor, não permitiu uma análise mais detalhada e comparativa dos resultados.

2.8. Conclusão

A avaliação da deglutição e da voz no doente com CCP, em ambiente clínico, privilegia a avaliação instrumental - videofluoroscopia ou videoendoscopia, na avaliação da deglutição e a laringoestroboscopia e a análise acústica na avaliação da voz. Nas últimas décadas verificou-se um aumento, tanto ao nível das publicações, como da prática clínica, do uso de instrumentos que avaliam a QdV, ou seja, a perceção do doente. Contudo, a relação entre ambas não é clara.

Esta RS permitiu compreender o estado atual no que respeita à relação entre a avaliação objetiva e subjetiva. Contudo, o número de artigos foi reduzido e muitos deles apresentavam limitações metodológicas. Por isso, os resultados desta RS não podem ser facilmente generalizados e comparados com outros, pela diversidade de características dos participantes, metodologias e avaliações utilizadas. Desta RS não se encontraram estudos que relacionassem as variáveis de avaliação objetiva e subjetiva em doentes com CCP ao nível da voz.

Os resultados desta RS mostraram inconsistências na relação entre a avaliação instrumental objetiva da deglutição e a perceção do doente (avaliação subjetiva). Apesar disso, foi possível encontrar alguns pontos chave relativamente a algumas variáveis que mostraram diferenças significativas. Variáveis como: aspiração e penetração, resíduos, controlo motor da língua, tempo de trânsito oral, faríngeo e total, área faríngea, elevação do osso hioide, abertura do EES e eficiência da deglutição (OPSE) são os parâmetros fisiológicos, biomecânicos e de segurança, que demonstraram uma maior relação com a perceção do doente.

A avaliação instrumental mais frequentemente utilizada foi a videofluoroscopia, especialmente para avaliação de medidas temporais, sinais de segurança e competências oromotoras. Ao nível da avaliação percetiva realizada pelo doente, o SWAL-QOL, o SWAL-CARE e o MDADI foram os questionários que permitiram um maior detalhe na relação objetivo vs. subjetivo.

Assim, torna-se fundamental a continuação deste tipo de estudos para uma melhor análise desta problemática para clarificar as interceções e o impacto destas na prática clínica, ao nível da deglutição e da voz.

Com vista à exequibilidade da presente investigação julgou-se pertinente restringir a localização tumoral aos tumores da orofaringe, especialmente porque se tem vindo a observar um aumento significativo destes casos (Zebralla, Wichmann, et al., 2021). Assim, nos próximos capítulos a população alvo foram doentes com cancro da orofaringe tratados com radio e quimioterapia, com intenção curativa.

Capítulo III - Perceção dos doentes com cancro da orofaringe e cuidadores formais da deglutição e da voz, após o tratamento com radio e quimioterapia

3.1. Abstract

Objective: Patient's and caregivers (ENT doctors and speech language pathologists) perception about the experience of living with dysphagia and dysphonia, after chemoradiotherapy for oropharyngeal cancer, has not extensively researched. This perception may play an essential role in patients care and politics measures. The aim of this study was to increase knowledge about the patient's and caregivers' perspective to elucidate the scientific community and promote changes in health care services.

Methods: A descriptive qualitative research, in a person-centered approach, was carried out to collect data in the form of semi-structured interviews of five patients who underwent curative treatment with speech language pathologists, five ENT doctors and five speech language pathologists, with experience in the treatment of these patients. Data were thematically analyzed by two independent investigators. Two themes emerged and several sub-themes were identified. The themes were "Swallowing and dysphagia" and "Voice and dysphonia".

Results: Results were discussed based on the literature, clinical implications, and recommended future research. Data illustrate the experience of living with dysphagia and dysphonia by the patients, ENT doctors and speech language pathologists, which seemed to be in accordance and have similar in their perceptions.

Conclusion: Collected data from patients', ENT doctors and speech language pathologists' perspective show to be positive and effective, evidencing the value data and increasing knowledge of the experience of living with dysphagia and dysphagia due to treatment for oropharyngeal cancer with chemoradiotherapy. The need for a holistic and patient-centered approach is important to understand their daily experience of living with dysphagia ana dysphonia in the various stages of the disease and the treatment.

Key words: head and neck cancer, dysphagia, dysphonia, patient's perception, healthcare professional's perception.

3.2. Resumo

Objetivo: A perceção do doente e dos cuidadores formais (otorrinolaringologistas e terapeutas da fala) sobre a experiência de viver com disfagia e disfonia em doentes após tratamento com quimioradioterapia, por cancro da orofaringe, não foi ainda amplamente pesquisada. Esta perceção poderá vir a ter um papel essencial na política e cuidados prestados aos doentes. Com este estudo pretendeu-se aumentar o conhecimento sobre a perspetiva dos doentes com cancro da orofaringe e dos profissionais de saúde, por forma a elucidar a comunidade científica e assim, promover mudanças nos serviços de saúde.

Método: Uma pesquisa qualitativa descritiva, numa abordagem centrada no doente, foi levada a cabo, para recolher dados na forma de entrevistas semi-estruturadas de cinco doentes que realizaram tratamento curativo com radio e quimioterapia, cinco otorrinolaringologistas e cinco terapeutas da fala, ambos com experiência no tratamento destes doentes. Os dados foram analisados por dois investigadores de forma independente. Dois temas emergiram e vários sub-temas foram identificados. Os temas foram "deglutição e disfagia" e "voz e disfonia".

Resultados: Os resultados foram discutidos com base na literatura e suas implicações clínicas e pesquisas futuras foram recomendadas. Os dados ilustram a experiência de viver com disfagia e disfonia na primeira pessoa e pelos otorrinolaringologistas e terapeutas da fala, que se mostraram concordantes e similares.

Conclusão: A recolha da perspetiva dos doentes, otorrinolaringologistas e terapeutas da fala, mostrou-se positiva e eficaz evidenciando dados valiosos para incrementar o aumento de conhecimento da experiência de viver com disfagia e disfonia após tratamento neste tipo de doentes. Salientou-se a necessidade de uma abordagem holística e centrada no doente por forma a destacar e compreender a experiência diária dos mesmos de viver com disfagia e disfonia, nas várias fases da doença e seu tratamento.

Palavras-chave: cancro de cabeça e pescoço, disfagia, disfonia, perceção do doente, perceção dos profissionais de saúde.

3.3. Introdução

A perceção do doente sobre a experiência de viver com cancro da orofaringe encontra-se pouco explorada, mas esta torna-se essencial para moldar e adequar a qualidade dos cuidados prestados e empoderar o doente ao longo desta fase. Nas últimas décadas têm sido efetuados diversos estudos acerca dos efeitos da radioterapia (RT) e quimioterapia (QT) nos doentes com cancro de cabeça e pescoço e respetivas dificuldades ao nível da deglutição e fonação (Checklin et al., 2020; Lazarus, 2009; Nund et al., 2015). Mais recentemente, tem crescido o interesse pelos resultados funcionais dos tratamentos não cirúrgicos (Nund et al., 2015; Nund et al., 2014).

A prevalência da disfagia e disfonia antes, durante e após os tratamentos com RT e QT fazem prever efeitos na QdV dos doentes, em todas as fases da doença e por um período prolongado no tempo (de Oliveira Faria et al., 2021; Nund et al., 2015; Nund et al., 2014). Assim, compreender os fatores que influenciam o dia-a-dia destes doentes tornou-se essencial (Nund et al., 2014). Contudo, quando analisada a perceção do doente e dos cuidadores formais alguns estudos encontraram discrepâncias (Constantinescu et al., 2017). Por isso, tornou-se crucial explorar todas as alterações na fonação e na deglutição de acordo com a perspetiva dos sobreviventes deste tipo de cancro, uma vez que a medição da disfagia e disfonia pode não evidenciar a função e o impacto de acordo com a experiência do doente por se tratar de um assunto individual e intrapessoal (Nund et al., 2015).

O conhecimento mais profundo e compreensivo desta temática será então vantajoso não só para os doentes, como também para os cuidadores formais, para que estes possam providenciar o apoio necessário, em todas as fases do tratamento (Nund et al., 2015). Este estudo pretendeu aumentar o conhecimento sobre a perspetiva dos doentes, com cancro da orofaringe e dos profissionais de saúde envolvidos. Desta forma, elucidar a comunidade científica e assim, promover mudanças nos serviços de saúde, para futuramente se poder vir a conseguir um atendimento holístico e mais precoce sobre a perspetiva destes três grupos, da experiência de viver com alterações da deglutição e da fonação.

3.4. Métodos

Para explorar de forma mais aprofundada a experiência de viver com disfagia e disfonia, por doentes com cancro da orofaringe submetidos a tratamento não-cirúrgico, tanto por parte dos sobreviventes como dos profissionais de saúde (ORL e TF) foi levada a cabo uma pesquisa qualitativa descritiva, numa abordagem centrada na pessoa. Tendo em conta o caráter individual, exploratório e subjetivo optou-se por uma abordagem fenomenológica para permitir aceder à experiência quotidiana, numa perspetiva individual (Patton, 2002). O estudo foi aprovado pela Comissão de Ética do Instituto Português de Oncologia Francisco Gentil - Porto (IPO-Porto) (Anexo II) e os participantes recrutados no serviço de otorrinolaringologia do IPO-Porto, tendo estes, dado por escrito, o seu consentimento para participar. No início do estudo, o guião da entrevista foi analisado por um painel de peritos, que concordaram como guião enviado e sem sugestões de alterações e depois administrado a um elemento de cada grupo (doente, TF e ORL). Todas as entrevistas foram conduzidas e gravadas pela investigadora e em regime presencial. As entrevistas foram realizadas num gabinete médico na clínica de cabeça e pescoço de ambulatório em dia de consulta de seguimento, sendo que na sala apenas estavam o entrevistado e a investigadora. O guião das entrevistas (Anexo IV) foi construído a partir de uma revisão da literatura bem como da prática clínica dos investigadores e foi constituído por questões abertas sobre um conjunto de tópicos relacionados com alterações da deglutição e da voz, em doentes que realizaram tratamento não cirúrgico e uma questão fechada relativa aos sintomas.

i. Amostra

Por forma a abranger a diversidade dos doentes oncológicos da orofaringe seguiu-se uma amostragem de variação máxima na qual todos os dados recolhidos foram considerados pertinentes, uma vez que captaram o núcleo e experiências centrais partilhadas pelos participantes (Patton, 2002). Os dados sociodemográficos recolhidos foram o sexo (masculino/feminino), a idade (em anos), a localização geográfica (distrito), a escolaridade (nível) e os meses desde o tratamento. Nos participantes cuidadores formais foram recolhidos dados referentes ao sexo (masculino/feminino), à idade (em anos), à localização geográfica (distrito) e aos anos de experiência profissional.

ii. Participantes

Doentes com cancro da orofaringe. Este primeiro grupo incluiu cinco doentes do IPO-Porto (4 homens, 1 mulher; com idades entre 49-64 anos), que realizaram QRT com intenção curativa por tumores da orofaringe, tendo terminado o tratamento entre 3 a 6 anos. Os critérios de exclusão utilizados foram: a) ter realizado tratamento cirúrgico; b) ter condição pré-tratamento com impacto na voz ou na deglutição (p.e. doença neurológica); c) paliativo, d) não dar consentimento informado; e) défice cognitivo ou dificuldades de compreensão da língua portuguesa.

Cuidadores formais. Os cuidadores formais recrutados para este estudo incluíram cinco médicos ORL (3 homens e 2 mulheres) e cinco TF (5 mulheres) com experiência hospitalar superior a quatro anos, no tratamento/contacto com doentes com cancro da orofaringe. Os critérios de exclusão foram: a) não exercer funções clínicas na área do estudo; b) não consentir participar. Detalhes da amostragem de variação máxima estão descritos na tabela 6.

iii. Procedimentos

Os doentes participaram mediante a realização de entrevista semi-estruturada individual e profunda com o investigador principal; os cuidadores formais responderam à entrevista via correio eletrónico. No início da entrevista foram elencados alguns tópicos para estimular a reflexão pessoal (Patton, 2002). Um guião de entrevista foi utilizado para garantir a uniformização e que todos os tópicos iriam ser abordados, procurando manter um estilo fluído nas entrevistas presenciais (Patton, 2002). Os participantes foram encorajados a falar livremente e a tecer comentários sobre alterações ao nível da voz e da deglutição que tivessem experienciado, tal como os cuidadores, relativamente aos casos por estes acompanhados, na sua prática clínica. As entrevistas presenciais tiveram a duração de 15 a 40 minutos, tendo sido gravada em áudio e transcrita textualmente para análise pela investigadora e conferidas por um segundo investigador (Braun & Clarke, 2006). No caso dos cuidadores formais, os mesmos responderam livremente ao guião da entrevista. A comissão de ética do IPO-Porto autorizou a realização deste estudo e cada participante deu o seu consentimento.

iv. Análise dos dados

As transcrições literais das entrevistas dos doentes e as respostas dos cuidadores formais foram analisadas em conjunto através de uma análise temática (Braun & Clarke, 2006). Foi seguida uma abordagem indutiva por forma a identificar padrões nos dados recolhidos e diretamente extraídos das entrevistas (Braun & Clarke, 2006; Patton, 2002). A codificação foi realizada com apoio do software NVivo®. Emergiu uma lista de categorias, que foram refinadas pelo segundo investigador até se obter consenso. Todas as transcrições das entrevistas foram recodificadas através da listagem de categorias e os temas desenvolvidos, tendo por base as relações entre as categorias (Braun & Clarke, 2006).

3.5. Resultados

O principal objetivo deste estudo foi investigar os pontos de vista e a experiência de viver com alterações de deglutição e da voz decorrentes dos tratamentos de QRT, tanto dos doentes com cancro da orofaringe, como dos TF e dos ORL que os acompanham. Os dados que resultaram das entrevistas semi-estruturadas foram utilizados para responder a esta questão. Nenhuma entrevista repetida foi realizada. Todos os intervenientes convidados a participar aceitaram o convite. Os dados revelaram-se ricos no relato das experiências de viver com alterações da deglutição e da voz. A tabela 6 apresenta os dados sociodemográficos. Cinco homens e uma mulher participaram no grupo dos doentes, nos TF eram todas mulheres e, no grupo de ORL, três homens e duas mulheres. Todos os doentes realizaram tratamento com QRT para cancro da orofaringe e os profissionais tinham na sua maioria experiência profissional no atendimento e acompanhamento destes doentes, superior a 5 anos.

Relativamente aos sintomas associados ao tratamento com QRT experienciado/elegidos pelos nossos participantes, os resultados descrevem-se no Gráfico 1. Rouquidão, ficar com comida presa na garganta, ter saliva ou expetoração espessas, engasgar-se ao beber líquidos e tossir foram as dificuldades apontadas mais frequentemente por todos os grupos (doentes, TF e ORL). Todos os sintomas, exceto vomitar foram elencados pela coorte do presente estudo.

A análise temática revelou dados relativos às alterações da deglutição e da voz e a experiência de viver com as mesmas, após tratamento não cirúrgico para tumor da orofaringe. Emergiram dois temas abrangentes a partir das entrevistas, detetados pelos dois investigadores, que captaram, as experiências dos doentes e dos cuidadores. O primeiro tema foi “deglutição e disfagia” e o segundo “voz e disfonia”, que foram transversais aos três grupos (doentes, TF e ORL) e que sustentam vários sub-temas (Figura 2). De acordo com a análise de frequência de palavras constitui-se uma nuvem de palavras, onde se observaram as ideias principais abordadas pelos participantes e que foram utilizadas na codificação, como engolir/deglutição, voz/vocal, dificuldade(s), vida, que permitiu constatar as palavras mais frequentemente mencionadas nas entrevistas (Figura 3).

Tabela 6 - Dados sociodemográficos dos participantes.

Dados sociodemográficos	Categoria	Doentes	TF	ORL
Sexo	Masculino	4	0	3
	Feminino	1	5	2
Idade	<50 anos	2	4	3
	>50 anos	3	1	2
Localização geográfica - distrito	Porto	1	2	3
	Braga	3	----	---
	Vila Real	1	----	----
	Faro	----	1	----
	Coimbra	-----	1	1
	Lisboa	-----	1	----
	Viana do Castelo			1
Tempo desde término tratamento	<4 anos	3	---- -	----
	>4 anos	2	---- -	----
Anos de experiência profissional	<5 anos	-----	1	0
	>5 anos	----	4	5

Gráfico 1 - Distribuição dos sintomas relacionados com deglutição e voz.

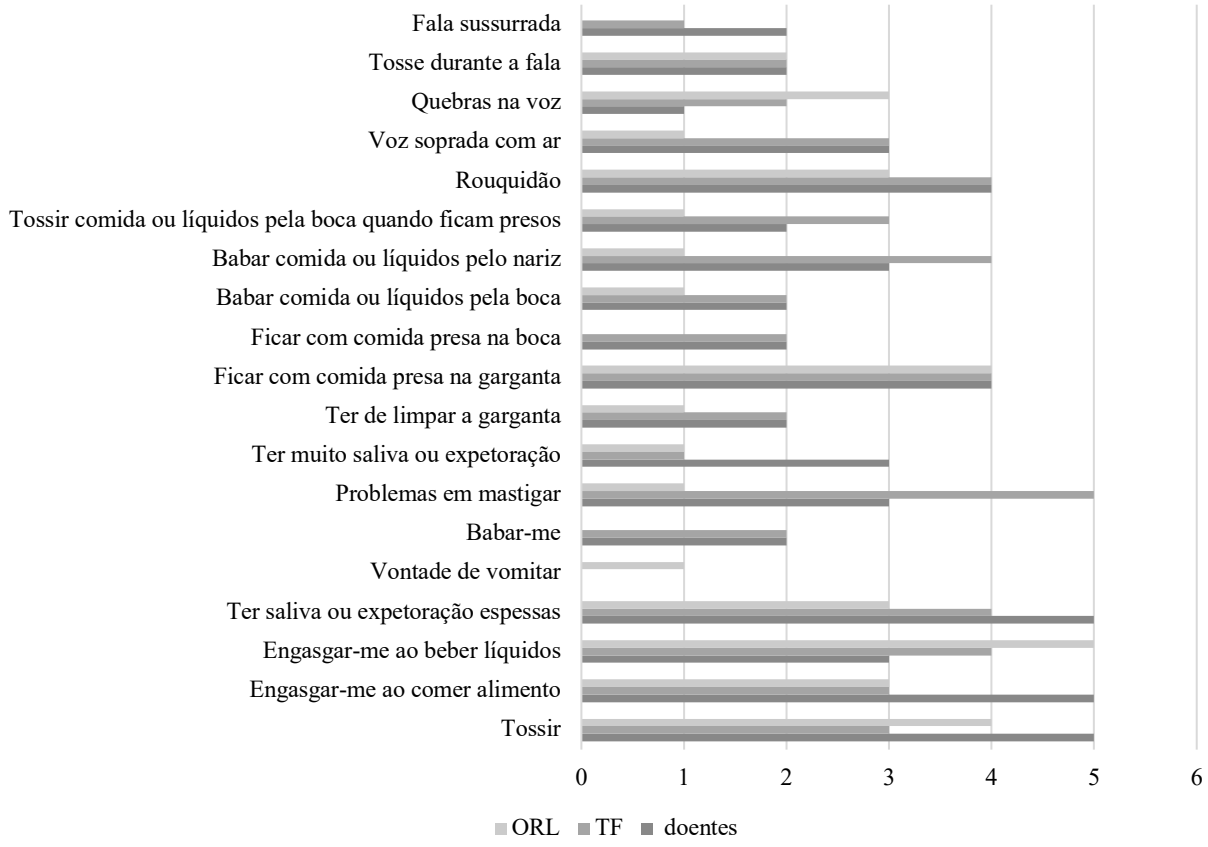


Figura 2 - Distribuição dos temas e sub-temas, resultantes da análise temática.

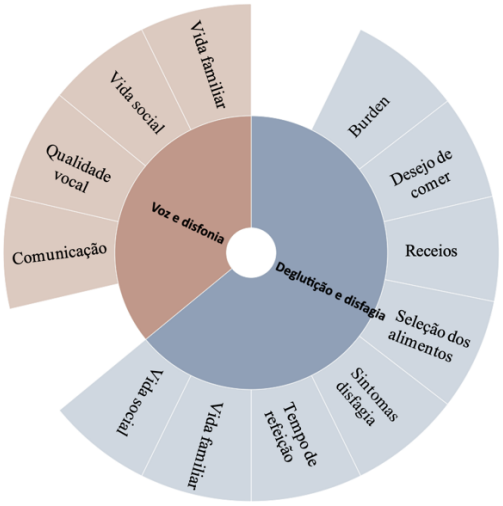
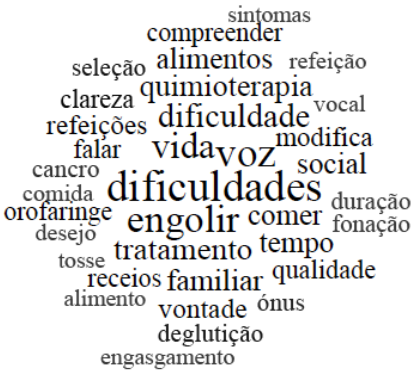


Figura 3 - Nuvem de palavras, resultante da análise temática.



Do processo de análise das entrevistas foram realizadas 273 codificações e destas, salientaram-se alguns tópicos mais frequentemente referenciados pelos participantes (maior cobertura), nomeadamente "deglutição e disfagia" e "*burden*", tanto para o grupo de TF e doentes, "sintomas disfagia", "comunicação" e "qualidade vocal" para os três grupos e "tempo de refeição" para o grupo de ORL (Tabela 7).

Tabela 7 - Número de referências e percentagem de cobertura por cada um dos códigos atribuídos.

Códigos	N.º referências				% de cobertura			
	ORL	TF	Doente	Total	ORL	TF	Doente	Total
Deglutição e disfagia	5	6	6	17	5,43	6,67	6,67	18,77
Burden	5	5	5	15	5,43	5,56	5,56	16,55
Seleção de alimentos	5	6	9	20	5,43	6,67	10	22,1
Desejo de comer	5	5	5	15	5,43	5,56	5,55	16,54
Receios	5	5	5	15	5,43	5,56	5,56	16,55
Sintomas disfagia	15	12	12	39	16,3	13,33	13,33	42,96
Tempo de refeição	6	5	5	16	6,52	5,56	5,56	17,64
Vida familiar deglutição	5	5	5	15	5,43	5,56	5,56	16,55
Vida social deglutição	4	5	5	14	4,35	5,56	5,56	15,47
Voz e disfonia	5	5	5	15	5,43	5,56	5,56	16,55
Comunicação	10	10	10	30	10,87	11,11	11,11	33,09
Qualidade vocal	12	12	9	33	13,04	13,33	10	36,37
Vida familiar voz	5	4	5	14	5,43	4,44	5,56	15,43
Vida social voz	5	5	5	15	5,43	5,56	5,56	16,55
Total	92	90	91	273	100	100	100	-----

Seguidamente descrevem-se os temas e sub-temas, com exemplos de respostas dos participantes.

i. Tema 1 - Deglutição e disfagia

Os participantes descreveram alterações ao nível da deglutição após tratamento com QRT, por cancro da orofaringe, que ao longo do tempo foram estando presentes, representando um dos temas desta análise temática. Neste primeiro tema emergiram oito sub-temas todos relacionados com a deglutição, sejam com a própria ação de engolir (sintomas), com a alimentação (seleção dos alimentos, tempo de refeição, desejo de comer) ou com o impacto (receios e *burden*) no seu dia-a-dia, tanto ao nível familiar como social. Nas tabelas 8 a 15 apresentam-se os resultados de forma mais detalhada. Abaixo ilustra-se a presença de alterações na deglutição referidas nos três grupos de participantes.

> ... depois do tratamento com radio e quimioterapia tive dificuldade em engolir... [D1]
> ... após o tratamento com radio e quimioterapia o doente com cancro da orofaringe apresenta dificuldades em engolir... [ORL1]
> ... de forma geral, após o tratamento com radio e quimioterapia o doente com cancro da orofaringe apresenta dificuldades em engolir... [TF1]

Sintomas de disfagia

O subtema "sintomas de disfagia" decorreu dos sintomas que os participantes mencionaram ao longo das entrevistas, relacionados com a dificuldade na progressão do bolo alimentar, com a quantidade e a qualidade da saliva, as alterações do paladar e do

olfato, a necessidade de recorrer a estratégias para facilitar a deglutição, com a saúde oral, a presença de sinais de alteração da segurança na deglutição e na formação do bolo alimentar (Tabela 8).

Tabela 8 - Descrições do sub-tema sintomas de disfagia.

Doentes (D)	...a comida ficava presa, não conseguia engolir, engasgava-me com muita facilidade...não tinha saliva, mas depois pouco a pouco regressou, continuo a sentar a boca seca e tenho de hidratar bastante... [D1] ...no início não sentia cheiro nem o paladar dos alimentos... [D2] ...não apanho o sabor na totalidade... [D3] ...boca rachada, perdi paladar... [D4] ...além do paladar a saliva também falha bastante, tenho de ajudar a engolir com água, até hoje... [D5]
TF	...dificuldade na fase oral da deglutição devido à xerostomia, perda de peças dentárias, dificuldade na propulsão do bolo alimentar, sensação de "alimento preso na garganta", tosse e pigarro na deglutição de líquidos (na maioria das vezes desvalorizado pelo doente) ... com cansaço... o engasgamento com líquidos... má contenção oral... alteração sensitiva... saliva e expetoração secas... mastigação pode estar comprometida... alteração da motilidade da língua... alteração da motilidade faríngea... regurgitação nasal... [TF1] ...dificuldade na projeção do alimento, sentindo que fica preso algures na garganta...tudo tem o mesmo sabor, a metal... [TF2] ...abrir a boca, dor ao engolir, demorar muito tempo para comer, escape anterior dos alimentos, dificuldade em comer alimentos sólidos, não conseguir fazer alimentação via oral... queixas na deglutição de sólidos e pastosos densos... necessidade de intercalar com líquido... ficar com alimento na boca no final de todas as refeições que não conseguem engolir e necessidade de lavar a boca no final para limpar... [TF3] ...captação do alimento... trismos e na mastigação e propulsão do alimento... radiomucosite... candidíase... [TF4]
ORL	...xerostomia... dificuldade em formar um bolo alimentar ... odinofagia muito frequente... mucosite... [ORL1] ...dor, xerostomia, engasgamento... tosse, engasgamento e sensação de alimento na hipofaringe (sobretudo alimentos secos pequenos) ... [ORL2] ...xerostomia, dificuldade em deglutir alimentos secos, comida presa na garganta, episódios de engasgamento... presença de expetoração espessa/agarrada e ficar com comida presa na garganta, resultado da xerostomia (sequela mais frequente da radioterapia) [ORL3] ...tosse, engasgar-se ao comer alimentos e beber líquido, tem saliva e expetoração mais espessas, problemas em mastigar, tem que limpar a garganta e fica com comida presa na garganta e tosse comida ou líquidos pela boca quando ficam presos...anorexia [ORL4] ...odinofagia, disfagia, pneumonia de aspiração… disgeusia…dor... [ORL5]

D - doente; TF - terapeutas da fala; ORL - otorrinolaringologistas

Seleção dos alimentos

Este sub-tema surgiu pela dificuldade relatada na preparação e seleção dos alimentos que conseguem engolir em segurança e sem dor. Os alimentos que condicionam mais a alimentação nesta coorte de participantes foram os sólidos, secos, duros e fibrosos (Tabela 9).

Tabela 9 - Descrições do sub-tema seleção dos alimentos.

Doentes (D)	... principalmente coisas mais sólidas, tudo que não seja cremoso, alimentos têm de ser acompanhados com molhos, por exemplo [D1] ... secos... [D3] ... é sempre sopa, saudades de comer frutos secos, tremoços... [D4]
TF	...dificuldade na seleção de alimentos ricos em proteína, uma vez que há dificuldade na confeção de alimentos mais fibrosos, como a carne... [TF1] ...perceber quais são os mais fáceis de passar, de forma a não ficarem com grumos... [TF2] ... dificuldade em adaptar os alimentos que gostam na consistência que conseguem comer... [TF3] ... quanto à consistência, à quantidade de administração, ingestão de certos alimentos a temperaturas mais fria... [TF4]
ORL	...equilíbrio entre alimentos sólidos *versus* xerostomia... evitar líquidos (episódios de engasgamento... [ORL2] ...eliminar da dieta os alimentos mais secos e sólidos, fazendo realmente uma dieta pastosa/cremosa... [ORL3] ...dificuldade na seleção dos alimentos, p.e. na escolha de texturas... [ORL4] ...procurar alimentos que consiga deglutir, habitualmente os que causam menos dor... [ORL5]

D - doente; TF - terapeutas da fala; ORL - otorrinolaringologistas

Desejo de comer

Quando questionados, os participantes mencionaram que a vontade de comer ficava alterada. Isto por questões relacionadas com a falta de variabilidade alimentar e de consistências. Outros para garantir a segurança no momento da deglutição, ou por alterações do paladar e do olfato (Tabela 10).

Tabela 10 - Descrições acerca do sub-tema desejo de comer.

Doentes (D)	...a minha vontade de comer alterou-se, mas melhorou progressivamente... ... [D3]
TF	...a vontade de comer altera-se, tudo tem o mesmo sabor, a metal... [TF2] ...muitas vezes não conseguem comer o que desejam e não gostam pelo facto de os alimentos serem apresentados noutra consistência... [TF3]
ORL	...a vontade de comer é diminuída... [ORL2] ... vezes existe mesmo anorexia, mas a maior parte das vezes tem que ver com a disgeusia e xerostomia associadas, tornando as refeições por vezes um sacrifício... [ORL3] ...a vontade de comer altera-se e alguns doentes apresentam anorexia... [ORL4] ...devido à disgeusia perdem o apetite, bem como a vontade de comer pelas complicações que vão surgindo ao longo da refeição (dor, desconforto) ... [ORL5]

D - doente; TF - terapeutas da fala; ORL - otorrinolaringologistas

Tempo de refeição

Outro aspeto a considerar como impactante foi o "tempo de refeição", uma vez que foi frequentemente enunciado pelos participantes. Normalmente, pelas dificuldades inerentes ao processo de mastigação e deglutição que se revelaram consumidoras de tempo (Tabela 11).

Tabela 11 - Descrições do sub-tema tempo de refeição.

Doentes (D)	...no início demorava mais tempo nas refeições... [D1] ...demora mais tempo durante as refeições... [D2] ...demoro muito mais tempo agora... [D4] ...acho que agora até como mais depressa, alterei foi quantidade porque como menos... [D45]
TF	...aumento do tempo de duração da refeição, com cansaço associado... [TF1] ...as refeições são mais demoradas na fase inicial, com a continuidade da RT acabam por vezes em desistir de se alimentar por VO (via oral) ... [TF2] ...muito demorado tempo/duração de as refeições devido a toda a mecânica da deglutição estar alterada e uso de estratégias para conseguir engolir... [TF3]
ORL	...demora mais tempo pela disfagia decorrente da mucosite ... [ORL1] ...o tempo de refeição é aumentado... [ORL2] ...refeições são mais demoradas... [ORL3] ...tempo/duração das refeições é alterado. Se passou a via alternativa, as refeições demoram menos tempo. Se mantém via oral, por vezes o tempo de refeição demora mais pelas dificuldades acrescidas... [ORL5]

D - doente; TF - terapeutas da fala; ORL – otorrinolaringologistas

Receios

Após os tratamentos com QRT muitos participantes mencionaram o medo de recidiva, o medo relacionado com as comorbilidades associadas à disfagia, nomeadamente pneumonia, asfixia ou engasgo (Tabela 12).

Tabela 12 - Descrições do sub-tema receios.

Doentes (D)	...nessa altura sim tive receio, receio de não me endireitar, mas acreditava, uma forma de pensar otimista, não me considerei doente sem solução, que era passageiro... ... [D3] ...tive receios de não recuperar, inicialmente tive sempre à espera de recuperar o paladar, mas já não penso tanto nisso... [D5]
TF	...receio da comida ficar presa na garganta e engasgamento... [TF1] ...têm medo de morrer por perderem tanto peso e por não o recuperarem... [TF2] ...têm medo de se engasgar, mas uma grande parte dos utentes acham que corre bem e arriscam muito... [TF3] ...têm receio pelo combate à doença oncológica; o ter de usar SNG... [TF4]
ORL	...têm receios, de engasgamento... o facto de ter fome e ter medo de comer, por temer o risco de asfixia... [ORL1]

D - doente; TF - terapeutas da fala; ORL - otorrinolaringologistas

Burden

Os participantes foram unanimes relativamente ao ónus que a disfagia constituía na vida dos doentes (Tabela 13).

Tabela 13 - Descrições do sub-tema *burden*.

Doentes (D)	...dificuldades em engolir foram um peso para mim... [D1] ...têm sido um fardo para mim... [D4]
TF	...as dificuldades em engolir são um ónus para o doente... [TF5]
ORL	...dificuldades em engolir são um ónus ... [ORL1]

D - doente; TF - terapeutas da fala; ORL - otorrinolaringologistas

Vida social - deglutição

Quando questionados sobre comerem fora de casa e a sua participação social, as respostas apontaram para uma diminuição na maioria das situações, com evitamento associado à seleção dos alimentos e aos sinais de disfagia (tosse, engasgo) (Tabela 14).

Tabela 14 - Descrições do sub-tema vida social - deglutição.

Doentes (D)	...no início ...não saia, não sei se foi por causa da dificuldade em engolir, mas viajava com regularidade e tive de lidar com o problema, fui com SNG para congresso... [D1] ... não consigo controlar porque não sei quando me vou engasgar, se for mais sólido ou que saiba mal normalmente pode acontecer...[D2] ...nesse período de tratamento não saía de casa, não tinha força nem vontade... vinha a conduzir, só no final últimos 15 que a minha filha e filho fizeram companhia... [D3] ... não me apetece ir tantas vezes comer fora porque a comida não me diz nada... [D5]
TF	...diminuição da participação em convívios familiares e amigos e idas a restaurantes por dificuldade na alimentação, tendo em conta que textura da comida por vezes tem de ser alterada e nem sempre os utentes se sentem bem com a exposição das dificuldades de alimentação... [TF1] ...não saem de casa para casa e muitas vezes não gostam de comer ao mesmo tempo do resto da família... [TF2] ...deixam de fazer a refeição com a família à mesa e de ir comer fora... [TF3] ...se usarem SNG ou se tiverem dificuldades muitos têm reservas nas refeições perante terceiros. Assim sendo por vezes não vão a encontros sociais que contemplem também a refeição... [TF4] ...inibem-se das relações sociais e privam-se de encontros familiares... [TF5]
ORL	...o doente sente vergonha... [ORL1] ...evitar jantar fora e vergonha de jantar em grupo - limite social... [ORL2] ...afeta bastante a vida social, no sentido em que o doente sente vergonha da forma como se alimenta, com tosse associada, regurgitação, pela própria seleção dos alimentos e pelo tempo que demora a refeição... [ORL3]

D - doente; TF - terapeutas da fala; ORL - otorrinolaringologistas

Vida familiar - deglutição

Quando questionados sobre as dinâmicas familiares associadas às alterações na deglutição, as respostas, tal como em contexto mais alargado, apontaram para alterações relacionadas com a necessidade de adaptação da preparação dos alimentos e também de evitamento, com tendência a diminuir a sua participação em eventos familiares e nas rotinas relacionadas com as refeições. Contudo, a família surgiu como um importante elemento de suporte (Tabela 15).

Tabela 15 - Descrições do sub-tema vida familiar - deglutição.

Doentes (D)	...no início não havendo historial anterior quem está connosco tem de aprender a produzir alimentação para um doente oncológico... [D2] ...a mulher teve de mudar a culinária e adaptar a comida às minhas dificuldades... [D5]
TF	...diminuição da participação em eventos familiares... [TF1] ...não dividem refeições com família... [TF2] ...a vida familiar é afetada pela necessidade de fazer vários pratos diferentes, consistências diferentes, preocupação de como preparar as refeições e quais os alimentos que o utente pode ingerir... [TF3]
ORL	...alteração das rotinas alimentares da família... [ORL1] ...demora mais tempo a comer, a sensação de transtorno/encargo devido a necessidade de alimentos/refeição diferente... [ORL2] ... come separadamente e requer dieta apropriada só para si... [ORL4] ...muitas vezes não fazem as refeições em comum com os restantes membros da família... [ORL5]

D - doente; TF - terapeutas da fala; ORL - otorrinolaringologistas

ii. Tema 2 - Voz e disfonia

Os participantes descreveram alterações igualmente a nível da "voz e disfonia", após o tratamento com QRT, que representam o segundo tema desta análise temática. Neste segundo tema emergiram quatro sub-temas todos relacionados com a voz, seja com a comunicação em geral (capacidade de se fazerem ouvir e serem compreendidos), com as alterações ao nível da qualidade vocal (sintomas de disfonia) ou com o impacto no seu dia-a-dia, tanto ao nível familiar como social. Nas tabelas 16 a 19 apresentam-se os resultados de forma mais detalhada. Abaixo ilustra-se a presença de alterações na voz referidas nos três grupos de participantes.

> ... A minha voz ficou diferente depois da radio e quimioterapia, está diferente... [D1]
> ...minha voz ficou rouca, mais grossa, mais lenta... [D2]
> ... a voz do doente após tratamento com radio e quimioterapia modifica-se... [ORL2]
> ... o doente após tratamento com radio e quimioterapia perde projeção vocal... [ORL4]
> ... Após o tratamento com radio e quimioterapia a voz dos utentes fica com o volume diminuído, com falhas na voz... [TF2]

Comunicação

Este subtema decorreu das declarações dos participantes onde foram mencionados fatores que dificultavam a sua capacidade de comunicação, nomeadamente em ambientes ruidosos. As alterações relacionadas com a saliva, que limitavam a capacidade articulatória e a comunicação via telefone, aspetos onde sentem dificuldades ao nível da expressão (Tabela 16).

Tabela 16 - Descrições do sub-tema comunicação.

Doentes (D)	...as pessoas tiveram dificuldade em compreender o que eu dizia, quando estou cansado é pior, principalmente em casa no final do dia notam... [D1] ...se tiver em locais ruidosos as pessoas têm mais dificuldade em ouvir-me... [D2] ...dificuldade quando falo muito tempo com falta de saliva, até me atrofia, não encontro as palavras, tenho que beber sempre... [D3] ...as pessoas tinham dificuldade em me compreender... [D4] ...em ambientes com mais barulho torna-se mais difícil ouvirem-me... [D4]
TF	...quando há mais barulho de fundo, corredores de hospitais tem sempre muito ruído de fundo, os doentes têm dificuldades em se fazerem ouvir... [TF2] ...têm dificuldades em se fazerem ouvir ao telefone, em ambientes ruidosos ou se a pessoa que o está a ouvir não estiver atenta... [TF3] ...os doentes têm dificuldade em se fazerem ouvir em locais barulhentos, se o interlocutor não olha para eles/o uso de máscara não facilita... [TF4] ...por vezes, as pessoas têm dificuldades em compreender o doente... [TF5]
ORL	...o doente tem dificuldade em se fazer ouvir principalmente ao telefone... [ORL1] ...em ambiente ruidoso, os doentes têm dificuldades em se fazerem ouvir... [ORL2] ...por vezes as pessoas têm dificuldades em compreender o doente... [ORL3]

D - doente; TF - terapeutas da fala; ORL - otorrinolaringologistas

Qualidade vocal

Durante as entrevistas foram sendo elencadas várias características vocais associadas ao tratamento, nomeadamente: rouquidão, soprosidade, aspereza, alterações de frequência e intensidade vocal, ressonância e projeção vocal, pelos três grupos de participantes (Tabela 17).

Tabela 17 - Descrições do sub-tema qualidade vocal.

Doentes (D)	...acho mais rouca, há palavras que custam dizer mais, menos clareza... [D1] ...rouca, mais grossa, mais lenta... [D2] ...sentia arranhar... [D4] ...ficou rouca até hoje... [D5] ...sinto que voz cá dentro soa mais grave... [D3]
TF	...voz mais rouca, áspera e soprada, com diminuição da amplitude de frequência e intensidade vocal… aumento da aspereza associada a soprosidade… comprometendo a fonação na fase aguda, por inflamação não só das pregas vocais, mas também da orofaringe, bem como a médio e a longo prazo pela alteração das características mioelásticas das pregas vocais e edema das pregas vocais que por vezes não reverte, traduzindo-se em rouquidão. A voz soprada e fala com ar pode acontecer pela alteração das características mioelásticas das pregas vocais, que provoca diminuição frequência de vibração da onda mucosa e daí a soprosidade. Também pode surgir por paralisia da prega vocal por afeção no nervo laríngeo recorrente com a radiação. Fala sussurrada pode surgir muitas vezes na fase aguda da radioterapia e quando há atingimento do nervo laríngeo... [TF1] ...volume diminuído com falhas na voz… a voz fica mais "suja" por vezes devido a qualidade da saliva... [TF2] ... a qualidade/clareza da voz modifica-se, fica mais nasalada dependendo do local da RT... [TF3] ...A não ser que tenham de usar SNG podendo haver sintomatologia ligeira por edema da região retrocricoideia… discreta rouquidão e soprosidade, poderá ocorrer voz molhada se houver alterações de deglutição/acumulação de alimentos a nível laríngeo (valécula e seios piriformes) e ainda por alterações na fase faríngea e esofágica por radiomucosite… Por excesso de tensão muscular/ansiedade, por haver hábitos anteriores que poderão não

	favorecer a voz durante o período rádico, tais como, falar depressa, com intensidade forte e ser muito falador... [TF4]
ORL	...a clareza da voz fica alterada, a voz fica mais abafada... mais áspera e há quebras de voz... [ORL1] ...a voz para além de áspera e mais abafada, mais grave apresenta quebras pela mucosite associada e pela diminuição franca da secreção salivar na cavidade oral e orofaringe, assim como da acumulação de secreções mais espessas na oro e hipofaringe e laringe... [ORL1] ...apresenta rouquidão, aspereza, diminuição projeção vocal… fica mais áspera... [ORL2] ...fica com um timbre mais grave, aspereza e menor intensidade/dificuldade na projeção vocal… qualidade da voz diminui … os doentes notam alteração na voz, mas raramente valorizam esses sintomas, quando apresentam concomitantemente problemas em engolir... [ORL3] ...a qualidade da voz piora, perde sonoridade... [ORL4] ...voz molhada e disfonia (+ aspereza) ... [ORL5]

D - doente; TF - terapeutas da fala; ORL - otorrinolaringologistas

Vida social - voz

Quando questionados sobre as implicações das alterações vocais no seu dia-a-dia, deparamo-nos com a diminuição da intenção comunicativa, com o isolamento e o impacto laboral (Tabela 18).

Tabela 18 - Descrições do sub-tema vida social - voz.

Doentes (D)	...tenho alguns cuidados nas saídas e quando estou com outras pessoas, mas procuro estar preparado para essa dificuldade e já se tornou normal... [D1] ...as alterações na voz afetaram sempre, embora agora não tanto como no início, pois na altura era um cenário catastrófico... [D2]
TF	...pode interferir a nível laboral, se houver uso vocal aumentado ou em ambientes mais ruidosos... [TF1] ...não quer falar em público... [TF2] ...os doentes ficam com vergonha e isolam-se... [TF3] ...poderão não conseguir falar pelo mesmo número de horas por fadiga vocal ou excesso de tensão muscular... evitando conversar quer presencialmente quer ao telefone... [TF4]
ORL	...menos vontade de socializar... vergonha e fadiga vocal... [ORL2] ...podem levar ao isolamento... [ORL4] ...o doente com alteração vocal por vezes inibe-se das relações sociais pelo facto de não se fazer ouvir e ser impercetível a terceiros... [ORL5]

D - doente; TF - terapeutas da fala; ORL - otorrinolaringologistas

Vida familiar - voz

Relativamente às implicações das alterações vocais na sua dinâmica familiar, verificou-se a presença de evitamento de falar em convívios e a diminuição da resistência vocal, sendo que a família surgiu como um importante elemento de suporte (Tabela 19).

Tabela 19 - Descrições do sub-tema vida familiar - voz.

Doentes (D)	...em situações de convívio não consigo falar durante muito tempo... [D2]
TF	...pode afetar no dia-a-dia, dependendo das características do agregado familiar (comunicação com idosos, educação de filhos menores, casa de maior dimensão) ... [TF1] ...quando a família não o percebe... ... [TF3]
ORL	...maior parte das vezes tem pouco impacto a voz per se ... [ORL1] ...menos vontade de socializar... vergonha e fadiga vocal... [ORL2] ...isolamento, mas menos que ao nível social... [ORL4]

D - doente; TF - terapeutas da fala; ORL - otorrinolaringologistas

3.6. Discussão

Os resultados serão discutidos de acordo com o já referido na literatura e as implicações clínicas e pesquisas futuras serão adequadamente detalhadas. O objetivo deste estudo foi investigar a perceção dos doentes, TF e ORL acerca dos efeitos dos tratamentos não-cirúrgicos, em doentes com cancro da orofaringe. Cinco doentes tratados com QRT, por cancro da orofaringe, bem como, cinco TF e cinco ORL com experiência no atendimento destes doentes participaram no estudo, respondendo às entrevistas. A partir das entrevistas dois temas principais foram identificados, relacionados com as alterações ao nível da deglutição e da voz. Esta análise permitiu uma descrição centrada na perspetiva do doente, dos TF e dos ORL, dos efeitos destes tratamentos. Esta é uma oportunidade para a melhoria da prestação de serviços, bem como na deteção de aspetos positivos e de limitações (Messing et al., 2019). Apesar disso e de alguns estudos sobre a perspetiva do doente e uma abordagem biopsicossocial (Dornan et al., 2021; Fitchett et al., 2018; Jacobson, 2018; Lang et al., 2013), na presente investigação procurou-se conhecer e comparar os dados dos três grupos (doente, TF e ORL).

A análise das respostas dos participantes neste estudo permitiu constatar a presença de alterações ao nível da deglutição e da voz (Lazarus et al., 2007; Nund et al., 2015; Nund et al., 2014), que poderão ser prolongadas no tempo afetando as atividades diárias e as interações, impactando a QdV (Kraaijenga et al., 2016).

Uma das dificuldades elencadas pelos participantes relacionou-se com a necessidade de seleção dos alimentos, ou seja, após os tratamentos houve necessidade de escolher alimentos com determinada consistência ou sabor, quer por limitações ao nível da segurança na deglutição ou pela disgeusia. Os alimentos sólidos e secos foram frequentemente rejeitados (Ottosson et al., 2013). Por sua vez, as dificuldades em engolir interferiram no tempo de refeição, que se tornou mais longo (Nund et al., 2014; Ottosson et al., 2013). As limitações na seleção dos alimentos e do paladar, acarretaram por sua vez, a capacidade de desfrutar da ação de comer e beber (Ottosson et al., 2013). Desta forma, impactou o prazer que a alimentação pode conferir, apresentando impacto na socialização, com implicações ao nível da QdV e diminuição das interações sociais, nos momentos das refeições. Outro aspeto, relacionou-se com o desejo de comer, ou seja, vontade, prazer que se retira com a comida, passando a alimentação apenas a assumir uma

ação de nutrir e hidratar, tal como pesquisas anteriores demonstraram (Nund et al., 2014; Ottosson et al., 2013).

Relatados em estudos anteriores, os momentos de refeição e sua preparação podem estar alterados, com os doentes a evitarem eventos familiares ou, inclusive não fazerem as refeições à mesa com a família. Os participantes descreveram a sensação de perda do momento de refeição em família, isolando-se, tendo esta ação impacto na dinâmica familiar e nas suas relações (Baijens et al., 2021; Dornan et al., 2021; Nund et al., 2014).

O receio de recidiva, da doença, foi um fator que presente nestes doentes, bem como a incerteza sobre os efeitos da toxicidade dos tratamentos a longo prazo (Nund et al., 2014; Ottosson et al., 2013). O afastamento social e até familiar também ocorreu pelas dificuldades relacionadas com as texturas e sabores que conseguiam ingerir, uma vez que na sua maioria, não estavam disponíveis opções adaptadas. A presença de sentimento de vergonha e tosse e engasgo durante as refeições, contribuiu igualmente para o impacto social e familiar, tal como reportado por alguns participantes e em estudos precedentes (Baijens et al., 2021; Nund et al., 2014; Ottosson et al., 2013).

Os doentes diminuiram o tempo e o número de interações, quer pelas alterações de deglutição, quer pelas alterações de comunicação (Baijens et al., 2021). Todas estas modificações conferiram um impacto negativo na perceção de viver com disfagia, que foram sentidas como um peso na sua vida, tal como outras pesquisas demonstraram (Nund et al., 2014; Ottosson et al., 2013).

Consistente com pesquisas anteriores, os participantes deste estudo, descreveram um conjunto de alterações da qualidade vocal frequentes e comuns após o tratamento, como rouquidão, fraca intensidade vocal, fadiga e xerostomia (Nund et al., 2015). Os participantes, deste estudo, elencaram um conjunto de desafios no dia-a-dia, decorrentes das alterações vocais, que por sua vez tiveram implicações na eficácia da comunicação, diminuindo a participação e a interação social, com real impacto tanto na vida social, como na familiar, bem como a QdV de formas ainda pouco compreendidas (Fletcher et al., 2019).

Por um lado, por não se fazerem entender e por outro, pelo recetor da mensagem não compreender. Os doentes sentiram-se frustrados porque as pessoas não pedem esclarecimentos, antes ignoram-nos e, por isso os doentes sentiram-se afastados da

conversa. Neste contexto ainda, o ambiente ruidoso foi com frequência mencionado como tendo impacto na manutenção de uma conversa. Estas dificuldades comunicativas aconteceram não apenas em contexto social, nomeadamente em convívios e ao nível laboral, mas também familiar, com particular destaque para as relações familiares, suas regras e responsabilidades na dinâmica familiar. Ao nível social, as dificuldades comunicativas diminuiram a participação em convívios ou o falar ao telefone, evitando desta forma, comunicar. (Constantinescu et al., 2017; Nund et al., 2015).

No que respeita à análise dos sintomas, de acordo com o gráfico 1, estes foram similares entre os grupos, evidenciando que mesmo quando a RT não incide na laringe ocorrem alterações vocais, como a rouquidão (Kraaijenga et al., 2016). O mesmo ocorreu relativamente à deglutição, no que respeita a sintomas como ficar com a comida presa na garganta, ter saliva ou expetoração espessas, engasgar-se ao beber líquidos e tossir (Zebralla, Wichmann, et al., 2021). Por esta razão, os profissionais de saúde deverão atender aos sintomas reportados pelos doentes e fazer os adequados encaminhamentos para outras especialidades.

É possível que com uma coorte de participantes maior se pudessem produzir dados diferentes. Neste estudo, também não foi provada através de avaliação quantitativa uma redução da QdV. Uma das limitações prendeu-se com a dimensão das respostas nas entrevistas, pois alguns participantes foram bastante concisos. Outra limitação relacionou-se com o reduzido número de participantes em cada grupo e, no caso do grupo dos doentes, apenas ter sido incluída uma mulher. Contudo, isto refletiu a casuística da prevalência desta doença (Mehanna et al., 2010). Outro aspeto foi a participação exclusiva de doentes com intenção curativa, sendo que os resultados poderiam ser diferentes se realizado em doentes com intenção paliativa, que se sugere estudar em pesquisas futuras. Procurou-se seguir uma amostra de variação máxima para captar os temas centrais numa variedade de doentes, TF e ORL, sendo que todos os participantes doentes foram recrutados do mesmo serviço pelo que as suas experiências e perceções podem não ser representativas. Contudo, os profissionais são de centros diferentes, pelo que os resultados poderão refletir uma ideia da perceção global destes (Patton, 2002).

Como estudos futuros poder-se-ão realizar entrevistas em períodos regulares por forma a compreender e conhecer a experiência de viver com disfagia e disfonia em diferentes

momentos do curso da doença e seu tratamento, numa perspetiva prospetiva, permitindo uma análise mais fiável.

Implicações clínicas

Estas descrições poderão permitir uma reflexão na atual prática clínica por forma a que os doentes possam ser acompanhados desde o início dos tratamentos e não apenas com base nas alterações físicas, mas também de acordo com a perspetiva individual de viver com disfagia e/ou disfonia, que pode condicionar vários aspetos de vida diária, nomeadamente ao nível da socialização, relacionamento e autoconceito (Kraaijenga et al., 2016). Desta forma, teremos um conhecimento mais aprofundado daquilo que o doente experiencia, contribuindo para uma sobrevivência com melhor QdV. Adotar rotinas que incluam o uso de instrumentos de avaliação da QdV relacionada com disfagia e/ou disfonia, na rotina clínica, permitirá aos clínicos identificar aqueles doentes que requerem suporte, educação e reabilitação para que se possa ajustar a sua forma de viver com tais alterações no período pós-tratamento (Kraaijenga et al., 2016; Zebralla, Wichmann, et al., 2021). Para além do impacto nos doentes, também as famílias deverão estar envolvidas, uma vez que a partilha dos momentos das refeições e sua preparação, bem como os períodos de comunicação poderão sofrer modificações, de acordo com os dados recolhidos (Baijens et al., 2021; Dornan et al., 2021) e representam um importante suporte para os doentes (Lang et al., 2013). Contudo, estudos focados nas famílias e redes de suporte são necessários para compreender melhor os efeitos e as necessidades destes. Sugere-se ainda a implementação de ações de educação e informação transmitida aos doentes e familiares para facilitar a gestão entre as expetativas e a atual experiência da doença, tratamentos e efeitos/sequelas, por exemplo através de grupos de apoio.

3.7. Conclusão

A perspetiva do doente é valiosa para aumentar o conhecimento que os mesmos sentem ao nível da deglutição e da voz, para desta forma terem acesso a cuidados de saúde personalizados, nas diferentes fases da doença, nas várias áreas da vida, nomeadamente familiar, social e laboral. A recuperação após tratamento por cancro da orofaringe pode ser longa e imprevisível, causando dúvida e incerteza aos doentes e cuidadores. Um seguimento prolongado focado nas dificuldades da deglutição e da voz é necessário para ajudá-los a lidar com os efeitos dos tratamentos e disponibilizar as melhores oportunidades para um regresso ao estilo de vida pré-mórbido.

O presente estudo faz sobressair os efeitos negativos complexos, num conjunto de áreas alargadas, que este grupo de doentes poderá vivenciar, estando os três grupos de participantes de acordo nos vários temas e subtemas elencados neste estudo. Assim, percebe-se a necessidade de maior reconhecimento do impacto funcional dos tratamentos não cirúrgicos e que os mesmos não se restringem ao período agudo. Evidenciou-se ainda, a necessidade de uma abordagem holística e centrada no doente por forma a destacar e compreender a experiência diária dos mesmos de viver com disfagia e disfonia. Este conhecimento profundo poderá ser a base para investigadores e profissionais de saúde reorganizarem os cuidados prestados aos doentes com cancro da orofaringe, pois uma gestão baseada nas alterações físicas poderá falhar no atendimento pleno das necessidades desta população.

Capítulo IV - Perceção do doente com cancro da orofaringe dos efeitos dos tratamentos de RT e QT na deglutição e na voz

4.1. Abstract

Objective: Treatment with chemoradiotherapy with curative intent in patients with oropharyngeal cancer is considered the current clinical standard. Thus, in addition to disease control, it is essential to know the side effects of these treatments. This study aims to contribute to a better understanding of the impact of side effects of chemoradiotherapy on the voice and swallowing of patients with oropharyngeal cancer and its relationship with sociodemographic and clinical variables.

Method: 38 oropharyngeal cancer patients treated exclusively with chemoradiotherapy participated in this study. QoL was assessed based on QLQ-C30 and HN43 questionnaires and functional impacts on voice and swallowing with VHI-9i and SWAL-QOL. Descriptive analysis, Spearman's non-linear or point by serial correlation, as well as the Mann-Whitney and Kruskall-Wallis test for comparing the distribution between the values of the questionnaires and the sociodemographic and clinical variables were used.

Results: The overall QoL was considered good, however in the QLQ-HN43, SWAL-QOL and VHI-9i, the results indicate functional changes. Correlation analysis showed relationships between the QLQ-HN43, SWAL-QOL and VHI-9i, as well as between the QLQ-C30 and the QLQ-HN43. No statistically significant differences were found between the QLQ-C30 and the sociodemographic variables. However, between QLQ-HN43, the SWAL-QOL and the clinical variables: chemotherapy, FOIS, feeding tube, solid and liquid consistency showed a negative impact on QoL. Speech therapy, on the other hand, was shown to have a positive impact when assessed with the QLQ-C30. The QLQ-HN43, for the variables: sex, education and marital status showed statistically significant differences and the presence of tracheostomy and of dysphagia and/or dysphonia showed a negative impact. In the SWAL-QOL, differences were also identified in the variables: presence of dysphagia and global health. The VHI-9i showed statistically significant difference only for the clinical variable "dysphonia".

Conclusion: This study shows the value of patient-reported outcomes in clinical practice. Voice and swallowing problems in the daily life of patients with oropharyngeal cancer were shown to be frequent after no surgical treatment. Thus, a comprehensive approach

should be considered in the treatment of these patients, with monitorization of the impact of functional changes on QoL, using tools to assess patient perception for early detection of changes and respective intervention.

Key words: head and neck cancer, dysphagia, dysphonia, patient's perception, PRO

4.2. Resumo

Objetivo: O tratamento com quimioradioterapia com intenção curativa em doentes com cancro da orofaringe é considerado o padrão clínico atual. Assim, para além do controlo da doença, torna-se essencial conhecer melhor os impactos destes tratamentos. Com este estudo pretendeu-se contribuir para uma melhor compreensão dos efeitos da quimioradioterapia na voz e na deglutição dos doentes com cancro da orofaringe relacionados com as variáveis sociodemográficas e clínicas.

Método: 38 doentes com cancro da orofaringe tratados exclusivamente com quimioradioterapia participaram neste estudo. A QdV foi avaliada com base nos questionários da EORTC QLQ-C30 e HN43 e os impactos funcionais na voz e deglutição, com o VHI-9i e o SWAL-QOL. Análise descritiva, correlação não linear de *Spearman* ou *point by serial*, bem como o teste de *Mann-Whitney* ou de *Kruskall-Wallis* para comparação da distribuição entre os valores dos questionários e as variáveis sociodemográficas e clínicas foram realizados.

Resultados: A QdV global foi considerada boa, contudo no QLQ-HN43, SWAL-QOL e VHI-9i os resultados mostraram alterações funcionais. A análise de correlação mostrou relações entre o VHI-9i, o QLQ-HN43 e o SWAL-QOL, bem como entre o QLQ-C30 e o QLQ-HN43. Não foram encontradas diferenças estatisticamente significativas entre o QLQ-C30 e as variáveis sociodemográficas. Contudo, entre QLQ-HN43, o SWAL-QOL e as variáveis clínicas: quimioterapia, FOIS, via de alimentação, consistência de sólidos e líquidos mostraram um impacto negativo na QdV. A terapia da fala, por sua vez, mostrou ter um impacto positivo, quando comparada com o QLQ-C30. O QLQ-HN43, para as variáveis: sexo, escolaridade e estado civil que demostraram diferenças estatisticamente significativas e a presença de traqueostomia e de disfonia e/ou disfagia, mostraram ter um impacto negativo. No SWAL-QOL foram identificadas diferenças nas variáveis: presença de disfagia e saúde global. O VHI-9i mostrou diferença estatisticamente significativa apenas para a variável clínica "disfonia".

Conclusão: Este estudo mostrou o valor dos resultados reportados pelo doente na prática clínica. Os problemas vocais e de deglutição no dia-a-dia dos doentes com cancro da orofaringe mostraram-se frequentes após o tratamento. Assim, uma abordagem compreensiva deve ser tida em conta no tratamento destes doentes, com a monitorização

do impacto das alterações funcionais na QdV, com recurso a instrumentos de avaliação da perceção do doente para a deteção precoce de alterações e respetiva intervenção.

Palavras-chave: cancro de cabeça e pescoço, disfagia, disfonia, perceção do doente.

4.3. Introdução

O cancro da cabeça e pescoço tem sido descrito como um dos que condicionam maior traumatismo psicológico nos doentes e nos cuidadores (Baijens et al., 2021). Os doentes reportam, frequentemente, alterações físicas, funcionais e psicossociais (Ojo et al., 2012). Os tratamentos não cirúrgicos para cancro da orofaringe podem condicionar efeitos importantes com impacto na QdV (Zebralla, Wichmann, et al., 2021). Alguns destes fatores contribuem para um aumento do número de pessoas mais jovens a viver mais tempo com sequelas associadas ao tratamento.

Apesar da cura permanecer como fator primordial, um aumento do interesse pelos resultados funcionais dos tratamentos não cirúrgicos e dos resultados centrados nos doentes (Soldatova & Mirza, 2019) têm sido recorrentemente descritos (Nund et al., 2015). Ainda associado ao aumento da sobrevida, a QdV relacionada com a saúde tornou-se um ponto-chave (Ojo et al., 2012; Rinkel et al., 2009).

Em ambiente clínico é frequente, devido ao aumento das taxas de sobrevivência, ver doentes com alterações ao nível vocal e da deglutição, anos após o tratamento, colocando em questão o impacto na QdV destes efeitos. Um número limitado de estudos prévios procurou examinar os efeitos a longo prazo dos tratamentos ao nível da voz e da deglutição, em doentes oncológicos (Soldatova & Mirza, 2019). A quimioradioterapia (QRT) para tumores não laríngeos também pode contribuir para as disfunções ao nível da voz e da deglutição, sendo que os doentes reportam alterações em 32% dos resultados no VHI-10 e no EAT-10. A avaliação subjetiva da voz, através do VHI evidenciou disfunção moderada ao nível vocal, em 68% dos doentes, numa coorte (Kraaijenga et al., 2016). Problemas relacionados com a mastigação dos alimentos, tempo de refeição, prazer em comer, xerostomia, saliva espessa, ficar comida presa na garganta e na boca e engasgar-se resultam num impacto negativo na QdV (Lazarus, 2009).

O tratamento com intenção curativa com protocolos de QRT tem crescido nas últimas décadas, especialmente no tratamento das patologias oncológicas da orofaringe (Haigentz et al., 2009). As disfunções resultantes destes tratamentos podem permanecer ou deteriorar-se ao longo dos anos (Soldatova & Mirza, 2019), demonstrando que a QdV é tendencialmente pior nos doentes que fazem este tipo de tratamento (Lazarus, 2009).

O recurso a questionários que avaliam a perceção do doente na prática clínica, quando implementados pode contribuir para melhorar a satisfação dos doentes, quando têm efeitos nos cuidados recebidos e nas consultas, pelo que se recomenda o seu uso (Howell et al., 2015). Assim, com este estudo pretendeu-se contribuir para melhorar a compreensão do impacto dos efeitos da QRT na voz e na deglutição dos doentes que realizam este tipo de tratamento com intenção curativa por cancro da orofaringe.

4.4. Métodos

Para estudar o impacto dos efeitos da QT/RT na voz e deglutição, em doentes com cancro da orofaringe, tendo por base a perceção por estes reportada foi levada a cabo uma pesquisa transversal descritiva, com recurso a uma amostra de conveniência. O estudo foi previamente aprovado pela Comissão de Ética do Instituto Português de Oncologia Francisco Gentil - Porto (IPO-Porto) (Anexo II).

i. Participantes

Um grupo de doentes com cancro da orofaringe e que realizaram tratamento com intenção curativa com QT/RT que foram acompanhados na consulta de otorrinolaringologia da clínica de cabeça e pescoço do IPO-Porto foi selecionado. Por forma a garantir uniformidade da amostra foram estabelecidos critérios de inclusão e de exclusão, que de seguida são expostos. Os critérios de inclusão incluíram: ter realizado RT e/ou QT para cancro da orofaringe com *follow-up* mínimo de um ano; sem doença ativa (Perry et al., 2016); ter o Português Europeu como língua materna; consentir participar; sem outra condição médica conhecida que contribua para a hipofunção das glândulas salivares e/ou disfonia/disfagia (p.e. problemas neurológicos, gastroenterológicos); sem tratamentos para disfonia/disfagia prévios; e sem toma de medicação que comprometa a voz e a deglutição. Foram excluídos os doentes com: outra condição médica conhecida que contribua para a hipofunção das glândulas salivares e/ou disfonia e/ou disfagia (p.e. problemas neurológicos ou gastroenterológicos); tratamentos anteriores dirigidos à otimização da fonação e deglutição; e ingestão de fármacos que possam afetar estas funções.

Outros dados recolhidos foram o estadio do tumor (T), a idade, comorbilidades e o sexo.

ii. Avaliação da perceção do doente

Como instrumento de avaliação da QdV foram utilizados: EORTC QLQ C-30 e EORTC QLQ-HN43, como instrumentos específicos para doentes oncológicos da cabeça e pescoço; e o SWAL-QOL para avaliação da perceção do impacto da disfagia; e o VHI-9i, para avaliação da perceção do impacto da disfonia. O QLQ-C30 (versão 3) é composto por cinco escalas funcionais, três escalas de sintomas, o estado global de saúde/escala de QdV e seis itens simples para avaliação de sintomas ou problemas adicionais (Aaronson et al., 1993; Fayers, Aaronson, Bjordal, Groenvold, Curran, Bottomley, et al., 2001). O

QLQ-HN43 é composto por doze dimensões (Singer et al., 2019). Os resultados vão de 0-100 (Bjordal et al., 1999). O resultado global do QLQ-C30 segue uma direção positiva, já no QLQ-HN43 a cotação das escalas têm um sentido inverso (Kasper, 2020). Como valor de corte uma diferença de 10% relativamente ao valor máximo dos instrumentos, ou seja, de 10 pontos, foi definida uma diferença clinicamente relevante (Ringash et al., 2007).

O SWAL-QOL (McHorney, Bricker, Kramer, et al., 2000; McHorney, Bricker, Robbins, et al., 2000; Rinkel et al., 2009) é o mais frequentemente utilizado para avaliar o impacto da disfagia na QdV em doentes com cancro de cabeça e pescoço (Jones et al., 2018). Composto por 10 dimensões, avaliadas através de 44 itens. Respostas através de escala de *likert* de cinco pontos, com resultados entre 0-100, sendo que valores mais altos indicam melhor resultado (McHorney et al., 2002). O ponto de corte para este instrumento é uma diferença de 14 pontos (Rinkel et al., 2009).

As alterações de fonação, também significativas nesta população (Balaguer et al., 2020), têm sido avaliadas com recurso ao VHI (Soldatova & Mirza, 2019), questionário este o mais comumente utilizado (Verdonck-de Leeuw et al., 2008). O VHI-9i é composto por três dimensões: funcional, física e emocional e um item do resultado global, cotadas através de uma escala *likert* com cinco pontos (cotado de 0 a 4) (Guimarães & Abberton, 2004; Jacobson et al., 1997; Nawka et al., 2009; Soldatova & Mirza, 2019; Verdonck-de Leeuw et al., 2008). A classificação de severidade do VHI-9i deverá ser realizada da seguinte forma: 0, como saudável e cotação entre 1 e 7; 1, como ligeira e cotação entre 8 e 16; 2 como moderada e cotação entre 17 e 26; e 3 como severa e cotação entre 27 e 36. O somatório dos pontos pode variar entre 0 (sem desvantagem vocal) a 36 (grande desvantagem vocal), onde um valor mais elevado, representa maior incapacidade (Caffier et al., 2021).

iii. Análise estatística

A análise estatística dos dados foi realizada com recurso ao SPSS v27®. A análise incluiu estatística descritiva, cálculo de medidas de associação e inferência estatística. As variáveis estudadas foram sumarizadas através de diferentes medidas de tendência central e de dispersão tendo sido utilizados gráficos de barras, histogramas e diagramas de extremos e quartis para visualizar a sua distribuição. Como medidas de associação foram calculados diferentes coeficientes de correlação (*Pearson* (para variáveis contínuas

normalmente distribuídas), *Spearman* (para variáveis ordinais), ou *point by serial* (para variáveis nominais)). Utilizou-se o teste de Kolmogorov-Smirnov para validar a distribuição normal das variáveis. Para validar hipóteses sobre o efeito das variáveis sociodemográficas e clínicas nas variáveis subjetivas (questionários EORTC QLQ-C30 e QLQ-HN43, SWAL-QOL, VHI-9i) foram utilizados o teste de *Mann-Whitney* (para variáveis com duas categorias) ou o teste de *Kruskall-Wallis* (para variáveis com mais do que duas categorias). Na comparação de proporções utilizou-se o teste do qui-quadrado. Um valor de probabilidade de $p < .05$ foi tido como referencial mínimo para assumir a presença de diferenças estatisticamente significativas. Para além disso, os valores de ponto de corte (*cutoff)* dos questionários foram respeitados nesta análise, tendo por base os dados mencionados em estudos publicados.

4.5. Resultados

i. População e amostra

As características sociodemográficas e clínicas dos participantes estão descritas nas tabelas 20 e 21. De um total de 98 possíveis participantes, 40 haviam falecido e 20 não compareceram à consulta, tendo sido incluídos 38 neste estudo. Apesar do aumento da sobrevida, a taxa de mortes ainda é elevada e em torno de 50% (Baijens et al., 2021), o que condiciona o número de participantes.

Os dados recolhidos contemplaram o estadio do tumor (T), a localização (neste estudo doentes com cancro da orofaringe) e o tipo de tratamento (neste estudo apenas doentes submetidos a QRT), bem como a idade, comorbilidades e sexo, uma vez que estes são os que mais influenciam a QdV nestes doentes (Rogers, 2016). Todos os participantes receberam 70Gy no tratamento de RT, tendo terminado o seu tratamento em média há 42.3 meses ± 16.4 (desvio padrão), com uma mediana de 38.5 (25.8 - AIQ). Relativamente à idade média os participantes tinham 57.9±8.3 (desvio padrão) anos e mediana de 58.0 (13.2 - AIQ). Quanto aos anos de escolaridade frequentados obteve-se uma média 7.8±5.1 (desvio padrão) anos, com mediana 6.0 (5.0 – AIQ). No que respeita ao tempo de preenchimento dos questionários foram necessários em média 11 minutos, com tempo máximo de 15 e mínimo de 8, sendo que 94.7% dos participantes preferiram que o investigador lesse e/ou escrevesse as suas respostas (Tabela 21). Ainda sobre os dados sociodemográficos salientar a maior incidência do sexo masculino e da faixa etária entre os 50 e 70 anos e o nível baixo de escolaridade (Tabela 20).

No que respeita à caracterização clínica, a maioria dos participantes (81.6%) não apresentava outros problemas de saúde, contudo faziam medicação regular (60.6%). Quanto ao estadiamento tumoral, o grau IV foi o mais prevalente (73.7%) e a maioria dos doentes não tinha traqueostomia (94.7%). Os doentes haviam terminado o tratamento com RT entre dois e quatro anos, no momento da avaliação (52.6%). Relativamente à presença de alterações de deglutição e de voz, a disfagia (78.9%) foi em geral percebida pelos doentes, enquanto a disfonia o não (34.2%). A terapia da fala não se mostrou estar facilmente acessível para este grupo de participantes (92.1%). Não obstante as queixas de dificuldades no momento da alimentação, este grupo de doentes não evidenciou alterações ao nível da consistência dos sólidos ou líquidos (Tabela 21).

Tabela 20 - Caraterização demográfica da amostra (n=38).

Variável		n(%)
Sexo	Feminino	4 (10.5)
	Masculino	34 (89.5)
Idade	40-50	7 (18.4)
	50-60	13 (34.2)
	60-70	14 (36.8)
	>70	4 (10.5)
Estado civil	Casado	20 (52.6)
	Solteiro	6 (15.8)
	Divorciado	12 (31.6)
	Viúvo	0 (0)
Nível de escolaridade	1º ciclo	15 (39.5)
	2º ciclo	10 (26.3)
	3º ciclo	5 (13.2)
	Secundário	3 (7.9)
	Superior	5 (13.2)

Tabela 21 - Caraterização clínica da amostra (n=38).

Variável		n(%)
Problemas de saúde	Não	31 (81.6)
	Sim	7 (18.4)
Estadiamento tumor primário	T1	2 (5.3)
	T2	7 (18.4)
	T3	13 (34.2)
	T4	16 (42.1)
Estadiamento nódulos linfáticos regionais	N0	6 (15.8)
	N1	8 (21.1)
	N2	2 (5.3)
	N2b	12 (31.6)
	N2c	7 (18.4)
	N3	3 (7.9)
Estadiamento Metástases à distância	M0	38 (100)
	M1	0 (0)
Estadiamento tumor	I	2 (5.3)
	II	3 (7.9)
	III	5 (13.2)
	IVa	25 (65.8)
	IVb	3 (7.9)
Traqueostomia	Não	36 (94.7)
	Sim	2 (5.3)
Termino da RT (meses)	12-24	6 (15.8)
	24-36	10 (26.3)
	36-48	10 (26.3)
	48-60	3 (7.9)
	60-72	7 (18.4)
	>72	2 (5.3)
QT	Não	2 (5.3)
	Sim	36 (94.7)
Medicação diária	Não	15 (39.5)
	Sim	23 (60.5)
Disfagia	Não	8 (21.1)
	Sim	30 (78.9)
Disfonia	Não	25 (65.8)

	Sim	13 (34.2)
Terapia da fala	Não	35 (92.1)
	Sim	3 (7.9)
Ajuda a preencher o questionário	Não	2 (5.3)
	Leu as questões e/ou escreveu as respostas	36 (94.7)
	Respondeu às questões por si	0 (0)
	Ajudou de outra forma	0 (0)
FOIS	7	20 (52.7)
	6	9 (23.7)
	5	1 (2.6)
	4	5 (13.2)
	3	0 (0)
	2	0 (0)
	1	3 (7.9)
Via de administração da alimentação	Via oral	35 (92.1)
	SNG	0 (0)
	PEG	3 (7.9)
Consistência dos sólidos	Dieta regular	28 (73.7)
	Dieta mole	2 (5.3)
	Dieta puré	5 (13.2)
	SNG/PEG	3 (7.9)
Consistência dos líquidos	Finos	35 (92.1)
	Espessos	0 (0)
	NPO líquidos	3 (7.9)

n (%): frequência absoluta (frequência relativa), AIQ: Amplitude Interquartil; PEG; SNG; NPO

A QdV global foi avaliada com recurso aos questionários da EORTC, QLQ-C30 e QLQ-HN43. No primeiro, os resultados obtidos mostraram valores altos nas escalas funcionais, ou seja, boa QdV e baixos nas escalas de sintomas e simples, também indicativo de pouco impacto na QdV (Tabela 22). No segundo, obtiveram-se valores baixos, indicativos de boa QdV, ou seja, menos sequelas, tendo por base a perceção do doente (Tabela 23).

Tabela 22 - Resultados do EORTC QLQ-C30 por escalas.

Variável	média±desvio padrão, mediana (AIQ)
QdV global	70.4± 19.4, 70.8 (56.2-83.3)
Funcionamento físico	81.6± 18.9, 86.7 (71.6-95.0)
Desempenho	92.1± 13.8, 100.0 (83.3-100.0)
Funcionamento cognitivo	88.2± 15.9, 100.0 (83.3-100.0)
Funcionamento emocional	84.4± 17.2, 91.7 (66.7-100.0)
Funcionamento social	94.3± 11.1, 100.0 (95.8-100.0)
Fadiga	20.2± 20.8, 22.2 (0.0-33.3)
Náusea e vómitos	0.9± 3.8, 0.0 (0.0-0.0)
Dor	9.6± 14.8, 0.0 (0.0-16.7)
Dispneia	6.1± 15.2, 0.0 (0.0-0.0)
Insónia	23.7± 27.8, 16.6 (0.0-33.3)
Perda de apetite	7.0± 15.8, 0.0 (0.0-0.0)
Obstipação	6.1± 18.7, 0.0 (0.0-0.0)
Diarreia	2.6± 9.1, 0.0 (0.0-0.0)
Dificuldades financeiras	14.9± 28.7, 0.0 (0.0-33.3)
Resultado global	89.6± 8.0, 91.1 (82.8-96.3)

Tabela 23 - Resultados do EORTC QLQ-HN43 por escalas.

Variável	média±desvio padrão, mediana (AIQ)
Ansiedade	21.5± 22.9, 0.0 (0.0-33.3)
Imagem corporal	12.6± 16.0, 11.1 (0.0-22.2)
Tossir	2.6± 12.0, 0.0 (0.0-0.0)
Boca seca e saliva espessa	29.4± 25.2, 33.3 (0.0-50.0)
Edema no pescoço	0.0± 0.0, 0.0 (0.0-0.0)
Problemas neurológicos	16.7± 22.3, 0.0 (0.0-33.3)
Abertura de boca	14.0± 25.3, 0.0 (0.0-33.3)
Dor na boca, cabeça e pescoço	7.7± 11.2, 0.0 (0.0-10.4)
Sexualidade	16.2± 22.1, 0.0 (0.0-33.3)
Contacto social	9.6± 25.6, 0.0 (0.0-0.0)
Sentidos	18.0± 30.8, 0.0 (0.0-20.8)
Problemas nos ombros	7.4± 18.0, 0.0 (0.0-0.0)
Problemas de pele	3.5± 9.7, 0.0 (0.0-0.0)
Comer em público	16.4± 21.3, 8.3 (0.0-27.1)
Fala	15.8± 22.1, 6.7 (0.0-20.0)
Deglutição	21.3± 23.6, 16.7 (0.0-25.0)
Problemas com dentes	23.1± 25.4, 16.6 (16.6-36.1)
Perda de peso	14.0± 24.3, 0.0 (0.0-33.3)
Problemas com cicatrização de feridas	3.5± 12.9, 0.0 (0.0-0.0)

Relativamente à perceção das alterações vocais, avaliada pelo VHI-9i, aproximadamente 45% da amostra evidenciou incapacidade vocal, ou seja, alteração da QdV relacionada com a voz. Sendo os níveis de severidade moderada e severa expressivos, nesta amostra (Tabela 24). O valor médio obtido foi de 9.63, ou seja, alteração ligeira.

Tabela 24 - Classificação da incapacidade vocal (VHI-9i).

Severidade	VHI-9i	n(%)
0	≤5	21 (55.3)
1	6≤13	3 (7.9)
2	14≤22	8 (21.1)
3	23≤36	6 (15.8)

Da análise do SWAL-QOL verificou-se a presença de alterações ao nível da deglutição, pois todas as escalas se encontraram abaixo do valor de ponto de corte, ou seja, abaixo de 86 pontos. (Tabela 25).

Tabela 25 - Resultados do SWAL-QoL por escalas.

Variável	média±desvio padrão, mediana (AIQ)
Burden	60.5±33.8, 62.5 (25.0-100)
Desejo de comer	80.5±27.0, 95.8 (66.7-100)
Duração alimentação	51.6±38.2, 50.0 (12.5-90.6)
Frequência dos sintomas	78.3±17.3, 81.2 (63.4-95.0)
Seleção dos alimentos	71.7±31.9, 87.5 (50.0-100)
Comunicação	74.0±33.8, 93.8 (50.0-100)
Receios	70.2±31.6, 81.3 (43.8-100)
Saúde mental	70.8±30.9, 80.0 (47.5-100)
Funcionamento social	69.2±38.8, 100.0 (23.8-100)
Fadiga	72.8±25.3, 75.0 (50.0-93.8)
Sono	73.0±28.6, 75.0 (50.0-100)
Resultado global	69.7±20.5, 72.4 (51.9-89.9)

ii. Correlações entre perceção do doente e dados sociodemográficos e clínicos

Relativamente à correlação entre as variáveis sociodemográficas e as escalas dos questionários aplicados foi possível constatar correlações moderadas entre a variável sexo e a escala ansiedade do QLQ-HN43; a variável idade e as escalas problemas com os sentidos e de pele do QLQ-HN43 e sono do SWAL-QOL; a variável escolaridade e os problemas de peso do QLQ-HN43; e a variável estado civil e as escalas problemas com os sentidos, problemas com os dentes e ansiedade do QLQ-HN43. (Tabela 26)

Tabela 26 - Correlações entre escalas dos questionários e variáveis sociodemográficas.

		Variáveis sociodemográficas			
Questionário	Escala	Sexo	Idade	Escolaridade	Estado civil
QLQ-C30	Perda de apetite			0.342*	
	Obstipação	0.350*			
QLQ-HN43	Boca seca e saliva espessa			0.357*	
	Problemas com dentes				0.660**
	Problemas com sentidos		0.432*		0.502**
	Problemas de pele		0.402*		
	Problemas de peso		0.331*	0.428*	
	Ansiedade	0.554**		0.361*	-0.407*
SWAL-QOL	Sono		-0.419**	-0.329*	

*correlações significativas a um nível de p<0.05; ** correlações significativas a um nível de p<0.01

No que se refere à correlação entre as variáveis clínicas e as escalas do questionário da EORTC QLQ-C30 foi possível atestar múltiplas correlações entre as escalas do instrumento e as variáveis QT e terapia da fala, verificando-se assim, que o tratamento de QT teve efeitos adversos a vários níveis e a realização de terapia da fala mostrou-se como um facilitador (Tabela 27). Quanto ao QLQ-HN43, foram observadas mais correlações estatisticamente significativas, do que no anterior, sendo estes resultados provavelmente associados ao facto de este ser um instrumento específico para o cancro de cabeça e pescoço. As variáveis clínicas que mais frequentemente se correlacionaram com as escalas do QLQ-HN43 foram: traqueostomia, QT, disfonia, severidade da disfagia (FOIS) e as variáveis relacionadas com a caracterização da alimentação (via de alimentação, consistência de sólidos e líquidos). A presença de traqueostomia, realização de QT, presença de disfonia e restrições ao nível alimentar caracterizaram-se com valores mais altos no QLQ-HN43, ou seja, maior impacto negativo (Tabela 28). Relativamente ao SWAL-QOL, questionário específico para avaliar o impacto da disfagia, os resultados mostraram várias correlações estatisticamente significativas no âmbito das variáveis clínicas relacionadas com a traqueostomia, a disfagia e/ou disfonia, a severidade da disfagia (FOIS) e as características da alimentação (via de alimentação, consistência de sólidos e líquidos), sendo que na presença destas houve um impacto negativo na QdV relacionada com a disfagia. O resultado global do VHI-9i, correlacionou-se de forma estatisticamente significativa com a variável clínica traqueostomia, disfagia e/ou disfonia, severidade da disfagia (FOIS), via de alimentação e consistência de sólidos e líquidos, sendo que os doentes, na presença destas, tiveram resultados de maior incapacidade vocal (Tabela 29). Para uma análise mais detalhada dos resultados referentes a este capítulo poderá ser consultado o anexo X (Tabela 80 a 96).

Tabela 27 - Análise de correlação entre as escalas do questionário da EORTC QLQ-C30 e variáveis clínicas.

		Variáveis clínicas								
Questionário	Escala	Traqueostomia	QT	Disfonia	Disfagia	TF	FOIS	VA	Sólidos	Líquidos
QLQ-C30	Saúde global		-0.353*	-0.405*						
	Funcionamento físico	-0440**	-0.428**				-0.391**	-0.440**	-0.434**	-0.440*
	Desempenho		-0.475**					-0.625**	-0.326*	-0.625**
	Fadiga					0.452*				
	Náusea e vómitos					0.368*			0.344*	
	Dor					0.585*				
	Insónia	0.369*			0.404*					
	Perda de apetite		-0.398*							
	Obstipação							0.804**		0.804**

*correlações significativas a um nível de p<0.05; ** correlações significativas a um nível de p<0.01
QT=quimioterapia; TF=terapia da fala; FOIS=functional oral intake scale; VA= via de alimentação

Tabela 28 - Análise de correlação entre as escalas do questionário da EORTC QLQ-HN43 e variáveis clínicas.

		Variáveis clínicas											
Questionário	Escala	Problemas de saúde	Estadio	Traqueostomia	Término QT	QT	Disfonia	Disfagia	TF	FOIS	VA	Sólidos	Líquidos
QLQ- HN43	Dor na boca	0.496*		0.705**				0.330*			0.517**	0.453**	0.517**
	Problemas em engolir			0.628**				0.333*		0.602**	0.640**	0.800**	0.640**
	Problemas com dentes								0.380*	0.349*		0.393*	
	Abertura de boca	0.568**		0.789**		-0.491**				0.642**	0.603**	0.717**	0.603**
	Boca seca e saliva espessa							0.350*					
	Problemas nos sentidos			0.367*									
	Tossir				0.356*	-0.697**			0.561**				
	Imagem corporal			0.403*		-0.394*	0.334*	0.321*	0.455*		0.418*	0.444**	0.418*
	Comer em público			0.423**			0.679**	0.342*		0.522**	0.507**	0.722**	0.507**
	Problemas em falar	0.399*		0.802**			0.499**			0.435**	0.623**	0.675**	0.623**
	Contacto social		-0.453**				0.484**			0.469**		0.417**	
	Problemas na sexualidade									0.331*			
	Problemas nos ombros	0.605**		0.850**			0.422*			0.539*	0.683*	0.605**	0.683**
	Problemas de pele	0.492*		0.696**		-0.356*					0.560**	0.338*	0.560**
	Perda de peso									0.494**			
	Ansiedade								0.513**				
	Problemas na cicatrização de feridas								0.561**			0.404*	
	Problemas neurológicos			0.347*				0.380*					

*correlações significativas a um nível de p<0.05; ** correlações significativas a um nível de p<0.01
QT=quimioterapia; TF=terapia da fala; FOIS=functional oral intake scale; VA= via de alimentação

Tabela 29 - Análise de correlação entre as escalas do questionário SWAL-QOL e VHI-9i com as variáveis clínicas.

		Variáveis clínicas									
Questionário	Escala	Problemas de saúde	Traqueostomia	QT	Disfonia	Disfagia	TF	FOIS	VA	Sólidos	Líquidos
SWAL-QOL	*Burden*					-0.558**		-0.564**		-0.503**	
	Duração da alimentação					-0.405*			0.375*		0.375*
	Frequência dos sintomas					-0.412*					
	Seleção dos alimentos					-0.425**					
	Comunicação		-0.523**		-0.743**	-0.377*		-0.432**	-0.430**	-0.699**	-0.430**
	Receios					-0.350*		-0.322*		-0.425**	
	Saúde mental		-0.528**			-0.405*		-0.355*	-0.408*	-0.602**	-0.408*
	Funcionamento social		-0.303*		-0.542**	-0.380*		-0.522**	-0.401*	-0.879**	-0.401*
	Fadiga			0.451**		-0.325*	-0.430**				
	Sono	-0.328*									
VHI-9i	Total		0.320*		0.776**	0.429**		0.463**	0.363*	0.670**	0.363*

*correlações significativas a um nível de p<0.05; ** correlações significativas a um nível de p<0.01
QT=quimioterapia; TF=terapia da fala; FOIS=functional oral intake scale; VA= via de alimentação

Quando analisada a presença de diferenças estatisticamente significativas entre o questionário EORTC QLQ-C30 e as variáveis sociodemográficas e clínicas, verificou-se que não há diferenças face às primeiras. Contudo, ao nível das variáveis clínicas algumas das escalas apresentaram diferenças, evidenciando o seu impacto ao nível da QdV avaliada com o QLQ-30, nomeadamente a presença de traqueostomia, a realização de QT e variáveis relacionadas com a alimentação (FOIS, via de alimentação, consistência de sólidos e líquidos) com impacto negativo ou, a terapia da fala, com um impacto positivo nos resultados. (Tabela 30)

Tabela 30 - Análise das diferenças entre as variáveis clínicas e o questionário da EORTC QLQ-C30.

	TQ	QT	Disfonia	Disfagia	TF	FOIS	VA	Sólidos	Líquidos
Saúde global		.046	.015					.048	
Funcionamento físico	.034	.036			.010				
Desempenho		.048					.048	.024	.048
Dispneia		.011							
Dor					.013				
Fadiga		.046			.007				
Insónia	.046			.013					
Náusea e vómitos						.009		.004	
Obstipação						.024		.047	

*correlações significativas a um nível de p<0.05; ** correlações significativas a um nível de p<0.01
TQ = traqueostomia; QT=quimioterapia; TF=terapia da fala; FOIS=functional oral intake scale; VA= via de alimentação

Relativamente às diferenças estatisticamente significativas entre as variáveis sociodemográficas e clínicas com as escalas do questionário EORTC QLQ-HN43, constatou-se que, no que respeita às variáveis sociodemográficas sexo, escolaridade e estado civil observaram-se diferenças estatisticamente significativas, ou seja, houve diferenças relativamente à escala ansiedade e aos problemas de dentes entre homens e mulheres; o mesmo acontece face aos problemas com os sentidos e perda de peso relativamente à variável estado civil; diferenças quanto às dores na boca face à escolaridade. Das variáveis clínicas, um estadio da doença avançado, a presença de traqueostomia, a realização de QT, a presença de disfonia e/ou disfagia, a severidade da disfagia (FOIS) e as restrições nos alimentos sólidos e líquidos finos tiveram um impacto negativo nas escalas do questionário QLQ-HN43. (Tabela 31)

Tabela 31 - Análise das diferenças entre variáveis sociodemográficas e clínicas e o questionário da EORTC QLQ-HN43.

	Variáveis sociodemográficas				Variáveis clínicas									
	Sexo	Estado civil	Escolaridade	Problemas de saúde	Estadio	Traqueostomia	QT	Disfonia	Disfagia	TF	FOIS	VA	Sólidos	Líquidos
Dor na boca			.004	.010		.003			.029					
Problemas de deglutição						.006			.013		.003	.002	.001	.002
Problemas com dentes		.001												
Abertura da boca				.039		.003	.043				.001		.001	
Problemas com sentidos		.013												
Boca seca e saliva espessa									.034					
Tossir					.023								.001	
Imagem corporal						.048			.041			.021	.006	.021
Comer em público						.036		<.001	.021		.001	.007	<.001	.007
Problemas em falar						.003		.005			.045		.006	
Contacto social					.000						<.001		<.001	
Problemas sexualidade													.020	
Problemas com ombros					.000	.004					.003		.001	
Problemas de pele					.003						.035		.005	
Perda de peso		.019					.003				.022			
Ansiedade	.026									.048				
Problemas com cicatrização de feridas											.027		.012	
Problemas neurológicos									.031					

*correlações significativas a um nível de p<0.05; ** correlações significativas a um nível de p<0.01
QT=quimioterapia; TF=terapia da fala; FOIS=functional oral intake scale; VA= via de alimentação

Relativamente à presença de diferenças estatisticamente significativas entre as variáveis sociodemográficas e clínicas com as escalas do questionário SWAL-QOL foram identificadas apenas nas variáveis clínicas: traqueostomia, presença de disfagia e/ou disfonia, severidade da disfagia (FOIS), via de alimentação, consistência/textura dos alimentos, tendo estes um impacto negativo na QdV relacionada com disfagia, avaliada por este instrumento. (Tabela 32)

Tabela 32 - Resultados estatisticamente significativos entre SWAL-QOL e variáveis sociodemográficas e clínicas.

	Variáveis sociodemográficas	Variáveis clínicas								
	Escolaridade	TQ	QT	Disfagia	Disfonia	TF	FOIS	VA	Sólidos	Líquidos
Burden				<0.001			0.015		0.010	
Desejo de comer	0.0013									
Duração alimentação				0.026			0.010	0.013	0.003	0.013
Frequência dos sintomas				0.011						
Seleção dos alimentos				0.013						
Comunicação		0.011		0.013	<0.001		0.009	0.035	0.002	0.035
Receios				0.019			0.019		0.011	
Saúde mental		0.003		0.006	0.038		0.07		0.005	
Funcionamento social				0.019	0.002		<0.001	0.041	<0.001	0.041
Fadiga			0.046	0.031		0.035				
Sono										

*correlações significativas a um nível de p<0.05; ** correlações significativas a um nível de p<0.01
TQ = traqueostomia; QT=quimioterapia; TF=terapia da fala; FOIS=functional oral intake scale; VA= via de alimentação

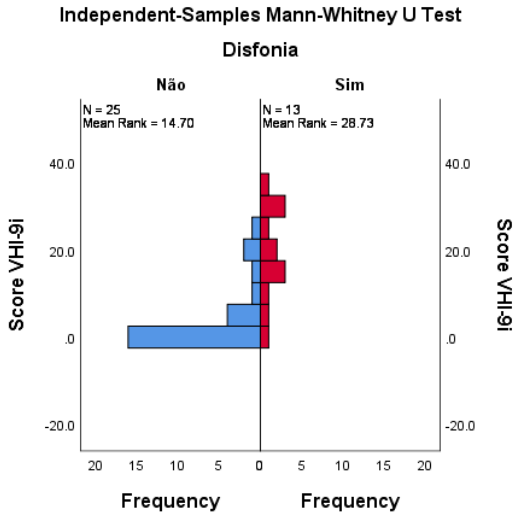
Entre as variáveis sociodemográficas e clínicas com o resultado global do questionário VHI-9i foram identificadas apenas diferenças estatisticamente significativas para as variáveis clínicas: disfagia, disfonia, severidade da disfagia (FOIS), via de alimentação e consistência de sólidos e líquidos, sendo a sua presença ou alteração indica incapacidade vocal (Tabela 33 e Gráfico 2).

Tabela 33 - Resultados estatisticamente significativos entre VHI-9i e as variáveis clínicas.

Variáveis	VHI-9i
Disfagia	0.003
Disfonia	<0.001
FOIS	0.009
VA	0.029
Sólidos	0.002
Líquidos	0.029

*correlações significativas a um nível de p<0.05; ** correlações significativas a um nível de p<0.01
FOIS=functional oral intake scale; VA= via de alimentação

Gráfico 2 - Distribuição da variável clínica “presença de disfonia" e o item o resultado total do VHI-9i.



iii. Correlações entre QdV geral e perceção da voz e da deglutição

Na análise de correlação entre os instrumentos de avaliação, VHI-9i, EORTC QLQ C-30, QLQ-HN43 e SWAL-QOL foi possível constatar que não ocorreram correlações estatisticamente significativas entre as escalas do QLQ C-30 e do VHI-9i. Contudo, na correlação do VHI-9i com o QLQ-HN43 observaram-se correlações positivas, uma vez que estes dois instrumentos se referem a sintomas e são cotados no mesmo sentido. Já com o SWAL-QOL a correlação foi negativa, também com a maioria das escalas, uma vez que as cotações destes instrumentos são inversas. (Tabela 34)

Da análise dos resultados da correlação entre os questionários da EORTC, verificou-se que o resultado global do QLQ-C30 apresentou correlações estatisticamente significativas com a maioria das escalas do QLQ-HN43. A escala de funcionamento físico apresentou correlações com as escalas do HN43 relacionadas com os aspetos mais físicos (p.e. dor na cabeça e pescoço, problemas em falar, perda de peso, problemas nos ombros, imagem corporal); as escalas desempenho e funcionamento social, com questões mais globais (p.e. tossir, imagem corporal e ansiedade); a escala funcionamento emocional, com escalas que poderão ter efeito a este nível (p.e. dor na cabeça e pescoço, problemas de dentes, boca seca e saliva espessa, tossir, imagem corporal, problemas em falar, ansiedade); a escala de dispneia relacionou-se com escalas no âmbito da coordenação respiração-deglutição (p.e. boca seca e saliva espessa, tossir, problemas em falar, perda de peso); a escala dor com a escala imagem corporal; a escala fadiga com escalas que

implicavam uma ação (p.e. dor na cabeça e pescoço e abertura de boca); a escala insónia e náusea/vómito com escalas relacionadas com a esfera orofacial (p.e. dor na cabeça e pescoço, problemas em engolir, abertura de boca, boca seca e saliva espessa, comer em público, problemas em falar, tossir); a escala obstipação com a cicatrização de feridas; a escala diarreia com problemas de pele; a escala dificuldades financeiras com a escala dor na cabeça e pescoço; e a escala de QdV global com as escalas relacionadas com problemas (p.e. problemas com os dentes, problemas em falar, comer em público). (Tabela 35)

As correlações entre o QLQ-C30 e o SWAL-QOL foram reduzidas, contudo foram encontradas algumas correlações estatisticamente significativas que passamos a enumerar: a escala funcionamento físico com *burden*, seleção dos alimentos, saúde mental e fadiga; a escala desempenho com *burden*, frequência de sintomas, seleção dos alimentos, saúde mental, funcionamento social, fadiga e sono; a escala funcionamento cognitivo com a escala sono; a escala funcionamento emocional com escalas operacionais relacionadas com o momento da refeição (p.e. desejo de comer, duração da alimentação, frequência de sintomas, seleção dos alimentos) e com escala de saúde mental, fadiga e sono; a escala funcionamento social com sono; a escala dispneia com *burden*, frequência dos sintomas, saúde mental, fadiga e sono; a escala insónia com *burden*, frequência dos sintomas, fadiga e sono; a escala perda de apetite com desejo de comer; a escala náusea/vómito com as escalas *burden*, frequência de sintomas, receios, saúde mental, fadiga e sono. O resultado total do QLQ-C30 apresentou correlações estatisticamente significativas com as escalas *burden*, desejo de comer, frequência de sintomas, saúde mental, fadiga e sono do SWAL-QOL. A escala dor, obstipação, diarreia, dificuldades financeiras e QdV global não mostraram correlações com as escalas do SWAL-QOL. (Tabela 36)

As correlações entre o QLQ-HN43 e o SWAL-QOL verificaram-se para a maioria das escalas do SWAL-QOL, nomeadamente *burden*, frequência de sintomas, comunicação, saúde mental, funcionamento social e fadiga. Relativamente ao HN43 as escalas que melhor se relacionaram com as escalas do SWAL-QOL mencionadas foram: dor na cabeça e pescoço, problemas em engolir, problemas com dentes, abertura de boca, boca seca e saliva espessa, imagem corporal, comer em público, problemas em falar e contacto social. (Tabela 37)

Para uma análise mais detalhada dos resultados referentes a este capítulo poderá ser consultado o anexo X (Tabela 80 à 96).

Tabela 34 - Correlação VHI-9i com os instrumentos: EORTC QLQ-C30 e QLQ-HN43 e SWAL-QOL.

		VHI-9i					
EORTC QLQ-C30	Funcionamento físico	-0,217	EORTC-HN43	Dor na cabeça e pescoço	.379*	SWAL-QOL	*Burden*	-.656**
	Desempenho	-0,230		Problemas em deglutir	.475**		Desejo de comer	-0,081
	Dispneia	0,125		Problemas com dentes	.359*		Duração da alimentação	-0,264
	Dor	0,125		Abertura de boca	0,225		Frequência dos sintomas	-.434**
	Fadiga	0,111		Boca seca e saliva espessa	0,194		Seleção dos alimentos	-.514**
	Insónia	0,236		Problemas nos sentidos	0,125		Comunicação	-.893**
	Perda de apetite	0,005		Tossir	-0,045		Receios	-.486**
	Náusea e vómitos	0,072		Imagem corporal	.485**		Saúde mental	-.659**
	Obstipação	0,180		Comer em público	.689**		Funcionamento social	-.796**
	Diarreia	-0,160		Problemas em falar	.723**		Fadiga	-0,192
	Funcionamento cognitivo	0,078		Contacto social	.385*		Sono	-0,249
	Funcionamento emocional	-0,223		Problemas na sexualidade	0,292			
	Funcionamento social	0,035		Problemas nos ombros	.465**			
	Dificuldades financeiras	0,216		Edema no pescoço				
	QdV global	-0,120		Problemas de pele	0,120			
	Resultado total	-0,206		Perda de peso	-0,049			
				Ansiedade	-0,043			
				Problemas na cicatrização de feridas	0,276			
				Problemas neurológicos	.389*			

*correlações significativas a um nível de p<0.05; ** correlações significativas a um nível de p<0.01

Tabela 35 - Análise de correlação entre EORTC QLQ-C30 e QLQ-HN43.

		EORTC QLQ-C30															
		Funcionamento físico	Desempenho	Dispneia	Dor	Fadiga	Insónia	Perda apetite	Náusea/vómito	Obstipação	Diarreia	Funcionamento cognitivo	Funcionamento emocional	Funcionamento social	Dificuldades financeiras	QdV global	Total
EORTC-HN43	Dor na cabeça e pescoço	-.410*	-0,168	0,225	0,213	.518**	.530**	0,071	.344*	0,128	-0,049	-0,069	-.371*	-0,218	.425**	-0,223	-.513**
	Problemas em deglutir	-0,209	-.361*	0,239	0,048	0,164	.342*	-0,194	.361*	0,068	-0,236	0,092	-0,126	-0,064	0,177	-0,193	-0,168
	Problemas com dentes	-0,135	-0,192	.375*	0,191	0,127	0,202	0,099	0,267	0,303	-0,092	0,162	-.360*	-0,044	-0,015	-.350*	-0,223
	Abertura de boca	-.475**	-0,185	.376*	0,122	.419**	.418**	0,148	.378*	0,130	-0,184	-0,126	-0,145	-0,076	0,069	-0,062	-.445**
	Boca seca e saliva espessa	-0,049	-0,214	.445**	0,048	0,209	.464**	0,214	.366*	0,051	0,115	-0,166	-.583**	-0,083	-0,175	-0,195	-.394*
	Problemas nos sentidos	-0,016	0,027	0,192	-0,131	-0,048	0,264	0,079	-0,174	0,212	0,139	0,029	-.335*	0,120	-0,091	-0,238	-0,137
	Tossir	-0,285	-.459**	.578**	0,112	.382*	0,141	-0,112	.486**	-0,092	-0,069	-0,079	-.325*	-.491**	-0,139	-0,233	-.345*
	Imagem corporal	-.419**	-.535**	0,234	.561**	0,171	0,218	0,310	0,245	0,114	-0,170	-0,012	-0,113	-.376*	-0,025	-0,180	-.451**
	Comer em público	-0,274	-0,260	0,310	0,186	0,124	.435**	0,288	0,209	0,225	-0,150	0,065	-0,299	-0,216	0,168	-.331*	-.387*
	Problemas em falar	-.329*	-0,260	.400*	0,161	0,262	.373*	0,094	0,116	0,184	0,064	0,131	-.354*	-0,002	-0,079	-.344*	-.363*
	Contacto social	-0,165	0,094	0,187	0,213	0,038	-0,192	-0,039	0,195	-0,168	-0,126	-0,038	0,137	-0,269	0,085	-0,238	0,024
	Problemas na sexualidade	-.399*	-0,280	.418**	0,066	0,249	-0,030	0,256	0,251	0,284	-0,064	-0,009	-.357*	-0,010	-0,163	-0,075	-.351*
	Problemas nos ombros	-.467**	-0,107	.345*	0,198	0,271	0,268	-0,046	0,207	0,256	0,145	-0,269	-0,091	-0,047	0,201	-0,025	-.367*
	Edema no pescoço																
	Problemas de pele	-.389*	-0,236	.464**	0,007	.344*	.337*	0,035	-0,092	0,319	.447**	0,038	-0,212	-0,172	-0,070	-0,166	-.444**
	Perda de peso	-.446**	-0,211	.568**	0,299	0,253	0,269	0,311	.467**	-0,113	-0,005	-0,222	-0,048	-.418**	-0,132	-0,120	-.407*
	Ansiedade	-0,234	-.360*	0,216	.370*	0,177	0,234	0,304	0,308	0,158	-0,144	-0,155	-.448**	-.360*	-0,106	-0,031	-.491**
	Problemas na cicatrização de feridas	-0,057	-0,232	-0,126	0,214	-0,082	-0,045	0,119	-0,069	.455**	-0,086	0,108	-0,208	-0,089	0,242	-0,042	-0,180
	Problemas neurológicos	-0,281	-0,312	-0,090	.407*	0,215	0,105	0,267	0,025	0,237	-0,231	-0,152	-0,284	-0,303	0,108	0,104	-.414**

*correlações significativas a um nível de p<0.05; ** correlações significativas a um nível de p<0.01

Tabela 36 - Análise de correlação entre EORTC QLQ-C30 e SWAL-QOL.

		EORTC QLQ-C30															
		Funcionamento físico	Desempenho	Dispneia	Dor	Fadiga	Insónia	Perda apetite	Náusea/vómito	Obstipação	Diarreia	Funcionamento cognitivo	Funcionamento emocional	Funcionamento social	Dificuldades financeiras	QdV global	Total
SWAL-QOL	*Burden*	.528**	.362*	-.398*	-0,260	-.470**	-.457**	-0,087	-.350*	-0,100	0,213	0,035	0,311	0,130	-0,249	0,194	.506**
	Desejo de comer	0,163	0,031	-0,138	0,108	-0,113	-0,278	-.405*	0,063	-0,227	0,143	0,260	.483**	-0,110	-0,060	-0,084	.365*
	Duração da alimentação	0,148	-0,100	-0,311	-0,048	-0,190	-0,250	-0,153	-0,239	0,105	0,180	0,240	.530**	0,061	-0,032	0,197	0,291
	Frequência dos sintomas	0,226	.347*	-.480**	-0,008	-0,302	-.510**	0,128	-.366*	-0,137	0,031	-0,019	.530**	0,079	-0,224	0,133	.399*
	Seleção dos alimentos	.344*	.351*	-0,239	-0,083	-0,188	-0,278	0,054	-0,087	-0,009	0,172	0,125	0,195	-0,038	-0,038	0,076	0,307
	Comunicação	0,197	0,180	-0,106	-0,202	-0,124	-0,082	0,070	-0,058	-0,187	0,086	-0,067	0,084	0,082	-0,047	0,107	0,142
	Receios	0,247	0,137	-0,219	-0,262	-0,195	-0,254	0,119	-.370*	0,190	0,059	0,294	0,220	-0,053	0,006	0,191	0,261
	Saúde mental	.438**	.437**	-.385*	-0,269	-.351*	-0,229	-0,132	-.332*	-0,320	0,197	0,071	.399*	0,077	0,067	0,128	.463**
	Funcionamento social	.359*	.322*	-0,118	-0,252	-0,149	-0,111	-0,122	-0,239	-0,192	0,260	0,115	0,160	0,116	-0,110	0,039	0,291
	Fadiga	.612**	.428**	-.524**	-0,255	-.692**	-.429**	-0,028	-.392*	-0,134	0,023	0,213	.544**	0,294	-0,277	0,011	.692**
	Sono	.353*	.343*	-.341*	-0,206	-.422**	-.437**	-0,263	-.381*	-0,269	0,027	.397*	.482**	.399*	-0,109	0,032	.658**

*correlações significativas a um nível de p<0.05; ** correlações significativas a um nível de p<0.01

Tabela 37 - Análise de correlação entre EORTC QLQ-HN43 e SWAL-QOL.

		SWAL-QOL										
		Burden	Desejo de comer	Duração da alimentação	Frequência dos sintomas	Seleção dos alimentos	Comunicação	Receios	Saúde mental	Funcionamento social	Fadiga	Sono
EORCT-HN43	Dor na cabeça e pescoço	-.466**	-0,036	-0,151	-.635**	-0,209	-0,293	-.350*	-.409*	-0,280	-.554**	-.353*
	Problemas em deglutir	-.687**	0,120	-0,185	-.620**	-.365*	-.329*	-.521**	-.356*	-.437**	-0,290	-0,121
	Problemas com dentes	-.470**	-0,271	-0,265	-.510**	-0,238	-0,256	-0,281	-.427**	-0,218	-0,192	-0,015
	Abertura de boca	-.410*	-0,044	-0,112	-.363*	-0,182	-0,197	-.381*	-.576**	-.394*	-.370*	-0,227
	Boca seca e saliva espessa	-.399*	-0,267	-0,275	-.669**	-0,214	-0,119	-0,313	-0,312	-0,050	-.504**	-.389*
	Problemas nos sentidos	-0,036	-0,259	-0,154	-0,257	-0,109	-0,093	-0,046	-0,188	-0,013	-0,062	-0,188
	Tossir	-0,302	0,059	-.337*	-0,293	-0,285	0,000	-0,225	-0,224	-0,121	-.365*	-0,311
	Imagem corporal	-.484**	-0,152	-0,220	-0,288	-.529**	-.486**	-.372*	-.637**	-.625**	-0,207	-.380*
	Comer em público	-.586**	-0,160	-.376*	-.484**	-0,285	-.554**	-0,300	-.517**	-.647**	-0,146	-0,161
	Problemas em falar	-.594**	-0,056	-0,308	-.449**	-0,294	-.649**	-.393*	-.568**	-.540**	-.334*	-0,123
	Contacto social	-.340*	.400*	-0,298	0,051	-0,067	-.435**	-0,280	-0,173	-.452**	0,001	0,183
	Problemas na sexualidade	-.426**	-0,216	-0,252	-0,073	-.323*	-0,236	-0,244	-.541**	-.505**	-0,224	-0,211
	Problemas nos ombros	-0,281	0,065	-0,022	-.334*	-0,091	-.538**	-0,256	-.460**	-.354*	-.341*	-0,149
	Edema no pescoço											
	Problemas de pele	-0,139	0,094	0,083	-0,121	0,051	-0,163	0,123	-0,192	-0,090	-.402*	-0,289
	Perda de peso	-0,282	-0,003	-0,195	-0,161	0,006	0,024	-0,124	-0,234	-0,179	-.419**	-0,250
	Ansiedade	-0,172	-0,295	-0,223	-.325*	-0,057	0,176	-0,194	-0,208	-0,105	-.432**	-.441**
	Problemas na cicatrização de feridas	-0,233	-.399*	-0,107	-0,296	-.358*	-0,180	0,022	-0,173	-0,246	0,141	-0,185
	Problemas neurológicos	-0,136	-0,058	-0,143	-0,128	-0,174	-.476**	-0,194	-.526**	-.485**	-0,235	-.474**

*correlações significativas a um nível de p<0.05; ** correlações significativas a um nível de p<0.01

4.6. Discussão

Relativamente ao sexo e à faixa etária os participantes deste estudo enquadraram-se na prevalência anteriormente reportada (Bjordal et al., 2000; Estêvão et al., 2016), bem como as características relacionadas com os problemas de saúde e o uso de medicação múltipla (Michelson et al., 2000). O estadiamento da amostra estava em concordância com os dados normativos da EORTC (Scott, 2008) e de autores portugueses (Estêvão et al., 2016). O mesmo ocorreu, relativamente ao tempo decorrido desde o término dos tratamentos e à manutenção dos efeitos na deglutição e na voz (Kraaijenga et al., 2016; Soldatova & Mirza, 2019). Os valores residuais de doentes com traqueostomia, tendo em conta o período pós tratamento da amostra, estava de acordo com o esperado (Zebralla, Wiegand, et al., 2021). Relativamente à intervenção em terapia da fala, os valores reduzidos já haviam sido reportados em estudos anteriores (Vieira et al., 2020). A toxicidade do tratamento com QRT foi uma preocupação a longo prazo e que poderá explicar as alterações encontradas neste estudo. Esta modificação no paradigma do tratamento, sendo o padrão terapêutico atual a indicação para tratamento não cirúrgico, destes doentes veio limitar o recurso a cirurgias, em caso de HPV positivo. (Haigentz et al., 2009)

Os valores médios obtidos nas várias escalas, tanto do QLQ-C30 como do QLQ-HN43, também estavam de acordo com os valores de referência (Bjordal et al., 2000; Nolte et al., 2019; Scott, 2008). No que respeita às alterações vocais, a percentagem de doentes que evidenciam a perceção desta alteração está de acordo com um estudo realizado (Kraaijenga et al., 2016), bem como o índice elevado da presença de alterações da deglutição no cancro de cabeça e pescoço (Lazarus, 2009; Soldatova & Mirza, 2019; Zebralla, Wichmann, et al., 2021), sendo mais elevado nos doentes com cancro da orofaringe (Carmignani et al., 2018; Zebralla, Wiegand, et al., 2021). Contudo, este último dado é contrariado por outros autores (Frowen et al., 2010). Estes resultados, que reportam alterações ao nível da voz e da deglutição, num grupo de doentes tratados com QT/RT por cancro não laríngeo, sugerem que as sequelas deste tipo de tratamento podem ter impacto a longo prazo (Soldatova & Mirza, 2019).

Não foram encontradas diferenças estatisticamente significativas relativamente ao efeito do sexo, na disfagia e na disfonia (Zebralla, Wichmann, et al., 2021). Os valores dos questionários da EORTC foram elevados, indicando impacto reduzido na QdV (Zebralla,

Wichmann, et al., 2021). No grupo específico da orofaringe, a partir dos resultados do impacto ao nível funcional, observaram-se valores de incapacidade mais elevados, tanto no SWAL-QOL como no VHI-9i, suportando que este grupo de doentes que realizam QRT pode ter um maior impacto na QdV relacionada com a deglutição e a voz (Zebralla, Wichmann, et al., 2021). A QdV correlacionou-se de forma forte entre o VHI-9i e a variável "problemas em falar" do EORTC-HN43 (r=0.723**), ao contrário de dados publicados (Zebralla, Wichmann, et al., 2021). Contudo, estes dados eram suportados na perceção do doente e não em dados de um questionário validado como na presente investigação. Apesar da idade não se ter mostrado, nesta amostra, como fator de diferenciação, por uma análise descritiva, verificou-se que os tumores da orofaringe estavam presentes em idade laboral, pelo que o impacto funcional na deglutição e na voz poderá ser uma barreira no regresso ao mesmo, não garantindo que os doentes assim tratados possam continuar a trabalhar (Isaksson et al., 2016; Verdonck-de Leeuw et al., 2010).

No que respeita ao estadiamento, constatou-se que graus mais elevados têm impacto negativo nas funções da deglutição e da voz (Rinkel et al., 2016; Zebralla, Wichmann, et al., 2021). O mesmo ocorreu na relação entre a presença de traqueostomia e o resultado funcional ao nível da voz e a presença de tubo de alimentação e disfagia. Estes resultados já haviam sido mencionados em estudos anteriores (Zebralla, Wiegand, et al., 2021), mas foram contraditórios face a outros (Patterson et al., 2014). Estes dados sugerem uma monitorização dos sintomas e correlação com os dados clínicos, visando uma tomada de decisão relativamente ao momento da descanulação e à remoção do tubo de alimentação. Assim, mais investigação e estudo é necessário para este tópico.

Estudos anteriores (Zebralla, Wichmann, et al., 2021) sugeriram a presença de impacto na QdV decorrente das alterações da deglutição e da voz, em concordância com o presente estudo, relativamente às diferenças entre a variável disfonia e saúde global e o VHI-9i, bem como a variável "problemas em falar" do QLQ-HN43 e do VHI-9i e ainda, o item "problemas em engolir", avaliado pelo questionário QLQ-HN43, com a presença de disfagia e várias escalas (*burden*, desejo de comer, frequência de sintomas) do SWAL-QOL com o resultado global do QLQ-C30. Acrescentar a relação estreita entre as alterações da deglutição e da voz, tal como reforçado pelas correlações obtidas neste estudo. Estes resultados foram indicadores da premência da disfagia e da disfonia, enquanto sequelas, na avaliação global da QdV nos doentes com cancro da orofaringe,

devido ao seu impacto. Tal, poderá estar associado aos efeitos dos tratamentos em áreas adjacentes, evidenciando que mesmo sem uma incidência direta, o tecido pode reagir como um todo, com a presença de cicatrizes e fibrose (Kumai, 2019), com redução da elasticidade e flexibilidade do mesmo (Pezdirec et al., 2019).

Ainda sobre as correlações entre as variáveis sociodemográficas e as escalas dos questionários, salientar que a perda de apetite, avaliada pelo QLQ-C30, nesta amostra aumentou com o aumento do número de anos de escolaridade. Contudo, num estudo de Michelson, verificou-se o oposto (Michelson et al., 2000), mas este referia-se a uma população saudável. Relativamente à obstipação, no presente estudo, as mulheres apresentaram valores mais elevados, comparativamente aos homens, contrariamente ao estudo de Nolte e colaboradores (Nolte et al., 2019). Os resultados da correlação da ansiedade, avaliada pelo QLQ-HN43, face ao sexo, evidenciaram maior prevalência nos homens, contudo outros estudos mencionaram que foram as mulheres que apresentaram valores mais elevados de ansiedade (Hammermüller et al., 2021). Esta diferença poderá estar relacionada com a utilização de um instrumento específico para a avaliação deste construto, ao contrário da presente investigação. Contudo, as alterações ao nível da ansiedade haviam sido anteriormente mencionadas (Lin et al., 2012).

A asusência de diferenças estatisticamente significativas entre o SWAL-QOL e as variáveis sociodemográficas (sexo, idade, escolaridade) e algumas clínicas (p.e. estadiamento) encontra-se de acordo com outros estudos, que indicaram resultados similares (Rinkel et al., 2016). Os doentes com via de alimentação entérica, bem como, com alterações da consistência dos sólidos ou líquidos, apresentaram maior impacto na QdV, avaliada pelos diversos instrumentos, tal como descrito em estudos anteriores (Jensen et al., 2006; Langendijk et al., 2008; Rinkel et al., 2016). As alterações associadas à QRT após o tratamento de cancro da cabeça e pescoço evidenciaram um conjunto de alterações ao nível da deglutição (Rinkel et al., 2016). Apesar da presente amostra apenas se reportar à região da orofaringe, os efeitos da QRT ocorreram não apenas no local do tumor, mas também nos tecidos circundantes (Rinkel et al., 2016), pelo que as alterações podem estar associadas às funções da deglutição e voz. Estas alterações permaneceram a longo prazo e por isso, no presente estudo, mesmo após mais de um ano do término do tratamento, ainda podiam ter impacto, tal como mencionado em outros estudos (Trotti et al., 2003).

A terapia da fala também se mostrou como fator potenciador da QdV deste doentes, contudo nesta amostra apenas uma pequena porção dos doentes tiveram acesso a este tipo de intervenção. Tal como em outros estudos, a reabilitação nesta área deveria ser implementada de forma transversal a esta população, pois apresenta resultados positivos (Kraaijenga, van der Molen, et al., 2015; van der Molen et al., 2009).

Apesar de não existirem dados normativos para a população oncológica, no que respeita ao impacto da voz na QdV, cerca de 45% da amostra evidenciou alterações, através do VHI-9i. Este resultado pode ser considerado indicativo de problemas vocais, tal como anteriormente descrito (Zebralla, Wichmann, et al., 2021).

A maioria dos dados sociodemográficos não foram preditores das alterações de deglutição e da voz, na presente investigação, contudo alguns dos dados clínicos, como a presença de disfagia e de disfonia, de traqueostomia, o tratamento de QT, a via de alimentação, a consistência dos sólidos e dos líquidos correlacionaram-se com a disfagia e a disfonia, tal como sugeridos por outros autores (Zebralla, Wichmann, et al., 2021). Salientar ainda que com recurso a instrumentos de avaliação mais específicos para a função (deglutição e voz), os participantes evidenciaram mais alterações, mesmo quando não a identificam quando questionados. Esta diminuição de autoperceção também poderá estar associada a fatores de acomodação e habituação, tendo em conta o tempo decorrido desde o término do tratamento.

Limitações do estudo

Este estudo foi limitado pelo desenho metodológico, por ser transversal e por isso, uma avaliação da QdV e da perceção ao nível da deglutição e da voz antes do tratamento não foram realizadas. Os doentes incluídos apresentavam diferentes tempos pós tratamento, contudo não se evidenciou discrepâncias face ao tempo decorrido. Assim, um estudo longitudinal com inclusão da avaliação antes do tratamento poderia enriquecer os dados sobre o impacto da QRT na deglutição e na voz dos doentes com cancro da orofaringe, bem como medidas objetivas de avaliação da voz e da deglutição. O facto de ser um conjunto de dados auto-reportados e apesar dos seus benefícios, como a obtenção de informação direta do doente, um viés significativo devido a respostas erradas não pode ser excluído. Um viés certamente não pode também ser excluído pela natureza da seleção

dos participantes (amostra por conveniência). As relações observadas nem sempre foram claras, relativamente à relação causa-efeito.

O tamanho reduzido da amostra, especialmente quando analisado por categorias, onde alguns conjuntos se referiam a ausência de dados, certamente tiveram impacto na não deteção de diferenças e, por isso, encontramos um menor número de correlações estatisticamente significativas.

Mais estudos com uma abordagem estratificada e colheita de medidas objetivos da voz e da deglutição são necessárias para avaliar os efeitos a longo prazo nestas funções e de que forma estas se relacionam com a perceção do doente. Para um melhor conhecimento este tópico deverá ser estudado de forma prospetiva, bem como a eficácia dos tratamentos médicos e de reabilitação. Estes dados poderão conduzir a modificações de ação, nos serviços que fazem o atendimento destes doentes.

4.7. Conclusão

Este estudo mostrou o valor dos resultados reportados pelo doente na prática clínica, sendo um dos seus pontos fortes a utilização de instrumentos estruturados e validados. Os problemas vocais e de deglutição no dia-a-dia dos doentes com cancro da orofaringe mostraram-se frequentes após o tratamento médico.

O uso de uma abordagem holística deverá assentar em aspetos funcionais, fisiológicos, psicológicos e associados à alimentação e comunicação, promovendo uma alimentação e comunicação eficaz.

Os cuidadores formais, bem como a família deverão fazer parte desta equipa. Desta forma, os cuidados prestados aos doentes com cancro da orofaringe devem permitir o controlo dos sintomas e dos efeitos secundários dos tratamentos realizados. Para isso, uma comunicação efetiva entre o doente e o clínico é crucial. Apesar dos valores de sobrevida relatados em estudos, o foco nos efeitos da toxicidade dos tratamentos, através de medidas de QdV devem ser elencados. Assim, a monitorização e a avaliação dos sobreviventes e o tratamento precoce de sintomatologia associada ao tratamento poderá permitir um melhor controlo do impacto no funcionamento diário e bem-estar, através da utilização sistemática de instrumentos de avaliação da QdV.

Nos próximos capítulos V e VI estudar-se-á a relação entre a avaliação instrumental e avaliação percetiva, para uma compreensão integrada de conceitos e assente nos desafios da prática clínica.

Capítulo V - Videoendoscopia da deglutição e avaliação subjetiva da deglutição - que relações?

5.1. Abstract

Objective: Treatment with chemoradiotherapy for oropharyngeal cancer can induce dysphagia, with specific patterns. Physiological data do not allow a comprehensive understanding about of the experience of living with dysphagia. Thus, the aim of this study was to assess the relationship between objective evaluation of swallowing and the patient's perception.

Method: A cross-sectional study of patients who underwent chemoradiotherapy treatment with curative intent for oropharyngeal cancer and are disease free. The evaluation included fiberoptic endoscopic evaluation of swallowing, EORTC-C30, HN43 and SWAL-QOL. Non-parametric analysis and regression was performed.

Results: 38 patients undergoing chemoradiotherapy with curative intent were included. Most were man (34, 89.5%), aged over 40 years. Means of questionnaires (EORTC-C30 89.6, HN43 13.3, and SWAL-QOL 69.7) show changes in the impact of treatment sequelae on QoL. Variables related to safety, efficiency and physiological measures were the most frequently related to QoL scales. However, a pattern and possible predictor were not identified. A significant correlation was found between the FEES scores and total C30 and HN43 scores, especially for residuals and aspiration.

Conclusion: The results show a poor association between objective and subjective measures; therefore, it is concluded that objective assessment differs from subjective assessment. However, for a comprehensive assessment, objective and subjective measures should be considered from time of diagnosis, including assessment by the speech therapist.

Key words: head and neck cancer, dysphagia, deglutition disorders, patient's perception, instrumental assessment, PRO

5.2. Resumo

Objetivo: O tratamento com quimioradioterapia, para cancro da orofaringe pode induzir disfagia, com padrões específicos. Os dados fisiológicos por si só, não permitem uma compreensão ampla da experiência de viver com disfagia. Assim, o objetivo deste estudo foi avaliar a relação entre a avaliação objetiva da deglutição e a perceção do doente.

Método: estudo transversal de doentes que realizaram tratamento com quimioradioterapia com intenção curativa para cancro da orofaringe e estão livres de doença. A avaliação incluiu videoendoscopia da deglutição, EORTC-C30, HN43 e SWAL-QOL. Foi realizada análise não paramétrica e regressão.

Resultados: 38 doentes submetidos a quimioradioterapia com intenção curativa foram incluídos. A maioria homens (34, 89.5%) com idade superior a 40 anos. Média do EORTC-C30 89.6, do HN43 13.3 e do SWAL-QOL 69.7, mostraram alterações ao nível do impacto das sequelas dos tratamentos na QdV. As variáveis relacionadas com segurança, eficiência e medidas fisiológicas foram as que mais frequentemente se relacionaram com escalas de QdV. Uma correlação significativa foi encontrada entre os resultados da videoendoscopia da deglutição e o resultado total do QLQ-C30 e QLQ-HN43, especialmente para resíduos e aspiração.

Conclusão: Os resultados mostraram uma pobre associação entre as medidas objetivas e subjetivas, conclui-se por isso, que estas duas formas de avaliação são diferentes, mas complementares. Para uma avaliação compreensiva devem ser contempladas medidas objetivas e subjetivas desde o momento do diagnóstico, incluindo avaliação realizada pelo terapeuta da fala.

Palavras-chave: cancro de cabeça e pescoço, disfagia, perturbação da deglutição, perceção do doente, avaliação instrumental, PRO

5.3. Introdução

O tratamento com quimioradioterapia (QRT), por cancro da cabeça e pescoço, pode conduzir a várias alterações na função da deglutição, com padrões específicos (Agarwal et al., 2011; Eisbruch et al., 2002; Lazarus, 2009). A disfagia orofaríngea (DO) pode estar presente mesmo antes do tratamento, considerando-se uma prevalência global de 28 a 80%. Desta forma, constata-se que a DO estará presente na maioria dos doentes acometidos por cancro da cabeça e pescoço e, desta forma poderá afetar a QdV, em todas as fases da doença (de Oliveira Faria et al., 2021), mas também a sobrevida (Shune et al., 2012). Os doentes submetidos apenas a radioterapia (RT), podem apresentar alterações por um tempo prolongado (de Oliveira Faria et al., 2021; Logemann et al., 2008), podendo persistir até 40 anos após (Lazarus, 1993). Por isso, este tratamento é apontado como aquele com maior impacto funcional (Lazarus, 2009). Quando se recorre a RT e quimioterapia (QT) a prevalência de DO é ainda mais evidente. Tendo por base os valores de prevalência da disfagia, o terapeuta da fala, deverá estar integrado na equipa (Shune et al., 2012). Estudos, mostram resultados positivos, quando este profissional intervém preventivamente (Lazarus, 2009). Assim, tanto na prevenção, como na avaliação e intervenção da DO, o terapeuta da fala torna-se um elemento imprescindível.

Os tratamentos não cirúrgicos (QRT) acarretam múltiplos efeitos como, mucosite, náuseas, perda de apetite, fadiga, perda ou redução do paladar e fibrose (Agarwal et al., 2011; Lazarus, 2009), bem como xerostomia (Soldatova & Mirza, 2019). Os efeitos secundários da QRT podem cursar com alterações agudas ou tardias. Para alguns doentes o processo de cura pode resultar em fibrose, linfedema, formação de tecido cicatricial e perturbação neurológica, o que condiciona a função de deglutição (Schindler et al., 2015). Decorrente destes, surgem complicações na função de deglutição, como a diminuição da amplitude e força da língua, perturbação na formação do bolo alimentar e seu transporte, tempos de trânsito oral aumentados e resíduos, são algumas das consequências apontadas, na fase oral. Relativamente à fase faríngea da deglutição, os estudos mencionam perturbação no movimento de retropropulsão da língua, encerramento velofaríngeo, atraso no reflexo de deglutição, redução da contração faríngea, diminuição da elevação e anteriorização do complexo hiolaríngeo, redução do encerramento glótico e vestibular e redução da abertura do esfíncter esofágico superior (EES), com limpeza do bolo ineficaz e aspiração (Eisbruch et al., 2004; Lazarus, 2009; Lazarus et al., 2007; Pauloski et al., 2009; Rademaker et al., 1994). A aspiração, muitas vezes é silenciosa (Lazarus, 2009),

pois o reflexo de tosse pode não estar presente ou estar alterado (Nguyen et al., 2007; Nguyen et al., 2008). Estas alterações vão também sendo diferenciadas no período após tratamento (Pauloski et al., 2006) e de acordo com o estadiamento (Machtay et al., 2008). Contudo, outro estudo menciona que em estadios mais avançados os doentes com cancro da cabeça e pescoço têm menos impacto na deglutição e uma melhora mais significativa da disfagia (Salama et al., 2008).

Os dados fisiológicos expostos, não permitem uma compreensão ampla do quadro clínico e da experiência de viver com disfagia. Assim, a avaliação da perceção reportada pelos doentes foi crescendo em termos de investigação, mas o mesmo não se refletiu na prática clínica (Hedström et al., 2018). Assim, surgiu a necessidade de estudar a relação entre as medidas objetivas da deglutição e as queixas reportadas pelos doentes. Contudo, os resultados mostram-se discordantes. Em alguns, apenas se observaram relações com a consistência e não com os achados fisiológicos (Pauloski et al., 2009), outros referem que os doentes percebem a alteração da deglutição, mas não analisaram que alterações têm maior relação com a disfagia (Pauloski et al., 2002). Outros mencionam ainda, que apesar da perceção global de QdV ser estável ou melhor após 24 meses, os efeitos da toxicidade mostram uma correlação com a disfagia e a capacidade de comer em público (Lazarus, 2009). Verifica-se por isso, que os resultados dos estudos têm uma pobre associação entre as medidas objetivas e subjetivas (Gillespie et al., 2005; Jensen et al., 2007; Pedersen et al., 2016; van der Molen et al., 2009). Por isso, torna-se tão importante a recolha da perspetiva do doente, em ambiente de pesquisa, mas também na prática clínica (Manduchi et al., 2022; Soldatova & Mirza, 2019; Wilson & Cleary, 1995). Assim, com este estudo pretendeu-se contribuir para uma melhor compreensão da relação entre as medidas objetivas da avaliação da deglutição, através da videoendoscopia da deglutição e da perceção reportada pelo doente, através de instrumentos validados para a população oncológica, nos doentes que realizam tratamento não cirúrgico, com intenção curativa por cancro da orofaringe.

5.4. Métodos

Para estudar o impacto dos efeitos da QRT na deglutição, no doente com cancro da orofaringe, tendo por base a perceção reportada pelo doente foi levada a cabo uma pesquisa transversal descritiva, com recurso a uma amostra de conveniência. O estudo foi previamente aprovado pela Comissão de Ética do Instituto Português de Oncologia Francisco Gentil - Porto (IPO-Porto) (Anexo II). Para este estudo foram recolhidos dados objetivos e subjetivos. Para a colheita dos primeiros, recorreu-se à avaliação endoscópica da deglutição, realizada em gabinete próprio. Tendo em conta o período pandémico, todos os doentes foram submetidos a teste de antigénio previamente. O exame de videoendoscopia, realizado sempre pelo mesmo médico otorrinolaringologista (ORL) decorreu durante a consulta de seguimento no IPO-Porto. Posteriormente foram recolhidos, em outro gabinete de consulta, com a investigadora principal, os dados subjetivos, ou seja, a perceção reportada da deglutição pelos doentes, por meio dos questionários da EORCT QLQ-C30 e HN-43 e do SWAL-QOL.

i. Participantes

Doentes com cancro da orofaringe e que realizaram tratamento com intenção curativa com QRT que se deslocaram à consulta de Otorrinolaringologia da clínica de cabeça e pescoço do IPO-Porto, em consulta de *follow-up*, foram incluídos, tendo por base os seguintes critérios.

Critérios de inclusão: ter realizado QRT para cancro da orofaringe com *follow-up* mínimo de um ano (alguns efeitos secundários dos tratamentos não cirúrgicos podem surgir apenas 90 dias após, pensando nesta trajetória e nos efeitos crónicos e a longo prazo (Vissink et al., 2003); sem doença ativa (Perry et al., 2016); ter o Português Europeu como língua materna; consentir participar.

Critérios de exclusão: outra condição médica conhecida que contribua para a hipofunção das glândulas salivares e/ou disfonia e/ou disfagia (p.e. problemas neurológicos, problemas gastroenterológicos); tratamentos anteriores dirigidos à otimização da fonação e da deglutição; e ingestão de fármacos que possam afetar estas funções.

Foram recolhidos dados sociodemográficos (sexo, idade, estado civil e escolaridade) e clínicos (problemas de saúde, medicação, estadio do tumor, tipo de tratamento, término

do tratamento, presença de disfagia e/ou disfonia, intervenção em terapia da fala, nível severidade da disfagia (FOIS), via de alimentação e consistência dos sólidos e líquidos) (consultar guião de recolha de dados no anexo V). Para além da autorização para participar no estudo, foi igualmente solicitado consentimento para guardar as imagens vídeo resultantes do exame endoscópico.

ii. Avaliação da deglutição

A função da deglutição dos participantes foi avaliada com recurso à videoendoscopia da deglutição (VED), uma ferramenta estandardizada (Aviv et al., 2000), uma vez que este permite a avaliação da sensibilidade, comumente afetada após a RT (Lazarus et al., 2007). O protocolo inicial foi adaptado para a presente investigação com base na literatura (Bastian, 1991; Fuller et al., 2009; Ickenstein, 2013) e contemplava três partes: 1) observação do movimento das estruturas e sensibilidade - nasofaringe, orofaringe/hipofaringe, laringe e sensibilidade, por meio de resposta dicotómica; 2) avaliação da deglutição propriamente dita - provas com alimento, por meio de escala ordinal ou dicotómica; e 3) avaliação da aspiração, com recurso à Escala de Penetração e Aspiração (Colodny, 2002; Rosenbek et al., 1996) e Escala de Desobstrução mediante pedido (Murray et al., 1996). Efetuou-se também a recolha de medidas temporais. (Anexo XI). Na avaliação da deglutição propriamente dita (parte II) para a aquisição das medidas/achados fisiopatológicos, o doente estava em posição sentada e foram administradas as seguintes quantidades/consistências:

- 3 colheres de 10mL de líquido fino;
- 3 colheres de 10mL de líquido espessado a pudim - uso de espessante alimentar à base de goma xantana - espessante claro NM dos laboratórios Cantabria®;
- 3 porções de 1/2 bolacha tostada.

Às porções à base de água foi adicionado corante alimentar azul. A ponta do endoscópio foi posicionada acima da epiglote, ou seja, numa posição alta. As imagens da videoendoscopia da deglutição foram recolhidas pelo médico ORL com recurso a um computador DELL®, câmara Symbioz Comeg Cam1, com fonte de luz Nova 300watt Xenon e fibroscópio Pentax FNL-10RBS e gravadas diretamente num disco externo portátil (PEN). Não se utilizou vasoconstritor nasal ou qualquer outro anestésico tópico na mucosa nasal. Depois da avaliação endoscópica realizada pelo médico ORL e acompanhado pela investigadora principal, os vídeos gravados, com omissão da história

clínica e identificação do doente, foram analisados de forma independente por dois investigadores, para testar validade interobservador. Estas medidas foram recolhidas através da análise dos vídeos em *slow motion* e *frame* por *frame*, recolhendo informações sobre o tempo (Pauloski et al., 2009). O visionamento dos vídeos em QuickTime (Apple Inc.®) permite a análise avançada *frame* a *frame*, determinando o *frame* exato onde os eventos iniciam e terminam.

iii. Avaliação da deglutição auto-reportada pelo doente

Como instrumentos de avaliação QdV foram utilizados: EORTC QLQ C-30 e EORTC QLQ-HN43, como instrumentos específicos para doentes oncológicos da cabeça e pescoço; e o SWAL-QOL para avaliação da perceção do impacto da disfagia.

O QLQ-C30 (versão 3) é composto por cinco escalas funcionais, três escalas de sintomas, o estado global de saúde/escala de QdV e seis itens simples para avaliação de sintomas ou problemas adicionais (Aaronson et al., 1993; Fayers, Aaronson, Bjordal, Groenvold, Curran, Bottomley, et al., 2001). O QLQ-HN43, composto por doze dimensões e sete itens simples (Singer et al., 2019), num total de 43 itens. Os resultados são de 0-100 (Bjordal et al., 1999), no QLQ-C30 segue uma direção positiva, mas no QLQ-HN43 tem o sentido inverso. Como valor de corte, clinicamente relevante, foi definida uma diferença de 10% relativamente ao valor máximo do instrumentos, ou seja, de 10 pontos (Ringash et al., 2007).

O SWAL-QOL (McHorney, Bricker, Kramer, et al., 2000; McHorney, Bricker, Robbins, et al., 2000; Rinkel et al., 2009; Vieira et al., 2020) avalia o impacto da disfagia na QdV (Jones et al., 2018). Composto por 44 itens que se organizam em 10 dimensões e resultado entre 0-100, sendo que valores mais altos indicam melhor resultado (McHorney et al., 2002). O ponto de corte para este instrumento é uma diferente de 14 pontos (Rinkel et al., 2009).

iv. Análise estatística

Os dados recolhidos foram analisados com recurso ao software SPSS® versão 27. Os resultados dos questionários (QLQ-C30, QLQ-HN43, SWAL-QOL) foram convertidos para uma escala de 0-100, de acordo com as orientações de cada um (Aaronson et al., 1993; Fayers, Aaronson, Bjordal, Groenvold, Curran, Bottomley, et al., 2001; McHorney

et al., 2002). Foi realizada análise descritiva para reportar médias e desvio-padrão. As variáveis categoriais foram apresentadas por número e percentagem. As relações entre os resultados da avaliação instrumental da deglutição (VED) e da perceção do doente (QLQ-C30, QLQ-HN43, SWAL-QOL), bem como destas com variáveis sociodemográficas e clínicas, foram inicialmente explorados recorrendo ao teste de correlação de *Spearman* (*rho*) (para variáveis ordinais). Posteriormente, foram analisadas as diferenças entre as variáveis com recurso ao teste de *Kruskall-Wallis* (para variáveis com mais do que duas categorias) ou *Mann-Whitney* (para variáveis com duas categorias) de acordo com características das mesmas. Um valor de $p \leq .05$ foi considerado estatisticamente significativo. Para além disso, os valores de ponto de corte (*cutoff)* dos questionários foram respeitados nesta análise, tendo por base os dados mencionados em estudos publicados. Para a análise da concordância interobservador recorreu-se ao teste de correlação de *Spearman*, tendo-se obtido para as variáveis da VED correlações moderadas a perfeitas. (Tabelas 97 a 107, no anexo XIV; Tabelas 108 e 109, no anexo XV)

5.5. Resultados

i. População e amostra

As características sociodemográficas e clínicas dos participantes estão descritas nas tabelas 38 e 39 e foram recolhidos de acordo com as que mais influenciam a QdV nestes doentes (Rogers, 2016). De um total de 98 possíveis participantes, 40 haviam falecido e 20 não compareceram à consulta, tendo sido incluídos 38 neste estudo. O preenchimento dos questionários demorou em média 8 minutos, com tempo máximo de 10 e mínimo de 5, sendo que 94.7% dos participantes preferiram que o investigador lesse e/ou escrevesse as suas respostas.

Tabela 38 - Caraterização demográfica da amostra (n=38).

Variável		n(%)
Sexo	Feminino	4 (10.5)
	Masculino	34 (89.5)
Idade	40-50	7 (18.4)
	50-60	13 (34.2)
	60-70	14 (36.8)
	>70	4 (10.5)
Estado civil	Casado	20 (52.6)
	Solteiro	6 (15.8)
	Divorciado	12 (31.6)
	Viúvo	0 (0)
Nível de escolaridade	1º ciclo	15 (39.5)
	2º ciclo	10 (26.3)
	3º ciclo	5 (13.2)
	Secundário	3 (7.9)
	Superior	5 (13.2)

Tabela 39 - Caraterização clínica da amostra (n=38).

Variável		n(%)
Problemas de saúde	Não	31 (81.6)
	Sim	7 (18.4)
Estadiamento tumor primário	T1	2 (5.3)
	T2	7 (18.4)
	T3	13 (34.2)
	T4	16 (42.1)
Estadiamento nódulos linfáticos regionais	N0	6 (15.8)
	N1	8 (21.1)
	N2	2 (5.3)
	N2b	12 (31.6)
	N2c	7 (18.4)
	N3	3 (7.9)
Estadiamento Metástases à distância	M0	38 (100)
	M1	0 (0)

Variável		n(%)
Estadiamento tumor	I	2 (5.3)
	II	3 (7.9)
	III	5 (13.2)
	IVa	25 (65.8)
	IVb	3 (7.9)
Traqueostomia	Não	36 (94.7)
	Sim	2 (5.3)
Termino da RT (meses)	12-24	6 (15.8)
	24-36	10 (26.3)
	36-48	10 (26.3)
	48-60	3 (7.9)
	60-72	7 (18.4)
	>72	2 (5.3)
QT	Não	2 (5.3)
	Sim	36 (94.7)
Medicação diária	Não	15 (39.5)
	Sim	23 (60.5)
Disfagia	Não	8 (21.1)
	Sim	30 (78.9)
Disfonia	Não	25 (65.8)
	Sim	13 (34.2)
Terapia da fala	Não	35 (92.1)
	Sim	3 (7.9)
Ajuda a preencher o questionário	Não	2 (5.3)
	Leu as questões e/ou escreveu as respostas	36 (94.7)
	Respondeu às questões por si	0 (0)
	Ajudou de outra forma	0 (0)
FOIS	7	20 (52.7)
	6	9 (23.7)
	5	1 (2.6)
	4	5 (13.2)
	3	0 (0)
	2	0 (0)
	1	3 (7.9)
Via de administração da alimentação	Via oral	35 (92.1)
	SNG	0 (0)
	PEG	3 (7.9)
Consistência dos sólidos	Dieta regular	28 (73.7)
	Dieta mole	2 (5.3)
	Dieta puré	5 (13.2)
	SNG/PEG	3 (7.9)
Consistência dos líquidos	Finos	35 (92.1)
	Espessos	0 (0)
	NPO líquidos	3 (7.9)

n (%): frequência absoluta (frequência relativa), AIQ: Amplitude Interquartil; PEG; SNG; NPO

Da análise dos resultados da média do QLQ-C30 verificou-se que as escalas: desempenho, funcionamento social, náusea e vómito, dor, dispneia, perda de apetite, obstipação e diarreia se encontravam dentro da normalidade. O valor global deste questionário encontrava-se no limite entre a normalidade e alteração (Tabela 40), ou seja, os participantes não apresentavam alterações ao nível da QdV (Tabela 43). Relativamente ao HN43, não se observaram alterações clinicamente relevantes (Tabela 41), contudo pela

análise por ponto de corte 50% dos participantes evidenciaram alterações da QdV (Tabela 43). Da análise do SWAL-QOL verificou-se que, para todas as escalas, o valor médio está abaixo do ponto de corte, ou seja, indicativo de alteração da deglutição, tendo por base a perceção do doente (Tabela 42). Numa análise dos resultados do SWAL-QOL verificou-se que 63.2% dos participantes apresentaram alterações da QdV relacionada com a deglutição (Tabela 43).

Tabela 40 - Resultados do EORTC QLQ-C30 por escalas.

Variável	média±desvio padrão, mediana (AIQ)
QdV global	70.4± 19.4, 70.8 (56.2-83.3)
Funcionamento físico	81.6± 18.9, 86.7 (71.6-95.0)
Desempenho	92.1± 13.8, 100.0 (83.3-100.0)
Funcionamento cognitivo	88.2± 15.9, 100.0 (83.3-100.0)
Funcionamento emocional	84.4± 17.2, 91.7 (66.7-100.0)
Funcionamento social	94.3± 11.1, 100.0 (95.8-100.0)
Fadiga	20.2± 20.8, 22.2 (0.0-33.3)
Náusea e vómitos	0.9± 3.8, 0.0 (0.0-0.0)
Dor	9.6± 14.8, 0.0 (0.0-16.7)
Dispneia	6.1± 15.2, 0.0 (0.0-0.0)
Insónia	23.7± 27.8, 16.6 (0.0-33.3)
Perda de apetite	7.0± 15.8, 0.0 (0.0-0.0)
Obstipação	6.1± 18.7, 0.0 (0.0-0.0)
Diarreia	2.6± 9.1, 0.0 (0.0-0.0)
Dificuldades financeiras	14.9± 28.7, 0.0 (0.0-33.3)
Resultado global	89.6± 8.0, 91.1 (82.8-96.3)

Tabela 41 - Resultados do EORTC QLQ-HN43 por escalas.

Variável	média±desvio padrão, mediana (AIQ)
Ansiedade	21.5± 22.9, 0.0 (0.0-33.3)
Imagem corporal	12.6± 16.0, 11.1 (0.0-22.2)
Tossir	2.6± 12.0, 0.0 (0.0-0.0)
Boca seca e saliva espessa	29.4± 25.2, 33.3 (0.0-50.0)
Edema no pescoço	0.0± 0.0, 0.0 (0.0-0.0)
Problemas neurológicos	16.7± 22.3, 0.0 (0.0-33.3)
Abertura de boca	14.0± 25.3, 0.0 (0.0-33.3)
Dor na boca, cabeça e pescoço	7.7± 11.2, 0.0 (0.0-10.4)
Sexualidade	16.2± 22.1, 0.0 (0.0-33.3)
Contacto social	9.6± 25.6, 0.0 (0.0-0.0)
Sentidos	18.0± 30.8, 0.0 (0.0-20.8)
Problemas nos ombros	7.4± 18.0, 0.0 (0.0-0.0)
Problemas de pele	3.5± 9.7, 0.0 (0.0-0.0)
Comer em público	16.4± 21.3, 8.3 (0.0-27.1)
Fala	15.8± 22.1, 6.7 (0.0-20.0)
Deglutição	21.3± 23.6, 16.7 (0.0-25.0)
Problemas com dentes	23.1± 25.4, 16.6 (16.6-36.1)
Perda de peso	14.0± 24.3, 0.0 (0.0-33.3)
Problemas com cicatrização de feridas	3.5± 12.9, 0.0 (0.0-0.0)

Tabela 42 - Resultados do SWAL-QoL por escalas.

Variável	média±desvio padrão, mediana (AIQ)
Burden	60.5±33.8, 62.5 (25.0-100)
Desejo de comer	80.5±27.0, 95.8 (66.7-100)
Duração alimentação	51.6±38.2, 50.0 (12.5-90.6)
Frequência dos sintomas	78.3±17.3, 81.2 (63.4-95.0)
Seleção dos alimentos	71.7±31.9, 87.5 (50.0-100)
Comunicação	74.0±33.8, 93.8 (50.0-100)
Receios	70.2±31.6, 81.3 (43.8-100)
Saúde mental	70.8±30.9, 80.0 (47.5-100)
Funcionamento social	69.2±38.8, 100.0 (23.8-100)
Fadiga	72.8±25.3, 75.0 (50.0-93.8)
Sono	73.0±28.6, 75.0 (50.0-100)
Resultado global	69.7±20.5, 72.4 (51.9-89.9)

Tabela 43 - Resultados dos questionários QLQ-C30, HN43 e SWAL-QOL, por pontos de corte.

		n	%
QLQ C30	Alterado	17	44.7
	Sem alteração	21	55.3
	Total	38	100.0
QLQ HN43	Alterado	19	50.0
	Sem alteração	19	50.0
	Total	38	100.0
SWAL	Alterado	24	63.2
	Sem alteração	14	36.8
	Total	38	100.0

Relativamente a avaliação com VED mencionar que dos 38 participantes, um (2.6%) não realizou a prova de alimento com pudim, dois (5.3%) de líquido e três (7.9%) de sólido, por questões de risco elevado de aspiração. Ao nível da orofaringe/hipofaringe mencionar a presença de resíduos valeculares em 25 (65.8%) participantes e nos seios piriformes em 20 (52.6%) (Tabela 44). Na prova com alimentos verificou-se mais escape prematuro posterior (31.6%) com líquidos, contudo observou-se a presença de resíduos nas valéculas em grau ligeiro a moderado para todas as consistências (pudim, líquido e sólido), tendo sido em grau severo apenas para sólidos (39.5%). Relativamente a resíduos nos seios piriformes observou-se um grau ligeiro a moderado para todas as consistências. Relativamente à presença de resíduos na parede faríngea apenas se observou para as consistências de maior viscosidade, pudim (26.2%) e sólidos (73.7%). Quanto ao número de deglutições verificou-se um aumento para as consistências sólidas em 86.9% da amostra. A maioria dos participantes não teve qualquer resposta à penetração/aspiração e a sua função vocal manteve-se inalterada. (Tabela 45)

Ainda na prova com alimentos, foi possível constatar que o período de latência se encontrava alterado para todas as consistências na maioria dos participantes, com um tempo médio para início do reflexo de deglutição que variou entre 2.5 segundos para a consistência pudim e 3.0 segundos para os sólidos. Quanto ao momento de *whiteout* observou-se igualmente uma alteração do mesmo para todas as consistências na totalidade da amostra, com exceção dos casos em que não foi possível efetuar a análise. O tempo de encerramento da via aérea foi elevado para todas as provas, variando entre 1.6 segundos com pudim e 2.1 segundos com líquidos. (Tabela 46)

No que respeita à aspiração de uma forma global, mencionar que 20 participantes (52.6%) não apresentaram aspiração, sendo que dois (5.3%) foram considerados de alto risco e em

16 (42.1%) foi observada aspiração. A aspiração ocorreu em diferentes momentos, antes, durante e após a deglutição nas consistências ofertadas. Relativamente à aspiração salientar que nos líquidos foi onde se observou maior aspiração, entre todos os momentos (antes, durante e após a deglutição). A aspiração ocorreu antes da deglutição (13.2%) na consistência pudim; durante a deglutição (21.1%), no conteúdo líquido; e após a deglutição (13.2%), no alimento sólido. (Tabela 47) Ainda, no contexto da aspiração, através da PAS de mencionar que 44.7% apresentaram penetração e aspiração em diferentes níveis de severidade e a limpeza na maioria foi eficaz. (Tabela 48)

Tabela 44 - Dados descritivos da VED relativamente ao movimento das estruturas e sensibilidade.

Acesso endoscópico n(%) Direita 24 (63.2) Esquerda 14 (36.8)	Presente n(%)	Ausente n(%)
Nasofaringe - Encerramento do esfíncter velofaríngeo		
Anormalidades anatómicas	2(5.3)	36(94.7)
Deglutição saliva	38(0.0)	0(0.0)
Produção /s/ prolongado e sílaba /ka/ repetida	37(97.4)	1(2.6)
Fala espontânea	37(97.4)	1(2.6)
Orofaringe/Hipofaringe		
Anormalidades anatómicas	4(10.5)	34(89.5)
Movimento base língua	34(89.5)	4(10.5)
Estase de saliva valéculas	25(65.8)	13(34.2)
Estase de saliva seios piriformes	20(52.6)	18(47.4)
Manobra aperto faríngeo	38(100)	0(0.0)
Eficiência manipulação secreções	35(92.1)	3(7.9)
Laringe		
Anormalidades anatómicas	3(7.9)	35(92.1)
Fala espontânea	38(100)	0(0.0)
Deglutição saliva	36(94.7)	2(5.3)
Produção rápida e repetida /i/ hiperagudo	38(100)	0(0.0)
Tosse voluntária	38(100)	0(0.0)
Apneia	38(100)	0(0.0)
Sensibilidade[1]		
Base língua	34(89.5)	4(10.5)
Aritnóides	34(90.5)	4(10.5)

[1] Provas/observar: toque bilateral do fibroscópio várias áreas da hipofaringe e laringe e observar reação

VED = videoendoscopia da deglutição

Tabela 45 - Dados descritivos da VED respeitantes a avaliação da deglutição propriamente dita, nas consistências: pudim, líquido fino e sólido.

	Pudim		Líquido fino		1\2 bolacha	
	Presente n(%)	Ausente n(%)	Presente n(%)	Ausente n(%)	Presente n(%)	Ausente n(%)
Prova com alimento						
Escape posterior prematuro	5(13.2)	32(84.2)	12(31.6)	24(63.2)	2(5.3)	33(86.8)
Resíduo após deglutição						
i.Valécula						
1. Sem resíduo (0)	11(28.9)		13(34.2)		2(5.3)	
2. Resíduo ligeiro a moderado (1)	24(63.2)		22(57.9)		18(47.4)	
3. Resíduo severo (2)	2(5.3)		1(2.6)		15(39.5)	
ii. Seios piriformes						
1. Sem resíduo (0)	22(57.9)		23(60.5)		14(36.8)	
2. Resíduo ligeiro a moderado (1)	12(31.6)		12(31.6)		18(47.4)	
3. Resíduo severo (2)	2(5.3)		1(2.6)		3(7.9)	
iii. Parede faríngea						
4. Sem resíduo (0)	26(68.4)		32(84.2)		6(15.8)	
5. Resíduo ligeiro a moderado (1)	10(26.2)		3(7.9)		28(73.7)	
6. Resíduo severo (2)	1(2.6)		1(2.6)		1(2.6)	
N.º de deglutições por bolo						
1. 1 deglutição (0)	28(73.7)		31(81.6)		2(5.3)	
2. 1 deglutição + 1 adicional (1)	0(0.0)		0(0.0)		0(0.0)	
3. 1 deglutição + 2 adicional (2)	5(13.2)		2(5.3)		13(34.2)	
4. 1 deglutição + 3 adicional (3)	2(5.3)		3(7.9)		12(31.6)	
5. 1 deglutição + 4 ou mais adicionais (4)	2(5.3)		0(0.0)		8(21.1)	
Observações faringolaríngeas						
Doente reage à penetração/aspiração sem tosse	3(7.9)	34(89.5)	2(5.3)	23(89.5)	1(2.6)	34(89.5)
Redução função vocal	37(97.4)	0(0.0)	36(94.7)	0(0.0)	35(92.1)	0(0.0)

Tabela 46 - Dados descritivos da VED da latência, *whiteout*, tempo de latência inicial e tempo de encerramento da via aérea inferior.

Prova com alimento	Pudim		Líquido fino		1\2 bolacha	
	Normal n(%)	Alterado n(%)	Normal n(%)	Alterado n(%)	Normal n(%)	Alterado n(%)
Latência (<1s)	9(23.7)	28(73.7)	10(26.3)	26(68.4)	13(34.2)	22(57.9)
Whiteout (<0,5s)	0(0.0)	37(97.4)	0(0.0)	36(94.7)	0(0.0)	35(92.1)
	média±desvio padrão, mediana (AIQ)					
Tempo latência início	2.5±2.7, 1.8 (1.0-3.4)		2.8±2.2, 1.9 (0.9-4.5)		3.0±4.7, 1.6 (0.8-3.0)	
Tempo encerramento VA	1.6±1.1, 1.1 (0.8-2.3)		2.1±1.7, 1.7 (0.9-2.6)		1.7±2.2, 1.3 (0.9-0.8)	

VA = via aérea

Tabela 47 - Caracterização da aspiração face ao momento de deglutição nas consistências estudadas (pudim, líquido e sólido).

Aspiração	Pudim	Líquido fino	1\2 bolacha
Não aspira	31(81.6)	25(65.8)	32(84.2)
Pré-deglutição	5(13.2)	2(5.3)	0(0.0)
Durante a deglutição	1(2.6)	8(21.1)	1(2.6)
Após a deglutição	1(2.6)	3(7.9)	5(13.2)

Tabela 48 - Caracterização da PAS e Escala de Desobstrução.

PAS	n(%)	Escala Desobstrução	n(%)
1	21(55.3)	A - Efetivo	6(15.8)
2	9(23.7)	B - Moderadamente efetivo	5(13.2)
3	4(10.5)	C - Ligeiramente efetivo	4(10.5)
4	3(7.9)	D - Ineficaz	2(5.3)
5	0(0.0)	NA	21(55.5)
6	0(0.0)		
7	0(0.0)		
8	1(2.6)		

NA = não se aplica

ii. Correlação das variáveis sociodemográficas e clínicas com a VED

No que respeita à análise das variáveis sociodemográficas e clínicas e sua relação com a avaliação objetiva da deglutição (VED), encontraram-se diferenças estatisticamente significativas para a variável sexo e estadio. O sexo masculino na produção do som e sílaba, relativamente ao feminino. Encontraram-se diferenças estatisticamente significativas na variável estadio, sendo os casos com grau mais avançado os que mostraram alterações mais relevantes na VED. Verificou-se igualmente diferenças quanto ao sexo na variável, resíduo em seios piriformes na análise da oro/hipofaringe, sendo que os homens tiveram mais resíduos, nesta localização. Entre a variável de manipulação de secreções (avaliação VED da oro/hipofaringe) e a deglutição de saliva (avaliação VED da laringe) e traqueostomia também se constataram diferenças. Ainda na variável deglutição de saliva alterada os participantes evidenciaram presença de disfagia, maior severidade da disfagia, avaliada pela FOIS e maior grau de restrição na diversidade de ingestão de sólidos. (Tabela 49)

Tabela 49 - Análise de diferenças estatisticamente significativas e de correlação entre as variáveis anatómicas da VED e as variáveis sociodemográficas e clínicas.

		Sexo	Estadio	Gy	TQ	Disfagia	FOIS	Consistência sólido
Acesso	*p*			0.1680				
	correlação							
Nasofaringe EVF anatomia	*p*		0.007					
	correlação							
Nasofaringe EVF Som e sílaba	*p*	0.004	0.001					
	correlação	0.479**						
Nasofaringe EVF fala	*p*	0.004	0.001					
	correlação	0.479**						
Oro/hipofaringe resíduo seios piriformes	*p*	0.048						
	correlação							
Oro/hipofaringe resíduo valécula	*p*							
	correlação			-0.327*				
Oro/hipofaringe manipulação de secreções	*p*				0.025			
	correlação							
Laringe deglutição de saliva	*p*				0.004	0.047	0.025	0.025
	correlação					0.327*	0.368*	0.368*

*correlações significativas a um nível de p<0.05; ** correlações significativas a um nível de p<0.01
GY =gray; TQ = traqueostomia; FOIS = Functional Oral Intake Scale

Relativamente à análise da deglutição propriamente dita por meio da VED, observaram-se correlações significativas e diferenças com as variáveis sociodemográficas e clínicas: idade, sexo, estadio, nível de escolaridade e presença de traqueostomia. Os participantes mais jovens e as mulheres apresentaram níveis de severidade de resíduos nos seios piriformes e na parede faríngea, para a consistência pudim. Nos mais jovens observou-se maior severidade da presença de resíduo nos seios piriformes, na consistência sólida (bolacha), com uma correlação negativa. As mulheres apresentaram maior severidade de resíduos nas valéculas, seios piriformes e parede faríngea, bem como outras respostas perante aspiração que não a tosse (reação sem tosse), para a consistência líquida. Observaram-se diferenças face à função vocal, na consistência pudim e resíduos na valécula, na consistência sólida (bolacha) em função do estadio, bem como entre a função vocal, após deglutição de bolacha e a presença de traqueostomia. Constatou-se que os participantes com nível de escolaridade mais baixo apresentaram níveis mais elevados de resíduo em parede faríngea, na consistência sólida (bolacha), com correlação negativa fraca. (Tabela 50)

No que respeita à análise dos tempos de deglutição, observaram-se correlações significativas e diferenças face às variáveis sociodemográficas e clínicas: idade, estado civil, estadio, presença de disfonia, tempo término do tratamento e traqueostomia. De uma forma geral, quanto maior o tempo de *follow-up*, menor o tempo de latência para a consistência líquida. Os mais jovens apresentaram valores de tempo de latência para a deglutição da consistência líquida e sólida (bolacha) maiores. Observaram-se diferenças na variável *whiteout* na deglutição de pudim e o estadio e da variável *whiteout*, mas para consistência sólida e traqueostomia. (Tabela 50)

Relativamente à análise da aspiração por meio da VED, observaram-se correlações significativas e diferenças nas variáveis sociodemográficas e clínicas: idade, sexo, nível de escolaridade, traqueostomia, problemas de saúde e medicação diária. As mulheres apresentaram maior risco de aspiração, sendo que a aspiração ocorreu tendencialmente após a deglutição, na consistência pudim e líquida. Os participantes mais jovens tenderam à aspiração na consistência pudim, após a deglutição. Observaram-se diferenças entre o momento de aspiração de sólido (bolacha) e o nível de escolaridade. Os participantes com mais problemas de saúde e os que tomavam menos medicação, tendiam a aspirar, após a deglutição, na consistência sólida (bolacha). Contudo, os homens tiveram uma limpeza após a aspiração menos eficaz. Os participantes mais jovens e as mulheres apresentaram um grau de severidade de aspiração maior, quando avaliado pela PAS (Tabela 51)

Tabela 50 - Análise de diferenças estatisticamente significativas e de correlação entre as variáveis da avaliação da deglutição propriamente dita com VED e as variáveis sociodemográficas e clínicas.

			Idade	Sexo	Estado Civil	Escolaridade	Estadio	TQ	Problemas de saúde	Medicação diária	Disfonia	Termino tto
Pudim	Resíduo em seios piriformes	*p*		0.019								
		correlação	-0.495**	0.387*								
	Resíduo em parede faríngea	*p*		0.002								
		correlação	-0.369	0.514**								
	Função vocal	*p*					0.020					
		correlação										
	Momento de aspiração	*p*		0.002								
		correlação	-0.336*	0.498**								
	Latência	*p*									0.002	
		correlação									-0.505**	
	Tempo de latência	*p*			0.049						0.030	
		correlação			-0.381*						-0.362*	
	Whiteout	*p*										
		correlação										
Líquido	Escape prematuro	*p*										
		correlação										
	Resíduo em valécula	*p*		0.016								
		correlação		0.398*								
	Resíduo em seios piriformes	*p*		0.003								
		correlação		0.493**								
	Resíduo em parede faríngea	*p*		<0.001								
		correlação		0.567**								
	Reage sem tosse	*p*		0.007								
		correlação		0.440**								
	Momento de aspiração	*p*		0.048								
		correlação		0.326*								
	Tempo de latência	*p*			0.032							
		correlação	-0.484**		0.395*							-0.373*
Bolacha	Resíduo em valécula	*p*					0.042					
		correlação										
	Resíduo em seios piriformes	*p*										
		correlação	-0.381*									
	Resíduo em parede faríngea	*p*										
		correlação				-0.396*						
	Função vocal	*p*						0.025				
		correlação										
	Momento de aspiração	*p*				0.011			0.026	0.004		
		correlação							0.367*	-0.474**		
	Tempo de latência	*p*										
		correlação	-0.398*									
	Whiteout	*p*						0.025				
		correlação										

*correlações significativas a um nível de p<0.05; ** correlações significativas a um nível de p<0.01; TQ = traqueostomia; tto = tratamento

Tabela 51 - Análise de diferenças estatisticamente significativas e de correlação entre as variáveis da aspiração com a VED e as variáveis sociodemográficas e clínicas.

		Idade	Sexo
Aspiração	*p*		0.015
	correlação		0.398*
PAS	*p*		0.002
	correlação	-0.359*	0.502**
Limpeza	*p*		0.032
	correlação		-0.353*

*correlações significativas a um nível de p<0.05; ** correlações significativas a um nível de p<0.01

iii. Relação da VED com a perceção do doente

No que respeita à análise entre as variáveis relacionadas com a aspiração e o questionário QLQ-C30, as escalas de funcionamento físico e social, bem como desempenho, resultado global e categorial, foram as que obtiveram correlações e diferenças significativas, ou seja, estas escalas podem indicar a presença de aspiração. (Tabela 52)

Relativamente, às variáveis anatómicas, a presença de estase nas valéculas e seios piriformes mostraram correlações fracas a moderadas e com diferenças estatisticamente significativas com as escalas de funcionamento físico, social, dispneia, fadiga e resultado global e categorial. As alterações de sensibilidade da base da língua correlacionaram-se de forma moderada e significativa com a perda de apetite. A deglutição de saliva mostrou correlação fraca com a escala saúde global, mas evidenciou diferenças estatisticamente significativas. A variável anatomia da laringe quando alterada correlacionou-se com o resultado global, indicativo de maior alteração na QdV. (Tabela 53).

Na avaliação da deglutição propriamente dita, para a consistência líquida (10mL) verificou-se que as escalas perda de apetite, funcionamento social, diarreia e obstipação se correlacionaram com a presença de resíduos nas valéculas, seios piriformes ou faríngeos. Por sua vez, as escalas de funcionamento social e saúde global com o escape prematuro posterior. Assim, alterações nestas escalas podem indicar a presença de resíduos ou escape prematuro posterior na deglutição de líquido. (Tabela 54)

No que respeita à prova com a consistência pudim (10mL) os resultados indicaram que a escala de funcionamento social se correlacionava com as variáveis: resíduos (valéculas, seios piriformes e parede faríngea) e com a latência, sendo por isso um possível indicador de alteração das mesmas. Ainda, mencionar correlação positiva fraca entre a presença de resíduo em seios piriformes e a variável resultado global categorial. (Tabela 55)

No que concerne à consistência sólida (bolacha) verificou-se que a escala perda de apetite se correlacionava frequentemente com variáveis VED, bem como as escalas de funcionamento (social e desempenho). Constatou-se uma correlação positiva moderada entre a variável resultado global categorial e o tempo de encerramento da via aérea, ou seja, para valores maiores do C30, aumentou o tempo de encerramento da via aérea (Tabela 56)

Tabela 52 - Análise de diferenças e de correlação entre as variáveis referentes à penetração/aspiração e as escalas do QLQ-C30.

EORTC QLQ-C30		Aspiração	PAS	Limpeza
Funcionamento físico	*p*	0.026		
	correlação	0.443**	0.369*	-0.358*
Desempenho	*p*	0.010		
	correlação	0.501**		-0.402*
Funcionamento social	*p*	0.035		
	correlação	0.429**	0.391*	
Perda de apetite	*p*			
	correlação		0.391*	
Resultado global	*p*			
	correlação	0.379*		
Resultado categorial	*p*			
	correlação	0.344*		

*correlações significativas a um nível de p<0.05; ** correlações significativas a um nível de p<0.01

Tabela 53 - Análise de diferenças e de correlação entre as variáveis da avaliação anatómica da VED e as escalas do QLQ-C30.

		Orofaringe/ Hipofaringe		Laringe		Sensibilidade
		Estase de saliva nas valéculas	Estase de saliva em seios piriformes	Anormalidades anatómicas	Deglutição de saliva	Base da língua
Funcionamento físico	*p*	0.018	0.028			
	correlação	-0.390*	-0.365*	-0.320*		
Funcionamento social	*p*		0.047			
	correlação	0.526**	-0.489**			
Dispneia	*p*					
	correlação	0.370**	0.455**			
Fadiga	*p*		0.017	0.029		
	correlação		0.398*	0.357*		
Insónia	*p*					
	correlação		0.333*			
Perda de apetite	*p*					
	correlação					0.475*
Náusea/vómito	*p*					
	correlação	0.327*				
Dificuldades financeiras	*p*					
	correlação	0.522**	0.434**			
Saúde global	*p*				0.046	
	correlação				-0.327*	
Resultado total	*p*		0.019	0.032		
	correlação		-0.385*	-0.352*		
C30 resultado categorial	*p*	0.031				
	correlação	-0.355*				

*correlações significativas a um nível de p<0.05; ** correlações significativas a um nível de p<0.01

Tabela 54 - Análise de diferenças e de correlação entre as variáveis da avaliação da deglutição propriamente, através da VED e as escalas do QLQ-C30, para a consistência líquida.

		Escape posterior prematuro	Resíduo nas valéculas	Resíduo nos seios piriformes	Resíduo na parede faríngea	N.º de deglutições por bolo	Doente reage à penetração/aspiração sem tosse	Latência	Tempo latência início	Momento de aspiração
Desempenho	*p* correlação									0.328*
Funcionamento social	*p* correlação	-0.399*		0.380*				0.471**		0.354*
Insónia	*p* correlação						0.013 0.401*		0.450**	
Perda de apetite	*p* correlação		-0.460**				0.466**			0.016 0.366*
Obstipação	*p* correlação				0.558**					0.016
Diarreia	*p* correlação				0.599**					
Dificuldades financeiras	*p* correlação		-0.448*			0.000 0.645**	0.694**			
Saúde global	*p* correlação	0.009 -0.439**								

*correlações significativas a um nível de p<0.05; ** correlações significativas a um nível de p<0.01

Tabela 55 - Análise de diferenças e de correlação entre as variáveis da avaliação da deglutição propriamente, através da VED e as escalas do QLQ-C30, para a consistência pudim.

		Resíduo nas valéculas	Resíduo nos seios piriformes	Resíduo na parede faríngea	N.º de deglutições por bolo	Doente reage à penetração/ aspiração sem tosse	Latência	Tempo latência início	Momento de aspiração
Funcionamento físico	*p* correlação			0.049 0.335*					0.049 0.343*
Desempenho	*p* correlação						0.016 0.683**	0.344**	
Funcionamento emocional	*p* correlação				0.339*		0.017 0.411*	0.389*	
Funcionamento social	*p* correlação	0.015 0.496**	0.043 0.415*	0.354*	0.040		0.014 0.689**		
Perda de apetite	*p* correlação	0.002 -0.393*	0.009 0.399*						
Diarreia	*p* correlação	0.000							
Obstipação	*p* correlação	0.031 -0.428*							
Dificuldades financeiras	*p* correlação		-0.374*			0.556**	-0.406*		
Saúde global	*p* correlação								0.020 -0.395*
Resultado categorial	*p* correlação		0.332*						

*correlações significativas a um nível de p<0.05; ** correlações significativas a um nível de p<0.01

Tabela 56 - Análise de diferenças e de correlação entre as variáveis da avaliação da deglutição propriamente, através da VED e as escalas do QLQ-C30, para a consistência sólida.

		Escape posterior prematuro	Resíduo nas valéculas	Resíduo nos seios piriformes	Resíduo na parede faríngea	N.º de deglutições por bolo	Latência	Tempo de encerramento da VA	Momento de aspiração
Funcionamento social	*p* correlação							0.361*	
Desempenho	*p* correlação		0.038 0.438*	0.013 0.512**		0.035 0.375*			
Funcionamento social	*p* correlação		0.029				0.447*		
Dispneia	*p* correlação						-0.456**		
Dor	*p* correlação				-0.365*			-0.392*	
Perda de apetite	*p* correlação	0.464**		0.000 0.466**	-0.533**	0.33 -0.375*			0.034 0.748**
Obstipação	*p* correlação								
Náusea/vómito	*p* correlação			0.006					
Dificuldades financeiras	*p* correlação		0.018 0.493**			0.411*	0.364*		
Saúde global	*p* correlação		0.341*				0.034 0.365*		
Resultado lobal categorial	*p* correlação							0.543**	

*correlações significativas a um nível de p<0.05; ** correlações significativas a um nível de p<0.01

Na análise da relação entre as variáveis anatómicas da VED e o questionário QLQ-HN43 verificou-se que o acesso para a realização da VED evidenciou diferenças para a escala comer em público. Outras diferenças mostraram que: 1) o aumento dos problemas em engolir ocorreram quando houve mais dificuldades na manipulação de secreções; 2) alterações na escala de abertura de boca com o resíduo nas valéculas, ou seja, participantes com menos amplitude de abertura oral apresentaram mais resíduos valeculares (correlação positiva moderada). Quando se observou perturbação nas escalas: problemas com os sentidos, problemas nos ombros, problemas de pele e perda de peso, não houve presença de resíduos em valéculas ou seios piriformes. (Tabela 57).

Na análise da relação entre as variáveis da avaliação da deglutição propriamente dita, por meio da VED, para a consistência líquida e o questionário QLQ-HN43 verificaram-se diferenças entre a escala dor de cabeça e pescoço e o momento de aspiração e o tempo de latência, sendo que valores mais elevados na escala se correlacionaram com maior tempo de latência (correção positiva fraca). Uma correlação positiva fraca, evidenciou que valores altos na escala de problemas com os dentes, os participantes, apresentavam latência alterada, com valor de tempo de latência superior. Constatou-se ainda que uma alteração ao nível da escala imagem corporal se observava nos participantes com menor alteração de resíduo valecular ou nos seios piriformes, bem como aspiração antes da deglutição. Contudo, a escala de imagem corporal estava afetada nos participantes em que não ocorreu aspiração e por isso, sem necessidade de limpeza. As alterações na escala

perda de peso mostraram correlação fraca a moderada com a ausência ou menor severidade nos resíduos nas valéculas e nos seios piriformes e correlação negativa fraca com o momento de aspiração, sendo que os participantes com pior perda de peso apresentaram aspiração durante a deglutição. (Tabela 58)

Na análise da relação entre as variáveis da avaliação da deglutição propriamente dita, por meio da VED, para a consistência pudim e o questionário QLQ-HN43 verificou-se correlação positiva fraca entre a escala problemas em engolir e a aspiração após a deglutição. Correlações negativas fracas a moderadas, evidenciaram que valores altos nas escalas de problemas com os dentes, de boca seca e saliva espessa e de tosse, os participantes, tendem a uma latência adequada. Constatou-se que se esperam valores alterados nas escalas imagem corporal e ansiedade nos participantes com ausência ou resíduos nas valéculas ligeiros a moderados, sendo que para a imagem corporal e para o resultado total do HN43, o número de deglutições por bolo também se espera adequado. Na escala de problemas em falar, estes estavam presentes em participantes com um número de deglutições por bolo maior e quando a aspiração ocorreu durante ou após a deglutição. O mesmo foi observado para a escala comer em público. A escala resultado total do HN43 mostrou correlação negativa fraca com o momento de aspiração, ou seja, um valor mais elevado do resultado total relacionou-se com a aspiração durante a deglutição. O tempo de encerramento das vias aéreas e a escala contacto social mostraram uma correlação negativa fraca, ou seja, o tempo de encerramento é menor quando o valor da escala é maior, isto é, pior contacto social. Os problemas de ansiedade evidenciaram uma correlação negativa fraca com a latência, sendo que os participantes com problemas de ansiedade foram classificados com latência adequada, o mesmo se verificou para o resultado total do HN43. (Tabela 59)

Na análise da relação entre as variáveis da avaliação da deglutição propriamente dita, na consistência sólida (bolacha), por meio da VED e o questionário QLQ-HN43 verificaram-se diferenças entre a escala problemas em engolir e o escape prematuro. Os participantes com mais alterações na escala problemas em engolir tiveram alterações na variável "reage sem tosse". Uma correlação negativa fraca, evidenciou que valores altos nas escalas de problemas com os dentes e resultado global do HN43, os participantes, tenderam a realizar um menor número de deglutições por bolo. Constatou-se que uma alteração ao nível das escalas: imagem corporal, problemas em falar e comer em público estava relacionada com menos resíduo nas valéculas. Relativamente à última escala, o mesmo

se verificou para resíduos em seios piriformes. Uma alteração na escala problemas em falar ocorreu em casos com uma ou duas deglutições adicionais. Verificaram-se diferenças estatisticamente significativas entre a variável contacto social e o número de deglutições por bolo. A escala ansiedade apresentou correlação negativa moderada com resíduo em parede faríngea, sendo que valores elevados na escala se correlacionaram com menos resíduo. (Tabela 60)

Na análise da relação entre as variáveis relacionadas com a aspiração e o questionário QLQ-HN43, constatou-se que uma alteração ao nível das escalas imagem corporal e resultado total do HN43, implicava menor risco de aspiração, numa correlação negativa fraca. A escala problemas de pele apresentou também correlações embora fracas, com a PAS e a limpeza, sendo que os participantes com comprometimento ao nível da escala apresentaram melhor PAS, mas pior limpeza. Verificaram-se diferenças estatisticamente significativas entre a escala problemas de fala e a PAS. A escala perda de peso evidenciou diferenças e correlação estatisticamente significativa para o risco de aspiração e com correlações fracas a moderadas face à PAS e à limpeza, sendo que um pior resultado na escala perda de peso se relacionou com melhor PAS e pior limpeza. (Tabela 61)

Tabela 57 - Análise de diferenças e de correlação entre as variáveis da avaliação anatómica, através da VED e as escalas do QLQ-HN43.

				Oro/hipofaringe	
		Acesso	Manipulação de secreções	Resíduo nas valéculas	Resíduo seios piriformes
Problemas em engolir	*p* correlação		0.040 0.342*		
Abertura de boca	*p* correlação		0.016 0.402*		
Problemas com os dentes	*p* correlação			0.033 0.355*	0.040 0.342*
Contacto social	*p* correlação	0.040 -0.342*			
Problemas nos ombros	*p* correlação			0.029 0.365*	0.025 0.374*
Problemas de pele	*p* correlação				0.015 0.405*
Perda de peso	*p* correlação			0.003 0.490*	0.003 0.492*

*correlações significativas a um nível de p<0.05; ** correlações significativas a um nível de p<0.01

Tabela 58 - Análise de diferenças e de correlação entre as variáveis da avaliação da deglutição propriamente dita, através da VED e as escalas do QLQ-HN43, para a consistência líquida.

		Resíduo valéculas	Resíduo seios piriformes	Líquido Momento de aspiração	Latência	Tempo de latência
Dor de cabeça e pescoço	*p* correlação			0.050		0.349*
Problemas com os dentes	*p* correlação				0.026 0.396*	0.435**
Imagem corporal	*p* correlação		0.044 -0.323*	-0.327*		
Perda de peso	*p* correlação	-0.366*	-0.435**	-0.337*		
Resultado global	*p* correlação			-0.330*	-0.375*	

*correlações significativas a um nível de p<0.05; ** correlações significativas a um nível de p<0.01

Tabela 59 - Análise de diferenças e de correlação entre as variáveis da avaliação da deglutição propriamente dita, através da VED e as escalas do QLQ-HN43, para a consistência pudim.

		Pudim							
		Resíduos em valéculas	Resíduo seios piriformes	Resíduo parede faríngea	N.º deglutições	Pudim reage sem tosse	Momento de aspiração	Latência	Tempo de encerramento da VA
Dor de cabeça e pescoço	*p* correlação						0.325*		
Problemas com os dentes	*p* correlação							-0.372*	
Boca seca e saliva espessa	*p* correlação							-0.325*	
Imagem corporal	*p* correlação	0.034 -0.483**			-0.339*	-0.348*			
Tosse	*p* correlação							-0.407*	
Problemas de fala	*p* correlação				-0.321*		0.367*		
Comer em público	*p* correlação						0.333*		
Contacto social	*p* correlação								-0.333*
Problemas de pele	*p* correlação		-0.322*						
Perda de peso	*p* correlação	-0.449*	-0.374*	-0.347*					
Ansiedade	*p* correlação							-0.384*	
Problemas neurológicos	*p* correlação	-0.357*							
Resultado global	*p* correlação				-0.371*				

*correlações significativas a um nível de p<0.05; ** correlações significativas a um nível de p<0.01

Tabela 60 - Análise de diferenças e de correlação entre as variáveis da avaliação da deglutição propriamente dita, através da VED e as escalas do QLQ-HN43, para a consistência sólida.

		Escape prematuro	Resíduo nas valéculas	Resíduo seios piriformes	Bolacha Resíduo parede faríngea	Reage sem tosse	N.º deglutições	Latência	Tempo de latência
Dor de cabeça e pescoço	*p*	0.046							
	correlação					0.349*			
Problemas com os dentes	*p*								
	correlação						-0.334*		
Imagem corporal	*p*		0.016						
	correlação		-0.444**						
Problemas de fala	*p*						0.034		
	correlação		-0.353*				-0.447**		
Comer em público	*p*		0.047						
	correlação								
Contacto social	*p*						0.006		
	correlação								
Problemas de sexualidade	*p*								
	correlação						-0.425**		
Problemas de pele	*p*			0.023			0.030		
	correlação			-0.463**			-0.388*	-0.357*	-0.380*
Perda de peso	*p*		0.004						
	correlação		-0.454**						
Ansiedade	*p*								
	correlação				-0.421**				
Resultado global	*p*								
	correlação						-0.343*		

*correlações significativas a um nível de p<0.05; ** correlações significativas a um nível de p<0.01

Tabela 61 - Análise de diferenças e de correlação entre as variáveis da avaliação da aspiração, através da VED e as escalas do QLQ-HN43.

		Aspiração	PAS	Limpeza
Imagem corporal	*p*	0.027		
	correlação	-0.440**		0.356*
Problemas de fala	*p*		0.025	
	correlação			
Problemas de pele	*p*			
	correlação	-0.361*	-0.333*	0.331*
Perda de peso	*p*	0.010		
	correlação	-0.497**	-0.472**	0.474**
Resultado global	*p*			
	correlação	-0.337*		

*correlações significativas a um nível de p<0.05; ** correlações significativas a um nível de p<0.01
PAS = Penetration Aspiration Scale

Na análise da relação entre as variáveis anatómicas da VED e o questionário SWAL-QOL verificaram-se diferenças entre a escala receios e a manipulação de secreções, ou seja, quando o resultado da escala evidenciou mais receios ocorreram dificuldades na manipulação de secreções. (Tabela 62)

Na análise da relação entre as variáveis relacionadas com a aspiração e o questionário SWAL-QOL verificaram-se diferenças estatisticamente significativas entre a escala fadiga e a aspiração, sendo que se evidenciou uma correlação moderada entre estes, ou seja, maior fadiga implicaria maior risco de aspiração e, correlação negativa fraca com a limpeza, isto é, maior fadiga representou uma limpeza menos eficaz. O mesmo ocorreu

para as variáveis latência e tempo de latência, que apresentaram valores alterados na presença de fadiga. (Tabela 63)

Na análise da relação entre as variáveis da avaliação da deglutição propriamente dita, na consistência líquida por meio da VED e o questionário SWAL-QOL verificaram-se diferenças estatisticamente significativas entre a escala desejo de comer e reagir sem tosse, bem como com a latência. Contudo, entre a escala desejo de comer e o tempo de latência já se observou uma correlação negativa fraca, ou seja, quanto maior o resultado da escala menor o tempo de latência. Constatou-se ainda, diferenças entre a escala seleção dos alimentos e o momento de aspiração. No que respeita à escala receios, verificou-se correlação negativa fraca com as variáveis latência e tempo de latência, sendo que os participantes com maior alteração na escala apresentaram alteração da latência e maior tempo de latência. Observaram-se ainda diferenças estatisticamente significativas entre a escala sono e resíduos em seios piriformes, bem como entre a escala resultado total e o número de deglutições e o tempo de latência. (Tabela 64)

Na análise da relação entre as variáveis da avaliação da deglutição propriamente dita, na consistência pudim por meio da VED e o questionário SWAL-QOL verificou-se correlação positiva fraca entre a escala *burden* e o tempo de latência, ou seja, melhor resultado nesta escala relacionou-se com menor tempo de latência. Para o tempo de latência também se observou correlação positiva, mas moderada com a escala seleção dos alimentos, sendo que um melhor resultado na seleção correspondeu a um melhor resultado no tempo. Na análise da escala frequência de sintomas obtiveram-se correlações positivas, fraca para a latência e moderada para o tempo de latência, ou seja, maior presença de sintomatologia relacionou-se com alteração da latência e aumento do tempo de latência. Uma correlação positiva fraca resultou da análise da escala saúde mental com reagir sem tosse, ou seja, os valores de saúde mental indicaram pior resultado, quando houve reação à aspiração sem tosse. Observou-se uma correção negativa fraca ente a escala receios e o momento de aspiração, o que significa que os participantes relataram mais receios quando a aspiração ocorreu durante a deglutição. Constatou-se uma correlação positiva fraca entre a escala funcionamento social e resíduos nas valéculas, sendo que os participantes com melhor funcionamento social apresentaram menos resíduos. Para a análise do resultado do SWAL-QOL, por valor de ponto de corte, verificou-se correlação positiva fraca com o tempo de latência. (Tabela 64)

Na análise da relação entre as variáveis da avaliação da deglutição propriamente dita, na consistência sólida (bolacha) por meio da VED e o questionário SWAL-QOL verificaram-se diferenças estatisticamente significativas entre a escala comunicação e resíduo nas valéculas. Observaram-se ainda correlações positivas fracas entre a escala sono e resíduo nas valéculas e seios piriformes, ou seja, piores resultados na escala relacionaram-se com aumento da severidade dos resíduos. (Tabela 64)

Para uma análise mais detalhada consultar no anexo XVI as tabelas 110 a 157.

Tabela 62 - Análise de diferenças e de correlação entre as variáveis da avaliação anatómica, através da VED e as escalas do SWAL-QOL.

		Oro/hipofaringe	
		Manipulação de secreções	Resíduos seios piriformes
Receios	*p*	0.043	
	correlação	-0.338*	
Fadiga	*p*		0.034
	correlação		-0.353*
Sono	*p*		0.022
	correlação		-0.381*

*correlações significativas a um nível de p<0.05; ** correlações significativas a um nível de p<0.01

Tabela 63 - Análise de diferenças e de correlação entre as variáveis da avaliação da aspiração, através da VED e as escalas do SWAL-QOL.

		Aspiração	PAS	Limpeza
Fadiga	*p*	0.033		
	correlação	0.429*		-0.388*

*correlações significativas a um nível de p<0.05; ** correlações significativas a um nível de p<0.01
PAS = Penetration Aspiration Scale

Tabela 64 -Análise de diferenças e de correlação entre as variáveis da avaliação da deglutição propriamente dita, através da VED e as escalas do SWAL-QOL, para as consistências líquido, pudim e sólido.

		Líquido						Pudim							Bolacha	
		Reage sem tosse	Resíduo seios piriformes	N.º deglutições	Momento de aspiração	Latência	Tempo de latência	Reage sem tosse	Resíduo nas valéculas	Resíduo seios piriformes	Resíduo parede faríngea	Momento de aspiração	Latência	Tempo de latência	Resíduo valécula	Resíduo seios piriformes
Burden	*p*															
	correlação													0.351*		
Desejo de comer	*p*	0.039				0.007										
	correlação						-0.357*									
Frequência de sintomas	*p*															
	correlação												0.386*	0.417*		
Seleção dos alimentos	*p*				0.041											
	correlação															
Comunicação	*p*														0.015	
	correlação													0.401*		
Receios	*p*															
	correlação					-0.335*	0.372*					-0.383*				
Saúde mental	*p*															
	correlação							0.323*								
Funcionamento social	*p*															
	correlação								0.362*							
Fadiga	*p*															
	correlação												0.387*	0.391*		
Sono	*p*		0.026							0.020						
	correlação									0.511*	0.348*		0.394*	0.405*	0.365*	0.324*
Resultado global	*p*			0.040		0.031										
	correlação												0.359*	0.365*		
Resultado categorial	*p*															
	correlação													0.350*		

*correlações significativas a um nível de p<0.05; ** correlações significativas a um nível de p<0.01

5.6. Discussão

No que respeita às variáveis sociodemográficas (sexo e faixa etária), a amostra deste estudo apresentou resultados similares a outros (Bjordal et al., 2000; Estêvão et al., 2016). O mesmo aconteceu face aos problemas de saúde, ao uso de medicação (Michelson et al., 2000) e à presença de traqueostomia (Zebralla, Wiegand, et al., 2021), bem como ao estadiamento (Estêvão et al., 2016). As alterações da deglutição descritas, relativamente ao tempo após tratamento, são similares às reportadas anteriormente (Lazarus, 2009; Soldatova & Mirza, 2019; Zebralla, Wichmann, et al., 2021). Os valores médios obtidos nas várias escalas, tanto do QLQ-C30 como do QLQ-HN43, também estão de acordo com os valores de referência para os doentes com tumores de cabeça e pescoço (Bjordal et al., 2000; Nolte et al., 2019; Scott, 2008). Contudo, os participantes deste estudo, tendo por base os resultados do questionário QLQ-C30, não apresentaram alterações da QdV (Ganzer et al., 2015). Por sua vez, os resultados do QLQ-HN43 e do SWAL-QOL, indicam alteração da deglutição. Estes resultados mostraram que questionários mais específicos, para tumores de cabeça e pescoço e do sintoma disfagia são mais sensíveis (Rinkel et al., 2016).

No que se refere aos resultados da VED mencionar que, a presença de resíduos como fator indicativo de ineficiência da limpeza faringolaríngea associada a fraqueza e diminuição da frequência das deglutições (Murray et al., 1996), foi observada para todas as consistências testadas em mais de 25% da amostra. Estes resultados indicam que os doentes com presença de resíduos tendem a maior risco de aspiração (Murray et al., 1996). Contudo e apesar dos valores elevados referentes à presença de resíduos não foi observada a presença de voz molhada, o que se explica pelo facto de estas permaneceram fora do ádito laríngeo (Murray et al., 1996). Outro fator associado à aspiração são as alterações sensitivas induzidas pela RT que condicionam a funcionalidade da proteção laríngea, sendo que não se observou tosse protetiva, mas apenas múltiplas tentativas de deglutição, tal como mencionado noutro estudo (Pezdirec et al., 2019). Neste estudo, a variável número de deglutições foi uma das que frequentemente surgiu como estando relacionada com os dados de QdV. De uma forma geral poder-se-á referir que se observou mais resíduos em consistências com maior viscosidade (pudim e sólido) e mais aspiração no líquido fino. Estes resultados estão de acordo com estudos prévios (Agarwal et al., 2011).

Quanto à latência, neste estudo, constatou-se alteração da mesma em mais de 57% dos participantes, ou seja, observou-se alteração no início da deglutição. O mesmo ocorreu no tempo de encerramento das vias aéreas. Estes dois fatores contribuiram para a aspiração durante e após a deglutição, sendo que a presença de traqueostomia não se mostrou relevante para a presença de aspiração (Eisbruch et al., 2002; Salama et al., 2008). Os participantes com estadio mais avançado obtiveram piores resultados na VED, tal como reportado por outros autores (Salama et al., 2008; Shune et al., 2012), bem como face à variável sexo (Shune et al., 2012).

Relativamente aos questionários da EORTC percebeu-se que escalas como problemas de fala, problemas nos ombros, ansiedade e funcionamento físico do HN43 se encontravam relacionadas com alterações da deglutição, tendo estes resultados já sido expressos em trabalhos anteriores (Howren et al., 2013; Nilsen et al., 2019; Rennie et al., 2018; Van Hinte et al., 2019). Contudo, outro estudo encontrou diferenças, mas relativamente ao resultado total, com os indicadores de disfagia, nomeadamente de segurança (penetração e aspiração) e de eficiência (resíduos) (Teguh et al., 2008). Na análise da segurança (aspiração e PAS) e sua relação com o HN43 verificaram-se correlações com as escalas: imagem corporal, problemas de fala, problemas de pele, perda de peso e resultado global. Um estudo, anteriormente realizado, obteve correlação entre as variáveis de segurança, mas com as escalas: problemas em engolir, comer em público e tosse (Jensen et al., 2007). Quando analisadas as medidas fisiológicas da deglutição pesquisas anteriores também não encontraram correlações (Mortensen et al., 2013).

A perceção do doente avaliada pelo SWAL-QOL, evidenciou que apenas a escala fadiga se correlacionava com medidas de segurança (aspiração). Contudo, outros autores observaram esta correlação para outras escalas (como seleção dos alimentos, *burden*, saúde mental, funcionamento social, desejo de comer, duração da alimentação) (McHorney et al., 2006). Ainda sobre a avaliação VED, mencionar que variáveis de eficiência (reage sem tosse, resíduos, número de deglutições) e medidas fisiológicas (latência e tempo de latência) se mostraram relacionadas com algumas escalas do SWAL-QOL. Apesar disso, não foi possível encontrar um padrão. McHorney e colaboradores encontraram resultados similares para medidas fisiológicas (tempo de trânsito oral, tempo total de deglutição) avaliadas com videofluoroscopia da deglutição (McHorney et al., 2006).

Tendo por base os dados da revisão sistemática, apresentada no capítulo II e agrupando as variáveis VED analisadas por segurança, eficiência e medidas fisiológicas verificou-se que as variáveis de segurança (aspiração, PAS, limpeza) correlacionaram-se com as escalas do C30: funcionamento físico, desempenho, funcionamento social, perda de apetite, resultado total e categorial; do HN43 com as escalas: imagem corporal, problemas de fala, perda de peso e resultado global; e do SWAL-QOL, apenas com a escala fadiga. Assim, poderemos aferir que o SWAL-QOL não será um bom preditor da presença de alterações de segurança na deglutição, contudo o resultado global, do C30 e do HN43, poderá indicar a presença das mesmas. Outros autores já haviam encontrado relações entre variáveis de segurança e medidas de perceção do doente (Andrade et al., 2017; Campbell et al., 2004; Hedström et al., 2018; Jensen et al., 2007; Markkanen-Leppänen, Isotalo, Mäkitie, Rorarius, et al., 2006; McHorney et al., 2006; Meyer et al., 2017; Pauloski et al., 2002; Pedersen et al., 2016; Teguh et al., 2008). No tópico da eficiência, o escape prematuro, os resíduos (valéculas, seios piriformes e parede faríngea) e o número de deglutições foram as variáveis que mais se correlacionaram com escalas do C30, do HN43 e do SWAL-QOL. Assim, poder-se-á mencionar que o escape prematuro posterior, a presença de resíduos e o número de deglutições poderá ter interferência na QdV, mas o contrário não, ou seja, pela análise dos resultados das escalas dos questionários não foi encontrado um padrão indicativo de alterações de eficiência de deglutição. Em estudos realizados anteriormente, medidas de avaliação da eficiência como resíduo foram também avaliadas e obtiveram correlação significativa com a perceção do doente (Florie et al., 2016; Meyer et al., 2017; Pauloski et al., 2002; Rogus-Pulia et al., 2014; Teguh et al., 2008; Yang et al., 2015). No que respeita às medidas fisiológicas, a latência e o tempo de latência foram as variáveis que mais se destacaram, contudo, tal como para as medidas de eficiência não foi encontrado um padrão que permita agrupar as escalas indicadoras de alteração. Alguns estudos encontraram também relações significativas com as medidas fisiológicas. Apesar disso, tais medidas foram obtidas com videofluoroscopia da deglutição, como tempo de trânsito oral, tempo de trânsito faríngeo e tempo total de deglutição (Kendall et al., 2014; Li et al., 2019; McHorney et al., 2006; Pauloski et al., 2002; Yang et al., 2015).

Neste estudo não se observou uma relação direta e transversal entre as medidas objetivas de avaliação da deglutição através da VED e os resultados da avaliação da perceção dos participantes. Resultados similares foram encontrados em pesquisas realizadas

anteriormente (Baker et al., 1991; Hughes et al., 2000; Hutcheson et al., 2008; Kirsh et al., 2019; Mortensen et al., 2013; Schwartz et al., 2010; van der Molen et al., 2009). Alguns estudos sugerem que a melhoria na QdV reportada pelos doentes poderá estar relacionada com a acomodação e resposta adaptativa. Apesar disso, os resultados da avaliação instrumental continuam a indicar alterações na deglutição (Feng et al., 2010).

Limitações do estudo

O desenho metodológico com apenas um momento de recolha de dados não permitiu uma compreensão contínua no tempo, da problemática. O facto de a amostra ser por conveniência poderá ter induzido viés, para além do facto da perceção do doente ser da responsabilidade do mesmo e não passível de controlo. O número reduzido de participantes, especialmente tendo por base o número de variáveis e sua categorização, tiveram certamente impacto nos resultados obtidos.

A confrontação de resultados da avaliação da relação entre a avaliação objetiva e a perceção do doente não foi possível para todos os resultados obtidos nesta pesquisa. Isto porque os estudos disponíveis recorreram a instrumentos de medição da perceção do doente diversos (Belafsky et al., 2008) e a avaliação objetiva da deglutição foi realizada com VED ou videofluoroscopia da deglutição e com múltiplos parâmetros a avaliar também (Langendijk et al., 2008). Para além disso, foram observadas correlações pobres entre observação, medidas dos doentes e objetivas (Jensen et al., 2006).

Um estudo multi-institucional com acompanhamento a longo prazo com avaliação funcional da deglutição no momento base e após QRT poderá conduzir a um melhor entendimento de fatores preditores e da relação entre avaliação objetiva e subjetiva.

5.7. Conclusão

Os resultados mostraram uma pobre associação entre as medidas objetivas e subjetivas. Verificou-se que variáveis relacionadas com segurança, eficiência e medidas fisiológicas foram as que mais frequentemente se relacionaram com escalas de QdV. Contudo, um padrão e possíveis preditores não foram encontrados. Assim, poder-se-á concluir que a avaliação objetiva é diferente da subjetiva, pois a perceção do doente envolve um conjunto de fatores não traduzíveis na avaliação objetiva.

Contudo e tendo em conta que os estudos descrevem uma tendência para os médicos subestimarem o impacto negativo da disfagia na qualidade de vida, quando medida por questionários, a recolha de perceção do doente não só em ambiente de pesquisa, mas também na prática clínica, torna-se essencial. Para além disso, os doentes devem ter acesso a uma avaliação clínica que procure os sinais e sintomas indicativos de disfagia, pois a sua prevalência e um maior impacto em dimensões gerais da QdV, especialmente em indicadores como resíduo e aspiração, evidenciam a importância da medição efetiva e preventiva, bem como de intervenções terapêuticas. Assim, a pesquisa poderá auxiliar na concretização de um plano de ação com foco na melhoria da QdV. Apesar da utilidade dos instrumentos de avaliação da perceção do doente, a avaliação instrumental através de VED ou videofluoroscopia da deglutição torna-se necessária como complemento para identificar e planear o tratamento nos doentes com risco de aspiração.

Concluiu-se que a obtenção de medidas no momento base da função de deglutição e a integração de terapia da deglutição no protocolo *standard* nos doentes que cursam QRT deve ser introduzida antes do início do tratamento oncológico. Esta abordagem proativa para uma intervenção precoce de doentes de alto risco poderá melhorar os resultados destes doentes, promovendo um tratamento mais eficaz das dificuldades de deglutição.

Capítulo VI - Avaliação auditivo-percetual e acústica da voz e avaliação subjetiva vocal - que relações?

6.1. Abstract

Objective: Vocal production depends on physiological function and impacts QoL and may deteriorate after non-surgical treatments for oropharyngeal cancer. Knowledge about the association between objective and subjective voice assessment results is scare among survivors. This study aims to understand the relationship between objective assessment (acoustic and audio perceptive analysis) and subjective assessment (patient reported outcome measure).

Method: A cross-sectional study of patients who underwent chemoradiotherapy treatment with curative intent for oropharyngeal cancer and are free of disease. The evaluation included: objective voice assessment (acoustic and audio perceptive, analysis with GRBAS and text and vowel resonance), EORTC-C30, HN43 e VHI-9i). Non-parametric analysis and regression was performed.

Results: 38 patients undergoing chemoradiotherapy with curative intent were included. Most of them were male (34, 89.5%) aged over 40 years. Mean of C30 89.6, HN43 13.3 and VHI-9i 9.63, showing changes in the impact of treatment sequelae on QoL. As for the correlations between sociodemographic and clinical variables, we should mention that no statistically significant results were obtained for most of the variables analyzed. The participants of this research present characteristics of altered vocal quality, as well as indicated slight to moderate alterations at the level of the QoL assessed by the VHI-9i. A weak positive correlation was observed with time after treatment and a moderate positive correlation with speech therapy intervention. Participants with a Dyphonia Severity Index (DSI) value indicating disorder showed a severe change in the VHI-9i. Regarding the audio perceptive assessment, more than 31% of sample showed some degree of alteration in the GRBAS parameter, with hoarseness being the most prevalent. In terms of resonance, alterations were found in more than 34% of the sample. The results of the VHI-9i show that approximately 50% of the sample has some alteration, which may be present even in a late follow-up.

Conclusion: the increase in survival in patients with oropharyngeal cancer creates the need to understand the QoL. It becomes essential to monitor survivors, detect symptoms

and treat them to lessen their impact on daily life activities. Acoustic measures sch as loudness and fundamental frequency do not have a clear role in the management of patients with oropharyngeal cancer, due to lack of reproducible data and protocols. The results of the phonation assessment should focus on both objective and subjective data. Radiotherapy affects the biomechanics of the surrounding tissues and, therefore, the vocal fold vibration, as well as the resonance characteristics, with an increase in vocal noise and acoustic perturbation. A maximum phonation time decrease and frequency amplitude. With this, it will be possible to develop targeted and specific therapeutic strategies.

Key words: head and neck cancer, dysphagia, dysphonia, patient's perception, instrumental assessment

6.2. Resumo

Objetivo: A produção vocal depende da função fisiológica e influencia QdV e pode deteriorar-se após os tratamentos não cirúrgicos, por cancro da orofaringe. O conhecimento sobre a associação entre os resultados da avaliação objetiva e subjetiva da voz são escassos entre os sobreviventes. Com este estudo pretende-se compreender a relação entre a avaliação objetiva multidimensional da voz (análise acústica e áudio-percetiva) e a subjetiva (auto-reportada pelo doente).

Método: estudo transversal de doentes que realizaram tratamento de quimioradioterapia com intenção curativa para cancro da orofaringe e estão livres de doença. A avaliação incluiu: avaliação objetiva multidimensional da voz (análise acústica e áudio-percetiva com GRBAS e ressonância de texto e vogais), EORTC-C30, HN43 e VHI-9i. Foi realizada análise não paramétrica e regressão.

Resultados: 38 doentes submetidos a quimioradioterapia com intenção curativa foram incluídos. A maioria homens (34, 89.5%) com idade superior a 40 anos. Média do EORTC-C30 89.6, do HN43 13.3 e do VHI-9i 9.63, mostrando alterações ao nível do impacto das sequelas dos tratamentos na QdV. Quanto às correlações entre variáveis sociodemográficas e clínicas mencionar que não se obtiveram resultados estatisticamente significativos para a maioria das variáveis analisadas. Os participantes desta pesquisa apresentaram características de alteração da qualidade vocal, bem como indicaram ligeiras a moderadas alterações ao nível da QdV avaliada pelo VHI-9i. Observou-se uma correlação positiva fraca com o tempo após o tratamento e uma correlação positiva moderada com a intervenção em terapia da fala. Os participantes com valor de ISD indicativo de perturbação apresentaram no VHI-9i uma alteração severa. No que respeita à avaliação áudio-percetiva mais de 31% da amostra evidenciou algum grau de alteração nos parâmetros da GRBAS, sendo a rouquidão o mais prevalente. Ao nível da ressonância verificou-se alteração da mesma em mais de 34% da amostra. Os resultados do VHI-9i mostraram que aproximadamente 50% da amostra tem alguma alteração, podendo estar presente mesmo num *follow-up* tardio.

Conclusão: O aumento da sobrevida nos doentes com cancro da orofaringe cria a necessidade da compreensão da QdV dos sobreviventes. Torna-se essencial monitorizá-los, detetar sintomas e tratá-los para diminuir o seu impacto nas atividades de vida diária.

As medidas acústicas como a sonoridade e frequência fundamental não têm um papel claro na gestão dos doentes com cancro da orofaringe, por falta de dados reprodutíveis e de protocolos. Os resultados da avaliação da fonação devem concentrar-se, tanto em medidas objetivas, como subjetivas e a perceção do doente deve ser considerada cuidadosamente no encaminhamento para terapia da fala. A radioterapia afeta a biomecânica dos tecidos circundantes e por isso, a vibração das pregas vocais, bem como as características de ressonância, com aumento do ruído vocal e da perturbação acústica, diminuição do tempo máximo de fonação e da amplitude de frequências. Com isto, poder-se-ão desenvolver estratégias terapêuticas dirigidas e específicas.

Palavras-chave: cancro de cabeça e pescoço, disfagia, disfonia, perceção do doente, avaliação instrumental.

6.3. Introdução

O tratamento com quimioradioterapia (QRT) é considerado padrão para o tratamento definitivo do carcinoma espinocelular de cabeça e pescoço localmente avançado (Radhakrishna et al., 2017). Os clínicos consideravam que mantendo a estrutura, a função seria preservada (Jacobi et al., 2010). Nas últimas décadas, esta conceção foi debelada (Jacobi et al., 2010), sabendo-se que existem efeitos ao nível da voz, que podem ser identificados com a avaliação acústica, aerodinâmica, áudio-percetiva e com base na perceção dos doentes (Lazarus, 2009). A lubrificação e a hidratação das pregas vocais são elementos-chave para uma fonação eufónica. No tratamento de tumores não laríngeos, apesar dos avanços nas técnicas de radioterapia (RT), a funcionalidade das pregas vocais é afetada (Nund et al., 2015; Radhakrishna et al., 2017). No cancro da orofaringe pode ainda, ocorrer paralisia tardia do nervo vago por RT (Aggarwal et al., 2021) e por isso, a presença de disfonia. Estas alterações podem estar presentes em qualquer fase do tratamento, ou seja, antes, durante ou após, estando a prevalência global de disfonia entre 16 e 64% (de Oliveira Faria et al., 2021). Estes doentes mostram melhorias na função vocal ao longo do tempo, tendo a terapia da fala um efeito positivo neste resultado funcional. (Lazarus, 2009)

A disfonia nestes doentes está associada à toxicidade (Radhakrishna et al., 2017), que contribui para a presença de secura da muscosa laríngea, atrofia muscular, fibrose, hiperemia e eritema. Estas alterações, por sua vez, contribuem para o aumento da tensão e resistência vocal, alteração na vibração das pregas vocais e presença de fenda glótica (Jacobi et al., 2010; Lazarus, 2009; Soldatova & Mirza, 2019; Zebralla, Wichmann, et al., 2021). Para além disso, podem ser descritas variações percetivas como fraca intensidade, soprosidade, rouquidão, quebras de sonoridade, tosse durante a fala e fadiga (Jones et al., 2006; Soldatova & Mirza, 2019). A xerostomia e a redução da lubrificação da faringe também contribui para a disfunção vocal (Fung et al., 2001).

Apesar destes achados fisiológicos, a pesquisa focou-se recentemente nos resultados auto-reportados pelos doentes, sendo que comparações entre estas duas têm sido realizadas, contudo com resultados discordantes (Basch et al., 2006; Di Maio et al., 2015; Kirsh et al., 2019; Soldatova & Mirza, 2019). Estes achados mostram a necessidade de aumentar o conhecimento relativamente à perceção do doente durante e após o tratamento

e otimizar os resultados auto-reportados por estes, em estreita relação com a avaliação objetiva (Soldatova & Mirza, 2019).

Assim, com este estudo pretende-se contribuir para uma melhor compreensão da relação entre as medidas objetivas da avaliação da voz, através da análise acústica e áudio-percetiva e da perceção auto-reportada pelo doente, através de instrumentos validados, nos doentes que realizam tratamento não cirúrgicos, com intenção curativa, por cancro da orofaringe.

6.4. Métodos

Para estudar o impacto dos efeitos da QRT na voz, no doente com cancro da orofaringe, tendo por base a perceção reportada pelo doente e a avaliação instrumental por análise acústica e áudio-percetiva foi levada a cabo uma pesquisa transversal descritiva, com recurso a uma amostra de conveniência. O estudo foi previamente aprovado pela Comissão de Ética do Instituto Português de Oncologia Francisco Gentil - Porto (IPO-Porto) (Anexo II). Para este estudo foram recolhidos dados objetivos e subjetivos pela investigadora principal.

i. Participantes

Todos os doentes com cancro da orofaringe e que realizaram tratamento com intenção curativa com QRT que se deslocaram a consulta de otorrinolaringologia da clínica de cabeça e pescoço do IPO-Porto, em consulta de *follow-up*, foram incluídos, tendo por base os critérios a seguir descritos.

Os critérios de inclusão: ter realizado RT e/ou QT para cancro da orofaringe com *follow-up* mínimo de um ano, uma vez que alguns efeitos secundários dos tratamentos não cirúrgicos podem surgir apenas 90 dias após (Vissink et al., 2003); sem doença ativa (Perry et al., 2016); ter o Português Europeu como língua materna; consentir participar.

Os critérios de exclusão: outra condição médica conhecida que contribua para a hipofunção das glândulas salivares e/ou disfonia e/ou disfagia (p.e. problemas neurológicos ou gastroenterológicos); tratamentos anteriores dirigidos à otimização da fonação e da deglutição; e ingestão de fármacos que possam afetar estas funções.

Foram recolhidos dados sociodemográficos (sexo, idade, estado civil e escolaridade) e clínicos (problemas de saúde, medicação, estadio do tumor, tipo de tratamento, término do tratamento, presença de disfonia, intervenção em terapia da fala (guião de recolha de dados no anexo V). Para além da autorização para participar no estudo, foi igualmente solicitado consentimento para guardar os ficheiros áudio utilizados para análise acústica e áudio-percetiva.

ii. Colheita de dados

Aos participantes foi solicitada a emissão de vogais (/a/, /i/, /u/) e a leitura do texto "A história do rato Artur" (Dwivedi et al., 2016; Guimarães, 2007) com intensidade e frequência habituais (Watts et al., 2015). Durante a captação e gravação solicitou-se aos participantes que mantivessem uma posição de sentado, confortavelmente. O participante segurava o microfone num ângulo de 90º e com 20cm de distância da boca (medidos com régua) (Behlau, 2001; Patel et al., 2018). A aquisição e análise do sinal acústico foi realizada com o *software* de acesso livre PRAAT® versão 6.1.40 com um canal, 16 bits de resolução e taxa de amostragem de 44.1kHz e os ficheiros gravados em formato wav (Patel et al., 2018), para posterior análise. A gravação foi realizada com microfone dinâmico Shure SM58, com interface digital Behringer FCA1616 conectado a um computador portátil MacBook Pro®. Todas as gravações foram realizadas em gabinete de consulta externo com controlo do ruído ambiente que não ultrapassou os 45dB (Patel et al., 2018), medido com o *software* Sound Meter.

Os participantes realizaram as seguintes tarefas:

- Emissão de vogais /a/, /i/, /u/ em tempo máximo de fonação (TMF), numa intensidade e frequência normais - 3 repetições de cada e uma pausa de 30 segundos entre repetição;
- Leitura do texto "A história do rato Artur";
- Emissão do /a/ em fraca intensidade;
- Emissão do /a/ em frequência aguda.

iii. Avaliação áudio-percetiva

Para a avaliação inter-observador dois terapeutas da fala experientes, nativos do português europeu, ouviram e classificaram as vozes de forma independente. Os ouvintes não conheciam informação dos participantes. O estímulo para a análise percetiva consistia de um fragmento de 10 segundos do texto e três segundos da produção da vogal /a/ sustentada. A avaliação áudio-percetiva foi realizada com recurso à escala GRBAS, onde cada parâmetro foi cotado numa escala de quatro pontos (Hirano, 1981 cit in (Guimarães, 2007). Tendo em conta a localização tumoral (orofaringe) incluiu-se a avaliação da ressonância - nasalidade (Balaguer et al., 2020; Kraaijenga, van der Molen, et al., 2015). A classificação da análise da nasalidade servir-se-á de uma escala de quatro pontos (de

Bruijn et al., 2011; de Bruijn et al., 2009). Em ambas as escalas um valor mais elevado representa uma alteração severa. A avaliação interobservador por variável foi analisada, mostrando correlações moderadas a fortes. (Anexo XV - Tabela 108 e 109).

v. Avaliação acústica

A toxicidade laríngea da QRT para doentes com cancro não laríngeo pode ser avaliada pela análise acústica (Fung et al., 2001; Hamdan et al., 2009; Paleri et al., 2012). As variáveis calculadas com base na análise acústica, para avaliação das modificações que refletem alterações fisiológicas nas pregas vocais, foram (Dejonckere et al., 2001; Patel et al., 2018) as seguintes: a) frequência fundamental (f_0); b) *jitter* em percentagem; c) *shimmer* em percentagem; d) *harmonic-to-noise ratio* (HNR); e) frequência fundamental mais aguda; f) a intensidade mais fraca em dB. Foi também calculado o índice de severidade da disfonia (ISD). De uma forma global, quanto mais negativo o valor, pior a qualidade vocal (Wuyts et al., 2000), sendo o ponto de corte 3.05 (Sobol & Sielska-Badurek, 2022). As variáveis acústicas foram calculadas a partir de uma porção estável de três segundos da vogal /a/ sustentada. Foi ainda recolhido o tempo máximo de fonação (TMF) em segundos, como medida de avaliação aerodinâmica.

v. Avaliação vocal auto-reportada pelo doente

Como instrumento de avaliação da QdV específicos para doentes oncológicos da cabeça e pescoço foram utilizados o EORTC QLQ C-30 e o EORTC QLQ-HN43, o VHI-9i para a avaliação da perceção do impacto da disfonia.

O QLQ-C30 (versão 3) é composto por cinco escalas funcionais, três escalas de sintomas, o estado global de saúde/escala de QdV e seis itens simples para avaliação de sintomas ou problemas adicionais (Aaronson et al., 1993; Fayers, Aaronson, Bjordal, Groenvold, Curran, Bottomley, et al., 2001). O QLQ-HN43, composto por doze dimensões e sete itens simples (Singer et al., 2019), num total de 43 itens. Os resultados variam entre 0 e 100 (Bjordal et al., 1999). No QLQ-C30 segue uma direção positiva, mas no QLQ-HN43 tem o sentido inverso. Como valor de corte, clinicamente relevante, foi definida uma diferença de 10% relativamente ao valor máximo do instrumentos, ou seja, de 10 pontos (Ringash et al., 2007).

O VHI-9i é composto por três dimensões: funcional, física e emocional e um item do resultado global, cotadas através de uma escala *likert* de cinco pontos (cotado de 0 a 4) (Guimarães & Abberton, 2004; Jacobson et al., 1997; Nawka et al., 2009; Soldatova & Mirza, 2019; Verdonck-de Leeuw et al., 2008). A classificação de severidade do VHI-9i deverá ser realizada da seguinte forma: 0, como saudável e cotação entre 1 e 7; 1, como ligeira e cotação entre 8 e 16; 2 como moderada e cotação entre 17 e 26; e 3 como severa e cotação entre 27 e 36. O somatório dos pontos pode variar entre 0 (sem desvantagem vocal) a 36 (grande desvantagem vocal), onde um resultado mais alto, representa maior desvantagem (Caffier et al., 2021).

vi. Análise estatística

Os dados recolhidos foram analisados com recurso ao *software* SPSS® versão 27. Os resultados dos questionários (QLQ-C30, QLQ-HN43) foram convertidos para uma escala de 0-100, de acordo com orientações publicadas para cada um (Aaronson et al., 1993; Caffier et al., 2021; Fayers et al., 2001). A análise descritiva foi utilizada para reportar média, mediana, desvio-padrão e amplitude interquartil. As variáveis categoriais foram apresentadas por número e percentagem. As relações entre os resultados da avaliação instrumental (análise acústica e áudio-percetiva) e da perceção do doente (QLQ-C30, QLQ-HN43 e VHI-9i), bem como destas com as variáveis sociodemográficas e clínicas, foram inicialmente explorados recorrendo ao teste de correlação de *Spearman* (*rho*) (para variáveis ordinais). Posteriormente, a análise das diferenças entre as variáveis foi realizada com recurso ao teste de *Kruskall-Wallis* (para variáveis com mais do que duas categorias) ou ao *Mann-Whitney* (para variáveis com duas categorias). Um valor de $p \leq .05$ foi considerado como estatisticamente significativo. Para além disso, os valores de ponto de corte (*cutoff)* dos questionários foram respeitados nesta análise, tendo por base os dados mencionados em estudos publicados (Aaronson et al., 1993; Caffier et al., 2021; Fayers et al., 2001).

6.5. Resultados

i. População e amostra

As características sociodemográficas e clínicas dos participantes estão descritas nas tabelas 65 e 66 e foram recolhidos de acordo com os que mais influenciam a QdV nestes doentes (Rogers, 2016). De um total de 98 possíveis participantes, 40 haviam falecido e 20 não compareceram à consulta, tendo sido incluídos 38 neste estudo. O preenchimento dos questionários demorou em média 8 minutos, com tempo máximo de 10 e mínimo de 5, sendo que 94.7% dos participantes preferiram que o investigador lesse e/ou escrevesse as suas respostas.

Tabela 65 - Caraterização demográfica da amostra (n=38).

Variável		n(%)
Sexo	Feminino	4 (10.5)
	Masculino	34 (89.5)
Idade	40-50	7 (18.4)
	50-60	13 (34.2)
	60-70	14 (36.8)
	>70	4 (10.5)
Estado civil	Casado	20 (52.6)
	Solteiro	6 (15.8)
	Divorciado	12 (31.6)
	Viúvo	0 (0)
Nível de escolaridade	1º ciclo	15 (39.5)
	2º ciclo	10 (26.3)
	3º ciclo	5 (13.2)
	Secundário	3 (7.9)
	Superior	5 (13.2)

Tabela 66 - Caraterização clínica da amostra (n=38).

Variável		n(%)
Problemas de saúde	Não	31 (81.6)
	Sim	7 (18.4)
Estadiamento tumor primário	T1	3(5.3)
	T2	3(18.4)
	T3	13 (34.2)
	T4	16 (42.1)
Estadiamento nódulos linfáticos regionais	N0	6(15.8)
	N1	3(21.1)
	N2	3(5.3)
	N2b	12(31.6)
	N2c	3(18.4)
	N3	3 (7.9)
Estadiamento Metástases à distância	M0	38 (100)
	M1	0 (0)
Estadiamento tumor	I	3(5.3)
	II	3(7.9)
	III	5 (13.2)
	Iva	25 (65.8)
	Ivb	3 (7.9)
Traqueostomia	Não	36 (94.7)
	Sim	2 (5.3)
Termino da RT (meses)	12-24	6(15.8)
	24-36	10(26.3)
	36-48	10(26.3)
	48-60	3(7.9)
	60-72	3(18.4)
	>72	2 (5.3)
QT	Não	3(5.3)
	Sim	36 (94.7)
Medicação diária	Não	15 (39.5)
	Sim	23 (60.5)
Disfonia	Não	25 (65.8)
	Sim	13 (34.2)
Terapia da fala	Não	35 (92.1)
	Sim	3 (7.9)
Ajuda a preencher o questionário	Não	
	Leu as questões e/ou escreveu as respostas	3(5.3)
		36 (94.7)
	Respondeu às questões por si	0 (0)
	Ajudou de outra forma	0 (0)

n (%): frequência absoluta (frequência relativa), AIQ: Amplitude Interquartil

Da análise dos resultados da média do QLQ-C30 verificou-se que o valor global deste questionário se encontrava no limite entre a normalidade e alteração ligeira (Tabela 67), não apresentando alterações ao nível da QdV (Tabela 69). Relativamente ao HN43, não se observaram alterações clinicamente relevantes (Tabela 68). Contudo, quando analisado pelo ponto de corte observou-se que 50% dos participantes apresentaram alterações na QdV (Tabela 69). O valor médio obtido no VHI-9i foi de 9.63, mostrando uma alteração

ligeira, mas 45% evidenciou algum grau de comprometimento vocal (Tabela 70). Pela análise do ISD apenas 10.5% dos participantes apresentaram alteração vocal com relevância patológica. A análise da escala GRBAS permitiu verificar que 47% dos participantes apresentaram uma disfonia ligeira e 32% moderada, sendo que a rouquidão foi o elemento mais prevalente com 36% e 39% apresentando alteração ligeira e moderada, respetivamente, neste parâmetro. A soprosidade foi uma característica pouco comum observada em apenas 31% da amostra. A astenia e a tensão estiveram presentes, mas de forma ligeira (Tabela 71 e 72). A avaliação percetiva da ressonância (Tabela 73) permitiu identificar 14 (36%) participantes com severidade ligeira a moderada ao nível da leitura do texto e 13 (34%) nas vogais, sendo a hipernasalidade a característica mais prevalente. As medidas descritivas dos valores da análise acústica apresentam-se nas tabelas 74 e 75.

Tabela 67 - Resultados do EORTC QLQ-C30 por escalas.

Variável	média±desvio padrão, mediana (AIQ)
QdV global	70.4± 19.4, 70.8 (56.2-83.3)
Funcionamento físico	81.6± 18.9, 86.7 (71.6-95.0)
Desempenho	92.1± 13.8, 100.0 (83.3-100.0)
Funcionamento cognitivo	88.2± 15.9, 100.0 (83.3-100.0)
Funcionamento emocional	84.4± 17.2, 91.7 (66.7-100.0)
Funcionamento social	94.3± 11.1, 100.0 (95.8-100.0)
Fadiga	20.2± 20.8, 22.2 (0.0-33.3)
Náusea e vómitos	0.9± 3.8, 0.0 (0.0-0.0)
Dor	9.6± 14.8, 0.0 (0.0-16.7)
Dispneia	6.1± 15.2, 0.0 (0.0-0.0)
Insónia	23.7± 27.8, 16.6 (0.0-33.3)
Perda de apetite	7.0± 15.8, 0.0 (0.0-0.0)
Obstipação	6.1± 18.7, 0.0 (0.0-0.0)
Diarreia	2.6± 9.1, 0.0 (0.0-0.0)
Dificuldades financeiras	14.9± 28.7, 0.0 (0.0-33.3)
Resultado global	89.6± 8.0, 91.1 (82.8-96.3)

Tabela 68 - Resultados do EORTC QLQ-HN43 por escalas.

Variável	média±desvio padrão, mediana (AIQ)
Ansiedade	21.5± 22.9, 0.0 (0.0-33.3)
Imagem corporal	12.6± 16.0, 11.1 (0.0-22.2)
Tossir	2.6± 12.0, 0.0 (0.0-0.0)
Boca seca e saliva espessa	29.4± 25.2, 33.3 (0.0-50.0)
Edema no pescoço	0.0± 0.0, 0.0 (0.0-0.0)
Problemas neurológicos	16.7± 22.3, 0.0 (0.0-33.3)
Abertura de boca	14.0± 25.3, 0.0 (0.0-33.3)
Dor na boca, cabeça e pescoço	7.7± 11.2, 0.0 (0.0-10.4)
Sexualidade	16.2± 22.1, 0.0 (0.0-33.3)
Contacto social	9.6± 25.6, 0.0 (0.0-0.0)
Sentidos	18.0± 30.8, 0.0 (0.0-20.8)
Problemas nos ombros	7.4± 18.0, 0.0 (0.0-0.0)
Problemas de pele	3.5± 9.7, 0.0 (0.0-0.0)
Comer em público	16.4± 21.3, 8.3 (0.0-27.1)
Fala	15.8± 22.1, 6.7 (0.0-20.0)
Deglutição	21.3± 23.6, 16.7 (0.0-25.0)
Problemas com dentes	23.1± 25.4, 16.6 (16.6-36.1)
Perda de peso	14.0± 24.3, 0.0 (0.0-33.3)
Problemas com cicatrização de feridas	3.5± 12.9, 0.0 (0.0-0.0)

Tabela 69 - Resultados dos questionários QLQ C-30 e HN43 por ponto de corte.

		N	%
QLQ C30	Alterado	17	44.7
	Não alterado	21	55.3
	Total	38	100.0
QLQ HN43	Alterado	19	50.0
	Não alterado	19	50.0
	Total	38	100.0

Tabela 70 - Resultados do questionário VHI-9i pelos níveis de perturbação.

		N	%
VHI-9i	<= 7.0	22	57.9
	8.0 - 16.0	5	13.2
	17.0 - 26.0	7	18.4
	27.0 - 36.0	4	10.5
	Total	38	100.0
ISD	Alterado	4	10.5
	Não alterado	34	89.5
	Total	38	100.0

Tabela 71 - Frequência de ocorrência e percentagem por cada parâmetro da GRBAS e de acordo com a severidade.

GRBAS	0 - Normal	1 - Ligeiro	2 - Moderado	3 - Severo
Grau	8 (21.1)	18 (47.4)	12 (31.6)	0 (0)
Rrouquidão	9 (23.7)	14 (36.8)	15 (39.5)	0 (0)
B - Soprosidade	26 (68.4)	12 (31.6)	0 (0)	0 (0)
Astenia	11 (28.9)	21 (55.3)	6 (15.8)	0 (0)
S - Tensão	15 (39.5)	20 (52.6)	3 (7.9)	0 (0)

Tabela 72 - Resultados da escala GRBAS por elemento a avaliar.

GRBAS	média±desvio padrão, mediana (AIQ)
Grau	1.11±.727, 1.00 (1.00-2.00)
Rouquidão	1.16±.789, 1.00 (.75-2.00)
B - Soprosidade	.32±.471, .00 (.00-1.00)
Astenia	.87±.665, 1.00 (.00-1.00)
S - Tensão	.68±.620, 1.00 (.00-1.00)

Tabela 73 - Medidas descritivas da análise áudio-percetiva da ressonância.

		Normal/Ausente	Discreto	Moderado
Texto	Hipernasalidade	29	5	4
	Hiponasalidade	33	5	-
Vogais	Hipernasalidade	30	6	2
	Hiponasalidade	33	5	-

Tabela 74 - Medidas descritivas da análise acústica dos resultados do *shimmer, jitter,* intensidade, HNR e ISD.

	Média	Desvio padrão	Mínimo	Máximo
Shimmer	4.25	3.82	0.97	19.21
Jitter	0.75	0.62	0.22	3.22
Intensidade	67.09	8.72	48.67	84.49
HNR	18.64	5.50	4.44	28.57
ISD	-0.41	4.99	-23.73	4.20

Tabela 75 - Medidas descritivas da análise acústica dos resultados da F_0, TMF das vogais a, i, u, de acordo com o sexo.

	Sexo							
	Masculino				Feminino			
	Média	Desvio padrão	Máximo	Mínimo	Média	Desvio padrão	Máximo	Mínimo
F0	131.42	38.40	263.90	81.33	133.64	52.65	209.80	94.07
TMF a	9.99	6.89	25.54	2.50	6.01	2.65	9.12	3.12
TMF i	9.42	5.54	24.43	2.47	6.43	2.87	9.06	2.47
TMF u	9.69	6.90	32.57	2.27	8.16	5.62	15.71	2.23

ii. Correlação das variáveis sociodemográficas e clínicas com a avaliação vocal

Verificaram-se diferenças estatisticamente significativas entre as variáveis sociodemográficas e clínicas e variáveis da avaliação vocal. O nível de rouquidão (GRBAS) mostrou diferenças para a variável sexo, sendo que as mulheres apresentaram maior severidade (correlação positiva fraca). Uma correlação positiva fraca entre a rouquidão (GRBAS) e o término de tratamento mostrou pior rouquidão com aumento do tempo de *follow-up*. A escala soprosidade também evidenciou diferenças estatisticamente significativas com a variável terapia. Constataram-se diferenças estatisticamente significativas entre a escala astenia (GRBAS) e a variável terapia, numa correlação positiva moderada. (Tabela 76)

Já no que respeita à avaliação da ressonância verificou-se que na leitura do texto, a hipernasalidade teve uma correlação positiva fraca com o tempo de término do tratamento, sendo que um aumento do *follow-up*, indicou maior hipernasalidade. Relativamente à hiponasalidade (leitura de texto e vogais) observou-se uma correlação negativa fraca com a idade, sendo que os mais jovens apresentaram maior severidade.

Contudo, a correlação foi positiva e moderada para a variável tempo de término do tratamento, ou seja, os participantes que apresentaram maior hiponasalidade tinham maior tempo de *follow-up*. Para as vogais, a correlação foi fraca, ou seja, a maior severidade da hiponasalidade nas vogais relacionou-se com o aumento do tempo de término do tratamento. (Tabela 76)

Relativamente ao TMF da vogal /a/ observou-se correlação positiva fraca com a idade, ou seja, maior TMF associado ao aumento da idade. Verificou-se correlação negativa fraca entre o estadio e o *shimmer* e o *jitter*, sendo que o aumento do valor de *shimmer* se relacionou com o estadio menos grave. A variável F_0 evidenciou correlação positiva fraca com o tempo de término do tratamento e constataram-se diferenças significativas com a terapia. Foram igualmente encontradas diferenças entre o valor de HNR e o estadio e correlação positiva fraca com o tempo de término do tratamento. (Tabela 76)

Tabela 76 - Análise de diferenças e de correlação entre as variáveis de avaliação áudio-percetiva vocal, ressonância e análise acústica e as variáveis sociodemográficas e clínicas.

		Idade	Sexo	Estado civil	Estadio	QT	Termino tto	TF
GRBAS G	*p* correlação					0.020		
GRBAS R	*p* correlação		0.019 0.384*				0.340*	
GRBAS B	*p* correlação							
GRBAS A	*p* correlação							0.004 0.435*
GRBAS S	*p* correlação							0.039
Ressonância texto hipernasalidade	*p* correlação					0.327*		
Ressonância texto hiponasalidade	*p* correlação	-0.359*					0.423**	
Ressonância vogais hipernasalidade	*p* correlação							
Ressonância vogais hiponasalidade	*p* correlação	-0.423**					0.341*	
TMF /a/	*p* correlação	0.359*						
Shimmer	*p* correlação				-0.331*			
Jitter	*p* correlação				-0.334*			
F_0	*p* correlação						0.322*	0.047 0.418**
HNR	*p* correlação				0.030 0.465**		0.357*	
ISD	*p* correlação			0.024 0.354*				

*correlações significativas a um nível de p<0.05; ** correlações significativas a um nível de p<0.01
QT = quimioterapia; tto = tratamento; TF = terapia da fala

iii. Correlação da avaliação vocal com a perceção do doente

Da análise entre as variáveis vocais e o questionário QLQ-C30, constataram-se diferenças na escala funcionamento físico com a astenia (GRBAS), hiper e hiponasalidade na leitura

do texto. A escala fadiga evidenciou diferenças estatisticamente significativas com a rouquidão, soprosidade e astenia (GRBAS), bem como hiper e hiponasalidade na leitura de texto e hipernasalidade nas vogais. Foram ainda, identificadas diferenças entre a escala dificuldades financeiras e astenia (GRBAS). Para a escala estado geral de saúde observaram-se diferenças para as variáveis: tensão (GRBAS), hiper e hiponasalidade de texto e hiponasalidade de vogais. Numa análise do QLQ-C30 mais global, ou seja, com resultado total e por ponte de corte verificaram-se diferenças para as variáveis: hiper e hiponasalidade do texto e das vogais, bem como correlação negativa fraca entre o resultado total e a astenia (GRBAS). Ou seja, as variáveis, astenia, hiper e hiponasalidade de texto e hiponasalidade de vogais mostraram correlação com as escalas: funcionamento físico, fadiga, dificuldades financeiras, estado geral de saúde e resultado global do C30 (Tabela 77). Ao nível da análise de correlação com as variáveis da análise acústica salientar a correlação negativa fraca entre o TMF da vogal /a/ e a escala funcionamento físico, onde os participantes obtiveram valores mais baixos de TMF, quando apresentaram alterações do funcionamento físico, social, do resultado total e quando analisado pelo ponto de corte. Ainda no TMF da vogal /u/ verificou-se uma correlação negativa fraca com o C30, quando analisado pelo ponto de corte. Uma correlação positiva fraca entre a escala perda de apetite e o HNR, ou seja, maior perda de apetite relacionou-se com maior valor de HNR. A escala obstipação com o valor de intensidade, evidenciou uma correlação negativa moderada (Tabela 77).

Quando a análise foi realizada com o questionário QLQ-HN43, foram encontradas diferenças estatisticamente significativas entre a escala dor de cabeça e pescoço e hiponasalidade em textos. Observaram-se correlações negativas fracas entre a escala boca seca e saliva espessa com a hipernasalidade de texto e vogais, ou seja, uma maior alteração na escala relacionou-se com hipernasalidade mais severa. Verificou-se correlação positiva fraca entre a escala contacto social e astenia (GRBAS), sendo que um pior contacto social se relacionou com maior astenia. Esta escala evidenciou ainda diferenças para a variável hipernasalidade - vogais. Os problemas nos ombros mostraram diferenças com o grau da GRBAS e correlação negativa fraca com soprosidade (GRBAS). Os problemas neurológicos apresentaram uma correlação negativa fraca com a hipernasalidade - texto, ou seja, mais problemas neurológicos para alterações discretas da nasalidade (Tabela 78). Ao nível da análise de correlação com as variáveis da análise acústica, observou-se correlação positiva fraca a moderada para a variável TMF da vogal

/a/ com as escalas imagem corporal, ansiedade e problemas neurológicos. Entre o TMF da vogal /i/, a intensidade e o ISD com a escala problemas com os dentes, verificou-se uma correlação negativa fraca e moderada, respetivamente. Uma correlação negativa fraca entre o *jitter* e a escala ansiedade foi também encontrada. Constatou-se uma correlação positiva fraca entre a escala abertura de boca e a F_0. A variável intensidade, nesta pesquisa mostrou correlação negativa fraca com a escala problemas de pele. Por fim, o valor de ISD correlacionou-se de forma positiva fraca com o resultado total do HN43 (Tabela 78).

Não foram observadas diferenças estatisticamente significativas ou correlações entre as variáveis sociodemográficas, clínicas e da avaliação vocal com os resultados do VHI-9i.

Para uma análise mais detalhada dos resultados consultar no anexo XVII, as tabelas 158 a 184.

Tabela 77 - Análise de diferenças e de correlação entre as variáveis de avaliação áudio-percetiva, ressonância e análise acústica e as escalas do questionário EORTC-C30.

		Funcionamento físico	Fadiga	Perda de apetite	Dificuldades financeiras	Obstipação	Funcionamento social	Estado geral de saúde	Resultado global	Resultado categorial
GRBAS R	*p*		0.037							
	correlação									
GRBAS B	*p*		0.019							
	correlação		-0.385*							
GRBAS A	*p*	0.012	0.019		0.025					
	correlação	-0.490**	-0.437**		0.399*				-0.331*	
GRBAS S	*p*									
	correlação							0.358*		
Ressonância texto hipernasalidade	*p*		0.028					0.018	0.006	0.010
	correlação	0.370*	-0.437**						0.525**	0.497**
Ressonância texto hiponasalidade	*p*	0.034	0.037					0.010	0.008	0.033
	correlação	0.349*	-0.343*					-0.421**	0.437**	0.350*
Ressonância vogais hipernasalidade	*p*								0.009	0.018
	correlação		-0.357*						0.497**	0.462**
Ressonância vogais hiponasalidade	*p*							0.042	0.038	0.033
	correlação							-0.334*	0.341*	0.350*
TMF /a/	*p*									
	correlação	-0.335*					-0.333*		-0.360*	-0.437**
TMF /u/	*p*									
	correlação									-0.348*
Jitter	*p*									
	correlação			-0.361*						
Intensidade	*p*									
	correlação					-0.420**				
HNR	*p*									
	correlação			0.345*						

*correlações significativas a um nível de p<0.05; ** correlações significativas a um nível de p<0.01

Tabela 78 - Análise de diferenças e de correlação entre as variáveis de avaliação áudio-percetiva, ressonância e análise acústica e as escalas do questionário EORTC-HN43.

		Dor de cabeça e pescoço	Problemas com os dentes	Abertura de boca	Boca seca e saliva espessa	Imagem corporal	Contacto social	Problemas nos ombros	Problemas de pele	Ansiedade	Problemas neurológicos	Resultado global
GRBAS G	*p*							0.010				
	correlação											
GRBAS B	*p*							-0.321*				
	correlação											
GRBAS A	*p*						0.329*					
	correlação											
Ressonância texto hipernasalidade	*p*				-0.329*						-0.337*	
	correlação											
Ressonância texto hiponasalidade	*p*	0.043										
	correlação	-0.333*										
Ressonância vogais hipernasalidade	*p*						0.030					
	correlação				-0.351*							
TMF /a/	*p*					0.334*				0.353*	0.419**	
	correlação											
TMF /i/	*p*		-0.332*									
	correlação											
Jitter	*p*									-0.358*		
	correlação											
Intensidade	*p*		-0.351*						-0.330*			
	correlação											
F_0	*p*			0.328*								
	correlação											
ISD	*p*		0.410*									0.362*
	correlação											

*correlações significativas a um nível de p<0.05; ** correlações significativas a um nível de p<0.01

6.6. Discussão

A disfonia nos doentes com cancro da orofaringe tratados com QRT exclusivamente tem sido abordada na última década (Jacobi et al., 2010), sabendo-se atualmente que existem efeitos ao nível da fonação identificados por meio da avaliação acústica, aerodinâmica, áudio-percetiva e com base na perceção dos doentes (Lazarus, 2009). Relativamente às variáveis sociodemográficas (sexo e faixa etária) estudos anteriores relataram resultados semelhantes (Bjordal et al., 2000; Estêvão et al., 2016), tal como nas variáveis problemas de saúde e uso de medicação (Michelson et al., 2000), a presença de traqueostomia (Zebralla, Wiegand, et al., 2021) e o estadio tumoral (Estêvão et al., 2016). As alterações vocais descritas mostraram-se similares às reportadas anteriormente (Lazarus, 2009; Soldatova & Mirza, 2019; Vainshtein et al., 2014; Zebralla, Wichmann, et al., 2021), bem como os valores do VHI (Thomas et al., 2009). Os participantes com valor de ISD indicativo de perturbação apresentaram no VHI-9i uma alteração severa, sendo que outros autores encontraram correlação positiva entre estes elementos de avaliação (Jones et al., 2006). Os valores médios obtidos nas escalas do QLQ-C30 e do QLQ-HN43, também estão de acordo com os valores de referência (Bjordal et al., 2000; Nolte et al., 2019; Scott, 2008). Quanto às correlações entre variáveis sociodemográficas e clínicas, mencionar que não se obtiveram resultados estatisticamente significativos para a maioria das variáveis analisadas, o que está de acordo com resultados anteriormente descritos, face ao sexo e ao estadio (Zebralla, Wiegand, et al., 2021). Ainda a variável idade, uma porção da amostra encontrava-se em idade produtiva e a disfonia poderá ser uma barreira ao exercício profissional (Isaksson et al., 2016; Verdonck-de Leeuw et al., 2010; Zebralla, Wiegand, et al., 2021).

As variáveis da análise acústica mostraram valores de *shimmer* alterados, pois a média obtida foi superior a 3%, tal como recomendado (Freitas, 2009), ou seja, os participantes evidenciaram perturbação ao nível da amplitude da onda sonora. O *jitter* pelo valor médio consideraríamos a amostra sem alterações, contudo vários participantes evidenciaram valores superiores a 1%, indicativos de perturbação da frequência fundamental (Freitas, 2009). Estes achados são semelhantes a estudos realizados anteriormente (Fung et al., 2001; Hamdan et al., 2009; Radhakrishna et al., 2017). Os dados obtidos referentes ao TMF para as várias vogais foi inferior a 10 segundos, o que é considerado patológico (Behlau, 2001; Hirano, 1981; Jackson-Menaldi, 2002) e são próximo dos encontrados em estudos anteriores para o cancro da laringe (Meleca et al., 2003) e não laríngeo (Fung et

al., 2001; Hamdan et al., 2009; Radhakrishna et al., 2017). Estas alterações referem-se a um período superior a 12 meses após tratamento, sendo que estudos anteriores mencionam a manutenção dos efeitos secundários da QRT em momento pós tratamento tardio (Kraaijenga et al., 2016; Meleca et al., 2003) e outros o oposto (Jacobi et al., 2010; Lazarus, 2009; Orlikoff et al., 1999). Os valores alterados de *jitter* e *shimmer* estão associados a perturbação na coaptação glótica, que condiciona o fluxo de ar transglótico, que por sua vez também reduz substancialmente o TMF (Meleca et al., 2003), apesar dos participantes deste estudo terem lesão na orofaringe. Os valores de F_0, relacionados com o edema das pregas vocais (Paleri et al., 2012), indicaram valores perturbados na presente amostra (Radhakrishna et al., 2017), mas outras pesquisas obtiveram resultados contraditórios (Fung et al., 2001). Observou-se uma correlação positiva fraca com o tempo após o tratamento, o que poderá ser explicado pela diminuição do edema após a fase aguda e uma correlação positiva moderada com a intervenção em terapia da fala. Espera-se que os valores de F_0, *jitter* e *shimmer* melhorem ao longo do tempo, contudo não retornam aos valores antes do tratamento (Paleri et al., 2012).

Relativamente à sensação de intensidade os valores encontrados mostraram-se normativos (Behlau et al., 2001), bem como o HNR, caracterizando a amostra como tendo uma fonação eficiente (Freitas, 2012). Contudo, pelo ISD a amostra deste estudo apresenta algum grau de severidade de disfonia (Sobol & Sielska-Badurek, 2022). No que respeita às variáveis de frequência fundamental, tanto para o sexo masculino como para o feminino os valores médios obtidos foram semelhantes a estudos anteriores em doentes com disfonia (Carrara-De Angelis et al., 2003; Guimarães & Abberton, 2005).

No que respeita à avaliação áudio-percetiva mais de 31% da amostra evidenciou algum grau de alteração nos parâmetros da GRBAS, sendo a rouquidão o mais prevalente. Resultados similares foram reportados anteriormente (de Oliveira Faria et al., 2021; Kraaijenga, Oskam, et al., 2015; Zebralla, Wichmann, et al., 2021), contudo outros estudos indicam dados contraditórios (Markkanen-Leppänen, Isotalo, Mäkitie, Asko-Seljavaara, et al., 2006; Paleri et al., 2012). Ao nível da ressonância verificou-se alteração da mesma em mais de 34% da amostra, estudos anteriores reportaram alteração da mesma (Jacobi et al., 2013; Kraaijenga, van der Molen, et al., 2015; Kumar et al., 2013; Seikaly et al., 2003), sendo de esperar que nos tumores da orofaringe as alterações sejam mais prevalentes (Markkanen-Leppänen et al., 2005). Os resultados do VHI-9i mostraram que aproximadamente 50% da amostra tem alguma alteração, podendo estar presente mesmo

num *follow-up* tardio (Soldatova & Mirza, 2019), mas estudos referem valores mais altos (Kraaijenga, Oskam, et al., 2015; Kraaijenga et al., 2016; Zebralla, Wiegand, et al., 2021) e outro não relata alterações vocais (Nguyen et al., 2011). Contudo, neste último estudo não mencionam como foram criadas as questões auto-reportadas, nem a validade da escala de classificação.

Os participantes desta pesquisa apresentaram características de alteração da qualidade vocal, frequência e intensidade, bem como indicaram ligeiras a moderadas alterações ao nível da QdV avaliada pelo VHI-9i, apesar do tempo passado após término do tratamento (Meleca et al., 2003). Estes resultados sugerem que os participantes podem ter-se adaptado às alterações biomecânicas no sistema fonatório e por isso, as alterações funcionais encontradas terem menos impacto na QdV comparativamente com os ganhos no estado de saúde global (Meleca et al., 2003). Num outro estudo que recorreu a outro questionário evidenciou alteração da QdV relacionada com a voz, mesmo a longo prazo (Paleri et al., 2012).

Da análise estatística realizada no presente estudo, não foram encontradas associações entre a análise acústica e o VHI-9i, sendo que estudos anteriores encontraram essa relação, mas fraca (Radhakrishna et al., 2017) ou moderada (Borggreven et al., 2007). O mesmo se verificou nas variáveis sociodemográficas e clínicas, bem como na perceção reportada pelos participantes. Estudos evidenciaram resultados contrários a este (Wuyts et al., 2000). Poderia esperar-se estes resultados tendo em conta que a qualidade vocal, que habitualmente é mais avaliada nos tumores da laringe (Ghio et al., 2016), contudo neste estudo pretendia-se compreender a ação da QRT para tratamento de tumores da orofaringe nas estruturas adjacentes, nomeadamente na laringe. Uma vez que o campo de radiação não incide diretamente na laringe, também poderá explicar menores alterações vocais (Nguyen et al., 2011). Alguns estudos, fazem análise de correlação, mas entre avaliação percetiva e análise acústica (Acher et al., 2014; de Bruijn et al., 2011; de Bruijn et al., 2009; Dwivedi et al., 2016; Yoshida et al., 2000), que não era o objetivo da presente investigação. De uma forma geral, os resultados da QdV e da avaliação da fonação não foram significativos. Outros estudos encontraram correlações pobres entre estas duas variáveis (Zebralla, Wiegand, et al., 2021).

De uma forma global, uma avaliação da fonação deverá incluir avaliação objetiva, através do recurso da análise acústica, avaliação áudio-percetiva e questionários que permitem

conhecer o impacto das alterações vocais na QdV do doente auto-reportada (Dwivedi et al., 2009; Jacobi et al., 2010; Schuster & Stelzle, 2012). Este tipo de avaliação holística e multidimensional permitirá um conhecimento mais profundo e preciso das sequelas após tratamento não-cirúrgico, especialmente o impacto das alterações de comunicação nas atividades de vida diária. Assim, a intervenção terapêutica será mais específica, direcionada e individualizada, uma vez que terá por base não só a avaliação objetiva, mas o impacto funcional e psicossocial, sendo que estudos reportaram resultados positivos com a intervenção do terapeuta da fala, nesta população (Lazarus, 2009). Na coorte da presente pesquisa nenhum doente participou num programa de intervenção preventiva e apenas três tiveram acesso a terapia da fala, que tem sido associado com melhores resultados vocais (Kraaijenga, van der Molen, et al., 2015).

Limitações do estudo

No que respeita às limitações, o próprio desenho de estudo transversal e o facto de não termos avaliação pré-tratamento, nem de distúrbios de ressonância ou avaliação endoscópica, poderá ter condicionado os resultados. Para além disso, a amostra pequena poderá ser uma fraqueza da presente pesquisa. Contudo, os critérios de inclusão/exclusão foram escrupulosamente cumpridos e todos os casos possíveis foram incluídos. Um estudo prospetivo com inclusão do momento pré-tratamento e acompanhamento a longo prazo da avaliação da voz após QRT poderá enriquecer o conhecimento sobre a disfonia nos doentes com cancro da orofaringe, durante e após os tratamentos com QRT, tendo por base uma avaliação funcional, com medidas objetivas da avaliação da voz (Soldatova & Mirza, 2019). Para além disso, resultados funcionais auto-reportados pelos participantes podem fornecer informações precisas e específicas. Uma vez que são parcas as diretrizes relativamente à avaliação acústica em doentes com cancro da cabeça e pescoço, observou-se muita variabilidade na sua aplicação e resultados. Assim, o desenvolvimento de uma avaliação *standard* para este grupo de doentes permitirá uma avaliação mais precisa e comparação de resultados (Balaguer et al., 2020).

O facto de a avaliação inter-observador ter evidenciado resultados de boa correlação, a avaliação percetiva é dependente do ouvinte, o que pode explicar os resultados de outros estudos face ao presente (Middag & Martens, 2013). Para além disso, este tipo de avaliação pode ser sensível ao estado de alerta do avaliador, bem como ao momento da

realização dessa avaliação (Fex, 1992). Apesar disso, a avaliação percetiva continua a ser considerada a avaliação de ouro para aplicação na prática clínica (Balaguer et al., 2020).

A pobre associação entre as medidas objetivas e subjetivas pode atribui-se à ampla variabilidade de categorias em cada grupo (Woodson et al., 1996). Para além disso, os participantes na avaliação da fonação, incluíram não apenas o som da sua voz, mas o esforço para falar (Woodson et al., 1996). Além disso, os dados da avaliação objetiva da voz estão de acordo com os resultados do VHI-9i, apesar do tamanho da amostra.

6.7. Conclusão

O aumento da sobrevida nos doentes com cancro da orofaringe criou a necessidade da compreensão da QdV dos sobreviventes. Tornou-se essencial monitorizá-los, detetar sintomas e tratá-los para diminuir o seu impacto nas atividades de vida diária. As medidas acústicas como a sonoridade e a frequência fundamental não têm um papel claro na gestão dos doentes com cancro da orofaringe, por falta de dados reprodutíveis e de protocolos. Os resultados da avaliação da fonação devem concentrar-se, tanto em medidas objetivas, como subjetivas e a perceção do doente deve ser considerada cuidadosamente no encaminhamento para terapia da fala.

A RT afeta a biomecânica dos tecidos circundantes e por isso, a vibração das pregas vocais, bem como as características de ressonância, com aumento do ruído vocal e da perturbação acústica, diminuição do TMF e da amplitude de frequências. Com isto, poder-se-ão desenvolver estratégias terapêuticas dirigidas e específicas. Os dados da avaliação subjetiva também poderão ter sido influenciados por outros aspetos relacionados com a doença oncológica. Apesar disso, foram identificadas alterações na avaliação objetiva e subjetiva da fonação, sendo que a tendência métrica identificou perturbações na análise acústica, áudio-percetiva e aerodinâmica, contudo sem significância estatística. A relação entre a avaliação objetiva e subjetiva mostrou fracas correlações, pelo que não permitiu prever o ónus das sequelas dos tratamentos não-cirúrgicos. Assim, a perceção do doente não deu indicação ou não está diretamente relacionada com as medidas objetivas, pois a análise acústica reflete o som da voz, mas não a capacidade de comunicação e a experiência de viver com disfonia. Por isso, as variáveis objetivas podem suportar e complementar a avaliação percetiva da voz após o tratamento não cirúrgico de cancro da orofaringe. Uma comunicação doente-clínico eficaz poderá permitir um controlo dos sintomas e fornecer cuidados de saúde de qualidade aos sobreviventes.

Portanto, a avaliação da fonação deverá compreender uma avaliação completa e multidimensional, abrangendo a qualidade vocal e o impacto psicossocial destas alterações, também nos doentes oncológicos. Contudo, mais estudos são necessários para determinar quais as medidas mais fiáveis para compreender a perturbação auto-reportada e as alterações fisiológicas. Sendo que os resultados de ambas as avaliações (objetiva e subjetiva) podem ser consideradas em separado, mas numa abordagem complementar.

VII - Discussão integrativa

No início do percurso académico para a obtenção do grau de doutor, a autora da presente investigação, pretendia aprofundar o conhecimento da relação entre as medidas de avaliação da fonação e da deglutição objetivas e a perceção do doente face às sequelas após o tratamento com QRT, em doentes com tumores da orofaringe.

A fim de responder ao objetivo de investigação começou-se por realizar uma revisão sistemática para compreender o estado da arte no que respeitava aos estudos desenvolvidos sobre a temática: relação entre a avaliação objetiva e subjetiva, em doentes oncológicos de cabeça e pescoço, ao nível da fonação e da deglutição. Foram selecionados 25 estudos, tendo por base os critérios definidos. Contudo, apenas num dos estudos foi abordada a área da fonação e todos os restantes na temática da deglutição. As formas de avaliação objetiva foram principalmente duas, VED e VFS. Apesar disso, os procedimentos para a sua realização e a multiplicidade de questionários utilizados não permitiu a realização de uma meta-análise e tornou desafiante a comparação dos resultados. No final da revisão sistemática foi possível perceber que os achados com significância estatística indicavam três áreas principais: 1) medidas fisiológicas (tempo de trânsito oral e faríngeo, tempo total de deglutição, elevação do osso hioide, área faríngea, tamanho da abertura do EES, eficiência da deglutição); 2) habilidades oromotoras (resíduo oral, valecular e faríngeo, controlo motor da língua, deglutição fracionada); e 3) aspetos relacionados com a segurança na deglutição (penetração, aspiração, aspiração silenciosa); que se correlacionavam com a perceção auto-reportada pelo doente. Os achados relacionados com as medidas fisiológicos foram encontrados em pesquisas com recurso à VFS e ao questionário SWAL-QOL que evidenciaram correlações mais consistentes. No caso das competências oromotoras, tanto a VFS como a VED permitiram resultados similares. No que respeita à segurança, a maioria dos estudos recorreu à VFS. Assim, tendo por base os estudos incluídos nesta RS a VFS, em caso de doentes oncológicos, poderá ser a avaliação objetiva mais indicada e no que concerne à avaliação da perceção auto-reportada, o SWAL-QOL parece favorecer a correlação com as medidas objetivas.

Na sequência dos achados da revisão sistemática, procurou-se aprofundar a perceção dos doentes oncológicos, mas desta vez, já dirigida à população com cancro da orofaringe e que tivesse realizado apenas tratamento não cirúrgico. Assim, com recurso à técnica de

entrevista semi-estruturada, a autora recolheu dados tanto de doentes, como de médicos (otorrinolaringologistas) e de terapeutas da fala com experiência no tratamento e acompanhamento destes doentes, focados na experiência pessoal ou profissional de cada elemento. Das entrevistas emergiram dois temas principais: deglutição e voz. Ao nível do primeiro, aspetos como seleção dos alimentos, tempo de refeição, prazer com a alimentação, desejo de comer, evitamento social e familiar, receio, bem como a presença de sintomas relacionadas com disfagia emergiram como tendo um impacto negativo na QdV. No que se refere à voz, as alterações na qualidade vocal, a diminuição da eficácia comunicativa e do número de interações, tanto ao nível social, como laboral e familiar, bem como as dificuldades sentidas, por não se fazerem entender e pelo recetor não compreender a mensagem, especialmente em locais ruidosos ou ao telefone, foram os aspetos mais mencionados. Os dados obtidos foram semelhantes entre os três grupos (doentes, otorrinolaringologistas e terapeutas da fala), ou seja, os profissionais de saúde mostraram ter conhecimento sobre as principais sequelas, contudo não em termos de intensidade.

Os dados da análise qualitativa, levantaram questões quanto ao impacto na QdV destes doentes. Assim, um estudo transversal com uma coorte de doentes oncológicos tratados com QRT, com intenção curativa e livre de doença há pelo menos um ano, foram incluídos num estudo com o objetivo de descrever a perceção auto-reportada do doente e a sua relação com os dados sociodemográficos e clínicos. Foram então selecionados quatro questionários, um geral para doentes oncológicos - EORTC-C30, um para doentes oncológicos de cabeça e pescoço - EORCT-HN43, um específico para o sintoma disfagia - SWAL-QOL e outro para a voz -VHI-9i. Uma amostra de 38 doentes participou neste estudo. No que respeita aos dados sociodemográficos e clínicos, os resultados obtidos estavam de acordo com os dados de estudos anteriores. Os resultados dos questionários indicaram alterações tanto na QdV geral, como na QdV relacionada com disfagia e/ou disfonia. Ou seja, os dados reportados no estudo qualitativo, realizado anteriormente, tornaram-se mensuráveis pela análise quantitativa com recurso a questionários. Contudo, maiores alterações foram identificadas com instrumentos específicos, pelo que o uso deste tipo de instrumentos será recomendável. Não foram encontradas correlações consistentes entre os dados auto-reportados, quando avaliados pelos questionários e as variáveis sociodemográficas e clínicas. Apesar disso, tornou-se claro que os tratamentos, apesar de não serem dirigidos à região laríngea, comprometem as funções de deglutição e fonação,

com base numa reação global do organismo à toxicidade, com impacto negativo na QdV dos doentes.

Tendo a autora, informação sobre o estado da arte no que respeitava aos achados da relação entre a avaliação objetiva e subjetiva da deglutição e da fonação; conhecer a perceção, tanto dos doentes, como dos profissionais de saúde (otorrinolaringolistas e terapeutas da fala), que lidam diariamente com estes doentes e; perceber o impacto das sequelas da QRT na deglutição e voz na QdV dos doentes, passou-se à análise propriamente dita da relação entre a avaliação objetiva e subjetiva das funções de deglutição e fonação.

No caso da deglutição, um estudo transversal, 38 doentes submetidos a QRT por cancro da orofaringe, realizaram avaliação endoscópica da deglutição (VED) e responderam a três questionários (EORTC-C30, EORTC-HN43 e SWAL-QOL). Estes dados foram analisados de forma descritiva e procuraram-se diferenças e correlações estatísticas entre as variáveis. A disfagia revelou-se como uma sequela prevalente e por isso, de suma importância no tratamento. A presença de resíduos para todas as consistências ofertadas, indiciou ineficiência da limpeza faringolaríngea, associada a múltiplas deglutições por bolo e a um maior risco de aspiração. O aumento da viscosidade teve impacto no aumento dos resíduos. Apesar dos achados, a tosse foi um sintoma pouco frequente, provavelmente pelo efeito da QRT ao nível da sensibilidade faringolaríngea. Para além disso, observou-se um tempo de resposta faríngea aumentado e diminuição do tempo de encerramento das vias aéreas inferiores, possivelmente associada às alterações das fibras musculares, ao edema e à fibrose. Encontraram-se correlações entre o resultado global do HN43 e as variáveis de segurança (penetração, aspiração) e de eficiência da deglutição (resíduos). Para as variáveis fisiológicas não foram encontradas correlações. Tendo por base os resultados da revisão sistemática, os estudos apontam para um maior número de correlações, quando se utiliza a VFS como avaliação instrumental. Contudo, no presente estudo utilizou-se a VED, podendo esta opção justificar os resultados. Relativamente ao questionário SWAL-QOL, apesar de identificar alterações da deglutição não foi possível constatar um padrão de correlações com os dados da VED. O resultado global do C30 e do HN43 relacionaram-se com as variáveis de segurança. Para as variáveis de eficiência algumas das escalas dos três questionários mostraram correlações significativas. Apesar da inconsistência das correlações, tanto a avaliação objetiva como a subjetiva, indicaram alteração da deglutição nos participantes.

Finalmente, a mesma coorte de doentes, foi sujeita a avaliação vocal, por meio de análise acústica, avaliação áudio-percetiva com classificação pela GRBAS e análise da ressonância. Os dados recolhidos evidenciaram perturbação vocal, indicativa de disfonia. Contudo, apenas os doentes com incapacidade severa, medida pelo VHI-9i, tiveram valores de ISD indicativos de perturbação. De uma forma global, os doentes que realizaram QRT por cancro da orofaringe apresentaram *shimmer* superior a 3%, *jitter* superior a 1% e TMF inferior a 10 segundos. Os primeiros indiciam perturbação na adução glótica, que por sua vez limita o TMF, ou seja, pela análise acústica detetou-se perturbação vocal. Os valores de F_0 também evidenciaram edema nas pregas vocais, sendo que o tempo após tratamento e a realização de terapia da fala teve um efeito positivo nos resultados. Os valores de análise acústica, mesmo após um período considerado longo prazo mantiveram-se perturbados, mostrando a permanência dos efeitos da QRT, mesmo quando a laringe não é o foco da radiação. As medidas de intensidade e HNR não foram eficazes na detenção de disfonia, nem os resultados de ISD, pois apenas 10% dos participantes do presente estudo teriam disfonia, tendo por base estas medidas. A avaliação com a GRBAS identificou mais de 31% de alterações nomeadamente rouquidão, que já havia sido um sintoma com maior prevalência no estudo qualitativo. O mesmo ocorreu na análise da ressonância, tal como esperado, tendo em conta a localização tumoral. O VHI-9i identificou 50% de participantes com incapacidade vocal, contudo na correlação com os dados objetivos, as avaliações pareceram mostrar dados distintos.

Tendo em conta que a coorte destes estudos incluiu doentes com pelo menos um ano de *follow-up*, os mesmos, através de mecanismos de acomodação já se poderão ter adaptado às alterações biomecânicas da deglutição e da fonação. Contudo, a perceção dos doentes evidenciou perturbação destas funções, salientando a premissa de que o resultado funcional não é sinónimo de QdV. Aconselha-se por isso, que seja realizada uma avaliação compreensiva, incluindo ferramentas objetivas e instrumentos auto-reportados, uma vez que a deglutição e a fonação não são somente funções para comer e falar, mas abrangem um conceito multidimensional. Este tipo de abordagem favorece uma intervenção específica, que poderá trazer resultados positivos na prestação de serviços de saúde e no cuidado da pessoa sobrevivente do cancro da orofaringe.

Assim, nos cuidados de saúde, deverá ser incluída uma avaliação pré-tratamento da deglutição e da voz, bem como aconselhamento, permitindo determinar o estado da

deglutição e da voz no momento inicial e preparar o doente e cuidadores para as possíveis alterações e processo de reabilitação, numa ótica de educação para a saúde. Os questionários que avaliam a perceção dos doentes permitem a recolha de informação sobre o doente e desta forma, predizer a QdV relacionada com a saúde. Estes dados poderão melhorar a triagem, direcionar as intervenções e favorecer a comunicação entre o doente e a equipa multidisciplinar, bem como apoiar a tomada de decisões partilhadas e informadas. O conhecimento dos efeitos potenciais resultantes da toxicidade dos tratamentos não cirúrgicos e o treino de doentes suscetíveis de disfagia e disfonia, com estratégias pode reduzir o risco de comorbilidades, promovendo uma participação ativa, a funcionalidade, o aumento da sobrevida e o refinamento no *follow-up*.

VIII - Conclusão

No final desta etapa cabe mencionar primeiro algumas limitações metodológicas, principalmente relacionadas com o desenho transversal e o tamanho da amostra, que poderão ter condicionado os resultados da análise estatística, devido aos subgrupos. Estudos futuros poderão examinar o funcionamento diferencial dos itens para as escalas, com uma amostra mais ampla. As principais contribuições desta tese foram as seguintes:

- A relação entre a avaliação objetiva e subjetiva é inconsistente, contudo alguns parâmetros fisiológicos, biomecânicos e de segurança salientaram-se na relação com a perceção do doente, nomeadamente: aspiração e penetração, resíduos, controlo motor da língua, tempo de trânsito oral, faríngeo e total, área faríngea, elevação do osso hioide, abertura do EES e eficiência da deglutição;

- Doentes, otorrinolaringologistas e terapeutas da fala mencionaram os mesmos tópicos, quando questionados sobre as sequelas da QRT na deglutição e na fonação, destacando os efeitos a longo prazo e da necessidade de uma abordagem focada no doente;

- As alterações da deglutição (disfagia) e da fonação (disfonia) foram relatadas pelos doentes após QRT por cancro da orofaringe, em resposta a questionários;

- O recurso a instrumentos estruturados e validados foi útil na recolha da perceção dos doentes, sendo que a monitorização poderá permitir uma ação preventiva e atempada nos efeitos secundários e minorar comorbilidades;

- Observou-se pobre correlação entre as medidas objetivas e subjetivas, tanto ao nível da deglutição como da fonação, ou seja, estas avaliações conduzem a resultados diferentes, mas complementares;

- Variáveis relacionadas com a segurança, eficiência da deglutição e medidas fisiológicas poderão ser indicadores do impacto na QdV, contudo mais estudos são necessários;

- Medidas de ruído vocal e de perturbação acústica, bem como diminuição do TMF indiciam disfonia associada ao cancro da orofaringe, após QRT exclusiva.

IX - Bibliografia

Aaronson, N. K., Ahmedzai, S., Bergman, B., Bullinger, M., Cull, A., Duez, N. J., . . . de Haes, J. C. (1993). The European Organization for Research and Treatment of Cancer QLQ-C30: a quality-of-life instrument for use in international clinical trials in oncology. *J Natl Cancer Inst*, *85*(5), 365-376. https://doi.org/10.1093/jnci/85.5.365

Aaronson, N. K., Ahmedzai, S., Bergman, B., Bullinger, M., Cull, A., Duez, N. J., . . . Takeda, F. (1993). The European Organisation for Research and Treatment of Cancer QLQ-C30 : A quality-of-life instrument for use in international clinical trials in oncology. *Journal of the National Cancer Institute*, *85*, 365-376.

Acher, A., Perrier, P., Savariaux, C., & Fougeron, C. (2014). Speech production after glossectomy: Methodological aspects. *Clinical Linguistics & Phonetics*, *28*(4), 241-256. https://doi.org/10.3109/02699206.2013.802015

Agarwal, J., Palwe, V., Dutta, D., Gupta, T., Laskar, S. G., Budrukkar, A., . . . Shrivastava, S. K. (2011). Objective assessment of swallowing function after definitive concurrent (chemo)radiotherapy in patients with head and neck cancer. *Dysphagia*, *26*(4), 399-406. https://doi.org/10.1007/s00455-011-9326-4

Aggarwal, P., Hutcheson, K. A., Garden, A. S., Mott, F. E., Goepfert, R. P., Duvall, A., . . . Shete, S. (2021). Association of Risk Factors With Patient-Reported Voice and Speech Symptoms Among Long-term Survivors of Oropharyngeal Cancer. *JAMA Otolaryngol Head Neck Surg*, *147*(7), 615-623. https://doi.org/10.1001/jamaoto.2021.0698

Andrade, M. S., Gonçalves, A. N., Guedes, R. L., Barcelos, C. B., Slobodticov, L. D., Lopes, S. A., . . . Angelis, E. C. (2017). Correlation between swallowing-related quality of life and videofluoroscopy after head and neck cancer treatment. *Codas*, *29*(1), e20150175. https://doi.org/10.1590/2317-1782/20172015175

Antunes, E. B., Vieira, D., & Dinis-Ribeiro, M. (2015). Linguistic and cultural adaptation into European Portuguese of SWAL-QOL and SWAL-CARE outcomes tool for adults with oropharyngeal dysphagia. *29*(1), 6-10.

Arrese, L. C., Carrau, R., & Plowman, E. K. (2017). Relationship Between the Eating Assessment Tool-10 and Objective Clinical Ratings of Swallowing Function in Individuals with Head and Neck Cancer. *Dysphagia*, *32*(1), 83-89. https://doi.org/10.1007/s00455-016-9741-7

ASHA. (n.d.). *Head and Neck Cancer*. Retrieved 21.01 from

Association, A. S.-L.-H. (2021). *Introduction to evidence-based continuing education - step 2: assessing the evidence*. Retrieved 21 de janeiro de 2021 from https://www.asha.org/ce/for-providers/EBCEStep2/

Auffermann, W., Geisel, T., Wohltmann, D., & Günther, R. W. (1988). Tissue reaction following endobronchial application of iopamidol and ioxithalamate in rats. *Eur J Radiol*, *8*(1), 13-17.

Aviv, J. E., Kaplan, S. T., Thomson, J. E., Spitzer, J., Diamond, B., & Close, L. G. (2000). The safety of flexible endoscopic evaluation of swallowing with sensory testing (FEESST): an analysis of 500 consecutive evaluations. *Dysphagia*, *15*(1), 39-44. https://doi.org/10.1007/s004559910008

Aviv, J. E., Kim, T., Thomson, J. E., Sunshine, S., Kaplan, S., & Close, L. G. (1998). Fiberoptic endoscopic evaluation of swallowing with sensory testing (FEESST) in healthy controls. *Dysphagia*, *13*(2), 87-92. https://doi.org/10.1007/PL00009561

Baijens, L. W. J., Walshe, M., Aaltonen, L. M., Arens, C., Cordier, R., Cras, P., . . . Clavé, P. (2021). European white paper: oropharyngeal dysphagia in head and neck cancer. *Eur Arch Otorhinolaryngol*, *278*(2), 577-616. https://doi.org/10.1007/s00405-020-06507-5

Baker, B. M., Fraser, A. M., & Baker, C. D. (1991). Long-term postoperative dysphagia in oral/pharyngeal surgery patients: subjects' perceptions vs. videofluoroscopic observations. *Dysphagia*, *6*(1), 11-16. https://doi.org/10.1007/BF02503458

Balaguer, M., Pommée, T., Farinas, J., Pinquier, J., Woisard, V., & Speyer, R. (2020). Effects of oral and oropharyngeal cancer on speech intelligibility using acoustic analysis: Systematic review. *Head Neck*, *42*(1), 111-130. https://doi.org/10.1002/hed.25949

Barclay, A. E. (1930). The normal mechanism of swallowing. *The British Journal of Radiology*, *3*(36), 534-546.

Barsties V Latoszek, B., Ulozaitė-Stanienė, N., Petrauskas, T., Uloza, V., & Maryn, Y. (2019). Diagnostic Accuracy of Dysphonia Classification of DSI and AVQI. *Laryngoscope*, *129*(3), 692-698. https://doi.org/10.1002/lary.27350

Basch, E., Iasonos, A., McDonough, T., Barz, A., Culkin, A., Kris, M. G., . . . Schrag, D. (2006). Patient versus clinician symptom reporting using the National Cancer Institute Common Terminology Criteria for Adverse Events: results of a questionnaire-based study. *Lancet Oncol*, *7*(11), 903-909. https://doi.org/10.1016/S1470-2045(06)70910-X

Bastian, R. W. (1991). Videoendoscopic evaluation of patients with dysphagia: an adjunct to the modified barium swallow. *Otolaryngol Head Neck Surg*, *104*(3), 339-350. https://doi.org/10.1177/019459989110400309

Behlau, M. (2001). Voz: o livro do especialista. In Revinter (Ed.), (Vol. 1, pp. 139-147).

Behlau, M., Madazio, G., Feijó, D., & Pontes, P. (2001). Avaliação de Voz. In *Avaliação de Voz - volume 1* (pp. 86–180). Revinter.

Behrman, A. (2005). Common practices of voice therapists in the evaluation of patients. *J Voice*, *19*(3), 454-469. https://doi.org/10.1016/j.jvoice.2004.08.004

Belafsky, P. C., Mouadeb, D. A., Rees, C. J., Pryor, J. C., Postma, G. N., Allen, J., & Leonard, R. J. (2008). Validity and reliability of the Eating Assessment Tool (EAT-10). *Ann Otol Rhinol Laryngol*, *117*(12), 919-924. https://doi.org/10.1177/000348940811701210

Bjordal , K., de Graeff , A., Fayers , P. M., Hammerlid, E., van Pottelsberghe , C., Curran , D., . . . Kaasa, S. (2000). A 12 country field study of the EORTC QLQ-C30 (version 3.0) and the head and neck cancer specific module (EORTC QLQ-H&N35) in head and neck patients. EORTC Quality of Life Group. In (Vol. 14, pp. 1796-1807). European Journal Cancer.

Bjordal, K., Hammerlid, E., Ahlner-Elmqvist, M., de Graeff, A., Boysen, M., Evensen, J. F., . . . Kaasa, S. (1999). Quality of life in head and neck cancer patients: validation of the European Organization for Research and Treatment of Cancer Quality of Life Questionnaire-H&N35. *J Clin Oncol*, *17*(3), 1008-1019. https://doi.org/10.1200/JCO.1999.17.3.1008

Bjordal, K., & Kaasa, S. (1992). Psychometric validation of the EORTC Core Quality of Life Questionnaire, 30-item version and a diagnosis-specific module for head and neck cancer patients. *Acta Oncol*, *31*(3), 311-321. https://doi.org/10.3109/02841869209108178

Bodt, M. D. (2010). The Dysphonia Severity Index (DSI) Basics and Clinical Interpretation.

Bogaardt, H. C., Speyer, R., Baijens, L. W., & Fokkens, W. J. (2009). Cross-cultural adaptation and validation of the Dutch version of SWAL-QoL. *Dysphagia*, *24*(1), 66-70. https://doi.org/10.1007/s00455-008-9174-z

Bonilha, H. S., Blair, J., Carnes, B., Huda, W., Humphries, K., McGrattan, K., . . . Martin-Harris, B. (2013). Preliminary investigation of the effect of pulse rate on judgments of swallowing impairment and treatment recommendations. *Dysphagia*, *28*(4), 528-538. https://doi.org/10.1007/s00455-013-9463-z

Borggreven, P. A., Verdonck-De Leeuw, I. M., Muller, M. J., Heiligers, M. L. C. H., De Bree, R., Aaronson, N. K., & Leemans, C. R. (2007). Quality of life and functional status in patients with cancer of the oral cavity and oropharynx: pretreatment values of a prospective study. *European Archives of Oto-Rhino-Laryngology*, *264*(6), 651-657. https://doi.org/10.1007/s00405-007-0249-5

Bradley, P. T., & Bradley, P. J. (2012). Treatment of hypopharyngeal carcinoma with primary chemoradiotherapy: functional morbidity. *Curr Opin Otolaryngol Head Neck Surg*, *20*(2), 89-96. https://doi.org/10.1097/MOO.0b013e32834fa72c

Braun, V., & Clarke, V. (2006). Using thematic analysis in psychology. *Qualitative Research in Psychology*, *3*(2), 77-101.

Caffier, F., Nawka, T., Neumann, K., Seipelt, M., & Caffier, P. P. (2021). Validation and Classification of the 9-Item Voice Handicap Index (VHI-9i). *J Clin Med*, *10*(15). https://doi.org/10.3390/jcm10153325

Campbell, B. H., Spinelli, K., Marbella, A. M., Myers, K. B., Kuhn, J. C., & Layde, P. M. (2004). Aspiration, weight loss, and quality of life in head and neck cancer survivors. *Arch Otolaryngol Head Neck Surg*, *130*(9), 1100-1103. https://doi.org/10.1001/archotol.130.9.1100

Cancer, I. A. f. R. o., & Organization, a. W. H. (2019). *Cancer incidence, mortality and prevalence*

worldwide, estimates for the year 2018. Retrieved 20/04/2019 from

Carmignani, I., Locatello, L. G., Desideri, I., Bonomo, P., Olmetto, E., Livi, L., . . . Mannelli, G. (2018). Analysis of dysphagia in advanced-stage head-and-neck cancer patients: impact on quality of life and development of a preventive swallowing treatment. *Eur Arch Otorhinolaryngol*, *275*(8), 2159-2167. https://doi.org/10.1007/s00405-018-5054-9

Carrara-De Angelis, E., Feher, O., Barros, A. P. B., Nishimoto, I. N., & Kowalski, L. P. (2003). Voice and Swallowing in Patients Enrolled in a Larynx Preservation Trial. *Archives of Otolaryngology–Head & Neck Surgery*, *129*(7), 733. https://doi.org/10.1001/archotol.129.7.733

Chapuy, C. I., Annino, D. J., Tishler, R. B., Haddad, R. I., Snavely, A., & Goguen, L. A. (2013). Success of endoscopic pharyngoesophageal dilation after head and neck cancer treatment. *Laryngoscope*, *123*(12), 3066-3073. https://doi.org/10.1002/lary.24268

Checklin, M., Bain, J., Bath, L., & Lethbridge, K. (2020). Patients' Perspectives on What Makes a Better Care Experience While Undergoing Treatment for Oropharyngeal Dysphagia Secondary to Head and Neck Cancer. *Dysphagia*, *35*(4), 702-716. https://doi.org/10.1007/s00455-019-10077-y

Chen, A. Y., Frankowski, R., Bishop-Leone, J., Hebert, T., Leyk, S., Lewin, J., & Goepfert, H. (2001). The development and validation of a dysphagia-specific quality-of-life questionnaire for patients with head and neck cancer: the M. D. Anderson dysphagia inventory. *Arch Otolaryngol Head Neck Surg*, *127*(7), 870-876.

Chera, B. S., Eisbruch, A., Murphy, B. A., Ridge, J. A., Gavin, P., Reeve, B. B., . . . Movsas, B. (2014). Recommended patient-reported core set of symptoms to measure in head and neck cancer treatment trials. *J Natl Cancer Inst*, *106*(7). https://doi.org/10.1093/jnci/dju127

Colodny, N. (2002). Interjudge and intrajudge reliabilities in fiberoptic endoscopic evaluation of swallowing (fees) using the penetration-aspiration scale: a replication study. *Dysphagia*, *17*(4), 308-315. https://doi.org/10.1007/s00455-002-0073-4

Constantinescu, G., Rieger, J., Winget, M., Paulsen, C., & Seikaly, H. (2017). Patient Perception of Speech Outcomes: The Relationship Between Clinical Measures and Self-Perception of Speech Function Following Surgical Treatment for Oral Cancer. *Am J Speech Lang Pathol*, *26*(2), 241-247. https://doi.org/10.1044/2016_AJSLP-15-0170

Cook, I. J., Dodds, W. J., Dantas, R. O., Kern, M. K., Massey, B. T., Shaker, R., & Hogan, W. J. (1989). Timing of videofluoroscopic, manometric events, and bolus transit during the oral and pharyngeal phases of swallowing. *Dysphagia*, *4*(1), 8-15.

de Bruijn, M., ten Bosch, L., Kuik, D. J., Langendijk, J. A., Leemans, C. R., & Verdonck-de Leeuw, I. (2011). Artificial neural network analysis to assess hypernasality in patients treated for oral or oropharyngeal cancer. *Logoped Phoniatr Vocol*, *36*(4), 168-174. https://doi.org/10.3109/14015439.2011.606227

de Bruijn, M. J., ten Bosch, L., Kuik, D. J., Quené, H., Langendijk, J. A., Leemans, C. R., & Verdonck-de Leeuw, I. M. (2009). Objective acoustic-phonetic speech analysis in patients treated for oral or oropharyngeal cancer. *Folia Phoniatr Logop*, *61*(3), 180-187. https://doi.org/10.1159/000219953

de Oliveira Faria, S., Hurwitz, G., Kim, J., Liberty, J., Orchard, K., Liu, G., . . . Howell, D. (2021). Identifying Patient-Reported Outcome Measures (PROMs) for Routine Surveillance of Physical and Emotional Symptoms in Head and Neck Cancer Populations: A Systematic Review. *J Clin Med*, *10*(18). https://doi.org/10.3390/jcm10184162

Dejonckere, P. H., Bradley, P., Clemente, P., Cornut, G., Crevier-Buchman, L., Friedrich, G., . . . (ELS), C. o. P. o. t. E. L. S. (2001). A basic protocol for functional assessment of voice pathology, especially for investigating the efficacy of (phonosurgical) treatments and evaluating new assessment techniques. Guideline elaborated by the Committee on Phoniatrics of the European Laryngological Society (ELS). *Eur Arch Otorhinolaryngol*, *258*(2), 77-82. https://doi.org/10.1007/s004050000299

Desuster, G. (2013). Video-endoscopy by screenplays. In G. Desuster (Ed.), *Oropharyngeal dysphagia - videoendoscopy-guided work-up and management* (pp. 9-41). Springer Nature Switzerland.

Di Maio, M., Gallo, C., Leighl, N. B., Piccirillo, M. C., Daniele, G., Nuzzo, F., . . . Perrone, F. (2015). Symptomatic toxicities experienced during anticancer treatment: agreement between patient and physician reporting in three randomized trials. *J Clin Oncol*, *33*(8), 910-915. https://doi.org/10.1200/JCO.2014.57.9334

Ding, R., & Logemann, J. A. (2008). Patient self-perceptions of swallowing difficulties as compared to expert ratings of videofluorographic studies. *Folia Phoniatr Logop*, *60*(3), 142-150. https://doi.org/10.1159/000120622

Dodds, W. J., Stewart, E. T., & Logemann, J. A. (1990). Physiology and radiology of the normal oral and pharyngeal phases of swallowing. *AJR Am J Roentgenol*, *154*(5), 953-963. https://doi.org/10.2214/ajr.154.5.2108569

Dornan, M., Semple, C., Moorhead, A., & McCaughan, E. (2021). A qualitative systematic review of the social eating and drinking experiences of patients following treatment for head and neck cancer. *Support Care Cancer*, *29*(9), 4899-4909. https://doi.org/10.1007/s00520-021-06062-7

Dwivedi, R. C., Kazi, R. A., Agrawal, N., Nutting, C. M., Clarke, P. M., Kerawala, C. J., . . . Harrington, K. J. (2009). Evaluation of speech outcomes following treatment of oral and oropharyngeal cancers. *Cancer Treat Rev*, *35*(5), 417-424. https://doi.org/10.1016/j.ctrv.2009.04.013

Dwivedi, R. C., St Rose, S., Chisholm, E. J., Clarke, P. M., Kerawala, C. J., Nutting, C. M., . . . Harrington, K. J. (2016). Acoustic parameters of speech: Lack of correlation with perceptual and questionnaire-based speech evaluation in patients with oral and oropharyngeal cancer treated with primary surgery. *Head Neck*, *38*(5), 670-676. https://doi.org/10.1002/hed.23956

Eisbruch, A., Lyden, T., Bradford, C. R., Dawson, L. A., Haxer, M. J., Miller, A. E., . . . Wolf, G. T. (2002). Objective assessment of swallowing dysfunction and aspiration after radiation concurrent with chemotherapy for head-and-neck cancer. *Int J Radiat Oncol Biol Phys*, *53*(1), 23-28. https://doi.org/10.1016/s0360-3016(02)02712-8

Eisbruch, A., Schwartz, M., Rasch, C., Vineberg, K., Damen, E., Van As, C. J., . . . Balm, A. J. (2004). Dysphagia and aspiration after chemoradiotherapy for head-and-neck cancer: which anatomic structures are affected and can they be spared by IMRT? *Int J Radiat Oncol Biol Phys*, *60*(5), 1425-1439. https://doi.org/10.1016/j.ijrobp.2004.05.050

Estêvão, R., Santos, T., Ferreira, A., Machado, A., Fernandes, J., & Monteiro, E. (2016). [Epidemiological and Demographic Characteristics of Patients with Head and Neck Tumours in the Northern Portugal: Impact on Survival]. *Acta Med Port*, *29*(10), 597-604. https://doi.org/10.20344/amp.7003

Fayers, P., Aaroonson, N., Bjordal, K., Groenvold, M., Curran, D., & Bottomley, A. (2001). The EORTC QLQ-C30 Scoring Manual (3rd ed.).

Fayers, P. M., Aaronson, N. K., Bjordal, K., Groenvold, M., Curran, D., & Bottomley, A. (2001). EORTC QLQ-C30 Scoring Manual. In o. b. o. t. E. Q. o. L. Group. (Ed.), (3 rd ed.). Brussels: EORTC.

Fayers, P. M., Aaronson, N. K., Bjordal, K., Groenvold, M., Curran, D., Bottomley, A., & Group, o. b. o. t. E. Q. o. L. (2001). *The EORTC QLQ-C30 Scoring Manual (3<s^up style="">rd Edition)*. European Organisation for Research and Treatment of Cancer.

Feng, F. Y., Kim, H. M., Lyden, T. H., Haxer, M. J., Worden, F. P., Feng, M., . . . Eisbruch, A. (2010). Intensity-modulated chemoradiotherapy aiming to reduce dysphagia in patients with oropharyngeal cancer: clinical and functional results. *J Clin Oncol*, *28*(16), 2732-2738. https://doi.org/10.1200/JCO.2009.24.6199

Fex, S. (1992). Perceptual evaluation. *Journal of Voice*, *6*(2), 155-158.

Finizia, C., Rudberg, I., Bergqvist, H., & Rydén, A. (2012). A cross-sectional validation study of the Swedish version of SWAL-QOL. *Dysphagia*, *27*(3), 325-335. https://doi.org/10.1007/s00455-011-9369-6

Fitchett, R. C., Aldus, E. J., Fitchett, L. R., & Cross, J. (2018). The lived experience of head and neck cancer patients receiving curative radiotherapy: A systematic review and meta-ethnography. *Psychooncology*, *27*(9), 2077-2086. https://doi.org/10.1002/pon.4790

Fletcher, B. S., Schumacher, K., Cohen, M. Z., Kupzyk, K., & Lydiatt, W. (2019). Understanding Functional Communication in Head and Neck Cancer Survivors

Using a Mixed Methods Design. *Cancer Nurs*, *42*(2), 119-128. https://doi.org/10.1097/NCC.0000000000000569

Florie, M., Baijens, L., Kremer, B., Kross, K., Lacko, M., Verhees, F., & Winkens, B. (2016). Relationship between swallow-specific quality of life and fiber-optic endoscopic evaluation of swallowing findings in patients with head and neck cancer. *Head Neck*, *38 Suppl 1*, E1848-1856. https://doi.org/10.1002/hed.24333

Freitas, S. (2009). A avaliação das alterações vocais: registo e análise áudio-perceptual e acústica da voz . In *Metodologias de Intervenção em Terapia da Fala* (pp. 225–253). Edições Universidade Fernando Pessoa

Freitas, S. (2012). *Avaliação Acústica e Áudio Percetiva na Caracterização da Voz Humana* Universidade do Porto]. Faculdade de Engenharia da Universidade do Porto.

Frowen, J., Cotton, S., Corry, J., & Perry, A. (2010). Impact of demographics, tumor characteristics, and treatment factors on swallowing after (chemo)radiotherapy for head and neck cancer. *Head Neck*, *32*(4), 513-528. https://doi.org/10.1002/hed.21218

Fuller, S. C., Leonard, R., Aminpour, S., & Belafsky, P. C. (2009). Validation of the pharyngeal squeeze maneuver. *Otolaryngol Head Neck Surg*, *140*(3), 391-394. https://doi.org/10.1016/j.otohns.2008.12.015

Fung, K., Lyden, T. H., Lee, J., Urba, S. G., Worden, F., Eisbruch, A., . . . Wolf, G. T. (2005). Voice and swallowing outcomes of an organ-preservation trial for advanced laryngeal cancer. *Int J Radiat Oncol Biol Phys*, *63*(5), 1395-1399. https://doi.org/10.1016/j.ijrobp.2005.05.004

Fung, K., Yoo, J., Leeper, H. A., Hawkins, S., Heeneman, H., Doyle, P. C., & Venkatesan, V. M. (2001). Vocal function following radiation for non-laryngeal versus laryngeal tumors of the head and neck. *Laryngoscope*, *111*(11 Pt 1), 1920-1924. https://doi.org/10.1097/00005537-200111000-00009

Ganzer, H., Touger-Decker, R., Byham-Gray, L., Murphy, B. A., & Epstein, J. B. (2015). The eating experience after treatment for head and neck cancer: A review of the literature. *Oral Oncol*, *51*(7), 634-642. https://doi.org/10.1016/j.oraloncology.2015.04.014

Georgopoulos, V. C., Perdikogianni, M., Mouskenteri, M., Psychogiou, L., Oikonomou, M., & Malandraki, G. A. (2018). Cross-Cultural Adaptation and Validation of the SWAL-QoL Questionnaire in Greek. *Dysphagia*, *33*(1), 91-99. https://doi.org/10.1007/s00455-017-9837-8

Ghio, A., Giusti, L., Blanc, E., Pinto, S., Lalain, M., Robert, D., . . . Woisard, V. (2016, 2016). What kind of intelligibility test to assess speech production disorders ?

Quels tests d'intelligibilité pour évaluer les troubles de production de la parole ? [Actes de la conférence conjointe JEP-TALN-RECITAL 2016 -vol 1]. Journées d'Etude sur la Parole, Paris, France.

Gillespie, M. B., Brodsky, M. B., Day, T. A., Sharma, A. K., Lee, F. S., & Martin-Harris, B. (2005). Laryngeal penetration and aspiration during swallowing after the treatment of advanced oropharyngeal cancer. *Arch Otolaryngol Head Neck Surg*, *131*(7), 615-619. https://doi.org/10.1001/archotol.131.7.615

Ginocchio, D., Alfonsi, E., Mozzanica, F., Accornero, A. R., Bergonzoni, A., Chiarello, G., . . . Schindler, A. (2016). Cross-Cultural Adaptation and Validation of the Italian Version of SWAL-QOL. *Dysphagia*, *31*(5), 626-634. https://doi.org/10.1007/s00455-016-9720-z

Govender, R., Breeson, L., Tuomainen, J., & Smith, C. H. (2013). Speech and swallowing rehabilitation following head and neck cancer: are we hearing the patient's voice?

Our experience with ten patients. *Clin Otolaryngol*, *38*(5), 433-437. https://doi.org/10.1111/coa.12156

Guimarães, I. (2007). *A Ciência e a Arte da Voz Humana.* ESSA – Escola Superior de Saúde de Alcoitão.

Guimarães, I., & Abberton, E. (2004). An investigation of the Voice Handicap Index with speakers of Portuguese: preliminary data. *J Voice*, *18*(1), 71-82. https://doi.org/10.1016/j.jvoice.2003.07.002

Guimarães, I., & Abberton, E. (2005). Fundamental frequency in speakers of Portuguese for different voice samples. *J Voice*, *19*(4), 592-606. https://doi.org/10.1016/j.jvoice.2004.11.004

Haigentz, M., Silver, C. E., Corry, J., Genden, E. M., Takes, R. P., Rinaldo, A., & Ferlito, A. (2009). Current trends in initial management of oropharyngeal cancer: the declining use of open surgery. *Eur Arch Otorhinolaryngol*, *266*(12), 1845-1855. https://doi.org/10.1007/s00405-009-1109-2

Hakkesteegt, M. M., Brocaar, M. P., Wieringa, M. H., & Feenstra, L. (2008). The relationship between perceptual evaluation and objective multiparametric evaluation of dysphonia severity. *J Voice*, *22*(2), 138-145. https://doi.org/10.1016/j.jvoice.2006.09.010

Hamdan, A. L., Geara, F., Rameh, C., Husseini, S. T., Eid, T., & Fuleihan, N. (2009). Vocal changes following radiotherapy to the head and neck for non-laryngeal tumors. *Eur Arch Otorhinolaryngol*, *266*(9), 1435-1439. https://doi.org/10.1007/s00405-009-0950-7

Hamlet, S. L., Muz, J., Patterson, R., & Jones, L. (1989). Pharyngeal transit time: assessment with videofluoroscopic and scintigraphic techniques. *Dysphagia*, *4*(1), 4-7.

Hammermüller, C., Hinz, A., Dietz, A., Wichmann, G., Pirlich, M., Berger, T., . . . Zebralla, V. (2021). Depression, anxiety, fatigue, and quality of life in a large sample of patients suffering from head and neck cancer in comparison with the general population. *BMC Cancer*, *21*(1), 94. https://doi.org/10.1186/s12885-020-07773-6

Hazelwood, R. J., Armeson, K. E., Hill, E. G., Bonilha, H. S., & Martin-Harris, B. (2017). Identification of Swallowing Tasks From a Modified Barium Swallow Study That Optimize the Detection of Physiological Impairment. *J Speech Lang Hear Res*, *60*(7), 1855-1863. https://doi.org/10.1044/2017_JSLHR-S-16-0117

Hedström, J., Tuomi, L., Finizia, C., & Olsson, C. (2018). Correlations Between Patient-Reported Dysphagia Screening and Penetration-Aspiration Scores in Head and Neck Cancer Patients Post-oncological Treatment. *Dysphagia*, *33*(2), 206-215. https://doi.org/10.1007/s00455-017-9847-6

Hey, C., Pluschinski, P., Stanschus, S., Euler, H. A., Sader, R. A., Langmore, S., & Neumann, K. (2011). A documentation system to save time and ensure proper application of the fiberoptic endoscopic evaluation of swallowing (FEES®). *Folia Phoniatr Logop*, *63*(4), 201-208. https://doi.org/10.1159/000316314

Hirano. (1981). *Clinical examination of voice* Springer-Verlag.

Howell, D., Molloy, S., Wilkinson, K., Green, E., Orchard, K., Wang, K., & Liberty, J. (2015). Patient-reported outcomes in routine cancer clinical practice: a scoping review of use, impact on health outcomes, and implementation factors. *Ann Oncol*, *26*(9), 1846-1858. https://doi.org/10.1093/annonc/mdv181

Howren, M. B., Christensen, A. J., Karnell, L. H., & Funk, G. F. (2013). Psychological factors associated with head and neck cancer treatment and survivorship: evidence

and opportunities for behavioral medicine. *J Consult Clin Psychol*, *81*(2), 299-317. https://doi.org/10.1037/a0029940

Hughes, P. J., Scott, P. M., Kew, J., Cheung, D. M., Leung, S. F., Ahuja, A. T., & van Hasselt, C. A. (2000). Dysphagia in treated nasopharyngeal cancer. *Head Neck*, *22*(4), 393-397. https://doi.org/10.1002/1097-0347(200007)22:4<393::aid-hed13>3.0.co;2-2

Hutcheson, K. A., Barringer, D. A., Rosenthal, D. I., May, A. H., Roberts, D. B., & Lewin, J. S. (2008). Swallowing outcomes after radiotherapy for laryngeal carcinoma. *Arch Otolaryngol Head Neck Surg*, *134*(2), 178-183. https://doi.org/10.1001/archoto.2007.33

Ickenstein, G. W. (2013). Dysphagia - Management (C) - Diagnostic and therapeutic procedural recommendations for neurogenic dysphagia. In: HELIOS General Hospital Aue - University of Dresden.

Isaksson, J., Wilms, T., Laurell, G., Fransson, P., & Ehrsson, Y. T. (2016). Meaning of work and the process of returning after head and neck cancer. *Support Care Cancer*, *24*(1), 205-213. https://doi.org/10.1007/s00520-015-2769-7

Jackson, L. K., Ridner, S. H., Deng, J., Bartow, C., Mannion, K., Niermann, K., . . . Murphy, B. A. (2016). Internal Lymphedema Correlates with Subjective and Objective Measures of Dysphagia in Head and Neck Cancer Patients. *J Palliat Med*, *19*(9), 949-956. https://doi.org/10.1089/jpm.2016.0018

Jackson-Menaldi, M. C. A. (2002). *La voz patológica.* Ed. Médica Panamericana.

Jacobi, I., van der Molen, L., Huiskens, H., van Rossum, M. A., & Hilgers, F. J. M. (2010). Voice and speech outcomes of chemoradiation for advanced head and neck cancer: a systematic review. *Eur Arch Otorhinolaryngol*(267), 1495-1505.

Jacobi, I., van Rossum, M. A., van der Molen, L., Hilgers, F. J., & van den Brekel, M. W. (2013). Acoustic analysis of changes in articulation proficiency in patients with advanced head and neck cancer treated with chemoradiotherapy. *Ann Otol Rhinol Laryngol*, *122*(12), 754-762. https://doi.org/10.1177/000348941312201205

Jacobson, B. H., Johnson, A., Grywalski, C., Silbergleit, A., Jacobson, G., Benninger, M. S., & Newman, C. W. (1997). The Voice Handicap Index (VHI): development and validation. *American Journal of Speech-Language Pathology*, *6*, 66-70.

Jacobson, M. C. (2018). The experience of head and neck cancer survivorship (including laryngectomy): an integrated biopsychosocial model. *Curr Opin Support Palliat Care*, *12*(1), 65-73. https://doi.org/10.1097/SPC.0000000000000322

Jensen, K., Bonde Jensen, A., & Grau, C. (2006). The relationship between observer-based toxicity scoring and patient assessed symptom severity after treatment for head and neck cancer. A correlative cross sectional study of the DAHANCA toxicity scoring system and the EORTC quality of life questionnaires. *Radiother Oncol*, *78*(3), 298-305. https://doi.org/10.1016/j.radonc.2006.02.005

Jensen, K., Lambertsen, K., Torkov, P., Dahl, M., Jensen, A. B., & Grau, C. (2007). Patient assessed symptoms are poor predictors of objective findings. Results from a cross sectional study in patients treated with radiotherapy for pharyngeal cancer. *Acta Oncol*, *46*(8), 1159-1168. https://doi.org/10.1080/02841860701491041

Jones, E., Speyer, R., Kertscher, B., Denman, D., Swan, K., & Cordier, R. (2018). Health-Related Quality of Life and Oropharyngeal Dysphagia: A Systematic Review. *Dysphagia*, *33*(2), 141-172. https://doi.org/10.1007/s00455-017-9844-9

Jones, S. M., Carding, P. N., & Drinnan, M. J. (2006). Exploring the relationship between severity of dysphonia and voice-related quality of life. *Clin Otolaryngol*, *31*(5), 411-417. https://doi.org/10.1111/j.1749-4486.2006.01291.x

Kasper, B. (2020). The EORTC QLQ-C30 summary score as prognostic factor for survival of patients with cancer in the "real-world": Results from the population-based PROFILES registry. The Oncologist, 25:e722–e732. https://doi.org/10.1634/theoncologist.2019-0749

Kelly, A. M., Drinnan, M. J., & Leslie, P. (2007). Assessing penetration and aspiration: how do videofluoroscopy and fiberoptic endoscopic evaluation of swallowing compare? *Laryngoscope*, *117*(10), 1723-1727. https://doi.org/10.1097/MLG.0b013e318123ee6a

Kendall, K. A., Kosek, S. R., & Tanner, K. (2014). Quality-of-life scores compared to objective measures of swallowing after oropharyngeal chemoradiation. *Laryngoscope*, *124*(3), 682-687. https://doi.org/10.1002/lary.24344

Kendall, K. A., McKenzie, S., Leonard, R. J., Gonçalves, M. I., & Walker, A. (2000). Timing of events in normal swallowing: a videofluoroscopic study. *Dysphagia*, *15*(2), 74-83. https://doi.org/10.1007/s004550010004

Khaldoun, E., Woisard, V., & Verin, E. (2009). Validation in French of the SWAL-QOL scale in patients with oropharyngeal dysphagia. *Gastroenterol Clin Biol*, *33*(3), 167-171. https://doi.org/10.1016/j.gcb.2008.12.012

Kirsh, E., Naunheim, M., Holman, A., Kammer, R., Varvares, M., & Goldsmith, T. (2019). Patient-reported versus physiologic swallowing outcomes in patients with head and neck cancer after chemoradiation. *Laryngoscope*, *129*(9), 2059-2064. https://doi.org/10.1002/lary.27610

Kraaijenga, S. A., Oskam, I. M., van der Molen, L., Hamming-Vrieze, O., Hilgers, F. J., & van den Brekel, M. W. (2015). Evaluation of long term (10-years+) dysphagia and trismus in patients treated with concurrent chemo-radiotherapy for advanced head and neck cancer. *Oral Oncol*, *51*(8), 787-794. https://doi.org/10.1016/j.oraloncology.2015.05.003

Kraaijenga, S. A., Oskam, I. M., van Son, R. J., Hamming-Vrieze, O., Hilgers, F. J., van den Brekel, M. W., & van der Molen, L. (2016). Assessment of voice, speech, and related quality of life in advanced head and neck cancer patients 10-years+ after chemoradiotherapy. *Oral Oncol*, *55*, 24-30. https://doi.org/10.1016/j.oraloncology.2016.02.001

Kraaijenga, S. A., van der Molen, L., Jacobi, I., Hamming-Vrieze, O., Hilgers, F. J., & van den Brekel, M. W. (2015). Prospective clinical study on long-term swallowing function and voice quality in advanced head and neck cancer patients treated with concurrent chemoradiotherapy and preventive swallowing exercises. *Eur Arch Otorhinolaryngol*, *272*(11), 3521-3531. https://doi.org/10.1007/s00405-014-3379-6

Kraus, E. M., Rommel, N., Stoll, L. H., Oettinger, A., Vogel, A. P., & Synofzik, M. (2018). Validation and Psychometric Properties of the German Version of the SWAL-QOL. *Dysphagia*, *33*(4), 431-440. https://doi.org/10.1007/s00455-017-9872-5

Kumai, Y. (2019). Pathophysiology of Fibrosis in the Vocal Fold: Current Research, Future Treatment Strategies, and Obstacles to Restoring Vocal Fold Pliability. *Int J Mol Sci*, *20*(10). https://doi.org/10.3390/ijms20102551

Kumar, P., Jain, V., Thakar, A., & Aggarwal, V. (2013). Effect of varying bulb height on articulation and nasalance in maxillectomy patients with hollow bulb obturator. *J Prosthodont Res*, *57*(3), 200-205. https://doi.org/10.1016/j.jpor.2013.02.002

Lafer, M., Achlatis, S., Lazarus, C., Fang, Y., Branski, R. C., & Amin, M. R. (2013). Temporal measurements of deglutition in dynamic magnetic resonance imaging versus videofluoroscopy. *Ann Otol Rhinol Laryngol*, *122*(12), 748-753. https://doi.org/10.1177/000348941312201204

Lam, P. M., & Lai, C. K. (2011). The validation of the Chinese version of the Swallow Quality-of-Life Questionnaire (SWAL-QOL) using exploratory and confirmatory factor analysis. *Dysphagia*, *26*(2), 117-124. https://doi.org/10.1007/s00455-010-9272-6

Lang, H., France, E., Williams, B., Humphris, G., & Wells, M. (2013). The psychological experience of living with head and neck cancer: a systematic review and meta-synthesis. *Psychooncology*, *22*(12), 2648-2663. https://doi.org/10.1002/pon.3343

Langendijk, J. A., Doornaert, P., Verdonck-de Leeuw, I. M., Leemans, C. R., Aaronson, N. K., & Slotman, B. J. (2008). Impact of late treatment-related toxicity on quality of life among patients with head and neck cancer treated with radiotherapy. *J Clin Oncol*, *26*(22), 3770-3776. https://doi.org/10.1200/JCO.2007.14.6647

Langmore, S. E., & Murray, J. (2013). Fiberoptic endoscopic evaluation of swallowing (FEES). In R. Shaker (Ed.), *Manual of diagnostic and therapeutic techniques for disorders of deglutition* (pp. 85-101). Springer Science+Business Media. https://doi.org/10.1007/978-1-4614-3779-6_5

Langmore, S. E., Schatz, K., & Olsen, N. (1988). Fiberoptic endoscopic examination of swallowing safety: a new procedure. *Dysphagia*, *2*(4), 216-219. https://doi.org/10.1007/BF02414429

Lazarus, C., Logemann, J. A., Pauloski, B. R., Rademaker, A. W., Helenowski, I. B., Vonesh, E. F., . . . Haraf, D. J. (2007). Effects of radiotherapy with or without chemotherapy on tongue strength and swallowing in patients with oral cancer. *Head Neck*, *29*(7), 632-637. https://doi.org/10.1002/hed.20577

Lazarus, C. L. (1993). Effects of radiation therapy and voluntary maneuvers on swallow functioning in head and neck cancer patients. *Clin Commun Disord*, *3*(4), 11-20.

Lazarus, C. L. (2009). Effects of chemoradiotherapy on voice and swallowing. *Curr Opin Otolaryngol Head Neck Surg*, *17*(3), 172-178. https://doi.org/10.1097/MOO.0b013e32832af12f

Lazarus, C. L., Ward, E. C., & Yiu, E. M. (2007). Speech and swallowing following oral, oropharyngeal, and nasopharyngeal cancers. In *Head and Necl Cancer - treatment, rehabilitation, and outcomes* (pp. 103-122). Plural Publishing.

Li, H., Li, L., Huang, X., Li, Y., Zou, T., Zhuo, X., . . . Tang, Y. (2019). Radiotherapy-induced dysphagia and its impact on quality of life in patients with nasopharyngeal carcinoma. *Strahlenther Onkol*, *195*(6), 457-467. https://doi.org/10.1007/s00066-018-01421-6

Lin, B. M., Starmer, H. M., & Gourin, C. G. (2012). The relationship between depressive symptoms, quality of life, and swallowing function in head and neck cancer patients 1 year after definitive therapy. *Laryngoscope*, *122*(7), 1518-1525. https://doi.org/10.1002/lary.23312

Logemann, J. A., Pauloski, B. R., Rademaker, A. W., Lazarus, C. L., Gaziano, J., Stachowiak, L., . . . Mittal, B. (2008). Swallowing disorders in the first year after radiation and chemoradiation. *Head Neck*, *30*(2), 148-158. https://doi.org/10.1002/hed.20672

Machtay, M., Moughan, J., Trotti, A., Garden, A. S., Weber, R. S., Cooper, J. S., . . . Ang, K. K. (2008). Factors associated with severe late toxicity after concurrent chemoradiation for locally advanced head and neck cancer: an RTOG analysis. *J Clin Oncol*, *26*(21), 3582-3589. https://doi.org/10.1200/JCO.2007.14.8841

Manduchi, B., Che, Z., Fitch, M. I., Ringash, J., Howell, D., & Martino, R. (2022). Psychometric properties of patient-reported outcome measures for dysphagia in head and neck cancer: a systematic review protocol using COSMIN methodology. *Syst Rev*, *11*(1), 27. https://doi.org/10.1186/s13643-022-01903-w

Markkanen-Leppänen, M., Isotalo, E., Mäkitie, A. A., Asko-Seljavaara, S., Pessi, T., Suominen, E., & Haapanen, M. L. (2006). Changes in articulatory proficiency following microvascular reconstruction in oral or oropharyngeal cancer. *Oral Oncol*, *42*(6), 646-652. https://doi.org/10.1016/j.oraloncology.2005.11.004

Markkanen-Leppänen, M., Isotalo, E., Mäkitie, A. A., Rorarius, E., Asko-Seljavaara, S., Pessi, T., . . . Haapanen, M. L. (2006). Swallowing after free-flap reconstruction in patients with oral and pharyngeal cancer. *Oral Oncol*, *42*(5), 501-509. https://doi.org/10.1016/j.oraloncology.2005.10.007

Markkanen-Leppänen, M., Isotalo, E., Mäkitie, A. A., Suominen, E., Asko-Seljavaara, S., & Haapanen, M. L. (2005). Speech aerodynamics and nasalance in oral cancer patients treated with microvascular transfers. *J Craniofac Surg*, *16*(6), 990-995; discussion 996. https://doi.org/10.1097/01.scs.0000179753.14037.7a

Martin-Harris, B., Brodsky, M. B., Michel, Y., Castell, D. O., Schleicher, M., Sandidge, J., . . . Blair, J. (2008). MBS measurement tool for swallow impairment--MBSImp: establishing a standard. *Dysphagia*, *23*(4), 392-405. https://doi.org/10.1007/s00455-008-9185-9

McHorney, C. A., Bricker, D. E., Kramer, A. E., Rosenbek, J. C., Robbins, J., Chignell, K. A., . . . Clarke, C. (2000). The SWAL-QOL outcomes tool for oropharyngeal dysphagia in adults: I. Conceptual foundation and item development. *Dysphagia*, *15*(3), 115-121. https://doi.org/10.1007/s004550010012

McHorney, C. A., Bricker, D. E., Robbins, J., Kramer, A. E., Rosenbek, J. C., & Chignell, K. A. (2000). The SWAL-QOL outcomes tool for oropharyngeal dysphagia in adults: II. Item reduction and preliminary scaling. *Dysphagia*, *15*(3), 122-133. https://doi.org/10.1007/s004550010013

McHorney, C. A., Martin-Harris, B., Robbins, J., & Rosenbek, J. (2006). Clinical validity of the SWAL-QOL and SWAL-CARE outcome tools with respect to bolus flow measures. *Dysphagia*, *21*(3), 141-148. https://doi.org/10.1007/s00455-005-0026-9

McHorney, C. A., Robbins, J., Lomax, K., Rosenbek, J. C., Chignell, K., Kramer, A. E., & Bricker, D. E. (2002). The SWAL-QOL and SWAL-CARE outcomes tool for oropharyngeal dysphagia in adults: III. Documentation of reliability and validity. *Dysphagia*, *17*(2), 97-114. https://doi.org/10.1007/s00455-001-0109-1

Mehanna, H., West, C. M., Nutting, C., & Paleri, V. (2010). Head and neck cancer--Part 2: Treatment and prognostic factors. *BMJ*, *341*, c4690. https://doi.org/10.1136/bmj.c4690

Meleca, R. J., Dworkin, J. P., Kewson, D. T., Stachler, R. J., & Hill, S. L. (2003). Functional outcomes following nonsurgical treatment for advanced-stage laryngeal carcinoma. *Laryngoscope*, *113*(4), 720-728. https://doi.org/10.1097/00005537-200304000-00025

Messing, B. P., Ward, E. C., Lazarus, C., Ryniak, K., Kim, M., Silinonte, J., . . . Lee, G. (2019). Establishing a Multidisciplinary Head and Neck Clinical Pathway: An Implementation Evaluation and Audit of Dysphagia-Related Services and Outcomes. *Dysphagia*, *34*(1), 89-104. https://doi.org/10.1007/s00455-018-9917-4

Meyer, T. K., Pisegna, J. M., Krisciunas, G. P., Pauloski, B. R., & Langmore, S. E. (2017). Residue influences quality of life independently of penetration and aspiration in

head and neck cancer survivors. *Laryngoscope*, *127*(7), 1615-1621. https://doi.org/10.1002/lary.26387

Michelson, H., Bolund, C., Nilsson, B., & Brandberg, Y. (2000). Health-related quality of life measured by the EORTC QLQ-C30--reference values from a large sample of Swedish population. *Acta Oncol*, *39*(4), 477-484. https://doi.org/10.1080/028418600750013384

Middag, C., & Martens, J. (2013). *Automatische analyse van pathologische spraak - Automatic Analysis of Pathological Speech* Universiteit Gent]. file:///Users/danielavieira/Downloads/PhD.pdf

Moher, D., Shamseer, L., Clarke, M., Ghersi, D., Liberati, A., Petticrew, M., . . . Group, P.-P. (2015). Preferred reporting items for systematic review and meta-analysis protocols (PRISMA-P) 2015 statement. *Syst Rev*, *4*, 1. https://doi.org/10.1186/2046-4053-4-1

Montoni, N., Horta, I., Bandeira, A., & Angelis, E. (2008). Cross-cultural adaptation of the SWAL-QOL and SWAL-CARE questionnaires into Brazilian-portuguese. *Applied Cancer Research*, *3*(29), 129-134.

Mortensen, H. R., Jensen, K., Aksglæde, K., Behrens, M., & Grau, C. (2013). Late dysphagia after IMRT for head and neck cancer and correlation with dose-volume parameters. *Radiother Oncol*, *107*(3), 288-294. https://doi.org/10.1016/j.radonc.2013.06.001

Murray, J., Langmore, S. E., Ginsberg, S., & Dostie, A. (1996). The significance of accumulated oropharyngeal secretions and swallowing frequency in predicting aspiration. *Dysphagia*, *11*(2), 99-103. https://doi.org/10.1007/BF00417898

Nawka, T., Verdonck-de Leeuw, I. M., De Bodt, M., Guimaraes, I., Holmberg, E. B., Rosen, C. A., . . . Konerding, U. (2009). Item reduction of the voice handicap index based on the original version and on European translations. *Folia Phoniatr Logop*, *61*(1), 37-48. https://doi.org/10.1159/000200767

Nekhlyudov, L., Lacchetti, C., Davis, N. B., Garvey, T. Q., Goldstein, D. P., Nunnink, J. C., . . . Siu, L. L. (2017). Head and Neck Cancer Survivorship Care Guideline: American Society of Clinical Oncology Clinical Practice Guideline Endorsement of the American Cancer Society Guideline. *J Clin Oncol*, *35*(14), 1606-1621. https://doi.org/10.1200/JCO.2016.71.8478

Nguyen, N. P., Abraham, D., Desai, A., Betz, M., Davis, R., Sroka, T., . . . Vinh-Hung, V. (2011). Impact of image-guided radiotherapy to reduce laryngeal edema following treatment for non-laryngeal and non-hypopharyngeal head and neck cancers. *Oral Oncol*, *47*(9), 900-904. https://doi.org/10.1016/j.oraloncology.2011.06.004

Nguyen, N. P., Frank, C., Moltz, C. C., Vos, P., Smith, H. J., Karlsson, U., . . . Sallah, S. (2005). Impact of dysphagia on quality of life after treatment of head-and-neck cancer. *Int J Radiat Oncol Biol Phys*, *61*(3), 772-778. https://doi.org/10.1016/j.ijrobp.2004.06.017

Nguyen, N. P., Moltz, C. C., Frank, C., Millar, C., Smith, H. J., Dutta, S., . . . Sallah, S. (2007). Effectiveness of the cough reflex in patients with aspiration following radiation for head and neck cancer. *Lung*, *185*(5), 243-248. https://doi.org/10.1007/s00408-007-9016-z

Nguyen, N. P., Moltz, C. C., Frank, C., Vos, P., Smith, H. J., Karlsson, U., . . . Sallah, S. (2008). Long-term aspiration following treatment for head and neck cancer. *Oncology*, *74*(1-2), 25-30. https://doi.org/10.1159/000138976

Nilsen, M. L., Mady, L. J., Hodges, J., Wasserman-Wincko, T., & Johnson, J. T. (2019). Burden of treatment: Reported outcomes in a head and neck cancer survivorship clinic. *Laryngoscope*, *129*(12), E437-e444. https://doi.org/10.1002/lary.27801

Nolte, S., Liegl, G., Petersen, M. A., Aaronson, N. K., Costantini, A., Fayers, P. M., . . . Group, E. Q. o. L. (2019). General population normative data for the EORTC QLQ-C30 health-related quality of life questionnaire based on 15,386 persons across 13 European countries, Canada and the Unites States. *Eur J Cancer*, *107*, 153-163. https://doi.org/10.1016/j.ejca.2018.11.024

Nund, R. L., Rumbach, A. F., Debattista, B. C., Goodrow, M. N., Johnson, K. A., Tupling, L. N., . . . Porceddu, S. V. (2015). Communication changes following non-glottic head and neck cancer management: The perspectives of survivors and carers. *Int J Speech Lang Pathol*, *17*(3), 263-272. https://doi.org/10.3109/17549507.2015.1010581

Nund, R. L., Ward, E. C., Scarinci, N. A., Cartmill, B., Kuipers, P., & Porceddu, S. V. (2014). The lived experience of dysphagia following non-surgical treatment for head and neck cancer. *Int J Speech Lang Pathol*, *16*(3), 282-289. https://doi.org/10.3109/17549507.2013.861869

Ojo, B., Genden, E. M., Teng, M. S., Milbury, K., Misiukiewicz, K. J., & Badr, H. (2012). A systematic review of head and neck cancer quality of life assessment instruments. *Oral Oncol*, *48*(10), 923-937. https://doi.org/10.1016/j.oraloncology.2012.03.025

Orlikoff, R., Kraus, D., Budnick, A., Pfister, D., & Zelefsky, M. (1999). Vocal function following successful chemoradiation treatment for advanced laryngeal cancer: preliminary results. *PHONOSCOPE-SAN DIEGO-*, *2*, 67-78.

Ottosson, S., Laurell, G., & Olsson, C. (2013). The experience of food, eating and meals following radiotherapy for head and neck cancer: a qualitative study. *J Clin Nurs*, *22*(7-8), 1034-1043. https://doi.org/10.1111/jocn.12151

Paleri, V., Carding, P., Chatterjee, S., Kelly, C., Wilson, J. A., Welch, A., & Drinnan, M. (2012). Voice outcomes after concurrent chemoradiotherapy for advanced nonlaryngeal head and neck cancer: a prospective study. *Head Neck*, *34*(12), 1747-1752. https://doi.org/10.1002/hed.22003

Patel, R. R., Awan, S. N., Barkmeier-Kraemer, J., Courey, M., Deliyski, D., Eadie, T., . . . Hillman, R. (2018). Recommended Protocols for Instrumental Assessment of Voice: American Speech-Language-Hearing Association Expert Panel to Develop a Protocol for Instrumental Assessment of Vocal Function. *Am J Speech Lang Pathol*, *27*(3), 887-905. https://doi.org/10.1044/2018_AJSLP-17-0009

Patterson, J. M., McColl, E., Carding, P. N., Hildreth, A. J., Kelly, C., & Wilson, J. A. (2014). Swallowing in the first year after chemoradiotherapy for head and neck cancer: clinician- and patient-reported outcomes. *Head Neck*, *36*(3), 352-358. https://doi.org/10.1002/hed.23306

Patton, M. Q. (2002). *Qualitative research and evaluation methods* (3rd ed. ed.). Thousand Oaks, CA: Sage Publications.

Pauloski, B. R., Rademaker, A. W., Lazarus, C., Boeckxstaens, G., Kahrilas, P. J., & Logemann, J. A. (2009). Relationship between manometric and videofluoroscopic measures of swallow function in healthy adults and patients treated for head and neck cancer with various modalities. *Dysphagia*, *24*(2), 196-203. https://doi.org/10.1007/s00455-008-9192-x

Pauloski, B. R., Rademaker, A. W., Logemann, J. A., Lazarus, C. L., Newman, L., Hamner, A., . . . Stachowiak, L. (2002). Swallow function and perception of

dysphagia in patients with head and neck cancer. *Head Neck*, *24*(6), 555-565. https://doi.org/10.1002/hed.10092

Pauloski, B. R., Rademaker, A. W., Logemann, J. A., Newman, L., MacCracken, E., Gaziano, J., & Stachowiak, L. (2006). Relationship between swallow motility disorders on videofluorography and oral intake in patients treated for head and neck cancer with radiotherapy with or without chemotherapy. *Head Neck*, *28*(12), 1069-1076. https://doi.org/10.1002/hed.20459

Pedersen, A., Wilson, J., McColl, E., Carding, P., & Patterson, J. (2016). Swallowing outcome measures in head and neck cancer--How do they compare? *Oral Oncol*, *52*, 104-108. https://doi.org/10.1016/j.oraloncology.2015.10.015

Perry, A., Lee, S. H., Cotton, S., & Kennedy, C. (2016). Therapeutic exercises for affecting post-treatment swallowing in people treated for advanced-stage head and neck cancers. *Cochrane Database Syst Rev*(8), CD011112. https://doi.org/10.1002/14651858.CD011112.pub2

Peterson, R. (2018). Modified Barium Swallow for Evaluation of Dysphagia. *Radiol Technol*, *89*(3), 257-275.

Pezdirec, M., Strojan, P., & Boltezar, I. H. (2019). Swallowing disorders after treatment for head and neck cancer. *Radiol Oncol*, *53*(2), 225-230. https://doi.org/10.2478/raon-2019-0028

Portas, J., Corrêa, D., Queija, D., Arantes, L. M. R. B., Viana, L. S., & Carvalho, A. L. (2019). Effect of Induction Chemotherapy on Swallowing in Head and Neck Cancer Patients. *Asian Pac J Cancer Prev*, *20*(1), 91-96. https://doi.org/10.31557/APJCP.2019.20.1.91

Rademaker, A. W., Pauloski, B. R., Logemann, J. A., & Shanahan, T. K. (1994). Oropharyngeal swallow efficiency as a representative measure of swallowing function. *J Speech Hear Res*, *37*(2), 314-325.

Radhakrishna, N., Yamini, B. K., Kadam, A. S., Shivashankar, N., Vishwanathan, C., & Javarappa, R. (2017). Acoustic analysis of voice in nonlaryngeal head and neck cancer patients post chemoradiotherapy. *J Cancer Res Ther*, *13*(1), 113-117. https://doi.org/10.4103/0973-1482.199386

Rennie, C., Stoddart, K., & Hubbard, G. (2018). A new normal: reconciling change in appearance and function for men with head and neck cancer. *Cancer Nursing Practice*, *17*(5), 20-28. https://doi.org/10.7748/cnp.2018.e1449

Ringash, J., O'Sullivan, B., Bezjak, A., & Redelmeier, D. A. (2007). Interpreting clinically significant changes in patient-reported outcomes. *Cancer*, *110*(1), 196-202. https://doi.org/10.1002/cncr.22799

Rinkel, R. N., Verdonck-de Leeuw, I. M., Doornaert, P., Buter, J., de Bree, R., Langendijk, J. A., . . . Leemans, C. R. (2016). Prevalence of swallowing and speech problems in daily life after chemoradiation for head and neck cancer based on cut-off scores of the patient-reported outcome measures SWAL-QOL and SHI. *Eur Arch Otorhinolaryngol*, *273*(7), 1849-1855. https://doi.org/10.1007/s00405-015-3680-z

Rinkel, R. N., Verdonck-de Leeuw, I. M., Langendijk, J. A., van Reij, E. J., Aaronson, N. K., & Leemans, C. R. (2009). The psychometric and clinical validity of the SWAL-QOL questionnaire in evaluating swallowing problems experienced by patients with oral and oropharyngeal cancer. *Oral Oncol*, *45*(8), e67-71. https://doi.org/10.1016/j.oraloncology.2009.03.003

Rinkel, R. N., Verdonck-de Leeuw, I. M., van den Brakel, N., de Bree, R., Eerenstein, S. E., Aaronson, N., & Leemans, C. R. (2014). Patient-reported symptom

questionnaires in laryngeal cancer: voice, speech and swallowing. *Oral Oncol*, *50*(8), 759-764. https://doi.org/10.1016/j.oraloncology.2014.05.009

Rivelsrud, M. C., Kirmess, M., & Hartelius, L. (2019). Cultural adaptation and validation of the Norwegian version of the swallowing quality of life questionnaire (SWAL-QOL). *Health Qual Life Outcomes*, *17*(1), 179. https://doi.org/10.1186/s12955-019-1248-0

Rogers, S. N. (2016). Improving quality-of-life questionnaires in head and neck cancer. *Expert review of quality of life in cancer care*, *1*, 61-71.

Rogers, S. N., & Barber, B. (2017). Using PROMs to guide patients and practitioners through the head and neck cancer journey. *Patient Relat Outcome Meas*, *8*, 133-142. https://doi.org/10.2147/PROM.S129012

Rogus-Pulia, N. M., Pierce, M., Mittal, B. B., Zecker, S. G., & Logemann, J. (2015). Bolus effects on patient awareness of swallowing difficulty and swallow physiology after chemoradiation for head and neck cancer. *Head Neck*, *37*(8), 1122-1129. https://doi.org/10.1002/hed.23720

Rogus-Pulia, N. M., Pierce, M. C., Mittal, B. B., Zecker, S. G., & Logemann, J. A. (2014). Changes in swallowing physiology and patient perception of swallowing function following chemoradiation for head and neck cancer. *Dysphagia*, *29*(2), 223-233. https://doi.org/10.1007/s00455-013-9500-y

Rosenbek, J. C., Robbins, J. A., Roecker, E. B., Coyle, J. L., & Wood, J. L. (1996). A penetration-aspiration scale. *Dysphagia*, *11*(2), 93-98. https://doi.org/10.1007/BF00417897

Salama, J. K., Stenson, K. M., List, M. A., Mell, L. K., Maccracken, E., Cohen, E. E., . . . Haraf, D. J. (2008). Characteristics associated with swallowing changes after concurrent chemotherapy and radiotherapy in patients with head and neck cancer. *Arch Otolaryngol Head Neck Surg*, *134*(10), 1060-1065. https://doi.org/10.1001/archotol.134.10.1060

Schindler, A., Denaro, N., Russi, E. G., Pizzorni, N., Bossi, P., Merlotti, A., . . . Murphy, B. (2015). Dysphagia in head and neck cancer patients treated with radiotherapy and systemic therapies: Literature review and consensus. *Crit Rev Oncol Hematol*, *96*(2), 372-384. https://doi.org/10.1016/j.critrevonc.2015.06.005

Schuster, M., & Stelzle, F. (2012). Outcome measurements after oral cancer treatment: speech and speech-related aspects—an overview. *Oral and Maxillofacial Surgery*, *16*(3), 291-298. https://doi.org/10.1007/s10006-012-0340-y

Schwartz, D. L., Hutcheson, K., Barringer, D., Tucker, S. L., Kies, M., Holsinger, F. C., . . . Lewin, J. S. (2010). Candidate dosimetric predictors of long-term swallowing dysfunction after oropharyngeal intensity-modulated radiotherapy. *Int J Radiat Oncol Biol Phys*, *78*(5), 1356-1365. https://doi.org/10.1016/j.ijrobp.2009.10.002

Scott, N., PMAaronson, NKAndrew Bottomley, AAlexander de Graeff, AMogens Groenvold, MChad Gundy, CMichael Koller, MMorten A Petersen, MASprangers , MAG. (2008). EORTC QLQ-C30 Reference Values

Seikaly, H., Rieger, J., Wolfaardt, J., Moysa, G., Harris, J., & Jha, N. (2003). Functional outcomes after primary oropharyngeal cancer resection and reconstruction with the radial forearm free flap. *Laryngoscope*, *113*(5), 897-904. https://doi.org/10.1097/00005537-200305000-00023

Shune, S. E., Karnell, L. H., Karnell, M. P., Van Daele, D. J., & Funk, G. F. (2012). Association between severity of dysphagia and survival in patients with head and neck cancer. *Head Neck*, *34*(6), 776-784. https://doi.org/10.1002/hed.21819

Simental, A. A., & Carrau, R. L. (2004). Assessment of swallowing function in patients with head and neck cancer. *Curr Oncol Rep*, *6*(2), 162-165.

Singer, S., Amdal, C. D., Hammerlid, E., Tomaszewska, I. M., Castro Silva, J., Mehanna, H., . . . Groups, E. Q. o. L. a. t. E. H. a. N. C. (2019). International validation of the revised European Organisation for Research and Treatment of Cancer Head and Neck Cancer Module, the EORTC QLQ-HN43: Phase IV. *Head Neck*, *41*(6), 1725-1737. https://doi.org/10.1002/hed.25609

Singer, S., Araújo, C., Arraras, J. I., Baumann, I., Boehm, A., Brokstad Herlofson, B., . . . Groups, E. Q. o. L. a. t. E. H. a. N. C. (2015). Measuring quality of life in patients with head and neck cancer: Update of the EORTC QLQ-H&N Module, Phase III. *Head Neck*, *37*(9), 1358-1367. https://doi.org/10.1002/hed.23762

Singer, S., Arraras, J. I., Baumann, I., Boehm, A., Chie, W. C., Galalae, R., . . . Group, E. H. a. N. C. (2013). Quality of life in patients with head and neck cancer receiving targeted or multimodal therapy--update of the EORTC QLQ-H&N35, Phase I. *Head Neck*, *35*(9), 1331-1338. https://doi.org/10.1002/hed.23127

Singer, S., Arraras, J. I., Chie, W. C., Fisher, S. E., Galalae, R., Hammerlid, E., . . . Hofmeister, D. (2013). Performance of the EORTC questionnaire for the assessment of quality of life in head and neck cancer patients EORTC QLQ-H&N35: a methodological review. *Qual Life Res*, *22*(8), 1927-1941. https://doi.org/10.1007/s11136-012-0325-1

Sobol, M., & Sielska-Badurek, E. M. (2022). The Dysphonia Severity Index (DSI)-Normative Values. Systematic Review and Meta-Analysis. *J Voice*, *36*(1), 143.e149-143.e113. https://doi.org/10.1016/j.jvoice.2020.04.010

Soldatova, L., & Mirza, N. (2019). Long-Term Voice and Swallowing Outcomes for Oral and Oropharyngeal Cancer Following Primary or Adjuvant Chemoradiation. *Ann Otol Rhinol Laryngol*, 3489419842256. https://doi.org/10.1177/0003489419842256

Speyer, R., Baijens, L., Heijnen, M., & Zwijnenberg, I. (2010). Effects of therapy in oropharyngeal dysphagia by speech and language therapists: a systematic review. *Dysphagia*, *25*(1), 40-65. https://doi.org/10.1007/s00455-009-9239-7

Su, C. Y. (1997). Aspiration and speech shunt stenosis in near-total laryngectomy patients. *Eur Arch Otorhinolaryngol*, *254*(8), 401-404.

Tarameshlu, M., Azimi, A. R., Jalaie, S., Ghelichi, L., & Ansari, N. N. (2017). Cross-cultural adaption and validation of the Persian version of the SWAL-QOL. *Medicine (Baltimore)*, *96*(26), e7254. https://doi.org/10.1097/MD.0000000000007254

Teguh, D. N., Levendag, P. C., Sewnaik, A., Hakkesteegt, M. M., Noever, I., Voet, P., . . . Schmitz, P. I. (2008). Results of fiberoptic endoscopic evaluation of swallowing vs. radiation dose in the swallowing muscles after radiotherapy of cancer in the oropharynx. *Radiother Oncol*, *89*(1), 57-63. https://doi.org/10.1016/j.radonc.2008.07.012

Thomas, L., Jones, T. M., Tandon, S., Carding, P., Lowe, D., & Rogers, S. (2009). Speech and voice outcomes in oropharyngeal cancer and evaluation of the University of Washington Quality of Life speech domain. *Clin Otolaryngol*, *34*(1), 34-42. https://doi.org/10.1111/j.1749-4486.2008.01830.x

Thomas, L., Jones, T. M., Tandon, S., Katre, C., Lowe, D., & Rogers, S. N. (2008). An evaluation of the University of Washington Quality of Life swallowing domain following oropharyngeal cancer. *Eur Arch Otorhinolaryngol*, *265 Suppl 1*, S29-37. https://doi.org/10.1007/s00405-007-0470-2

Threats, T. T. (2007). Use of the ICF in dysphagia management. *Semin Speech Lang*, *28*(4), 323-333. https://doi.org/10.1055/s-2007-986529

Tracy, J. F., Logemann, J. A., Kahrilas, P. J., Jacob, P., Kobara, M., & Krugler, C. (1989). Preliminary observations on the effects of age on oropharyngeal deglutition. *Dysphagia*, *4*(2), 90-94.

Trotti, A., Bellm, L. A., Epstein, J. B., Frame, D., Fuchs, H. J., Gwede, C. K., . . . Zilberberg, M. D. (2003). Mucositis incidence, severity and associated outcomes in patients with head and neck cancer receiving radiotherapy with or without chemotherapy: a systematic literature review. *Radiother Oncol*, *66*(3), 253-262. https://doi.org/10.1016/s0167-8140(02)00404-8

Vainshtein, J. M., Griffith, K. A., Feng, F. Y., Vineberg, K. A., Chepeha, D. B., & Eisbruch, A. (2014). Patient-reported voice and speech outcomes after whole-neck intensity modulated radiation therapy and chemotherapy for oropharyngeal cancer: prospective longitudinal study. *Int J Radiat Oncol Biol Phys*, *89*(5), 973-980. https://doi.org/10.1016/j.ijrobp.2014.03.013

van der Molen, L., van Rossum, M. A., Ackerstaff, A. H., Smeele, L. E., Rasch, C. R., & Hilgers, F. J. (2009). Pretreatment organ function in patients with advanced head and neck cancer: clinical outcome measures and patients' views. *BMC Ear Nose Throat Disord*, *9*, 10. https://doi.org/10.1186/1472-6815-9-10

Van Hinte, G., Wetzels, J.-W. G. H., Merkx, M. A. W., De Haan, A. F. J., Koole, R., & Speksnijder, C. M. (2019). Factors influencing neck and shoulder function after oral oncology treatment: a five-year prospective cohort study in 113 patients. *Supportive Care in Cancer*, *27*(7), 2553-2560. https://doi.org/10.1007/s00520-018-4534-1

Verdonck-de Leeuw, I. M., Kuik, D. J., De Bodt, M., Guimaraes, I., Holmberg, E. B., Nawka, T., . . . Woisard, V. (2008). Validation of the voice handicap index by assessing equivalence of European translations. *Folia Phoniatr Logop*, *60*(4), 173-178. https://doi.org/10.1159/000127836

Verdonck-de Leeuw, I. M., van Bleek, W. J., Leemans, C. R., & de Bree, R. (2010). Employment and return to work in head and neck cancer survivors. *Oral Oncol*, *46*(1), 56-60. https://doi.org/10.1016/j.oraloncology.2009.11.001

Vieira, D., & Antunes, B. E. (2017). Clinical characteristics of dysphagia-related quality of life questionnaires. *Revista de Investigación en Logopedia*, *2*, 157-188.

Vieira, D. O., Antunes, E. B., Dinis-Ribeiro, M., & Monteiro, E. (2020). Psychometric validity of the Portuguese version of SWAL-QOL for head and neck cancer. *Revista de Logopedia, Foniatría y Audiología*.

Vissink, A., Jansma, J., Spijkervet, F. K., Burlage, F. R., & Coppes, R. P. (2003). Oral sequelae of head and neck radiotherapy. *Crit Rev Oral Biol Med*, *14*(3), 199-212. https://doi.org/10.1177/154411130301400305

Watts, C. R., Diviney, S. S., Hamilton, A., Toles, L., Childs, L., & Mau, T. (2015). The effect of stretch-and-flow voice therapy on measures of vocal function and handicap. *J Voice*, *29*(2), 191-199. https://doi.org/10.1016/j.jvoice.2014.05.008

Welch, A. R. (1982). The practical and economic value of flexible system laryngoscopy. *J Laryngol Otol*, *96*(12), 1125-1129. https://doi.org/10.1017/s0022215100093580

Wilson, I. B., & Cleary, P. D. (1995). Linking Clinical Variables With Health-Related Quality of Life - A Conceptual Model of Patient Outcomes. In (Vol. 1, pp. 59-65): JAMA.

Woisard-Bassols, V., Serrano, E., & Pessey, J. J. (1994). [Radiologic study of the mechanism of deglutition]. *Ann Radiol (Paris)*, *37*(7-8), 481-487.

Woodson, G. E., Rosen, C. A., Murry, T., Madasu, R., Wong, F., Hengesteg, A., & Robbins, K. T. (1996). Assessing vocal function after chemoradiation for

advanced laryngeal carcinoma. *Arch Otolaryngol Head Neck Surg*, *122*(8), 858-864. https://doi.org/10.1001/archotol.1996.01890200048011

Wuyts, F. L., De Bodt, M. S., Molenberghs, G., Remacle, M., Heylen, L., Millet, B., . . . Van de Heyning, P. H. (2000). The dysphonia severity index: an objective measure of vocal quality based on a multiparameter approach. *J Speech Lang Hear Res*, *43*(3), 796-809. https://doi.org/10.1044/jslhr.4303.796

Yang, C. J., Roh, J. L., Choi, K. H., Kim, M. J., Choi, S. H., Nam, S. Y., & Kim, S. Y. (2015). Pretreatment Dysphagia Inventory and videofluorographic swallowing study as prognostic indicators of early survival outcomes in head and neck cancer. *Cancer*, *121*(10), 1588-1598. https://doi.org/10.1002/cncr.29245

Yoshida, H., Furuya, Y., Shimodaira, K., Kanazawa, T., Kataoka, R., & Takahashi, K. (2000). Spectral characteristics of hypernasality in maxillectomy patients. *J Oral Rehabil*, *27*(8), 723-730. https://doi.org/10.1046/j.1365-2842.2000.00537.x

Zaldibar-Barinaga, M. B., Miranda-Artieda, M., Zaldibar-Barinaga, A., Pinedo-Otaola, S., Erazo-Presser, P., & Tejada-Ezquerro, P. (2013). Spanish version of the Swallowing Quality of Life Questionnaire (SWAL-QoL): Initial phase of cross-cultural adaptation. *Rehabilitación*, *47*(3), 136-140.

Zebralla, V., Wichmann, G., Pirlich, M., Hammermüller, C., Berger, T., Zimmermann, K., . . . Wiegand, S. (2021). Dysphagia, voice problems, and pain in head and neck cancer patients. *Eur Arch Otorhinolaryngol*, *278*(10), 3985-3994. https://doi.org/10.1007/s00405-020-06584-6

Zebralla, V., Wiegand, S., Dietz, A., Wichmann, G., Neumuth, T., Mehnert-Theuerkauf, A., & Hinz, A. (2021). Course of Self-Reported Dysphagia, Voice Impairment and Pain in Head and Neck Cancer Survivors. *Biology (Basel)*, *10*(2). https://doi.org/10.3390/biology10020144

ANEXO I - Procedimentos da avaliação objetiva - revisão sistemática

Tabela 79 - Resumo dos procedimentos da avaliação objetiva.

Autor(es)(Ano), País	Avaliação objetiva					
	VFS					
	Aquisição/frames	Variáveis avaliadas	Tentativas	Viscosidade	Quantidade (ml)	Escala de classificação
Li *et al* (2019), China (Li et al., 2019)	Anterior e lateral 30frames/s	Escala disfagia videofluoroscopia (VDS - resultado total 100): encerramento labial, mastigação, contacto língua-palato, escape prematuro do bolo, resíduo seios piriformes, apraxia, resíduo valecular, formação do bolo, aspiração, estase na parede faríngea, elevação laríngea, tempo de trânsito faríngeo, disparo do reflexo de deglutição, tempo de trânsito oral		Alimentos finos, espessos e pastosos	3,5,10ml	
Hedström *et al* (2018), Sweden(Hedström et al., 2018)	Em pé 15frames/s		2 de cada	Fino Moderadamente espesso Muito espesso	3,5,10,20 ml 5ml 3 ml	PAS
Meyer *et al* (2017), USA(Meyer et al., 2017)	Lateral Anterior	% resíduo oral, % resíduo faríngeo	17 (2 de cada)	Líquido fino Líquido espesso/pudim Banana Bolacha cracker Líquido espesso	5,10,20 ml 5ml 5ml	PAS
Andrade *et al* (2017), Brazil(Andrade et al., 2017)	Lateral	Resíduo - sim/não, cavidade oral, ápice da língua, base da língua, parede posterior faríngea, valéculas e seios piriformes, aritenoide e EES		Néctar	5, 20ml	PAS
Yang *et al* (2015), Republic Corea(Yang et al., 2015)	Lateral Anterior	Tempo de trânsito oral, tempo de trânsito faríngeo, presença de resíduo oral, valecular ou e seio piriforme, fraqueza músculos da faringe, diminuição do controlo da língua, proteção laríngea, elevação laríngea, encerramento epiglote ou reflexo de deglutição	3 de cada	Mistura de fluído espesso para líquido puré, semissólidos, sólidos e finos		PAS
Rogus-Pulia *et al* (2014), USA(Rogus-Pulia et al., 2014)	30 frame/s	Quantidade aproximada (%) de resíduo, frequência de penetração e aspiração e medidas temporais selecionadas de movimento do bolo e estruturais. Tempo de trânsito oral, tempo de atraso faríngeo, tempo da resposta faríngea, tempo de trânsito faríngeo; OPSE	2 de cada	Líquido fino Líquido néctar Pastoso fino Pasta de bário standard Bolacha Lorna Doone Pasta bário EZ EM	1,10ml 3, 10ml 3ml 3ml ¼ 1ml	
Kendall *et al* (2014), USA(Kendall et al., 2014)	Lateral 30 frames/s	Tempo de trânsito faríngeo, encerramento da via aérea aquando da chegada do bolo ao EES, movimento máximo do hioide, tamanho da abertura do EES e área faríngea na máxima constrição		Líquido	1X 1ml 2X 3ml 1X 20ml	
Mortensen *et al* (2013), Denamark(Mortensen et al., 2013)	Lateral e anterior 60 imagens por segundo	Resíduo, aspiração, penetração, medidas biomecânicas (elevação hioide e laríngea); medidas temporais: tempo de trânsito oral, tempo de trânsito faríngeo, duração da abertura do cricofaríngeo, encerramento laríngeo, movimento hioide, OPSE		Líquido em colher Líquido em copo Gratinado de cenoura revestido com bário	3ml e 5ml 10ml	

Autor(es)(Ano), País	Avaliação objetiva				
Schwartz *et al* (2010), USA(Schwartz et al., 2010)		OPSE, tempo de trânsito oral, tempo de trânsito faríngeo, atraso tempo faríngeo	Líquido fino Pudim Bolacha cracker	10ml 1 cc ¼	PAS
van der Molen *et al* (2009), Netherlands(van der Molen et al., 2009)		Aspiração e resíduo, transporte oral	Líquido fino Pastoso Bolacha	1,5ml 3ml	PAS FOIS
Hutcheson *et al* (2008), USA(Hutcheson et al., 2008)		Avaliação do movimento hiolaríngeo alterado, redução da retração da base da língua, inversão incompleta da epiglote, alteração da mobilidade das pregas vocais, disfunção cricofaríngea; gravar edema supraglótico e estenose	Líquido fino		
Ding (2008), USA(Ding & Logemann, 2008)	Lateral e anterior (assimetrias)	Análise da dificuldade em deglutir, localização da dificuldade em engolir (oral, faríngea ou ambas), severidade	Líquido fino Pudim Bolacha Lorna Doone	1,3,5,10ml e copo 1/3 cc 1/4	Escala de severidade
Markkanen-Leppänen *et al* (2006), Finland(Markkanen-Leppänen, Isotalo, Mäkitie, Rorarius, et al., 2006)	30 frames/s	Tipo de bolo ingerido, sinais clínicos, traqueostomia, ingestão de bolo, posição da cabeça, controlo do bolo, limpeza oral, tempo de trânsito oral, início da deglutição, regurgitação nasal, contração faríngea, elevação laríngea, encerramento da epiglote, penetração vestibular, aspiração traqueal, limpeza das valéculas e seios piriformes, abertura cricofaríngea	Bário espesso Bolacha shortbread	3ml 1/4	
McHorney *et al* (2006), USA(McHorney et al., 2006)	Lateral 30 frames/s	Tempo de trânsito oral, faríngeo e total da deglutição	Líquido fino Semissólido Bolacha	2X5ml cc 2X5ml cc cc	PAS
Campbell *et al* (2004), USA(Campbell et al., 2004)		OPSE			
Pauloski *et al* (2002), USA(Pauloski et al., 2002)	30 frames/s	Tempo de trânsito oral e faríngeo; % aproximada de resíduo na cavidade oral após a primeira deglutição; % aproximada de resíduo faríngeo após a primeira deglutição; % aspirada ante, durante e após a primeira deglutição; OPSE	Líquido Pasta de bário mistura da pudim de chocolate	2X 1,3,5,10ml 3cc	
Hughes *et al* (2000), Australia(Hughes et al., 2000)	Lateral Anterior líquidos finos	Tempo de trânsito faríngeo, formação do bolo, tempo de trânsito oral, encerramento velofaríngeo, início do reflexo de deglutição, contração faríngea, elevação laríngea, penetração e aspiração	Líquido, pastoso, bolacha Líquido	3X ml colher de sopa 15ml	
Baker *et al* (1991), USA(Baker et al., 1991)		Capacidade de alinhas os dentes, lateralizar e triturar material, manusear consistências, formação e contenção do bolo, mastigação, estase e/ou resíduo, aspiração, movimento lingual, tempo de trânsito oral, deglutição prematura, múltiplas deglutições			

Autor(es)(Ano), País	Avaliação objetiva					
Nguyen *et al* (2005), USA(Nguyen et al., 2005)	Lateral Anterior	Resíduo na língua ou na faringe, penetração ou aspiração, regurgitação, RGE, início da deglutição peristalse		Água, bário líquido, papa de maçã, puré de batata, feijão verde, carne moída misturados com pasta de bário Bário líquido e puré de batata	cc cc	Escala de performance da deglutição
	FFES					
Pedersen *et al* (2016), UK(Pedersen et al., 2016)				Leite tingido de azul	10ml	PAS
Florie *et al* (2016), Netherlands(Florie et al., 2016)	Posição alta - acima da epiglote Gravado até 30 frames/s	Deglutições múltiplas, resíduo valecular e em seios piriformes após deglutição, penetração/aspiração	3 de cada	Fino Líquido espesso Bolachas pedaços pequenos Água ou papa de maçã tingida com 5% de azul de metileno	3ml 10ml	FOIS PAS
Teguh *et al* (2008), Netherlands(Teguh et al., 2008)		Estase de muco e resíduo e aspiração/penetração		Líquido (água colorida), comida tipo puré (iogurte) e para mastigar (bolacha)		
Thomas *et al* (2008), UK(Thomas et al., 2008)				Golos de leite (3-5 deglutições)		PAS
Jensen *et al* (2007), Denamark(Jensen et al., 2007)		Movimentos da base da língua, faringe e laringe avaliadas: durante a fala, em movimentos espontâneos e durante a deglutição Sensibilidade da faringe avaliada por toque leve com endoscópio Resíduo		Água colorida, leite, puré e pão		PAS Índice disfagia modificado de Berliner
	VFS+FEES					
Jackson *et al* (2016), USA(Jackson et al., 2016)	VFS Lateral	Fase preparatória oral, oral, faríngea e esofágica cervical		Líquido, pastoso e bolacha revestida com bário		NOMS DOSS

PAS= penetration aspiration scale; FEES=Fiberoptic endoscopic evaluation of swallowing; VFS = Videofluoroscopy study; OPSE = oropharyngeal swallowing efficiency; FOIS= functional oral intake scale; NOMS= National Outcomes Measurement System; DOSS= dysphagia outcome severity scale; cc = colher de chá

ANEXO II - Comissão de ética do IPO-Porto

IPO PORTO
INSTITUTO PORTUGUÊS DE ONCOLOGIA DO PORTO FG, EPE

Exma. Senhora,
Prof.ª Doutora Maria José Bento
Diretora da Escola Portuguesa de Oncologia do Porto (EPOP)
IPO Porto FG EPE

Ref. CES. 265R/020
Porto, 12 de novembro de 2020
Assunto: **Reavaliação de Pedido de Parecer**

Exma. Sra. Prof.ª Doutora Maria José Bento,

Cumpre-me remeter a V/Exa. o pedido de parecer dirigido a esta CES sobre o pedido de realização de projeto de investigação intitulado ***"Análise Quantitativa da Fonação e Deglutinação e a perceção do doente com cancro da orofaringe"***, tendo como Investigador Principal a **Dra. Daniela de Oliveira Vieira,** foi reavaliado em reunião ordinária da Comissão de Ética a 12 de novembro de 2020, emitindo-se o parecer anexo.

Respeitosos cumprimentos,

Enf. José Carlos Pimentel
Vice-Presidente da CES – IPO Porto EPE

REPÚBLICA PORTUGUESA SAÚDE | SNS SERVIÇO NACIONAL DE SAÚDE | Accredited by CHKS | OECI
RUA DR. ANTÓNIO BERNARDINO DE ALMEIDA 4200-072 PORTO - PORTUGAL
T. (+351) 22 508 40 00 F. (+351) 22 508 40 01
WEB: www.ipoporto.pt E-MAIL: diripo@ipoporto.min-saude.pt
Capital Social: 52.000.000,00 € Registado na Conservatória do Registo Comercial do Porto com o N.º 57884 - NIPC 506 382 299

IPOPORTO
INSTITUTO PORTUGUÊS DE ONCOLOGIA DO PORTO FG, EPE

Parecer CES IPO: 265R/020
Assunto: **Reavaliação** do pedido de realização de projeto de investigação intitulado ***"Análise Quantitativa da Fonação e Deglutinação e a perceção do doente com cancro da orofaringe"***
Investigador Principal: **Dra. Daniela de Oliveira Vieira**
Data: 12 de novembro de 2020

PARECER

Foi reapreciado na reunião ordinária da CES de 12/11/2020, e é parecer desta CES, não existir impedimento de natureza ética ao desenvolvimento do referido estudo de Investigação.

Enf. José Carlos Pimentel
Vice-Presidente da CES – IPO Porto EPE

ANEXO III - Guias da entrevista

Guia da entrevista - utente com cancro da orofaringe

Parte I - Deglutição

1. Depois do tratamento com radio e quimioterapia experienciou dificuldades em engolir? Se sim, quais?
2. As dificuldades em engolir foram um problema para si?
3. O tempo/duração das refeições foi alterado? De que forma?
4. A sua vontade de comer alterou-se? De que forma?
5. Como fazia/faz a seleção dos alimentos?
6. Sentiu receios? Quais?
7. De que forma a dificuldade em engolir afetou a sua vida social?
8. De que forma a dificuldade em engolir afetou a sua vida familiar?
9. Vou dar-lhe um pedaço de papel. Neste documento, estão sintomas que foram mencionados por pessoas que experienciaram dificuldades em engolir após tratamento oncológico. Gostaria que sublinhasse os sintomas que experimentou.

Tossir
Engasgar-me ao comer alimentos
Engasgar-me ao beber líquidos
Ter saliva ou expetoração espessas
Vontade de vomitar
Babar-me
Problemas em mastigar
Ter muita saliva ou expetoração
Ter de limpar a garganta (pigarrear)
Ficar com comida presa na garganta
Ficar com comida presa na boca
Ter saída de comida ou líquidos pela boca
Ter saída comida ou líquidos pelo nariz
Expelir comida ou líquidos pela boca quando ficam presos

10. Pode falar-me um pouco sobre estes itens?

Parte II - Fonação

1. Depois do tratamento com radio e quimioterapia a sua voz modificou-se? Se sim, que modificações sentiu?
2. As pessoas tiveram dificuldades em compreendê-lo(a), ouvi-lo(a)?
3. Sentiu dificuldades em se fazer ouvir? Em que situações?
4. A qualidade/clareza da minha voz modificou-se?
5. De que forma as alterações na sua voz afetaram a sua vida social?
6. De que forma as alterações na sua voz afetaram a sua vida familiar?
7. Vou dar-lhe um pedaço de papel. Neste documento, estão sintomas que foram mencionados por pessoas que experienciaram dificuldades na voz após tratamento oncológico. Gostaria que sublinhasse os sintomas que experimentou.

Rouquidão
Voz soprada/fala com ar
Quebras de voz
Tosse durante a fala
Fala sussurrada

8. Pode falar-me um pouco sobre estes itens?

Obrigada. Já fiz todas as minhas questões. Há alguma coisa que gostaria de acrescentar?

Guia da entrevista - cuidadores formais

□ Enfermeiro □ Médico □ Terapeuta

Parte I - Deglutição

1. Após o tratamento com radio e quimioterapia o doente com cancro da orofaringe apresenta dificuldades em engolir? Se sim, quais?
2. As dificuldades em engolir são um ónus para o doente?
3. O tempo/duração das refeições foi alterado? De que forma?
4. A vontade/desejo de comer alterou-se? De que forma?
5. Que dificuldades tem o utente na seleção dos alimentos?
6. Os doentes têm receios? Quais?
7. De que forma a dificuldade em engolir afeta a vida social do doente?
8. De que forma a dificuldade em engolir afeta a vida familiar do doente?
9. Vou dar-lhe um pedaço de papel. Neste documento, estão sintomas que foram mencionados por pessoas que experienciaram dificuldades em engolir após tratamento oncológico. Gostaria que sublinhasse os sintomas que os utentes mencionam mais frequentemente.

Tossir
Engasgar-me ao comer alimentos
Engasgar-me ao beber líquidos
Ter saliva ou expetoração espessas
Vontade de vomitar
Babar-me
Problemas em mastigar
Ter muita saliva ou expetoração
Ter de limpar a garganta (pigarrear)
Ficar com comida presa na garganta
Ficar com comida presa na boca
Ter saída comida ou líquidos pela boca
Ter saída comida ou líquidos pelo nariz
Tossir comida ou líquidos pela boca quando ficam presos

10. Pode falar-me um pouco sobre estes itens?

Parte II - Fonação

1. Depois do tratamento com radio e quimioterapia a voz dos utentes modifica-se? Se sim, que modificações sentem?
2. As pessoas têm dificuldades em compreender, ouvir o doente?
3. Os utentes têm dificuldades em se fazerem ouvir? Em que situações?
4. A qualidade/clareza da voz modifica-se? De que forma?
5. De que forma as alterações na voz afetam a vida social do doente?
6. De que forma as alterações na voz afetam a vida familiar do doente?
7. Vou dar-lhe um pedaço de papel. Neste documento, estão sintomas que foram mencionados por pessoas que experienciaram dificuldades na voz após tratamento oncológico. Gostaria que sublinhasse os sintomas que experimentou.

Rouquidão
Voz soprada/fala com ar
Quebras de voz
Tosse durante a fala
Fala sussurrada

8. Pode falar-me um pouco sobre estes itens?

Obrigada. Já fiz todas as minhas questões. Há alguma coisa que gostaria de acrescentar?

ANEXO IV - Autorização do uso dos questionários

08/06/2020 Google Apps da Universidade Fernando Pessoa Correio - Your request for an EORTC-questionnaire Request ID : 68287

UNIVERSIDADE FERNANDO PESSOA

Daniela Vieira <dvieira@ufp.edu.pt>

Your request for an EORTC-questionnaire Request ID : 68287

no-reply@eortc.be <no-reply@eortc.be>
Para: dvieira@ufp.edu.pt

2 de junho de 2020 às 08:40

Dear Daniela Vieira,

Thank you for registering on the EORTC Quality of Life Group website.

Your registration to obtain permission to use our tools has been approved. During the registration process you agreed to our terms and conditions regarding the academic use of our questionnaires. You can review the terms and conditions here.

Please find below the links to the requested tools:

QLQ-C30 Core Questionnaire - Portuguese (Portugal)
Head and Neck Module (H&N35) - Portuguese (Portugal)
Head and Neck Cancer - Portuguese (Portugal)

Scoring Manuals:

C30 Scoring Manual
HN35 Scoring Manual
H&N43 Scoring Manual

EORTC

http://www.eortc.org

http://qol.eortc.org

NOTE:
This email was automatically generated. Since this email is an automatic notification, we are unable to receive replies. Please do not respond to this email address.

http://www.eortc.be/signatures/signature_stats_525x166_2018.jpg

Disclaimer |

https://mail.google.com/mail/u/0?ik=fb726fa3fa&view=pt&search=all&permmsgid=msg-f%3A1668372100194278732&simpl=msg-f%3A1668372100194278732 1/1



08/06/2020 Google Apps da Universidade Fernando Pessoa Correio - Pedido autorização

UNIVERSIDADE FERNANDO PESSOA

Daniela Vieira <dvieira@ufp.edu.pt>

Pedido autorização

Isabel Cristina Ramos Peixoto Guimarães <isabel.guimaraes@essa.scml.pt> 1 de junho de 2020 às 12:59
Para: Daniela Vieira <dvieira@ufp.edu.pt>

Cara Dra. Daniel Veira,

Antes de mais desejo-lhe um bom trabalho e muito sucesso na persecução dos seus objetivos.

Relativamente à versão curta do VHI designada por VHI- 9i (o i significa internacional) com certeza que sim, pode usar porque o questionário é público e não tem qualquer limitação para uso científico e clínico.

A versão está publicada num artigo da Folia Phoniatrica (mas chamo à atenção porque há um erro numa das frase no inglês). Assim sendo, envio a versão correta em português europeu bem como a versão de 30 items.

Envio ainda todos os artigos que publiquei sobre esta temática.

Com os meus cumprimentos

Isabel Guimarães

De: Daniela Vieira <dvieira@ufp.edu.pt>
Enviada: 29 de maio de 2020 22:42
Para: Isabel Cristina Ramos Peixoto Guimarães <isabel.guimaraes@essa.scml.pt>
Assunto: Pedido autorização

Ex.ma Senhora Professora Isabel Guimarães,

Na qualidade de doutoranda em Perturbações da Linguagem pela Universidade Fernando Pessoa, venho por este meio solicitar a sua autorização para o uso da versão curta do VHI. No estudo que estou a desenvolver pretende-se estudar a relação entre a perceção do doente com cancro da orofaringe e análise acústica.

Caso autorize, seria possível enviar versão oficial?

Grata,

Daniela Vieira

--

Com os meus melhores cumprimentos,

Daniela Vieira
Unidade Técnica de Terapia da Fala - MFR

Avenida Fernando Pessoa, 150
4420-096 Gondomar, Portugal
222 455 426 :: https://he.ufp.pt

https://mail.google.com/mail/u/0?ik=fb726fa3fa&view=pt&search=all&permmsgid=msg-f%3A1668297815682567328&simpl=msg-f%3A1668297815682567328 1/2

Terapêutica da Fala (Speech Therapy)

[Citação ocultada]

5 anexos

- **QuestionárioVHI-9i-PortuguêsEuropeu.pdf** 87K
- **QuestionárioVHI-30- Português.pdf** 107K
- **2008-EuropeanVHI_FoliaPhoniatrica.pdf** 138K
- **2009-VHI-item reduction.pdf** 206K
- **2016-VHI in PARKINSON DISEASE.pdf** 104K

ANEXO V - Questionário sociodemográfico e clínico

NÃO PREENCHER
Data _____/_____/_____ Código ID:_____-- _____

DOUTORAMENTO EM DESENVOLVIMENTO E PERTURBAÇÕES DA LINGUAGEM - ANÁLISE QUANTITATIVA DA FONAÇÃO E DEGLUTIÇÃO E A PERCEÇÃO DO DOENTE COM CANCRO DA OROFARINGE

QUESTIONÁRIO SÓCIO-DEMOGRÁFICO E CLÍNICO

Por favor, responda às seguintes questões gerais.

1. Idade: _____anos. 2. Data de Nascimento: ___/___/___3. Sexo: 0-___F 1- ___ M

4. Estado Civil: 0- __Casado(a)/ união de facto. 1- __Solteiro(a) 2- __Divorciado(a)/separado(a) 3- __Viúvo(a)

5. Escolaridade: _____ (em anos completos)

1	2	3	4	5	6	7	8	9	10	11	12	13	14	15	16	16+
1- Ensino básico									2 - Ensino secundário			3 - Ensino superior				4 - Pós-graduação

6. Profissão: _____ 7. Concelho de residência: _____

Por favor, responda às seguintes questões sobre a sua saúde.
Estadiamento: T__N__M__ Estadio Clínico: I II III IV

Tratamento: RT QT QRT
Dose total de RT (Gy):_____ Semanas RT:_____ Data final RT:_____
Tipo RT: Convencional IMRT Outra: _____

QT: Sequencial 0-___ Não 1-___Sim
Concomitante 0-___ Não 1-___Sim
Data final QT: _____

Esvaziamento ganglionar cervical 0-___ Não 1-___Sim

Traqueostomia: 0-___ Não 1-___Sim

Tem ou teve algum dos seguintes problemas de saúde?

AVC?	0-___ Não	1-___Sim	2-___Não sabe
D. Parkinson	0-___ Não	1-___Sim	2-___Não sabe
D. Alzheimer	0-___ Não	1-___Sim	2-___Não sabe
Distrofia muscular	0-___ Não	1-___Sim	2-___Não sabe
Demência	0-___ Não	1-___Sim	2-___Não sabe
Outras alterações neurológicas.	0-___ Não	1-___Sim	2-___Não sabe
Se sim, quais?			
Cirurgia de cabeça e pescoço	0-___ Não	1-___Sim	2-___Não sabe
Outros problemas de saúde.	0-___ Não	1-___Sim	2-___Não sabe
Se sim, quais?			

Toma atualmente alguma medicação? 0-___ Não1-___Sim 2-___Não sabe
Se sim, qual?

Fez/faz tratamentos para disfonia/disfagia? 0-___ Não1-___Sim2-___Não sabe
Se sim, qual?
Tem alguma alteração na sua voz? 0-___ Não 1-___Sim 2-___Não sabe
Se sim, quais?
Tem algumas dificuldades com a forma como engole?0-___ Não1-___Sim 2-___Não sabe
Se sim, quais?

	EORCT C30+H&N43	SWAL-QOL-PT	VHI-9i
Alguém o ajudou a completar este questionário(s)	0-___ Não 1-___Sim	0-___ Não 1-___Sim	0-___ Não 1-___Sim
Se alguém o ajudou, como é que o fez?	1- ___ Leu-lhe as questões e/ou escreveu as respostas que deu. 2- ___ Respondeu às questões por si. 3- ___ Ajudou de outra forma qualquer.	1- ___ Leu-lhe as questões e/ou escreveu as respostas que deu. 2- ___ Respondeu às questões por si. 3- ___ Ajudou de outra forma qualquer.	1- ___ Leu-lhe as questões e/ou escreveu as respostas que deu. 2- ___ Respondeu às questões por si. 3- ___ Ajudou de outra forma qualquer.
Tempo para completar questionário (minutos)			

Causas da disfagia/disfonia:

1 - Doença crónica 2 - Doença neurológica degenerativa 3 - Demência

4 - Alteração vascular 5 - Outras alterações neurológicas 6 - Cancro de cabeça e pescoço

7 - Doença respiratória obstrutiva 8 - Trauma 9 - Outra razão

ALIMENTAÇÃO:

Via administração: 1 - Via oral 2 - SNG 3 - PEG

Consistência sólidos: 1 - Dieta regular 2 - Dieta mole 3 - Dieta tipo puré

Consistência líquida: 1 - Finos 2 - Espessos 3 - Sem ingestão líquidos via oral

Gravidade da disfagia (FOIS):

( ) **Nível 1:** Nada por via oral
( ) **Nível 2:** Dependente de via alternativa com mínima via oral de alimento ou líquido
( ) **Nível 3:** Dependente de via alternativa com consistente via oral de alimento ou líquido
( ) **Nível 4:** Via oral total de uma única consistência
( ) **Nível 5:** Via oral total com múltiplas consistências, mas com necessidade de preparo especial ou compensações
( ) **Nível 6:** Via oral total com múltiplas consistências, mas sem necessidade de preparo especial ou compensações, porém com restrições para alguns alimentos
( ) **Nível 7:** Via oral total sem restrições.

**Functional oral intake scale* (FOIS) 13 traduzido por Silva et al, 2006 23.

ANEXO VI - EORTC QLQ-C30 (version 3)

PORTUGUESE (PORTUGAL)

EORTC QLQ-C30 (version 3)

Gostaríamos de conhecer alguns pormenores sobre si e a sua saúde. Por favor, responda você mesmo/a a todas as perguntas fazendo um círculo à volta do número que melhor se aplica ao seu caso. Não há respostas certas nem erradas. A informação fornecida é estritamente confidencial.

Escreva as iniciais do seu nome:
A data de nascimento (dia, mês, ano):
A data de hoje (dia, mês, ano): 31

		Não	Um pouco	Bastante	Muito
1.	Custa-lhe fazer esforços mais violentos, por exemplo, carregar um saco de compras pesado ou uma mala?	1	2	3	4
2.	Custa-lhe percorrer uma grande distância a pé?	1	2	3	4
3.	Custa-lhe dar um pequeno passeio a pé, fora de casa?	1	2	3	4
4.	Precisa de ficar na cama ou numa cadeira durante o dia?	1	2	3	4
5.	Precisa que o/a ajudem a comer, a vestir-se, a lavar-se ou a ir à casa de banho?	1	2	3	4

Durante a última semana :		Não	Um pouco	Bastante	Muito
6.	Sentiu-se limitado/a no seu emprego ou no desempenho das suas actividades diárias?	1	2	3	4
7.	Sentiu-se limitado/a na ocupação habitual dos seus tempos livres ou noutras actividades de lazer?	1	2	3	4
8.	Teve falta de ar?	1	2	3	4
9.	Teve dores?	1	2	3	4
10.	Precisou de descansar?	1	2	3	4
11.	Teve dificuldade em dormir?	1	2	3	4
12.	Sentiu-se fraco/a?	1	2	3	4
13.	Teve falta de apetite?	1	2	3	4
14.	Teve enjoos?	1	2	3	4
15.	Vomitou?	1	2	3	4

Por favor, passe à página seguinte

PORTUGUESE (PORTUGAL)

Durante a última semana :	**Não**	**Um pouco**	**Bastante**	**Muito**
16. Teve prisão de ventre?	1	2	3	4
17. Teve diarreia?	1	2	3	4
18. Sentiu-se cansado/a?	1	2	3	4
19. As dores perturbaram as suas actividades diárias?	1	2	3	4
20. Teve dificuldade em concentrar-se, por exemplo, para ler o jornal ou ver televisão?	1	2	3	4
21. Sentiu-se tenso/a?	1	2	3	4
22. Teve preocupações?	1	2	3	4
23. Sentiu-se irritável?	1	2	3	4
24. Sentiu-se deprimido/a?	1	2	3	4
25. Teve dificuldade em lembrar-se das coisas?	1	2	3	4
26. O seu estado físico ou tratamento médico interferiram na sua vida familiar?	1	2	3	4
27. O seu estado físico ou tratamento médico interferiram na sua actividade social?	1	2	3	4
28. O seu estado físico ou tratamento médico causaram-lhe problemas de ordem financeira?	1	2	3	4

Nas perguntas que se seguem faça um círculo à volta do número, entre 1 e 7, que melhor se aplica ao seu caso

29. Como classificaria a sua saúde em geral durante a última semana?

1	2	3	4	5	6	7
Péssima						Óptima

30. Como classificaria a sua qualidade de vida global durante a última semana?

1	2	3	4	5	6	7
Péssima						Óptima

© Copyright 1995 EORTC Quality of Life Group. Todos os direitos reservados. Version 3.0.

ANEXO VII - QLQ-H&N43

PORTUGUESE (PORTUGAL)



EORTC QLQ - H&N43

Por vezes os doentes dizem que têm os seguintes sintomas ou problemas. Por favor, indique em que medida sentiu estes sintomas ou problemas durante a última semana. Por favor, responda fazendo um círculo no número que melhor se aplica a si.

Durante a última semana:	**Nada**	**Um pouco**	**Bas-tante**	**Muito**
31. Teve dores na boca?	1	2	3	4
32. Teve dores na mandíbula?	1	2	3	4
33. Sentiu a boca dorida?	1	2	3	4
34. Teve dores de garganta?	1	2	3	4
35. Teve problemas em engolir líquidos?	1	2	3	4
36. Teve problemas em engolir alimentos moles?	1	2	3	4
37. Teve problemas em engolir alimentos sólidos?	1	2	3	4
38. Engasgou-se ao engolir?	1	2	3	4
39. Teve problemas com os dentes?	1	2	3	4
40. Teve problemas por causa da perda de alguns dentes?	1	2	3	4
41. Teve problemas em abrir bem a boca?	1	2	3	4
42. Teve boca seca?	1	2	3	4
43. Teve saliva pegajosa?	1	2	3	4
44. Teve problemas com o olfacto (cheiro)?	1	2	3	4
45. Teve problemas com o paladar (gosto)?	1	2	3	4
46. Teve problemas em tossir?	1	2	3	4
47. Teve problemas de rouquidão?	1	2	3	4
48. Teve problemas com o seu aspecto físico?	1	2	3	4
49. Sentiu-se menos atraente fisicamente por causa da sua doença ou tratamento?	1	2	3	4

Por favor, passe à página seguinte

PORTUGUESE (PORTUGAL)

Durante a última semana:	**Nada**	**Um pouco**	**Bas-tante**	**Muito**
50. Sentiu-se insatisfeito com o seu corpo?	1	2	3	4
51. Teve problemas em comer?	1	2	3	4
52. Teve problemas em comer à frente da sua família?	1	2	3	4
53. Teve problemas em comer à frente de outras pessoas?	1	2	3	4
54. Teve problemas em apreciar as suas refeições?	1	2	3	4
55. Teve problemas em falar com outras pessoas?	1	2	3	4
56. Teve problemas em falar ao telefone?	1	2	3	4
57. Teve problemas em falar em sítios barulhentos?	1	2	3	4
58. Teve problemas em falar claramente?	1	2	3	4
59. Teve problemas em ir a lugares públicos?	1	2	3	4
60. Sentiu menos interesse pelo sexo?	1	2	3	4
61. Teve menos prazer sexual?	1	2	3	4
62. Teve problemas em levantar o braço ou movê-lo para os lados?	1	2	3	4
63. Teve dores no ombro?	1	2	3	4
64. Teve um inchaço no seu pescoço?	1	2	3	4
65. Teve problemas de pele (ex. comichão, pele seca)?	1	2	3	4
66. Teve uma erupção cutânea?	1	2	3	4
67. A cor da sua pele mudou?	1	2	3	4
68. Tem-se sentido preocupado por o seu peso ser demasiado baixo?	1	2	3	4
69. Tem-se sentido preocupado com os resultados de exames ou testes?	1	2	3	4
70. Tem-se sentido preocupado com a sua saúde futura?	1	2	3	4
71. Teve problemas com a cicatrização de feridas?	1	2	3	4
72. Teve formigueiro ou dormência nas mãos ou pés?	1	2	3	4
73. Teve problemas em mastigar?	1	2	3	4

© Copyright 2014 EORTC Quality of Life Group. All rights reserved. Phase IV module.

ANEXO VIII - SWAL-QOL

DOUTORAMENTO EM DESENVOLVIMENTO E PERTURBAÇÕES DA LINGUAGEM - ANÁLISE QUANTITATIVA DA FONAÇÃO E DEGLUTIÇÃO E A PERCEÇÃO DO DOENTE COM CANCRO DA OROFARINGE

NÃO PREENCHER
Data _____/_____/_____
Código ID:_____--_____

SWAL-QOL-PT

Avaliação da Qualidade de Vida nas Perturbações de Deglutição

Versão portuguesa do SWAL-QOL Survey de Colleen A. McHorney, PhD, JoAnne Robbins, PhD, Kevin Lomax, MHA, John C. Rosenbek, PhD, Kimberly Chignell, MS, Amy E. Kramer, MS, & D. Earl Bricker, MS (2002)

Adaptado por Eva Bolle Antunes, SLP e Daniela Vieira, SLP (2009)

Instruções de Preenchimento

O presente questionário foi construído para avaliar de que modo o seu problema em engolir tem afectado a sua qualidade de vida no dia-a-dia.

Por favor, leia com atenção cada pergunta e assinale, com um círculo, a resposta que melhor se adequa ao seu caso. Responda a todas as perguntas mesmo que algumas afirmações lhe pareçam iguais pois todas elas são diferentes.

Aqui está um exemplo das perguntas que irá encontrar neste questionário:

1. No último mês, com que frequência sentiu o seguinte sintoma físico?

	Sempre	Muitas vezes	Algumas vezes	Poucas vezes	Nunca
Sentir-me fraco	1	2	(3)	4	5

No caso de se enganar, deve proceder do seguinte modo:

1. No último mês, com que frequência sentiu o seguinte sintoma físico?

	Sempre	Muitas vezes	Algumas vezes	Poucas vezes	Nunca
Sentir-me fraco	1	(2)	~~3~~	4	5

Nota Importante:
Sabemos que pode ter vários problemas físicos. Por vezes, torna-se difícil separá-los das dificuldades em engolir, mas esperamos que se consiga concentrar **apenas** no seu **problema em engolir**. Obrigado pelo seu esforço em completar este questionário.

Adaptado por Eva Bolle Antunes e Daniela Vieira (2009)

SWAL-QOL-PT

1. Apresentam-se, de seguida, afirmações que pessoas com ***problemas em engolir*** podem produzir. Refira o **grau de verdade** que cada uma delas teve para si no último mês.

(assinale, com um círculo, um número em cada linha)

	Totalmente verdade	Muito verdade	Alguma verdade	Muito pouco verdade	Falso
É muito difícil lidar com o meu problema em engolir.	1	2	3	4	5
O meu problema em engolir é um grande estorvo na minha vida.	1	2	3	4	5

2. Apresentam-se, de seguida, afirmações sobre a alimentação diária ditas por pessoas com ***problemas em engolir***. Refira o **grau de verdade** que cada uma delas teve para si no último mês.

(assinale, com um círculo, um número em cada linha)

	Totalmente verdade	Muito verdade	Alguma verdade	Muito pouco verdade	Falso
Na maioria dos dias não me importo se como ou se não como.	1	2	3	4	5
Demoro mais tempo a comer do que as outras pessoas.	1	2	3	4	5
Raramente tenho fome.	1	2	3	4	5
Demoro imenso tempo a comer uma refeição.	1	2	3	4	5
Já não sinto prazer em comer.	1	2	3	4	5

3. Apresentam-se, de seguida, alguns problemas físicos sentidos por pessoas com ***problemas em engolir***. No último mês, **com que frequência** experimentou cada um desses problemas em consequência das suas dificuldades em engolir.

(assinale, com um círculo, um número em cada linha)

	Quase sempre	Frequente-mente	Algumas vezes	Quase nunca	Nunca
Tossir.	1	2	3	4	5
Engasgar-me ao comer alimentos.	1	2	3	4	5
Engasgar-me ao beber líquidos.	1	2	3	4	5
Ter saliva ou expectoração espessas.	1	2	3	4	5
Vontade de vomitar.	1	2	3	4	5
Babar-me.	1	2	3	4	5
Problemas em mastigar.	1	2	3	4	5
Ter muita saliva ou expectoração.	1	2	3	4	5
Ter de limpar a garganta (pigarrear).	1	2	3	4	5
Ficar com comida presa na garganta.	1	2	3	4	5
Ficar com comida presa na boca.	1	2	3	4	5
Babar comida ou líquidos pela boca.	1	2	3	4	5
Babar comida ou líquidos pelo nariz.	1	2	3	4	5
Tossir comida ou líquidos pela boca quando ficam presos.	1	2	3	4	5

4. De seguida, responda o **quanto concorda** com cada uma das afirmações sobre o modo como o seu ***problema em engolir*** afectou a sua dieta e alimentação no último mês.

(assinale, com um círculo, um número em cada linha)

	Concordo totalmente	Concordo	Não tenho a certeza	Discordo	Discordo totalmente
Saber o que posso e o que não posso comer é um problema para mim.	1	2	3	4	5
É difícil encontrar comida que eu goste e que ao mesmo tempo possa comer.	1	2	3	4	5

2 (de 4)

SWAL-QOL-PT

5. No último mês, **com que frequência** as afirmações que se seguem sobre comunicação se aplicaram a si devido ao seu ***problema em engolir***.

(assinale, com um círculo, um número em cada linha)

	Sempre	Muitas vezes	Algumas vezes	Poucas vezes	Nunca
As pessoas têm bastante dificuldade em compreender o que digo.	1	2	3	4	5
Tem sido difícil para mim falar com clareza.	1	2	3	4	5

6. Apresentam-se, de seguida, algumas preocupações mencionadas por pessoas com ***problemas em engolir***. No último mês, **com que frequência** experimentou cada um desses sentimentos.

(assinale, com um círculo, um número em cada linha)

	Quase sempre	Frequente-mente	Algumas vezes	Quase nunca	Nunca
Tenho medo de me engasgar quando como alimentos.	1	2	3	4	5
Tenho medo de apanhar uma pneumonia.	1	2	3	4	5
Tenho medo de me engasgar quando bebo líquidos.	1	2	3	4	5
Nunca sei quando me vou engasgar.	1	2	3	4	5

7. No último mês, **com que frequência** as afirmações que se seguem **foram verdadeiras** para si devido ao seu ***problema em engolir***.

(assinale, com um círculo, um número em cada linha)

	Sempre verdade	Frequente-mente verdade	Algumas vezes verdade	Raramente verdade	Nunca verdade
O meu problema em engolir deprime-me.	1	2	3	4	5
Ter de ter muitos cuidados a comer ou a beber aborrece-me.	1	2	3	4	5
Sinto-me desencorajado devido ao meu problema em engolir.	1	2	3	4	5
O meu problema em engolir frustra-me.	1	2	3	4	5
Fico impaciente ao lidar com o meu problema em engolir.	1	2	3	4	5

8. Pense na sua vida social no último mês. Refira o **quanto concorda** com cada uma das afirmações que se seguem.

(assinale, com um círculo, um número em cada linha)

	Concordo totalmente	Concordo	Não tenho a certeza	Discordo	Discordo totalmente
Não vou comer fora por causa do meu problema em engolir.	1	2	3	4	5
O meu problema em engolir dificulta a minha vida social.	1	2	3	4	5
O meu trabalho ou as minhas actividades de lazer alteraram-se por causa do meu problema em engolir.	1	2	3	4	5
As situações sociais (como férias ou festas) não são agradáveis por causa do meu problema em engolir.	1	2	3	4	5
O meu papel com familiares e amigos modificou-se devido ao meu problema em engolir.	1	2	3	4	5

3 (de 4)

SWAL-QOL-PT

9. No último mês, **com que frequência** sentiu cada um dos seguintes sintomas físicos.

(assinale, com um círculo, um número em cada linha)

	Sempre	Muitas vezes	Algumas vezes	Poucas vezes	Nunca
Sentir-me fraco.	1	2	3	4	5
Ter dificuldade em adormecer.	1	2	3	4	5
Sentir-me cansado.	1	2	3	4	5
Ter dificuldade em ficar a dormir.	1	2	3	4	5
Sentir-me exausto.	1	2	3	4	5

10. Actualmente, come ou bebe através de uma sonda de alimentação?

(assinale, com um círculo, apenas um número)

Não 1

Sim 2

11. Assinale, com um círculo, a letra que melhor descreve a consistência ou textura dos alimentos que comeu mais vezes na última semana.

(assinale, com um círculo, apenas uma letra)

A	Dieta completamente normal, com uma grande variedade de alimentos, incluindo alimentos difíceis de mastigar como bifes, cenouras, pão, salada e pipocas.
B	Alimentos moles e fáceis de mastigar como estufados, fruta de conserva, legumes cozidos, carne picada ou sopas passadas.
C	Alimentos que tenham sido triturados por uma varinha mágica ou picadora, como comida em puré.
D	A maior parte da alimentação é feita através de sonda, comendo por vezes gelados, pudins, compotas, ou outros alimentos saborosos.
E	Toda a alimentação é feita através de sonda.

12. Assinale, com um círculo, a letra que melhor descreve a consistência dos líquidos que bebeu mais vezes na última semana.

(assinale, com um círculo, apenas uma letra)

A	Bebe líquidos como água, leite, chá, sumo de fruta e café.
B	A maior parte dos líquidos são espessos, como néctar de pêssego. Esses líquidos espessos escorrem lentamente da colher quando virada para baixo.
C	Os líquidos são moderadamente espessos. São líquidos difíceis de beber por uma palha, como é o caso dos batidos espessos, ou que escorrem muito lentamente, gota-a-gota, da colher quando virada para baixo, como o mel.
D	Os líquidos são muito espessos, ficando agarrados à colher quando virada para baixo, como pudim.
E	Não bebe líquidos pela boca ou apenas está limitado a pedaços de gelo.

13. No geral, considera que a sua saúde é:

(assinale, com um círculo, apenas um número)

Má 1

Razoável 2

Boa 3

Muito boa 4

Excelente 5

OBRIGADO PELA SUA PARTICIPAÇÃO NESTE QUESTIONÁRIO!

4 (de 4)

ANEXO IX - VHI-9i

DOUTORAMENTO EM DESENVOLVIMENTO E PERTURBAÇÕES DA LINGUAGEM - ANÁLISE QUANTITATIVA DA FONAÇÃO E DEGLUTIÇÃO E A PERCEÇÃO DO DOENTE COM CANCRO DA OROFARINGE

NÃO PREENCHER
Data _____/_____/_____
Código ID:_____–_____

VHI -9i[1]

Versão reduzida do Voice Handicap Índex (VHI-30)

Instruções

Estas são declarações que muitas pessoas usaram para descrever os efeitos das suas vozes, nas suas vidas. Assinale a resposta que indica com que frequência teve a mesma experiência (Nunca= 0 pontos; Quase nunca= 1 ponto; Às vezes= 2 pontos; Quase sempre= 3 pontos; Sempre= 4 pontos).

	Nunca	Quase nunca	Às vezes	Quase sempre	Sempre
F1 A minha voz faz com que seja difícil os outros ouvirem-me.					
Fi4 O som da minha voz varia ao longo do dia.					
Fí17 A clareza da minha voz é imprevisível.					
Fí21 A minha voz está pior à noite.					
E29 A minha voz faz-me sentir incompetente.					
F3 As pessoas têm dificuldade em me compreender num local ruidoso.					
F5 A minha família tem dificuldade em me ouvir quando os chamo dentro de casa por causa da minha voz.					
F16 As minhas dificuldades com a voz limitam a minha vida pessoal e social.					
E24 Sou menos sociável por causa do meu problema de voz.					

Faça um círculo à volta da(s) palavra(s) correspondente(s) a como sente a sua voz hoje

Normal Alteração ligeira Alteração moderada Alteração severa

Cotação _____/45

Enviei pedido autorização autor 29.05.2020

[1] Adaptado de Nawka., T.; Verdonck-de Leeuw,I.M.; De Bodt,M.; Guimaraes, I.; Holmberg, E.B., Rosen, C.A.; Schindler, A.; Woisard, V.; Whurr,R. & Konerding, U.(2009) Item reduction of the Voice Handicap Index (VHI) based on the original version and on European translations. Folia Phoniatr Logop,61:37–48

ANEXO X - Tabelas complementares do capítulo IV

Tabela 80 - Medidas descritivas, correlação e diferenças estatística das variáveis sociodemográficas e clínicas com escalas funcionamento físico, desempenho e dispneia do EORTC QLQ-C30.

		EORTC QLQ-C30 Funcionamento físico						EORTC QLQ-C30 Desempenho						EORTC QLQ-C30 Dispneia					
Variável clínico-demográfica	Valor	Média	SD	Mediana	(Q1-Q3)	p	Correlação	Média	SD	Mediana	(Q1-Q3)	p	Correlação	Média	SD	Mediana	(Q1-Q3)	p	Correlação
Género	Feminino	93.3	9.4	96.6	(83.3-100)	0.167	0.216	91.7	16.6	100.0	(75.0-100)	1	-0.011	0.0	0.0	0.0	(0.0-0.0)	0.598	-0.14
	Masculino	80.2	19.4	86.7	(66.7-93.3)			92.1	13.7	100.0	(83.3-100)			6.8	15.9	0.0	(0.0-0.0)		
Idade	-	-	-	-	-	-	-0.228	-	-	-	-	-	-0.047	-	-	-	-	-	0.24
Estado civil	Casado	79.7	16.8	83.4	(68.3-93.3)	0.413	0.051	90.0	16.6	100.0	(70.8-100)	0.334	0.223	8.3	18.3	0.0	(0.0-0.0)	0.5	-0.1
	Solteiro	88.9	12.4	90.0	(81.7-100)			88.9	13.6	91.6	(79.2-100)			0.0	0.0	0.0	(0.0-0.0)		
	Divorciado	81.1	24.7	93.3	(70.0-93.3)			97.2	6.5	100.0	(100-100)			5.6	13.0	0.0	(0.0-0.0)		
	Viúvo	-	-	-	-			-	-	-	-			-	-	-	-		
Nível escolaridade	Sem escolaridade	-	-	-	-	0.961	-0.037	-	-	-	-	0.573	-0.214	-	-	-	-	0.355	0.246
	1º ciclo	82.7	19.8	86.7	(80.0-93.3)			94.4	12.0	100	(100-100)			2.2	8.6	0.0	(0.0-0.0)		
	2º ciclo	80.0	21.8	90.0	(63.4-100)			93.3	11.6	100	(83.3-100)			3.3	10.5	0.0	(0.0-0.0)		
	3º ciclo	77.3	21.4	86.7	(60.0-90.0)			90.0	22.4	100	(75.0-100)			20.0	29.8	0.0	(0.0-50.0)		
	Secundário	82.2	16.8	80.0	(66.7-90.0)			94.4	9.6	100	(83.3-100)			11.1	19.2	0.0	(0.0-16.6)		
	Superior	85.3	15.2	86.7	(70.0-100)			83.3	16.6	83.3	(66.7-100)			6.7	14.9	0.0	(0.0-16.6)		
Problemas de saúde	Não	82.4	17.7	86.7	(73.3-100)	0.768	-0.088	91.4	14.8	100	(83.3-100)	0.825	0.109	5.4	15.1	0.0	(0.0-0.0)	0.555	0.107
	Sim	78.1	25.1	86.7	(66.7-93.3)			95.2	8.1	100	(83.3-100)			9.5	16.2	0.0	(0.0-33.3)		
Estadiamento tumor	II	62.2	27.7	53.3	(40.0-73.3)	0.574	0.045	83.3	28.9	100	(50.0-100)	0.161	-0.253	22.2	38.5	0.0	(0.0-33.3)	0.348	-0.018
	IVa	83.7	19.0	86.7	(76.6-100)			96.0	8.7	100	(100-100)			4.0	11.0	0.0	(0.0-0.0)		
	IVb	75.5	20.4	80.0	(53.3-86.6)			88.9	19.2	100	(66.7-100)			11.1	19.2	0.0	(0.0-16.6)		
	III	85.3	7.3	86.7	(80.0-90.0)			86.7	18.2	100	(66.7-100)			0.0	0.0	0.0	(0.0-0.0)		
	I	83.4	23.5	83.4	(66.7-100)			75.0	11.7	75.0	(66.7-83.3)			16.6	23.5	16.6	(0.0-33.3)		
Traqueostomia	Não	83.5	16.8	86.7	(75.0-98.3)	0.034	-0.440**	92.6	14.0	100	(87.5-100)	0.205	-0.152	6.5	15.6	0.0	(0.0-0.0)	0.728	-0.096
	Sim	46.7	28.3	46.7	(26.7-66.7)			83.3	0.0	83.3	(83.3-83.3)			0.0	0.0	0.0	(0.0-0.0)		
Há quanto tempo terminou RdT	-	-	-	-	-	-	-0.026	-	-	-	-	-	-0.102	-	-	-	-	-	0.134
QT por CH&N	Não	53.4	18.9	53.4	(40.0-66.7)	0.036	-0.428**	66.6	23.5	66.6	(50.0-83.3)	0.048	-0.475**	50.0	23.6	50.0	(33.3-66.7)	0.011	-0.689**
	Sim	83.1	17.9	86.7	(75.0-98.3)			93.5	12.1	100.0	(87.5-100)			3.7	10.6	0.0	(0.0-0.0)		

		EORTC QLQ-C30 Funcionamento físico						EORTC QLQ-C30 Desempenho						EORTC QLQ-C30 Dispneia					
Variável clínico-demográfica	Valor	Média	SD	Mediana	(Q1-Q3)	p	Correlação	Média	SD	Mediana	(Q1-Q3)	p	Correlação	Média	SD	Mediana	(Q1-Q3)	p	Correlação
Medicação diária	Não	83.1	18.5	86.7	(66.7-100)	0.637	-0.066	90.0	13.8	100.0	(83.3-100)	0.408	0.125	4.4	11.7	0.0	(0.0-0.0)	0.813	0.091
	Sim	80.6	19.6	86.7	(73.3-93.3)			93.5	14.0	100.0	(100-100)			7.2	17.3	0.0	(0.0-0.0)		
Disfagia	Não	88.3	12.7	90.0	(76.6-100)	0.314	-0.187	97.9	5.9	100.0	(100-100)	0.332	-0.22	4.2	11.8	0.0	(0.0-0.0)	0.847	0.068
	Sim	79.8	20.1	86.7	(66.7-93.3)			90.6	15.0	100.0	(83.3-100)			6.7	16.1	0.0	(0.0-0.0)		
Disfonia	Não	79.2	21.6	86.7	(66.7-100)	0.605	0.176	91.3	14.5	100.0	(83.3-100)	0.693	0.079	5.3	15.8	0.0	(0.0-0.0)	0.627	0.074
	Sim	86.1	11.7	93.3	(76.6-93.3)			93.6	12.8	100.0	(91.6-100)			7.7	14.6	0.0	(0.0-0.0)		
Terapia Deglutição Voz	Não	84.0	17.4	86.7	(80.0-100)	0.010	-0.442**	93.3	12.2	100.0	(83.3-100)	0.225	-0.339*	4.8	11.8	0.0	(0.0-0.0)	0.536	0.344*
	Sim	53.3	13.3	53.3	(46.6-60.0)			77.8	25.4	83.3	(66.6-91.6)			22.2	38.5	0.0	(0.0-33.4)		
Items FOIS - severidade disfagia	7	88.0	13.9	93.3	(80.0-100)	0.135	-0.391*	92.5	12.6	100.0	(83.3-100)	0.125	-0.11	3.3	10.2	0.0	(0.0-0.0)	0.404	0.155
	6	77.0	19.2	80.0	(63.3-90.0)			96.3	11.1	100.0	(100-100)			7.4	14.7	0.0	(0.0-16.6)		
	5	-	-	-	-			-	-	-	-			-	-	-	-		
	4	74.7	22.3	80.0	(53.4-93.3)			90.0	22.4	100.0	(75.0-100)			20.0	29.8	0.0	(0.0-50.0)		
	1	60.0	30.6	66.7	(46.7-76.7)			77.8	9.6	83.3	(75.0-83.3)			0.0	0.0	0.0	(0.0-0.0)		
Via de administração da alimentação	Via oral	83.4	17.1	86.7	(73.3-100)	0.109	-0.440**	93.3	13.5	100.0	(100-100)	0.048	-0.625**	6.7	15.8	0.0	(0.0-0.0)	0.644	-0.12
	PEG	60.0	30.6	66.7	(46.7-76.7)			77.8	9.6	83.3	(75.0-83.3)			0.0	0.0	0.0	(0.0-0.0)		
Consistência dos sólidos	Dieta regular	85.0	16.4	86.7	(80.0-100)	0.235	-0.434**	94.6	11.2	100.0	(100-100)	0.024	-0.326*	3.6	10.5	0.0	(0.0-0.0)	0.155	0.185
	Dieta mole	83.3	14.1	83.3	(73.3-93.3)			83.4	23.5	83.4	(66.7-100)			16.6	23.5	16.6	(0.0-33.3)		
	Dieta puré	74.7	22.3	80.0	(53.4-93.3)			90.0	22.4	100.0	(75.0-100)			20.0	29.8	0.0	(0.0-50.0)		
	SNG/PEG	60.0	30.6	66.7	(46.7-76.7)			77.8	9.6	83.3	(75.0-83.3)			0.0	0.0	0.0	(0.0-0.0)		
Consistência dos líquidos	Finos	83.4	17.1	86.7	(73.3-100)	0.109	-0.440**	93.3	13.5	100.0	(100-100)	0.048	-0.625**	6.7	15.8	0.0	(0.0-0.0)	0.644	-0.12
	NPO líquidos	60.0	30.6	66.7	(46.7-76.7)			77.8	9.6	83.3	(75.0-83.3)			0.0	0.0	0.0	(0.0-0.0)		

Tabela 81 - Medidas descritivas, correlação e diferenças estatística das variáveis sociodemográficas e clínicas com escalas dor, fadiga e insónia do EORTC QLQ-C30.

		EORTC QLQ-C30 Dor						EORTC QLQ-C30 Fadiga						EORTC QLQ-C30 Insónia					
Variável clínico-demográfica	Valor	Média	SD	Mediana	(Q1-Q3)	p	Correlação	Média	SD	Mediana	(Q1-Q3)	p	Correlação	Média	SD	Mediana	(Q1-Q3)	p	Correlação
Género	Feminino	0.0	0.0	0.0	(0.0-0.0)	0.167	-0.226	13.9	10.6	16.6	(2.8-22.2)	0.663	-0.105	33.3	27.2	33.3	(0.0-0.0)	0.42	0.12
	Masculino	10.8	15.3	0.0	(0.0-16.7)			20.9	21.7	22.2	(0.0-33.3)			22.5	28.1	0.0	(0.0-33.3)		
Idade	-	-	-	-	-	-	-0.012	-	-	-	-	-	0.06	-	-	-	-	-	0.14
Estado civil	Casado	10.0	13.7	0.0	(0.0-16.7)	0.855	0.022	21.6	21.5	22.2	(0.0-33.3)	0.407	-0.103	20.0	22.7	16.6	(0.0-33.3)	0.465	0.203
	Solteiro	5.6	8.6	0.0	(0.0-16.7)			22.2	9.9	22.2	(11.1-33.3)			16.7	27.9	0.0	(0.0-41.6)		
	Divorciado	11.1	19.3	0.0	(0.0-16.7)			16.6	24.4	5.6	(0.0-30.5)			33.3	34.8	33.3	(0.0-66.7)		
	Viúvo	-	-	-	-			-	-	-	-			-	-	-	-		
Nível escolaridade	Sem escolaridade	-	-	-	-	0.719	-0.044	-	-	-	-	0.383	0.222	-	-	-	-	0.699	0.187
	1º ciclo	8.9	12.4	0.0	(0.0-16.7)			11.8	12.9	11.1	(0.0-22.2)			15.5	21.3	0.0	(0.0-33.3)		
	2º ciclo	10.0	11.6	8.4	(0.0-16.7)			26.6	21.7	27.8	(11.1-33.3)			30.0	36.7	16.6	(0.0-66.7)		
	3º ciclo	10.0	14.9	0.0	(0.0-25.0)			28.9	29.0	22.2	(11.1-50.0)			33.3	33.4	33.3	(0.0-66.7)		
	Secundário	0.0	0.0	0.0	(0.0-0.0)			18.5	17.0	22.2	(0.0-27.5)			33.3	33.4	33.3	(0.0-50.0)		
	Superior	16.7	28.9	0.0	(0.0-41.7)			24.4	29.8	11.1	(0.0-55.6)			20.0	18.2	33.3	(0.0-33.3)		
Problemas de saúde	Não	9.1	15.4	0.0	(0.0-16.7)	0.46	0.073	20.1	22.5	11.1	(0.0-33.3)	0.555	0.01	20.4	26.8	0.0	(0.0-33.3)	0.156	0.249
	Sim	11.9	12.6	16.7	(0.0-16.7)			20.6	11.9	22.2	(11.1-33.3)			38.1	30.0	33.3	(0.0-66.7)		
Estadiamento tumor	II	22.2	9.6	16.7	(16.7-25.0)	0.236	-0.22	37.0	39.0	33.3	(16.7-55.6)	0.733	-0.15	11.1	19.2	0.0	(0.0-16.6)	0.339	0.011
	IVa	8.7	15.3	0.0	(0.0-16.7)			20.4	20.7	22.2	(0.0-33.3)			26.7	28.9	33.3	(0.0-33.3)		
	IVb	11.1	19.2	0.0	(0.0-16.7)			14.8	17.0	11.1	(5.6-22.2)			11.1	19.2	0.0	(0.0-16.6)		
	III	10.0	14.9	0.0	(0.0-25.0)			11.1	11.1	11.1	(0.0-22.2)			13.3	29.8	0.0	(0.0-33.3)		
	I	0.0	0.0	0.0	(0.0-0.0)			22.2	15.7	22.2	(11.1-33.3)			50.0	23.6	50.0	(33.3-66.7)		
Traqueostomia	Não	9.3	15.1	0.0	(0.0-16.7)	0.284	0.114	19.4	21.1	16.6	(0.0-30.5)	0.159	0.151	21.3	26.6	0.0	(0.0-33.3)	0.046	0.369*
	Sim	16.7	0.0	16.7	(16.7-16.7)			33.3	0.0	33.3	(33.3-33.3)			66.7	0.0	66.7	(66.7-66.7)		
Há quanto tempo terminou RdT	-	-	-	-	-	-	-0.157	-	-	-	-	-	-0.019	-	-	-	-	-	-0.067
QT por CH&N	Não	16.6	23.5	16.5	(0.0-33.3)	0.597	-0.113	55.6	31.5	55.6	(33.3-77.8)	0.046	-0.406**	50.0	23.6	50.0	(33.3-66.7)	0.205	-0.226
	Sim	9.3	14.6	0.0	(0.0-16.7)			18.2	18.8	16.6	(0.0-30.5)			22.2	27.6	0.0	(0.0-33.3)		
Medicação diária	Não	6.7	10.5	0.0	(0.0-16.7)	0.497	0.165	20.7	20.1	11.1	(11.1-33.3)	0.723	-0.022	28.9	33.0	33.3	(0.0-66.7)	0.535	-0.153
	Sim	11.6	17.0	0.0	(0.0-16.7)			19.8	21.7	22.2	(0.0-33.3)			20.3	24.1	0.0	(0.0-33.3)		

		EORTC QLQ-C30 Dor						EORTC QLQ-C30 Fadiga						EORTC QLQ-C30 Insónia					
Variável clínico-demográfica	Valor	Média	SD	Mediana	(Q1-Q3)	p	Correlação	Média	SD	Mediana	(Q1-Q3)	p	Correlação	Média	SD	Mediana	(Q1-Q3)	p	Correlação
Disfagia	Não	6.2	12.4	0.0	(0.0-12.5)	0.492	0.12	15.3	14.4	16.6	(0.0-30.5)	0.661	0.123	8.3	23.6	0.0	(0.0-0.0)	0.013	0.404*
	Sim	10.6	15.5	0.0	(0.0-16.7)			21.5	22.2	22.2	(0.0-33.3)			27.8	27.8	33.3	(0.0-33.3)		
Disfonia	Não	10.7	16.6	0.0	(0.0-16.7)	0.808	-0.096	22.2	21.3	22.2	(5.6-33.3)	0.329	-0.138	22.6	26.7	33.3	(0.0-33.3)	0.879	0.052
	Sim	7.7	11.0	0.0	(0.0-16.7)			16.2	20.1	11.1	(0.0-27.8)			25.6	30.9	0.0	(0.0-66.7)		
Terapia Deglutição Voz	Não	7.1	10.9	0.0	(0.0-16.7)	0.013	0.585**	17.4	18.5	11.1	(0.0-22.2)	0.007	0.452**	24.8	28.4	33.3	(0.0-33.3)	0.501	-0.134
	Sim	38.9	25.4	33.3	(25.0-50.0)			51.8	23.1	44.4	(38.8-61.1)			11.1	19.2	0.0	(0.0-16.6)		
Items FOIS - severidade disfagia	7	10.0	17.4	0.0	(0.0-16.7)	0.177	0.161	15.0	14.1	11.1	(0.0-22.2)	0.786	0.174	16.7	25.4	0.0	(0.0-33.3)	0.145	0.255
	6	3.7	7.4	0.0	(0.0-8.4)			28.4	27.3	22.2	(5.6-50.0)			33.3	28.9	33.3	(16.6-33.3)		
	5	-	-	-	-			-	-	-	-			-	-	-	-		
	4	20.0	13.9	16.7	(8.4-33.3)			24.4	32.8	11.1	(0.0-55.6)			13.3	18.2	0.0	(0.0-33.3)		
	1	11.1	9.6	16.7	(8.4-16.7)			22.2	19.2	33.3	(16.6-33.3)			44.5	38.5	66.7	(33.4-66.7)		
Via de administração da alimentação	Via oral	9.5	15.3	0.0	(0.0-16.7)	0.607	0.03	20.0	21.2	22.2	(0.0-33.3)	0.607	0.029	21.9	26.7	0.0	(0.0-33.3)	0.294	0.221
	PEG	11.1	9.6	16.7	(8.4-16.7)			22.2	19.2	33.3	(16.6-33.3)			44.5	38.5	66.7	(33.4-66.7)		
Consistência dos sólidos	Dieta regular	8.3	15.4	0.0	(0.0-16.7)	0.112	0.177	17.4	17.7	16.6	(0.0-22.2)	0.519	0.142	21.4	27.5	0.0	(0.0-33.3)	0.239	0.131
	Dieta mole	0.0	0.0	0.0	(0.0-0.0)			44.4	31.5	44.4	(22.2-66.7)			50.0	23.6	50.0	(33.3-66.7)		
	Dieta puré	20.0	13.9	16.7	(8.4-33.3)			24.4	32.8	11.1	(0.0-33.3)			13.3	18.2	0.0	(0.0-33.3)		
	SNG/PEG	11.1	9.6	16.7	(8.4-16.7)			22.2	19.2	33.3	(16.6-33.3)			44.5	38.5	66.7	(33.4-66.7)		
Consistência dos líquidos	Finos	9.5	15.3	0.0	(0.0-16.7)	0.607	0.03	20.0	21.2	22.2	(0.0-33.3)	0.607	0.029	21.9	26.7	0.0	(0.0-33.3)	0.294	0.274
	NPO líquidos	11.1	9.6	16.7	(8.4-16.7)			22.2	19.2	33.3	(16.6-33.3)			44.5	38.5	66.7	(33.4-66.7)		

Tabela 82 - Medidas descritivas, correlação e diferenças estatística das variáveis sociodemográficas e clínicas com escalas perda de apetite, náusea e vómitos e obstipação do EORTC QLQ-C30.

		EORTC QLQ-C30 Perda de apetite						EORTC QLQ-C30 Náusea e vómito						EORTC QLQ-C30 Obstipação					
Variável clínico-demográfica	Valor	Média	SD	Mediana	(Q1-Q3)	p	Correlação	Média	SD	Mediana	(Q1-Q3)	p	Correlação	Média	SD	Mediana	(Q1-Q3)	p	Correlação
Género	Feminino	8.3	16.6	0.0	(0.0-25.0)	0.836	0.029	0.0	0.0	0.0	(0.0-0.0)	0.873	-0.081	25.0	50.0	0.0	(0.0-75.0)	0.63	0.350*
	Masculino	6.8	15.9	0.0	(0.0-0.0)			1.0	4.0	0.0	(0.0-0.0)			3.9	10.9	0.0	(0.0-0.0)		
Idade	-	-	-	-	-	-	0.202	-	-	-	-	-	0.086	-	-	-	-	-	0.207
Estado civil	Casado	10.0	19.0	0.0	(0.0-25.0)	0.486	-0.209	1.7	5.1	0.0	(0.0-0.0)	0.397	-0.208	6.7	23.2	0.0	(0.0-0.0)	0.319	0.025
	Solteiro	5.6	13.6	0.0	(0.0-8.3)			0.0	0.0	0.0	(0.0-0.0)			0.0	0.0	0.0	(0.0-0.0)		
	Divorciado	2.8	9.6	0.0	(0.0-0.0)			0.0	0.0	0.0	(0.0-0.0)			8.3	15.1	0.0	(0.0-25.0)		
	Viúvo	-	-	-	-			-	-	-	-			-	-	-	-		
Nível escolaridade	Sem escolaridade	-	-	-	-	0.252	0.342*	-	-	-	-	0.433	0.107	-	-	-	-	0.573	-0.08
	1º ciclo	2.2	8.6	0.0	(0.0-0.0)			0.0	0.0	0.0	(0.0-0.0)			11.1	27.2	0.0	(0.0-0.0)		
	2º ciclo	3.3	10.5	0.0	(0.0-0.0)			1.7	5.3	0.0	(0.0-0.0)			0.0	0.0	0.0	(0.0-0.0)		
	3º ciclo	13.3	18.2	0.0	(0.0-33.3)			3.3	7.5	0.0	(0.0-8.4)			6.7	14.9	0.0	(0.0-16.6)		
	Secundário	22.2	38.5	0.0	(0.0-33.3)			0.0	0.0	0.0	(0.0-0.0)			0.0	0.0	0.0	(0.0-0.0)		
	Superior	13.2	18.2	0.0	(0.0-33.3)			0.0	0.0	0.0	(0.0-0.0)			6.7	14.9	0.0	(0.0-16.6)		
Problemas de saúde	Não	6.4	15.9	0.0	(0.0-0.0)	0.658	0.076	0.5	3.0	0.0	(0.0-0.0)	0.658	0.192	5.4	19.4	0.0	(0.0-0.0)	0.483	0.087
	Sim	9.5	16.2	0.0	(0.0-33.3)			2.4	6.3	0.0	(0.0-0.0)			9.5	16.2	0.0	(0.0-33.3)		
Estadiamento tumor	II	0.0	0.0	0.0	(0.0-0.0)	0.502	0.131	5.6	9.6	0.0	(0.0-8.4)	0.264	-0.267	0.0	0.0	0.0	(0.0-0.0)	0.821	0
	IVa	6.7	13.6	0.0	(0.0-0.0)			0.7	3.3	0.0	(0.0-0.0)			8.0	22.1	0.0	(0.0-0.0)		
	IVb	0.0	0.0	0.0	(0.0-0.0)			0.0	0.0	0.0	(0.0-0.0)			0.0	0.0	0.0	(0.0-0.0)		
	III	6.7	14.9	0.0	(0.0-16.6)			0.0	0.0	0.0	(0.0-0.0)			6.7	14.9	0.0	(0.0-16.6)		
	I	33.4	47.2	33.4	(0.0-66.7)			0.0	0.0	0.0	(0.0-0.0)			0.0	0.0	0.0	(0.0-0.0)		
Traqueostomia	Não	7.4	16.1	0.0	(0.0-0.0)	0.683	-0.106	0.9	3.9	0.0	(0.0-0.0)	0.922	-0.056	5.6	18.7	0.0	(0.0-0.0)	0.41	0.134
	Sim	0.0	0.0	0.0	(0.0-0.0)			0.0	0.0	0.0	(0.0-0.0)			16.6	23.5	16.6	(0.0-33.3)		
Há quanto tempo terminou RdT	-	-	-	-	-	-	-0.195	-	-	-	-	-	0.172	-	-	-	-	-	0.094
QT por CH&N	Não	33.4	47.2	33.4	(0.0-66.7)	0.376	-0.398*	8.4	11.8	8.4	(0.0-16.7)	0.313	-0.472**	0.0	0.0	0.0	(0.0-0.0)	0.774	0.078
	Sim	5.6	12.6	0.0	(0.0-0.0)			0.5	2.8	0.0	(0.0-0.0)			6.5	19.2	0.0	(0.0-0.0)		
Medicação diária	Não	8.9	19.8	0.0	(0.0-0.0)	0.86	-0.097	0.0	0.0	0.0	(0.0-0.0)	0.658	0.19	0.0	0.0	0.0	(0.0-0.0)	0.273	0.268
	Sim	5.8	12.9	0.0	(0.0-0.0)			1.4	4.8	0.0	(0.0-0.0)			10.1	23.4	0.0	(0.0-0.0)		
Disfagia	Não	12.5	24.8	0.0	(0.0-25.0)	0.661	-0.182	0.0	0.0	0.0	(0.0-0.0)	0.792	0.122	0.0	0.0	0.0	(0.0-0.0)	0.492	0.171

		EORTC QLQ-C30 Perda de apetite						EORTC QLQ-C30 Náusea e vómito						EORTC QLQ-C30 Obstipação					
Variável clínico-demográfica	Valor	Média	SD	Mediana	(Q1-Q3)	p	Correlação	Média	SD	Mediana	(Q1-Q3)	p	Correlação	Média	SD	Mediana	(Q1-Q3)	p	Correlação
Disfonia	Sim	5.6	12.6	0.0	(0.0-0.0)	0.808	-0.087	1.1	4.2	0.0	(0.0-0.0)	0.856	0.078	7.8	20.9	0.0	(0.0-0.0)	0.903	-0.04
	Não	8.0	17.4	0.0	(0.0-0.0)			0.7	3.3	0.0	(0.0-0.0)			6.7	21.5	0.0	(0.0-0.0)		
	Sim	5.1	12.5	0.0	(0.0-0.0)			1.3	4.6	0.0	(0.0-0.0)			5.1	12.5	0.0	(0.0-0.0)		
Terapia Deglutição Voz	Não	6.7	15.8	0.0	(0.0-0.0)	0.682	0.077	0.5	2.8	0.0	(0.0-0.0)	0.405	0.368*	5.7	18.9	0.0	(0.0-0.0)	0.571	0.079
	Sim	11.1	19.2	0.0	(0.0-16.6)			5.6	9.6	0.0	(0.0-8.4)			11.1	19.2	0.0	(0.0-16.6)		
Items FOIS - severidade disfagia	7	6.7	17.4	0.0	(0.0-0.0)	0.303	0.041	0.0	0.0	0.0	(0.0-0.0)	0.009	0.317	8.3	23.9	0.0	(0.0-0.0)	0.024	0.051
	6	7.4	14.7	0.0	(0.0-16.6)			0.0	0.0	0.0	(0.0-0.0)			0.0	0.0	0.0	(0.0-0.0)		
	5	-	-	-	-			-	-	-	-			-	-	-	-		
	4	6.7	14.9	0.0	(0.0-16.6)			6.7	9.1	0.0	(0.0-16.7)			0.0	0.0	0.0	(0.0-0.0)		
	1	0.0	0.0	0.0	(0.0-0.0)			0.0	0.0	0.0	(0.0-0.0)			22.2	19.2	33.3	(16.6-33.3)		
Via de administração da alimentação	Via oral	7.6	16.3	0.0	(0.0-0.0)	0.607	-0.132	0.9	3.9	0.0	(0.0-0.0)	0.879	-0.069	4.8	18.3	0.0	(0.0-0.0)	0.062	0.804**
	PEG	0.0	0.0	0.0	(0.0-0.0)			0.0	0.0	0.0	(0.0-0.0)			22.2	19.2	33.3	(16.6-33.3)		
Consistência dos sólidos	Dieta regular	7.1	16.6	0.0	(0.0-0.0)	0.606	-0.081	0.0	0.0	0.0	(0.0-0.0)	0.004	0.344*	6.0	20.4	0.0	(0.0-0.0)	0.047	0.102
	Dieta mole	16.6	23.5	16.6	(0.0-33.3)			0.0	0.0	0.0	(0.0-0.0)			0.0	0.0	0.0	(0.0-0.0)		
	Dieta puré	6.7	14.9	0.0	(0.0-16.6)			6.7	9.1	0.0	(0.0-16.7)			0.0	0.0	0.0	(0.0-0.0)		
	SNG/PEG	0.0	0.0	0.0	(0.0-0.0)			0.0	0.0	0.0	(0.0-0.0)			22.2	19.2	33.3	(16.6-33.3)		
Consistência dos líquidos	Finos	7.6	16.3	0.0	(0.0-0.0)	0.607	-0.132	0.9	3.9	0.0	(0.0-0.0)	0.879	-0.069	4.8	18.3	0.0	(0.0-0.0)	0.062	0.804**
	NPO líquidos	0.0	0.0	0.0	(0.0-0.0)			0.0	0.0	0.0	(0.0-0.0)			22.2	19.2	33.3	(16.6-33.3)		

Tabela 83 - Medidas descritivas, correlação e diferenças estatística das variáveis sociodemográficas e clínicas com escalas diarreia, funcionamento cognitivo e emocional do EORTC QLQ-C30.

		EORTC QLQ-C30 Diarreia						EORTC QLQ-C30 Funcionamento cognitivo						EORTC QLQ-C30 Funcionamento emocional					
Variável clínico-demográfica	Valor	Média	SD	Mediana	(Q1-Q3)	p	Correlação	Média	SD	Mediana	(Q1-Q3)	p	Correlação	Média	SD	Mediana	(Q1-Q3)	p	Correlação
Género	Feminino	0.0	0.0	0.0	(0.0-0.0)	0.801	-0.1	79.1	8.3	83.3	(70.8-83.3)	0.113	-0.196	68.9	14.2	70.8	(54.2-81.2)	0.052	-0.316
	Masculino	2.9	9.6	0.0	(0.0-0.0)			89.2	16.3	100.0	(83.3-100)			86.3	16.8	91.7	(72.9-100)		
Idade	-	-	-	-	-	-	0.285	-	-	-	-	-	-0.272	-	-	-	-	-	-0.065
Estado civil	Casado	1.7	7.4	0.0	(0.0-0.0)	0.375	0.178	83.3	17.9	83.3	(66.7-100)	0.124	0.291	84.2	17.7	91.7	(66.7-100)	0.903	-0.014
	Solteiro	0.0	0.0	0.0	(0.0-0.0)			94.4	13.6	100.0	(66.7-100)			87.5	16.5	91.7	(77.0-100)		
	Divorciado	5.6	13.0	0.0	(0.0-0.0)			93.0	11.1	100.0	(83.3-100)			83.3	18.1	87.5	(69.0-100)		
	Viúvo	-	-	-	-			-	-	-	-			-	-	-	-		
Nível escolaridade	Sem escolaridade	-	-	-	-	0.545	-0.135	-	-	-	-	0.391	-0.053	-	-	-	-	0.634	-0.177
	1º ciclo	4.4	11.7	0.0	(0.0-0.0)			87.8	19.4	100.0	(83.3-100)			87.2	16.3	91.7	(75.0-100)		
	2º ciclo	0.0	0.0	0.0	(0.0-0.0)			91.7	11.8	100.0	(83.3-100)			86.7	18.5	100.0	(64.6-100)		
	3º ciclo	6.7	14.9	0.0	(0.0-16.6)			76.7	14.9	66.7	(66.7-91.6)			75.0	16.7	66.7	(62.5-91.6)		
	Secundário	0.0	0.0	0.0	(0.0-0.0)			88.9	19.2	100.0	(66.7-100)			88.9	4.8	91.7	(83.3-91.7)		
	Superior	0.0	0.0	0.0	(0.0-0.0)			93.3	9.1	100.0	(83.3-100)			78.2	23.3	83.3	(54.1-100)		
Problemas de saúde	Não	2.1	8.3	0.0	(0.0-0.0)	0.768	0.113	88.2	16.2	100.0	(83.3-100)	0.971	-0.002	86.3	17.0	91.7	(83.3-100)	0.234	-0.23
	Sim	4.8	12.6	0.0	(0.0-0.0)			88.1	15.8	100.0	(66.7-100)			76.2	16.9	66.7	(66.7-100)		
Estadiamento tumor	II	0.0	0.0	0.0	(0.0-0.0)	0.8	0.079	83.3	16.6	83.3	(75.0-91.6)	0.93	0.121	86.1	24.1	100.0	(79.2-100)	0.886	0.008
	IVa	2.7	9.2	0.0	(0.0-0.0)			88.7	14.2	100.0	(75.0-100)			82.7	18.9	91.7	(62.5-100)		
	IVb	0.0	0.0	0.0	(0.0-0.0)			77.8	38.5	100.0	(66.6-100)			88.9	4.8	91.7	(87.5-91.7)		
	III	6.7	14.9	0.0	(0.0-16.6)			93.3	9.1	100.0	(83.3-100)			90.0	14.9	100.0	(75.0-100)		
	I	0.0	0.0	0.0	(0.0-0.0)			91.6	11.8	91.6	(83.3-100)			83.3	0.0	83.3	(83.3-83.3)		
Traqueostomia	Não	2.8	9.3	0.0	(0.0-0.0)	0.871	-0.069	87.5	16.1	100.0	(83.3-100)	0.313	0.178	84.2	17.5	91.7	(66.7-100)	0.871	0.043
	Sim	0.0	0.0	0.0	(0.0-0.0)			100.0	0.0	100.0	(100-100)			87.5	17.7	87.5	(75.0-100)		
Há quanto tempo terminou RdT	-	-	-	-	-	-	0.004	-	-	-	-	-	0.061	-	-	-	-	-	-0.189
QT por CH&N	Não	0.0	0.0	0.0	(0.0-0.0)	0.871	0.069	83.4	23.5	83.4	(66.7-100)	0.728	0.072	70.8	17.8	70.8	(58.3-83.3)	0.256	0.189
	Sim	2.8	9.3	0.0	(0.0-0.0)			88.4	15.8	100.0	(83.3-100)			85.2	17.2	91.7	(68.8-100)		
Medicação diária	Não	0.0	0.0	0.0	(0.0-0.0)	0.516	0.236	88.9	18.6	100.0	(83.3-100)	0.616	-0.037	87.8	14.0	91.7	(83.3-100)	0.575	-0.159
	Sim	4.3	11.5	0.0	(0.0-0.0)			87.7	14.4	100.0	(66.7-100)			82.2	19.0	91.7	(66.7-100)		
Disfagia	Não	4.2	11.8	0.0	(0.0-0.0)	0.82	-0.088	93.8	12.4	100.0	(87.5-100)	0.297	-0.184	93.8	7.4	95.8	(85.4-100)	0.183	-0.283
	Sim	2.2	8.4	0.0	(0.0-0.0)			86.7	16.6	91.6	(79.2-100)			81.9	18.3	83.3	(64.6-100)		

		EORTC QLQ-C30 Diarreia						EORTC QLQ-C30 Funcionamento cognitivo						EORTC QLQ-C30 Funcionamento emocional					
Variável clínico-demográfica	Valor	Média	SD	Mediana	(Q1-Q3)	p	Correlação	Média	SD	Mediana	(Q1-Q3)	p	Correlação	Média	SD	Mediana	(Q1-Q3)	p	Correlação
Disfonia	Não	2.7	9.2	0.0	(0.0-0.0)	1	-0.005	87.3	16.9	100.0	(83.3-100)	0.738	0.073	84.7	17.3	91.7	(75.0-100)	0.952	-0.019
	Sim	2.6	9.2	0.0	(0.0-0.0)			89.7	14.5	100.0	(75.0-100)			84.0	17.8	91.7	(66.7-100)		
Terapia Deglutição Voz	Não	2.8	9.4	0.0	(0.0-0.0)	0.838	-0.086	88.6	16.0	100.0	(83.3-100)	0.536	-0.09	85.7	16.1	91.7	(75.0-100)	0.27	-0.258
	Sim	0.0	0.0	0.0	(0.0-0.0)			83.3	16.6	83.3	(75.0-91.6)			69.4	26.8	58.3	(54.2-79.2)		
Items FOIS - severidade disfagia	7	3.3	10.2	0.0	(0.0-0.0)	0.911	-0.121	89.2	17.3	100.0	(83.3-100)	0.348	-0.068	83.3	17.7	87.5	(68.8-100)	0.756	0.115
	6	3.7	11.1	0.0	(0.0-0.0)			87.0	13.9	83.3	(75.0-100)			86.1	17.2	91.7	(70.8-100)		
	5	-	-	-	-			-	-	-	-			-	-	-	-		
	4	0.0	0.0	0.0	(0.0-0.0)			80.0	18.2	66.7	(66.7-100)			85.0	20.8	100.0	(62.5-100)		
	1	0.0	0.0	0.0	(0.0-0.0)			100.0	0.0	100.0	(100-100)			91.7	14.4	100.0	(87.5-100)		
Via de administração da alimentação	Via oral	2.8	9.4	0.0	(0.0-0.0)	0.839	-0.086	87.1	16.2	100.0	(83.3-100)	0.186	0.221	83.8	17.5	91.7	(66.7-100)	0.468	0.125
	PEG	0.0	0.0	0.0	(0.0-0.0)			100.0	0.0	100.0	(100-100)			91.7	14.4	100.0	(87.5-100)		
Consistência dos sólidos	Dieta regular	3.6	10.5	0.0	(0.0-0.0)	0.769	-0.163	88.1	16.3	100.0	(83.3-100)	0.31	0.054	85.1	16.9	91.7	(77.1-100)	0.327	0.042
	Dieta mole	0.0	0.0	0.0	(0.0-0.0)			91.6	11.8	91.6	(83.3-100)			62.5	5.9	62.5	(58.3-66.7)		
	Dieta puré	0.0	0.0	0.0	(0.0-0.0)			80.0	18.2	66.7	(66.7-100)			85.0	20.8	100.0	(66.7-100)		
	SNG/PEG	0.0	0.0	0.0	(0.0-0.0)			100.0	0.0	100.0	(100-100)			91.7	14.4	100.0	(87.5-100)		
Consistência dos líquidos	Finos	2.8	9.4	0.0	(0.0-0.0)	0.839	-0.086	87.1	16.2	100.0	(83.3-100)	0.186	0.221	83.8	17.5	91.7	(66.7-100)	0.468	0.125
	NPO líquidos	0.0	0.0	0.0	(0.0-0.0)			100.0	0.0	100.0	(100-100)			91.7	14.4	100.0	(87.5-100)		

Tabela 84 - Medidas descritivas, correlação e diferenças estatística das variáveis sociodemográficas e clínicas com escalas funcionamento social, dificuldades financeiras e estado de saúde geral do EORTC QLQ-C30.

		EORTC QLQ-C30 Funcionamento social						EORTC QLQ-C30 Dificuldades financeiras						EORTC QLQ-C30 Estado de saúde geral					
Variável clínico-demográfica	Valor	Média	SD	Mediana	(Q1-Q3)	p	Correlação	Média	SD	Mediana	(Q1-Q3)	p	Correlação	Média	SD	Mediana	(Q1-Q3)	p	Correlação
Género	Feminino	100.0	0.0	100.0	(100-100)	0.42	0.178	0.0	0.0	0.0	(0.0-0.0)	0.368	-0.181	79.2	21.0	83.3	(58.3-95.8)	0.343	0.157
	Masculino	93.6	11.6	100.0	(83.3-100)			16.7	29.9	0.0	(0.0-33.3)			69.4	19.3	66.7	(56.2-83.3)		
Idade	-	-	-	-	-	-	-0.104	-	-	-	-	-	-0.19	-	-	-	-	-	0.014
Estado civil	Casado	92.5	12.6	100.0	(83.3-100)	0.602	0.146	16.7	29.6	0.0	(0.0-33.3)	0.765	-0.015	70.4	21.2	75.0	(52.1-83.3)	0.275	-0.095
	Solteiro	97.2	6.8	100.0	(95.8-100)			5.6	13.6	0.0	(0.0-8.3)			80.6	19.5	83.3	(62.5-100)		
	Divorciado	95.8	10.4	100.0	(100-100)			16.7	33.3	0.0	(0.0-25.0)			65.3	15.4	66.7	(52.1-81.2)		
	Viúvo	-	-	-	-			-	-	-	-			-	-	-	-		
Nível escolaridade	Sem escolaridade	-	-	-	-	0.374	-0.155	-	-	-	-	0.078	-0.264	-	-	-	-	0.806	-0.193
	1º ciclo	97.8	5.9	100.0	(100-100)			13.3	21.1	0.0	(0.0-33.3)			73.9	19.6	83.3	(58.3-83.3)		
	2º ciclo	90.0	14.0	100.0	(79.2-100)			36.7	42.9	16.6	(0.0-75.0)			70.0	23.0	70.8	(47.9-87.5)		
	3º ciclo	93.3	14.9	100.0	(83.4-100)			0.0	0.0	0.0	(0.0-0.0)			65.0	20.8	66.7	(45.8-83.3)		
	Secundário	100.0	0.0	100.0	(100-100)			0.0	0.0	0.0	(0.0-0.0)			72.2	25.4	66.7	(50.0-83.3)		
	Superior	90.0	14.9	100.0	(75.0-100)			0.0	0.0	0.0	(0.0-0.0)			65.0	9.1	66.7	(58.3-70.8)		
Problemas de saúde	Não	94.1	11.8	100.0	(100-100)	0.941	0.04	14.0	29.5	0.0	(0.0-0.0)	0.506	0.069	69.6	20.1	66.7	(50.0-83.3)	0.506	0.084
	Sim	95.2	8.1	100.0	(83.3-100)			19.0	26.2	0.0	(0.0-33.3)			73.4	16.9	83.3	(58.3-83.3)		
Estadiamento tumor	II	77.8	19.2	66.7	(66.7-83.4)	0.118	0.419**	33.3	57.7	0.0	(0.0-50.0)	0.49	-0.058	52.8	21.0	50.0	(41.6-62.5)	0.103	0.151
	IVa	94.0	10.6	100.0	(83.3-100)			13.3	27.2	0.0	(0.0-16.6)			71.7	17.3	66.7	(62.5-83.3)		
	IVb	100.0	0.0	100.0	(100-100)			33.3	33.3	33.3	(16.6-50.0)			66.7	30.1	75.0	(54.2-83.4)		
	III	100.0	0.0	100.0	(100-100)			6.7	14.9	0.0	(0.0-0.0)			85.0	17.1	83.3	(70.8-100)		
	I	100.0	0.0	100.0	(100-100)			0.0	0.0	0.0	(0.0-0.0)			50.0	0.0	50.0	(50.0-50.0)		
Traqueostomia	Não	94.4	11.3	100.0	(100-100)	0.64	-0.057	14.8	29.2	0.0	(0.0-25.0)	0.683	0.014	70.6	19.6	70.8	(58.3-83.3)	0.822	-0.046
	Sim	91.6	11.8	91.6	(83.3-100)			16.6	23.5	16.6	(0.0-33.3)			66.6	23.5	66.6	(50.0-83.3)		
Há quanto tempo terminou RdT	-	-	-	-	-	-	-0.094	-	-	-	-	-	0.225	-	-	-	-	-	0.191
QT por CH&N	Não	83.4	23.5	83.4	(66.7-100)	0.444	0.235	0.0	0.0	0.0	(0.0-0.0)	0.558	0.124	41.6	11.8	41.6	(33.3-50.0)	0.046	-0.353*
	Sim	94.9	10.4	100.0	(100-100)			15.7	29.3	0.0	(0.0-33.3)			72.0	18.6	75.0	(58.3-83.3)		
Medicação diária	Não	95.6	9.9	100.0	(100-100)	0.723	-0.092	20.0	32.8	0.0	(0.0-33.3)	0.516	-0.145	68.3	21.6	66.7	(50.0-83.3)	0.658	0.087
	Sim	93.5	12.0	100.0	(83.3-100)			11.6	25.8	0.0	(0.0-0.0)			71.7	18.2	75.0	(58.3-83.3)		
Disfagia	Não	97.9	5.9	100.0	(100-100)	0.515	-0.17	4.2	11.8	0.0	(0.0-0.0)	0.407	0.196	65.6	20.1	66.7	(55.1-79.2)	0.407	0.128
	Sim	93.3	12.0	100.0	(83.3-100)			17.8	31.2	0.0	(0.0-33.3)			71.7	19.4	75.0	(56.2-83.3)		

		EORTC QLQ-C30 Funcionamento social						EORTC QLQ-C30 Dificuldades financeiras						EORTC QLQ-C30 Estado de saúde geral					
Variável clínico-demográfica	Valor	Média	SD	Mediana	(Q1-Q3)	p	Correlação	Média	SD	Mediana	(Q1-Q3)	p	Correlação	Média	SD	Mediana	(Q1-Q3)	p	Correlação
Disfonia	Não	94.7	10.4	100.0	(91.6-100)	0.976	-0.046	14.7	30.6	0.0	(0.0-16.6)	0.785	0.012	76.0	16.9	75.0	(66.7-83.3)	0.015	-0.405*
	Sim	93.6	12.8	100.0	(91.6-100)			15.4	25.9	0.0	(0.0-33.3)			59.6	20.1	58.3	(45.8-75.0)		
Terapia Deglutição Voz	Não	95.7	9.3	100.0	(100-100)	0.122	-0.439*	13.3	25.8	0.0	(0.0-33.3)	0.682	0.191	71.4	19.2	75.0	(58.3-83.3)	0.319	-0.184
	Sim	77.8	19.2	66.7	(66.7-83.4)			33.3	57.7	0.0	(0.0-50.0)			58.3	22.1	66.7	(50.0-70.8)		
Items FOIS - severidade disfagia	7	96.7	8.7	100.0	(100-100)	0.627	-0.208	10.0	21.9	0.0	(0.0-0.0)	0.596	0.164	70.4	20.3	66.7	(58.3-83.3)	0.063	-0.048
	6	90.7	14.7	100.0	(75.0-100)			25.9	43.3	0.0	(0.0-66.6)			76.8	10.8	75.0	(66.7-83.3)		
	5	-	-	-	-			-	-	-	-			-	-	-	-		
	4	90.0	14.9	100.0	(75.0-100)			13.3	29.8	0.0	(0.0-33.4)			51.7	19.0	50.0	(37.5-66.6)		
	1	94.4	9.6	100.0	(91.6-100)			22.2	19.2	33.3	(16.6-33.3)			77.8	25.4	83.3	(66.6-91.6)		
Via de administração da alimentação	Via oral	94.3	11.4	100.0	(100-100)	0.879	0.004	14.3	29.5	0.0	(0.0-0.0)	0.346	0.075	69.8	19.2	66.7	(58.3-83.3)	0.536	0.113
	PEG	94.4	9.6	100.0	(91.6-100)			22.2	19.2	33.3	(16.6-33.3)			77.8	25.4	83.3	(66.6-91.6)		
Consistência dos sólidos	Dieta regular	95.8	9.8	100.0	(100-100)	0.477	-0.154	15.5	30.7	0.0	(0.0-25.0)	0.522	0.019	72.6	18.3	75.0	(60.4-83.3)	0.048	-0.154
	Dieta mole	83.4	23.5	83.4	(66.7-100)			0.0	0.0	0.0	(0.0-0.0)			75.0	11.7	75.0	(66.7-83.3)		
	Dieta puré	90.0	14.9	100.0	(83.3-100)			13.3	29.8	0.0	(0.0-0.0)			51.7	19.0	50.0	(41.7-50.0)		
	SNG/PEG	94.4	9.6	100.0	(91.6-100)			22.2	19.2	33.3	(16.6-33.3)			77.8	25.4	83.3	(66.6-91.6)		
Consistência dos líquidos	Finos	94.3	11.4	100.0	(100-100)	0.879	0.004	14.3	29.5	0.0	(0.0-0.0)	0.346	0.075	69.8	19.2	66.7	(58.3-83.3)	0.536	0.113
	NPO líquidos	94.4	9.6	100.0	(91.6-100)			22.2	19.2	33.3	(16.6-33.3)			77.8	25.4	83.3	(66.6-91.6)		

Tabela 85 - Medidas descritivas, correlação e diferenças estatística das variáveis sociodemográficas e clínicas com escalas dor na cabeça e pescoço, problemas em engolir e problemas com os dentes do EORTC QLQ-HN43.

		EORCT-HN43 Dor na cabeça e pescoço						EORCT-HN43 Problemas em engolir						EORCT-HN43 Problemas com os dentes					
Variável clínico-demográfica	Valor	Média	SD	Mediana	(Q1-Q3)	p	Correlação	Média	SD	Mediana	(Q1-Q3)	p	Correlação	Média	SD	Mediana	(Q1-Q3)	p	Correlação
Género	Feminino	2,1	4,2	0,0	(0.0-6.2)	0,368	-0,174	18,7	14,2	20,8	(4.2-31.2)	0,766	-0,037	16,6	14,3	16,6	(2.8-30.5)	0,873	-0,088
	Masculino	8,3	11,6	0,0	(0.0-16.7)			21,6	24,6	16,7	(0.0-25.0)			23,8	26,4	16,6	(0.0-47.2)		
Idade	-	-	-	-	-	-	-0,062	-	-	-	-	-	-0,049	-	-	-	-	-	-0,09
Estado civil	Casado	5,4	8,7	0,0	(0.0-8.3)	0,457	0,164	19,6	23,3	16,7	(0.0-25.0)	0,573	0,067	11,7	17,5	0,0	(0.0-22.2)	0,001	0.660**
	Solteiro	12,5	15,6	8,3	(0.0-23.0)			23,6	34,7	12,5	(0.0-41.6)			16,6	15,3	16,6	(0.0-33.3)		
	Divorciado	9,0	12,5	0,0	(0.0-22.9)			22,9	19,5	20,8	(8.3-31.2)			45,4	27,0	55,6	(25.0-63.9)		
	Viúvo	-	-	-	-			-	-	-	-			-	-	-	-		
Nível escolaridade	Sem escolaridade	-	-	-	-	0,004	0,116	-	-	-	-	0,585	0,012	-	-	-	-	0,51	0,004
	1º ciclo	4,4	9,4	0,0	(0.0-8.3)			19,4	21,3	16,7	(0.0-25.0)			22,2	27,2	0,0	(0.0-55.6)		
	2º ciclo	16,7	14,2	12,5	(6.2-27.1)			26,7	31,9	12,5	(6.2-43.7)			17,8	15,9	16,6	(0.0-33.3)		
	3º ciclo	8,3	8,4	8,3	(0.0-16.7)			20,0	31,5	8,3	(0.0-45.8)			35,6	26,5	33,3	(11.1-61.2)		
	Secundário	2,8	4,8	0,0	(0.0-4.2)			19,4	9,6	25,0	(16.6-25.0)			25,9	28,0	22,2	(11.1-38.9)		
	Superior	1,7	3,7	0,0	(0.0-0.0)			18,3	12,3	16,7	(16.7-25.0)			22,2	37,7	11,1	(0.0-11.1)		
Problemas de saúde	Não	5,6	10,0	0,0	(0.0-8.3)	0,010	0.496*	19,1	21,6	16,7	(0.0-25.0)	0,438	0,197	21,5	25,8	11,1	(0.0-33.3)	0,299	0,134
	Sim	16,6	12,7	16,7	(8.3-33.3)			31,0	31,1	16,7	(8.3-75.0)			30,2	23,8	22,2	(11.1-55.6)		
Estadiamento tumor	II	8,3	8,4	8,3	(4.2-12.5)	0,52	-0,225	36,1	34,7	25,0	(16.6-50.0)	0,727	-0,196	44,5	29,4	55,6	(33.4-61.2)	0,499	-0,243
	IVa	9,7	12,9	0,0	(0.0-16.7)			22,3	25,0	16,7	(0.0-29.2)			23,6	25,7	22,2	(0.0-38.8)		
	IVb	0	0	0	(0.0-0.0)			11,1	9,6	16,7	(8.4-16.7)			22,2	38,5	0,0	(0.0-33.3)		
	III	3,3	4,5	0,0	(0.0-8.3)			15,0	20,8	8,3	(0.0-33.3)			11,1	15,7	0,0	(0.0-27.8)		
	I	4,1	5,9	4,2	(0.0-8.3)			16,6	11,8	16,6	(8.3-25.0)			16,6	7,8	16,6	(11.1-22.2)		
Traqueostomia	Não	6,0	8,8	0,0	(0.0-8.3)	0,003	0.705**	17,8	18,8	16,7	(0.0-25.0)	0,006	0.628**	21,6	24,9	11,1	(0.0-33.3)	0,139	0,253
	Sim	37,5	5,9	37,5	(33.3-41.7)			83,4	11,8	83,4	(75.0-91.7)			50,0	23,6	50,0	(33.3-66.7)		
Há quanto tempo terminou RdT	-	-	-	-	-	-	0,099	-	-	-	-	-	0,11	-	-	-	-	-	-0,14
QT por CH&N	Não	12,5	5,9	12,5	(8.3-16.7)	0,165	-0,239	41,6	47,2	41,6	(8.3-75.0)	0,518	-0,206	44,4	31,5	44,4	(22.2-66.7)	0,256	-0,201
	Sim	7,4	11,3	0,0	(0.0-8.3)			20,1	22,4	16,7	(0.0-25.0)			21,9	25,0	11,1	(0.0-33.3)		
Medicação diária	Não	8,9	12,8	0,0	(0.0-16.7)	0,465	-0,235	16,7	23,4	8,3	(0.0-25.0)	0,107	0,307	17,8	20,0	11,1	(0.0-33.3)	0,497	0,172
	Sim	6,9	10,2	0,0	(0.0-8.3)			24,3	23,8	16,7	(8.3-33.3)			26,6	28,2	22,2	(0.0-55.6)		
Disfagia	Não	1,0	2,9	0,0	(0.0-0.0)	0,029	0.330*	6,2	9,7	0,0	(0.0-14.6)	0,013	0.333*	19,4	22,8	11,1	(0.0-41.6)	0,661	0,075

		EORCT-HN43 Dor na cabeça e pescoço						EORCT-HN43 Problemas em engolir						EORCT-HN43 Problemas com os dentes					
Variável clínico-demográfica	Valor	Média	SD	Mediana	(Q1-Q3)	p	Correlação	Média	SD	Mediana	(Q1-Q3)	p	Correlação	Média	SD	Mediana	(Q1-Q3)	p	Correlação
	Sim	9,4	11,9	8,3	(0.0-16.7)			25,3	24,7	16,7	(8.3-33.3)			24,1	26,3	16,6	(0.0-38.9)		
Disfonia	Não	6,0	9,2	0,0	(0.0-8.3)	0,276	0,278	16,7	20,8	8,3	(0.0-25.0)	0,124	0,19	22,2	27,4	11,1	(0.0-38.8)	0,584	0,049
	Sim	10,9	14,2	8,3	(0.0-20.8)			30,1	26,9	25,0	(12.5-41.6)			24,8	21,8	22,2	(0.0-44.4)		
Terapia Deglutição Voz	Não	7,4	11,6	0,0	(0.0-8.3)	0,096	0,240	20,2	22,7	16,7	(0.0-25.0)	0,571	0,151	20,3	22,5	11,1	(0.0-33.3)	0,074	0.380*
	Sim	11,1	4,8	8,3	(8.3-12.5)			33,3	36,3	16,7	(12.5-45.8)			55,6	40,1	66,7	(38.9-77.8)		
Items FOIS - severidade disfagia	7	5,0	7,4	0,0	(0.0-8.3)	0,369	0,258	10,4	10,8	8,3	(0.0-16.7)	0,003	0.602**	18,3	25,3	5,6	(0.0-30.5)	0,132	0.349*
	6	5,6	9,3	0,0	(0.0-12.5)			15,7	12,8	16,7	(4.2-29.2)			16,0	22,3	11,1	(0.0-27.8)		
	5	-	-	-	-			-	-	-	-			-	-	-	-		
	4	11,7	13,9	8,3	(0.0-25.0)			45,0	27,4	25,0	(25.0-75.0)			42,2	26,5	55,6	(16.6-61.2)		
	1	25,0	22,0	33,3	(16.6-37.5)			72,2	21,0	75,0	(62.5-83.4)			44,4	19,3	33,3	(33.3-50.0)		
Via de administração da alimentação	Via oral	6,2	8,9	0,0	(0.0-8.3)	0,148	0.517**	16,9	18,2	16,7	(0.0-25.0)	0,002	0.640**	21,3	25,2	11,1	(0.0-33.3)	0,096	0,250
	PEG	25,0	22,0	33,3	(16.6-37.5)			72,2	21,0	75,0	(62.5-83.4)			44,4	19,3	33,3	(33.3-50.0)		
Consistência dos sólidos	Dieta regular	5,4	7,9	0,0	(0.0-8.3)	0,295	0.453**	11,3	10,9	8,3	(0.0-16.7)	0,001	0.800**	17,8	24,4	5,6	(0.0-30.5)	0,072	0.393*
	Dieta mole	4,2	5,9	4,2	(0.0-8.3)			25,0	11,7	25,0	(16.7-33.3)			16,6	7,8	16,6	(11.1-22.2)		
	Dieta puré	11,7	13,9	8,3	(0.0-25.0)			45,0	27,4	25,0	(25.0-75.0)			42,2	26,5	55,6	(16.6-61.2)		
	SNG/PEG	25,0	22,0	33,3	(16.6-37.5)			72,2	21,0	75,0	(62.5-83.4)			44,4	19,3	33,3	(33.3-50.0)		
Consistência dos líquidos	Finos	6,2	8,9	0,0	(0.0-8.3)	0,148	0.517**	16,9	18,2	16,7	(0.0-25.0)	0,002	0.640**	21,3	25,2	11,1	(0.0-33.3)	0,096	0,25
	NPO líquidos	25,0	22,0	33,3	(16.6-37.5)			72,2	21,0	75,0	(62.5-83.4)			44,4	19,3	33,3	(33.3-50.0)		

Tabela 86 - Medidas descritivas, correlação e diferenças estatística das variáveis sociodemográficas e clínicas com escalas abertura da boca, boca seca e saliva espessa e problemas com sentidos do EORTC QLQ-HN43.

		EORCT-HN43 Abertura da boca						EORCT-HN43 Boca seca e saliva espessa						EORCT-HN43 Problemas com os sentidos					
Variável clínico-demográfica	Valor	Média	SD	Mediana	(Q1-Q3)	p	Correlação	Média	SD	Mediana	(Q1-Q3)	p	Correlação	Média	SD	Mediana	(Q1-Q3)	p	Correlação
Género	Feminino	16.6	19.2	16.6	(0.0-33.3)	0.598	0.036	37.5	28.5	41.6	(8.3-62.5)	0.476	0.112	25.0	28.9	16.7	(4.2-54.2)	0.297	0.079
	Masculino	13.7	26.1	0.0	(0.0-33.3)			28.4	25.1	33.3	(0.0-37.5)			17.2	31.4	0.0	(0.0-20.8)		
Idade	-	-	-	-	-	-	-0.025	-	-	-	-	-	0.145	-	-	-	-	-	0.432**
Estado civil	Casado	11.7	19.6	0.0	(0.0-33.3)	0.955	0.093	26.7	25.0	25.0	(0.0-25.0)	0.735	0.12	10.8	23.1	0.0	(0.0-16.7)	0.013	0.502**
	Solteiro	16.7	27.9	0.0	(0.0-41.6)			30.5	16.4	33.3	(25.0-37.5)			0.0	0.0	0.0	(0.0-0.0)		
	Divorciado	16.7	33.3	0.0	(0.0-25.0)			33.3	30.1	33.3	(0.0-62.5)			38.9	39.1	41.6	(0.0-66.7)		
	Viúvo	-	-	-	-			-	-	-	-			-	-	-	-		
Nível escolaridade	Sem escolaridade	-	-	-	-	0.606	-0.098	-	-	-	-	0.3	0.357*	-	-	-	-	0.134	0.045
	1º ciclo	15.6	30.5	0.0	(0.0-33.3)			20.0	21.1	16.7	(0.0-33.3)			23.3	36.1	0.0	(0.0-33.3)		
	2º ciclo	20.0	28.1	0.0	(0.0-41.6)			28.3	28.4	33.3	(0.0-50.0)			5.0	15.8	0.0	(0.0-0.0)		
	3º ciclo	13.3	18.2	0.0	(0.0-33.3)			40.0	27.9	33.3	(16.6-66.7)			13.3	21.7	0.0	(0.0-33.3)		
	Secundário	11.1	19.2	0.0	(0.0-16.6)			38.9	25.4	33.3	(25.0-50.0)			55.6	50.9	66.7	(33.3-83.4)		
	Superior	0.0	0.0	0.0	(0.0-0.0)			43.3	25.3	33.3	(33.3-50.0)			10.0	14.9	0.0	(0.0-25.0)		
Problemas de saúde	Não	9.7	19.6	0.0	(0.0-0.0)	0.039	0.568**	26.3	24.2	33.3	(0.0-33.3)	0.145	0.257	16.7	29.5	0.0	(0.0-16.7)	0.713	0.091
	Sim	33.3	38.5	33.3	(0.0-66.7)			42.8	33.3	27.0	(33.3-66.7)			23.8	38.3	0.0	(0.0-50.0)		
Estadiamento tumor	II	11.1	19.2	0.0	(0.0-16.6)	0.754	-0.056	22.2	38.5	0.0	(0.0-33.4)	0.438	-0.062	0.0	0.0	0.0	(0.0-0.0)	0.174	0.293
	IVa	14.7	27.4	0.0	(0.0-33.3)			33.3	25.4	33.3	(16.6-50.0)			16.7	28.5	0.0	(0.0-33.3)		
	IVb	22.2	38.5	0.0	(0.0-33.4)			16.7	28.9	0.0	(0.0-25.0)			38.9	53.6	16.7	(8.4-58.4)		
	III	6.7	14.9	0.0	(0.0-16.6)			16.7	16.6	16.7	(0.0-33.3)			6.7	9.1	0.0	(0.0-16.7)		
	I	16.6	23.5	16.6	(0.0-33.3)			41.6	11.8	41.6	(33.3-50.0)			58.4	58.9	58.4	(16.7-100)		
Traqueostomia	Não	10.2	19.2	0.0	(0.0-25.0)	0.003	0.789**	29.2	25.9	33.3	(0.0-50.0)	0.728	0.037	16.2	28.3	0.0	(0.0-16.7)	0.457	0.367*
	Sim	83.4	23.5	83.4	(66.7-100)			33.3	0.0	33.3	(33.3-33.3)			50.0	70.7	50.0	(0.0-100)		
Há quanto tempo terminou RdT	-	-	-	-	-	-	0.041	-	-	-	-	-	0.087	-	-	-	-	-	-0.104
QT por CH&N	Não	33.3	0.0	33.3	(33.3-33.3)	0.043	-0.491**	50.0	23.6	50.0	(33.3-66.7)	0.284	-0.195	50.0	70.7	50.0	(0.0-100)	0.457	-0.367*
	Sim	13.0	25.5	0.0	(0.0-25.0)			28.2	25.1	33.3	(0.0-41.6)			16.2	28.3	0.0	(0.0-16.7)		
Medicação diária	Não	15.6	24.8	0.0	(0.0-33.3)	0.409	-0.24	25.5	20.8	33.3	(0.0-50.0)	0.68	0.124	18.9	35.6	0.0	(0.0-16.7)	0.344	0.218
	Sim	13.0	26.1	0.0	(0.0-33.3)			31.9	27.9	33.3	(0.0-66.7)			17.4	28.2	0.0	(0.0-33.3)		
Disfagia	Não	4.2	11.8	0.0	(0.0-0.0)	0.185	0.26	12.5	14.8	8.4	(0.0-29.2)	0.034	0.350*	25.0	37.8	8.4	(0.0-54.2)	0.320	-0.256
	Sim	16.7	27.3	0.0	(0.0-33.3)			33.9	25.7	33.3	(12.5-50.0)			16.1	29.2	0.0	(0.0-20.8)		

		EORCT-HN43 Abertura da boca						EORCT-HN43 Boca seca e saliva espessa						EORCT-HN43 Problemas com os sentidos					
Variável clínico-demográfica	Valor	Média	SD	Mediana	(Q1-Q3)	p	Correlação	Média	SD	Mediana	(Q1-Q3)	p	Correlação	Média	SD	Mediana	(Q1-Q3)	p	Correlação
Disfonia	Não	13.3	25.4	0.0	(0.0-33.3)	0.856	0.039	29.3	25.1	33.3	(0.0-50.0)	1.000	0.003	20.0	35.7	0.0	(0.0-25.0)	0.454	0.021
	Sim	15.4	25.9	0.0	(0.0-33.3)			29.5	26.5	33.3	(0.0-41.6)			14.1	19.0	0.0	(0.0-25.0)		
Terapia Deglutição Voz	Não	14.3	25.9	0.0	(0.0-33.3)	1.000	-0.034	27.6	23.2	33.3	(0.0-33.3)	0.319	0.242	18.6	31.8	0.0	(0.0-16.7)	1	-0.029
	Sim	11.1	19.2	0.0	(0.0-16.6)			50.0	44.1	66.7	(33.4-75.0)			11.1	19.2	0.0	(0.0-16.7)		
Items FOIS - severidade disfagia	7	5.0	12.2	0.0	(0.0-0.0)	0.001	0.642**	29.2	25.8	33.3	(0.0-50.0)	0.992	-0.012	21.7	29.7	8.4	(0.0-45.8)	0.067	-0.305
	6	11.1	23.6	0.0	(0.0-16.6)			29.6	21.7	33.3	(8.4-41.6)			11.1	33.3	0.0	(0.0-0.0)		
	5	-	-	-	-			-	-	-	-			-	-	-	-		
	4	26.7	27.9	33.3	(0.0-50.0)			33.3	39.1	16.7	(0.0-75.0)			6.7	14.9	0.0	(0.0-16.6)		
	1	55.6	50.9	66.7	(33.4-83.4)			22.2	19.2	33.3	(16.6-33.3)			33.3	57.7	0.0	(0.0-50.0)		
Via de administração da alimentação	Via oral	10.5	19.4	0.0	(0.0-33.3)	0.1	0.603**	30.0	25.8	33.3	(0.0-50.0)	0.72	-0.084	16.7	28.6	0.0	(0.0-16.7)	0.787	0.248
	PEG	55.6	50.9	66.7	(33.4-83.4)			22.2	19.2	33.3	(16.6-33.3)			33.3	57.7	0.0	(0.0-50.0)		
Consistência dos sólidos	Dieta regular	7.1	16.6	0.0	(0.0-0.0)	0.001	0.717**	29.2	24.7	33.3	(0.0-50.0)	0.957	-0.018	19.0	31.0	0.0	(0.0-29.2)	0.523	-0.015
	Dieta mole	16.6	23.5	16.6	(0.0-33.3)			33.3	0.0	33.3	(33.3-33.3)			8.4	11.8	8.4	(0.0-16.7)		
	Dieta puré	26.7	27.9	33.3	(0.0-50.0)			33.3	39.1	16.7	(0.0-75.0)			6.7	14.9	0.0	(0.0-16.6)		
	SNG/PEG	55.6	50.9	66.7	(33.4-83.4)			22.2	19.2	33.3	(16.6-33.3)			33.3	57.7	0.0	(0.0-50.0)		
Consistência dos líquidos	Finos	10.5	19.4	0.0	(0.0-33.3)	0.1	0.603**	30.0	25.8	33.3	(0.0-50.0)	0.72	-0.084	16.7	28.6	0.0	(0.0-16.7)	0.787	0.248
	NPO líquidos	55.6	50.9	66.7	(33.4-83.4)			22.2	19.2	33.3	(16.6-33.3)			33.3	57.7	0.0	(0.0-50.0)		

Tabela 87 - Medidas descritivas, correlação e diferenças estatística das variáveis sociodemográficas e clínicas com escalas tossir, imagem corporal e comer em público do EORTC QLQ-HN43.

Variável clínico-demográfica	Valor	EORCT-HN43 Tossir						EORCT-HN43 Imagem corporal						EORCT-HN43 Comer em público					
		Média	SD	Mediana	(Q1-Q3)	p	Correlação	Média	SD	Mediana	(Q1-Q3)	p	Correlação	Média	SD	Mediana	(Q1-Q3)	p	Correlação
Género	Feminino	0.0	0.0	0.0	(0.0-0.0)	0.873	-0.076	8.3	16.6	0.0	(0.0-22.2)	0.447	-0.092	16.7	23.6	8.4	(0.0-41.7)	1	0.004
	Masculino	2.9	12.6	0.0	(0.0-0.0)			13.1	16.0	11.1	(0.0-25.0)			16.4	21.4	8.3	(0.0-27.1)		
Idade	-	-	-	-	-	-	0.168	-	-	-	-	-	0.068	-	-	-	-	-	0.007
Estado civil	Casado	5.0	16.3	0.0	(0.0-0.0)	0.397	-0.197	13.9	16.9	11.1	(0.0-22.2)	0.815	-0.082	17.5	22.3	8.3	(0.0-37.5)	0.726	-0.049
	Solteiro	0.0	0.0	0.0	(0.0-0.0)			11.1	17.2	5.6	(0.0-19.4)			15.3	30.0	0.0	(0.0-31.3)		
	Divorciado	0.0	0.0	0.0	(0.0-0.0)			11.1	15.0	5.6	(0.0-19.4)			15.3	15.8	12.5	(0.0-31.2)		
	Viúvo	-	-	-	-			-	-	-	-			-	-	-	-		
Nível escolaridade	Sem escolaridade	-	-	-	-	0.218	0.278	-	-	-	-	0.508	0.100	-	-	-	-	0.876	0.036
	1º ciclo	0.0	0.0	0.0	(0.0-0.0)			9.6	9.2	11.1	(0.0-22.2)			14.4	16.8	8.3	(0.0-25.0)		
	2º ciclo	0.0	0.0	0.0	(0.0-0.0)			11.1	15.7	5.6	(0.0-16.6)			20.8	31.5	0.0	(0.0-50.0)		
	3º ciclo	13.3	29.8	0.0	(0.0-33.4)			20.0	29.8	0.0	(0.0-50.0)			15.0	20.8	8.3	(0.0-33.4)		
	Secundário	0.0	0.0	0.0	(0.0-0.0)			3.7	6.4	0.0	(0.0-5.6)			8.3	14.4	0.0	(0.0-12.5)		
	Superior	6.7	14.9	0.0	(0.0-16.6)			22.2	17.6	22.2	(5.6-38.5)			20.0	17.3	16.7	(4.2-37.5)		
Problemas de saúde	Não	3.2	13.2	0.0	(0.0-0.0)	0.797	-0.106	12.9	16.7	11.1	(0.0-22.2)	1.000	-0.044	14.0	19.3	8.3	(0.0-25.0)	0.205	0.248
	Sim	0.0	0.0	0.0	(0.0-0.0)			11.1	12.8	11.1	(0.0-22.2)			27.4	27.5	16.7	(0.0-50.0)		
Estadiamento tumor	II	22.2	38.5	0.0	(0.0-33.4)	0.023	-0.312	25.9	35.7	11.1	(5.6-38.9)	0.794	0.026	11.1	12.7	8.3	(4.2-16.6)	0.895	0.051
	IVa	1.3	6.7	0.0	(0.0-0.0)			11.1	14.7	0.0	(0.0-22.2)			17.3	23.1	8.3	(0.0-33.3)		
	IVb	0.0	0.0	0.0	(0.0-0.0)			11.1	11.1	11.1	(5.6-16.6)			5.5	4.8	8.3	(4.2-8.3)		
	III	0.0	0.0	0.0	(0.0-0.0)			15.5	12.6	11.1	(5.6-27.8)			20.0	27.4	0.0	(0.0-50.0)		
	I	0.0	0.0	0.0	(0.0-0.0)			5.6	7.8	5.6	(0.0-11.1)			20.9	5.9	20.8	(16.7-25.0)		
Traqueostomia	Não	2.8	12.3	0.0	(0.0-0.0)	0.922	-0.053	11.4	15.4	11.1	(0.0-19.4)	0.048	0.403*	14.4	19.2	8.3	(0.0-25.0)	0.036	0.423**
	Sim	0.0	0.0	0.0	(0.0-0.0)			33.3	15.7	33.3	(22.2-44.4)			54.2	29.5	54.2	(33.3-75.0)		
Há quanto tempo terminou RdT	-	-	-	-	-	-	0.356*	-	-	-	-	-	0.073	-	-	-	-	-	-0.005
QT por CH&N	Não	33.4	47.2	33.4	(0.0-66.7)	0.27	-0.697**	38.9	39.3	38.9	(11.1-66.7)	0.182	-0.394*	16.6	11.8	16.6	(8.3-25.0)	0.597	-0.002
	Sim	0.9	5.6	0.0	(0.0-0.0)			11.1	13.5	11.1	(0.0-22.2)			16.4	21.8	8.3	(0.0-29.2)		
Medicação diária	Não	0.0	0.0	0.0	(0.0-0.0)	0.658	0.18	11.1	13.9	11.1	(0.0-22.2)	0.791	0.075	13.3	20.8	8.3	(0.0-16.7)	0.313	0.245
	Sim	4.3	15.2	0.0	(0.0-0.0)			13.5	17.4	11.1	(0.0-22.2)			18.5	21.8	8.3	(0.0-33.3)		

Variável clínico-demográfica	Valor	EORCT-HN43 Tossir						EORCT-HN43 Imagem corporal						EORCT-HN43 Comer em público					
		Média	SD	Mediana	(Q1-Q3)	p	Correlação	Média	SD	Mediana	(Q1-Q3)	p	Correlação	Média	SD	Mediana	(Q1-Q3)	p	Correlação
Disfagia	Não	0.0	0.0	0.0	(0.0-0.0)	0.792	0.122	2.8	5.1	0.0	(0.0-8.3)	0.041	0.321*	4.2	8.9	0.0	(0.0-6.2)	0.021	0.342*
	Sim	3.3	13.4	0.0	(0.0-0.0)			15.2	16.9	11.1	(0.0-22.2)			19.7	22.5	12.5	(0.0-35.4)		
Disfonia	Não	2.7	13.3	0.0	(0.0-0.0)	0.879	-0.004	10.2	16.3	0.0	(0.0-16.6)	0.053	0.334*	7.0	10.7	0.0	(0.0-12.5)	<0.001	0.679**
	Sim	2.6	9.2	0.0	(0.0-0.0)			17.1	14.8	11.1	(5.6-33.3)			34.6	25.0	41.7	(12.5-50.0)		
Terapia Deglutição Voz	Não	1.0	5.6	0.0	(0.0-0.0)	0.376	0.561**	10.5	12.3	11.1	(0.0-22.2)	0.186	0.455*	16.7	21.8	8.3	(0.0-25.0)	0.959	-0.036
	Sim	22.2	38.5	0.0	(0.0-33.4)			37.0	34.0	44.4	(22.2-55.6)			13.9	17.3	8.3	(4.2-20.8)		
Items FOIS - severidade disfagia	7	0.0	0.0	0.0	(0.0-0.0)	0.391	0.225	8.9	12.8	0.0	(0.0-11.1)	0.052	0.324	8.3	12.7	0.0	(0.0-16.7)	0.001	0.522**
	6	3.7	11.1	0.0	(0.0-0.0)			7.4	12.4	0.0	(0.0-16.6)			8.3	13.8	0.0	(0.0-12.5)		
	5	-	-	-	-			-	-	-	-			-	-	-	-		
	4	13.3	29.8	0.0	(0.0-33.4)			22.2	24.9	11.1	(11.1-38.9)			35.0	25.3	25.0	(16.6-58.4)		
	1	0.0	0.0	0.0	(0.0-0.0)			29.6	12.8	22.2	(22.2-33.3)			52.8	21.0	50.0	(41.6-62.5)		
Via de administração da alimentação	Via oral	2.8	12.4	0.0	(0.0-0.0)	0.879	-0.065	11.1	15.5	11.1	(0.0-11.1)	0.021	0.418*	13.3	18.4	8.3	(0.0-25.0)	0.007	0.507**
	PEG	0.0	0.0	0.0	(0.0-0.0)			29.6	12.8	22.2	(22.2-33.3)			52.8	21.0	50.0	(41.6-62.5)		
Consistência dos sólidos	Dieta regular	0.0	0.0	0.0	(0.0-0.0)	0.001	0.25	7.5	11.7	0.0	(0.0-11.1)	0.006	0.444**	7.1	11.3	0.0	(0.0-14.6)	<0.001	0.722**
	Dieta mole	16.6	23.5	16.6	(0.0-33.3)			33.3	0.0	33.3	(33.3-33.3)			45.8	5.9	45.8	(0.0-12.5)		
	Dieta puré	13.3	29.8	0.0	(0.0-33.4)			22.2	24.9	11.1	(11.1-38.9)			35.0	25.3	25.0	(16.6-58.4)		
	SNG/PEG	0.0	0.0	0.0	(0.0-0.0)			29.6	12.8	22.2	(22.2-33.3)			52.8	21.0	50.0	(41.6-62.5)		
Consistência dos líquidos	Finos	2.8	12.4	0.0	(0.0-0.0)	0.879	-0.065	11.1	15.5	11.1	(0.0-11.1)	0.021	0.418*	13.3	18.4	8.3	(0.0-25.0)	0.007	0.507**
	NPO líquidos	0.0	0.0	0.0	(0.0-0.0)			29.6	12.8	22.2	(22.2-33.3)			52.8	21.0	50.0	(41.6-62.5)		

Tabela 88 - Medidas descritivas, correlação e diferenças estatística das variáveis sociodemográficas e clínicas com escalas problemas de fala, contacto social e problemas com a sexualidade do EORTC QLQ-HN43.

		EORCT-HN43 Problemas de fala						EORCT-HN43 Contacto social						EORCT-HN43 Problemas com a sexualidade					
Variável clínico-demográfica	Valor	Média	SD	Mediana	(Q1-Q3)	p	Correlação	Média	SD	Mediana	(Q1-Q3)	p	Correlação	Média	SD	Mediana	(Q1-Q3)	p	Correlação
Género	Feminino	10.0	11.5	10.0	(0.0-20.0)	0.801	-0.091	0.0	0.0	0.0	(0.0-0.0)	0.598	-0.131	33.3	47.1	16.6	(0.0-83.3)	0.598	0.269
	Masculino	16.5	23.0	6.7	(0.0-21.7)			10.8	26.9	0.0	(0.0-0.0)			14.2	17.5	0.0	(0.0-33.3)		
Idade	-	-	-	-	-	-	-0.074	-	-	-	-	-	-0.167	-	-	-	-	-	0.054
Estado civil	Casado	10.3	11.5	6.7	(0.0-18.3)	0.495	0.282	8.3	18.3	0.0	(0.0-0.0)	0.524	0.129	20.8	26.4	8.4	(0.0-33.3)	0.493	-0.185
	Solteiro	22.2	38.6	10.0	(0.0-35.0)			0.0	0.0	0.0	(0.0-0.0)			8.3	13.9	0.0	(0.0-20.8)		
	Divorciado	21.7	25.0	16.6	(0.0-40.0)			16.7	38.9	0.0	(0.0-0.0)			12.5	16.1	0.0	(0.0-33.3)		
	Viúvo	-	-	-	-			-	-	-	-			-	-	-	-		
Nível escolaridade	Sem escolaridade	-	-	-	-	0.731	0.063	-	-	-	-	0.669	0.05	-	-	-	-	0.118	0.006
	1º ciclo	16.0	22.5	6.7	(0.0-26.7)			15.6	35.3	0.0	(0.0-0.0)			20.0	26.9	16.7	(0.0-33.3)		
	2º ciclo	17.3	31.0	6.6	(0.0-18.3)			6.7	14.0	0.0	(0.0-8.3)			6.7	14.0	0.0	(0.0-8.3)		
	3º ciclo	16.0	14.6	6.7	(6.7-30.0)			0.0	0.0	0.0	(0.0-0.0)			16.7	16.6	16.7	(0.0-33.3)		
	Secundário	8.9	10.2	6.7	(3.4-13.4)			0.0	0.0	0.0	(0.0-0.0)			27.8	25.4	33.3	(16.5-41.6)		
	Superior	16.0	16.7	20.0	(0.0-30.0)			13.3	29.8	0.0	(0.0-33.3)			16.7	23.6	0.0	(0.0-41.6)		
Problemas de saúde	Não	13.1	20.4	6.7	(0.0-20.0)	0.065	0.399*	10.8	27.7	0.0	(0.0-0.0)	0.912	-0.092	17.2	23.4	0.0	(0.0-33.3)	0.740	-0.094
	Sim	27.6	27.0	20.0	(6.7-40.0)			4.8	12.6	0.0	(0.0-0.0)			11.9	15.8	0.0	(0.0-33.3)		
Estadiamento tumor	II	15.6	21.4	6.7	(3.4-23.4)	0.604	0.141	44.4	50.9	33.3	(16.6-66.6)	0.000	-0.453**	22.2	19.2	33.3	(16.6-33.3)	0.075	0.275
	IVa	17.1	26.0	6.7	(0.0-26.6)			9.3	24.6	0.0	(0.0-0.0)			12.7	23.7	0.0	(0.0-25.0)		
	IVb	8.9	15.4	0.0	(0.0-13.4)			0.0	0.0	0.0	(0.0-0.0)			16.7	16.6	16.7	(8.4-25.0)		
	III	12.0	5.6	13.3	(6.7-16.6)			0.0	0.0	0.0	(0.0-0.0)			26.6	14.9	33.3	(16.6-33.3)		
	I	20.0	0.0	20.0	(20.0-20.0)			0.0	0.0	0.0	(0.0-0.0)			25.0	35.4	25.0	(0.0-50.0)		
Traqueostomia	Não	11.7	13.4	6.7	(0.0-20.0)	0.003	0.802**	10.2	26.2	0.0	(0.0-0.0)	0.728	-0.09	16.6	22.5	0.0	(0.0-33.3)	0.774	-0.085
	Sim	90.0	14.1	90.0	(80.0-100)			0.0	0.0	0.0	(0.0-0.0)			8.4	11.8	8.4	(0.0-16.7)		
Há quanto tempo terminou RdT	-	-	-	-	-	-	-0.218	-	-	-	-	-	-0.13	-	-	-	-	-	-0.007
QT por CH&N	Não	13.4	9.4	13.4	(6.7-20.0)	0.631	0.002	0.0	0.0	0.0	(0.0-0.0)	0.728	0.09	41.6	11.8	41.6	(33.3-50.0)	0.071	-0.275
	Sim	15.9	22.7	6.7	(0.0-20.0)			10.2	26.2	0.0	(0.0-0.0)			14.8	21.7	0.0	(0.0-33.3)		
Medicação diária	Não	14.2	25.4	6.7	(0.0-20.0)	0.244	0.248	0.0	0.0	0.0	(0.0-0.0)	0.458	0.265	10.0	16.4	0.0	(0.0-16.7)	0.235	0.231
	Sim	16.8	20.2	6.7	(0.0-33.3)			15.9	31.6	0.0	(0.0-33.3)			20.3	24.6	16.7	(0.0-33.3)		
Disfagia	Não	5.8	7.5	3.4	(0.0-11.6)	0.171	0.236	0.0	0.0	0.0	(0.0-0.0)	0.407	0.197	14.6	18.8	8.4	(0.0-29.2)	0.986	0.039

Variável clínico-demográfica	Valor	EORCT-HN43 Problemas de fala						EORCT-HN43 Contacto social						EORCT-HN43 Problemas com a sexualidade					
		Média	SD	Mediana	(Q1-Q3)	p	Correlação	Média	SD	Mediana	(Q1-Q3)	p	Correlação	Média	SD	Mediana	(Q1-Q3)	p	Correlação
	Sim	18.4	24.0	13.3	(0.0-28.4)			12.2	28.3	0.0	(0.0-0.0)			16.6	23.2	0.0	(0.0-33.3)		
Disfonia	Não	9.9	16.8	6.7	(0.0-13.3)	0.005	0.499**	1.3	6.7	0.0	(0.0-0.0)	0.058	0.484**	15.3	24.0	0.0	(0.0-33.3)	0.504	0.057
	Sim	27.2	27.0	20.0	(6.7-40.0)			25.6	38.9	0.0	(0.0-50.0)			17.9	18.6	16.7	(0.0-33.3)		
Terapia Deglutição Voz	Não	16.4	22.8	6.7	(0.0-20.0)	0.799	-0.092	9.5	26.3	0.0	(0.0-0.0)	0.682	0.017	15.7	22.5	0.0	(0.0-33.3)	0.536	0.08
	Sim	8.9	10.2	6.7	(3.4-13.4)			11.1	19.2	0.0	(0.0-16.6)			22.2	19.2	33.3	(16.6-33.3)		
Items FOIS - severidade disfagia	7	8.3	10.8	3.4	(0.0-13.3)	0.045	0.435**	0.0	0.0	0.0	(0.0-0.0)	<0.001	0.469**	13.3	25.7	0.0	(0.0-29.2)	0.153	0.331*
	6	10.4	14.2	6.7	(0.0-20.0)			11.1	23.6	0.0	(0.0-16.6)			14.8	19.4	0.0	(0.0-33.3)		
	5	-	-	-	-			-	-	-	-			-	-	-	-		
	4	26.7	15.6	33.3	(10.0-40.0)			53.3	44.7	33.3	(16.6-100)			26.6	14.9	33.3	(16.6-33.3)		
	1	62.2	49.1	80.0	(43.4-90.0)			0.0	0.0	0.0	(0.0-0.0)			16.7	16.6	16.7	(8.4-25.0)		
Via de administração da alimentação	Via oral	11.8	13.5	6.7	(0.0-20.0)	0.065	0.623**	10.5	26.5	0.0	(0.0-0.0)	0.644	-0.112	16.2	22.7	0.0	(0.0-33.3)	0.799	0.006
	PEG	62.2	49.1	80.0	(43.4-90.0)			0.0	0.0	0.0	(0.0-0.0)			16.7	16.6	16.7	(8.4-25.0)		
Consistência dos sólidos	Dieta regular	7.8	10.3	3.4	(0.0-13.3)	0.006	0.675**	1.2	6.3	0.0	(0.0-0.0)	<0.001	0.417**	12.5	23.0	0.0	(0.0-29.2)	0.020	0.231
	Dieta mole	30.0	14.1	30.0	(20.0-40.0)			33.4	47.2	33.4	(0.0-66.7)			41.6	11.8	41.6	(33.3-50.0)		
	Dieta puré	26.7	15.6	33.3	(10.0-40.0)			53.3	44.7	33.3	(16.6-100)			26.6	14.9	33.3	(16.6-33.3)		
	SNG/PEG	62.2	49.1	80.0	(43.4-90.0)			0.0	0.0	0.0	(0.0-0.0)			16.7	16.6	16.7	(8.4-25.0)		
Consistência dos líquidos	Finos	11.8	13.5	6.7	(0.0-20.0)	0.065	0.623**	10.5	26.5	0.0	(0.0-0.0)	0.644	-0.112	16.2	22.7	0.0	(0.0-33.3)	0.799	0.006
	NPO líquidos	62.2	49.1	80.0	(43.4-90.0)			0.0	0.0	0.0	(0.0-0.0)			16.7	16.6	16.7	(8.4-25.0)		

Tabela 89 - Medidas descritivas, correlação e diferenças estatística das variáveis sociodemográficas e clínicas com escalas problemas nos ombros, edema no pescoço e problemas de pele do EORTC QLQ-HN43.

Variável clínico-demográfica	Valor	EORCT-HN43 Problemas nos ombros						EORCT-HN43 Edema no pescoço						EORCT-HN43 Problemas de pele					
		Média	SD	Mediana	(Q1-Q3)	p	Correlação	Média	SD	Mediana	(Q1-Q3)	p	Correlação	Média	SD	Mediana	(Q1-Q3)	p	Correlação
Género	Feminino	0.0	0.0	0.0	(0.0-0.0)	0.535	-0.144	0.0	0.0	0.0	(0.0-0.0)	1.000	-	0.0	0.0	0.0	(0.0-0.0)	0.663	-0.126
	Masculino	8.3	18.9	0.0	(0.0-0.0)			0.0	0.0	0.0	(0.0-0.0)			3.9	10.2	0.0	(0.0-0.0)		
Idade	-	-	-	-	-	-	0.098	-	-	-	-	-	-	-	-	-	-	-	0.402*
Estado civil	Casado	5.8	14.6	0.0	(0.0-0.0)	0.718	0.154	0.0	0.0	0.0	(0.0-0.0)	1.000	-	3.3	8.9	0.0	(0.0-0.0)	0.575	-
	Solteiro	2.8	6.8	0.0	(0.0-4.2)			0.0	0.0	0.0	(0.0-0.0)			0.0	0.0	0.0	(0.0-0.0)		
	Divorciado	12.5	25.8	0.0	(0.0-12.5)			0.0	0.0	0.0	(0.0-0.0)			5.6	13.0	0.0	(0.0-0.0)		
	Viúvo	-	-	-	-			-	-	-	-			-	-	-	-		
Nível escolaridade	Sem escolaridade	-	-	-	-	0.336	-0.332	-	-	-	-	1.000	-	-	-	-	-	0.582	0.117
	1º ciclo	10.0	19.7	0.0	(0.0-16.7)			0.0	0.0	0.0	(0.0-0.0)			3.0	8.9	0.0	(0.0-0.0)		
	2º ciclo	6.7	16.1	0.0	(0.0-4.2)			0.0	0.0	0.0	(0.0-0.0)			0.0	0.0	0.0	(0.0-0.0)		
	3º ciclo	13.3	29.8	0.0	(0.0-33.4)			0.0	0.0	0.0	(0.0-0.0)			6.7	14.9	0.0	(0.0-16.6)		
	Secundário	0.0	0.0	0.0	(0.0-0.0)			0.0	0.0	0.0	(0.0-0.0)			7.4	12.8	0.0	(0.0-11.1)		
	Superior	0.0	0.0	0.0	(0.0-0.0)			0.0	0.0	0.0	(0.0-0.0)			6.7	14.9	0.0	(0.0-16.6)		
Problemas de saúde	Não	3.2	9.0	0.0	(0.0-0.0)	0.089	0.605**	0.0	0.0	0.0	(0.0-0.0)	1.000	-	2.1	7.3	0.0	(0.0-0.0)	0.263	0.492*
	Sim	26.2	33.1	0.0	(0.0-66.7)			0.0	0.0	0.0	(0.0-0.0)			9.5	16.2	0.0	(0.0-33.3)		
Estadiamento tumor	II	0.0	0.0	0.0	(0.0-0.0)	0.000	0.243	0.0	0.0	0.0	(0.0-0.0)	1.000	-	0.0	0.0	0.0	(0.0-0.0)	0.003	0.333
	IVa	9.3	21.0	0.0	(0.0-0.0)			0.0	0.0	0.0	(0.0-0.0)			4.0	11.0	0.0	(0.0-0.0)		
	IVb	16.7	16.6	16.7	(8.4-25.0)			0.0	0.0	0.0	(0.0-0.0)			0.0	0.0	0.0	(0.0-0.0)		
	III	0.0	0.0	0.0	(0.0-0.0)			0.0	0.0	0.0	(0.0-0.0)			2.2	5.0	0.0	(0.0-5.6)		
	I	0.0	0.0	0.0	(0.0-0.0)			0.0	0.0	0.0	(0.0-0.0)			11.1	15.7	11.1	(0.0-22.2)		
Traqueostomia	Não	5.6	15.4	0.0	(0.0-0.0)	0.004	0.850**	0.0	0.0	0.0	(0.0-0.0)	1.000	-	2.8	8.5	0.0	(0.0-0.0)	0.289	0.696**
	Sim	41.7	35.4	41.7	(16.7-66.7)			0.0	0.0	0.0	(0.0-0.0)			16.6	23.5	16.6	(0.0-33.3)		
Há quanto tempo terminou RdT	-	-	-	-	-	-	-0.087	-	-	-	-	-	-	-	-	-	-	-	-0.131
QT por CH&N	Não	0.0	0.0	0.0	(0.0-0.0)	0.683	0.099	0.0	0.0	0.0	(0.0-0.0)	1.000	-	11.1	15.7	11.1	(0.0-22.2)	0.336	-0.356*
	Sim	7.9	18.5	0.0	(0.0-0.0)			0.0	0.0	0.0	(0.0-0.0)			3.1	9.4	0.0	(0.0-0.0)		
Medicação diária	Não	4.4	9.9	0.0	(0.0-0.0)	0.976	0.137	0.0	0.0	0.0	(0.0-0.0)	1.000	-	1.5	5.7	0.0	(0.0-0.0)	0.575	0.171
	Sim	9.4	21.8	0.0	(0.0-0.0)			0.0	0.0	0.0	(0.0-0.0)			4.8	11.5	0.0	(0.0-0.0)		
Disfagia	Não	0.0	0.0	0.0	(0.0-0.0)	0.332	0.216	0.0	0.0	0.0	(0.0-0.0)	1.000	-	4.2	8.2	0.0	(0.0-8.3)	0.399	-0.185

Variável clínico-demográfica	Valor	EORCT-HN43 Problemas nos ombros						EORCT-HN43 Edema no pescoço						EORCT-HN43 Problemas de pele					
		Média	SD	Mediana	(Q1-Q3)	p	Correlação	Média	SD	Mediana	(Q1-Q3)	p	Correlação	Média	SD	Mediana	(Q1-Q3)	p	Correlação
	Sim	9.4	19.9	0.0	(0.0-4.2)			0.0	0.0	0.0	(0.0-0.0)			3.3	10.2	0.0	(0.0-0.0)		
Disfonia	Não	4.7	14.8	0.0	(0.0-0.0)	0.139	0.422*	0.0	0.0	0.0	(0.0-0.0)	1.000	-	2.7	8.0	0.0	(0.0-0.0)	0.832	0.122
	Sim	12.8	22.7	0.0	(0.0-25.0)			0.0	0.0	0.0	(0.0-0.0)			5.1	12.5	0.0	(0.0-0.0)		
Terapia Deglutição Voz	Não	8.1	18.7	0.0	(0.0-0.0)	0.607	-0.123	0.0	0.0	0.0	(0.0-0.0)	1.000	-	3.8	10.0	0.0	(0.0-0.0)	0.72	-0.107
	Sim	0.0	0.0	0.0	(0.0-0.0)			0.0	0.0	0.0	(0.0-0.0)			0.0	0.0	0.0	(0.0-0.0)		
Items FOIS - severidade disfagia	7	5.0	16.3	0.0	(0.0-0.0)	0.003	0.539**	0.0	0.0	0.0	(0.0-0.0)	1.000	-	3.3	8.9	0.0	(0.0-0.0)	0.035	0.297
	6	1.8	5.6	0.0	(0.0-0.0)			0.0	0.0	0.0	(0.0-0.0)			3.7	11.1	0.0	(0.0-0.0)		
	5	-	-	-	-			-	-	-	-			-	-	-	-		
	4	16.7	23.6	0.0	(0.0-41.6)			0.0	0.0	0.0	(0.0-0.0)			0.0	0.0	0.0	(0.0-0.0)		
	1	27.8	34.7	16.7	(8.4-41.7)			0.0	0.0	0.0	(0.0-0.0)			11.1	19.2	0.0	(0.0-16.6)		
Via de administração da alimentação	Via oral	5.7	15.6	0.0	(0.0-0.0)	0.064	0.683**	0.0	0.0	0.0	(0.0-0.0)	1.000	-	2.8	8.6	0.0	(0.0-0.0)	0.38	0.560**
	PEG	27.8	34.7	16.7	(8.4-41.7)			0.0	0.0	0.0	(0.0-0.0)			11.1	19.2	0.0	(0.0-16.6)		
Consistência dos sólidos	Dieta regular	4.2	14.1	0.0	(0.0-0.0)	0.001	0.605**	0.0	0.0	0.0	(0.0-0.0)	1.000	-	2.4	7.6	0.0	(0.0-0.0)	0.005	0.338*
	Dieta mole	0.0	0.0	0.0	(0.0-0.0)			0.0	0.0	0.0	(0.0-0.0)			16.6	23.5	16.6	(0.0-33.3)		
	Dieta puré	16.7	23.6	0.0	(0.0-41.6)			0.0	0.0	0.0	(0.0-0.0)			0.0	0.0	0.0	(0.0-0.0)		
	SNG/PEG	27.8	34.7	16.7	(8.4-41.7)			0.0	0.0	0.0	(0.0-0.0)			11.1	19.2	0.0	(0.0-16.6)		
Consistência dos líquidos	Finos	5.7	15.6	0.0	(0.0-0.0)	0.064	0.683**	0.0	0.0	0.0	(0.0-0.0)	1.000	-	2.8	8.6	0.0	(0.0-0.0)	0.38	0.560**
	NPO líquidos	27.8	34.7	16.7	(8.4-41.7)			0.0	0.0	0.0	(0.0-0.0)			11.1	19.2	0.0	(0.0-16.6)		

Tabela 90 - Medidas descritivas, correlação e diferenças estatística das variáveis sociodemográficas e clínicas com as escalas perda de peso, ansiedade e problemas na cicatrização de feridas do EORTC QLQ-HN43.

		EORCT-HN43 Perda de peso						EORCT-HN43 Ansiedade						EORCT-HN43 Problemas na cicatrização de feridas					
Variável clínico-demográfica	Valor	Média	SD	Mediana	(Q1-Q3)	p	Correlação	Média	SD	Mediana	(Q1-Q3)	p	Correlação	Média	SD	Mediana	(Q1-Q3)	p	Correlação
Género	Feminino	0.0	0.0	0.0	(0.0-0.0)	0.276	-0.203	45.8	21.0	50.0	(25.0-62.5)	0.026	0.554**	0.0	0.0	0.0	(0.0-0.0)	0.801	-0.094
	Masculino	15.7	24.9	0.0	(0.0-33.3)			18.6	21.6	16.7	(0.0-33.3)			3.9	13.6	0.0	(0.0-0.0)		
Idade	-	-	-	-	-	-	0.331*	-	-	-	-	-	0.157	-	-	-	-	-	0.067
Estado civil	Casado	21.7	29.2	0.0	(0.0-33.3)	0.019	0.428*	27.5	23.7	25.0	(4.2-45.8)	0.057	-0.407*	1.7	7.4	0.0	(0.0-0.0)	0.36	0.219
	Solteiro	5.6	13.6	0.0	(0.0-8.3)			13.9	12.5	16.7	(0.0-20.9)			0.0	0.0	0.0	(0.0-0.0)		
	Divorciado	5.6	13.0	0.0	(0.0-0.0)			15.3	24.0	8.4	(0.0-16.7)			8.3	20.7	0.0	(0.0-0.0)		
	Viúvo	-	-	-	-			-	-	-	-			-	-	-	-		
Nível escolaridade	Sem escolaridade	-	-	-	-	0.084	0.32	-	-	-	-	0.199	0.361*	-	-	-	-	0.753	0.066
	1º ciclo	11.1	16.2	0.0	(0.0-33.3)			13.3	15.7	16.7	(0.0-16.7)			2.2	8.6	0.0	(0.0-0.0)		
	2º ciclo	10.0	22.5	0.0	(0.0-8.3)			16.8	13.6	16.7	(0.0-33.3)			3.3	10.5	0.0	(0.0-0.0)		
	3º ciclo	20.0	44.7	0.0	(0.0-50.0)			33.3	35.3	33.3	(0.0-66.6)			0.0	0.0	0.0	(0.0-0.0)		
	Secundário	33.3	33.4	33.3	(16.6-50.0)			16.7	0.0	16.7	(16.7-16.7)			0.0	0.0	0.0	(0.0-0.0)		
	Superior	13.3	18.2	0.0	(0.0-33.3)			46.7	32.0	50.0	(16.7-75.0)			13.3	29.8	0.0	(0.0-33.4)		
Problemas de saúde	Não	12.9	23.8	0.0	(0.0-33.3)	0.555	0.1	20.4	24.2	16.7	(0.0-33.3)	0.265	0.099	4.3	14.2	0.0	(0.0-0.0)	0.713	-0.131
	Sim	19.0	26.2	0.0	(0.0-33.3)			26.2	16.2	33.3	(16.7-33.3)			0.0	0.0	0.0	(0.0-0.0)		
Estadiamento tumor	II	33.3	57.7	0.0	(0.0-50.0)	0.621	-0.089	33.3	44.1	16.7	(8.4-50.0)	0.248	0.143	0.0	0.0	0.0	(0.0-0.0)	0.815	0.074
	IVa	12.0	18.9	0.0	(0.0-33.3)			18.7	21.1	16.7	(0.0-33.3)			4.0	14.6	0.0	(0.0-0.0)		
	IVb	11.1	19.2	0.0	(0.0-16.6)			5.6	9.6	0.0	(0.0-8.4)			0.0	0.0	0.0	(0.0-0.0)		
	III	6.7	14.9	0.0	(0.0-16.6)			30.0	13.9	33.3	(16.7-33.3)			6.7	14.9	0.0	(0.0-0.0)		
	I	33.4	47.2	33.4	(0.0-66.7)			41.7	35.4	41.7	(16.7-66.7)			0.0	0.0	0.0	(0.0-0.0)		
Traqueostomia	Não	13.9	24.4	0.0	(0.0-33.3)	0.728	0.026	21.8	23.5	16.7	(0.0-33.3)	1.000	-0.05	3.7	13.3	0.0	(0.0-0.0)	0.871	-0.065
	Sim	16.6	23.5	16.6	(0.0-33.3)			16.7	0.0	16.7	(16.7-16.7)			0.0	0.0	0.0	(0.0-0.0)		
Há quanto tempo terminou RdT	-	-	-	-	-	-	-0.029	-	-	-	-	-	0.083	-	-	-	-	-	0.294
QT por CH&N	Não	83.4	23.5	83.4	(66.7-100)	0.003	-0.689**	50.0	47.1	50.0	(16.7-83.3)	0.284	-0.298	0.0	0.0	0.0	(0.0-0.0)	0.871	0.065
	Sim	10.2	17.5	0.0	(0.0-33.3)			19.9	21.0	16.7	(0.0-33.3)			3.7	13.3	0.0	(0.0-0.0)		
Medicação diária	Não	11.1	20.6	0.0	(0.0-33.3)	0.448	0.191	16.7	18.9	16.7	(0.0-33.3)	0.375	0.172	2.2	8.6	0.0	(0.0-0.0)	0.906	0.081
	Sim	15.9	26.3	0.0	(0.0-33.3)			24.6	25.0	16.7	(0.0-33.3)			4.3	15.2	0.0	(0.0-0.0)		
Disfagia	Não	12.5	24.8	0.0	(0.0-25.0)	0.435	0.169	12.5	14.8	8.4	(0.0-29.2)	0.281	0.206	0.0	0.0	0.0	(0.0-0.0)	0.686	0.142

		EORCT-HN43 Perda de peso						EORCT-HN43 Ansiedade						EORCT-HN43 Problemas na cicatrização de feridas					
Variável clínico-demográfica	Valor	Média	SD	Mediana	(Q1-Q3)	p	Correlação	Média	SD	Mediana	(Q1-Q3)	p	Correlação	Média	SD	Mediana	(Q1-Q3)	p	Correlação
	Sim	14.4	24.2	0.0	(0.0-33.3)			23.9	24.2	16.7	(0.0-33.3)			4.4	14.5	0.0	(0.0-0.0)		
Disfonia	Não	16.0	25.7	0.0	(0.0-33.3)	0.105	-0.322	24.7	24.1	16.7	(8.4-33.3)	0.397	-0.114	2.7	13.3	0.0	(0.0-0.0)	0.605	0.091
	Sim	10.2	21.0	0.0	(0.0-16.6)			15.4	19.8	0.0	(0.0-33.3)			5.1	12.5	0.0	(0.0-0.0)		
Terapia Deglutição Voz	Não	12.4	19.9	0.0	(0.0-33.3)	0.759	0.238	18.1	18.2	16.7	(0.0-33.3)	0.048	0.513**	1.9	7.8	0.0	(0.0-0.0)	0.377	0.561**
	Sim	33.3	57.7	0.0	(0.0-50.0)			61.1	38.4	83.3	(50.0-83.3)			22.2	38.5	0.0	(0.0-33.4)		
Items FOIS - severidade disfagia	7	8.3	18.3	0.0	(0.0-0.0)	0.022	0.493**	22.5	23.7	16.7	(0.0-33.3)	0.693	-0.034	5.0	16.3	0.0	(0.0-0.0)	0.027	0.290
	6	14.8	17.6	0.0	(0.0-33.3)			16.7	16.7	16.7	(0.0-25.0)			0.0	0.0	0.0	(0.0-0.0)		
	5	-	-	-	-			-	-	-	-			-	-	-	-		
	4	40.0	43.5	33.3	(0.0-83.4)			23.3	36.5	0.0	(0.0-58.3)			0.0	0.0	0.0	(0.0-0.0)		
	1	11.1	19.2	0.0	(0.0-16.6)			16.7	0.0	16.7	(16.7-16.7)			11.1	19.2	0.0	(0.0-16.6)		
Via de administração da alimentação	Via oral	14.3	24.6	0.0	(0.0-33.3)	1.000	-0.036	21.9	23.8	16.7	(0.0-33.3)	1	-0.062	2.8	12.4	0.0	(0.0-0.0)	0.468	0.174
	PEG	11.1	19.2	0.0	(0.0-16.6)			16.7	0.0	16.7	(16.7-16.7)			11.1	19.2	0.0	(0.0-16.6)		
Consistência dos sólidos	Dieta regular	9.5	17.8	0.0	(0.0-25.0)	0.196	0.324	19.6	21.3	16.7	(0.0-33.3)	0.264	0.038	3.6	13.9	0.0	(0.0-0.0)	0.012	0.404*
	Dieta mole	16.6	23.5	16.6	(0.0-33.3)			50.0	0.0	50.0	(50.0-50.0)			0.0	0.0	0.0	(0.0-0.0)		
	Dieta puré	40.0	43.5	33.3	(0.0-83.4)			23.3	36.5	0.0	(0.0-58.3)			0.0	0.0	0.0	(0.0-0.0)		
	SNG/PEG	11.1	19.2	0.0	(0.0-16.6)			16.7	0.0	16.7	(16.7-16.7)			11.1	19.2	0.0	(0.0-16.6)		
Consistência dos líquidos	Finos	14.3	24.6	0.0	(0.0-33.3)	1.000	-0.036	21.9	23.8	16.7	(0.0-33.3)	1	-0.062	2.8	12.4	0.0	(0.0-0.0)	0.468	0.174
	NPO líquidos	11.1	19.2	0.0	(0.0-16.6)			16.7	0.0	16.7	(16.7-16.7)			11.1	19.2	0.0	(0.0-16.6)		

Tabela 91 - Medidas descritivas, correlação e diferenças estatística das variáveis sociodemográficas e clínicas com a escala problemas neurológicos do EORTC QLQ-HN43.

		EORCT-HN43 Problemas neurológicos					
Variável clínico-demográfica	Valor	Média	SD	Mediana	(Q1-Q3)	p	Correlação
Género	Feminino	16.6	19.2	16.6	(0.0-33.3)	0.873	0.000
	Masculino	16.7	23.6	0.0	(0.0-33.3)		
Idade	-	-	-	-	-	-	0.109
Estado civil	Casado	16.6	20.2	0.0	(0.0-33.3)	0.832	0.000
	Solteiro	16.6	18.2	16.6	(0.0-33.3)		
	Divorciado	16.7	30.2	0.0	(0.0-50.0)		
	Viúvo	-	-	-	-		
Nível escolaridade	Sem escolaridade	-	-	-	-	0.238	-0.059
	1º ciclo	17.8	24.8	0.0	(0.0-33.3)		
	2º ciclo	20.0	23.3	16.6	(0.0-33.3)		
	3º ciclo	6.7	14.9	0.0	(0.0-16.6)		
	Secundário	0.0	0.0	0.0	(0.0-0.0)		
	Superior	26.7	27.9	33.3	(0.0-50.0)		
Problemas de saúde	Não	15.0	22.5	0.0	(0.0-33.3)	0.395	0.15
	Sim	23.8	25.2	33.3	(0.0-33.3)		
Estadiamento tumor	II	0.0	0.0	0.0	(0.0-0.0)	0.446	-0.013
	IVa	20.0	23.6	0.0	(0.0-33.3)		
	IVb	22.2	38.5	0.0	(0.0-33.4)		
	III	13.3	18.2	0.0	(0.0-33.3)		
	I	0.0	0.0	0.0	(0.0-0.0)		
Traqueostomia	Não	14.8	21.7	0.0	(0.0-33.3)	0.085	0.347*
	Sim	50.0	23.6	50.0	(33.3-66.7)		
Há quanto tempo terminou RdT	-	-	-	-	-	-	0.001
QT por CH&N	Não	0.0	0.0	0.0	(0.0-0.0)	0.376	0.174
	Sim	17.6	23.2	0.0	(0.0-33.3)		
Medicação diária	Não	17.8	24.8	0.0	(0.0-33.3)	0.906	-0.04
	Sim	15.9	22.2	0.0	(0.0-33.3)		
Disfagia	Não	0.0	0.0	0.0	(0.0-0.0)	0.031	0.380*
	Sim	21.1	23.9	16.6	(0.0-33.3)		

		EORCT-HN43 Problemas neurológicos					
Variável clínico-demográfica	Valor	Média	SD	Mediana	(Q1-Q3)	p	Correlação
Disfonia	Não	14.7	23.7	0.0	(0.0-33.3)	0.377	0.122
	Sim	20.5	21.7	33.3	(0.0-33.3)		
Terapia Deglutição Voz	Não	16.2	21.9	0.0	(0.0-33.3)	0.919	0.072
	Sim	22.2	38.5	0.0	(0.0-33.4)		
Items FOIS - severidade disfagia	7	18.3	25.3	0.0	(0.0-33.3)	0.165	0.002
	6	7.4	14.7	0.0	(0.0-16.6)		
	5	-	-	-	-		
	4	13.3	18.2	0.0	(0.0-33.3)		
	1	33.3	33.4	33.3	(16.6-50.0)		
Via de administração da alimentação	Via oral	15.2	21.9	0.0	(0.0-33.3)	0.319	0.216
	PEG	33.3	33.4	33.3	(16.6-50.0)		
Consistência dos sólidos	Dieta regular	14.3	23.0	0.0	(0.0-33.3)	0.294	0.176
	Dieta mole	33.3	0.0	33.3	(33.3-33.3)		
	Dieta puré	13.3	18.2	0.0	(0.0-33.3)		
	SNG/PEG	33.3	33.4	33.3	(16.6-50.0)		
Consistência dos líquidos	Finos	15.2	21.9	0.0	(0.0-33.3)	0.319	0.216
	NPO líquidos	33.3	33.4	33.3	(16.6-50.0)		

Tabela 92 - Medidas descritivas, correlação e diferenças estatística das variáveis sociodemográficas e clínicas com as escalas burden, desejo de comer e duração da alimentação do SWAL-QOL.

		SWALQOL-*Burden*						SWALQOL-Desejo de comer						SWALQOL-Duração da alimentação					
Variável clínico-demográfica	Valor	Média	SD	Mediana	(Q1-Q3)	p	Correlação	Média	SD	Mediana	(Q1-Q3)	p	Correlação	Média	SD	Mediana	(Q1-Q3)	p	Correlação
Género	Feminino	71.9	25.8	75.0	(46.9-93.8)	0.535	0.117	72.9	30.0	79.2	(41.6-97.9)	0.447	-0.097	34.4	21.3	31.2	(15.6-56.2)	0.42	-0.157
	Masculino	59.2	34.7	56.2	(25.0-100)			81.4	27.0	100.0	(66.7-100)			53.7	39.5	56.2	(12.5-100)		
Idade	-	-	-	-	-	-	0.15	-	-	-	-	-	-0.038	-	-	-	-	-	0.009
Estado civil	Casado	61.2	34.6	62.5	(28.1-100)	0.424	-0.102	82.9	19.8	87.5	(66.7-100)	0.806	-0.145	49.4	36.1	50.0	(15.6-84.4)	0.131	-0.058
	Solteiro	75.0	30.6	87.5	(43.8-100)			86.1	22.1	100.0	(62.5-100)			79.2	40.0	100.0	(56.2-100)		
	Divorciado	52.1	34.0	43.8	(25.0-84.4)			73.6	38.4	95.8	(52.1-100)			41.7	37.4	25.0	(12.5-75.0)		
	Viúvo	-	-	-	-			-	-	-	-			-	-	-	-		
Nível escolaridade	Sem escolaridade	-	-	-	-	0.835	-0.164	-	-	-	-	0.013	-0.087	-	-	-	-	0.671	0.022
	1º ciclo	65.8	30.4	62.5	(37.5-100)			83.3	27.4	100.0	(66.7-100)			44.2	37.2	37.5	(12.5-87.5)		
	2º ciclo	60.0	32.7	56.2	(25.0-90.6)			90.8	17.8	100.0	(85.4-100)			63.8	42.7	87.5	(21.9-100)		
	3º ciclo	65.0	38.9	75.0	(25.0-100)			70.0	27.4	83.3	(41.6-91.6)			52.5	43.7	75.0	(6.2-87.5)		
	Secundário	41.7	52.0	25.0	(12.5-62.5)			58.3	0.0	58.3	(58.3-58.3)			62.5	12.5	62.5	(56.2-68.8)		
	Superior	52.5	39.9	62.5	(12.5-87.5)			75.0	42.5	91.7	(41.6-100)			42.5	42.9	50.0	(0.0-81.2)		
Problemas de saúde	Não	61.7	34.4	62.5	(25.0-100)	0.606	-0.074	79.8	27.7	91.7	(66.7-100)	0.74	0.051	50.0	37.2	50.0	(12.5-87.5)	0.53	0.092
	Sim	55.4	33.0	50.0	(25.0-87.5)			83.3	25.5	100.0	(66.7-100)			58.9	44.9	75.0	(12.5-100)		
Estadiamento tumor	II	33.3	26.0	25.0	(18.8-43.8)	0.518	0.203	94.4	9.6	100.0	(91.6-100)	0.642	-0.178	37.5	54.5	12.5	(6.2-56.2)	0.499	0.200
	IVa	61.5	35.7	62.5	(25.0-100)			82.3	24.9	100.0	(66.7-100)			48.5	37.6	50.0	(12.5-81.2)		
	IVb	62.5	33.1	50.0	(43.8-75.0)			55.6	50.9	66.7	(33.4-83.4)			41.7	43.9	37.5	(18.8-62.5)		
	III	75.0	29.3	87.5	(43.8-100)			80.0	29.8	100.0	(50.0-100)			77.5	37.9	100.0	(43.8-100)		
	I	50.0	35.4	50.0	(25.0-75.0)			75.0	23.6	75.0	(58.3-91.7)			62.5	0.0	62.5	(62.5-62.5)		
Traqueostomia	Não	62.5	33.7	62.5	(28.1-100)	0.159	-0.251	79.4	27.4	91.7	(66.7-100)	0.256	0.173	49.0	37.5	50.0	(12.5-84.4)	0.057	0.302
	Sim	25.0	0.0	25.0	(25.0-25.0			100.0	0.0	100.0	(100-100)			100.0	0.0	100.0	(100-100)		
Há quanto tempo terminou RdT	-	-	-	-	-	-	0.014	-	-	-	-	-	-0.009	-	-	-	-	-	-0.078
QT por CH&N	Não	18.8	8.8	18.8	(12.5-25.0)	0.071	0.295	70.8	17.7	70.8	(58.3-83.3)	0.313	0.086	31.2	44.2	31.2	(0.0-62.5)	0.410	0.127
	Sim	62.8	33.2	62.5	(28.1-100)			81.0	27.5	100.0	(66.7-100)			52.8	38.3	50.0	(12.5-96.9)		
Medicação diária	Não	67.5	30.9	75.0	(37.5-100)	0.344	-0.169	77.2	28.8	91.7	(58.3-100)	0.442	0.099	59.2	36.7	62.5	(25.0-100)	0.375	-0.161
	Sim	56.0	35.5	62.5	(25.0-100)			82.6	26.2	100.0	(66.7-100)			46.7	39.2	37.5	(12.5-87.5)		
Disfagia	Não	90.6	26.5	100.0	(100-100)	<0.001	-0.558**	83.3	23.1	100.0	(58.3-100)	0.792	-0.055	81.2	13.4	75.0	(75.0-96.9)	0.026	-0.405*
	Sim	52.5	31.2	50.0	(25.0-78.1)			79.7	28.2	91.7	(66.7-100)			43.8	38.9	37.5	(9.4-90.6)		

		SWALQOL-*Burden*						SWALQOL-Desejo de comer						SWALQOL-Duração da alimentação					
Variável clínico-demográfica	Valor	Média	SD	Mediana	(Q1-Q3)	p	Correlação	Média	SD	Mediana	(Q1-Q3)	p	Correlação	Média	SD	Mediana	(Q1-Q3)	p	Correlação
Disfonia	Não	66.0	35.4	75.0	(31.2-100)	0.178	-0.227	77.0	28.8	83.3	(62.5-100)	0.210	0.181	55.5	36.8	62.5	(25.0-93.8)	0.484	-0.142
	Sim	50.0	28.9	50.0	(25.0-68.8)			87.2	22.7	100.0	(75.0-100)			44.2	41.3	25.0	(12.5-93.8)		
Terapia Deglutição Voz	Não	63.6	32.6	62.5	(25.0-100)	0.074	-0.312	82.1	24.3	100.0	(66.7-100)	0.536	-0.213	53.2	36.9	50.0	(12.5-87.5)	0.405	-0.142
	Sim	25.0	33.1	12.5	(6.2-37.5)			61.1	53.6	83.3	(41.6-91.6)			33.3	57.7	0.0	(0.0-50.0)		
Items FOIS - severidade disfagia	7	76.9	29.0	87.5	(53.1-100)	0.015	-0.564**	81.2	26.0	95.8	(66.7-100)	0.131	0.082	60.6	34.0	68.8	(37.5-96.9)	0.011	-0.169
	6	54.2	35.9	50.0	(25.0-93.8)			72.2	33.1	83.3	(54.2-100)			43.0	39.1	50.0	(0.0-81.2)		
	5	-	-	-	-			-	-	-	-			-	-	-	-		
	4	27.5	20.5	25.0	(12.5-43.8)			96.7	7.5	100.0	(91.6-100)			10.0	10.4	12.5	(0.0-18.8)		
	1	33.3	14.4	25.0	(25.0-37.5)			88.9	19.2	100.0	(83.4-100)			100.0	0.0	100.0	(100-100)		
Via de administração da alimentação	Via oral	62.8	34.1	62.5	(25.0-100)	0.168	-0.238	79.8	27.7	91.7	(66.7-100)	0.607	0.092	47.5	37.0	50.0	(12.5-75.0)	0.013	0.375*
	PEG	33.3	14.4	25.0	(25.0-37.5)			88.9	19.2	100.0	(83.4-100)			100.0	0.0	100.0	(100-100)		
Consistência dos sólidos	Dieta regular	71.4	31.9	81.2	(50.0-100)	0.010	-0.503**	77.7	28.3	87.5	(60.4-100)	0.229	0.211	57.1	34.9	62.5	(28.1-87.5)	0.003	-0.051
	Dieta mole	31.2	8.8	31.2	(25.0-37.5)			66.6	47.2	66.6	(33.3-100)			6.2	8.8	6.2	(0.0-12.5)		
	Dieta puré	27.5	20.5	25.0	(12.5-43.8)			96.7	7.5	100.0	(91.6-100)			10.0	10.4	12.5	(0.0-18.8)		
	SNG/PEG	33.3	14.4	25.0	(25.0-37.5)			88.9	19.2	100.0	(83.4-100)			100.0	0.0	100.0	(100-100)		
Consistência dos líquidos	Finos	62.8	34.1	62.5	(25.0-100)	0.168	-0.238	79.8	27.7	91.7	(66.7-100)	0.607	0.092	47.5	37.0	50.0	(12.5-75.0)	0.013	0.375*
	NPO líquidos	33.3	14.4	25.0	(25.0-37.5)			88.9	19.2	100.0	(83.4-100)			100.0	0.0	100.0	(100-100)		

Tabela 93 - Medidas descritivas, correlação e diferenças estatística das variáveis sociodemográficas e clínicas com as escalas frequência de sintomas, seleção dos alimentos e comunicação do SWAL-QOL.

		SWALQOL-Frequência dos sintomas						SWALQOL-Seleção dos alimentos						SWALQOL-Comunicação					
Variável clínico-demográfica	Valor	Média	SD	Mediana	(Q1-Q3)	p	Correlação	Média	SD	Mediana	(Q1-Q3)	p	Correlação	Média	SD	Mediana	(Q1-Q3)	p	Correlação
Género	Feminino	81.2	11.8	80.3	(70.6-92.8)	0.945	0.059	71.9	32.9	75.0	(40.6-100)	0.945	0.002	87.5	25.0	100.0	(62.5-100)	0.394	0.139
	Masculino	77.9	18.0	81.2	(59.4-95.0)			71.7	32.3	87.5	(50.0-100)			72.4	34.6	87.5	(50.0-100)		
Idade	-	-	-	-	-	-	-0.028	-	-	-	-	-	-0.003	-	-	-	-	-	0.086
Estado civil	Casado	80.5	16.9	83.9	(67.9-96.0)	0.662	-0.126	76.9	28.8	100.0	(50.0-100)	0.28	-0.235	80.6	25.2	100.0	(50.0-100)	0.581	-0.228
	Solteiro	75.6	22.8	76.8	(52.7-100)			79.2	33.2	100.0	(43.8-100)			72.9	40.6	93.8	(37.5-100)		
	Divorciado	75.9	16.2	77.7	(58.5-91.6)			59.4	35.4	50.0	(37.5-100)			63.5	42.4	81.2	(12.5-100)		
	Viúvo	-	-	-	-			-	-	-	-			-	-	-	-		
Nível escolaridade	Sem escolaridade	-	-	-	-	0.499	-0.05	-	-	-	-	0.977	-0.053	-	-	-	-	0.847	0.197
	1º ciclo	83.1	15.8	87.5	(67.9-96.4)			75.8	27.3	100.0	(50.0-100)			67.5	40.0	87.5	(50.0-100)		
	2º ciclo	71.4	19.9	76.8	(50.9-87.5)			68.8	42.2	100.0	(21.9-100)			71.2	37.3	93.8	(43.8-100)		
	3º ciclo	74.6	24.0	78.6	(50.0-97.3)			65.0	38.9	75.0	(25.0-100)			80.0	27.4	100.0	(50.0-100)		
	Secundário	78.0	2.7	78.6	(76.8-79.5)			70.8	26.0	62.5	(56.2-81.2)			95.8	7.2	100.0	(93.8-100)		
	Superior	81.4	14.1	82.1	(67.8-94.6)			72.5	28.5	75.0	(43.8-100)			80.0	20.9	75.0	(62.5-100)		
Problemas de saúde	Não	80.4	17.0	82.1	(67.9-96.4)	0.083	-0.254	68.1	32.7	62.5	(50.0-100)	0.073	0.325*	77.0	32.1	100.0	(50.0-100)	0.395	-0.189
	Sim	69.1	17.1	73.2	(53.6-80.4)			87.5	23.9	100.0	(75.0-100)			60.7	40.4	50.0	(25.0-100)		
Estadiamento tumor	II	76.2	26.3	85.7	(66.0-91.0)	0.993	0.084	54.2	43.9	50.0	(31.2-75.0)	0.568	0.094	66.7	57.7	100.0	(50.0-100)	0.765	0.147
	IVa	77.3	18.0	80.4	(59.8-94.6)			76.5	30.9	100.0	(50.0-100)			72.0	35.4	87.5	(50.0-100)		
	IVb	80.4	21.9	89.3	(72.4-92.8)			58.3	36.1	37.5	(37.5-68.8)			79.2	26.0	87.5	(68.8-93.8)		
	III	82.1	14.4	80.4	(69.6-95.5)			62.5	35.4	50.0	(31.2-100)			75.0	25.0	75.0	(50.0-100)		
	I	81.2	1.2	81.2	(80.4-82.1)			81.2	26.5	81.2	(62.5-100)			100.0	0.0	100.0	(100-100)		
Traqueostomia	Não	79.2	16.9	82.1	(65.2-96.0)	0.230	-0.217	71.5	32.3	87.5	(50.0-100)	0.922	0.025	78.1	29.6	100.0	(50.0-100)	0.011	-0.523**
	Sim	62.5	25.3	62.5	(44.6-80.4)			75.0	35.4	75.0	(50.0-100)			0.0	0.0	0.0	(0.0-0.0)		
Há quanto tempo terminou RdT	-	-	-	-	-	-	-0.254	-	-	-	-	-	-0.184	-	-	-	-	-	0.163
QT por CH&N	Não	63.4	24.0	63.4	(46.4-80.4)	0.256	0.205	37.5	35.4	37.5	(12.5-62.5)	0.230	0.256	100.0	0.0	100.0	(100-100)	0.256	-0.184
	Sim	79.1	17.0	82.1	(65.2-96.0)			73.6	31.2	100.0	(50.0-100)			72.6	34.2	87.5	(50.0-100)		
Medicação diária	Não	78.9	18.9	82.1	(55.4-96.4)	0.701	-0.030	68.3	37.8	100.0	(37.5-100)	0.746	0.087	81.7	30.2	100.0	(50.0-100)	0.300	-0.185
	Sim	77.9	16.7	80.4	(64.3-94.6)			73.9	28.2	75.0	(50.0-100)			69.0	35.7	75.0	(50.0-100)		

		SWALQOL-Frequência dos sintomas						SWALQOL-Seleção dos alimentos						SWALQOL-Comunicação					
Variável clínico-demográfica	Valor	Média	SD	Mediana	(Q1-Q3)	p	Correlação	Média	SD	Mediana	(Q1-Q3)	p	Correlação	Média	SD	Mediana	(Q1-Q3)	p	Correlação
Disfagia	Não	92.0	9.2	95.5	(83.5-99.1)	0.011	-0.412*	95.3	13.2	100.0	(100-100)	0.013	-0.425**	98.4	4.4	100.0	(100-100)	0.013	-0.377*
	Sim	74.6	17.3	79.5	(55.4-88.0)			65.4	32.6	56.2	(37.5-100)			67.5	35.3	75.0	(50.0-100)		
Disfonia	Não	81.1	15.7	82.1	(72.3-95.5)	0.234	-0.226	76.5	33.9	100.0	(43.8-100)	0.178	-0.211	89.5	23.6	100.0	(87.5-100)	<0.001	-0.743**
	Sim	72.9	19.7	78.6	(52.7-92.8)			62.5	26.5	50.0	(50.0-87.5)			44.2	30.9	50.0	(12.5-62.5)		
Terapia Deglutição Voz	Não	79.2	17.1	82.1	(64.3-96.4)	0.270	-0.179	73.6	30.7	100.0	(50.0-100)	0.294	-0.202	72.5	34.7	87.5	(50.0-100)	0.468	0.155
	Sim	67.8	19.9	71.4	(58.9-78.6)			50.0	45.1	37.5	(25.0-68.8)			91.7	14.4	100.0	(87.5-100)		
Items FOIS - severidade disfagia	7	81.6	15.4	83.9	(71.8-96.0)	0.510	-0.230	78.8	30.1	100.0	(53.1-100)	0.441	-0.246	84.4	21.8	100.0	(56.2-100)	0.009	-0.432**
	6	78.8	17.1	82.1	(59.8-93.8)			70.8	37.5	100.0	(43.8-100)			91.7	16.5	100.0	(87.5-100)		
	5	-	-	-	-			-	-	-	-			-	-	-	-		
	4	73.9	25.0	82.1	(47.3-96.4)			55.0	31.4	50.0	(31.2-81.2)			35.0	41.8	25.0	(0.0-75.0)		
	1	61.9	17.9	60.7	(52.6-70.6)			66.7	28.9	50.0	(50.0-75.0)			25.0	43.3	0.0	(0.0-37.5)		
Via de administração da alimentação	Via oral	79.7	16.8	82.1	(67.9-96.4)	0.109	-0.280	72.1	32.5	100.0	(50.0-100)	0.799	-0.047	78.2	30.1	100.0	(50.0-100)	0.035	-0.430**
	PEG	61.9	17.9	60.7	(52.6-70.6)			66.7	28.9	50.0	(50.0-75.0)			25.0	43.3	0.0	(0.0-37.5)		
Consistência dos sólidos	Dieta regular	81.3	15.7	83.9	(71.8-96.0)	0.248	-0.318	77.2	32.2	100.0	(50.0-100)	0.245	-0.226	87.9	19.4	100.0	(78.1-100)	0.002	-0.699**
	Dieta mole	71.4	10.1	71.4	(64.3-78.6)			43.8	8.8	43.8	(37.5-50.0)			50.0	0.0	50.0	(50.0-50.0)		
	Dieta puré	73.9	25.0	82.1	(47.3-96.4)			55.0	31.4	50.0	(31.2-81.2)			35.0	41.8	25.0	(0.0-75.0)		
	SNG/PEG	61.9	17.9	60.7	(52.6-70.6)			66.7	28.9	50.0	(50.0-75.0)			25.0	43.3	0.0	(0.0-37.5)		
Consistência dos líquidos	Finos	79.7	16.8	82.1	(67.9-96.4)	0.109	-0.280	72.1	32.5	100.0	(50.0-100)	0.799	-0.047	78.2	30.1	100.0	(50.0-100)	0.035	-0.430**
	NPO líquidos	61.9	17.9	60.7	(52.6-70.6)			66.7	28.9	50.0	(50.0-75.0)			25.0	43.3	0.0	(0.0-37.5)		

Tabela 94 - Medidas descritivas, correlação e diferenças estatística das variáveis sociodemográficas e clínicas com as escalas receios, saúde mental e funcionamento social do SWAL-QOL.

		SWALQOL-Receios						SWALQOL-Saúde mental						SWALQOL-Funcionamento social					
Variável clínico-demográfica	Valor	Média	SD	Mediana	(Q1-Q3)	p	Correlação	Média	SD	Mediana	(Q1-Q3)	p	Correlação	Média	SD	Mediana	(Q1-Q3)	p	Correlação
Género	Feminino	59.4	36.3	59.4	(26.6-92.2)	0.32	-0.119	61.2	43.7	67.5	(17.5-98.8)	0.566	-0.107	66.2	47.1	82.5	(16.2-100)	0.836	-0.026
	Masculino	71.5	31.4	81.3	(43.8-100)			71.9	29.7	80.0	(53.8-100)			65.6	38.6	100.0	(23.8-100)		
Idade	-	-	-	-	-	-	0.114	-	-	-	-	-	0.000	-	-	-	-	-	0.04
Estado civil	Casado	75.3	31.6	90.6	(51.6-100)	0.466	-0.166	72.2	29.6	80.0	(42.5-100)	0.801	-0.066	67.8	38.7	85.0	(31.2-100)	0.728	0.018
	Solteiro	65.6	39.9	78.2	(28.1-100)			72.5	42.6	97.5	(30.0-100)			75.0	38.8	100.0	(27.5-100)		
	Divorciado	64.1	28.5	62.5	(39.1-95.3)			67.5	29.2	62.5	(55.0-98.8)			68.8	42.2	100.0	(12.5-100)		
	Viúvo	-	-	-	-			-	-	-	-			-	-	-	-		
Nível escolaridade	Sem escolaridade	-	-	-	-	0.669	0.172	-	-	-	-	0.99	0.016	-	-	-	-	0.987	0.189
	1º ciclo	71.7	29.1	87.5	(43.8-100)			72.0	28.6	80.0	(55.0-100)			62.7	43.6	100.0	(10.0-100)		
	2º ciclo	60.0	36.1	56.3	(34.4-100)			70.5	35.8	87.5	(38.8-100)			67.0	43.2	100.0	(20.0-100)		
	3º ciclo	61.3	46.0	81.3	(12.5-100)			61.0	41.9	70.0	(17.5-100)			75.0	43.3	100.0	(37.5-100)		
	Secundário	79.2	19.1	75.0	(68.8-87.5)			73.3	30.6	80.0	(60.0-90.0)			75.0	21.8	65.0	(62.5-82.5)		
	Superior	90.0	11.3	93.8	(78.2-100)			76.0	26.1	80.0	(50.0-100)			84.0	21.6	95.0	(62.5-100)		
Problemas de saúde	Não	70.4	32.0	81.3	(43.8-100)	0.768	-0.009	73.4	28.0	80.0	(55.0-100)	0.395	-0.179	71.6	35.9	100.0	(30.0-100)	0.632	-0.132
	Sim	69.6	32.4	81.3	(25.0-100)			59.3	42.2	70.0	(10.0-100)			58.6	51.8	100.0	(0.0-100)		
Estadiamento tumor	II	41.7	52.0	25.0	(12.5-62.5)	0.607	0.259	60.0	37.7	55.0	(40.0-77.5)	0.971	0.047	61.7	46.4	75.0	(42.5-87.5)	0.858	0.009
	IVa	73.3	29.3	81.3	(43.8-100)			73.4	30.4	80.0	(55.0-100)			72.4	38.5	100.0	(35.0-100)		
	IVb	66.7	28.9	50.0	(50.0-75.0)			68.3	27.5	55.0	(52.5-77.5)			75.0	43.3	100.0	(62.5-100)		
	III	63.8	34.9	56.3	(31.2-100)			66.0	39.7	80.0	(25.0-100)			50.0	46.9	30.0	(10.0-100)		
	I	96.9	4.4	96.9	(93.8-100)			70.0	42.4	70.0	(40.0-100)			80.0	28.3	80.0	(60.0-100)		
Traqueostomia	Não	71.4	29.8	81.3	(43.8-100)	0.728	-0.153	74.6	27.0	80.0	(55.0-75.0)	0.003	-0.528**	72.2	37.6	100.0	(35.0-100)	0.102	-0.303*
	Sim	50.0	70.7	50.0	(0.0-100)			2.5	3.5	2.5	(0.0-5.0)			15.0	7.1	15.0	(10.0-20.0)		
Há quanto tempo terminou RdT	-	-	-	-	-	-	0.046	-	-	-	-	-	0.085	-	-	-	-	-	0.063
QT por CH&N	Não	50.0	70.7	50.0	(0.0-100)	0.728	0.153	32.5	10.6	32.5	(25.0-40.0)	0.071	0.296	67.5	10.6	67.5	(60.0-75.0)	0.558	0.011
	Sim	71.4	29.8	81.3	(43.8-100)			72.9	30.3	80.0	(55.0-100)			69.3	39.9	100.0	(21.2-100)		
Medicação diária	Não	71.3	32.4	87.5	(43.8-100)	0.768	-0.026	74.3	32.0	95.0	(50.0-100)	0.516	-0.094	77.0	34.8	100.0	(30.0-100)	0.213	-0.164
	Sim	69.6	31.8	81.3	(43.8-100)			68.5	30.7	80.0	(40.0-100)			64.1	41.2	75.0	(10.0-100)		
Disfagia	Não	91.4	16.7	100.0	(81.2-100)	0.019	-0.350*	90.0	21.4	100.0	(85.0-100)	0.006	-0.405*	95.0	14.1	100.0	(100-100)	0.019	-0.380*
	Sim	64.6	32.4	71.9	(37.5-100)			65.7	31.3	67.5	(40.0-100)			62.3	40.6	75.0	(20.0-100)		

		SWALQOL-Receios						SWALQOL-Saúde mental						SWALQOL-Funcionamento social					
Variável clínico-demográfica	Valor	Média	SD	Mediana	(Q1-Q3)	p	Correlação	Média	SD	Mediana	(Q1-Q3)	p	Correlação	Média	SD	Mediana	(Q1-Q3)	p	Correlação
Disfonia	Não	76.3	28.3	87.5	(53.2-100)	0.150	-0.268	77.8	30.3	100.0	(45.0-100)	0.038	-0.319	84.2	27.1	100.0	(70.0-100)	0.002	-0.542**
	Sim	58.7	35.5	43.8	(25.0-100)			57.3	28.3	60.0	(45.0-80.0)			40.4	42.5	20.0	(5.0-97.5)		
Terapia Deglutição Voz	Não	71.1	30.2	81.3	(43.8-100)	0.759	-0.092	72.1	30.4	80.0	(55.0-100)	0.436	-0.152	68.0	40.1	100.0	(20.0-100)	0.879	0.108
	Sim	60.4	53.2	81.3	(40.6-90.6)			55.0	39.7	40.0	(32.5-70.0)			83.3	14.4	75.0	(75.0-87.5)		
Items FOIS - severidade disfagia	7	79.7	23.6	87.5	(59.4-100)	0.019	-0.322*	78.2	24.7	87.5	(51.2-100)	0.007	-0.355*	83.5	28.0	100.0	(67.5-100)	<0.001	-0.522**
	6	79.2	24.2	87.5	(56.2-100)			88.3	18.7	100.0	(70.0-100)			90.6	19.1	100.0	(82.5-100)		
	5	-	-	-	-			-	-	-	-			-	-	-	-		
	4	27.5	18.0	25.0	(12.5-43.8)			47.0	16.4	55.0	(30.0-60.0)			19.0	31.7	10.0	(0.0-42.5)		
	1	66.7	57.7	100.0	(50.0-100)			28.3	44.8	5.0	(2.5-42.5)			16.7	5.8	20.0	(15.0-20.0)		
Via de administração da alimentação	Via oral	70.5	29.8	81.3	(43.8-100)	0.759	-0.034	74.4	27.4	80.0	(55.0-100)	0.056	-0.408*	73.7	37.1	100.0	(50.0-100)	0.041	-0.401*
	PEG	66.7	57.7	100.0	(50.0-100)			28.3	44.8	5.0	(2.5-42.5)			16.7	5.8	20.0	(15.0-20.0)		
Consistência dos sólidos	Dieta regular	79.7	23.8	87.5	(57.8-100)	0.011	-0.425**	82.1	23.2	97.5	(58.8-100)	0.005	-0.602**	87.0	25.0	100.0	(80.0-100)	<0.001	-0.879**
	Dieta mole	50.0	35.3	50.0	(25.0-75.0)			35.0	35.4	35.0	(10.0-60.0)			25.0	35.3	25.0	(0.0-50.0)		
	Dieta puré	27.5	18.0	25.0	(12.5-43.8)			47.0	16.4	55.0	(30.0-60.0)			19.0	31.7	10.0	(0.0-42.5)		
	SNG/PEG	66.7	57.7	100.0	(50.0-100)			28.3	44.8	5.0	(2.5-42.5)			16.7	5.8	20.0	(15.0-20.0)		
Consistência dos líquidos	Finos	70.5	29.8	81.3	(43.8-100)	0.759	-0.034	74.4	27.4	80.0	(55.0-100)	0.056	-0.408*	73.7	37.1	100.0	(50.0-100)	0.041	-0.401*
	NPO líquidos	66.7	57.7	100.0	(50.0-100)			28.3	44.8	5.0	(2.5-42.5)			16.7	5.8	20.0	(15.0-20.0)		

Tabela 95 - Medidas descritivas, correlação e diferenças estatística das variáveis sociodemográficas e clínicas com as escalas fadiga e sono do SWAL-QOL.

		SWALQOL-Fadiga						SWALQOL-Sono					
Variável clínico-demográfica	Valor	Média	SD	Mediana	(Q1-Q3)	p	Correlação	Média	SD	Mediana	(Q1-Q3)	p	Correlação
Género	Feminino	79.2	4.8	79.2	(75.0-83.3)	0.909	0.087	56.2	37.5	75.0	(18.8-75.0)	0.182	-0.204
	Masculino	72.1	26.7	75.0	(50.0-100)			75.0	27.3	87.5	(50.0-100)		
Idade	-	-	-	-	-	-	-0.059	-	-	-	-	-	-0.419**
Estado civil	Casado	68.3	28.2	75.0	(50.0-91.7)	0.485	0.205	70.0	30.4	75.0	(56.2-87.5)	0.45	0.049
	Solteiro	73.6	21.4	66.7	(56.2-100)			85.4	20.0	93.8	(68.8-100)		
	Divorciado	79.9	22.0	87.5	(66.7-100)			71.9	29.2	81.2	(37.5-100)		
	Viúvo	-	-	-	-			-	-	-	-		
Nível escolaridade	Sem escolaridade	-	-	-	-	0.575	-0.152	-	-	-	-	0.297	-0.329*
	1º ciclo	80.6	22.0	83.3	(66.7-100)			84.2	19.7	87.5	(75.0-100)		
	2º ciclo	67.5	25.0	66.7	(47.9-93.8)			71.2	30.6	81.2	(37.5-100)		
	3º ciclo	65.0	41.0	83.3	(25.0-95.8)			45.0	47.3	37.5	(0.0-93.8)		
	Secundário	63.9	24.1	50.0	(50.0-70.8)			79.2	7.2	75.0	(75.0-81.2)		
	Superior	73.4	20.7	75.0	(54.2-91.7)			67.5	16.8	75.0	(50.0-81.2)		
Problemas de saúde	Não	76.4	24.4	83.3	(53.8-100)	0.053	-0.298	77.4	24.7	75.0	(75.0-100)	0.125	-0.328*
	Sim	57.1	24.7	50.0	(33.3-83.3)			53.6	38.0	37.5	(25.0-87.5)		
Estadiamento tumor	II	47.2	50.2	41.7	(20.8-70.8)	0.718	0.222	66.7	57.7	100.0	(50.0-100)	0.817	0.019
	IVa	75.0	23.6	83.3	(50.0-95.8)			74.5	24.9	75.0	(50.0-100)		
	IVb	72.2	25.4	66.7	(58.4-83.4)			83.3	28.9	100.0	(75.0-100)		
	III	81.7	16.0	83.3	(66.6-95.8)			62.5	38.5	87.5	(25.0-87.5)		
	I	62.5	17.7	62.5	(50.0-75.0)			75.0	0.0	75.0	(75.0-75.0)		
Traqueostomia	Não	74.1	25.1	79.1	(50.0-97.9)	0.182	-0.215	73.3	28.4	75.0	(50.0-100)	0.973	-0.036
	Sim	50.0	23.6	50.0	(33.3-66.7)			68.8	44.2	68.8	(37.5-100)		
Há quanto tempo terminou RdT	-	-	-	-	-	-	0.032	-	-	-	-	-	-0.053
QT por CH&N	Não	25.0	35.4	25.0	(0.0-50.0)	0.046	0.451**	37.5	53.0	37.5	(0.0-75.0)	0.182	0.297
	Sim	75.5	22.4	79.2	(52.1-97.9)			75.0	26.6	81.2	(50.0-100)		
Medicação diária	Não	76.1	19.6	75.0	(58.3-100)	0.680	-0.107	77.5	23.7	75.0	(50.0-100)	0.555	-0.128
	Sim	70.6	28.6	83.3	(50.0-91.7)			70.1	31.5	75.0	(50.0-100)		
Disfagia	Não	88.6	17.8	95.8	(79.2-100)	0.031	-0.325*	89.1	10.4	87.5	(78.1-100)	0.121	-0.294
	Sim	68.6	25.6	70.8	(50.0-91.7)			68.8	30.4	75.0	(46.9-100)		

		SWALQOL-Fadiga						SWALQOL-Sono					
Variável clínico-demográfica	Valor	Média	SD	Mediana	(Q1-Q3)	p	Correlação	Média	SD	Mediana	(Q1-Q3)	p	Correlação
Disfonia	Não	69.3	25.0	75.0	(50.0-91.7)	0.188	0.193	75.0	25.2	75.0	(62.5-100)	0.927	-0.097
	Sim	79.5	25.6	91.7	(58.4-100)			69.2	34.8	87.5	(37.5-100)		
Terapia Deglutição Voz	Não	76.0	22.4	83.3	(50.0-100)	0.035	-0.430**	75.0	26.2	75.0	(50.0-100)	0.436	-0.239
	Sim	36.1	33.7	41.7	(20.8-54.2)			50.0	50.0	50.0	(25.0-75.0)		
Items FOIS - severidade disfagia	7	77.1	18.1	79.2	(60.4-91.7)	0.928	-0.069	74.4	19.6	75.0	(56.2-87.5)	0.386	0.079
	6	68.5	24.2	66.7	(45.8-95.8)			81.9	24.3	100.0	(62.5-100)		
	5	-	-	-	-			-	-	-	-		
	4	65.0	48.7	100.0	(12.5-100)			65.0	48.7	100.0	(12.5-100)		
	1	66.7	33.4	66.7	(50.0-83.4)			75.0	33.1	87.5	(62.5-93.8)		
Via de administração da alimentação	Via oral	73.3	25.1	75.0	(50.0-91.7)	0.720	-0.072	72.8	28.7	75.0	(50.0-100)	0.879	0.021
	PEG	66.7	33.4	66.7	(50.0-83.4)			75.0	33.1	87.5	(62.5-93.8)		
Consistência dos sólidos	Dieta regular	75.6	19.5	75.0	(52.1-91.7)	0.821	-0.164	77.7	20.8	75.0	(75.0-100)	0.317	-0.149
	Dieta mole	62.5	29.4	62.5	(41.7-83.3)			25.0	35.4	25.0	(0.0-50.0)		
	Dieta puré	65.0	48.7	100.0	(12.5-100)			65.0	48.7	100.0	(12.5-100)		
	SNG/PEG	66.7	33.4	66.7	(50.0-83.4)			75.0	33.1	87.5	(62.5-93.8)		
Consistência dos líquidos	Finos	73.3	25.1	75.0	(50.0-91.7)	0.720	-0.072	72.8	28.7	75.0	(50.0-100)	0.879	0.021
	NPO líquidos	66.7	33.4	66.7	(50.0-83.4)			75.0	33.1	87.5	(62.5-93.8)		

Tabela 96 - Medidas descritivas, correlação e diferenças estatística das variáveis sociodemográficas e clínicas com o resultado global do VHI-9i.

		Resultado global VHI-9i					
Variável clínico-demográfica	Valor	Média	SD	Mediana	(Q1-Q3)	p	Correlação
Género	Feminino	8.8	15.6	1.5	(0.0-24.8)	0.697	-0.027
	Masculino	9.7	11.2	4.0	(0.0-18.5)		
Idade	-	-	-	-	-	-	-0.187
Estado civil	Casado	8.4	11.0	3.5	(0.0-16.2)	0.542	0.159
	Solteiro	8.0	11.0	2.0	(0.0-21.0)		
	Divorciado	12.6	12.7	11.0	(0.2-25.0)		
	Viúvo	-	-	-	-		
Nível escolaridade	Sem escolaridade	-	-	-	-	0.975	-0.108
	1º ciclo	10.6	12.2	4.0	(0.0-21.0)		
	2º ciclo	10.7	13.2	3.0	(0.0-22.5)		
	3º ciclo	9.2	14.1	0.0	(0.0-23.0)		
	Secundário	2.7	2.9	1.0	(1.0-3.5)		
	Superior	9.2	7.3	12.0	(1.5-15.5)		
Problemas de saúde	Não	8.2	10.2	3.0	(0.0-17.0)	0.234	0.262
	Sim	15.8	15.1	14.0	(0.0-32.0)		
Estadiamento tumor	II	10.7	18.5	0.0	(0.0-16.0)	0.957	-0.038
	IVa	9.2	11.1	4.0	(0.0-15.5)		
	IVb	8.7	9.0	8.0	(4.0-13.0)		
	III	14.6	14.1	20.0	(0.0-26.5)		
	I	2.0	1.4	2.0	(1.0-3.0)		
Traqueostomia	Não	8.8	11.1	3.5	(0.0-16.2)	0.071	0.320*
	Sim	25.0	1.4	25.0	(24.0-26.0)		
Há quanto tempo terminou RdT	-	-	-	-	-	-	-0.136
QT por CH&N	Não	0.5	0.7	0.5	(0.0-1.0)	0.344	0.190
	Sim	10.1	11.6	4.0	(0.0-19.5)		
Medicação diária	Não	6.8	9.2	2.0	(2.0-18.0)	0.375	0.202
	Sim	11.5	12.6	6.0	(0.0-21.0)		
Disfagia	Não	0.2	0.5	0.0	(0.0-0.8)	0.003	0.429**
	Sim	12.1	11.7	10.0	(0.0-21.2)		

		Resultado global VHI-9i					
Variável clínico-demográfica	Valor	Média	SD	Mediana	(Q1-Q3)	p	Correlação
Disfonia	Não	4.3	7.3	0.0	(0.0-5.0)	<0.001	0.776**
	Sim	19.9	11.1	21.0	(13.0-32.0)		
Terapia Deglutição Voz	Não	10.0	11.7	4.0	(0.0-20.0)	0.375	-0.129
	Sim	4.7	8.1	0.0	(0.0-7.0)		
Items FOIS - severidade disfagia	7	5.6	7.8	1.0	(0.0-13.5)	0.009	0.463**
	6	4.1	5.7	2.0	(0.0-7.0)		
	5	-	-	-	-		
	4	22.6	15.1	32.0	(7.0-33.5)		
	1	23.7	2.5	24.0	(22.5-25.0)		
Via de administração da alimentação	Via oral	8.4	11.1	3.0	(0.0-14.0)	0.029	0.363*
	PEG	23.7	2.5	24.0	(22.5-25.0)		
Consistência dos sólidos	Dieta regular	4.8	6.9	1.0	(0.0-7.5)	0.002	0.670**
	Dieta mole	24.5	10.6	24.5	(17.0-32.0)		
	Dieta puré	22.6	15.1	32.0	(7.0-33.5)		
	SNG/PEG	23.7	2.5	24.0	(22.5-25.0)		
Consistência dos líquidos	Finos	8.4	11.1	3.0	(0.0-14.0)	0.029	0.363*
	NPO líquidos	23.7	2.5	24.0	(22.5-25.0)		

ANEXO XI - Recolha dados Videoendoscopia da deglutição (VED)

DOUTORAMENTO EM DESENVOLVIMENTO E PERTURBAÇÕES DA LINGUAGEM - ANÁLISE QUANTITATIVA DA FONAÇÃO E DEGLUTIÇÃO E A PERCEÇÃO DO DOENTE COM CANCRO DA OROFARINGE

NÃO PREENCHER
Data _____/_____/_____ Código ID:_____--_____

DADOS A RECOLHER VIDEOENDOSCOPIA DA DEGLUTIÇÃO[1]

PARTE I - OBSERVAÇÃO DO MOVIMENTO DAS ESTRUTURAS E SENSIBILIDADE:

Acesso endoscópico: ☐ Direita ☐ Esquerda			Comentários
A. Nasofaringe a. Encerramento do esfíncter velofaríngeo i. Anormalidades anatómicas ii. Deglutição saliva iii. Produção /s/ prolongado e sílaba /ka/ repetida iv. Fala espontânea (vogais, contagem n.º)	Presente Completo Completo Completo	Ausente Incompleto Incompleto Incompleto	
	Presente	Ausente	
B. Orofaringe/Hipofaringe a. Anormalidades anatómicas (base língua, valéculas, paredes faríngeas) b. Movimento base língua c. Estase de saliva valéculas d. Estase de saliva seios piriformes e. Manobra aperto[2] faríngeo (/i/ hiperagudo) f. Eficiência manipulação secreções	☐ ☐ ☐ ☐ ☐ ☐	☐ ☐ ☐ ☐ ☐ ☐	 Resíduos: fora/dentro vestíbulo laríngeo Resíduos: fora/dentro vestíbulo laríngeo
C. Laringe (mobilidade, controlo e encerramento pregas vocais) a. Anormalidades anatómicas b. Fala espontânea c. Deglutição saliva d. Produção rápida e repetida /i/ hiperagudo e. Tosse voluntária f. Apneia	 ☐ ☐ ☐ ☐ ☐ ☐	 ☐ ☐ ☐ ☐ ☐ ☐	
D. Sensibilidade a. Base língua b. Aritnóides Provas/observar: toque bilateral do fibroscópio várias áreas da hipofaringe e laringe e observar reação	☐ ☐	☐ ☐	

[1] Adaptado de Ickenstein, G. W. (2013). Dysphagia - Management (C) - Diagnostic and therapeutic procedural recommendations for neurogenic dysphagia. In: HELIOS General Hospital Aue - University of Dresden. E de Bastian, R. W. (1991). Videoendoscopic evaluation of patients with dysphagia: an adjunct to the modified barium swallow. *Otolaryngol Head Neck Surg*, *104*(3), 339-350. https://doi.org/10.1177/019459989110400309

[2] Fuller, S. C., Leonard, R., Aminpour, S., & Belafsky, P. C. (2009). Validation of the pharyngeal squeeze maneuver. *Otolaryngol Head Neck Surg*, *140*(3), 391-394. https://doi.org/10.1016/j.otohns.2008.12.015

PARTE II - AVALIAÇÃO DEGLUTIÇÃO PROPRIAMENTE DITA:

	Pudim 10mL	Líquido fino 10mL	1\2 bolacha	Não testado	Comentários
B. Prova com alimento					
a. Latência (<1s)	□	□	□	□	
b. Escape posterior prematuro	□	□	□	□	
c. Resíduo após deglutição	□	□	□	□	
i. Valécula					
1. Sem resíduo (0)	□	□	□	□	
2. Resíduo ligeiro a moderado (1)	□	□	□	□	
3. Resíduo severo (2)	□	□	□	□	
ii. Seios piriformes					
4. Sem resíduo (0)	□	□	□	□	
5. Resíduo ligeiro a moderado (1)	□	□	□	□	
6. Resíduo severo (2)	□	□	□	□	
iii. Parede faríngea					
7. Sem resíduo (0)	□	□	□	□	
8. Resíduo ligeiro a moderado (1)	□	□	□	□	
9. Resíduo severo (2)	□	□	□	□	
d. *Whiteout* (<0,5s) deve ser completo, se rosa ou visualiza estruturas alterado	□	□	□	□	
e. N.º de deglutições por bolo					
i. 1 deglutição (0)	□	□	□	□	
ii. 1 deglutição + 1 adicional (1)	□	□	□	□	
iii. 1 deglutição + 2 adicional (2)	□	□	□	□	
iv. 1 deglutição + 3 adicional (3)	□	□	□	□	
v. 1 deglutição + 4 ou mais adicionais (4)	□	□	□	□	
C. Observações faringolaríngeas					
a. Doente reage à penetração/aspiração sem tosse	□	□	□	□	
b. Redução função vocal (produção "ah-ah-ah")	□	□	□	□	

PARTE III - AVALIAÇÃO DA ASPIRAÇÃO:

a) Aspiração presente: □ Não □ Sim □ Alto risco de aspiração
b) Momento de aspiração durante deglutição: □ Pré-deglutição □ Durante deglutição □ Após deglutição
c) Escala Penetração-Aspiração (PAS):

PAS (pior valor)[2]	□ 1	□ 2	□ 3	□ 4	□ 5	□ 6	□ 7	□ 8
Função de limpeza (critério Murray)[2]	□ A (efetivo) □ B (moderadamente efetivo) □ C (ligeiramente efetivo) □ D (Ineficaz)							

[2] Ver anexo.

Escala de penetração-aspiração (PAS):

· Rosenbek JC., Robbins JA, Roecker EB, Coyle JL, Wood JL. A penetration-aspiration scale. Dysphagia 1996; 11:93-98

Nível	Características (aqui as vias respiratórias referem-se à laringe e à traqueia)
1	O material não entra nas vias respiratórias.
2	O material entra nas vias respiratórias, permanece acima das pregas vocais e é então removido das vias respiratórios durante o processo.
3*	O material entra nas vias respiratórias, permanece acima das pregas vocais e não é removido das vias respiratórios durante o processo.
4	O material entra nas vias respiratórias, entra em contacto com as pregas vocais e é então removido das vias respiratórios durante o processo.
5*	O material entra nas vias respiratórias, entra em contacto com as pregas vocais e não é removido das vias respiratórios durante o processo.
6	O material entra nas vias respiratórias, passa por baixo das pregas vocais e é então removido da traqueia para a laringe ou para fora das vias respiratórias durante o processo.
7	O material entra nas vias respiratórias, passa por baixo das pregas vocais e não é removido da traqueia durante o processo, apesar dos esforços feitos.
8*	O material entra nas vias respiratórias, passa por baixo das pregas vocais e não é feito qualquer esforço para o remover.

* *no caso dos níveis 3, 5 ou 8, especifique se se trata de a, b, c ou d, de acordo com os critérios de Murray (por ex., 3a).

Desobstrução mediante pedido

· Murray J, Langmore SE, Ginsberg S, Dostie A. The significance of accumulated oropharyngeal secretions and swallowing frequency in predicting aspiration. Dysphagia 1996; 11:99-103

Nível	Características	Descrição
a	eficaz	O material é removido da traqueia, da entrada da laringe e/ou da faringe inferior
b	moderadamente eficaz	O material é transportado da traqueia e/ou da entrada da laringe mas só é transportado para a faringe inferior
c	ligeiramente eficaz	O material é transportado da traqueia mas só é transportado para a entrada da laringe
d	ineficaz	O material não pode ser removido da traqueia, da entrada da laringe e/ou da faringe inferior

Medidas temporais da videoendoscopia da deglutição

	Pudim		Mel		Néctar		Líquido fino		½ bolacha
	5mL	10mL	5mL	10mL	5mL	10mL	5mL	10mL	
A. Tempo de latência para início da deglutição									
B. Tempo de encerramento da via aérea									

ANEXO XII - Avaliação áudio-percetiva

AVALIAÇÃO ÁUDIO-PERCETIVA

Escala de avaliação percetiva da voz - GRBAS[3]

G (grade/grau de severidade da disfonia)	0 (normal)	1 (ligeiro)	2 (moderado)	3 (severo)
R (roughness /rouco ou áspero)	0 (normal)	1 (ligeiro)	2 (moderado)	3 (severo)
B (breathiness /soprada)	0 (normal)	1 (ligeiro)	2 (moderado)	3 (severo)
A (asteny /asténica ou débil)	0 (normal)	1 (ligeiro)	2 (moderado)	3 (severo)
S (strain /tensão ou esforço)	0 (normal)	1 (ligeiro)	2 (moderado)	3 (severo)

Ressonância - Nasalidade[4]

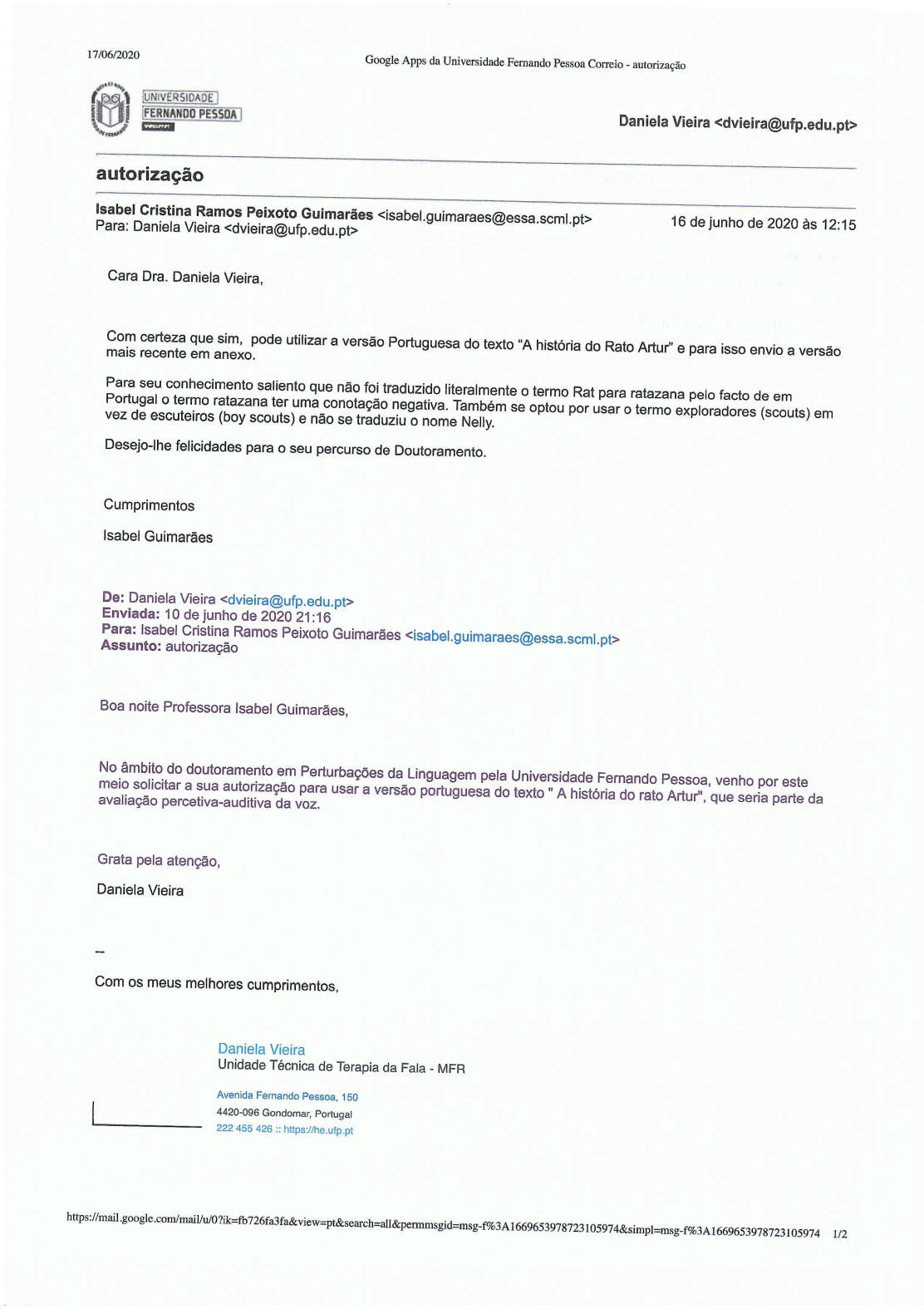
1) Leitura texto - "A história do rato Artur"[5]

2) Produção vogais (/a/, /i/, /u/)

Hipernasalidade	0= normal ou ausente	1= discreto	2= moderado	3= severo ou moderado
Hiponasaliade	0= normal ou ausente	1= discreto	2= moderado	3= severo ou moderado

[3] Adaptado de Hirano cit in Guimarães, I. (2007). *A Ciência e a Arte da Voz Humana*. ESSA – Escola Superior de Saúde de Alcoitão.
[4] Estas provas serão gravadas (som) para análise posterior
[5] Guimarães, I. (2007). *A Ciência e a Arte da Voz Humana.* ESSA – Escola Superior de Saúde de Alcoitão.

ANEXO XIII - A história do rato Artur



17/06/2020 Google Apps da Universidade Fernando Pessoa Correio - autorização

UNIVERSIDADE FERNANDO PESSOA

Daniela Vieira <dvieira@ufp.edu.pt>

autorização

Isabel Cristina Ramos Peixoto Guimarães <isabel.guimaraes@essa.scml.pt> 16 de junho de 2020 às 12:15
Para: Daniela Vieira <dvieira@ufp.edu.pt>

Cara Dra. Daniela Vieira,

Com certeza que sim, pode utilizar a versão Portuguesa do texto "A história do Rato Artur" e para isso envio a versão mais recente em anexo.

Para seu conhecimento saliento que não foi traduzido literalmente o termo Rat para ratazana pelo facto de em Portugal o termo ratazana ter uma conotação negativa. Também se optou por usar o termo exploradores (scouts) em vez de escuteiros (boy scouts) e não se traduziu o nome Nelly.

Desejo-lhe felicidades para o seu percurso de Doutoramento.

Cumprimentos

Isabel Guimarães

De: Daniela Vieira <dvieira@ufp.edu.pt>
Enviada: 10 de junho de 2020 21:16
Para: Isabel Cristina Ramos Peixoto Guimarães <isabel.guimaraes@essa.scml.pt>
Assunto: autorização

Boa noite Professora Isabel Guimarães,

No âmbito do doutoramento em Perturbações da Linguagem pela Universidade Fernando Pessoa, venho por este meio solicitar a sua autorização para usar a versão portuguesa do texto " A história do rato Artur", que seria parte da avaliação percetiva-auditiva da voz.

Grata pela atenção,

Daniela Vieira

--

Com os meus melhores cumprimentos,

Daniela Vieira
Unidade Técnica de Terapia da Fala - MFR

Avenida Fernando Pessoa, 150
4420-096 Gondomar, Portugal
222 455 426 :: https://he.ufp.pt

https://mail.google.com/mail/u/0?ik=fb726fa3fa&view=pt&search=all&permmsgid=msg-f%3A1669653978723105974&simpl=msg-f%3A1669653978723105974 1/2

Terapêutica da Fala (Speech Therapy)

[Citação ocultada]

2 anexos

A história do rato Artur.docx
22K

A história do rato Artur.pdf
79K

A história do rato Artur[6]

Era uma vez um rato chamado Artur, que era muito indeciso. Sempre que os seus amigos lhe perguntavam se queria sair com eles, ele apenas respondia:

- Não sei.

Ele nunca dizia que "sim", nem que "não". Não era capaz de tomar decisões.

A sua tia Helena disse-lhe:

- Ninguém se interessará por ti se continuares a ser assim. Tu não tens mais cabeça do que uma folha de erva. Artur olhou atento, mas não disse nada.

Num dia chuvoso os ratos ouviram um grande barulho no sótão onde viviam. As traves de pinho estavam todas estragadas e por fim uma das juntas cedeu e caiu ao chão. As paredes tremiam e os ratos ficaram com os pelos em pé, cheios de medo e terror.

- Isto não dá, disse o rato velho que era o chefe,

-Vou mandar exploradores lá para fora à procura de uma nova casa.

Três horas mais tarde os sete exploradores voltaram e disseram:

- Encontrámos uma casa de pedra que é mesmo o que nós queríamos. Há espaço e boa comida para todos nós. Há lá um cavalo, simpático, chamado Nelly, uma vaca, um novilho e um jardim com uma árvore.

De repente o rato velho lembrou-se do jovem Artur.

- Vens connosco? Perguntou.

- Não sei, suspirou Artur, "Talvez o telhado não venha abaixo já".

- Bom, disse o rato velho zangado, "Não podemos esperar todo o dia até que te decidas. Toca a andar! Marchar!" e foram-se embora.

Artur ficou e viu os outros ratos a irem embora cheios de pressa. A ideia de uma decisão imediata era de mais para ele.

-Vou voltar para o meu buraco por um momento, disse para ele mesmo, "só para me decidir".

Nessa noite houve uma grande tempestade que fez tremer a terra, e o telhado veio todo abaixo. No dia seguinte, vieram uns homens ver as ruínas. Um deles moveu uma tábua, e debaixo dela viram um rato jovem deitado de lado, morto, meio dentro e meio fora do seu buraco.

[6] Texto cedido pela autora Isabel Guimarães.

ANEXO XIV - Avaliação da concordância interobservador da videoendoscopia da deglutição

Tabela 97 - Correlação interobservadores da avaliação VED componente anatómica nasofaringe.

Correlações

			VED_nasofaringe_EVF_anatomia	VED_nasofaringe_EVF_anatomia_1	VED_nasofaringe_EVF_deg_saliva	VED_nasofaringe_EVF_deg_saliva_1	VED_nasofaringe_EVF_som_silaba	VED_nasofaringe_EVF_som_silaba_1	VED_nasofaringe_EVF_fala	VED_nasofaringe_EVF_fala_1
rô de Spearman	VED_nasofaringe_EVF_anatomia	Coeficiente de Correlação	1.000	1.000**	.	.	.697**	.697**	.697**	.697**
		Sig. (2 extremidades)	.	.	.	.	<001	<001	<001	<001
		N	38	38	38	38	38	38	38	38
	VED_nasofaringe_EVF_anatomia_1	Coeficiente de Correlação	1.000**	1.000	.	.	.697**	.697**	.697**	.697**
		Sig. (2 extremidades)	.	.	.	.	<001	<001	<001	<001
		N	38	38	38	38	38	38	38	38
	VED_nasofaringe_EVF_deg_saliva	Coeficiente de Correlação	.	.	.	.	.	.	.	.
		Sig. (2 extremidades)	.	.	.	.	.	.	.	.
		N	38	38	38	38	38	38	38	38
	VED_nasofaringe_EVF_deg_saliva_1	Coeficiente de Correlação	.	.	.	.	.	.	.	.
		Sig. (2 extremidades)	.	.	.	.	.	.	.	.
		N	38	38	38	38	38	38	38	38
	VED_nasofaringe_EVF_som_silaba	Coeficiente de Correlação	.697**	.697**	.	.	1.000	1.000**	1.000**	1.000**
		Sig. (2 extremidades)	<001	<001	.	.	.	.	.	.
		N	38	38	38	38	38	38	38	38
	VED_nasofaringe_EVF_som_silaba_1	Coeficiente de Correlação	.697**	.697**	.	.	1.000**	1.000	1.000**	1.000**
		Sig. (2 extremidades)	<001	<001	.	.	.	.	.	.
		N	38	38	38	38	38	38	38	38
	VED_nasofaringe_EVF_fala	Coeficiente de Correlação	.697**	.697**	.	.	1.000**	1.000**	1.000	1.000**
		Sig. (2 extremidades)	<001	<001	.	.	.	.	.	.
		N	38	38	38	38	38	38	38	38
	VED_nasofaringe_EVF_fala_1	Coeficiente de Correlação	.697**	.697**	.	.	1.000**	1.000**	1.000**	1.000
		Sig. (2 extremidades)	<001	<001	.	.	.	.	.	.
		N	38	38	38	38	38	38	38	38

**. A correlação é significativa no nível 0,01 (2 extremidades).

Tabela 98 - Correlação interobservadores da avaliação VED componente anatómica oro e hipofaringe.

Correlações

			VED_oro_hipofaringe_anatomia	VED_oro_hipofaringe_anatomia_1	VED_oro_hipofaringe_Mov_lingua	VED_oro_hipofaringe_Mov_lingua_1	VED_oro_hipofaringe_valeculas	VED_oro_hipofaringe_valeculas_1	VED_oro_hipofaringe_piriformes	VED_oro_hipofaringe_piriformes_1	VED_oro_hipofaringe_i	VED_oro_hipofaringe_i_1	VED_oro_hipofaringe_secreções	VED_oro_hipofaringe_secreções_1
rô de Spearman	VED_oro_hipofaringe_anatomia	Coeficiente de Correlação	1.000	1.000**	-.721**	-.721**	.067	.067	.325*	.067	.	.	-.536**	-.536**
		Sig. (2 extremidades)	.	.	<001	<001	.691	.691	.046	.691	.	.	<001	<001
		N	38	38	38	38	38	38	38	38	38	38	38	38
	VED_oro_hipofaringe_anatomia_1	Coeficiente de Correlação	1.000**	1.000	-.721**	-.721**	.067	.067	.325*	.067	.	.	-.536**	-.536**
		Sig. (2 extremidades)	.	.	<001	<001	.691	.691	.046	.691	.	.	<001	<001
		N	38	38	38	38	38	38	38	38	38	38	38	38
	VED_oro_hipofaringe_Mov_lingua	Coeficiente de Correlação	-.721**	-.721**	1.000	1.000**	-.247	-.247	-.325*	-.247	.	.	.854**	.854**
		Sig. (2 extremidades)	<001	<001	.	.	.134	.134	.046	.134	.	.	<001	<001
		N	38	38	38	38	38	38	38	38	38	38	38	38
	VED_oro_hipofaringe_Mov_lingua_1	Coeficiente de Correlação	-.721**	-.721**	1.000**	1.000	-.247	-.247	-.325*	-.247	.	.	.854**	.854**
		Sig. (2 extremidades)	<001	<001	.	.	.134	.134	.046	.134	.	.	<001	<001
		N	38	38	38	38	38	38	38	38	38	38	38	38
	VED_oro_hipofaringe_valeculas	Coeficiente de Correlação	.067	.067	-.247	-.247	1.000	1.000**	.538**	1.000**	.	.	-.211	-.211
		Sig. (2 extremidades)	.691	.691	.134	.134	.	.	<001	.	.	.	.203	.203
		N	38	38	38	38	38	38	38	38	38	38	38	38
	VED_oro_hipofaringe_valeculas_1	Coeficiente de Correlação	.067	.067	-.247	-.247	1.000**	1.000	.538**	1.000**	.	.	-.211	-.211
		Sig. (2 extremidades)	.691	.691	.134	.134	.	.	<001	.	.	.	.203	.203
		N	38	38	38	38	38	38	38	38	38	38	38	38
	VED_oro_hipofaringe_piriformes	Coeficiente de Correlação	.325*	.325*	-.325*	-.325*	.538**	.538**	1.000	.538**	.	.	-.278	-.278
		Sig. (2 extremidades)	.046	.046	.046	.046	<001	<001	.	<001	.	.	.091	.091
		N	38	38	38	38	38	38	38	38	38	38	38	38
	VED_oro_hipofaringe_piriformes_1	Coeficiente de Correlação	.067	.067	-.247	-.247	1.000**	1.000**	.538**	1.000	.	.	-.211	-.211
		Sig. (2 extremidades)	.691	.691	.134	.134	.	.	<001	.	.	.	.203	.203
		N	38	38	38	38	38	38	38	38	38	38	38	38
	VED_oro_hipofaringe_i	Coeficiente de Correlação	.	.	.	.	.	.	.	.	.	.	.	.
		Sig. (2 extremidades)	.	.	.	.	.	.	.	.	.	.	.	.
		N	38	38	38	38	38	38	38	38	38	38	38	38
	VED_oro_hipofaringe_i_1	Coeficiente de Correlação	.	.	.	.	.	.	.	.	.	.	.	.
		Sig. (2 extremidades)	.	.	.	.	.	.	.	.	.	.	.	.
		N	38	38	38	38	38	38	38	38	38	38	38	38
	VED_oro_hipofaringe_secreções	Coeficiente de Correlação	-.536**	-.536**	.854**	.854**	-.211	-.211	-.278	-.211	.	.	1.000	1.000**
		Sig. (2 extremidades)	<001	<001	<001	<001	.203	.203	.091	.203	.	.	.	.
		N	38	38	38	38	38	38	38	38	38	38	38	38
	VED_oro_hipofaringe_secreções_1	Coeficiente de Correlação	-.536**	-.536**	.854**	.854**	-.211	-.211	-.278	-.211	.	.	1.000**	1.000
		Sig. (2 extremidades)	<001	<001	<001	<001	.203	.203	.091	.203	.	.	.	.
		N	38	38	38	38	38	38	38	38	38	38	38	38

**. A correlação é significativa no nível 0,01 (2 extremidades).

*. A correlação é significativa no nível 0,05 (2 extremidades).

Tabela 99 - Correlação interobservadores da avaliação VED componente anatómica laringe.

Correlações

			VED_laringe_anatomia	VED_laringe_anatomia_1	VED_laringe_fala	VED_laringe_fala_1	VED_laringe_saliva	VED_laringe_saliva_1	VED_laringe_i	VED_laringe_i_1	VED_laringe_tosse	VED_laringe_tosse_1	VED_laringe_apneia	VED_laringe_apneia_1
rô de Spearman	VED_laringe_anatomia	Coeficiente de Correlação	1.000	1.000**	.	.	-.368*	-.368*	.	.	.	.	.	.
		Sig. (2 extremidades)	.	.	.	.	.023	.023	.	.	.	.	.	.
		N	38	38	38	38	38	38	38	38	38	38	38	38
	VED_laringe_anatomia_1	Coeficiente de Correlação	1.000**	1.000	.	.	-.368*	-.368*	.	.	.	.	.	.
		Sig. (2 extremidades)	.	.	.	.	.023	.023	.	.	.	.	.	.
		N	38	38	38	38	38	38	38	38	38	38	38	38
	VED_laringe_fala	Coeficiente de Correlação	.	.	.	.	.	.	.	.	.	.	.	.
		Sig. (2 extremidades)	.	.	.	.	.	.	.	.	.	.	.	.
		N	38	38	38	38	38	38	38	38	38	38	38	38
	VED_laringe_fala_1	Coeficiente de Correlação	.	.	.	.	.	.	.	.	.	.	.	.
		Sig. (2 extremidades)	.	.	.	.	.	.	.	.	.	.	.	.
		N	38	38	38	38	38	38	38	38	38	38	38	38
	VED_laringe_saliva	Coeficiente de Correlação	-.368*	-.368*	.	.	1.000	1.000**	.	.	.	.	.	.
		Sig. (2 extremidades)	.023	.023	.	.	.	.	.	.	.	.	.	.
		N	38	38	38	38	38	38	38	38	38	38	38	38
	VED_laringe_saliva_1	Coeficiente de Correlação	-.368*	-.368*	.	.	1.000**	1.000	.	.	.	.	.	.
		Sig. (2 extremidades)	.023	.023	.	.	.	.	.	.	.	.	.	.
		N	38	38	38	38	38	38	38	38	38	38	38	38
	VED_laringe_i	Coeficiente de Correlação	.	.	.	.	.	.	.	.	.	.	.	.
		Sig. (2 extremidades)	.	.	.	.	.	.	.	.	.	.	.	.
		N	38	38	38	38	38	38	38	38	38	38	38	38
	VED_laringe_i_1	Coeficiente de Correlação	.	.	.	.	.	.	.	.	.	.	.	.
		Sig. (2 extremidades)	.	.	.	.	.	.	.	.	.	.	.	.
		N	38	38	38	38	38	38	38	38	38	38	38	38
	VED_laringe_tosse	Coeficiente de Correlação	.	.	.	.	.	.	.	.	.	.	.	.
		Sig. (2 extremidades)	.	.	.	.	.	.	.	.	.	.	.	.
		N	38	38	38	38	38	38	38	38	38	38	38	38
	VED_laringe_tosse_1	Coeficiente de Correlação	.	.	.	.	.	.	.	.	.	.	.	.
		Sig. (2 extremidades)	.	.	.	.	.	.	.	.	.	.	.	.
		N	38	38	38	38	38	38	38	38	38	38	38	38
	VED_laringe_apneia	Coeficiente de Correlação	.	.	.	.	.	.	.	.	.	.	.	.
		Sig. (2 extremidades)	.	.	.	.	.	.	.	.	.	.	.	.
		N	38	38	38	38	38	38	38	38	38	38	38	38
	VED_laringe_apneia_1	Coeficiente de Correlação	.	.	.	.	.	.	.	.	.	.	.	.
		Sig. (2 extremidades)	.	.	.	.	.	.	.	.	.	.	.	.
		N	38	38	38	38	38	38	38	38	38	38	38	38

**. A correlação é significativa no nível 0,01 (2 extremidades).

*. A correlação é significativa no nível 0,05 (2 extremidades).

Tabela 100 - Correlação interobservadores da avaliação VED componente da sensibilidade.

Correlações

			VED_sensibilidade_lingua	VED_sensibilidade_lingua_1	VED_sensibilidade_aritnoides	VED_sensibilidade_aritnoides_1
rô de Spearman	VED_sensibilidade_lingua	Coeficiente de Correlação	1.000	1.000**	1.000**	1.000**
		Sig. (2 extremidades)	.	.	.	.
		N	38	38	38	38
	VED_sensibilidade_lingua_1	Coeficiente de Correlação	1.000**	1.000	1.000**	1.000**
		Sig. (2 extremidades)	.	.	.	.
		N	38	38	38	38
	VED_sensibilidade_aritnoides	Coeficiente de Correlação	1.000**	1.000**	1.000	1.000**
		Sig. (2 extremidades)	.	.	.	.
		N	38	38	38	38
	VED_sensibilidade_aritnoides_1	Coeficiente de Correlação	1.000**	1.000**	1.000**	1.000
		Sig. (2 extremidades)	.	.	.	.
		N	38	38	38	38

**. A correlação é significativa no nível 0,01 (2 extremidades).

Tabela 101 - Correlação interobservadores da avaliação VED componente funcional da avaliação na consistência pudim.

Correlações

			VED_pudim_escape_prematuro	VED_pudim_escape_prematuro_1	VED_pudim_residulo_valecula	VED_pudim_residulo_valecula_1	VED_pudim_residuo_piriforme	VED_pudim_residuo_piriforme_1	VED_pudim_residuo_parede_faringe	VED_pudim_residuo_parede_faringe_1	VED_pudim_deglutições	VED_pudim_deglutições_1	VED_pudim_reage_sem_tosse	VED_pudim_reage_sem_tosse_1	VED_pudim_função_vocal	VED_pudim_função_vocal_1
rô de Spearman	VED_pudim_escape_prematuro	Coeficiente de Correlação	1.000	1.000**	.507**	.507**	.523**	.523**	.401*	.401*	.426**	.426**	.583**	.583**	.438**	.438**
		Sig. (2 extremidades)	.	.	.001	.001	<001	<001	.013	.013	.008	.008	<001	<001	.006	.006
		N	38	38	38	38	38	38	38	38	38	38	38	38	38	38
	VED_pudim_escape_prematuro_1	Coeficiente de Correlação	1.000**	1.000	.507**	.507**	.523**	.523**	.401*	.401*	.426**	.426**	.583**	.583**	.438**	.438**
		Sig. (2 extremidades)	.	.	.001	.001	<001	<001	.013	.013	.008	.008	<001	<001	.006	.006
		N	38	38	38	38	38	38	38	38	38	38	38	38	38	38
	VED_pudim_residulo_valecula	Coeficiente de Correlação	.507**	.507**	1.000	1.000**	.567**	.567**	.571**	.571**	.461**	.461**	.407*	.407*	.326*	.326*
		Sig. (2 extremidades)	.001	.001	.	.	<001	<001	<001	<001	.004	.004	.011	.011	.046	.046
		N	38	38	38	38	38	38	38	38	38	38	38	38	38	38
	VED_pudim_residulo_valecula_1	Coeficiente de Correlação	.507**	.507**	1.000**	1.000	.567**	.567**	.571**	.571**	.461**	.461**	.407*	.407*	.326*	.326*
		Sig. (2 extremidades)	.001	.001	.	.	<001	<001	<001	<001	.004	.004	.011	.011	.046	.046
		N	38	38	38	38	38	38	38	38	38	38	38	38	38	38
	VED_pudim_residuo_piriforme	Coeficiente de Correlação	.523**	.523**	.567**	.567**	1.000	1.000**	.741**	.741**	.395*	.395*	.328*	.328*	.315	.315
		Sig. (2 extremidades)	<001	<001	<001	<001	.	.	<001	<001	.014	.014	.044	.044	.054	.054
		N	38	38	38	38	38	38	38	38	38	38	38	38	38	38
	VED_pudim_residuo_piriforme_1	Coeficiente de Correlação	.523**	.523**	.567**	.567**	1.000**	1.000	.741**	.741**	.395*	.395*	.328*	.328*	.315	.315
		Sig. (2 extremidades)	<001	<001	<001	<001	.	.	<001	<001	.014	.014	.044	.044	.054	.054
		N	38	38	38	38	38	38	38	38	38	38	38	38	38	38
	VED_pudim_residuo_parede_faringe	Coeficiente de Correlação	.401*	.401*	.571**	.571**	.741**	.741**	1.000	1.000**	.190	.190	.243	.243	.341*	.341*
		Sig. (2 extremidades)	.013	.013	<001	<001	<001	<001	.	.	.253	.253	.141	.141	.036	.036
		N	38	38	38	38	38	38	38	38	38	38	38	38	38	38
	VED_pudim_residuo_parede_faringe_1	Coeficiente de Correlação	.401*	.401*	.571**	.571**	.741**	.741**	1.000**	1.000	.190	.190	.243	.243	.341*	.341*
		Sig. (2 extremidades)	.013	.013	<001	<001	<001	<001	.	.	.253	.253	.141	.141	.036	.036
		N	38	38	38	38	38	38	38	38	38	38	38	38	38	38
	VED_pudim_deglutições	Coeficiente de Correlação	.426**	.426**	.461**	.461**	.395*	.395*	.190	.190	1.000	1.000**	.649**	.649**	.359*	.359*
		Sig. (2 extremidades)	.008	.008	.004	.004	.014	.014	.253	.253	.	.	<001	<001	.027	.027
		N	38	38	38	38	38	38	38	38	38	38	38	38	38	38
	VED_pudim_deglutições_1	Coeficiente de Correlação	.426**	.426**	.461**	.461**	.395*	.395*	.190	.190	1.000**	1.000	.649**	.649**	.359*	.359*
		Sig. (2 extremidades)	.008	.008	.004	.004	.014	.014	.253	.253	.	.	<001	<001	.027	.027
		N	38	38	38	38	38	38	38	38	38	38	38	38	38	38
	VED_pudim_reage_sem_tosse	Coeficiente de Correlação	.583**	.583**	.407*	.407*	.328*	.328*	.243	.243	.649**	.649**	1.000	1.000**	.521**	.521**
		Sig. (2 extremidades)	<001	<001	.011	.011	.044	.044	.141	.141	<001	<001	.	.	<001	<001
		N	38	38	38	38	38	38	38	38	38	38	38	38	38	38
	VED_pudim_reage_sem_tosse_1	Coeficiente de Correlação	.583**	.583**	.407*	.407*	.328*	.328*	.243	.243	.649**	.649**	1.000**	1.000	.521**	.521**
		Sig. (2 extremidades)	<001	<001	.011	.011	.044	.044	.141	.141	<001	<001	.	.	<001	<001
		N	38	38	38	38	38	38	38	38	38	38	38	38	38	38
	VED_pudim_função_vocal	Coeficiente de Correlação	.438**	.438**	.326*	.326*	.315	.315	.341*	.341*	.359*	.359*	.521**	.521**	1.000	1.000**
		Sig. (2 extremidades)	.006	.006	.046	.046	.054	.054	.036	.036	.027	.027	<001	<001	.	.
		N	38	38	38	38	38	38	38	38	38	38	38	38	38	38
	VED_pudim_função_vocal_1	Coeficiente de Correlação	.438**	.438**	.326*	.326*	.315	.315	.341*	.341*	.359*	.359*	.521**	.521**	1.000**	1.000
		Sig. (2 extremidades)	.006	.006	.046	.046	.054	.054	.036	.036	.027	.027	<001	<001	.	.
		N	38	38	38	38	38	38	38	38	38	38	38	38	38	38

**. A correlação é significativa no nível 0,01 (2 extremidades).

*. A correlação é significativa no nível 0,05 (2 extremidades).

Tabela 102 - Correlação interobservadores da avaliação VED componente funcional da avaliação na consistência líquida.

Correlações

			VED_liquido_escape_prematuro	VED_liquido_escape_prematuro_1	VED_liquido_residulo_valecula	VED_liquido_residulo_valecula_1	VED_liquido_residuo_piriforme	VED_liquido_residuo_piriforme_1	VED_liquido_residuo_parede_faringe	VED_liquido_residuo_parede_faringe_1	VED_liquido_deglutições	VED_liquido_deglutições_1	VED_liquido_reage_sem_tosse	VED_liquido_reage_sem_tosse_1	VED_liquido_função_vocal	VED_liquido_função_vocal_1
rô de Spearman	VED_liquido_escape_prematuro	Coeficiente de Correlação	1.000	1.000**	.553**	.553**	.573**	.573**	.246	.246	.430**	.430**	.542**	.542**	.457**	.457**
		Sig. (2 extremidades)	.	.	<001	<001	<001	<001	.137	.137	.007	.007	<001	<001	.004	.004
		N	38	38	38	38	38	38	38	38	38	38	38	38	38	38
	VED_liquido_escape_prematuro_1	Coeficiente de Correlação	1.000**	1.000	.553**	.553**	.573**	.573**	.246	.246	.430**	.430**	.542**	.542**	.457**	.457**
		Sig. (2 extremidades)	.	.	<001	<001	<001	<001	.137	.137	.007	.007	<001	<001	.004	.004
		N	38	38	38	38	38	38	38	38	38	38	38	38	38	38
	VED_liquido_residulo_valecula	Coeficiente de Correlação	.553**	.553**	1.000	1.000**	.684**	.684**	.528**	.528**	.411*	.411*	.520**	.520**	.442**	.442**
		Sig. (2 extremidades)	<001	<001	.	.	<001	<001	<001	<001	.010	.010	<001	<001	.005	.005
		N	38	38	38	38	38	38	38	38	38	38	38	38	38	38
	VED_liquido_residulo_valecula_1	Coeficiente de Correlação	.553**	.553**	1.000**	1.000	.684**	.684**	.528**	.528**	.411*	.411*	.520**	.520**	.442**	.442**
		Sig. (2 extremidades)	<001	<001	.	.	<001	<001	<001	<001	.010	.010	<001	<001	.005	.005
		N	38	38	38	38	38	38	38	38	38	38	38	38	38	38
	VED_liquido_residuo_piriforme	Coeficiente de Correlação	.573**	.573**	.684**	.684**	1.000	1.000**	.517**	.517**	.549**	.549**	.419**	.419**	.448**	.448**
		Sig. (2 extremidades)	<001	<001	<001	<001	.	.	<001	<001	<001	<001	.009	.009	.005	.005
		N	38	38	38	38	38	38	38	38	38	38	38	38	38	38
	VED_liquido_residuo_piriforme_1	Coeficiente de Correlação	.573**	.573**	.684**	.684**	1.000**	1.000	.517**	.517**	.549**	.549**	.419**	.419**	.448**	.448**
		Sig. (2 extremidades)	<001	<001	<001	<001	.	.	<001	<001	<001	<001	.009	.009	.005	.005
		N	38	38	38	38	38	38	38	38	38	38	38	38	38	38
	VED_liquido_residuo_parede_faringe	Coeficiente de Correlação	.246	.246	.528**	.528**	.517**	.517**	1.000	1.000**	.616**	.616**	.624**	.624**	.610**	.610**
		Sig. (2 extremidades)	.137	.137	<001	<001	<001	<001	.	.	<001	<001	<001	<001	<001	<001
		N	38	38	38	38	38	38	38	38	38	38	38	38	38	38
	VED_liquido_residuo_parede_faringe_1	Coeficiente de Correlação	.246	.246	.528**	.528**	.517**	.517**	1.000**	1.000	.616**	.616**	.624**	.624**	.610**	.610**
		Sig. (2 extremidades)	.137	.137	<001	<001	<001	<001	.	.	<001	<001	<001	<001	<001	<001
		N	38	38	38	38	38	38	38	38	38	38	38	38	38	38
	VED_liquido_deglutições	Coeficiente de Correlação	.430**	.430**	.411*	.411*	.549**	.549**	.616**	.616**	1.000	1.000**	.569**	.569**	.573**	.573**
		Sig. (2 extremidades)	.007	.007	.010	.010	<001	<001	<001	<001	.	.	<001	<001	<001	<001
		N	38	38	38	38	38	38	38	38	38	38	38	38	38	38
	VED_liquido_deglutições_1	Coeficiente de Correlação	.430**	.430**	.411*	.411*	.549**	.549**	.616**	.616**	1.000**	1.000	.569**	.569**	.573**	.573**
		Sig. (2 extremidades)	.007	.007	.010	.010	<001	<001	<001	<001	.	.	<001	<001	<001	<001
		N	38	38	38	38	38	38	38	38	38	38	38	38	38	38
	VED_liquido_reage_sem_tosse	Coeficiente de Correlação	.542**	.542**	.520**	.520**	.419**	.419**	.624**	.624**	.569**	.569**	1.000	1.000**	.726**	.726**
		Sig. (2 extremidades)	<001	<001	<001	<001	.009	.009	<001	<001	<001	<001	.	.	<001	<001
		N	38	38	38	38	38	38	38	38	38	38	38	38	38	38
	VED_liquido_reage_sem_tosse_1	Coeficiente de Correlação	.542**	.542**	.520**	.520**	.419**	.419**	.624**	.624**	.569**	.569**	1.000**	1.000	.726**	.726**
		Sig. (2 extremidades)	<001	<001	<001	<001	.009	.009	<001	<001	<001	<001	.	.	<001	<001
		N	38	38	38	38	38	38	38	38	38	38	38	38	38	38
	VED_liquido_função_vocal	Coeficiente de Correlação	.457**	.457**	.442**	.442**	.448**	.448**	.610**	.610**	.573**	.573**	.726**	.726**	1.000	1.000**
		Sig. (2 extremidades)	.004	.004	.005	.005	.005	.005	<001	<001	<001	<001	<001	<001	.	.
		N	38	38	38	38	38	38	38	38	38	38	38	38	38	38
	VED_liquido_função_vocal_1	Coeficiente de Correlação	.457**	.457**	.442**	.442**	.448**	.448**	.610**	.610**	.573**	.573**	.726**	.726**	1.000**	1.000
		Sig. (2 extremidades)	.004	.004	.005	.005	.005	.005	<001	<001	<001	<001	<001	<001	.	.
		N	38	38	38	38	38	38	38	38	38	38	38	38	38	38

**. A correlação é significativa no nível 0,01 (2 extremidades).

*. A correlação é significativa no nível 0,05 (2 extremidades).

Tabela 103 - Correlação interobservadores da avaliação VED componente funcional da avaliação na consistência sólida - bolacha.

Correlações

			VED_bolacha_escape_prematuro	VED_bolacha_escape_prematuro_1	VED_bolacha_residulo_valecula	VED_bolacha_residulo_valecula_1	VED_bolacha_residuo_piriforme	VED_bolacha_residuo_piriforme_1	VED_bolacha_residuo_parede_faringe	VED_bolacha_residuo_parede_faringe_1	VED_bolacha_deglutições	VED_bolacha_deglutições_1	VED_bolacha_reage_sem_tosse	VED_bolacha_reage_sem_tosse_1	VED_bolacha_função_vocal	VED_bolacha_função_vocal_1
rô de Spearman	VED_bolacha_escape_prematuro	Coeficiente de Correlação	1.000	1.000**	.551**	.551**	.558**	.558**	.380*	.380*	.418**	.418**	.686**	.686**	.796**	.796**
		Sig. (2 extremidades)	.	.	<001	<001	<001	<001	.019	.019	.009	.009	<001	<001	<001	<001
		N	38	38	38	38	38	38	38	38	38	38	38	38	38	38
	VED_bolacha_escape_prematuro_1	Coeficiente de Correlação	1.000**	1.000	.551**	.551**	.558**	.558**	.380*	.380*	.418**	.418**	.686**	.686**	.796**	.796**
		Sig. (2 extremidades)	.	.	<001	<001	<001	<001	.019	.019	.009	.009	<001	<001	<001	<001
		N	38	38	38	38	38	38	38	38	38	38	38	38	38	38
	VED_bolacha_residulo_valecula	Coeficiente de Correlação	.551**	.551**	1.000	1.000**	.600**	.600**	.527**	.527**	.615**	.615**	.528**	.528**	.512**	.512**
		Sig. (2 extremidades)	<001	<001	.	.	<001	<001	<001	<001	<001	<001	<001	<001	.001	.001
		N	38	38	38	38	38	38	38	38	38	38	38	38	38	38
	VED_bolacha_residulo_valecula_1	Coeficiente de Correlação	.551**	.551**	1.000**	1.000	.600**	.600**	.527**	.527**	.615**	.615**	.528**	.528**	.512**	.512**
		Sig. (2 extremidades)	<001	<001	.	.	<001	<001	<001	<001	<001	<001	<001	<001	.001	.001
		N	38	38	38	38	38	38	38	38	38	38	38	38	38	38
	VED_bolacha_residuo_piriforme	Coeficiente de Correlação	.558**	.558**	.600**	.600**	1.000	1.000**	.424**	.424**	.366*	.366*	.364*	.364*	.509**	.509**
		Sig. (2 extremidades)	<001	<001	<001	<001	.	.	.008	.008	.024	.024	.025	.025	.001	.001
		N	38	38	38	38	38	38	38	38	38	38	38	38	38	38
	VED_bolacha_residuo_piriforme_1	Coeficiente de Correlação	.558**	.558**	.600**	.600**	1.000**	1.000	.424**	.424**	.366*	.366*	.364*	.364*	.509**	.509**
		Sig. (2 extremidades)	<001	<001	<001	<001	.	.	.008	.008	.024	.024	.025	.025	.001	.001
		N	38	38	38	38	38	38	38	38	38	38	38	38	38	38
	VED_bolacha_residuo_parede_faringe	Coeficiente de Correlação	.380*	.380*	.527**	.527**	.424**	.424**	1.000	1.000**	.511**	.511**	.554**	.554**	.605**	.605**
		Sig. (2 extremidades)	.019	.019	<001	<001	.008	.008	.	.	.001	.001	<001	<001	<001	<001
		N	38	38	38	38	38	38	38	38	38	38	38	38	38	38
	VED_bolacha_residuo_parede_faringe_1	Coeficiente de Correlação	.380*	.380*	.527**	.527**	.424**	.424**	1.000**	1.000	.511**	.511**	.554**	.554**	.605**	.605**
		Sig. (2 extremidades)	.019	.019	<001	<001	.008	.008	.	.	.001	.001	<001	<001	<001	<001
		N	38	38	38	38	38	38	38	38	38	38	38	38	38	38
	VED_bolacha_deglutições	Coeficiente de Correlação	.418**	.418**	.615**	.615**	.366*	.366*	.511**	.511**	1.000	1.000**	.529**	.529**	.487**	.487**
		Sig. (2 extremidades)	.009	.009	<001	<001	.024	.024	.001	.001	.	.	<001	<001	.002	.002
		N	38	38	38	38	38	38	38	38	38	38	38	38	38	38
	VED_bolacha_deglutições_1	Coeficiente de Correlação	.418**	.418**	.615**	.615**	.366*	.366*	.511**	.511**	1.000**	1.000	.529**	.529**	.487**	.487**
		Sig. (2 extremidades)	.009	.009	<001	<001	.024	.024	.001	.001	.	.	<001	<001	.002	.002
		N	38	38	38	38	38	38	38	38	38	38	38	38	38	38
	VED_bolacha_reage_sem_tosse	Coeficiente de Correlação	.686**	.686**	.528**	.528**	.364*	.364*	.554**	.554**	.529**	.529**	1.000	1.000**	.878**	.878**
		Sig. (2 extremidades)	<001	<001	<001	<001	.025	.025	<001	<001	<001	<001	.	.	<001	<001
		N	38	38	38	38	38	38	38	38	38	38	38	38	38	38
	VED_bolacha_reage_sem_tosse_1	Coeficiente de Correlação	.686**	.686**	.528**	.528**	.364*	.364*	.554**	.554**	.529**	.529**	1.000**	1.000	.878**	.878**
		Sig. (2 extremidades)	<001	<001	<001	<001	.025	.025	<001	<001	<001	<001	.	.	<001	<001
		N	38	38	38	38	38	38	38	38	38	38	38	38	38	38
	VED_bolacha_função_vocal	Coeficiente de Correlação	.796**	.796**	.512**	.512**	.509**	.509**	.605**	.605**	.487**	.487**	.878**	.878**	1.000	1.000**
		Sig. (2 extremidades)	<001	<001	.001	.001	.001	.001	<001	<001	.002	.002	<001	<001	.	.
		N	38	38	38	38	38	38	38	38	38	38	38	38	38	38
	VED_bolacha_função_vocal_1	Coeficiente de Correlação	.796**	.796**	.512**	.512**	.509**	.509**	.605**	.605**	.487**	.487**	.878**	.878**	1.000**	1.000
		Sig. (2 extremidades)	<001	<001	.001	.001	.001	.001	<001	<001	.002	.002	<001	<001	.	.
		N	38	38	38	38	38	38	38	38	38	38	38	38	38	38

**. A correlação é significativa no nível 0,01 (2 extremidades).

*. A correlação é significativa no nível 0,05 (2 extremidades).

Tabela 104 - Correlação interobservadores da avaliação VED componente funcional da avaliação da aspiração e limpeza para as várias consistências.

Correlações

			VED_aspiração	VED_aspiração_1	VED_momento_aspiração_pudim	VED_momento_aspiração_pudim_1	VED_momento_aspiração_liquido	VED_momento_aspiração_liquido_1	VED_momento_aspiração_bolacha	VED_momento_aspiração_bolacha_1	VED_PAS	VED_PAS_1	VED_limpeza	VED_limpeza_1
rô de Spearman	VED_aspiração	Coeficiente de Correlação	1.000	1.000**	.499**	.499**	.656**	.656**	.402*	.402*	.420	.420	.399	.399
		Sig. (2 extremidades)	.	.	.001	.001	<001	<001	.012	.012	.093	.093	.112	.112
		N	38	38	38	38	38	38	38	38	17	17	17	17
	VED_aspiração_1	Coeficiente de Correlação	1.000**	1.000	.499**	.499**	.656**	.656**	.402*	.402*	.420	.420	.399	.399
		Sig. (2 extremidades)	.	.	.001	.001	<001	<001	.012	.012	.093	.093	.112	.112
		N	38	38	38	38	38	38	38	38	17	17	17	17
	VED_momento_aspiração_pudim	Coeficiente de Correlação	.499**	.499**	1.000	1.000**	.196	.196	.005	.005	.840**	.840**	.094	.094
		Sig. (2 extremidades)	.001	.001	.	.	.239	.239	.974	.974	<001	<001	.720	.720
		N	38	38	38	38	38	38	38	38	17	17	17	17
	VED_momento_aspiração_pudim_1	Coeficiente de Correlação	.499**	.499**	1.000**	1.000	.196	.196	.005	.005	.840**	.840**	.094	.094
		Sig. (2 extremidades)	.001	.001	.	.	.239	.239	.974	.974	<001	<001	.720	.720
		N	38	38	38	38	38	38	38	38	17	17	17	17
	VED_momento_aspiração_liquido	Coeficiente de Correlação	.656**	.656**	.196	.196	1.000	1.000**	.437**	.437**	-.465	-.465	-.239	-.239
		Sig. (2 extremidades)	<001	<001	.239	.239	.	.	.006	.006	.060	.060	.355	.355
		N	38	38	38	38	38	38	38	38	17	17	17	17
	VED_momento_aspiração_liquido_1	Coeficiente de Correlação	.656**	.656**	.196	.196	1.000**	1.000	.437**	.437**	-.465	-.465	-.239	-.239
		Sig. (2 extremidades)	<001	<001	.239	.239	.	.	.006	.006	.060	.060	.355	.355
		N	38	38	38	38	38	38	38	38	17	17	17	17
	VED_momento_aspiração_bolacha	Coeficiente de Correlação	.402*	.402*	.005	.005	.437**	.437**	1.000	1.000**	-.090	-.090	.027	.027
		Sig. (2 extremidades)	.012	.012	.974	.974	.006	.006	.	.	.731	.731	.917	.917
		N	38	38	38	38	38	38	38	38	17	17	17	17
	VED_momento_aspiração_bolacha_1	Coeficiente de Correlação	.402*	.402*	.005	.005	.437**	.437**	1.000**	1.000	-.090	-.090	.027	.027
		Sig. (2 extremidades)	.012	.012	.974	.974	.006	.006	.	.	.731	.731	.917	.917
		N	38	38	38	38	38	38	38	38	17	17	17	17
	VED_PAS	Coeficiente de Correlação	.420	.420	.840**	.840**	-.465	-.465	-.090	-.090	1.000	1.000**	.164	.164
		Sig. (2 extremidades)	.093	.093	<001	<001	.060	.060	.731	.731	.	.	.529	.529
		N	17	17	17	17	17	17	17	17	17	17	17	17
	VED_PAS_1	Coeficiente de Correlação	.420	.420	.840**	.840**	-.465	-.465	-.090	-.090	1.000**	1.000	.164	.164
		Sig. (2 extremidades)	.093	.093	<001	<001	.060	.060	.731	.731	.	.	.529	.529
		N	17	17	17	17	17	17	17	17	17	17	17	17
	VED_limpeza	Coeficiente de Correlação	.399	.399	.094	.094	-.239	-.239	.027	.027	.164	.164	1.000	1.000**
		Sig. (2 extremidades)	.112	.112	.720	.720	.355	.355	.917	.917	.529	.529	.	.
		N	17	17	17	17	17	17	17	17	17	17	17	17
	VED_limpeza_1	Coeficiente de Correlação	.399	.399	.094	.094	-.239	-.239	.027	.027	.164	.164	1.000**	1.000
		Sig. (2 extremidades)	.112	.112	.720	.720	.355	.355	.917	.917	.529	.529	.	.
		N	17	17	17	17	17	17	17	17	17	17	17	17

**. A correlação é significativa no nível 0,01 (2 extremidades).

*. A correlação é significativa no nível 0,05 (2 extremidades).

Tabela 105 - Correlação interobservadores da avaliação VED componente funcional da avaliação da latência, *whiteout* e tempo de latência e de encerramento da via aérea (VA) para a consistência pudim.

Correlações

			VED_pudim_latencia	VED_pudim_latencia_1	VED_pudim_tempo_latencia_inicio	VED_pudim_tempo_latencia_inicio_1	VED_pudim_whiteout	VED_pudim_whiteout_1	VED_pudim_tempo_encerramento_VA	VED_pudim_tempo_encerramento_VA_1
rô de Spearman	VED_pudim_latencia	Coeficiente de Correlação	1.000	1.000**	.743**	.743**	.362*	.362*	.059	.065
		Sig. (2 extremidades)	.	.	<001	<001	.026	.026	.729	.703
		N	38	38	37	37	38	38	37	37
	VED_pudim_latencia_1	Coeficiente de Correlação	1.000**	1.000	.743**	.743**	.362*	.362*	.059	.065
		Sig. (2 extremidades)	.	.	<001	<001	.026	.026	.729	.703
		N	38	38	37	37	38	38	37	37
	VED_pudim_tempo_latencia_inicio	Coeficiente de Correlação	.743**	.743**	1.000	.984**	.	.	-.065	-.052
		Sig. (2 extremidades)	<001	<001	.	<001	.	.	.702	.758
		N	37	37	37	37	37	37	37	37
	VED_pudim_tempo_latencia_inicio_1	Coeficiente de Correlação	.743**	.743**	.984**	1.000	.	.	-.050	-.038
		Sig. (2 extremidades)	<001	<001	<001	.	.	.	.767	.824
		N	37	37	37	37	37	37	37	37
	VED_pudim_whiteout	Coeficiente de Correlação	.362*	.362*	.	.	1.000	1.000**	.	.
		Sig. (2 extremidades)	.026	.026	.	.	.	.	.	.
		N	38	38	37	37	38	38	37	37
	VED_pudim_whiteout_1	Coeficiente de Correlação	.362*	.362*	.	.	1.000**	1.000	.	.
		Sig. (2 extremidades)	.026	.026	.	.	.	.	.	.
		N	38	38	37	37	38	38	37	37
	VED_pudim_tempo_encerramento_VA	Coeficiente de Correlação	.059	.059	-.065	-.050	.	.	1.000	.976**
		Sig. (2 extremidades)	.729	.729	.702	.767	.	.	.	<001
		N	37	37	37	37	37	37	37	37
	VED_pudim_tempo_encerramento_VA_1	Coeficiente de Correlação	.065	.065	-.052	-.038	.	.	.976**	1.000
		Sig. (2 extremidades)	.703	.703	.758	.824	.	.	<001	.
		N	37	37	37	37	37	37	37	37

**. A correlação é significativa no nível 0,01 (2 extremidades).

*. A correlação é significativa no nível 0,05 (2 extremidades).

Tabela 106 - Correlação interobservadores da avaliação VED componente funcional da avaliação da latência, *whiteout* e tempo de latência e de encerramento da via aérea (VA) para a consistência líquida.

Correlações

			VED_liquido_latencia	VED_liquido_latencia_1	VED_liquido_tempo_latencia_inicio	VED_liquido_tempo_latencia_inicio_1	VED_liquido_whiteout	VED_liquido_whiteout_1	VED_liquido_tempo_encerramento_VA	VED_liquido_tempo_encerramento_VA_1
rô de Spearman	VED_liquido_latencia	Coeficiente de Correlação	1.000	1.000**	.776**	.776**	.476**	.476**	.239	.212
		Sig. (2 extremidades)	.	.	<001	<001	.003	.003	.161	.215
		N	38	38	36	36	38	38	36	36
	VED_liquido_latencia_1	Coeficiente de Correlação	1.000**	1.000	.776**	.776**	.476**	.476**	.239	.212
		Sig. (2 extremidades)	.	.	<001	<001	.003	.003	.161	.215
		N	38	38	36	36	38	38	36	36
	VED_liquido_tempo_latencia_inicio	Coeficiente de Correlação	.776**	.776**	1.000	.998**	.	.	.189	.184
		Sig. (2 extremidades)	<001	<001	.	<001	.	.	.270	.282
		N	36	36	36	36	36	36	36	36
	VED_liquido_tempo_latencia_inicio_1	Coeficiente de Correlação	.776**	.776**	.998**	1.000	.	.	.187	.184
		Sig. (2 extremidades)	<001	<001	<001	.	.	.	.274	.283
		N	36	36	36	36	36	36	36	36
	VED_liquido_whiteout	Coeficiente de Correlação	.476**	.476**	.	.	1.000	1.000**	.	.
		Sig. (2 extremidades)	.003	.003	.	.	.	.	.	.
		N	38	38	36	36	38	38	36	36
	VED_liquido_whiteout_1	Coeficiente de Correlação	.476**	.476**	.	.	1.000**	1.000	.	.
		Sig. (2 extremidades)	.003	.003	.	.	.	.	.	.
		N	38	38	36	36	38	38	36	36
	VED_liquido_tempo_encerramento_VA	Coeficiente de Correlação	.239	.239	.189	.187	.	.	1.000	.991**
		Sig. (2 extremidades)	.161	.161	.270	.274	.	.	.	<001
		N	36	36	36	36	36	36	36	36
	VED_liquido_tempo_encerramento_VA_1	Coeficiente de Correlação	.212	.212	.184	.184	.	.	.991**	1.000
		Sig. (2 extremidades)	.215	.215	.282	.283	.	.	<001	.
		N	36	36	36	36	36	36	36	36

**. A correlação é significativa no nível 0,01 (2 extremidades).

Tabela 107 - Correlação interobservadores da avaliação VED componente funcional da avaliação da latência, *whiteout* e tempo de latência e de encerramento da via aérea (VA) para a consistência sólida.

Correlações

			VED_bolacha_latencia	VED_bolacha_latencia_1	VED_bolacha_tempo_latencia_inicio	VED_bolacha_tempo_latencia_inicio_1	VED_bolacha_whiteout	VED_bolacha_whiteout_1	VED_bolacha_tempo_encerramento_VA	VED_bolacha_tempo_encerramento_VA_1
rô de Spearman	VED_bolacha_latencia	Coeficiente de Correlação	1.000	1.000**	.837**	.837**	.534**	.534**	.120	.123
		Sig. (2 extremidades)	.	.	<001	<001	<001	<001	.492	.481
		N	38	38	35	35	38	38	35	35
	VED_bolacha_latencia_1	Coeficiente de Correlação	1.000**	1.000	.837**	.837**	.534**	.534**	.120	.123
		Sig. (2 extremidades)	.	.	<001	<001	<001	<001	.492	.481
		N	38	38	35	35	38	38	35	35
	VED_bolacha_tempo_latencia_inicio	Coeficiente de Correlação	.837**	.837**	1.000	.999**	.	.	.227	.228
		Sig. (2 extremidades)	<001	<001	.	<001	.	.	.189	.189
		N	35	35	35	35	35	35	35	35
	VED_bolacha_tempo_latencia_inicio_1	Coeficiente de Correlação	.837**	.837**	.999**	1.000	.	.	.233	.234
		Sig. (2 extremidades)	<001	<001	<001	.	.	.	.178	.177
		N	35	35	35	35	35	35	35	35
	VED_bolacha_whiteout	Coeficiente de Correlação	.534**	.534**	.	.	1.000	1.000**	.	.
		Sig. (2 extremidades)	<001	<001	.	.	.	.	.	.
		N	38	38	35	35	38	38	35	35
	VED_bolacha_whiteout_1	Coeficiente de Correlação	.534**	.534**	.	.	1.000**	1.000	.	.
		Sig. (2 extremidades)	<001	<001	.	.	.	.	.	.
		N	38	38	35	35	38	38	35	35
	VED_bolacha_tempo_encerramento_VA	Coeficiente de Correlação	.120	.120	.227	.233	.	.	1.000	.999**
		Sig. (2 extremidades)	.492	.492	.189	.178	.	.	.	<001
		N	35	35	35	35	35	35	35	35
	VED_bolacha_tempo_encerramento_VA_1	Coeficiente de Correlação	.123	.123	.228	.234	.	.	.999**	1.000
		Sig. (2 extremidades)	.481	.481	.189	.177	.	.	<001	.
		N	35	35	35	35	35	35	35	35

**. A correlação é significativa no nível 0,01 (2 extremidades).

ANEXO XV - Avaliação da concordância interobservador da avaliação áudio-percetiva

Tabela 108 - Correlação interobservadores da escala GRBAS.

Correlações

			GRBAS_G	GRBAS_G_1	GRBAS_G_2	GRBAS_R	GRBAS_R_1	GRBAS_R_2	GRBAS_B	GRBAS_B_1	GRBAS_B_2	GRBAS_A	GRBAS_A_1	GRBAS_A_2	GRBAS_S	GRBAS_S_1	GRBAS_S_2
rô de Spearman	GRBAS_G	Coeficiente de Correlação	1.000	.472**	.741**	.583**	.434**	.468**	.453**	.269	.158	.122	.159	.290	.357*	.346*	.340*
		Sig. (2 extremidades)	.	.003	<001	<001	.007	.003	.004	.103	.343	.466	.339	.078	.028	.034	.037
		N	38	38	38	38	38	38	38	38	38	38	38	38	38	38	38
	GRBAS_G_1	Coeficiente de Correlação	.472**	1.000	.113	.385*	.577**	.224	.362*	.329*	.137	-.050	-.118	.218	.015	.405*	-.046
		Sig. (2 extremidades)	.003	.	.500	.017	<001	.177	.026	.044	.412	.766	.481	.188	.929	.012	.784
		N	38	38	38	38	38	38	38	38	38	38	38	38	38	38	38
	GRBAS_G_2	Coeficiente de Correlação	.741**	.113	1.000	.545**	.430**	.630**	.323*	.040	.254	.413**	.159	.495**	.630**	.351*	.536**
		Sig. (2 extremidades)	<001	.500	.	<001	.007	<001	.048	.811	.124	.010	.340	.002	<001	.031	<001
		N	38	38	38	38	38	38	38	38	38	38	38	38	38	38	38
	GRBAS_R	Coeficiente de Correlação	.583**	.385*	.545**	1.000	.575**	.878**	.314	.216	.047	-.020	.022	.124	.371*	.420**	.264
		Sig. (2 extremidades)	<001	.017	<001	.	<001	<001	.055	.192	.781	.907	.896	.458	.022	.009	.109
		N	38	38	38	38	38	38	38	38	38	38	38	38	38	38	38
	GRBAS_R_1	Coeficiente de Correlação	.434**	.577**	.430**	.575**	1.000	.579**	.223	.000	.240	.216	.170	.213	.227	.588**	.091
		Sig. (2 extremidades)	.007	<001	.007	<001	.	<001	.178	1.000	.148	.192	.308	.198	.171	<001	.585
		N	38	38	38	38	38	38	38	38	38	38	38	38	38	38	38
	GRBAS_R_2	Coeficiente de Correlação	.468**	.224	.630**	.878**	.579**	1.000	.096	-.083	.045	.139	.232	.203	.607**	.422**	.505**
		Sig. (2 extremidades)	.003	.177	<001	<001	<001	.	.566	.620	.790	.404	.162	.223	<001	.008	.001
		N	38	38	38	38	38	38	38	38	38	38	38	38	38	38	38
	GRBAS_B	Coeficiente de Correlação	.453**	.362*	.323*	.314	.223	.096	1.000	.405*	.641**	.222	-.205	.407*	-.090	.180	-.230
		Sig. (2 extremidades)	.004	.026	.048	.055	.178	.566	.	.012	<001	.181	.218	.011	.592	.278	.164
		N	38	38	38	38	38	38	38	38	38	38	38	38	38	38	38
	GRBAS_B_1	Coeficiente de Correlação	.269	.329*	.040	.216	.000	-.083	.405*	1.000	-.101	-.281	-.372*	.040	-.227	-.083	-.150
		Sig. (2 extremidades)	.103	.044	.811	.192	1.000	.620	.012	.	.547	.087	.022	.811	.170	.622	.367
		N	38	38	38	38	38	38	38	38	38	38	38	38	38	38	38
	GRBAS_B_2	Coeficiente de Correlação	.158	.137	.254	.047	.240	.045	.641**	-.101	1.000	.398*	-.098	.335*	-.076	.117	-.239
		Sig. (2 extremidades)	.343	.412	.124	.781	.148	.790	<001	.547	.	.013	.558	.040	.650	.485	.148
		N	38	38	38	38	38	38	38	38	38	38	38	38	38	38	38
	GRBAS_A	Coeficiente de Correlação	.122	-.050	.413**	-.020	.216	.139	.222	-.281	.398*	1.000	.184	.775**	.139	.176	.034
		Sig. (2 extremidades)	.466	.766	.010	.907	.192	.404	.181	.087	.013	.	.269	<001	.406	.291	.839
		N	38	38	38	38	38	38	38	38	38	38	38	38	38	38	38
	GRBAS_A_1	Coeficiente de Correlação	.159	-.118	.159	.022	.170	.232	-.205	-.372*	-.098	.184	1.000	-.046	.185	-.010	.302
		Sig. (2 extremidades)	.339	.481	.340	.896	.308	.162	.218	.022	.558	.269	.	.782	.266	.951	.065
		N	38	38	38	38	38	38	38	38	38	38	38	38	38	38	38
	GRBAS_A_2	Coeficiente de Correlação	.290	.218	.495**	.124	.213	.203	.407*	.040	.335*	.775**	-.046	1.000	.118	.221	-.036
		Sig. (2 extremidades)	.078	.188	.002	.458	.198	.223	.011	.811	.040	<001	.782	.	.481	.182	.832
		N	38	38	38	38	38	38	38	38	38	38	38	38	38	38	38
	GRBAS_S	Coeficiente de Correlação	.357*	.015	.630**	.371*	.227	.607**	-.090	-.227	-.076	.139	.185	.118	1.000	.474**	.809**
		Sig. (2 extremidades)	.028	.929	<001	.022	.171	<001	.592	.170	.650	.406	.266	.481	.	.003	<001
		N	38	38	38	38	38	38	38	38	38	38	38	38	38	38	38
	GRBAS_S_1	Coeficiente de Correlação	.346*	.405*	.351*	.420**	.588**	.422**	.180	-.083	.117	.176	-.010	.221	.474**	1.000	.185
		Sig. (2 extremidades)	.034	.012	.031	.009	<001	.008	.278	.622	.485	.291	.951	.182	.003	.	.267
		N	38	38	38	38	38	38	38	38	38	38	38	38	38	38	38
	GRBAS_S_2	Coeficiente de Correlação	.340*	-.046	.536**	.264	.091	.505**	-.230	-.150	-.239	.034	.302	-.036	.809**	.185	1.000
		Sig. (2 extremidades)	.037	.784	<001	.109	.585	.001	.164	.367	.148	.839	.065	.832	<001	.267	.
		N	38	38	38	38	38	38	38	38	38	38	38	38	38	38	38

**. A correlação é significativa no nível 0,01 (2 extremidades).

*. A correlação é significativa no nível 0,05 (2 extremidades).

Tabela 109 - Correlação interobservadores da avaliação da ressonância.

Correlações

			Av ressonância texto hipernasalidade	Av ressonância texto hiponasalidade	Av ressonância vogais hipernasalidade	Av ressonância vogais hiponasalidade	Av ressonância texto hipernasalidade_1	Av ressonância texto hipernasalidade_2	Av ressonância texto hiponasalidade_1	Av ressonância texto hiponasalidade_2	Av ressonância vogais hipernasalidade_1	Av ressonância vogais hipernasalidade_2	Av ressonância vogais hiponasalidade_1	Av ressonância vogais hiponasalidade_2
rô de Spearman	Av ressonância texto hipernasalidade	Coeficiente de Correlação	1.000	.769**	.930**	.769**	.	.995**	.886**	.	.	.940**	.689**	.
		Sig. (2 extremidades)	.	<001	<001	<001	.	<001	<001	.	.	<001	<001	.
		N	38	38	38	38	38	38	38	38	38	38	38	38
	Av ressonância texto hiponasalidade	Coeficiente de Correlação	.769**	1.000	.740**	.770**	.	.739**	.862**	.	.	.788**	.716**	.
		Sig. (2 extremidades)	<001	.	<001	<001	.	<001	<001	.	.	<001	<001	.
		N	38	38	38	38	38	38	38	38	38	38	38	38
	Av ressonância vogais hipernasalidade	Coeficiente de Correlação	.930**	.740**	1.000	.780**	.	.941**	.916**	.	.	.995**	.691**	.
		Sig. (2 extremidades)	<001	<001	.	<001	.	<001	<001	.	.	<001	<001	.
		N	38	38	38	38	38	38	38	38	38	38	38	38
	Av ressonância vogais hiponasalidade	Coeficiente de Correlação	.769**	.770**	.780**	1.000	.	.773**	.846**	.	.	.823**	.912**	.
		Sig. (2 extremidades)	<001	<001	<001	.	.	<001	<001	.	.	<001	<001	.
		N	38	38	38	38	38	38	38	38	38	38	38	38
	Av ressonância texto hipernasalidade_1	Coeficiente de Correlação	.	.	.	.	.	.	.	.	.	.	.	.
		Sig. (2 extremidades)	.	.	.	.	.	.	.	.	.	.	.	.
		N	38	38	38	38	38	38	38	38	38	38	38	38
	Av ressonância texto hipernasalidade_2	Coeficiente de Correlação	.995**	.739**	.941**	.773**	.	1.000	.895**	.	.	.947**	.687**	.
		Sig. (2 extremidades)	<001	<001	<001	<001	.	.	<001	.	.	<001	<001	.
		N	38	38	38	38	38	38	38	38	38	38	38	38
	Av ressonância texto hiponasalidade_1	Coeficiente de Correlação	.886**	.862**	.916**	.846**	.	.895**	1.000	.	.	.936**	.767**	.
		Sig. (2 extremidades)	<001	<001	<001	<001	.	<001	.	.	.	<001	<001	.
		N	38	38	38	38	38	38	38	38	38	38	38	38
	Av ressonância texto hiponasalidade_2	Coeficiente de Correlação	.	.	.	.	.	.	.	.	.	.	.	.
		Sig. (2 extremidades)	.	.	.	.	.	.	.	.	.	.	.	.
		N	38	38	38	38	38	38	38	38	38	38	38	38
	Av ressonância vogais hipernasalidade_1	Coeficiente de Correlação	.	.	.	.	.	.	.	.	.	.	.	.
		Sig. (2 extremidades)	.	.	.	.	.	.	.	.	.	.	.	.
		N	38	38	38	38	38	38	38	38	38	38	38	38
	Av ressonância vogais hipernasalidade_2	Coeficiente de Correlação	.940**	.788**	.995**	.823**	.	.947**	.936**	.	.	1.000	.736**	.
		Sig. (2 extremidades)	<001	<001	<001	<001	.	<001	<001	.	.	.	<001	.
		N	38	38	38	38	38	38	38	38	38	38	38	38
	Av ressonância vogais hiponasalidade_1	Coeficiente de Correlação	.689**	.716**	.691**	.912**	.	.687**	.767**	.	.	.736**	1.000	.
		Sig. (2 extremidades)	<001	<001	<001	<001	.	<001	<001	.	.	<001	.	.
		N	38	38	38	38	38	38	38	38	38	38	38	38
	Av ressonância vogais hiponasalidade_2	Coeficiente de Correlação	.	.	.	.	.	.	.	.	.	.	.	.
		Sig. (2 extremidades)	.	.	.	.	.	.	.	.	.	.	.	.
		N	38	38	38	38	38	38	38	38	38	38	38	38

**. A correlação é significativa no nível 0,01 (2 extremidades).

ANEXO XVI - Tabelas complementares do capítulo V

Tabela 110 - Medidas descritivas, análise de correlação e diferenças estatísticas entre as variáveis sociodemográficas e clínicas e VED - acesso, nasofaringe encerramento velofaríngeo anatomia e deglutição de saliva.

		VED acesso						VED nasofaringe EVF anatomia						VED nasofaringe EVF deglutição de saliva					
		direita		esquerda		*p*	Correlação	presente		ausente		*p*	Correlação	presente		ausente		*p*	Correlação
		N	%	N	%			N	%	N	%			N	%	N	%		
Idade							0.062						-0.269						
Sexo	Masculino	21	87.5%	13	92.9%	0.609	-0.084	33	91.7%	1	50.0%	0.065	0.303	34	89.5%	0	0.0%	1.000	
	Feminino	3	12.5%	1	7.1%			3	8.3%	1	50.0%			4	10.5%	0	0.0%		
Estado civil	Casado	15	62.5%	5	35.7%	0.290	0.247	19	52.8%	1	50.0%	0.760	0.047	20	52.6%	0	0.0%	1.000	
	Solteiro	3	12.5%	3	21.4%			6	16.7%	0	0.0%			6	15.8%	0	0.0%		
	Divorciado	6	25.0%	6	42.9%			11	30.6%	1	50.0%			12	31.6%	0	0.0%		
	Viúvo	0	0.0%	0	0.0%			0	0.0%	0	0.0%			0	0.0%	0	0.0%		
Nível de escolaridade	Sem escolaridade	0	0.0%	0	0.0%	0.839	-0.034	0	0.0%	0	0.0%	0.533	0.056	0	0.0%	0	0.0%	1.000	
	1.º ciclo	10	41.7%	5	35.7%			14	38.9%	1	50.0%			15	39.5%	0	0.0%		
	2.º ciclo	5	20.8%	5	35.7%			10	27.8%	0	0.0%			10	26.3%	0	0.0%		
	3.º ciclo	3	12.5%	2	14.3%			5	13.9%	0	0.0%			5	13.2%	0	0.0%		
	secundário	2	8.3%	1	7.1%			3	8.3%	0	0.0%			3	7.9%	0	0.0%		
	Ensino superior	4	16.7%	1	7.1%			4	11.1%	1	50.0%			5	13.2%	0	0.0%		
Estadio TNM	0	0	0.0%	0	0.0%	0.395	0.112	0	0.0%	0	0.0%	**0.007**	0.006	0	0.0%	0	0.0%	1.000	
	IA	0	0.0%	0	0.0%			0	0.0%	0	0.0%			0	0.0%	0	0.0%		
	IB	0	0.0%	0	0.0%			0	0.0%	0	0.0%			0	0.0%	0	0.0%		
	II	3	12.5%	0	0.0%			2	5.6%	1	50.0%			3	7.9%	0	0.0%		
	IIIA	0	0.0%	0	0.0%			0	0.0%	0	0.0%			0	0.0%	0	0.0%		
	IIIB	0	0.0%	0	0.0%			0	0.0%	0	0.0%			0	0.0%	0	0.0%		
	IV	0	0.0%	0	0.0%			0	0.0%	0	0.0%			0	0.0%	0	0.0%		
	Benigno/sem doença	0	0.0%	0	0.0%			0	0.0%	0	0.0%			0	0.0%	0	0.0%		
	IVa	15	62.5%	10	71.4%			25	69.4%	0	0.0%			25	65.8%	0	0.0%		
	IVb	2	8.3%	1	7.1%			3	8.3%	0	0.0%			3	7.9%	0	0.0%		
	III	2	8.3%	3	21.4%			5	13.9%	0	0.0%			5	13.2%	0	0.0%		
	I	2	8.3%	0	0.0%			1	2.8%	1	50.0%			2	5.3%	0	0.0%		
Problemas de saúde	não	21	87.5%	10	71.4%	0.224	0.200	29	80.6%	2	100.0%	0.496	-0.112	31	81.6%	0	0.0%	1.000	
	Sim	3	12.5%	4	28.6%			7	19.4%	0	0.0%			7	18.4%	0	0.0%		
Traqueostomia	Não	23	95.8%	13	92.9%	0.696		34	94.4%	2	100.0%	0.735		36	94.7%	0	0.0%	1.000	
	Sim	1	4.2%	1	7.1%			2	5.6%	0	0.0%			2	5.3%	0	0.0%		

		VED acesso						VED nasofaringe EVF anatomia						VED nasofaringe EVF deglutição de saliva					
		direita		esquerda		*p*	Correlação	presente		ausente		*p*	Correlação	presente		ausente		*p*	Correlação
		N	%	N	%			N	%	N	%			N	%	N	%		
EGC	Não	0	0.0%	0	0.0%			0	0.0%	0	0.0%			0	0.0%	0	0.0%		
	Sim	24	100.0%	14	100.0%			36	100.0%	2	100.0%			38	100.0%	0	0.0%		
Quantidade de Gy							**0.180**						0.056						
QT por CCP	Não	3	12.5%	0	0.0%	0.174		0	8.3%	0	0.0%			0	0.0%	0	0.0%		
	Sim	21	87.5%	14	100.0%			0	91.7%	0	100.0%			0	0.0%	0	0.0%		
Tempo término tratamento							-0.053						-0.051						
Medicação diária	Não	5	20.8%	3	21.4%	0.966	-0.007	8	22.2%	0	0.0%		0.122	8	21.1%	0	0.0%		
	Sim	19	79.2%	11	78.6%			28	77.8%	2	100.0%			30	78.9%	0	0.0%		
Disfagia	Não	13	54.2%	12	85.7%	0.051	-0.321*	24	66.7%	1	50.0%		0.078	25	65.8%	0	0.0%		
	Sim	11	45.8%	2	14.3%			12	33.3%	1	50.0%			13	34.2%	0	0.0%		
Disfonia	Não	22	91.7%	13	92.9%	0.897	-0.021	33	91.7%	2	100.0%		-0.069	35	92.1%	0	0.0%		
	Sim	2	8.3%	1	7.1%			3	8.3%	0	0.0%			3	7.9%	0	0.0%		
Terapia	Não	11	45.8%	9	64.3%	0.278	-0.160	19	52.8%	1	50.0%	0.940	0.053	20	52.6%	0	0.0%	1.000	
	Sim	13	54.2%	5	21.4%			9	47.2%	0	50.0%			9	23.7%	0	0.0%		
FOIS	7	23	95.8%	12	85.7%	0.271	0.181	33	91.7%	2	100.0%	0.675	-0.069	35	92.1%	0	0.0%	1.000	
	6	0	0.0%	0	0.0%			0	0.0%	0	0.0%			0	0.0%	0	0.0%		
	5	1	4.2%	2	14.3%			3	8.3%	0	0.0%			3	7.9%	0	0.0%		
	4	0	0.0%	0	0.0%			0	0.0%	0	0.0%			0	0.0%	0	0.0%		
	3	0	0.0%	0	0.0%			0	0.0%	0	0.0%			0	0.0%	0	0.0%		
	2	0	0.0%	0	0.0%			0	0.0%	0	0.0%			0	0.0%	0	0.0%		
	1	0	0.0%	0	0.0%			0	0.0%	0	0.0%			0	0.0%	0	0.0%		
Via de administração da alimentação	via oral	16	66.7%	12	85.7%	0.363	-0.161	27	75.0%	1	50.0%	0.582	0.118	27	73.0%	1	100.0%	1.000	
	SNG	2	8.3%	0	0.0%			2	5.6%	0	0.0%			2	5.4%	0	0.0%		
	PEG	6	25.0%	2	14.3%			7	19.4%	1	50.0%			8	21.6%	0	0.0%		
Consistência dos sólidos	dieta regular	0	0.0%	0	0.0%	0.271	0.181	0	0.0%	0	0.0%	.675	-0.069	0	0.0%	0	0.0%	1.000	
	dieta mole	23	95.8%	12	85.7%			33	91.7%	2	100.0%			35	92.1%	0	0.0%		
	dieta puré	0	0.0%	0	0.0%			0	0.0%	0	0.0%			0	0.0%	0	0.0%		
	SNG/PEG	1	4.2%	2	14.3%			3	8.3%	0	0.0%			3	7.9%	0	0.0%		
Consistência dos líquidos	finos	18	94.7%	10	100.0%	0.468	-0.137	26	96.3%	2	100.0%	0.785	-0.051	28	96.6%	0	0.0%	1.000	
	espessos	0	0.0%	0	0.0%			0	0.0%	0	0.0%			0	0.0%	0	0.0%		
	NPO líquidos	1	5.3%	0	0.0%			1	3.7%	0	0.0%			1	3.4%	0	0.0%		

Tabela 111 - Medidas descritivas, análise de correlação e diferenças estatísticas entre as variáveis sociodemográficas e clínicas e VED - nasofaringe encerramento velofaríngeo som e sílaba e fala e anatomia da oro/hipofaringe.

		VED nasofaringe EVF som e silaba						VED nasofaringe EVF fala						VED oro/hipofaringe anatomia					
		presente		ausente		*p*	Correlação	presente		ausente		*p*	Correlação	presente		ausente		*p*	Correlação
		N	%	N	%			N	%	N	%			N	%	N	%		
Idade							-0.135						0.135						0.086
Sexo	Masculino	34	91.9%	0	0.0%	**0.004**	**0.479****	34	91.9%	0	0.0%	**0.004**	**0.479****	3	75.0%	31	91.2%	0.325	-0.162
	Feminino	3	8.1%	1	100.0%			3	8.1%	1	100.0%			1	25.0%	3	8.8%		
Estado civil	Casado	19	51.4%	1	100.0%	0.638	-0.149	19	51.4%	1	100.0%	0.638	-0.149	2	50.0%	18	52.9%	0.861	0.009
	Solteiro	6	16.2%	0	0.0%			6	16.2%	0	0.0%			1	25.0%	5	14.7%		
	Divorciado	12	32.4%	0	0.0%			12	32.4%	0	0.0%			1	25.0%	11	32.4%		
	Viúvo	0	0.0%	0	0.0%			0	0.0%	0	0.0%			0	0.0%	0	0.0%		
Nível de escolaridade	Sem escolaridade	0	0.0%	0	0.0%	0.159	0.258	0	0.0%	0	0.0%	0.159	0.258	0	0.0%	0	0.0%	0.638	-0.016
	1.º ciclo	15	40.5%	0	0.0%			15	40.5%	0	0.0%			2	50.0%	13	38.2%		
	2.º ciclo	10	27.0%	0	0.0%			10	27.0%	0	0.0%			0	0.0%	10	29.4%		
	3.º ciclo	5	13.5%	0	0.0%			5	13.5%	0	0.0%			1	25.0%	4	11.8%		
	secundário	3	8.1%	0	0.0%			3	8.1%	0	0.0%			0	0.0%	3	8.8%		
	Ensino superior	4	10.8%	1	100.0%			4	10.8%	1	100.0%			1	25.0%	4	11.8%		
Estadio TNM	0	0	0.0%	0	0.0%	**0.001**	0.320	0	0.0%	0	0.0%	**0.001**	0.320	0	0.0%	0	0.0%	0.589	0.000
	IA	0	0.0%	0	0.0%			0	0.0%	0	0.0%			0	0.0%	0	0.0%		
	IB	0	0.0%	0	0.0%			0	0.0%	0	0.0%			0	0.0%	0	0.0%		
	II	3	8.1%	0	0.0%			3	8.1%	0	0.0%			0	0.0%	3	8.8%		
	IIIA	0	0.0%	0	0.0%			0	0.0%	0	0.0%			0	0.0%	0	0.0%		
	IIIB	0	0.0%	0	0.0%			0	0.0%	0	0.0%			0	0.0%	0	0.0%		
	IV	0	0.0%	0	0.0%			0	0.0%	0	0.0%			0	0.0%	0	0.0%		
	Benigno/sem doença	0	0.0%	0	0.0%			0	0.0%	0	0.0%			0	0.0%	0	0.0%		
	IVa	25	67.6%	0	0.0%			25	67.6%	0	0.0%			3	75.0%	22	64.7%		
	IVb	3	8.1%	0	0.0%			3	8.1%	0	0.0%			1	25.0%	2	5.9%		
	III	5	13.5%	0	0.0%			5	13.5%	0	0.0%			0	0.0%	5	14.7%		
	I	1	2.7%	1	100.0%			1	2.7%	1	100.0%			0	0.0%	2	5.9%		
Problemas de saúde	não	30	81.1%	1	100.0%	0.635	-0.078	30	81.1%	1	100.0%	0.635	-0.078	4	100.0%	27	79.4%	0.321	0.163
	Sim	7	18.9%	0	0.0%			7	18.9%	0	0.0%			0	0.0%	7	20.6%		
Traqueostomia	Não	35	94.6%	1	100.0%	0.814		35	94.6%	1	100.0%	0.814		4	100.0%	32	94.1%	0.623	
	Sim	2	5.4%	0	0.0%			2	5.4%	0	0.0%			0	0.0%	2	5.9%		
EGC	Não	0	0.0%	0	0.0%			0	0.0%	0	0.0%			0	0.0%	0	0.0%		
	Sim	37	100.0%	1	100.0%			37	100.0%	1	100.0%			4	100.0%	34	100.0%		

		VED nasofaringe EVF som e silaba						VED nasofaringe EVF fala						VED oro/hipofaringe anatomia					
		presente		ausente		*p*	Correlação	presente		ausente		*p*	Correlação	presente		ausente		*p*	Correlação
		N	%	N	%			N	%	N	%			N	%	N	%		
Quantidade de Gy							0.039						0.039						-0.081
QT por CCP	Não	0	0.0%	0	0.0%			3	8.1%	0	0.0%			0	0.0%	0	0.0%		
	Sim	0	0.0%	0	0.0%			34	91.9%	1	100.0%			0	0.0%	0	0.0%		
Tempo término tratamento							-0.204						-0.204						0.074
Medicação diária	Não	8	21.6%	0	0.0%		0.085	8	21.6%	0	0.0%		0.085	2	50.0%	6	17.6%		0.244
	Sim	29	78.4%	1	100.0%			29	78.4%	1	100.0%			2	50.0%	28	82.4%		
Disfagia	Não	24	64.9%	1	100.0%		-0.119	24	64.9%	1	100.0%		-0.119	2	50.0%	23	67.6%		-0.114
	Sim	13	35.1%	0	0.0%			13	35.1%	0	0.0%			2	50.0%	11	32.4%		
Disfonia	Não	34	91.9%	1	100.0%		-0.048	34	91.9%	1	100.0%		-0.048	4	100.0%	31	91.2%		0.100
	Sim	3	8.1%	0	0.0%			3	8.1%	0	0.0%			0	0.0%	3	8.8%		
Terapia	Não	19	51.4%	1	100.0%	0.343	-0.147	19	51.4%	1	100.0%	0.343	-0.147	3	75.0%	17	50.0%	0.350	0.184
	Sim	9	24.3%	0	0.0%			18	48.6%	0	0.0%			1	25.0%	8	23.5%		
FOIS	7	34	91.9%	1	100.0%			34	91.9%	1	100.0%			4	100.0%	31	91.2%		
	6	0	0.0%	0	0.0%			0	0.0%	0	0.0%			0	0.0%	0	0.0%		
	5	3	8.1%	0	0.0%			3	8.1%	0	0.0%			0	0.0%	3	8.8%		
	4	0	0.0%	0	0.0%	0.770	-0.048	0	0.0%	0	0.0%	0.770	-0.048	0	0.0%	0	0.0%	0.541	0.100
	3	0	0.0%	0	0.0%			0	0.0%	0	0.0%			0	0.0%	0	0.0%		
	2	0	0.0%	0	0.0%			0	0.0%	0	0.0%			0	0.0%	0	0.0%		
	1	0	0.0%	0	0.0%			0	0.0%	0	0.0%			0	0.0%	0	0.0%		
Via de administração da alimentação	via oral	27	73.0%	1	100.0%			27	73.0%	1	100.0%			4	100.0%	24	70.6%		
	SNG	2	5.4%	0	0.0%	0.836	-0.097	2	5.4%	0	0.0%	0.836	-0.097	0	0.0%	2	5.9%	0.460	0.202
	PEG	8	21.6%	0	0.0%			8	21.6%	0	0.0%			0	0.0%	8	23.5%		
Consistência dos sólidos	dieta regular	0	0.0%	0	0.0%			0	0.0%	0	0.0%			0	0.0%	0	0.0%		
	dieta mole	34	91.9%	1	100.0%	0.770	-0.048	34	91.9%	1	100.0%	0.770	-0.48	4	100.0%	31	91.2%	0.541	0.100
	dieta puré	0	0.0%	0	0.0%			0	0.0%	0	0.0%			0	0.0%	0	0.0%		
	SNG/PEG	3	8.1%	0	0.0%			3	8.1%	0	0.0%			0	0.0%	3	8.8%		
Consistência dos líquidos	finos	27	96.4%	1	100.0%			27	96.4%	1	100.0%			4	100.0%	24	96.0%		
	espessos	0	0.0%	0	0.0%	0.850	-0.036	0	0.0%	0	0.0%	0.850	-0.036	0	0.0%	0	0.0%	0.689	0.076
	NPO líquidos	1	3.6%	0	0.0%			1	3.6%	0	0.0%			0	0.0%	1	4.0%		

Tabela 112 - Medidas descritivas, análise de correlação e diferenças estatísticas entre as variáveis sociodemográficas e clínicas e VED - oro/hipofaringe movimento da língua, resíduo em valéculas e em seios piriformes.

		VED oro/hipofaringe movimento da língua						VED oro/hipofaringe resíduo valéculas						VED oro/hipofaringe resíduo seios piriformes					
		presente		ausente		*p*	Correlação	presente		ausente		*p*	Correlação	presente		ausente		*p*	Correlação
		N	%	N	%			N	%	N	%			N	%	N	%		
Idade							-0.047						0.210						0.399
Sexo	Masculino	31	91.2%	3	75.0%	0.325	0.162	21	84.0%	13	100.0%	0.132	-0.247	16	80.0%	18	100.0%	**0.048**	-0.325
	Feminino	3	8.8%	1	25.0%			4	16.0%	0	0.0%			4	20.0%	0	0.0%		
Estado civil	Casado	19	55.9%	1	25.0%	0.141	0.104	12	48.0%	8	61.5%	0.164	-0.039	10	50.0%	10	55.6%	0.760	-0.021
	Solteiro	4	11.8%	2	50.0%			6	24.0%	0	0.0%			4	20.0%	2	11.1%		
	Divorciado	11	32.4%	1	25.0%			7	28.0%	5	38.5%			6	30.0%	6	33.3%		
	Viúvo	0	0.0%	0	0.0%			0	0.0%	0	0.0%			0	0.0%	0	0.0%		
Nível de escolaridade	Sem escolaridade	0	0.0%	0	0.0%	0.826	-0.110	0	0.0%	0	0.0%	0.743	0.063	0	0.0%	0	0.0%	0.304	-0.23
	1.º ciclo	13	38.2%	2	50.0%			10	40.0%	5	38.5%			8	40.0%	7	38.9%		
	2.º ciclo	9	26.5%	1	25.0%			7	28.0%	3	23.1%			5	25.0%	5	27.8%		
	3.º ciclo	4	11.8%	1	25.0%			4	16.0%	1	7.7%			3	15.0%	2	11.1%		
	secundário	3	8.8%	0	0.0%			1	4.0%	2	15.4%			0	0.0%	3	16.7%		
	Ensino superior	5	14.7%	0	0.0%			3	12.0%	2	15.4%			4	20.0%	1	5.6%		
Estadio TNM	0	0	0.0%	0	0.0%	0.589	0.000	0	0.0%	0	0.0%	0.722	0.048	0	0.0%	0	0.0%	0.673	-0.054
	IA	0	0.0%	0	0.0%			0	0.0%	0	0.0%			0	0.0%	0	0.0%		
	IB	0	0.0%	0	0.0%			0	0.0%	0	0.0%			0	0.0%	0	0.0%		
	II	3	8.8%	0	0.0%			2	8.0%	1	7.7%			2	10.0%	1	5.6%		
	IIIA	0	0.0%	0	0.0%			0	0.0%	0	0.0%			0	0.0%	0	0.0%		
	IIIB	0	0.0%	0	0.0%			0	0.0%	0	0.0%			0	0.0%	0	0.0%		
	IV	0	0.0%	0	0.0%			0	0.0%	0	0.0%			0	0.0%	0	0.0%		
	Benigno/sem doença	0	0.0%	0	0.0%			0	0.0%	0	0.0%			0	0.0%	0	0.0%		
	IVa	22	64.7%	3	75.0%			17	68.0%	8	61.5%			12	60.0%	13	72.2%		
	IVb	2	5.9%	1	25.0%			1	4.0%	2	15.4%			1	5.0%	2	11.1%		
	III	5	14.7%	0	0.0%			4	16.0%	1	7.7%			4	20.0%	1	5.6%		
	I	2	5.9%	0	0.0%			1	4.0%	1	7.7%			1	5.0%	1	5.6%		
Problemas de saúde	não	27	79.4%	4	100.0%	0.321	-0.163	20	80.0%	11	84.6%	0.731	-0.056	17	85.0%	14	77.8%	0.572	0.093
	Sim	7	20.6%	0	0.0%			5	20.0%	2	15.4%			3	15.0%	4	22.2%		
Traqueostomia	Não	33	97.1%	3	75.0%	0.065		24	96.0%	12	92.3%	0.633		19	95.0%	17	94.4%	0.940	
	Sim	1	2.9%	1	25.0%			1	4.0%	1	7.7%			1	5.0%	1	5.6%		
EGC	Não	0	0.0%	0	0.0%			0	0.0%	0	0.0%			0	0.0%	0	0.0%		
	Sim	34	100.0%	4	100.0%			25	100.0%	13	100.0%			20	100.0%	18	100.0%		
Quantidade de Gy							0.081						-0.327*						-0.248

		VED oro/hipofaringe movimento da língua						VED oro/hipofaringe resíduo valéculas						VED oro/hipofaringe resíduo seios piriformes					
		presente		ausente		*p*	Correlação	presente		ausente		*p*	Correlação	presente		ausente		*p*	Correlação
		N	%	N	%			N	%	N	%			N	%	N	%		
QT por CCP	Não	0	0.0%	0	0.0%			0	0.0%	0	0.0%			0	0.0%	0	0.0%		
	Sim	0	0.0%	0	0.0%			0	0.0%	0	0.0%			0	0.0%	0	0.0%		
Tempo término tratamento							-0.249						0.015						-0.096
Medicação diária	Não	6	17.6%	2	50.0%		-0.244	5	20.0%	3	23.1%		-0.036	4	20.0%	4	22.2%		-0.027
	Sim	28	82.4%	2	50.0%			20	80.0%	10	76.9%			16	80.0%	14	77.8%		
Disfagia	Não	23	67.6%	2	50.0%		0.114	16	64.0%	9	69.2%		-0.052	13	65.0%	12	66.7%		-0.018
	Sim	11	32.4%	2	50.0%			9	36.0%	4	30.8%			7	35.0%	6	33.3%		
Disfonia	Não	31	91.2%	4	100.0%		-0.100	23	92.0%	12	92.3%		-0.005	18	90.0%	17	94.4%		-0.082
	Sim	3	8.8%	0	0.0%			2	8.0%	1	7.7%			2	10.0%	1	5.6%		
Terapia	Não	18	52.9%	2	50.0%	0.912	0.043	13	52.0%	7	53.8%	0.915	0.033	11	55.0%	9	50.0%	0.761	0.024
	Sim	8	23.5%	1	25.0%			7	28.0%	2	15.4%			4	20.0%	5	27.8%		
FOIS	7	32	94.1%	3	75.0%			23	92.0%	12	92.3%			18	90.0%	17	94.4%		
	6	0	0.0%	0	0.0%			0	0.0%	0	0.0%			0	0.0%	0	0.0%		
	5	2	5.9%	1	25.0%			2	8.0%	1	7.7%			2	10.0%	1	5.6%		
	4	0	0.0%	0	0.0%	0.186	0.218	0	0.0%	0	0.0%	0.974	-0.005	0	0.0%	0	0.0%	0.617	-0.082
	3	0	0.0%	0	0.0%			0	0.0%	0	0.0%			0	0.0%	0	0.0%		
	2	0	0.0%	0	0.0%			0	0.0%	0	0.0%			0	0.0%	0	0.0%		
	1	0	0.0%	0	0.0%			0	0.0%	0	0.0%			0	0.0%	0	0.0%		
Via de administração da alimentação	via oral	25	73.5%	3	75.0%			19	76.0%	9	69.2%			15	75.0%	13	72.2%		
	SNG	2	5.9%	0	0.0%	0.877	0.025	2	8.0%	0	0.0%	0.382	0.085	1	5.0%	1	5.6%	0.982	0.019
	PEG	7	20.6%	1	25.0%			4	16.0%	4	30.8%			4	20.0%	4	22.2%		
Consistência dos sólidos	dieta regular	0	0.0%	0	0.0%			0	0.0%	0	0.0%			0	0.0%	0	0.0%		
	dieta mole	32	94.1%	3	75.0%	0.186	0.218	23	92.0%	12	92.3%	0.974	-0.005	18	90.0%	17	94.4%	0.617	-0.082
	dieta puré	0	0.0%	0	0.0%			0	0.0%	0	0.0%			0	0.0%	0	0.0%		
	SNG/PEG	2	5.9%	1	25.0%			2	8.0%	1	7.7%			2	10.0%	1	5.6%		
Consistência dos líquidos	finos	24	96.0%	4	100.0%			19	100.0%	9	90.0%			15	100.0%	13	92.9%		
	espessos	0	0.0%	0	0.0%	0.689	-0.076	0	0.0%	0	0.0%	0.168	0.260	0	0.0%	0	0.0%	0.301	0.196
	NPO líquidos	1	4.0%	0	0.0%			0	0.0%	1	10.0%			0	0.0%	1	7.1%		

Tabela 113 - Medidas descritivas, análise de correlação e diferenças estatísticas entre as variáveis sociodemográficas e clínicas e a VED - oro/hipofaringe produção /i/, manipulação de secreções e laringe - anatomia.

		VED oro/hipofaringe produção /i/						VED oro/hipofaringe manipulação de secreções						VED laringe anatomia					
		presente		ausente		*p*	Correlação	presente		ausente		*p*	Correlação	presente		ausente		*p*	Correlação
		N	%	N	%			N	%	N	%			N	%	N	%		
Idade													0.045						0.000
Sexo	Masculino	34	89.5%	0	0.0%	1.000		32	91.4%	2	66.7%	0.186	0.218	2	66.7%	32	91.4%	0.186	-0.218
	Feminino	4	10.5%	0	0.0%			3	8.6%	1	33.3%			1	33.3%	3	8.6%		
Estado civil	Casado	20	52.6%	0	0.0%	1.000		19	54.3%	1	33.3%	0.655	0.079	2	66.7%	18	51.4%	0.733	0.049
	Solteiro	6	15.8%	0	0.0%			5	14.3%	1	33.3%			0	0.0%	6	17.1%		
	Divorciado	12	31.6%	0	0.0%			11	31.4%	1	33.3%			1	33.3%	11	31.4%		
	Viúvo	0	0.0%	0	0.0%			0	0.0%	0	0.0%			0	0.0%	0	0.0%		
Nível de escolaridade	Sem escolaridade	0	0.0%	0	0.0%	1.000		0	0.0%	0	0.0%	0.784	-0.205	0	0.0%	0	0.0%	0.545	0.060
	1.º ciclo	15	39.5%	0	0.0%			13	37.1%	2	66.7%			2	66.7%	13	37.1%		
	2.º ciclo	10	26.3%	0	0.0%			9	25.7%	1	33.3%			0	0.0%	10	28.6%		
	3.º ciclo	5	13.2%	0	0.0%			5	14.3%	0	0.0%			0	0.0%	5	14.3%		
	secundário	3	7.9%	0	0.0%			3	8.6%	0	0.0%			0	0.0%	3	8.6%		
	Ensino superior	5	13.2%	0	0.0%			5	14.3%	0	0.0%			1	33.3%	4	11.4%		
Estadio TNM	0	0	0.0%	0	0.0%	1.000		0	0.0%	0	0.0%	0.488	0.037	0	0.0%	0	0.0%	0.488	-0.037
	IA	0	0.0%	0	0.0%			0	0.0%	0	0.0%			0	0.0%	0	0.0%		
	IB	0	0.0%	0	0.0%			0	0.0%	0	0.0%			0	0.0%	0	0.0%		
	II	3	7.9%	0	0.0%			3	8.6%	0	0.0%			0	0.0%	3	8.6%		
	IIIA	0	0.0%	0	0.0%			0	0.0%	0	0.0%			0	0.0%	0	0.0%		
	IIIB	0	0.0%	0	0.0%			0	0.0%	0	0.0%			0	0.0%	0	0.0%		
	IV	0	0.0%	0	0.0%			0	0.0%	0	0.0%			0	0.0%	0	0.0%		
	Benigno/sem doença	0	0.0%	0	0.0%			0	0.0%	0	0.0%			0	0.0%	0	0.0%		
	IVa	25	65.8%	0	0.0%			23	65.7%	2	66.7%			2	66.7%	23	65.7%		
	IVb	3	7.9%	0	0.0%			2	5.7%	1	33.3%			1	33.3%	2	5.7%		
	III	5	13.2%	0	0.0%			5	14.3%	0	0.0%			0	0.0%	5	14.3%		
	I	2	5.3%	0	0.0%			2	5.7%	0	0.0%			0	0.0%	2	5.7%		
Problemas de saúde	não	31	81.6%	0	0.0%	1.000		28	80.0%	3	100.0%	0.397	-0.139	3	100.0%	28	80.0%	0.397	0.139
	Sim	7	18.4%	0	0.0%			7	20.0%	0	0.0%			0	0.0%	7	20.0%		
Traqueostomia	Não	36	94.7%	0	0.0%	1.000		34	97.1%	2	66.7%	**0.025**		3	100.0%	33	94.3%	0.675	
	Sim	2	5.3%	0	0.0%			1	2.9%	1	33.3%			0	0.0%	2	5.7%		
EGC	Não	0	0.0%	0	0.0%			0	0.0%	0	0.0%			0	0.0%	0	0.0%		
	Sim	38	100.0%	0	0.0%			35	100.0%	3	100.0%			3	100.0%	35	100.0%		
Quantidade de Gy													0.069						-0.069

		VED oro/hipofaringe produção /i/						VED oro/hipofaringe manipulação de secreções						VED laringe anatomia					
		presente		ausente				presente		ausente				presente		ausente			
		N	%	N	%	*p*	Correlação	N	%	N	%	*p*	Correlação	N	%	N	%	*p*	Correlação
QT por CCP	Não	0	0.0%	0	0.0%			0	0.0%	0	0.0%			0	0.0%	0	0.0%		
	Sim	0	0.0%	0	0.0%			0	0.0%	0	0.0%			0	0.0%	0	0.0%		
Tempo término tratamento													-0.163						-0.037
Medicação diária	Não	8	21.1%	0	0.0%			7	20.0%	1	33.3%		-0.088	1	33.3%	7	20.0%		0.088
	Sim	30	78.9%	0	0.0%			28	80.0%	2	66.7%			2	66.7%	28	80.0%		
Disfagia	Não	25	65.8%	0	0.0%			24	68.6%	1	33.3%		0.200	1	33.3%	24	68.6%		-0.200
	Sim	13	34.2%	0	0.0%			11	31.4%	2	66.7%			2	66.7%	11	31.4%		
Disfonia	Não	35	92.1%	0	0.0%			32	91.4%	3	100.0%		-0.086	3	100.0%	32	91.4%		0.086
	Sim	3	7.9%	0	0.0%			3	8.6%	0	0.0%			0	0.0%	3	8.6%		
Terapia	Não	20	52.6%	0	0.0%	1.000		18	51.4%	2	66.7%	0.617	-0.005	3	100.0%	17	48.6%	0.091	0.262
	Sim	9	23.7%	0	0.0%			9	25.7%	0	0.0%			0	0.0%	9	25.7%		
FOIS	7	35	92.1%	0	0.0%			33	94.3%	2	66.7%			3	100.0%	32	91.4%		
	6	0	0.0%	0	0.0%			0	0.0%	0	0.0%			0	0.0%	0	0.0%		
	5	3	7.9%	0	0.0%			2	5.7%	1	33.3%			0	0.0%	3	8.6%		
	4	0	0.0%	0	0.0%	1.000		0	0.0%	0	0.0%	0.093	0.276	0	0.0%	0	0.0%	0.602	0.086
	3	0	0.0%	0	0.0%			0	0.0%	0	0.0%			0	0.0%	0	0.0%		
	2	0	0.0%	0	0.0%			0	0.0%	0	0.0%			0	0.0%	0	0.0%		
	1	0	0.0%	0	0.0%			0	0.0%	0	0.0%			0	0.0%	0	0.0%		
Via de administração da alimentação	via oral	28	73.7%	0	0.0%			26	74.3%	2	66.7%			3	100.0%	25	71.4%		
	SNG	2	5.3%	0	0.0%	1.000		2	5.7%	0	0.0%	0.812	0.086	0	0.0%	2	5.7%	0.568	0.173
	PEG	8	21.1%	0	0.0%			7	20.0%	1	33.3%			0	0.0%	8	22.9%		
Consistência dos sólidos	dieta regular	0	0.0%	0	0.0%			0	0.0%	0	0.0%			0	0.0%	0	0.0%		
	dieta mole	35	92.1%	0	0.0%	1.000		33	94.3%	2	66.7%	0.093	0.276	3	100.0%	32	91.4%	0.602	0.086
	dieta puré	0	0.0%	0	0.0%			0	0.0%	0	0.0%			0	0.0%	0	0.0%		
	SNG/PEG	3	7.9%	0	0.0%			2	5.7%	1	33.3%			0	0.0%	3	8.6%		
Consistência dos líquidos	finos	28	96.6%	0	0.0%			25	96.2%	3	100.0%			3	100.0%	25	96.2%		
	espessos	0	0.0%	0	0.0%	1.000		0	0.0%	0	0.0%	0.734	-0.064	0	0.0%	0	0.0%	0.734	0.064
	NPO líquidos	1	3.4%	0	0.0%			1	3.8%	0	0.0%			0	0.0%	1	3.8%		

Tabela 114 - Medidas descritivas, análise de correlação e diferenças estatísticas entre as variáveis sociodemográficas e clínicas e VED - laringe - fala, deglutição de saliva e produção /i/.

		VED laringe fala						VED laringe deglutição de saliva						VED laringe produção /i/					
		presente		ausente		*p*	Correlação	presente		ausente		*p*	Correlação	presente		ausente		*p*	Correlação
		N	%	N	%			N	%	N	%			N	%	N	%		
Idade													-0.102						
Sexo	Masculino	34	89.5%	0	0.0%	1.000		32	88.9%	2	100.0%	0.623	-0.081	34	89.5%	0	0.0%	1.000	
	Feminino	4	10.5%	0	0.0%			4	11.1%	0	0.0%			4	10.5%	0	0.0%		
Estado civil	Casado	20	52.6%	0	0.0%	1.000		19	52.8%	1	50.0%	0.337	-0.059	20	52.6%	0	0.0%	1.000	
	Solteiro	6	15.8%	0	0.0%			5	13.9%	1	50.0%			6	15.8%	0	0.0%		
	Divorciado	12	31.6%	0	0.0%			12	33.3%	0	0.0%			12	31.6%	0	0.0%		
	Viúvo	0	0.0%	0	0.0%			0	0.0%	0	0.0%			0	0.0%	0	0.0%		
Nível de escolaridade	Sem escolaridade	0	0.0%	0	0.0%	1.000		0	0.0%	0	0.0%	0.878	0.118	0	0.0%	0	0.0%	1.000	
	1.º ciclo	15	39.5%	0	0.0%			14	38.9%	1	50.0%			15	39.5%	0	0.0%		
	2.º ciclo	10	26.3%	0	0.0%			9	25.0%	1	50.0%			10	26.3%	0	0.0%		
	3.º ciclo	5	13.2%	0	0.0%			5	13.9%	0	0.0%			5	13.2%	0	0.0%		
	secundário	3	7.9%	0	0.0%			3	8.3%	0	0.0%			3	7.9%	0	0.0%		
	Ensino superior	5	13.2%	0	0.0%			5	13.9%	0	0.0%			5	13.2%	0	0.0%		
Estadio TNM	0	0	0.0%	0	0.0%	1.000		0	0.0%	0	0.0%	0.264	0.089	0	0.0%	0	0.0%	1.000	
	IA	0	0.0%	0	0.0%			0	0.0%	0	0.0%			0	0.0%	0	0.0%		
	IB	0	0.0%	0	0.0%			0	0.0%	0	0.0%			0	0.0%	0	0.0%		
	II	3	7.9%	0	0.0%			3	8.3%	0	0.0%			3	7.9%	0	0.0%		
	IIIA	0	0.0%	0	0.0%			0	0.0%	0	0.0%			0	0.0%	0	0.0%		
	IIIB	0	0.0%	0	0.0%			0	0.0%	0	0.0%			0	0.0%	0	0.0%		
	IV	0	0.0%	0	0.0%			0	0.0%	0	0.0%			0	0.0%	0	0.0%		
	Benigno/sem doença	0	0.0%	0	0.0%			0	0.0%	0	0.0%			0	0.0%	0	0.0%		
	IVa	25	65.8%	0	0.0%			24	66.7%	1	50.0%			25	65.8%	0	0.0%		
	IVb	3	7.9%	0	0.0%			2	5.6%	1	50.0%			3	7.9%	0	0.0%		
	III	5	13.2%	0	0.0%			5	13.9%	0	0.0%			5	13.2%	0	0.0%		
	I	2	5.3%	0	0.0%			2	5.6%	0	0.0%			2	5.3%	0	0.0%		
Problemas de saúde	não	31	81.6%	0	0.0%	1.000		29	80.6%	2	100.0%	0.496	-0.112	31	81.6%	0	0.0%	1.000	
	Sim	7	18.4%	0	0.0%			7	19.4%	0	0.0%			7	18.4%	0	0.0%		
Traqueostomia	Não	36	94.7%	0	0.0%	1.000		35	97.2%	1	50.0%	**0.004**		36	94.7%	0	0.0%	1.000	
	Sim	2	5.3%	0	0.0%			1	2.8%	1	50.0%			2	5.3%	0	0.0%		
EGC	Não	0	0.0%	0	0.0%			0	0.0%	0	0.0%			0	0.0%	0	0.0%		
	Sim	38	100.0%	0	0.0%			36	100.0%	2	100.0%			38	100.0%	0	0.0%		
Quantidade de Gy													0.056						
QT por CCP	Não	0	0.0%	0	0.0%			0	0.0%	0	0.0%			0	0.0%	0	0.0%		

		VED laringe fala						VED laringe deglutição de saliva						VED laringe produção /i/					
		presente		ausente		*p*	Correlação	presente		ausente		*p*	Correlação	presente		ausente		*p*	Correlação
		N	%	N	%			N	%	N	%			N	%	N	%		
	Sim	0	0.0%	0	0.0%			0	0.0%	0	0.0%			0	0.0%	0	0.0%		
Tempo término tratamento													-0.292						
Medicação diária	Não	8	21.1%	0	0.0%			7	19.4%	1	50.0%		-0.167	8	21.1%	0	0.0%		
	Sim	30	78.9%	0	0.0%			29	80.6%	1	50.0%			30	78.9%	0	0.0%		
Disfagia	Não	25	65.8%	0	0.0%			25	69.4%	0	0.0%	**0.047**	**0.327***	25	65.8%	0	0.0%		
	Sim	13	34.2%	0	0.0%			11	30.6%	2	100.0%			13	34.2%	0	0.0%		
Disfonia	Não	35	92.1%	0	0.0%			33	91.7%	2	100.0%		-0.069	35	92.1%	0	0.0%		
	Sim	3	7.9%	0	0.0%			3	8.3%	0	0.0%			3	7.9%	0	0.0%		
Terapia	Não	20	52.6%	0	0.0%	1.000		19	52.8%	1	50.0%	0.940	0.100	20	52.6%	0	0.0%	1.000	
	Sim	9	23.7%	0	0.0%			9	25.0%	0	0.0%			9	23.7%	0	0.0%		
FOIS	7	35	92.1%	0	0.0%			34	94.4%	1	50.0%			35	92.1%	0	0.0%		
	6	0	0.0%	0	0.0%			0	0.0%	0	0.0%			0	0.0%	0	0.0%		
	5	3	7.9%	0	0.0%			2	5.6%	1	50.0%			3	7.9%	0	0.0%		
	4	0	0.0%	0	0.0%	1.000		0	0.0%	0	0.0%	**0.025**	**0.368***	0	0.0%	0	0.0%	1.000	
	3	0	0.0%	0	0.0%			0	0.0%	0	0.0%			0	0.0%	0	0.0%		
	2	0	0.0%	0	0.0%			0	0.0%	0	0.0%			0	0.0%	0	0.0%		
	1	0	0.0%	0	0.0%			0	0.0%	0	0.0%			0	0.0%	0	0.0%		
Via de administração da alimentação	via oral	28	73.7%	0	0.0%			27	75.0%	1	50.0%			28	73.7%	0	0.0%		
	SNG	2	5.3%	0	0.0%	1.000		2	5.6%	0	0.0%	0.582	0.174	2	5.3%	0	0.0%	1.000	
	PEG	8	21.1%	0	0.0%			7	19.4%	1	50.0%			8	21.1%	0	0.0%		
Consistência dos sólidos	dieta regular	0	0.0%	0	0.0%			0	0.0%	0	0.0%			0	0.0%	0	0.0%		
	dieta mole	35	92.1%	0	0.0%	1.000		34	94.4%	1	50.0%	**0.025**	**0.368***	35	92.1%	0	0.0%	1.000	
	dieta puré	0	0.0%	0	0.0%			0	0.0%	0	0.0%			0	0.0%	0	0.0%		
	SNG/PEG	3	7.9%	0	0.0%			2	5.6%	1	50.0%			3	7.9%	0	0.0%		
Consistência dos líquidos	finos	28	96.6%	0	0.0%			26	96.3%	2	100.0%			28	96.6%	0	0.0%		
	espessos	0	0.0%	0	0.0%	1.000		0	0.0%	0	0.0%	0.785	-0.051	0	0.0%	0	0.0%	1.000	
	NPO líquidos	1	3.4%	0	0.0%			1	3.7%	0	0.0%			1	3.4%	0	0.0%		

Tabela 115 - Medidas descritivas, análise de correlação e diferenças estatísticas entre as variáveis sociodemográficas e clínicas e VED - laringe - tosse voluntária, apneia e sensibilidade da base da língua.

		VED laringe tosse voluntária						VED laringe apneia						VED sensibilidade da base da língua					
		presente		ausente		*p*	Correlação	presente		ausente		*p*	Correlação	presente		ausente		*p*	Correlação
		N	%	N	%			N	%	N	%			N	%	N	%		
Idade																			-0.047
Sexo	Masculino	34	89.5%	0	0.0%	1.000		34	89.5%	0	0.0%	1.000		31	91.2%	3	75.0%	0.325	0.162
	Feminino	4	10.5%	0	0.0%			4	10.5%	0	0.0%			3	8.8%	1	25.0%		
Estado civil	Casado	20	52.6%	0	0.0%	1.000		20	52.6%	0	0.0%	1.000		19	55.9%	1	25.0%	0.141	0.104
	Solteiro	6	15.8%	0	0.0%			6	15.8%	0	0.0%			4	11.8%	2	50.0%		
	Divorciado	12	31.6%	0	0.0%			12	31.6%	0	0.0%			11	32.4%	1	25.0%		
	Viúvo	0	0.0%	0	0.0%			0	0.0%	0	0.0%			0	0.0%	0	0.0%		
Nível de escolaridade	Sem escolaridade	0	0.0%	0	0.0%	1.0000		0	0.0%	0	0.0%	1.000		0	0.0%	0	0.0%	0.826	-0.110
	1.º ciclo	15	39.5%	0	0.0%			15	39.5%	0	0.0%			13	38.2%	2	50.0%		
	2.º ciclo	10	26.3%	0	0.0%			10	26.3%	0	0.0%			9	26.5%	1	25.0%		
	3.º ciclo	5	13.2%	0	0.0%			5	13.2%	0	0.0%			4	11.8%	1	25.0%		
	secundário	3	7.9%	0	0.0%			3	7.9%	0	0.0%			3	8.8%	0	0.0%		
	Ensino superior	5	13.2%	0	0.0%			5	13.2%	0	0.0%			5	14.7%	0	0.0%		
Estadio TNM	0	0	0.0%	0	0.0%	1.000		0	0.0%	0	0.0%	1.000		0	0.0%	0	0.0%	0.589	0.000
	IA	0	0.0%	0	0.0%			0	0.0%	0	0.0%			0	0.0%	0	0.0%		
	IB	0	0.0%	0	0.0%			0	0.0%	0	0.0%			0	0.0%	0	0.0%		
	II	3	7.9%	0	0.0%			3	7.9%	0	0.0%			3	8.8%	0	0.0%		
	IIIA	0	0.0%	0	0.0%			0	0.0%	0	0.0%			0	0.0%	0	0.0%		
	IIIB	0	0.0%	0	0.0%			0	0.0%	0	0.0%			0	0.0%	0	0.0%		
	IV	0	0.0%	0	0.0%			0	0.0%	0	0.0%			0	0.0%	0	0.0%		
	Benigno/sem doença	0	0.0%	0	0.0%			0	0.0%	0	0.0%			0	0.0%	0	0.0%		
	IVa	25	65.8%	0	0.0%			25	65.8%	0	0.0%			22	64.7%	3	75.0%		
	IVb	3	7.9%	0	0.0%			3	7.9%	0	0.0%			2	5.9%	1	25.0%		
	III	5	13.2%	0	0.0%			5	13.2%	0	0.0%			5	14.7%	0	0.0%		
	I	2	5.3%	0	0.0%			2	5.3%	0	0.0%			2	5.9%	0	0.0%		
Problemas de saúde	não	31	81.6%	0	0.0%	1.000		31	81.6%	0	0.0%	1.000		27	79.4%	4	100.0%	0.321	-0.163
	Sim	7	18.4%	0	0.0%			7	18.4%	0	0.0%			7	20.6%	0	0.0%		
Traqueostomia	Não	36	94.7%	0	0.0%	1.000		36	94.7%	0	0.0%	1.000		33	97.1%	3	75.0%	0.065	
	Sim	2	5.3%	0	0.0%			2	5.3%	0	0.0%			1	2.9%	1	25.0%		
EGC	Não	0	0.0%	0	0.0%			0	0.0%	0	0.0%			0	0.0%	0	0.0%		
	Sim	38	100.0%	0	0.0%			38	100.0%	0	0.0%			34	100.0%	4	100.0%		

		VED laringe tosse voluntária						VED laringe apneia						VED sensibilidade da base da língua					
		presente		ausente		*p*	Correlação	presente		ausente		*p*	Correlação	presente		ausente		*p*	Correlação
		N	%	N	%			N	%	N	%			N	%	N	%		
Quantidade de Gy																			0.081
QT por CCP	Não	0	0.0%	0	0.0%			0	0.0%	0	0.0%			0	0.0%	0	0.0%		
	Sim	0	0.0%	0	0.0%			0	0.0%	0	0.0%			0	0.0%	0	0.0%		
Tempo término tratamento																			-0.249
Medicação diária	Não	8	21.1%	0	0.0%			8	21.1%	0	0.0%			6	17.6%	2	50.0%		-0.244
	Sim	30	78.9%	0	0.0%			30	78.9%	0	0.0%			28	82.4%	2	50.0%		
Disfagia	Não	25	65.8%	0	0.0%			25	65.8%	0	0.0%			23	67.6%	2	50.0%		0.114
	Sim	13	34.2%	0	0.0%			13	34.2%	0	0.0%			11	32.4%	2	50.0%		
Disfonia	Não	35	92.1%	0	0.0%			35	92.1%	0	0.0%			31	91.2%	4	100.0%		-0.100
	Sim	3	7.9%	0	0.0%			3	7.9%	0	0.0%			3	8.8%	0	0.0%		
Terapia	Não	20	52.6%	0	0.0%	1.000		20	52.6%	0	0.0%	1.000		18	52.9%	2	50.0%	0.912	0.043
	Sim	9	23.7%	0	0.0%			9	23.7%	0	0.0%			8	23.5%	1	25.0%		
FOIS	7	35	92.1%	0	0.0%			35	92.1%	0	0.0%			32	94.1%	3	75.0%		
	6	0	0.0%	0	0.0%			0	0.0%	0	0.0%			0	0.0%	0	0.0%		
	5	3	7.9%	0	0.0%			3	7.9%	0	0.0%			2	5.9%	1	25.0%		
	4	0	0.0%	0	0.0%	1.000		0	0.0%	0	0.0%	1.000		0	0.0%	0	0.0%	0.186	0.218
	3	0	0.0%	0	0.0%			0	0.0%	0	0.0%			0	0.0%	0	0.0%		
	2	0	0.0%	0	0.0%			0	0.0%	0	0.0%			0	0.0%	0	0.0%		
	1	0	0.0%	0	0.0%			0	0.0%	0	0.0%			0	0.0%	0	0.0%		
Via de administração da alimentação	via oral	28	73.7%	0	0.0%			28	73.7%	0	0.0%			25	73.5%	3	75.0%		
	SNG	2	5.3%	0	0.0%	1.000		2	5.3%	0	0.0%	1.000		2	5.9%	0	0.0%	0.877	0.025
	PEG	8	21.1%	0	0.0%			8	21.1%	0	0.0%			7	20.6%	1	25.0%		
Consistência dos sólidos	dieta regular	0	0.0%	0	0.0%			0	0.0%	0	0.0%			0	0.0%	0	0.0%		
	dieta mole	35	92.1%	0	0.0%	1.000		35	92.1%	0	0.0%	1.000		32	94.1%	3	75.0%	0.186	0.218
	dieta puré	0	0.0%	0	0.0%			0	0.0%	0	0.0%			0	0.0%	0	0.0%		
	SNG/PEG	3	7.9%	0	0.0%			3	7.9%	0	0.0%			2	5.9%	1	25.0%		
Consistência dos líquidos	finos	28	96.6%	0	0.0%			28	96.6%	0	0.0%			24	96.0%	4	100.0%		
	espessos	0	0.0%	0	0.0%	1.000		0	0.0%	0	0.0%	1.000		0	0.0%	0	0.0%	0.689	-0.076
	NPO líquidos	1	3.4%	0	0.0%			1	3.4%	0	0.0%			1	4.0%	0	0.0%		

Tabela 116 - Medidas descritivas, análise de correlação e diferenças estatísticas entre as variáveis sociodemográficas e clínicas e VED - pudim - resíduos em seios piriformes e parede faríngea.

		VED pudim resíduo em seios piriformes										VED pudim resíduo em parede faríngea									
		sem resíduo		resíduo ligeira a moderado		resíduo severo		não testado		*p*	Correlação	sem resíduo		resíduo ligeira a moderado		resíduo severo		não testado		*p*	Correlação
		N	%	N	%	N	%	N	%			N	%	N	%	N	%	N	%		
Idade											**-0.495****										**-0.369***
Sexo	Masculino	22	100.0%	9	75.0%	2	66.7%	1	100.0%	**0.019**	**0.387***	26	100.0%	7	70.0%	0	0.0%	1	100.0%	**0.002**	**0.514****
	Feminino	0	0.0%	3	25.0%	1	33.3%	0	0.0%			0	0.0%	3	30.0%	1	100.0%	0	0.0%		
Estado civil	Casado	12	54.5%	7	58.3%	0	0.0%	1	100.0%	0.710	0.043	15	57.7%	4	40.0%	0	0.0%	1	100.0%	0.598	0.105
	Solteiro	3	13.6%	1	8.3%	2	66.7%	0	0.0%			3	11.5%	3	30.0%	0	0.0%	0	0.0%		
	Divorciado	7	31.8%	4	33.3%	1	33.3%	0	0.0%			8	30.8%	3	30.0%	1	100.0%	0	0.0%		
	Viúvo	0	0.0%	0	0.0%	0	0.0%	0	0.0%			0	0.0%	0	0.0%	0	0.0%	0	0.0%		
Nível de escolaridade	Sem escolaridade	0	0.0%	0	0.0%	0	0.0%	0	0.0%	0.558	-0.112	0	0.0%	0	0.0%	0	0.0%	0	0.0%	0.361	-0.266
	1.º ciclo	8	36.4%	5	41.7%	1	33.3%	1	100.0%			8	30.8%	5	50.0%	1	100.0%	1	100.0%		
	2.º ciclo	6	27.3%	3	25.0%	1	33.3%	0	0.0%			8	30.8%	2	20.0%	0	0.0%	0	0.0%		
	3.º ciclo	2	9.1%	2	16.7%	1	33.3%	0	0.0%			3	11.5%	2	20.0%	0	0.0%	0	0.0%		
	secundário	3	13.6%	0	0.0%	0	0.0%	0	0.0%			3	11.5%	0	0.0%	0	0.0%	0	0.0%		
	Ensino superior	3	13.6%	2	16.7%	0	0.0%	0	0.0%			4	15.4%	1	10.0%	0	0.0%	0	0.0%		
Estadio TNM	0	0	0.0%	0	0.0%	0	0.0%	0	0.0%	0.735	0.014	0	0.0%	0	0.0%	0	0.0%	0	0.0%	0.946	0.001
	IA	0	0.0%	0	0.0%	0	0.0%	0	0.0%			0	0.0%	0	0.0%	0	0.0%	0	0.0%		
	IB	0	0.0%	0	0.0%	0	0.0%	0	0.0%			0	0.0%	0	0.0%	0	0.0%	0	0.0%		
	II	1	4.5%	2	16.7%	0	0.0%	0	0.0%			2	7.7%	1	10.0%	0	0.0%	0	0.0%		
	IIIA	0	0.0%	0	0.0%	0	0.0%	0	0.0%			0	0.0%	0	0.0%	0	0.0%	0	0.0%		
	IIIB	0	0.0%	0	0.0%	0	0.0%	0	0.0%			0	0.0%	0	0.0%	0	0.0%	0	0.0%		
	IV	0	0.0%	0	0.0%	0	0.0%	0	0.0%			0	0.0%	0	0.0%	0	0.0%	0	0.0%		
	Benigno/sem doença	0	0.0%	0	0.0%	0	0.0%	0	0.0%			0	0.0%	0	0.0%	0	0.0%	0	0.0%		
	IVa	16	72.7%	6	50.0%	3	100.0%	0	0.0%			17	65.4%	7	70.0%	1	100.0%	0	0.0%		
	IVb	1	4.5%	1	8.3%	0	0.0%	1	100.0%			2	7.7%	0	0.0%	0	0.0%	1	100.0%		
	III	3	13.6%	2	16.7%	0	0.0%	0	0.0%			4	15.4%	1	10.0%	0	0.0%	0	0.0%		
	I	1	4.5%	1	8.3%	0	0.0%	0	0.0%			1	3.8%	1	10.0%	0	0.0%	0	0.0%		
Problemas de saúde	não	18	81.8%	9	75.0%	3	100.0%	1	100.0%	0.831	-0.035	21	80.8%	8	80.0%	1	100.0%	1	100.0%	0.781	-0.046
	Sim	4	18.2%	3	25.0%	0	0.0%	0	0.0%			5	19.2%	2	20.0%	0	0.0%	0	0.0%		
Traqueostomia	Não	21	95.5%	12	100.0%	2	66.7%	1	100.0%	0.528		25	96.2%	9	90.0%	1	100.0%	1	100.0%	0.630	
	Sim	1	4.5%	0	0.0%	1	33.3%	0	0.0%			1	3.8%	1	10.0%	0	0.0%	0	0.0%		
EGC	Não	0	0.0%	0	0.0%	0	0.0%	0	0.0%			0	0.0%	0	0.0%	0	0.0%	0	0.0%		
	Sim	22	100.0%	12	100.0%	3	100.0%	1	100.0%			26	100.0%	10	100.0%	1	100.0%	1	100.0%		
Quantidade de Gy											0.195										0.159
QT por CCP	Não	0	0.0%	0	0.0%	0	0.0%	0	0.0%		-0.131	0	0.0%	0	0.0%	0	0.0%	0	0.0%		

		VED pudim resíduo em seios piriformes										VED pudim resíduo em parede faríngea									
		sem resíduo		resíduo ligeira a moderado		resíduo severo		não testado		*p*	Correlação	sem resíduo		resíduo ligeira a moderado		resíduo severo		não testado		*p*	Correlação
		N	%	N	%	N	%	N	%			N	%	N	%	N	%	N	%		
	Sim	0	0.0%	0	0.0%	0	0.0%	0	0.0%			0	0.0%	0	0.0%	0	0.0%	0	0.0%		
Tempo término tratamento											-0.140										-0.039
Medicação diária	Não	4	18.2%	2	16.7%	1	33.3%	1	100.0%		0.086	6	23.1%	1	10.0%	0	0.0%	1	100.0%		0.040
	Sim	18	81.8%	10	83.3%	2	66.7%	0	0.0%			20	76.9%	9	90.0%	1	100.0%	0	0.0%		
Disfagia	Não	15	68.2%	8	66.7%	2	66.7%	0	0.0%		-0.071	18	69.2%	6	60.0%	1	100.0%	0	0.0%		0.115
	Sim	7	31.8%	4	33.3%	1	33.3%	1	100.0%			8	30.8%	4	40.0%	0	0.0%	1	100.0%		
Disfonia	Não	20	90.9%	11	91.7%	3	100.0%	1	100.0%		0.028	23	88.5%	10	100.0%	1	100.0%	1	100.0%		-0.197
	Sim	2	9.1%	1	8.3%	0	0.0%	0	0.0%			3	11.5%	0	0.0%	0	0.0%	0	0.0%		
Terapia	Não	12	54.5%	6	50.0%	1	33.3%	1	100.0%	0.816	0.005	15	57.7%	3	30.0%	1	100.0%	1	100.0%	0.518	0.108
	Sim	5	22.7%	3	25.0%	1	33.3%	0	0.0%			6	23.1%	3	30.0%	0	0.0%	0	0.0%		
FOIS	7	20	90.9%	12	100.0%	2	66.7%	1	100.0%			24	92.3%	9	90.0%	1	100.0%	1	100.0%		
	6	0	0.0%	0	0.0%	0	0.0%	0	0.0%			0	0.0%	0	0.0%	0	0.0%	0	0.0%		
	5	2	9.1%	0	0.0%	1	33.3%	0	0.0%			2	7.7%	1	10.0%	0	0.0%	0	0.0%		
	4	0	0.0%	0	0.0%	0	0.0%	0	0.0%	0.975	-0.027	0	0.0%	0	0.0%	0	0.0%	0	0.0%	1.000	0.000
	3	0	0.0%	0	0.0%	0	0.0%	0	0.0%			0	0.0%	0	0.0%	0	0.0%	0	0.0%		
	2	0	0.0%	0	0.0%	0	0.0%	0	0.0%			0	0.0%	0	0.0%	0	0.0%	0	0.0%		
	1	0	0.0%	0	0.0%	0	0.0%	0	0.0%			0	0.0%	0	0.0%	0	0.0%	0	0.0%		
Via de administração da alimentação	via oral	16	72.7%	9	75.0%	2	66.7%	1	100.0%			20	76.9%	6	60.0%	1	100.0%	1	100.0%		
	SNG	1	4.5%	1	8.3%	0	0.0%	0	0.0%	0.974	0.005	1	3.8%	1	10.0%	0	0.0%	0	0.0%	0.844	0.070
	PEG	5	22.7%	2	16.7%	1	33.3%	0	0.0%			5	19.2%	3	30.0%	0	0.0%	0	0.0%		
Consistência dos sólidos	dieta regular	0	0.0%	0	0.0%	0	0.0%	0	0.0%			0	0.0%	0	0.0%	0	0.0%	0	0.0%		
	dieta mole	20	90.9%	12	100.0%	2	66.7%	1	100.0%	0.975		24	92.3%	9	90.0%	1	100.0%	1	100.0%	1.000	0.000
	dieta puré	0	0.0%	0	0.0%	0	0.0%	0	0.0%			0	0.0%	0	0.0%	0	0.0%	0	0.0%		
	SNG/PEG	2	9.1%	0	0.0%	1	33.3%	0	0.0%			2	7.7%	1	10.0%	0	0.0%	0	0.0%		
Consistência dos líquidos	finos	16	100.0%	8	88.9%	3	100.0%	1	100.0%			19	95.0%	7	100.0%	1	100.0%	1	100.0%		
	espessos	0	0.0%	0	0.0%	0	0.0%	0	0.0%	0.423	0.151	0	0.0%	0	0.0%	0	0.0%	0	0.0%	0.507	-0.125
	NPO líquidos	0	0.0%	1	11.1%	0	0.0%	0	0.0%			1	5.0%	0	0.0%	0	0.0%	0	0.0%		

Tabela 117 - Medidas descritivas, análise de correlação e diferenças estatísticas entre as variáveis sociodemográficas e clínicas e VED - pudim - número de deglutições e reage sem tosse.

		VED pudim n.º de deglutições														VED pudim reage sem tosse							
		1 deglutição		1+1 adicional		1+2 adicionais		1+3 adicionais		1+4ou mais adicionais		não testado		*p*	Correlação	ausente		presente		não testado		*p*	Correlação
		N	%	N	%	N	%	N	%	N	%	N	%			N	%	N	%	N	%		
Idade															0.033								0.203
Sexo	Masculino	26	92.9%	0	0.0%	4	80.0%	2	100.0%	1	50.0%	1	100.0%	0.255	0.187	31	91.2%	2	66.7%	1	100.0%	0.348	0.154
	Feminino	2	7.1%	0	0.0%	1	20.0%	0	0.0%	1	50.0%	0	0.0%			3	8.8%	1	33.3%	0	0.0%		
Estado civil	Casado	15	53.6%	0	0.0%	3	60.0%	1	50.0%	0	0.0%	1	100.0%	0.938	0.030	18	52.9%	1	33.3%	1	100.0%	0.580	0.059
	Solteiro	4	14.3%	0	0.0%	1	20.0%	1	50.0%	0	0.0%	0	0.0%			6	17.6%	0	0.0%	0	0.0%		
	Divorciado	9	32.1%	0	0.0%	1	20.0%	0	0.0%	2	100.0%	0	0.0%			10	29.4%	2	66.7%	0	0.0%		
	Viúvo	0	0.0%	0	0.0%	0	0.0%	0	0.0%	0	0.0%	0	0.0%			0	0.0%	0	0.0%	0	0.0%		
Nível de escolaridade	Sem escolaridade	0	0.0%	0	0.0%	0	0.0%	0	0.0%	0	0.0%	0	0.0%	0.248	0.017	0	0.0%	0	0.0%	0	0.0%	0.829	-0.117
	1.º ciclo	13	46.4%	0	0.0%	0	0.0%	0	0.0%	1	50.0%	1	100.0%			13	38.2%	1	33.3%	1	100.0%		
	2.º ciclo	5	17.9%	0	0.0%	2	40.0%	2	100.0%	1	50.0%	0	0.0%			9	26.5%	1	33.3%	0	0.0%		
	3.º ciclo	3	10.7%	0	0.0%	2	40.0%	0	0.0%	0	0.0%	0	0.0%			4	11.8%	1	33.3%	0	0.0%		
	secundário	2	7.1%	0	0.0%	1	20.0%	0	0.0%	0	0.0%	0	0.0%			3	8.8%	0	0.0%	0	0.0%		
	Ensino superior	5	17.9%	0	0.0%	0	0.0%	0	0.0%	0	0.0%	0	0.0%			5	14.7%	0	0.0%	0	0.0%		
Estadio TNM	0	0	0.0%	0	0.0%	0	0.0%	0	0.0%	0	0.0%	0	0.0%	0.851	-0.007	0	0.0%	0	0.0%	0	0.0%	0.528	0.172
	IA	0	0.0%	0	0.0%	0	0.0%	0	0.0%	0	0.0%	0	0.0%			0	0.0%	0	0.0%	0	0.0%		
	IB	0	0.0%	0	0.0%	0	0.0%	0	0.0%	0	0.0%	0	0.0%			0	0.0%	0	0.0%	0	0.0%		
	II	2	7.1%	0	0.0%	0	0.0%	1	50.0%	0	0.0%	0	0.0%			3	8.8%	0	0.0%	0	0.0%		
	IIIA	0	0.0%	0	0.0%	0	0.0%	0	0.0%	0	0.0%	0	0.0%			0	0.0%	0	0.0%	0	0.0%		
	IIIB	0	0.0%	0	0.0%	0	0.0%	0	0.0%	0	0.0%	0	0.0%			0	0.0%	0	0.0%	0	0.0%		
	IV	0	0.0%	0	0.0%	0	0.0%	0	0.0%	0	0.0%	0	0.0%			0	0.0%	0	0.0%	0	0.0%		
	Benigno/sem doença	0	0.0%	0	0.0%	0	0.0%	0	0.0%	0	0.0%	0	0.0%			0	0.0%	0	0.0%	0	0.0%		
	IVa	19	67.9%	0	0.0%	3	60.0%	1	50.0%	2	100.0%	0	0.0%			23	67.6%	2	66.7%	0	0.0%		
	IVb	2	7.1%	0	0.0%	0	0.0%	0	0.0%	0	0.0%	1	100.0%			2	5.9%	0	0.0%	1	100.0%		
	III	3	10.7%	0	0.0%	2	40.0%	0	0.0%	0	0.0%	0	0.0%			4	11.8%	1	33.3%	0	0.0%		
	I	2	7.1%	0	0.0%	0	0.0%	0	0.0%	0	0.0%	0	0.0%			2	5.9%	0	0.0%	0	0.0%		
Problemas de saúde	não	23	82.1%	0	0.0%	3	60.0%	2	100.0%	2	100.0%	1	100.0%	0.922	-0.016	28	82.4%	2	66.7%	1	100.0%	0.750	0.052
	Sim	5	17.9%	0	0.0%	2	40.0%	0	0.0%	0	0.0%	0	0.0%			6	17.6%	1	33.3%	0	0.0%		
Traqueostomia	Não	27	96.4%	0	0.0%	4	80.0%	2	100.0%	2	100.0%	1	100.0%	0.583		32	94.1%	3	100.0%	1	100.0%	0.623	
	Sim	1	3.6%	0	0.0%	1	20.0%	0	0.0%	0	0.0%	0	0.0%			2	5.9%	0	0.0%	0	0.0%		
EGC	Não	0	0.0%	0	0.0%	0	0.0%	0	0.0%	0	0.0%	0	0.0%			0	0.0%	0	0.0%	0	0.0%		
	Sim	28	100.0%	0	0.0%	5	100.0%	2	100.0%	2	100.0%	1	100.0%			34	100.0%	3	100.0%	1	100.0%		
Quantidade de Gy															0.139								0.081

		VED pudim n.º de deglutições														VED pudim reage sem tosse							
		1 deglutição		1+1 adicional		1+2 adicionais		1+3 adicionais		1+4ou mais adicionais		não testado		*p*	Correlação	ausente		presente		não testado		*p*	Correlação
		N	%	N	%	N	%	N	%	N	%	N	%			N	%	N	%	N	%		
QT por CCP	Não	0	0.0%	0	0.0%	0	0.0%	0	0.0%	0	0.0%	0	0.0%			0	0.0%	0	0.0%	0	0.0%		
	Sim	0	0.0%	0	0.0%	0	0.0%	0	0.0%	0	0.0%	0	0.0%			0	0.0%	0	0.0%	0	0.0%		
Tempo término tratamento															-0.149								-0.083
Medicação diária	Não	4	14.3%	0	0.0%	2	40.0%	1	50.0%	0	0.0%	1	100.0%		-0.278	6	17.6%	1	33.3%	1	100.0%		-0.254
	Sim	24	85.7%	0	0.0%	3	60.0%	1	50.0%	2	100.0%	0	0.0%			28	82.4%	2	66.7%	0	0.0%		
Disfagia	Não	18	64.3%	0	0.0%	3	60.0%	2	100.0%	2	100.0%	0	0.0%		-0.056	22	64.7%	3	100.0%	0	0.0%		-0.052
	Sim	10	35.7%	0	0.0%	2	40.0%	0	0.0%	0	0.0%	1	100.0%			12	35.3%	0	0.0%	1	100.0%		
Disfonia	Não	26	92.9%	0	0.0%	5	100.0%	1	50.0%	2	100.0%	1	100.0%		0.058	31	91.2%	3	100.0%	1	100.0%		-0.100
	Sim	2	7.1%	0	0.0%	0	0.0%	1	50.0%	0	0.0%	0	0.0%			3	8.8%	0	0.0%	0	0.0%		
Terapia	Não	15	53.6%	0	0.0%	2	40.0%	1	50.0%	1	50.0%	1	100.0%	0.955	-0.032	17	50.0%	2	66.7%	1	100.0%	0.337	-0.187
	Sim	6	21.4%	0	0.0%	1	20.0%	1	50.0%	1	50.0%	0	0.0%			8	23.5%	1	33.3%	0	0.0%		
FOIS	7	26	92.9%	0	0.0%	4	80.0%	2	100.0%	2	100.0%	1	100.0%			31	91.2%	3	100.0%	1	100.0%		
	6	0	0.0%	0	0.0%	0	0.0%	0	0.0%	0	0.0%	0	0.0%			0	0.0%	0	0.0%	0	0.0%		
	5	2	7.1%	0	0.0%	1	20.0%	0	0.0%	0	0.0%	0	0.0%			3	8.8%	0	0.0%	0	0.0%		
	4	0	0.0%	0	0.0%	0	0.0%	0	0.0%	0	0.0%	0	0.0%	0.916	0.017	0	0.0%	0	0.0%	0	0.0%	0.542	-0.100
	3	0	0.0%	0	0.0%	0	0.0%	0	0.0%	0	0.0%	0	0.0%			0	0.0%	0	0.0%	0	0.0%		
	2	0	0.0%	0	0.0%	0	0.0%	0	0.0%	0	0.0%	0	0.0%			0	0.0%	0	0.0%	0	0.0%		
	1	0	0.0%	0	0.0%	0	0.0%	0	0.0%	0	0.0%	0	0.0%			0	0.0%	0	0.0%	0	0.0%		
Via de administração da alimentação	via oral	20	71.4%	0	0.0%	3	60.0%	2	100.0%	2	100.0%	1	100.0%			24	70.6%	3	100.0%	1	100.0%		
	SNG	1	3.6%	0	0.0%	1	20.0%	0	0.0%	0	0.0%	0	0.0%	0.506	-0.121	2	5.9%	0	0.0%	0	0.0%	0.460	-0.202
	PEG	7	25.0%	0	0.0%	1	20.0%	0	0.0%	0	0.0%	0	0.0%			8	23.5%	0	0.0%	0	0.0%		
Consistência dos sólidos	dieta regular	0	0.0%	0	0.0%	0	0.0%	0	0.0%	0	0.0%	0	0.0%			0	0.0%	0	0.0%	0	0.0%		
	dieta mole	26	92.9%	0	0.0%	4	80.0%	2	100.0%	2	100.0%	1	100.0%	0.916	0.017	31	91.2%	3	100.0%	1	100.0%	0.542	-0.100
	dieta puré	0	0.0%	0	0.0%	0	0.0%	0	0.0%	0	0.0%	0	0.0%			0	0.0%	0	0.0%	0	0.0%		
	SNG/PEG	2	7.1%	0	0.0%	1	20.0%	0	0.0%	0	0.0%	0	0.0%			3	8.8%	0	0.0%	0	0.0%		
Consistência dos líquidos	finos	20	95.2%	0	0.0%	5	100.0%	1	100.0%	1	100.0%	1	100.0%			25	96.2%	2	100.0%	1	100.0%		
	espessos	0	0.0%	0	0.0%	0	0.0%	0	0.0%	0	0.0%	0	0.0%	0.542	-0.115	0	0.0%	0	0.0%	0	0.0%	0.734	-0.064
	NPO líquidos	1	4.8%	0	0.0%	0	0.0%	0	0.0%	0	0.0%	0	0.0%			1	3.8%	0	0.0%	0	0.0%		

Tabela 118 - Medidas descritivas, análise de correlação e diferenças estatísticas entre as variáveis sociodemográficas e clínicas e VED - pudim - função vocal; líquido - escape prematuro e resíduo nas valéculas.

		VED pudim função vocal								VED líquido escape prematuro								VED líquido resíduo nas valéculas									
		ausente		presente		não testado		*p*	Correlação	ausente		presente		não testado		*p*	Correlação	sem resíduo		resíduo ligeira a moderado		resíduo severo		não testado		*p*	Correlação
		N	%	N	%	N	%			N	%	N	%	N	%			N	%	N	%	N	%	N	%		
Idade									0.023								-0.122										-0.082
Sexo	Masculino	0	0.0%	33	89.2%	1	100.0%	0.732	-0.056	23	95.8%	10	83.3%	1	50.0%	0.064	0.305	13	100.0%	20	90.9%	0	0.0%	1	50.0%	**0.016**	**0.398***
	Feminino	0	0.0%	4	10.8%	0	0.0%			1	4.2%	2	16.7%	1	50.0%			0	0.0%	2	9.1%	1	100.0%	1	50.0%		
Estado civil	Casado	0	0.0%	19	51.4%	1	100.0%	0.638	-0.149	13	54.2%	6	50.0%	1	50.0%	0.881	0.059	9	69.2%	9	40.9%	1	100.0%	1	50.0%	0.543	0.169
	Solteiro	0	0.0%	6	16.2%	0	0.0%			4	16.7%	2	16.7%	0	0.0%			1	7.7%	5	22.7%	0	0.0%	0	0.0%		
	Divorciado	0	0.0%	12	32.4%	0	0.0%			7	29.2%	4	33.3%	1	50.0%			3	23.1%	8	36.4%	0	0.0%	1	50.0%		
	Viúvo	0	0.0%	0	0.0%	0	0.0%			0	0.0%	0	0.0%	0	0.0%			0	0.0%	0	0.0%	0	0.0%	0	0.0%		
Nível de escolaridade	Sem escolaridade	0	0.0%	0	0.0%	0	0.0%	0.821	-0.180	0	0.0%	0	0.0%	0	0.0%	0.284	0.078	0	0.0%	0	0.0%	0	0.0%	0	0.0%	0.202	-0.144
	1.º ciclo	0	0.0%	14	37.8%	1	100.0%			11	45.8%	2	16.7%	2	100.0%			5	38.5%	8	36.4%	0	0.0%	2	100.0%		
	2.º ciclo	0	0.0%	10	27.0%	0	0.0%			6	25.0%	4	33.3%	0	0.0%			3	23.1%	7	31.8%	0	0.0%	0	0.0%		
	3.º ciclo	0	0.0%	5	13.5%	0	0.0%			1	4.2%	4	33.3%	0	0.0%			0	0.0%	4	18.2%	1	100.0%	0	0.0%		
	secundário	0	0.0%	3	8.1%	0	0.0%			3	12.5%	0	0.0%	0	0.0%			2	15.4%	1	4.5%	0	0.0%	0	0.0%		
	Ensino superior	0	0.0%	5	13.5%	0	0.0%			3	12.5%	2	16.7%	0	0.0%			3	23.1%	2	9.1%	0	0.0%	0	0.0%		
Estadio TNM	0	0	0.0%	0	0.0%	0	0.0%	**0.020**	0.187	0	0.0%	0	0.0%	0	0.0%	0.282	-0.092	0	0.0%	0	0.0%	0	0.0%	0	0.0%	0.753	-0.224
	IA	0	0.0%	0	0.0%	0	0.0%			0	0.0%	0	0.0%	0	0.0%			0	0.0%	0	0.0%	0	0.0%	0	0.0%		
	IB	0	0.0%	0	0.0%	0	0.0%			0	0.0%	0	0.0%	0	0.0%			0	0.0%	0	0.0%	0	0.0%	0	0.0%		
	II	0	0.0%	3	8.1%	0	0.0%			0	0.0%	3	25.0%	0	0.0%			0	0.0%	3	13.6%	0	0.0%	0	0.0%		
	IIIA	0	0.0%	0	0.0%	0	0.0%			0	0.0%	0	0.0%	0	0.0%			0	0.0%	0	0.0%	0	0.0%	0	0.0%		
	IIIB	0	0.0%	0	0.0%	0	0.0%			0	0.0%	0	0.0%	0	0.0%			0	0.0%	0	0.0%	0	0.0%	0	0.0%		
	IV	0	0.0%	0	0.0%	0	0.0%			0	0.0%	0	0.0%	0	0.0%			0	0.0%	0	0.0%	0	0.0%	0	0.0%		
	Benigno/sem doença	0	0.0%	0	0.0%	0	0.0%			0	0.0%	0	0.0%	0	0.0%			0	0.0%	0	0.0%	0	0.0%	0	0.0%		
	IVa	0	0.0%	25	67.6%	0	0.0%			18	75.0%	6	50.0%	1	50.0%			7	53.8%	17	77.3%	0	0.0%	1	50.0%		
	IVb	0	0.0%	2	5.4%	1	100.0%			2	8.3%	0	0.0%	1	50.0%			2	15.4%	0	0.0%	0	0.0%	1	50.0%		
	III	0	0.0%	5	13.5%	0	0.0%			3	12.5%	2	16.7%	0	0.0%			3	23.1%	1	4.5%	1	100.0%	0	0.0%		
	I	0	0.0%	2	5.4%	0	0.0%			1	4.2%	1	8.3%	0	0.0%			1	7.7%	1	4.5%	0	0.0%	0	0.0%		
Problemas de saúde	não	0	0.0%	30	81.1%	1	100.0%	0.635	-0.078	19	79.2%	10	83.3%	2	100.0%	0.563	-0.095	12	92.3%	17	77.3%	0	0.0%	2	100.0%	0.212	0.205
	Sim	0	0.0%	7	18.9%	0	0.0%			5	20.8%	2	16.7%	0	0.0%			1	7.7%	5	22.7%	1	100.0%	0	0.0%		
Traqueostomia	Não	0	0.0%	35	94.6%	1	100.0%	0.814		23	95.8%	11	91.7%	2	100.0%	0.757		13	100.0%	20	90.9%	1	100.0%	2	100.0%	0.455	
	Sim	0	0.0%	2	5.4%	0	0.0%			1	4.2%	1	8.3%	0	0.0%			0	0.0%	2	9.1%	0	0.0%	0	0.0%		
EGC	Não	0	0.0%	0	0.0%	0	0.0%			0	0.0%	0	0.0%	0	0.0%			0	0.0%	0	0.0%	0	0.0%	0	0.0%		
	Sim	0	0.0%	37	100.0%	1	100.0%			24	100.0%	12	100.0%	2	100.0%			13	100.0%	22	100.0%	1	100.0%	2	100.0%		

		VED pudim função vocal								VED líquido escape prematuro								VED líquido resíduo nas valéculas									
		ausente		presente		não testado		*p*	Correlação	ausente		presente		não testado		*p*	Correlação	sem resíduo		resíduo ligeira a moderado		resíduo severo		não testado		*p*	Correlação
		N	%	N	%	N	%			N	%	N	%	N	%			N	%	N	%	N	%	N	%		
Quantidade de Gy									0.039								-0.051										0.092
QT por CCP	Não	0	0.0%	0	0.0%	0	0.0%			0	0.0%	0	0.0%	0	0.0%			0	0.0%	0	0.0%	0	0.0%	0	0.0%		
	Sim	0	0.0%	0	0.0%	0	0.0%			0	0.0%	0	0.0%	0	0.0%			0	0.0%	0	0.0%	0	0.0%	0	0.0%		
Tempo término tratamento									-0.204								-0.058										-0.003
Medicação diária	Não	0	0.0%	7	18.9%	1	100.0%		-0.318	5	20.8%	2	16.7%	1	50.0%		-0.035	2	15.4%	5	22.7%	0	0.0%	1	50.0%		0.121
	Sim	0	0.0%	30	81.1%	0	0.0%			19	79.2%	10	83.3%	1	50.0%			11	84.6%	17	77.3%	1	100.0%	1	50.0%		
Disfagia	Não	0	0.0%	25	67.6%	0	0.0%		0.228	18	75.0%	6	50.0%	1	50.0%		0.251	8	61.5%	16	72.7%	0	0.0%	1	50.0%		0.012
	Sim	0	0.0%	12	32.4%	1	100.0%			6	25.0%	6	50.0%	1	50.0%			5	38.5%	6	27.3%	1	100.0%	1	50.0%		
Disfonia	Não	0	0.0%	34	91.9%	1	100.0%		-0.048	23	95.8%	10	83.3%	2	100.0%		0.158	12	92.3%	20	90.9%	1	100.0%	2	100.0%		-0.025
	Sim	0	0.0%	3	8.1%	0	0.0%			1	4.2%	2	16.7%	0	0.0%			1	7.7%	2	9.1%	0	0.0%	0	0.0%		
Terapia	Não	0	0.0%	19	51.4%	1	100.0%	0.343	-0.147	15	62.5%	3	25.0%	2	100.0%	0.214	0.196	8	61.5%	10	45.5%	0	0.0%	2	100.0%	0.640	0.048
	Sim	0	0.0%	9	24.3%	0	0.0%			5	20.8%	4	33.3%	0	0.0%			2	15.4%	7	31.8%	0	0.0%	0	0.0%		
FOIS	7	0	0.0%	34	91.9%	1	100.0%	0.770	-0.048	22	91.7%	11	91.7%	2	100.0%	0.848	-0.032	12	92.3%	20	90.9%	1	100.0%	2	100.0%	0.877	-0.025
	6	0	0.0%	0	0.0%	0	0.0%			0	0.0%	0	0.0%	0	0.0%			0	0.0%	0	0.0%	0	0.0%	0	0.0%		
	5	0	0.0%	3	8.1%	0	0.0%			2	8.3%	1	8.3%	0	0.0%			1	7.7%	2	9.1%	0	0.0%	0	0.0%		
	4	0	0.0%	0	0.0%	0	0.0%			0	0.0%	0	0.0%	0	0.0%			0	0.0%	0	0.0%	0	0.0%	0	0.0%		
	3	0	0.0%	0	0.0%	0	0.0%			0	0.0%	0	0.0%	0	0.0%			0	0.0%	0	0.0%	0	0.0%	0	0.0%		
	2	0	0.0%	0	0.0%	0	0.0%			0	0.0%	0	0.0%	0	0.0%			0	0.0%	0	0.0%	0	0.0%	0	0.0%		
	1	0	0.0%	0	0.0%	0	0.0%			0	0.0%	0	0.0%	0	0.0%			0	0.0%	0	0.0%	0	0.0%	0	0.0%		
Via de administração da alimentação	via oral	0	0.0%	27	73.0%	1	100.0%	0.836	-0.097	20	83.3%	6	50.0%	2	100.0%	0.159	0.205	10	76.9%	16	72.7%	0	0.0%	2	100.0%	0.262	0.026
	SNG	0	0.0%	2	5.4%	0	0.0%			0	0.0%	2	16.7%	0	0.0%			0	0.0%	1	4.5%	1	100.0%	0	0.0%		
	PEG	0	0.0%	8	21.6%	0	0.0%			4	16.7%	4	33.3%	0	0.0%			3	23.1%	5	22.7%	0	0.0%	0	0.0%		
Consistência dos sólidos	dieta regular	0	0.0%	0	0.0%	0	0.0%	0.770	-0.048	0	0.0%	0	0.0%	0	0.0%	0.848	-0.032	0	0.0%	0	0.0%	0	0.0%	0	0.0%	0.877	-0.025
	dieta mole	0	0.0%	34	91.9%	1	100.0%			22	91.7%	11	91.7%	2	100.0%			12	92.3%	20	90.9%	1	100.0%	2	100.0%		
	dieta puré	0	0.0%	0	0.0%	0	0.0%			0	0.0%	0	0.0%	0	0.0%			0	0.0%	0	0.0%	0	0.0%	0	0.0%		
	SNG/PEG	0	0.0%	3	8.1%	0	0.0%			2	8.3%	1	8.3%	0	0.0%			1	7.7%	2	9.1%	0	0.0%	0	0.0%		
Consistência dos líquidos	finos	0	0.0%	27	96.4%	1	100.0%	0.850	-0.036	16	94.1%	10	100.0%	2	100.0%	0.410	-0.156	10	90.9%	15	100.0%	1	100.0%	2	100.0%	0.231	-0.226
	espessos	0	0.0%	0	0.0%	0	0.0%			0	0.0%	0	0.0%	0	0.0%			0	0.0%	0	0.0%	0	0.0%	0	0.0%		
	NPO líquidos	0	0.0%	1	3.6%	0	0.0%			1	5.9%	0	0.0%	0	0.0%			1	9.1%	0	0.0%	0	0.0%	0	0.0%		

Tabela 119 - Medidas descritivas, análise de correlação e diferenças estatísticas entre as variáveis sociodemográficas e clínicas e VED - líquido - resíduo em seios piriformes, resíduos na parede faríngea.

		VED líquido resíduo nos seios piriformes										VED líquido resíduos na parede faríngea									
		sem resíduo		resíduo ligeira a moderado		resíduo severo		não testado		*p*	Correlação	sem resíduo		resíduo ligeira a moderado		resíduo severo		não testado		*p*	Correlação
		N	%	N	%	N	%	N	%			N	%	N	%	N	%	N	%		
Idade											-0.263										0.010
Sexo	Masculino	23	100.0%	10	83.3%	0	0.0%	1	50.0%	**0.003**	**0.493****	31	96.9%	2	66.7%	0	0.0%	1	50.0%	**<0.001**	**0.567****
	Feminino	0	0.0%	2	16.7%	1	100.0%	1	50.0%			1	3.1%	1	33.3%	1	100.0%	1	50.0%		
Estado civil	Casado	13	56.5%	5	41.7%	1	100.0%	1	50.0%	0.896	0.061	16	50.0%	2	66.7%	1	100.0%	1	50.0%	0.512	-0.068
	Solteiro	3	13.0%	3	25.0%	0	0.0%	0	0.0%			6	18.8%	0	0.0%	0	0.0%	0	0.0%		
	Divorciado	7	30.4%	4	33.3%	0	0.0%	1	50.0%			10	31.3%	1	33.3%	0	0.0%	1	50.0%		
	Viúvo	0	0.0%	0	0.0%	0	0.0%	0	0.0%			0	0.0%	0	0.0%	0	0.0%	0	0.0%		
Nível de escolaridade	Sem escolaridade	0	0.0%	0	0.0%	0	0.0%	0	0.0%	0.194	-0.101	0	0.0%	0	0.0%	0	0.0%	0	0.0%	0.157	-0.332ª
	1.º ciclo	9	39.1%	4	33.3%	0	0.0%	2	100.0%			10	31.3%	3	100.0%	0	0.0%	2	100.0%		
	2.º ciclo	6	26.1%	4	33.3%	0	0.0%	0	0.0%			10	31.3%	0	0.0%	0	0.0%	0	0.0%		
	3.º ciclo	1	4.3%	3	25.0%	1	100.0%	0	0.0%			4	12.5%	0	0.0%	1	100.0%	0	0.0%		
	secundário	3	13.0%	0	0.0%	0	0.0%	0	0.0%			3	9.4%	0	0.0%	0	0.0%	0	0.0%		
	Ensino superior	4	17.4%	1	8.3%	0	0.0%	0	0.0%			5	15.6%	0	0.0%	0	0.0%	0	0.0%		
Estadio TNM	0	0	0.0%	0	0.0%	0	0.0%	0	0.0%	0.928	-0.002	0	0.0%	0	0.0%	0	0.0%	0	0.0%	0.744	0.101
	IA	0	0.0%	0	0.0%	0	0.0%	0	0.0%			0	0.0%	0	0.0%	0	0.0%	0	0.0%		
	IB	0	0.0%	0	0.0%	0	0.0%	0	0.0%			0	0.0%	0	0.0%	0	0.0%	0	0.0%		
	II	1	4.3%	2	16.7%	0	0.0%	0	0.0%			3	9.4%	0	0.0%	0	0.0%	0	0.0%		
	IIIA	0	0.0%	0	0.0%	0	0.0%	0	0.0%			0	0.0%	0	0.0%	0	0.0%	0	0.0%		
	IIIB	0	0.0%	0	0.0%	0	0.0%	0	0.0%			0	0.0%	0	0.0%	0	0.0%	0	0.0%		
	IV	0	0.0%	0	0.0%	0	0.0%	0	0.0%			0	0.0%	0	0.0%	0	0.0%	0	0.0%		
	Benigno/sem doença	0	0.0%	0	0.0%	0	0.0%	0	0.0%			0	0.0%	0	0.0%	0	0.0%	0	0.0%		
	IVa	16	69.6%	8	66.7%	0	0.0%	1	50.0%			21	65.6%	3	100.0%	0	0.0%	1	50.0%		
	IVb	2	8.7%	0	0.0%	0	0.0%	1	50.0%			2	6.3%	0	0.0%	0	0.0%	1	50.0%		
	III	3	13.0%	1	8.3%	1	100.0%	0	0.0%			4	12.5%	0	0.0%	1	100.0%	0	0.0%		
	I	1	4.3%	1	8.3%	0	0.0%	0	0.0%			2	6.3%	0	0.0%	0	0.0%	0	0.0%		
Problemas de saúde	não	20	87.0%	9	75.0%	0	0.0%	2	100.0%	0.296	0.172	26	81.3%	3	100.0%	0	0.0%	2	100.0%	0.929	-0.015
	Sim	3	13.0%	3	25.0%	1	100.0%	0	0.0%			6	18.8%	0	0.0%	1	100.0%	0	0.0%		
Traqueostomia	Não	22	95.7%	11	91.7%	1	100.0%	2	100.0%	0.850		30	93.8%	3	100.0%	1	100.0%	2	100.0%	0.536	
	Sim	1	4.3%	1	8.3%	0	0.0%	0	0.0%			2	6.3%	0	0.0%	0	0.0%	0	0.0%		
EGC	Não	0	0.0%	0	0.0%	0	0.0%	0	0.0%			0	0.0%	0	0.0%	0	0.0%	0	0.0%		
	Sim	23	100.0%	12	100.0%	1	100.0%	2	100.0%			32	100.0%	3	100.0%	1	100.0%	2	100.0%		
Quantidade de Gy											0.187										0.102

		VED líquido resíduo nos seios piriformes										VED líquido resíduos na parede faríngea									
		sem resíduo		resíduo ligeira a moderado		resíduo severo		não testado		*p*	Correlação	sem resíduo		resíduo ligeira a moderado		resíduo severo		não testado		*p*	Correlação
		N	%	N	%	N	%	N	%			N	%	N	%	N	%	N	%		
QT por CCP	Não	0	0.0%	0	0.0%	0	0.0%	0	0.0%			0	0.0%	0	0.0%	0	0.0%	0	0.0%		
	Sim	0	0.0%	0	0.0%	0	0.0%	0	0.0%			0	0.0%	0	0.0%	0	0.0%	0	0.0%		
Tempo término tratamento											-0.003										0.186
Medicação diária	Não	4	17.4%	3	25.0%	0	0.0%	1	50.0%		-0.123	7	21.9%	0	0.0%	0	0.0%	1	50.0%		0.028
	Sim	19	82.6%	9	75.0%	1	100.0%	1	50.0%			25	78.1%	3	100.0%	1	100.0%	1	50.0%		
Disfagia	Não	16	69.6%	8	66.7%	0	0.0%	1	50.0%		0.129	21	65.6%	3	100.0%	0	0.0%	1	50.0%		0.012
	Sim	7	30.4%	4	33.3%	1	100.0%	1	50.0%			11	34.4%	0	0.0%	1	100.0%	1	50.0%		
Disfonia	Não	21	91.3%	11	91.7%	1	100.0%	2	100.0%		-0.051	29	90.6%	3	100.0%	1	100.0%	2	100.0%		-0.126
	Sim	2	8.7%	1	8.3%	0	0.0%	0	0.0%			3	9.4%	0	0.0%	0	0.0%	0	0.0%		
Terapia	Não	12	52.2%	6	50.0%	0	0.0%	2	100.0%	0.839	-0.023	17	53.1%	1	33.3%	0	0.0%	2	100.0%	0.982	-0.052
	Sim	6	26.1%	3	25.0%	0	0.0%	0	0.0%			7	21.9%	2	66.7%	0	0.0%	0	0.0%		
FOIS	7	21	91.3%	11	91.7%	1	100.0%	2	100.0%			29	90.6%	3	100.0%	1	100.0%	2	100.0%		
	6	0	0.0%	0	0.0%	0	0.0%	0	0.0%			0	0.0%	0	0.0%	0	0.0%	0	0.0%		
	5	2	8.7%	1	8.3%	0	0.0%	0	0.0%			3	9.4%	0	0.0%	0	0.0%	0	0.0%		
	4	0	0.0%	0	0.0%	0	0.0%	0	0.0%	0.754	0.051	0	0.0%	0	0.0%	0	0.0%	0	0.0%	0.442	-0.126
	3	0	0.0%	0	0.0%	0	0.0%	0	0.0%			0	0.0%	0	0.0%	0	0.0%	0	0.0%		
	2	0	0.0%	0	0.0%	0	0.0%	0	0.0%			0	0.0%	0	0.0%	0	0.0%	0	0.0%		
	1	0	0.0%	0	0.0%	0	0.0%	0	0.0%			0	0.0%	0	0.0%	0	0.0%	0	0.0%		
Via de administração da alimentação	via oral	17	73.9%	9	75.0%	0	0.0%	2	100.0%			23	71.9%	3	100.0%	0	0.0%	2	100.0%		
	SNG	1	4.3%	0	0.0%	1	100.0%	0	0.0%	0.773	-0.008	1	3.1%	0	0.0%	1	100.0%	0	0.0%	0.186	-0.124
	PEG	5	21.7%	3	25.0%	0	0.0%	0	0.0%			8	25.0%	0	0.0%	0	0.0%	0	0.0%		
Consistência dos sólidos	dieta regular	0	0.0%	0	0.0%	0	0.0%	0	0.0%			0	0.0%	0	0.0%	0	0.0%	0	0.0%		
	dieta mole	21	91.3%	11	91.7%	1	100.0%	2	100.0%	0.754	-0.051	29	90.6%	3	100.0%	1	100.0%	2	100.0%	0.442	-0.126
	dieta puré	0	0.0%	0	0.0%	0	0.0%	0	0.0%			0	0.0%	0	0.0%	0	0.0%	0	0.0%		
	SNG/PEG	2	8.7%	1	8.3%	0	0.0%	0	0.0%			3	9.4%	0	0.0%	0	0.0%	0	0.0%		
Consistência dos líquidos	finos	16	94.1%	9	100.0%	1	100.0%	2	100.0%			24	96.0%	1	100.0%	1	100.0%	2	100.0%		
	espessos	0	0.0%	0	0.0%	0	0.0%	0	0.0%	0.414	-0.155	0	0.0%	0	0.0%	0	0.0%	0	0.0%	0.690	-0.075
	NPO líquidos	1	5.9%	0	0.0%	0	0.0%	0	0.0%			1	4.0%	0	0.0%	0	0.0%	0	0.0%		

Tabela 120 - Medidas descritivas, análise de correlação e diferenças estatísticas entre as variáveis sociodemográficas e clínicas e VED - líquido - número de deglutições e reage sem tosse.

		VED líquido n.º de deglutições														VED líquido reage sem tosse							
		1 deglutição		1+1 adicional		1+2 adicionais		1+3 adicionais		1+4ou mais adicionais		não testado		*p*	Correlação	ausente		presente		não testado		*p*	Correlação
		N	%	N	%	N	%	N	%	N	%	N	%			N	%	N	%	N	%		
Idade															0.004								0.146
Sexo	Masculino	29	93.5%	0	0.0%	2	100.0%	2	66.7%	0	0.0%	1	50.0%	0.062	0.307	32	94.1%	1	50.0%	1	50.0%	**0.007**	**0.440****
	Feminino	2	6.5%	0	0.0%	0	0.0%	1	33.3%	0	0.0%	1	50.0%			2	5.9%	1	50.0%	1	50.0%		
Estado civil	Casado	16	51.6%	0	0.0%	1	50.0%	2	66.7%	0	0.0%	1	50.0%	0.434	0.020	18	52.9%	1	50.0%	1	50.0%	0.561	0.069
	Solteiro	6	19.4%	0	0.0%	0	0.0%	0	0.0%	0	0.0%	0	0.0%			6	17.6%	0	0.0%	0	0.0%		
	Divorciado	9	29.0%	0	0.0%	1	50.0%	1	33.3%	0	0.0%	1	50.0%			10	29.4%	1	50.0%	1	50.0%		
	Viúvo	0	0.0%	0	0.0%	0	0.0%	0	0.0%	0	0.0%	0	0.0%			0	0.0%	0	0.0%	0	0.0%		
Nível de escolaridade	Sem escolaridade	0	0.0%	0	0.0%	0	0.0%	0	0.0%	0	0.0%	0	0.0%	0.559	-0.127	0	0.0%	0	0.0%	0	0.0%	0.830	-0.124
	1.º ciclo	12	38.7%	0	0.0%	0	0.0%	1	33.3%	0	0.0%	2	100.0%			13	38.2%	0	0.0%	2	100.0%		
	2.º ciclo	8	25.8%	0	0.0%	1	50.0%	1	33.3%	0	0.0%	0	0.0%			9	26.5%	1	50.0%	0	0.0%		
	3.º ciclo	3	9.7%	0	0.0%	1	50.0%	1	33.3%	0	0.0%	0	0.0%			4	11.8%	1	50.0%	0	0.0%		
	secundário	3	9.7%	0	0.0%	0	0.0%	0	0.0%	0	0.0%	0	0.0%			3	8.8%	0	0.0%	0	0.0%		
	Ensino superior	5	16.1%	0	0.0%	0	0.0%	0	0.0%	0	0.0%	0	0.0%			5	14.7%	0	0.0%	0	0.0%		
Estadio TNM	0	0	0.0%	0	0.0%	0	0.0%	0	0.0%	0	0.0%	0	0.0%	0.550	0.182	0	0.0%	0	0.0%	0	0.0%	0.564	0.165
	IA	0	0.0%	0	0.0%	0	0.0%	0	0.0%	0	0.0%	0	0.0%			0	0.0%	0	0.0%	0	0.0%		
	IB	0	0.0%	0	0.0%	0	0.0%	0	0.0%	0	0.0%	0	0.0%			0	0.0%	0	0.0%	0	0.0%		
	II	3	9.7%	0	0.0%	0	0.0%	0	0.0%	0	0.0%	0	0.0%			3	8.8%	0	0.0%	0	0.0%		
	IIIA	0	0.0%	0	0.0%	0	0.0%	0	0.0%	0	0.0%	0	0.0%			0	0.0%	0	0.0%	0	0.0%		
	IIIB	0	0.0%	0	0.0%	0	0.0%	0	0.0%	0	0.0%	0	0.0%			0	0.0%	0	0.0%	0	0.0%		
	IV	0	0.0%	0	0.0%	0	0.0%	0	0.0%	0	0.0%	0	0.0%			0	0.0%	0	0.0%	0	0.0%		
	Benigno/sem doença	0	0.0%	0	0.0%	0	0.0%	0	0.0%	0	0.0%	0	0.0%			0	0.0%	0	0.0%	0	0.0%		
	IVa	21	67.7%	0	0.0%	1	50.0%	2	66.7%	0	0.0%	1	50.0%			23	67.6%	1	50.0%	1	50.0%		
	IVb	2	6.5%	0	0.0%	0	0.0%	0	0.0%	0	0.0%	1	50.0%			2	5.9%	0	0.0%	1	50.0%		
	III	3	9.7%	0	0.0%	1	50.0%	1	33.3%	0	0.0%	0	0.0%			4	11.8%	1	50.0%	0	0.0%		
	I	2	6.5%	0	0.0%	0	0.0%	0	0.0%	0	0.0%	0	0.0%			2	5.9%	0	0.0%	0	0.0%		
Problemas de saúde	não	26	83.9%	0	0.0%	1	50.0%	2	66.7%	0	0.0%	2	100.0%	0.540	0.101	28	82.4%	1	50.0%	2	100.0%	0.777	0.046
	Sim	5	16.1%	0	0.0%	1	50.0%	1	33.3%	0	0.0%	0	0.0%			6	17.6%	1	50.0%	0	0.0%		
Traqueostomia	Não	29	93.5%	0	0.0%	2	100.0%	3	100.0%	0	0.0%	2	100.0%	0.498		32	94.1%	2	100.0%	2	100.0%	0.623	
	Sim	2	6.5%	0	0.0%	0	0.0%	0	0.0%	0	0.0%	0	0.0%			2	5.9%	0	0.0%	0	0.0%		
EGC	Não	0	0.0%	0	0.0%	0	0.0%	0	0.0%	0	0.0%	0	0.0%			0	0.0%	0	0.0%	0	0.0%		
	Sim	31	100.0%	0	0.0%	2	100.0%	3	100.0%	0	0.0%	2	100.0%			34	100.0%	2	100.0%	2	100.0%		
Quantidade de Gy															0.111								0.081
QT por CCP	Não	0	0.0%	0	0.0%	0	0.0%	0	0.0%	0	0.0%	0	0.0%			0	0.0%	0	0.0%	0	0.0%		

		VED líquido n.º de deglutições														VED líquido reage sem tosse							
		1 deglutição		1+1 adicional		1+2 adicionais		1+3 adicionais		1+4ou mais adicionais		não testado		*p*	Correlação	ausente		presente		não testado		*p*	Correlação
		N	%	N	%	N	%	N	%	N	%	N	%			N	%	N	%	N	%		
	Sim	0	0.0%	0	0.0%	0	0.0%	0	0.0%	0	0.0%	0	0.0%			0	0.0%	0	0.0%	0	0.0%		
Tempo término tratamento															-0.033								-0.074
Medicação diária	Não	5	16.1%	0	0.0%	2	100.0%	0	0.0%	0	0.0%	1	50.0%		-0.231	7	20.6%	0	0.0%	1	50.0%		-0.044
	Sim	26	83.9%	0	0.0%	0	0.0%	3	100.0%	0	0.0%	1	50.0%			27	79.4%	2	100.0%	1	50.0%		
Disfagia	Não	21	67.7%	0	0.0%	2	100.0%	1	33.3%	0	0.0%	1	50.0%		0.105	23	67.6%	1	50.0%	1	50.0%		0.114
	Sim	10	32.3%	0	0.0%	0	0.0%	2	66.7%	0	0.0%	1	50.0%			11	32.4%	1	50.0%	1	50.0%		
Disfonia	Não	28	90.3%	0	0.0%	2	100.0%	3	100.0%	0	0.0%	2	100.0%		-0.138	31	91.2%	2	100.0%	2	100.0%		-0.100
	Sim	3	9.7%	0	0.0%	0	0.0%	0	0.0%	0	0.0%	0	0.0%			3	8.8%	0	0.0%	0	0.0%		
Terapia	Não	15	48.4%	0	0.0%	2	100.0%	1	33.3%	0	0.0%	2	100.0%	0.279	-0.195	18	52.9%	0	0.0%	2	100.0%	1.000	-0.032
	Sim	8	25.8%	0	0.0%	0	0.0%	1	33.3%	0	0.0%	0	0.0%			8	23.5%	1	50.0%	0	0.0%		
FOIS	7	28	90.3%	0	0.0%	2	100.0%	3	100.0%	0	0.0%	2	100.0%			31	91.2%	2	100.0%	2	100.0%		
	6	0	0.0%	0	0.0%	0	0.0%	0	0.0%	0	0.0%	0	0.0%			0	0.0%	0	0.0%	0	0.0%		
	5	3	9.7%	0	0.0%	0	0.0%	0	0.0%	0	0.0%	0	0.0%			3	8.8%	0	0.0%	0	0.0%		
	4	0	0.0%	0	0.0%	0	0.0%	0	0.0%	0	0.0%	0	0.0%	0.400	-0.138	0	0.0%	0	0.0%	0	0.0%	0.542	-0.100
	3	0	0.0%	0	0.0%	0	0.0%	0	0.0%	0	0.0%	0	0.0%			0	0.0%	0	0.0%	0	0.0%		
	2	0	0.0%	0	0.0%	0	0.0%	0	0.0%	0	0.0%	0	0.0%			0	0.0%	0	0.0%	0	0.0%		
	1	0	0.0%	0	0.0%	0	0.0%	0	0.0%	0	0.0%	0	0.0%			0	0.0%	0	0.0%	0	0.0%		
Via de administração da alimentação	via oral	22	71.0%	0	0.0%	2	100.0%	2	66.7%	0	0.0%	2	100.0%			25	73.5%	1	50.0%	2	100.0%		
	SNG	1	3.2%	0	0.0%	0	0.0%	1	33.3%	0	0.0%	0	0.0%	0.204	-0.159	1	2.9%	1	50.0%	0	0.0%	0.156	-0.058
	PEG	8	25.8%	0	0.0%	0	0.0%	0	0.0%	0	0.0%	0	0.0%			8	23.5%	0	0.0%	0	0.0%		
Consistência dos sólidos	dieta regular	0	0.0%	0	0.0%	0	0.0%	0	0.0%	0	0.0%	0	0.0%			0	0.0%	0	0.0%	0	0.0%		
	dieta mole	28	90.3%	0	0.0%	2	100.0%	3	100.0%	0	0.0%	2	100.0%	0.400	-0.138	31	91.2%	2	100.0%	2	100.0%	0.542	-0.100
	dieta puré	0	0.0%	0	0.0%	0	0.0%	0	0.0%	0	0.0%	0	0.0%			0	0.0%	0	0.0%	0	0.0%		
	SNG/PEG	3	9.7%	0	0.0%	0	0.0%	0	0.0%	0	0.0%	0	0.0%			3	8.8%	0	0.0%	0	0.0%		
Consistência dos líquidos	finos	22	95.7%	0	0.0%	2	100.0%	2	100.0%	0	0.0%	2	100.0%			25	96.2%	1	100.0%	2	100.0%		
	espessos	0	0.0%	0	0.0%	0	0.0%	0	0.0%	0	0.0%	0	0.0%	0.612	-0.096	0	0.0%	0	0.0%	0	0.0%	0.734	-0.064
	NPO líquidos	1	4.3%	0	0.0%	0	0.0%	0	0.0%	0	0.0%	0	0.0%			1	3.8%	0	0.0%	0	0.0%		

Tabela 121 - Medidas descritivas, análise de correlação e diferenças estatísticas entre as variáveis sociodemográficas e clínicas e VED - líquido - reage sem tosse; bolacha - escape prematuro e resíduos nas valéculas.

		VED líquido função vocal								VED bolacha escape prematuro								VED bolacha resíduos nas valéculas									
		ausente		presente		não testado		*p*	Correlação	ausente		presente		não testado		*p*	Correlação	sem resíduo		resíduo ligeira a moderado		resíduo severo		não testado		*p*	Correlação
		N	%	N	%	N	%			N	%	N	%	N	%			N	%	N	%	N	%	N	%		
Idade									0.172								0.044										0.305
Sexo	Masculino	0	0.0%	33	91.7%	1	50.0%	0.065	0.303	30	90.9%	2	100.0%	2	66.7%	0.418	0.133	2	100.0%	16	88.9%	14	93.3%	2	66.7%	0.602	0.086
	Feminino	0	0.0%	3	8.3%	1	50.0%			3	9.1%	0	0.0%	1	33.3%			0	0.0%	2	11.1%	1	6.7%	1	33.3%		
Estado civil	Casado	0	0.0%	19	52.8%	1	50.0%	0.760	0.047	18	54.5%	1	50.0%	1	33.3%	0.307	0.030	2	100.0%	10	55.6%	7	46.7%	1	33.3%	0.361	0.163
	Solteiro	0	0.0%	6	16.7%	0	0.0%			4	12.1%	1	50.0%	1	33.3%			0	0.0%	2	11.1%	3	20.0%	1	33.3%		
	Divorciado	0	0.0%	11	30.6%	1	50.0%			11	33.3%	0	0.0%	1	33.3%			0	0.0%	6	33.3%	5	33.3%	1	33.3%		
	Viúvo	0	0.0%	0	0.0%	0	0.0%			0	0.0%	0	0.0%	0	0.0%			0	0.0%	0	0.0%	0	0.0%	0	0.0%		
Nível de escolaridade	Sem escolaridade	0	0.0%	0	0.0%	0	0.0%	0.533	-0.258	0	0.0%	0	0.0%	0	0.0%	0.460	-0.056	0	0.0%	0	0.0%	0	0.0%	0	0.0%	0.273	-0.182
	1.º ciclo	0	0.0%	13	36.1%	2	100.0%			13	39.4%	0	0.0%	2	66.7%			1	50.0%	7	38.9%	5	33.3%	2	66.7%		
	2.º ciclo	0	0.0%	10	27.8%	0	0.0%			9	27.3%	0	0.0%	1	33.3%			0	0.0%	3	16.7%	6	40.0%	1	33.3%		
	3.º ciclo	0	0.0%	5	13.9%	0	0.0%			3	9.1%	2	100.0%	0	0.0%			0	0.0%	3	16.7%	2	13.3%	0	0.0%		
	secundário	0	0.0%	3	8.3%	0	0.0%			3	9.1%	0	0.0%	0	0.0%			1	50.0%	0	0.0%	2	13.3%	0	0.0%		
	Ensino superior	0	0.0%	5	13.9%	0	0.0%			5	15.2%	0	0.0%	0	0.0%			0	0.0%	5	27.8%	0	0.0%	0	0.0%		
Estadio TNM	0	0	0.0%	0	0.0%	0	0.0%	0.264	0.089	0	0.0%	0	0.0%	0	0.0%	0.718	0.116	0	0.0%	0	0.0%	0	0.0%	0	0.0%	**0.042**	-0.163
	IA	0	0.0%	0	0.0%	0	0.0%			0	0.0%	0	0.0%	0	0.0%			0	0.0%	0	0.0%	0	0.0%	0	0.0%		
	IB	0	0.0%	0	0.0%	0	0.0%			0	0.0%	0	0.0%	0	0.0%			0	0.0%	0	0.0%	0	0.0%	0	0.0%		
	II	0	0.0%	3	8.3%	0	0.0%			3	9.1%	0	0.0%	0	0.0%			0	0.0%	2	11.1%	1	6.7%	0	0.0%		
	IIIA	0	0.0%	0	0.0%	0	0.0%			0	0.0%	0	0.0%	0	0.0%			0	0.0%	0	0.0%	0	0.0%	0	0.0%		
	IIIB	0	0.0%	0	0.0%	0	0.0%			0	0.0%	0	0.0%	0	0.0%			0	0.0%	0	0.0%	0	0.0%	0	0.0%		
	IV	0	0.0%	0	0.0%	0	0.0%			0	0.0%	0	0.0%	0	0.0%			0	0.0%	0	0.0%	0	0.0%	0	0.0%		
	Benigno/sem doença	0	0.0%	0	0.0%	0	0.0%			0	0.0%	0	0.0%	0	0.0%			0	0.0%	0	0.0%	0	0.0%	0	0.0%		
	IVa	0	0.0%	24	66.7%	1	50.0%			22	66.7%	1	50.0%	2	66.7%			0	0.0%	12	66.7%	11	73.3%	2	66.7%		
	IVb	0	0.0%	2	5.6%	1	50.0%			2	6.1%	0	0.0%	1	33.3%			0	0.0%	0	0.0%	2	13.3%	1	33.3%		
	III	0	0.0%	5	13.9%	0	0.0%			4	12.1%	1	50.0%	0	0.0%			1	50.0%	3	16.7%	1	6.7%	0	0.0%		
	I	0	0.0%	2	5.6%	0	0.0%			2	6.1%	0	0.0%	0	0.0%			1	50.0%	1	5.6%	0	0.0%	0	0.0%		
Problemas de saúde	não	0	0.0%	29	80.6%	2	100.0%	0.496	-0.112	27	81.8%	1	50.0%	3	100.0%	1.000	0.000	2	100.0%	15	83.3%	11	73.3%	3	100.0%	0.680	0.068
	Sim	0	0.0%	7	19.4%	0	0.0%			6	18.2%	1	50.0%	0	0.0%			0	0.0%	3	16.7%	4	26.7%	0	0.0%		
Traqueostomia	Não	0	0.0%	34	94.4%	2	100.0%	0.735		32	97.0%	2	100.0%	2	66.7%	0.095		2	100.0%	17	94.4%	15	100.0%	2	66.7%	0.496	
	Sim	0	0.0%	2	5.6%	0	0.0%			1	3.0%	0	0.0%	1	33.3%			0	0.0%	1	5.6%	0	0.0%	1	33.3%		
EGC	Não	0	0.0%	0	0.0%	0	0.0%			0	0.0%	0	0.0%	0	0.0%			0	0.0%	0	0.0%	0	0.0%	0	0.0%		
	Sim	0	0.0%	36	100.0%	2	100.0%			33	100.0%	2	100.0%	3	100.0%			2	100.0%	18	100.0%	15	100.0%	3	100.0%		

		VED líquido função vocal								VED bolacha escape prematuro								VED bolacha resíduos nas valéculas									
		ausente		presente		não testado		*p*	Correlação	ausente		presente		não testado		*p*	Correlação	sem resíduo		resíduo ligeira a moderado		resíduo severo		não testado		*p*	Correlação
		N	%	N	%	N	%			N	%	N	%	N	%			N	%	N	%	N	%	N	%		
Quantidade de Gy									0.056								0.092										0.306
QT por CCP	Não	0	0.0%	0	0.0%	0	0.0%			0	0.0%	0	0.0%	0	0.0%			0	0.0%	0	0.0%	0	0.0%	0	0.0%		
	Sim	0	0.0%	0	0.0%	0	0.0%			0	0.0%	0	0.0%	0	0.0%			0	0.0%	0	0.0%	0	0.0%	0	0.0%		
Tempo término tratamento									-0.051								-0.167										-0.196
Medicação diária	Não	0	0.0%	7	19.4%	1	50.0%		-0.167	5	15.2%	2	100.0%	1	33.3%	0.033	-0.351*	2	100.0%	1	5.6%	4	26.7%	1	33.3%		-0.048
	Sim	0	0.0%	29	80.6%	1	50.0%			28	84.8%	0	0.0%	2	66.7%			0	0.0%	17	94.4%	11	73.3%	2	66.7%		
Disfagia	Não	0	0.0%	24	66.7%	1	50.0%		0.078	22	66.7%	2	100.0%	1	33.3%		0.065	2	100.0%	8	44.4%	14	93.3%	1	33.3%		-0.202
	Sim	0	0.0%	12	33.3%	1	50.0%			11	33.3%	0	0.0%	2	66.7%			0	0.0%	10	55.6%	1	6.7%	2	66.7%		
Disfonia	Não	0	0.0%	33	91.7%	2	100.0%		-0.069	30	90.9%	2	100.0%	3	100.0%		-0.114	2	100.0%	16	88.9%	14	93.3%	3	100.0%		-0.073
	Sim	0	0.0%	3	8.3%	0	0.0%			3	9.1%	0	0.0%	0	0.0%			0	0.0%	2	11.1%	1	6.7%	0	0.0%		
Terapia	Não	0	0.0%	18	50.0%	2	100.0%	0.174	-0.211	17	51.5%	1	50.0%	2	66.7%	0.709	-0.029	2	100.0%	9	50.0%	7	46.7%	2	66.7%	0.665	-0.004
	Sim	0	0.0%	9	25.0%	0	0.0%			8	24.2%	1	50.0%	0	0.0%			0	0.0%	2	11.1%	7	46.7%	0	0.0%		
FOIS	7	0	0.0%	33	91.7%	2	100.0%			31	93.9%	2	100.0%	2	66.7%			2	100.0%	16	88.9%	15	100.0%	2	66.7%		
	6	0	0.0%	0	0.0%	0	0.0%			0	0.0%	0	0.0%	0	0.0%			0	0.0%	0	0.0%	0	0.0%	0	0.0%		
	5	0	0.0%	3	8.3%	0	0.0%			2	6.1%	0	0.0%	1	33.3%			0	0.0%	2	11.1%	0	0.0%	1	33.3%		
	4	0	0.0%	0	0.0%	0	0.0%	0.675	-0.069	0	0.0%	0	0.0%	0	0.0%	0.249	0.189	0	0.0%	0	0.0%	0	0.0%	0	0.0%	0.929	0.015
	3	0	0.0%	0	0.0%	0	0.0%			0	0.0%	0	0.0%	0	0.0%			0	0.0%	0	0.0%	0	0.0%	0	0.0%		
	2	0	0.0%	0	0.0%	0	0.0%			0	0.0%	0	0.0%	0	0.0%			0	0.0%	0	0.0%	0	0.0%	0	0.0%		
	1	0	0.0%	0	0.0%	0	0.0%			0	0.0%	0	0.0%	0	0.0%			0	0.0%	0	0.0%	0	0.0%	0	0.0%		
Via de administração da alimentação	via oral	0	0.0%	26	72.2%	2	100.0%			24	72.7%	2	100.0%	2	66.7%			2	100.0%	10	55.6%	14	93.3%	2	66.7%		
	SNG	0	0.0%	2	5.6%	0	0.0%	0.693	-0.139	2	6.1%	0	0.0%	0	0.0%	0.854	-0.012	0	0.0%	2	11.1%	0	0.0%	0	0.0%	0.311	-0.199
	PEG	0	0.0%	8	22.2%	0	0.0%			7	21.2%	0	0.0%	1	33.3%			0	0.0%	6	33.3%	1	6.7%	1	33.3%		
Consistência dos sólidos	dieta regular	0	0.0%	0	0.0%	0	0.0%			0	0.0%	0	0.0%	0	0.0%			0	0.0%	0	0.0%	0	0.0%	0	0.0%		
	dieta mole	0	0.0%	33	91.7%	2	100.0%	0.675	-0.069	31	93.9%	2	100.0%	2	66.7%	0.249	0.189	2	100.0%	16	88.9%	15	100.0%	2	66.7%	0.929	0.015
	dieta puré	0	0.0%	0	0.0%	0	0.0%			0	0.0%	0	0.0%	0	0.0%			0	0.0%	0	0.0%	0	0.0%	0	0.0%		
	SNG/PEG	0	0.0%	3	8.3%	0	0.0%			2	6.1%	0	0.0%	1	33.3%			0	0.0%	2	11.1%	0	0.0%	1	33.3%		
Consistência dos líquidos	finos	0	0.0%	26	96.3%	2	100.0%			23	95.8%	2	100.0%	3	100.0%			2	100.0%	16	100.0%	7	87.5%	3	100.0%		
	espessos	0	0.0%	0	0.0%	0	0.0%	0.785	-0.051	0	0.0%	0	0.0%	0	0.0%	0.649	-0.086	0	0.0%	0	0.0%	0	0.0%	0	0.0%	0.319	0.188
	NPO líquidos	0	0.0%	1	3.7%	0	0.0%			1	4.2%	0	0.0%	0	0.0%			0	0.0%	0	0.0%	1	12.5%	0	0.0%		

Tabela 122 - Medidas descritivas, análise de correlação e diferenças estatísticas entre as variáveis sociodemográficas e clínicas e VED - bolacha - resíduos em seios piriformes e na parede faríngea.

		VED bolacha resíduo nos seios piriformes										VED bolacha resíduos na parede faríngea									
		sem resíduo		resíduo ligeira a moderado		resíduo severo		não testado		*p*	Correlação	sem resíduo		resíduo ligeira a moderado		resíduo severo		não testado		*p*	Correlação
		N	%	N	%	N	%	N	%			N	%	N	%	N	%	N	%		
Idade											**-0.381***										-0.170
Sexo	Masculino	14	100.0%	15	83.3%	3	100.0%	2	66.7%	0.127	0.251	6	100.0%	25	89.3%	1	100.0%	2	66.7%	0.207	0.208
	Feminino	0	0.0%	3	16.7%	0	0.0%	1	33.3%			0	0.0%	3	10.7%	0	0.0%	1	33.3%		
Estado civil	Casado	7	50.0%	11	61.1%	1	33.3%	1	33.3%	0.782	0.008	4	66.7%	15	53.6%	0	0.0%	1	33.3%	0.470	0.02
	Solteiro	2	14.3%	2	11.1%	1	33.3%	1	33.3%			1	16.7%	4	14.3%	0	0.0%	1	33.3%		
	Divorciado	5	35.7%	5	27.8%	1	33.3%	1	33.3%			1	16.7%	9	32.1%	1	100.0%	1	33.3%		
	Viúvo	0	0.0%	0	0.0%	0	0.0%	0	0.0%			0	0.0%	0	0.0%	0	0.0%	0	0.0%		
Nível de escolaridade	Sem escolaridade	0	0.0%	0	0.0%	0	0.0%	0	0.0%	0.901	-0.033	0	0.0%	0	0.0%	0	0.0%	0	0.0%	0.085	**-0.396***
	1.º ciclo	6	42.9%	7	38.9%	0	0.0%	2	66.7%			1	16.7%	11	39.3%	1	100.0%	2	66.7%		
	2.º ciclo	3	21.4%	4	22.2%	2	66.7%	1	33.3%			1	16.7%	8	28.6%	0	0.0%	1	33.3%		
	3.º ciclo	2	14.3%	2	11.1%	1	33.3%	0	0.0%			1	16.7%	4	14.3%	0	0.0%	0	0.0%		
	secundário	1	7.1%	2	11.1%	0	0.0%	0	0.0%			0	0.0%	3	10.7%	0	0.0%	0	0.0%		
	Ensino superior	2	14.3%	3	16.7%	0	0.0%	0	0.0%			3	50.0%	2	7.1%	0	0.0%	0	0.0%		
Estadio TNM	0	0	0.0%	0	0.0%	0	0.0%	0	0.0%	0.606	0.007	0	0.0%	0	0.0%	0	0.0%	0	0.0%	0.100	-0.186
	IA	0	0.0%	0	0.0%	0	0.0%	0	0.0%			0	0.0%	0	0.0%	0	0.0%	0	0.0%		
	IB	0	0.0%	0	0.0%	0	0.0%	0	0.0%			0	0.0%	0	0.0%	0	0.0%	0	0.0%		
	II	1	7.1%	2	11.1%	0	0.0%	0	0.0%			0	0.0%	3	10.7%	0	0.0%	0	0.0%		
	IIIA	0	0.0%	0	0.0%	0	0.0%	0	0.0%			0	0.0%	0	0.0%	0	0.0%	0	0.0%		
	IIIB	0	0.0%	0	0.0%	0	0.0%	0	0.0%			0	0.0%	0	0.0%	0	0.0%	0	0.0%		
	IV	0	0.0%	0	0.0%	0	0.0%	0	0.0%			0	0.0%	0	0.0%	0	0.0%	0	0.0%		
	Benigno/sem doença	0	0.0%	0	0.0%	0	0.0%	0	0.0%			0	0.0%	0	0.0%	0	0.0%	0	0.0%		
	IVa	10	71.4%	10	55.6%	3	100.0%	2	66.7%			3	50.0%	19	67.9%	1	100.0%	2	66.7%		
	IVb	0	0.0%	2	11.1%	0	0.0%	1	33.3%			0	0.0%	2	7.1%	0	0.0%	1	33.3%		
	III	2	14.3%	3	16.7%	0	0.0%	0	0.0%			3	50.0%	2	7.1%	0	0.0%	0	0.0%		
	I	1	7.1%	1	5.6%	0	0.0%	0	0.0%			0	0.0%	2	7.1%	0	0.0%	0	0.0%		
Problemas de saúde	não	11	78.6%	15	83.3%	2	66.7%	3	100.0%	0.697	-0.064	5	83.3%	22	78.6%	1	100.0%	3	100.0%	0.626	-0.080
	Sim	3	21.4%	3	16.7%	1	33.3%	0	0.0%			1	16.7%	6	21.4%	0	0.0%	0	0.0%		
Traqueostomia	Não	13	92.9%	18	100.0%	3	100.0%	2	66.7%	0.695		6	100.0%	27	96.4%	1	100.0%	2	66.7%	0.117	
	Sim	1	7.1%	0	0.0%	0	0.0%	1	33.3%			0	0.0%	1	3.6%	0	0.0%	1	33.3%		
EGC	Não	0	0.0%	0	0.0%	0	0.0%	0	0.0%			0	0.0%	0	0.0%	0	0.0%	0	0.0%		
	Sim	14	100.0%	18	100.0%	3	100.0%	3	100.0%			6	100.0%	28	100.0%	1	100.0%	3	100.0%		

		VED bolacha resíduo nos seios piriformes										VED bolacha resíduos na parede faríngea									
		sem resíduo		resíduo ligeira a moderado		resíduo severo		não testado		*p*	Correlação	sem resíduo		resíduo ligeira a moderado		resíduo severo		não testado		*p*	Correlação
		N	%	N	%	N	%	N	%			N	%	N	%	N	%	N	%		
Quantidade de Gy											0.281										-0.028
QT por CCP	Não	0	0.0%	0	0.0%	0	0.0%	0	0.0%			0	0.0%	0	0.0%	0	0.0%	0	0.0%		
	Sim	0	0.0%	0	0.0%	0	0.0%	0	0.0%			0	0.0%	0	0.0%	0	0.0%	0	0.0%		
Tempo término tratamento											-0.150										-0.197
Medicação diária	Não	2	14.3%	3	16.7%	2	66.7%	1	33.3%		-0.221	2	33.3%	5	17.9%	0	0.0%	1	33.3%		0.072
	Sim	12	85.7%	15	83.3%	1	33.3%	2	66.7%			4	66.7%	23	82.1%	1	100.0%	2	66.7%		
Disfagia	Não	10	71.4%	12	66.7%	2	66.7%	1	33.3%		0.140	5	83.3%	18	64.3%	1	100.0%	1	33.3%		0.190
	Sim	4	28.6%	6	33.3%	1	33.3%	2	66.7%			1	16.7%	10	35.7%	0	0.0%	2	66.7%		
Disfonia	Não	12	85.7%	17	94.4%	3	100.0%	3	100.0%		-0.194	5	83.3%	26	92.9%	1	100.0%	3	100.0%		-0.161
	Sim	2	14.3%	1	5.6%	0	0.0%	0	0.0%			1	16.7%	2	7.1%	0	0.0%	0	0.0%		
Terapia	Não	7	50.0%	10	55.6%	1	33.3%	2	66.7%	0.861	0.011	5	83.3%	13	46.4%	0	0.0%	2	66.7%	0.226	0.230
	Sim	4	28.6%	4	22.2%	1	33.3%	0	0.0%			1	16.7%	7	25.0%	1	100.0%	0	0.0%		
FOIS	7	13	92.9%	17	94.4%	3	100.0%	2	66.7%			6	100.0%	26	92.9%	1	100.0%	2	66.7%		
	6	0	0.0%	0	0.0%	0	0.0%	0	0.0%			0	0.0%	0	0.0%	0	0.0%	0	0.0%		
	5	1	7.1%	1	5.6%	0	0.0%	1	33.3%			0	0.0%	2	7.1%	0	0.0%	1	33.3%		
	4	0	0.0%	0	0.0%	0	0.0%	0	0.0%	0.575	0.092	0	0.0%	0	0.0%	0	0.0%	0	0.0%	0.171	0.225
	3	0	0.0%	0	0.0%	0	0.0%	0	0.0%			0	0.0%	0	0.0%	0	0.0%	0	0.0%		
	2	0	0.0%	0	0.0%	0	0.0%	0	0.0%			0	0.0%	0	0.0%	0	0.0%	0	0.0%		
	1	0	0.0%	0	0.0%	0	0.0%	0	0.0%			0	0.0%	0	0.0%	0	0.0%	0	0.0%		
Via de administração da alimentação	via oral	10	71.4%	14	77.8%	2	66.7%	2	66.7%			5	83.3%	20	71.4%	1	100.0%	2	66.7%		
	SNG	1	7.1%	1	5.6%	0	0.0%	0	0.0%	0.825	0.020	1	16.7%	1	3.6%	0	0.0%	0	0.0%	0.274	0.112
	PEG	3	21.4%	3	16.7%	1	33.3%	1	33.3%			0	0.0%	7	25.0%	0	0.0%	1	33.3%		
Consistência dos sólidos	dieta regular	0	0.0%	0	0.0%	0	0.0%	0	0.0%			0	0.0%	0	0.0%	0	0.0%	0	0.0%		
	dieta mole	13	92.9%	17	94.4%	3	100.0%	2	66.7%	0.575	0.092	6	100.0%	26	92.9%	1	100.0%	2	66.7%	0.171	0.225
	dieta puré	0	0.0%	0	0.0%	0	0.0%	0	0.0%			0	0.0%	0	0.0%	0	0.0%	0	0.0%		
	SNG/PEG	1	7.1%	1	5.6%	0	0.0%	1	33.3%			0	0.0%	2	7.1%	0	0.0%	1	33.3%		
Consistência dos líquidos	finos	10	100.0%	12	92.3%	3	100.0%	3	100.0%			5	100.0%	20	95.2%	0	0.0%	3	100.0%		
	espessos	0	0.0%	0	0.0%	0	0.0%	0	0.0%	0.797	0.048	0	0.0%	0	0.0%	0	0.0%	0	0.0%	0.879	0.029
	NPO líquidos	0	0.0%	1	7.7%	0	0.0%	0	0.0%			0	0.0%	1	4.8%	0	0.0%	0	0.0%		

Tabela 123 - Medidas descritivas, análise de correlação e diferenças estatísticas entre as variáveis sociodemográficas e clínicas e VED - bolacha - número de deglutições e reage sem tosse.

		VED bolacha n.º de deglutições														VED bolacha reage sem tosse							
		1 deglutição		1+1 adicional		1+2 adicionais		1+3 adicionais		1+4ou mais adicionais		não testado		*p*	Correlação	ausente		presente		não testado		*p*	Correlação
		N	%	N	%	N	%	N	%	N	%	N	%			N	%	N	%	N	%		
Idade															0.035								0.029
Sexo	Masculino	2	100.0%	0	0.0%	12	92.3%	11	91.7%	7	87.5%	2	66.7%	0.297	0.171	31	91.2%	1	100.0%	2	66.7%	0.304	0.169
	Feminino	0	0.0%	0	0.0%	1	7.7%	1	8.3%	1	12.5%	1	33.3%			3	8.8%	0	0.0%	1	33.3%		
Estado civil	Casado	0	0.0%	0	0.0%	7	53.8%	8	66.7%	4	50.0%	1	33.3%	0.753	-0.073	19	55.9%	0	0.0%	1	33.3%	0.530	0.174
	Solteiro	0	0.0%	0	0.0%	2	15.4%	2	16.7%	1	12.5%	1	33.3%			5	14.7%	0	0.0%	1	33.3%		
	Divorciado	2	100.0%	0	0.0%	4	30.8%	2	16.7%	3	37.5%	1	33.3%			10	29.4%	1	100.0%	1	33.3%		
	Viúvo	0	0.0%	0	0.0%	0	0.0%	0	0.0%	0	0.0%	0	0.0%			0	0.0%	0	0.0%	0	0.0%		
Nível de escolaridade	Sem escolaridade	0	0.0%	0	0.0%	0	0.0%	0	0.0%	0	0.0%	0	0.0%	0.137	-0.035	0	0.0%	0	0.0%	0	0.0%	0.651	-0.177
	1.º ciclo	2	100.0%	0	0.0%	5	38.5%	5	41.7%	1	12.5%	2	66.7%			13	38.2%	0	0.0%	2	66.7%		
	2.º ciclo	0	0.0%	0	0.0%	1	7.7%	4	33.3%	4	50.0%	1	33.3%			8	23.5%	1	100.0%	1	33.3%		
	3.º ciclo	0	0.0%	0	0.0%	2	15.4%	1	8.3%	2	25.0%	0	0.0%			5	14.7%	0	0.0%	0	0.0%		
	secundário	0	0.0%	0	0.0%	1	7.7%	1	8.3%	1	12.5%	0	0.0%			3	8.8%	0	0.0%	0	0.0%		
	Ensino superior	0	0.0%	0	0.0%	4	30.8%	1	8.3%	0	0.0%	0	0.0%			5	14.7%	0	0.0%	0	0.0%		
Estadio TNM	0	0	0.0%	0	0.0%	0	0.0%	0	0.0%	0	0.0%	0	0.0%	0.641	-0.109	0	0.0%	0	0.0%	0	0.0%	0.570	0.003
	IA	0	0.0%	0	0.0%	0	0.0%	0	0.0%	0	0.0%	0	0.0%			0	0.0%	0	0.0%	0	0.0%		
	IB	0	0.0%	0	0.0%	0	0.0%	0	0.0%	0	0.0%	0	0.0%			0	0.0%	0	0.0%	0	0.0%		
	II	1	50.0%	0	0.0%	0	0.0%	1	8.3%	1	12.5%	0	0.0%			3	8.8%	0	0.0%	0	0.0%		
	IIIA	0	0.0%	0	0.0%	0	0.0%	0	0.0%	0	0.0%	0	0.0%			0	0.0%	0	0.0%	0	0.0%		
	IIIB	0	0.0%	0	0.0%	0	0.0%	0	0.0%	0	0.0%	0	0.0%			0	0.0%	0	0.0%	0	0.0%		
	IV	0	0.0%	0	0.0%	0	0.0%	0	0.0%	0	0.0%	0	0.0%			0	0.0%	0	0.0%	0	0.0%		
	Benigno/sem doença	0	0.0%	0	0.0%	0	0.0%	0	0.0%	0	0.0%	0	0.0%			0	0.0%	0	0.0%	0	0.0%		
	IVa	1	50.0%	0	0.0%	7	53.8%	10	83.3%	5	62.5%	2	66.7%			22	64.7%	1	100.0%	2	66.7%		
	IVb	0	0.0%	0	0.0%	1	7.7%	1	8.3%	0	0.0%	1	33.3%			2	5.9%	0	0.0%	1	33.3%		
	III	0	0.0%	0	0.0%	3	23.1%	0	0.0%	2	25.0%	0	0.0%			5	14.7%	0	0.0%	0	0.0%		
	I	0	0.0%	0	0.0%	2	15.4%	0	0.0%	0	0.0%	0	0.0%			2	5.9%	0	0.0%	0	0.0%		
Problemas de saúde	não	2	100.0%	0	0.0%	11	84.6%	9	75.0%	6	75.0%	3	100.0%	0.724	0.058	27	79.4%	1	100.0%	3	100.0%	0.322	-0.163
	Sim	0	0.0%	0	0.0%	2	15.4%	3	25.0%	2	25.0%	0	0.0%			7	20.6%	0	0.0%	0	0.0%		
Traqueostomia	Não	2	100.0%	0	0.0%	12	92.3%	12	100.0%	8	100.0%	2	66.7%	0.633		33	97.1%	1	100.0%	2	66.7%	0.057	
	Sim	0	0.0%	0	0.0%	1	7.7%	0	0.0%	0	0.0%	1	33.3%			1	2.9%	0	0.0%	1	33.3%		
EGC	Não	0	0.0%	0	0.0%	0	0.0%	0	0.0%	0	0.0%	0	0.0%			0	0.0%	0	0.0%	0	0.0%		
	Sim	2	100.0%	0	0.0%	13	100.0%	12	100.0%	8	100.0%	3	100.0%			34	100.0%	1	100.0%	3	100.0%		
Quantidade de Gy															0.095								0.081
QT por CCP	Não	0	0.0%	0	0.0%	0	0.0%	0	0.0%	0	0.0%	0	0.0%			0	0.0%	0	0.0%	0	0.0%		

		VED bolacha n.º de deglutições														VED bolacha reage sem tosse							
		1 deglutição		1+1 adicional		1+2 adicionais		1+3 adicionais		1+4ou mais adicionais		não testado		*p*	Correlação	ausente		presente		não testado		*p*	Correlação
		N	%	N	%	N	%	N	%	N	%	N	%			N	%	N	%	N	%		
	Sim	0	0.0%	0	0.0%	0	0.0%	0	0.0%	0	0.0%	0	0.0%			0	0.0%	0	0.0%	0	0.0%		
Tempo término tratamento															-0.082								-0.244
Medicação diária	Não	0	0.0%	0	0.0%	3	23.1%	2	16.7%	2	25.0%	1	33.3%		-0.086	7	20.6%	0	0.0%	1	33.3%		-0.039
	Sim	2	100.0%	0	0.0%	10	76.9%	10	83.3%	6	75.0%	2	66.7%			27	79.4%	1	100.0%	2	66.7%		
Disfagia	Não	0	0.0%	0	0.0%	10	76.9%	8	66.7%	6	75.0%	1	33.3%		-0.003	23	67.6%	1	100.0%	1	33.3%		0.124
	Sim	2	100.0%	0	0.0%	3	23.1%	4	33.3%	2	25.0%	2	66.7%			11	32.4%	0	0.0%	2	66.7%		
Disfonia	Não	2	100.0%	0	0.0%	12	92.3%	11	91.7%	7	87.5%	3	100.0%		0.032	31	91.2%	1	100.0%	3	100.0%		-0.100
	Sim	0	0.0%	0	0.0%	1	7.7%	1	8.3%	1	12.5%	0	0.0%			3	8.8%	0	0.0%	0	0.0%		
Terapia	Não	0	0.0%	0	0.0%	7	53.8%	8	66.7%	3	37.5%	2	66.7%	0.681	-0.104	18	52.9%	0	0.0%	2	66.7%	0.956	0.039
	Sim	0	0.0%	0	0.0%	4	30.8%	1	8.3%	4	50.0%	0	0.0%			8	23.5%	1	100.0%	0	0.0%		
FOIS	7	2	100.0%	0	0.0%	11	84.6%	12	100.0%	8	100.0%	2	66.7%			32	94.1%	1	100.0%	2	66.7%		
	6	0	0.0%	0	0.0%	0	0.0%	0	0.0%	0	0.0%	0	0.0%			0	0.0%	0	0.0%	0	0.0%		
	5	0	0.0%	0	0.0%	2	15.4%	0	0.0%	0	0.0%	1	33.3%			2	5.9%	0	0.0%	1	33.3%		
	4	0	0.0%	0	0.0%	0	0.0%	0	0.0%	0	0.0%	0	0.0%	0.843	-0.032	0	0.0%	0	0.0%	0	0.0%	0.170	0.226
	3	0	0.0%	0	0.0%	0	0.0%	0	0.0%	0	0.0%	0	0.0%			0	0.0%	0	0.0%	0	0.0%		
	2	0	0.0%	0	0.0%	0	0.0%	0	0.0%	0	0.0%	0	0.0%			0	0.0%	0	0.0%	0	0.0%		
	1	0	0.0%	0	0.0%	0	0.0%	0	0.0%	0	0.0%	0	0.0%			0	0.0%	0	0.0%	0	0.0%		
Via de administração da alimentação	via oral	0	0.0%	0	0.0%	10	76.9%	9	75.0%	7	87.5%	2	66.7%			25	73.5%	1	100.0%	2	66.7%		
	SNG	0	0.0%	0	0.0%	1	7.7%	0	0.0%	1	12.5%	0	0.0%	0.457	-0.181	2	5.9%	0	0.0%	0	0.0%	0.873	0.031
	PEG	2	100.0%	0	0.0%	2	15.4%	3	25.0%	0	0.0%	1	33.3%			7	20.6%	0	0.0%	1	33.3%		
Consistência dos sólidos	dieta regular	0	0.0%	0	0.0%	0	0.0%	0	0.0%	0	0.0%	0	0.0%			0	0.0%	0	0.0%	0	0.0%		
	dieta mole	2	100.0%	0	0.0%	11	84.6%	12	100.0%	8	100.0%	2	66.7%	0.843	-0.032	32	94.1%	1	100.0%	2	66.7%	0.170	0.226
	dieta puré	0	0.0%	0	0.0%	0	0.0%	0	0.0%	0	0.0%	0	0.0%			0	0.0%	0	0.0%	0	0.0%		
	SNG/PEG	0	0.0%	0	0.0%	2	15.4%	0	0.0%	0	0.0%	1	33.3%			2	5.9%	0	0.0%	1	33.3%		
Consistência dos líquidos	finos	2	100.0%	0	0.0%	10	90.9%	8	100.0%	5	100.0%	3	100.0%			25	96.2%	0	0.0%	3	100.0%		
	espessos	0	0.0%	0	0.0%	0	0.0%	0	0.0%	0	0.0%	0	0.0%	0.383	-0.165	0	0.0%	0	0.0%	0	0.0%	0.734	-0.064
	NPO líquidos	0	0.0%	0	0.0%	1	9.1%	0	0.0%	0	0.0%	0	0.0%			1	3.8%	0	0.0%	0	0.0%		

Tabela 124 - Medidas descritivas, análise de correlação e diferenças estatísticas entre as variáveis sociodemográficas e clínicas e VED - bolacha - função vocal, aspiração, momento de aspiração pudim.

		VED bolacha função vocal								VED aspiração								VED momento de aspiração pudim									
		ausente		presente		não testado		*p*	Correlação	não		sim		alto risco de aspiração		*p*	Correlação	NA		pré-deglutição		durante deglutição		pós-deglutição		*p*	Correlação
		N	%	N	%	N	%			N	%	N	%	N	%			N	%	N	%	N	%	N	%		
Idade									0.045								-0.272										**-0.336***
Sexo	Masculino	0	0.0%	32	91.4%	2	66.7%	0.186	0.218	20	100.0%	13	81.3%	1	50.0%	**0.015**	**0.398***	30	96.8%	3	60.0%	0	0.0%	1	100.0%	**0.002**	**0.498****
	Feminino	0	0.0%	3	8.6%	1	33.3%			0	0.0%	3	18.8%	1	50.0%			1	3.2%	2	40.0%	1	100.0%	0	0.0%		
Estado civil	Casado	0	0.0%	19	54.3%	1	33.3%	0.655	0.079	11	55.0%	8	50.0%	1	50.0%	0.945	0.054	17	54.8%	1	20.0%	1	100.0%	1	100.0%	0.855	0.081
	Solteiro	0	0.0%	5	14.3%	1	33.3%			3	15.0%	3	18.8%	0	0.0%			5	16.1%	1	20.0%	0	0.0%	0	0.0%		
	Divorciado	0	0.0%	11	31.4%	1	33.3%			6	30.0%	5	31.3%	1	50.0%			9	29.0%	3	60.0%	0	0.0%	0	0.0%		
	Viúvo	0	0.0%	0	0.0%	0	0.0%			0	0.0%	0	0.0%	0	0.0%			0	0.0%	0	0.0%	0	0.0%	0	0.0%		
Nível de escolaridade	Sem escolaridade	0	0.0%	0	0.0%	0	0.0%	0.784	-0.205	0	0.0%	0	0.0%	0	0.0%	0.499	-0.186	0	0.0%	0	0.0%	0	0.0%	0	0.0%	0.760	-0.129
	1.º ciclo	0	0.0%	13	37.1%	2	66.7%			7	35.0%	6	37.5%	2	100.0%			11	35.5%	3	60.0%	0	0.0%	1	100.0%		
	2.º ciclo	0	0.0%	9	25.7%	1	33.3%			5	25.0%	5	31.3%	0	0.0%			9	29.0%	1	20.0%	0	0.0%	0	0.0%		
	3.º ciclo	0	0.0%	5	14.3%	0	0.0%			2	10.0%	3	18.8%	0	0.0%			4	12.9%	0	0.0%	1	100.0%	0	0.0%		
	secundário	0	0.0%	3	8.6%	0	0.0%			3	15.0%	0	0.0%	0	0.0%			3	9.7%	0	0.0%	0	0.0%	0	0.0%		
	Ensino superior	0	0.0%	5	14.3%	0	0.0%			3	15.0%	2	12.5%	0	0.0%			4	12.9%	1	20.0%	0	0.0%	0	0.0%		
Estadio TNM	0	0	0.0%	0	0.0%	0	0.0%	0.488	0.037	0	0.0%	0	0.0%	0	0.0%	0.965	-0.011	0	0.0%	0	0.0%	0	0.0%	0	0.0%	0.699	0.018
	IA	0	0.0%	0	0.0%	0	0.0%			0	0.0%	0	0.0%	0	0.0%			0	0.0%	0	0.0%	0	0.0%	0	0.0%		
	IB	0	0.0%	0	0.0%	0	0.0%			0	0.0%	0	0.0%	0	0.0%			0	0.0%	0	0.0%	0	0.0%	0	0.0%		
	II	0	0.0%	3	8.6%	0	0.0%			2	10.0%	1	6.3%	0	0.0%			2	6.5%	1	20.0%	0	0.0%	0	0.0%		
	IIIA	0	0.0%	0	0.0%	0	0.0%			0	0.0%	0	0.0%	0	0.0%			0	0.0%	0	0.0%	0	0.0%	0	0.0%		
	IIIB	0	0.0%	0	0.0%	0	0.0%			0	0.0%	0	0.0%	0	0.0%			0	0.0%	0	0.0%	0	0.0%	0	0.0%		
	IV	0	0.0%	0	0.0%	0	0.0%			0	0.0%	0	0.0%	0	0.0%			0	0.0%	0	0.0%	0	0.0%	0	0.0%		
	Benigno/sem doença	0	0.0%	0	0.0%	0	0.0%			0	0.0%	0	0.0%	0	0.0%			0	0.0%	0	0.0%	0	0.0%	0	0.0%		
	IVa	0	0.0%	23	65.7%	2	66.7%			12	60.0%	12	75.0%	1	50.0%			21	67.7%	3	60.0%	0	0.0%	1	100.0%		
	IVb	0	0.0%	2	5.7%	1	33.3%			2	10.0%	0	0.0%	1	50.0%			3	9.7%	0	0.0%	0	0.0%	0	0.0%		
	III	0	0.0%	5	14.3%	0	0.0%			3	15.0%	2	12.5%	0	0.0%			4	12.9%	0	0.0%	1	100.0%	0	0.0%		
	I	0	0.0%	2	5.7%	0	0.0%			1	5.0%	1	6.3%	0	0.0%			1	3.2%	1	20.0%	0	0.0%	0	0.0%		
Problemas de saúde	não	0	0.0%	28	80.0%	3	100.0%	0.397	-0.139	16	80.0%	13	81.3%	2	100.0%	0.701	-0.063	25	80.6%	5	100.0%	0	0.0%	1	100.0%	0.845	-0.032
	Sim	0	0.0%	7	20.0%	0	0.0%			4	20.0%	3	18.8%	0	0.0%			6	19.4%	0	0.0%	1	100.0%	0	0.0%		
Traqueostomia	Não	0	0.0%	34	97.1%	2	66.7%	**0.025**		19	95.0%	15	93.8%	2	100.0%	1.000		30	96.8%	4	80.0%	1	100.0%	1	100.0%	0.286	
	Sim	0	0.0%	1	2.9%	1	33.3%			1	5.0%	1	6.3%	0	0.0%			1	3.2%	1	20.0%	0	0.0%	0	0.0%		
EGC	Não	0	0.0%	0	0.0%	0	0.0%			0	0.0%	0	0.0%	0	0.0%			0	0.0%	0	0.0%	0	0.0%	0	0.0%		
	Sim	0	0.0%	35	100.0%	3	100.0%			20	100.0%	16	100.0%	2	100.0%			31	100.0%	5	100.0%	1	100.0%	1	100.0%		
Quantidade de Gy									0.069								0.219										0.112

		VED bolacha função vocal								VED aspiração								VED momento de aspiração pudim									
		ausente		presente		não testado		*p*	Correlação	não		sim		alto risco de aspiração		*p*	Correlação	NA		pré-deglutição		durante deglutição		pós-deglutição		*p*	Correlação
		N	%	N	%	N	%			N	%	N	%	N	%			N	%	N	%	N	%	N	%		
QT por CCP	Não	0	0.0%	0	0.0%	0	0.0%			0	0.0%	0	0.0%	0	0.0%			0	0.0%	0	0.0%	0	0.0%	0	0.0%		
	Sim	0	0.0%	0	0.0%	0	0.0%			0	0.0%	0	0.0%	0	0.0%			0	0.0%	0	0.0%	0	0.0%	0	0.0%		
Tempo término tratamento									-0.163								0.000										0.120
Medicação diária	Não	0	0.0%	7	20.0%	1	33.3%		-0.088	3	15.0%	4	25.0%	1	50.0%		-0.180	8	25.8%	0	0.0%	0	0.0%	0	0.0%		0.244
	Sim	0	0.0%	28	80.0%	2	66.7%			17	85.0%	12	75.0%	1	50.0%			23	74.2%	5	100.0%	1	100.0%	1	100.0%		
Disfagia	Não	0	0.0%	24	68.6%	1	33.3%		0.200	15	75.0%	9	56.3%	1	50.0%		0.206	22	71.0%	2	40.0%	0	0.0%	1	100.0%		0.221
	Sim	0	0.0%	11	31.4%	2	66.7%			5	25.0%	7	43.8%	1	50.0%			9	29.0%	3	60.0%	1	100.0%	0	0.0%		
Disfonia	Não	0	0.0%	32	91.4%	3	100.0%		-0.086	17	85.0%	16	100.0%	2	100.0%		-0.272	28	90.3%	5	100.0%	1	100.0%	1	100.0%		-0.139
	Sim	0	0.0%	3	8.6%	0	0.0%			3	15.0%	0	0.0%	0	0.0%			3	9.7%	0	0.0%	0	0.0%	0	0.0%		
Terapia	Não	0	0.0%	18	51.4%	2	66.7%	0.617	-0.005	11	55.0%	7	43.8%	2	100.0%	1.000	0.002	18	58.1%	2	40.0%	0	0.0%	0	0.0%	0.141	0.290
	Sim	0	0.0%	9	25.7%	0	0.0%			5	25.0%	4	25.0%	0	0.0%			8	25.8%	0	0.0%	0	0.0%	1	100.0%		
FOIS	7	0	0.0%	33	94.3%	2	66.7%			18	90.0%	15	93.8%	2	100.0%			29	93.5%	4	80.0%	1	100.0%	1	100.0%		
	6	0	0.0%	0	0.0%	0	0.0%			0	0.0%	0	0.0%	0	0.0%			0	0.0%	0	0.0%	0	0.0%	0	0.0%		
	5	0	0.0%	2	5.7%	1	33.3%			2	10.0%	1	6.3%	0	0.0%			2	6.5%	1	20.0%	0	0.0%	0	0.0%		
	4	0	0.0%	0	0.0%	0	0.0%	0.093	0.276	0	0.0%	0	0.0%	0	0.0%	0.581	-0.091	0	0.0%	0	0.0%	0	0.0%	0	0.0%	0.547	0.099
	3	0	0.0%	0	0.0%	0	0.0%			0	0.0%	0	0.0%	0	0.0%			0	0.0%	0	0.0%	0	0.0%	0	0.0%		
	2	0	0.0%	0	0.0%	0	0.0%			0	0.0%	0	0.0%	0	0.0%			0	0.0%	0	0.0%	0	0.0%	0	0.0%		
	1	0	0.0%	0	0.0%	0	0.0%			0	0.0%	0	0.0%	0	0.0%			0	0.0%	0	0.0%	0	0.0%	0	0.0%		
Via de administração da alimentação	via oral	0	0.0%	26	74.3%	2	66.7%			15	75.0%	11	68.8%	2	100.0%			25	80.6%	2	40.0%	0	0.0%	1	100.0%		
	SNG	0	0.0%	2	5.7%	0	0.0%	0.812	0.086	1	5.0%	1	6.3%	0	0.0%	1.000	-0.012	1	3.2%	0	0.0%	1	100.0%	0	0.0%	0.119	0.303
	PEG	0	0.0%	7	20.0%	1	33.3%			4	20.0%	4	25.0%	0	0.0%			5	16.1%	3	60.0%	0	0.0%	0	0.0%		
Consistência dos sólidos	dieta regular	0	0.0%	0	0.0%	0	0.0%			0	0.0%	0	0.0%	0	0.0%			0	0.0%	0	0.0%	0	0.0%	0	0.0%		
	dieta mole	0	0.0%	33	94.3%	2	66.7%	0.093	0.276	18	90.0%	15	93.8%	2	100.0%	0.581	-0.091	29	93.5%	4	80.0%	1	100.0%	1	100.0%	0.547	0.099
	dieta puré	0	0.0%	0	0.0%	0	0.0%			0	0.0%	0	0.0%	0	0.0%			0	0.0%	0	0.0%	0	0.0%	0	0.0%		
	SNG/PEG	0	0.0%	2	5.7%	1	33.3%			2	10.0%	1	6.3%	0	0.0%			2	6.5%	1	20.0%	0	0.0%	0	0.0%		
Consistência dos líquidos	finos	0	0.0%	25	96.2%	3	100.0%			13	92.9%	13	100.0%	2	100.0%			22	95.7%	5	100.0%	1	100.0%	0	0.0%		
	espessos	0	0.0%	0	0.0%	0	0.0%	0.734	-0.064	0	0.0%	0	0.0%	0	0.0%	0.316	-0.190	0	0.0%	0	0.0%	0	0.0%	0	0.0%	0.611	-0.096
	NPO líquidos	0	0.0%	1	3.8%	0	0.0%			1	7.1%	0	0.0%	0	0.0%			1	4.3%	0	0.0%	0	0.0%	0	0.0%		

Tabela 125 - Medidas descritivas, análise de correlação e diferenças estatísticas entre as variáveis sociodemográficas e clínicas e VED - momento de aspiração líquido e bolacha.

		VED momento de aspiração líquido										VED momento de aspiração bolacha									
		NA		pré-deglutição		durante deglutição		pós-deglutição		*p*	Correlação	NA		pré-deglutição		durante deglutição		pós-deglutição		*p*	Correlação
		N	%	N	%	N	%	N	%			N	%	N	%	N	%	N	%		
Idade											-0.238										-0.063
Sexo	Masculino	24	96.0%	2	100.0%	6	75.0%	2	66.7%	**0.048**	**0.326***	29	90.6%	0	0.0%	1	100.0%	4	80.0%	0.573	0.093
	Feminino	1	4.0%	0	0.0%	2	25.0%	1	33.3%			3	9.4%	0	0.0%	0	0.0%	1	20.0%		
Estado civil	Casado	12	48.0%	0	0.0%	6	75.0%	2	66.7%	0.595	-0.165	17	53.1%	0	0.0%	0	0.0%	3	60.0%	0.460	-0.049
	Solteiro	4	16.0%	1	50.0%	1	12.5%	0	0.0%			4	12.5%	0	0.0%	1	100.0%	1	20.0%		
	Divorciado	9	36.0%	1	50.0%	1	12.5%	1	33.3%			11	34.4%	0	0.0%	0	0.0%	1	20.0%		
	Viúvo	0	0.0%	0	0.0%	0	0.0%	0	0.0%			0	0.0%	0	0.0%	0	0.0%	0	0.0%		
Nível de escolaridade	Sem escolaridade	0	0.0%	0	0.0%	0	0.0%	0	0.0%	0.555	0.071	0	0.0%	0	0.0%	0	0.0%	0	0.0%	**0.011**	0.200
	1.º ciclo	11	44.0%	0	0.0%	2	25.0%	2	66.7%			15	46.9%	0	0.0%	0	0.0%	0	0.0%		
	2.º ciclo	6	24.0%	2	100.0%	2	25.0%	0	0.0%			7	21.9%	0	0.0%	1	100.0%	2	40.0%		
	3.º ciclo	2	8.0%	0	0.0%	3	37.5%	0	0.0%			2	6.3%	0	0.0%	0	0.0%	3	60.0%		
	secundário	3	12.0%	0	0.0%	0	0.0%	0	0.0%			3	9.4%	0	0.0%	0	0.0%	0	0.0%		
	Ensino superior	3	12.0%	0	0.0%	1	12.5%	1	33.3%			5	15.6%	0	0.0%	0	0.0%	0	0.0%		
Estadio TNM	0	0	0.0%	0	0.0%	0	0.0%	0	0.0%	0.476	0.061	0	0.0%	0	0.0%	0	0.0%	0	0.0%	0.436	0.124
	IA	0	0.0%	0	0.0%	0	0.0%	0	0.0%			0	0.0%	0	0.0%	0	0.0%	0	0.0%		
	IB	0	0.0%	0	0.0%	0	0.0%	0	0.0%			0	0.0%	0	0.0%	0	0.0%	0	0.0%		
	II	3	12.0%	0	0.0%	0	0.0%	0	0.0%			3	9.4%	0	0.0%	0	0.0%	0	0.0%		
	IIIA	0	0.0%	0	0.0%	0	0.0%	0	0.0%			0	0.0%	0	0.0%	0	0.0%	0	0.0%		
	IIIB	0	0.0%	0	0.0%	0	0.0%	0	0.0%			0	0.0%	0	0.0%	0	0.0%	0	0.0%		
	IV	0	0.0%	0	0.0%	0	0.0%	0	0.0%			0	0.0%	0	0.0%	0	0.0%	0	0.0%		
	Benigno/sem doença	0	0.0%	0	0.0%	0	0.0%	0	0.0%			0	0.0%	0	0.0%	0	0.0%	0	0.0%		
	IVa	15	60.0%	2	100.0%	5	62.5%	3	100.0%			21	65.6%	0	0.0%	1	100.0%	3	60.0%		
	IVb	3	12.0%	0	0.0%	0	0.0%	0	0.0%			3	9.4%	0	0.0%	0	0.0%	0	0.0%		
	III	3	12.0%	0	0.0%	2	25.0%	0	0.0%			3	9.4%	0	0.0%	0	0.0%	2	40.0%		
	I	1	4.0%	0	0.0%	1	12.5%	0	0.0%			2	6.3%	0	0.0%	0	0.0%	0	0.0%		
Problemas de saúde	não	21	84.0%	2	100.0%	5	62.5%	3	100.0%	0.654	0.074	28	87.5%	0	0.0%	1	100.0%	2	40.0%	**0.026**	**0.367***
	Sim	4	16.0%	0	0.0%	3	37.5%	0	0.0%			4	12.5%	0	0.0%	0	0.0%	3	60.0%		
Traqueostomia	Não	24	96.0%	1	50.0%	8	100.0%	3	100.0%	0.969		30	93.8%	0	0.0%	1	100.0%	5	100.0%	0.536	
	Sim	1	4.0%	1	50.0%	0	0.0%	0	0.0%			2	6.3%	0	0.0%	0	0.0%	0	0.0%		
EGC	Não	0	0.0%	0	0.0%	0	0.0%	0	0.0%		0.166	0	0.0%	0	0.0%	0	0.0%	0	0.0%		
	Sim	25	100.0%	2	100.0%	8	100.0%	3	100.0%			32	100.0%	0	0.0%	1	100.0%	5	100.0%		
Quantidade de Gy																					0.102
QT por CCP	Não	0	0.0%	0	0.0%	0	0.0%	0	0.0%		0.088	0	0.0%	0	0.0%	0	0.0%	0	0.0%		

		VED momento de aspiração líquido										VED momento de aspiração bolacha									
		NA		pré-deglutição		durante deglutição		pós-deglutição		*p*	Correlação	NA		pré-deglutição		durante deglutição		pós-deglutição		*p*	Correlação
		N	%	N	%	N	%	N	%			N	%	N	%	N	%	N	%		
	Sim	0	0.0%	0	0.0%	0	0.0%	0	0.0%			0	0.0%	0	0.0%	0	0.0%	0	0.0%		
Tempo término tratamento											-0.025										-0.081
Medicação diária	Não	5	20.0%	0	0.0%	3	37.5%	0	0.0%		0.051	4	12.5%	0	0.0%	1	100.0%	3	60.0%	**0.004**	**-0.474****
	Sim	20	80.0%	2	100.0%	5	62.5%	3	100.0%			28	87.5%	0	0.0%	0	0.0%	2	40.0%		
Disfagia	Não	17	68.0%	1	50.0%	5	62.5%	2	66.7%		-0.207	21	65.6%	0	0.0%	1	100.0%	3	60.0%		0.000
	Sim	8	32.0%	1	50.0%	3	37.5%	1	33.3%			11	34.4%	0	0.0%	0	0.0%	2	40.0%		
Disfonia	Não	22	88.0%	2	100.0%	8	100.0%	3	100.0%		-0.002	29	90.6%	0	0.0%	1	100.0%	5	100.0%		-0.127
	Sim	3	12.0%	0	0.0%	0	0.0%	0	0.0%			3	9.4%	0	0.0%	0	0.0%	0	0.0%		
Terapia	Não	14	56.0%	0	0.0%	4	50.0%	2	66.7%	0.781	-0.064	17	53.1%	0	0.0%	1	100.0%	2	40.0%	0.835	0.029
	Sim	5	20.0%	1	50.0%	2	25.0%	1	33.3%			8	25.0%	0	0.0%	0	0.0%	1	20.0%		
FOIS	7	23	92.0%	1	50.0%	8	100.0%	3	100.0%			29	90.6%	0	0.0%	1	100.0%	5	100.0%		
	6	0	0.0%	0	0.0%	0	0.0%	0	0.0%			0	0.0%	0	0.0%	0	0.0%	0	0.0%		
	5	2	8.0%	1	50.0%	0	0.0%	0	0.0%			3	9.4%	0	0.0%	0	0.0%	0	0.0%		
	4	0	0.0%	0	0.0%	0	0.0%	0	0.0%	0.699	-0.105	0	0.0%	0	0.0%	0	0.0%	0	0.0%	0.442	-0.127
	3	0	0.0%	0	0.0%	0	0.0%	0	0.0%			0	0.0%	0	0.0%	0	0.0%	0	0.0%		
	2	0	0.0%	0	0.0%	0	0.0%	0	0.0%			0	0.0%	0	0.0%	0	0.0%	0	0.0%		
	1	0	0.0%	0	0.0%	0	0.0%	0	0.0%			0	0.0%	0	0.0%	0	0.0%	0	0.0%		
Via de administração da alimentação	via oral	18	72.0%	1	50.0%	6	75.0%	3	100.0%			24	75.0%	0	0.0%	1	100.0%	3	60.0%		
	SNG	1	4.0%	0	0.0%	1	12.5%	0	0.0%	0.659	-0.064	1	3.1%	0	0.0%	0	0.0%	1	20.0%	0.377	0.037
	PEG	6	24.0%	1	50.0%	1	12.5%	0	0.0%			7	21.9%	0	0.0%	0	0.0%	1	20.0%		
Consistência dos sólidos	dieta regular	0	0.0%	0	0.0%	0	0.0%	0	0.0%			0	0.0%	0	0.0%	0	0.0%	0	0.0%		
	dieta mole	23	92.0%	1	50.0%	8	100.0%	3	100.0%	0.699		29	90.6%	0	0.0%	1	100.0%	5	100.0%	0.442	-0.127
	dieta puré	0	0.0%	0	0.0%	0	0.0%	0	0.0%			0	0.0%	0	0.0%	0	0.0%	0	0.0%		
	SNG/PEG	2	8.0%	1	50.0%	0	0.0%	0	0.0%			3	9.4%	0	0.0%	0	0.0%	0	0.0%		
Consistência dos líquidos	finos	18	94.7%	1	100.0%	7	100.0%	2	100.0%			22	95.7%	0	0.0%	1	100.0%	5	100.0%		
	espessos	0	0.0%	0	0.0%	0	0.0%	0	0.0%	0.477	-0.134	0	0.0%	0	0.0%	0	0.0%	0	0.0%	0.611	-0.096
	NPO líquidos	1	5.3%	0	0.0%	0	0.0%	0	0.0%			1	4.3%	0	0.0%	0	0.0%	0	0.0%		

Tabela 126 - Medidas descritivas, análise de correlação e diferenças estatísticas entre as variáveis sociodemográficas e clínicas e VED - PAS e escala de limpeza.

		VED PAS																		VED limpeza									
		1		2		3		4		5		6		7		8		*p*	Correlação	A - efetivo		B - moderadamente efetivo		C - ligeiramente efetivo		D - ineficaz		NA		*p*	Correlação
		N	%	N	%	N	%	N	%	N	%	N	%	N	%	N	%			N	%	N	%	N	%	N	%	N	%		
Idade																			**-0.359***											0.257
Sexo	Masculino	21	100.0%	8	88.9%	4	100.0%	1	33.3%	0	0.0%	0	0.0%	0	0.0%	0	0.0%	**0.002**	**0.502****	4	66.7%	5	100.0%	3	75.0%	1	50.0%	21	100.0%	**0.032**	**-0.353***
	Feminino	0	0.0%	1	11.1%	0	0.0%	2	66.7%	0	0.0%	0	0.0%	0	0.0%	1	100.0%			2	33.3%	0	0.0%	1	25.0%	1	50.0%	0	0.0%		
Estado civil	Casado	12	57.1%	5	55.6%	0	0.0%	3	100.0%	0	0.0%	0	0.0%	0	0.0%	0	0.0%	0.811	0.101	4	66.7%	1	20.0%	2	50.0%	1	50.0%	12	57.1%	0.914	-0.070
	Solteiro	3	14.3%	1	11.1%	2	50.0%	0	0.0%	0	0.0%	0	0.0%	0	0.0%	0	0.0%			0	0.0%	2	40.0%	1	25.0%	0	0.0%	3	14.3%		
	Divorciado	6	28.6%	3	33.3%	2	50.0%	0	0.0%	0	0.0%	0	0.0%	0	0.0%	1	100.0%			2	33.3%	2	40.0%	1	25.0%	1	50.0%	6	28.6%		
	Viúvo	0	0.0%	0	0.0%	0	0.0%	0	0.0%	0	0.0%	0	0.0%	0	0.0%	0	0.0%			0	0.0%	0	0.0%	0	0.0%	0	0.0%	0	0.0%		
Nível de escolaridade	Sem escolaridade	0	0.0%	0	0.0%	0	0.0%	0	0.0%	0	0.0%	0	0.0%	0	0.0%	0	0.0%	0.559	-0.087	0	0.0%	0	0.0%	0	0.0%	0	0.0%	0	0.0%	0.395	0.136
	1.º ciclo	8	38.1%	3	33.3%	2	50.0%	1	33.3%	0	0.0%	0	0.0%	0	0.0%	1	100.0%			3	50.0%	3	60.0%	0	0.0%	1	50.0%	8	38.1%		
	2.º ciclo	5	23.8%	4	44.4%	1	25.0%	0	0.0%	0	0.0%	0	0.0%	0	0.0%	0	0.0%			1	16.7%	1	20.0%	3	75.0%	0	0.0%	5	23.8%		
	3.º ciclo	2	9.5%	1	11.1%	1	25.0%	1	33.3%	0	0.0%	0	0.0%	0	0.0%	0	0.0%			2	33.3%	1	20.0%	0	0.0%	0	0.0%	2	9.5%		
	secundário	3	14.3%	0	0.0%	0	0.0%	0	0.0%	0	0.0%	0	0.0%	0	0.0%	0	0.0%			0	0.0%	0	0.0%	0	0.0%	0	0.0%	3	14.3%		
	Ensino superior	3	14.3%	1	11.1%	0	0.0%	1	33.3%	0	0.0%	0	0.0%	0	0.0%	0	0.0%			0	0.0%	0	0.0%	1	25.0%	1	50.0%	3	14.3%		
Estadio TNM	0	0	0.0%	0	0.0%	0	0.0%	0	0.0%	0	0.0%	0	0.0%	0	0.0%	0	0.0%	0.599	-0.050	0	0.0%	0	0.0%	0	0.0%	0	0.0%	0	0.0%	0.611	0.058
	IA	0	0.0%	0	0.0%	0	0.0%	0	0.0%	0	0.0%	0	0.0%	0	0.0%	0	0.0%			0	0.0%	0	0.0%	0	0.0%	0	0.0%	0	0.0%		
	IB	0	0.0%	0	0.0%	0	0.0%	0	0.0%	0	0.0%	0	0.0%	0	0.0%	0	0.0%			0	0.0%	0	0.0%	0	0.0%	0	0.0%	0	0.0%		
	II	2	9.5%	0	0.0%	1	25.0%	0	0.0%	0	0.0%	0	0.0%	0	0.0%	0	0.0%			0	0.0%	1	20.0%	0	0.0%	0	0.0%	2	9.5%		
	IIIA	0	0.0%	0	0.0%	0	0.0%	0	0.0%	0	0.0%	0	0.0%	0	0.0%	0	0.0%			0	0.0%	0	0.0%	0	0.0%	0	0.0%	0	0.0%		
	IIIB	0	0.0%	0	0.0%	0	0.0%	0	0.0%	0	0.0%	0	0.0%	0	0.0%	0	0.0%			0	0.0%	0	0.0%	0	0.0%	0	0.0%	0	0.0%		
	IV	0	0.0%	0	0.0%	0	0.0%	0	0.0%	0	0.0%	0	0.0%	0	0.0%	0	0.0%			0	0.0%	0	0.0%	0	0.0%	0	0.0%	0	0.0%		
	Benigno/ sem doença	0	0.0%	0	0.0%	0	0.0%	0	0.0%	0	0.0%	0	0.0%	0	0.0%	0	0.0%			0	0.0%	0	0.0%	0	0.0%	0	0.0%	0	0.0%		
	IVa	12	57.1%	8	88.9%	3	75.0%	1	33.3%	0	0.0%	0	0.0%	0	0.0%	1	100.0%			4	66.7%	4	80.0%	3	75.0%	2	100.0%	12	57.1%		
	IVb	3	14.3%	0	0.0%	0	0.0%	0	0.0%	0	0.0%	0	0.0%	0	0.0%	0	0.0%			0	0.0%	0	0.0%	0	0.0%	0	0.0%	3	14.3%		
	III	3	14.3%	1	11.1%	0	0.0%	1	33.3%	0	0.0%	0	0.0%	0	0.0%	0	0.0%			2	33.3%	0	0.0%	0	0.0%	0	0.0%	3	14.3%		
	I	1	4.8%	0	0.0%	0	0.0%	1	33.3%	0	0.0%	0	0.0%	0	0.0%	0	0.0%			0	0.0%	0	0.0%	1	25.0%	0	0.0%	1	4.8%		
Problemas de saúde	não	17	81.0%	7	77.8%	4	100.0%	2	66.7%	0	0.0%	0	0.0%	0	0.0%	1	100.0%	0.851	-0.031	4	66.7%	5	100.0%	3	75.0%	2	100.0%	17	81.0%	0.868	-0.027
	Sim	4	19.0%	2	22.2%	0	0.0%	1	33.3%	0	0.0%	0	0.0%	0	0.0%	0	0.0%			2	33.3%	0	0.0%	1	25.0%	0	0.0%	4	19.0%		
Traqueostomia	Não	20	95.2%	9	100.0%	3	75.0%	3	100.0%	0	0.0%	0	0.0%	0	0.0%	1	100.0%	0.745		6	100.0%	4	80.0%	4	100.0%	2	100.0%	20	95.2%	0.885	
	Sim	1	4.8%	0	0.0%	1	25.0%	0	0.0%	0	0.0%	0	0.0%	0	0.0%	0	0.0%			0	0.0%	1	20.0%	0	0.0%	0	0.0%	1	4.8%		
EGC	Não	0	0.0%	0	0.0%	0	0.0%	0	0.0%	0	0.0%	0	0.0%	0	0.0%	0	0.0%			0	0.0%	0	0.0%	0	0.0%	0	0.0%	0	0.0%		
	Sim	21	100.0%	9	100.0%	4	100.0%	3	100.0%	0	0.0%	0	0.0%	0	0.0%	1	100.0%			6	100.0%	5	100.0%	4	100.0%	2	100.0%	21	100.0%		

		VED PAS																		VED limpeza									
		1		2		3		4		5		6		7		8		*p*	Correlação	A - efetivo		B - moderadamente efetivo		C - ligeiramente efetivo		D - ineficaz		NA		*p*	Correlação
		N	%	N	%	N	%	N	%	N	%	N	%	N	%	N	%			N	%	N	%	N	%	N	%	N	%		
Quantidade de Gy																			0.202												-0.201
QT por CCP	Não	0	0.0%	0	0.0%	0	0.0%	0	0.0%	0	0.0%	0	0.0%	0	0.0%	0	0.0%			0	0.0%	0	0.0%	0	0.0%	0	0.0%	0	0.0%		
	Sim	0	0.0%	0	0.0%	0	0.0%	0	0.0%	0	0.0%	0	0.0%	0	0.0%	0	0.0%			0	0.0%	0	0.0%	0	0.0%	0	0.0%	0	0.0%		
Tempo término tratamento																			0.079												-0.116
Medicação diária	Não	4	19.0%	3	33.3%	1	25.0%	0	0.0%	0	0.0%	0	0.0%	0	0.0%	0	0.0%		0.010	1	16.7%	1	20.0%	2	50.0%	0	0.0%	4	19.0%		0.029
	Sim	17	81.0%	6	66.7%	3	75.0%	3	100.0%	0	0.0%	0	0.0%	0	0.0%	1	100.0%			5	83.3%	4	80.0%	2	50.0%	2	100.0%	17	81.0%		
Disfagia	Não	15	71.4%	6	66.7%	1	25.0%	2	66.7%	0	0.0%	0	0.0%	0	0.0%	1	100.0%		0.134	4	66.7%	2	40.0%	3	75.0%	1	50.0%	15	71.4%		-0.120
	Sim	6	28.6%	3	33.3%	3	75.0%	1	33.3%	0	0.0%	0	0.0%	0	0.0%	0	0.0%			2	33.3%	3	60.0%	1	25.0%	1	50.0%	6	28.6%		
Disfonia	Não	18	85.7%	9	100.0%	4	100.0%	3	100.0%	0	0.0%	0	0.0%	0	0.0%	1	100.0%		-0.251	6	100.0%	5	100.0%	4	100.0%	2	100.0%	18	85.7%		0.250
	Sim	3	14.3%	0	0.0%	0	0.0%	0	0.0%	0	0.0%	0	0.0%	0	0.0%	0	0.0%			0	0.0%	0	0.0%	0	0.0%	0	0.0%	3	14.3%		
Terapia	Não	12	57.1%	6	66.7%	0	0.0%	1	33.3%	0	0.0%	0	0.0%	0	0.0%	1	100.0%	0.365	0.149	3	50.0%	0	0.0%	3	75.0%	2	100.0%	12	57.1%	0.334	-0.136
	Sim	5	23.8%	2	22.2%	1	25.0%	1	33.3%	0	0.0%	0	0.0%	0	0.0%	0	0.0%			2	33.3%	2	40.0%	0	0.0%	0	0.0%	5	23.8%		
FOIS	7	19	90.5%	9	100.0%	3	75.0%	3	100.0%	0	0.0%	0	0.0%	0	0.0%	1	100.0%			6	100.0%	4	80.0%	4	100.0%	2	100.0%	19	90.5%		
	6	0	0.0%	0	0.0%	0	0.0%	0	0.0%	0	0.0%	0	0.0%	0	0.0%	0	0.0%			0	0.0%	0	0.0%	0	0.0%	0	0.0%	0	0.0%		
	5	2	9.5%	0	0.0%	1	25.0%	0	0.0%	0	0.0%	0	0.0%	0	0.0%	0	0.0%			0	0.0%	1	20.0%	0	0.0%	0	0.0%	2	9.5%		
	4	0	0.0%	0	0.0%	0	0.0%	0	0.0%	0	0.0%	0	0.0%	0	0.0%	0	0.0%	0.811	-0.039	0	0.0%	0	0.0%	0	0.0%	0	0.0%	0	0.0%	0.698	0.064
	3	0	0.0%	0	0.0%	0	0.0%	0	0.0%	0	0.0%	0	0.0%	0	0.0%	0	0.0%			0	0.0%	0	0.0%	0	0.0%	0	0.0%	0	0.0%		
	2	0	0.0%	0	0.0%	0	0.0%	0	0.0%	0	0.0%	0	0.0%	0	0.0%	0	0.0%			0	0.0%	0	0.0%	0	0.0%	0	0.0%	0	0.0%		
	1	0	0.0%	0	0.0%	0	0.0%	0	0.0%	0	0.0%	0	0.0%	0	0.0%	0	0.0%			0	0.0%	0	0.0%	0	0.0%	0	0.0%	0	0.0%		
Via de administração da alimentação	via oral	16	76.2%	8	88.9%	1	25.0%	2	66.7%	0	0.0%	0	0.0%	0	0.0%	1	100.0%			5	83.3%	2	40.0%	3	75.0%	2	100.0%	16	76.2%		
	SNG	1	4.8%	0	0.0%	0	0.0%	1	33.3%	0	0.0%	0	0.0%	0	0.0%	0	0.0%	0.735	0.099	1	16.7%	0	0.0%	0	0.0%	0	0.0%	1	4.8%	0.846	-0.047
	PEG	4	19.0%	1	11.1%	3	75.0%	0	0.0%	0	0.0%	0	0.0%	0	0.0%	0	0.0%			0	0.0%	3	60.0%	1	25.0%	0	0.0%	4	19.0%		
Consistência dos sólidos	dieta regular	0	0.0%	0	0.0%	0	0.0%	0	0.0%	0	0.0%	0	0.0%	0	0.0%	0	0.0%			0	0.0%	0	0.0%	0	0.0%	0	0.0%	0	0.0%		
	dieta mole	19	90.5%	9	100.0%	3	75.0%	3	100.0%	0	0.0%	0	0.0%	0	0.0%	1	100.0%	0.811	-0.039	6	100.0%	4	80.0%	4	100.0%	2	100.0%	19	90.5%	0.698	0.064
	dieta puré	0	0.0%	0	0.0%	0	0.0%	0	0.0%	0	0.0%	0	0.0%	0	0.0%	0	0.0%			0	0.0%	0	0.0%	0	0.0%	0	0.0%	0	0.0%		
	SNG/PEG	2	9.5%	0	0.0%	1	25.0%	0	0.0%	0	0.0%	0	0.0%	0	0.0%	0	0.0%			0	0.0%	1	20.0%	0	0.0%	0	0.0%	2	9.5%		
Consistência dos líquidos	finos	14	93.3%	7	100.0%	4	100.0%	2	100.0%	0	0.0%	0	0.0%	0	0.0%	1	100.0%			4	100.0%	4	100.0%	4	100.0%	2	100.0%	14	93.3%		
	espessos	0	0.0%	0	0.0%	0	0.0%	0	0.0%	0	0.0%	0	0.0%	0	0.0%	0	0.0%	0.363	-0.172	0	0.0%	0	0.0%	0	0.0%	0	0.0%	0	0.0%	0.365	0.171
	NPO líquidos	1	6.7%	0	0.0%	0	0.0%	0	0.0%	0	0.0%	0	0.0%	0	0.0%	0	0.0%			0	0.0%	0	0.0%	0	0.0%	0	0.0%	1	6.7%		

Tabela 127 - Medidas descritivas, análise de correlação e diferenças estatísticas entre as variáveis sociodemográficas e clínicas e VED - pudim latência e tempo de latência, *whiteout* pudim.

		VED pudim latência								VED pudim tempo de latência									VED pudim whiteout							
		normal		alterada		não testado		*p*	Correlação	N	%	Média	Mediana	DP	25	75	*p*	Correlação	normal		alterada		não testado		*p*	Correlação
		N	%	N	%	N	%												N	%	N	%	N	%		
Idade									-0.137									-0.133								0.023
Sexo	Masculino	8	88.9%	25	89.3%	1	100.0%	0.877	-0.026	34	100.0%	2.6	1.8	2.8	1.1	2.9	0.788	0.045	0	0.0%	33	89.2%	1	100.0%	0.732	-0.056
	Feminino	1	11.1%	3	10.7%	0	0.0%			4	100.0%	2.5	2.3	2.0	1.0	4.1			0	0.0%	4	10.8%	0	0.0%		
Estado civil	Casado	3	33.3%	16	57.1%	1	100.0%	0.183	-0.286	20	100.0%	2.8	2.6	1.9	1.3	4.2	**0.049**	**-0.381***	0	0.0%	19	51.4%	1	100.0%	0.638	-0.149
	Solteiro	1	11.1%	5	17.9%	0	0.0%			6	100.0%	4.1	1.9	5.6	1.3	4.0			0	0.0%	6	16.2%	0	0.0%		
	Divorciado	5	55.6%	7	25.0%	0	0.0%			12	100.0%	1.3	1.1	0.9	0.6	2.2			0	0.0%	12	32.4%	0	0.0%		
	Viúvo	0	0.0%	0	0.0%	0	0.0%			0	0.0%								0	0.0%	0	0.0%	0	0.0%		
Nível de escolaridade	Sem escolaridade	0	0.0%	0	0.0%	0	0.0%	0.623	-0.237	0	0.0%						0.397	-0.143	0	0.0%	0	0.0%	0	0.0%	0.821	-0.180
	1.º ciclo	2	22.2%	12	42.9%	1	100.0%			15	100.0%	2.7	2.2	2.0	1.3	3.6			0	0.0%	14	37.8%	1	100.0%		
	2.º ciclo	3	33.3%	7	25.0%	0	0.0%			10	100.0%	1.7	1.6	1.1	0.8	1.9			0	0.0%	10	27.0%	0	0.0%		
	3.º ciclo	1	11.1%	4	14.3%	0	0.0%			5	100.0%	5.3	4.2	5.9	1.2	4.9			0	0.0%	5	13.5%	0	0.0%		
	secundário	1	11.1%	2	7.1%	0	0.0%			3	100.0%	1.2	1.2	0.4	0.7	1.6			0	0.0%	3	8.1%	0	0.0%		
	Ensino superior	2	22.2%	3	10.7%	0	0.0%			5	100.0%	1.9	2.6	1.4	0.5	2.9			0	0.0%	5	13.5%	0	0.0%		
Estadio TNM	0	0	0.0%	0	0.0%	0	0.0%	0.158	0.311	0	0.0%						0.723	0.205	0	0.0%	0	0.0%	0	0.0%	**0.020**	0.187
	IA	0	0.0%	0	0.0%	0	0.0%			0	0.0%								0	0.0%	0	0.0%	0	0.0%		
	IB	0	0.0%	0	0.0%	0	0.0%			0	0.0%								0	0.0%	0	0.0%	0	0.0%		
	II	2	22.2%	1	3.6%	0	0.0%			3	100.0%	1.6	1.0	1.1	0.8	2.9			0	0.0%	3	8.1%	0	0.0%		
	IIIA	0	0.0%	0	0.0%	0	0.0%			0	0.0%								0	0.0%	0	0.0%	0	0.0%		
	IIIB	0	0.0%	0	0.0%	0	0.0%			0	0.0%								0	0.0%	0	0.0%	0	0.0%		
	IV	0	0.0%	0	0.0%	0	0.0%			0	0.0%								0	0.0%	0	0.0%	0	0.0%		
	Benigno/sem doença	0	0.0%	0	0.0%	0	0.0%			0	0.0%								0	0.0%	0	0.0%	0	0.0%		
	IVa	6	66.7%	19	67.9%	0	0.0%			25	100.0%	2.6	1.8	3.1	1.1	2.9			0	0.0%	25	67.6%	0	0.0%		
	IVb	0	0.0%	2	7.1%	1	100.0%			3	100.0%	1.6	1.6	0.4	1.3	1.9			0	0.0%	2	5.4%	1	100.0%		
	III	1	11.1%	4	14.3%	0	0.0%			5	100.0%	3.3	4.2	2.3	1.4	4.9			0	0.0%	5	13.5%	0	0.0%		
	I	0	0.0%	2	7.1%	0	0.0%			2	100.0%	2.5	2.5	1.2	1.6	3.3			0	0.0%	2	5.4%	0	0.0%		
Problemas de saúde	não	8	88.9%	22	78.6%	1	100.0%	0.641	0.077	31	100.0%	2.5	1.5	2.9	1.0	2.9	0.394	0.142	0	0.0%	30	81.1%	1	100.0%	0.635	-0078
	Sim	1	11.1%	6	21.4%	0	0.0%			7	100.0%	2.7	1.9	1.7	1.2	4.2			0	0.0%	7	18.9%	0	0.0%		
Traqueostomia	Não	8	88.9%	27	96.4%	1	100.0%	0.370		38	100.0%	2.5	1.8	2.7	1.1	3.3	0.460		0	0.0%	35	94.6%	1	100.0%	0.814	
	Sim	1	11.1%	1	3.6%	0	0.0%			0	0.0%								0	0.0%	2	5.4%	0	0.0%		
EGC	Não	0	0.0%	0	0.0%	0	0.0%			0	0.0%								0	0.0%	0	0.0%	0	0.0%		
	Sim	9	100.0%	28	100.0%	1	100.0%			38	100.0%	2.5	1.8	2.7	1.1	3.3			0	0.0%	37	100.0%	1	100.0%		
Quantidade de Gy									0.147									0.123								.039
QT por CCP	Não	0	0.0%	0	0.0%	0	0.0%			0	0.0%								0	0.0%	0	0.0%	0	0.0%		

		VED pudim latência								VED pudim tempo de latência									VED pudim whiteout							
		normal		alterada		não testado		*p*	Correlação	N	%	Média	Mediana	DP	25	75	*p*	Correlação	normal		alterada		não testado		*p*	Correlação
		N	%	N	%	N	%												N	%	N	%	N	%		
	Sim	0	0.0%	0	0.0%	0	0.0%			0	0.0%								0	0.0%	0	0.0%	0	0.0%		
Tempo término tratamento									-0.240									-0.102								-0.204
Medicação diária	Não	1	11.1%	6	21.4%	1	100.0%		-0.215	8	100.0%	4.4	2.5	5.1	1.3	5.5		-0.213	0	0.0%	7	18.9%	1	100.0%		-0.318
	Sim	8	88.9%	22	78.6%	0	0.0%			30	100.0%	2.1	1.6	1.6	1.0	2.9			0	0.0%	30	81.1%	0	0.0%		
Disfagia	Não	7	77.8%	18	64.3%	0	0.0%		0.195	25	100.0%	2.6	1.4	3.2	1.0	3.3		0.119	0	0.0%	25	67.6%	0	0.0%		0.228
	Sim	2	22.2%	10	35.7%	1	100.0%			13	100.0%	2.4	2.2	1.4	1.3	3.2			0	0.0%	12	32.4%	1	100.0%		
Disfonia	Não	6	66.7%	28	100.0%	1	100.0%	**0.002**	**-0.505****	35	100.0%	2.7	1.9	2.8	1.2	3.5	**0.030**	**-0.362***	0	0.0%	34	91.9%	1	100.0%		-0.048
	Sim	3	33.3%	0	0.0%	0	0.0%			3	100.0%	0.7	0.8	0.4	0.3	1.0			0	0.0%	3	8.1%	0	0.0%		
Terapia	Não	5	55.6%	14	50.0%	1	100.0%	0.939	-0.023	20	100.0%	2.1	1.6	1.5	0.7	3.3	0.595	0.075	0	0.0%	19	51.4%	1	100.0%	0.343	-0.147
	Sim	2	22.2%	7	25.0%	0	0.0%			9	100.0%	3.7	1.4	4.9	1.1	3.5			0	0.0%	9	24.3%	0	0.0%		
FOIS	7	8	88.9%	26	92.9%	1	100.0%			35	100.0%	2.7	1.8	2.8	1.1	3.5			0	0.0%	34	91.9%	1	100.0%		
	6	0	0.0%	0	0.0%	0	0.0%			0	0.0%								0	0.0%	0	0.0%	0	0.0%		
	5	1	11.1%	2	7.1%	0	0.0%			3	100.0%	1.3	1.4	0.6	0.7	1.9			0	0.0%	3	8.1%	0	0.0%		
	4	0	0.0%	0	0.0%	0	0.0%	0.646	-0.075	0	0.0%						0.469	-0.121	0	0.0%	0	0.0%	0	0.0%	0.770	-0.048
	3	0	0.0%	0	0.0%	0	0.0%			0	0.0%								0	0.0%	0	0.0%	0	0.0%		
	2	0	0.0%	0	0.0%	0	0.0%			0	0.0%								0	0.0%	0	0.0%	0	0.0%		
	1	0	0.0%	0	0.0%	0	0.0%			0	0.0%								0	0.0%	0	0.0%	0	0.0%		
Via de administração da alimentação	via oral	6	66.7%	21	75.0%	1	100.0%			28	100.0%	2.7	1.6	3.0	1.1	3.5			0	0.0%	27	73.0%	1	100.0%		
	SNG	1	11.1%	1	3.6%	0	0.0%	0.631	-0.102	2	100.0%	2.7	2.7	3.1	0.5	4.9	0.992	-0.004	0	0.0%	2	5.4%	0	0.0%	0.836	-0.097
	PEG	2	22.2%	6	21.4%	0	0.0%			5	100.0%	2.6	2.5	1.4	1.8	2.9			0	0.0%	8	21.6%	0	0.0%		
Consistência dos sólidos	dieta regular	0	0.0%	0	0.0%	0	0.0%			0	0.0%								0	0.0%	0	0.0%	0	0.0%		
	dieta mole	8	88.9%	26	92.9%	1	100.0%	0.646	-0.075	35	100.0%	2.7	1.8	2.8	1.1	3.5	0.469	-0.121	0	0.0%	34	91.9%	1	100.0%	0.770	-0.048
	dieta puré	0	0.0%	0	0.0%	0	0.0%			0	0.0%								0	0.0%	0	0.0%	0	0.0%		
	SNG/PEG	1	11.1%	2	7.1%	0	0.0%			3	100.0%	1.3	1.4	0.6	0.7	1.9			0	0.0%	3	8.1%	0	0.0%		
Consistência dos líquidos	finos	8	100.0%	19	95.0%	1	100.0%			28	96.6%	2.5	1.6	3	0.7	3.3			0	0.0%	27	96.4%	1	100.0%		
	espessos	0	0.0%	0	0.0%	0	0.0%	0.604	0.098	0	0.0%						0.853	0.036	0	0.0%	0	0.0%	0	0.0%	0.850	-0.036
	NPO líquidos	0	0.0%	1	5.0%	0	0.0%			1	3.4%	1.9	1.9		1.9	1.9			0	0.0%	1	3.6%	0	0.0%		

Tabela 128 - Medidas descritivas, análise de correlação e diferenças estatísticas entre as variáveis sociodemográficas e clínicas e VED - pudim - tempo de encerramento da via aérea; líquido - latência e tempo de latência.

		VED pudim tempo de encerramento da VA									VED líquido latência								VED líquido tempo de latência								
											normal		alterada		não testado												
		N	%	Média	Mediana	DP	25	75	*p*	Correlação	N	%	N	%	N	%	*p*	Correlação	N	%	Média	Mediana	DP	25	75	*p*	Correlação
Idade										-0.135								-0.204									-0.-484**
Sexo	Masculino	34	100.0%	1.6	1.1	1.2	0.9	2.2	0.525	0.106	10	100.0%	23	88.5%	1	50.0%	0.079	0.288	34	100.0%	2.7	1.7	2.3	0.9	3.8	0.440	0.131
	Feminino	4	100.0%	1.7	1.4	1.0	1.0	2.4			0	0.0%	3	11.5%	1	50.0%			4	100.0%	3.3	3.2	1.9	1.5	5.2		
Estado civil	Casado	20	100.0%	1.6	1.1	1.3	0.9	2.2	0.526	-0.050	8	80.0%	11	42.3%	1	50.0%	0.167	0.311	20	100.0%	1.9	1.1	1.7	0.8	3.2	**0.032**	0.395*
	Solteiro	6	100.0%	2.1	2.0	1.3	0.9	2.9			1	10.0%	5	19.2%	0	0.0%			6	100.0%	4.4	4.7	3.1	1.0	6.5		
	Divorciado	12	100.0%	1.3	1.2	0.7	0.7	1.7			1	10.0%	10	38.5%	1	50.0%			12	100.0%	3.3	3.1	2.1	1.3	5.7		
	Viúvo	0	0.0%								0	0.0%	0	0.0%	0	0.0%			0	0.0%							
Nível de escolaridade	Sem escolaridade	0	0.0%						0.736	0073	0	0.0%	0	0.0%	0	0.0%	0.908	-0.141	0	0.0%						0.207	-0.025
	1.º ciclo	15	100.0%	1.5	1.0	1.3	0.9	1.6			4	40.0%	9	34.6%	2	100.0%			15	100.0%	2.1	1.2	1.8	0.9	3.1		
	2.º ciclo	10	100.0%	1.9	2.0	1.2	0.9	2.6			2	20.0%	8	30.8%	0	0.0%			10	100.0%	4.2	4.7	2.7	1.0	6.3		
	3.º ciclo	5	100.0%	1.4	1.1	1.0	0.8	1.4			1	10.0%	4	15.4%	0	0.0%			5	100.0%	3.1	3.3	1.6	2.7	3.5		
	secundário	3	100.0%	1.9	1.3	1.1	1.3	3.2			1	10.0%	2	7.7%	0	0.0%			3	100.0%	2.4	1.3	2.8	0.3	5.5		
	Ensino superior	5	100.0%	1.4	1.0	0.8	0.9	1.6			2	20.0%	3	11.5%	0	0.0%			5	100.0%	1.6	1.0	1.1	0.8	2.3		
Estadio TNM	0	0	0.0%						0.767	0.165	0	0.0%	0	0.0%	0	0.0%	0.385	-0.018	0	0.0%						0.519	-0.188
	IA	0	0.0%								0	0.0%	0	0.0%	0	0.0%			0	0.0%							
	IB	0	0.0%								0	0.0%	0	0.0%	0	0.0%			0	0.0%							
	II	3	100.0%	0.9	0.9	0.1	0.9	1.1			1	10.0%	2	7.7%	0	0.0%			3	100.0%	2.5	3.1	1.4	0.9	3.5		
	IIIA	0	0.0%								0	0.0%	0	0.0%	0	0.0%			0	0.0%							
	IIIB	0	0.0%								0	0.0%	0	0.0%	0	0.0%			0	0.0%							
	IV	0	0.0%								0	0.0%	0	0.0%	0	0.0%			0	0.0%							
	Benigno/ sem doença	0	0.0%								0	0.0%	0	0.0%	0	0.0%			0	0.0%							
	IVa	25	100.0%	1.7	1.1	1.3	0.8	2.5			6	60.0%	18	69.2%	1	50.0%			25	100.0%	3.0	2.2	2.3	1.0	5.1		
	IVb	3	100.0%	1.4	1.4	0.3	1.1	1.6			0	0.0%	2	7.7%	1	50.0%			3	100.0%	3.8	3.8	3.8	1.1	6.5		
	III	5	100.0%	1.8	1.6	0.9	1.5	2.2			2	20.0%	3	11.5%	0	0.0%			5	100.0%	1.8	1.0	1.9	0.8	1.1		
	I	2	100.0%	1.2	1.2	0.2	1.0	1.3			1	10.0%	1	3.8%	0	0.0%			2	100.0%	1.7	1.7	2.1	0.3	3.2		
Problemas de saúde	não	31	100.0%	1.6	1.2	1.1	0.9	2.2	0.522	-0.107	9	90.0%	20	76.9%	2	100.0%	0.643	0.076	31	100.0%	2.5	1.3	2.2	0.9	3.5	0.134	0.253
	Sim	7	100.0%	1.6	0.9	1.4	0.6	3.0			1	10.0%	6	23.1%	0	0.0%			7	100.0%	3.9	3.6	2.2	2.1	6.2		
Traqueostomia	Não	38	100.0%	1.6	1.1	1.1	0.9	2.2	0.814	-0.006	10	100.0%	24	92.3%	2	100.0%	0.520		38	100.0%	2.8	1.9	2.2	0.9	4.3	0.084	
	Sim	0	0.0%								0	0.0%	2	7.7%	0	0.0%			0	0.0%							
EGC	Não	0	0.0%								0	0.0%	0	0.0%	0	0.0%		0.132	0	0.0%							
	Sim	38	100.0%	1.6	1.1	1.1	0.9	2.2			10	100.0%	26	100.0%	2	100.0%			38	100.0%	2.8	1.9	2.2	0.9	4.3		

		VED pudim tempo de encerramento da VA									VED líquido latência								VED líquido tempo de latência							
		N	%	Média	Mediana	DP	25	75	*p*	Correlação	normal		alterada		não testado		*p*	Correlação	N	%	Média	Mediana	DP	25	75	*p*	Correlação
											N	%	N	%	N	%											
Quantidade de Gy										-0.094																	0.128
QT por CCP	Não	0	0.0%							-0.032	0	0.0%	0	0.0%	0	0.0%		-0.229	0	0.0%							
	Sim	0	0.0%								0	0.0%	0	0.0%	0	0.0%			0	0.0%							
Tempo término tratamento										0.114								0.188									**-0.373***
Medicação diária	Não	8	100.0%	1.6	1.3	0.9	0.8	2.5		-0.046	4	40.0%	3	11.5%	1	50.0%		-0.037	8	100.0%	1.8	1.0	1.9	0.7	3.3		0.260
	Sim	30	100.0%	1.6	1.1	1.2	0.9	2.2			6	60.0%	23	88.5%	1	50.0%			30	100.0%	3.0	2.3	2.3	1.0	4.7		
Disfagia	Não	25	100.0%	1.6	1.1	1.3	0.9	1.6		-0.230	6	60.0%	18	69.2%	1	50.0%		-0.066	25	100.0%	2.8	1.9	2.1	1.0	4.3		-0.074
	Sim	13	100.0%	1.7	1.2	0.9	1.0	2.5			4	40.0%	8	30.8%	1	50.0%			13	100.0%	2.8	1.9	2.5	0.8	4.2		
Disfonia	Não	35	100.0%	1.7	1.2	1.2	0.9	2.5		0.051	9	90.0%	24	92.3%	2	100.0%		0.053	35	100.0%	2.9	2.1	2.3	1.0	4.7		-0.102
	Sim	3	100.0%	1.2	1.1	0.4	0.9	1.6			1	10.0%	2	7.7%	0	0.0%			3	100.0%	1.8	1.0	1.5	0.9	3.5		
Terapia	Não	20	100.0%	1.7	1.5	0.9	1.0	2.5	0.080	-0.108	6	60.0%	12	46.2%	2	100.0%	1.000	0.131	20	100.0%	2.4	1.2	2.2	0.9	3.2	0.229	0.208
	Sim	9	100.0%	1.6	0.8	1.8	0.7	1.1			3	30.0%	6	23.1%	0	0.0%			9	100.0%	3.1	3.3	2.2	0.9	4.7		
FOIS	7	35	100.0%	1.6	1.1	1.2	0.9	1.9			10	100.0%	23	88.5%	2	100.0%			35	100.0%	2.6	1.7	2.1	0.9	3.8		
	6	0	0.0%								0	0.0%	0	0.0%	0	0.0%			0	0.0%							
	5	3	100.0%	1.8	2.2	1.1	0.6	2.6			0	0.0%	3	11.5%	0	0.0%			3	100.0%	4.3	3.6	3.6	1.1	8.3		
	4	0	0.0%						0.759	0.051	0	0.0%	0	0.0%	0	0.0%	0.425	0.055	0	0.0%						0.264	0.189
	3	0	0.0%								0	0.0%	0	0.0%	0	0.0%			0	0.0%							
	2	0	0.0%								0	0.0%	0	0.0%	0	0.0%			0	0.0%							
	1	0	0.0%								0	0.0%	0	0.0%	0	0.0%			0	0.0%							
Via de administração da alimentação	via oral	28	100.0%	1.7	1.3	1.2	0.9	2.5			8	80.0%	18	69.2%	2	100.0%			28	100.0%	2.7	1.4	2.2	0.9	4.7		
	SNG	2	100.0%	1.9	1.9	1.6	0.8	3.0	0.696		1	10.0%	1	3.8%	0	0.0%	0.632	0.131	2	100.0%	3.0	3.0	3.1	0.8	5.2	0.882	0.091
	PEG	5	100.0%	1.0	1.0	0.1	0.9	1.0			1	10.0%	7	26.9%	0	0.0%			5	100.0%	2.2	2.1	1.2	1.7	3.1		
Consistência dos sólidos	dieta regular	0	0.0%								0	0.0%	0	0.0%	0	0.0%			0	0.0%							
	dieta mole	35	100.0%	1.6	1.1	1.2	0.9	1.9	0.759		10	100.0%	23	88.5%	2	100.0%	0.425		35	100.0%	2.6	1.7	2.1	0.9	3.8	0.264	0.189
	dieta puré	0	0.0%								0	0.0%	0	0.0%	0	0.0%			0	0.0%							
	SNG/PEG	3	100.0%	1.8	2.2	1.1	0.6	2.6			0	0.0%	3	11.5%	0	0.0%			3	100.0%	4.3	3.6	3.6	1.1	8.3		
Consistência dos líquidos	finos	28	96.6%	1.6	1.3	0.8	1	2.5			8	100.0%	18	94.7%	2	100.0%			28	96.6%	2.5	1.6	2.1	0.9	3.5		
	espessos	0	0.0%						0.853	-0.036	0	0.0%	0	0.0%	0	0.0%	0.668	0.081	0	0.0%						0.123	0.302
	NPO líquidos	1	3.4%	1.1	1.1		1.1	1.1			0	0.0%	1	5.3%	0	0.0%			1	3.4%	6.5	6.5		6.5	6.5		

Tabela 129 - Medidas descritivas, análise de correlação e diferenças estatísticas entre as variáveis sociodemográficas e clínicas e VED - líquido - *whiteout*, encerramento das vias aérea; bolacha - latência.

		VED líquido Whiteout								VED líquido tempo de encerramento das VA									VED bolacha latência							
		normal		alterada		não testado		*p*	Correlação	N	%	Média	Mediana	DP	25	75	*p*	Correlação	normal		alterada		não testado		*p*	Correlação
		N	%	N	%	N	%												N	%	N	%	N	%		
Idade									0.172									0.022								
Sexo	Masculino	0	0.0%	33	91.7%	1	50.0%	0.065	0.303	34	100.0%	2.1	1.7	1.7	0.9	2.4	0.439	0.131	13	100.0%	19	86.4%	2	66.7%	0.077	-0.304
	Feminino	0	0.0%	3	8.3%	1	50.0%			4	100.0%	2.8	1.9	2.4	1.1	5.5			0	0.0%	3	13.6%	1	33.3%		
Estado civil	Casado	0	0.0%	19	52.8%	1	50.0%	0.760	0.047	20	100.0%	1.9	1.8	1.2	1.0	2.1	0.638	0.042	7	53.8%	12	54.5%	1	33.3%	0.509	0.290
	Solteiro	0	0.0%	6	16.7%	0	0.0%			6	100.0%	1.5	1.3	0.7	0.9	1.9			1	7.7%	4	18.2%	1	33.3%		
	Divorciado	0	0.0%	11	30.6%	1	50.0%			12	100.0%	3.0	1.7	2.5	0.9	6.0			5	38.5%	6	27.3%	1	33.3%		
	Viúvo	0	0.0%	0	0.0%	0	0.0%			0	0.0%								0	0.0%	0	0.0%	0	0.0%		
Nível de escolaridade	Sem escolaridade	0	0.0%	0	0.0%	0	0.0%	0.533	-0.258	0	0.0%						0.187	0.266	0	0.0%	0	0.0%	0	0.0%	0.602	-0.001
	1.º ciclo	0	0.0%	13	36.1%	2	100.0%			15	100.0%	1.4	1.0	0.8	0.9	1.8			5	38.5%	8	36.4%	2	66.7%		
	2.º ciclo	0	0.0%	10	27.8%	0	0.0%			10	100.0%	2.7	1.7	2.1	1.3	3.4			2	15.4%	7	31.8%	1	33.3%		
	3.º ciclo	0	0.0%	5	13.9%	0	0.0%			5	100.0%	2.8	2.1	2.0	1.2	4.3			2	15.4%	3	13.6%	0	0.0%		
	secundário	0	0.0%	3	8.3%	0	0.0%			3	100.0%	3.5	2.0	2.8	1.8	6.7			2	15.4%	1	4.5%	0	0.0%		
	Ensino superior	0	0.0%	5	13.9%	0	0.0%			5	100.0%	1.6	1.7	0.8	0.9	1.9			2	15.4%	3	13.6%	0	0.0%		
Estadio TNM	0	0	0.0%	0	0.0%	0	0.0%	0.264	0.089	0	0.0%						0.780	0.031	0	0.0%	0	0.0%	0	0.0%	0.328	0.022
	IA	0	0.0%	0	0.0%	0	0.0%			0	0.0%								0	0.0%	0	0.0%	0	0.0%		
	IB	0	0.0%	0	0.0%	0	0.0%			0	0.0%								0	0.0%	0	0.0%	0	0.0%		
	II	0	0.0%	3	8.3%	0	0.0%			3	100.0%	1.4	1.3	0.3	1.2	1.7			2	15.4%	1	4.5%	0	0.0%		
	IIIA	0	0.0%	0	0.0%	0	0.0%			0	0.0%								0	0.0%	0	0.0%	0	0.0%		
	IIIB	0	0.0%	0	0.0%	0	0.0%			0	0.0%								0	0.0%	0	0.0%	0	0.0%		
	IV	0	0.0%	0	0.0%	0	0.0%			0	0.0%								0	0.0%	0	0.0%	0	0.0%		
	Benigno/ sem doença	0	0.0%	0	0.0%	0	0.0%			0	0.0%								0	0.0%	0	0.0%	0	0.0%		
	IVa	0	0.0%	24	66.7%	1	50.0%			25	100.0%	2.3	1.8	1.9	0.9	2.9			8	61.5%	15	68.2%	2	66.7%		
	IVb	0	0.0%	2	5.6%	1	50.0%			3	100.0%	1.0	1.0	0.1	0.9	1.0			0	0.0%	2	9.1%	1	33.3%		
	III	0	0.0%	5	13.9%	0	0.0%			5	100.0%	2.3	2.1	1.9	0.9	2.1			2	15.4%	3	13.6%	0	0.0%		
	I	0	0.0%	2	5.6%	0	0.0%			2	100.0%	1.8	1.8	0.1	1.8	1.9			1	7.7%	1	4.5%	0	0.0%		
Problemas de saúde	não	0	0.0%	29	80.6%	2	100.0%	0.496	-0.112	31	100.0%	2.0	1.7	1.7	0.9	2.1	0.484	0.118	12	92.3%	16	72.7%	3	100.0%	0.451	0.096
	Sim	0	0.0%	7	19.4%	0	0.0%			7	100.0%	2.6	2.1	1.8	0.9	4.3			1	7.7%	6	27.3%	0	0.0%		
Traqueostomia	Não	0	0.0%	34	94.4%	2	100.0%	0.735		38	100.0%	2.1	1.7	1.7	0.9	2.5	0.653		13	100.0%	21	95.5%	2	66.7%	0.093	0.124
	Sim	0	0.0%	2	5.6%	0	0.0%			0	0.0%								0	0.0%	1	4.5%	1	33.3%		
EGC	Não	0	0.0%	0	0.0%	0	0.0%			0	0.0%								0	0.0%	0	0.0%	0	0.0%		
	Sim	0	0.0%	36	100.0%	2	100.0%			38	100.0%	2.1	1.7	1.7	0.9	2.5			13	100.0%	22	100.0%	3	100.0%		

		VED líquido Whiteout								VED líquido tempo de encerramento das VA								VED bolacha latência							
		normal		alterada		não testado		*p*	Correlação	N	%	Média	Mediana	DP	25	75	*p*	Correlação	normal		alterada		não testado		*p*	Correlação
		N	%	N	%	N	%												N	%	N	%	N	%		
Quantidade de Gy									0.056									0.035								
QT por CCP	Não	0	0.0%	0	0.0%	0	0.0%			0	0.0%								0	0.0%	0	0.0%	0	0.0%		0.307
	Sim	0	0.0%	0	0.0%	0	0.0%			0	0.0%								0	0.0%	0	0.0%	0	0.0%		
Tempo término tratamento									-0.051									-0.060								
Medicação diária	Não	0	0.0%	7	19.4%	1	50.0%		-0.167	8	100.0%	3.0	1.9	2.6	0.9	6.7		-0.145	4	30.8%	3	13.6%	1	33.3%		-0.266
	Sim	0	0.0%	29	80.6%	1	50.0%			30	100.0%	1.9	1.6	1.4	0.9	2.4			9	69.2%	19	86.4%	2	66.7%		
Disfagia	Não	0	0.0%	24	66.7%	1	50.0%		0.078	25	100.0%	2.0	1.2	1.8	0.9	1.9		0.264	7	53.8%	17	77.3%	1	33.3%		0.118
	Sim	0	0.0%	12	33.3%	1	50.0%			13	100.0%	2.5	2.3	1.4	1.6	3.0			6	46.2%	5	22.7%	2	66.7%		
Disfonia	Não	0	0.0%	33	91.7%	2	100.0%		-0.069	35	100.0%	2.2	1.8	1.7	0.9	2.7		-0.179	12	92.3%	20	90.9%	3	100.0%		-0.087
	Sim	0	0.0%	3	8.3%	0	0.0%			3	100.0%	1.1	1.2	0.2	0.9	1.3			1	7.7%	2	9.1%	0	0.0%		
Terapia	Não	0	0.0%	18	50.0%	2	100.0%	0.174	-0.211	20	100.0%	2.2	1.7	1.8	0.9	2.1	0.728	-0.017	7	53.8%	11	50.0%	2	66.7%	0.933	-0.025
	Sim	0	0.0%	9	25.0%	0	0.0%			9	100.0%	1.9	1.0	1.7	0.9	2.0			2	15.4%	7	31.8%	0	0.0%		
FOIS	7	0	0.0%	33	91.7%	2	100.0%			35	100.0%	2.2	1.7	1.7	0.9	2.4			12	92.3%	21	95.5%	2	66.7%		
	6	0	0.0%	0	0.0%	0	0.0%			0	0.0%								0	0.0%	0	0.0%	0	0.0%		
	5	0	0.0%	3	8.3%	0	0.0%			3	100.0%	1.8	2.1	1.0	0.7	2.7			1	7.7%	1	4.5%	1	33.3%		
	4	0	0.0%	0	0.0%	0	0.0%	0.675	-0.069	0	0.0%						0.977	0.005	0	0.0%	0	0.0%	0	0.0%	0.536	-0.030
	3	0	0.0%	0	0.0%	0	0.0%			0	0.0%								0	0.0%	0	0.0%	0	0.0%		
	2	0	0.0%	0	0.0%	0	0.0%			0	0.0%								0	0.0%	0	0.0%	0	0.0%		
	1	0	0.0%	0	0.0%	0	0.0%			0	0.0%								0	0.0%	0	0.0%	0	0.0%		
Via de administração da alimentação	via oral	0	0.0%	26	72.2%	2	100.0%			28	100.0%	2.2	1.6	1.8	0.9	2.1			8	61.5%	18	81.8%	2	66.7%		
	SNG	0	0.0%	2	5.6%	0	0.0%	0.693	-0.139	2	100.0%	3.2	3.2	3.3	0.9	5.5	0.997	0.012	1	7.7%	1	4.5%	0	0.0%	0.626	0.102
	PEG	0	0.0%	8	22.2%	0	0.0%			5	100.0%	1.9	1.7	1.0	1.2	2.4			4	30.8%	3	13.6%	1	33.3%		
Consistência dos sólidos	dieta regular	0	0.0%	0	0.0%	0	0.0%			0	0.0%								0	0.0%	0	0.0%	0	0.0%		
	dieta mole	0	0.0%	33	91.7%	2	100.0%	0.675	-0.069	35	100.0%	2.2	1.7	1.7	0.9	2.4	0.977	0.005	12	92.3%	21	95.5%	2	66.7%	0.536	-0.128
	dieta puré	0	0.0%	0	0.0%	0	0.0%			0	0.0%								0	0.0%	0	0.0%	0	0.0%		
	SNG/PEG	0	0.0%	3	8.3%	0	0.0%			3	100.0%	1.8	2.1	1.0	0.7	2.7			1	7.7%	1	4.5%	1	33.3%		
Consistência dos líquidos	finos	0	0.0%	26	96.3%	2	100.0%			28	96.6%	2.3	1.8	1.7	0.9	2.7			11	100.0%	14	93.3%	3	100.0%		
	espessos	0	0.0%	0	0.0%	0	0.0%	0.785	-0.051	0	0.0%						0.441	-0.151	0	0.0%	0	0.0%	0	0.0%	0.595	0.101
	NPO líquidos	0	0.0%	1	3.7%	0	0.0%			1	3.4%	1	1		1	1			0	0.0%	1	6.7%	0	0.0%		

Tabela 130 - Medidas descritivas, análise de correlação e diferenças estatísticas entre as variáveis sociodemográficas e clínicas e VED - bolacha - tempo de latência, *whiteout* e tempo de enceramento das vias aéreas.

		VED bolacha tempo de latência									VED bolacha Whiteout								VED bolacha tempo de encerramento das VA							
											normal		alterada		não testado											
		N	%	Média	Mediana	DP	25	75	*p*	Correlação	N	%	N	%	N	%	*p*	Correlação	N	%	Média	Mediana	DP	25	75	*p*	Correlação
Idade										**-0.398***								0.045									-0.186
Sexo	Masculino	34	100.0%	2.8	1.6	4.6	0.8	2.8	0.517	0.111	0	0.0%	32	91.4%	2	66.7%	0.186	0.218	34	100.0%	1.8	1.2	2.4	0.9	1.9	0.616	0.086
	Feminino	4	100.0%	5.2	1.3	6.9	1.0	13.1			0	0.0%	3	8.6%	1	33.3%			4	100.0%	1.3	1.3	0.1	1.2	1.4		
Estado civil	Casado	20	100.0%	2.4	1.6	3.0	0.7	2.5	0.539	0.019	0	0.0%	19	54.3%	1	33.3%	0.655	0.079	20	100.0%	1.9	1.3	3.0	0.8	1.4	0.085	-0.029
	Solteiro	6	100.0%	7.1	1.8	10.5	1.3	6.2			0	0.0%	5	14.3%	1	33.3%			6	100.0%	2.1	2.1	0.9	1.9	2.2		
	Divorciado	12	100.0%	2.2	1.2	2.4	0.8	3.0			0	0.0%	11	31.4%	1	33.3%			12	100.0%	1.3	1.0	0.8	0.8	1.3		
	Viúvo	0	0.0%								0	0.0%	0	0.0%	0	0.0%			0	0.0%							
Nível de escolaridade	Sem escolaridade	0	0.0%						0.511	-0.153	0	0.0%	0	0.0%	0	0.0%	0.784	-0.205	0	0.0%						0.477	0.051
	1.º ciclo	15	100.0%	2.7	1.7	3.5	0.8	2.3			0	0.0%	13	37.1%	2	66.7%			15	100.0%	1.2	1.2	0.5	0.8	1.4		
	2.º ciclo	10	100.0%	3.2	2.0	2.8	1.3	4.4			0	0.0%	9	25.7%	1	33.3%			10	100.0%	1.6	1.1	0.9	1.0	2.1		
	3.º ciclo	5	100.0%	6.5	1.3	10.7	0.9	4.0			0	0.0%	5	14.3%	0	0.0%			5	100.0%	4.2	1.4	5.6	1.3	3.4		
	secundário	3	100.0%	1.3	0.8	1.0	0.6	2.5			0	0.0%	3	8.6%	0	0.0%			3	100.0%	1.3	1.4	0.7	0.7	2.0		
	Ensino superior	5	100.0%	1.2	1.0	0.8	0.8	1.2			0	0.0%	5	14.3%	0	0.0%			5	100.0%	1.1	1.0	0.3	0.9	1.3		
Estadio TNM	0	0	0.0%						0.516	-0.185	0	0.0%	0	0.0%	0	0.0%	0.488	0.037	0	0.0%						0.973	-0.018
	IA	0	0.0%								0	0.0%	0	0.0%	0	0.0%			0	0.0%							
	IB	0	0.0%								0	0.0%	0	0.0%	0	0.0%			0	0.0%							
	II	3	100.0%	1.3	0.9	0.6	0.9	2.0			0	0.0%	3	8.6%	0	0.0%			3	100.0%	5.3	1.3	7.6	0.6	14.1		
	IIIA	0	0.0%								0	0.0%	0	0.0%	0	0.0%			0	0.0%							
	IIIB	0	0.0%								0	0.0%	0	0.0%	0	0.0%			0	0.0%							
	IV	0	0.0%								0	0.0%	0	0.0%	0	0.0%			0	0.0%							
	Benigno/ sem doença	0	0.0%								0	0.0%	0	0.0%	0	0.0%			0	0.0%							
	IVa	25	100.0%	3.9	2.0	5.6	0.8	4.4			0	0.0%	23	65.7%	2	66.7%			25	100.0%	1.4	1.1	0.8	0.9	2.0		
	IVb	3	100.0%	1.7	1.7	0.0	1.6	1.7			0	0.0%	2	5.7%	1	33.3%			3	100.0%	1.2	1.2	0.6	0.8	1.7		
	III	5	100.0%	1.6	1.3	1.4	0.7	1.3			0	0.0%	5	14.3%	0	0.0%			5	100.0%	1.1	1.3	0.4	1.0	1.4		
	I	2	100.0%	0.8	0.8	0.3	0.6	1.0			0	0.0%	2	5.7%	0	0.0%			2	100.0%	1.4	1.4	0.0	1.3	1.4		
Problemas de saúde	não	31	100.0%	3.1	1.2	5.2	0.8	2.4	0.180	0.230	0	0.0%	28	80.0%	3	100.0%	0.397	-0.139	31	100.0%	1.8	1.2	2.5	0.9	1.8	0.757	0.053
	Sim	7	100.0%	2.9	3.0	1.8	1.3	4.0			0	0.0%	7	20.0%	0	0.0%			7	100.0%	1.4	1.3	0.6	0.8	2.1		
Traqueostomia	Não	38	100.0%	3.0	1.6	4.7	0.8	3.0	0.373		0	0.0%	34	97.1%	2	66.7%	**0.025**		38	100.0%	1.7	1.3	2.3	0.9	1.9	0.235	
	Sim	0	0.0%								0	0.0%	1	2.9%	1	33.3%			0	0.0%							
EGC	Não	0	0.0%								0	0.0%	0	0.0%	0	0.0%			0	0.0%							
	Sim	38	100.0%	3.0	1.6	4.7	0.8	3.0			0	0.0%	35	100.0%	3	100.0%			38	100.0%	1.7	1.3	2.3	0.9	1.9		

		VED bolacha tempo de latência									VED bolacha Whiteout								VED bolacha tempo de encerramento das VA							
											normal		alterada		não testado											
		N	%	Média	Mediana	DP	25	75	*p*	Correlação	N	%	N	%	N	%	*p*	Correlação	N	%	Média	Mediana	DP	25	75	*p*	Correlação
Quantidade de Gy										0.256								0.069									-0.268
QT por CCP	Não	0	0.0%								0	0.0%	0	0.0%	0	0.0%			0	0.0%							
	Sim	0	0.0%								0	0.0%	0	0.0%	0	0.0%			0	0.0%							
Tempo término tratamento										-0.179								-0.163									-0.237
Medicação diária	Não	8	100.0%	5.8	0.8	9.1	0.6	8.6			0	0.0%	7	20.0%	1	33.3%			8	100.0%	1.8	1.4	1.2	0.7	3.4		
	Sim	30	100.0%	2.3	1.6	2.6	0.8	2.5		0.025	0	0.0%	28	80.0%	2	66.7%		-0.088	30	100.0%	1.7	1.1	2.5	0.9	1.5		-0.110
Disfagia	Não	25	100.0%	3.7	1.7	5.5	0.8	3.5			0	0.0%	24	68.6%	1	33.3%			25	100.0%	1.9	1.2	2.7	0.8	1.9		
	Sim	13	100.0%	1.6	0.9	1.3	0.7	2.5		-0.189	0	0.0%	11	31.4%	2	66.7%		0.200	13	100.0%	1.3	1.3	0.4	1.0	1.4		0.079
Disfonia	Não	35	100.0%	3.2	1.6	4.9	0.8	3.1			0	0.0%	32	91.4%	3	100.0%			35	100.0%	1.4	1.3	0.7	1.0	1.8		
	Sim	3	100.0%	1.4	1.2	0.6	0.9	2.0		-0.045	0	0.0%	3	8.6%	0	0.0%		-0.086	3	100.0%	5.2	0.9	7.7	0.6	14.1		-0.071
Terapia	Não	20	100.0%	2.8	1.2	3.4	0.8	4.0			0	0.0%	18	51.4%	2	66.7%			20	100.0%	1.4	1.2	0.8	0.8	1.9		
	Sim	9	100.0%	4.7	2.0	8.0	1.7	2.5	0.741	0.018	0	0.0%	9	25.7%	0	0.0%	0.617	0.005	9	100.0%	1.4	1.0	0.9	1.0	1.7	0.882	0.058
FOIS	7	35	100.0%	3.1	1.6	4.8	0.8	2.5			0	0.0%	33	94.3%	2	66.7%			35	100.0%	1.8	1.3	2.3	1.0	1.9		
	6	0	0.0%								0	0.0%	0	0.0%	0	0.0%			0	0.0%							
	5	3	100.0%	1.9	1.9	1.6	0.7	3.0			0	0.0%	2	5.7%	1	33.3%			3	100.0%	1.1	1.1	0.5	0.8	1.4		
	4	0	0.0%						0.804	0.043	0	0.0%	0	0.0%	0	0.0%	0.093	0.276	0	0.0%						0.696	-0.067
	3	0	0.0%								0	0.0%	0	0.0%	0	0.0%			0	0.0%							
	2	0	0.0%								0	0.0%	0	0.0%	0	0.0%			0	0.0%							
	1	0	0.0%								0	0.0%	0	0.0%	0	0.0%			0	0.0%							
Via de administração da alimentação	via oral	28	100.0%	3.6	1.7	5.4	0.8	4.0			0	0.0%	26	74.3%	2	66.7%			28	100.0%	1.4	1.2	0.8	0.8	1.9		
	SNG	2	100.0%	0.8	0.8	0.7	0.3	1.3	0.433	-0.139	0	0.0%	2	5.7%	0	0.0%	0.812	0.086	2	100.0%	1.2	1.2	0.3	1.0	1.4	0.836	0.078
	PEG	5	100.0%	1.6	0.9	1.1	0.9	2.0			0	0.0%	7	20.0%	1	33.3%			5	100.0%	3.8	1.3	5.7	1.0	1.9		
Consistência dos sólidos	dieta regular	0	0.0%								0	0.0%	0	0.0%	0	0.0%			0	0.0%							
	dieta mole	35	100.0%	3.1	1.6	4.8	0.8	2.5			0	0.0%	33	94.3%	2	66.7%			35	100.0%	1.8	1.3	2.3	1.0	1.9		
	dieta puré	0	0.0%						0.804	-0.043	0	0.0%	0	0.0%	0	0.0%	0.093	0.276	0	0.0%						0.696	-0.067
	SNG/PEG	3	100.0%	1.9	1.9	1.6	0.7	3.0			0	0.0%	2	5.7%	1	33.3%			3	100.0%	1.1	1.1	0.5	0.8	1.4		
Consistência dos líquidos	finos	28	96.6%	3.2	1.2	5.4	0.8	3			0	0.0%	25	96.2%	3	100.0%			28	96.6%	1.9	1.3	2.6	1	1.9		
	espessos	0	0.0%						0.739	0.067	0	0.0%	0	0.0%	0	0.0%	0.734	-0.064	0	0.0%						0.463	0.147
	NPO líquidos	1	3.4%	1.7	1.7		1.7	1.7			0	0.0%	1	3.8%	0	0.0%			1	3.4%	1.7	1.7		1.7	1.7		

Tabela 131 - Medidas descritivas, análise de correlação e diferenças estatísticas entre as variáveis da avaliação por VED componente anatomia e sensibilidade e as escalas funcionamento físico, desempenho e dispneia do questionário da EORTC QLQ-C30.

			EORTC QLQ-C30 Funcionamento físico						EORTC QLQ-C30 Desempenho						EORTC QLQ-C30 Dispneia					
Variável VED Anatomia ou funcional	Valor	n (%)	Média	SD	Mediana	(Q1-Q3)	p	Correlação	Média	SD	Mediana	(Q1-Q3)	p	Correlação	Média	SD	Mediana	(Q1-Q3)	p	Correlação
Acesso	Direita	24 (63.2)	83,6	16,2	86,7	(73.3-98.3)	0,622	-0,086	93	13,8	100	(84.5-100)	0,448	-0,167	8,3	17,7	0,0	(0.0-0.0)	0,482	-0,185
	Esquerda	14 (36.8)	78,1	23,2	86,7	(63.4-95.0)			90,5	14,2	100	(79.2-100)			2,4	8,9	0,0	(0.0-0.0)		
nasofaringe_EVF_anatomia	Presente	36 (94.7)	80,7	19,1	86,7	(68.4-93.3)	0,205	0,229	92,6	13,5	100	(83.3-100)	0,558	-0,135	6,5	15,6	0,0	(0.0-0.0)	0,728	-0,102
	Ausente	2 (5.3)	96,6	4,7	96,6	(93.3-100)			83,4	23,5	83,4	(66.7-100)			0	0	0,0	(0.0-0.0)		
nasofaringe_EVF_som_silaba	Presente	37 (97.4)	81,1	19,0	86,7	(70.0-93.3)	-	-	92,8	13,3	100	(83.3-100)	-	-	6,3	15,4	0,0	(0.0-0.0)	-	-
	Ausente	1 (2.6)	-	-	-	-			-	-	-	-			-	-	-	-		
nasofaringe_EVF_fala	Presente	37 (97.4)	81,1	19,0	86,7	(70.0-93.3)	-	-	92,8	13,3	100	(83.3-100)	-	-	6,3	15,4	0,0	(0.0-0.0)	-	-
	Ausente	1 (2.6)	-	-	-	-			-	-	-	-			-	-	-	-		
oro_hipofaringe_anatomia	Presente	4 (10.5)	95,0	6,4	96,6	(88.4-100)	0,092	-0,281	100	0,0	100	(100-100)	0,32	-0,216	0,0	0,0	0,0	(0.0-0.0)	0,598	0,148
	Ausente	34 (89.5)	80,0	19,3	86,7	(66.7-93.3)			91,2	14,3	100	(83.3-100)			6,8	15,9	0,0	(0.0-0.0)		
oro_hipofaringe_Mov_lingua	Presente	34 (89.5)	81,0	19,5	86,7	(71.6-95.0)	0,697	0,071	91,7	14,4	100	(83.3-100)	0,801	0,059	6,8	15,9	0,0	(0.0-0.0)	0,598	-0,148
	Ausente	4 (10.5)	86,7	14,4	90,0	(71.7-98.3)			95,8	8,4	100	(87.5-100)			0,0	0,0	0,0	(0.0-0.0)		
oro_hipofaringe_valeculas	Presente	25 (65.8)	87,7	12,4	93,3	(80.0-100)	0,018	-0.390*	92,7	12,8	100	(83.3-100)	0,879	-0,035	2,7	9,2	0,0	(0.0-0.0)	0,131	0.470**
	Ausente	13 (34.2)	69,7	23,8	73,3	(46.6-90.0			91	16,1	100	(83.3-100)			12,8	21,7	0,0	(0.0-33.3)		
oro_hipofaringe_piriformes	Presente	20 (52.6)	88,3	12,9	93,3	(86.7-100)	0,028	-0.365*	92,5	12,6	100	(83.3-100)	1	0,006	0,0	0,0	0,0	(0.0-0.0)	0,082	0.455**
	Ausente	18 (47.4)	74,1	21,9	80,0	(63.4-93.3)			91,7	15,4	100	(83.3-100)			13	20,2	0,0	(0.0-33.3)		
oro_hipofaringe_secreções	Presente	35 (92.1)	81,1	19,2	86,7	(73.3-93.3)	0,644	0,081	91,9	14,2	100	(83.3-100)	1	0,006	6,7	15,8	0,0	(0.0-0.0)	0,644	-0,127
	Ausente	3 (7.9)	86,7	17,6	93,3	(80.0-96.6)			94,4	9,6	100	(91.6-100)			0,0	0,0	0,0	(0.0-0.0)		
laringe_anatomia	Presente	3 (7.9)	97,8	3,9	100,0	(96.6-100)	0,056	-0.320*	100	0,0	100	(100-100)	0,405	-0,184	0,0	0,0	0,0	(0.0-0.0)	0,644	0,127
	Ausente	35 (92.1)	80,2	19,1	86,7	(66.7-93.3)			91,4	14,2	100	(83.3-100)			6,7	15,8	0,0	(0.0-0.0)		
laringe_saliva	Presente	36 (94.7)	81,7	19,2	86,7	(73.3-98.3)	0,728	-0,06	92,1	14,1	100	(83.3-100)	0,774	-0,067	6,5	15,6	0,0	(0.0-0.0)	0,728	-0,102
	Ausente	2 (5.3)	80,0	18,8	80,0	(66.7-93.3)			91,6	11,8	91,6	(83.3-100)			0	0	0,0	(0.0-0.0)		
sensibilidade na língua	Presente	34 (89.5)	87,6	11,1	86,7	(80.0-100)	0,697	-0,03	92,9	12,5	100	(83.3-100)	0,801	0,078	2,2	8,4	0,0	(0.0-0.0)	0,857	-0,091
	Ausente	4 (10.5)	86,7	14,4	90,0	(71.7-98.3)			95,8	8,3	100	(87.5-100)			0	0	0,0	(0.0-0.0)		
sensibilidade_aritnoides	Presente	34 (89.5)	81,0	19,5	86,7	(71.6-95.0)	0,697	0,071	91,7	14,3	100	(83.3-100)	0,801	0,059	6,8	15,9	0,0	(0.0-0.0)	0,598	-0,148
	Ausente	4 (10.5)	86,7	14,4	90,0	(71.7-98.3)			95,8	8,4	100	(87.5-100)			0	0	0,0	(0.0-0.0)		

Tabela 132 - Medidas descritivas, análise de correlação e diferenças estatísticas entre as variáveis da avaliação por VED componente anatomia e sensibilidade e as escalas dor, fadiga e insónia do questionário da EORTC QLQ-C30.

			EORTC QLQ-C30 Dor						EORTC QLQ-C30 Fadiga						EORTC QLQ-C30 Insónia					
Variável VED Anatomia ou funcional	Valor	n (%)	Média	SD	Mediana	(Q1-Q3)	p	Correlação	Média	SD	Mediana	(Q1-Q3)	p	Correlação	Média	SD	Mediana	(Q1-Q3)	p	Correlação
Acesso	Direita	24 (63.2)	9,7	12	0,0	(0.0-16.7)	0,501	-0,128	18	20,9	11,1	(0.0-30.5)	0,301	0,179	22,2	25,3	16,6	(0.0-33.3)	0,87	0,033
	Esquerda	14 (36.8)	9,5	19,3	0,0	(0.0-16.7)			23,8	20,8	22,2	(8.3-33.3)			26,2	32,5	16,6	(0.0-41.6)		
nasofaringe_EVF_anatomia	Presente	36 (94.7)	9,7	15,1	0,0	(0.0-16.7)	0,922	0,018	21	21	22,2	(22.2-	0,313	-0,188	24,1	28,3	16,6	(0.0-33.3)	0,822	-0,041
	Ausente	2 (5.3)	8,4	11,8	8,4	(0.0-16.7)			5,6	7,8	5,6	(0.0-11.1)			16,6	23,5	16,6	(0.0-33.3)		
nasofaringe_EVF_som_silaba	Presente	37 (97.4)	9,9	14,9	0,0	(0.0-16.7)	-	-	20,4	21	22,2	(0.0-33.3)	-	-	23,4	28,2	0,0	(0.0-33.3)	-	-
	Ausente	1 (2.6)	-	-	-	-			-	-	-	-			-	-	-	-		
nasofaringe_EVF_fala	Presente	37 (97.4)	9,9	14,9	0,0	(0.0-16.7)	-	-	20,4	21	22,2	(0.0-33.3)	-	-	23,4	28,2	0,0	(0.0-33.3)	-	-
	Ausente	1 (2.6)	-	-	-	-			-	-	-	-			-	-	-	-		
oro_hipofaringe_anatomia	Presente	4 (10.5)	0,0	0,0	0,0	(0.0-0.0)	0,167	0,269	5,6	11,1	0,0	(0.0-16.6)	0,092	0,285	8,3	16,6	0,0	(0.0-25.0)	0,297	0,192
	Ausente	34 (89.5)	10,8	15,3	0,0	(0.0-16.7)			21,9	21,1	22,2	(0.0-33.3)			25,5	28,5	33,3	(0.0-33.3)		
oro_hipofaringe_Mov_lingua	Presente	34 (89.5)	10,3	15,4	0,0	(0.0-16.7)	0,535	-0,121	20,9	21,3	22,2	(0.0-33.3)	0,63	-0,088	23,5	27,9	16,6	(0.0-33.3)	0,945	0,017
	Ausente	4 (10.5)	4,2	8,4	0,0	(0.0-12.5)			13,9	16,6	11,1	(0.0-30.5)			25	31,9	16,6	(0.0-58.3)		
oro_hipofaringe_valeculas	Presente	25 (65.8)	7,3	14,5	0,0	(0.0-16.7)	0,159	0,267	17,3	16,7	22,2	(0.0-22.2)	0,447	0,133	18,7	23,7	0,0	(0.0-33.3)	0,222	0,221
	Ausente	13 (34.2)	14,1	15	16,7	(0.0-33.3)			25,6	27	22,2	(0.0-33.3)			33,3	33,3	33,3	(0.0-66.7)		
oro_hipofaringe_piriformes	Presente	20 (52.6)	9,2	15,8	0,0	(0.0-16.7)	0,806	0,047	12,2	13,9	11,1	(0.0-22.2)	0,017	0.398*	15	22,9	0,0	(0.0-33.3)	0,063	0.333*
	Ausente	18 (47.4)	10,2	14,2	0,0	(0.0-20.8)			29	23,8	22,2	(0.0-33.3)			33,3	30,2	33,3	(0.0-66.7)		
oro_hipofaringe_secreções	Presente	35 (92.1)	10	15,2	0,0	(0.0-16.7)	0,759	-0,061	20,9	21	22,2	(0.0-33.3)	0,468	-0,133	22,8	27,7	0,0	(0.0-33.3)	0,571	0,112
	Ausente	3 (7.9)	5,6	9,6	0,0	(0.0-8.4)			11,1	19,2	0,0	(0.0-16.6)			33,3	33,4	33,3	(16.6-		
laringe_anatomia	Presente	3 (7.9)	0,0	0,0	0,0	(0.0-0.0)	0,247	0,230	0,0	0,0	0,0	(0.0-0.0)	0,029	0.357*	11,1	19,2	0,0	(0.0-16.6)	0,501	0,126
	Ausente	35 (92.1)	10,5	15,2	0,0	(0.0-16.7)			21,9	20,8	22,2	(0.0-33.3)			24,8	28,4	33,3	(0.0-33.3)		
laringe_saliva	Presente	36 (94.7)	9,7	15,1	0,0	(0.0-16.7)	0,922	0,018	20,4	21	22,2	(0.0-33.3)	0,922	-0,017	23,1	27,4	16,6	(0.0-33.3)	0,728	0,064
	Ausente	2 (5.3)	8,4	11,8	8,4	(0.0-16.7)			16,6	23,5	16,6	(0.0-33.3)			33,3	47,2	33,4	(0.0-66.7)		
sensibilidade na língua	Presente	34 (89.5)	8,6	11,9	0,0	(0.0-16.7)	0,587	-0,121	20,9	21,3	22,2	(0.0-33.3)	0,63	-0,105	21,2	24,8	0,0	(0.0-33.3)	0,869	0,048
	Ausente	4 (10.5)	4,2	8,4	0,0	(0.0-12.5)			13,9	16,6	11,1	(0.0-30.5)			25	31,9	16,6	(0.0-58.3)		
sensibilidade_aritnoides	Presente	34 (89.5)	10,3	15,4	0,0	(0.0-16.7)	0,535	-0,121	20,9	21,3	22,2	(0.0-33.3)	0,63	-0,105	23,5	27,9	16,6	(0.0-33.3)	0,945	0,017
	Ausente	4 (10.5)	4,2	8,4	0,0	(0.0-12.5)			13,9	16,6	11,1	(0.0-30.5)			25	31,9	16,6	(0.0-58.3)		

Tabela 133 - Medidas descritivas, análise de correlação e diferenças estatísticas entre as variáveis da avaliação por VED componente anatomia e sensibilidade e as escalas perda de apetite, náusea e vómito e obstipação do questionário da EORTC QLQ-C30.

Variável VED Anatomia ou funcional	Valor	n (%)	EORTC QLQ-C30 Perda de apetite						EORTC QLQ-C30 Náusea e vómito						EORTC QLQ-C30 Obstipação					
			Média	SD	Mediana	(Q1-Q3)	p	Correlação	Média	SD	Mediana	(Q1-Q3)	p	Correlação	Média	SD	Mediana	(Q1-Q3)	p	Correlação
Acesso	Direita	24 (63.2)	9,7	18,3	0,0	(0.0-25.0)	0,296	-0,302	1,4	4,7	0,0	(0.0-0.0)	0,687	-0,18	4,2	20,4	0,0	(0.0-0.0)	0,156	0.446**
	Esquerda	14 (36.8)	2,4	8,9	0,0	(0.0-0.0)			0,0	0,0	0,0	(0.0-0.0)			9,5	15,6	0,0	(0.0-33.3)		
nasofaringe_EVF_anatomia	Presente	36 (94.7)	7,4	16,2	0,0	(0.0-0.0)	0,683	-0,112	0,9	3,9	0,0	(0.0-0.0)	0,922	-0,056	6,5	19,2	0,0	(0.0-0.0)	0,774	-0,092
	Ausente	2 (5.3)	0	0,0	0,0	(0.0-0.0)			0,0	0,0	0,0	(0.0-0.0)			0,0	0,0	0,0	(0.0-0.0)		
nasofaringe_EVF_som_silaba	Presente	37 (97.4)	7,2	16,0	0,0	(0.0-0.0)	-	-	0,9	3,8	0,0	(0.0-0.0)	-	-	6,3	19,0	0,0	(0.0-0.0)	-	-
	Ausente	1 (2.6)	-	-	-	-			-	-	-	-			-	-	-	-		
nasofaringe_EVF_fala	Presente	37 (97.4)	7,2	16,0	0,0	(0.0-0.0)	-	-	0,9	3,8	0,0	(0.0-0.0)	-	-	6,3	19,0	0,0	(0.0-0.0)	-	-
	Ausente	1 (2.6)	-	-	-	-			-	-	-	-			-	-	-	-		
oro_hipofaringe_anatomia	Presente	4 (10.5)	8,3	16,6	0,0	(0.0-25.0)	0,505	-0,295	0,0	0,0	0,0	(0.0-0.0)	0,873	0,081	0,0	0,0	0,0	(0.0-0.0)	0,663	0,133
	Ausente	34 (89.5)	6,8	15,9	0,0	(0.0-0.0)			1,0	4,0	0,0	(0.0-0.0)			6,8	19,7	0,0	(0.0-0.0)		
oro_hipofaringe_Mov_lingua	Presente	34 (89.5)	6,8	15,9	0,0	(0.0-0.0)	0,505	0,295	1,0	4,0	0,0	(0.0-0.0)	0,873	-0,081	6,8	19,7	0,0	(0.0-0.0)	0,663	-0,133
	Ausente	4 (10.5)	8,3	16,6	0,0	(0.0-25.0)			0,0	0,0	0,0	(0.0-0.0)			0,0	0,0	0,0	(0.0-0.0)		
oro_hipofaringe_valeculas	Presente	25 (65.8)	5,3	12,4	0,0	(0.0-0.0)	0,693	0,101	0,0	0,0	0,0	(0.0-0.0)	0,447	0.327*	8,0	22,1	0,0	(0.0-0.0)	0,671	-0,121
	Ausente	13 (34.2)	10,2	21,0	0,0	(0.0-16.6)			2,6	6,3	0	(0.0-0.0)			2,6	9,2	0,0	(0.0-0.0)		
oro_hipofaringe_piriformes	Presente	20 (52.6)	6,7	13,7	0,0	(0.0-0.0)	0,919	-0,029	0,0	0,0	0,0	(0.0-0.0)	0,573	0,248	8,3	23,9	0,0	(0.0-0.0)	0,828	-0,066
	Ausente	18 (47.4)	7,4	18,3	0,0	(0.0-0.0)			1,8	5,4	0,0	(0.0-0.0)			3,7	10,8	0,0	(0.0-0.0)		
oro_hipofaringe_secreções	Presente	35 (92.1)	7,6	16,3	0,0	(0.0-0.0)	0,607	-0,139	1,0	3,9	0,0	(0.0-0.0)	0,879	0,069	6,7	19,5	0,0	(0.0-0.0)	0,72	-0,114
	Ausente	3 (7.9)	0	0,0	0,0	(0.0-0.0)			0,0	0,0	0,0	(0.0-0.0)			0,0	0,0	0,0	(0.0-0.0)		
laringe_anatomia	Presente	3 (7.9)	0	0,0	0,0	(0.0-0.0)	0,607	0,139	0,0	0,0	0,0	(0.0-0.0)	0,879	-0,069	0,0	0,0	0,0	(0.0-0.0)	0,72	0,114
	Ausente	35 (92.1)	7,6	16,3	0,0	(0.0-0.0)			1,0	3,9	0,0	(0.0-0.0)			6,7	19,5	0,0	(0.0-0.0)		
laringe_saliva	Presente	36 (94.7)	7,4	16,2	0,0	(0.0-0.0)	0,683	-0,112	0,9	3,9	0,0	(0.0-0.0)	0,922	-0,056	6,5	19,2	0,0	(0.0-0.0)	0,774	-0,092
	Ausente	2 (5.3)	0,0	0,0	0,0	(0.0-0.0)			0,0	0,0	0,0	(0.0-0.0)			0,0	0,0	0,0	(0.0-0.0)		
sensibilidade na língua	Presente	34 (89.5)	0,0	0,0	0,0	(0.0-0.0)	0,457	0.475*	1,0	4,0	0,0	(0.0-0.0)	0,873	-0,081	6,8	19,7	0,0	(0.0-0.0)	0,663	-0,133
	Ausente	4 (10.5)	8,3	16,6	0,0	(0.0-25.0)			0,0	0,0	0,0	(0.0-0.0)			0,0	0,0	0,0	(0.0-0.0)		
sensibilidade_aritnoides	Presente	34 (89.5)	6,8	15,9	0,0	(0.0-0.0)	0,505	0,295	1,0	4,0	0,0	(0.0-0.0)	0,873	-0,081	6,8	19,7	0,0	(0.0-0.0)	0,663	-0,133
	Ausente	4 (10.5)	8,3	16,6	0,0	(0.0-25.0)			0,0	0,0	0,0	(0.0-0.0)			0,0	0,0	0,0	(0.0-0.0)		

Tabela 134 - Medidas descritivas, análise de correlação e diferenças estatísticas entre as variáveis da avaliação por VED componente anatomia e sensibilidade e as escalas diarreia, funcionamento cognitivo e emocional do questionário da EORTC QLQ-C30.

			EORTC QLQ-C30 Diarreia						EORTC QLQ-C30 Funcionamento cognitivo						EORTC QLQ-C30 Funcionamento emocional					
Variável VED Anatomia ou funcional	Valor	n (%)	Média	SD	Mediana	(Q1-Q3)	p	Correlação	Média	SD	Mediana	(Q1-Q3)	p	Correlação	Média	SD	Mediana	(Q1-Q3)	p	Correlação
Acesso	Direita	24 (63.2)	2,8	9,4	0,0	(0.0-0.0)	0,964	-0,021	88,2	13,4	91,6	(83.3-100)	0,643	0,088	85,8	16,9	91,7	(70.8-100)	0,54	-0,106
	Esquerda	14 (36.8)	2,4	8,9	0,0	(0.0-0.0)			88,1	20,1	100	(79.2-100)			82,1	18,2	87,5	(64.6-100)		
nasofaringe_EVF_anatomia	Presente	36 (94.7)	2,8	9,3	0,0	(0.0-0.0)	0,871	-0,069	88	16,2	100	(83.3-100)	0,922	0,024	84	17,5	91,7	(66.7-100)	0,683	0,079
	Ausente	2 (5.3)	0,0	0,0	0,0	(0.0-0.0)			91,6	11,8	91,6	(83.3-100)			91,6	11,8	91,6	(83.3-100)		
nasofaringe_EVF_som_silaba	Presente	37 (97.4)	2,7	9,2	0,0	(0.0-0.0)	-	-	88,2	16,1	100	(83.3-100)	-	-	84,4	17,5	91,7	(66.7-100)	-	-
	Ausente	1 (2.6)	-	-	-	-			-	-	-	-			-	-	-	-		
nasofaringe_EVF_fala	Presente	37 (97.4)	2,7	9,2	0,0	(0.0-0.0)	-	-	88,2	16,1	100	(83.3-100)	-	-	84,4	17,5	91,7	(66.7-100)	-	-
	Ausente	1 (2.6)	-	-	-	-			-	-	-	-			-	-	-	-		
oro_hipofaringe_anatomia	Presente	4 (10.5)	0,0	0,0	0,0	(0.0-0.0)	0,801	0,1	87,5	15,9	91,6	(70.8-100)	0,873	0,035	87,5	10,8	87,5	(77.1-97.9)	1	0
	Ausente	34 (89.5)	2,9	9,6	0,0	(0.0-0.0)			88,2	16,1	100	(83.3-100)			84,1	17,9	91,7	(66.7-100)		
oro_hipofaringe_Mov_lingua	Presente	34 (89.5)	2,9	9,6	0,0	(0.0-0.0)	0,801	-0,1	88,2	16,2	100	(83.3-100)	0,873	-0,035	84,1	17,9	91,7	(66.7-100)	1	0
	Ausente	4 (10.5)	0,0	0,0	0,0	(0.0-0.0)			87,5	15,9	91,6	(70.8-100)			87,5	10,8	87,5	(77.1-97.9)		
oro_hipofaringe_valeculas	Presente	25 (65.8)	2,7	9,2	0,0	(0.0-0.0)	1	-0,005	91,3	12,8	100	(83.3-100)	0,168	-0,255	84	18,1	91,7	(66.7-100)	0,976	0,008
	Ausente	13 (34.2)	2,6	9,2	0,0	(0.0-0.0)			82	19,8	83,3	(66.7-100)			85,2	16	91,7	(70.8-100)		
oro_hipofaringe_pririformes	Presente	20 (52.6)	1,7	7,4	0,0	(0.0-0.0)	0,762	0,113	92,5	11,4	100	(83.3-100)	0,158	-0,261	87,1	17,8	100	(77.1-100)	0,239	-0,206
	Ausente	18 (47.4)	3,7	10,8	0,0	(0.0-0.0)			83,3	19	83,3	(66.7-100)			81,5	16,6	83,3	(64.6-100)		
oro_hipofaringe_secreções	Presente	35 (92.1)	2,8	9,4	0,0	(0.0-0.0)	0,839	-0,086	87,6	16,3	100	(83.3-100)	0,607	0,104	84	17,7	91,7	(66.7-100)	0,839	0,037
	Ausente	3 (7.9)	0	0	0,0	(0.0-0.0)			94,4	9,6	100	(91.6-100)			88,9	12,7	91,7	(83.4-95.8)		
laringe_anatomia	Presente	3 (7.9)	0	0	0,0	(0.0-0.0)	0,839	0,086	94,4	9,6	100	(91.6-100)	0,607	-0,104	88,9	12,7	91,7	(83.4-95.8)	0,839	-0,037
	Ausente	35 (92.1)	2,8	9,4	0,0	(0.0-0.0)			87,6	16,3	100	(83.3-100)			84	17,7	91,7	(66.7-100)		
laringe_saliva	Presente	36 (94.7)	2,8	9,3	0,0	(0.0-0.0)	0,871	-0,069	87,5	16,1	100	(83.3-100)	0,313	0,203	83,8	17,5	87,5	(66.7-100)	0,481	0,135
	Ausente	2 (5.3)	0	0	0,0	(0.0-0.0)			100	0	100	(100-100)			95,8	5,9	95,8	(91.7-100)		
sensibilidade na língua	Presente	34 (89.5)	2,9	9,6	0,0	(0.0-0.0)	0,801	-0,1	88,2	16,2	100	(83.3-100)	0,873	-0,035	84,1	17,9	91,7	(66.7-100)	1	0,062
	Ausente	4 (10.5)	0	0	0,0	(0.0-0.0)			87,5	15,9	91,6	(70.8-100)			87,5	10,8	87,5	(77.1-97.9)		
sensibilidade_aritnoides	Presente	34 (89.5)	2,9	9,6	0,0	(0.0-0.0)	0,801	-0,1	88,2	16,2	100	(83.3-100)	0,873	-0,035	84,1	17,9	91,7	(66.7-100)	1	0,062
	Ausente	4 (10.5)	0	0	0,0	(0.0-0.0)			87,5	15,9	91,6	(70.8-100)			87,5	10,8	87,5	(77.1-97.9)		

Tabela 135 - Medidas descritivas, análise de correlação e diferenças estatísticas entre as variáveis da avaliação por VED componente anatomia e sensibilidade e as escalas funcionamento social, dificuldades financeiras e estado de saúde geral do questionário da EORTC QLQ-C30.

			EORTC QLQ-C30 Funcionamento social						EORTC QLQ-C30 Dificuldades financeiras						EORTC QLQ-C30 Estado de saúde geral					
Variável VED Anatomia ou funcional	Valor	n (%)	Média	SD	Mediana	(Q1-Q3)	p	Correlação	Média	SD	Mediana	(Q1-Q3)	p	Correlação	Média	SD	Mediana	(Q1-Q3)	p	Correlação
Acesso	Direita	24 (63.2)	92,4	13	100	(83.3-100)	0,166	0.345*	11,1	27,2	0,0	(0.0-0.0)	0,036	0.551**	62,8	18,2	66,7	(50.0-75.0)	0,001	0.519**
	Esquerda	14 (36.8)	97,6	6,1	100	(100-100)			21,4	31	0,0	(0.0-33.3)			83,3	14,2	83,3	(66.7-100)		
nasofaringe_EVF_anatomia	Presente	36 (94.7)	94	11,4	100	(87.5-100)	0,597	0,13	15,7	29,3	0,0	(0.0-33.3)	0,558	-0,139	71,5	19,4	75	(58.3-83.3)	0,119	-0,272
	Ausente	2 (5.3)	100	0,0	100	(100-100)			0,0	0,0	0,0	(0.0-0.0)			50	0	50	(50.0-50.0)		
nasofaringe_EVF_som_silaba	Presente	37 (97.4)	94,1	11,2	100	(91.6-100)	-	-	15,3	29	0,0	(0.0-33.3)	-	-	70,9	19,4	75	(58.3-83.3)	-	-
	Ausente	1 (2.6)	-	-	-	-			-	-	-	-			-	-	-	-		
nasofaringe_EVF_fala	Presente	37 (97.4)	94,1	11,2	100	(91.6-100)	-	-	15,3	29	0,0	(0.0-33.3)	-	-	70,9	19,4	75	(58.3-83.3)	-	-
	Ausente	1 (2.6)	-	-	-	-			-	-	-	-			-	-	-	-		
oro_hipofaringe_anatomia	Presente	4 (10.5)	100	0,0	100	(100-100)	0,42	-0,189	8,3	16,6	0,0	(0.0-25.0)	0,873	0,035	62,5	21	66,7	(41.6-79.2)	0,476	0,127
	Ausente	34 (89.5)	93,6	11,6	100	(83.3-100)			15,7	29,8	0,0	(0.0-33.3)			71,3	19,4	75	(56.2-83.3)		
oro_hipofaringe_Mov_lingua	Presente	34 (89.5)	93,6	11,6	100	(83.3-100)	0,42	0,189	15,7	29,8	0,0	(0.0-33.3)	0,873	-0,035	71,8	19	75	(58.3-83.3)	0,255	-0,198
	Ausente	4 (10.5)	100	0,0	100	(100-100)			8,3	16,6	0,0	(0.0-25.0)			58,3	21,5	58,3	(37.5-79.2)		
oro_hipofaringe_valeculas	Presente	25 (65.8)	96	9,9	100	(100-100)	0,065	-0.526**	9,3	22,6	0,0	(0.0-0.0)	0,068	0.522**	74	19	75	(58.3-83.3)	0,15	-0,243
	Ausente	13 (34.2)	91	12,9	100	(83.3-100)			25,6	36,4	0,0	(0.0-66.7)			63,5	19,1	66,7	(45.8-79.2)		
oro_hipofaringe_pririformes	Presente	20 (52.6)	97,5	8,2	100	(100-100)	0,047	-0.489**	10	24,4	0,0	(0.0-0.0)	0,102	0.434*	72,5	18,7	75	(54.2-83.3)	0,515	-0,112
	Ausente	18 (47.4)	90,7	13	100	(83.3-100)			20,4	32,6	0,0	(0.0-41.6)			68	20,5	66,7	(56.2-83.3)		
oro_hipofaringe_secreções	Presente	35 (92.1)	93,8	11,5	100	(83.3-100)	0,501	0,162	15,2	29,5	0,0	(0.0-33.3)	0,959	0,017	71,7	18,8	75	(58.3-83.3)	0,27	-0,194
	Ausente	3 (7.9)	100	0,0	100	(100-100)			11,1	19,2	0,0	(0.0-16.6)			55,5	25,4	50	(41.6-66.6)		
laringe_anatomia	Presente	3 (7.9)	100	0,0	100	(100-100)	0,501	-0,162	11,1	19,2	0,0	(0.0-16.6)	0,959	-0,017	61,1	25,5	66,7	(50.0-75.0)	0,536	0,113
	Ausente	35 (92.1)	93,8	11,5	100	(83.3-100)			15,2	29,5	0,0	(0.0-33.3)			71,2	19,1	75	(58.3-83.3)		
laringe_saliva	Presente	36 (94.7)	94	11,4	100	(87.5-100)	0,597	0,13	14,8	29,2	0,0	(0.0-25.0)	0,417	0,247	72	18,6	75	(58.3-83.3)	0,046	-0.327*
	Ausente	2 (5.3)	100	0,0	100	(100-100)			16,6	23,5	16,6	(0.0-33.3)			41,6	11,8	41,6	(33.3-50.0)		
sensibilidade na língua	Presente	34 (89.5)	93,6	11,6	100	(83.3-100)	0,42	0,178	15,7	29,9	0,0	(0.00-33.3)	0,873	-0,08	71,8	19	75	(58.3-83.3)	0,255	-0,216
	Ausente	4 (10.5)	100	0,0	100	(100-100)			8,3	16,6	0,0	(0.00-25.0)			58,3	21,5	58,4	(37.5-79.2)		
sensibilidade_aritnoides	Presente	34 (89.5)	93,6	11,6	100	(83.3-100)	0,42	0,178	15,7	29,9	0,0	(0.0-33.3)	0,873	-0,08	71,8	19	75	(58.3-83.3)	0,255	-0,216
	Ausente	4 (10.5)	100	0,0	100	(100-100)			8,3	16,6	0,0	(0.0-25.0)			58,3	21,5	58,4	(37.5-79.2)		

Tabela 136 - Medidas descritivas, análise de correlação e diferenças estatísticas entre as variáveis da avaliação por VED componente funcional e as escalas funcionamento físico, desempenho e dispneia do questionário da EORTC QLQ-C30.

			EORTC QLQ-C30 Funcionamento físico						EORTC QLQ-C30 Desempenho						EORTC QLQ-C30 Dispneia					
Variável VED Anatomia ou funcional	Valor	n (%)	Média	SD	Mediana	(Q1-Q3)	p	Correlação	Média	SD	Mediana	(Q1-Q3)	p	Correlação	Média	SD	Mediana	(Q1-Q3)	p	Correlação
pudim_escape_prematuro	Ausente	32 (84.2)	80,4	20,0	86,7	(68.4-98.3)	0,34	0,168	91,1	14,6	100	(83.3-100)	0,34	0,216	7,3	16,3	0,0	(0.0-0.0)	0,531	-0,174
	Presente	5 (13.2)	86,7	12,4	86,7	(76.7-96.6)			96,7	7,5	100	(91.6-100)			0	0	0,0	(0.0-0.0)		
pudim_residulo_valecula	Sem resíduo	11 (28.9)	75,2	19,3	80,0	(66.7-86.7)	0,185	0,305	89,4	13,5	100	(83.3-100)	0,294	0,263	6	13,5	0,0	(0.0-0.0)	0,819	-0,058
	Resíduo ligeiro a moderado	24 (63.2)	83,0	19,2	93,3	(75.0-100)			92,4	14,7	100	(87.5-100)			6,9	17	0,0	(0.0-0.0)		
	Resíduo severo	2 (5.3)	93,4	9,4	93,4	(86.7-100)			100	0	100	(100-100)			0	0	0,0	(0.0-0.0)		
pudim_residuo_piriforme	Sem resíduo	22 (57.9)	76,4	21,0	80,0	(66.7-93.3)	0,138	0,293	89,4	15,9	100	(79.2-100)	0,096	0,294	9,1	18,3	0,0	(0.0-8.3)	0,403	-0,222
	Resíduo ligeiro a moderado	12 (31.6)	89,4	13,5	93,3	(81.7-100)			95,8	10,4	100	(100-100)			2,8	9,6	0,0	(0.0-0.0)		
	Resíduo severo	3 (7.9)	84,5	16,8	86,7	(76.7-93.4)			94,4	9,6	100	(91.6-100)			0	0	0,0	(0.0-0.0)		
pudim_residuo_parede_faringe	Sem resíduo	26 (68.4)	76,9	20,4	80,0	(66.7-93.3)	0,049	0.335*	91	15,1	100	(83.3-100)	0,876	0,037	9	17,8	0,0	(0.0-8.3)	0,303	-0,277
	Resíduo ligeiro a moderado	10 (26.2)	90,7	10,5	93,3	(85.0-100)			93,3	11,6	100	(83.3-100)			0	0	0	(0.0-0.0)		
	Resíduo severo	1 (2.6)	-	-	-	-			-	-	-	-			-	-	-	-		
pudim_deglutições	1 deglutição	28 (73.7)	81,7	18,5	86,7	(73.3-93.3)	0,996	0,003	89,9	15,3	100	(83.3-100)	0,473	0,259	8,3	17,3	0,0	(0.0-0.0)	0,526	-0,246
	1+2 adicionais	5 (13.2)	85,3	12,8	86,7	(73.4-96.6)			96,7	7,5	100	(91.6-100)			0	0	0,0	(0.0-0.0)		
	1+3 adicionais	2 (5.3)	76,6	33,0	76,6	(53.3-100)			100	0	100	(100-100)			0	0	0,0	(0.0-0.0)		
	1+4 ou mais adicionais	2 (5.3)	70,0	42,4	70,0	(40.0-100)			100	0	100	(100-100)			0	0	0,0	(0.0-0.0)		
pudim_reage_sem_tosse	Ausente	34 (89.5)	81,7	18,3	86,7	(71.6-95.0)	0,937	-0,019	91,2	14,3	100	(83.3-100)	0,376	0,19	6,8	15,9	0,0	(0.0-0.0)	0,654	-0,13
	Presente	3 (7.9)	75,5	31,5	86,7	(63.4-93.4)			100	0	100	(100-100)			0	0	0,0	(0.0-0.0)		
líquido_escape_prematuro	Ausente	24 (63.2)	82,8	17,8	86,7	(75.0-100)	0,497	-0,121	93	11,9	100	(83.3-100)	0,704	-0,084	5,6	12,7	0,0	(0.0-0.0)	0,96	0,018
	Presente	12 (31.6)	76,6	21,7	86,7	(56.6-93.3)			88,9	17,9	100	(70.8-100)			8,3	20,7	0,0	(0.0-0.0)		
líquido_residulo_valecula	Sem resíduo	13 (34.2)	78,5	12,8	80,0	(66.7-86.7)	0,18	0,234	89,7	14,5	100	(75.0-100)	0,601	0,114	7,7	14,6	0,0	(0.0-16.6)	0,699	-0,107
	Resíduo ligeiro a moderado	22 (57.9)	81,5	22,4	90,0	(71.6-100)			92,4	14,3	100	(83.3-100)			6	16,7	0,0	(0.0-0.0)		
	Resíduo severo	1 (2.6)	-	-	-	-			-	-	-	-			-	-	-	-		
líquido_residuo_piriforme	Sem resíduo	23 (60.5)	77,4	21	80	(66.7-93.3)	0,263	0,196	89,8	15,7	100	(83.3-100)	0,548	0,127	8,7	18	0,0	(0.0-0.0)	0,526	-0,173
	Resíduo ligeiro a moderado	12 (31.6)	86,1	14,3	90	(80.0-98.3)			94,4	10,8	100	(87.5-100)			2,8	9,6	0,0	(0.0-0.0)		
	Resíduo severo	1 (2.6)	-	-	-	-			-	-	-	-			-	-	-	-		
líquido_residuo_parede_faringe	Sem resíduo	32 (84.2)	79,4	19,7	86,7	(66.7-93.3)	0,347	0,169	90,6	14,6	100	(83.3-100)	0,347	0,203	7,3	16,4	0,0	(0.0-0.0)	0,635	-0,139
	Resíduo ligeiro a moderado	3 (7.9)	91,1	10,2	93,3	(86.6-96.6)			100	0	100	(100-100)			0,0	0,0	0,0	(0.0-0.0)		
	Resíduo severo	1 (2.6)	-	-	-	-			-	-	-	-			-	-	-	-		

Variável VED Anatomia ou funcional	Valor	n (%)	EORTC QLQ-C30 Funcionamento físico						EORTC QLQ-C30 Desempenho						EORTC QLQ-C30 Dispneia					
			Média	SD	Mediana	(Q1-Q3)	p	Correlação	Média	SD	Mediana	(Q1-Q3)	p	Correlação	Média	SD	Mediana	(Q1-Q3)	p	Correlação
líquido_deglutições	1 deglutição	31 (81.6)	78,7	19,8	80,0	(66.7-93.3)	0,249	0,28	90,3	14,8	100	(83.3-100)	0,302	0,261	7,5	16,6	0,0	(0.0-0.0)	0,57	-0,179
	1+2 adicionais	2 (5.3)	93,4	9,4	93,4	(86.7-100)			100	0	100	(100-100)			0,0	0,0	0,0	(0.0-0.0)		
	1+3 adicionais	3 (7.9)	93,3	0,0	93,3	(93.3-93.3)			100	0	100	(100-100)			0,0	0,0	0,0	(0.0-0.0)		
	1+4 ou mais adicionais	0	-	-	-	-			-	-	-	-			-	-	-	-		
líquido_reage_sem_tosse	Ausente	34 (89.5)	81,6	18,2	86,7	(71.6 - 95.0)	0,578	-0,106	91,2	14,3	100	(83.3-100)	0,495	0,158	6,8	15,9	0,0	(0.0-0.0)	0,714	-0,108
	Presente	2 (5.3)	66,6	37,7	66,6	(40.0-93.3)			100	0	100	(100-100)			0,0	0,0	0,0	(0.0-0.0)		
bolacha_escape_prematuro	Ausente	33 (86.8)	80,8	19,8	86,7	(70.0-96.6)	1,000	0,012	91,4	14,5	100	(83.3-100)	0,524	0,153	7,1	16,1	0,0	(0.0-0.0)	0,706	-0,112
	Presente	2 (5.3)	86,7	0,0	86,7	(86.7-86.7)			100	0	100	(100-100)			0,0	0,0	0,0	(0.0-0.0)		
bolacha_residulo_valecula	Sem resíduo	2 (5.3)	70,0	4,7	70,0	(66.7-73.3)	0,163	-0,015	91,6	11,8	91,6	(83.3-100)	0,038	0.438*	16,6	23,5	16,6	(0.0-33.3)	0,001	-0,337
	Resíduo ligeiro a moderado	18 (47.4)	82,6	20,3	86,7	(78.3-95.0)			88	17	100	(66.7-100)			7,4	18,3	0	(0.0-0.0)		
	Resíduo severo	15 (39.5)	80,9	19,3	86,7	(66.7-100)			96,7	9,3	100	(100-100)			4,4	11,7	0	(0.0-0.0)		
bolacha_residuo_piriforme	Sem resíduo	14 (36.8)	72,4	22,8	76,6	(60.0-88.4)	0,096	0,327	88,1	16,6	100	(79.2-100)	0,013	0.512**	11,9	21,1	0	(0.0-33.3)	0,058	-0,238
	Resíduo ligeiro a moderado	18 (47.4)	87,4	14,3	93,3	(80.0-100)			93,5	12,9	100	(95.8-100)			1,9	7,8	0	(0.0-0.0)		
	Resíduo severo	3 (7.9)	84,5	16,8	86,7	(76.7-93.4)			100	0	100	(100-100)			11,1	19,2	0	(0.0-16.6)		
bolacha_residuo_parede_faringe	Sem resíduo	6 (15.8)	78,9	8,9	80,0	(71.6-86.7)	0,297	0,187	86,1	16,4	91,6	(66.7-100)	0,281	0,253	5,6	13,6	0	(0.0-8.3)	0,947	0,018
	Resíduo ligeiro a moderado	28 (73.7)	81,0	20,9	86,7	(70.0-98.3)			92,8	13,9	100	(87.5-100)			7,1	16,6	0	(0.0-0.0)		
	Resíduo severo	1 (2.6)	-	-	-	-			-	-	-	-			-	-	-	-		
bolacha_deglutições	1 deglutição	2 (5.3)	93,3	0,0	93,3	(93.3-93.3)	0,46	0,087	100	0	100	(100-100)	0,035	0.375*	0	0	0	(0.0-0.0)	0,079	-0,329
	1+2 adicionais	13 (34.2)	76,9	17,8	80,0	(70.0-86.7)			85,9	15	83,3	(66.7-100)			10,2	16	0	(0.0-33.3)		
	1+3 adicionais	12 (31.6)	83,9	20,6	93,3	(70.0-100)			91,7	16,7	100	(87.5-100)			8,3	20,7	0	(0.0-0.0)		
	1+4 ou mais adicionais	8 (21.1)	80,8	22,4	90,0	(60.0-98.3)			100	0	100	(100-100)			0	0	0	(0.0-0.0)		
bolacha_reage_sem_tosse	Presente	1 (2.6)	-	-	-	-	-	-	-	-	-	-	-	-	-	-	-	-	-	-
	Ausente	34 (89.5)	82,4	18,1	86,7	(73.3-95.0)			91,7	14,4	100	(83.3-100)			6,8	15,9	0,0	(0.0-0.0)		
aspiração	Não	20 (52.6)	75,3	19,5	80,0	(66.7-86.7)	0,026	0.443**	87,5	16,1	100	(70.8-100)	0,010	0.501**	10	19	0,0	(0.0-25.0)	0,141	-0,327
	Sim	16 (42.1)	87,5	16,8	93,3	(81.7-100)			96,9	9,1	100	(100-100)			2,1	8,3	0,0	(0.0-0.0)		
	Alto risco	2 (5.3)	96,6	4,7	96,6	(93.3-100)			100	0,0	100	(100-100)			0,0	0,0	0,0	(0.0-0.0)		
momento_aspiração_pudim	NA	31 (81.6)	79,4	19,7	86,7	(66.7-93.3)	0,049	0.343*	91,9	14,2	100	(83.3-100)	0,756	-0,071	7,5	16,6	0,0	(0.0-0.0)	0,504	-0,179
	Pré-deglutição	5 (13.2)	90,7	13,8	93,3	(80.0-100)			90,0	14,9	100	(75.0-100)			0,0	0,0	0,0	(0.0-0.0)		
	Durante deglutição	1 (2.6)	-	-	-	-			-	-	-	-			-	-	-	-		
	Pós-deglutição	1 (2.6)	-	-	-	-			-	-	-	-			-	-	-	-		

Variável VED Anatomia ou funcional	Valor	n (%)	EORTC QLQ-C30 Funcionamento físico						EORTC QLQ-C30 Desempenho						EORTC QLQ-C30 Dispneia					
			Média	SD	Mediana	(Q1-Q3)	p	Correlação	Média	SD	Mediana	(Q1-Q3)	p	Correlação	Média	SD	Mediana	(Q1-Q3)	p	Correlação
momento_aspiração_líquido	NA	25 (65.8)	79,5	19,3	86,7	(70.0-100)	0,055	0,263	90,0	15,2	100	(83.3-100)	0,183	0.328*	8	17,4	0,0	(0.0-0.0)	0,723	-0,164
	Pré-deglutição	2 (5.3)	53,4	18,9	53,4	(40.0-66.7)			91,6	11,8	91,6	(100-100)			0,0	0,0	0,0	(0.0-0.0)		
	Durante deglutição	8 (21.1)	90,8	11,2	93,3	(86.7-100)			95,8	11,8	100	(100-100)			4,2	11,8	0,0	(0.0-0.0)		
	Pós-deglutição	3 (7.9)	93,3	11,5	100,0	(90.0-100)			100	0,0	100	(100-100)			0,0	0,0	0,0	(0.0-0.0)		
momento_aspiração_bolacha	NA	32 (84.2)	80,2	19,8	86,7	(68.4-93.3)	0,315	0,177	90,6	14,6	100	(83.3-100)	0,23	0,253	6,2	15,7	0	(0.0-0.0)	0,914	0,035
	Pré-deglutição	0 (0.0)	-	-	-	-			-	-	-	-			-	-	-	-		
	Durante deglutição	1 (2.6)	-	-	-	-			-	-	-	-			-	-	-	-		
	Pós-deglutição	5 (13.2)	86,7	12,4	86,7	(76.7-96.6)			100	0	100	(100-100)			6,7	14,9	0	(0.0-16.6)		
PAS	1	21 (55.3)	76,2	19,4	80,0	(66.7-90.0)	0,108	0.369*	88,1	15,9	100	(75.0-100)	0,139	0,257	9,5	18,7	0	(0.0-16.6)	0,495	-0,256
	2	9 (23.7)	85,9	20,9	100,0	(73.4-100)			100	0,0	100	(100-100)			3,7	11,1	0	(0.0-0.0)		
	3	4 (10.5)	85,0	12,6	90,0	(71.7-93.3)			95,8	8,4	100	(87.5-100)			0,0	0,0	0,0	(0.0-0.0)		
	4	3 (7.9)	95,5	3,9	93,3	(76.7-93.3)			88,9	19,2	100	(83.4-100)			0,0	0,0	0,0	(0.0-0.0)		
	8	1 (2.6)	-	-	-	-			-	-	-	-			-	-	-	-		
Limpeza	A-efetivo	6 (15.8)	83,3	22,6	90,0	(70.0-100)	0,052	-0.358*	100	0	100	(100-100)	0,158	-0.402*	0,0	0,0	0,0	(0.0-0.0)	0,501	0,062
	B- moderadamente efetivo	5 (13.2)	86,7	11,5	93,3	(76.7-93.3)			96,7	7,5	100	(91.6-100)			0,0	0,0	0,0	(0.0-0.0)		
	C-ligeiramente efetivo	4 (10.5)	91,7	16,6	100,0	(75.0-100)			91,7	16,6	100	(75.0-100)			8,3	16,6	0,0	(0.0-25.0)		
	D-ineficaz	2 (5.3)	100,0	0,0	100,0	(100-100)			100	0	100	(100-100)			0,0	0,0	0,0	(0.0-0.0)		
	NA	21 (55.5)	76,2	19,4	80,0	(66.7-90.0)			88,1	15,9	100	(75.0-100)			9,5	18,7	0,0	(0.0-16.6)		
pudim_latencia	Normal	9 (23.7)	71,1	26,7	73,3	(46.6-96.6)	0,24	0,203	83,3	18,6	83,3	(66.7-100)	0,016	0.683**	11,1	23,6	0	(0.0-16.6)	0,689	-0,111
	Alterado	28 (73.7)	84,5	15,2	86,7	(80.0-98.3)			94,6	11,1	100	(100-100)			4,8	11,9	0	(0.0-0.0)		
pudim_tempo_latencia_inicio		-	-	-	-	-	-	0,275	-	-	-	-	-	0.344*	-	-	-	-	-	-0,238
pudim_whiteout	Normal	0 (0.0)	-	-	-	-	-	-	-	-	-	-	-	-	-	-	-	-	-	-
	Alterado	37 (97.4)	81,3	19,1	86,7	(70.0-96.6)			91,9	14	100	(83.3-100)			6,3	15,4	0	(0.0-0.0)		
pudim_tempo_encerramento_VA		-	-	-	-	-	-	0,237	-	-	-	-	-	0,024	-	-	-	-	-	-0,135
liquido_latencia	Normal	10 (26.3)	83,3	16,7	83,4	(71.6-100)	0,689	-0,069	95	11,2	100	(95.8-100)	0,152	-0,329	6,7	14	0	(0.0-8.3)	0,876	-0,046
	Alterado	26 (68.4)	79,7	20,2	86,7	(66.7-93.3)			90,4	15	100	(83.3-100)			6,4	16,4	0	(0.0-0.0)		
liquido_tempo_latencia_inicio		-	-	-	-	-	-	0,044	-	-	-	-	-	0,044	-	-	-	-	-	-0,027
liquido_whiteout	Normal	0 (0.0)	-	-	-	-	-	-	-	-	-	-	-	-	-	-	-	-	-	-
	Alterado	36 (94.7)	80,7	19,1	86,7	(68.4-93.3)			91,7	14,1	100	(83.3-100)			6,5	15,6	0	(0.0-0.0)		
liquido_tempo_encerramento_VA		-	-	-	-	-	-	0,245	-	-	-	-	-	0,25	-	-	-	-	-	0,012
bolacha_latencia	Normal	13 (34.2)	79,5	20,6	86,7	(70.0-96.6)	0,576	0,100	89,7	17,4	100	(75.0-100)	0,675	0,1	12,8	21,7	0	(0.0-33.3)	0,147	-0.456**
	Alterado	22 (57.9)	82,1	18,8	86,7	(76.7-95.0)			93,6	12,3	100	(91.6-100)			3,2	10	0	(0.0-0.0)		

Variável VED Anatomia ou funcional	Valor		EORTC QLQ-C30 Funcionamento físico						EORTC QLQ-C30 Desempenho						EORTC QLQ-C30 Dispneia					
		n (%)	Média	SD	Mediana	(Q1-Q3)	p	Correlação	Média	SD	Mediana	(Q1-Q3)	p	Correlação	Média	SD	Mediana	(Q1-Q3)	p	Correlação
bolacha_tempo_latencia_inicio		-	-	-	-	-	-	0,137	-	-	-	-	-	0,308	-	-	-	-	-	-0,281
bolacha_whiteout	Normal	0 (0.0)	-	-	-	-	-	-	-	-	-	-	-	-	-	-	-	-	-	-
	Alterado	35 (92.1)	81,1	19,2	86,7	(73.3-93.3)			91,9	14,2	100	(83.3-100)			6,7	15,8	0	(0.0-0.0)		
bolacha_tempo_encerramento_VA		-	-	-	-	-	-	0.361*	-	-	-	-	-	-0,025	-	-	-	-	-	0,087

Tabela 137 - Medidas descritivas, análise de correlação e diferenças estatísticas entre as variáveis da avaliação por VED componente funcional e as escalas dor, fadiga e insónia do questionário da EORTC QLQ-C30.

			EORTC QLQ-C30 Dor						EORTC QLQ-C30 Fadiga						EORTC QLQ-C30 Insónia					
Variável VED Anatomia ou funcional	Valor	n (%)	Média	SD	Mediana	(Q1-Q3)	p	Correlação	Média	SD	Mediana	(Q1-Q3)	p	Correlação	Média	SD	Mediana	(Q1-Q3)	p	Correlação
pudim_escape_prematuro	Ausente	32 (84.2)	9,9	15,8	0,0	(0.0-16.7)	0,651	0,089	22,2	21,3	22,2	(2.8-33.3)	0,286	-0,19	22,9	27,4	16,6	(0.0-33.3)	0,503	0,125
	Presente	5 (13.2)	10	9,1	16,7	(0.0-16.7)			11,1	15,7	0	(0.0-27.8)			33,3	33,4	33,3	(0.0-66.7)		
pudim_residulo_valecula	Sem resíduo	11 (28.9)	16,7	21,1	16,7	(0.0-33.3)	0,24	-0,272	17,2	16,7	11,1	(0.0-33.3)	0,711	0,013	21,2	27	0,0	(0.0-33.3)	0,86	0,046
	Resíduo ligeiro a moderado	24 (63.2)	7,6	11	0,0	(0.0-16.7)			23,1	22,9	22,2	(2.8-33.3)			26,4	29,4	33,3	(0.0-33.3)		
	Resíduo severo	2 (5.3)	0,0	0,0	0,0	(0.0-0.0)			11,1	15,7	11,1	(0.0-22.2)			16,6	23,5	16,6	(0.0-33.3)		
pudim_residuo_piriforme	Sem resíduo	22 (57.9)	12,1	18	0,0	(0.0-20.9)	0,824	-0,176	25,7	24,1	22,2	(0.0-33.3)	0,239	-0,241	28,8	29,6	33,3	(0.0-41.6)	0,27	-0,15
	Resíduo ligeiro a moderado	12 (31.6)	7	8,6	0,0	(0.0-16.7)			12	11,1	11,1	(0.0-22.2)			13,9	22,3	0,0	(0.0-33.3)		
	Resíduo severo	3 (7.9)	5,6	9,6	0	(0.0-8.4)			18,5	17	22,2	(11.1-27.8)			33,3	33,4	33,3	(16.6-50.0)		
pudim_residuo_parede_farinnge	Sem resíduo	26 (68.4)	11,5	16,8	0	(0.0-16.7)	0,664	-0,088	23,9	23	22,2	(0.0-33.3)	0,32	-0,174	24,4	29,2	16,6	(0.0-33.3)	0,986	-0,003
	Resíduo ligeiro a moderado	10 (26.2)	6,7	8,6	0	(0.0-16.7)			14,4	11,8	16,6	(0.0-22.2)			23,3	27,4	16,6	(0.0-41.6)		
	Resíduo severo	1 (2.6)	-	-	-	-			-	-	-	-			-	-	-	-		
pudim_deglutições	1 deglutição	28 (73.7)	11,3	16,4	0	(0.0-16.7)	0,689	-0,144	19	20	16,6	(0.0-30.5)	0,478	0,172	21,4	24,4	16,6	(0.0-33.3)	0,156	0,135
	1+2 adicionais	5 (13.2)	6,7	9,1	0	(0.0-16.7)			17,8	12,6	22,2	(5.6-27.8)			33,3	33,4	33,3	(0.0-66.7)		
	1+3 adicionais	2 (5.3)	8,4	11,8	8,4	(0.0-16.7)			33,3	0	33,3	(33.3-33.3)			0,0	0,0	0,0	(0.0-0.0)		
	1+4 ou mais adicionais	2 (5.3)	0,0	0,0	0,0	(0.0-0.0)			38,9	55	38,9	(0.0-77.8)			66,6	47,2	66,6	(33.3-100)		
pudim_reage_sem_tosse	Ausente	34 (89.5)	10,3	15,4	0,0	(0.0-16.7)	0,733	-0,069	20,2	18,6	22,2	(0.0-33.3)	0,654	-0,081	22,5	25,6	16,6	(0.0-33.3)	0,472	0,141
	Presente	3 (7.9)	5,6	9,6	0,0	(0.0-8.4)			25,9	44,9	0	(0.0-38.9)			44,4	50,9	33,3	(16.6-66.6)		
líquido_escape_prematuro	Ausente	24 (63.2)	9,7	17	0,0	(0.0-16.7)	0,398	0,164	17,6	13,5	22,2	(2.8-30.5)	0,54	0,108	19,4	23,9	0,0	(0.0-33.3)	0,311	0,182
	Presente	12 (31.6)	11,1	10,8	16,7	(0.0-16.7)			28,7	30,1	22,2	(0.0-58.4)			33,3	34,8	33,3	(0.0-66.7)		
líquido_residulo_valecula	Sem resíduo	13 (34.2)	15,4	20,9	0,0	(0.0-33.3)	0,448	-0,152	17,1	15,4	11,1	(0.0-33.3)	0,625	0,087	20,5	25,6	0,0	(0.0-33.3)	0,801	0,048
	Resíduo ligeiro a moderado	22 (57.9)	7,6	9,9	0,0	(0.0-16.7)			23,7	23,8	22,2	(0.0-33.3)			24,2	29,4	16,6	(0.0-33.3)		
	Resíduo severo	1 (2.6)	-	-	-	-			-	-	-	-			-	-	-	-		
líquido_residuo_piriforme	Sem resíduo	23 (60.5)	11,6	17,7	0,0	(0.0-16.7)	1,000	0,000	24,1	24,3	22,2	(0.0-33.3)	0,482	-0,128	26,1	28,4	33,3	(0.0-33.3)	0,344	-0,183
	Resíduo ligeiro a moderado	12 (31.6)	8,4	8,7	8,4	(0.0-16.7)			15,7	12	16,6	2.8-22.2)			16,7	26,6	0,0	(0.0-33.3)		
	Resíduo severo	1 (2.6)	-	-	-	-			-	-	-	-			-	-	-	-		
líquido_residuo_parede_farinnge	Sem resíduo	32 (84.2)	11,5	15,5	0,0	(0.0-16.7)	0,196	-0,256	21,9	21,8	22,2	(0.0-33.3)	0,676	-0,078	22,9	28,6	0,0	(0.0-33.3)	0,846	0,039
	Resíduo ligeiro a moderado	3 (7.9)	0,0	0,0	0,0	(0.0-0.0)			14,8	12,8	22,2	(11.1-22.2)			22,2	19,2	33,3	(16.6-33.3)		
	Resíduo severo	1 (2.6)	-	-	-	-			-	-	-	-			-	-	-	-		

Variável VED Anatomia ou funcional	Valor	EORTC QLQ-C30 Dor							EORTC QLQ-C30 Fadiga						EORTC QLQ-C30 Insónia					
		n (%)	Média	SD	Mediana	(Q1-Q3)	p	Correlação	Média	SD	Mediana	(Q1-Q3)	p	Correlação	Média	SD	Mediana	(Q1-Q3)	p	Correlação
líquido_deglutições	1 deglutição	31 (81.6)	10,8	15,8	0,0	(0.0-16.7)	0,902	-0,061	22,9	21,6	22,2	(0.0-33.3)	0,379	-0,197	22,6	27,7	0,0	(0.0-33.3)	0,055	0,158
	1+2 adicionais	2 (5.3)	8,4	11,8	8,4	(0.0-16.7)			5,6	7,8	5,6	(0.0-11.1)			0,0	0,0	0,0	(0.0-0.0)		
	1+3 adicionais	3 (7.9)	5,6	9,6	0,0	(0.0-8.4)			14,8	12,8	22,2	(11.1-22.2)			55,6	19,3	66,7	(50.0-66.7)		
	1+4 ou mais adicionais	0	-	-	-	-			-	-	-	-			-	-	-	-		
líquido_reage_sem_tosse	Ausente	34 (89.5)	10,8	15,3	0,0	(0.0-16.7)	0,349	-0,198	19,6	19	22,2	(0.0-33.3)	0,203	0,233	20,6	24,6	0,0	(0.0-33.3)	0,013	0.401*
	Presente	2 (5.3)	0,0	0,0	0,0	(0.0-0.0)			50	39,3	50	(22.2-77.8)			83,4	23,5	83,4	(66.7-100)		
bolacha_escape_prematuro	Ausente	33 (86.8)	10,1	15,6	0,0	(0.0-16.7)	1	0,014	21,5	21,3	22,2	(0.0-33.3)	0,524	-0,119	24,2	28	33,3	(0.0-33.3)	0,272	-0,227
	Presente	2 (5.3)	8,4	11,8	8,4	(0.0-16.7)			11,1	15,7	11,1	(0.0-22.2)			0,0	0,0	0,0	(0.0-0.0)		
bolacha_residulo_valecula	Sem resíduo	2 (5.3)	16,6	23,5	16,6	(0.0-33.3)	0,722	-0,128	27,8	7,8	27,8	(22.2-33.3)	0,523	-0,037	33,4	47,2	33,4	(0.0-66.7)	0,818	-0,105
	Resíduo ligeiro a moderado	18 (47.4)	11,1	17,2	0,0	(0.0-16.7)			19,7	23,7	11,1	(0.0-33.3)			24,1	27,6	16,6	(0.0-41.6)		
	Resíduo severo	15 (39.5)	7,8	12,4	0,0	(0.0-16.7)			21,5	19,4	22,2	(11.1-33.3)			20	27,6	0,0	(0.0-33.3)		
bolacha_residuo_piriforme	Sem resíduo	14 (36.8)	11,9	20,1	0,0	(0.0-20.8)	0,999	0,008	31,7	26,1	22,2	(11.1-50.0)	0,059	-0,283	33,3	32	33,3	(0.0-66.7)	0,219	-0,295
	Resíduo ligeiro a moderado	18 (47.4)	8,3	10,3	0,0	(0.0-16.7)			12,3	13,1	11,1	(0.0-22.2)			16,7	23,6	0,0	(0.0-33.3)		
	Resíduo severo	3 (7.9)	11,1	19,2	0,0	(0.0-16.6)			22,2	11,1	22,2	(16.6-27.8)			11,1	19,2	0,0	(0.0-16.6)		
bolacha_residuo_parede_faringe	Sem resíduo	6 (15.8)	22,2	25,1	16,7	(0.0-41.6)	0,159	-0.365*	24,1	26,7	16,6	(0.0-50.0)	0,982	-0,004	11,1	17,2	0,0	(0.0-33.3)	0,388	0,173
	Resíduo ligeiro a moderado	28 (73.7)	7,7	11,5	0,0	(0.0-16.7)			21	20,1	22,2	(2.8-33.3)			25	29,6	16,6	(0.0-33.3)		
	Resíduo severo	1 (2.6)	-	-	-	-			-	-	-	-			-	-	-	-		
bolacha_deglutições	1 deglutição	2 (5.3)	16,7	0,0	16,7	(16.7-16.7)	0,615	-0,143	0,0	0,0	0,0	(0.0-0.0)	0,339	0,127	0,0	0,0	0,0	(0.0-0.0)	0,127	0,093
	1+2 adicionais	13 (34.2)	11,5	19,7	0,0	(0.0-16.7)			21,4	19,5	22,2	(5.6-33.3)			28,2	26,7	33,3	(0.0-50.0)		
	1+3 adicionais	12 (31.6)	9,7	15	0,0	(0.0-29.2)			22,2	20,6	22,2	(11.1-30.5)			11,1	16,4	0,0	(0.0-33.3)		
	1+4 ou mais adicionais	8 (21.1)	6,3	8,6	0,0	(0.0-16.7)			23,6	26,2	22,2	(0.0-33.3)			37,5	37,5	33,3	(0.0-66.7)		
bolacha_reage_sem_tosse	Presente	1 (2.6)	-	-	-	-	-	-	-	-	-	-	-	-	-	-	-	-	-	-
	Ausente	34 (89.5)	10,3	15,4	0,0	(0.0-16.7)			19,3	18,8	22,2	(0.0-33.3)			20,6	24,6	0,0	(0.0-33.3)		
aspiração	Não	20 (52.6)	13,3	17,6	8,4	(0.0-16.7)	0,232	-0,271	22,8	21,8	22,2	(2.8-33.3)	0,196	-0,193	25	26,2	33,3	(0.0-33.3)	0,864	-0,089
	Sim	16 (42.1)	6,2	10,3	0,0	(0.0-16.7)			19,4	20,1	22,2	(0.0-30.5)			22,9	31,6	0,0	(0.0-33.3)		
	Alto risco	2 (5.3)	0,0	0,0	0,0	(0.0-0.0)			0,0	0,0	0,0	(0.0-0.0)			16,6	23,5	16,6	(0.0-33.3)		
momento_aspiração_pudim	NA	31 (81.6)	10,2	15,9	0,0	(0.0-16.7)	0,690	0,079	21,8	21,9	22,2	(0.0-33.3)	0,207	-0,227	21,5	28,0	0,0	(0.0-33.3)	0,657	0,090
	Pré-deglutição	5 (13.2)	10	9,1	16,7	(0.0-16.7)			8,9	14,5	0,0	(0.0-22.2)			26,7	27,9	33,3	(0.0-50.0)		
	Durante deglutição	1 (2.6)	-	-	-	-			-	-	-	-			-	-	-	-		
	Pós-deglutição	1 (2.6)	-	-	-	-			-	-	-	-			-	-	-	-		

Variável VED Anatomia ou funcional	Valor	EORTC QLQ-C30 Dor							EORTC QLQ-C30 Fadiga						EORTC QLQ-C30 Insónia					
		n (%)	Média	SD	Mediana	(Q1-Q3)	p	Correlação	Média	SD	Mediana	(Q1-Q3)	p	Correlação	Média	SD	Mediana	(Q1-Q3)	p	Correlação
momento_aspiração_líquido	NA	25 (65.8)	12	16,3	0,0	(0.0-16.7)	0,382	-0,266	19,5	21,3	11,1	(0.0-33.3)	0,155	-0,016	21,3	25,2	0,0	(0.0-33.3)	0,108	0,014
	Pré-deglutição	2 (5.3)	8,4	11,8	8,4	(0.0-8.4)			55,6	31,5	55,6	(33.3-77.8)			83,4	23,5	83,4	(66.7-100)		
	Durante deglutição	8 (21.1)	6,2	12,4	0,0	(0.0-12.5)			18	10,2	22,2	(11.1-22.2)			20,8	24,8	16,6	(0.0-33.3)		
	Pós-deglutição	3 (7.9)	0,0	0,0	0,0	(0.0-0.0)			7,4	12,8	0,0	(0.0-11.1)			11,1	19,2	0,0	(0.0-16.6)		
momento_aspiração_bolacha	NA	32 (84.2)	9,9	15,2	0	(0.0-16.7)	0,949	0,013	20,1	22,1	16,6	(0.0-33.3)	0,88	0,027	25	28,1	33,3	(0.0-33.3)	0,714	-0,068
	Pré-deglutição	0 (0.0)	-	-	-	-			-	-	-	-			-	-	-	-		
	Durante deglutição	1 (2.6)	-	-	-	-			-	-	-	-			-	-	-	-		
	Pós-deglutição	5 (13.2)	10	14,9	0	(0.0-25.0)			17,8	12,6	22,2	(5.6-27.8)			20	29,8	0,0	(0.0-50.0)		
PAS	1	21 (55.3)	12,7	17,4	0	(0.0-16.7)	0,045	-0,255	21,7	21,8	22,2	(0.0-33.3)	0,947	-0,052	23,8	26,1	33,3	(0.0-33.3)	0,321	0,01
	2	9 (23.7)	5,6	11,8	0	(0.0-8.4)			22,2	24,8	22,2	(0.0-33.3)			18,5	33,8	0,0	(0.0-33.3)		
	3	4 (10.5)	12,5	8,4	16,7	(4.2-16.7)			13,9	16,6	11,1	(0.0-30.5)			16,7	33,4	0,0	(0.0-50.0)		
	4	3 (7.9)	0,0	0,0	0,0	(0.0-0.0)			18,5	6,4	22,2	(16.6-22.2)			44,4	19,3	33,3	(33.3-50.0)		
	8	1 (2.6)	-	-	-	-			-	-	-	-			-	-	-	-		
Limpeza	A-efetivo	6 (15.8)	2,8	6,8	0,0	(0.0-4.2)	0,254	0,254	24,1	28,5	22,2	(0.0-36.1)	0,465	0,04	33,3	42,2	16,6	(0.0-75.0)	0,973	0,004
	B-moderadamente efetivo	5 (13.2)	10	9,1	16,7	(0.0-16.7)			15,5	14,9	22,2	(0.0-27.8)			20	29,8	0,0	(0.0-50.0)		
	C-ligeiramente efetivo	4 (10.5)	8,3	16,6	0,0	(0.0-25.0)			22,2	12,8	22,2	(11.1-33.3)			16,6	19,2	16,6	(0.0-33.3)		
	D-ineficaz	2 (5.3)	0,0	0,0	0,0	(0.0-0.0)			0,0	0,0	0,0	(0.0-0.0)			16,6	23,5	16,6	(0.0-33.3)		
	NA	21 (55.5)	12,7	17,4	0,0	(0.0-16.7)			21,7	21,8	22,2	(0.0-33.3)			23,8	26,1	33,3	(0.0-33.3)		
pudim_latencia	Normal	9 (23.7)	16,7	22	16,7	(0.0-25.0)	0,319	-0,195	29,6	29,4	33,3	(0.0-55.6)	0,355	-0,164	25,9	27,8	33,3	(0.0-50.0)	0,794	-0,048
	Alterado	28 (73.7)	7,7	11,5	0	(0.0-16.7)			17,8	16,9	22,2	(0.0-22.2)			23,8	28,5	16,6	(0.0-33.3)		
pudim_tempo_latencia_inicio		-	-	-	-	-	-	-0,02	-	-	-	-	-	-0,275	-	-	-	-	-	-0,185
pudim_whiteout	Normal	0 (0.0)	-	-	-	-	-	-	-	-	-	-	-	-	-	-	-	-	-	-
	Alterado	37 (97.4)	9,9	14,9	0	(0.0-16.7)			20,7	20,8	22,2	(0.0-33.3)			24,3	27,9	33,3	(0.0-33.3)		
pudim_tempo_encerramento_VA		-	-	-	-	-	-	-0,226	-	-	-	-	-	0,018	-	-	-	-	-	0,001
liquido_latencia	Normal	10 (26.3)	6,7	11,6	0	(0.0-16.7)	0,454	0,145	22,2	21	22,2	(0.0-33.3)	0,794	-0,049	13,3	23,3	0	(0.0-33.3)	0,189	0,247
	Alterado	26 (68.4)	11,5	16,2	0	(0.0-16.7)			20,9	21,2	22,2	(0.0-33.3)			28,2	29,4	33,3	(0.0-41.6)		
liquido_tempo_latencia_inicio		-	-	-	-	-	-	0,007	-	-	-	-	-	0,046	-	-	-	-	-	0.450**
liquido_whiteout	Normal	0 (0.0)	-	-	-	-	-	-	-	-	-	-	-	-	-	-	-	-	-	-
	Alterado	36 (94.7)	10,2	15	0	(0.0-16.7)			21,3	20,8	22,2	(0.0-33.3)			24,1	28,3	16,6	(0.0-33.3)		
liquido_tempo_encerramento_VA		-	-	-	-	-	-	-0,126	-	-	-	-	-	-0,193	-	-	-	-	-	0,13

Variável VED Anatomia ou funcional	Valor	EORTC QLQ-C30 Dor							EORTC QLQ-C30 Fadiga						EORTC QLQ-C30 Insónia					
		n (%)	Média	SD	Mediana	(Q1-Q3)	p	Correlação	Média	SD	Mediana	(Q1-Q3)	p	Correlação	Média	SD	Mediana	(Q1-Q3)	p	Correlação
bolacha_latencia	Normal	13 (34.2)	9	12,9	0	(0.0-16.7)	1	0	27,3	29,6	22,2	(0.0-50.0)	0,529	-0,114	25,6	33,8	0	(0.0-50.0)	0,78	-0,055
	Alterado	22 (57.9)	10,3	17,1	0	(0.0-16.7)			16,4	13	11,1	(5.6-22.2)			19	22,5	0	(0.0-33.3)		
bolacha_tempo_latencia_inicio		-	-	-	-	-	-	0,062	-	-	-	-	-	-0,223	-	-	-	-	-	-0,105
bolacha_whiteout	Normal	0 (0.0)	-	-	-	-	-	-	-	-	-	-	-	-	-	-	-	-	-	-
	Alterado	35 (92.1)	10	15,2	0	(0.0-16.7)			20,9	21	22,2	(0.0-33.3)			22,8	27,7	0	(0.0-33.3)		
bolacha_tempo_encerramento_VA		-	-	-	-	-	-	-0.392*	-	-	-	-	-	-0,005	-	-	-	-	-	-0,112

Tabela 138 - Medidas descritivas, análise de correlação e diferenças estatísticas entre as variáveis da avaliação por VED componente funcional e as escalas perda de apetite, náusea e vómito e obstipação do questionário da EORTC QLQ-C30.

Variável VED Anatomia ou funcional	Valor	n (%)	EORTC QLQ-C30 Perda de Apetite						EORTC QLQ-C30 Náusea e vómitos						EORTC QLQ-C30 Obstipação					
			Média	SD	Mediana	(Q1-Q3)	p	Correlação	Média	SD	Mediana	(Q1-Q3)	p	Correlação	Média	SD	Mediana	(Q1-Q3)	p	Correlação
pudim_escape_prematuro	Ausente	32 (84.2)	7,3	16,4	0,0	(0.0-0.0)	1	0,005	1,0	4,1	0,0	(0.0-0.0)	0,846	-0,094	7,3	20,3	0,0	(0.0-0.0)	0,589	-0,156
	Presente	5 (13.2)	6,7	14,9	0,0	(0.0-16.6)			0,0	0,0	0,0	(0.0-0.0)			0,0	0,0	0,0	(0.0-0.0)		
pudim_residulo_valecula	Sem resíduo	11 (28.9)	18,2	22,9	0,0	(0.0-33.3)	0,002	-0.393*	1,5	5,0	0,0	(0.0-0.0)	0,792	-0,114	9,1	15,6	0,0	(0.0-33.3)	0,031	-0.428*
	Resíduo ligeiro a moderado	24 (63.2)	1,4	6,8	0,0	(0.0-0.0)			0,7	3,4	0,0	(0.0-0.0)			5,6	21,2	0,0	(0.0-0.0)		
	Resíduo severo	2 (5.3)	16,6	23,5	16,6	(0.0-33.3)			0,0	0,0	0,0	(0.0-0.0)			0,0	0,0	0,0	(0.0-0.0)		
pudim_residuo_piriforme	Sem resíduo	22 (57.9)	9,1	18,3	0,0	(0.0-8.3)	0,009	0.399*	1,5	4,9	0,0	(0.0-0.0)	0,496	-0,181	6,0	13,1	0,0	(0.0-0.0)	0,62	-0,159
	Resíduo ligeiro a moderado	12 (31.6)	2,8	9,6	0,0	(0.0-0.0)			0,0	0,0	0,0	(0.0-0.0)			8,3	28,9	0,0	(0.0-0.0)		
	Resíduo severo	3 (7.9)	11,1	19,2	0,0	(0.0-16.6)			0,0	0,0	0,0	(0.0-0.0)			0,0	0,0	0,0	(0.0-0.0)		
pudim_residuo_parede_faringe	Sem resíduo	26 (68.4)	7,7	17,1	0,0	(0.0-0.0)	1	0	1,3	4,5	0,0	(0.0-0.0)	0,741	-0,15	5,1	12,2	0,0	(0.0-0.0)	0,876	0,115
	Resíduo ligeiro a moderado	10 (26.2)	6,7	14	0,0	(0.0-8.3)			0,0	0,0	0,0	(0.0-0.0)			10	31,6	0,0	(0.0-0.0)		
	Resíduo severo	1 (2.6)	-	-	-	-			-	-	-	-			-	-	-	-		
pudim_deglutições	1 deglutição	28 (73.7)	8,3	17,3	0,0	(0.0-0.0)	0,795	-0,133	1,2	4,4	0,0	(0.0-0.0)	0,882	-0,134	8,3	21,5	0,0	(0.0-0.0)	0,615	-0,221
	1+2 adicionais	5 (13.2)	6,7	14,9	0,0	(0.0-0.0)			0,0	0,0	0,0	(0.0-0.0)			0,0	0,0	0,0	(0.0-0.0)		
	1+3 adicionais	2 (5.3)	0	0	0,0	(0.0-0.0)			0,0	0,0	0,0	(0.0-0.0)			0,0	0,0	0,0	(0.0-0.0)		
	1+4 ou mais adicionais	2 (5.3)	0	0	0,0	(0.0-0.0)			0,0	0,0	0,0	(0.0-0.0)			0,0	0,0	0,0	(0.0-0.0)		
pudim_reage_sem_tosse	Ausente	34 (89.5)	7,8	16,5	0,0	(0.0-0.0)	0,579	-0,143	1,0	4,0	0,0	(0.0-0.0)	0,896	-0,071	6,9	19,7	0,0	(0.0-0.0)	0,693	-0,117
	Presente	3 (7.9)	0	0	0,0	(0.0-0.0)			0,0	0,0	0,0	(0.0-0.0)			0,0	0,0	0,0	(0.0-0.0)		
líquido_escape_prematuro	Ausente	24 (63.2)	8,3	17,7	0,0	(0.0-0.0)	0,83	-0,058	0,7	3,4	0,0	(0.0-0.0)	0,856	0,086	9,7	23	0,0	(0.0-0.0)	0,327	-0,283
	Presente	12 (31.6)	5,6	13	0,0	(0.0-0.0)			1,4	4,8	0,0	(0.0-0.0)			0,0	0,0	0,0	(0.0-0.0)		
líquido_residulo_valecula	Sem resíduo	13 (34.2)	12,8	21,7	0,0	(0.0-33.3)	0,147	-0.460**	1,3	4,6	0,0	(0.0-0.0)	0,88	-0,066	5,1	12,5	0,0	(0.0-0.0)	0,96	-0,014
	Resíduo ligeiro a moderado	22 (57.9)	3	9,8	0,0	(0.0-0.0)			0,8	3,6	0,0	(0.0-0.0)			7,6	22,8	0,0	(0.0-0.0)		
	Resíduo severo	1 (2.6)	-	-	-	-			-	-	-	-			-	-	-	-		
líquido_residuo_piriforme	Sem resíduo	23 (60.5)	8,7	18	0,0	(0.0-0.0)	0,526	-0,173	1,4	4,8	0,0	(0.0-0.0)	0,694	-0,178	4,3	11,5	0,0	(0.0-0.0)	0,824	0,064
	Resíduo ligeiro a moderado	12 (31.6)	2,8	9,6	0,0	(0.0-0.0)			0	0	0,0	(0.0-0.0)			11,1	29,6	0,0	(0.0-0.0)		
	Resíduo severo	1 (2.6)	-	-	-	-			-	-	-	-			-	-	-	-		
líquido_residuo_parede_faringe	Sem resíduo	32 (84.2)	7,3	16,4	0,0	(0.0-0.0)	0,635	-0,139	1	4,1	0,0	(0.0-0.0)	0,89	-0,075	4,2	11,2	0,0	(0.0-0.0)	0,385	0.558**
	Resíduo ligeiro a moderado	3 (7.9)	0,0	0,0	0,0	(0.0-0.0)			0,0	0,0	0,0	(0.0-0.0)			33,3	57,7	0,0	(0.0-50.0)		
	Resíduo severo	1 (2.6)	-	-	-	-			-	-	-	-			-	-	-	-		
líquido_deglutições	1 deglutição	31 (81.6)	7,5	16,6	0,0	(0.0-0.0)	0,678	0,011	1,1	4,2	0,0	(0.0-0.0)	0,847	-0,097	7,5	20,6	0,0	(0.0-0.0)	0,635	-0,161
	1+2 adicionais	2 (5.3)	0,0	0,0	0,0	(0.0-0.0)			0,0	0,0	0,0	(0.0-0.0)			0,0	0,0	0,0	(0.0-0.0)		
	1+3 adicionais	3 (7.9)	11,1	19,2	0,0	(0.0-16.6)			0,0	0,0	0,0	(0.0-0.0)			0,0	0,0	0,0	(0.0-0.0)		
	1+4 ou mais adicionais	0	-	-	-	-			-	-	-	-			-	-	-	-		

Variável VED Anatomia ou funcional	Valor	n (%)	EORTC QLQ-C30 Perda de Apetite						EORTC QLQ-C30 Náusea e vómitos						EORTC QLQ-C30 Obstipação					
			Média	SD	Mediana	(Q1-Q3)	p	Correlação	Média	SD	Mediana	(Q1-Q3)	p	Correlação	Média	SD	Mediana	(Q1-Q3)	p	Correlação
líquido_reage_sem_tosse	Ausente	34 (89.5)	6,8	15,9	0,0	(0.0-0.0)	0,31	0.466**	1	4	0,0	(0.0-0.0)	0,917	-0,059	6,8	19,7	0,0	(0.0-0.0)	0,762	-0,097
	Presente	2 (5.3)	16,6	23,5	16,6	(0.0-33.3)			0,0	0,0	0,0	(0.0-0.0)			0,0	0,0	0,0	(0.0-0.0)		
bolacha_escape_prematuro	Ausente	33 (86.8)	7,1	16,1	0,0	(0.0-0.0)	0,331	0.464**	1	4	0,0	(0.0-0.0)	0,914	-0,061	7,1	20	0,0	(0.0-0.0)	0,756	-0,1
	Presente	2 (5.3)	16,6	23,5	16,6	(0.0-33.3)			0,0	0,0	0,0	(0.0-0.0)			0,0	0,0	0,0	(0.0-0.0)		
bolacha_residulo_valecula	Sem resíduo	2 (5.3)	33,4	47,2	33,4	(0.0-66.7)	0,321	-0,2	0,0	0,0	0,0	(0.0-0.0)	0,931	0,048	0,0	0,0	0,0	(0.0-0.0)	0,441	-0,128
	Resíduo ligeiro a moderado	18 (47.4)	7,4	14,2	0,0	(0.0-0.0)			0,9	3,9	0,0	(0.0-0.0)			7,4	14,2	0,0	(0.0-8.3)		
	Resíduo severo	15 (39.5)	4,4	11,7	0,0	(0.0-0.0)			1,1	4,3	0,0	(0.0-0.0)			6,7	25,8	0,0	(0.0-0.0)		
bolacha_residuo_piriforme	Sem resíduo	14 (36.8)	9,5	20,4	0,0	(0.0-8.3)	0,000	0.466**	1,2	4,5	0,0	(0.0-0.0)	0,006	0,308	7,3	14,2	0,0	(0.0-8.3)	0,589	-0,173
	Resíduo ligeiro a moderado	18 (47.4)	3,7	10,8	0,0	(0.0-0.0)			0,0	0,0	0,0	(0.0-0.0)			7,4	24,4	0,0	(0.0-0.0)		
	Resíduo severo	3 (7.9)	22,2	19,2	33,3	(16.6-33.3)			5,6	9,6	0,0	(0.0-8.4)			0,0	0,0	0,0	(0.0-0.0)		
bolacha_residuo_parede_faringe	Sem resíduo	6 (15.8)	11,1	17,2	0,0	(0.0-33.3)	0,232	-0.533**	0,0	0,0	0,0	(0.0-0.0)	0,809	0,116	5,6	13,6	0,0	(0.0-8.3)	0,947	-0,019
	Resíduo ligeiro a moderado	28 (73.7)	7,1	16,6	0,0	(0.0-0.0)			1,2	4,4	0,0	(0.0-0.0)			7,1	21	0,0	(0.0-0.0)		
	Resíduo severo	1 (2.6)	-	-	-	-			-	-	-	-			-	-	-	-		
bolacha_deglutições	1 deglutição	2 (5.3)	0	0	0	(0.0-0.0)	0,033	-0.375*	0,0	0,0	0,0	(0.0-0.0)	0,267	0,09	0	0	0,0	(0.0-0.0)	0,069	-0,334
	1+2 adicionais	13 (34.2)	15,4	22	0	(0.0-33.3)			0,0	0,0	0,0	(0.0-0.0)			10,2	16	0,0	(0.0-33.3)		
	1+3 adicionais	12 (31.6)	2,8	9,6	0	(0.0-0.0)			2,8	6,5	0,0	(0.0-0.0)			8,3	28,9	0,0	(0.0-0.0)		
	1+4 ou mais adicionais	8 (21.1)	4,2	11,8	0	(0.0-0.0)			0,0	0,0	0,0	(0.0-0.0)			0,0	0,0	0,0	(0.0-0.0)		
bolacha_reage_sem_tosse	Presente	1 (2.6)	-	-	-	-	-	-	-	-	-	-	-	-	-	-	-	-	-	-
	Ausente	34 (89.5)	7,8	16,5	0,0	(0.0-0.0)			0,9	4,0	0,0	(0.0-0.0)			6,8	19,7	0,0	(0.0-0.0)		
aspiração	Não	20 (52.6)	8,3	18,3	0,0	(0.0-0.0)	0,783	-0,073	0,8	3,7	0,0	(0.0-0.0)	0,9	0,0	6,7	13,7	0,0	(0.0-0.0)	0,472	-0,201
	Sim	16 (42.1)	6,2	13,4	0,0	(0.0-0.0)			1	4,2	0,0	(0.0-0.0)			6,2	25	0,0	(0.0-0.0)		
	Alto risco	2 (5.3)	0,0	0,0	0,0	(0.0-0.0)			0,0	0,0	0,0	(0.0-0.0)			0,0	0,0	0,0	(0.0-0.0)		
momento_aspiração_pudim	NA	31 (81.6)	7,5	16,6	0,0	(0.0-0.0)	0,504	-0,179	1,1	4,2	0,0	(0.0-0.0)	0,825	-0,097	7,5	20,6	0,0	(0.0-0.0)	0,594	-0,161
	Pré-deglutição	5 (13.2)	0,0	0,0	0,0	(0.0-0.0)			0,0	0,0	0,0	(0.0-0.0)			0,0	0,0	0,0	(0.0-0.0)		
	Durante deglutição	1 (2.6)	-	-	-	-			-	-	-	-			-	-	-	-		
	Pós-deglutição	1 (2.6)	-	-	-	-			-	-	-	-			-	-	-	-		
momento_aspiração_líquido	NA	25 (65.8)	6,7	16,7	0,0	(0.0-0.0)	0,016	0.366*	0,7	3,3	0,0	(0.0-0.0)	0,761	0,07	5,3	12,4	0,0	(0.0-0.0)	0,016	0,317
	Pré-deglutição	2 (5.3)	0,0	0,0	0,0	(0.0-0.0)			0,0	0,0	0,0	(0.0-0.0)			0,0	0,0	0,0	(0.0-0.0)		
	Durante deglutição	8 (21.1)	12,5	17,2	0,0	(0.0-33.3)			2,1	5,9	0,0	(0.0-0.0)			0,0	0,0	0,0	(0.0-0.0)		
	Pós-deglutição	3 (7.9)	0,0	0,0	0,0	(0.0-0.0)			0,0	0,0	0,0	(0.0-0.0)			33,3	57,7	0,0	(0.0-50.0)		
momento_aspiração_bolacha	NA	32 (84.2)	5,2	14,9	0	(0.0-0.0)	0,034	0.748**	0,5	3	0	(0.0-0.0)	0,56	0,128	7,3	20,3	0,0	(0.0-0.0)	0,589	-0,156
	Pré-deglutição	0 (0.0)	-	-	-	-			-	-	-	-			-	-	-	-		
	Durante deglutição	1 (2.6)	-	-	-	-			-	-	-	-			-	-	-	-		
	Pós-deglutição	5 (13.2)	20	18,2	33,3	(0.0-33.3)			3,3	7,5	0	(0.0-8.4)			0,0	0,0	0,0	(0.0-0.0)		

Variável VED Anatomia ou funcional	Valor	n (%)	EORTC QLQ-C30 Perda de Apetite						EORTC QLQ-C30 Náusea e vómitos						EORTC QLQ-C30 Obstipação					
			Média	SD	Mediana	(Q1-Q3)	p	Correlação	Média	SD	Mediana	(Q1-Q3)	p	Correlação	Média	SD	Mediana	(Q1-Q3)	p	Correlação
PAS	1	21 (55.3)	7,9	18	0,0	(0.0-0.0)	0,056	0.391*	0,8	3,6	0	(0.0-0.0)	0,81	-0,013	6,3	13,4	0,0	(0.0-0.0)	0,68	-0,193
	2	9 (23.7)	3,7	11,1	0,0	(0.0-0.0)			1,8	5,6	0	(0.0-0.0)			11,1	33,3	0,0	(0.0-0.0)		
	3	4 (10.5)	8,3	16,6	0,0	(0.0-25.0)			0,0	0,0	0,0	(0.0-0.0)			0,0	0,0	0,0	(0.0-0.0)		
	4	3 (7.9)	11,1	19,2	0,0	(0.0-16.6)			0,0	0,0	0,0	(0.0-0.0)			0,0	0,0	0,0	(0.0-0.0)		
	8	1 (2.6)	-	-	-	-			-	-	-	-			-	-	-	-		
Limpeza	A-efetivo	6 (15.8)	5,6	13,6	0,0	(0.0-8.3)	0,136	-0,106	0,0	0,0	0,0	(0.0-0.0)	0,083	-0,094	16,7	40,8	0,0	(0.0-25.0)	0,685	0,12
	B- moderadamente efetivo	5 (13.2)	6,7	14,9	0,0	(0.0-16.6)			0,0	0,0	0,0	(0.0-0.0)			0,0	0,0	0,0	(0.0-0.0)		
	C-ligeiramente efetivo	4 (10.5)	8,3	16,6	0,0	(0.0-25.0)			4,2	8,4	0,0	(0.0-12.5)			0,0	0,0	0,0	(0.0-0.0)		
	D-ineficaz	2 (5.3)	0,0	0,0	0,0	(0.0-0.0)			0,0	0,0	0,0	(0.0-0.0)			0,0	0,0	0,0	(0.0-0.0)		
	NA	21 (55.5)	7,9	18	0,0	(0.0-0.0)			0,8	3,6	0,0	(0.0-0.0)			6,3	13,4	0,0	(0.0-0.0)		
pudim_latencia	Normal	9 (23.7)	3,7	11,1	0,0	(0.0-0.0)	0,638	0,117	1,8	5,6	0,0	(0.0-0.0)	0,741	-0,143	7,4	14,7	0,0	(0.0-16.6)	0,638	-0,134
	Alterado	28 (73.7)	8,3	17,3	0,0	(0.0-0.0)			0,6	3,2	0,0	(0.0-0.0)			6	20,4	0,0	(0.0-0.0)		
pudim_tempo_latencia_inicio		-	-	-	-	-	-	0,231	-	-	-	-	-	-0,112	-	-	-	-	-	-0,324
pudim_whiteout	Normal	0 (0.0)	-	-	-	-	-	-	-	-	-	-	-	-	-	-	-	-	-	-
	Alterado	37 (97.4)	7,2	16,0	0,0	(0.0-0.0)			0,9	3,8	0,0	(0.0-0.0)			6,3	19	0,0	(0.0-0.0)		
pudim_tempo_encerramento_VA		-	-	-	-	-	-	-0,132	-	-	-	-	-	-0,14	-	-	-	-	-	-0,015
liquido_latencia	Normal	10 (26.3)	6,7	21,1	0,0	(0.0-0.0)	0,639	0,122	0,0	0,0	0,0	(0.0-0.0)	0,741	0,15	0,0	0,0	0,0	(0.0-0.0)	0,393	0,249
	Alterado	26 (68.4)	7,7	14,3	0,0	(0.0-8.3)			1,3	4,5	0,0	(0.0-0.0)			9	22,2	0,0	(0.0-0.0)		
liquido_tempo_latencia_inicio		-	-	-	-	-	-	-0,092	-	-	-	-	-	0,082	-	-	-	-	-	-0,035
liquido_whiteout	Normal	0 (0.0)	-	-	-	-	-	-	-	-	-	-	-	-	-	-	-	-	-	-
	Alterado	36 (94.7)	7,4	16,2	0,0	(0.0-0.0)			0,9	3,9	0,0	(0.0-0.0)			6,5	19,2	0,0	(0.0-0.0)		
liquido_tempo_encerramento_VA		-	-	-	-	-	-	0,123	-	-	-	-	-	0,093	-	-	-	-	-	-0,092
bolacha_latencia	Normal	13 (34.2)	7,7	20,0	0,0	(0.0-0.0)	0,801	0,067	1,3	4,6	0,0	(0.0-0.0)	0,88	-0,066	5,1	12,5	0,0	(0.0-0.0)	0,96	-0,014
	Alterado	22 (57.9)	7,6	14,3	0,0	(0.0-8.3)			0,8	3,6	0,0	(0.0-0.0)			7,6	22,8	0,0	(0.0-0.0)		
bolacha_tempo_latencia_inicio		-	-	-	-	-	-	0,068	-	-	-	-	-	0,049	-	-	-	-	-	-0,005
bolacha_whiteout	Normal	0 (0.0)	-	-	-	-	-	-	-	-	-	-	-	-	-	-	-	-	-	-
	Alterado	35 (92.1)	7,6	16,3	0,0	(0.0-0.0)			0,9	3,9	0,0	(0.0-0.0)			6,7	19,5	0,0	(0.0-0.0)		
bolacha_tempo_encerramento_VA		-	-	-	-	-	-	-0,099	-	-	-	-	-	0,171	-	-	-	-	-	0,247

Tabela 139 - Medidas descritivas, análise de correlação e diferenças estatísticas entre as variáveis da avaliação por VED componente funcional e as escalas diarreia, funcionamento cognitivo e emocional do questionário da EORTC QLQ-C30.

			EORTC QLQ-C30 Diarreia						EORTC QLQ-C30 Funcionamento cognitivo						EORTC QLQ-C30 Funcionamento emocional					
Variável VED Anatomia ou funcional	Valor	n (%)	Média	SD	Mediana	(Q1-Q3)	p	Correlação	Média	SD	Mediana	(Q1-Q3)	p	Correlação	Média	SD	Mediana	(Q1-Q3)	p	Correlação
pudim_escape_prematuro	Ausente	32 (84.2)	3,1	9,9	0,0	(0.0-0.0)	0,747	-0,117	88	16,5	100	(83.3-100)	0,714	-0,074	84,4	17,7	91,7	(66.7-100)	0,88	-0,031
	Presente	5 (13.2)	0	0	0,0	(0.0-0.0)			86,7	13,9	83,3	(75.0-100)			83,3	17,7	83,3	(66.6-100)		
pudim_residulo_valecula	Sem resíduo	11 (28.9)	3	10	0,0	(0.0-0.0)	0,911	-0,044	89,4	13,5	100	(83.3-100)	0,333	-0,109	87,1	17,2	100	(75.0-100)	0,612	-0,151
	Resíduo ligeiro a [illegible]	24 (63.2)	2,8	9,4	0,0	(0.0-0.0)			88,2	17,4	100	(83.3-100)			83,3	18,4	91,7	(60.4-100)		
	Resíduo severo	2 (5.3)	0	0	0,0	(0.0-0.0)			75	11,7	75	(66.7-83.3)			79,2	5,9	79,2	(62.5-100)		
pudim_residuo_piriforme	Sem resíduo	22 (57.9)	4,5	11,7	0,0	(0.0-0.0)	0,339	-0,225	85,6	18	91,6	(66.7-100)	0,394	0,099	82,6	17,8	87,5	(64.6-100)	0,689	0,118
	Resíduo ligeiro a [illegible]	12 (31.6)	0,0	0,0	0,0	(0.0-0.0)			93	11,1	100	(83.3-100)			86,8	18,6	100	(70.8-100)		
	Resíduo severo	3 (7.9)	0,0	0,0	0,0	(0.0-0.0)			83,3	16,6	83,3	(75.0-91.6)			86,1	12,7	83,3	(79.2-91.6)		
pudim_residuo_parede_faringe	Sem resíduo	26 (68.4)	2,6	9	0,0	(0.0-0.0)	0,931	0,037	87,2	17,2	100	(79.2-100)	0,768	0,06	84,6	17,3	91,7	(66.7-100)	0,958	0,013
	Resíduo ligeiro a [illegible]	10 (26.2)	3,3	10,5	0,0	(0.0-0.0)			90	14	100	(79.2-100)			84,2	19,4	91,6	(64.6-100)		
	Resíduo severo	1 (2.6)	-	-	-	-			-	-	-	-			-	-	-	-		
pudim_deglutições	1 deglutição	28 (73.7)	3,6	10,5	0,0	(0.0-0.0)	0,796	-0,167	87,5	17,3	100	(70.8-100)	0,838	-0,043	81,5	18	83,3	(60.4-100)	0,151	0.339*
	1+2 adicionais	5 (13.2)	0,0	0,0	0,0	(0.0-0.0)			90	14,9	100	(75.0-100)			91,7	14,4	100	(79.2-100)		
	1+3 adicionais	2 (5.3)	0,0	0,0	0,0	(0.0-0.0)			91,6	11,8	91,6	(83.3-100)			100	0	100	(100-100)		
	1+4 ou mais	2 (5.3)	0,0	0,0	0,0	(0.0-0.0)			83,3	0	83,3	(83.3-83.3)			87,5	17,7	87,5	(75.0-100)		
pudim_reage_sem_tosse	Ausente	34 (89.5)	2,9	9,6	0,0	(0.0-0.0)	0,814	-0,088	87,7	16,6	100	(79.2-100)	0,855	-0,036	83,6	17,7	87,5	(66.7-100)	0,472	0,131
	Presente	3 (7.9)	0,0	0,0	0,0	(0.0-0.0)			88,9	9,6	83,3	(83.3-91.6)			91,7	14,4	100	(87.5-100)		
líquido_escape_prematuro	Ausente	24 (63.2)	4,2	11,2	0,0	(0.0-0.0)	0,562	-0,213	88,2	18	100	(70.8-100)	0,585	-0,107	84,7	17,5	91,7	(68.8-100)	0,96	0,012
	Presente	12 (31.6)	0,0	0,0	0,0	(0.0-0.0)			87,5	12,6	83,3	(83.3-100)			84	18,6	91,6	(60.4-100)		
líquido_residulo_valecula	Sem resíduo	13 (34.2)	2,6	9,2	0,0	(0.0-0.0)	0,96	0,024	83,3	20,4	83,3	(66.7-100)	0,335	0,19	85,2	17,1	91,7	(75.0-100)	0,88	0,031
	Resíduo ligeiro a [illegible]	22 (57.9)	3	9,8	0,0	(0.0-0.0)			90,9	13,3	100	(83.3-100)			84,8	18,3	95,8	(64.6-100)		
	Resíduo severo	1 (2.6)	-	-	-	-			-	-	-	-			-	-	-	-		
líquido_residuo_piriforme	Sem resíduo	23 (60.5)	2,9	9,6	0,0	(0.0-0.0)	0,986	-0,006	87,7	17,5	100	(83.3-100)	0,959	0,01	84	17,4	91,7	(66.7-100)	0,526	0,116
	Resíduo ligeiro a [illegible]	12 (31.6)	2,8	9,6	0,0	(0.0-0.0)			88,9	14,8	100	(70.8-100)			86,8	18,6	100	(70.8-100)		
	Resíduo severo	1 (2.6)	-	-	-	-			-	-	-	-			-	-	-	-		
líquido_residuo_parede_faringe	Sem resíduo	32 (84.2)	2,1	8,2	0,0	(0.0-0.0)	0,382	0.559**	88	16,5	100	(83.3-100)	0,934	0,023	86,4	16,4	91,7	(77.1-100)	0,264	-0,213
	Resíduo ligeiro a [illegible]	3 (7.9)	11,1	19,2	0,0	(0.0-16.6)			88,9	19,2	100	(83.4-100)			69,4	26,8	58,3	(54.1-79.2)		
	Resíduo severo	1 (2.6)	-	-	-	-			-	-	-	-			-	-	-	-		
líquido_deglutições	1 deglutição	31 (81.6)	3,2	10	0,0	(0.0-0.0)	0,774	-0,121	87,1	17	100	(66.7-100)	0,465	0,089	85,7	17	91,7	(75.0-100)	0,039	-0,164
	1+2 adicionais	2 (5.3)	0,0	0,0	0,0	(0.0-0.0)			100	0	100	(100-100)			100	0	100	(100-100)		
	1+3 adicionais	3 (7.9)	0,0	0,0	0,0	(0.0-0.0)			88,9	9,6	83,3	(83.3-91.6)			61,1	4,8	58,3	(58.3-62.5)		
	1+4 ou mais [illegible]	0	-	-	-	-			-	-	-	-			-	-	-	-		

Variável VED Anatomia ou funcional	Valor	n (%)	EORTC QLQ-C30 Diarreia						EORTC QLQ-C30 Funcionamento cognitivo						EORTC QLQ-C30 Funcionamento emocional					
			Média	SD	Mediana	(Q1-Q3)	p	Correlação	Média	SD	Mediana	(Q1-Q3)	p	Correlação	Média	SD	Mediana	(Q1-Q3)	p	Correlação
líquido_reage_sem_tosse	Ausente	34 (89.5)	2,9	9,6	0,0	(0.0-0.0)	0,863	-0,073	88,2	16,7	100	(79.2-100)	0,457	-0,156	84,6	17,7	91,7	(66.7-100)	1	0,006
	Presente	2 (5.3)	0	0	0,0	(0.0-0.0)			83,3	0	83,3	(83.3-83.3)			83,4	23,5	83,4	(66.7-100)		
bolacha_escape_prematuro	Ausente	33 (86.8)	3	9,7	0,0	(0.0-0.0)	0,861	-0,075	87,9	16,3	100	(83.3-100)	0,756	-0,067	83,6	18	91,7	(66.7-100)	0,659	0,083
	Presente	2 (5.3)	0,0	0,0	0,0	(0.0-0.0)			83,4	23,5	83,4	(66.7-100)			91,6	11,8	91,6	(83.3-100)		
bolacha_residulo_valecula	Sem resíduo	2 (5.3)	16,6	23,5	16,6	(0.0-33.3)	0,000	-0,324	91,6	11,8	91,6	(83.3-100)	0,839	-0,101	91,6	11,8	91,6	(83.3-100)	0,859	0,003
	Resíduo ligeiro a	18 (47.4)	1,8	7,8	0,0	(0.0-0.0)			89,8	13	100	(83.3-100)			82,4	18,5	83,3	(64.6-100)		
	Resíduo severo	15 (39.5)	2,2	8,6	0,0	(0.0-0.0)			84,4	20,4	100	(66.7-100)			85	17,9	91,7	(66.7-100)		
bolacha_residuo_piriforme	Sem resíduo	14 (36.8)	7,3	14,2	0,0	(0.0-8.3)	1	0	89,3	14	100	(79.2-100)	0,504	-0,112	79,8	18,7	83,3	(58.3-100)	0,478	0,159
	Resíduo ligeiro a	18 (47.4)	0,0	0,0	0,0	(0.0-0.0)			88	17,9	100	(83.3-100)			87,5	17,2	95,8	(79.2-100)		
	Resíduo severo	3 (7.9)	0,0	0,0	0,0	(0.0-0.0)			77,8	19,2	66,7	(66.7-83.4)			83,3	16,6	83,3	(75.0-91.6)		
bolacha_residuo_parede_faringe	Sem resíduo	6 (15.8)	5,6	13,6	0,0	(0.0-8.3)	0,644	-0,212	94,4	8,6	100	(83.3-100)	0,341	-0,19	81,9	22,6	91,6	(56.2-100)	0,947	0,012
	Resíduo ligeiro a	28 (73.7)	1,2	6,3	0,0	(0.0-0.0)			85,7	17,4	91,6	(66.7-100)			83,9	17	87,5	(66.7-100)		
	Resíduo severo	1 (2.6)	-	-	-	-			-	-	-	-			-	-	-	-		
bolacha_deglutições	1 deglutição	2 (5.3)	0	0	0	(0.0-0.0)	0,537	-0,048	100	0	100	(100-100)	0,597	-0,173	100	0,0	100	(100-100)	0,241	0,055
	1+2 adicionais	13 (34.2)	5,1	12,5	0	(0.0-0.0)			89,7	12,8	100	(83.3-100)			82	16,3	83,3	(70.8-100)		
	1+3 adicionais	12 (31.6)	0	0	0	(0.0-0.0)			83,3	22,5	100	(66.7-100)			79,8	19,9	87,5	(58.3-100)		
	1+4 ou mais	8 (21.1)	4,2	11,8	0	(0.0-0.0)			87,5	11,8	83,3	(83.3-100)			89,6	17,1	100	(73.0-100)		
bolacha_reage_sem_tosse	Presente	1 (2.6)	-	-	-	-	-	-	-	-	-	-	-	-	-	-	-	-	-	-
	Ausente	34 (89.5)	2,9	9,6	0	(0.0-0.0)			87,7	16,6	100	(79.2-100)			83,6	17,7	87,5	(66.7-100)		
aspiração	Não	20 (52.6)	3,3	10,2	0	(0.0-0.0)	0,842	-0,091	85,8	18,2	91,6	(91.6-100)	0,738	0,124	82,5	17,9	87,5	(60.4-100)	0,564	0,107
	Sim	16 (42.1)	2,1	8,3	0	(0.0-0.0)			90,6	13,6	100	(100-100)			87	17,5	100	(70.8-100)		
	Alto risco	2 (5.3)	0,0	0,0	0,0	(0.0-0.0)			91,6	11,8	91,6	(83.3-100)			83,4	11,8	83,4	(75.0-91.7)		
momento_aspiração_pudim	NA	31 (81.6)	3,2	10,0	0,0	(0.0-0.0)	0,756	-0,121	87,1	17,0	100,0	(66.7-100)	0,594	0,103	84,7	17,5	91,7	(66.7-100)	0,476	0,13
	Pré-deglutição	5 (13.2)	0,0	0,0	0,0	(0.0-0.0)			93,3	9,1	100	(83.3-100)			91,7	11,8	100	(79.2-100)		
	Durante deglutição	1 (2.6)	-	-	-	-			-	-	-	-			-	-	-	-		
	Pós-deglutição	1 (2.6)	-	-	-	-			-	-	-	-			-	-	-	-		
momento_aspiração_líquido	NA	25 (65.8)	2,7	9,2	0,0	(0.0-0.0)	0,012	0,315	88	17	100	(83.3-100)	0,989	-0,018	84,7	17,1	91,7	(70.8-100)	0,407	-0,021
	Pré-deglutição	2 (5.3)	0,0	0,0	0,0	(0.0-0.0)			91,6	11,8	91,6	(83.3-100)			100	0	100	(100-100)		
	Durante deglutição	8 (21.1)	0,0	0,0	0,0	(0.0-0.0)			87,5	14,8	91,6	(75.0-100)			80,2	15,4	83,3	(66.7-95.8)		
	Pós-deglutição	3 (7.9)	11,1	19,2	0,0	(0.0-16.6)			88,9	19,2	100	(83.3-100)			83,3	28,9	100	(75.0-100)		
momento_aspiração_bolacha	NA	32 (84.2)	3,1	9,9	0,0	0,0	0,747	-0,117	88,5	16,1	100	(83.3-100)	0,475	-0,139	84,1	17,6	91,7	(68.8-100)	0,949	-0,012
	Pré-deglutição	0 (0.0)	-	-	-	-			-	-	-	-			-	-	-	-		
	Durante deglutição	1 (2.6)	-	-	-	-			-	-	-	-			-	-	-	-		
	Pós-deglutição	5 (13.2)	0,0	0,0	0,0	(0.0-0.0)			83,3	16,6	83,3	(66.7-100)			83,3	16,6	83,3	(66.7-100)		

			EORTC QLQ-C30 Diarreia						EORTC QLQ-C30 Funcionamento cognitivo						EORTC QLQ-C30 Funcionamento emocional					
Variável VED Anatomia ou funcional	Valor	n (%)	Média	SD	Mediana	(Q1-Q3)	p	Correlação	Média	SD	Mediana	(Q1-Q3)	p	Correlação	Média	SD	Mediana	(Q1-Q3)	p	Correlação
PAS	1	21 (55.3)	3,2	10	0,0	(0.0-0.0)	0,859	-0,093	86,5	18	100	(75.0-100)	0,863	0,087	82,9	17,6	91,7	(62.5-100)	0,131	0,092
	2	9 (23.7)	3,7	11,1	0,0	(0.0-0.0)			90,7	14,7	100	(75.0-100)			88,9	18,6	100	(75.0-100)		
	3	4 (10.5)	0,0	0,0	0,0	(0.0-0.0)			91,7	16,6	100	(75.0-100)			95,8	8,4	100	(87.5-100)		
	4	3 (7.9)	0,0	0,0	0,0	(0.0-0.0)			88,9	9,6	83,3	(83.3-91.6)			69,4	12,7	66,7	(62.5-75.0)		
	8	1 (2.6)	-	-	-	-			-	-	-	-			-	-	-	-		
Limpeza	A-efetivo	6 (15.8)	5,6	13,6	0,0	(0.0-8.3)	0,807	0,01	88,9	13,6	91,6	(79.2-100)	0,537	-0,123	83,3	21,1	91,6	(62.5-100)	0,937	-0,108
	B- moderadamente	5 (13.2)	0,0	0,0	0,0	(0.0-0.0)			93,3	14,9	100	(83.4-100)			88,3	18,3	100	(70.8-100)		
	C-ligeiramente	4 (10.5)	0,0	0,0	0,0	(0.0-0.0)			87,5	15,9	91,6	(70.8-100)			87,5	15,9	91,6	(70.8-100)		
	D-ineficaz	2 (5.3)	0,0	0,0	0,0	(0.0-0.0)			91,6	11,8	91,6	(83.3-100)			87,5	17,7	87,5	(75.0-100)		
	NA	21 (55.5)	3,2	10	0,0	(0.0-0.0)			86,5	18	100	(75.0-100)			82,9	17,6	91,7	(62.5-100)		
pudim_latencia	Normal	9 (23.7)	0,0	0,0	0,0	(0.0-0.0)	0,638	0,168	90,7	12,1	100	(83.3-100)	0,715	-0,068	72,2	17,2	75	(58.3-87.5)	0,017	0.411*
	Alterado	28 (73.7)	3,6	10,5	0,0	(0.0-0.0)			86,9	17,2	100	(70.8-100)			88,1	15,9	100	(83.3-100)		
pudim_tempo_latencia_inic		-	-	-	-	-	-	-0,009	-	-	-	-	-	-0,053	-	-	-	-	-	0.389*
pudim_whiteout	Normal	0 (0.0)	-	-	-	-	-	-	-	-	-	-	-	-	-	-	-	-	-	-
	Alterado	37 (97.4)	2,7	9,2	0,0	(0.0-0.0)			87,8	16	100	(83.3-100)			84,2	17,4	91,7	(66.7.-100)		
pudim_tempo_encerrament		-	-	-	-	-	-	-0,093	-	-	-	-	-	0,093	-	-	-	-	-	-0,213
liquido_latencia	Normal	10 (26.3)	6,7	14	0,0	(0.0-8.3)	0,475	-0,262	93,3	11,6	100	(83.3-100)	0,286	-0,202	92,5	13,9	100	(83.3-100)	0,087	-0,304
	Alterado	26 (68.4)	1,3	6,5	0,0	(0.0-0.0)			85,9	17,4	91,6	(66.7-100)			81,4	18,2	83,3	(64.6-100)		
liquido_tempo_latencia_ini		-	-	-	-	-	-	-0,218	-	-	-	-	-	-0,067	-	-	-	-	-	-0,234
liquido_whiteout	Normal	0 (0.0)	-	-	-	-	-	-	-	-	-	-	-	-	-	-	-	-	-	-
	Alterado	36 (94.7)	2,8	9,3	0,0	(0.0-0.0)			88	16,2	100	(83.3-100)			84,5	17,6	91,7	(66.7-100)		
liquido_tempo_encerrament		-	-	-	-	-	-	-0,174	-	-	-	-	-	0,005	-	-	-	-	-	0,275
bolacha_latencia	Normal	13 (34.2)	5,1	12,5	0,0	(0.0-0.0)	0,601	-0,187	91	12,9	100	(83.3-100)	0,468	-0,139	87,8	16,5	100	(75.0-100)	0,335	-0,178
	Alterado	22 (57.9)	1,5	7,1	0,0	(0.0-0.0)			85,6	18	91,6	(66.7-100)			81,8	18,3	83,3	(64.6-100)		
bolacha_tempo_latencia_ini		-	-	-	-	-	-	-0,207	-	-	-	-	-	-0,173	-	-	-	-	-	-0,094
bolacha_whiteout	Normal	0 (0.0)	-	-	-	-	-	-	-	-	-	-	-	-	-	-	-	-	-	-
	Alterado	35 (92.1)	2,8	9,4	0,0	(0.0-0.0)			87,6	16,3	100	(83.3-100)			84	17,7	91,7	(66.7-100)		
bolacha_tempo_encerramen		-	-	-	-	-	-	-0,248	-	-	-	-	-	0,088	-	-	-	-	-	-0,038

Tabela 140 - Medidas descritivas, análise de correlação e diferenças estatísticas entre as variáveis da avaliação por VED componente funcional e as escalas funcionamento social, dificuldades financeiras e estado de saúde geral do questionário da EORTC QLQ-C30.

			EORTC QLQ-C30 Funcionamento social						EORTC QLQ-C30 Dificuldades financeiras						EORTC QLQ-C30 Estado de saúde geral					
Variável VED Anatomia ou funcional	Valor	n (%)	Média	SD	Mediana	(Q1-Q3)	p	Correlação	Média	SD	Mediana	(Q1-Q3)	p	Correlação	Média	SD	Mediana	(Q1-Q3)	p	Correlação
pudim_escape_prematuro	Ausente	32 (84.2)	94,3	10,9	100	(87.5-100)	0,949	0,015	14,6	29,2	0,0	(0.0-25.0)	0,68	-0,143	72,6	18,2	75	(58.3-83.3)	0,423	-0,139
	Presente	5 (13.2)	93,3	14,9	100	(83.4-100)			13,3	29,8	0,0	(0.0-33.4)			63,3	21,7	66,7	(41.6-83.3)		
pudim_residulo_valecula	Sem resíduo	11 (28.9)	93,9	8,4	100	(83.3-100)	0,015	0.496**	12,1	22,5	0,0	(0.0-33.3)	0,642	-0,168	72,7	18,6	75	(58.3-83.3)	0,942	-0,01
	Resíduo ligeiro a	24 (63.2)	93,8	12,8	100	(100-100)			16,7	32,6	0,0	(0.0-25.0)			70,5	19,6	70,8	(52.1-83.3)		
	Resíduo severo	2 (5.3)	100	0,0	100	(100-100)			0,0	0,0	0,0	(0.0-0.0)			75	11,7	75	(66.7-83.3)		
pudim_residuo_piriforme	Sem resíduo	22 (57.9)	91,7	12,3	100	(83.3-100)	0,043	0.415*	18,2	30,4	0,0	(0.0-33.3)	0,084	-0.374*	71,6	20,8	70,8	(58.3-85.4)	0,879	-0,042
	Resíduo ligeiro a	12 (31.6)	97,2	9,6	100	(100-100)			11,1	29,6	0,0	(0.0-0.0)			72,2	16	75	(54.2-83.3)		
	Resíduo severo	3 (7.9)	100	0	100	(100-100)			0,0	0,0	0,0	(0.0-0.0)			66,7	16,6	66,7	(58.4-75.0)		
pudim_residuo_parede_faringe	Sem resíduo	26 (68.4)	91,7	12,7	100	(83.3-100)	0,117	0.354*	19,2	32,9	0,0	(0.0-33.3)	0,184	-0,317	71,5	19,2	70,8	(58.3-83.3)	0,849	-0,036
	Resíduo ligeiro a	10 (26.2)	100	0,0	100	(100-100)			3,3	10,5	0,0	(0.0-0.0)			70	18,9	75	(50.0-83.3)		
	Resíduo severo	1 (2.6)	-	-	-	-			-	-	-	-			-	-	-	-		
pudim_deglutições	1 deglutição	28 (73.7)	94	11,3	100	(87.5-100)	0,040	0,000	11,9	22,6	0,0	(0.0-25.0)	0,171	0,168	69	19,1	66,7	(52.1-83.3)	0,527	0,219
	1+2 adicionais	5 (13.2)	100	0	100	(100-100)			0,0	0,0	0,0	(0.0-0.0)			76,7	19	83,3	(58.3-91.6)		
	1+3 adicionais	2 (5.3)	75	11,7	75	(66.7-83.3)			50	70,7	50	(0.0-100)			87,5	17,7	87,5	(75.0-100)		
	1+4 ou mais	2 (5.3)	100	0,0	100	(100-100)			50	70,7	50	(0.0-100)			75	11,7	75	(66.7-83.3)		
pudim_reage_sem_tosse	Ausente	34 (89.5)	93,6	11,6	100	(83.3-100)	0,472	-0,167	12,7	26	0,0	(0.0-8.3)	0,389	0.556**	70,8	19,3	70,8	(56.2-83.3)	0,542	0,113
	Presente	3 (7.9)	100	0	100	(100-100)			33,3	57,7	0,0	(0.0-50.0)			77,8	9,6	83,3	(75.0-83.3)		
líquido_escape_prematuro	Ausente	24 (63.2)	96,5	6,9	100	(100-100)	0,17	-0.399*	11,1	21,2	0,0	(0.0-25.0)	0,606	0,133	77,1	16,9	79,2	(66.7-89.6)	0,009	-0.439**
	Presente	12 (31.6)	88,9	16,4	100	(66.7-100)			22,2	41	0,0	(0.0-50.0)			59	17,2	58,4	(50.0-72.9)		
líquido_residulo_valecula	Sem resíduo	13 (34.2)	94,9	10,5	100	(91.6-100)	0,235	-0,322	18	29,2	0,0	(0.0-50.0)	0,157	-0.448*	72,4	22,4	75	(54.2-95.8)	0,674	-0,074
	Resíduo ligeiro a	22 (57.9)	93,2	12,2	100	(83.3-100)			13,6	30,3	0,0	(0.0-8.3)			69,7	17,2	66,7	(56.2-83.3)		
	Resíduo severo	1 (2.6)	-	-	-	-			-	-	-	-			-	-	-	-		
líquido_residuo_piriforme	Sem resíduo	23 (60.5)	92	12,2	100	(83.3-100)	0,106	0.380*	17,4	29,9	0,0	(0.0-33.3)	0,18	-0,339	72,1	20,2	75	(58.3-83.3)	0,482	-0,124
	Resíduo ligeiro a	12 (31.6)	97,2	9,6	100	(100-100)			11,1	29,6	0,0	(0.0-0.0)			68	17	66,7	(50.0-83.3)		
	Resíduo severo	1 (2.6)	-	-	-	-			-	-	-	-			-	-	-	-		
líquido_residuo_parede_faringe	Sem resíduo	32 (84.2)	93,2	11,9	100	(83.3-100)	0,446	0,178	15,6	30,5	0,0	(0.0-25.0)	0,554	0,196	69	18,8	66,7	(52.1-83.3)	0,072	0,317
	Resíduo ligeiro a	3 (7.9)	100	0,0	100	(100-100)			11,1	19,2	0,0	(0.0-16.6)			88,9	9,6	83,3	(83.3-91.6)		
	Resíduo severo	1 (2.6)	-	-	-	-			-	-	-	-			-	-	-	-		
líquido_deglutições	1 deglutição	31 (81.6)	94,1	11	100	(83.3-100)	0,64	0,009	14	29,5	0,0	(0.0-0.0)	0,000	0.645**	71,2	18,7	66,7	(58.3-66.7)	0,951	0,024
	1+2 adicionais	2 (5.3)	100	0	100	(100-100)			0,0	0,0	0,0	(0.0-0.0)			75	11,7	75	(66.7-83.3)		
	1+3 adicionais	3 (7.9)	88,9	19,2	100	(83.4-100)			33,3	33,4	33,3	(16.6-50.0)			66,6	28,9	83,3	(58.3-83.3)		
	1+4 ou mais	0	-	-	-	-			-	-	-	-			-	-	-	-		
líquido_reage_sem_tosse	Ausente	34 (89.5)	93,6	11,6	100	(83.3-100)	0,578	0,139	12,7	26	0,0	(0.0-8.3)	0,296	0.694**	70,8	19,3	70,8	(56.2-83.3)	0,762	0,053
	Presente	2 (5.3)	100	0	100	(100-100)			50	70,7	50	(0.0-100)			75	11,7	75	(66.7-83.3)		

Variável VED Anatomia ou funcional	Valor	n (%)	EORTC QLQ-C30 Funcionamento social						EORTC QLQ-C30 Dificuldades financeiras						EORTC QLQ-C30 Estado de saúde geral					
			Média	SD	Mediana	(Q1-Q3)	p	Correlação	Média	SD	Mediana	(Q1-Q3)	p	Correlação	Média	SD	Mediana	(Q1-Q3)	p	Correlação
bolacha_escape_prematuro	Ausente	33 (86.8)	93,4	11,7	100	(83.3-100)	0,568	0,143	16,2	30,2	0,0	(0.0-33.3)	0,568	-0,143	71,5	19,2	75	(58.3-83.3)	0,807	0,043
	Presente	2 (5.3)	100	0	100	(100-100)			0,0	0,0	0,0	(0.0-0.0)			75	11,7	75	(66.7-83.3)		
bolacha_residulo_valecula	Sem resíduo	2 (5.3)	100	0	100	(100-100)	0,029	0,338	0,0	0,0	0,0	(0.0-0.0)	0,018	0.493**	54,2	5,9	54,2	(50.0-58.3)	0,107	0.341*
	Resíduo ligeiro a	18 (47.4)	90,7	13	100	(83.3-100)			7,4	18,3	0,0	(0.0-0.0)			68,5	20,9	66,7	(50.0-83.3)		
	Resíduo severo	15 (39.5)	96,7	9,3	100	(100-100)			26,7	38,2	0,0	(0.0-66.7)			77,7	15	83,3	(66.7-83.3)		
bolacha_residuo_piriforme	Sem resíduo	14 (36.8)	92,8	12,6	100	(83.3-100)	0,094	0,232	11,9	28	0,0	(0.0-8.3)	0,151	0,34	69	17,1	66,7	(58.3-83.3)	0,21	0,033
	Resíduo ligeiro a	18 (47.4)	94,4	11,4	100	(95.8-100)			16,7	30,8	0,0	(0.0-33.3)			75,9	20	79,2	(62.5-93.8)		
	Resíduo severo	3 (7.9)	94,4	9,6	100	(91.6-100)			22,2	38,5	0,0	(0.0-33.4)			58,4	14,4	66,7	(54.2-66.7)		
bolacha_residuo_parede_faringe	Sem resíduo	6 (15.8)	91,7	13,9	100	(79.2-100)	0,741	0,076	0,0	0,0	0,0	(0.0-0.0)	0,238	0,274	75	14,9	70,8	(64.6-87.5)	0,708	-0,068
	Resíduo ligeiro a	28 (73.7)	94	11,3	100	(87.5-100)			19	32	0,0	(0.0-33.3)			70,5	19,8	70,8	(52.1-83.3)		
	Resíduo severo	1 (2.6)	-	-	-	-			-	-	-	-			-	-	-	-		
bolacha_deglutições	1 deglutição	2 (5.3)	100	0,0	100	(100-100)	0,163	-0,07	0,0	0,0	0,0	(0.0-0.0)	0,121	0.411*	50	0	50	(50.0-50.0)	0,206	0,299
	1+2 adicionais	13 (34.2)	93,6	10,8	100	(83.3-100)			5,1	12,5	0,0	(0.0-0.0)			71,2	16,2	66,7	(58.3-79.2)		
	1+3 adicionais	12 (31.6)	95,8	10,4	100	(100-100)			16,7	26,6	0,0	(0.0-33.3)			71,5	19,9	75	(60.4-83.3)		
	1+4 ou mais	8 (21.1)	89,6	15,2	100	(70.8-100)			33,3	47,1	0,0	(0.0-91.7)			78,1	21,3	83,3	(68.8-95.8)		
bolacha_reage_sem_tosse	Presente	1 (2.6)	-	-	-	-	-	-	-	-	-	-	-	-	-	-	-	-	-	-
	Ausente	34 (89.5)	93,6	11,6	100	(83.3-100)			12,7	30	0,0	(0.0-8.3)			71,8	19	75	(58.3-83.3)		
aspiração	Não	20 (52.6)	90,8	13,8	100	(83.3-100)	0,035	0.429**	16,7	29,6	0,0	(0.0-33.3)	0,074	-0,246	72,9	19,5	75	(60.4-83.3)	0,625	-0,156
	Sim	16 (42.1)	97,9	5,7	100	(100-100)			12,5	29,5	0,0	(0.0-0.0)			68,8	18,4	66,7	(50.0-83.3)		
	Alto risco	2 (5.3)	100	0,0	100	(100-100)			16,6	23,5	16,6	(0.0-33.3)			58,3	35,4	58,3	(33.3-83.3)		
momento_aspiração_pudim	NA	31 (81.6)	93,0	12,0	100,0	(83.3-100)	0,325	0,23	17,2	30,9	0,0	(0.0-33.3)	0,325	-0,229	77,8	19,8	75,0	(58.3-83.3)	0,020	-0.395*
	Pré-deglutição	5 (13.2)	100	0,0	100	(100-100)			0,0	0,0	0,0	(0.0-0.0)			56,7	14,9	50,0	(50.0-66.6)		
	Durante deglutição	1 (2.6)	-	-	-	-			-	-	-	-			-	-	-	-		
	Pós-deglutição	1 (2.6)	-	-	-	-			-	-	-	-			-	-	-	-		
momento_aspiração_líquido	NA	25 (65.8)	92,2	12,8	100	(83.3-100)	0,195	0.354*	14,7	27,4	0,0	(0.0-33.3)	0,419	-0,154	71	30	75	(54.2-83.3)	0,435	-0,009
	Pré-deglutição	2 (5.3)	100	0,0	100	(100-100)			50	70,7	50	(0.0-100)			58,4	11,8	58,4	(50.0-66.7)		
	Durante deglutição	8 (21.1)	97,9	5,9	100	(100-100)			12,5	24,8	0,0	(0.0-16.6)			66,7	16	66,7	(52.1-83.3)		
	Pós-deglutição	3 (7.9)	100	0,0	100	(100-100)			0,0	0,0	0,0	(0.0-0.0)			83,3	16,6	83,3	(75.0-91.6)		
momento_aspiração_bolacha	NA	32 (84.2)	94,3	11,7	100	(100-100)	0,88	0,036	15,6	29,3	0,0	(0.0-33.3)	0,393	-0,202	69,8	19,6	70,8	(52.1-83.3)	0,914	-0,023
	Pré-deglutição	0 (0.0)	-	-	-	-			-	-	-	-			-	-	-	-		
	Durante deglutição	1 (2.6)	-	-	-	-			-	-	-	-			-	-	-	-		
	Pós-deglutição	5 (13.2)	96,7	7,5	100	(91.6-100)			13,3	29,8	0,0	(0.0-33.4)			68,3	17	66,7	(54.2-83.3)		
PAS	1	21 (55.3)	91,3	13,6	100	(83.3-100)	0,133	0.391*	17,4	29,1	0,0	(0.0-33.3)	0,207	-0,266	71	20,9	75	(58.3-83.3)	0,284	-0,123
	2	9 (23.7)	96,3	7,4	100	(91.6-100)			18,5	37,7	0,0	(0.0-33.3)			74,1	19,3	66,7	(62.5-91.6)		
	3	4 (10.5)	100	0,0	100	(100-100)			0,0	0,0	0,0	(0.0-0.0)			54,2	8,4	50	(50.0-62.5)		
	4	3 (7.9)	100	0,0	100	(100-100)			11,1	19,2	0,0	(0.0-16.6)			72,2	19,2	83,3	(66.6-83.3)		
	8	1 (2.6)	-	-	-	-			-	-	-	-			-	-	-	-		

Variável VED Anatomia ou funcional	Valor	n (%)	EORTC QLQ-C30 Funcionamento social						EORTC QLQ-C30 Dificuldades financeiras						EORTC QLQ-C30 Estado de saúde geral					
			Média	SD	Mediana	(Q1-Q3)	p	Correlação	Média	SD	Mediana	(Q1-Q3)	p	Correlação	Média	SD	Mediana	(Q1-Q3)	p	Correlação
Limpeza	A-efetivo	6 (15.8)	100	0,0	100	(100-100)	0,195	-0,311	16,7	40,8	0,0	(0.0-25.0)	0,356	0,316	79,2	14,7	83,3	(64.6-87.5)	0,458	0,01
	B- moderadamente	5 (13.2)	100	0,0	100	(100-100)			6,7	14,9	0,0	(0.0-16.6)			60	14,9	50	(50.0-75.0)		
	C-ligeiramente	4 (10.5)	91,6	9,6	91,6	(83.3-100)			16,7	33,4	0,0	(0.0-50.0)			64,6	25,8	58,4	(43.8-91.7)		
	D-ineficaz	2 (5.3)	100	0,0	100	(100-100)			0,0	0,0	0,0	(0.0-0.0)			75	11,7	75	(66.7-83.3)		
	NA	21 (55.5)	91,3	13,6	100	(83.3-100)			17,4	29,1	0,0	(0.0-33.3)			71	20,9	75	(58.3-83.3)		
pudim_latencia	Normal	9 (23.7)	83,3	16,6	83,3	(66.7-100)	0,014	0.689**	22,2	37,3	0	(0.0-50.0)	0,198	-0.406*	67,6	22,2	66,7	(50.0-83.3)	0,638	0,081
	Alterado	28 (73.7)	97,6	6	100	(100-100)			11,9	26	0	(0.0-0.0)			72,6	17,7	75	(58.3-83.3)		
pudim_tempo_latencia_ini		-	-	-	-	-	-	0,312	-	-	-	-	-	-0,234	-	-	-	-	-	0,079
pudim_whiteout	Normal	0 (0.0)	-	-	-	-	-	-	-	-	-	-	-	-	-	-	-	-	-	-
	Alterado	37 (97.4)	94,1	11,2	100	(91.6-100)			14,4	28,9	0	(0.0-16.6)			71,4	18,7	75	(58.3-83.3)		
pudim_tempo_encerrament		-	-	-	-	-	-	0,264	-	-	-	-	-	-0,003	-	-	-	-	-	0,168
liquido_latencia	Normal	10 (26.3)	91,7	14,2	100	(79.2-100)	0,198	0.471**	10	31,6	0	(0.0-0.0)	0,184	0,317	72,5	15,2	70,8	(58.3-83.3)	0,876	-0,03
	Alterado	26 (68.4)	94,9	10,3	100	(95.8-100)			16,7	28,7	0	(0.0-33.3)			70,5	20,3	70,8	(50.0-83.3)		
liquido_tempo_latencia_ini		-	-	-	-	-	-	0,021	-	-	-	-	-	0,207	-	-	-	-	-	-0,077
liquido_whiteout	Normal	0 (0.0)	-	-	-	-	-	-	-	-	-	-	-	-	-	-	-	-	-	-
	Alterado	36 (94.7)	94	11,4	100	(87.5-100)			14,8	29,2	0	(0.0-25.0)			71,1	18,8	70,8	(58.3-83.3)		
liquido_tempo_encerramen		-	-	-	-	-	-	0,111	-	-	-	-	-	-0,068	-	-	-	-	-	-0,256
bolacha_latencia	Normal	13 (34.2)	92,3	12,9	100	(83.3-100)	0,157	0.447*	10,2	28,5	0	(0.0-0.0)	0,143	0.364*	64,1	19,1	58,3	(50.0-70.8)	0,034	0.365*
	Alterado	22 (57.9)	94,7	10,8	100	(95.8-100)			18,2	30,4	0	(0.0-33.3)			76,1	17,5	83,3	(66.7-83.3)		
bolacha_tempo_latencia_in		-	-	-	-	-	-	-0,053	-	-	-	-	-	0,11	-	-	-	-	-	0,252
bolacha_whiteout	Normal	0 (0.0)	-	-	-	-	-	-	-	-	-	-	-	-	-	-	-	-	-	-
	Alterado	35 (92.1)	93,8	11,5	100	(83.3-100)			15,2	29,5	0	(0.0-33.3)			71,7	18,8	75	(58.3-83.3)		
bolacha_tempo_encerrame		-	-	-	-	-	-	0,26	-	-	-	-	-	-0,269	-	-	-	-	-	0,056

Tabela 141 - Medidas descritivas, análise de correlação e diferenças estatísticas entre as variáveis da avaliação por VED componente funcional e o resultado global e por categoria do questionário da EORTC QLQ-C30.

		QLQ-C30 resultado total									Cat_QLQC30					
											alterado		normal		*p*	Correlação
		N	%	Média	Mediana	DP	25	75	*p*	Correlação	N	%	N	%		
VED acesso	direita	24	63.2%	89.7	90.5	8.4	86.1	96.8		-0.035	12	70.6%	12	57.1%		0.139
	esquerda	14	36.8%	89.2	92.0	7.7	80.4	94.3			5	29.4%	9	42.9%		
VED nasofaringe EVF anatomia	presente	36	94.7%	89.3	91.0	8.1	82.8	95.6	0.344	0.167	17	100.0%	19	90.5%	0.313	0.212
	ausente	2	5.3%	94.9	94.9	4.7	91.5	98.2			0	0.0%	2	9.5%		
VED nasofaringe EVF deglutição de saliva	presente	38	100.0%	89.6	91.1	8.0	82.9	96.2			17	100.0%	21	100.0%		
	ausente	0	0.0%								0	0.0%	0	0.0%		
VED nasofaringe EVF som e sílaba	presente	37	97.4%	89.5	91.0	8.1	82.9	96.2	0.947	0.022	17	100.0%	20	95.2%	0.579	0.148
	ausente	1	2.6%	91.5	91.5		91.5	91.5			0	0.0%	1	4.8%		
VED nasofaringe EVF fala	presente	37	97.4%	89.5	91.0	8.1	82.9	96.2	0.947	0.022	17	100.0%	20	95.2%	0.579	0.148
	ausente	1	2.6%	91.5	91.5		91.5	91.5			0	0.0%	1	4.8%		
VED oro/hipofaringe anatomia	presente	4	10.5%	96.0	96.5	4.2	92.6	99.4	0.074	-0.297	0	0.0%	4	19.0%	0.113	-0.309
	ausente	34	89.5%	88.8	90.5	8.1	82.6	95.0			17	100.0%	17	81.0%		
VED oro/hipofaringe Movimento da base da língua	presente	34	89.5%	89.2	91.1	8.3	82.6	96.2	0.566	0.102	16	94.1%	18	85.7%	0.505	0.136
	ausente	4	10.5%	92.8	92.6	4.9	89.1	96.5			1	5.9%	3	14.3%		
VED oro/hipofaringe resíduo nas valéculas	presente	25	65.8%	91.5	92.0	6.3	88.7	96.6	0.079	-0.288	8	47.1%	17	81.0%	0.031	-0.355*
	ausente	13	34.2%	85.8	86.0	9.8	79.5	91.2			9	52.9%	4	19.0%		
VED oro/hipofaringe resíduos nos seios piriformes	presente	20	52.6%	92.7	94.0	5.8	89.4	98.0	0.019	-0.385*	6	35.3%	14	66.7%	0.105	-0.312
	ausente	18	47.4%	86.1	87.9	8.9	79.4	92.0			11	64.7%	7	33.3%		
VED oro/hipofaringe produção /i/	presente	38	100.0%	89.6	91.1	8.0	82.9	96.2			17	100.0%	21	100.0%		
	ausente	0	0.0%								0	0.0%	0	0.0%		
VED oro/hipofaringe manipulação de secreções	presente	35	92.1%	89.2	91.0	8.2	82.6	96.2	0.468	0.129	16	94.1%	19	90.5%	0.759	0.067
	ausente	3	7.9%	93.4	94.2	5.8	87.2	98.8			1	5.9%	2	9.5%		
VED laringe anatomia	presente	3	7.9%	97.7	98.8	3.1	94.2	100.0	0.032	-0.352*	0	0.0%	3	14.3%	0.186	-0.263
	ausente	35	92.1%	88.9	90.9	8.0	82.6	95.0			17	100.0%	18	85.7%		
VED laringe fala	presente	38	100.0%	89.6	91.1	8.0	82.9	96.2			17	100.0%	21	100.0%		
	ausente	0	0.0%								0	0.0%	0	0.0%		
VED laringe deglutição de saliva	presente	36	94.7%	89.4	91.1	8.1	82.8	95.6	0.597	0.097	16	94.1%	20	95.2%	0.922	-0.025
	ausente	2	5.3%	93.0	93.0	8.2	87.2	98.8			1	5.9%	1	4.8%		
VED laringe produção /i/	presente	38	100.0%	89.6	91.1	8.0	82.9	96.2			17	100.0%	21	100.0%		
	ausente	0	0.0%								0	0.0%	0	0.0%		
VED laringe tosse voluntária	presente	38	100.0%	89.6	91.1	8.0	82.9	96.2			17	100.0%	21	100.0%		
	ausente	0	0.0%								0	0.0%	0	0.0%		

		QLQ-C30 resultado total									Cat_QLQC30					
											alterado		normal		*p*	Correlação
		N	%	Média	Mediana	DP	25	75	*p*	Correlação	N	%	N	%		
VED laringe apneia	presente	38	100.0%	89.6	91.1	8.0	82.9	96.2			17	100.0%	21	100.0%		
	ausente	0	0.0%								0	0.0%	0	0.0%		
VED sensibilidade da base da língua	presente	34	89.5%	89.2	91.1	8.3	82.6	96.2	0.566	0.102	16	94.1%	18	85.7%	0.505	0.136
	ausente	4	10.5%	92.8	92.6	4.9	89.1	96.5			1	5.9%	3	14.3%		
VED sensibilidade nas aritnóides	presente								0.566	0.102					0.505	0.136
	ausente															
VED pudim escape prematuro	ausente	32	84.2%	89.0	91.1	8.4	81.5	95.6			15	88.2%	17	81.0%		
	presente	5	13.2%	91.2	90.9	4.9	87.2	94.2	0.364	0.125	2	11.8%	3	14.3%	0.641	0.107
	não testado	1	2.6%	98.8	98.8		98.8	98.8			0	0.0%	1	4.8%		
VED pudim resíduos nas valéculas	sem resíduo	11	28.9%	87.8	90.0	8.1	78.6	94.3			7	41.2%	4	19.0%		
	resíduo ligeira a moderado	24	63.2%	89.7	91.4	8.3	84.5	96.8	0.397	0.226	10	58.8%	14	66.7%	0.2161	0.309
	resíduo severo	2	5.3%	92.6	92.6	2.3	90.9	94.2			0	0.0%	2	9.5%		
	não testado	1	2.6%	98.8	98.8		98.8	98.8			0	0.0%	1	4.8%		
VED pudim resíduos nos seios piriformes	sem resíduo	22	57.9%	86.8	89.9	8.7	79.4	94.3			13	76.5%	9	42.9%		
	resíduo ligeira a moderado	12	31.6%	93.5	94.3	5.7	90.0	98.2	0.060	0.372*	3	17.6%	9	42.9%	0.206	0.332*
	resíduo severo	3	7.9%	90.8	90.9	3.5	87.2	94.2			1	5.9%	2	9.5%		
	não testado	1	2.6%	98.8	98.8		98.8	98.8			0	0.0%	1	4.8%		
VED pudim resíduo na parede faríngea	sem resíduo	26	68.4%	88.1	90.0	8.8	79.5	95.0			14	82.4%	12	57.1%		
	resíduo ligeira a moderado	10	26.3%	91.8	91.8	5.3	87.2	96.6	0.345	0.256	3	17.6%	7	33.3%	0.350	0.285
	resíduo severo	1	2.6%	94.2	94.2		94.2	94.2			0	0.0%	1	4.8%		
	não testado	1	2.6%	98.8	98.8		98.8	98.8			0	0.0%	1	4.8%		
VED pudim n.º de deglutições	1 deglutição	28	73.7%	88.7	91.1	8.5	81.1	95.0			13	76.5%	15	71.4%		
	1+1 adicional	0	0.0%								0	0.0%	0	0.0%		
	1+2 adicionais	5	13.2%	92.2	91.0	5.9	87.2	97.7	0.605	0.156	2	11.8%	3	14.3%	0.923	0.062
	1+3 adicionais	2	5.3%	92.5	92.5	5.3	88.7	96.2			1	5.9%	1	4.8%		
	1+4ou mais adicionais	2	5.3%	87.3	87.3	9.8	80.4	94.2			1	5.9%	1	4.8%		
	não testado	1	2.6%	98.8	98.8		98.8	98.8			0	0.0%	1	4.8%		
VED pudim reage sem tosse	ausente	34	89.5%	89.2	91.0	8.0	82.9	95.0			16	94.1%	18	85.7%		
	presente	3	7.9%	90.8	94.2	9.1	80.4	97.7	0.337	0.180	1	5.9%	2	9.5%	0.602	0.141
	não testado	1	2.6%	98.8	98.8		98.8	98.8			0	0.0%	1	4.8%		
VED pudim função vocal	ausente	0	0.0%								0	0.0%	0	0.0%		
	presente	37	97.4%	89.3	91.0	8.0	82.9	95.0	0.157	0.232	17	100.0%	20	95.2%	0.368	0.148
	não testado	1	2.6%	98.8	98.8		98.8	98.8			0	0.0%	1	4.8%		

		QLQ-C30 resultado total									Cat_QLQC30					
											alterado		normal			
		N	%	Média	Mediana	DP	25	75	*p*	Correlação	N	%	N	%	*p*	Correlação
VED líquido escape prematuro	ausente	24	63.2%	90.0	91.6	7.4	82.8	95.6			10	58.8%	14	66.7%		
	presente	12	31.6%	87.5	88.0	9.3	83.2	94.6	0.291	-0.009	7	41.2%	5	23.8%	0.281	-0.040
	não testado	2	5.3%	96.5	96.5	3.3	94.2	98.8			0	0.0%	2	9.5%		
VED líquido resíduos nas valéculas	sem resíduo	13	34.2%	88.4	90.0	7.1	82.9	93.8			7	41.2%	6	28.6%		
	resíduo ligeira a moderado	22	57.9%	89.8	91.8	8.9	82.6	97.0	0.382	0.191	9	52.9%	13	61.9%	0.343	0.143
	resíduo severo	1	2.6%	86.2	86.2		86.2	86.2			1	5.9%	0	0.0%		
	não testado	2	5.3%	96.5	96.5	3.3	94.2	98.8			0	0.0%	2	9.5%		
VED líquido resíduo nos seios piriformes	sem resíduo	23	60.5%	87.9	90.0	8.7	79.5	94.9			12	70.6%	11	52.4%		
	resíduo ligeira a moderado	12	31.6%	91.8	91.8	6.6	88.0	98.0	0.287	0.238	4	23.5%	8	38.1%	0.273	0.187
	resíduo severo	1	2.6%	86.2	86.2		86.2	86.2			1	5.9%	0	0.0%		
	não testado	2	5.3%	96.5	96.5	3.3	94.2	98.8			0	0.0%	2	9.5%		
VED líquido resíduo na parede faríngea	sem resíduo	32	84.2%	89.2	91.0	8.4	81.7	96.4			15	88.2%	17	81.0%		
	resíduo ligeira a moderado	3	7.9%	89.8	92.0	6.4	82.6	94.9	0.515	0.102	1	5.9%	2	9.5%	0.393	0.107
	resíduo severo	1	2.6%	86.2	86.2		86.2	86.2			1	5.9%	0	0.0%		
	não testado	2	5.3%	96.5	96.5	3.3	94.2	98.8			0	0.0%	2	9.5%		
VED líquido n.º de deglutições	1 deglutição	31	81.6%	88.7	90.9	8.3	80.4	95.0			15	88.2%	16	76.2%		
	1+1 adicional	0	0.0%								0	0.0%	0	0.0%		
	1+2 adicionais	2	5.3%	98.4	98.4	1.0	97.7	99.1	0.111	0.221	0	0.0%	2	9.5%	0.274	0.154
	1+3 adicionais	3	7.9%	88.1	86.2	3.4	86.0	92.0			2	11.8%	1	4.8%		
	1+4ou mais adicionais	0	0.0%								0	0.0%	0	0.0%		
	não testado	2	5.3%	96.5	96.5	3.3	94.2	98.8			0	0.0%	2	9.5%		
VED líquido reage sem tosse	ausente	34	89.5%	89.5	91.1	8.1	82.9	96.2			15	88.2%	19	90.5%		
	presente	2	5.3%	83.3	83.3	4.1	80.4	86.2	0.197	0.032	2	11.8%	0	0.0%	0.136	-0.018
	não testado	2	5.3%	96.5	96.5	3.3	94.2	98.8			0	0.0%	2	9.5%		
VED líquido função vocal	ausente	0	0.0%								0	0.0%	0	0.0%		
	presente	36	94.7%	89.2	91.0	8.1	82.8	95.6	0.170	0.226	17	100.0%	19	90.5%	0.197	0.212
	não testado	2	5.3%	96.5	96.5	3.3	94.2	98.8			0	0.0%	2	9.5%		
VED bolacha escape prematuro	ausente	33	86.8%	88.9	91.0	8.3	82.6	95.0			16	94.1%	17	81.0%		
	presente	2	5.3%	94.3	94.3	4.8	90.9	97.7	0.544	0.180	0	0.0%	2	9.5%	0.384	0.185
	não testado	3	7.9%	93.4	94.2	5.8	87.2	98.8			1	5.9%	2	9.5%		
VED bolacha resíduo nas valéculas	sem resíduo	2	5.3%	84.7	84.7	7.3	79.5	89.8	0.590	0.187	2	11.8%	0	0.0%	0.318	0.254

		QLQ-C30 resultado total									Cat_QLQC30					
											alterado		normal		*p*	Correlação
		N	%	Média	Mediana	DP	25	75	*p*	Correlação	N	%	N	%		
	resíduo ligeira a moderado	18	47.4%	88.7	90.8	9.3	79.4	96.2			9	52.9%	9	42.9%		
	resíduo severo	15	39.5%	90.4	91.2	7.0	82.9	96.6			5	29.4%	10	47.6%		
	não testado	3	7.9%	93.4	94.2	5.8	87.2	98.8			1	5.9%	2	9.5%		
VED bolacha resíduo nos seios piriformes	sem resíduo	14	36.8%	85.3	85.1	9.2	78.8	94.3	0.148	0.319	9	52.9%	5	23.8%	0.343	0.273
	resíduo ligeira a moderado	18	47.4%	92.3	91.8	5.6	88.7	97.7			6	35.3%	12	57.1%		
	resíduo severo	3	7.9%	89.0	90.9	11.2	76.9	99.1			1	5.9%	2	9.5%		
	não testado	3	7.9%	93.4	94.2	5.8	87.2	98.8			1	5.9%	2	9.5%		
VED bolacha resíduo na parede faríngea	sem resíduo	6	15.8%	88.3	89.9	7.8	79.4	94.3	0.696	0.183	4	23.5%	2	9.5%	0.548	0.216
	resíduo ligeira a moderado	28	73.7%	89.2	91.1	8.5	82.8	96.4			12	70.6%	16	76.2%		
	resíduo severo	1	2.6%	94.9	94.9		94.9	94.9			0	0.0%	1	4.8%		
	não testado	3	7.9%	93.4	94.2	5.8	87.2	98.8			1	5.9%	2	9.5%		
VED bolacha n.º de deglutições	1 deglutição	2	5.3%	98.2	98.2	0.0	98.2	98.2	0.104	0.118	0	0.0%	2	9.5%	0.423	0.053
	1+1 adicional	0	0.0%								0	0.0%	0	0.0%		
	1+2 adicionais	13	34.2%	86.6	90.0	6.5	79.4	91.2			8	47.1%	5	23.8%		
	1+3 adicionais	12	31.6%	89.9	93.5	10.7	82.8	98.1			4	23.5%	8	38.1%		
	1+4ou mais adicionais	8	21.1%	90.1	89.9	5.9	86.1	95.6			4	23.5%	4	19.0%		
	não testado	3	7.9%	93.4	94.2	5.8	87.2	98.8			1	5.9%	2	9.5%		
VED bolacha reage sem tosse	ausente	34	89.5%	89.5	91.1	8.2	82.9	96.2	0.440	0.034	15	88.2%	19	90.5%	0.506	-0.027
	presente	1	2.6%	80.4	80.4		80.4	80.4			1	5.9%	0	0.0%		
	não testado	3	7.9%	93.4	94.2	5.8	87.2	98.8			1	5.9%	2	9.5%		
VED bolacha função vocal	ausente	0	0.0%						0.432	0.129	0	0.0%	0	0.0%	0.683	0.067
	presente	35	92.1%	89.2	91.0	8.2	82.6	96.2			16	94.1%	19	90.5%		
	não testado	3	7.9%	93.4	94.2	5.8	87.2	98.8			1	5.9%	2	9.5%		
VED aspiração	não	20	52.6%	87.1	89.9	8.3	79.5	92.9	0.064	0.379*	12	70.6%	8	38.1%	0.102	0.344*
	sim	16	42.1%	91.8	93.5	7.2	86.7	98.0			5	29.4%	11	52.4%		
	alto risco de aspiração	2	5.3%	96.5	96.5	3.3	94.2	98.8			0	0.0%	2	9.5%		
VED momento de aspiração pudim	NA	31	81.6%	88.9	90.9	8.5	80.4	96.2	0.573	0.137	15	88.2%	16	76.2%	0.340	0.147
	pré-deglutição	5	13.2%	93.9	94.2	4.7	91.5	98.2			1	5.9%	4	19.0%		
	durante deglutição	1	2.6%	86.2	86.2		86.2	86.2			1	5.9%	0	0.0%		
	pós-deglutição	1	2.6%	92.0	92.0		92.0	92.0			0	0.0%	1	4.8%		
VED momento de aspiração líquido	NA	25	65.8%	89.1	91.0	8.5	82.9	95.0	0.495	0.123	12	70.6%	13	61.9%	0.273	0.129
	pré-deglutição	2	5.3%	83.8	83.8	4.8	80.4	87.2			2	11.8%	0	0.0%		

		QLQ-C30 resultado total									Cat_QLQC30					
											alterado		normal		*p*	Correlação
		N	%	Média	Mediana	DP	25	75	*p*	Correlação	N	%	N	%		
	durante deglutição	8	21.1%	91.4	91.8	7.3	88.6	97.4			2	11.8%	6	28.6%		
	pós-deglutição	3	7.9%	92.5	94.9	8.9	82.6	100.0			1	5.9%	2	9.5%		
VED momento de aspiração bolacha	NA	32	84.2%	89.3	91.1	8.1	82.8	95.0	0.678	0.071	15	88.2%	17	81.0%	0.641	0.091
	pré-deglutição	0	0.0%								0	0.0%	0	0.0%		
	durante deglutição	1	2.6%	96.2	96.2		96.2	96.2			0	0.0%	1	4.8%		
	pós-deglutição	5	13.2%	90.2	90.9	9.1	86.2	97.7			2	11.8%	3	14.3%		
VED PAS	1	21	55.3%	87.6	90.0	8.4	79.5	93.8	0.460	0.255	12	70.6%	9	42.9%	0511	0.283
	2	9	23.7%	91.6	96.2	9.0	82.6	97.7			3	17.6%	6	28.6%		
	3	4	10.5%	93.6	94.6	5.5	89.1	98.2			1	5.9%	3	14.3%		
	4	3	7.9%	89.9	91.5	3.2	86.2	92.0			1	5.9%	2	9.5%		
	5	0	0.0%								0	0.0%	0	0.0%		
	6	0	0.0%								0	0.0%	0	0.0%		
	7	0	0.0%								0	0.0%	0	0.0%		
	8	1	2.6%	94.2	94.2		94.2	94.2			0	0.0%	1	4.8%		
VED limpeza	A - efetivo	6	15.8%	89.8	90.6	7.7	82.6	97.0	0.315	-0.219	3	17.6%	3	14.3%	0.316	-0.199
	B - moderadamente efetivo	5	13.2%	93.3	92.0	4.8	90.9	98.2			1	5.9%	4	19.0%		
	C - ligeiramente efetivo	4	10.5%	90.9	93.9	9.9	84.2	97.7			1	5.9%	3	14.3%		
	D - ineficaz	2	5.3%	97.1	97.1	4.1	94.2	100.0			0	0.0%	2	9.5%		
	NA	21	55.3%	87.6	90.0	8.4	79.5	93.8			12	70.6%	9	42.9%		
VED pudim latência	normal	9	23.7%	85.0	86.0	10.5	78.6	94.2	0.112	0.321*	6	35.3%	3	14.3%	0.244	0.271
	alterada	28	73.7%	90.7	91.4	6.7	86.7	96.4			11	64.7%	17	81.0%		
	não testado	1	2.6%	98.8	98.8		98.8	98.8			0	0.0%	1	4.8%		
VED pudim tempo de latência										0.353*						0.244
VED pudim whiteout	normal	0	0.0%						0.157	0.232	0	0.0%	0	0.0%	0.368	0.148
	alterada	37	97.4%	89.3	91.0	8.0	82.9	95.0			17	100.0%	20	95.2%		
	não testado	1	2.6%	98.8	98.8		98.8	98.8			0	0.0%	1	4.8%		
VED pudim tempo de encerramento das VA										0.140						0.163
VED líquido latência	normal	10	26.3%	91.8	95.0	7.4	88.7	97.0	0.175	-0.076	4	23.5%	6	28.6%	0.377	0.024
	alterada	26	68.4%	88.1	90.5	8.2	82.6	93.8			13	76.5%	13	61.9%		

		QLQ-C30 resultado total									Cat_QLQC30					
											alterado		normal		*p*	Correlação
		N	%	Média	Mediana	DP	25	75	*p*	Correlação	N	%	N	%		
	não testado	2	5.3%	96.5	96.5	3.3	94.2	98.8			0	0.0%	2	9.5%		
VED líquido tempo de latência										-0.125						0.008
VED líquido whiteout	normal	0	0.0%								0	0.0%	0	0.0%		
	alterada	36	94.7%	89.2	91.0	8.1	82.8	95.6	0.170	0.226	17	100.0%	19	90.5%	0.197	0.212
	não testado	2	5.3%	96.5	96.5	3.3	94.2	98.8			0	0.0%	2	9.5%		
VED líquido tempo de encerramento das VA										0.199						0.016
VED bolacha latência	normal	13	34.2%	88.2	90.0	10.5	79.5	97.0			7	41.2%	6	28.6%		
	alterada	22	57.9%	89.8	91.1	6.7	86.0	94.9	0.734	0.076	9	52.9%	13	61.9%	0.703	0.138
	não testado	3	7.9%	93.4	94.2	5.8	87.2	98.8			1	5.9%	2	9.5%		
VED bolacha tempo de latência										0.104						0.159
VED bolacha whiteout	normal	0	0.0%								0	0.0%	0	0.0%		
	alterada	35	92.1%	89.2	91.0	8.2	82.6	96.2	0.432	0.129	16	94.1%	19	90.5%	0.683	0.067
	não testado	3	7.9%	93.4	94.2	5.8	87.2	98.8			1	5.9%	2	9.5%		
VED bolacha tempo de encerramento das VA										0.311						0.543**

Tabela 142 - Medidas descritivas, análise de correlação e diferenças estatísticas entre as variáveis da avaliação por VED componente funcional e as escalas dor de cabeça e pescoço e problemas em engolir do questionário da EORTC QLQ-HN43.

		EORCT-HN43 dor de cabeça e pescoço									EORCT-HN43 Problemas em engolir								
		N	%	Média	Mediana	DP	25	75	*p*	Correlação	N	%	Média	Mediana	DP	25	75	*p*	Correlação
VED acesso	direita	24	63.2%	6.9	0.0	11.4	0.0	8.3	0.559	0.097	24	63.2%	21.9	16.7	25.0	4.2	25.0	0.936	-0.013
	esquerda	14	36.8%	8.9	4.2	11.1	0.0	16.7			14	36.8%	20.2	16.7	21.9	0.0	33.3		
VED nasofaringe EVF anatomia	presente	36	94.7%	8.1	0.0	11.4	0.0	12.5	0.210	-0.209	36	94.7%	21.1	16.7	24.3	0.0	25.0	0.338	0.160
	ausente	2	5.3%	0.0	0.0	0.0	0.0	0.0			2	5.3%	25.0	25.0	0.0	25.0	25.0		
VED nasofaringe EVF deglutição de saliva	presente	38	100.0%	7.7	0.0	11.2	0.0	8.3			38	100.0%	21.3	16.7	23.6	0.0	25.0		
	ausente	0	0.0%								0	0.0%							
VED nasofaringe EVF som e sílaba	presente	37	97.4%	7.9	0.0	11.3	0.0	8.3	0.382	-0.146	37	97.4%	21.2	16.7	23.9	0.0	25.0	0.504	0.111
	ausente	1	2.6%	0.0	0.0		0.0	0.0			1	2.6%	25.0	25.0		25.0	25.0		
VED nasofaringe EVF fala	presente	37	97.4%	7.9	0.0	11.3	0.0	8.3	0.382	-0.146	37	97.4%	21.2	16.7	23.9	0.0	25.0	0.504	0.111
	ausente	1	2.6%	0.0	0.0		0.0	0.0			1	2.6%	25.0	25.0		25.0	25.0		
VED oro/hipofaringe anatomia	presente	4	10.5%	0.0	0.0	0.0	0.0	0.0	0.120	0.259	4	10.5%	16.7	16.7	13.6	8.4	25.0	0.955	0.009
	ausente	34	89.5%	8.6	4.2	11.5	0.0	16.7			34	89.5%	21.8	16.7	24.6	0.0	25.0		
VED oro/hipofaringe Movimento da base da língua	presente	34	89.5%	7.3	0.0	10.0	0.0	8.3	0.951	0.010	34	89.5%	19.6	16.7	21.3	0.0	25.0	0.350	0.156
	ausente	4	10.5%	10.4	0.0	20.9	0.0	20.9			4	10.5%	35.4	25.0	39.9	8.4	62.5		
VED oro/hipofaringe resíduo nas valéculas	presente	25	65.8%	5.7	0.0	9.5	0.0	8.3	0.242	0.195	25	65.8%	18.0	16.7	20.2	0.0	25.0	0.447	0.127
	ausente	13	34.2%	11.5	8.3	13.4	0.0	25.0			13	34.2%	27.6	16.7	28.9	8.3	33.3		
VED oro/hipofaringe resíduos nos seios pririformes	presente	20	52.6%	5.0	0.0	9.9	0.0	8.3	0.134	0.250	20	52.6%	19.2	16.7	21.5	4.2	25.0	0.757	0.052
	ausente	18	47.4%	10.6	8.3	12.1	0.0	16.7			18	47.4%	23.6	16.7	26.2	0.0	33.3		
VED oro/hipofaringe produção /i/	presente	38	100.0%	7.7	0.0	11.2	0.0	8.3			38	100.0%	21.3	16.7	23.6	0.0	25.0		
	ausente	0	0.0%								0	0.0%							
VED oro/hipofaringe manipulação de secreções	presente	35	92.1%	7.1	0.0	9.9	0.0	8.3	0.484	0.117	35	92.1%	19.0	16.7	21.3	0.0	25.0	0.040	0.342*
	ausente	3	7.9%	13.9	0.0	24.1	0.0	41.7			3	7.9%	47.2	33.3	39.4	16.7	91.7		
VED laringe anatomia	presente	3	7.9%	0.0	0.0	0.0	0.0	0.0	0.210	0.209	3	7.9%	22.2	16.7	9.6	16.7	33.3	0.393	-0.142
	ausente	35	92.1%	8.3	0.0	11.4	0.0	16.7			35	92.1%	21.2	16.7	24.5	0.0	25.0		
VED laringe fala	presente	38	100.0%	7.7	0.0	11.2	0.0	8.3			38	100.0%	21.3	16.7	23.6	0.0	25.0		
	ausente	0	0.0%								0	0.0%							
VED laringe deglutição de saliva	presente	36	94.7%	6.9	0.0	9.9	0.0	8.3	0.064	0.308	36	94.7%	19.4	16.7	21.1	0.0	25.0	0.086	0.286
	ausente	2	5.3%	20.9	20.9	29.5	0.0	41.7			2	5.3%	54.2	54.2	53.0	16.7	91.7		
VED laringe produção /i/	presente	38	100.0%	7.7	0.0	11.2	0.0	8.3			38	100.0%	21.3	16.7	23.6	0.0	25.0		
	ausente	0	0.0%								0	0.0%							
VED laringe tosse voluntária	presente	38	100.0%	7.7	0.0	11.2	0.0	8.3			38	100.0%	21.3	16.7	23.6	0.0	25.0		
	ausente	0	0.0%								0	0.0%							
VED laringe apneia	presente	38	100.0%	7.7	0.0	11.2	0.0	8.3			38	100.0%	21.3	16.7	23.6	0.0	25.0		

		EORCT-HN43 dor de cabeça e pescoço									EORCT-HN43 Problemas em engolir								
		N	%	Média	Mediana	DP	25	75	*p*	Correlação	N	%	Média	Mediana	DP	25	75	*p*	Correlação
	ausente	0	0.0%								0	0.0%							
VED sensibilidade da base da língua	presente	34	89.5%	7.3	0.0	10.0	0.0	8.3	0.951	0.010	34	89.5%	19.6	16.7	21.3	0.0	25.0	0.350	0.156
	ausente	4	10.5%	10.4	0.0	20.9	0.0	20.9			4	10.5%	35.4	25.0	39.9	8.4	62.5		
VED sensibilidade nas aritnóides	presente								0.766	0.010								0.420	0.156
	ausente																		
VED pudim escape prematuro	ausente	32	84.2%	7.0	0.0	9.7	0.0	8.3	0.733	-0.013	32	84.2%	20.6	16.7	21.6	4.2	25.0	0.910	-0.019
	presente	5	13.2%	13.3	0.0	19.2	0.0	25.0			5	13.2%	26.7	8.3	38.8	0.0	33.3		
	não testado	1	2.6%	0.0	0.0		0.0	0.0			1	2.6%	16.7	16.7		16.7	16.7		
VED pudim resíduos nas valéculas	sem resíduo	11	28.9%	9.1	8.3	12.6	0.0	8.3	0.495	-0.175	11	28.9%	25.0	16.7	28.6	0.0	50.0	0.998	-0.012
	resíduo ligeira a moderado	24	63.2%	8.0	0.0	11.1	0.0	16.7			24	63.2%	20.1	16.7	22.5	4.2	25.0		
	resíduo severo	2	5.3%	0.0	0.0	0.0	0.0	0.0			2	5.3%	16.7	16.7	23.5	0.0	33.3		
	não testado	1	2.6%	0.0	0.0		0.0	0.0			1	2.6%	16.7	16.7		16.7	16.7		
VED pudim resíduos nos seios piriformes	sem resíduo	22	57.9%	9.5	8.3	11.3	0.0	16.7	0.421	-0.229	22	57.9%	22.3	12.5	25.3	0.0	33.3	0.815	0.040
	resíduo ligeira a moderado	12	31.6%	3.5	0.0	5.6	0.0	8.3			12	31.6%	14.6	16.7	10.1	4.2	25.0		
	resíduo severo	3	7.9%	13.9	0.0	24.1	0.0	41.7			3	7.9%	41.7	33.3	46.4	0.0	91.7		
	não testado	1	2.6%	0.0	0.0		0.0	0.0			1	2.6%	16.7	16.7		16.7	16.7		
VED pudim resíduo na parede faríngea	sem resíduo	26	68.4%	8.3	4.2	10.8	0.0	16.7	0.627	-0.167	26	68.4%	20.2	12.5	23.9	0.0	25.0	0.597	0.160
	resíduo ligeira a moderado	10	26.3%	7.5	0.0	13.3	0.0	8.3			10	26.3%	23.3	20.9	26.0	8.3	25.0		
	resíduo severo	1	2.6%	0.0	0.0		0.0	0.0			1	2.6%	33.3	33.3		33.3	33.3		
	não testado	1	2.6%	0.0	0.0		0.0	0.0			1	2.6%	16.7	16.7		16.7	16.7		
VED pudim n.º de deglutições	1 deglutição	28	73.7%	7.4	0.0	10.2	0.0	12.5	0.915	-0.039	28	73.7%	20.8	16.7	22.6	4.2	25.0	0.386	0.039
	1+1 adicional	0	0.0%								0	0.0%							
	1+2 adicionais	5	13.2%	10.0	0.0	18.1	0.0	8.3			5	13.2%	26.7	16.7	37.9	0.0	25.0		
	1+3 adicionais	2	5.3%	4.2	4.2	5.9	0.0	8.3			2	5.3%	4.2	4.2	5.9	0.0	8.3		
	1+4ou mais adicionais	2	5.3%	12.5	12.5	17.7	0.0	25.0			2	5.3%	33.3	33.3	0.0	33.3	33.3		
	não testado	1	2.6%	0.0	0.0		0.0	0.0			1	2.6%	16.7	16.7		16.7	16.7		
VED pudim reage sem tosse	ausente	34	89.5%	7.8	0.0	11.2	0.0	8.3	0.685	-0.096	34	89.5%	21.3	16.7	24.6	0.0	25.0	0.826	0.089
	presente	3	7.9%	8.3	0.0	14.4	0.0	25.0			3	7.9%	22.2	33.3	19.2	0.0	33.3		
	não testado	1	2.6%	0.0	0.0		0.0	0.0			1	2.6%	16.7	16.7		16.7	16.7		
VED pudim função vocal	ausente	0	0.0%						0.392	-0.141	0	0.0%						0.926	0.008
	presente	37	97.4%	7.9	0.0	11.3	0.0	8.3			37	97.4%	21.4	16.7	23.9	0.0	25.0		
	não testado	1	2.6%	0.0	0.0		0.0	0.0			1	2.6%	16.7	16.7		16.7	16.7		
VED líquido escape prematuro	ausente	24	63.2%	6.9	0.0	10.0	0.0	8.3	0.404	-0.011	24	63.2%	17.4	12.5	21.6	0.0	25.0	0.181	0.289
	presente	12	31.6%	10.4	4.2	13.8	0.0	20.9			12	31.6%	28.5	25.0	28.3	8.3	33.3		
	não testado	2	5.3%	0.0	0.0	0.0	0.0	0.0			2	5.3%	25.0	25.0	11.7	16.7	33.3		

		EORCT-HN43 dor de cabeça e pescoço									EORCT-HN43 Problemas em engolir								
		N	%	Média	Mediana	DP	25	75	*p*	Correlação	N	%	Média	Mediana	DP	25	75	*p*	Correlação
VED líquido resíduos nas valéculas	sem resíduo	13	34.2%	7.0	0.0	10.7	0.0	8.3	0.597	-0.025	13	34.2%	19.2	16.7	21.6	8.3	25.0	0.843	0.100
	resíduo ligeira a moderado	22	57.9%	8.7	0.0	12.2	0.0	16.7			22	57.9%	22.3	16.7	26.5	0.0	25.0		
	resíduo severo	1	2.6%	8.3	8.3		8.3	8.3			1	2.6%	16.7	16.7		16.7	16.7		
	não testado	2	5.3%	0.0	0.0	0.0	0.0	0.0			2	5.3%	25.0	25.0	11.7	16.7	33.3		
VED líquido resíduo nos seios piriformes	sem resíduo	23	60.5%	8.3	0.0	11.2	0.0	16.7	0.591	-0.105	23	60.5%	22.5	16.7	24.5	0.0	33.3	0.810	0.003
	resíduo ligeira a moderado	12	31.6%	7.6	0.0	12.6	0.0	12.5			12	31.6%	18.8	12.5	25.4	0.0	25.0		
	resíduo severo	1	2.6%	8.3	8.3		8.3	8.3			1	2.6%	16.7	16.7		16.7	16.7		
	não testado	2	5.3%	0.0	0.0	0.0	0.0	0.0			2	5.3%	25.0	25.0	11.7	16.7	33.3		
VED líquido resíduo na parede faríngea	sem resíduo	32	84.2%	8.3	0.0	11.8	0.0	12.5	0.585	-0.125	32	84.2%	22.4	16.7	25.3	0.0	25.0	0.642	-0.021
	resíduo ligeira a moderado	3	7.9%	5.6	0.0	9.6	0.0	16.7			3	7.9%	8.3	8.3	8.4	0.0	16.7		
	resíduo severo	1	2.6%	8.3	8.3		8.3	8.3			1	2.6%	16.7	16.7		16.7	16.7		
	não testado	2	5.3%	0.0	0.0	0.0	0.0	0.0			2	5.3%	25.0	25.0	11.7	16.7	33.3		
VED líquido n.º de deglutições	1 deglutição	31	81.6%	7.8	0.0	11.6	0.0	8.3	0.092	-0.007	31	81.6%	23.1	16.7	25.3	0.0	25.0	0.246	-0.091
	1+1 adicional	0	0.0%								0	0.0%							
	1+2 adicionais	2	5.3%	0.0	0.0	0.0	0.0	0.0			2	5.3%	0.0	0.0	0.0	0.0	0.0		
	1+3 adicionais	3	7.9%	16.7	16.7	8.4	8.3	25.0			3	7.9%	13.9	16.7	4.8	8.3	16.7		
	1+4ou mais adicionais	0	0.0%								0	0.0%							
	não testado	2	5.3%	0.0	0.0	0.0	0.0	0.0			2	5.3%	25.0	25.0	11.7	16.7	33.3		
VED líquido reage sem tosse	ausente	34	89.5%	7.6	0.0	11.3	0.0	8.3	0.165	0.017	34	89.5%	20.8	16.7	24.8	0.0	25.0	0.426	0.207
	presente	2	5.3%	16.7	16.7	11.8	8.3	25.0			2	5.3%	25.0	25.0	11.7	16.7	33.3		
	não testado	2	5.3%	0.0	0.0	0.0	0.0	0.0			2	5.3%	25.0	25.0	11.7	16.7	33.3		
VED líquido função vocal	ausente	0	0.0%						0.220	-0.202	0	0.0%						0.370	0.142
	presente	36	94.7%	8.1	0.0	11.4	0.0	12.5			36	94.7%	21.1	16.7	24.2	0.0	25.0		
	não testado	2	5.3%	0.0	0.0	0.0	0.0	0.0			2	5.3%	25.0	25.0	11.7	16.7	33.3		
VED bolacha escape prematuro	ausente	33	86.8%	7.6	0.0	10.1	0.0	8.3	0.471	-0.110	33	86.8%	20.2	16.7	21.4	8.3	25.0	0.046	0.053
	presente	2	5.3%	0.0	0.0	0.0	0.0	0.0			2	5.3%	0.0	0.0	0.0	0.0	0.0		
	não testado	3	7.9%	13.9	0.0	24.1	0.0	41.7			3	7.9%	47.2	33.3	39.4	16.7	91.7		
VED bolacha resíduo nas valéculas	sem resíduo	2	5.3%	4.2	4.2	5.9	0.0	8.3	0.987	-0.020	2	5.3%	4.2	4.2	5.9	0.0	8.3	0.153	0.128
	resíduo ligeira a moderado	18	47.4%	7.4	4.2	9.9	0.0	8.3			18	47.4%	22.7	16.7	23.2	8.3	25.0		
	resíduo severo	15	39.5%	7.2	0.0	10.8	0.0	16.7			15	39.5%	16.7	16.7	19.7	0.0	25.0		
	não testado	3	7.9%	13.9	0.0	24.1	0.0	41.7			3	7.9%	47.2	33.3	39.4	16.7	91.7		
VED bolacha resíduo nos seios piriformes	sem resíduo	14	36.8%	10.7	8.3	10.0	0.0	16.7	0.155	-0.264	14	36.8%	22.0	12.5	25.0	8.3	33.3	0.339	0.072
	resíduo ligeira a moderado	18	47.4%	3.7	0.0	7.1	0.0	8.3			18	47.4%	15.7	16.7	13.4	0.0	25.0		
	resíduo severo	3	7.9%	11.1	0.0	19.2	0.0	33.3			3	7.9%	25.0	0.0	43.3	0.0	75.0		
	não testado	3	7.9%	13.9	0.0	24.1	0.0	41.7			3	7.9%	47.2	33.3	39.4	16.7	91.7		
VED bolacha resíduo na parede faríngea	sem resíduo	6	15.8%	2.8	0.0	4.3	0.0	8.3	0.612	0.086	6	15.8%	9.7	4.2	13.3	0.0	16.7	0.200	0.297

		EORCT-HN43 dor de cabeça e pescoço									EORCT-HN43 Problemas em engolir								
		N	%	Média	Mediana	DP	25	75	*p*	Correlação	N	%	Média	Mediana	DP	25	75	*p*	Correlação
	resíduo ligeira a moderado	28	73.7%	8.3	4.2	10.6	0.0	16.7			28	73.7%	21.4	16.7	22.5	4.2	25.0		
	resíduo severo	1	2.6%	0.0	0.0		0.0	0.0			1	2.6%	8.3	8.3		8.3	8.3		
	não testado	3	7.9%	13.9	0.0	24.1	0.0	41.7			3	7.9%	47.2	33.3	39.4	16.7	91.7		
VED bolacha n.º de deglutições	1 deglutição	2	5.3%	0.0	0.0	0.0	0.0	0.0	0.642	0.178	2	5.3%	25.0	25.0	0.0	25.0	25.0	0.337	0.048
	1+1 adicional	0	0.0%								0	0.0%							
	1+2 adicionais	13	34.2%	5.8	0.0	9.8	0.0	8.3			13	34.2%	18.6	8.3	22.6	0.0	25.0		
	1+3 adicionais	12	31.6%	9.0	8.3	10.3	0.0	16.7			12	31.6%	22.9	16.7	26.4	0.0	25.0		
	1+4ou mais adicionais	8	21.1%	8.3	4.2	10.9	0.0	16.7			8	21.1%	12.5	8.3	11.8	4.2	20.9		
	não testado	3	7.9%	13.9	0.0	24.1	0.0	41.7			3	7.9%	47.2	33.3	39.4	16.7	91.7		
VED bolacha reage sem tosse	ausente	34	89.5%	6.6	0.0	9.6	0.0	8.3	0.316	0.132	34	89.5%	18.6	16.7	21.4	0.0	25.0	0.098	0.349*
	presente	1	2.6%	25.0	25.0		25.0	25.0			1	2.6%	33.3	33.3		33.3	33.3		
	não testado	3	7.9%	13.9	0.0	24.1	0.0	41.7			3	7.9%	47.2	33.3	39.4	16.7	91.7		
VED bolacha função vocal	ausente	0	0.0%						0.929	0.015	0	0.0%						0.078	0.285
	presente	35	92.1%	7.1	0.0	9.9	0.0	8.3			35	92.1%	19.0	16.7	21.3	0.0	25.0		
	não testado	3	7.9%	13.9	0.0	24.1	0.0	41.7			3	7.9%	47.2	33.3	39.4	16.7	91.7		
VED aspiração	não	20	52.6%	7.9	8.3	9.5	0.0	12.5	0.393	-0.177	20	52.6%	21.2	16.7	22.4	8.3	25.0	0.638	0.005
	sim	16	42.1%	8.3	0.0	13.6	0.0	12.5			16	42.1%	20.8	16.7	27.1	0.0	25.0		
	alto risco de aspiração	2	5.3%	0.0	0.0	0.0	0.0	0.0			2	5.3%	25.0	25.0	11.7	16.7	33.3		
VED momento de aspiração pudim	NA	31	81.6%	7.3	0.0	10.3	0.0	8.3	0.522	0.040	31	81.6%	18.5	8.3	22.5	0.0	25.0	0.130	0.325*
	pré-deglutição	5	13.2%	8.3	0.0	18.6	0.0	0.0			5	13.2%	40.0	25.0	29.1	25.0	33.3		
	durante deglutição	1	2.6%	8.3	8.3		8.3	8.3			1	2.6%	16.7	16.7		16.7	16.7		
	pós-deglutição	1	2.6%	16.7	16.7		16.7	16.7			1	2.6%	16.7	16.7		16.7	16.7		
VED momento de aspiração líquido	NA	25	65.8%	6.3	0.0	9.1	0.0	8.3	0.050	-0.009	25	65.8%	21.0	16.7	20.6	8.3	25.0	0.113	-0.165
	pré-deglutição	2	5.3%	33.4	33.4	11.8	25.0	41.7			2	5.3%	62.5	62.5	41.3	33.3	91.7		
	durante deglutição	8	21.1%	8.3	4.2	11.8	0.0	12.5			8	21.1%	16.7	8.4	25.6	0.0	20.9		
	pós-deglutição	3	7.9%	0.0	0.0	0.0	0.0	0.0			3	7.9%	8.3	8.3	8.4	0.0	16.7		
VED momento de aspiração bolacha	NA	32	84.2%	7.8	0.0	11.0	0.0	12.5	0.683	-0.072	32	84.2%	22.4	16.7	22.6	8.3	25.0	0.219	-0.253
	pré-deglutição	0	0.0%								0	0.0%							
	durante deglutição	1	2.6%	0.0	0.0		0.0	0.0			1	2.6%	0.0	0.0		0.0	0.0		
	pós-deglutição	5	13.2%	8.3	0.0	14.4	0.0	8.3			5	13.2%	18.3	0.0	32.5	0.0	16.7		
VED PAS	1	21	55.3%	7.5	8.3	9.5	0.0	8.3	0.829	-0.090	21	55.3%	21.0	16.7	21.8	8.3	25.0	0.374	0.067
	2	9	23.7%	7.4	0.0	12.8	0.0	8.3			9	23.7%	14.8	0.0	25.3	0.0	16.7		

		EORCT-HN43 dor de cabeça e pescoço									EORCT-HN43 Problemas em engolir								
		N	%	Média	Mediana	DP	25	75	*p*	Correlação	N	%	Média	Mediana	DP	25	75	*p*	Correlação
	3	4	10.5%	10.4	0.0	20.9	0.0	20.9			4	10.5%	35.4	25.0	39.3	12.5	58.4		
	4	3	7.9%	8.3	8.3	8.4	0.0	16.7			3	7.9%	19.5	16.7	4.8	16.7	25.0		
	5	0	0.0%								0	0.0%							
	6	0	0.0%								0	0.0%							
	7	0	0.0%								0	0.0%							
	8	1	2.6%	0.0	0.0		0.0	0.0			1	2.6%	33.3	33.3		33.3	33.3		
VED limpeza	A - efetivo	6	15.8%	6.9	4.2	9.7	0.0	8.3			6	15.8%	9.7	4.2	13.3	0.0	16.7		
	B - moderadamente efetivo	5	13.2%	11.7	0.0	18.3	0.0	16.7			5	13.2%	31.7	25.0	35.1	16.7	25.0		
	C - ligeiramente efetivo	4	10.5%	8.3	0.0	16.7	0.0	16.7	0.768	0.050	4	10.5%	25.0	12.5	35.4	0.0	50.0	0.546	0.095
	D - ineficaz	2	5.3%	0.0	0.0	0.0	0.0	0.0			2	5.3%	25.0	25.0	11.7	16.7	33.3		
	NA	21	55.3%	7.5	8.3	9.5	0.0	8.3			21	55.3%	21.0	16.7	21.8	8.3	25.0		
VED pudim latência	normal	9	23.7%	11.1	8.3	11.8	0.0	16.7			9	23.7%	31.5	25.0	26.6	8.3	33.3		
	alterada	28	73.7%	6.8	0.0	11.1	0.0	8.3	0.294	-0.252	28	73.7%	18.2	16.7	22.6	0.0	25.0	0.192	-0.256
	não testado	1	2.6%	0.0	0.0		0.0	0.0			1	2.6%	16.7	16.7		16.7	16.7		
VED pudim tempo de latência										-0.183									-0.287
VED pudim whiteout	normal	0	0.0%								0	0.0%							
	alterada	37	97.4%	7.9	0.0	11.3	0.0	8.3	0.392	-0.141	37	97.4%	21.4	16.7	23.9	0.0	25.0	0.926	0.008
	não testado	1	2.6%	0.0	0.0		0.0	0.0			1	2.6%	16.7	16.7		16.7	16.7		
VED pudim tempo de encerramento das VA										0.068									-0.036
VED líquido latência	normal	10	26.3%	3.3	0.0	4.3	0.0	8.3			10	26.3%	10.0	8.3	11.6	0.0	16.7		
	alterada	26	68.4%	9.9	4.2	12.7	0.0	16.7	0.237	0.074	26	68.4%	25.3	16.7	26.5	8.3	25.0	0.194	0.314
	não testado	2	5.3%	0.0	0.0	0.0	0.0	0.0			2	5.3%	25.0	25.0	11.7	16.7	33.3		
VED líquido tempo de latência										0.349*									0.307
VED líquido whiteout	normal	0	0.0%								0	0.0%							
	alterada	36	94.7%	8.1	0.0	11.4	0.0	12.5	0.220	-0.202	36	94.7%	21.1	16.7	24.2	0.0	25.0	0.370	0.142
	não testado	2	5.3%	0.0	0.0	0.0	0.0	0.0			2	5.3%	25.0	25.0	11.7	16.7	33.3		
VED líquido tempo de encerramento das VA										-0.014									0.092
VED bolacha latência	normal	13	34.2%	5.8	0.0	8.6	0.0	8.3			13	34.2%	21.8	25.0	22.7	0.0	33.3		
	alterada	22	57.9%	7.9	4.2	10.7	0.0	8.3	0.846	0.087	22	57.9%	17.4	16.7	20.7	0.0	25.0	0.156	0.053
	não testado	3	7.9%	13.9	0.0	24.1	0.0	41.7			3	7.9%	47.2	33.3	39.4	16.7	91.7		

		EORCT-HN43 dor de cabeça e pescoço									EORCT-HN43 Problemas em engolir								
		N	%	Média	Mediana	DP	25	75	*p*	Correlação	N	%	Média	Mediana	DP	25	75	*p*	Correlação
VED bolacha tempo de latência										-0.001									-0.231
VED bolacha whiteout	normal	0	0.0%						0.929	0.015	0	0.0%						0.078	0.285
	alterada	35	92.1%	7.1	0.0	9.9	0.0	8.3			35	92.1%	19.0	16.7	21.3	0.0	25.0		
	não testado	3	7.9%	13.9	0.0	24.1	0.0	41.7			3	7.9%	47.2	33.3	39.4	16.7	91.7		
VED bolacha tempo de encerramento das VA										-0.012									0.083

Tabela 143 - Medidas descritivas, análise de correlação e diferenças estatísticas entre as variáveis da avaliação por VED componente funcional e as escalas problemas com os dentes e abertura de boca do questionário da EORTC QLQ-HN43.

		EORCT-HN43 Problemas com os dentes									EORCT-HN43 Abertura de boca								
		N	%	Média	Mediana	DP	25	75	*p*	Correlação	N	%	Média	Mediana	DP	25	75	*p*	Correlação
VED acesso	direita	24	63.2%	21.3	11.1	23.4	0.0	33.3	0.859	0.030	24	63.2%	16.7	0.0	24.1	0.0	33.3	0.149	-0.240
	esquerda	14	36.8%	26.2	22.2	29.1	0.0	44.4			14	36.8%	9.5	0.0	27.5	0.0	0.0		
VED nasofaringe EVF anatomia	presente	36	94.7%	22.5	16.7	25.4	0.0	33.3	0.488	0.116	36	94.7%	14.8	0.0	25.8	0.0	33.3	0.358	-0.153
	ausente	2	5.3%	33.4	33.4	31.5	11.1	55.6			2	5.3%	0.0	0.0	0.0	0.0	0.0		
VED nasofaringe EVF deglutição de saliva	presente	38	100.0%	23.1	16.7	25.4	0.0	33.3			38	100.0%	14.0	0.0	25.3	0.0	33.3		
	ausente	0	0.0%								0	0.0%							
VED nasofaringe EVF som e sílaba	presente	37	97.4%	23.4	22.2	25.6	0.0	33.3	0.809	-0.040	37	97.4%	14.4	0.0	25.5	0.0	33.3	0.522	-0.107
	ausente	1	2.6%	11.1	11.1		11.1	11.1			1	2.6%	0.0	0.0		0.0	0.0		
VED nasofaringe EVF fala	presente	37	97.4%	23.4	22.2	25.6	0.0	33.3	0.809	-0.040	37	97.4%	14.4	0.0	25.5	0.0	33.3	0.522	-0.107
	ausente	1	2.6%	11.1	11.1		11.1	11.1			1	2.6%	0.0	0.0		0.0	0.0		
VED oro/hipofaringe anatomia	presente	4	10.5%	16.7	16.7	19.2	0.0	33.3	0.886	-0.024	4	10.5%	0.0	0.0	0.0	0.0	0.0	0.253	0.190
	ausente	34	89.5%	23.9	16.7	26.1	0.0	44.4			34	89.5%	15.7	0.0	26.3	0.0	33.3		
VED oro/hipofaringe Movimento da base da língua	presente	34	89.5%	22.9	11.1	26.4	0.0	44.4	0.228	0.201	34	89.5%	13.7	0.0	24.8	0.0	33.3	0.729	0.058
	ausente	4	10.5%	25.0	33.3	16.7	16.7	33.3			4	10.5%	16.7	0.0	33.4	0.0	33.4		
VED oro/hipofaringe resíduo nas valéculas	presente	25	65.8%	21.8	11.1	23.9	0.0	33.3	0.935	0.014	25	65.8%	6.7	0.0	16.7	0.0	0.0	0.016	0.402*
	ausente	13	34.2%	25.6	22.2	28.8	0.0	55.6			13	34.2%	28.2	33.3	32.9	0.0	33.3		
VED oro/hipofaringe resíduos nos seios piriformes	presente	20	52.6%	22.8	16.7	24.6	0.0	33.3	0.790	-0.044	20	52.6%	8.3	0.0	18.3	0.0	0.0	0.205	0.211
	ausente	18	47.4%	23.5	16.7	26.9	0.0	55.6			18	47.4%	20.4	0.0	30.6	0.0	33.3		
VED oro/hipofaringe produção /i/	presente	38	100.0%	23.1	16.7	25.4	0.0	33.3			38	100.0%	14.0	0.0	25.3	0.0	33.3		
	ausente	0	0.0%								0	0.0%							
VED oro/hipofaringe manipulação de secreções	presente	35	92.1%	23.2	11.1	26.1	0.0	44.4	0.332	0.162	35	92.1%	13.3	0.0	24.5	0.0	33.3	0.380	0.146
	ausente	3	7.9%	22.2	33.3	19.2	0.0	33.3			3	7.9%	22.2	0.0	38.5	0.0	66.7		
VED laringe anatomia	presente	3	7.9%	11.1	0.0	19.2	0.0	33.3	0.755	0.052	3	7.9%	0.0	0.0	0.0	0.0	0.0	0.358	0.153
	ausente	35	92.1%	24.1	22.2	25.8	0.0	44.4			35	92.1%	15.2	0.0	26.0	0.0	33.3		
VED laringe fala	presente	38	100.0%	23.1	16.7	25.4	0.0	33.3			38	100.0%	14.0	0.0	25.3	0.0	33.3		
	ausente	0	0.0%								0	0.0%							
VED laringe deglutição de saliva	presente	36	94.7%	23.5	16.7	25.7	0.0	38.9	0.499	0.113	36	94.7%	13.0	0.0	24.3	0.0	33.3	0.062	0.311
	ausente	2	5.3%	16.7	16.7	23.5	0.0	33.3			2	5.3%	33.4	33.4	47.2	0.0	66.7		
VED laringe produção /i/	presente	38	100.0%	23.1	16.7	25.4	0.0	33.3			38	100.0%	14.0	0.0	25.3	0.0	33.3		
	ausente	0	0.0%								0	0.0%							
VED laringe tosse voluntária	presente	38	100.0%	23.1	16.7	25.4	0.0	33.3			38	100.0%	14.0	0.0	25.3	0.0	33.3		
	ausente	0	0.0%								0	0.0%							
VED laringe apneia	presente	38	100.0%	23.1	16.7	25.4	0.0	33.3			38	100.0%	14.0	0.0	25.3	0.0	33.3		

		EORCT-HN43 Problemas com os dentes									EORCT-HN43 Abertura de boca								
		N	%	Média	Mediana	DP	25	75	*p*	Correlação	N	%	Média	Mediana	DP	25	75	*p*	Correlação
	ausente	0	0.0%								0	0.0%							
VED sensibilidade da base da língua	presente	34	89.5%	22.9	11.1	26.4	0.0	44.4	0.228	0.201	34	89.5%	13.7	0.0	24.8	0.0	33.3	0.729	0.058
	ausente	4	10.5%	25.0	33.3	16.7	16.7	33.3			4	10.5%	16.7	0.0	33.4	0.0	33.4		
VED sensibilidade nas aritnóides	presente								0.598	0.201								1	0.058
	ausente																		
VED pudim escape prematuro	ausente	32	84.2%	23.6	11.1	26.9	0.0	50.0	0.598	0.088	32	84.2%	14.6	0.0	25.3	0.0	33.3	0.740	-0.055
	presente	5	13.2%	24.4	33.3	14.5	22.2	33.3			5	13.2%	13.3	0.0	29.8	0.0	0.0		
	não testado	1	2.6%	0.0	0.0		0.0	0.0			1	2.6%	0.0	0.0		0.0	0.0		
VED pudim resíduos nas valéculas	sem resíduo	11	28.9%	22.2	0.0	31.0	0.0	33.3	0.528	0.084	11	28.9%	21.2	0.0	34.2	0.0	33.3	0.659	-0.182
	resíduo ligeira a moderado	24	63.2%	23.6	16.7	24.2	0.0	50.0			24	63.2%	12.5	0.0	21.6	0.0	33.3		
	resíduo severo	2	5.3%	33.3	33.3	0.0	33.3	33.3			2	5.3%	0.0	0.0	0.0	0.0	0.0		
	não testado	1	2.6%	0.0	0.0		0.0	0.0			1	2.6%	0.0	0.0		0.0	0.0		
VED pudim resíduos nos seios piriformes	sem resíduo	22	57.9%	21.7	5.6	28.0	0.0	33.3	0.332	0.140	22	57.9%	13.6	0.0	26.5	0.0	33.3	0.898	0.034
	resíduo ligeira a moderado	12	31.6%	25.0	16.7	24.2	5.6	50.0			12	31.6%	13.9	0.0	22.3	0.0	33.3		
	resíduo severo	3	7.9%	33.3	33.3	0.0	33.3	33.3			3	7.9%	22.2	0.0	38.5	0.0	66.7		
	não testado	1	2.6%	0.0	0.0		0.0	0.0			1	2.6%	0.0	0.0		0.0	0.0		
VED pudim resíduo na parede faríngea	sem resíduo	26	68.4%	23.1	11.1	27.9	0.0	44.4	0.541	0.066	26	68.4%	14.1	0.0	27.0	0.0	33.3	0.751	0.020
	resíduo ligeira a moderado	10	26.3%	24.4	22.2	20.2	11.1	33.3			10	26.3%	16.7	0.0	23.6	0.0	33.3		
	resíduo severo	1	2.6%	33.3	33.3		33.3	33.3			1	2.6%	0.0	0.0		0.0	0.0		
	não testado	1	2.6%	0.0	0.0		0.0	0.0			1	2.6%	0.0	0.0		0.0	0.0		
VED pudim n.º de deglutições	1 deglutição	28	73.7%	26.2	22.2	27.3	0.0	55.6	0.737	-0.196	28	73.7%	14.3	0.0	26.3	0.0	33.3	0.786	-0.010
	1+1 adicional	0	0.0%								0	0.0%							
	1+2 adicionais	5	13.2%	20.0	22.2	19.9	0.0	33.3			5	13.2%	20.0	0.0	29.8	0.0	33.3		
	1+3 adicionais	2	5.3%	5.6	5.6	7.8	0.0	11.1			2	5.3%	0.0	0.0	0.0	0.0	0.0		
	1+4ou mais adicionais	2	5.3%	16.7	16.7	23.5	0.0	33.3			2	5.3%	16.7	16.7	23.5	0.0	33.3		
	não testado	1	2.6%	0.0	0.0		0.0	0.0			1	2.6%	0.0	0.0		0.0	0.0		
VED pudim reage sem tosse	ausente	34	89.5%	24.8	22.2	25.8	0.0	44.4	0.396	-0.223	34	89.5%	14.7	0.0	26.2	0.0	33.3	0.820	-0.053
	presente	3	7.9%	11.1	0.0	19.2	0.0	33.3			3	7.9%	11.1	0.0	19.2	0.0	33.3		
	não testado	1	2.6%	0.0	0.0		0.0	0.0			1	2.6%	0.0	0.0		0.0	0.0		
VED pudim função vocal	ausente	0	0.0%						0.296	-0.179	0	0.0%						0.529	-0.103
	presente	37	97.4%	23.7	22.2	25.4	0.0	33.3			37	97.4%	14.4	0.0	25.5	0.0	33.3		
	não testado	1	2.6%	0.0	0.0		0.0	0.0			1	2.6%	0.0	0.0		0.0	0.0		
VED líquido escape prematuro	ausente	24	63.2%	21.8	5.6	27.5	0.0	38.9	0.451	0.135	24	63.2%	15.3	0.0	27.8	0.0	33.3	0.660	-0.048
	presente	12	31.6%	26.9	22.2	22.5	11.1	44.5			12	31.6%	13.9	0.0	22.3	0.0	33.3		
	não testado	2	5.3%	16.7	16.7	23.5	0.0	33.3			2	5.3%	0.0	0.0	0.0	0.0	0.0		
VED líquido resíduos nas valéculas	sem resíduo	13	34.2%	20.5	0.0	29.0	0.0	33.3	0.893	0.110	13	34.2%	15.4	0.0	25.9	0.0	33.3	0.470	-0.039

		EORCT-HN43 Problemas com os dentes									EORCT-HN43 Abertura de boca								
		N	%	Média	Mediana	DP	25	75	*p*	Correlação	N	%	Média	Mediana	DP	25	75	*p*	Correlação
	resíduo ligeira a moderado	22	57.9%	25.3	16.7	24.8	0.0	55.6			22	57.9%	13.6	0.0	26.5	0.0	33.3		
	resíduo severo	1	2.6%	22.2	22.2		22.2	22.2			1	2.6%	33.3	33.3		33.3	33.3		
	não testado	2	5.3%	16.7	16.7	23.5	0.0	33.3			2	5.3%	0.0	0.0	0.0	0.0	0.0		
VED líquido resíduo nos seios piriformes	sem resíduo	23	60.5%	21.3	0.0	28.4	0.0	33.3	0.545	0.163	23	60.5%	15.9	0.0	28.2	0.0	33.3	0.455	-0.057
	resíduo ligeira a moderado	12	31.6%	27.8	27.8	21.5	11.1	50.0			12	31.6%	11.1	0.0	21.7	0.0	16.7		
	resíduo severo	1	2.6%	22.2	22.2		22.2	22.2			1	2.6%	33.3	33.3		33.3	33.3		
	não testado	2	5.3%	16.7	16.7	23.5	0.0	33.3			2	5.3%	0.0	0.0	0.0	0.0	0.0		
VED líquido resíduo na parede faríngea	sem resíduo	32	84.2%	25.0	16.7	26.6	0.0	50.0	0.730	-0.141	32	84.2%	14.6	0.0	26.7	0.0	33.3	0.483	0.001
	resíduo ligeira a moderado	3	7.9%	7.4	0.0	12.8	0.0	22.2			3	7.9%	11.1	0.0	19.2	0.0	33.3		
	resíduo severo	1	2.6%	22.2	22.2		22.2	22.2			1	2.6%	33.3	33.3		33.3	33.3		
	não testado	2	5.3%	16.7	16.7	23.5	0.0	33.3			2	5.3%	0.0	0.0	0.0	0.0	0.0		
VED líquido n.º de deglutições	1 deglutição	31	81.6%	23.7	11.1	27.2	0.0	55.6	0.960	0.013	31	81.6%	16.1	0.0	27.0	0.0	33.3	0.629	-0.166
	1+1 adicional	0	0.0%								0	0.0%							
	1+2 adicionais	2	5.3%	22.2	22.2	31.4	0.0	44.4			2	5.3%	0.0	0.0	0.0	0.0	0.0		
	1+3 adicionais	3	7.9%	22.2	22.2	0.0	22.2	22.2			3	7.9%	11.1	0.0	19.2	0.0	33.3		
	1+4ou mais adicionais	0	0.0%								0	0.0%							
	não testado	2	5.3%	16.7	16.7	23.5	0.0	33.3			2	5.3%	0.0	0.0	0.0	0.0	0.0		
VED líquido reage sem tosse	ausente	34	89.5%	24.2	16.7	26.2	0.0	44.4	0.831	-0.103	34	89.5%	13.7	0.0	26.1	0.0	33.3	0.123	0.100
	presente	2	5.3%	11.1	11.1	15.7	0.0	22.2			2	5.3%	33.3	33.3	0.0	33.3	33.3		
	não testado	2	5.3%	16.7	16.7	23.5	0.0	33.3			2	5.3%	0.0	0.0	0.0	0.0	0.0		
VED líquido função vocal	ausente	0	0.0%						0.811	-0.045	0	0.0%						0.367	-0.148
	presente	36	94.7%	23.5	16.7	25.7	0.0	38.9			36	94.7%	14.8	0.0	25.8	0.0	33.3		
	não testado	2	5.3%	16.7	16.7	23.5	0.0	33.3			2	5.3%	0.0	0.0	0.0	0.0	0.0		
VED bolacha escape prematuro	ausente	33	86.8%	23.6	11.1	26.5	0.0	44.4	0.951	0.000	33	86.8%	14.1	0.0	25.0	0.0	33.3	0.634	-0.039
	presente	2	5.3%	16.7	16.7	23.5	0.0	33.3			2	5.3%	0.0	0.0	0.0	0.0	0.0		
	não testado	3	7.9%	22.2	33.3	19.2	0.0	33.3			3	7.9%	22.2	0.0	38.5	0.0	66.7		
VED bolacha resíduo nas valéculas	sem resíduo	2	5.3%	11.1	11.1	15.7	0.0	22.2	0.827	-0.009	2	5.3%	16.7	16.7	23.5	0.0	33.3	0.826	0.086
	resíduo ligeira a moderado	18	47.4%	27.2	16.7	29.8	0.0	55.6			18	47.4%	11.1	0.0	25.6	0.0	0.0		
	resíduo severo	15	39.5%	20.0	11.1	22.3	0.0	33.3			15	39.5%	15.6	0.0	24.8	0.0	33.3		
	não testado	3	7.9%	22.2	33.3	19.2	0.0	33.3			3	7.9%	22.2	0.0	38.5	0.0	66.7		
VED bolacha resíduo nos seios piriformes	sem resíduo	14	36.8%	23.8	5.6	31.7	0.0	55.6	0.517	0.129	14	36.8%	16.7	0.0	28.5	0.0	33.3	0.816	-0.032
	resíduo ligeira a moderado	18	47.4%	20.4	11.1	23.3	0.0	33.3			18	47.4%	9.3	0.0	19.1	0.0	0.0		
	resíduo severo	3	7.9%	37.0	33.3	6.4	33.3	44.4			3	7.9%	22.2	0.0	38.5	0.0	66.7		
	não testado	3	7.9%	22.2	33.3	19.2	0.0	33.3			3	7.9%	22.2	0.0	38.5	0.0	66.7		
VED bolacha resíduo na parede faríngea	sem resíduo	6	15.8%	16.7	0.0	35.7	0.0	11.1	0.476	0.115	6	15.8%	0.0	0.0	0.0	0.0	0.0	0.344	0.203

		EORCT-HN43 Problemas com os dentes									EORCT-HN43 Abertura de boca								
		N	%	Média	Mediana	DP	25	75	*p*	Correlação	N	%	Média	Mediana	DP	25	75	*p*	Correlação
	resíduo ligeira a moderado	28	73.7%	25.4	22.2	24.2	0.0	50.0			28	73.7%	16.7	0.0	26.4	0.0	33.3		
	resíduo severo	1	2.6%	0.0	0.0		0.0	0.0			1	2.6%	0.0	0.0		0.0	0.0		
	não testado	3	7.9%	22.2	33.3	19.2	0.0	33.3			3	7.9%	22.2	0.0	38.5	0.0	66.7		
VED bolacha n.º de deglutições	1 deglutição	2	5.3%	55.6	55.6	0.0	55.6	55.6	0.143	-0.334*	2	5.3%	0.0	0.0	0.0	0.0	0.0	0.783	0.089
	1+1 adicional	0	0.0%								0	0.0%							
	1+2 adicionais	13	34.2%	29.9	22.2	30.6	0.0	55.6			13	34.2%	15.4	0.0	32.3	0.0	0.0		
	1+3 adicionais	12	31.6%	21.3	16.7	23.9	0.0	38.9			12	31.6%	16.7	0.0	22.5	0.0	33.3		
	1+4ou mais adicionais	8	21.1%	6.9	0.0	10.2	0.0	16.7			8	21.1%	8.3	0.0	15.4	0.0	16.7		
	não testado	3	7.9%	22.2	33.3	19.2	0.0	33.3			3	7.9%	22.2	0.0	38.5	0.0	66.7		
VED bolacha reage sem tosse	ausente	34	89.5%	23.9	16.7	26.1	0.0	44.4	0.570	-0.057	34	89.5%	12.7	0.0	24.6	0.0	33.3	0.382	0.159
	presente	1	2.6%	0.0	0.0		0.0	0.0			1	2.6%	33.3	33.3		33.3	33.3		
	não testado	3	7.9%	22.2	33.3	19.2	0.0	33.3			3	7.9%	22.2	0.0	38.5	0.0	66.7		
VED bolacha função vocal	ausente	0	0.0%						0.821	0.032	0	0.0%						0.709	0.061
	presente	35	92.1%	23.2	11.1	26.1	0.0	44.4			35	92.1%	13.3	0.0	24.5	0.0	33.3		
	não testado	3	7.9%	22.2	33.3	19.2	0.0	33.3			3	7.9%	22.2	0.0	38.5	0.0	66.7		
VED aspiração	não	20	52.6%	26.7	16.7	29.2	0.0	55.6	0.875	-0.113	20	52.6%	15.0	0.0	27.5	0.0	33.3	0.663	-0.053
	sim	16	42.1%	19.4	16.7	20.9	0.0	33.3			16	42.1%	14.6	0.0	24.3	0.0	33.3		
	alto risco de aspiração	2	5.3%	16.7	16.7	23.5	0.0	33.3			2	5.3%	0.0	0.0	0.0	0.0	0.0		
VED momento de aspiração pudim	NA	31	81.6%	20.8	11.1	26.6	0.0	33.3	0.311	0.272	31	81.6%	14.0	0.0	25.5	0.0	33.3	0.542	0.009
	pré-deglutição	5	13.2%	37.8	33.3	18.6	33.3	55.6			5	13.2%	13.3	0.0	29.8	0.0	0.0		
	durante deglutição	1	2.6%	22.2	22.2		22.2	22.2			1	2.6%	33.3	33.3		33.3	33.3		
	pós-deglutição	1	2.6%	22.2	22.2		22.2	22.2			1	2.6%	0.0	0.0		0.0	0.0		
VED momento de aspiração líquido	NA	25	65.8%	27.1	22.2	28.4	0.0	55.6	0.307	-0.211	25	65.8%	12.0	0.0	25.2	0.0	0.0	0.150	0.097
	pré-deglutição	2	5.3%	16.7	16.7	23.5	0.0	33.3			2	5.3%	50.0	50.0	23.6	33.3	66.7		
	durante deglutição	8	21.1%	20.8	22.2	16.2	5.6	33.3			8	21.1%	12.5	0.0	24.8	0.0	16.7		
	pós-deglutição	3	7.9%	0.0	0.0	0.0	0.0	0.0			3	7.9%	11.1	0.0	19.2	0.0	33.3		
VED momento de aspiração bolacha	NA	32	84.2%	23.3	11.1	26.7	0.0	44.5	0.446	0.047	32	84.2%	13.5	0.0	25.2	0.0	33.3	0.6292	0.058
	pré-deglutição	0	0.0%								0	0.0%							
	durante deglutição	1	2.6%	0.0	0.0		0.0	0.0			1	2.6%	0.0	0.0		0.0	0.0		
	pós-deglutição	5	13.2%	26.6	33.3	16.8	22.2	33.3			5	13.2%	20.0	0.0	29.8	0.0	33.3		
VED PAS	1	21	55.3%	25.4	11.1	29.0	0.0	55.6	0.104	0.056	21	55.3%	14.3	0.0	27.0	0.0	33.3	0.978	-0.012
	2	9	23.7%	8.6	0.0	17.4	0.0	0.0			9	23.7%	14.8	0.0	24.2	0.0	33.3		

		EORCT-HN43 Problemas com os dentes									EORCT-HN43 Abertura de boca								
		N	%	Média	Mediana	DP	25	75	*p*	Correlação	N	%	Média	Mediana	DP	25	75	*p*	Correlação
	3	4	10.5%	44.5	44.5	12.9	33.3	55.6			4	10.5%	16.7	0.0	33.4	0.0	33.4		
	4	3	7.9%	18.5	22.2	6.4	11.1	22.2			3	7.9%	11.1	0.0	19.2	0.0	33.3		
	5	0	0.0%								0	0.0%							
	6	0	0.0%								0	0.0%							
	7	0	0.0%								0	0.0%							
	8	1	2.6%	33.3	33.3		33.3	33.3			1	2.6%	0.0	0.0		0.0	0.0		
	A - efetivo	6	15.8%	3.7	0.0	9.1	0.0	0.0			6	15.8%	16.7	16.7	18.2	0.0	33.3		
	B - moderadamente efetivo	5	13.2%	40.0	33.3	14.9	33.3	55.6			5	13.2%	13.3	0.0	29.8	0.0	0.0		
VED limpeza	C - ligeiramente efetivo	4	10.5%	22.2	22.2	20.3	5.6	38.9	0.111	0.125	4	10.5%	16.7	0.0	33.4	0.0	33.4	0.820	-0.064
	D - ineficaz	2	5.3%	16.7	16.7	23.5	0.0	33.3			2	5.3%	0.0	0.0	0.0	0.0	0.0		
	NA	21	55.3%	25.4	11.1	29.0	0.0	55.6			21	55.3%	14.3	0.0	27.0	0.0	33.3		
	normal	9	23.7%	39.5	33.3	31.0	11.1	66.7			9	23.7%	14.8	0.0	33.8	0.0	0.0		
VED pudim latência	alterada	28	73.7%	18.6	11.1	21.6	0.0	33.3	0.059	-0.372*	28	73.7%	14.3	0.0	23.0	0.0	33.3	0.749	0.028
	não testado	1	2.6%	0.0	0.0		0.0	0.0			1	2.6%	0.0	0.0		0.0	0.0		
VED pudim tempo de latência										-0.261									0.041
	normal	0	0.0%								0	0.0%							
VED pudim whiteout	alterada	37	97.4%	23.7	22.2	25.4	0.0	33.3	0.296	-0.179	37	97.4%	14.4	0.0	25.5	0.0	33.3	0.529	-0.103
	não testado	1	2.6%	0.0	0.0		0.0	0.0			1	2.6%	0.0	0.0		0.0	0.0		
VED pudim tempo de encerramento das VA										0.087									-0.194
	normal	10	26.3%	4.4	0.0	7.8	0.0	11.1			10	26.3%	6.7	0.0	14.0	0.0	0.0		
VED líquido latência	alterada	26	68.4%	30.8	27.8	26.6	0.0	55.6	0.026	0.396*	26	68.4%	17.9	0.0	28.6	0.0	33.3	0.399	0.076
	não testado	2	5.3%	16.7	16.7	23.5	0.0	33.3			2	5.3%	0.0	0.0	0.0	0.0	0.0		
VED líquido tempo de latência										0.435**									0.296
	normal	0	0.0%								0	0.0%							
VED líquido whiteout	alterada	36	94.7%	23.5	16.7	25.7	0.0	38.9	0.811	-0.045	36	94.7%	14.8	0.0	25.8	0.0	33.3	0.367	-0.148
	não testado	2	5.3%	16.7	16.7	23.5	0.0	33.3			2	5.3%	0.0	0.0	0.0	0.0	0.0		
VED líquido tempo de encerramento das VA										0.095									0.007
	normal	13	34.2%	27.4	22.2	27.1	0.0	55.6			13	34.2%	7.7	0.0	14.6	0.0	0.0		
VED bolacha latência	alterada	22	57.9%	20.7	11.1	25.7	0.0	33.3	0.706	-0.075	22	57.9%	16.7	0.0	28.6	0.0	33.3	0.715	0.134
	não testado	3	7.9%	22.2	33.3	19.2	0.0	33.3			3	7.9%	22.2	0.0	38.5	0.0	66.7		

		EORCT-HN43 Problemas com os dentes									EORCT-HN43 Abertura de boca								
		N	%	Média	Mediana	DP	25	75	*p*	Correlação	N	%	Média	Mediana	DP	25	75	*p*	Correlação
VED bolacha tempo de latência										-0.045									0.069
VED bolacha whiteout	normal	0	0.0%						0.821	0.032	0	0.0%						0.709	0.061
	alterada	35	92.1%	23.2	11.1	26.1	0.0	44.4			35	92.1%	13.3	0.0	24.5	0.0	33.3		
	não testado	3	7.9%	22.2	33.3	19.2	0.0	33.3			3	7.9%	22.2	0.0	38.5	0.0	66.7		
VED bolacha tempo de encerramento das VA										0.082									0.192

Tabela 144 - Medidas descritivas, análise de correlação e diferenças estatísticas entre as variáveis da avaliação por VED componente funcional e as escalas boca seca e saliva espessa e problemas com os sentidos, do questionário da EORTC QLQ-HN43.

		EORCT-HN43 Boca seca e saliva espessa									EORCT-HN43 Problemas com os sentidos								
		N	%	Média	Mediana	DP	25	75	*p*	Correlação	N	%	Média	Mediana	DP	25	75	*p*	Correlação
VED acesso	direita	24	63.2%	29.2	33.3	22.1	16.7	41.7	0.747	-0.054	24	63.2%	18.1	0.0	30.7	0.0	16.7	0.699	-0.064
	esquerda	14	36.8%	29.8	33.3	30.8	0.0	66.7			14	36.8%	17.9	0.0	32.3	0.0	33.3		
VED nasofaringe EVF anatomia	presente	36	94.7%	29.6	33.3	25.2	0.0	41.7	0.836	-0.035	36	94.7%	18.5	0.0	31.6	0.0	25.0	0.937	0.013
	ausente	2	5.3%	25.0	25.0	35.4	0.0	50.0			2	5.3%	8.4	8.4	11.8	0.0	16.7		
VED nasofaringe EVF deglutição de saliva	presente	38	100.0%	29.4	33.3	25.2	0.0	50.0			38	100.0%	18.0	0.0	30.9	0.0	16.7		
	ausente	0	0.0%								0	0.0%							
VED nasofaringe EVF som e sílaba	presente	37	97.4%	28.8	33.3	25.3	0.0	33.3	0.311	0.169	37	97.4%	18.0	0.0	31.3	0.0	16.7	0.409	0.137
	ausente	1	2.6%	50.0	50.0		50.0	50.0			1	2.6%	16.7	16.7		16.7	16.7		
VED nasofaringe EVF fala	presente	37	97.4%	28.8	33.3	25.3	0.0	33.3	0.311	0.169	37	97.4%	18.0	0.0	31.3	0.0	16.7	0.409	0.137
	ausente	1	2.6%	50.0	50.0		50.0	50.0			1	2.6%	16.7	16.7		16.7	16.7		
VED oro/hipofaringe anatomia	presente	4	10.5%	33.3	33.3	27.2	16.7	50.0	0.264	-0.186	4	10.5%	20.9	8.4	31.6	0.0	41.7	0.922	-0.016
	ausente	34	89.5%	28.9	33.3	25.4	0.0	50.0			34	89.5%	17.7	0.0	31.2	0.0	16.7		
VED oro/hipofaringe Movimento da base da língua	presente	34	89.5%	28.9	33.3	25.4	0.0	50.0	0.264	0.186	34	89.5%	17.7	0.0	31.2	0.0	16.7	0.922	0.016
	ausente	4	10.5%	33.3	33.3	27.2	16.7	50.0			4	10.5%	20.9	8.4	31.6	0.0	41.7		
VED oro/hipofaringe resíduo nas valéculas	presente	25	65.8%	28.0	33.3	25.8	0.0	33.3	0.755	0.052	25	65.8%	8.7	0.0	17.4	0.0	16.7	0.033	0.355*
	ausente	13	34.2%	32.1	33.3	25.0	16.7	50.0			13	34.2%	35.9	16.7	42.4	0.0	66.7		
VED oro/hipofaringe resíduos nos seios piriformes	presente	20	52.6%	25.0	33.3	25.1	0.0	33.3	0.348	0.157	20	52.6%	7.5	0.0	16.7	0.0	8.4	0.040	0.342*
	ausente	18	47.4%	34.3	33.3	25.2	16.7	50.0			18	47.4%	29.6	8.4	38.6	0.0	50.0		
VED oro/hipofaringe produção /i/	presente	38	100.0%	29.4	33.3	25.2	0.0	50.0			38	100.0%	18.0	0.0	30.9	0.0	16.7		
	ausente	0	0.0%								0	0.0%							
VED oro/hipofaringe manipulação de secreções	presente	35	92.1%	29.0	33.3	25.0	0.0	50.0	0.239	0.196	35	92.1%	17.1	0.0	30.9	0.0	16.7	0.528	0.105
	ausente	3	7.9%	33.3	33.3	33.4	0.0	66.7			3	7.9%	27.8	16.7	34.7	0.0	66.7		
VED laringe anatomia	presente	3	7.9%	33.3	33.3	33.4	0.0	66.7	0.239	-0.196	3	7.9%	27.8	16.7	34.7	0.0	66.7	0.528	-0.105
	ausente	35	92.1%	29.0	33.3	25.0	0.0	50.0			35	92.1%	17.1	0.0	30.9	0.0	16.7		
VED laringe fala	presente	38	100.0%	29.4	33.3	25.2	0.0	50.0			38	100.0%	18.0	0.0	30.9	0.0	16.7		
	ausente	0	0.0%								0	0.0%							
VED laringe deglutição de saliva	presente	36	94.7%	30.1	33.3	25.5	0.0	50.0	0.809	0.040	36	94.7%	18.5	0.0	31.6	0.0	25.0	0.475	-0.119
	ausente	2	5.3%	16.7	16.7	23.5	0.0	33.3			2	5.3%	8.4	8.4	11.8	0.0	16.7		
VED laringe produção /i/	presente	38	100.0%	29.4	33.3	25.2	0.0	50.0			38	100.0%	18.0	0.0	30.9	0.0	16.7		
	ausente	0	0.0%								0	0.0%							
VED laringe tosse voluntária	presente	38	100.0%	29.4	33.3	25.2	0.0	50.0			38	100.0%	18.0	0.0	30.9	0.0	16.7		
	ausente	0	0.0%								0	0.0%							
VED laringe apneia	presente	38	100.0%	29.4	33.3	25.2	0.0	50.0			38	100.0%	18.0	0.0	30.9	0.0	16.7		

		EORCT-HN43 Boca seca e saliva espessa									EORCT-HN43 Problemas com os sentidos								
		N	%	Média	Mediana	DP	25	75	*p*	Correlação	N	%	Média	Mediana	DP	25	75	*p*	Correlação
	ausente	0	0.0%								0	0.0%							
VED sensibilidade da base da língua	presente	34	89.5%	28.9	33.3	25.4	0.0	50.0	0.264	0.186	34	89.5%	17.7	0.0	31.2	0.0	16.7	0.922	0.016
	ausente	4	10.5%	33.3	33.3	27.2	16.7	50.0			4	10.5%	20.9	8.4	31.6	0.0	41.7		
VED sensibilidade nas aritnóides	presente								0.731	0.186								0.697	0.016
	ausente																		
VED pudim escape prematuro	ausente	32	84.2%	29.2	33.3	25.4	0.0	41.7			32	84.2%	17.2	0.0	31.5	0.0	16.7		
	presente	5	13.2%	36.7	33.3	24.7	33.3	50.0	0.450	0.126	5	13.2%	23.3	0.0	32.5	0.0	50.0	0.696	0.065
	não testado	1	2.6%	0.0	0.0		0.0	0.0			1	2.6%	16.7	16.7		16.7	16.7		
VED pudim resíduos nas valéculas	sem resíduo	11	28.9%	33.3	33.3	26.9	16.7	33.3			11	28.9%	25.8	0.0	39.0	0.0	33.3		
	resíduo ligeira a moderado	24	63.2%	27.1	33.3	24.5	0.0	50.0	0.363	-0.048	24	63.2%	13.2	0.0	26.5	0.0	16.7	0.549	-0.054
	resíduo severo	2	5.3%	50.0	50.0	23.6	33.3	66.7			2	5.3%	33.4	33.4	47.2	0.0	66.7		
	não testado	1	2.6%	0.0	0.0		0.0	0.0			1	2.6%	16.7	16.7		16.7	16.7		
VED pudim resíduos nos seios piriformes	sem resíduo	22	57.9%	33.3	33.3	26.2	16.7	50.0			22	57.9%	21.2	0.0	32.6	0.0	33.3		
	resíduo ligeira a moderado	12	31.6%	20.8	16.7	22.6	0.0	41.7	0.229	-0.130	12	31.6%	11.1	0.0	28.7	0.0	8.4	0.638	-0.085
	resíduo severo	3	7.9%	44.4	33.3	19.3	33.3	66.7			3	7.9%	22.2	0.0	38.5	0.0	66.7		
	não testado	1	2.6%	0.0	0.0		0.0	0.0			1	2.6%	16.7	16.7		16.7	16.7		
VED pudim resíduo na parede faríngea	sem resíduo	26	68.4%	30.1	33.3	26.7	0.0	50.0			26	68.4%	21.8	0.0	34.6	0.0	33.3		
	resíduo ligeira a moderado	10	26.3%	26.7	33.3	19.6	0.0	33.3	0.318	-0.011	10	26.3%	3.3	0.0	7.0	0.0	0.0	0.170	-0.063
	resíduo severo	1	2.6%	66.7	66.7		66.7	66.7			1	2.6%	66.7	66.7		66.7	66.7		
	não testado	1	2.6%	0.0	0.0		0.0	0.0			1	2.6%	16.7	16.7		16.7	16.7		
VED pudim n.º de deglutições	1 deglutição	28	73.7%	32.7	33.3	23.8	16.7	50.0			28	73.7%	20.8	0.0	33.5	0.0	33.3		
	1+1 adicional	0	0.0%								0	0.0%							
	1+2 adicionais	5	13.2%	26.7	33.3	27.9	0.0	33.3			5	13.2%	3.3	0.0	7.5	0.0	0.0		
	1+3 adicionais	2	5.3%	0.0	0.0	0.0	0.0	0.0	0.248	-0.270	2	5.3%	0.0	0.0	0.0	0.0	0.0	0.545	-0.087
	1+4ou mais adicionais	2	5.3%	33.4	33.4	47.2	0.0	66.7			2	5.3%	33.4	33.4	47.2	0.0	66.7		
	não testado	1	2.6%	0.0	0.0		0.0	0.0			1	2.6%	16.7	16.7		16.7	16.7		
VED pudim reage sem tosse	ausente	34	89.5%	30.9	33.3	24.3	16.7	50.0			34	89.5%	17.7	0.0	31.2	0.0	16.7		
	presente	3	7.9%	22.2	0.0	38.5	0.0	66.7	0.342	-0.211	3	7.9%	22.2	0.0	38.5	0.0	66.7	0.727	0.082
	não testado	1	2.6%	0.0	0.0		0.0	0.0			1	2.6%	16.7	16.7		16.7	16.7		
VED pudim função vocal	ausente	0	0.0%								0	0.0%							
	presente	37	97.4%	30.2	33.3	25.1	0.0	50.0	0.204	-0.209	37	97.4%	18.0	0.0	31.3	0.0	16.7	0.428	0.130
	não testado	1	2.6%	0.0	0.0		0.0	0.0			1	2.6%	16.7	16.7		16.7	16.7		
VED líquido escape prematuro	ausente	24	63.2%	31.2	33.3	25.2	16.7	41.7			24	63.2%	21.5	0.0	35.3	0.0	33.3		
	presente	12	31.6%	25.0	33.3	24.1	0.0	41.7	0.836	-0.079	12	31.6%	7.0	0.0	15.0	0.0	8.4	0.140	-0.020
	não testado	2	5.3%	33.4	33.4	47.2	0.0	66.7			2	5.3%	41.7	41.7	35.4	16.7	66.7		
VED líquido resíduos nas valéculas	sem resíduo	13	34.2%	37.2	33.3	28.2	16.7	50.0	0.616	-0.160	13	34.2%	25.6	0.0	37.0	0.0	33.3	0.126	-0.035

		EORCT-HN43 Boca seca e saliva espessa									EORCT-HN43 Problemas com os sentidos								
		N	%	Média	Mediana	DP	25	75	*p*	Correlação	N	%	Média	Mediana	DP	25	75	*p*	Correlação
	resíduo ligeira a moderado	22	57.9%	24.2	33.3	22.3	0.0	33.3			22	57.9%	11.4	0.0	26.4	0.0	0.0		
	resíduo severo	1	2.6%	33.3	33.3		33.3	33.3			1	2.6%	16.7	16.7		16.7	16.7		
	não testado	2	5.3%	33.4	33.4	47.2	0.0	66.7			2	5.3%	41.7	41.7	35.4	16.7	66.7		
VED líquido resíduo nos seios piriformes	sem resíduo	23	60.5%	32.6	33.3	24.9	16.7	50.0	0.726	-0.131	23	60.5%	22.5	0.0	35.7	0.0	33.3	0.124	-0.033
	resíduo ligeira a moderado	12	31.6%	22.2	16.7	25.0	0.0	41.7			12	31.6%	5.6	0.0	14.8	0.0	0.0		
	resíduo severo	1	2.6%	33.3	33.3		33.3	33.3			1	2.6%	16.7	16.7		16.7	16.7		
	não testado	2	5.3%	33.4	33.4	47.2	0.0	66.7			2	5.3%	41.7	41.7	35.4	16.7	66.7		
VED líquido resíduo na parede faríngea	sem resíduo	32	84.2%	29.7	33.3	25.7	0.0	50.0	0.969	-0.015	32	84.2%	18.2	0.0	32.1	0.0	25.0	0.173	0.100
	resíduo ligeira a moderado	3	7.9%	22.2	33.3	19.2	0.0	33.3			3	7.9%	0.0	0.0	0.0	0.0	0.0		
	resíduo severo	1	2.6%	33.3	33.3		33.3	33.3			1	2.6%	16.7	16.7		16.7	16.7		
	não testado	2	5.3%	33.4	33.4	47.2	0.0	66.7			2	5.3%	41.7	41.7	35.4	16.7	66.7		
VED líquido n.º de deglutições	1 deglutição	31	81.6%	30.1	33.3	25.2	0.0	50.0	0.262	-0.030	31	81.6%	17.2	0.0	32.1	0.0	16.7	0.200	0.191
	1+1 adicional	0	0.0%								0	0.0%							
	1+2 adicionais	2	5.3%	0.0	0.0	0.0	0.0	0.0			2	5.3%	0.0	0.0	0.0	0.0	0.0		
	1+3 adicionais	3	7.9%	38.9	33.3	9.6	33.3	50.0			3	7.9%	22.2	16.7	25.5	0.0	50.0		
	1+4ou mais adicionais	0	0.0%								0	0.0%							
	não testado	2	5.3%	33.4	33.4	47.2	0.0	66.7			2	5.3%	41.7	41.7	35.4	16.7	66.7		
VED líquido reage sem tosse	ausente	34	89.5%	29.9	33.3	24.9	0.0	50.0	0.777	-0.067	34	89.5%	17.2	0.0	31.4	0.0	16.7	0.232	0.218
	presente	2	5.3%	16.7	16.7	23.5	0.0	33.3			2	5.3%	8.4	8.4	11.8	0.0	16.7		
	não testado	2	5.3%	33.4	33.4	47.2	0.0	66.7			2	5.3%	41.7	41.7	35.4	16.7	66.7		
VED líquido função vocal	ausente	0	0.0%						0.919	0.017	0	0.0%						0.088	0.280
	presente	36	94.7%	29.2	33.3	24.7	0.0	41.7			36	94.7%	16.7	0.0	30.6	0.0	16.7		
	não testado	2	5.3%	33.4	33.4	47.2	0.0	66.7			2	5.3%	41.7	41.7	35.4	16.7	66.7		
VED bolacha escape prematuro	ausente	33	86.8%	29.8	33.3	25.3	0.0	50.0	0.763	-0.036	33	86.8%	18.2	0.0	31.6	0.0	16.7	0.380	0.028
	presente	2	5.3%	16.7	16.7	23.5	0.0	33.3			2	5.3%	0.0	0.0	0.0	0.0	0.0		
	não testado	3	7.9%	33.3	33.3	33.4	0.0	66.7			3	7.9%	27.8	16.7	34.7	0.0	66.7		
VED bolacha resíduo nas valéculas	sem resíduo	2	5.3%	25.0	25.0	11.7	16.7	33.3	0.930	-0.045	2	5.3%	58.4	58.4	58.9	16.7	100.0	0.074	-0.228
	resíduo ligeira a moderado	18	47.4%	31.5	33.3	24.8	16.7	50.0			18	47.4%	17.6	0.0	27.1	0.0	33.3		
	resíduo severo	15	39.5%	26.7	33.3	27.3	0.0	50.0			15	39.5%	11.1	0.0	30.0	0.0	0.0		
	não testado	3	7.9%	33.3	33.3	33.4	0.0	66.7			3	7.9%	27.8	16.7	34.7	0.0	66.7		
VED bolacha resíduo nos seios piriformes	sem resíduo	14	36.8%	35.7	33.3	22.5	16.7	33.3	0.494	-0.119	14	36.8%	25.0	8.4	35.7	0.0	33.3	0.258	-0.162
	resíduo ligeira a moderado	18	47.4%	22.2	16.7	23.6	0.0	50.0			18	47.4%	13.9	0.0	28.7	0.0	16.7		
	resíduo severo	3	7.9%	38.9	33.3	41.9	0.0	83.3			3	7.9%	0.0	0.0	0.0	0.0	0.0		
	não testado	3	7.9%	33.3	33.3	33.4	0.0	66.7			3	7.9%	27.8	16.7	34.7	0.0	66.7		
VED bolacha resíduo na parede faríngea	sem resíduo	6	15.8%	30.6	25.0	28.7	16.7	33.3	0.985	0.037	6	15.8%	8.3	0.0	13.9	0.0	16.7	0.667	0.104
	resíduo ligeira a moderado	28	73.7%	28.6	33.3	25.2	0.0	50.0			28	73.7%	19.6	0.0	33.7	0.0	25.0		

		EORCT-HN43 Boca seca e saliva espessa									EORCT-HN43 Problemas com os sentidos								
		N	%	Média	Mediana	DP	25	75	*p*	Correlação	N	%	Média	Mediana	DP	25	75	*p*	Correlação
	resíduo severo	1	2.6%	33.3	33.3		33.3	33.3			1	2.6%	0.0	0.0		0.0	0.0		
	não testado	3	7.9%	33.3	33.3	33.4	0.0	66.7			3	7.9%	27.8	16.7	34.7	0.0	66.7		
VED bolacha n.º de deglutições	1 deglutição	2	5.3%	0.0	0.0	0.0	0.0	0.0	0.309	-0.026	2	5.3%	0.0	0.0	0.0	0.0	0.0	0.249	-0.083
	1+1 adicional	0	0.0%								0	0.0%							
	1+2 adicionais	13	34.2%	35.9	33.3	22.4	16.7	50.0			13	34.2%	32.1	16.7	41.6	0.0	50.0		
	1+3 adicionais	12	31.6%	30.6	33.3	26.4	8.4	41.7			12	31.6%	9.7	0.0	20.7	0.0	8.4		
	1+4ou mais adicionais	8	21.1%	22.9	16.7	26.6	0.0	41.7			8	21.1%	8.3	0.0	17.8	0.0	8.4		
	não testado	3	7.9%	33.3	33.3	33.4	0.0	66.7			3	7.9%	27.8	16.7	34.7	0.0	66.7		
VED bolacha reage sem tosse	ausente	34	89.5%	29.9	33.3	24.9	0.0	50.0	0.439	-0.063	34	89.5%	17.7	0.0	31.2	0.0	16.7	0.490	0.086
	presente	1	2.6%	0.0	0.0		0.0	0.0			1	2.6%	0.0	0.0		0.0	0.0		
	não testado	3	7.9%	33.3	33.3	33.4	0.0	66.7			3	7.9%	27.8	16.7	34.7	0.0	66.7		
VED bolacha função vocal	ausente	0	0.0%						0.802	0.041	0	0.0%						0.331	0.160
	presente	35	92.1%	29.0	33.3	25.0	0.0	50.0			35	92.1%	17.1	0.0	30.9	0.0	16.7		
	não testado	3	7.9%	33.3	33.3	33.4	0.0	66.7			3	7.9%	27.8	16.7	34.7	0.0	66.7		
VED aspiração	não	20	52.6%	34.2	33.3	24.5	16.7	50.0	0.392	-0.194	20	52.6%	27.5	0.0	37.6	0.0	50.0	0.029	-0.180
	sim	16	42.1%	22.9	33.3	24.2	0.0	33.3			16	42.1%	3.1	0.0	6.7	0.0	0.0		
	alto risco de aspiração	2	5.3%	33.4	33.4	47.2	0.0	66.7			2	5.3%	41.7	41.7	35.4	16.7	66.7		
VED momento de aspiração pudim	NA	31	81.6%	29.0	33.3	25.8	0.0	50.0	0.981	0.055	31	81.6%	18.8	0.0	32.4	0.0	33.3	0.765	0.011
	pré-deglutição	5	13.2%	30.0	33.3	29.8	0.0	50.0			5	13.2%	16.7	0.0	28.9	0.0	16.7		
	durante deglutição	1	2.6%	33.3	33.3		33.3	33.3			1	2.6%	16.7	16.7		16.7	16.7		
	pós-deglutição	1	2.6%	33.3	33.3		33.3	33.3			1	2.6%	0.0	0.0		0.0	0.0		
VED momento de aspiração líquido	NA	25	65.8%	30.0	33.3	26.4	0.0	50.0	0.837	-0.017	25	65.8%	25.3	0.0	35.7	0.0	50.0	0.278	-0.279
	pré-deglutição	2	5.3%	16.7	16.7	23.5	0.0	33.3			2	5.3%	0.0	0.0	0.0	0.0	0.0		
	durante deglutição	8	21.1%	33.3	33.3	26.7	16.7	41.7			8	21.1%	6.3	0.0	8.6	0.0	16.7		
	pós-deglutição	3	7.9%	22.2	33.3	19.2	0.0	33.3			3	7.9%	0.0	0.0	0.0	0.0	0.0		
VED momento de aspiração bolacha	NA	32	84.2%	30.2	33.3	24.1	8.4	50.0	0.436	-0.100	32	84.2%	20.8	0.0	32.8	0.0	33.3	0.427	-0.206
	pré-deglutição	0	0.0%								0	0.0%							
	durante deglutição	1	2.6%	0.0	0.0		0.0	0.0			1	2.6%	0.0	0.0		0.0	0.0		
	pós-deglutição	5	13.2%	30.0	33.3	34.1	0.0	33.3			5	13.2%	3.3	0.0	7.5	0.0	0.0		
VED PAS	1	21	55.3%	32.5	33.3	25.0	16.7	50.0	0.227	-0.057	21	55.3%	27.0	0.0	36.7	0.0	50.0	0.058	-0.203
	2	9	23.7%	20.4	0.0	28.6	0.0	33.3			9	23.7%	1.9	0.0	5.6	0.0	0.0		
	3	4	10.5%	16.7	16.7	19.2	0.0	33.3			4	10.5%	0.0	0.0	0.0	0.0	0.0		

		EORCT-HN43 Boca seca e saliva espessa									EORCT-HN43 Problemas com os sentidos								
		N	%	Média	Mediana	DP	25	75	*p*	Correlação	N	%	Média	Mediana	DP	25	75	*p*	Correlação
	4	3	7.9%	38.9	33.3	9.6	33.3	50.0			3	7.9%	11.1	16.7	9.6	0.0	16.7		
	5	0	0.0%								0	0.0%							
	6	0	0.0%								0	0.0%							
	7	0	0.0%								0	0.0%							
	8	1	2.6%	66.7	66.7		66.7	66.7			1	2.6%	66.7	66.7		66.7	66.7		
	A - efetivo	6	15.8%	16.7	16.7	18.2	0.0	33.3			6	15.8%	5.6	0.0	8.6	0.0	16.7		
	B - moderadamente efetivo	5	13.2%	20.0	33.3	18.2	0.0	33.3			5	13.2%	0.0	0.0	0.0	0.0	0.0		
VED limpeza	C - ligeiramente efetivo	4	10.5%	33.3	25.0	40.8	0.0	66.7	0.442	0.218	4	10.5%	4.2	0.0	8.4	0.0	8.4	0.259	0.304
	D - ineficaz	2	5.3%	50.0	50.0	23.6	33.3	66.7			2	5.3%	33.4	33.4	47.2	0.0	66.7		
	NA	21	55.3%	32.5	33.3	25.0	16.7	50.0			21	55.3%	27.0	0.0	36.7	0.0	50.0		
	normal	9	23.7%	42.6	33.3	26.5	33.3	66.7			9	23.7%	35.2	33.3	37.7	0.0	66.7		
VED pudim latência	alterada	28	73.7%	26.2	33.3	23.8	0.0	33.3	0.119	-0.325*	28	73.7%	12.5	0.0	27.5	0.0	16.7	0.142	-0.230
	não testado	1	2.6%	0.0	0.0		0.0	0.0			1	2.6%	16.7	16.7		16.7	16.7		
VED pudim tempo de latência										-0.245									-0.179
	normal	0	0.0%								0	0.0%							
VED pudim whiteout	alterada	37	97.4%	30.2	33.3	25.1	0.0	50.0	0.204	-0.209	37	97.4%	18.0	0.0	31.3	0.0	16.7	0.428	0.130
	não testado	1	2.6%	0.0	0.0		0.0	0.0			1	2.6%	16.7	16.7		16.7	16.7		
VED pudim tempo de encerramento das VA										0.152									0.091
	normal	10	26.3%	20.0	25.0	15.3	0.0	33.3			10	26.3%	16.7	0.0	31.4	0.0	16.7		
VED líquido latência	alterada	26	68.4%	32.7	33.3	26.9	0.0	50.0	0.458	0.188	26	68.4%	16.7	0.0	30.9	0.0	16.7	0.224	0.090
	não testado	2	5.3%	33.4	33.4	47.2	0.0	66.7			2	5.3%	41.7	41.7	35.4	16.7	66.7		
VED líquido tempo de latência										0.300									-0.051
	normal	0	0.0%								0	0.0%							
VED líquido whiteout	alterada	36	94.7%	29.2	33.3	24.7	0.0	41.7	0.919	0.017	36	94.7%	16.7	0.0	30.6	0.0	16.7	0.088	0.280
	não testado	2	5.3%	33.4	33.4	47.2	0.0	66.7			2	5.3%	41.7	41.7	35.4	16.7	66.7		
VED líquido tempo de encerramento das VA										-0.126									-0.083
	normal	13	34.2%	21.8	16.7	23.9	0.0	33.3			13	34.2%	19.2	0.0	32.5	0.0	16.7		
VED bolacha latência	alterada	22	57.9%	33.3	33.3	25.2	16.7	50.0	0.360	0.218	22	57.9%	15.9	0.0	30.6	0.0	16.7	0.581	0.034
	não testado	3	7.9%	33.3	33.3	33.4	0.0	66.7			3	7.9%	27.8	16.7	34.7	0.0	66.7		

		EORCT-HN43 Boca seca e saliva espessa									EORCT-HN43 Problemas com os sentidos								
		N	%	Média	Mediana	DP	25	75	*p*	Correlação	N	%	Média	Mediana	DP	25	75	*p*	Correlação
VED bolacha tempo de latência										0.066									-0.225
VED bolacha whiteout	normal	0	0.0%						0.802	0.041	0	0.0%						0.331	0.160
	alterada	35	92.1%	29.0	33.3	25.0	0.0	50.0			35	92.1%	17.1	0.0	30.9	0.0	16.7		
	não testado	3	7.9%	33.3	33.3	33.4	0.0	66.7			3	7.9%	27.8	16.7	34.7	0.0	66.7		
VED bolacha tempo de encerramento das VA										0.202									-0.127

Tabela 145 - Medidas descritivas, análise de correlação e diferenças estatísticas entre as variáveis da avaliação por VED componente funcional e as escalas tosse e imagem corporal, do questionário da EORTC QLQ-HN43.

		EORCT-HN43 Tosse									EORCT-HN43 Imagem corporal								
		N	%	Média	Mediana	DP	25	75	*p*	Correlação	N	%	Média	Mediana	DP	25	75	*p*	Correlação
VED acesso	direita	24	63.2%	4.2	0.0	15.0	0.0	0.0	0.263	-0.186	24	63.2%	14.8	11.1	16.9	0.0	22.2	0.132	-0.251
	esquerda	14	36.8%	0.0	0.0	0.0	0.0	0.0			14	36.8%	8.7	0.0	13.9	0.0	22.2		
VED nasofaringe EVF anatomia	presente	36	94.7%	2.8	0.0	12.3	0.0	0.0	0.732	-0.057	36	94.7%	13.0	11.1	16.3	0.0	22.2	0.570	-0.095
	ausente	2	5.3%	0.0	0.0	0.0	0.0	0.0			2	5.3%	5.6	5.6	7.8	0.0	11.1		
VED nasofaringe EVF deglutição de saliva	presente	38	100.0%	2.6	0.0	12.0	0.0	0.0			38	100.0%	12.6	11.1	16.0	0.0	22.2		
	ausente	0	0.0%								0	0.0%							
VED nasofaringe EVF som e sílaba	presente	37	97.4%	2.7	0.0	12.1	0.0	0.0	0.811	-0.040	37	97.4%	12.9	11.1	16.0	0.0	22.2	0.299	-0.173
	ausente	1	2.6%	0.0	0.0		0.0	0.0			1	2.6%	0.0	0.0		0.0	0.0		
VED nasofaringe EVF fala	presente	37	97.4%	2.7	0.0	12.1	0.0	0.0	0.811	-0.040	37	97.4%	12.9	11.1	16.0	0.0	22.2	0.299	-0.173
	ausente	1	2.6%	0.0	0.0		0.0	0.0			1	2.6%	0.0	0.0		0.0	0.0		
VED oro/hipofaringe anatomia	presente	4	10.5%	0.0	0.0	0.0	0.0	0.0	0.670	0.071	4	10.5%	2.8	0.0	5.6	0.0	5.6	0.277	0.181
	ausente	34	89.5%	2.9	0.0	12.6	0.0	0.0			34	89.5%	13.7	11.1	16.4	0.0	22.2		
VED oro/hipofaringe Movimento da base da língua	presente	34	89.5%	2.9	0.0	12.6	0.0	0.0	0.670	-0.071	34	89.5%	12.7	11.1	15.5	0.0	22.2	0.791	-0.044
	ausente	4	10.5%	0.0	0.0	0.0	0.0	0.0			4	10.5%	11.1	0.0	22.2	0.0	22.2		
VED oro/hipofaringe resíduo nas valéculas	presente	25	65.8%	1.3	0.0	6.7	0.0	0.0	0.626	0.081	25	65.8%	9.8	0.0	14.8	0.0	11.1	0.060	0.314
	ausente	13	34.2%	5.1	0.0	18.5	0.0	0.0			13	34.2%	17.9	11.1	17.3	11.1	22.2		
VED oro/hipofaringe resíduos nos seios pririformes	presente	20	52.6%	0.0	0.0	0.0	0.0	0.0	0.141	0.246	20	52.6%	11.1	5.6	14.8	0.0	16.7	0.630	0.080
	ausente	18	47.4%	5.6	0.0	17.2	0.0	0.0			18	47.4%	14.2	11.1	17.4	0.0	22.2		
VED oro/hipofaringe produção /i/	presente	38	100.0%	2.6	0.0	12.0	0.0	0.0			38	100.0%	12.6	11.1	16.0	0.0	22.2		
	ausente	0	0.0%								0	0.0%							
VED oro/hipofaringe manipulação de secreções	presente	35	92.1%	2.9	0.0	12.5	0.0	0.0	0.732	-0.057	35	92.1%	12.4	11.1	15.4	0.0	22.2	0.670	0.071
	ausente	3	7.9%	0.0	0.0	0.0	0.0	0.0			3	7.9%	14.8	0.0	25.6	0.0	44.4		
VED laringe anatomia	presente	3	7.9%	0.0	0.0	0.0	0.0	0.0	0.732	0.057	3	7.9%	3.7	0.0	6.4	0.0	11.1	0.570	0.095
	ausente	35	92.1%	2.9	0.0	12.5	0.0	0.0			35	92.1%	13.3	11.1	16.3	0.0	22.2		
VED laringe fala	presente	38	100.0%	2.6	0.0	12.0	0.0	0.0			38	100.0%	12.6	11.1	16.0	0.0	22.2		
	ausente	0	0.0%								0	0.0%							
VED laringe deglutição de saliva	presente	36	94.7%	2.8	0.0	12.3	0.0	0.0	0.811	-0.040	36	94.7%	12.0	11.1	15.3	0.0	22.2	0.103	0.272
	ausente	2	5.3%	0.0	0.0	0.0	0.0	0.0			2	5.3%	22.2	22.2	31.4	0.0	44.4		
VED laringe produção /i/	presente	38	100.0%	2.6	0.0	12.0	0.0	0.0			38	100.0%	12.6	11.1	16.0	0.0	22.2		
	ausente	0	0.0%								0	0.0%							
VED laringe tosse voluntária	presente	38	100.0%	2.6	0.0	12.0	0.0	0.0			38	100.0%	12.6	11.1	16.0	0.0	22.2		
	ausente	0	0.0%								0	0.0%							
VED laringe apneia	presente	38	100.0%	2.6	0.0	12.0	0.0	0.0			38	100.0%	12.6	11.1	16.0	0.0	22.2		

		EORCT-HN43 Tosse									EORCT-HN43 Imagem corporal								
		N	%	Média	Mediana	DP	25	75	*p*	Correlação	N	%	Média	Mediana	DP	25	75	*p*	Correlação
VED sensibilidade da base da língua	ausente	0	0.0%						0.670	-0.071	0	0.0%						0.791	-0.044
	presente	34	89.5%	2.9	0.0	12.6	0.0	0.0			34	89.5%	12.7	11.1	15.5	0.0	22.2		
	ausente	4	10.5%	0.0	0.0	0.0	0.0	0.0			4	10.5%	11.1	0.0	22.2	0.0	22.2		
VED sensibilidade nas aritnóides	presente								0.801	-0.071								0.505	-0.044
	ausente																		
VED pudim escape prematuro	ausente	32	84.2%	3.1	0.0	13.0	0.0	0.0	0.571	-0.094	32	84.2%	12.5	11.1	15.4	0.0	22.2	0.963	-0.008
	presente	5	13.2%	0.0	0.0	0.0	0.0	0.0			5	13.2%	15.5	0.0	21.6	0.0	33.3		
	não testado	1	2.6%	0.0	0.0		0.0	0.0			1	2.6%	0.0	0.0		0.0	0.0		
VED pudim resíduos nas valéculas	sem resíduo	11	28.9%	0.0	0.0	0.0	0.0	0.0	0.605	0.101	11	28.9%	18.2	11.1	10.3	11.1	22.2	0.034	-0.483**
	resíduo ligeira a moderado	24	63.2%	4.2	0.0	15.0	0.0	0.0			24	63.2%	11.6	0.0	18.1	0.0	16.7		
	resíduo severo	2	5.3%	0.0	0.0	0.0	0.0	0.0			2	5.3%	0.0	0.0	0.0	0.0	0.0		
	não testado	1	2.6%	0.0	0.0		0.0	0.0			1	2.6%	0.0	0.0		0.0	0.0		
VED pudim resíduos nos seios piriformes	sem resíduo	22	57.9%	4.5	0.0	15.6	0.0	0.0	0.512	-0.195	22	57.9%	15.6	11.1	17.4	0.0	22.2	0.414	-0.249
	resíduo ligeira a moderado	12	31.6%	0.0	0.0	0.0	0.0	0.0			12	31.6%	7.4	5.6	9.9	0.0	11.1		
	resíduo severo	3	7.9%	0.0	0.0	0.0	0.0	0.0			3	7.9%	14.8	0.0	25.6	0.0	44.4		
	não testado	1	2.6%	0.0	0.0		0.0	0.0			1	2.6%	0.0	0.0		0.0	0.0		
VED pudim resíduo na parede faríngea	sem resíduo	26	68.4%	3.8	0.0	14.4	0.0	0.0	0.691	-0.158	26	68.4%	14.1	11.1	16.5	0.0	22.2	0.472	-0.205
	resíduo ligeira a moderado	10	26.3%	0.0	0.0	0.0	0.0	0.0			10	26.3%	11.1	5.6	15.7	0.0	11.1		
	resíduo severo	1	2.6%	0.0	0.0		0.0	0.0			1	2.6%	0.0	0.0		0.0	0.0		
	não testado	1	2.6%	0.0	0.0		0.0	0.0			1	2.6%	0.0	0.0		0.0	0.0		
VED pudim n.º de deglutições	1 deglutição	28	73.7%	3.6	0.0	13.9	0.0	0.0	0.889	-0.139	28	73.7%	14.3	11.1	15.7	0.0	22.2	0.206	-0.339*
	1+1 adicional	0	0.0%								0	0.0%							
	1+2 adicionais	5	13.2%	0.0	0.0	0.0	0.0	0.0			5	13.2%	15.5	0.0	21.6	0.0	33.3		
	1+3 adicionais	2	5.3%	0.0	0.0	0.0	0.0	0.0			2	5.3%	0.0	0.0	0.0	0.0	0.0		
	1+4ou mais adicionais	2	5.3%	0.0	0.0	0.0	0.0	0.0			2	5.3%	0.0	0.0	0.0	0.0	0.0		
	não testado	1	2.6%	0.0	0.0		0.0	0.0			1	2.6%	0.0	0.0		0.0	0.0		
VED pudim reage sem tosse	ausente	34	89.5%	2.9	0.0	12.6	0.0	0.0	0.830	-0.081	34	89.5%	14.0	11.1	16.2	0.0	22.2	0.106	-0.348*
	presente	3	7.9%	0.0	0.0	0.0	0.0	0.0			3	7.9%	0.0	0.0	0.0	0.0	0.0		
	não testado	1	2.6%	0.0	0.0		0.0	0.0			1	2.6%	0.0	0.0		0.0	0.0		
VED pudim função vocal	ausente	0	0.0%						0.770	-0.039	0	0.0%						0.310	-0.167
	presente	37	97.4%	2.7	0.0	12.1	0.0	0.0			37	97.4%	12.9	11.1	16.0	0.0	22.2		
	não testado	1	2.6%	0.0	0.0		0.0	0.0			1	2.6%	0.0	0.0		0.0	0.0		
VED líquido escape prematuro	ausente	24	63.2%	0.0	0.0	0.0	0.0	0.0	0.363	0.279	24	63.2%	10.2	11.1	11.3	0.0	16.7	0.240	0.016
	presente	12	31.6%	8.3	0.0	20.7	0.0	0.0			12	31.6%	19.4	11.1	22.3	0.0	33.3		
	não testado	2	5.3%	0.0	0.0	0.0	0.0	0.0			2	5.3%	0.0	0.0	0.0	0.0	0.0		
VED líquido resíduos nas valéculas	sem resíduo	13	34.2%	0.0	0.0	0.0	0.0	0.0	0.512	0.123	13	34.2%	17.1	11.1	11.7	11.1	22.2	0.023	-0.369*
	resíduo ligeira a moderado	22	57.9%	4.5	0.0	15.6	0.0	0.0			22	57.9%	10.1	0.0	17.8	0.0	11.1		

		EORCT-HN43 Tosse									EORCT-HN43 Imagem corporal								
		N	%	Média	Mediana	DP	25	75	*p*	Correlação	N	%	Média	Mediana	DP	25	75	*p*	Correlação
	resíduo severo	1	2.6%	0.0	0.0		0.0	0.0			1	2.6%	33.3	33.3		33.3	33.3		
	não testado	2	5.3%	0.0	0.0	0.0	0.0	0.0			2	5.3%	0.0	0.0	0.0	0.0	0.0		
VED líquido resíduo nos seios piriformes	sem resíduo	23	60.5%	4.3	0.0	15.3	0.0	0.0	0.559	-0.186	23	60.5%	15.9	11.1	16.7	0.0	22.2	0.044	-0.323*
	resíduo ligeira a moderado	12	31.6%	0.0	0.0	0.0	0.0	0.0			12	31.6%	6.5	0.0	12.9	0.0	11.1		
	resíduo severo	1	2.6%	0.0	0.0		0.0	0.0			1	2.6%	33.3	33.3		33.3	33.3		
	não testado	2	5.3%	0.0	0.0	0.0	0.0	0.0			2	5.3%	0.0	0.0	0.0	0.0	0.0		
VED líquido resíduo na parede faríngea	sem resíduo	32	84.2%	3.1	0.0	13.0	0.0	0.0	0.898	-0.102	32	84.2%	13.9	11.1	16.2	0.0	22.2	0.062	-0.259
	resíduo ligeira a moderado	3	7.9%	0.0	0.0	0.0	0.0	0.0			3	7.9%	0.0	0.0	0.0	0.0	0.0		
	resíduo severo	1	2.6%	0.0	0.0		0.0	0.0			1	2.6%	33.3	33.3		33.3	33.3		
	não testado	2	5.3%	0.0	0.0	0.0	0.0	0.0			2	5.3%	0.0	0.0	0.0	0.0	0.0		
VED líquido n.º de deglutições	1 deglutição	31	81.6%	3.2	0.0	13.2	0.0	0.0	0.870	-0.111	31	81.6%	13.3	11.1	16.1	0.0	22.2	0.157	-0.153
	1+1 adicional	0	0.0%								0	0.0%							
	1+2 adicionais	2	5.3%	0.0	0.0	0.0	0.0	0.0			2	5.3%	0.0	0.0	0.0	0.0	0.0		
	1+3 adicionais	3	7.9%	0.0	0.0	0.0	0.0	0.0			3	7.9%	22.2	33.3	19.2	0.0	33.3		
	1+4ou mais adicionais	0	0.0%								0	0.0%							
	não testado	2	5.3%	0.0	0.0	0.0	0.0	0.0			2	5.3%	0.0	0.0	0.0	0.0	0.0		
VED líquido reage sem tosse	ausente	34	89.5%	2.9	0.0	12.6	0.0	0.0	0.830	-0.081	34	89.5%	13.1	11.1	16.1	0.0	22.2	0.340	-0.152
	presente	2	5.3%	0.0	0.0	0.0	0.0	0.0			2	5.3%	16.7	16.7	23.5	0.0	33.3		
	não testado	2	5.3%	0.0	0.0	0.0	0.0	0.0			2	5.3%	0.0	0.0	0.0	0.0	0.0		
VED líquido função vocal	ausente	0	0.0%						0.675	-0.056	0	0.0%						0.146	-0.239
	presente	36	94.7%	2.8	0.0	12.3	0.0	0.0			36	94.7%	13.3	11.1	16.1	0.0	22.2		
	não testado	2	5.3%	0.0	0.0	0.0	0.0	0.0			2	5.3%	0.0	0.0	0.0	0.0	0.0		
VED bolacha escape prematuro	ausente	33	86.8%	3.0	0.0	12.8	0.0	0.0	0.787	-0.091	33	86.8%	13.1	11.1	15.6	0.0	22.2	0.328	-0.177
	presente	2	5.3%	0.0	0.0	0.0	0.0	0.0			2	5.3%	0.0	0.0	0.0	0.0	0.0		
	não testado	3	7.9%	0.0	0.0	0.0	0.0	0.0			3	7.9%	14.8	0.0	25.6	0.0	44.4		
VED bolacha resíduo nas valéculas	sem resíduo	2	5.3%	0.0	0.0	0.0	0.0	0.0	0.858	-0.188	2	5.3%	11.1	11.1	0.0	11.1	11.1	0.016	-0.444**
	resíduo ligeira a moderado	18	47.4%	5.6	0.0	17.2	0.0	0.0			18	47.4%	19.7	16.7	17.7	11.1	33.3		
	resíduo severo	15	39.5%	0.0	0.0	0.0	0.0	0.0			15	39.5%	3.7	0.0	6.9	0.0	11.1		
	não testado	3	7.9%	0.0	0.0	0.0	0.0	0.0			3	7.9%	14.8	0.0	25.6	0.0	44.4		
VED bolacha resíduo nos seios piriformes	sem resíduo	14	36.8%	7.1	0.0	19.3	0.0	0.0	0.143	-0.281	14	36.8%	16.7	11.1	19.9	0.0	22.2	0.643	-0.185
	resíduo ligeira a moderado	18	47.4%	0.0	0.0	0.0	0.0	0.0			18	47.4%	10.5	11.1	11.7	0.0	22.2		
	resíduo severo	3	7.9%	0.0	0.0	0.0	0.0	0.0			3	7.9%	3.7	0.0	6.4	0.0	11.1		
	não testado	3	7.9%	0.0	0.0	0.0	0.0	0.0			3	7.9%	14.8	0.0	25.6	0.0	44.4		
VED bolacha resíduo na parede faríngea	sem resíduo	6	15.8%	5.6	0.0	13.6	0.0	0.0	0.808	-0.203	6	15.8%	20.4	16.7	16.3	11.1	33.3	0.340	-0.257
	resíduo ligeira a moderado	28	73.7%	2.4	0.0	12.6	0.0	0.0			28	73.7%	11.1	11.1	15.1	0.0	16.7		
	resíduo severo	1	2.6%	0.0	0.0		0.0	0.0			1	2.6%	0.0	0.0		0.0	0.0		

		EORCT-HN43 Tosse									EORCT-HN43 Imagem corporal								
		N	%	Média	Mediana	DP	25	75	*p*	Correlação	N	%	Média	Mediana	DP	25	75	*p*	Correlação
	não testado	3	7.9%	0.0	0.0	0.0	0.0	0.0			3	7.9%	14.8	0.0	25.6	0.0	44.4		
VED bolacha n.º de deglutições	1 deglutição	2	5.3%	0.0	0.0	0.0	0.0	0.0	0.678	-0.092	2	5.3%	11.1	11.1	0.0	11.1	11.1	0.415	-0.290
	1+1 adicional	0	0.0%								0	0.0%							
	1+2 adicionais	13	34.2%	2.6	0.0	9.2	0.0	0.0			13	34.2%	16.2	11.1	13.3	11.1	22.2		
	1+3 adicionais	12	31.6%	5.6	0.0	19.3	0.0	0.0			12	31.6%	11.1	5.6	19.0	0.0	11.1		
	1+4ou mais adicionais	8	21.1%	0.0	0.0	0.0	0.0	0.0			8	21.1%	8.3	0.0	15.4	0.0	16.7		
	não testado	3	7.9%	0.0	0.0	0.0	0.0	0.0			3	7.9%	14.8	0.0	25.6	0.0	44.4		
VED bolacha reage sem tosse	ausente	34	89.5%	2.9	0.0	12.6	0.0	0.0	0.830	-0.081	34	89.5%	12.7	11.1	15.5	0.0	22.2	0.575	-0.114
	presente	1	2.6%	0.0	0.0		0.0	0.0			1	2.6%	0.0	0.0		0.0	0.0		
	não testado	3	7.9%	0.0	0.0	0.0	0.0	0.0			3	7.9%	14.8	0.0	25.6	0.0	44.4		
VED bolacha função vocal	ausente	0	0.0%						0.602	-0.069	0	0.0%						0.818	-0.038
	presente	35	92.1%	2.9	0.0	12.5	0.0	0.0			35	92.1%	12.4	11.1	15.4	0.0	22.2		
	não testado	3	7.9%	0.0	0.0	0.0	0.0	0.0			3	7.9%	14.8	0.0	25.6	0.0	44.4		
VED aspiração	não	20	52.6%	5.0	0.0	16.3	0.0	0.0	0.241	-0.219	20	52.6%	17.8	11.1	17.1	5.6	22.2	0.027	-0.440**
	sim	16	42.1%	0.0	0.0	0.0	0.0	0.0			16	42.1%	7.6	0.0	13.3	0.0	11.1		
	alto risco de aspiração	2	5.3%	0.0	0.0	0.0	0.0	0.0			2	5.3%	0.0	0.0	0.0	0.0	0.0		
VED momento de aspiração pudim	NA	31	81.6%	3.2	0.0	13.2	0.0	0.0	0.870	-0.111	31	81.6%	12.2	11.1	15.8	0.0	22.2	0.402	-0.038
	pré-deglutição	5	13.2%	0.0	0.0	0.0	0.0	0.0			5	13.2%	13.3	11.1	18.2	0.0	11.1		
	durante deglutição	1	2.6%	0.0	0.0		0.0	0.0			1	2.6%	33.3	33.3		33.3	33.3		
	pós-deglutição	1	2.6%	0.0	0.0		0.0	0.0			1	2.6%	0.0	0.0		0.0	0.0		
VED momento de aspiração líquido	NA	25	65.8%	4.0	0.0	14.7	0.0	0.0	0.649	-0.166	25	65.8%	15.1	11.1	16.3	0.0	22.2	0.194	-0.327*
	pré-deglutição	2	5.3%	0.0	0.0	0.0	0.0	0.0			2	5.3%	22.2	22.2	31.4	0.0	44.4		
	durante deglutição	8	21.1%	0.0	0.0	0.0	0.0	0.0			8	21.1%	5.6	0.0	11.9	0.0	5.6		
	pós-deglutição	3	7.9%	0.0	0.0	0.0	0.0	0.0			3	7.9%	3.7	0.0	6.4	0.0	11.1		
VED momento de aspiração bolacha	NA	32	84.2%	3.1	0.0	13.0	0.0	0.0	0.743	-0.102	32	84.2%	13.5	11.1	16.4	0.0	22.2	0.465	-0.164
	pré-deglutição	0	0.0%								0	0.0%							
	durante deglutição	1	2.6%	0.0	0.0		0.0	0.0			1	2.6%	0.0	0.0		0.0	0.0		
	pós-deglutição	5	13.2%	0.0	0.0	0.0	0.0	0.0			5	13.2%	8.9	0.0	14.5	0.0	11.1		
VED PAS	1	21	55.3%	4.8	0.0	15.9	0.0	0.0	0.634	-0.202	21	55.3%	16.9	11.1	17.1	0.0	22.2	0.080	-0.305
	2	9	23.7%	0.0	0.0	0.0	0.0	0.0			9	23.7%	2.5	0.0	4.9	0.0	0.0		
	3	4	10.5%	0.0	0.0	0.0	0.0	0.0			4	10.5%	16.7	11.1	19.2	5.6	27.8		
	4	3	7.9%	0.0	0.0	0.0	0.0	0.0			3	7.9%	11.1	0.0	19.2	0.0	33.3		

		EORCT-HN43 Tosse									EORCT-HN43 Imagem corporal								
		N	%	Média	Mediana	DP	25	75	*p*	Correlação	N	%	Média	Mediana	DP	25	75	*p*	Correlação
	5	0	0.0%								0	0.0%							
	6	0	0.0%								0	0.0%							
	7	0	0.0%								0	0.0%							
	8	1	2.6%	0.0	0.0		0.0	0.0			1	2.6%	0.0	0.0		0.0	0.0		
VED limpeza	A - efetivo	6	15.8%	0.0	0.0	0.0	0.0	0.0			6	15.8%	5.6	0.0	13.6	0.0	0.0		
	B - moderadamente efetivo	5	13.2%	0.0	0.0	0.0	0.0	0.0			5	13.2%	13.3	11.1	18.2	0.0	11.1		
	C - ligeiramente efetivo	4	10.5%	0.0	0.0	0.0	0.0	0.0	0.634	0.201	4	10.5%	2.8	0.0	5.6	0.0	5.6	0.162	0.356*
	D - ineficaz	2	5.3%	0.0	0.0	0.0	0.0	0.0			2	5.3%	5.6	5.6	7.8	0.0	11.1		
	NA	21	55.3%	4.8	0.0	15.9	0.0	0.0			21	55.3%	16.9	11.1	17.1	0.0	22.2		
VED pudim latência	normal	9	23.7%	11.1	0.0	23.6	0.0	0.0			9	23.7%	23.4	22.2	23.2	0.0	33.3		
	alterada	28	73.7%	0.0	0.0	0.0	0.0	0.0	0.172	-0.407*	28	73.7%	9.5	11.1	11.6	0.0	11.1	0.164	-0.307
	não testado	1	2.6%	0.0	0.0		0.0	0.0			1	2.6%	0.0	0.0		0.0	0.0		
VED pudim tempo de latência										-0.289									-0.115
VED pudim whiteout	normal	0	0.0%								0	0.0%							
	alterada	37	97.4%	2.7	0.0	12.1	0.0	0.0	0.770	-0.039	37	97.4%	12.9	11.1	16.0	0.0	22.2	0.310	-0.167
	não testado	1	2.6%	0.0	0.0		0.0	0.0			1	2.6%	0.0	0.0		0.0	0.0		
VED pudim tempo de encerramento das VA										-0.153									0.042
VED líquido latência	normal	10	26.3%	3.3	0.0	10.5	0.0	0.0			10	26.3%	7.8	5.6	10.5	0.0	11.1		
	alterada	26	68.4%	2.6	0.0	13.1	0.0	0.0	0.893	-0.126	26	68.4%	15.4	11.1	17.5	0.0	22.2	0.183	0.050
	não testado	2	5.3%	0.0	0.0	0.0	0.0	0.0			2	5.3%	0.0	0.0	0.0	0.0	0.0		
VED líquido tempo de latência										-0.064									0.049
VED líquido whiteout	normal	0	0.0%								0	0.0%							
	alterada	36	94.7%	2.8	0.0	12.3	0.0	0.0	0.675	-0.056	36	94.7%	13.3	11.1	16.1	0.0	22.2	0.146	-0.239
	não testado	2	5.3%	0.0	0.0	0.0	0.0	0.0			2	5.3%	0.0	0.0	0.0	0.0	0.0		
VED líquido tempo de encerramento das VA										-0.213									-0.144
VED bolacha latência	normal	13	34.2%	7.7	0.0	20.0	0.0	0.0			13	34.2%	14.5	11.1	18.9	0.0	22.2		
	alterada	22	57.9%	0.0	0.0	0.0	0.0	0.0	0.425	-0.307	22	57.9%	11.1	11.1	13.3	0.0	22.2	0.899	-0.076
	não testado	3	7.9%	0.0	0.0	0.0	0.0	0.0			3	7.9%	14.8	0.0	25.6	0.0	44.4		
VED bolacha tempo de latência										-0.265									-0.157

		EORCT-HN43 Tosse									EORCT-HN43 Imagem corporal								
		N	%	Média	Mediana	DP	25	75	*p*	Correlação	N	%	Média	Mediana	DP	25	75	*p*	Correlação
VED bolacha whiteout	normal	0	0.0%								0	0.0%							
	alterada	35	92.1%	2.9	0.0	12.5	0.0	0.0	0.602	-0.069	35	92.1%	12.4	11.1	15.4	0.0	22.2	0.818	-0.038
	não testado	3	7.9%	0.0	0.0	0.0	0.0	0.0			3	7.9%	14.8	0.0	25.6	0.0	44.4		
VED bolacha tempo de encerramento das VA										0.118									-0.186

Tabela 146 - Medidas descritivas, análise de correlação e diferenças estatísticas entre as variáveis da avaliação por VED componente funcional e as escalas comer em público e problemas de fala, do questionário da EORTC QLQ-HN43.

		EORCT-HN43 Comer em público									EORCT-HN43 Problemas de fala								
		N	%	Média	Mediana	DP	25	75	*p*	Correlação	N	%	Média	Mediana	DP	25	75	*p*	Correlação
VED acesso	direita	24	63.2%	19.1	8.3	23.5	0.0	33.4	0.322	-0.165	24	63.2%	16.7	10.0	22.7	0.0	23.4	0.584	-0.091
	esquerda	14	36.8%	11.9	0.0	16.6	0.0	16.7			14	36.8%	14.3	6.7	21.9	0.0	13.3		
VED nasofaringe EVF anatomia	presente	36	94.7%	16.2	8.3	21.8	0.0	29.2	0.376	0.148	36	94.7%	15.0	6.7	22.3	0.0	20.0	0.112	0.265
	ausente	2	5.3%	20.9	20.9	5.9	16.7	25.0			2	5.3%	30.0	30.0	14.1	20.0	40.0		
VED nasofaringe EVF deglutição de saliva	presente	38	100.0%	16.4	8.3	21.3	0.0	25.0			38	100.0%	15.8	6.7	22.1	0.0	20.0		
	ausente	0	0.0%								0	0.0%							
VED nasofaringe EVF som e sílaba	presente	37	97.4%	16.4	8.3	21.6	0.0	25.0	0.657	0.074	37	97.4%	15.7	6.7	22.4	0.0	20.0	0.413	0.136
	ausente	1	2.6%	16.7	16.7		16.7	16.7			1	2.6%	20.0	20.0		20.0	20.0		
VED nasofaringe EVF fala	presente	37	97.4%	16.4	8.3	21.6	0.0	25.0	0.657	0.074	37	97.4%	15.7	6.7	22.4	0.0	20.0	0.413	0.136
	ausente	1	2.6%	16.7	16.7		16.7	16.7			1	2.6%	20.0	20.0		20.0	20.0		
VED oro/hipofaringe anatomia	presente	4	10.5%	2.1	0.0	4.2	0.0	4.2	0.078	0.293	4	10.5%	1.7	0.0	3.4	0.0	3.4	0.130	0.253
	ausente	34	89.5%	18.1	8.3	21.9	0.0	33.3			34	89.5%	17.5	13.3	22.8	0.0	20.0		
VED oro/hipofaringe Movimento da base da língua	presente	34	89.5%	15.9	8.3	19.6	0.0	25.0	0.883	-0.024	34	89.5%	14.5	10.0	17.7	0.0	20.0	0.841	0.033
	ausente	4	10.5%	20.8	4.2	36.3	0.0	41.7			4	10.5%	26.7	3.4	49.0	0.0	53.4		
VED oro/hipofaringe resíduo nas valéculas	presente	25	65.8%	15.3	8.3	20.5	0.0	25.0	0.651	0.075	25	65.8%	15.7	6.7	22.5	0.0	20.0	0.909	-0.019
	ausente	13	34.2%	18.6	8.3	23.4	0.0	33.3			13	34.2%	15.9	13.3	22.2	0.0	20.0		
VED oro/hipofaringe resíduos nos seios piriformes	presente	20	52.6%	15.4	4.2	21.7	0.0	25.0	0.619	0.083	20	52.6%	14.3	6.7	23.8	0.0	20.0	0.453	0.125
	ausente	18	47.4%	17.6	8.3	21.4	0.0	33.3			18	47.4%	17.4	13.3	20.6	0.0	26.7		
VED oro/hipofaringe produção /i/	presente	38	100.0%	16.4	8.3	21.3	0.0	25.0			38	100.0%	15.8	6.7	22.1	0.0	20.0		
	ausente	0	0.0%								0	0.0%							
VED oro/hipofaringe manipulação de secreções	presente	35	92.1%	15.5	8.3	19.5	0.0	25.0	0.595	0.089	35	92.1%	14.3	6.7	17.5	0.0	20.0	0.679	0.069
	ausente	3	7.9%	27.8	8.3	41.1	0.0	75.0			3	7.9%	33.3	0.0	57.7	0.0	100.0		
VED laringe anatomia	presente	3	7.9%	2.8	0.0	4.8	0.0	8.3	0.157	0.236	3	7.9%	0.0	0.0	0.0	0.0	0.0	0.097	0.276
	ausente	35	92.1%	17.6	8.3	21.8	0.0	33.3			35	92.1%	17.1	13.3	22.5	0.0	20.0		
VED laringe fala	presente	38	100.0%	16.4	8.3	21.3	0.0	25.0			38	100.0%	15.8	6.7	22.1	0.0	20.0		
	ausente	0	0.0%								0	0.0%							
VED laringe deglutição de saliva	presente	36	94.7%	15.0	8.3	19.4	0.0	25.0	0.084	0.288	36	94.7%	13.9	6.7	17.4	0.0	20.0	0.083	0.289
	ausente	2	5.3%	41.7	41.7	47.2	8.3	75.0			2	5.3%	50.0	50.0	70.7	0.0	100.0		
VED laringe produção /i/	presente	38	100.0%	16.4	8.3	21.3	0.0	25.0			38	100.0%	15.8	6.7	22.1	0.0	20.0		
	ausente	0	0.0%								0	0.0%							
VED laringe tosse voluntária	presente	38	100.0%	16.4	8.3	21.3	0.0	25.0			38	100.0%	15.8	6.7	22.1	0.0	20.0		
	ausente	0	0.0%								0	0.0%							
VED laringe apneia	presente	38	100.0%	16.4	8.3	21.3	0.0	25.0			38	100.0%	15.8	6.7	22.1	0.0	20.0		

		EORCT-HN43 Comer em público									EORCT-HN43 Problemas de fala								
		N	%	Média	Mediana	DP	25	75	*p*	Correlação	N	%	Média	Mediana	DP	25	75	*p*	Correlação
	ausente	0	0.0%								0	0.0%							
VED sensibilidade da base da língua	presente	34	89.5%	15.9	8.3	19.6	0.0	25.0	0.883	-0.024	34	89.5%	14.5	10.0	17.7	0.0	20.0	0.841	0.033
	ausente	4	10.5%	20.8	4.2	36.3	0.0	41.7			4	10.5%	26.7	3.4	49.0	0.0	53.4		
VED sensibilidade nas aritnóides	presente								0.909	-0.024								0.731	0.033
	ausente																		
VED pudim escape prematuro	ausente	32	84.2%	15.6	8.3	19.5	0.0	25.0			32	84.2%	14.8	10.0	18.2	0.0	20.0		
	presente	5	13.2%	23.3	0.0	34.1	0.0	41.7	0.981	0.004	5	13.2%	25.3	6.7	42.0	6.7	13.3	0.837	0.034
	não testado	1	2.6%	8.3	8.3		8.3	8.3			1	2.6%	0.0	0.0		0.0	0.0		
VED pudim resíduos nas valéculas	sem resíduo	11	28.9%	25.0	25.0	24.4	0.0	41.7			11	28.9%	18.2	13.3	22.9	0.0	20.0		
	resíduo ligeira a moderado	24	63.2%	14.2	4.2	20.0	0.0	20.9	0.253	-0.296	24	63.2%	16.4	6.7	23.0	0.0	23.4	0.481	-0.197
	resíduo severo	2	5.3%	0.0	0.0	0.0	0.0	0.0			2	5.3%	3.4	3.4	4.7	0.0	6.7		
	não testado	1	2.6%	8.3	8.3		8.3	8.3			1	2.6%	0.0	0.0		0.0	0.0		
VED pudim resíduos nos seios piriformes	sem resíduo	22	57.9%	18.2	8.3	21.5	0.0	33.3			22	57.9%	14.8	10.0	19.2	0.0	20.0		
	resíduo ligeira a moderado	12	31.6%	11.8	4.2	15.7	0.0	20.9	0.917	-0.102	12	31.6%	13.9	10.0	15.4	0.0	23.4	0.726	-0.047
	resíduo severo	3	7.9%	25.0	0.0	43.3	0.0	75.0			3	7.9%	35.6	6.7	55.9	0.0	100.0		
	não testado	1	2.6%	8.3	8.3		8.3	8.3			1	2.6%	0.0	0.0		0.0	0.0		
VED pudim resíduo na parede faríngea	sem resíduo	26	68.4%	15.7	8.3	20.6	0.0	33.3			26	68.4%	13.8	6.7	18.3	0.0	20.0		
	resíduo ligeira a moderado	10	26.3%	20.8	16.7	24.9	0.0	25.0	0.720	0.030	10	26.3%	24.0	16.7	30.7	0.0	40.0	0.332	0.002
	resíduo severo	1	2.6%	0.0	0.0		0.0	0.0			1	2.6%	0.0	0.0		0.0	0.0		
	não testado	1	2.6%	8.3	8.3		8.3	8.3			1	2.6%	0.0	0.0		0.0	0.0		
VED pudim n.º de deglutições	1 deglutição	28	73.7%	17.6	12.5	19.4	0.0	29.2			28	73.7%	16.7	13.3	18.5	0.0	23.4		
	1+1 adicional	0	0.0%								0	0.0%							
	1+2 adicionais	5	13.2%	25.0	0.0	35.4	0.0	50.0	0.350	-0.246	5	13.2%	26.7	6.7	41.6	6.7	20.0	0.128	-0.321*
	1+3 adicionais	2	5.3%	0.0	0.0	0.0	0.0	0.0			2	5.3%	0.0	0.0	0.0	0.0	0.0		
	1+4ou mais adicionais	2	5.3%	0.0	0.0	0.0	0.0	0.0			2	5.3%	0.0	0.0	0.0	0.0	0.0		
	não testado	1	2.6%	8.3	8.3		8.3	8.3			1	2.6%	0.0	0.0		0.0	0.0		
VED pudim reage sem tosse	ausente	34	89.5%	18.1	8.3	21.9	0.0	33.3			34	89.5%	17.5	13.3	22.8	0.0	20.0		
	presente	3	7.9%	0.0	0.0	0.0	0.0	0.0	0.201	-0.247	3	7.9%	2.2	0.0	3.9	0.0	6.7	0.170	-0.308
	não testado	1	2.6%	8.3	8.3		8.3	8.3			1	2.6%	0.0	0.0		0.0	0.0		
VED pudim função vocal	ausente	0	0.0%								0	0.0%							
	presente	37	97.4%	16.7	8.3	21.5	0.0	25.0	0.962	0.008	37	97.4%	16.2	6.7	22.3	0.0	20.0	0.259	-0.186
	não testado	1	2.6%	8.3	8.3		8.3	8.3			1	2.6%	0.0	0.0		0.0	0.0		
VED líquido escape prematuro	ausente	24	63.2%	13.9	4.2	19.9	0.0	20.9			24	63.2%	12.8	6.7	18.3	0.0	16.7		
	presente	12	31.6%	23.6	20.9	24.3	0.0	41.7	0.350	0.135	12	31.6%	24.5	16.7	28.2	6.7	40.0	0.080	0.106
	não testado	2	5.3%	4.2	4.2	5.9	0.0	8.3			2	5.3%	0.0	0.0	0.0	0.0	0.0		
VED líquido resíduos nas valéculas	sem resíduo	13	34.2%	21.8	8.3	24.7	0.0	41.7	0.283	-0.119	13	34.2%	12.8	13.3	10.3	6.7	20.0	0.335	-0.135
	resíduo ligeira a moderado	22	57.9%	12.9	4.2	18.7	0.0	16.7			22	57.9%	18.8	6.7	27.6	0.0	40.0		

		EORCT-HN43 Comer em público									EORCT-HN43 Problemas de fala								
		N	%	Média	Mediana	DP	25	75	*p*	Correlação	N	%	Média	Mediana	DP	25	75	*p*	Correlação
	resíduo severo	1	2.6%	50.0	50.0		50.0	50.0			1	2.6%	20.0	20.0		20.0	20.0		
	não testado	2	5.3%	4.2	4.2	5.9	0.0	8.3			2	5.3%	0.0	0.0	0.0	0.0	0.0		
VED líquido resíduo nos seios piriformes	sem resíduo	23	60.5%	17.0	8.3	21.4	0.0	33.3	0.411	-0.026	23	60.5%	13.6	6.7	18.4	0.0	20.0	0.303	0.009
	resíduo ligeira a moderado	12	31.6%	14.6	8.4	21.7	0.0	20.9			12	31.6%	22.2	10.0	29.4	0.0	40.0		
	resíduo severo	1	2.6%	50.0	50.0		50.0	50.0			1	2.6%	20.0	20.0		20.0	20.0		
	não testado	2	5.3%	4.2	4.2	5.9	0.0	8.3			2	5.3%	0.0	0.0	0.0	0.0	0.0		
VED líquido resíduo na parede faríngea	sem resíduo	32	84.2%	17.2	8.3	21.8	0.0	29.2	0.318	-0.065	32	84.2%	17.7	10.0	23.4	0.0	23.4	0.199	-0.241
	resíduo ligeira a moderado	3	7.9%	5.6	0.0	9.6	0.0	16.7			3	7.9%	4.4	0.0	7.7	0.0	13.3		
	resíduo severo	1	2.6%	50.0	50.0		50.0	50.0			1	2.6%	20.0	20.0		20.0	20.0		
	não testado	2	5.3%	4.2	4.2	5.9	0.0	8.3			2	5.3%	0.0	0.0	0.0	0.0	0.0		
VED líquido n.º de deglutições	1 deglutição	31	81.6%	16.4	8.3	21.7	0.0	25.0	0.113	0.032	31	81.6%	17.6	6.7	23.9	0.0	26.7	0.233	-0.142
	1+1 adicional	0	0.0%								0	0.0%							
	1+2 adicionais	2	5.3%	0.0	0.0	0.0	0.0	0.0			2	5.3%	3.4	3.4	4.7	0.0	6.7		
	1+3 adicionais	3	7.9%	36.1	41.7	17.3	16.7	50.0			3	7.9%	15.5	13.3	3.9	13.3	20.0		
	1+4ou mais adicionais	0	0.0%								0	0.0%							
	não testado	2	5.3%	4.2	4.2	5.9	0.0	8.3			2	5.3%	0.0	0.0	0.0	0.0	0.0		
VED líquido reage sem tosse	ausente	34	89.5%	16.7	8.3	21.3	0.0	25.0	0.746	-0.044	34	89.5%	17.1	10.0	22.9	0.0	20.0	0.259	-0.226
	presente	2	5.3%	25.0	25.0	35.4	0.0	50.0			2	5.3%	10.0	10.0	14.1	0.0	20.0		
	não testado	2	5.3%	4.2	4.2	5.9	0.0	8.3			2	5.3%	0.0	0.0	0.0	0.0	0.0		
VED líquido função vocal	ausente	0	0.0%						0.492	-0.113	0	0.0%						0.106	0.266
	presente	36	94.7%	17.1	8.3	21.6	0.0	29.2			36	94.7%	16.7	10.0	22.4	0.0	20.0		
	não testado	2	5.3%	4.2	4.2	5.9	0.0	8.3			2	5.3%	0.0	0.0	0.0	0.0	0.0		
VED bolacha escape prematuro	ausente	33	86.8%	16.4	8.3	19.7	0.0	25.0	0.332	-0.081	33	86.8%	14.7	13.3	17.9	0.0	20.0	0.914	0.069
	presente	2	5.3%	0.0	0.0	0.0	0.0	0.0			2	5.3%	6.7	6.7	0.0	6.7	6.7		
	não testado	3	7.9%	27.8	8.3	41.1	0.0	75.0			3	7.9%	33.3	0.0	57.7	0.0	100.0		
VED bolacha resíduo nas valéculas	sem resíduo	2	5.3%	12.5	12.5	17.7	0.0	25.0	0.047	-0.305	2	5.3%	16.7	16.7	4.7	13.3	20.0	0.139	-0.353*
	resíduo ligeira a moderado	18	47.4%	22.2	20.9	18.1	8.3	41.7			18	47.4%	20.0	13.3	21.0	6.7	40.0		
	resíduo severo	15	39.5%	7.8	0.0	19.5	0.0	8.3			15	39.5%	7.1	0.0	10.5	0.0	13.3		
	não testado	3	7.9%	27.8	8.3	41.1	0.0	75.0			3	7.9%	33.3	0.0	57.7	0.0	100.0		
VED bolacha resíduo nos seios piriformes	sem resíduo	14	36.8%	16.1	12.5	16.2	0.0	33.3	0.896	-0.045	14	36.8%	19.0	13.3	21.7	6.7	20.0	0.632	-0.185
	resíduo ligeira a moderado	18	47.4%	13.4	4.2	17.9	0.0	25.0			18	47.4%	10.7	6.7	13.6	0.0	20.0		
	resíduo severo	3	7.9%	25.0	0.0	43.3	0.0	75.0			3	7.9%	13.3	6.7	17.6	0.0	33.3		
	não testado	3	7.9%	27.8	8.3	41.1	0.0	75.0			3	7.9%	33.3	0.0	57.7	0.0	100.0		
VED bolacha resíduo na parede faríngea	sem resíduo	6	15.8%	13.9	4.2	18.8	0.0	33.3	0.738	0.027	6	15.8%	15.6	13.3	13.8	6.7	20.0	0.617	-0.167
	resíduo ligeira a moderado	28	73.7%	16.4	8.3	20.1	0.0	25.0			28	73.7%	14.5	6.7	18.5	0.0	20.0		
	resíduo severo	1	2.6%	0.0	0.0		0.0	0.0			1	2.6%	0.0	0.0		0.0	0.0		

		EORCT-HN43 Comer em público									EORCT-HN43 Problemas de fala								
		N	%	Média	Mediana	DP	25	75	*p*	Correlação	N	%	Média	Mediana	DP	25	75	*p*	Correlação
	não testado	3	7.9%	27.8	8.3	41.1	0.0	75.0			3	7.9%	33.3	0.0	57.7	0.0	100.0		
VED bolacha n.º de deglutições	1 deglutição	2	5.3%	25.0	25.0	0.0	25.0	25.0	0.334	-0.252	2	5.3%	40.0	40.0	0.0	40.0	40.0	0.034	-0.447**
	1+1 adicional	0	0.0%								0	0.0%							
	1+2 adicionais	13	34.2%	18.6	16.7	16.7	8.3	33.3			13	34.2%	22.1	20.0	21.7	6.7	26.7		
	1+3 adicionais	12	31.6%	13.2	0.0	23.2	0.0	16.7			12	31.6%	7.2	3.4	10.0	0.0	13.3		
	1+4ou mais adicionais	8	21.1%	11.5	0.0	21.3	0.0	20.9			8	21.1%	5.8	3.4	7.5	0.0	10.0		
	não testado	3	7.9%	27.8	8.3	41.1	0.0	75.0			3	7.9%	33.3	0.0	57.7	0.0	100.0		
VED bolacha reage sem tosse	ausente	34	89.5%	15.9	8.3	19.6	0.0	25.0	0.555	-0.012	34	89.5%	14.7	10.0	17.6	0.0	20.0	0.496	-0.134
	presente	1	2.6%	0.0	0.0		0.0	0.0			1	2.6%	0.0	0.0		0.0	0.0		
	não testado	3	7.9%	27.8	8.3	41.1	0.0	75.0			3	7.9%	33.3	0.0	57.7	0.0	100.0		
VED bolacha função vocal	ausente	0	0.0%						0.649	0.075	0	0.0%						0.759	-0.050
	presente	35	92.1%	15.5	8.3	19.5	0.0	25.0			35	92.1%	14.3	6.7	17.5	0.0	20.0		
	não testado	3	7.9%	27.8	8.3	41.1	0.0	75.0			3	7.9%	33.3	0.0	57.7	0.0	100.0		
VED aspiração	não	20	52.6%	16.7	8.3	17.5	0.0	33.3	0.647	-0.143	20	52.6%	15.7	13.3	19.5	0.0	20.0	0.266	-0.143
	sim	16	42.1%	17.7	0.0	26.5	0.0	25.0			16	42.1%	17.9	6.7	26.2	0.0	26.7		
	alto risco de aspiração	2	5.3%	4.2	4.2	5.9	0.0	8.3			2	5.3%	0.0	0.0	0.0	0.0	0.0		
VED momento de aspiração pudim	NA	31	81.6%	13.4	0.0	19.6	0.0	25.0	0.187	0.333*	31	81.6%	11.8	6.7	17.4	0.0	13.3	0.148	0.367*
	pré-deglutição	5	13.2%	28.3	25.0	28.0	16.7	25.0			5	13.2%	40.0	40.0	37.4	20.0	40.0		
	durante deglutição	1	2.6%	50.0	50.0		50.0	50.0			1	2.6%	20.0	20.0		20.0	20.0		
	pós-deglutição	1	2.6%	16.7	16.7		16.7	16.7			1	2.6%	13.3	13.3		13.3	13.3		
VED momento de aspiração líquido	NA	25	65.8%	15.7	8.3	16.6	0.0	25.0	0.336	-0.169	25	65.8%	15.7	13.3	19.5	0.0	20.0	0.235	-0.127
	pré-deglutição	2	5.3%	37.5	37.5	53.0	0.0	75.0			2	5.3%	50.0	50.0	70.7	0.0	100.0		
	durante deglutição	8	21.1%	19.8	8.4	28.1	0.0	33.4			8	21.1%	13.3	10.0	10.7	6.7	20.0		
	pós-deglutição	3	7.9%	0.0	0.0	0.0	0.0	0.0			3	7.9%	0.0	0.0	0.0	0.0	0.0		
VED momento de aspiração bolacha	NA	32	84.2%	15.6	8.3	18.9	0.0	25.0	0.602	-0.045	32	84.2%	16.7	10.0	23.5	0.0	20.0	0.521	-0.032
	pré-deglutição	0	0.0%								0	0.0%							
	durante deglutição	1	2.6%	0.0	0.0		0.0	0.0			1	2.6%	0.0	0.0		0.0	0.0		
	pós-deglutição	5	13.2%	25.0	0.0	35.4	0.0	50.0			5	13.2%	13.3	6.7	13.3	6.7	20.0		
VED PAS	1	21	55.3%	16.3	8.3	17.2	0.0	33.3	0.062	-0.025	21	55.3%	14.9	13.3	19.3	0.0	20.0	0.025	0.068
	2	9	23.7%	8.3	0.0	25.0	0.0	0.0			9	23.7%	5.2	0.0	10.9	0.0	6.7		
	3	4	10.5%	31.3	25.0	31.5	12.5	50.0			4	10.5%	46.7	40.0	38.9	23.4	70.0		
	4	3	7.9%	27.8	16.7	19.2	16.7	50.0			3	7.9%	17.8	20.0	3.9	13.3	20.0		

		EORCT-HN43 Comer em público									EORCT-HN43 Problemas de fala								
		N	%	Média	Mediana	DP	25	75	*p*	Correlação	N	%	Média	Mediana	DP	25	75	*p*	Correlação
	5	0	0.0%								0	0.0%							
	6	0	0.0%								0	0.0%							
	7	0	0.0%								0	0.0%							
	8	1	2.6%	0.0	0.0		0.0	0.0			1	2.6%	0.0	0.0		0.0	0.0		
VED limpeza	A - efetivo	6	15.8%	8.3	0.0	20.4	0.0	0.0			6	15.8%	5.6	3.4	7.8	0.0	6.7		
	B - moderadamente efetivo	5	13.2%	28.3	25.0	28.0	16.7	25.0			5	13.2%	40.0	40.0	36.8	13.3	40.0		
	C - ligeiramente efetivo	4	10.5%	22.9	8.4	35.6	0.0	45.9	0.214	0.138	4	10.5%	13.3	10.0	16.3	0.0	26.7	0.082	0.028
	D - ineficaz	2	5.3%	0.0	0.0	0.0	0.0	0.0			2	5.3%	0.0	0.0	0.0	0.0	0.0		
	NA	21	55.3%	16.3	8.3	17.2	0.0	33.3			21	55.3%	14.9	13.3	19.3	0.0	20.0		
VED pudim latência	normal	9	23.7%	17.6	8.3	19.3	0.0	33.3			9	23.7%	19.3	13.3	26.1	0.0	20.0		
	alterada	28	73.7%	16.4	8.3	22.5	0.0	25.0	0.962	-0.039	28	73.7%	15.2	6.7	21.3	0.0	20.0	0.505	-0.114
	não testado	1	2.6%	8.3	8.3		8.3	8.3			1	2.6%	0.0	0.0		0.0	0.0		
VED pudim tempo de latência										-0.017									-0.026
VED pudim whiteout	normal	0	0.0%								0	0.0%							
	alterada	37	97.4%	16.7	8.3	21.5	0.0	25.0	0.962	0.008	37	97.4%	16.2	6.7	22.3	0.0	20.0	0.259	-0.186
	não testado	1	2.6%	8.3	8.3		8.3	8.3			1	2.6%	0.0	0.0		0.0	0.0		
VED pudim tempo de encerramento das VA										0.086									0.035
VED líquido latência	normal	10	26.3%	10.8	0.0	18.0	0.0	25.0			10	26.3%	10.0	6.7	12.7	0.0	13.3		
	alterada	26	68.4%	19.6	12.5	22.7	0.0	33.3	0.282	0.154	26	68.4%	19.2	13.3	24.9	0.0	26.7	0.177	0.007
	não testado	2	5.3%	4.2	4.2	5.9	0.0	8.3			2	5.3%	0.0	0.0	0.0	0.0	0.0		
VED líquido tempo de latência										0.187									0.182
VED líquido whiteout	normal	0	0.0%								0	0.0%							
	alterada	36	94.7%	17.1	8.3	21.6	0.0	29.2	0.492	-0.113	36	94.7%	16.7	10.0	22.4	0.0	20.0	0.106	-0.266
	não testado	2	5.3%	4.2	4.2	5.9	0.0	8.3			2	5.3%	0.0	0.0	0.0	0.0	0.0		
VED líquido tempo de encerramento das VA										0.007									-0.121
VED bolacha latência	normal	13	34.2%	15.4	8.3	17.0	0.0	25.0			13	34.2%	16.4	6.7	17.3	0.0	40.0		
	alterada	22	57.9%	15.5	4.2	21.3	0.0	33.3	0.839	-0.013	22	57.9%	13.0	10.0	17.9	0.0	20.0	0.820	-0.103
	não testado	3	7.9%	27.8	8.3	41.1	0.0	75.0			3	7.9%	33.3	0.0	57.7	0.0	100.0		
VED bolacha tempo de latência										-0.132									-0.208

		EORCT-HN43 Comer em público									EORCT-HN43 Problemas de fala							
		N	%	Média	Mediana	DP	25	75	*p*	Correlação	N	%	Média	Mediana	DP	25	75	*p*	Correlação
VED bolacha whiteout	normal	0	0.0%								0	0.0%							
	alterada	35	92.1%	15.5	8.3	19.5	0.0	25.0	0.649	0.075	35	92.1%	14.3	6.7	17.5	0.0	20.0	0.759	-0.050
	não testado	3	7.9%	27.8	8.3	41.1	0.0	75.0			3	7.9%	33.3	0.0	57.7	0.0	100.0		
VED bolacha tempo de encerramento das VA										-0.062									-0.062

Tabela 147 - Medidas descritivas, análise de correlação e diferenças estatísticas entre as variáveis da avaliação por VED componente funcional e as escalas contacto social e problemas com a sexualidade, do questionário da EORTC QLQ-HN43.

		EORCT-HN43 Contacto social									EORCT-HN43 Problemas com a sexualidade								
		N	%	Média	Mediana	DP	25	75	*p*	Correlação	N	%	Média	Mediana	DP	25	75	*p*	Correlação
VED acesso	direita	24	63.2%	15.3	0.0	31.1	0.0	16.7	0.040	-0.342*	24	63.2%	19.4	8.4	24.9	0.0	33.3	0.316	-0.167
	esquerda	14	36.8%	0.0	0.0	0.0	0.0	0.0			14	36.8%	10.7	0.0	15.5	0.0	33.3		
VED nasofaringe EVF anatomia	presente	36	94.7%	7.4	0.0	21.2	0.0	0.0	0.129	0.253	36	94.7%	16.2	0.0	22.3	0.0	33.3	0.880	0.025
	ausente	2	5.3%	50.0	50.0	70.7	0.0	100.0			2	5.3%	16.7	16.7	23.5	0.0	33.3		
VED nasofaringe EVF deglutição de saliva	presente	38	100.0%	9.6	0.0	25.6	0.0	0.0			38	100.0%	16.2	0.0	22.1	0.0	33.3		
	ausente	0	0.0%								0	0.0%							
VED nasofaringe EVF som e sílaba	presente	37	97.4%	9.9	0.0	25.9	0.0	0.0	0.661	-0.073	37	97.4%	16.7	0.0	22.2	0.0	33.3	0.400	-0.140
	ausente	1	2.6%	0.0	0.0		0.0	0.0			1	2.6%	0.0	0.0		0.0	0.0		
VED nasofaringe EVF fala	presente	37	97.4%	9.9	0.0	25.9	0.0	0.0	0.661	-0.073	37	97.4%	16.7	0.0	22.2	0.0	33.3	0.400	-0.140
	ausente	1	2.6%	0.0	0.0		0.0	0.0			1	2.6%	0.0	0.0		0.0	0.0		
VED oro/hipofaringe anatomia	presente	4	10.5%	0.0	0.0	0.0	0.0	0.0	0.435	0.130	4	10.5%	8.4	8.4	9.6	0.0	16.7	0.434	0.130
	ausente	34	89.5%	10.8	0.0	26.9	0.0	0.0			34	89.5%	17.1	0.0	23.0	0.0	33.3		
VED oro/hipofaringe Movimento da base da língua	presente	34	89.5%	10.8	0.0	26.9	0.0	0.0	0.435	-0.130	34	89.5%	17.1	0.0	23.0	0.0	33.3	0.434	-0.130
	ausente	4	10.5%	0.0	0.0	0.0	0.0	0.0			4	10.5%	8.4	8.4	9.6	0.0	16.7		
VED oro/hipofaringe resíduo nas valéculas	presente	25	65.8%	12.0	0.0	30.2	0.0	0.0	0.804	-0.041	25	65.8%	16.7	0.0	24.0	0.0	33.3	0.886	0.024
	ausente	13	34.2%	5.1	0.0	12.5	0.0	0.0			13	34.2%	15.4	0.0	18.6	0.0	33.3		
VED oro/hipofaringe resíduos nos seios piriformes	presente	20	52.6%	11.7	0.0	31.1	0.0	0.0	0.962	-0.008	20	52.6%	16.7	0.0	24.8	0.0	33.3	0.824	0.037
	ausente	18	47.4%	7.4	0.0	18.3	0.0	0.0			18	47.4%	15.7	0.0	19.4	0.0	33.3		
VED oro/hipofaringe produção /i/	presente	38	100.0%	9.6	0.0	25.6	0.0	0.0			38	100.0%	16.2	0.0	22.1	0.0	33.3		
	ausente	0	0.0%								0	0.0%							
VED oro/hipofaringe manipulação de secreções	presente	35	92.1%	10.5	0.0	26.5	0.0	0.0	0.530	-0.105	35	92.1%	17.1	0.0	22.7	0.0	33.3	0.227	-0.201
	ausente	3	7.9%	0.0	0.0	0.0	0.0	0.0			3	7.9%	5.6	0.0	9.6	0.0	16.7		
VED laringe anatomia	presente	3	7.9%	0.0	0.0	0.0	0.0	0.0	0.530	0.105	3	7.9%	5.6	0.0	9.6	0.0	16.7	0.227	0.201
	ausente	35	92.1%	10.5	0.0	26.5	0.0	0.0			35	92.1%	17.1	0.0	22.7	0.0	33.3		
VED laringe fala	presente	38	100.0%	9.6	0.0	25.6	0.0	0.0			38	100.0%	16.2	0.0	22.1	0.0	33.3		
	ausente	0	0.0%								0	0.0%							
VED laringe deglutição de saliva	presente	36	94.7%	10.2	0.0	26.2	0.0	0.0	0.661	-0.073	36	94.7%	16.7	0.0	22.5	0.0	33.3	0.400	-0.140
	ausente	2	5.3%	0.0	0.0	0.0	0.0	0.0			2	5.3%	8.4	8.4	11.8	0.0	16.7		
VED laringe produção /i/	presente	38	100.0%	9.6	0.0	25.6	0.0	0.0			38	100.0%	16.2	0.0	22.1	0.0	33.3		
	ausente	0	0.0%								0	0.0%							
VED laringe tosse voluntária	presente	38	100.0%	9.6	0.0	25.6	0.0	0.0			38	100.0%	16.2	0.0	22.1	0.0	33.3		
	ausente	0	0.0%								0	0.0%							
VED laringe apneia	presente	38	100.0%	9.6	0.0	25.6	0.0	0.0			38	100.0%	16.2	0.0	22.1	0.0	33.3		

		EORCT-HN43 Contacto social									EORCT-HN43 Problemas com a sexualidade								
		N	%	Média	Mediana	DP	25	75	*p*	Correlação	N	%	Média	Mediana	DP	25	75	*p*	Correlação
VED sensibilidade da base da língua	ausente	0	0.0%						0.435	-0.130	0	0.0%						0.434	-0.130
	presente	34	89.5%	10.8	0.0	26.9	0.0	0.0			34	89.5%	17.1	0.0	23.0	0.0	33.3		
	ausente	4	10.5%	0.0	0.0	0.0	0.0	0.0			4	10.5%	8.4	8.4	9.6	0.0	16.7		
VED sensibilidade nas aritnóides	presente								0.598	-0.130								0.663	-0.130
	ausente																		
VED pudim escape prematuro	ausente	32	84.2%	11.5	0.0	27.6	0.0	0.0	0.299	-0.173	32	84.2%	18.2	0.0	23.3	0.0	33.3	0.155	-0.237
	presente	5	13.2%	0.0	0.0	0.0	0.0	0.0			5	13.2%	3.3	0.0	7.5	0.0	0.0		
	não testado	1	2.6%	0.0	0.0		0.0	0.0			1	2.6%	16.7	16.7		16.7	16.7		
VED pudim resíduos nas valéculas	sem resíduo	11	28.9%	6.1	0.0	13.5	0.0	0.0	.898	-0.063	11	28.9%	21.2	33.3	18.4	0.0	33.3	0.527	-0.199
	resíduo ligeira a moderado	24	63.2%	12.5	0.0	30.8	0.0	0.0			24	63.2%	14.6	0.0	24.7	0.0	33.3		
	resíduo severo	2	5.3%	0.0	0.0	0.0	0.0	0.0			2	5.3%	8.4	8.4	11.8	0.0	16.7		
	não testado	1	2.6%	0.0	0.0		0.0	0.0			1	2.6%	16.7	16.7		16.7	16.7		
VED pudim resíduos nos seios piriformes	sem resíduo	22	57.9%	6.1	0.0	16.7	0.0	0.0	0.621	0.039	22	57.9%	15.9	0.0	18.9	0.0	33.3	0.857	-0.061
	resíduo ligeira a moderado	12	31.6%	19.4	0.0	38.8	0.0	16.7			12	31.6%	19.4	0.0	30.0	0.0	33.3		
	resíduo severo	3	7.9%	0.0	0.0	0.0	0.0	0.0			3	7.9%	5.6	0.0	9.6	0.0	16.7		
	não testado	1	2.6%	0.0	0.0		0.0	0.0			1	2.6%	16.7	16.7		16.7	16.7		
VED pudim resíduo na parede faríngea	sem resíduo	26	68.4%	6.4	0.0	16.4	0.0	0.0	0.878	0.031	26	68.4%	14.7	0.0	18.4	0.0	33.3	0.805	0.025
	resíduo ligeira a moderado	10	26.3%	20.0	0.0	42.2	0.0	0.0			10	26.3%	21.7	8.4	31.5	0.0	33.3		
	resíduo severo	1	2.6%	0.0	0.0		0.0	0.0			1	2.6%	0.0	0.0		0.0	0.0		
	não testado	1	2.6%	0.0	0.0		0.0	0.0			1	2.6%	16.7	16.7		16.7	16.7		
VED pudim n.º de deglutições	1 deglutição	28	73.7%	11.9	0.0	29.0	0.0	0.0	0.576	-0.098	28	73.7%	19.0	8.4	23.9	0.0	33.3	0.477	-0.222
	1+1 adicional	0	0.0%								0	0.0%							
	1+2 adicionais	5	13.2%	0.0	0.0	0.0	0.0	0.0			5	13.2%	13.3	0.0	18.2	0.0	33.3		
	1+3 adicionais	2	5.3%	16.7	16.7	23.5	0.0	33.3			2	5.3%	0.0	0.0	0.0	0.0	0.0		
	1+4ou mais adicionais	2	5.3%	0.0	0.0	0.0	0.0	0.0			2	5.3%	0.0	0.0	0.0	0.0	0.0		
	não testado	1	2.6%	0.0	0.0		0.0	0.0			1	2.6%	16.7	16.7		16.7	16.7		
VED pudim reage sem tosse	ausente	34	89.5%	10.8	0.0	26.9	0.0	0.0	0.667	-0.148	34	89.5%	17.6	0.0	22.8	0.0	33.3	0.295	-0.183
	presente	3	7.9%	0.0	0.0	0.0	0.0	0.0			3	7.9%	0.0	0.0	0.0	0.0	0.0		
	não testado	1	2.6%	0.0	0.0		0.0	0.0			1	2.6%	16.7	16.7		16.7	16.7		
VED pudim função vocal	ausente	0	0.0%						0.666	-0.071	0	0.0%						0.722	0.058
	presente	37	97.4%	9.9	0.0	25.9	0.0	0.0			37	97.4%	16.2	0.0	22.4	0.0	33.3		
	não testado	1	2.6%	0.0	0.0		0.0	0.0			1	2.6%	16.7	16.7		16.7	16.7		
VED líquido escape prematuro	ausente	24	63.2%	2.8	0.0	9.4	0.0	0.0	0.100	0.254	24	63.2%	16.7	0.0	24.6	0.0	33.3	0.881	0.024
	presente	12	31.6%	25.0	0.0	40.5	0.0	50.0			12	31.6%	16.7	8.4	18.8	0.0	33.3		
	não testado	2	5.3%	0.0	0.0	0.0	0.0	0.0			2	5.3%	8.4	8.4	11.8	0.0	16.7		
VED líquido resíduos nas valéculas	sem resíduo	13	34.2%	5.1	0.0	12.5	0.0	0.0	0.868	-0.017	13	34.2%	21.8	33.3	18.5	0.0	33.3	0.229	-0.218
	resíduo ligeira a moderado	22	57.9%	13.6	0.0	32.0	0.0	0.0			22	57.9%	12.9	0.0	24.6	0.0	16.7		

		EORCT-HN43 Contacto social									EORCT-HN43 Problemas com a sexualidade								
		N	%	Média	Mediana	DP	25	75	*p*	Correlação	N	%	Média	Mediana	DP	25	75	*p*	Correlação
	resíduo severo	1	2.6%	0.0	0.0		0.0	0.0			1	2.6%	33.3	33.3		33.3	33.3		
	não testado	2	5.3%	0.0	0.0	0.0	0.0	0.0			2	5.3%	8.4	8.4	11.8	0.0	16.7		
VED líquido resíduo nos seios piriformes	sem resíduo	23	60.5%	5.8	0.0	16.4	0.0	0.0	0.647	0.074	23	60.5%	16.7	0.0	18.8	0.0	33.3	0.589	-0.088
	resíduo ligeira a moderado	12	31.6%	19.4	0.0	38.8	0.0	16.7			12	31.6%	15.3	0.0	29.7	0.0	25.0		
	resíduo severo	1	2.6%	0.0	0.0		0.0	0.0			1	2.6%	33.3	33.3		33.3	33.3		
	não testado	2	5.3%	0.0	0.0	0.0	0.0	0.0			2	5.3%	8.4	8.4	11.8	0.0	16.7		
VED líquido resíduo na parede faríngea	sem resíduo	32	84.2%	11.5	0.0	27.6	0.0	0.0	0.731	-0.186	32	84.2%	14.6	0.0	17.8	0.0	33.3	0.740	0.048
	resíduo ligeira a moderado	3	7.9%	0.0	0.0	0.0	0.0	0.0			3	7.9%	33.3	0.0	57.7	0.0	100.0		
	resíduo severo	1	2.6%	0.0	0.0		0.0	0.0			1	2.6%	33.3	33.3		33.3	33.3		
	não testado	2	5.3%	0.0	0.0	0.0	0.0	0.0			2	5.3%	8.4	8.4	11.8	0.0	16.7		
VED líquido n.º de deglutições	1 deglutição	31	81.6%	11.8	0.0	28.0	0.0	0.0	0.670	-0.204	31	81.6%	18.3	0.0	23.3	0.0	33.3	0.577	-0.184
	1+1 adicional	0	0.0%								0	0.0%							
	1+2 adicionais	2	5.3%	0.0	0.0	0.0	0.0	0.0			2	5.3%	0.0	0.0	0.0	0.0	0.0		
	1+3 adicionais	3	7.9%	0.0	0.0	0.0	0.0	0.0			3	7.9%	11.1	0.0	19.2	0.0	33.3		
	1+4ou mais adicionais	0	0.0%								0	0.0%							
	não testado	2	5.3%	0.0	0.0	0.0	0.0	0.0			2	5.3%	8.4	8.4	11.8	0.0	16.7		
VED líquido reage sem tosse	ausente	34	89.5%	10.8	0.0	26.9	0.0	0.0	0.667	-0.148	34	89.5%	16.7	0.0	22.8	0.0	33.3	0.929	-0.029
	presente	2	5.3%	0.0	0.0	0.0	0.0	0.0			2	5.3%	16.7	16.7	23.5	0.0	33.3		
	não testado	2	5.3%	0.0	0.0	0.0	0.0	0.0			2	5.3%	8.4	8.4	11.8	0.0	16.7		
VED líquido função vocal	ausente	0	0.0%						0.536	-0.102	0	0.0%						0.716	-0.060
	presente	36	94.7%	10.2	0.0	26.2	0.0	0.0			36	94.7%	16.7	0.0	22.5	0.0	33.3		
	não testado	2	5.3%	0.0	0.0	0.0	0.0	0.0			2	5.3%	8.4	8.4	11.8	0.0	16.7		
VED bolacha escape prematuro	ausente	33	86.8%	11.1	0.0	27.2	0.0	0.0	0.594	-0.167	33	86.8%	17.7	0.0	23.2	0.0	33.3	0.657	-0.148
	presente	2	5.3%	0.0	0.0	0.0	0.0	0.0			2	5.3%	8.4	8.4	11.8	0.0	16.7		
	não testado	3	7.9%	0.0	0.0	0.0	0.0	0.0			3	7.9%	5.6	0.0	9.6	0.0	16.7		
VED bolacha resíduo nas valéculas	sem resíduo	2	5.3%	0.0	0.0	0.0	0.0	0.0	0.628	-0.126	2	5.3%	41.7	41.7	11.8	33.3	50.0	0.155	-0.304
	resíduo ligeira a moderado	18	47.4%	16.7	0.0	34.8	0.0	0.0			18	47.4%	16.7	8.4	18.1	0.0	33.3		
	resíduo severo	15	39.5%	4.4	0.0	11.7	0.0	0.0			15	39.5%	14.4	0.0	27.4	0.0	33.3		
	não testado	3	7.9%	0.0	0.0	0.0	0.0	0.0			3	7.9%	5.6	0.0	9.6	0.0	16.7		
VED bolacha resíduo nos seios piriformes	sem resíduo	14	36.8%	7.1	0.0	19.3	0.0	0.0	0.778	0.018	14	36.8%	17.9	8.4	20.1	0.0	33.3	0.782	-0.118
	resíduo ligeira a moderado	18	47.4%	13.0	0.0	32.6	0.0	0.0			18	47.4%	16.7	0.0	26.2	0.0	33.3		
	resíduo severo	3	7.9%	11.1	0.0	19.2	0.0	33.3			3	7.9%	16.7	16.7	16.7	0.0	33.3		
	não testado	3	7.9%	0.0	0.0	0.0	0.0	0.0			3	7.9%	5.6	0.0	9.6	0.0	16.7		
VED bolacha resíduo na parede faríngea	sem resíduo	6	15.8%	11.1	0.0	27.2	0.0	0.0	0.847	-0.097	6	15.8%	25.0	33.3	20.4	0.0	33.3	0.388	-0.278
	resíduo ligeira a moderado	28	73.7%	10.7	0.0	27.3	0.0	0.0			28	73.7%	16.1	0.0	23.3	0.0	33.3		
	resíduo severo	1	2.6%	0.0	0.0		0.0	0.0			1	2.6%	0.0	0.0		0.0	0.0		

		EORCT-HN43 Contacto social									EORCT-HN43 Problemas com a sexualidade								
		N	%	Média	Mediana	DP	25	75	*p*	Correlação	N	%	Média	Mediana	DP	25	75	*p*	Correlação
VED bolacha n.º de deglutições	não testado	3	7.9%	0.0	0.0	0.0	0.0	0.0	0.006	-0.245	3	7.9%	5.6	0.0	9.6	0.0	16.7	0.098	-0.425**
	1 deglutição	2	5.3%	100.0	100.0	0.0	100.0	100.0			2	5.3%	33.3	33.3	0.0	33.3	33.3		
	1+1 adicional	0	0.0%								0	0.0%							
	1+2 adicionais	13	34.2%	5.1	0.0	18.5	0.0	0.0			13	34.2%	23.1	33.3	18.7	0.0	33.3		
	1+3 adicionais	12	31.6%	5.6	0.0	13.0	0.0	0.0			12	31.6%	13.9	0.0	30.0	0.0	16.7		
	1+4ou mais adicionais	8	21.1%	4.2	0.0	11.8	0.0	0.0			8	21.1%	8.3	0.0	15.4	0.0	16.7		
VED bolacha reage sem tosse	não testado	3	7.9%	0.0	0.0	0.0	0.0	0.0	0.667	-0.148	3	7.9%	5.6	0.0	9.6	0.0	16.7	0.478	-0.189
	ausente	34	89.5%	10.8	0.0	26.9	0.0	0.0			34	89.5%	17.6	0.0	22.8	0.0	33.3		
	presente	1	2.6%	0.0	0.0		0.0	0.0			1	2.6%	0.0	0.0		0.0	0.0		
	não testado	3	7.9%	0.0	0.0	0.0	0.0	0.0			3	7.9%	5.6	0.0	9.6	0.0	16.7		
VED bolacha função vocal	ausente	0	0.0%						0.442	-0.126	0	0.0%						0.416	-0.134
	presente	35	92.1%	10.5	0.0	26.5	0.0	0.0			35	92.1%	17.1	0.0	22.7	0.0	33.3		
	não testado	3	7.9%	0.0	0.0	0.0	0.0	0.0			3	7.9%	5.6	0.0	9.6	0.0	16.7		
VED aspiração	não	20	52.6%	6.7	0.0	17.4	0.0	0.0	0.756	0.018	20	52.6%	17.5	8.4	19.1	0.0	33.3	0.690	-0.142
	sim	16	42.1%	14.6	0.0	34.4	0.0	0.0			16	42.1%	15.6	0.0	26.8	0.0	33.3		
	alto risco de aspiração	2	5.3%	0.0	0.0	0.0	0.0	0.0			2	5.3%	8.4	8.4	11.8	0.0	16.7		
VED momento de aspiração pudim	NA	31	81.6%	5.4	0.0	15.1	0.0	0.0	0.310	0.183	31	81.6%	16.7	0.0	23.2	0.0	33.3	0.599	-0.017
	pré-deglutição	5	13.2%	40.0	0.0	54.8	0.0	100.0			5	13.2%	13.3	0.0	18.2	0.0	33.3		
	durante deglutição	1	2.6%	0.0	0.0		0.0	0.0			1	2.6%	33.3	33.3		33.3	33.3		
	pós-deglutição	1	2.6%	0.0	0.0		0.0	0.0			1	2.6%	0.0	0.0		0.0	0.0		
VED momento de aspiração líquido	NA	25	65.8%	13.3	0.0	30.4	0.0	0.0	0.709	-0.171	25	65.8%	17.3	16.7	18.3	0.0	33.3	0.510	-0.153
	pré-deglutição	2	5.3%	0.0	0.0	0.0	0.0	0.0			2	5.3%	0.0	0.0	0.0	0.0	0.0		
	durante deglutição	8	21.1%	4.2	0.0	11.8	0.0	0.0			8	21.1%	10.4	0.0	15.3	0.0	25.0		
	pós-deglutição	3	7.9%	0.0	0.0	0.0	0.0	0.0			3	7.9%	33.3	0.0	57.7	0.0	100.0		
VED momento de aspiração bolacha	NA	32	84.2%	10.4	0.0	27.4	0.0	0.0	0.902	0.000	32	84.2%	16.7	0.0	23.2	0.0	33.3	0.658	0.002
	pré-deglutição	0	0.0%								0	0.0%							
	durante deglutição	1	2.6%	0.0	0.0		0.0	0.0			1	2.6%	0.0	0.0		0.0	0.0		
	pós-deglutição	5	13.2%	6.7	0.0	14.9	0.0	0.0			5	13.2%	16.7	16.7	16.7	0.0	33.3		
VED PAS	1	21	55.3%	6.3	0.0	17.1	0.0	0.0	0.238	0.075	21	55.3%	17.5	16.7	18.6	0.0	33.3	0.564	-0.136
	2	9	23.7%	3.7	0.0	11.1	0.0	0.0			9	23.7%	14.8	0.0	33.8	0.0	0.0		
	3	4	10.5%	50.0	50.0	57.7	0.0	100.0			4	10.5%	20.8	25.0	15.9	8.4	33.3		
	4	3	7.9%	0.0	0.0	0.0	0.0	0.0			3	7.9%	11.1	0.0	19.2	0.0	33.3		

		EORCT-HN43 Contacto social									EORCT-HN43 Problemas com a sexualidade								
		N	%	Média	Mediana	DP	25	75	*p*	Correlação	N	%	Média	Mediana	DP	25	75	*p*	Correlação
	5	0	0.0%								0	0.0%							
	6	0	0.0%								0	0.0%							
	7	0	0.0%								0	0.0%							
	8	1	2.6%	0.0	0.0		0.0	0.0			1	2.6%	0.0	0.0		0.0	0.0		
VED limpeza	A - efetivo	6	15.8%	0.0	0.0	0.0	0.0	0.0			6	15.8%	22.2	0.0	40.4	0.0	33.3		
	B - moderadamente efetivo	5	13.2%	40.0	0.0	54.8	0.0	100.0			5	13.2%	16.7	16.7	16.7	0.0	33.3		
	C - ligeiramente efetivo	4	10.5%	8.3	0.0	16.7	0.0	16.7	0.330	-0.031	4	10.5%	8.3	0.0	16.7	0.0	16.7	0.629	0.150
	D - ineficaz	2	5.3%	0.0	0.0	0.0	0.0	0.0			2	5.3%	0.0	0.0	0.0	0.0	0.0		
	NA	21	55.3%	6.3	0.0	17.1	0.0	0.0			21	55.3%	17.5	16.7	18.6	0.0	33.3		
VED pudim latência	normal	9	23.7%	11.1	0.0	23.6	0.0	0.0			9	23.7%	18.5	16.7	19.4	0.0	33.3		
	alterada	28	73.7%	9.5	0.0	27.0	0.0	0.0	0.803	-0.103	28	73.7%	15.5	0.0	23.5	0.0	33.3	0.723	-0.090
	não testado	1	2.6%	0.0	0.0		0.0	0.0			1	2.6%	16.7	16.7		16.7	16.7		
VED pudim tempo de latência										-0.003									-0.168
VED pudim whiteout	normal	0	0.0%								0	0.0%							
	alterada	37	97.4%	9.9	0.0	25.9	0.0	0.0	0.666	-0.071	37	97.4%	16.2	0.0	22.4	0.0	33.3	0.722	0.058
	não testado	1	2.6%	0.0	0.0		0.0	0.0			1	2.6%	16.7	16.7		16.7	16.7		
VED pudim tempo de encerramento das VA										-0.333*									-0.036
VED líquido latência	normal	10	26.3%	13.3	0.0	23.3	0.0	33.3			10	26.3%	13.3	0.0	21.9	0.0	33.3		
	alterada	26	68.4%	9.0	0.0	27.6	0.0	0.0	0.400	-0.223	26	68.4%	17.9	8.4	23.0	0.0	33.3	0.777	0.060
	não testado	2	5.3%	0.0	0.0	0.0	0.0	0.0			2	5.3%	8.4	8.4	11.8	0.0	16.7		
VED líquido tempo de latência										-0.235									-0.109
VED líquido whiteout	normal	0	0.0%								0	0.0%							
	alterada	36	94.7%	10.2	0.0	26.2	0.0	0.0	0.536	-0.102	36	94.7%	16.7	0.0	22.5	0.0	33.3	0.716	-0.060
	não testado	2	5.3%	0.0	0.0	0.0	0.0	0.0			2	5.3%	8.4	8.4	11.8	0.0	16.7		
VED líquido tempo de encerramento das VA										-0.077									-0.188
VED bolacha latência	normal	13	34.2%	20.5	0.0	39.8	0.0	0.0			13	34.2%	20.5	33.3	20.6	0.0	33.3		
	alterada	22	57.9%	4.5	0.0	11.7	0.0	0.0	0.474	-0.200	22	57.9%	15.1	0.0	24.1	0.0	33.3	0.406	-0.220
	não testado	3	7.9%	0.0	0.0	0.0	0.0	0.0			3	7.9%	5.6	0.0	9.6	0.0	16.7		
VED bolacha tempo de latência										-0.097									-0.187

		EORCT-HN43 Contacto social									EORCT-HN43 Problemas com a sexualidade								
		N	%	Média	Mediana	DP	25	75	*p*	Correlação	N	%	Média	Mediana	DP	25	75	*p*	Correlação
VED bolacha whiteout	normal	0	0.0%						0.442	-0.126	0	0.0%						0.416	-0.134
	alterada	35	92.1%	10.5	0.0	26.5	0.0	0.0			35	92.1%	17.1	0.0	22.7	0.0	33.3		
	não testado	3	7.9%	0.0	0.0	0.0	0.0	0.0			3	7.9%	5.6	0.0	9.6	0.0	16.7		
VED bolacha tempo de encerramento das VA										-0.149									0.046

Tabela 148 - Medidas descritivas, análise de correlação e diferenças estatísticas entre as variáveis da avaliação por VED componente funcional e as escalas problemas nos ombros e edema no pescoço, do questionário da EORTC QLQ-HN43.

		EORCT-HN43 Problemas nos ombros									EORCT-HN43 Edema no pescoço								
		N	%	Média	Mediana	DP	25	75	*p*	Correlação	N	%	Média	Mediana	DP	25	75	*p*	Correlação
VED acesso	direita	24	63.2%	4.9	0.0	12.5	0.0	0.0	0.614	0.084	24	63.2%	0.0	0.0	0.0	0.0	0.0	1.000	
	esquerda	14	36.8%	11.9	0.0	24.8	0.0	0.0			14	36.8%	0.0	0.0	0.0	0.0	0.0		
VED nasofaringe EVF anatomia	presente	36	94.7%	7.9	0.0	18.5	0.0	0.0	0.491	-0.115	36	94.7%	0.0	0.0	0.0	0.0	0.0	1.000	
	ausente	2	5.3%	0.0	0.0	0.0	0.0	0.0			2	5.3%	0.0	0.0	0.0	0.0	0.0		
VED nasofaringe EVF deglutição de saliva	presente	38	100.0%	7.5	0.0	18.1	0.0	0.0			38	100.0%	0.0	0.0	0.0	0.0	0.0		
	ausente	0	0.0%								0	0.0%							
VED nasofaringe EVF som e sílaba	presente	37	97.4%	7.7	0.0	18.3	0.0	0.0	0.631	-0.080	37	97.4%	0.0	0.0	0.0	0.0	0.0	1.000	
	ausente	1	2.6%	0.0	0.0		0.0	0.0			1	2.6%	0.0	0.0		0.0	0.0		
VED nasofaringe EVF fala	presente	37	97.4%	7.7	0.0	18.3	0.0	0.0	0.631	-0.080	37	97.4%	0.0	0.0	0.0	0.0	0.0	1.000	
	ausente	1	2.6%	0.0	0.0		0.0	0.0			1	2.6%	0.0	0.0		0.0	0.0		
VED oro/hipofaringe anatomia	presente	4	10.5%	0.0	0.0	0.0	0.0	0.0	0.392	0.143	4	10.5%	0.0	0.0	0.0	0.0	0.0	1.000	
	ausente	34	89.5%	8.3	0.0	18.9	0.0	0.0			34	89.5%	0.0	0.0	0.0	0.0	0.0		
VED oro/hipofaringe Movimento da base da língua	presente	34	89.5%	7.8	0.0	18.9	0.0	0.0	0.654	0.075	34	89.5%	0.0	0.0	0.0	0.0	0.0	1.000	
	ausente	4	10.5%	4.2	0.0	8.4	0.0	8.4			4	10.5%	0.0	0.0	0.0	0.0	0.0		
VED oro/hipofaringe resíduo nas valéculas	presente	25	65.8%	3.3	0.0	13.6	0.0	0.0	0.029	0.365*	25	65.8%	0.0	0.0	0.0	0.0	0.0	1.000	
	ausente	13	34.2%	15.4	0.0	23.0	0.0	33.3			13	34.2%	0.0	0.0	0.0	0.0	0.0		
VED oro/hipofaringe resíduos nos seios piriformes	presente	20	52.6%	0.8	0.0	3.7	0.0	0.0	0.025	0.374*	20	52.6%	0.0	0.0	0.0	0.0	0.0	1.000	
	ausente	18	47.4%	14.8	0.0	24.2	0.0	33.3			18	47.4%	0.0	0.0	0.0	0.0	0.0		
VED oro/hipofaringe produção /i/	presente	38	100.0%	7.5	0.0	18.1	0.0	0.0			38	100.0%	0.0	0.0	0.0	0.0	0.0		
	ausente	0	0.0%								0	0.0%							
VED oro/hipofaringe manipulação de secreções	presente	35	92.1%	7.6	0.0	18.7	0.0	0.0	0.376	0.147	35	92.1%	0.0	0.0	0.0	0.0	0.0	1.000	
	ausente	3	7.9%	5.6	0.0	9.6	0.0	16.7			3	7.9%	0.0	0.0	0.0	0.0	0.0		
VED laringe anatomia	presente	3	7.9%	0.0	0.0	0.0	0.0	0.0	0.491	0.115	3	7.9%	0.0	0.0	0.0	0.0	0.0	1.000	
	ausente	35	92.1%	8.1	0.0	18.7	0.0	0.0			35	92.1%	0.0	0.0	0.0	0.0	0.0		
VED laringe fala	presente	38	100.0%	7.5	0.0	18.1	0.0	0.0			38	100.0%	0.0	0.0	0.0	0.0	0.0		
	ausente	0	0.0%								0	0.0%							
VED laringe deglutição de saliva	presente	36	94.7%	7.4	0.0	18.5	0.0	0.0	0.087	0.286	36	94.7%	0.0	0.0	0.0	0.0	0.0	1.000	
	ausente	2	5.3%	8.4	8.4	11.8	0.0	16.7			2	5.3%	0.0	0.0	0.0	0.0	0.0		
VED laringe produção /i/	presente	38	100.0%	7.5	0.0	18.1	0.0	0.0			38	100.0%	0.0	0.0	0.0	0.0	0.0		
	ausente	0	0.0%								0	0.0%							
VED laringe tosse voluntária	presente	38	100.0%	7.5	0.0	18.1	0.0	0.0			38	100.0%	0.0	0.0	0.0	0.0	0.0		
	ausente	0	0.0%								0	0.0%							
VED laringe apneia	presente	38	100.0%	7.5	0.0	18.1	0.0	0.0			38	100.0%	0.0	0.0	0.0	0.0	0.0		

		EORCT-HN43 Problemas nos ombros									EORCT-HN43 Edema no pescoço								
		N	%	Média	Mediana	DP	25	75	*p*	Correlação	N	%	Média	Mediana	DP	25	75	*p*	Correlação
	ausente	0	0.0%								0	0.0%							
VED sensibilidade da base da língua	presente	34	89.5%	7.8	0.0	18.9	0.0	0.0	0.654	0.075	34	89.5%	0.0	0.0	0.0	0.0	0.0	1.000	
	ausente	4	10.5%	4.2	0.0	8.4	0.0	8.4			4	10.5%	0.0	0.0	0.0	0.0	0.0		
VED sensibilidade nas aritnóides	presente								0.909	0.075								1.000	
	ausente																		
VED pudim escape prematuro	ausente	32	84.2%	8.3	0.0	19.4	0.0	0.0			32	84.2%	0.0	0.0	0.0	0.0	0.0		
	presente	5	13.2%	3.3	0.0	7.5	0.0	0.0	0.922	-0.016	5	13.2%	0.0	0.0	0.0	0.0	0.0	1.000	
	não testado	1	2.6%	0.0	0.0		0.0	0.0			1	2.6%	0.0	0.0		0.0	0.0		
VED pudim resíduos nas valéculas	sem resíduo	11	28.9%	13.6	0.0	24.5	0.0	33.3			11	28.9%	0.0	0.0	0.0	0.0	0.0		
	resíduo ligeira a moderado	24	63.2%	5.6	0.0	15.3	0.0	0.0	0.686	-0.197	24	63.2%	0.0	0.0	0.0	0.0	0.0	1.000	
	resíduo severo	2	5.3%	0.0	0.0	0.0	0.0	0.0			2	5.3%	0.0	0.0	0.0	0.0	0.0		
	não testado	1	2.6%	0.0	0.0		0.0	0.0			1	2.6%	0.0	0.0		0.0	0.0		
VED pudim resíduos nos seios piriformes	sem resíduo	22	57.9%	11.4	0.0	22.7	0.0	0.0			22	57.9%	0.0	0.0	0.0	0.0	0.0		
	resíduo ligeira a moderado	12	31.6%	1.4	0.0	4.8	0.0	0.0	0.611	-0.140	12	31.6%	0.0	0.0	0.0	0.0	0.0	1.000	
	resíduo severo	3	7.9%	5.6	0.0	9.6	0.0	16.7			3	7.9%	0.0	0.0	0.0	0.0	0.0		
	não testado	1	2.6%	0.0	0.0		0.0	0.0			1	2.6%	0.0	0.0		0.0	0.0		
VED pudim resíduo na parede faríngea	sem resíduo	26	68.4%	10.3	0.0	21.1	0.0	0.0			26	68.4%	0.0	0.0	0.0	0.0	0.0		
	resíduo ligeira a moderado	10	26.3%	1.7	0.0	5.3	0.0	0.0	0.686	-0.199	10	26.3%	0.0	0.0	0.0	0.0	0.0	1.000	
	resíduo severo	1	2.6%	0.0	0.0		0.0	0.0			1	2.6%	0.0	0.0		0.0	0.0		
	não testado	1	2.6%	0.0	0.0		0.0	0.0			1	2.6%	0.0	0.0		0.0	0.0		
VED pudim n.º de deglutições	1 deglutição	28	73.7%	9.5	0.0	20.5	0.0	0.0			28	73.7%	0.0	0.0	0.0	0.0	0.0		
	1+1 adicional	0	0.0%								0	0.0%							
	1+2 adicionais	5	13.2%	3.3	0.0	7.5	0.0	0.0	0.860	-0.164	5	13.2%	0.0	0.0	0.0	0.0	0.0	1.000	
	1+3 adicionais	2	5.3%	0.0	0.0	0.0	0.0	0.0			2	5.3%	0.0	0.0	0.0	0.0	0.0		
	1+4ou mais adicionais	2	5.3%	0.0	0.0	0.0	0.0	0.0			2	5.3%	0.0	0.0	0.0	0.0	0.0		
	não testado	1	2.6%	0.0	0.0		0.0	0.0			1	2.6%	0.0	0.0		0.0	0.0		
VED pudim reage sem tosse	ausente	34	89.5%	8.3	0.0	18.9	0.0	0.0			34	89.5%	0.0	0.0	0.0	0.0	0.0		
	presente	3	7.9%	0.0	0.0	0.0	0.0	0.0	0.616	-0.162	3	7.9%	0.0	0.0	0.0	0.0	0.0	1.000	
	não testado	1	2.6%	0.0	0.0		0.0	0.0			1	2.6%	0.0	0.0		0.0	0.0		
VED pudim função vocal	ausente	0	0.0%								0	0.0%							
	presente	37	97.4%	7.7	0.0	18.3	0.0	0.0	0.637	-0.078	37	97.4%	0.0	0.0	0.0	0.0	0.0	1.000	
	não testado	1	2.6%	0.0	0.0		0.0	0.0			1	2.6%	0.0	0.0		0.0	0.0		
VED líquido escape prematuro	ausente	24	63.2%	11.1	0.0	21.8	0.0	8.4			24	63.2%	0.0	0.0	0.0	0.0	0.0		
	presente	12	31.6%	1.4	0.0	4.8	0.0	0.0	0.337	-0.242	12	31.6%	0.0	0.0	0.0	0.0	0.0	1.000	
	não testado	2	5.3%	0.0	0.0	0.0	0.0	0.0			2	5.3%	0.0	0.0	0.0	0.0	0.0		
VED líquido resíduos nas valéculas	sem resíduo	13	34.2%	10.3	0.0	17.4	0.0	16.7	0.579	-0.230	13	34.2%	0.0	0.0	0.0	0.0	0.0	1.000	

		EORCT-HN43 Problemas nos ombros									EORCT-HN43 Edema no pescoço								
		N	%	Média	Mediana	DP	25	75	*p*	Correlação	N	%	Média	Mediana	DP	25	75	*p*	Correlação
	resíduo ligeira a moderado	22	57.9%	6.8	0.0	19.7	0.0	0.0			22	57.9%	0.0	0.0	0.0	0.0	0.0		
	resíduo severo	1	2.6%	0.0	0.0		0.0	0.0			1	2.6%	0.0	0.0		0.0	0.0		
	não testado	2	5.3%	0.0	0.0	0.0	0.0	0.0			2	5.3%	0.0	0.0	0.0	0.0	0.0		
VED líquido resíduo nos seios piriformes	sem resíduo	23	60.5%	8.7	0.0	18.7	0.0	0.0	0.841	-0.126	23	60.5%	0.0	0.0	0.0	0.0	0.0	1.000	
	resíduo ligeira a moderado	12	31.6%	7.0	0.0	19.4	0.0	0.0			12	31.6%	0.0	0.0	0.0	0.0	0.0		
	resíduo severo	1	2.6%	0.0	0.0		0.0	0.0			1	2.6%	0.0	0.0		0.0	0.0		
	não testado	2	5.3%	0.0	0.0	0.0	0.0	0.0			2	5.3%	0.0	0.0	0.0	0.0	0.0		
VED líquido resíduo na parede faríngea	sem resíduo	32	84.2%	8.9	0.0	19.4	0.0	0.0	0.672	-0.204	32	84.2%	0.0	0.0	0.0	0.0	0.0	1.000	
	resíduo ligeira a moderado	3	7.9%	0.0	0.0	0.0	0.0	0.0			3	7.9%	0.0	0.0	0.0	0.0	0.0		
	resíduo severo	1	2.6%	0.0	0.0		0.0	0.0			1	2.6%	0.0	0.0		0.0	0.0		
	não testado	2	5.3%	0.0	0.0	0.0	0.0	0.0			2	5.3%	0.0	0.0	0.0	0.0	0.0		
VED líquido n.º de deglutições	1 deglutição	31	81.6%	9.1	0.0	19.6	0.0	0.0	0.601	-0.223	31	81.6%	0.0	0.0	0.0	0.0	0.0	1.000	
	1+1 adicional	0	0.0%								0	0.0%							
	1+2 adicionais	2	5.3%	0.0	0.0	0.0	0.0	0.0			2	5.3%	0.0	0.0	0.0	0.0	0.0		
	1+3 adicionais	3	7.9%	0.0	0.0	0.0	0.0	0.0			3	7.9%	0.0	0.0	0.0	0.0	0.0		
	1+4ou mais adicionais	0	0.0%								0	0.0%							
	não testado	2	5.3%	0.0	0.0	0.0	0.0	0.0			2	5.3%	0.0	0.0	0.0	0.0	0.0		
VED líquido reage sem tosse	ausente	34	89.5%	8.3	0.0	18.9	0.0	0.0	0.616	-0.162	34	89.5%	0.0	0.0	0.0	0.0	0.0	1.000	
	presente	2	5.3%	0.0	0.0	0.0	0.0	0.0			2	5.3%	0.0	0.0	0.0	0.0	0.0		
	não testado	2	5.3%	0.0	0.0	0.0	0.0	0.0			2	5.3%	0.0	0.0	0.0	0.0	0.0		
VED líquido função vocal	ausente	0	0.0%						0.498	-0.111	0	0.0%						1.000	
	presente	36	94.7%	7.9	0.0	18.5	0.0	0.0			36	94.7%	0.0	0.0	0.0	0.0	0.0		
	não testado	2	5.3%	0.0	0.0	0.0	0.0	0.0			2	5.3%	0.0	0.0	0.0	0.0	0.0		
VED bolacha escape prematuro	ausente	33	86.8%	8.1	0.0	19.2	0.0	0.0	0.723	-0.001	33	86.8%	0.0	0.0	0.0	0.0	0.0	1.000	
	presente	2	5.3%	0.0	0.0	0.0	0.0	0.0			2	5.3%	0.0	0.0	0.0	0.0	0.0		
	não testado	3	7.9%	5.6	0.0	9.6	0.0	16.7			3	7.9%	0.0	0.0	0.0	0.0	0.0		
VED bolacha resíduo nas valéculas	sem resíduo	2	5.3%	0.0	0.0	0.0	0.0	0.0	0.883	0.094	2	5.3%	0.0	0.0	0.0	0.0	0.0	1.000	
	resíduo ligeira a moderado	18	47.4%	9.3	0.0	22.3	0.0	0.0			18	47.4%	0.0	0.0	0.0	0.0	0.0		
	resíduo severo	15	39.5%	6.7	0.0	15.2	0.0	0.0			15	39.5%	0.0	0.0	0.0	0.0	0.0		
	não testado	3	7.9%	5.6	0.0	9.6	0.0	16.7			3	7.9%	0.0	0.0	0.0	0.0	0.0		
VED bolacha resíduo nos seios piriformes	sem resíduo	14	36.8%	11.9	0.0	24.8	0.0	0.0	0.634	-0.007	14	36.8%	0.0	0.0	0.0	0.0	0.0	1.000	
	resíduo ligeira a moderado	18	47.4%	2.8	0.0	8.6	0.0	0.0			18	47.4%	0.0	0.0	0.0	0.0	0.0		
	resíduo severo	3	7.9%	16.7	0.0	28.9	0.0	50.0			3	7.9%	0.0	0.0	0.0	0.0	0.0		
	não testado	3	7.9%	5.6	0.0	9.6	0.0	16.7			3	7.9%	0.0	0.0	0.0	0.0	0.0		
VED bolacha resíduo na parede faríngea	sem resíduo	6	15.8%	0.0	0.0	0.0	0.0	0.0	0.583	0.170	6	15.8%	0.0	0.0	0.0	0.0	0.0	1.000	
	resíduo ligeira a moderado	28	73.7%	9.5	0.0	20.5	0.0	0.0			28	73.7%	0.0	0.0	0.0	0.0	0.0		

		EORCT-HN43 Problemas nos ombros									EORCT-HN43 Edema no pescoço								
		N	%	Média	Mediana	DP	25	75	*p*	Correlação	N	%	Média	Mediana	DP	25	75	*p*	Correlação
	resíduo severo	1	2.6%	0.0	0.0		0.0	0.0			1	2.6%	0.0	0.0		0.0	0.0		
	não testado	3	7.9%	5.6	0.0	9.6	0.0	16.7			3	7.9%	0.0	0.0	0.0	0.0	0.0		
VED bolacha n.º de deglutições	1 deglutição	2	5.3%	0.0	0.0	0.0	0.0	0.0	0.561	-0.075	2	5.3%	0.0	0.0	0.0	0.0	0.0	1.000	
	1+1 adicional	0	0.0%								0	0.0%							
	1+2 adicionais	13	34.2%	11.5	0.0	24.9	0.0	0.0			13	34.2%	0.0	0.0	0.0	0.0	0.0		
	1+3 adicionais	12	31.6%	9.7	0.0	18.1	0.0	16.7			12	31.6%	0.0	0.0	0.0	0.0	0.0		
	1+4ou mais adicionais	8	21.1%	0.0	0.0	0.0	0.0	0.0			8	21.1%	0.0	0.0	0.0	0.0	0.0		
	não testado	3	7.9%	5.6	0.0	9.6	0.0	16.7			3	7.9%	0.0	0.0	0.0	0.0	0.0		
VED bolacha reage sem tosse	ausente	34	89.5%	7.8	0.0	18.9	0.0	0.0	0.805	0.034	34	89.5%	0.0	0.0	0.0	0.0	0.0	1.000	
	presente	1	2.6%	0.0	0.0		0.0	0.0			1	2.6%	0.0	0.0		0.0	0.0		
	não testado	3	7.9%	5.6	0.0	9.6	0.0	16.7			3	7.9%	0.0	0.0	0.0	0.0	0.0		
VED bolacha função vocal	ausente	0	0.0%						0.631	0.079	0	0.0%						1.000	
	presente	35	92.1%	7.6	0.0	18.7	0.0	0.0			35	92.1%	0.0	0.0	0.0	0.0	0.0		
	não testado	3	7.9%	5.6	0.0	9.6	0.0	16.7			3	7.9%	0.0	0.0	0.0	0.0	0.0		
VED aspiração	não	20	52.6%	10.8	0.0	21.8	0.0	8.4	0.478	-0.198	20	52.6%	0.0	0.0	0.0	0.0	0.0	1.000	
	sim	16	42.1%	4.2	0.0	12.9	0.0	0.0			16	42.1%	0.0	0.0	0.0	0.0	0.0		
	alto risco de aspiração	2	5.3%	0.0	0.0	0.0	0.0	0.0			2	5.3%	0.0	0.0	0.0	0.0	0.0		
VED momento de aspiração pudim	NA	31	81.6%	8.6	0.0	19.7	0.0	0.0	0.925	-0.081	31	81.6%	0.0	0.0	0.0	0.0	0.0	1.000	
	pré-deglutição	5	13.2%	3.3	0.0	7.5	0.0	0.0			5	13.2%	0.0	0.0	0.0	0.0	0.0		
	durante deglutição	1	2.6%	0.0	0.0		0.0	0.0			1	2.6%	0.0	0.0		0.0	0.0		
	pós-deglutição	1	2.6%	0.0	0.0		0.0	0.0			1	2.6%	0.0	0.0		0.0	0.0		
VED momento de aspiração líquido	NA	25	65.8%	8.7	0.0	19.9	0.0	0.0	0.648	-0.105	25	65.8%	0.0	0.0	0.0	0.0	0.0	1.000	
	pré-deglutição	2	5.3%	8.4	8.4	11.8	0.0	16.7			2	5.3%	0.0	0.0	0.0	0.0	0.0		
	durante deglutição	8	21.1%	6.3	0.0	17.7	0.0	0.0			8	21.1%	0.0	0.0	0.0	0.0	0.0		
	pós-deglutição	3	7.9%	0.0	0.0	0.0	0.0	0.0			3	7.9%	0.0	0.0	0.0	0.0	0.0		
VED momento de aspiração bolacha	NA	32	84.2%	7.3	0.0	17.9	0.0	0.0	0.887	-0.005	32	84.2%	0.0	0.0	0.0	0.0	0.0	1.000	
	pré-deglutição	0	0.0%								0	0.0%							
	durante deglutição	1	2.6%	0.0	0.0		0.0	0.0			1	2.6%	0.0	0.0		0.0	0.0		
	pós-deglutição	5	13.2%	10.0	0.0	22.4	0.0	0.0			5	13.2%	0.0	0.0	0.0	0.0	0.0		
VED PAS	1	21	55.3%	10.3	0.0	21.4	0.0	0.0	0.808	-0.170	21	55.3%	0.0	0.0	0.0	0.0	0.0	1.000	
	2	9	23.7%	5.6	0.0	16.7	0.0	0.0			9	23.7%	0.0	0.0	0.0	0.0	0.0		
	3	4	10.5%	4.2	0.0	8.4	0.0	8.4			4	10.5%	0.0	0.0	0.0	0.0	0.0		

		EORCT-HN43 Problemas nos ombros									EORCT-HN43 Edema no pescoço								
		N	%	Média	Mediana	DP	25	75	*p*	Correlação	N	%	Média	Mediana	DP	25	75	*p*	Correlação
	4	3	7.9%	0.0	0.0	0.0	0.0	0.0			3	7.9%	0.0	0.0	0.0	0.0	0.0		
	5	0	0.0%								0	0.0%							
	6	0	0.0%								0	0.0%							
	7	0	0.0%								0	0.0%							
	8	1	2.6%	0.0	0.0		0.0	0.0			1	2.6%	0.0	0.0		0.0	0.0		
	A - efetivo	6	15.8%	0.0	0.0	0.0	0.0	0.0			6	15.8%	0.0	0.0	0.0	0.0	0.0		
	B - moderadamente efetivo	5	13.2%	3.3	0.0	7.5	0.0	0.0			5	13.2%	0.0	0.0	0.0	0.0	0.0		
VED limpeza	C - ligeiramente efetivo	4	10.5%	12.5	0.0	25.0	0.0	25.0	0.672	0.188	4	10.5%	0.0	0.0	0.0	0.0	0.0	1.000	
	D - ineficaz	2	5.3%	0.0	0.0	0.0	0.0	0.0			2	5.3%	0.0	0.0	0.0	0.0	0.0		
	NA	21	55.3%	10.3	0.0	21.4	0.0	0.0			21	55.3%	0.0	0.0	0.0	0.0	0.0		
	normal	9	23.7%	7.4	0.0	22.2	0.0	0.0			9	23.7%	0.0	0.0	0.0	0.0	0.0		
VED pudim latência	alterada	28	73.7%	7.7	0.0	17.3	0.0	0.0	0.767	0.057	28	73.7%	0.0	0.0	0.0	0.0	0.0	1.000	
	não testado	1	2.6%	0.0	0.0		0.0	0.0			1	2.6%	0.0	0.0		0.0	0.0		
VED pudim tempo de latência										-0.086									
	normal	0	0.0%								0	0.0%							
VED pudim whiteout	alterada	37	97.4%	7.7	0.0	18.3	0.0	0.0	0.637	-0.078	37	97.4%	0.0	0.0	0.0	0.0	0.0	1.000	
	não testado	1	2.6%	0.0	0.0		0.0	0.0			1	2.6%	0.0	0.0		0.0	0.0		
VED pudim tempo de encerramento das VA										-0.080									
	normal	10	26.3%	3.3	0.0	10.5	0.0	0.0			10	26.3%	0.0	0.0	0.0	0.0	0.0		
VED líquido latência	alterada	26	68.4%	9.6	0.0	20.6	0.0	0.0	0.524	0.079	26	68.4%	0.0	0.0	0.0	0.0	0.0	1.000	
	não testado	2	5.3%	0.0	0.0	0.0	0.0	0.0			2	5.3%	0.0	0.0	0.0	0.0	0.0		
VED líquido tempo de latência										0.134									
	normal	0	0.0%								0	0.0%							
VED líquido whiteout	alterada	36	94.7%	7.9	0.0	18.5	0.0	0.0	0.498	-0.111	36	94.7%	0.0	0.0	0.0	0.0	0.0	1.000	
	não testado	2	5.3%	0.0	0.0	0.0	0.0	0.0			2	5.3%	0.0	0.0	0.0	0.0	0.0		
VED líquido tempo de encerramento das VA										-0.086									
	normal	13	34.2%	5.1	0.0	18.5	0.0	0.0			13	34.2%	0.0	0.0	0.0	0.0	0.0		
VED bolacha latência	alterada	22	57.9%	9.1	0.0	19.1	0.0	0.0	0.533	0.183	22	57.9%	0.0	0.0	0.0	0.0	0.0	1.000	
	não testado	3	7.9%	5.6	0.0	9.6	0.0	16.7			3	7.9%	0.0	0.0	0.0	0.0	0.0		

		EORCT-HN43 Problemas nos ombros									EORCT-HN43 Edema no pescoço							
		N	%	Média	Mediana	DP	25	75	*p*	Correlação	N	%	Média	Mediana	DP	25	75	*p*	Correlação
VED bolacha tempo de latência										0.092									
VED bolacha whiteout	normal	0	0.0%						0.631	0.079	0	0.0%						1.000	
	alterada	35	92.1%	7.6	0.0	18.7	0.0	0.0			35	92.1%	0.0	0.0	0.0	0.0	0.0		
	não testado	3	7.9%	5.6	0.0	9.6	0.0	16.7			3	7.9%	0.0	0.0	0.0	0.0	0.0		
VED bolacha tempo de encerramento das VA										-0.166									

Tabela 149 - Medidas descritivas, análise de correlação e diferenças estatísticas entre as variáveis da avaliação por VED componente funcional e as escalas problemas de pele e perda de peso, do questionário da EORTC QLQ-HN43.

		EORCT-HN43 Problemas de pele									EORCT-HN43 Perda de peso								
		N	%	Média	Mediana	DP	25	75	*p*	Correlação	N	%	Média	Mediana	DP	25	75	*p*	Correlação
VED acesso	direita	24	63.2%	2.8	0.0	8.2	0.0	0.0	0.833	0.035	24	63.2%	19.4	0.0	27.7	0.0	33.3	0.057	-0.317
	esquerda	14	36.8%	4.8	0.0	12.1	0.0	0.0			14	36.8%	4.8	0.0	12.1	0.0	0.0		
VED nasofaringe EVF anatomia	presente	36	94.7%	3.7	0.0	9.9	0.0	0.0	0.572	-0.094	36	94.7%	14.8	0.0	24.5	0.0	33.3	0.327	-0.163
	ausente	2	5.3%	0.0	0.0	0.0	0.0	0.0			2	5.3%	0.0	0.0	0.0	0.0	0.0		
VED nasofaringe EVF deglutição de saliva	presente	38	100.0%	3.5	0.0	9.7	0.0	0.0			38	100.0%	14.0	0.0	24.0	0.0	33.3		
	ausente	0	0.0%								0	0.0%							
VED nasofaringe EVF som e sílaba	presente	37	97.4%	3.6	0.0	9.8	0.0	0.0	0.693	-0.066	37	97.4%	14.4	0.0	24.3	0.0	33.3	0.495	-0.114
	ausente	1	2.6%	0.0	0.0		0.0	0.0			1	2.6%	0.0	0.0		0.0	0.0		
VED nasofaringe EVF fala	presente	37	97.4%	3.6	0.0	9.8	0.0	0.0	0.693	-0.066	37	97.4%	14.4	0.0	24.3	0.0	33.3	0.495	-0.114
	ausente	1	2.6%	0.0	0.0		0.0	0.0			1	2.6%	0.0	0.0		0.0	0.0		
VED oro/hipofaringe anatomia	presente	4	10.5%	0.0	0.0	0.0	0.0	0.0	0.482	0.117	4	10.5%	0.0	0.0	0.0	0.0	0.0	0.224	0.203
	ausente	34	89.5%	3.9	0.0	10.2	0.0	0.0			34	89.5%	15.7	0.0	24.9	0.0	33.3		
VED oro/hipofaringe Movimento da base da língua	presente	34	89.5%	3.9	0.0	10.2	0.0	0.0	0.482	-0.117	34	89.5%	15.7	0.0	24.9	0.0	33.3	0.224	-0.203
	ausente	4	10.5%	0.0	0.0	0.0	0.0	0.0			4	10.5%	0.0	0.0	0.0	0.0	0.0		
VED oro/hipofaringe resíduo nas valéculas	presente	25	65.8%	2.7	0.0	9.2	0.0	0.0	0.261	0.187	25	65.8%	5.3	0.0	12.5	0.0	0.0	0.003	0.490**
	ausente	13	34.2%	5.1	0.0	10.7	0.0	0.0			13	34.2%	30.8	33.3	31.8	0.0	33.3		
VED oro/hipofaringe resíduos nos seios piriformes	presente	20	52.6%	0.0	0.0	0.0	0.0	0.0	0.015	0.405*	20	52.6%	3.3	0.0	10.2	0.0	0.0	0.003	0.492**
	ausente	18	47.4%	7.4	0.0	13.2	0.0	11.1			18	47.4%	25.9	33.3	29.3	0.0	33.3		
VED oro/hipofaringe produção /i/	presente	38	100.0%	3.5	0.0	9.7	0.0	0.0			38	100.0%	14.0	0.0	24.0	0.0	33.3		
	ausente	0	0.0%								0	0.0%							
VED oro/hipofaringe manipulação de secreções	presente	35	92.1%	3.8	0.0	10.1	0.0	0.0	0.572	-0.094	35	92.1%	15.2	0.0	24.7	0.0	33.3	0.327	-0.163
	ausente	3	7.9%	0.0	0.0	0.0	0.0	0.0			3	7.9%	0.0	0.0	0.0	0.0	0.0		
VED laringe anatomia	presente	3	7.9%	0.0	0.0	0.0	0.0	0.0	0.572	0.094	3	7.9%	0.0	0.0	0.0	0.0	0.0	0.327	0.163
	ausente	35	92.1%	3.8	0.0	10.1	0.0	0.0			35	92.1%	15.2	0.0	24.7	0.0	33.3		
VED laringe fala	presente	38	100.0%	3.5	0.0	9.7	0.0	0.0			38	100.0%	14.0	0.0	24.0	0.0	33.3		
	ausente	0	0.0%								0	0.0%							
VED laringe deglutição de saliva	presente	36	94.7%	3.7	0.0	9.9	0.0	0.0	0.693	-0.066	36	94.7%	14.8	0.0	24.5	0.0	33.3	0.495	-0.114
	ausente	2	5.3%	0.0	0.0	0.0	0.0	0.0			2	5.3%	0.0	0.0	0.0	0.0	0.0		
VED laringe produção /i/	presente	38	100.0%	3.5	0.0	9.7	0.0	0.0			38	100.0%	14.0	0.0	24.0	0.0	33.3		
	ausente	0	0.0%								0	0.0%							
VED laringe tosse voluntária	presente	38	100.0%	3.5	0.0	9.7	0.0	0.0			38	100.0%	14.0	0.0	24.0	0.0	33.3		
	ausente	0	0.0%								0	0.0%							
VED laringe apneia	presente	38	100.0%	3.5	0.0	9.7	0.0	0.0			38	100.0%	14.0	0.0	24.0	0.0	33.3		

		EORCT-HN43 Problemas de pele									EORCT-HN43 Perda de peso								
		N	%	Média	Mediana	DP	25	75	*p*	Correlação	N	%	Média	Mediana	DP	25	75	*p*	Correlação
	ausente	0	0.0%								0	0.0%							
VED sensibilidade da base da língua	presente	34	89.5%	3.9	0.0	10.2	0.0	0.0	0.482	-0.117	34	89.5%	15.7	0.0	24.9	0.0	33.3	0.224	-0.203
	ausente	4	10.5%	0.0	0.0	0.0	0.0	0.0			4	10.5%	0.0	0.0	0.0	0.0	0.0		
VED sensibilidade nas aritnóides	presente								0.663	-0.117								0.276	-0.203
	ausente																		
VED pudim escape prematuro	ausente	32	84.2%	4.2	0.0	10.5	0.0	0.0	0.350	-0.156	32	84.2%	16.7	0.0	25.4	0.0	33.3	0.105	-0.270
	presente	5	13.2%	0.0	0.0	0.0	0.0	0.0			5	13.2%	0.0	0.0	0.0	0.0	0.0		
	não testado	1	2.6%	0.0	0.0		0.0	0.0			1	2.6%	0.0	0.0		0.0	0.0		
VED pudim resíduos nas valéculas	sem resíduo	11	28.9%	6.1	0.0	11.5	0.0	11.1	0.485	-0.255	11	28.9%	27.3	33.3	25.0	0.0	33.3	0.055	-0.449**
	resíduo ligeira a moderado	24	63.2%	2.8	0.0	9.4	0.0	0.0			24	63.2%	9.7	0.0	23.0	0.0	0.0		
	resíduo severo	2	5.3%	0.0	0.0	0.0	0.0	0.0			2	5.3%	0.0	0.0	0.0	0.0	0.0		
	não testado	1	2.6%	0.0	0.0		0.0	0.0			1	2.6%	0.0	0.0		0.0	0.0		
VED pudim resíduos nos seios piriformes	sem resíduo	22	57.9%	6.1	0.0	12.2	0.0	0.0	0.255	-0.322*	22	57.9%	21.2	0.0	28.3	0.0	33.3	0.158	-0.374*
	resíduo ligeira a moderado	12	31.6%	0.0	0.0	0.0	0.0	0.0			12	31.6%	5.6	0.0	13.0	0.0	0.0		
	resíduo severo	3	7.9%	0.0	0.0	0.0	0.0	0.0			3	7.9%	0.0	0.0	0.0	0.0	0.0		
	não testado	1	2.6%	0.0	0.0		0.0	0.0			1	2.6%	0.0	0.0		0.0	0.0		
VED pudim resíduo na parede faríngea	sem resíduo	26	68.4%	5.1	0.0	11.4	0.0	0.0	0.462	-0.261	26	68.4%	19.2	0.0	27.0	0.0	33.3	0.216	-0.347*
	resíduo ligeira a moderado	10	26.3%	0.0	0.0	0.0	0.0	0.0			10	26.3%	3.3	0.0	10.5	0.0	0.0		
	resíduo severo	1	2.6%	0.0	0.0		0.0	0.0			1	2.6%	0.0	0.0		0.0	0.0		
	não testado	1	2.6%	0.0	0.0		0.0	0.0			1	2.6%	0.0	0.0		0.0	0.0		
VED pudim n.º de deglutições	1 deglutição	28	73.7%	4.8	0.0	11.1	0.0	0.0	0.737	-0.229	28	73.7%	17.9	0.0	26.4	0.0	33.3	0.501	-0.295
	1+1 adicional	0	0.0%								0	0.0%							
	1+2 adicionais	5	13.2%	0.0	0.0	0.0	0.0	0.0			5	13.2%	6.7	0.0	14.9	0.0	0.0		
	1+3 adicionais	2	5.3%	0.0	0.0	0.0	0.0	0.0			2	5.3%	0.0	0.0	0.0	0.0	0.0		
	1+4ou mais adicionais	2	5.3%	0.0	0.0	0.0	0.0	0.0			2	5.3%	0.0	0.0	0.0	0.0	0.0		
	não testado	1	2.6%	0.0	0.0		0.0	0.0			1	2.6%	0.0	0.0		0.0	0.0		
VED pudim reage sem tosse	ausente	34	89.5%	3.9	0.0	10.2	0.0	0.0	0.720	-0.133	34	89.5%	15.7	0.0	24.9	0.0	33.3	0.376	-0.230
	presente	3	7.9%	0.0	0.0	0.0	0.0	0.0			3	7.9%	0.0	0.0	0.0	0.0	0.0		
	não testado	1	2.6%	0.0	0.0		0.0	0.0			1	2.6%	0.0	0.0		0.0	0.0		
VED pudim função vocal	ausente	0	0.0%						0.698	-0.064	0	0.0%						0.503	-0.110
	presente	37	97.4%	3.6	0.0	9.8	0.0	0.0			37	97.4%	14.4	0.0	24.3	0.0	33.3		
	não testado	1	2.6%	0.0	0.0		0.0	0.0			1	2.6%	0.0	0.0		0.0	0.0		
VED líquido escape prematuro	ausente	24	63.2%	4.2	0.0	10.3	0.0	0.0	0.701	-0.134	24	63.2%	16.7	0.0	22.0	0.0	33.3	0.262	-0.266
	presente	12	31.6%	2.8	0.0	9.6	0.0	0.0			12	31.6%	11.1	0.0	29.6	0.0	0.0		
	não testado	2	5.3%	0.0	0.0	0.0	0.0	0.0			2	5.3%	0.0	0.0	0.0	0.0	0.0		
VED líquido resíduos nas valéculas	sem resíduo	13	34.2%	2.6	0.0	6.7	0.0	0.0	0.924	-0.059	13	34.2%	23.1	33.3	25.0	0.0	33.3	0.174	-0.366*

		EORCT-HN43 Problemas de pele									EORCT-HN43 Perda de peso								
		N	%	Média	Mediana	DP	25	75	*p*	Correlação	N	%	Média	Mediana	DP	25	75	*p*	Correlação
	resíduo ligeira a moderado	22	57.9%	4.5	0.0	11.7	0.0	0.0			22	57.9%	10.6	0.0	23.9	0.0	0.0		
	resíduo severo	1	2.6%	0.0	0.0		0.0	0.0			1	2.6%	0.0	0.0		0.0	0.0		
	não testado	2	5.3%	0.0	0.0	0.0	0.0	0.0			2	5.3%	0.0	0.0	0.0	0.0	0.0		
VED líquido resíduo nos seios piriformes	sem resíduo	23	60.5%	4.3	0.0	10.4	0.0	0.0	0.814	-0.156	23	60.5%	21.7	0.0	27.7	0.0	33.3	0.069	-0.435**
	resíduo ligeira a moderado	12	31.6%	2.8	0.0	9.6	0.0	0.0			12	31.6%	2.8	0.0	9.6	0.0	0.0		
	resíduo severo	1	2.6%	0.0	0.0		0.0	0.0			1	2.6%	0.0	0.0		0.0	0.0		
	não testado	2	5.3%	0.0	0.0	0.0	0.0	0.0			2	5.3%	0.0	0.0	0.0	0.0	0.0		
VED líquido resíduo na parede faríngea	sem resíduo	32	84.2%	4.2	0.0	10.5	0.0	0.0	0.790	-0.167	32	84.2%	16.7	0.0	25.4	0.0	33.3	0.374	-0.289
	resíduo ligeira a moderado	3	7.9%	0.0	0.0	0.0	0.0	0.0			3	7.9%	0.0	0.0	0.0	0.0	0.0		
	resíduo severo	1	2.6%	0.0	0.0		0.0	0.0			1	2.6%	0.0	0.0		0.0	0.0		
	não testado	2	5.3%	0.0	0.0	0.0	0.0	0.0			2	5.3%	0.0	0.0	0.0	0.0	0.0		
VED líquido n.º de deglutições	1 deglutição	31	81.6%	4.3	0.0	10.6	0.0	0.0	0.739	-0.183	31	81.6%	17.2	0.0	25.6	0.0	33.3	0.290	-0.317
	1+1 adicional	0	0.0%								0	0.0%							
	1+2 adicionais	2	5.3%	0.0	0.0	0.0	0.0	0.0			2	5.3%	0.0	0.0	0.0	0.0	0.0		
	1+3 adicionais	3	7.9%	0.0	0.0	0.0	0.0	0.0			3	7.9%	0.0	0.0	0.0	0.0	0.0		
	1+4ou mais adicionais	0	0.0%								0	0.0%							
	não testado	2	5.3%	0.0	0.0	0.0	0.0	0.0			2	5.3%	0.0	0.0	0.0	0.0	0.0		
VED líquido reage sem tosse	ausente	34	89.5%	3.9	0.0	10.2	0.0	0.0	0.720	-0.133	34	89.5%	15.7	0.0	24.9	0.0	33.3	0.376	-0.229
	presente	2	5.3%	0.0	0.0	0.0	0.0	0.0			2	5.3%	0.0	0.0	0.0	0.0	0.0		
	não testado	2	5.3%	0.0	0.0	0.0	0.0	0.0			2	5.3%	0.0	0.0	0.0	0.0	0.0		
VED líquido função vocal	ausente	0	0.0%						0.578	-0.092	0	0.0%						0.337	-0.158
	presente	36	94.7%	3.7	0.0	9.9	0.0	0.0			36	94.7%	14.8	0.0	24.5	0.0	33.3		
	não testado	2	5.3%	0.0	0.0	0.0	0.0	0.0			2	5.3%	0.0	0.0	0.0	0.0	0.0		
VED bolacha escape prematuro	ausente	33	86.8%	4.0	0.0	10.3	0.0	0.0	0.655	-0.151	33	86.8%	16.2	0.0	25.2	0.0	33.3	0.284	-0.260
	presente	2	5.3%	0.0	0.0	0.0	0.0	0.0			2	5.3%	0.0	0.0	0.0	0.0	0.0		
	não testado	3	7.9%	0.0	0.0	0.0	0.0	0.0			3	7.9%	0.0	0.0	0.0	0.0	0.0		
VED bolacha resíduo nas valéculas	sem resíduo	2	5.3%	16.7	16.7	7.8	11.1	22.2	0.004	-0.454**	2	5.3%	50.0	50.0	23.6	33.3	66.7	0.093	-0.289
	resíduo ligeira a moderado	18	47.4%	5.6	0.0	12.8	0.0	0.0			18	47.4%	14.8	0.0	26.1	0.0	33.3		
	resíduo severo	15	39.5%	0.0	0.0	0.0	0.0	0.0			15	39.5%	11.1	0.0	20.6	0.0	33.3		
	não testado	3	7.9%	0.0	0.0	0.0	0.0	0.0			3	7.9%	0.0	0.0	0.0	0.0	0.0		
VED bolacha resíduo nos seios piriformes	sem resíduo	14	36.8%	9.5	0.0	14.3	0.0	22.2	0.023	-0.463**	14	36.8%	23.8	16.7	30.5	0.0	33.3	0.200	-0.294
	resíduo ligeira a moderado	18	47.4%	0.0	0.0	0.0	0.0	0.0			18	47.4%	7.4	0.0	14.2	0.0	0.0		
	resíduo severo	3	7.9%	0.0	0.0	0.0	0.0	0.0			3	7.9%	22.2	0.0	38.5	0.0	66.7		
	não testado	3	7.9%	0.0	0.0	0.0	0.0	0.0			3	7.9%	0.0	0.0	0.0	0.0	0.0		
VED bolacha resíduo na parede faríngea	sem resíduo	6	15.8%	7.4	0.0	13.4	0.0	11.1	0.457	-0.258	6	15.8%	16.7	16.7	18.2	0.0	33.3	0.508	-0.231

		EORCT-HN43 Problemas de pele									EORCT-HN43 Perda de peso								
		N	%	Média	Mediana	DP	25	75	*p*	Correlação	N	%	Média	Mediana	DP	25	75	*p*	Correlação
	resíduo ligeira a moderado	28	73.7%	3.2	0.0	9.5	0.0	0.0			28	73.7%	15.5	0.0	26.4	0.0	33.3		
	resíduo severo	1	2.6%	0.0	0.0		0.0	0.0			1	2.6%	0.0	0.0		0.0	0.0		
	não testado	3	7.9%	0.0	0.0	0.0	0.0	0.0			3	7.9%	0.0	0.0	0.0	0.0	0.0		
VED bolacha n.º de deglutições	1 deglutição	2	5.3%	0.0	0.0	0.0	0.0	0.0	0.030	-0.388*	2	5.3%	0.0	0.0	0.0	0.0	0.0	0.196	-0.271
	1+1 adicional	0	0.0%								0	0.0%							
	1+2 adicionais	13	34.2%	10.2	0.0	14.7	0.0	22.2			13	34.2%	20.5	33.3	21.7	0.0	33.3		
	1+3 adicionais	12	31.6%	0.0	0.0	0.0	0.0	0.0			12	31.6%	19.4	0.0	33.2	0.0	33.3		
	1+4ou mais adicionais	8	21.1%	0.0	0.0	0.0	0.0	0.0			8	21.1%	4.2	0.0	11.8	0.0	0.0		
	não testado	3	7.9%	0.0	0.0	0.0	0.0	0.0			3	7.9%	0.0	0.0	0.0	0.0	0.0		
	ausente	34	89.5%	3.9	0.0	10.2	0.0	0.0			34	89.5%	15.7	0.0	24.9	0.0	33.3		
	presente	1	2.6%	0.0	0.0		0.0	0.0	0.720	-0.133	1	2.6%	0.0	0.0		0.0	0.0	0.376	-0.330
	não testado	3	7.9%	0.0	0.0	0.0	0.0	0.0			3	7.9%	0.0	0.0	0.0	0.0	0.0		
	ausente	0	0.0%								0	0.0%							
VED bolacha função vocal	presente	35	92.1%	3.8	0.0	10.1	0.0	0.0	0.489	-0.114	35	92.1%	15.2	0.0	24.7	0.0	33.3	0.233	-0.196
	não testado	3	7.9%	0.0	0.0	0.0	0.0	0.0			3	7.9%	0.0	0.0	0.0	0.0	0.0		
	não	20	52.6%	6.7	0.0	12.7	0.0	5.6			20	52.6%	23.3	33.3	26.7	0.0	33.3		
VED aspiração	sim	16	42.1%	0.0	0.0	0.0	0.0	0.0	0.081	-0.361*	16	42.1%	4.2	0.0	16.7	0.0	0.0	0.010	-0.497**
	alto risco de aspiração	2	5.3%	0.0	0.0	0.0	0.0	0.0			2	5.3%	0.0	0.0	0.0	0.0	0.0		
	NA	31	81.6%	4.3	0.0	10.6	0.0	0.0			31	81.6%	17.2	0.0	25.6	0.0	33.3		
VED momento de aspiração pudim	pré-deglutição	5	13.2%	0.0	0.0	0.0	0.0	0.0	0.739	-0.184	5	13.2%	0.0	0.0	0.0	0.0	0.0	0.290	-0.317
	durante deglutição	1	2.6%	0.0	0.0		0.0	0.0			1	2.6%	0.0	0.0		0.0	0.0		
	pós-deglutição	1	2.6%	0.0	0.0		0.0	0.0			1	2.6%	0.0	0.0		0.0	0.0		
	NA	25	65.8%	5.3	0.0	11.6	0.0	0.0			25	65.8%	18.7	0.0	25.6	0.0	33.3		
VED momento de aspiração líquido	pré-deglutição	2	5.3%	0.0	0.0	0.0	0.0	0.0	0.407	-0.274	2	5.3%	0.0	0.0	0.0	0.0	0.0	0.203	-0.337*
	durante deglutição	8	21.1%	0.0	0.0	0.0	0.0	0.0			8	21.1%	8.3	0.0	23.6	0.0	0.0		
	pós-deglutição	3	7.9%	0.0	0.0	0.0	0.0	0.0			3	7.9%	0.0	0.0	0.0	0.0	0.0		
	NA	32	84.2%	4.2	0.0	10.5	0.0	0.0			32	84.2%	14.6	0.0	23.8	0.0	33.3		
VED momento de aspiração bolacha	pré-deglutição	0	0.0%						0.593	-0.168	0	0.0%						0.733	-0.100
	durante deglutição	1	2.6%	0.0	0.0		0.0	0.0			1	2.6%	0.0	0.0		0.0	0.0		
	pós-deglutição	5	13.2%	0.0	0.0	0.0	0.0	0.0			5	13.2%	13.3	0.0	29.8	0.0	0.0		
VED PAS	1	21	55.3%	6.3	0.0	12.4	0.0	0.0	0.341	-0.333*	21	55.3%	22.2	33.3	26.5	0.0	33.3	0.078	-0.472**
	2	9	23.7%	0.0	0.0	0.0	0.0	0.0			9	23.7%	7.4	0.0	22.2	0.0	0.0		

		EORCT-HN43 Problemas de pele									EORCT-HN43 Perda de peso								
		N	%	Média	Mediana	DP	25	75	*p*	Correlação	N	%	Média	Mediana	DP	25	75	*p*	Correlação
	3	4	10.5%	0.0	0.0	0.0	0.0	0.0			4	10.5%	0.0	0.0	0.0	0.0	0.0		
	4	3	7.9%	0.0	0.0	0.0	0.0	0.0			3	7.9%	0.0	0.0	0.0	0.0	0.0		
	5	0	0.0%								0	0.0%							
	6	0	0.0%								0	0.0%							
	7	0	0.0%								0	0.0%							
	8	1	2.6%	0.0	0.0		0.0	0.0			1	2.6%	0.0	0.0		0.0	0.0		
	A - efetivo	6	15.8%	0.0	0.0	0.0	0.0	0.0			6	15.8%	0.0	0.0	0.0	0.0	0.0		
	B - moderadamente efetivo	5	13.2%	0.0	0.0	0.0	0.0	0.0			5	13.2%	0.0	0.0	0.0	0.0	0.0		
VED limpeza	C - ligeiramente efetivo	4	10.5%	0.0	0.0	0.0	0.0	0.0	0.341	0.331*	4	10.5%	16.7	0.0	33.4	0.0	33.4	0.054	0.474**
	D - ineficaz	2	5.3%	0.0	0.0	0.0	0.0	0.0			2	5.3%	0.0	0.0	0.0	0.0	0.0		
	NA	21	55.3%	6.3	0.0	12.4	0.0	0.0			21	55.3%	22.2	33.3	26.5	0.0	33.3		
	normal	9	23.7%	7.4	0.0	14.7	0.0	0.0			9	23.7%	18.5	0.0	33.8	0.0	33.3		
VED pudim latência	alterada	28	73.7%	2.4	0.0	7.6	0.0	0.0	0.567	-0.175	28	73.7%	13.1	0.0	21.0	0.0	33.3	0.787	-0.066
	não testado	1	2.6%	0.0	0.0		0.0	0.0			1	2.6%	0.0	0.0		0.0	0.0		
VED pudim tempo de latência										-0.190									0.071
	normal	0	0.0%								0	0.0%							
VED pudim whiteout	alterada	37	97.4%	3.6	0.0	9.8	0.0	0.0	0.698	-0.064	37	97.4%	14.4	0.0	24.3	0.0	33.3	0.503	-0.110
	não testado	1	2.6%	0.0	0.0		0.0	0.0			1	2.6%	0.0	0.0		0.0	0.0		
VED pudim tempo de encerramento das VA										-0.148									-0.272
	normal	10	26.3%	6.7	0.0	11.9	0.0	11.1			10	26.3%	16.7	0.0	23.6	0.0	33.3		
VED líquido latência	alterada	26	68.4%	2.6	0.0	9.0	0.0	0.0	0.226	-0.279	26	68.4%	14.1	0.0	25.2	0.0	33.3	0.557	-0.147
	não testado	2	5.3%	0.0	0.0	0.0	0.0	0.0			2	5.3%	0.0	0.0	0.0	0.0	0.0		
VED líquido tempo de latência										-0.247									-0.056
	normal	0	0.0%								0	0.0%							
VED líquido whiteout	alterada	36	94.7%	3.7	0.0	9.9	0.0	0.0	0.578	-0.092	36	94.7%	14.8	0.0	24.5	0.0	33.3	0.337	-0.158
	não testado	2	5.3%	0.0	0.0	0.0	0.0	0.0			2	5.3%	0.0	0.0	0.0	0.0	0.0		
VED líquido tempo de encerramento das VA										-0.219									-0.201
	normal	13	34.2%	7.7	0.0	13.1	0.0	11.1			13	34.2%	20.5	0.0	32.0	0.0	33.3		
VED bolacha latência	alterada	22	57.9%	1.5	0.0	7.1	0.0	0.0	0.082	-0.357*	22	57.9%	12.1	0.0	19.4	0.0	33.3	0.412	-0.187
	não testado	3	7.9%	0.0	0.0	0.0	0.0	0.0			3	7.9%	0.0	0.0	0.0	0.0	0.0		

		EORCT-HN43 Problemas de pele									EORCT-HN43 Perda de peso								
		N	%	Média	Mediana	DP	25	75	*p*	Correlação	N	%	Média	Mediana	DP	25	75	*p*	Correlação
VED bolacha tempo de latência										-0.380*									-0.080
VED bolacha whiteout	normal	0	0.0%								0	0.0%							
	alterada	35	92.1%	3.8	0.0	10.1	0.0	0.0	0.489	-0.114	35	92.1%	15.2	0.0	24.7	0.0	33.3	0.233	-0.196
	não testado	3	7.9%	0.0	0.0	0.0	0.0	0.0			3	7.9%	0.0	0.0	0.0	0.0	0.0		
VED bolacha tempo de encerramento das VA										-0.332									0.019

Tabela 150 - Medidas descritivas, análise de correlação e diferenças estatísticas entre as variáveis da avaliação por VED componente funcional e as escalas ansiedade e problemas na cicatrização de feridas, do questionário da EORTC QLQ-HN43.

		EORCT-HN43 Ansiedade									EORCT-HN43 Problemas na cicatrização de feridas								
		N	%	Média	Mediana	DP	25	75	*p*	Correlação	N	%	Média	Mediana	DP	25	75	*p*	Correlação
VED acesso	direita	24	63.2%	24.3	16.7	23.6	0.0	33.3	0.198	-0.214	24	63.2%	1.4	0.0	6.8	0.0	0.0	0.275	0.182
	esquerda	14	36.8%	16.7	16.7	21.7	0.0	16.7			14	36.8%	7.1	0.0	19.3	0.0	0.0		
VED nasofaringe EVF anatomia	presente	36	94.7%	20.8	16.7	21.9	0.0	33.3	0.807	0.041	36	94.7%	3.7	0.0	13.3	0.0	0.0	0.670	-0.071
	ausente	2	5.3%	33.4	33.4	47.2	0.0	66.7			2	5.3%	0.0	0.0	0.0	0.0	0.0		
VED nasofaringe EVF deglutição de saliva	presente	38	100.0%	21.5	16.7	22.9	0.0	33.3			38	100.0%	3.5	0.0	12.9	0.0	0.0		
	ausente	0	0.0%								0	0.0%							
VED nasofaringe EVF som e sílaba	presente	37	97.4%	20.3	16.7	21.9	0.0	33.3	0.119	0.260	37	97.4%	3.6	0.0	13.1	0.0	0.0	0.767	-0.049
	ausente	1	2.6%	66.7	66.7		66.7	66.7			1	2.6%	0.0	0.0		0.0	0.0		
VED nasofaringe EVF fala	presente	37	97.4%	20.3	16.7	21.9	0.0	33.3	0.119	0.260	37	97.4%	3.6	0.0	13.1	0.0	0.0	0.767	-0.049
	ausente	1	2.6%	66.7	66.7		66.7	66.7			1	2.6%	0.0	0.0		0.0	0.0		
VED oro/hipofaringe anatomia	presente	4	10.5%	4.2	0.0	8.4	0.0	8.4	0.140	0.246	4	10.5%	0.0	0.0	0.0	0.0	0.0	0.597	0.088
	ausente	34	89.5%	23.5	16.7	23.2	0.0	33.3			34	89.5%	3.9	0.0	13.6	0.0	0.0		
VED oro/hipofaringe Movimento da base da língua	presente	34	89.5%	23.0	16.7	23.6	0.0	33.3	0.435	-0.130	34	89.5%	3.9	0.0	13.6	0.0	0.0	0.435	-0.088
	ausente	4	10.5%	8.4	8.4	9.6	0.0	16.7			4	10.5%	0.0	0.0	0.0	0.0	0.0		
VED oro/hipofaringe resíduo nas valéculas	presente	25	65.8%	21.3	16.7	23.3	0.0	33.3	0.960	0.008	25	65.8%	4.0	0.0	14.7	0.0	0.0	0.920	-0.017
	ausente	13	34.2%	21.8	16.7	22.9	0.0	33.3			13	34.2%	2.6	0.0	9.2	0.0	0.0		
VED oro/hipofaringe resíduos nos seios piriformes	presente	20	52.6%	22.5	16.7	24.3	0.0	33.3	0.740	-0.055	20	52.6%	5.0	0.0	16.3	0.0	0.0	0.563	-0.096
	ausente	18	47.4%	20.4	16.7	21.8	0.0	33.3			18	47.4%	1.9	0.0	7.8	0.0	0.0		
VED oro/hipofaringe produção /i/	presente	38	100.0%	21.5	16.7	22.9	0.0	33.3			38	100.0%	3.5	0.0	12.9	0.0	0.0		
	ausente	0	0.0%								0	0.0%							
VED oro/hipofaringe manipulação de secreções	presente	35	92.1%	22.4	16.7	23.5	0.0	33.3	0.944	-0.012	35	92.1%	3.8	0.0	13.5	0.0	0.0	0.670	-0.071
	ausente	3	7.9%	11.1	16.7	9.6	0.0	16.7			3	7.9%	0.0	0.0	0.0	0.0	0.0		
VED laringe anatomia	presente	3	7.9%	5.6	0.0	9.6	0.0	16.7	0.364	0.151	3	7.9%	0.0	0.0	0.0	0.0	0.0	0.670	0.071
	ausente	35	92.1%	22.9	16.7	23.2	0.0	33.3			35	92.1%	3.8	0.0	13.5	0.0	0.0		
VED laringe fala	presente	38	100.0%	21.5	16.7	22.9	0.0	33.3			38	100.0%	3.5	0.0	12.9	0.0	0.0		
	ausente	0	0.0%								0	0.0%							
VED laringe deglutição de saliva	presente	36	94.7%	22.2	16.7	23.2	0.0	33.3	0.961	-0.008	36	94.7%	3.7	0.0	13.3	0.0	0.0	0.767	-0.049
	ausente	2	5.3%	8.4	8.4	11.8	0.0	16.7			2	5.3%	0.0	0.0	0.0	0.0	0.0		
VED laringe produção /i/	presente	38	100.0%	21.5	16.7	22.9	0.0	33.3			38	100.0%	3.5	0.0	12.9	0.0	0.0		
	ausente	0	0.0%								0	0.0%							
VED laringe tosse voluntária	presente	38	100.0%	21.5	16.7	22.9	0.0	33.3			38	100.0%	3.5	0.0	12.9	0.0	0.0		
	ausente	0	0.0%								0	0.0%							
VED laringe apneia	presente	38	100.0%	21.5	16.7	22.9	0.0	33.3			38	100.0%	3.5	0.0	12.9	0.0	0.0		

		EORCT-HN43 Ansiedade									EORCT-HN43 Problemas na cicatrização de feridas								
		N	%	Média	Mediana	DP	25	75	*p*	Correlação	N	%	Média	Mediana	DP	25	75	*p*	Correlação
	ausente	0	0.0%								0	0.0%							
VED sensibilidade da base da língua	presente	34	89.5%	23.0	16.7	23.6	0.0	33.3	0.435	-0.130	34	89.5%	3.9	0.0	13.6	0.0	0.0	0.597	-0.088
	ausente	4	10.5%	8.4	8.4	9.6	0.0	16.7			4	10.5%	0.0	0.0	0.0	0.0	0.0		
VED sensibilidade nas aritnóides	presente								0.255	-0.130								0.801	-0.088
	ausente																		
VED pudim escape prematuro	ausente	32	84.2%	22.4	16.7	24.2	0.0	33.3			32	84.2%	3.1	0.0	13.0	0.0	0.0		
	presente	5	13.2%	20.0	16.7	13.9	16.7	33.3	0.835	0.035	5	13.2%	6.7	0.0	14.9	0.0	0.0	0.324	0.164
	não testado	1	2.6%	0.0	0.0		0.0	0.0			1	2.6%	0.0	0.0		0.0	0.0		
VED pudim resíduos nas valéculas	sem resíduo	11	28.9%	25.8	16.7	22.8	16.7	33.3			11	28.9%	9.1	0.0	21.6	0.0	0.0		
	resíduo ligeira a moderado	24	63.2%	21.5	16.7	23.8	0.0	33.3	0.417	-0.237	24	63.2%	1.4	0.0	6.8	0.0	0.0	0.503	-0.245
	resíduo severo	2	5.3%	8.4	8.4	11.8	0.0	16.7			2	5.3%	0.0	0.0	0.0	0.0	0.0		
	não testado	1	2.6%	0.0	0.0		0.0	0.0			1	2.6%	0.0	0.0		0.0	0.0		
VED pudim resíduos nos seios piriformes	sem resíduo	22	57.9%	22.7	16.7	24.4	0.0	33.3			22	57.9%	6.1	0.0	16.7	0.0	0.0		
	resíduo ligeira a moderado	12	31.6%	23.6	16.7	23.0	0.0	41.7	0.567	-0.101	12	31.6%	0.0	0.0	0.0	0.0	0.0	0.512	-0.243
	resíduo severo	3	7.9%	11.1	16.7	9.6	0.0	16.7			3	7.9%	0.0	0.0	0.0	0.0	0.0		
	não testado	1	2.6%	0.0	0.0		0.0	0.0			1	2.6%	0.0	0.0		0.0	0.0		
VED pudim resíduo na parede faríngea	sem resíduo	26	68.4%	21.8	16.7	23.0	0.0	33.3			26	68.4%	5.1	0.0	15.5	0.0	0.0		
	resíduo ligeira a moderado	10	26.3%	23.3	16.7	25.1	0.0	50.0	0.703	-0.061	10	26.3%	0.0	0.0	0.0	0.0	0.0	0.691	-0.197
	resíduo severo	1	2.6%	16.7	16.7		16.7	16.7			1	2.6%	0.0	0.0		0.0	0.0		
	não testado	1	2.6%	0.0	0.0		0.0	0.0			1	2.6%	0.0	0.0		0.0	0.0		
VED pudim n.º de deglutições	1 deglutição	28	73.7%	23.8	16.7	24.6	0.0	33.3			28	73.7%	4.8	0.0	14.9	0.0	0.0		
	1+1 adicional	0	0.0%								0	0.0%							
	1+2 adicionais	5	13.2%	23.3	16.7	19.0	16.7	33.3	0.527	-0.185	5	13.2%	0.0	0.0	0.0	0.0	0.0	0.889	-0.173
	1+3 adicionais	2	5.3%	8.4	8.4	11.8	0.0	16.7			2	5.3%	0.0	0.0	0.0	0.0	0.0		
	1+4ou mais adicionais	2	5.3%	8.4	8.4	11.8	0.0	16.7			2	5.3%	0.0	0.0	0.0	0.0	0.0		
	não testado	1	2.6%	0.0	0.0		0.0	0.0			1	2.6%	0.0	0.0		0.0	0.0		
VED pudim reage sem tosse	ausente	34	89.5%	22.6	16.7	23.5	0.0	33.3			34	89.5%	3.9	0.0	13.6	0.0	0.0		
	presente	3	7.9%	16.7	16.7	16.7	0.0	33.3	0.482	-0.133	3	7.9%	0.0	0.0	0.0	0.0	0.0	0.830	-0.100
	não testado	1	2.6%	0.0	0.0		0.0	0.0			1	2.6%	0.0	0.0		0.0	0.0		
VED pudim função vocal	ausente	0	0.0%								0	0.0%							
	presente	37	97.4%	22.1	16.7	22.9	0.0	33.3	0.235	-0.195	37	97.4%	3.6	0.0	13.1	0.0	0.0	0.770	-0.048
	não testado	1	2.6%	0.0	0.0		0.0	0.0			1	2.6%	0.0	0.0		0.0	0.0		
VED líquido escape prematuro	ausente	24	63.2%	18.8	16.7	19.8	0.0	33.3			24	63.2%	4.2	0.0	15.0	0.0	0.0		
	presente	12	31.6%	29.2	25.0	28.5	0.0	50.0	0.448	0.073	12	31.6%	2.8	0.0	9.6	0.0	0.0	0.915	-0.036
	não testado	2	5.3%	8.4	8.4	11.8	0.0	16.7			2	5.3%	0.0	0.0	0.0	0.0	0.0		
VED líquido resíduos nas valéculas	sem resíduo	13	34.2%	23.1	16.7	22.1	16.7	33.3	0.402	-0.083	13	34.2%	10.3	0.0	21.0	0.0	0.0	0.107	-0.381*

		EORCT-HN43 Ansiedade									EORCT-HN43 Problemas na cicatrização de feridas								
		N	%	Média	Mediana	DP	25	75	*p*	Correlação	N	%	Média	Mediana	DP	25	75	*p*	Correlação
	resíduo ligeira a moderado	22	57.9%	20.5	16.7	24.1	0.0	33.3			22	57.9%	0.0	0.0	0.0	0.0	0.0		
	resíduo severo	1	2.6%	50.0	50.0		50.0	50.0			1	2.6%	0.0	0.0		0.0	0.0		
	não testado	2	5.3%	8.4	8.4	11.8	0.0	16.7			2	5.3%	0.0	0.0	0.0	0.0	0.0		
VED líquido resíduo nos seios piriformes	sem resíduo	23	60.5%	22.5	16.7	23.9	0.0	33.3	0.442	-0.050	23	60.5%	5.8	0.0	16.4	0.0	0.0	0.559	-0.231
	resíduo ligeira a moderado	12	31.6%	19.5	16.7	22.3	0.0	33.3			12	31.6%	0.0	0.0	0.0	0.0	0.0		
	resíduo severo	1	2.6%	50.0	50.0		50.0	50.0			1	2.6%	0.0	0.0		0.0	0.0		
	não testado	2	5.3%	8.4	8.4	11.8	0.0	16.7			2	5.3%	0.0	0.0	0.0	0.0	0.0		
VED líquido resíduo na parede faríngea	sem resíduo	32	84.2%	21.4	16.7	23.3	0.0	33.3	0.467	0.020	32	84.2%	4.2	0.0	14.0	0.0	0.0	0.898	-0.126
	resíduo ligeira a moderado	3	7.9%	22.2	16.7	25.5	0.0	50.0			3	7.9%	0.0	0.0	0.0	0.0	0.0		
	resíduo severo	1	2.6%	50.0	50.0		50.0	50.0			1	2.6%	0.0	0.0		0.0	0.0		
	não testado	2	5.3%	8.4	8.4	11.8	0.0	16.7			2	5.3%	0.0	0.0	0.0	0.0	0.0		
VED líquido n.º de deglutições	1 deglutição	31	81.6%	21.5	16.7	24.0	0.0	33.3	0.488	0.047	31	81.6%	3.2	0.0	13.2	0.0	0.0	0.419	0.105
	1+1 adicional	0	0.0%								0	0.0%							
	1+2 adicionais	2	5.3%	16.7	16.7	23.5	0.0	33.3			2	5.3%	0.0	0.0	0.0	0.0	0.0		
	1+3 adicionais	3	7.9%	33.3	33.3	16.7	16.7	50.0			3	7.9%	11.1	0.0	19.2	0.0	33.3		
	1+4ou mais adicionais	0	0.0%								0	0.0%							
	não testado	2	5.3%	8.4	8.4	11.8	0.0	16.7			2	5.3%	0.0	0.0	0.0	0.0	0.0		
VED líquido reage sem tosse	ausente	34	89.5%	22.1	16.7	23.1	0.0	33.3	0.694	-0.092	34	89.5%	3.9	0.0	13.6	0.0	0.0	0.830	-0.100
	presente	2	5.3%	25.0	25.0	35.4	0.0	50.0			2	5.3%	0.0	0.0	0.0	0.0	0.0		
	não testado	2	5.3%	8.4	8.4	11.8	0.0	16.7			2	5.3%	0.0	0.0	0.0	0.0	0.0		
VED líquido função vocal	ausente	0	0.0%						0.395	-0.140	0	0.0%						0.675	-0.069
	presente	36	94.7%	22.2	16.7	23.2	0.0	33.3			36	94.7%	3.7	0.0	13.3	0.0	0.0		
	não testado	2	5.3%	8.4	8.4	11.8	0.0	16.7			2	5.3%	0.0	0.0	0.0	0.0	0.0		
VED bolacha escape prematuro	ausente	33	86.8%	22.7	16.7	23.9	0.0	33.3	0.756	-0.117	33	86.8%	4.0	0.0	13.8	0.0	0.0	0.787	-0.114
	presente	2	5.3%	16.7	16.7	23.5	0.0	33.3			2	5.3%	0.0	0.0	0.0	0.0	0.0		
	não testado	3	7.9%	11.1	16.7	9.6	0.0	16.7			3	7.9%	0.0	0.0	0.0	0.0	0.0		
VED bolacha resíduo nas valéculas	sem resíduo	2	5.3%	25.0	25.0	11.7	16.7	33.3	0.724	-0.184	2	5.3%	0.0	0.0	0.0	0.0	0.0	0.318	-0.234
	resíduo ligeira a moderado	18	47.4%	26.9	16.7	29.2	0.0	50.0			18	47.4%	7.4	0.0	18.3	0.0	0.0		
	resíduo severo	15	39.5%	16.7	16.7	15.4	0.0	33.3			15	39.5%	0.0	0.0	0.0	0.0	0.0		
	não testado	3	7.9%	11.1	16.7	9.6	0.0	16.7			3	7.9%	0.0	0.0	0.0	0.0	0.0		
VED bolacha resíduo nos seios piriformes	sem resíduo	14	36.8%	25.0	16.7	29.0	0.0	33.3	0.704	-0.110	14	36.8%	4.8	0.0	17.8	0.0	0.0	0.871	-0.047
	resíduo ligeira a moderado	18	47.4%	22.2	16.7	19.8	0.0	33.3			18	47.4%	3.7	0.0	10.8	0.0	0.0		
	resíduo severo	3	7.9%	11.1	0.0	19.2	0.0	33.3			3	7.9%	0.0	0.0	0.0	0.0	0.0		
	não testado	3	7.9%	11.1	16.7	9.6	0.0	16.7			3	7.9%	0.0	0.0	0.0	0.0	0.0		
VED bolacha resíduo na parede faríngea	sem resíduo	6	15.8%	41.7	33.3	23.0	33.3	50.0	0.053	-0.421**	6	15.8%	11.1	0.0	27.2	0.0	0.0	0.774	-0.172
	resíduo ligeira a moderado	28	73.7%	19.1	16.7	22.1	0.0	33.3			28	73.7%	2.4	0.0	8.7	0.0	0.0		

		EORCT-HN43 Ansiedade									EORCT-HN43 Problemas na cicatrização de feridas								
		N	%	Média	Mediana	DP	25	75	*p*	Correlação	N	%	Média	Mediana	DP	25	75	*p*	Correlação
	resíduo severo	1	2.6%	0.0	0.0		0.0	0.0			1	2.6%	0.0	0.0		0.0	0.0		
	não testado	3	7.9%	11.1	16.7	9.6	0.0	16.7			3	7.9%	0.0	0.0	0.0	0.0	0.0		
VED bolacha n.º de deglutições	1 deglutição	2	5.3%	0.0	0.0	0.0	0.0	0.0	0.270	-0.093	2	5.3%	0.0	0.0	0.0	0.0	0.0	0.620	-0.089
	1+1 adicional	0	0.0%								0	0.0%							
	1+2 adicionais	13	34.2%	29.5	16.7	24.7	16.7	33.3			13	34.2%	7.7	0.0	20.0	0.0	0.0		
	1+3 adicionais	12	31.6%	20.8	16.7	25.7	0.0	33.3			12	31.6%	0.0	0.0	0.0	0.0	0.0		
	1+4ou mais adicionais	8	21.1%	18.8	16.7	18.8	0.0	33.3			8	21.1%	4.2	0.0	11.8	0.0	0.0		
	não testado	3	7.9%	11.1	16.7	9.6	0.0	16.7			3	7.9%	0.0	0.0	0.0	0.0	0.0		
VED bolacha reage sem tosse	ausente	34	89.5%	23.0	16.7	23.6	0.0	33.3	0.370	-0.198	34	89.5%	3.9	0.0	13.6	0.0	0.0	0.830	-0.100
	presente	1	2.6%	0.0	0.0		0.0	0.0			1	2.6%	0.0	0.0		0.0	0.0		
	não testado	3	7.9%	11.1	16.7	9.6	0.0	16.7			3	7.9%	0.0	0.0	0.0	0.0	0.0		
VED bolacha função vocal	ausente	0	0.0%						0.481	-0.116	0	0.0%						0.602	-0.086
	presente	35	92.1%	22.4	16.7	23.5	0.0	33.3			35	92.1%	3.8	0.0	13.5	0.0	0.0		
	não testado	3	7.9%	11.1	16.7	9.6	0.0	16.7			3	7.9%	0.0	0.0	0.0	0.0	0.0		
VED aspiração	não	20	52.6%	26.7	16.7	23.2	16.7	33.3	0.169	-0.310	20	52.6%	6.7	0.0	17.4	0.0	0.0	0.241	-0.272
	sim	16	42.1%	16.7	0.0	22.8	0.0	33.3			16	42.1%	0.0	0.0	0.0	0.0	0.0		
	alto risco de aspiração	2	5.3%	8.4	8.4	11.8	0.0	16.7			2	5.3%	0.0	0.0	0.0	0.0	0.0		
VED momento de aspiração pudim	NA	31	81.6%	21.0	16.7	22.7	0.0	33.3	0.576	0.051	31	81.6%	4.3	0.0	14.3	0.0	0.0	0.870	-0.138
	pré-deglutição	5	13.2%	20.0	16.7	27.4	0.0	16.7			5	13.2%	0.0	0.0	0.0	0.0	0.0		
	durante deglutição	1	2.6%	50.0	50.0		50.0	50.0			1	2.6%	0.0	0.0		0.0	0.0		
	pós-deglutição	1	2.6%	16.7	16.7		16.7	16.7			1	2.6%	0.0	0.0		0.0	0.0		
VED momento de aspiração líquido	NA	25	65.8%	22.0	16.7	22.9	0.0	33.3	0.748	-0.051	25	65.8%	5.3	0.0	15.8	0.0	0.0	0.649	-0.206
	pré-deglutição	2	5.3%	8.4	8.4	11.8	0.0	16.7			2	5.3%	0.0	0.0	0.0	0.0	0.0		
	durante deglutição	8	21.1%	25.0	25.0	25.2	0.0	41.7			8	21.1%	0.0	0.0	0.0	0.0	0.0		
	pós-deglutição	3	7.9%	16.7	0.0	28.9	0.0	50.0			3	7.9%	0.0	0.0	0.0	0.0	0.0		
VED momento de aspiração bolacha	NA	32	84.2%	21.9	16.7	23.3	0.0	33.3	0.472	-0.015	32	84.2%	4.2	0.0	14.0	0.0	0.0	0.743	-0.126
	pré-deglutição	0	0.0%								0	0.0%							
	durante deglutição	1	2.6%	0.0	0.0		0.0	0.0			1	2.6%	0.0	0.0		0.0	0.0		
	pós-deglutição	5	13.2%	23.3	33.3	22.4	0.0	33.3			5	13.2%	0.0	0.0	0.0	0.0	0.0		
VED PAS	1	21	55.3%	25.4	16.7	23.3	16.7	33.3	0.074	-0.165	21	55.3%	6.3	0.0	17.1	0.0	0.0	0.633	-0.251
	2	9	23.7%	13.0	0.0	20.0	0.0	33.3			9	23.7%	0.0	0.0	0.0	0.0	0.0		
	3	4	10.5%	4.2	0.0	8.4	0.0	8.4			4	10.5%	0.0	0.0	0.0	0.0	0.0		

		EORCT-HN43 Ansiedade									EORCT-HN43 Problemas na cicatrização de feridas								
		N	%	Média	Mediana	DP	25	75	*p*	Correlação	N	%	Média	Mediana	DP	25	75	*p*	Correlação
	4	3	7.9%	44.5	50.0	25.5	16.7	66.7			3	7.9%	0.0	0.0	0.0	0.0	0.0		
	5	0	0.0%								0	0.0%							
	6	0	0.0%								0	0.0%							
	7	0	0.0%								0	0.0%							
	8	1	2.6%	16.7	16.7		16.7	16.7			1	2.6%	0.0	0.0		0.0	0.0		
VED limpeza	A - efetivo	6	15.8%	22.2	16.7	25.1	0.0	50.0			6	15.8%	0.0	0.0	0.0	0.0	0.0		
	B - moderadamente efetivo	5	13.2%	6.7	0.0	9.1	0.0	16.7			5	13.2%	0.0	0.0	0.0	0.0	0.0		
	C - ligeiramente efetivo	4	10.5%	25.0	16.7	31.9	0.0	50.0	0.390	-0.205	4	10.5%	0.0	0.0	0.0	0.0	0.0	0.633	0.250
	D - ineficaz	2	5.3%	8.4	8.4	11.8	0.0	16.7			2	5.3%	0.0	0.0	0.0	0.0	0.0		
	NA	21	55.3%	25.4	16.7	23.3	16.7	33.3			21	55.3%	6.3	0.0	17.1	0.0	0.0		
VED pudim latência	normal	9	23.7%	37.0	16.7	28.6	16.7	50.0			9	23.7%	11.1	0.0	23.6	0.0	0.0		
	alterada	28	73.7%	17.3	16.7	19.0	0.0	33.3	0.061	-0.384*	28	73.7%	1.2	0.0	6.3	0.0	0.0	0.184	-0.296
	não testado	1	2.6%	0.0	0.0		0.0	0.0			1	2.6%	0.0	0.0		0.0	0.0		
VED pudim tempo de latência										-0.092									-0.320
VED pudim whiteout	normal	0	0.0%								0	0.0%							
	alterada	37	97.4%	22.1	16.7	22.9	0.0	33.3	0.235	-0.195	37	97.4%	3.6	0.0	13.1	0.0	0.0	0.770	-0.048
	não testado	1	2.6%	0.0	0.0		0.0	0.0			1	2.6%	0.0	0.0		0.0	0.0		
VED pudim tempo de encerramento das VA										-0.058									0.230
VED líquido latência	normal	10	26.3%	15.0	8.4	18.3	0.0	33.3			10	26.3%	0.0	0.0	0.0	0.0	0.0		
	alterada	26	68.4%	25.0	16.7	24.6	0.0	33.3	0.367	0.097	26	68.4%	5.1	0.0	15.5	0.0	0.0	0.482	0.138
	não testado	2	5.3%	8.4	8.4	11.8	0.0	16.7			2	5.3%	0.0	0.0	0.0	0.0	0.0		
VED líquido tempo de latência										0.105									0.008
VED líquido whiteout	normal	0	0.0%								0	0.0%							
	alterada	36	94.7%	22.2	16.7	23.2	0.0	33.3	0.395	-0.140	36	94.7%	3.7	0.0	13.3	0.0	0.0	0.675	-0.069
	não testado	2	5.3%	8.4	8.4	11.8	0.0	16.7			2	5.3%	0.0	0.0	0.0	0.0	0.0		
VED líquido tempo de encerramento das VA										-0.093									-0.065
VED bolacha latência	normal	13	34.2%	19.2	16.7	25.3	0.0	33.3			13	34.2%	2.6	0.0	9.2	0.0	0.0		
	alterada	22	57.9%	24.2	16.7	22.8	0.0	33.3	0.510	0.066	22	57.9%	4.5	0.0	15.6	0.0	0.0	0.859	-0.021
	não testado	3	7.9%	11.1	16.7	9.6	0.0	16.7			3	7.9%	0.0	0.0	0.0	0.0	0.0		

		EORCT-HN43 Ansiedade									EORCT-HN43 Problemas na cicatrização de feridas								
		N	%	Média	Mediana	DP	25	75	*p*	Correlação	N	%	Média	Mediana	DP	25	75	*p*	Correlação
VED bolacha tempo de latência										0.032									-0.037
VED bolacha whiteout	normal	0	0.0%								0	0.0%							
	alterada	35	92.1%	22.4	16.7	23.5	0.0	33.3	0.481	-0.116	35	92.1%	3.8	0.0	13.5	0.0	0.0	0.602	-0.086
	não testado	3	7.9%	11.1	16.7	9.6	0.0	16.7			3	7.9%	0.0	0.0	0.0	0.0	0.0		
VED bolacha tempo de encerramento das VA										-0.167									-0.052

Tabela 151 - Medidas descritivas, análise de correlação e diferenças estatísticas entre as variáveis da avaliação anatómica e componente funcional da VED e as escalas problemas neurológicos, resultado final e categorial, do questionário da EORTC QLQ-HN43.

		EORCT-HN43 Problemas neurológicos									QLQ-HN43 Resultado total									Cat_QLQHN43					
																				alterado		normal			
		N	%	Média	Mediana	DP	25	75	*p*	Correlação	N	%	Média	Mediana	DP	25	75	*p*	Correlação	N	%	N	%	*p*	Correlação
VED acesso	direita	24	63.2%	16.7	0.0	19.7	0.0	33.3	0.554	-0.099	24	63.2%	14.4	12.0	9.7	6.5	20.9	0.188	-0.219	14	73.7%	10	52.6%		0.218
	esquerda	14	36.8%	16.7	0.0	28.5	0.0	33.3			14	36.8%	11.6	7.7	11.4	4.8	12.9			5	26.3%	9	47.4%		
VED nasofaringe EVF anatomia	presente	36	94.7%	17.6	0.0	23.2	0.0	33.3	0.249	-0.192	36	94.7%	13.4	9.5	10.6	5.0	19.2	0.712	0.062	17	89.5%	19	100.0%	0.256	-0.236
	ausente	2	5.3%	0.0	0.0	0.0	0.0	0.0			2	5.3%	13.1	13.1	3.1	10.9	15.3			2	10.5%	0	0.0%		
VED nasofaringe EVF deglutição de saliva	presente	38	100.0%	16.7	0.0	22.9	0.0	33.3			38	100.0%	13.3	10.2	10.3	5.2	18.6			19	100.0%	19	100.0%		
	ausente	0	0.0%								0	0.0%								0	0.0%	0	0.0%		
VED nasofaringe EVF som e sílaba	presente	37	97.4%	17.1	0.0	23.1	0.0	33.3	0.421	-0.134	37	97.4%	13.4	9.6	10.4	5.2	18.6	1.000	.000	18	94.7%	19	100.0%	0.526	-0.164
	ausente	1	2.6%	0.0	0.0		0.0	0.0			1	2.6%	10.9	10.9		10.9	10.9			1	5.3%	0	0.0%		
VED nasofaringe EVF fala	presente	37	97.4%	17.1	0.0	23.1	0.0	33.3	0.421	-0.134	37	97.4%	13.4	9.6	10.4	5.2	18.6	1.000	0.000	18	94.7%	19	100.0%	0.526	-0.164
	ausente	1	2.6%	0.0	0.0		0.0	0.0			1	2.6%	10.9	10.9		10.9	10.9			1	5.3%	0	0.0%		
VED oro/hipofaringe anatomia	presente	4	10.5%	0.0	0.0	0.0	0.0	0.0	0.152	0.239	4	10.5%	5.6	4.0	3.9	3.1	8.1	0.182	0.223	1	5.3%	3	15.8%	0.394	0.171
	ausente	34	89.5%	18.6	0.0	23.5	0.0	33.3			34	89.5%	14.2	11.1	10.5	7.1	19.8			18	94.7%	16	84.2%		
VED oro/hipofaringe Movimento da base da língua	presente	34	89.5%	17.6	0.0	23.6	0.0	33.3	0.597	-0.064	34	89.5%	13.5	10.2	10.3	6.4	18.6	0.702	0.037	17	89.5%	17	89.5%	0.766	0.000
	ausente	4	10.5%	8.3	0.0	16.7	0.0	16.7			4	10.5%	12.1	8.1	11.9	3.9	20.3			2	10.5%	2	10.5%		
VED oro/hipofaringe resíduo nas valéculas	presente	25	65.8%	13.3	0.0	19.2	0.0	33.3	0.382	0.146	25	65.8%	11.0	9.6	8.3	4.7	15.3	0.139	0.247	12	63.2%	13	68.4%	0.785	-0.055
	ausente	13	34.2%	23.1	0.0	28.5	0.0	33.3			13	34.2%	17.8	16.6	12.5	7.7	23.5			7	36.8%	6	31.6%		
VED oro/hipofaringe resíduos nos seios piriformes	presente	20	52.6%	13.3	0.0	19.9	0.0	33.3	0.497	0.113	20	52.6%	10.6	9.6	8.2	3.7	14.1	0.162	0.233	10	52.6%	10	52.6%	1.000	0.000
	ausente	18	47.4%	20.4	0.0	25.9	0.0	33.3			18	47.4%	16.3	13.1	11.7	7.1	23.5			9	47.4%	9	47.4%		
VED oro/hipofaringe produção /i/	presente	38	100.0%	16.7	0.0	22.9	0.0	33.3			38	100.0%	13.3	10.2	10.3	5.2	18.6			19	100.0%	19	100.0%		
	ausente	0	0.0%								0	0.0%								0	0.0%	0	0.0%		
VED oro/hipofaringe manipulação de secreções	presente	35	92.1%	17.1	0.0	23.4	0.0	33.3	0.908	0.019	35	92.1%	13.2	9.6	10.2	5.2	18.6	0.282	0.179	17	89.5%	18	94.7%	0.644	-0.098
	ausente	3	7.9%	11.1	0.0	19.2	0.0	33.3			3	7.9%	14.5	11.4	13.3	3.1	29.1			2	10.5%	1	5.3%		
VED laringe anatomia	presente	3	7.9%	0.0	0.0	0.0	0.0	0.0	0.249	0.192	3	7.9%	5.9	3.2	4.8	3.1	11.4	0.420	0.134	1	5.3%	2	10.5%	0.644	-0.098
	ausente	35	92.1%	18.1	0.0	23.4	0.0	33.3			35	92.1%	14.0	10.9	10.4	6.4	19.8			18	94.7%	17	89.5%		
VED laringe fala	presente	38	100.0%	16.7	0.0	22.9	0.0	33.3			38	100.0%	13.3	10.2	10.3	5.2	18.6			19	100.0%	19	100.0%		
	ausente	0	0.0%								0	0.0%								0	0.0%	0	0.0%		
VED laringe deglutição de saliva	presente	36	94.7%	16.7	0.0	23.2	0.0	33.3	0.334	0.161	36	94.7%	13.2	10.2	10.1	5.8	18.5	0.190	0.219	18	94.7%	18	94.7%	1.000	0.000
	ausente	2	5.3%	16.7	16.7	23.5	0.0	33.3			2	5.3%	16.1	16.1	18.4	3.1	29.1			1	5.3%	1	5.3%		
VED laringe produção /i/	presente	38	100.0%	16.7	0.0	22.9	0.0	33.3			38	100.0%	13.3	10.2	10.3	5.2	18.6			19	100.0%	19	100.0%		
	ausente	0	0.0%								0	0.0%								0	0.0%	0	0.0%		
	presente	38	100.0%	16.7	0.0	22.9	0.0	33.3			38	100.0%	13.3	10.2	10.3	5.2	18.6			19	100.0%	19	100.0%		

		EORCT-HN43 Problemas neurológicos									QLQ-HN43 Resultado total									Cat_QLQHN43					
																				alterado		normal		*p*	Correlação
		N	%	Média	Mediana	DP	25	75	*p*	Correlação	N	%	Média	Mediana	DP	25	75	*p*	Correlação	N	%	N	%		
VED laringe tosse voluntária	ausente	0	0.0%								0	0.0%								0	0.0%	0	0.0%		
VED laringe apneia	presente	38	100.0%	16.7	0.0	22.9	0.0	33.3			38	100.0%	13.3	10.2	10.3	5.2	18.6			19	100.0%	19	100.0%		
	ausente	0	0.0%								0	0.0%								0	0.0%	0	0.0%		
VED sensibilidade da base da língua	presente	34	89.5%	17.6	0.0	23.6	0.0	33.3	0.702	-0.064	34	89.5%	13.5	10.2	10.3	6.4	18.6	0.824	0.037	17	89.5%	17	89.5%	1.000	0.000
	ausente	4	10.5%	8.3	0.0	16.7	0.0	16.7			4	10.5%	12.1	8.1	11.9	3.9	20.3			2	10.5%	2	10.5%		
VED sensibilidade nas aritnóides	presente								0.566	-0.064								0.697	0.037					1.000	0.000
	ausente																								
VED pudim escape prematuro	ausente	32	84.2%	16.7	0.0	22.4	0.0	33.3			32	84.2%	13.6	10.2	10.3	6.8	18.5			16	84.2%	16	84.2%		
	presente	5	13.2%	20.0	0.0	29.8	0.0	33.3	0.879	0.025	5	13.2%	13.4	11.4	11.1	4.7	19.8	0.894	-0.022	3	15.8%	2	10.5%	0.558	0.011
	não testado	1	2.6%	0.0	0.0		0.0	0.0			1	2.6%	3.1	3.1		3.1	3.1			0	0.0%	1	5.3%		
VED pudim resíduos nas valéculas	sem resíduo	11	28.9%	27.3	33.3	25.0	0.0	33.3			11	28.9%	17.6	12.9	12.7	7.7	30.4			6	31.6%	5	26.3%		
	resíduo ligeira a moderado	24	63.2%	13.9	0.0	21.8	0.0	33.3	0.188	-0.357*	24	63.2%	12.3	10.2	9.1	5.0	18.5	0.293	-0.289	12	63.2%	12	63.2%	0.786	0.090
	resíduo severo	2	5.3%	0.0	0.0	0.0	0.0	0.0			2	5.3%	8.1	8.1	4.7	4.7	11.4			1	5.3%	1	5.3%		
	não testado	1	2.6%	0.0	0.0		0.0	0.0			1	2.6%	3.1	3.1		3.1	3.1			0	0.0%	1	5.3%		
VED pudim resíduos nos seios piriformes	sem resíduo	22	57.9%	22.7	16.7	26.0	0.0	33.3			22	57.9%	15.1	9.5	11.5	7.1	22.0			10	52.6%	12	63.2%		
	resíduo ligeira a moderado	12	31.6%	8.3	0.0	15.1	0.0	16.7	0.334	-0.285	12	31.6%	10.5	11.1	6.9	3.7	15.3	0.426	-0.178	7	36.8%	5	26.3%	0.615	-0.087
	resíduo severo	3	7.9%	11.1	0.0	19.2	0.0	33.3			3	7.9%	15.1	11.4	12.6	4.7	29.1			2	10.5%	1	5.3%		
	não testado	1	2.6%	0.0	0.0		0.0	0.0			1	2.6%	3.1	3.1		3.1	3.1			0	0.0%	1	5.3%		
VED pudim resíduo na parede faríngea	sem resíduo	26	68.4%	19.2	0.0	25.3	0.0	33.3			26	68.4%	14.1	9.2	11.4	5.2	22.0			11	57.9%	15	78.9%		
	resíduo ligeira a moderado	10	26.3%	13.3	0.0	17.2	0.0	33.3	0.691	-0.151	10	26.3%	12.7	12.0	7.6	7.1	15.3	0.617	-0.053	7	36.8%	3	15.8%	0.250	-0.209
	resíduo severo	1	2.6%	0.0	0.0		0.0	0.0			1	2.6%	11.4	11.4		11.4	11.4			1	5.3%	0	0.0%		
	não testado	1	2.6%	0.0	0.0		0.0	0.0			1	2.6%	3.1	3.1		3.1	3.1			0	0.0%	1	5.3%		
VED pudim n.º de deglutições	1 deglutição	28	73.7%	20.2	0.0	24.6	0.0	33.3			28	73.7%	15.1	12.0	10.3	7.4	20.9			16	84.2%	12	63.2%		
	1+1 adicional	0	0.0%								0	0.0%								0	0.0%	0	0.0%		
	1+2 adicionais	5	13.2%	13.3	0.0	18.2	0.0	33.3			5	13.2%	12.3	9.6	11.5	2.3	18.4			2	10.5%	3	15.8%		
	1+3 adicionais	2	5.3%	0.0	0.0	0.0	0.0	0.0	0.449	-0.282	2	5.3%	2.0	2.0	2.9	0.0	4.1	0.125	-0.371*	0	0.0%	2	10.5%	0.452	0.248
	1+4ou mais adicionais	2	5.3%	0.0	0.0	0.0	0.0	0.0			2	5.3%	8.1	8.1	4.7	4.8	11.4			1	5.3%	1	5.3%		
	não testado	1	2.6%	0.0	0.0		0.0	0.0			1	2.6%	3.1	3.1		3.1	3.1			0	0.0%	1	5.3%		
VED pudim reage sem tosse	ausente	34	89.5%	18.6	0.0	23.5	0.0	33.3			34	89.5%	14.3	11.1	10.4	7.1	19.8			18	94.7%	16	84.2%		
	presente	3	7.9%	0.0	0.0	0.0	0.0	0.0	0.259	-0.270	3	7.9%	6.1	4.8	4.8	2.1	11.4	0.147	-0.316	1	5.3%	2	10.5%	0.493	0.176
	não testado	1	2.6%	0.0	0.0		0.0	0.0			1	2.6%	3.1	3.1		3.1	3.1			0	0.0%	1	5.3%		
	ausente	0	0.0%						0.431	-0.130	0	0.0%						0.186	-0.217	0	0.0%	0	0.0%	0.317	0.164

		EORCT-HN43 Problemas neurológicos									QLQ-HN43 Resultado total									Cat_QLQHN43 alterado		Cat_QLQHN43 normal			
		N	%	Média	Mediana	DP	25	75	*p*	Correlação	N	%	Média	Mediana	DP	25	75	*p*	Correlação	N	%	N	%	*p*	Correlação
VED pudim função vocal	presente	37	97.4%	17.1	0.0	23.1	0.0	33.3			37	97.4%	13.6	10.9	10.3	6.4	18.6			19	100.0%	18	94.7%		
	não testado	1	2.6%	0.0	0.0		0.0	0.0			1	2.6%	3.1	3.1		3.1	3.1			0	0.0%	1	5.3%		
VED líquido escape prematuro	ausente	24	63.2%	19.4	0.0	23.9	0.0	33.3			24	63.2%	12.9	9.2	10.6	6.8	17.6			10	52.6%	14	73.7%		
	presente	12	31.6%	13.9	0.0	22.3	0.0	33.3	0.409	-0.189	12	31.6%	15.3	15.3	10.4	4.8	22.9	0.600	0.034	8	42.1%	4	21.1%	0.378	-0.204
	não testado	2	5.3%	0.0	0.0	0.0	0.0	0.0			2	5.3%	7.2	7.2	5.9	3.1	11.4			1	5.3%	1	5.3%		
VED líquido resíduos nas valéculas	sem resíduo	13	34.2%	25.6	33.3	27.7	0.0	33.3			13	34.2%	15.7	12.9	9.8	8.3	22.0			7	36.8%	6	31.6%		
	resíduo ligeira a moderado	22	57.9%	12.1	0.0	19.4	0.0	33.3	0.212	-0.246	22	57.9%	12.3	8.6	11.0	4.7	15.3	0.369	-0.216	10	52.6%	12	63.2%	0.747	0.016
	resíduo severo	1	2.6%	33.3	33.3		33.3	33.3			1	2.6%	18.4	18.4		18.4	18.4			1	5.3%	0	0.0%		
	não testado	2	5.3%	0.0	0.0	0.0	0.0	0.0			2	5.3%	7.2	7.2	5.9	3.1	11.4			1	5.3%	1	5.3%		
VED líquido resíduo nos seios piriformes	sem resíduo	23	60.5%	21.7	0.0	25.8	0.0	33.3			23	60.5%	14.8	9.5	11.7	6.4	23.5			10	52.6%	13	68.4%		
	resíduo ligeira a moderado	12	31.6%	8.3	0.0	15.1	0.0	16.7	0.215	-0.244	12	31.6%	11.1	11.1	7.9	4.4	15.3	0.626	-0.126	7	36.8%	5	26.3%	0.642	-0.164
	resíduo severo	1	2.6%	33.3	33.3		33.3	33.3			1	2.6%	18.4	18.4		18.4	18.4			1	5.3%	0	0.0%		
	não testado	2	5.3%	0.0	0.0	0.0	0.0	0.0			2	5.3%	7.2	7.2	5.9	3.1	11.4			1	5.3%	1	5.3%		
VED líquido resíduo na parede faríngea	sem resíduo	32	84.2%	17.7	0.0	23.9	0.0	33.3			32	84.2%	14.2	10.2	10.8	5.8	20.9			16	84.2%	16	84.2%		
	resíduo ligeira a moderado	3	7.9%	11.1	0.0	19.2	0.0	33.3	0.507	-0.090	3	7.9%	6.9	7.1	4.6	2.2	11.4	0.451	-0.163	1	5.3%	2	10.5%	0.730	-0.008
	resíduo severo	1	2.6%	33.3	33.3		33.3	33.3			1	2.6%	18.4	18.4		18.4	18.4			1	5.3%	0	0.0%		
	não testado	2	5.3%	0.0	0.0	0.0	0.0	0.0			2	5.3%	7.2	7.2	5.9	3.1	11.4			1	5.3%	1	5.3%		
VED líquido n.º de deglutições	1 deglutição	31	81.6%	17.2	0.0	22.6	0.0	33.3			31	81.6%	14.3	10.9	10.7	6.4	22.0			16	84.2%	15	78.9%		
	1+1 adicional	0	0.0%								0	0.0%								0	0.0%	0	0.0%		
	1+2 adicionais	2	5.3%	0.0	0.0	0.0	0.0	0.0			2	5.3%	2.2	2.2	0.2	2.1	2.3			0	0.0%	2	10.5%		
	1+3 adicionais	3	7.9%	33.3	33.3	33.4	0.0	66.7	0.289	-0.078	3	7.9%	15.1	18.4	7.0	7.1	19.8	0.129	-0.186	2	10.5%	1	5.3%	0.512	0.050
	1+4ou mais adicionais	0	0.0%								0	0.0%								0	0.0%	0	0.0%		
	não testado	2	5.3%	0.0	0.0	0.0	0.0	0.0			2	5.3%	7.2	7.2	5.9	3.1	11.4			1	5.3%	1	5.3%		
VED líquido reage sem tosse	ausente	34	89.5%	17.6	0.0	23.6	0.0	33.3			34	89.5%	13.8	10.2	10.6	6.4	19.8			17	89.5%	17	89.5%		
	presente	2	5.3%	16.7	16.7	23.5	0.0	33.3	0.526	-0.125	2	5.3%	11.6	11.6	9.6	4.8	18.4	0.724	-0.113	1	5.3%	1	5.3%	1.000	0.000
	não testado	2	5.3%	0.0	0.0	0.0	0.0	0.0			2	5.3%	7.2	7.2	5.9	3.1	11.4			1	5.3%	1	5.3%		
VED líquido função vocal	ausente	0	0.0%								0	0.0%								0	0.0%	0	0.0%		
	presente	36	94.7%	17.6	0.0	23.2	0.0	33.3	0.259	-0.186	36	94.7%	13.7	10.2	10.4	5.8	19.2	0.433	-0.129	18	94.7%	18	94.7%	1.000	0.000
	não testado	2	5.3%	0.0	0.0	0.0	0.0	0.0			2	5.3%	7.2	7.2	5.9	3.1	11.4			1	5.3%	1	5.3%		
VED bolacha escape prematuro	ausente	33	86.8%	18.2	0.0	23.7	0.0	33.3			33	86.8%	13.8	10.9	10.2	7.1	18.6			17	89.5%	16	84.2%		
	presente	2	5.3%	0.0	0.0	0.0	0.0	0.0	0.483	-0.160	2	5.3%	3.4	3.4	1.9	2.1	4.7	0.166	-0.171	0	0.0%	2	10.5%	0.316	0.061
	não testado	3	7.9%	11.1	0.0	19.2	0.0	33.3			3	7.9%	14.5	11.4	13.3	3.1	29.1			2	10.5%	1	5.3%		
	sem resíduo	2	5.3%	0.0	0.0	0.0	0.0	0.0	0.233	-0.166	2	5.3%	15.4	15.4	9.2	8.9	22.0	0.172	-0.297	1	5.3%	1	5.3%	0.141	0.237

		EORCT-HN43 Problemas neurológicos									QLQ-HN43 Resultado total									Cat_QLQHN43					
																				alterado		normal		*p*	Correlação
		N	%	Média	Mediana	DP	25	75	*p*	Correlação	N	%	Média	Mediana	DP	25	75	*p*	Correlação	N	%	N	%		
VED bolacha resíduo nas valéculas	resíduo ligeira a moderado	18	47.4%	24.1	33.3	25.1	0.0	33.3			18	47.4%	16.1	15.3	10.9	7.7	19.8			12	63.2%	6	31.6%		
	resíduo severo	15	39.5%	11.1	0.0	20.6	0.0	33.3			15	39.5%	9.5	7.1	8.9	4.1	11.4			4	21.1%	11	57.9%		
	não testado	3	7.9%	11.1	0.0	19.2	0.0	33.3			3	7.9%	14.5	11.4	13.3	3.1	29.1			2	10.5%	1	5.3%		
VED bolacha resíduo nos seios piriformes	sem resíduo	14	36.8%	21.4	16.7	24.8	0.0	33.3			14	36.8%	16.5	12.8	12.2	7.1	25.9			7	36.8%	7	36.8%		
	resíduo ligeira a moderado	18	47.4%	14.8	0.0	23.5	0.0	33.3	0.788	-0.164	18	47.4%	10.5	10.2	6.4	6.4	15.3	0.676	-0.161	9	47.4%	9	47.4%	0.885	-0.008
	resíduo severo	3	7.9%	11.1	0.0	19.2	0.0	33.3			3	7.9%	14.0	4.7	18.1	2.3	34.8			1	5.3%	2	10.5%		
	não testado	3	7.9%	11.1	0.0	19.2	0.0	33.3			3	7.9%	14.5	11.4	13.3	3.1	29.1			2	10.5%	1	5.3%		
VED bolacha resíduo na parede faríngea	sem resíduo	6	15.8%	27.8	33.3	25.1	0.0	33.3			6	15.8%	13.9	8.6	11.4	7.7	25.9			2	10.5%	4	21.1%		
	resíduo ligeira a moderado	28	73.7%	15.5	0.0	23.1	0.0	33.3	0.476	-0.235	28	73.7%	13.5	11.1	10.2	5.8	18.5	0.517	-0.059	15	78.9%	13	68.4%	0.555	-0.142
	resíduo severo	1	2.6%	0.0	0.0		0.0	0.0			1	2.6%	2.2	2.2		2.2	2.2			0	0.0%	1	5.3%		
	não testado	3	7.9%	11.1	0.0	19.2	0.0	33.3			3	7.9%	14.5	11.4	13.3	3.1	29.1			2	10.5%	1	5.3%		
VED bolacha n.º de deglutições	1 deglutição	2	5.3%	0.0	0.0	0.0	0.0	0.0			2	5.3%	15.3	15.3	0.0	15.3	15.3			2	10.5%	0	0.0%		
	1+1 adicional	0	0.0%								0	0.0%								0	0.0%	0	0.0%		
	1+2 adicionais	13	34.2%	20.5	0.0	25.6	0.0	33.3			13	34.2%	17.1	12.9	10.9	8.3	23.5			8	42.1%	5	26.3%		
	1+3 adicionais	12	31.6%	19.4	16.7	22.3	0.0	33.3	0.657	-0.056	12	31.6%	12.4	8.3	10.8	5.8	14.6	0.185	-0.343*	5	26.3%	7	36.8%	0.266	0.255
	1+4ou mais adicionais	8	21.1%	12.5	0.0	24.8	0.0	16.7			8	21.1%	7.6	4.5	7.6	2.1	14.0			2	10.5%	6	31.6%		
	não testado	3	7.9%	11.1	0.0	19.2	0.0	33.3			3	7.9%	14.5	11.4	13.3	3.1	29.1			2	10.5%	1	5.3%		
VED bolacha reage sem tosse	ausente	34	89.5%	17.6	0.0	23.6	0.0	33.3			34	89.5%	13.5	10.2	10.3	6.4	18.6			17	89.5%	17	89.5%		
	presente	1	2.6%	0.0	0.0		0.0	0.0	0.682	-0.113	1	2.6%	4.8	4.8		4.8	4.8	0.630	-0.056	0	0.0%	1	5.3%	0.523	-0.009
	não testado	3	7.9%	11.1	0.0	19.2	0.0	33.3			3	7.9%	14.5	11.4	13.3	3.1	29.1			2	10.5%	1	5.3%		
VED bolacha função vocal	ausente	0	0.0%								0	0.0%								0	0.0%	0	0.0%		
	presente	35	92.1%	17.1	0.0	23.4	0.0	33.3	0.732	-0.056	35	92.1%	13.2	9.6	10.2	5.2	18.6	0.892	0.022	17	89.5%	18	94.7%	0.553	-0.098
	não testado	3	7.9%	11.1	0.0	19.2	0.0	33.3			3	7.9%	14.5	11.4	13.3	3.1	29.1			2	10.5%	1	5.3%		
VED aspiração	não	20	52.6%	23.3	16.7	26.7	0.0	33.3			20	52.6%	16.3	12.7	10.2	8.0	22.7			11	57.9%	9	47.4%		
	sim	16	42.1%	10.4	0.0	15.9	0.0	33.3	0.185	-0.295	16	42.1%	10.4	6.2	10.1	2.8	15.3	0.075	-0.373*	7	36.8%	9	47.4%	0.803	0.098
	alto risco de aspiração	2	5.3%	0.0	0.0	0.0	0.0	0.0			2	5.3%	7.2	7.2	5.9	3.1	11.4			1	5.3%	1	5.3%		
VED momento de aspiração pudim	NA	31	81.6%	18.3	0.0	24.1	0.0	33.3			31	81.6%	12.9	8.9	10.9	4.7	19.8			13	68.4%	18	94.7%		
	pré-deglutição	5	13.2%	6.7	0.0	14.9	0.0	0.0			5	13.2%	16.4	15.3	7.4	11.4	15.3			5	26.3%	0	0.0%		
	durante deglutição	1	2.6%	33.3	33.3		33.3	33.3	0.458	-0.125	1	2.6%	18.4	18.4		18.4	18.4	0.450	0.180	1	5.3%	0	0.0%	0.055	-0.317
	pós-deglutição	1	2.6%	0.0	0.0		0.0	0.0			1	2.6%	7.1	7.1		7.1	7.1			0	0.0%	1	5.3%		
VED momento de aspiração líquido	NA	25	65.8%	18.7	0.0	25.6	0.0	33.3	0.959	-0.081	25	65.8%	14.8	12.6	10.0	7.7	19.8	0.204	-0.330*	14	73.7%	11	57.9%	0.762	0.174
	pré-deglutição	2	5.3%	16.7	16.7	23.5	0.0	33.3			2	5.3%	17.0	17.0	17.2	4.8	29.1			1	5.3%	1	5.3%		

		EORCT-HN43 Problemas neurológicos									QLQ-HN43 Resultado total									Cat_QLQHN43 alterado		Cat_QLQHN43 normal			
		N	%	Média	Mediana	DP	25	75	*p*	Correlação	N	%	Média	Mediana	DP	25	75	*p*	Correlação	N	%	N	%	*p*	Correlação
	durante deglutição	8	21.1%	12.5	0.0	17.2	0.0	33.3			8	21.1%	10.7	6.2	11.1	3.5	14.6			3	15.8%	5	26.3%		
	pós-deglutição	3	7.9%	11.1	0.0	19.2	0.0	33.3			3	7.9%	5.6	3.2	5.0	2.2	11.4			1	5.3%	2	10.5%		
VED momento de aspiração bolacha	NA	32	84.2%	17.7	0.0	23.9	0.0	33.3	0.715	-0.076	32	84.2%	13.9	11.1	9.7	7.1	19.2	0.159	-0.230	17	89.5%	15	78.9%	0.525	0.136
	pré-deglutição	0	0.0%								0	0.0%								0	0.0%	0	0.0%		
	durante deglutição	1	2.6%	0.0	0.0		0.0	0.0			1	2.6%	0.0	0.0		0.0	0.0			0	0.0%	1	5.3%		
	pós-deglutição	5	13.2%	13.3	0.0	18.2	0.0	33.3			5	13.2%	12.5	4.7	14.2	2.3	18.4			2	10.5%	3	15.8%		
VED PAS	1	21	55.3%	22.2	0.0	26.5	0.0	33.3	0.660	-0.242	21	55.3%	15.6	12.6	10.4	7.7	22.0	0.085	-0.193	11	57.9%	10	52.6%	0.285	-0.053
	2	9	23.7%	11.1	0.0	16.7	0.0	33.3			9	23.7%	7.3	3.2	10.8	2.2	5.2			2	10.5%	7	36.8%		
	3	4	10.5%	8.3	0.0	16.7	0.0	16.7			4	10.5%	16.1	15.3	10.0	10.0	22.2			3	15.8%	1	5.3%		
	4	3	7.9%	11.1	0.0	19.2	0.0	33.3			3	7.9%	12.1	10.9	5.8	7.1	18.4			2	10.5%	1	5.3%		
	5	0	0.0%								0	0.0%								0	0.0%	0	0.0%		
	6	0	0.0%								0	0.0%								0	0.0%	0	0.0%		
	7	0	0.0%								0	0.0%								0	0.0%	0	0.0%		
	8	1	2.6%	0.0	0.0		0.0	0.0			1	2.6%	11.4	11.4		11.4	11.4			1	5.3%	0	0.0%		
VED limpeza	A - efetivo	6	15.8%	16.7	16.7	18.2	0.0	33.3	0.469	0.168	6	15.8%	7.4	5.0	6.4	2.2	11.4	0.262	0.310	2	10.5%	4	21.1%	0.926	-0.079
	B - moderadamente efetivo	5	13.2%	6.7	0.0	14.9	0.0	0.0			5	13.2%	14.3	15.3	9.5	7.1	15.3			3	15.8%	2	10.5%		
	C - ligeiramente efetivo	4	10.5%	8.3	0.0	16.7	0.0	16.7			4	10.5%	12.0	6.6	15.9	1.2	22.8			2	10.5%	2	10.5%		
	D - ineficaz	2	5.3%	0.0	0.0	0.0	0.0	0.0			2	5.3%	7.3	7.3	5.8	3.2	11.4			1	5.3%	1	5.3%		
	NA	21	55.3%	22.2	0.0	26.5	0.0	33.3			21	55.3%	15.6	12.6	10.4	7.7	22.0			11	57.9%	10	52.6%		
VED pudim latência	normal	9	23.7%	29.6	33.3	30.9	0.0	66.7	0.232	-0.279	9	23.7%	20.4	19.8	12.8	9.5	30.4	0.065	-0.375*	6	31.6%	3	15.8%	0.352	0.219
	alterada	28	73.7%	13.1	0.0	18.9	0.0	33.3			28	73.7%	11.4	9.2	8.5	5.0	15.9			13	68.4%	15	78.9%		
	não testado	1	2.6%	0.0	0.0		0.0	0.0			1	2.6%	3.1	3.1		3.1	3.1			0	0.0%	1	5.3%		
VED pudim tempo de latência										-0.151									-0.284						0.180
VED pudim whiteout	normal	0	0.0%								0	0.0%								0	0.0%	0	0.0%		
	alterada	37	97.4%	17.1	0.0	23.1	0.0	33.3	0.431	-0.130	37	97.4%	13.6	10.9	10.3	6.4	18.6	0.186	-0.217	19	100.0%	18	94.7%	0.317	0.164
	não testado	1	2.6%	0.0	0.0		0.0	0.0			1	2.6%	3.1	3.1		3.1	3.1			0	0.0%	1	5.3%		
VED pudim tempo de encerramento das VA										-0.097									-0007						0.056
VED líquido latência	normal	10	26.3%	10.0	0.0	16.1	0.0	33.3	0.293	0.069	10	26.3%	9.0	4.6	9.2	2.2	16.6	0.089	0.236	3	15.8%	7	36.8%	0.340	-0.212
	alterada	26	68.4%	20.5	0.0	25.1	0.0	33.3			26	68.4%	15.5	12.0	10.5	7.7	19.8			15	78.9%	11	57.9%		
	não testado	2	5.3%	0.0	0.0	0.0	0.0	0.0			2	5.3%	7.2	7.2	5.9	3.1	11.4			1	5.3%	1	5.3%		
VED líquido tempo de latênci										0.029									0.239						0.187

		EORCT-HN43 Problemas neurológicos									QLQ-HN43 Resultado total									Cat_QLQHN43 alterado		Cat_QLQHN43 normal			
		N	%	Média	Mediana	DP	25	75	*p*	Correlação	N	%	Média	Mediana	DP	25	75	*p*	Correlação	N	%	N	%	*p*	Correlação
VED líquido whiteout	normal	0	0.0%								0	0.0%								0	0.0%	0	0.0%		
	alterada	36	94.7%	17.6	0.0	23.2	0.0	33.3	0.259	-0.186	36	94.7%	13.7	10.2	10.4	5.8	19.2	0.433	-0.129	18	94.7%	18	94.7%	1.000	0.000
	não testado	2	5.3%	0.0	0.0	0.0	0.0	0.0			2	5.3%	7.2	7.2	5.9	3.1	11.4			1	5.3%	1	5.3%		
VED líquido tempo de encerramento das VA										-0.251									-0.092						0.027
VED bolacha latência	normal	13	34.2%	7.7	0.0	14.6	0.0	0.0			13	34.2%	13.8	12.9	9.3	7.7	18.6			7	36.8%	6	31.6%		
	alterada	22	57.9%	22.7	16.7	26.0	0.0	33.3	0.200	0.215	22	57.9%	12.9	8.9	11.0	4.7	18.4	0.798	-0.080	10	52.6%	12	63.2%	0.750	0.014
	não testado	3	7.9%	11.1	0.0	19.2	0.0	33.3			3	7.9%	14.5	11.4	13.3	3.1	29.1			2	10.5%	1	5.3%		
VED bolacha tempo de latência										0.173									-0.200						0.147
VED bolacha whiteout	normal	0	0.0%								0	0.0%								0	0.0%	0	0.0%		
	alterada	35	92.1%	17.1	0.0	23.4	0.0	33.3	0.732	-0.056	35	92.1%	13.2	9.6	10.2	5.2	18.6	0.892	0.022	17	89.5%	18	94.7%	0.553	-0.098
	não testado	3	7.9%	11.1	0.0	19.2	0.0	33.3			3	7.9%	14.5	11.4	13.3	3.1	29.1			2	10.5%	1	5.3%		
VED bolacha tempo de encerramento das VA										-0.266									-0.076						-0.119

Tabela 152 - Medidas descritivas, análise de correlação e diferenças estatísticas entre as variáveis da avaliação anatómica e funcional por VED e as escalas *burden* e desejo de comer, do questionário da SWAL-QOL.

		SWALQOL-*Burden*									SWALQOL-Desejo de comer								
		N	%	Média	Mediana	DP	25	75	*p*	Correlação	N	%	Média	Mediana	DP	25	75	*p*	Correlação
VED acesso	direita	24	63.2%	63.0	62.5	33.7	25.0	100.0	0.668	-0.072	24	63.2%	81.6	100.0	27.0	62.5	100.0	0.548	-0.100
	esquerda	14	36.8%	56.3	50.0	34.9	25.0	87.5			14	36.8%	72.6	75.0	33.3	66.7	100.0		
VED nasofaringe EVF anatomia	presente	36	94.7%	61.1	62.5	34.2	25.0	100.0	0.633	-0.080	36	94.7%	77.3	91.7	29.9	62.5	100.0	0.497	0.113
	ausente	2	5.3%	50.0	50.0	35.4	25.0	75.0			2	5.3%	95.9	95.9	5.9	91.7	100.0		
VED nasofaringe EVF deglutição de saliva	presente	38	100.0%	60.5	62.5	33.8	25.0	100.0			38	100.0%	78.3	95.9	29.4	66.7	100.0		
	ausente	0	0.0%								0	0.0%							
VED nasofaringe EVF som e sílaba	presente	37	97.4%	60.1	62.5	34.2	25.0	100.0	0.704	0.063	37	97.4%	77.9	100.0	29.7	66.7	100.0	1.000	0.000
	ausente	1	2.6%	75.0	75.0		75.0	75.0			1	2.6%	91.7	91.7		91.7	91.7		
VED nasofaringe EVF fala	presente	37	97.4%	60.1	62.5	34.2	25.0	100.0	0.704	0.063	37	97.4%	77.9	100.0	29.7	66.7	100.0	1.000	0.000
	ausente	1	2.6%	75.0	75.0		75.0	75.0			1	2.6%	91.7	91.7		91.7	91.7		
VED oro/hipofaringe anatomia	presente	4	10.5%	84.4	87.5	18.8	68.8	100.0	0296	-0.174	4	10.5%	87.5	100.0	25.0	75.0	100.0	0.744	-0.054
	ausente	34	89.5%	57.7	50.0	34.3	25.0	100.0			34	89.5%	77.2	87.5	30.0	66.7	100.0		
VED oro/hipofaringe Movimento da base da língua	presente	34	89.5%	58.8	56.3	33.8	25.0	100.0	0.713	0.061	34	89.5%	77.2	87.5	30.0	66.7	100.0	0.744	0.054
	ausente	4	10.5%	75.0	87.5	35.4	50.0	100.0			4	10.5%	87.5	100.0	25.0	75.0	100.0		
VED oro/hipofaringe resíduo nas valéculas	presente	25	65.8%	65.5	75.0	34.1	37.5	100.0	0.272	-0.183	25	65.8%	82.7	100.0	26.0	66.7	100.0	0.256	-0.189
	ausente	13	34.2%	51.0	50.0	32.5	25.0	62.5			13	34.2%	69.8	83.3	34.5	58.3	100.0		
VED oro/hipofaringe resíduos nos seios piriformes	presente	20	52.6%	67.5	75.0	31.8	43.8	100.0	0.273	-0.183	20	52.6%	82.9	100.0	27.9	66.7	100.0	0.257	-0.189
	ausente	18	47.4%	52.8	50.0	35.2	25.0	100.0			18	47.4%	73.1	83.3	30.9	58.3	100.0		
VED oro/hipofaringe produção /i/	presente	38	100.0%	60.5	62.5	33.8	25.0	100.0			38	100.0%	78.3	95.9	29.4	66.7	100.0		
	ausente	0	0.0%								0	0.0%							
VED oro/hipofaringe manipulação de secreções	presente	35	92.1%	60.0	62.5	34.0	25.0	100.0	0.633	-0.080	35	92.1%	76.4	83.3	29.9	58.3	100.0	0.174	0.227
	ausente	3	7.9%	66.7	75.0	38.2	25.0	100.0			3	7.9%	100.0	100.0	0.0	100.0	100.0		
VED laringe anatomia	presente	3	7.9%	79.2	75.0	19.1	62.5	100.0	0.733	-0.057	3	7.9%	100.0	100.0	0.0	100.0	100.0	0.174	-0.227
	ausente	35	92.1%	58.9	50.0	34.5	25.0	100.0			35	92.1%	76.4	83.3	29.9	58.3	100.0		
VED laringe fala	presente	38	100.0%	60.5	62.5	33.8	25.0	100.0			38	100.0%	78.3	95.9	29.4	66.7	100.0		
	ausente	0	0.0%								0	0.0%							
VED laringe deglutição de saliva	presente	36	94.7%	60.4	62.5	33.6	25.0	100.0	0.295	-0.174	36	94.7%	77.1	87.5	29.7	62.5	100.0	0.343	0.158
	ausente	2	5.3%	62.5	62.5	53.0	25.0	100.0			2	5.3%	100.0	100.0	0.0	100.0	100.0		
VED laringe produção /i/	presente	38	100.0%	60.5	62.5	33.8	25.0	100.0			38	100.0%	78.3	95.9	29.4	66.7	100.0		
	ausente	0	0.0%								0	0.0%							
VED laringe tosse voluntária	presente	38	100.0%	60.5	62.5	33.8	25.0	100.0			38	100.0%	78.3	95.9	29.4	66.7	100.0		
	ausente	0	0.0%								0	0.0%							
VED laringe apneia	presente	38	100.0%	60.5	62.5	33.8	25.0	100.0			38	100.0%	78.3	95.9	29.4	66.7	100.0		
	ausente	0	0.0%								0	0.0%							

		SWALQOL-*Burden*									SWALQOL-Desejo de comer								
		N	%	Média	Mediana	DP	25	75	*p*	Correlação	N	%	Média	Mediana	DP	25	75	*p*	Correlação
VED sensibilidade da base da língua	presente	34	89.5%	58.8	56.3	33.8	25.0	100.0	0.713	0.061	34	89.5%	77.2	87.5	30.0	66.7	100.0	0.744	0.054
	ausente	4	10.5%	75.0	87.5	35.4	50.0	100.0			4	10.5%	87.5	100.0	25.0	75.0	100.0		
VED sensibilidade nas aritnóides	presente								0.394	0.061								0.505	0.054
	ausente																		
VED pudim escape prematuro	ausente	32	84.2%	57.8	56.3	34.0	25.0	93.8			32	84.2%	77.3	87.5	30.3	66.7	100.0		
	presente	5	13.2%	70.0	75.0	32.6	50.0	100.0	0.43	0.128	5	13.2%	80.0	100.0	27.4	50.0	100.0	0.943	0.012
	não testado	1	2.6%	100.0	100.0		100.0	100.0			1	2.6%	100.0	100.0		100.0	100.0		
VED pudim resíduos nas valéculas	sem resíduo	11	28.9%	56.8	62.5	37.2	25.0	100.0			11	28.9%	81.1	100.0	30.8	66.7	100.0		
	resíduo ligeira a moderado	24	63.2%	58.3	50.0	32.9	25.0	93.8	0.396	0.166	24	63.2%	76.4	87.5	29.9	62.5	100.0	0.744	-0.046
	resíduo severo	2	5.3%	87.5	87.5	17.7	75.0	100.0			2	5.3%	75.0	75.0	35.4	50.0	100.0		
	não testado	1	2.6%	100.0	100.0		100.0	100.0			1	2.6%	100.0	100.0		100.0	100.0		
VED pudim resíduos nos seios piriformes	sem resíduo	22	57.9%	56.3	50.0	36.5	25.0	100.0			22	57.9%	75.7	83.3	29.0	58.3	100.0		
	resíduo ligeira a moderado	12	31.6%	63.5	62.5	28.9	37.5	93.8	0.564	0.172	12	31.6%	79.9	100.0	32.9	66.7	100.0	0.663	0.179
	resíduo severo	3	7.9%	66.7	75.0	38.2	25.0	100.0			3	7.9%	83.3	100.0	28.9	50.0	100.0		
	não testado	1	2.6%	100.0	100.0		100.0	100.0			1	2.6%	100.0	100.0		100.0	100.0		
VED pudim resíduo na parede faríngea	sem resíduo	26	68.4%	58.2	56.3	35.3	25.0	100.0			26	68.4%	75.6	83.3	31.7	58.3	100.0		
	resíduo ligeira a moderado	10	26.3%	61.3	62.5	32.0	25.0	87.5	0.635	0.106	10	26.3%	80.8	95.9	24.9	66.7	100.0	0.604	0.144
	resíduo severo	1	2.6%	75.0	75.0		75.0	75.0			1	2.6%	100.0	100.0		100.0	100.0		
	não testado	1	2.6%	100.0	100.0		100.0	100.0			1	2.6%	100.0	100.0		100.0	100.0		
VED pudim n.º de deglutições	1 deglutição	28	73.7%	59.8	56.3	32.9	25.0	93.8			28	73.7%	77.7	83.3	28.1	66.7	100.0		
	1+1 adicional	0	0.0%								0	0.0%							
	1+2 adicionais	5	13.2%	52.5	37.5	45.4	25.0	100.0	0.592	0.076	5	13.2%	78.3	100.0	31.0	58.3	100.0	0.571	0.144
	1+3 adicionais	2	5.3%	81.3	81.3	26.5	62.5	100.0			2	5.3%	100.0	100.0	0.0	100.0	100.0		
	1+4ou mais adicionais	2	5.3%	50.0	50.0	35.4	25.0	75.0			2	5.3%	54.0	54.0	65.1	8.0	100.0		
	não testado	1	2.6%	100.0	100.0		100.0	100.0			1	2.6%	100.0	100.0		100.0	100.0		
VED pudim reage sem tosse	ausente	34	89.5%	58.8	56.3	33.8	25.0	100.0			34	89.5%	78.4	87.5	27.8	66.7	100.0		
	presente	3	7.9%	66.7	75.0	38.2	25.0	100.0	0.427	0.158	3	7.9%	69.3	100.0	53.1	8.0	100.0	0.638	0.106
	não testado	1	2.6%	100.0	100.0		100.0	100.0			1	2.6%	100.0	100.0		100.0	100.0		
VED pudim função vocal	ausente	0	0.0%								0	0.0%							
	presente	37	97.4%	59.5	62.5	33.6	25.0	100.0	0.210	0.206	37	97.4%	77.7	91.7	29.6	66.7	100.0	0.353	0.153
	não testado	1	2.6%	100.0	100.0		100.0	100.0			1	2.6%	100.0	100.0		100.0	100.0		
VED líquido escape prematuro	ausente	24	63.2%	65.1	68.8	34.6	43.8	100.0			24	63.2%	77.4	83.3	29.0	66.7	100.0		
	presente	12	31.6%	46.9	31.3	30.7	25.0	68.8	0.163	-0.139	12	31.6%	76.4	95.9	32.4	50.0	100.0	0.143	0.099
	não testado	2	5.3%	87.5	87.5	17.7	75.0	100.0			2	5.3%	100.0	100.0	0.0	100.0	100.0		
VED líquido resíduos nas valéculas	sem resíduo	13	34.2%	49.0	50.0	34.0	25.0	62.5	0.318	0.243	13	34.2%	67.9	66.7	35.5	58.3	100.0	0.115	0.222

		SWALQOL-*Burden*									SWALQOL-Desejo de comer								
		N	%	Média	Mediana	DP	25	75	*p*	Correlação	N	%	Média	Mediana	DP	25	75	*p*	Correlação
	resíduo ligeira a moderado	22	57.9%	65.9	75.0	33.7	25.0	100.0			22	57.9%	84.5	100.0	23.5	66.7	100.0		
	resíduo severo	1	2.6%	37.5	37.5		37.5	37.5			1	2.6%	33.3	33.3		33.3	33.3		
	não testado	2	5.3%	87.5	87.5	17.7	75.0	100.0			2	5.3%	100.0	100.0	0.0	100.0	100.0		
VED líquido resíduo nos seios piriformes	sem resíduo	23	60.5%	54.9	50.0	35.7	25.0	100.0	0.418	0.204	23	60.5%	73.2	83.3	32.9	58.3	100.0	0.416	0.192
	resíduo ligeira a moderado	12	31.6%	68.8	75.0	30.8	37.5	100.0			12	31.6%	88.2	100.0	17.6	75.0	100.0		
	resíduo severo	1	2.6%	37.5	37.5		37.5	37.5			1	2.6%	33.3	33.3		33.3	33.3		
	não testado	2	5.3%	87.5	87.5	17.7	75.0	100.0			2	5.3%	100.0	100.0	0.0	100.0	100.0		
VED líquido resíduo na parede faríngea	sem resíduo	32	84.2%	57.8	56.3	34.7	25.0	100.0	0.463	0.179	32	84.2%	78.4	95.9	30.2	62.5	100.0	0.261	0.000
	resíduo ligeira a moderado	3	7.9%	79.2	87.5	26.0	50.0	100.0			3	7.9%	77.8	66.7	19.2	66.7	100.0		
	resíduo severo	1	2.6%	37.5	37.5		37.5	37.5			1	2.6%	33.3	33.3		33.3	33.3		
	não testado	2	5.3%	87.5	87.5	17.7	75.0	100.0			2	5.3%	100.0	100.0	0.0	100.0	100.0		
VED líquido n.º de deglutições	1 deglutição	31	81.6%	57.7	62.5	34.9	25.0	100.0	0.168	0.180	31	81.6%	78.2	91.7	30.0	66.7	100.0	0.055	0.007
	1+1 adicional	0	0.0%								0	0.0%							
	1+2 adicionais	2	5.3%	100.0	100.0	0.0	100.0	100.0			2	5.3%	100.0	100.0	0.0	100.0	100.0		
	1+3 adicionais	3	7.9%	45.8	50.0	7.2	37.5	50.0			3	7.9%	50.0	50.0	16.7	33.3	66.7		
	1+4ou mais adicionais	0	0.0%								0	0.0%							
	não testado	2	5.3%	87.5	87.5	17.7	75.0	100.0			2	5.3%	100.0	100.0	0.0	100.0	100.0		
VED líquido reage sem tosse	ausente	34	89.5%	60.7	62.5	34.3	25.0	100.0	0.266	0.003	34	89.5%	80.4	95.9	26.9	66.7	100.0	0.039	-0.086
	presente	2	5.3%	31.3	31.3	8.8	25.0	37.5			2	5.3%	20.7	20.7	17.9	8.0	33.3		
	não testado	2	5.3%	87.5	87.5	17.7	75.0	100.0			2	5.3%	100.0	100.0	0.0	100.0	100.0		
VED líquido função vocal	ausente	0	0.0%						0.258	0.186	0	0.0%						0.183	0.219
	presente	36	94.7%	59.0	56.3	34.0	25.0	100.0			36	94.7%	77.1	87.5	29.7	62.5	100.0		
	não testado	2	5.3%	87.5	87.5	17.7	75.0	100.0			2	5.3%	100.0	100.0	0.0	100.0	100.0		
VED bolacha escape prematuro	ausente	33	86.8%	57.6	50.0	33.5	25.0	87.5	0.182	0.221	33	86.8%	76.5	83.3	30.2	66.7	100.0	0.250	0.196
	presente	2	5.3%	100.0	100.0	0.0	100.0	100.0			2	5.3%	75.0	75.0	35.4	50.0	100.0		
	não testado	3	7.9%	66.7	75.0	38.2	25.0	100.0			3	7.9%	100.0	100.0	0.0	100.0	100.0		
VED bolacha resíduo nas valéculas	sem resíduo	2	5.3%	62.5	62.5	53.0	25.0	100.0	0.900	0.102	2	5.3%	79.2	79.2	29.5	58.3	100.0	0.269	0.003
	resíduo ligeira a moderado	18	47.4%	56.3	56.3	33.3	25.0	87.5			18	47.4%	81.9	95.9	28.0	83.3	100.0		
	resíduo severo	15	39.5%	64.2	62.5	35.0	37.5	100.0			15	39.5%	69.4	66.7	32.6	58.3	100.0		
	não testado	3	7.9%	66.7	75.0	38.2	25.0	100.0			3	7.9%	100.0	100.0	0.0	100.0	100.0		
VED bolacha resíduo nos seios piriformes	sem resíduo	14	36.8%	55.4	56.3	36.3	25.0	87.5	0.833	0.147	14	36.8%	77.4	91.7	33.9	66.7	100.0	0.343	0.095
	resíduo ligeira a moderado	18	47.4%	61.8	56.3	31.1	37.5	100.0			18	47.4%	74.5	75.0	28.2	58.3	100.0		
	resíduo severo	3	7.9%	70.8	100.0	50.5	12.5	100.0			3	7.9%	83.3	100.0	28.9	50.0	100.0		
	não testado	3	7.9%	66.7	75.0	38.2	25.0	100.0			3	7.9%	100.0	100.0	0.0	100.0	100.0		
VED bolacha resíduo na parede faríngea	sem resíduo	6	15.8%	68.8	93.8	44.5	25.0	100.0	0.771	-0.032	6	15.8%	80.6	100.0	40.0	83.3	100.0	0.187	0.097
	resíduo ligeira a moderado	28	73.7%	57.1	50.0	32.2	25.0	93.8			28	73.7%	74.7	83.3	28.3	58.3	100.0		
	resíduo severo	1	2.6%	87.5	87.5		87.5	87.5			1	2.6%	100.0	100.0		100.0	100.0		

		SWALQOL-*Burden*									SWALQOL-Desejo de comer								
		N	%	Média	Mediana	DP	25	75	*p*	Correlação	N	%	Média	Mediana	DP	25	75	*p*	Correlação
VED bolacha n.º de deglutições	não testado	3	7.9%	66.7	75.0	38.2	25.0	100.0	0.626	0.100	3	7.9%	100.0	100.0	0.0	100.0	100.0	0.205	0.091
	1 deglutição	2	5.3%	25.0	25.0	0.0	25.0	25.0			2	5.3%	100.0	100.0	0.0	100.0	100.0		
	1+1 adicional	0	0.0%								0	0.0%							
	1+2 adicionais	13	34.2%	61.5	75.0	35.9	25.0	100.0			13	34.2%	70.5	83.3	35.3	58.3	100.0		
	1+3 adicionais	12	31.6%	65.6	62.5	32.5	50.0	100.0			12	31.6%	84.0	91.7	17.6	66.7	100.0		
	1+4ou mais adicionais	8	21.1%	57.8	56.3	36.6	31.3	93.8			8	21.1%	68.7	79.2	36.5	41.7	100.0		
	não testado	3	7.9%	66.7	75.0	38.2	25.0	100.0			3	7.9%	100.0	100.0	0.0	100.0	100.0		
VED bolacha reage sem tosse	ausente	34	89.5%	61.0	62.5	34.0	25.0	100.0	0.548	-0.039	34	89.5%	78.4	87.5	27.8	66.7	100.0	0.079	0.118
	presente	1	2.6%	25.0	25.0		25.0	25.0			1	2.6%	8.0	8.0		8.0	8.0		
	não testado	3	7.9%	66.7	75.0	38.2	25.0	100.0			3	7.9%	100.0	100.0	0.0	100.0	100.0		
VED bolacha função vocal	ausente	0	0.0%						0.762	0.050	0	0.0%						0.098	0.272
	presente	35	92.1%	60.0	62.5	34.0	25.0	100.0			35	92.1%	76.4	83.3	29.9	58.3	100.0		
	não testado	3	7.9%	66.7	75.0	38.2	25.0	100.0			3	7.9%	100.0	100.0	0.0	100.0	100.0		
VED aspiração	não	20	52.6%	55.0	50.0	33.8	25.0	87.5	0.378	0.202	20	52.6%	72.9	83.3	30.3	58.3	100.0	0.164	0.296
	sim	16	42.1%	64.1	68.8	34.7	25.0	100.0			16	42.1%	82.3	100.0	29.1	66.7	100.0		
	alto risco de aspiração	2	5.3%	87.5	87.5	17.7	75.0	100.0			2	5.3%	100.0	100.0	0.0	100.0	100.0		
VED momento de aspiração pudim	NA	31	81.6%	64.1	62.5	35.2	25.0	100.0	0.538	-0.237	31	81.6%	76.9	83.3	30.4	58.3	100.0	0.143	0.064
	pré-deglutição	5	13.2%	45.0	25.0	27.4	25.0	75.0			5	13.2%	98.3	100.0	3.7	100.0	100.0		
	durante deglutição	1	2.6%	37.5	37.5		37.5	37.5			1	2.6%	33.3	33.3		33.3	33.3		
	pós-deglutição	1	2.6%	50.0	50.0		50.0	50.0			1	2.6%	66.7	66.7		66.7	66.7		
VED momento de aspiração líquido	NA	25	65.8%	57.0	50.0	34.1	25.0	87.5	0.198	0.200	25	65.8%	78.3	83.3	29.2	66.7	100.0	0.886	0.053
	pré-deglutição	2	5.3%	25.0	25.0	0.0	25.0	25.0			2	5.3%	54.0	54.0	65.1	8.0	100.0		
	durante deglutição	8	21.1%	71.9	87.5	34.6	43.8	100.0			8	21.1%	80.2	95.9	26.7	58.4	100.0		
	pós-deglutição	3	7.9%	83.3	87.5	19.1	62.5	100.0			3	7.9%	88.9	100.0	19.2	66.7	100.0		
VED momento de aspiração bolacha	NA	32	84.2%	57.8	56.3	32.7	25.0	87.5	0.318	0.198	32	84.2%	77.9	87.5	29.6	66.7	100.0	0.650	0.051
	pré-deglutição	0	0.0%								0	0.0%							
	durante deglutição	1	2.6%	100.0	100.0		100.0	100.0			1	2.6%	100.0	100.0		100.0	100.0		
	pós-deglutição	5	13.2%	70.0	100.0	42.0	37.5	100.0			5	13.2%	76.7	100.0	32.5	50.0	100.0		
VED PAS	1	21	55.3%	57.1	50.0	34.4	25.0	87.5	0.490	0.043	21	55.3%	74.2	83.3	30.2	58.3	100.0	0.221	0.160
	2	9	23.7%	76.4	100.0	35.0	62.5	100.0			9	23.7%	86.1	100.0	31.3	100.0	100.0		
	3	4	10.5%	43.8	25.0	37.5	25.0	62.5			4	10.5%	87.5	100.0	25.0	75.0	100.0		
	4	3	7.9%	54.2	50.0	19.1	37.5	75.0			3	7.9%	63.9	66.7	29.3	33.3	91.7		

		SWALQOL-*Burden*									SWALQOL-Desejo de comer								
		N	%	Média	Mediana	DP	25	75	*p*	Correlação	N	%	Média	Mediana	DP	25	75	*p*	Correlação
	5	0	0.0%								0	0.0%							
	6	0	0.0%								0	0.0%							
	7	0	0.0%								0	0.0%							
	8	1	2.6%	75.0	75.0		75.0	75.0			1	2.6%	100.0	100.0		100.0	100.0		
VED limpeza	A - efetivo	6	15.8%	75.0	93.8	34.5	37.5	100.0			6	15.8%	68.0	83.4	39.7	33.3	100.0		
	B - moderadamente efetivo	5	13.2%	45.0	25.0	32.6	25.0	50.0			5	13.2%	83.3	100.0	23.6	66.7	100.0		
	C - ligeiramente efetivo	4	10.5%	71.9	87.5	41.3	43.8	100.0	0.583	-0.120	4	10.5%	97.9	100.0	4.2	95.9	100.0	0.331	-0.126
	D - ineficaz	2	5.3%	68.8	68.8	8.8	62.5	75.0			2	5.3%	100.0	100.0	0.0	100.0	100.0		
	NA	21	55.3%	57.1	50.0	34.4	25.0	87.5			21	55.3%	74.2	83.3	30.2	58.3	100.0		
VED pudim latência	normal	9	23.7%	48.6	50.0	35.0	25.0	75.0			9	23.7%	76.8	100.0	34.8	58.3	100.0		
	alterada	28	73.7%	62.9	62.5	33.1	31.3	100.0	0.231	0.253	28	73.7%	78.0	87.5	28.4	66.7	100.0	0.645	0.036
	não testado	1	2.6%	100.0	100.0		100.0	100.0			1	2.6%	100.0	100.0		100.0	100.0		
VED pudim tempo de latência										0.351*									0.083
VED pudim whiteout	normal	0	0.0%								0	0.0%							
	alterada	37	97.4%	59.5	62.5	33.6	25.0	100.0	0.210	0.206	37	97.4%	77.7	91.7	29.6	66.7	100.0	0.353	0.153
	não testado	1	2.6%	100.0	100.0		100.0	100.0			1	2.6%	100.0	100.0		100.0	100.0		
VED pudim tempo de encerramento das VA										-0.111									-0.231
VED líquido latência	normal	10	26.3%	72.5	75.0	29.9	62.5	100.0			10	26.3%	95.8	100.0	13.2	100.0	100.0		
	alterada	26	68.4%	53.8	50.0	34.6	25.0	87.5	0.174	-0.127	26	68.4%	69.9	75.0	31.3	58.3	100.0	0.007	-0.307
	não testado	2	5.3%	87.5	87.5	17.7	75.0	100.0			2	5.3%	100.0	100.0	0.0	100.0	100.0		
VED líquido tempo de latência										-0.261									-0.357*
VED líquido whiteout	normal	0	0.0%								0	0.0%							
	alterada	36	94.7%	59.0	56.3	34.0	25.0	100.0	0.258	0.186	36	94.7%	77.1	87.5	29.7	62.5	100.0	0.183	0.219
	não testado	2	5.3%	87.5	87.5	17.7	75.0	100.0			2	5.3%	100.0	100.0	0.0	100.0	100.0		
VED líquido tempo de encerramento das VA										0.044									-0.073
VED bolacha latência	normal	13	34.2%	58.7	50.0	37.3	25.0	100.0			13	34.2%	80.1	83.3	27.0	66.7	100.0		
	alterada	22	57.9%	60.8	62.5	32.8	37.5	87.5	0.948	0.044	22	57.9%	74.2	87.5	31.9	58.3	100.0	0.236	0.091
	não testado	3	7.9%	66.7	75.0	38.2	25.0	100.0			3	7.9%	100.0	100.0	0.0	100.0	100.0		
VED bolacha tempo de latência										0.182									0.027

		SWALQOL-*Burden*									SWALQOL-Desejo de comer								
		N	%	Média	Mediana	DP	25	75	*p*	Correlação	N	%	Média	Mediana	DP	25	75	*p*	Correlação
VED bolacha whiteout	normal	0	0.0%								0	0.0%							
	alterada	35	92.1%	60.0	62.5	34.0	25.0	100.0	0.762	0.050	35	92.1%	76.4	83.3	29.9	58.3	100.0	0.098	0.272
	não testado	3	7.9%	66.7	75.0	38.2	25.0	100.0			3	7.9%	100.0	100.0	0.0	100.0	100.0		
VED bolacha tempo de encerramento das VA										-0.034									-0.022

Tabela 153 - Medidas descritivas, análise de correlação e diferenças estatísticas entre as variáveis da avaliação anatómica e funcional por VED e as escalas duração da alimentação e frequência de sintomas, do questionário da SWAL-QOL.

		SWALQOL-Duração da alimentação									SWALQOL-Frequência dos sintomas								
		N	%	Média	Mediana	DP	25	75	*p*	Correlação	N	%	Média	Mediana	DP	25	75	*p*	Correlação
VED acesso	direita	24	63.2%	49.0	50.0	37.0	12.5	81.3	0.579	0.093	24	63.2%	79.7	83.9	18.5	68.8	96.4	0.461	-0.123
	esquerda	14	36.8%	54.5	62.5	43.1	1.0	100.0			14	36.8%	75.9	79.5	15.5	60.7	89.3		
VED nasofaringe EVF anatomia	presente	36	94.7%	51.8	50.0	39.4	12.5	93.8	0.683	-0.068	36	94.7%	77.7	80.4	17.6	62.5	93.8	0.329	0.163
	ausente	2	5.3%	37.5	37.5	35.4	12.5	62.5			2	5.3%	89.3	89.3	10.1	82.1	96.4		
VED nasofaringe EVF deglutição de saliva	presente	38	100.0%	51.0	50.0	38.9	12.5	87.5			38	100.0%	78.3	81.3	17.3	64.3	94.6		
	ausente	0	0.0%								0	0.0%							
VED nasofaringe EVF som e sílaba	presente	37	97.4%	50.7	50.0	39.4	12.5	87.5	0.812	0.040	37	97.4%	78.2	80.4	17.6	64.3	94.6	0.851	0.031
	ausente	1	2.6%	62.5	62.5		62.5	62.5			1	2.6%	82.1	82.1		82.1	82.1		
VED nasofaringe EVF fala	presente	37	97.4%	50.7	50.0	39.4	12.5	87.5	0.812	0.040	37	97.4%	78.2	80.4	17.6	64.3	94.6	0.851	0.031
	ausente	1	2.6%	62.5	62.5		62.5	62.5			1	2.6%	82.1	82.1		82.1	82.1		
VED oro/hipofaringe anatomia	presente	4	10.5%	71.9	81.3	32.9	50.0	93.8	0.414	-0.136	4	10.5%	88.4	92.9	14.4	78.6	98.2	0.372	-0.149
	ausente	34	89.5%	48.6	50.0	39.2	12.5	87.5			34	89.5%	77.1	80.4	17.5	60.7	92.9		
VED oro/hipofaringe Movimento da base da língua	presente	34	89.5%	48.6	50.0	39.2	12.5	87.5	0.414	0.136	34	89.5%	78.4	81.3	16.6	64.3	92.9	0.596	-0.088
	ausente	4	10.5%	71.9	81.3	32.9	50.0	93.8			4	10.5%	77.2	82.2	26.1	56.3	98.2		
VED oro/hipofaringe resíduo nas valéculas	presente	25	65.8%	56.0	62.5	39.1	12.5	100.0	0.326	-0.164	25	65.8%	79.9	82.1	16.9	67.9	96.4	0.545	-0.101
	ausente	13	34.2%	41.4	37.5	38.2	1.0	75.0			13	34.2%	75.1	80.4	18.5	55.4	89.3		
VED oro/hipofaringe resíduos nos seios piriformes	presente	20	52.6%	61.9	75.0	39.0	18.8	100.0	0.077	-0.295	20	52.6%	82.5	86.6	15.9	72.3	96.4	0.180	-0.223
	ausente	18	47.4%	38.9	37.5	36.0	0.0	75.0			18	47.4%	73.6	79.5	18.1	55.4	85.7		
VED oro/hipofaringe produção /i/	presente	38	100.0%	51.0	50.0	38.9	12.5	87.5			38	100.0%	78.3	81.3	17.3	64.3	94.6		
	ausente	0	0.0%								0	0.0%							
VED oro/hipofaringe manipulação de secreções	presente	35	92.1%	49.3	50.0	38.9	12.5	87.5	0.563	0.096	35	92.1%	79.0	82.1	16.8	64.3	94.6	0.080	-0.292
	ausente	3	7.9%	70.8	87.5	40.2	25.0	100.0			3	7.9%	69.6	67.9	25.9	44.6	96.4		
VED laringe anatomia	presente	3	7.9%	70.8	87.5	40.2	25.0	100.0	0.563	-0.096	3	7.9%	84.5	89.3	14.8	67.9	96.4	0.973	0.006
	ausente	35	92.1%	49.3	50.0	38.9	12.5	87.5			35	92.1%	77.8	80.4	17.6	60.7	94.6		
VED laringe fala	presente	38	100.0%	51.0	50.0	38.9	12.5	87.5			38	100.0%	78.3	81.3	17.3	64.3	94.6		
	ausente	0	0.0%								0	0.0%							
VED laringe deglutição de saliva	presente	36	94.7%	48.6	50.0	38.6	12.5	81.3	0.184	0.221	36	94.7%	78.7	81.3	16.6	66.1	93.8	0.091	-0.282
	ausente	2	5.3%	93.8	93.8	8.8	87.5	100.0			2	5.3%	70.5	70.5	36.6	44.6	96.4		
VED laringe produção /i/	presente	38	100.0%	51.0	50.0	38.9	12.5	87.5			38	100.0%	78.3	81.3	17.3	64.3	94.6		
	ausente	0	0.0%								0	0.0%							
VED laringe tosse voluntária	presente	38	100.0%	51.0	50.0	38.9	12.5	87.5			38	100.0%	78.3	81.3	17.3	64.3	94.6		
	ausente	0	0.0%								0	0.0%							
VED laringe apneia	presente	38	100.0%	51.0	50.0	38.9	12.5	87.5			38	100.0%	78.3	81.3	17.3	64.3	94.6		

		SWALQOL-Duração da alimentação									SWALQOL-Frequência dos sintomas								
		N	%	Média	Mediana	DP	25	75	*p*	Correlação	N	%	Média	Mediana	DP	25	75	*p*	Correlação
VED sensibilidade da base da língua	ausente	0	0.0%						0.414	0.136	0	0.0%						0.596	-0.088
	presente	34	89.5%	48.6	50.0	39.2	12.5	87.5			34	89.5%	78.4	81.3	16.6	64.3	92.9		
	ausente	4	10.5%	71.9	81.3	32.9	50.0	93.8			4	10.5%	77.2	82.2	26.1	56.3	98.2		
VED sensibilidade nas aritnóides	presente								0.297	0.136								0.909	-0.088
	ausente																		
VED pudim escape prematuro	ausente	32	84.2%	48.1	50.0	38.9	6.8	81.3	0.368	0.150	32	84.2%	78.7	81.3	16.2	67.9	91.1	0.519	-0.108
	presente	5	13.2%	62.5	75.0	41.5	25.0	100.0			5	13.2%	71.8	67.9	24.9	51.8	94.6		
	não testado	1	2.6%	87.5	87.5		87.5	87.5			1	2.6%	96.4	96.4		96.4	96.4		
VED pudim resíduos nas valéculas	sem resíduo	11	28.9%	60.2	62.5	39.1	25.0	100.0	0.639	-0.093	11	28.9%	80.8	80.4	16.2	71.4	96.4	0.528	0.003
	resíduo ligeira a moderado	24	63.2%	45.4	37.5	39.8	6.8	81.3			24	63.2%	75.9	80.4	17.9	55.4	91.1		
	resíduo severo	2	5.3%	50.0	50.0	35.4	25.0	75.0			2	5.3%	84.0	84.0	22.7	67.9	100.0		
	não testado	1	2.6%	87.5	87.5		87.5	87.5			1	2.6%	96.4	96.4		96.4	96.4		
VED pudim resíduos nos seios piriformes	sem resíduo	22	57.9%	47.2	50.0	38.1	1.0	75.0	0.682	0.163	22	57.9%	75.9	80.4	17.2	60.7	87.5	0.438	0.159
	resíduo ligeira a moderado	12	31.6%	51.0	50.0	42.8	12.5	100.0			12	31.6%	83.0	87.5	14.9	75.9	95.5		
	resíduo severo	3	7.9%	66.7	75.0	38.2	25.0	100.0			3	7.9%	70.8	67.9	27.8	44.6	100.0		
	não testado	1	2.6%	87.5	87.5		87.5	87.5			1	2.6%	96.4	96.4		96.4	96.4		
VED pudim resíduo na parede faríngea	sem resíduo	26	68.4%	51.0	50.0	39.9	1.0	100.0	0.808	0.019	26	68.4%	76.9	80.4	17.2	60.7	89.3	0.500	0.126
	resíduo ligeira a moderado	10	26.3%	50.0	50.0	39.5	12.5	87.5			10	26.3%	81.1	84.8	18.7	73.2	96.4		
	resíduo severo	1	2.6%	25.0	25.0		25.0	25.0			1	2.6%	67.9	67.9		67.9	67.9		
	não testado	1	2.6%	87.5	87.5		87.5	87.5			1	2.6%	96.4	96.4		96.4	96.4		
VED pudim n.º de deglutições	1 deglutição	28	73.7%	46.0	43.8	38.0	6.3	75.0	0.132	0.235	28	73.7%	76.9	80.4	17.7	58.1	92.9	0.481	0.119
	1+1 adicional	0	0.0%								0	0.0%							
	1+2 adicionais	5	13.2%	67.5	75.0	37.1	50.0	100.0			5	13.2%	77.9	78.6	20.1	78.6	92.9		
	1+3 adicionais	2	5.3%	100.0	100.0	0.0	100.0	100.0			2	5.3%	92.9	92.9	10.1	85.7	100.0		
	1+4ou mais adicionais	2	5.3%	13.0	13.0	17.0	1.0	25.0			2	5.3%	75.0	75.0	10.0	67.9	82.1		
	não testado	1	2.6%	87.5	87.5		87.5	87.5			1	2.6%	96.4	96.4		96.4	96.4		
VED pudim reage sem tosse	ausente	34	89.5%	50.7	50.0	38.6	12.5	87.5	0.703	0.054	34	89.5%	77.5	80.4	17.8	60.7	92.9	0.511	0.125
	presente	3	7.9%	42.0	25.0	51.6	1.0	100.0			3	7.9%	81.5	82.1	13.4	67.9	94.6		
	não testado	1	2.6%	87.5	87.5		87.5	87.5			1	2.6%	96.4	96.4		96.4	96.4		
VED pudim função vocal	ausente	0	0.0%						0.406	0.137	0	0.0%						0.253	0.188
	presente	37	97.4%	50.0	50.0	38.9	12.5	87.5			37	97.4%	77.8	80.4	17.3	64.3	92.9		
	não testado	1	2.6%	87.5	87.5		87.5	87.5			1	2.6%	96.4	96.4		96.4	96.4		
VED líquido escape prematuro	ausente	24	63.2%	55.7	56.3	37.2	31.3	93.8	0.681	-0.110	24	63.2%	78.7	80.4	16.4	66.1	91.1	0.953	-0.004
	presente	12	31.6%	40.7	12.5	42.9	6.8	87.5			12	31.6%	76.9	82.1	20.2	58.1	95.5		
	não testado	2	5.3%	56.3	56.3	44.2	25.0	87.5			2	5.3%	82.2	82.2	20.2	67.9	96.4		
VED líquido resíduos nas valéculas	sem resíduo	13	34.2%	47.1	50.0	38.6	12.5	75.0	0.797	0.050	13	34.2%	75.7	80.4	17.0	60.7	89.3	0.851	0.109
	resíduo ligeira a moderado	22	57.9%	54.6	68.8	40.3	12.5	100.0			22	57.9%	79.5	83.9	18.4	64.3	96.4		

		SWALQOL-Duração da alimentação									SWALQOL-Frequência dos sintomas								
		N	%	Média	Mediana	DP	25	75	*p*	Correlação	N	%	Média	Mediana	DP	25	75	*p*	Correlação
	resíduo severo	1	2.6%	12.5	12.5		12.5	12.5			1	2.6%	78.6	78.6		78.6	78.6		
	não testado	2	5.3%	56.3	56.3	44.2	25.0	87.5			2	5.3%	82.2	82.2	20.2	67.9	96.4		
VED líquido resíduo nos seios piriformes	sem resíduo	23	60.5%	46.2	50.0	39.7	0.0	87.5	0.533	0.141	23	60.5%	76.6	80.4	17.0	60.7	89.3	0.827	0.117
	resíduo ligeira a moderado	12	31.6%	62.5	75.0	37.7	25.0	100.0			12	31.6%	80.9	89.3	19.6	64.3	96.4		
	resíduo severo	1	2.6%	12.5	12.5		12.5	12.5			1	2.6%	78.6	78.6		78.6	78.6		
	não testado	2	5.3%	56.3	56.3	44.2	25.0	87.5			2	5.3%	82.2	82.2	20.2	67.9	96.4		
VED líquido resíduo na parede faríngea	sem resíduo	32	84.2%	52.8	56.3	39.5	12.5	100.0	0.789	-0.100	32	84.2%	77.9	81.3	17.7	62.5	93.8	0.963	0.035
	resíduo ligeira a moderado	3	7.9%	41.7	37.5	43.9	0.0	87.5			3	7.9%	79.8	87.5	21.6	55.4	96.4		
	resíduo severo	1	2.6%	12.5	12.5		12.5	12.5			1	2.6%	78.6	78.6		78.6	78.6		
	não testado	2	5.3%	56.3	56.3	44.2	25.0	87.5			2	5.3%	82.2	82.2	20.2	67.9	96.4		
VED líquido n.º de deglutições	1 deglutição	31	81.6%	52.5	50.0	38.9	12.5	100.0	0.185	-0.079	31	81.6%	78.6	82.1	17.3	64.3	96.4	0.242	-0.073
	1+1 adicional	0	0.0%								0	0.0%							
	1+2 adicionais	2	5.3%	87.5	87.5	17.7	75.0	100.0			2	5.3%	93.8	93.8	1.2	92.9	94.6		
	1+3 adicionais	3	7.9%	8.3	12.5	7.2	0.0	12.5			3	7.9%	61.9	55.4	14.5	51.8	78.6		
	1+4ou mais adicionais	0	0.0%								0	0.0%							
	não testado	2	5.3%	56.3	56.3	44.2	25.0	87.5			2	5.3%	82.2	82.2	20.2	67.9	96.4		
VED líquido reage sem tosse	ausente	34	89.5%	53.3	56.3	38.8	12.5	100.0	0.396	-0.129	34	89.5%	77.9	81.3	18.0	60.7	94.6	0.955	0.014
	presente	2	5.3%	6.8	6.8	8.1	1.0	12.5			2	5.3%	80.4	80.4	2.5	78.6	82.1		
	não testado	2	5.3%	56.3	56.3	44.2	25.0	87.5			2	5.3%	82.2	82.2	20.2	67.9	96.4		
VED líquido função vocal	ausente	0	0.0%						0.843	0.033	0	0.0%						0.793	0.043
	presente	36	94.7%	50.7	50.0	39.3	12.5	93.8			36	94.7%	78.1	81.3	17.5	62.5	93.8		
	não testado	2	5.3%	56.3	56.3	44.2	25.0	87.5			2	5.3%	82.2	82.2	20.2	67.9	96.4		
VED bolacha escape prematuro	ausente	33	86.8%	47.0	50.0	38.7	12.5	75.0	0.239	0.264	33	86.8%	77.9	80.4	16.6	64.3	89.3	0.177	0.065
	presente	2	5.3%	87.5	87.5	17.7	75.0	100.0			2	5.3%	97.3	97.3	3.8	94.6	100.0		
	não testado	3	7.9%	70.8	87.5	40.2	25.0	100.0			3	7.9%	69.6	67.9	25.9	44.6	96.4		
VED bolacha resíduo nas valéculas	sem resíduo	2	5.3%	68.8	68.8	8.8	62.5	75.0	0.725	0.080	2	5.3%	88.4	88.4	11.3	80.4	96.4	0.776	-0.133
	resíduo ligeira a moderado	18	47.4%	45.8	43.8	41.1	12.5	100.0			18	47.4%	78.9	81.3	17.4	64.3	96.4		
	resíduo severo	15	39.5%	50.9	50.0	39.3	1.0	87.5			15	39.5%	78.0	82.1	17.0	55.4	92.9		
	não testado	3	7.9%	70.8	87.5	40.2	25.0	100.0			3	7.9%	69.6	67.9	25.9	44.6	96.4		
VED bolacha resíduo nos seios piriformes	sem resíduo	14	36.8%	42.0	43.8	41.1	0.0	75.0	0.545	0.232	14	36.8%	76.2	80.4	16.0	64.3	85.7	0.678	0.068
	resíduo ligeira a moderado	18	47.4%	53.5	50.0	39.5	12.5	100.0			18	47.4%	81.1	83.9	16.2	73.2	96.4		
	resíduo severo	3	7.9%	58.3	75.0	28.9	25.0	75.0			3	7.9%	80.4	92.9	28.1	48.2	100.0		
	não testado	3	7.9%	70.8	87.5	40.2	25.0	100.0			3	7.9%	69.6	67.9	25.9	44.6	96.4		
VED bolacha resíduo na parede faríngea	sem resíduo	6	15.8%	54.2	62.5	45.9	0.0	100.0	0.617	0.106	6	15.8%	84.5	87.5	14.7	71.4	96.4	0.700	-0.144
	resíduo ligeira a moderado	28	73.7%	46.9	43.8	38.1	12.5	75.0			28	73.7%	77.6	81.3	17.4	58.1	91.1		
	resíduo severo	1	2.6%	87.5	87.5		87.5	87.5			1	2.6%	87.5	87.5		87.5	87.5		

		SWALQOL-Duração da alimentação									SWALQOL-Frequência dos sintomas								
		N	%	Média	Mediana	DP	25	75	*p*	Correlação	N	%	Média	Mediana	DP	25	75	*p*	Correlação
VED bolacha n.º de deglutições	não testado	3	7.9%	70.8	87.5	40.2	25.0	100.0	0.418	0.150	3	7.9%	69.6	67.9	25.9	44.6	96.4	0.411	-0.151
	1 deglutição	2	5.3%	12.5	12.5	0.0	12.5	12.5			2	5.3%	96.4	96.4	0.0	96.4	96.4		
	1+1 adicional	0	0.0%								0	0.0%							
	1+2 adicionais	13	34.2%	57.7	62.5	37.0	50.0	75.0			13	34.2%	78.9	80.4	17.0	64.3	96.4		
	1+3 adicionais	12	31.6%	40.6	37.5	38.5	0.0	75.0			12	31.6%	74.1	78.6	18.2	55.4	89.3		
	1+4ou mais adicionais	8	21.1%	57.9	68.8	44.1	12.5	100.0			8	21.1%	82.4	83.9	14.4	78.6	91.1		
	não testado	3	7.9%	70.8	87.5	40.2	25.0	100.0			3	7.9%	69.6	67.9	25.9	44.6	96.4		
VED bolacha reage sem tosse	ausente	34	89.5%	50.7	50.0	38.6	12.5	87.5	0.377	0.058	34	89.5%	78.9	81.3	17.0	64.3	94.6	0.730	-0.106
	presente	1	2.6%	1.0	1.0		1.0	1.0			1	2.6%	82.1	82.1		82.1	82.1		
	não testado	3	7.9%	70.8	87.5	40.2	25.0	100.0			3	7.9%	69.6	67.9	25.9	44.6	96.4		
VED bolacha função vocal	ausente	0	0.0%						0.338	0.158	0	0.0%						0.431	-0.129
	presente	35	92.1%	49.3	50.0	38.9	12.5	87.5			35	92.1%	79.0	82.1	16.8	64.3	94.6		
	não testado	3	7.9%	70.8	87.5	40.2	25.0	100.0			3	7.9%	69.6	67.9	25.9	44.6	96.4		
VED aspiração	não	20	52.6%	49.4	50.0	40.4	0.0	87.5	0.891	0.079	20	52.6%	74.0	76.8	16.3	58.1	83.9	0.193	0.284
	sim	16	42.1%	52.4	50.0	39.0	12.5	93.8			16	42.1%	83.1	88.4	18.0	80.4	96.4		
	alto risco de aspiração	2	5.3%	56.3	56.3	44.2	25.0	87.5			2	5.3%	82.2	82.2	20.2	67.9	96.4		
VED momento de aspiração pudim	NA	31	81.6%	55.3	62.5	38.8	12.5	100.0	0.387	-0.281	31	81.6%	79.1	82.1	17.0	64.3	94.6	0.687	-0.120
	pré-deglutição	5	13.2%	42.5	25.0	38.1	12.5	62.5			5	13.2%	77.5	82.1	21.9	67.9	96.4		
	durante deglutição	1	2.6%	12.5	12.5		12.5	12.5			1	2.6%	78.6	78.6		78.6	78.6		
	pós-deglutição	1	2.6%	0.0	0.0		0.0	0.0			1	2.6%	55.4	55.4		55.4	55.4		
VED momento de aspiração líquido	NA	25	65.8%	49.0	50.0	40.0	12.5	87.5	0.735	0.106	25	65.8%	77.5	80.4	17.1	64.3	96.4	0.391	0.133
	pré-deglutição	2	5.3%	50.5	50.5	70.0	1.0	100.0			2	5.3%	63.4	63.4	26.5	44.6	82.1		
	durante deglutição	8	21.1%	48.4	50.0	35.0	18.8	75.0			8	21.1%	79.7	83.9	18.6	67.0	93.8		
	pós-deglutição	3	7.9%	75.0	87.5	33.1	37.5	100.0			3	7.9%	91.1	89.3	4.7	87.5	96.4		
VED momento de aspiração bolacha	NA	32	84.2%	48.5	50.0	39.2	6.8	87.5	0.352	0.155	32	84.2%	76.9	80.4	16.8	62.5	89.3	0.229	0.195
	pré-deglutição	0	0.0%								0	0.0%							
	durante deglutição	1	2.6%	100.0	100.0		100.0	100.0			1	2.6%	100.0	100.0		100.0	100.0		
	pós-deglutição	5	13.2%	57.5	75.0	37.1	25.0	75.0			5	13.2%	82.9	92.9	20.9	78.6	94.6		
VED PAS	1	21	55.3%	51.2	50.0	40.3	0.0	87.5	0.599	-0.044	21	55.3%	75.1	78.6	16.7	60.7	85.7	0.247	0.154
	2	9	23.7%	62.6	75.0	37.8	37.5	100.0			9	23.7%	86.3	89.3	15.3	85.7	94.6		
	3	4	10.5%	50.0	43.8	44.5	12.5	87.5			4	10.5%	84.4	96.4	26.6	70.5	98.2		
	4	3	7.9%	25.0	12.5	33.1	0.0	62.5			3	7.9%	72.0	78.6	14.5	55.4	82.1		

		SWALQOL-Duração da alimentação									SWALQOL-Frequência dos sintomas								
		N	%	Média	Mediana	DP	25	75	*p*	Correlação	N	%	Média	Mediana	DP	25	75	*p*	Correlação
	5	0	0.0%								0	0.0%							
	6	0	0.0%								0	0.0%							
	7	0	0.0%								0	0.0%							
	8	1	2.6%	25.0	25.0		25.0	25.0			1	2.6%	67.9	67.9		67.9	67.9		
VED limpeza	A - efetivo	6	15.8%	46.0	37.5	39.8	12.5	87.5			6	15.8%	87.5	86.6	6.9	82.1	94.6		
	B - moderadamente efetivo	5	13.2%	40.0	12.5	44.5	12.5	75.0			5	13.2%	78.6	96.4	26.4	55.4	96.4		
	C - ligeiramente efetivo	4	10.5%	65.6	68.8	31.3	43.8	87.5	0.882	0.006	4	10.5%	80.8	87.5	22.9	65.2	96.5	0.644	-0.255
	D - ineficaz	2	5.3%	62.5	62.5	53.0	25.0	100.0			2	5.3%	78.6	78.6	15.1	67.9	89.3		
	NA	21	55.3%	51.2	50.0	40.3	0.0	87.5			21	55.3%	75.1	78.6	16.7	60.7	85.7		
VED pudim latência	normal	9	23.7%	45.8	25.0	46.8	0.0	100.0			9	23.7%	69.3	71.4	13.3	64.3	80.4		
	alterada	28	73.7%	51.4	50.0	37.0	12.5	81.3	0.664	0.105	28	73.7%	80.5	83.9	17.8	67.0	96.4	0.061	0.386*
	não testado	1	2.6%	87.5	87.5		87.5	87.5			1	2.6%	96.4	96.4		96.4	96.4		
VED pudim tempo de latência										0.027									0.417*
VED pudim whiteout	normal	0	0.0%								0	0.0%							
	alterada	37	97.4%	50.0	50.0	38.9	12.5	87.5	0.406	0.137	37	97.4%	77.8	80.4	17.3	64.3	92.9	0.253	0.188
	não testado	1	2.6%	87.5	87.5		87.5	87.5			1	2.6%	96.4	96.4		96.4	96.4		
VED pudim tempo de encerramento das VA										-0.085									-0.317
VED líquido latência	normal	10	26.3%	66.3	81.3	40.4	37.5	100.0			10	26.3%	86.6	86.6	10.0	82.1	94.6		
	alterada	26	68.4%	44.8	43.8	37.9	12.5	75.0	0.376	-0.185	26	68.4%	74.8	78.6	18.7	55.4	92.9	0.222	-0.228
	não testado	2	5.3%	56.3	56.3	44.2	25.0	87.5			2	5.3%	82.2	82.2	20.2	67.9	96.4		
VED líquido tempo de latência										-0.209									-0.415*
VED líquido whiteout	normal	0	0.0%								0	0.0%							
	alterada	36	94.7%	50.7	50.0	39.3	12.5	93.8	0.843	0.033	36	94.7%	78.1	81.3	17.5	62.5	93.8	0.793	0.043
	não testado	2	5.3%	56.3	56.3	44.2	25.0	87.5			2	5.3%	82.2	82.2	20.2	67.9	96.4		
VED líquido tempo de encerramento das VA										0.202									-0.016
VED bolacha latência	normal	13	34.2%	46.2	50.0	37.9	12.5	75.0			13	34.2%	79.8	82.1	18.5	64.3	96.4		
	alterada	22	57.9%	51.1	50.0	40.3	12.5	100.0	0.597	0.131	22	57.9%	78.6	81.3	16.1	71.4	89.3	0.678	-0.124
	não testado	3	7.9%	70.8	87.5	40.2	25.0	100.0			3	7.9%	69.6	67.9	25.9	44.6	96.4		
VED bolacha tempo de latência										0.097									0.121

		SWALQOL-Duração da alimentação									SWALQOL-Frequência dos sintomas								
		N	%	Média	Mediana	DP	25	75	*p*	Correlação	N	%	Média	Mediana	DP	25	75	*p*	Correlação
VED bolacha whiteout	normal	0	0.0%								0	0.0%							
	alterada	35	92.1%	49.3	50.0	38.9	12.5	87.5	0.338	0.158	35	92.1%	79.0	82.1	16.8	64.3	94.6	0.431	-0.129
	não testado	3	7.9%	70.8	87.5	40.2	25.0	100.0			3	7.9%	69.6	67.9	25.9	44.6	96.4		
VED bolacha tempo de encerramento das VA										-0.074									-0.133

Tabela 154 - Medidas descritivas, análise de correlação e diferenças estatísticas entre as variáveis da avaliação anatómica e funcional por VED e as escalas seleção dos alimentos e comunicação, do questionário da SWAL-QOL.

		SWALQOL-Seleção dos alimentos									SWALQOL-Comunicação								
		N	%	Média	Mediana	DP	25	75	*p*	Correlação	N	%	Média	Mediana	DP	25	75	*p*	Correlação
VED acesso	direita	24	63.2%	75.0	100.0	30.6	50.0	100.0	0.452	-0.125	24	63.2%	72.4	100.0	36.5	50.0	100.0	0.947	0.011
	esquerda	14	36.8%	66.1	62.5	34.5	37.5	100.0			14	36.8%	76.8	87.5	29.8	50.0	100.0		
VED nasofaringe EVF anatomia	presente	36	94.7%	71.5	87.5	32.3	50.0	100.0	0.858	0.030	36	94.7%	75.3	93.8	32.1	50.0	100.0	0.615	-0.084
	ausente	2	5.3%	75.0	75.0	35.4	50.0	100.0			2	5.3%	50.0	50.0	70.7	0.0	100.0		
VED nasofaringe EVF deglutição de saliva	presente	38	100.0%	71.7	87.5	31.9	50.0	100.0			38	100.0%	74.0	93.8	33.8	50.0	100.0		
	ausente	0	0.0%								0	0.0%							
VED nasofaringe EVF som e sílaba	presente	37	97.4%	70.9	75.0	32.0	50.0	100.0	0.342	0.158	37	97.4%	73.3	87.5	34.0	50.0	100.0	0.341	0.159
	ausente	1	2.6%	100.0	100.0		100.0	100.0			1	2.6%	100.0	100.0		100.0	100.0		
VED nasofaringe EVF fala	presente	37	97.4%	70.9	75.0	32.0	50.0	100.0	0.342	0.158	37	97.4%	73.3	87.5	34.0	50.0	100.0	0.341	0.159
	ausente	1	2.6%	100.0	100.0		100.0	100.0			1	2.6%	100.0	100.0		100.0	100.0		
VED oro/hipofaringe anatomia	presente	4	10.5%	81.3	87.5	23.9	62.5	100.0	0.905	-0.020	4	10.5%	93.8	100.0	12.5	87.5	100.0	0.372	-0.149
	ausente	34	89.5%	70.6	87.5	32.8	50.0	100.0			34	89.5%	71.7	87.5	34.9	50.0	100.0		
VED oro/hipofaringe Movimento da base da língua	presente	34	89.5%	71.3	87.5	32.6	50.0	100.0	0.789	-0.045	34	89.5%	73.9	87.5	32.5	50.0	100.0	0.882	0.025
	ausente	4	10.5%	75.0	75.0	28.9	50.0	100.0			4	10.5%	75.0	100.0	50.0	50.0	100.0		
VED oro/hipofaringe resíduo nas valéculas	presente	25	65.8%	77.0	100.0	27.6	50.0	100.0	0.248	-0.193	25	65.8%	75.0	100.0	34.4	50.0	100.0	0.812	-0.40
	ausente	13	34.2%	61.5	62.5	38.0	37.5	100.0			13	34.2%	72.1	87.5	33.9	50.0	100.0		
VED oro/hipofaringe resíduos nos seios piriformes	presente	20	52.6%	76.3	100.0	28.4	50.0	100.0	0.527	-0.105	20	52.6%	76.3	100.0	36.7	62.5	100.0	0.435	-0.130
	ausente	18	47.4%	66.7	68.8	35.6	37.5	100.0			18	47.4%	71.5	87.5	31.2	50.0	100.0		
VED oro/hipofaringe produção /i/	presente	38	100.0%	71.7	87.5	31.9	50.0	100.0			38	100.0%	74.0	93.8	33.8	50.0	100.0		
	ausente	0	0.0%								0	0.0%							
VED oro/hipofaringe manipulação de secreções	presente	35	92.1%	72.1	100.0	32.5	50.0	100.0	0.315	-0.167	35	92.1%	74.6	87.5	32.3	50.0	100.0	0.615	-0.084
	ausente	3	7.9%	66.7	50.0	28.9	50.0	100.0			3	7.9%	66.7	100.0	57.7	0.0	100.0		
VED laringe anatomia	presente	3	7.9%	75.0	75.0	25.0	50.0	100.0	0.591	0.090	3	7.9%	91.7	100.0	14.4	75.0	100.0	0.693	-0.066
	ausente	35	92.1%	71.4	100.0	32.7	50.0	100.0			35	92.1%	72.5	87.5	34.7	50.0	100.0		
VED laringe fala	presente	38	100.0%	71.7	87.5	31.9	50.0	100.0			38	100.0%	74.0	93.8	33.8	50.0	100.0		
	ausente	0	0.0%								0	0.0%							
VED laringe deglutição de saliva	presente	36	94.7%	71.5	87.5	32.3	50.0	100.0	0.484	-0.117	36	94.7%	75.3	93.8	32.1	50.0	100.0	0.098	-0.276
	ausente	2	5.3%	75.0	75.0	35.4	50.0	100.0			2	5.3%	50.0	50.0	70.7	0.0	100.0		
VED laringe produção /i/	presente	38	100.0%	71.7	87.5	31.9	50.0	100.0			38	100.0%	74.0	93.8	33.8	50.0	100.0		
	ausente	0	0.0%								0	0.0%							
VED laringe tosse voluntária	presente	38	100.0%	71.7	87.5	31.9	50.0	100.0			38	100.0%	74.0	93.8	33.8	50.0	100.0		
	ausente	0	0.0%								0	0.0%							
VED laringe apneia	presente	38	100.0%	71.7	87.5	31.9	50.0	100.0			38	100.0%	74.0	93.8	33.8	50.0	100.0		

		SWALQOL-Seleção dos alimentos									SWALQOL-Comunicação								
		N	%	Média	Mediana	DP	25	75	*p*	Correlação	N	%	Média	Mediana	DP	25	75	*p*	Correlação
VED sensibilidade da base da língua	ausente	0	0.0%						0.789	-0.045	0	0.0%						0.882	0.025
	presente	34	89.5%	71.3	87.5	32.6	50.0	100.0			34	89.5%	73.9	87.5	32.5	50.0	100.0		
	ausente	4	10.5%	75.0	75.0	28.9	50.0	100.0			4	10.5%	75.0	100.0	50.0	50.0	100.0		
VED sensibilidade nas aritnóides	presente								0.873	-0.045								0.598	0.025
	ausente																		
VED pudim escape prematuro	ausente	32	84.2%	72.3	87.5	31.5	50.0	100.0	0.585	-0.091	32	84.2%	73.8	87.5	32.9	50.0	100.0	0.905	0.020
	presente	5	13.2%	62.5	50.0	37.5	50.0	100.0			5	13.2%	70.0	100.0	44.7	50.0	100.0		
	não testado	1	2.6%	100.0	100.0		100.0	100.0			1	2.6%	100.0	100.0		100.0	100.0		
VED pudim resíduos nas valéculas	sem resíduo	11	28.9%	73.9	75.0	28.2	50.0	100.0	0.807	0.023	11	28.9%	68.2	75.0	33.7	50.0	100.0	0.368	0.237
	resíduo ligeira a moderado	24	63.2%	69.3	87.5	34.6	43.8	100.0			24	63.2%	73.4	93.8	35.2	50.0	100.0		
	resíduo severo	2	5.3%	75.0	75.0	35.4	50.0	100.0			2	5.3%	100.0	100.0	0.0	100.0	100.0		
	não testado	1	2.6%	100.0	100.0		100.0	100.0			1	2.6%	100.0	100.0		100.0	100.0		
VED pudim resíduos nos seios piriformes	sem resíduo	22	57.9%	67.0	68.8	35.0	37.5	100.0	0.626	0.142	22	57.9%	72.7	81.3	29.5	50.0	100.0	0.704	0.155
	resíduo ligeira a moderado	12	31.6%	79.2	100.0	27.4	50.0	100.0			12	31.6%	76.0	100.0	38.6	62.5	100.0		
	resíduo severo	3	7.9%	66.7	50.0	28.9	50.0	100.0			3	7.9%	66.7	100.0	57.7	0.0	100.0		
	não testado	1	2.6%	100.0	100.0		100.0	100.0			1	2.6%	100.0	100.0		100.0	100.0		
VED pudim resíduo na parede faríngea	sem resíduo	26	68.4%	68.8	75.0	34.0	37.5	100.0	0.573	0.128	26	68.4%	75.5	87.5	28.2	50.0	100.0	0.618	0.111
	resíduo ligeira a moderado	10	26.3%	78.8	100.0	27.7	50.0	100.0			10	26.3%	65.0	100.0	47.4	0.0	100.0		
	resíduo severo	1	2.6%	50.0	50.0		50.0	50.0			1	2.6%	100.0	100.0		100.0	100.0		
	não testado	1	2.6%	100.0	100.0		100.0	100.0			1	2.6%	100.0	100.0		100.0	100.0		
VED pudim n.º de deglutições	1 deglutição	28	73.7%	72.8	87.5	31.0	50.0	100.0	0.211	-0.036	28	73.7%	71.0	81.3	34.2	50.0	100.0	0.517	0.196
	1+1 adicional	0	0.0%								0	0.0%							
	1+2 adicionais	5	13.2%	67.5	50.0	30.1	50.0	100.0			5	13.2%	67.5	87.5	42.9	50.0	100.0		
	1+3 adicionais	2	5.3%	100.0	100.0	0.0	100.0	100.0			2	5.3%	93.8	93.8	8.8	87.5	100.0		
	1+4ou mais adicionais	2	5.3%	25.0	25.0	35.4	0.0	50.0			2	5.3%	100.0	100.0	0.0	100.0	100.0		
	não testado	1	2.6%	100.0	100.0		100.0	100.0			1	2.6%	100.0	100.0		100.0	100.0		
VED pudim reage sem tosse	ausente	34	89.5%	72.8	87.5	30.4	50.0	100.0	0.427	-0.049	34	89.5%	71.0	87.5	34.5	50.0	100.0	0.151	0.319
	presente	3	7.9%	50.0	50.0	50.0	0.0	100.0			3	7.9%	100.0	100.0	0.0	100.0	100.0		
	não testado	1	2.6%	100.0	100.0		100.0	100.0			1	2.6%	100.0	100.0		100.0	100.0		
VED pudim função vocal	ausente	0	0.0%						0.352	0.153	0	0.0%						0.351	0.153
	presente	37	97.4%	70.9	75.0	32.0	50.0	100.0			37	97.4%	73.3	87.5	34.0	50.0	100.0		
	não testado	1	2.6%	100.0	100.0		100.0	100.0			1	2.6%	100.0	100.0		100.0	100.0		
VED líquido escape prematuro	ausente	24	63.2%	79.7	100.0	26.8	56.3	100.0	0.151	-0.273	24	63.2%	77.6	87.5	28.3	50.0	100.0	0.341	0.012
	presente	12	31.6%	55.2	50.0	37.1	25.0	100.0			12	31.6%	62.5	75.0	43.3	25.0	100.0		
	não testado	2	5.3%	75.0	75.0	35.4	50.0	100.0			2	5.3%	100.0	100.0	0.0	100.0	100.0		
VED líquido resíduos nas valéculas	sem resíduo	13	34.2%	57.7	50.0	29.1	37.5	75.0	0.069	0.272	13	34.2%	71.2	75.0	24.1	50.0	87.5	0.221	0.236
	resíduo ligeira a moderado	22	57.9%	81.3	100.0	31.3	50.0	100.0			22	57.9%	74.4	100.0	39.8	50.0	100.0		

		SWALQOL-Seleção dos alimentos									SWALQOL-Comunicação								
		N	%	Média	Mediana	DP	25	75	*p*	Correlação	N	%	Média	Mediana	DP	25	75	*p*	Correlação
	resíduo severo	1	2.6%	37.5	37.5		37.5	37.5			1	2.6%	50.0	50.0		50.0	50.0		
	não testado	2	5.3%	75.0	75.0	35.4	50.0	100.0			2	5.3%	100.0	100.0	0.0	100.0	100.0		
VED líquido resíduo nos seios piriformes	sem resíduo	23	60.5%	65.8	62.5	34.8	37.5	100.0	0.218	0.179	23	60.5%	74.5	87.5	28.6	50.0	100.0	0.386	0.138
	resíduo ligeira a moderado	12	31.6%	85.4	100.0	22.5	62.5	100.0			12	31.6%	70.8	100.0	45.0	25.0	100.0		
	resíduo severo	1	2.6%	37.5	37.5		37.5	37.5			1	2.6%	50.0	50.0		50.0	50.0		
	não testado	2	5.3%	75.0	75.0	35.4	50.0	100.0			2	5.3%	100.0	100.0	0.0	100.0	100.0		
VED líquido resíduo na parede faríngea	sem resíduo	32	84.2%	69.9	75.0	32.5	50.0	100.0	0.240	0.106	32	84.2%	70.7	87.5	35.0	50.0	100.0	0.134	0.261
	resíduo ligeira a moderado	3	7.9%	100.0	100.0	0.0	100.0	100.0			3	7.9%	100.0	100.0	0.0	100.0	100.0		
	resíduo severo	1	2.6%	37.5	37.5		37.5	37.5			1	2.6%	50.0	50.0		50.0	50.0		
	não testado	2	5.3%	75.0	75.0	35.4	50.0	100.0			2	5.3%	100.0	100.0	0.0	100.0	100.0		
VED líquido n.º de deglutições	1 deglutição	31	81.6%	71.8	75.0	31.3	50.0	100.0	0.390	-0.011	31	81.6%	71.4	87.5	35.4	50.0	100.0	0.266	0.182
	1+1 adicional	0	0.0%								0	0.0%							
	1+2 adicionais	2	5.3%	100.0	100.0	0.0	100.0	100.0			2	5.3%	100.0	100.0	0.0	100.0	100.0		
	1+3 adicionais	3	7.9%	50.0	37.5	45.1	12.5	100.0			3	7.9%	66.7	50.0	28.9	50.0	100.0		
	1+4ou mais adicionais	0	0.0%								0	0.0%							
	não testado	2	5.3%	75.0	75.0	35.4	50.0	100.0			2	5.3%	100.0	100.0	0.0	100.0	100.0		
VED líquido reage sem tosse	ausente	34	89.5%	74.6	100.0	30.1	50.0	100.0	0.087	-0.232	34	89.5%	72.4	87.5	34.6	50.0	100.0	0.409	0.164
	presente	2	5.3%	18.8	18.8	26.5	0.0	37.5			2	5.3%	75.0	75.0	35.4	50.0	100.0		
	não testado	2	5.3%	75.0	75.0	35.4	50.0	100.0			2	5.3%	100.0	100.0	0.0	100.0	100.0		
VED líquido função vocal	ausente	0	0.0%						0.888	0.023	0	0.0%						0.181	0.220
	presente	36	94.7%	71.5	87.5	32.3	50.0	100.0			36	94.7%	72.6	87.5	34.2	50.0	100.0		
	não testado	2	5.3%	75.0	75.0	35.4	50.0	100.0			2	5.3%	100.0	100.0	0.0	100.0	100.0		
VED bolacha escape prematuro	ausente	33	86.8%	70.5	75.0	32.7	50.0	100.0	0.401	0.089	33	86.8%	73.1	87.5	32.6	50.0	100.0	0.401	0.149
	presente	2	5.3%	100.0	100.0	0.0	100.0	100.0			2	5.3%	100.0	100.0	0.0	100.0	100.0		
	não testado	3	7.9%	66.7	50.0	28.9	50.0	100.0			3	7.9%	66.7	100.0	57.7	0.0	100.0		
VED bolacha resíduo nas valéculas	sem resíduo	2	5.3%	81.3	81.3	26.5	62.5	100.0	0.322	0.170	2	5.3%	100.0	100.0	0.0	100.0	100.0	0.015	0.292
	resíduo ligeira a moderado	18	47.4%	63.2	56.3	31.6	37.5	100.0			18	47.4%	59.0	50.0	33.7	50.0	87.5		
	resíduo severo	15	39.5%	81.7	100.0	33.0	50.0	100.0			15	39.5%	90.0	100.0	22.3	87.5	100.0		
	não testado	3	7.9%	66.7	50.0	28.9	50.0	100.0			3	7.9%	66.7	100.0	57.7	0.0	100.0		
VED bolacha resíduo nos seios piriformes	sem resíduo	14	36.8%	66.1	68.8	36.2	37.5	100.0	0.403	0.146	14	36.8%	73.2	87.5	31.7	50.0	100.0	0.993	0.040
	resíduo ligeira a moderado	18	47.4%	72.2	87.5	30.8	50.0	100.0			18	47.4%	75.7	87.5	33.1	50.0	100.0		
	resíduo severo	3	7.9%	100.0	100.0	0.0	100.0	100.0			3	7.9%	75.0	100.0	43.3	25.0	100.0		
	não testado	3	7.9%	66.7	50.0	28.9	50.0	100.0			3	7.9%	66.7	100.0	57.7	0.0	100.0		
VED bolacha resíduo na parede faríngea	sem resíduo	6	15.8%	68.8	75.0	35.1	37.5	100.0	0.795	0.053	6	15.8%	79.2	87.5	24.6	50.0	100.0	0.810	0.031
	resíduo ligeira a moderado	28	73.7%	71.9	87.5	32.7	50.0	100.0			28	73.7%	72.8	87.5	34.2	50.0	100.0		
	resíduo severo	1	2.6%	100.0	100.0		100.0	100.0			1	2.6%	100.0	100.0		100.0	100.0		

		SWALQOL-Seleção dos alimentos									SWALQOL-Comunicação								
		N	%	Média	Mediana	DP	25	75	*p*	Correlação	N	%	Média	Mediana	DP	25	75	*p*	Correlação
	não testado	3	7.9%	66.7	50.0	28.9	50.0	100.0			3	7.9%	66.7	100.0	57.7	0.0	100.0		
VED bolacha n.º de deglutições	1 deglutição	2	5.3%	50.0	50.0	0.0	50.0	50.0	0.574	0.019	2	5.3%	0.0	0.0	0.0	0.0	0.0	0.204	0.213
	1+1 adicional	0	0.0%								0	0.0%							
	1+2 adicionais	13	34.2%	72.1	75.0	29.4	50.0	100.0			13	34.2%	76.0	87.5	30.8	50.0	100.0		
	1+3 adicionais	12	31.6%	82.3	100.0	29.9	68.8	100.0			12	31.6%	79.2	100.0	27.9	50.0	100.0		
	1+4ou mais adicionais	8	21.1%	62.5	75.0	42.8	25.0	100.0			8	21.1%	84.4	93.8	21.9	68.8	100.0		
	não testado	3	7.9%	66.7	50.0	28.9	50.0	100.0			3	7.9%	66.7	100.0	57.7	0.0	100.0		
VED bolacha reage sem tosse	ausente	34	89.5%	74.3	100.0	30.5	50.0	100.0	0.179	-0.190	34	89.5%	73.9	87.5	32.5	50.0	100.0	0.639	0.091
	presente	1	2.6%	0.0	0.0		0.0	0.0			1	2.6%	100.0	100.0		100.0	100.0		
	não testado	3	7.9%	66.7	50.0	28.9	50.0	100.0			3	7.9%	66.7	100.0	57.7	0.0	100.0		
VED bolacha função vocal	ausente	0	0.0%						0.749	-0.053	0	0.0%						0.907	0.019
	presente	35	92.1%	72.1	100.0	32.5	50.0	100.0			35	92.1%	74.6	87.5	32.3	50.0	100.0		
	não testado	3	7.9%	66.7	50.0	28.9	50.0	100.0			3	7.9%	66.7	100.0	57.7	0.0	100.0		
VED aspiração	não	20	52.6%	65.6	62.5	32.4	37.5	100.0	0.412	0.206	20	52.6%	76.3	87.5	28.4	50.0	100.0	0.399	0.062
	sim	16	42.1%	78.9	100.0	31.5	50.0	100.0			16	42.1%	68.0	93.8	40.8	37.5	100.0		
	alto risco de aspiração	2	5.3%	75.0	75.0	35.4	50.0	100.0			2	5.3%	100.0	100.0	0.0	100.0	100.0		
VED momento de aspiração pudim	NA	31	81.6%	73.8	100.0	33.1	50.0	100.0	0.337	-0.151	31	81.6%	79.4	100.0	27.3	50.0	100.0	0.259	-0.201
	pré-deglutição	5	13.2%	60.0	50.0	22.4	50.0	50.0			5	13.2%	40.0	0.0	54.8	0.0	100.0		
	durante deglutição	1	2.6%	37.5	37.5		37.5	37.5			1	2.6%	50.0	50.0		50.0	50.0		
	pós-deglutição	1	2.6%	100.0	100.0		100.0	100.0			1	2.6%	100.0	100.0		100.0	100.0		
VED momento de aspiração líquido	NA	25	65.8%	66.5	62.5	31.0	50.0	100.0	0.041	0.299	25	65.8%	72.5	87.5	34.0	50.0	100.0	0.737	0.137
	pré-deglutição	2	5.3%	25.0	25.0	35.4	0.0	50.0			2	5.3%	50.0	50.0	70.7	0.0	100.0		
	durante deglutição	8	21.1%	92.2	100.0	22.1	100.0	100.0			8	21.1%	78.1	100.0	31.2	50.0	100.0		
	pós-deglutição	3	7.9%	91.7	100.0	14.4	75.0	100.0			3	7.9%	91.7	100.0	14.4	75.0	100.0		
VED momento de aspiração bolacha	NA	32	84.2%	68.4	68.8	32.2	50.0	100.0	0.308	0.239	32	84.2%	73.4	93.8	34.6	50.0	100.0	0.974	0.020
	pré-deglutição	0	0.0%								0	0.0%							
	durante deglutição	1	2.6%	100.0	100.0		100.0	100.0			1	2.6%	87.5	87.5		87.5	87.5		
	pós-deglutição	5	13.2%	87.5	100.0	28.0	100.0	100.0			5	13.2%	75.0	100.0	35.4	50.0	100.0		
VED PAS	1	21	55.3%	67.3	62.5	32.5	37.5	100.0	0.435	0.097	21	55.3%	77.4	87.5	28.1	50.0	100.0	0.244	-0.041
	2	9	23.7%	86.1	100.0	33.3	100.0	100.0			9	23.7%	81.9	100.0	27.3	75.0	100.0		
	3	4	10.5%	62.5	50.0	25.0	50.0	75.0			4	10.5%	25.0	0.0	50.0	0.0	50.0		
	4	3	7.9%	79.2	100.0	36.1	37.5	100.0			3	7.9%	83.3	100.0	28.9	50.0	100.0		

		SWALQOL-Seleção dos alimentos									SWALQOL-Comunicação								
		N	%	Média	Mediana	DP	25	75	*p*	Correlação	N	%	Média	Mediana	DP	25	75	*p*	Correlação
	5	0	0.0%								0	0.0%							
	6	0	0.0%								0	0.0%							
	7	0	0.0%								0	0.0%							
	8	1	2.6%	50.0	50.0		50.0	50.0			1	2.6%	100.0	100.0		100.0	100.0		
VED limpeza	A - efetivo	6	15.8%	72.9	100.0	43.6	37.5	100.0			6	15.8%	83.3	100.0	25.8	50.0	100.0		
	B - moderadamente efetivo	5	13.2%	70.0	50.0	27.4	50.0	100.0			5	13.2%	40.0	0.0	54.8	0.0	100.0		
	C - ligeiramente efetivo	4	10.5%	100.0	100.0	0.0	100.0	100.0	0.371	-0.141	4	10.5%	78.1	93.8	35.9	56.3	100.0	0.630	0.017
	D - ineficaz	2	5.3%	62.5	62.5	17.7	50.0	75.0			2	5.3%	87.5	87.5	17.7	75.0	100.0		
	NA	21	55.3%	67.3	62.5	32.5	37.5	100.0			21	55.3%	77.4	87.5	28.1	50.0	100.0		
VED pudim latência	normal	9	23.7%	54.2	50.0	37.0	25.0	100.0			9	23.7%	69.4	75.0	34.9	50.0	100.0		
	alterada	28	73.7%	76.3	100.0	28.9	50.0	100.0	0.146	0.320	28	73.7%	74.6	93.8	34.3	50.0	100.0	0.594	0.119
	não testado	1	2.6%	100.0	100.0		100.0	100.0			1	2.6%	100.0	100.0		100.0	100.0		
VED pudim tempo de latência										0.401*									0.165
VED pudim whiteout	normal	0	0.0%								0	0.0%							
	alterada	37	97.4%	70.9	75.0	32.0	50.0	100.0	0.352	0.153	37	97.4%	73.3	87.5	34.0	50.0	100.0	0.351	0.153
	não testado	1	2.6%	100.0	100.0		100.0	100.0			1	2.6%	100.0	100.0		100.0	100.0		
VED pudim tempo de encerramento das VA										-0.239									-0.109
VED líquido latência	normal	10	26.3%	85.0	100.0	20.2	62.5	100.0			10	26.3%	81.3	93.8	23.0	50.0	100.0		
	alterada	26	68.4%	66.3	62.5	34.8	37.5	100.0	0.299	-0.213	26	68.4%	69.2	87.5	37.5	50.0	100.0	0.341	0.017
	não testado	2	5.3%	75.0	75.0	35.4	50.0	100.0			2	5.3%	100.0	100.0	0.0	100.0	100.0		
VED líquido tempo de latência										-0.159									-0.026
VED líquido whiteout	normal	0	0.0%								0	0.0%							
	alterada	36	94.7%	71.5	87.5	32.3	50.0	100.0	0.888	0.023	36	94.7%	72.6	87.5	34.2	50.0	100.0	0.181	0.220
	não testado	2	5.3%	75.0	75.0	35.4	50.0	100.0			2	5.3%	100.0	100.0	0.0	100.0	100.0		
VED líquido tempo de encerramento das VA										-0.028									-0.022
VED bolacha latência	normal	13	34.2%	65.4	62.5	34.3	50.0	100.0			13	34.2%	70.2	87.5	37.3	50.0	100.0		
	alterada	22	57.9%	76.1	100.0	31.6	37.5	100.0	0.683	0.085	22	57.9%	77.3	93.8	29.5	50.0	100.0	0.911	0.068
	não testado	3	7.9%	66.7	50.0	28.9	50.0	100.0			3	7.9%	66.7	100.0	57.7	0.0	100.0		
VED bolacha tempo de latência										0.324									0.126

		SWALQOL-Seleção dos alimentos									SWALQOL-Comunicação								
		N	%	Média	Mediana	DP	25	75	*p*	Correlação	N	%	Média	Mediana	DP	25	75	*p*	Correlação
VED bolacha whiteout	normal	0	0.0%						0.749	-0.053	0	0.0%						0.907	0.019
	alterada	35	92.1%	72.1	100.0	32.5	50.0	100.0			35	92.1%	74.6	87.5	32.3	50.0	100.0		
	não testado	3	7.9%	66.7	50.0	28.9	50.0	100.0			3	7.9%	66.7	100.0	57.7	0.0	100.0		
VED bolacha tempo de encerramento das VA										-0.050									0.084

Tabela 155 -Medidas descritivas, análise de correlação e diferenças estatísticas entre as variáveis da avaliação anatómica e funcional por VED e as escalas receios e saúde mental, do questionário da SWAL-QOL.

		SWALQOL-Receios									SWALQOL-Saúde mental								
		N	%	Média	Mediana	DP	25	75	*p*	Correlação	N	%	Média	Mediana	DP	25	75	*p*	Correlação
VED acesso	direita	24	63.2%	67.2	75.0	34.5	43.8	100.0	0.575	0.093	24	63.2%	68.8	72.5	31.9	47.5	100.0	0.596	0.088
	esquerda	14	36.8%	73.6	84.4	29.8	50.0	100.0			14	36.8%	74.3	80.0	29.9	50.0	100.0		
VED nasofaringe EVF anatomia	presente	36	94.7%	70.1	81.3	32.4	43.8	100.0	0.536	-0.103	36	94.7%	70.4	80.0	31.3	45.0	100.0	0.705	0.063
	ausente	2	5.3%	59.4	59.4	48.6	25.0	93.8			2	5.3%	77.5	77.5	31.8	55.0	100.0		
VED nasofaringe EVF deglutição de saliva	presente	38	100.0%	69.6	81.3	32.6	43.8	100.0			38	100.0%	70.8	80.0	30.9	50.0	100.0		
	ausente	0	0.0%								0	0.0%							
VED nasofaringe EVF som e sílaba	presente	37	97.4%	68.9	81.3	32.8	43.8	100.0	0.632	0.080	37	97.4%	70.0	80.0	30.9	50.0	100.0	0.249	0.192
	ausente	1	2.6%	93.8	93.8		93.8	93.8			1	2.6%	100.0	100.0		100.0	100.0		
VED nasofaringe EVF fala	presente	37	97.4%	68.9	81.3	32.8	43.8	100.0	0.632	0.080	37	97.4%	70.0	80.0	30.9	50.0	100.0	0.249	0.192
	ausente	1	2.6%	93.8	93.8		93.8	93.8			1	2.6%	100.0	100.0		100.0	100.0		
VED oro/hipofaringe anatomia	presente	4	10.5%	82.8	100.0	34.4	65.7	100.0	0.494	-0.114	4	10.5%	93.8	97.5	9.5	87.5	100.0	0.318	-0.166
	ausente	34	89.5%	68.0	78.2	32.5	43.8	100.0			34	89.5%	68.1	75.0	31.5	40.0	100.0		
VED oro/hipofaringe Movimento da base da língua	presente	34	89.5%	71.0	81.3	30.7	43.8	100.0	0.319	-0.166	34	89.5%	70.4	80.0	29.1	50.0	100.0	0.932	-0.14
	ausente	4	10.5%	57.8	65.7	50.3	15.7	100.0			4	10.5%	73.8	97.5	49.2	47.5	100.0		
VED oro/hipofaringe resíduo nas valéculas	presente	25	65.8%	75.5	87.5	30.5	62.5	100.0	0.228	0.425	25	65.8%	75.2	80.0	30.1	55.0	100.0	0.275	-0.182
	ausente	13	34.2%	58.1	50.0	34.7	43.8	100.0			13	34.2%	62.3	55.0	31.9	40.0	100.0		
VED oro/hipofaringe resíduos nos seios piriformes	presente	20	52.6%	74.1	90.7	33.5	40.7	100.0	0.401	-0.140	20	52.6%	73.5	87.5	32.6	47.5	100.0	0.652	-0.075
	ausente	18	47.4%	64.6	68.8	31.8	43.8	100.0			18	47.4%	67.8	67.5	29.6	50.0	100.0		
VED oro/hipofaringe produção /i/	presente	38	100.0%	69.6	81.3	32.6	43.8	100.0			38	100.0%	70.8	80.0	30.9	50.0	100.0		
	ausente	0	0.0%								0	0.0%							
VED oro/hipofaringe manipulação de secreções	presente	35	92.1%	71.8	81.3	30.6	43.8	100.0	0.043	-0.338*	35	92.1%	71.3	80.0	29.1	50.0	100.0	0.353	-0.155
	ausente	3	7.9%	43.8	31.3	51.2	0.0	100.0			3	7.9%	65.0	95.0	56.3	0.0	100.0		
VED laringe anatomia	presente	3	7.9%	77.1	100.0	39.7	31.3	100.0	1.000	0.000	3	7.9%	91.7	95.0	10.4	80.0	100.0	0.705	-0.063
	ausente	35	92.1%	68.9	81.3	32.5	43.8	100.0			35	92.1%	69.0	80.0	31.5	40.0	100.0		
VED laringe fala	presente	38	100.0%	69.6	81.3	32.6	43.8	100.0			38	100.0%	70.8	80.0	30.9	50.0	100.0		
	ausente	0	0.0%								0	0.0%							
VED laringe deglutição de saliva	presente	36	94.7%	70.7	81.3	30.9	43.8	100.0	0.093	-0.280	36	94.7%	71.9	80.0	29.0	52.5	100.0	0.084	-0.288
	ausente	2	5.3%	50.0	50.0	70.7	0.0	100.0			2	5.3%	50.0	50.0	70.7	0.0	100.0		
VED laringe produção /i/	presente	38	100.0%	69.6	81.3	32.6	43.8	100.0			38	100.0%	70.8	80.0	30.9	50.0	100.0		
	ausente	0	0.0%								0	0.0%							
VED laringe tosse voluntária	presente	38	100.0%	69.6	81.3	32.6	43.8	100.0			38	100.0%	70.8	80.0	30.9	50.0	100.0		
	ausente	0	0.0%								0	0.0%							
VED laringe apneia	presente	38	100.0%	69.6	81.3	32.6	43.8	100.0			38	100.0%	70.8	80.0	30.9	50.0	100.0		

		SWALQOL-Receios									SWALQOL-Saúde mental								
		N	%	Média	Mediana	DP	25	75	*p*	Correlação	N	%	Média	Mediana	DP	25	75	*p*	Correlação
	ausente	0	0.0%								0	0.0%							
VED sensibilidade da base da língua	presente	34	89.5%	71.0	81.3	30.7	43.8	100.0	0.319	-0.166	34	89.5%	70.4	80.0	29.1	50.0	100.0	0.932	-0.014
	ausente	4	10.5%	57.8	65.7	50.3	15.7	100.0			4	10.5%	73.8	97.5	49.2	47.5	100.0		
VED sensibilidade nas aritnóides	presente								0.766	-0.166								0.663	-0.014
	ausente																		
VED pudim escape prematuro	ausente	32	84.2%	70.9	81.3	30.8	46.9	100.0	0.510	-0.110	32	84.2%	70.0	80.0	29.5	45.0	100.0	0.855	0.030
	presente	5	13.2%	55.0	43.8	44.1	31.3	100.0			5	13.2%	70.0	95.0	43.4	55.0	100.0		
	não testado	1	2.6%	100.0	100.0		100.0	100.0			1	2.6%	100.0	100.0		100.0	100.0		
VED pudim resíduos nas valéculas	sem resíduo	11	28.9%	76.7	100.0	30.0	43.8	100.0	0.454	-0.099	11	28.9%	62.3	65.0	32.3	40.0	100.0	0.352	0.261
	resíduo ligeira a moderado	24	63.2%	65.4	75.0	33.6	43.8	96.9			24	63.2%	71.3	80.0	30.8	55.0	100.0		
	resíduo severo	2	5.3%	65.7	65.7	48.6	31.3	100.0			2	5.3%	97.5	97.5	3.5	95.0	100.0		
	não testado	1	2.6%	100.0	100.0		100.0	100.0			1	2.6%	100.0	100.0		100.0	100.0		
VED pudim resíduos nos seios piriformes	sem resíduo	22	57.9%	69.6	78.2	31.8	43.8	100.0	0.521	0.002	22	57.9%	69.3	75.0	29.6	40.0	100.0	0.723	0.081
	resíduo ligeira a moderado	12	31.6%	73.5	87.5	29.8	46.9	100.0			12	31.6%	72.5	80.0	29.4	55.0	100.0		
	resíduo severo	3	7.9%	43.8	31.3	51.2	0.0	100.0			3	7.9%	65.0	95.0	56.3	0.0	100.0		
	não testado	1	2.6%	100.0	100.0		100.0	100.0			1	2.6%	100.0	100.0		100.0	100.0		
VED pudim resíduo na parede faríngea	sem resíduo	26	68.4%	72.3	81.3	31.1	50.0	100.0	0.334	-0.132	26	68.4%	70.8	80.0	28.1	50.0	100.0	0.693	0.063
	resíduo ligeira a moderado	10	26.3%	63.1	78.2	36.7	25.0	93.8			10	26.3%	65.5	75.0	39.3	40.0	100.0		
	resíduo severo	1	2.6%	31.3	31.3		31.3	31.3			1	2.6%	95.0	95.0		95.0	95.0		
	não testado	1	2.6%	100.0	100.0		100.0	100.0			1	2.6%	100.0	100.0		100.0	100.0		
VED pudim n.º de deglutições	1 deglutição	28	73.7%	71.9	81.3	29.1	46.9	100.0	0.108	-0.026	28	73.7%	68.8	67.5	28.2	45.0	100.0	0.207	0.219
	1+1 adicional	0	0.0%								0	0.0%							
	1+2 adicionais	5	13.2%	57.5	62.5	44.7	25.0	100.0			5	13.2%	54.0	80.0	45.6	10.0	80.0		
	1+3 adicionais	2	5.3%	100.0	100.0	0.0	100.0	100.0			2	5.3%	100.0	100.0	0.0	100.0	100.0		
	1+4ou mais adicionais	2	5.3%	21.7	21.7	13.6	12.0	31.3			2	5.3%	97.5	97.5	3.5	95.0	100.0		
	não testado	1	2.6%	100.0	100.0		100.0	100.0			1	2.6%	100.0	100.0		100.0	100.0		
VED pudim reage sem tosse	ausente	34	89.5%	70.6	81.3	31.4	43.8	100.0	0.357	-0.029	34	89.5%	67.5	75.0	31.0	40.0	100.0	0.144	0.323*
	presente	3	7.9%	47.8	31.3	46.3	12.0	100.0			3	7.9%	98.3	100.0	2.9	95.0	100.0		
	não testado	1	2.6%	100.0	100.0		100.0	100.0			1	2.6%	100.0	100.0		100.0	100.0		
VED pudim função vocal	ausente	0	0.0%						0.261	0.185	0	0.0%						0.260	0.185
	presente	37	97.4%	68.7	81.3	32.6	43.8	100.0			37	97.4%	70.0	80.0	30.9	50.0	100.0		
	não testado	1	2.6%	100.0	100.0		100.0	100.0			1	2.6%	100.0	100.0		100.0	100.0		
VED líquido escape prematuro	ausente	24	63.2%	78.9	87.5	23.9	59.4	100.0	0.127	-0.299	24	63.2%	72.3	80.0	27.9	45.0	100.0	0.528	0.030
	presente	12	31.6%	51.5	43.8	40.2	18.5	96.9			12	31.6%	63.3	57.5	37.3	40.0	100.0		
	não testado	2	5.3%	65.7	65.7	48.6	31.3	100.0			2	5.3%	97.5	97.5	3.5	95.0	100.0		
VED líquido resíduos nas valéculas	sem resíduo	13	34.2%	65.4	56.3	27.3	43.8	100.0	0.460	0.050	13	34.2%	63.1	55.0	22.9	40.0	80.0	0.099	0.239

		SWALQOL-Receios									SWALQOL-Saúde mental								
		N	%	Média	Mediana	DP	25	75	*p*	Correlação	N	%	Média	Mediana	DP	25	75	*p*	Correlação
	resíduo ligeira a moderado	22	57.9%	74.4	87.5	34.6	68.8	100.0			22	57.9%	75.7	97.5	32.8	55.0	100.0		
	resíduo severo	1	2.6%	25.0	25.0		25.0	25.0			1	2.6%	10.0	10.0		10.0	10.0		
	não testado	2	5.3%	65.7	65.7	48.6	31.3	100.0			2	5.3%	97.5	97.5	3.5	95.0	100.0		
VED líquido resíduo nos seios piriformes	sem resíduo	23	60.5%	69.6	75.0	31.9	43.8	100.0	0.593	-0.039	23	60.5%	69.1	80.0	29.2	40.0	100.0	0.289	0.083
	resíduo ligeira a moderado	12	31.6%	74.0	87.5	33.5	56.3	100.0			12	31.6%	74.6	87.5	31.9	55.0	100.0		
	resíduo severo	1	2.6%	25.0	25.0		25.0	25.0			1	2.6%	10.0	10.0		10.0	10.0		
	não testado	2	5.3%	65.7	65.7	48.6	31.3	100.0			2	5.3%	97.5	97.5	3.5	95.0	100.0		
VED líquido resíduo na parede faríngea	sem resíduo	32	84.2%	69.1	78.2	32.8	43.8	100.0	0.454	0.002	32	84.2%	70.2	80.0	29.8	52.5	100.0	0.275	0.080
	resíduo ligeira a moderado	3	7.9%	91.7	87.5	7.2	87.5	100.0			3	7.9%	80.0	100.0	34.6	40.0	100.0		
	resíduo severo	1	2.6%	25.0	25.0		25.0	25.0			1	2.6%	10.0	10.0		10.0	10.0		
	não testado	2	5.3%	65.7	65.7	48.6	31.3	100.0			2	5.3%	97.5	97.5	3.5	95.0	100.0		
VED líquido n.º de deglutições	1 deglutição	31	81.6%	69.6	81.3	32.7	43.8	100.0	0.287	-0.008	31	81.6%	69.4	80.0	30.6	40.0	100.0	0.528	0.110
	1+1 adicional	0	0.0%								0	0.0%							
	1+2 adicionais	2	5.3%	100.0	100.0	0.0	100.0	100.0			2	5.3%	90.0	90.0	14.1	80.0	100.0		
	1+3 adicionais	3	7.9%	52.1	43.8	32.1	25.0	87.5			3	7.9%	55.0	55.0	45.0	10.0	100.0		
	1+4ou mais adicionais	0	0.0%								0	0.0%							
	não testado	2	5.3%	65.7	65.7	48.6	31.3	100.0			2	5.3%	97.5	97.5	3.5	95.0	100.0		
VED líquido reage sem tosse	ausente	34	89.5%	72.8	84.4	30.8	50.0	100.0	0.113	-0.240	34	89.5%	70.1	80.0	29.8	50.0	100.0	0.544	0.101
	presente	2	5.3%	18.5	18.5	9.2	12.0	25.0			2	5.3%	55.0	55.0	63.6	10.0	100.0		
	não testado	2	5.3%	65.7	65.7	48.6	31.3	100.0			2	5.3%	97.5	97.5	3.5	95.0	100.0		
VED líquido função vocal	ausente	0	0.0%						0.973	-0.006	0	0.0%						0.282	0.177
	presente	36	94.7%	69.8	81.3	32.5	43.8	100.0			36	94.7%	69.3	80.0	31.1	45.0	100.0		
	não testado	2	5.3%	65.7	65.7	48.6	31.3	100.0			2	5.3%	97.5	97.5	3.5	95.0	100.0		
VED bolacha escape prematuro	ausente	33	86.8%	70.1	81.3	30.7	43.8	100.0	0.179	0.019	33	86.8%	69.5	80.0	29.1	50.0	100.0	0.272	0.142
	presente	2	5.3%	100.0	100.0	0.0	100.0	100.0			2	5.3%	100.0	100.0	0.0	100.0	100.0		
	não testado	3	7.9%	43.8	31.3	51.2	0.0	100.0			3	7.9%	65.0	95.0	56.3	0.0	100.0		
VED bolacha resíduo nas valéculas	sem resíduo	2	5.3%	78.2	78.2	30.9	56.3	100.0	0.743	-0.081	2	5.3%	70.0	70.0	42.4	40.0	100.0	0.334	0.220
	resíduo ligeira a moderado	18	47.4%	69.5	81.3	33.6	43.8	100.0			18	47.4%	62.2	62.5	30.0	40.0	80.0		
	resíduo severo	15	39.5%	73.7	87.5	28.6	50.0	100.0			15	39.5%	82.3	100.0	24.6	55.0	100.0		
	não testado	3	7.9%	43.8	31.3	51.2	0.0	100.0			3	7.9%	65.0	95.0	56.3	0.0	100.0		
VED bolacha resíduo nos seios piriformes	sem resíduo	14	36.8%	69.6	81.3	34.3	43.8	100.0	0.735	-0.035	14	36.8%	66.1	67.5	32.2	40.0	100.0	0.916	0.061
	resíduo ligeira a moderado	18	47.4%	72.9	81.3	27.4	50.0	100.0			18	47.4%	75.3	80.0	27.1	55.0	100.0		
	resíduo severo	3	7.9%	75.0	100.0	43.3	25.0	100.0			3	7.9%	71.7	80.0	33.3	35.0	100.0		
	não testado	3	7.9%	43.8	31.3	51.2	0.0	100.0			3	7.9%	65.0	95.0	56.3	0.0	100.0		
VED bolacha resíduo na parede faríngea	sem resíduo	6	15.8%	75.0	78.2	24.7	56.3	100.0	0.524	-0.063	6	15.8%	73.3	80.0	30.1	40.0	100.0	0.701	0.002
	resíduo ligeira a moderado	28	73.7%	70.1	84.4	32.1	43.8	100.0			28	73.7%	69.8	80.0	29.5	52.5	100.0		

		SWALQOL-Receios									SWALQOL-Saúde mental								
		N	%	Média	Mediana	DP	25	75	*p*	Correlação	N	%	Média	Mediana	DP	25	75	*p*	Correlação
	resíduo severo	1	2.6%	100.0	100.0		100.0	100.0			1	2.6%	100.0	100.0		100.0	100.0		
	não testado	3	7.9%	43.8	31.3	51.2	0.0	100.0			3	7.9%	65.0	95.0	56.3	0.0	100.0		
VED bolacha n.º de deglutições	1 deglutição	2	5.3%	34.4	34.4	13.3	25.0	43.8	0.267	-0.096	2	5.3%	55.0	55.0	0.0	55.0	55.0	0.647	0.164
	1+1 adicional	0	0.0%								0	0.0%							
	1+2 adicionais	13	34.2%	82.7	93.8	22.0	75.0	100.0			13	34.2%	68.5	70.0	31.4	40.0	100.0		
	1+3 adicionais	12	31.6%	68.8	81.3	32.5	46.9	93.8			12	31.6%	70.8	80.0	27.3	45.0	97.5		
	1+4ou mais adicionais	8	21.1%	67.9	81.3	37.2	34.4	100.0			8	21.1%	80.6	100.0	32.8	67.5	100.0		
	não testado	3	7.9%	43.8	31.3	51.2	0.0	100.0			3	7.9%	65.0	95.0	56.3	0.0	100.0		
VED bolacha reage sem tosse	ausente	34	89.5%	73.5	84.4	29.2	50.0	100.0	0.165	-0.274	34	89.5%	70.4	80.0	29.1	50.0	100.0	0.529	0.068
	presente	1	2.6%	12.0	12.0		12.0	12.0			1	2.6%	100.0	100.0		100.0	100.0		
	não testado	3	7.9%	43.8	31.3	51.2	0.0	100.0			3	7.9%	65.0	95.0	56.3	0.0	100.0		
VED bolacha função vocal	ausente	0	0.0%						0.304	-0.169	0	0.0%						0.889	-0.023
	presente	35	92.1%	71.8	81.3	30.6	43.8	100.0			35	92.1%	71.3	80.0	29.1	50.0	100.0		
	não testado	3	7.9%	43.8	31.3	51.2	0.0	100.0			3	7.9%	65.0	95.0	56.3	0.0	100.0		
VED aspiração	não	20	52.6%	70.6	75.0	27.5	50.0	100.0	0.984	0.024	20	52.6%	68.0	67.5	29.1	45.0	100.0	0.487	0.156
	sim	16	42.1%	68.7	90.7	38.7	25.0	100.0			16	42.1%	70.9	80.0	34.3	47.5	100.0		
	alto risco de aspiração	2	5.3%	65.7	65.7	48.6	31.3	100.0			2	5.3%	97.5	97.5	3.5	95.0	100.0		
VED momento de aspiração pudim	NA	31	81.6%	75.4	87.5	29.7	50.0	100.0	0.067	-0.383*	31	81.6%	73.4	80.0	28.1	50.0	100.0	0.246	-0.127
	pré-deglutição	5	13.2%	38.8	31.3	34.6	25.0	43.8			5	13.2%	61.0	55.0	40.2	55.0	95.0		
	durante deglutição	1	2.6%	25.0	25.0		25.0	25.0			1	2.6%	10.0	10.0		10.0	10.0		
	pós-deglutição	1	2.6%	87.5	87.5		87.5	87.5			1	2.6%	100.0	100.0		100.0	100.0		
VED momento de aspiração líquido	NA	25	65.8%	68.5	75.0	29.1	43.8	100.0	0.048	0.174	25	65.8%	70.6	70.0	28.1	55.0	100.0	0.902	0.069
	pré-deglutição	2	5.3%	6.0	6.0	8.5	0.0	12.0			2	5.3%	50.0	50.0	70.7	0.0	100.0		
	durante deglutição	8	21.1%	78.9	96.9	33.6	56.3	100.0			8	21.1%	75.6	90.0	34.6	57.5	100.0		
	pós-deglutição	3	7.9%	95.8	100.0	7.2	87.5	100.0			3	7.9%	73.3	80.0	30.6	40.0	100.0		
VED momento de aspiração bolacha	NA	32	84.2%	68.6	78.2	31.9	43.8	100.0	0.494	0.119	32	84.2%	70.8	80.0	29.9	52.5	100.0	0.519	0.025
	pré-deglutição	0	0.0%								0	0.0%							
	durante deglutição	1	2.6%	100.0	100.0		100.0	100.0			1	2.6%	100.0	100.0		100.0	100.0		
	pós-deglutição	5	13.2%	70.0	100.0	41.1	25.0	100.0			5	13.2%	65.0	80.0	40.6	35.0	100.0		
VED PAS	1	21	55.3%	72.0	75.0	27.6	50.0	100.0	0.265	-0.129	21	55.3%	69.5	70.0	29.2	50.0	100.0	0.776	0.050
	2	9	23.7%	80.5	100.0	35.5	87.5	100.0			9	23.7%	79.4	80.0	25.5	80.0	100.0		
	3	4	10.5%	42.2	34.4	42.5	12.5	71.9			4	10.5%	52.5	55.0	40.9	27.5	77.5		

		SWALQOL-Receios									SWALQOL-Saúde mental								
		N	%	Média	Mediana	DP	25	75	*p*	Correlação	N	%	Média	Mediana	DP	25	75	*p*	Correlação
	4	3	7.9%	68.8	87.5	38.0	25.0	93.8			3	7.9%	70.0	100.0	52.0	10.0	100.0		
	5	0	0.0%								0	0.0%							
	6	0	0.0%								0	0.0%							
	7	0	0.0%								0	0.0%							
	8	1	2.6%	31.3	31.3		31.3	31.3			1	2.6%	95.0	95.0		95.0	95.0		
VED limpeza	A - efetivo	6	15.8%	70.8	93.8	41.0	25.0	100.0			6	15.8%	71.7	90.0	38.2	40.0	100.0		
	B - moderadamente efetivo	5	13.2%	51.3	43.8	42.0	25.0	87.5			5	13.2%	62.0	55.0	41.3	55.0	100.0		
	C - ligeiramente efetivo	4	10.5%	79.7	96.9	36.6	59.4	100.0	0.771	0.035	4	10.5%	78.8	90.0	30.7	57.5	100.0	0.964	-0.057
	D - ineficaz	2	5.3%	65.7	65.7	48.6	31.3	100.0			2	5.3%	87.5	87.5	10.6	80.0	95.0		
	NA	21	55.3%	72.0	75.0	27.6	50.0	100.0			21	55.3%	69.5	70.0	29.2	50.0	100.0		
VED pudim latência	normal	9	23.7%	60.4	75.0	34.1	37.5	81.3			9	23.7%	57.8	55.0	34.4	40.0	95.0		
	alterada	28	73.7%	71.4	87.5	32.3	46.9	100.0	0.319	0.222	28	73.7%	73.9	80.0	29.3	55.0	100.0	0.219	0.271
	não testado	1	2.6%	100.0	100.0		100.0	100.0			1	2.6%	100.0	100.0		100.0	100.0		
VED pudim tempo de latência										0.167									0.308
VED pudim whiteout	normal	0	0.0%								0	0.0%							
	alterada	37	97.4%	68.7	81.3	32.6	43.8	100.0	0.261	0.185	37	97.4%	70.0	80.0	30.9	50.0	100.0	0.260	0.185
	não testado	1	2.6%	100.0	100.0		100.0	100.0			1	2.6%	100.0	100.0		100.0	100.0		
VED pudim tempo de encerramento das VA										-0.138									-0.145
VED líquido latência	normal	10	26.3%	87.5	100.0	21.4	75.0	100.0			10	26.3%	82.5	90.0	21.5	65.0	100.0		
	alterada	26	68.4%	63.0	71.9	33.7	37.5	93.8	0.071	-0.335*	26	68.4%	64.2	62.5	33.0	40.0	100.0	0.165	-0.142
	não testado	2	5.3%	65.7	65.7	48.6	31.3	100.0			2	5.3%	97.5	97.5	3.5	95.0	100.0		
VED líquido tempo de latência										-0.372*									-0.146
VED líquido whiteout	normal	0	0.0%								0	0.0%							
	alterada	36	94.7%	69.8	81.3	32.5	43.8	100.0	0.973	-0.006	36	94.7%	69.3	80.0	31.1	45.0	100.0	0.282	0.177
	não testado	2	5.3%	65.7	65.7	48.6	31.3	100.0			2	5.3%	97.5	97.5	3.5	95.0	100.0		
VED líquido tempo de encerramento das VA										-0.060									0.040
VED bolacha latência	normal	13	34.2%	66.8	75.0	36.2	43.8	100.0			13	34.2%	74.2	80.0	25.7	55.0	100.0		
	alterada	22	57.9%	74.7	87.5	27.3	50.0	100.0	0.525	-0.023	22	57.9%	69.5	80.0	31.4	40.0	100.0	0.923	-0.064
	não testado	3	7.9%	43.8	31.3	51.2	0.0	100.0			3	7.9%	65.0	95.0	56.3	0.0	100.0		

		SWALQOL-Receios									SWALQOL-Saúde mental								
		N	%	Média	Mediana	DP	25	75	*p*	Correlação	N	%	Média	Mediana	DP	25	75	*p*	Correlação
VED bolacha tempo de latência										0.206									-0.001
VED bolacha whiteout	normal	0	0.0%						0.304	-0.169	0	0.0%						0.889	-0.023
	alterada	35	92.1%	71.8	81.3	30.6	43.8	100.0			35	92.1%	71.3	80.0	29.1	50.0	100.0		
	não testado	3	7.9%	43.8	31.3	51.2	0.0	100.0			3	7.9%	65.0	95.0	56.3	0.0	100.0		
VED bolacha tempo de encerramento das VA										0.009									-0.084

Tabela 156 - Medidas descritivas, análise de correlação e diferenças estatísticas entre as variáveis da avaliação anatómica e funcional por VED e as escalas funcionamento social e fadiga, do questionário da SWAL-QOL.

		SWALQOL-Funcionamento social									SWALQOL-Fadiga								
		N	%	Média	Mediana	DP	25	75	*p*	Correlação	N	%	Média	Mediana	DP	25	75	*p*	Correlação
VED acesso	direita	24	63.2%	66.9	97.5	41.0	20.0	100.0	0.438	0.129	24	63.2%	75.4	83.3	26.7	66.7	95.9	0.402	-0.140
	esquerda	14	36.8%	73.2	100.0	36.0	30.0	100.0			14	36.8%	68.5	62.5	22.9	50.0	91.7		
VED nasofaringe EVF anatomia	presente	36	94.7%	70.0	100.0	38.3	27.5	100.0	0.718	-0.060	36	94.7%	72.0	75.0	25.6	50.0	91.7	0.342	0.158
	ausente	2	5.3%	55.0	55.0	63.6	10.0	100.0			2	5.3%	87.5	87.5	17.7	75.0	100.0		
VED nasofaringe EVF deglutição de saliva	presente	38	100.0%	69.2	100.0	38.8	25.0	100.0			38	100.0%	72.8	75.0	25.3	50.0	91.7		
	ausente	0	0.0%								0	0.0%							
VED nasofaringe EVF som e sílaba	presente	37	97.4%	68.4	100.0	39.0	25.0	100.0	0.364	0.151	37	97.4%	72.8	75.0	25.7	50.0	91.7	0.962	-0.008
	ausente	1	2.6%	100.0	100.0		100.0	100.0			1	2.6%	75.0	75.0		75.0	75.0		
VED nasofaringe EVF fala	presente	37	97.4%	68.4	100.0	39.0	25.0	100.0	0.364	0.151	37	97.4%	72.8	75.0	25.7	50.0	91.7	0.962	-0.008
	ausente	1	2.6%	100.0	100.0		100.0	100.0			1	2.6%	75.0	75.0		75.0	75.0		
VED oro/hipofaringe anatomia	presente	4	10.5%	98.8	100.0	2.5	97.5	100.0	0.309	-0.170	4	10.5%	93.8	95.9	8.0	87.5	100.0	0.160	-0.234
	ausente	34	89.5%	65.7	87.5	39.7	20.0	100.0			34	89.5%	70.4	75.0	25.6	50.0	91.7		
VED oro/hipofaringe Movimento da base da língua	presente	34	89.5%	67.9	97.5	39.1	25.0	100.0	0.675	0.070	34	89.5%	71.1	75.0	25.8	50.0	91.7	0.465	0.122
	ausente	4	10.5%	80.0	100.0	40.0	60.0	100.0			4	10.5%	87.5	91.7	15.9	75.0	100.0		
VED oro/hipofaringe resíduo nas valéculas	presente	25	65.8%	73.8	100.0	36.7	50.0	100.0	0.226	-0.185	25	65.8%	77.0	83.3	21.3	58.3	100.0	0.289	-0.177
	ausente	13	34.2%	60.4	75.0	42.8	20.0	100.0			13	34.2%	64.8	75.0	31.0	50.0	91.7		
VED oro/hipofaringe resíduos nos seios pririformes	presente	20	52.6%	71.3	100.0	39.2	25.0	100.0	0.819	-0.038	20	52.6%	82.1	87.5	18.6	66.7	100.0	0.034	-0.353*
	ausente	18	47.4%	66.9	87.5	39.4	25.0	100.0			18	47.4%	62.5	58.4	28.2	50.0	91.7		
VED oro/hipofaringe produção /i/	presente	38	100.0%	69.2	100.0	38.8	25.0	100.0			38	100.0%	72.8	75.0	25.3	50.0	91.7		
	ausente	0	0.0%								0	0.0%							
VED oro/hipofaringe manipulação de secreções	presente	35	92.1%	68.9	100.0	38.9	25.0	100.0	0.885	-0.024	35	92.1%	71.9	75.0	25.9	50.0	91.7	0.919	-0.017
	ausente	3	7.9%	73.3	100.0	46.2	20.0	100.0			3	7.9%	83.3	83.3	16.7	66.7	100.0		
VED laringe anatomia	presente	3	7.9%	98.3	100.0	2.9	95.0	100.0	0.563	-0.096	3	7.9%	91.7	91.7	8.4	83.3	100.0	0.476	-0.119
	ausente	35	92.1%	66.7	100.0	39.5	20.0	100.0			35	92.1%	71.2	75.0	25.7	50.0	91.7		
VED laringe fala	presente	38	100.0%	69.2	100.0	38.8	25.0	100.0			38	100.0%	72.8	75.0	25.3	50.0	91.7		
	ausente	0	0.0%								0	0.0%							
VED laringe deglutição de saliva	presente	36	94.7%	69.7	100.0	38.7	27.5	100.0	0.267	-0.185	36	94.7%	72.2	75.0	25.6	50.0	91.7	0.670	-0.071
	ausente	2	5.3%	60.0	60.0	56.6	20.0	100.0			2	5.3%	83.4	83.4	23.5	66.7	100.0		
VED laringe produção /i/	presente	38	100.0%	69.2	100.0	38.8	25.0	100.0			38	100.0%	72.8	75.0	25.3	50.0	91.7		
	ausente	0	0.0%								0	0.0%							
VED laringe tosse voluntária	presente	38	100.0%	69.2	100.0	38.8	25.0	100.0			38	100.0%	72.8	75.0	25.3	50.0	91.7		
	ausente	0	0.0%								0	0.0%							
VED laringe apneia	presente	38	100.0%	69.2	100.0	38.8	25.0	100.0			38	100.0%	72.8	75.0	25.3	50.0	91.7		

		SWALQOL-Funcionamento social									SWALQOL-Fadiga								
		N	%	Média	Mediana	DP	25	75	*p*	Correlação	N	%	Média	Mediana	DP	25	75	*p*	Correlação
VED sensibilidade da base da língua	ausente	0	0.0%						0.675	0.070	0	0.0%						0.465	0.122
	presente	34	89.5%	67.9	97.5	39.1	25.0	100.0			34	89.5%	71.1	75.0	25.8	50.0	91.7		
	ausente	4	10.5%	80.0	100.0	40.0	60.0	100.0			4	10.5%	87.5	91.7	15.9	75.0	100.0		
VED sensibilidade nas aritnóides	presente								0.476	0.070								0.217	0.122
	ausente																		
VED pudim escape prematuro	ausente	32	84.2%	68.4	97.5	39.0	27.5	100.0	0.811	0.040	32	84.2%	69.8	75.0	26.1	50.0	91.7	0.209	0.210
	presente	5	13.2%	68.0	100.0	43.8	20.0	100.0			5	13.2%	86.7	91.7	12.6	83.3	91.7		
	não testado	1	2.6%	100.0	100.0		100.0	100.0			1	2.6%	100.0	100.0		100.0	100.0		
VED pudim resíduos nas valéculas	sem resíduo	11	28.9%	53.6	60.0	42.4	10.0	100.0	0.168	0.362*	11	28.9%	71.2	75.0	26.7	50.0	91.7	0.365	0.151
	resíduo ligeira a moderado	24	63.2%	72.5	100.0	37.3	37.5	100.0			24	63.2%	70.8	75.0	25.4	50.0	91.7		
	resíduo severo	2	5.3%	100.0	100.0	0.0	100.0	100.0			2	5.3%	91.7	91.7	11.8	83.3	100.0		
	não testado	1	2.6%	100.0	100.0		100.0	100.0			1	2.6%	100.0	100.0		100.0	100.0		
VED pudim resíduos nos seios piriformes	sem resíduo	22	57.9%	65.0	75.0	38.5	25.0	100.0	0.738	0.153	22	57.9%	67.1	70.9	28.2	50.0	91.7	0.339	0.265
	resíduo ligeira a moderado	12	31.6%	73.3	100.0	41.5	37.5	100.0			12	31.6%	78.5	79.2	19.6	66.7	95.9		
	resíduo severo	3	7.9%	73.3	100.0	46.2	20.0	100.0			3	7.9%	83.3	83.3	16.7	66.7	100.0		
	não testado	1	2.6%	100.0	100.0		100.0	100.0			1	2.6%	100.0	100.0		100.0	100.0		
VED pudim resíduo na parede faríngea	sem resíduo	26	68.4%	70.2	97.5	37.4	30.0	100.0	0.605	0.031	26	68.4%	68.0	70.9	27.3	50.0	91.7	0.271	0.296
	resíduo ligeira a moderado	10	26.3%	60.5	82.5	45.0	10.0	100.0			10	26.3%	81.7	79.2	17.9	66.7	100.0		
	resíduo severo	1	2.6%	100.0	100.0		100.0	100.0			1	2.6%	83.3	83.3		83.3	83.3		
	não testado	1	2.6%	100.0	100.0		100.0	100.0			1	2.6%	100.0	100.0		100.0	100.0		
VED pudim n.º de deglutições	1 deglutição	28	73.7%	65.9	85.0	39.3	22.5	100.0	0.329	0.216	28	73.7%	70.5	75.0	26.7	50.0	91.7	0.731	0.142
	1+1 adicional	0	0.0%								0	0.0%							
	1+2 adicionais	5	13.2%	57.0	65.0	45.8	20.0	100.0			5	13.2%	78.3	83.3	20.1	66.7	91.7		
	1+3 adicionais	2	5.3%	100.0	100.0	0.0	100.0	100.0			2	5.3%	70.9	70.9	41.2	41.7	100.0		
	1+4ou mais adicionais	2	5.3%	100.0	100.0	0.0	100.0	100.0			2	5.3%	79.2	79.2	5.9	75.0	83.3		
	não testado	1	2.6%	100.0	100.0		100.0	100.0			1	2.6%	100.0	100.0		100.0	100.0		
VED pudim reage sem tosse	ausente	34	89.5%	65.6	85.0	39.5	20.0	100.0	0.179	0.304	34	89.5%	71.1	75.0	26.1	50.0	91.7	0.355	0.189
	presente	3	7.9%	100.0	100.0	0.0	100.0	100.0			3	7.9%	83.3	83.3	8.4	75.0	91.7		
	não testado	1	2.6%	100.0	100.0		100.0	100.0			1	2.6%	100.0	100.0		100.0	100.0		
VED pudim função vocal	ausente	0	0.0%						0.374	0.146	0	0.0%						0.181	0.220
	presente	37	97.4%	68.4	100.0	39.0	25.0	100.0			37	97.4%	72.1	75.0	25.2	50.0	91.7		
	não testado	1	2.6%	100.0	100.0		100.0	100.0			1	2.6%	100.0	100.0		100.0	100.0		
VED líquido escape prematuro	ausente	24	63.2%	72.7	100.0	37.2	45.0	100.0	0.270	-0.050	24	63.2%	71.5	70.9	23.3	50.0	91.7	0.504	0.132
	presente	12	31.6%	57.1	62.5	42.7	15.0	100.0			12	31.6%	72.2	79.2	30.6	54.2	95.9		
	não testado	2	5.3%	100.0	100.0	0.0	100.0	100.0			2	5.3%	91.7	91.7	11.8	83.3	100.0		
VED líquido resíduos nas valéculas	sem resíduo	13	34.2%	53.1	60.0	38.9	20.0	95.0	0.025	0.317	13	34.2%	70.5	66.7	23.5	50.0	91.7	0.687	0.147
	resíduo ligeira a moderado	22	57.9%	79.1	100.0	34.8	65.0	100.0			22	57.9%	72.0	75.0	27.6	50.0	100.0		

		SWALQOL-Funcionamento social									SWALQOL-Fadiga								
		N	%	Média	Mediana	DP	25	75	*p*	Correlação	N	%	Média	Mediana	DP	25	75	*p*	Correlação
	resíduo severo	1	2.6%	0.0	0.0		0.0	0.0			1	2.6%	83.3	83.3		83.3	83.3		
	não testado	2	5.3%	100.0	100.0	0.0	100.0	100.0			2	5.3%	91.7	91.7	11.8	83.3	100.0		
VED líquido resíduo nos seios piriformes	sem resíduo	23	60.5%	66.3	75.0	38.1	25.0	100.0	0.151	0.138	23	60.5%	68.8	75.0	27.8	50.0	91.7	0.597	0.198
	resíduo ligeira a moderado	12	31.6%	75.4	100.0	38.8	42.5	100.0			12	31.6%	76.4	75.0	21.9	58.4	100.0		
	resíduo severo	1	2.6%	0.0	0.0		0.0	0.0			1	2.6%	83.3	83.3		83.3	83.3		
	não testado	2	5.3%	100.0	100.0	0.0	100.0	100.0			2	5.3%	91.7	91.7	11.8	83.3	100.0		
VED líquido resíduo na parede faríngea	sem resíduo	32	84.2%	67.7	97.5	39.0	22.5	100.0	0.169	0.099	32	84.2%	71.1	75.0	26.3	50.0	91.7	0.707	0.157
	resíduo ligeira a moderado	3	7.9%	88.3	100.0	20.2	65.0	100.0			3	7.9%	75.0	75.0	25.0	50.0	100.0		
	resíduo severo	1	2.6%	0.0	0.0		0.0	0.0			1	2.6%	83.3	83.3		83.3	83.3		
	não testado	2	5.3%	100.0	100.0	0.0	100.0	100.0			2	5.3%	91.7	91.7	11.8	83.3	100.0		
VED líquido n.º de deglutições	1 deglutição	31	81.6%	68.1	95.0	38.2	25.0	100.0	0.220	0.107	31	81.6%	69.9	75.0	26.1	50.0	91.7	0.322	0.227
	1+1 adicional	0	0.0%								0	0.0%							
	1+2 adicionais	2	5.3%	100.0	100.0	0.0	100.0	100.0			2	5.3%	95.9	95.9	5.9	91.7	100.0		
	1+3 adicionais	3	7.9%	40.0	20.0	52.9	0.0	100.0			3	7.9%	75.0	83.3	22.1	50.0	91.7		
	1+4ou mais adicionais	0	0.0%								0	0.0%							
	não testado	2	5.3%	100.0	100.0	0.0	100.0	100.0			2	5.3%	91.7	91.7	11.8	83.3	100.0		
VED líquido reage sem tosse	ausente	34	89.5%	68.5	97.5	38.2	25.0	100.0	0.386	0.092	34	89.5%	71.3	75.0	26.2	50.0	91.7	0.524	0.153
	presente	2	5.3%	50.0	50.0	70.7	0.0	100.0			2	5.3%	79.2	79.2	5.9	75.0	83.3		
	não testado	2	5.3%	100.0	100.0	0.0	100.0	100.0			2	5.3%	91.7	91.7	11.8	83.3	100.0		
VED líquido função vocal	ausente	0	0.0%						0.203	0.209	0	0.0%						0.261	0.185
	presente	36	94.7%	67.5	97.5	39.2	22.5	100.0			36	94.7%	71.8	75.0	25.5	50.0	91.7		
	não testado	2	5.3%	100.0	100.0	0.0	100.0	100.0			2	5.3%	91.7	91.7	11.8	83.3	100.0		
VED bolacha escape prematuro	ausente	33	86.8%	67.0	95.0	39.3	25.0	100.0	0.398	0.180	33	86.8%	70.5	75.0	25.9	50.0	91.7	0.273	0.232
	presente	2	5.3%	100.0	100.0	0.0	100.0	100.0			2	5.3%	95.9	95.9	5.9	91.7	100.0		
	não testado	3	7.9%	73.3	100.0	46.2	20.0	100.0			3	7.9%	83.3	83.3	16.7	66.7	100.0		
VED bolacha resíduo nas valéculas	sem resíduo	2	5.3%	80.0	80.0	28.3	60.0	100.0	0.154	0.302	2	5.3%	62.5	62.5	17.7	50.0	75.0	0.579	-0.021
	resíduo ligeira a moderado	18	47.4%	55.3	62.5	41.8	10.0	100.0			18	47.4%	75.5	87.5	28.5	58.3	100.0		
	resíduo severo	15	39.5%	83.7	100.0	31.7	65.0	100.0			15	39.5%	68.9	66.7	24.1	50.0	91.7		
	não testado	3	7.9%	73.3	100.0	46.2	20.0	100.0			3	7.9%	83.3	83.3	16.7	66.7	100.0		
VED bolacha resíduo nos seios piriformes	sem resíduo	14	36.8%	71.4	87.5	36.1	50.0	100.0	0.980	0.014	14	36.8%	62.5	62.5	27.9	50.0	83.3	0.333	0.296
	resíduo ligeira a moderado	18	47.4%	67.2	97.5	40.4	20.0	100.0			18	47.4%	78.7	87.5	20.1	66.7	91.7		
	resíduo severo	3	7.9%	66.7	100.0	57.7	0.0	100.0			3	7.9%	75.0	100.0	43.3	25.0	100.0		
	não testado	3	7.9%	73.3	100.0	46.2	20.0	100.0			3	7.9%	83.3	83.3	16.7	66.7	100.0		
VED bolacha resíduo na parede faríngea	sem resíduo	6	15.8%	75.8	87.5	30.1	50.0	100.0	0.755	0.031	6	15.8%	70.9	70.9	19.6	58.3	91.7	0.480	0.188
	resíduo ligeira a moderado	28	73.7%	66.3	97.5	41.1	20.0	100.0			28	73.7%	71.1	75.0	27.3	50.0	95.9		
	resíduo severo	1	2.6%	100.0	100.0		100.0	100.0			1	2.6%	100.0	100.0		100.0	100.0		

		SWALQOL-Funcionamento social									SWALQOL-Fadiga								
		N	%	Média	Mediana	DP	25	75	*p*	Correlação	N	%	Média	Mediana	DP	25	75	*p*	Correlação
	não testado	3	7.9%	73.3	100.0	46.2	20.0	100.0			3	7.9%	83.3	83.3	16.7	66.7	100.0		
VED bolacha n.º de deglutições	1 deglutição	2	5.3%	10.0	10.0	0.0	10.0	10.0	0.359	0.160	2	5.3%	100.0	100.0	0.0	100.0	100.0	0.247	0.038
	1+1 adicional	0	0.0%								0	0.0%							
	1+2 adicionais	13	34.2%	72.7	100.0	34.7	50.0	100.0			13	34.2%	69.2	66.7	22.2	50.0	91.7		
	1+3 adicionais	12	31.6%	71.7	97.5	40.3	45.0	100.0			12	31.6%	65.3	70.9	31.4	50.0	91.7		
	1+4ou mais adicionais	8	21.1%	73.1	100.0	41.1	42.5	100.0			8	21.1%	79.2	87.5	22.3	62.5	95.9		
	não testado	3	7.9%	73.3	100.0	46.2	20.0	100.0			3	7.9%	83.3	83.3	16.7	66.7	100.0		
VED bolacha reage sem tosse	ausente	34	89.5%	67.9	97.5	39.1	25.0	100.0	0.616	0.127	34	89.5%	71.8	75.0	26.3	50.0	91.7	0.804	0.090
	presente	1	2.6%	100.0	100.0		100.0	100.0			1	2.6%	75.0	75.0		75.0	75.0		
	não testado	3	7.9%	73.3	100.0	46.2	20.0	100.0			3	7.9%	83.3	83.3	16.7	66.7	100.0		
VED bolacha função vocal	ausente	0	0.0%						0.703	0.063	0	0.0%						0.511	0.108
	presente	35	92.1%	68.9	100.0	38.9	25.0	100.0			35	92.1%	71.9	75.0	25.9	50.0	91.7		
	não testado	3	7.9%	73.3	100.0	46.2	20.0	100.0			3	7.9%	83.3	83.3	16.7	66.7	100.0		
VED aspiração	não	20	52.6%	66.5	75.0	36.7	27.5	100.0	0.433	0.126	20	52.6%	63.3	62.5	26.0	50.0	91.7	0.033	0.429*
	sim	16	42.1%	68.8	100.0	43.4	15.0	100.0			16	42.1%	82.3	87.5	21.3	75.0	100.0		
	alto risco de aspiração	2	5.3%	100.0	100.0	0.0	100.0	100.0			2	5.3%	91.7	91.7	11.8	83.3	100.0		
VED momento de aspiração pudim	NA	31	81.6%	73.9	100.0	35.6	50.0	100.0	0.177	-0.202	31	81.6%	71.2	75.0	26.7	50.0	91.7	0.530	0.088
	pré-deglutição	5	13.2%	48.0	20.0	47.6	10.0	100.0			5	13.2%	85.0	83.3	14.9	75.0	100.0		
	durante deglutição	1	2.6%	0.0	0.0		0.0	0.0			1	2.6%	83.3	83.3		83.3	83.3		
	pós-deglutição	1	2.6%	100.0	100.0		100.0	100.0			1	2.6%	50.0	50.0		50.0	50.0		
VED momento de aspiração líquido	NA	25	65.8%	66.0	75.0	38.4	25.0	100.0	0.893	0.107	25	65.8%	70.0	66.7	27.0	50.0	91.7	0.643	0.164
	pré-deglutição	2	5.3%	60.0	60.0	56.6	20.0	100.0			2	5.3%	70.9	70.9	5.9	66.7	75.0		
	durante deglutição	8	21.1%	75.0	100.0	46.3	50.0	100.0			8	21.1%	76.0	83.3	26.1	62.5	95.9		
	pós-deglutição	3	7.9%	86.7	95.0	18.9	65.0	100.0			3	7.9%	88.9	91.7	12.7	75.0	100.0		
VED momento de aspiração bolacha	NA	32	84.2%	69.7	97.5	37.0	27.5	100.0	0.641	-0.003	32	84.2%	70.8	75.0	24.5	50.0	91.7	0.246	0.227
	pré-deglutição	0	0.0%								0	0.0%							
	durante deglutição	1	2.6%	100.0	100.0		100.0	100.0			1	2.6%	100.0	100.0		100.0	100.0		
	pós-deglutição	5	13.2%	60.0	100.0	54.8	0.0	100.0			5	13.2%	80.0	91.7	31.5	83.3	100.0		
VED PAS	1	21	55.3%	68.1	75.0	36.5	30.0	100.0	0.392	0.007	21	55.3%	65.1	66.7	26.6	50.0	91.7	0.140	0.310
	2	9	23.7%	84.4	100.0	33.7	95.0	100.0			9	23.7%	82.4	91.7	23.7	75.0	100.0		
	3	4	10.5%	35.0	15.0	43.6	10.0	60.0			4	10.5%	91.7	100.0	16.7	83.4	100.0		
	4	3	7.9%	66.7	100.0	57.7	0.0	100.0			3	7.9%	69.4	75.0	17.3	50.0	83.3		

		SWALQOL-Funcionamento social									SWALQOL-Fadiga								
		N	%	Média	Mediana	DP	25	75	*p*	Correlação	N	%	Média	Mediana	DP	25	75	*p*	Correlação
	5	0	0.0%								0	0.0%							
	6	0	0.0%								0	0.0%							
	7	0	0.0%								0	0.0%							
	8	1	2.6%	100.0	100.0		100.0	100.0			1	2.6%	83.3	83.3		83.3	83.3		
VED limpeza	A - efetivo	6	15.8%	77.5	100.0	40.5	65.0	100.0			6	15.8%	84.7	83.3	9.7	75.0	91.7		
	B - moderadamente efetivo	5	13.2%	48.0	20.0	47.6	10.0	100.0			5	13.2%	83.3	100.0	23.6	66.7	100.0		
	C - ligeiramente efetivo	4	10.5%	75.0	100.0	50.0	50.0	100.0	0.780	-0.033	4	10.5%	75.0	87.5	35.4	50.0	100.0	0.316	-0.388*
	D - ineficaz	2	5.3%	97.5	97.5	3.5	95.0	100.0			2	5.3%	87.5	87.5	5.9	83.3	91.7		
	NA	21	55.3%	68.1	75.0	36.5	30.0	100.0			21	55.3%	65.1	66.7	26.6	50.0	91.7		
VED pudim latência	normal	9	23.7%	62.2	75.0	35.9	30.0	100.0			9	23.7%	56.5	58.3	30.6	41.7	83.3		
	alterada	28	73.7%	70.4	100.0	40.4	22.5	100.0	0.527	0.161	28	73.7%	77.1	79.2	21.6	58.4	100.0	0.055	0.387*
	não testado	1	2.6%	100.0	100.0		100.0	100.0			1	2.6%	100.0	100.0		100.0	100.0		
VED pudim tempo de latência										0.153									0.391*
VED pudim whiteout	normal	0	0.0%								0	0.0%							
	alterada	37	97.4%	68.4	100.0	39.0	25.0	100.0	0.374	0.146	37	97.4%	72.1	75.0	25.2	50.0	91.7	0.181	0.220
	não testado	1	2.6%	100.0	100.0		100.0	100.0			1	2.6%	100.0	100.0		100.0	100.0		
VED pudim tempo de encerramento das VA										-0.091									-0.035
VED líquido latência	normal	10	26.3%	80.5	100.0	33.9	60.0	100.0			10	26.3%	77.5	87.5	24.2	50.0	100.0		
	alterada	26	68.4%	62.5	75.0	40.6	20.0	100.0	0.285	-0.037	26	68.4%	69.6	70.9	26.1	50.0	91.7	0.395	-0.023
	não testado	2	5.3%	100.0	100.0	0.0	100.0	100.0			2	5.3%	91.7	91.7	11.8	83.3	100.0		
VED líquido tempo de latência										0.013									-0.167
VED líquido whiteout	normal	0	0.0%								0	0.0%							
	alterada	36	94.7%	67.5	97.5	39.2	22.5	100.0	0.203	0.209	36	94.7%	71.8	75.0	25.5	50.0	91.7	0.261	0.185
	não testado	2	5.3%	100.0	100.0	0.0	100.0	100.0			2	5.3%	91.7	91.7	11.8	83.3	100.0		
VED líquido tempo de encerramento das VA										0.052									0.210
VED bolacha latência	normal	13	34.2%	71.2	100.0	37.1	50.0	100.0			13	34.2%	73.7	83.3	30.4	50.0	100.0		
	alterada	22	57.9%	67.5	97.5	40.8	25.0	100.0	0.897	-0.004	22	57.9%	70.8	70.9	23.5	50.0	91.7	0.638	-0.037
	não testado	3	7.9%	73.3	100.0	46.2	20.0	100.0			3	7.9%	83.3	83.3	16.7	66.7	100.0		
VED bolacha tempo de latência										-0.007									0.088

		SWALQOL-Funcionamento social									SWALQOL-Fadiga								
		N	%	Média	Mediana	DP	25	75	*p*	Correlação	N	%	Média	Mediana	DP	25	75	*p*	Correlação
VED bolacha whiteout	normal	0	0.0%						0.703	0.063	0	0.0%						0.511	0.108
	alterada	35	92.1%	68.9	100.0	38.9	25.0	100.0			35	92.1%	71.9	75.0	25.9	50.0	91.7		
	não testado	3	7.9%	73.3	100.0	46.2	20.0	100.0			3	7.9%	83.3	83.3	16.7	66.7	100.0		
VED bolacha tempo de encerramento das VA										0.000									0.207

Tabela 157 -Medidas descritivas, análise de correlação e diferenças estatísticas entre as variáveis da avaliação anatómica e funcional por VED e as escalas sono, resultado total e categorial, do questionário da SWAL-QOL.

		SWALQOL-Sono									SWAL-QOL Resultado total									Categorial SWAL-QOL					
																				alterado		normal			
		N	%	Média	Mediana	DP	25	75	*p*	Correlação	N	%	Média	Mediana	DP	25	75	*p*	Correlação	N	%	N	%	*p*	Correlação
VED acesso	direita	24	63.2%	75.5	87.5	30.9	75.0	100.0	0.336	-0.160	24	63.2%	70.4	79.8	22.4	51.8	90.0	0.963	0.008	13	54.2%	11	78.6%	0.138	-0.244
	esquerda	14	36.8%	68.8	75.0	24.4	50.0	87.5			14	36.8%	69.1	70.0	17.6	53.7	73.6			11	45.8%	3	21.4%		
VED nasofaringe EVF anatomia	presente	36	94.7%	72.2	75.0	29.0	50.0	100.0	0.491	0.115	36	94.7%	70.0	72.4	20.7	52.5	90.0	0.840	-0.034	23	95.8%	13	92.9%	0.774	0.064
	ausente	2	5.3%	87.5	87.5	17.7	75.0	100.0			2	5.3%	69.5	69.5	24.5	52.2	86.8			1	4.2%	1	7.1%		
VED nasofaringe EVF deglutição de saliva	presente	38	100.0%	73.0	75.0	28.6	50.0	100.0			38	100.0%	69.9	72.4	20.5	52.2	90.0			24	100.0%	14	100.0%		
	ausente	0	0.0%								0	0.0%								0	0.0%	0	0.0%		
VED nasofaringe EVF som e sílaba	presente	37	97.4%	73.0	75.0	28.9	50.0	100.0	0.773	-0.048	37	97.4%	69.5	71.8	20.6	52.2	90.0	0.574	0.094	24	100.0%	13	92.9%	0.368	0.215
	ausente	1	2.6%	75.0	75.0		75.0	75.0			1	2.6%	86.8	86.8		86.8	86.8			0	0.0%	1	7.1%		
VED nasofaringe EVF fala	presente	37	97.4%	73.0	75.0	28.9	50.0	100.0	0.773	-0.048	37	97.4%	69.5	71.8	20.6	52.2	90.0	0.574	0.094	24	100.0%	13	92.9%	0.368	0.215
	ausente	1	2.6%	75.0	75.0		75.0	75.0			1	2.6%	86.8	86.8		86.8	86.8			0	0.0%	1	7.1%		
VED oro/hipofaringe anatomia	presente	4	10.5%	90.6	93.8	12.0	81.3	100.0	0.409	-0.138	4	10.5%	87.9	90.0	11.0	79.9	95.9	0.221	-0.204	1	4.2%	3	21.4%	0.182	-0.271
	ausente	34	89.5%	71.0	75.0	29.3	50.0	100.0			34	89.5%	67.8	66.6	20.4	51.5	89.0			23	95.8%	11	78.6%		
VED oro/hipofaringe Movimento da base da língua	presente	34	89.5%	70.6	75.0	29.0	50.0	100.0	0.190	0.218	34	89.5%	69.0	70.0	20.3	52.2	89.0	0.911	0.019	22	91.7%	12	85.7%	0.663	0.094
	ausente	4	10.5%	93.8	100.0	12.5	87.5	100.0			4	10.5%	77.7	83.1	23.8	59.5	95.9			2	8.3%	2	14.3%		
VED oro/hipofaringe resíduo nas valéculas	presente	25	65.8%	79.0	87.5	25.2	75.0	100.0	0.103	-272	25	65.8%	74.2	73.6	19.5	59.7	90.9	0.089	-284	15	62.5%	10	71.4%	0.649	-0.091
	ausente	13	34.2%	61.5	75.0	32.1	37.5	87.5			13	34.2%	61.6	53.7	20.7	49.1	86.9			9	37.5%	4	28.6%		
VED oro/hipofaringe resíduos nos seios piriformes	presente	20	52.6%	82.5	87.5	25.1	75.0	100.0	0.022	-0.381*	20	52.6%	75.5	81.7	20.4	56.9	92.0	0.111	-0.266	10	41.7%	10	71.4%	0.149	-0.288
	ausente	18	47.4%	62.5	75.0	29.1	37.5	87.5			18	47.4%	63.7	60.1	19.4	50.5	82.9			14	58.3%	4	28.6%		
VED oro/hipofaringe produção /i/	presente	38	100.0%	73.0	75.0	28.6	50.0	100.0			38	100.0%	69.9	72.4	20.5	52.2	90.0			24	100.0%	14	100.0%		
	ausente	0	0.0%								0	0.0%								0	0.0%	0	0.0%		
VED oro/hipofaringe manipulação de secreções	presente	35	92.1%	71.4	75.0	29.0	50.0	100.0	0.491	0.115	35	92.1%	69.7	71.8	20.4	52.2	90.0	0.420	-0.134	22	91.7%	13	92.9%	0.919	-0.021
	ausente	3	7.9%	91.7	100.0	14.4	75.0	100.0			3	7.9%	72.5	73.0	26.3	46.0	98.5			2	8.3%	1	7.1%		
VED laringe anatomia	presente	3	7.9%	87.5	87.5	12.5	75.0	100.0	0.918	-0.017	3	7.9%	86.1	86.9	12.8	73.0	98.5	0.591	-0.090	1	4.2%	2	14.3%	0.375	-0.181
	ausente	35	92.1%	71.8	75.0	29.3	50.0	100.0			35	92.1%	68.5	68.2	20.6	51.5	90.0			23	95.8%	12	85.7%		
VED laringe fala	presente	38	100.0%	73.0	75.0	28.6	50.0	100.0			38	100.0%	69.9	72.4	20.5	52.2	90.0			24	100.0%	14	100.0%		
	ausente	0	0.0%								0	0.0%								0	0.0%	0	0.0%		
VED laringe deglutição de saliva	presente	36	94.7%	71.5	75.0	28.6	50.0	100.0	0.212	0.208	36	94.7%	69.8	72.4	20.2	52.9	89.5	0.223	-0.203	23	95.8%	13	92.9%	0.774	0.064
	ausente	2	5.3%	100.0	100.0	0.0	100.0	100.0			2	5.3%	72.3	72.3	37.1	46.0	98.5			1	4.2%	1	7.1%		
VED laringe produção /i/	presente	38	100.0%	73.0	75.0	28.6	50.0	100.0			38	100.0%	69.9	72.4	20.5	52.2	90.0			24	100.0%	14	100.0%		
	ausente	0	0.0%								0	0.0%								0	0.0%	0	0.0%		
VED laringe tosse voluntária	presente	38	100.0%	73.0	75.0	28.6	50.0	100.0			38	100.0%	69.9	72.4	20.5	52.2	90.0			24	100.0%	14	100.0%		
	ausente	0	0.0%								0	0.0%								0	0.0%	0	0.0%		

		SWALQOL-Sono									SWAL-QOL Resultado total									Categorial SWAL-QOL					
																				alterado		normal			
		N	%	Média	Mediana	DP	25	75	*p*	Correlação	N	%	Média	Mediana	DP	25	75	*p*	Correlação	N	%	N	%	*p*	Correlação
VED laringe apneia	presente	38	100.0%	73.0	75.0	28.6	50.0	100.0			38	100.0%	69.9	72.4	20.5	52.2	90.0			24	100.0%	14	100.0%		
	ausente	0	0.0%								0	0.0%								0	0.0%	0	0.0%		
VED sensibilidade da base da língua	presente	34	89.5%	70.6	75.0	29.0	50.0	100.0	0.190	0.218	34	89.5%	69.0	70.0	20.3	52.2	89.0	0.911	0.019	22	91.7%	12	85.7%	0.663	0.094
	ausente	4	10.5%	93.8	100.0	12.5	87.5	100.0			4	10.5%	77.7	83.1	23.8	59.5	95.9			2	8.3%	2	14.3%		
VED sensibilidade nas aritnóides	presente								0.092	0.218								0.394	0.019					0.663	0.094
	ausente																								
VED pudim escape prematuro	ausente	32	84.2%	71.1	75.0	29.2	50.0	100.0			32	84.2%	68.9	70.0	19.8	52.9	88.2			21	87.5%	11	78.6%		
	presente	5	13.2%	80.0	87.5	25.9	75.0	100.0	0.524	0.106	5	13.2%	70.6	73.0	25.5	46.0	93.2	0.824	0.037	3	12.5%	2	14.3%	0.641	0.130
	não testado	1	2.6%	100.0	100.0		100.0	100.0			1	2.6%	98.5	98.5		98.5	98.5			0	0.0%	1	7.1%		
VED pudim resíduos nas valéculas	sem resíduo	11	28.9%	68.2	75.0	24.0	50.0	87.5			11	28.9%	68.5	64.9	19.1	53.7	90.0			7	29.2%	4	28.6%		
	resíduo ligeira a moderado	24	63.2%	72.9	81.3	31.4	50.0	100.0	0.408	0.249	24	63.2%	68.3	70.9	21.4	51.0	88.2	0.282	0.154	16	66.7%	8	57.1%	0.585	0.079
	resíduo severo	2	5.3%	87.5	87.5	17.7	75.0	100.0			2	5.3%	83.1	83.1	14.3	73.0	93.2			1	4.2%	1	7.1%		
	não testado	1	2.6%	100.0	100.0		100.0	100.0			1	2.6%	98.5	98.5		98.5	98.5			0	0.0%	1	7.1%		
VED pudim resíduos nos seios piriformes	sem resíduo	22	57.9%	63.1	75.0	27.1	37.5	87.5			22	57.9%	66.3	62.7	20.0	50.5	87.5			16	66.7%	6	42.9%		
	resíduo ligeira a moderado	12	31.6%	84.4	93.8	28.3	81.3	100.0	0.020	0.511*	12	31.6%	74.1	81.7	20.8	53.7	89.5	0.268	0.233	6	25.0%	6	42.9%	0.334	0.232
	resíduo severo	3	7.9%	91.7	100.0	14.4	75.0	100.0			3	7.9%	70.7	73.0	23.7	46.0	93.2			2	8.3%	1	7.1%		
	não testado	1	2.6%	100.0	100.0		100.0	100.0			1	2.6%	98.5	98.5		98.5	98.5			0	0.0%	1	7.1%		
VED pudim resíduo na parede faríngea	sem resíduo	26	68.4%	67.8	75.0	27.4	50.0	87.5			26	68.4%	68.6	66.6	20.3	51.5	90.0			17	70.8%	9	64.3%		
	resíduo ligeira a moderado	10	26.3%	83.8	100.0	31.2	75.0	100.0	0.124	0.348*	10	26.3%	70.1	75.1	22.2	52.2	89.0	0.405	0.135	6	25.0%	4	28.6%	0.506	0.076
	resíduo severo	1	2.6%	75.0	75.0		75.0	75.0			1	2.6%	73.0	73.0		73.0	73.0			1	4.2%	0	0.0%		
	não testado	1	2.6%	100.0	100.0		100.0	100.0			1	2.6%	98.5	98.5		98.5	98.5			0	0.0%	1	7.1%		
VED pudim n.º de deglutições	1 deglutição	28	73.7%	72.3	75.0	27.5	50.0	100.0			28	73.7%	68.5	70.0	19.0	52.9	87.2			19	79.2%	9	64.3%		
	1+1 adicional	0	0.0%								0	0.0%								0	0.0%	0	0.0%		
	1+2 adicionais	5	13.2%	72.5	87.5	41.8	75.0	100.0			5	13.2%	66.4	59.7	29.0	46.0	95.3			3	12.5%	2	14.3%		
	1+3 adicionais	2	5.3%	87.5	87.5	17.7	75.0	100.0	0.507	0.073	2	5.3%	93.3	93.3	4.7	90.0	96.6	0.182	0.172	0	0.0%	2	14.3%	0.170	0.171
	1+4ou mais adicionais	2	5.3%	56.3	56.3	26.5	37.5	75.0			2	5.3%	61.1	61.1	16.8	49.1	73.0			2	8.3%	0	0.0%		
	não testado	1	2.6%	100.0	100.0		100.0	100.0			1	2.6%	98.5	98.5		98.5	98.5			0	0.0%	1	7.1%		
VED pudim reage sem tosse	ausente	34	89.5%	72.8	75.0	29.1	50.0	100.0			34	89.5%	68.8	70.0	20.3	52.2	89.0			22	91.7%	12	85.7%		
	presente	3	7.9%	66.7	75.0	26.0	37.5	87.5	0.375	0.007	3	7.9%	73.2	73.0	24.2	49.1	97.6	0.224	0.198	2	8.3%	1	7.1%	0.423	0.103
	não testado	1	2.6%	100.0	100.0		100.0	100.0			1	2.6%	98.5	98.5		98.5	98.5			0	0.0%	1	7.1%		
VED pudim função vocal	ausente	0	0.0%								0	0.0%								0	0.0%	0	0.0%		
	presente	37	97.4%	72.3	75.0	28.6	50.0	100.0	0.224	0.200	37	97.4%	69.2	71.8	20.2	52.2	89.0	0.092	0.277	24	100.0%	13	92.9%	0.190	0.215
	não testado	1	2.6%	100.0	100.0		100.0	100.0			1	2.6%	98.5	98.5		98.5	98.5			0	0.0%	1	7.1%		

		SWALQOL-Sono									SWAL-QOL Resultado total									Categorial SWAL-QOL alterado		normal			
		N	%	Média	Mediana	DP	25	75	*p*	Correlação	N	%	Média	Mediana	DP	25	75	*p*	Correlação	N	%	N	%	*p*	Correlação
VED líquido escape prematuro	ausente	24	63.2%	75.5	75.0	22.6	62.5	93.8			24	63.2%	73.2	73.6	17.6	59.8	89.5			15	62.5%	9	64.3%		
	presente	12	31.6%	65.6	81.3	39.2	37.5	100.0	0.804	0.022	12	31.6%	60.8	51.8	24.1	44.6	88.4	0.120	-0.147	8	33.3%	4	28.6%	0.900	-0.006
	não testado	2	5.3%	87.5	87.5	17.7	75.0	100.0			2	5.3%	85.7	85.7	18.1	73.0	98.5			1	4.2%	1	7.1%		
VED líquido resíduos nas valéculas	sem resíduo	13	34.2%	69.2	75.0	24.3	50.0	87.5			13	34.2%	62.7	59.9	17.7	50.5	71.8			10	41.7%	3	21.4%		
	resíduo ligeira a moderado	22	57.9%	77.3	87.5	28.0	75.0	100.0	0.210	0.127	22	57.9%	74.4	79.8	20.2	53.7	90.9	0.079	0.248	12	50.0%	10	71.4%	0.489	0.173
	resíduo severo	1	2.6%	0.0	0.0		0.0	0.0			1	2.6%	33.4	33.4		33.4	33.4			1	4.2%	0	0.0%		
	não testado	2	5.3%	87.5	87.5	17.7	75.0	100.0			2	5.3%	85.7	85.7	18.1	73.0	98.5			1	4.2%	1	7.1%		
VED líquido resíduo nos seios piriformes	sem resíduo	23	60.5%	66.8	75.0	27.3	50.0	87.5			23	60.5%	66.5	60.5	20.2	50.5	87.5			16	66.7%	7	50.0%		
	resíduo ligeira a moderado	12	31.6%	88.5	100.0	18.8	81.3	100.0	0.026	0.305	12	31.6%	76.9	81.7	18.2	61.1	91.6	0.115	0.209	6	25.0%	6	42.9%	0.577	0.147
	resíduo severo	1	2.6%	0.0	0.0		0.0	0.0			1	2.6%	33.4	33.4		33.4	33.4			1	4.2%	0	0.0%		
	não testado	2	5.3%	87.5	87.5	17.7	75.0	100.0			2	5.3%	85.7	85.7	18.1	73.0	98.5			1	4.2%	1	7.1%		
VED líquido resíduo na parede faríngea	sem resíduo	32	84.2%	72.7	75.0	27.0	50.0	100.0			32	84.2%	68.9	66.6	20.2	51.8	89.5			20	83.3%	12	85.7%		
	resíduo ligeira a moderado	3	7.9%	91.7	100.0	14.4	75.0	100.0	0.200	0.086	3	7.9%	82.3	76.6	12.5	73.6	96.6	0.150	0.150	2	8.3%	1	7.1%	0.865	-0.027
	resíduo severo	1	2.6%	0.0	0.0		0.0	0.0			1	2.6%	33.4	33.4		33.4	33.4			1	4.2%	0	0.0%		
	não testado	2	5.3%	87.5	87.5	17.7	75.0	100.0			2	5.3%	85.7	85.7	18.1	73.0	98.5			1	4.2%	1	7.1%		
VED líquido n.º de deglutições	1 deglutição	31	81.6%	73.4	75.0	26.6	50.0	100.0			31	81.6%	69.1	68.2	19.4	52.2	89.0			20	83.3%	11	78.6%		
	1+1 adicional	0	0.0%								0	0.0%								0	0.0%	0	0.0%		
	1+2 adicionais	2	5.3%	93.8	93.8	8.8	87.5	100.0			2	5.3%	96.4	96.4	1.7	95.3	97.6			0	0.0%	2	14.3%		
	1+3 adicionais	3	7.9%	45.8	37.5	50.5	0.0	100.0	0.447	0.041	3	7.9%	50.1	43.2	21.0	33.4	73.6	0.040	0.113	3	12.5%	0	0.0%	0.157	0.040
	1+4ou mais adicionais	0	0.0%								0	0.0%								0	0.0%	0	0.0%		
	não testado	2	5.3%	87.5	87.5	17.7	75.0	100.0			2	5.3%	85.7	85.7	18.1	73.0	98.5			1	4.2%	1	7.1%		
VED líquido reage sem tosse	ausente	34	89.5%	75.4	81.3	26.2	50.0	100.0			34	89.5%	70.7	72.7	19.8	53.6	90.0			21	87.5%	13	92.9%		
	presente	2	5.3%	18.8	18.8	26.5	0.0	37.5	0.087	-0.163	2	5.3%	41.3	41.3	11.1	33.4	49.1	0.077	-0.066	2	8.3%	0	0.0%	0.520	-0.075
	não testado	2	5.3%	87.5	87.5	17.7	75.0	100.0			2	5.3%	85.7	85.7	18.1	73.0	98.5			1	4.2%	1	7.1%		
VED líquido função vocal	ausente	0	0.0%								0	0.0%								0	0.0%	0	0.0%		
	presente	36	94.7%	72.2	75.0	29.0	50.0	100.0	0.524	0.105	36	94.7%	69.1	70.0	20.5	51.8	89.5	0.214	0.204	23	95.8%	13	92.9%	0.696	0.064
	não testado	2	5.3%	87.5	87.5	17.7	75.0	100.0			2	5.3%	85.7	85.7	18.1	73.0	98.5			1	4.2%	1	7.1%		
VED bolacha escape prematuro	ausente	33	86.8%	70.1	75.0	29.3	50.0	100.0			33	86.8%	68.2	68.2	20.0	52.2	87.5			22	91.7%	11	78.6%		
	presente	2	5.3%	93.8	93.8	8.8	87.5	100.0	0.215	0.286	2	5.3%	95.4	95.4	3.1	93.2	97.6	0.116	0.243	0	0.0%	2	14.3%	0.172	0.169
	não testado	3	7.9%	91.7	100.0	14.4	75.0	100.0			3	7.9%	72.5	73.0	26.3	46.0	98.5			2	8.3%	1	7.1%		
	sem resíduo	2	5.3%	81.3	81.3	8.8	75.0	87.5	0.106	0.365*	2	5.3%	77.5	77.5	17.8	64.9	90.0	0.477	0.173	1	4.2%	1	7.1%	0.709	0.104

		SWALQOL-Sono									SWAL-QOL Resultado total									Categorial SWAL-QOL alterado		normal			
		N	%	Média	Mediana	DP	25	75	*p*	Correlação	N	%	Média	Mediana	DP	25	75	*p*	Correlação	N	%	N	%	*p*	Correlação
VED bolacha resíduo nas valéculas	resíduo ligeira a moderado	18	47.4%	61.8	75.0	31.1	37.5	87.5			18	47.4%	64.5	60.2	20.7	51.5	86.8			13	54.2%	5	35.7%		
	resíduo severo	15	39.5%	81.7	87.5	24.9	75.0	100.0			15	39.5%	74.9	76.6	20.0	53.6	93.2			8	33.3%	7	50.0%		
	não testado	3	7.9%	91.7	100.0	14.4	75.0	100.0			3	7.9%	72.5	73.0	26.3	46.0	98.5			2	8.3%	1	7.1%		
VED bolacha resíduo nos seios piriformes	sem resíduo	14	36.8%	62.5	62.5	29.8	37.5	87.5			14	36.8%	65.7	62.7	19.1	51.5	82.9			11	45.8%	3	21.4%		
	resíduo ligeira a moderado	18	47.4%	77.8	87.5	25.9	75.0	100.0	0.260	0.324*	18	47.4%	71.9	75.1	20.2	53.6	89.0	0.787	0.163	10	41.7%	8	57.1%	0.398	0.230
	resíduo severo	3	7.9%	75.0	100.0	43.3	25.0	100.0			3	7.9%	75.6	93.2	32.3	38.2	95.3			1	4.2%	2	14.3%		
	não testado	3	7.9%	91.7	100.0	14.4	75.0	100.0			3	7.9%	72.5	73.0	26.3	46.0	98.5			2	8.3%	1	7.1%		
VED bolacha resíduo na parede faríngea	sem resíduo	6	15.8%	66.7	62.5	18.8	50.0	87.5			6	15.8%	72.5	75.0	22.9	51.5	90.9			3	12.5%	3	21.4%		
	resíduo ligeira a moderado	28	73.7%	71.4	75.0	31.0	43.8	100.0	0.280	0.289	28	73.7%	68.2	70.0	19.9	52.9	87.2	0.457	0.041	19	79.2%	9	64.3%	0.498	-0.039
	resíduo severo	1	2.6%	100.0	100.0		100.0	100.0			1	2.6%	96.6	96.6		96.6	96.6			0	0.0%	1	7.1%		
	não testado	3	7.9%	91.7	100.0	14.4	75.0	100.0			3	7.9%	72.5	73.0	26.3	46.0	98.5			2	8.3%	1	7.1%		
VED bolacha n.º de deglutições	1 deglutição	2	5.3%	100.0	100.0	0.0	100.0	100.0			2	5.3%	53.0	53.0	1.2	52.2	53.9			2	8.3%	0	0.0%		
	1+1 adicional	0	0.0%								0	0.0%								0	0.0%	0	0.0%		
	1+2 adicionais	13	34.2%	69.2	75.0	22.0	50.0	87.5			13	34.2%	70.8	68.2	17.6	53.7	90.0			8	33.3%	5	35.7%		
	1+3 adicionais	12	31.6%	74.0	87.5	32.6	62.5	100.0	0.203	0.017	12	31.6%	70.6	75.1	20.7	55.5	87.2	0.879	0.101	8	33.3%	4	28.6%	0.771	0.109
	1+4ou mais adicionais	8	21.1%	64.1	75.0	35.6	37.5	93.8			8	21.1%	70.8	74.9	27.2	46.2	96.6			4	16.7%	4	28.6%		
	não testado	3	7.9%	91.7	100.0	14.4	75.0	100.0			3	7.9%	72.5	73.0	26.3	46.0	98.5			2	8.3%	1	7.1%		
VED bolacha reage sem tosse	ausente	34	89.5%	72.4	75.0	28.8	50.0	100.0			34	89.5%	70.3	72.7	20.4	53.6	90.0			21	87.5%	13	92.9%		
	presente	1	2.6%	37.5	37.5		37.5	37.5	0.209	0.082	1	2.6%	49.1	49.1		49.1	49.1	0.507	-0.046	1	4.2%	0	0.0%	0.737	-0.079
	não testado	3	7.9%	91.7	100.0	14.4	75.0	100.0			3	7.9%	72.5	73.0	26.3	46.0	98.5			2	8.3%	1	7.1%		
VED bolacha função vocal	ausente	0	0.0%								0	0.0%								0	0.0%	0	0.0%		
	presente	35	92.1%	71.4	75.0	29.0	50.0	100.0	0.211	0.205	35	92.1%	69.7	71.8	20.4	52.2	90.0	0.766	0.049	22	91.7%	13	92.9%	0.897	-0.021
	não testado	3	7.9%	91.7	100.0	14.4	75.0	100.0			3	7.9%	72.5	73.0	26.3	46.0	98.5			2	8.3%	1	7.1%		
VED aspiraçã	não	20	52.6%	68.1	75.0	27.6	50.0	87.5			20	52.6%	66.3	62.7	18.4	52.5	88.2			14	58.3%	6	42.9%		
	sim	16	42.1%	77.3	87.5	30.7	75.0	100.0	0.368	0.232	16	42.1%	72.4	79.8	23.1	50.7	94.2	0.290	0.232	9	37.5%	7	50.0%	0.652	0.152
	alto risco de aspiração	2	5.3%	87.5	87.5	17.7	75.0	100.0			2	5.3%	85.7	85.7	18.1	73.0	98.5			1	4.2%	1	7.1%		
VED momento de aspiração pudim	NA	31	81.6%	71.8	75.0	27.0	50.0	100.0			31	81.6%	72.2	73.6	20.5	53.6	90.9			18	75.0%	13	92.9%		
	pré-deglutição	5	13.2%	90.0	100.0	13.7	75.0	100.0			5	13.2%	62.4	53.9	17.0	52.2	73.0			4	16.7%	1	7.1%		
	durante deglutição	1	2.6%	0.0	0.0		0.0	0.0	0.104	0.161	1	2.6%	33.4	33.4		33.4	33.4	0.283	-0.242	1	4.2%	0	0.0%	0.559	-0.229
	pós-deglutição	1	2.6%	100.0	100.0		100.0	100.0			1	2.6%	73.6	73.6		73.6	73.6			1	4.2%	0	0.0%		
VED momento de aspiração líquido	NA	25	65.8%	72.5	75.0	26.8	50.0	100.0	0.898	0.090	25	65.8%	68.0	64.9	19.1	53.6	89.0	0.151	0.184	17	70.8%	8	57.1%	0.380	0.184
	pré-deglutição	2	5.3%	68.8	68.8	44.2	37.5	100.0			2	5.3%	47.6	47.6	2.2	46.0	49.1			2	8.3%	0	0.0%		

		SWALQOL-Sono									SWAL-QOL Resultado total									alterado		Categorial SWAL-QOL normal			
		N	%	Média	Mediana	DP	25	75	*p*	Correlação	N	%	Média	Mediana	DP	25	75	*p*	Correlação	N	%	N	%	*p*	Correlação
	durante deglutição	8	21.1%	70.3	81.3	37.8	50.0	100.0			8	21.1%	75.1	84.8	25.5	55.9	94.2			4	16.7%	4	28.6%		
	pós-deglutição	3	7.9%	87.5	87.5	12.5	75.0	100.0			3	7.9%	86.7	86.9	10.0	76.6	96.6			1	4.2%	2	14.3%		
VED momento de aspiração bolacha	NA	32	84.2%	74.6	75.0	25.9	50.0	100.0	0.925	-0.052	32	84.2%	68.8	70.0	18.5	52.9	87.2	0.289	0.169	22	91.7%	10	71.4%	0.201	0.259
	pré-deglutição	0	0.0%								0	0.0%								0	0.0%	0	0.0%		
	durante deglutição	1	2.6%	75.0	75.0		75.0	75.0			1	2.6%	96.6	96.6		96.6	96.6			0	0.0%	1	7.1%		
	pós-deglutição	5	13.2%	62.5	87.5	46.8	25.0	100.0			5	13.2%	71.5	93.2	32.7	38.2	95.3			2	8.3%	3	21.4%		
VED PAS	1	21	55.3%	69.6	75.0	27.8	50.0	87.5	0.161	0.175	21	55.3%	67.9	64.9	19.3	53.6	89.0	0.522	0.039	14	58.3%	7	50.0%	0.691	0.014
	2	9	23.7%	73.6	75.0	26.1	75.0	87.5			9	23.7%	80.0	86.9	22.0	76.6	96.6			4	16.7%	5	35.7%		
	3	4	10.5%	100.0	100.0	0.0	100.0	100.0			4	10.5%	61.3	53.0	21.5	49.1	73.5			3	12.5%	1	7.1%		
	4	3	7.9%	58.3	75.0	52.0	0.0	100.0			3	7.9%	64.6	73.6	27.8	33.4	86.8			2	8.3%	1	7.1%		
	5	0	0.0%								0	0.0%								0	0.0%	0	0.0%		
	6	0	0.0%								0	0.0%								0	0.0%	0	0.0%		
	7	0	0.0%								0	0.0%								0	0.0%	0	0.0%		
	8	1	2.6%	75.0	75.0		75.0	75.0			1	2.6%	73.0	73.0		73.0	73.0			1	4.2%	0	0.0%		
VED limpeza	A - efetivo	6	15.8%	62.5	75.0	37.1	37.5	87.5	0.073	-0.136	6	15.8%	72.7	79.8	26.1	49.1	96.6	0.793	-0.091	4	16.7%	2	14.3%	0.507	-0.022
	B - moderadamente efetivo	5	13.2%	100.0	100.0	0.0	100.0	100.0			5	13.2%	63.8	53.9	19.4	52.2	73.6			4	16.7%	1	7.1%		
	C - ligeiramente efetivo	4	10.5%	68.8	75.0	31.5	50.0	87.5			4	10.5%	79.2	91.0	27.7	62.5	95.9			1	4.2%	3	21.4%		
	D - ineficaz	2	5.3%	81.3	81.3	8.8	75.0	87.5			2	5.3%	79.9	79.9	9.9	73.0	86.9			1	4.2%	1	7.1%		
	NA	21	55.3%	69.6	75.0	27.8	50.0	87.5			21	55.3%	67.9	64.9	19.3	53.6	89.0			14	58.3%	7	50.0%		
VED pudim latência	normal	9	23.7%	54.2	50.0	30.0	37.5	75.0	0.053	0.394*	9	23.7%	59.6	53.7	20.0	45.2	73.0	0.058	0.359*	7	29.2%	2	14.3%	0.280	0.218
	alterada	28	73.7%	78.1	87.5	26.0	75.0	100.0			28	73.7%	72.2	73.6	19.7	53.7	90.5			17	70.8%	11	78.6%		
	não testado	1	2.6%	100.0	100.0		100.0	100.0			1	2.6%	98.5	98.5		98.5	98.5			0	0.0%	1	7.1%		
VED pudim tempo de latência										0.405*									0.365*						0.350*
VED pudim whiteout	normal	0	0.0%						0.224	0.200	0	0.0%						0.092	0.277	0	0.0%	0	0.0%	0.190	0.215
	alterada	37	97.4%	72.3	75.0	28.6	50.0	100.0			37	97.4%	69.2	71.8	20.2	52.2	89.0			24	100.0%	13	92.9%		
	não testado	1	2.6%	100.0	100.0		100.0	100.0			1	2.6%	98.5	98.5		98.5	98.5			0	0.0%	1	7.1%		
VED pudim tempo de encerramento das VA										0.043									-0.162						-0.255
VED líquido latência	normal	10	26.3%	83.8	87.5	15.6	75.0	100.0	0.427	-0.115	10	26.3%	81.7	88.5	16.7	64.9	96.6	0.031	-0.238	4	16.7%	6	42.9%	0.177	-0.232
	alterada	26	68.4%	67.8	75.0	31.9	37.5	100.0			26	68.4%	64.2	59.8	20.0	49.1	86.8			19	79.2%	7	50.0%		
	não testado	2	5.3%	87.5	87.5	17.7	75.0	100.0			2	5.3%	85.7	85.7	18.1	73.0	98.5			1	4.2%	1	7.1%		

		SWALQOL-Sono									SWAL-QOL Resultado total									Categorial SWAL-QOL				
																				alterado		normal		
		N	%	Média	Mediana	DP	25	75	*p*	Correlação	N	%	Média	Mediana	DP	25	75	*p*	Correlação	N	%	N	%	*p*	Correlação
VED líquido tempo de latência										0.005									-0.321						-0.225
VED líquido whiteout	normal	0	0.0%								0	0.0%								0	0.0%	0	0.0%		
	alterada	36	94.7%	72.2	75.0	29.0	50.0	100.0	0.524	0.105	36	94.7%	69.1	70.0	20.5	51.8	89.5	0.214	0.204	23	95.8%	13	92.9%	0.696	0.064
	não testado	2	5.3%	87.5	87.5	17.7	75.0	100.0			2	5.3%	85.7	85.7	18.1	73.0	98.5			1	4.2%	1	7.1%		
VED líquido tempo de encerramento das VA										-0.145									0.008						0.131
VED bolacha latência	normal	13	34.2%	68.3	75.0	29.1	50.0	87.5			13	34.2%	68.6	68.2	20.0	52.2	87.5			9	37.5%	4	28.6%		
	alterada	22	57.9%	73.3	81.3	29.5	50.0	100.0	0.342	0.216	22	57.9%	70.4	73.6	21.1	53.6	90.0	0.915	0.068	13	54.2%	9	64.3%	0.832	0.071
	não testado	3	7.9%	91.7	100.0	14.4	75.0	100.0			3	7.9%	72.5	73.0	26.3	46.0	98.5			2	8.3%	1	7.1%		
VED bolacha tempo de latência										0.241									0.217						0.199
VED bolacha whiteout	normal	0	0.0%								0	0.0%								0	0.0%	0	0.0%		
	alterada	35	92.1%	71.4	75.0	29.0	50.0	100.0	0.211	0.205	35	92.1%	69.7	71.8	20.4	52.2	90.0	0.766	0.049	22	91.7%	13	92.9%	0.897	-0.021
	não testado	3	7.9%	91.7	100.0	14.4	75.0	100.0			3	7.9%	72.5	73.0	26.3	46.0	98.5			2	8.3%	1	7.1%		
VED bolacha tempo de encerramento das VA										0.216									0.033						-0.079

ANEXO XVII - Tabelas complementares do capítulo VI

Tabela 158 - Medidas descritivas, análise de correlação e diferenças estatísticas entre as variáveis sociodemográficas e clínica e a avaliação áudio-percetiva com escalas para item G (grau de severidade) e R (rouquidão).

		GRBAS_G										GRBAS_R									
		normal		ligeiro		moderado		severo		*p*	Correlação	normal		ligeiro		moderado		severo		*p*	Correlação
		N	%	N	%	N	%	N	%			N	%	N	%	N	%	N	%		
Idade											0.005										0.197
Sexo	Masculino	7	87.5%	16	94.1%	9	81.8%	0	0.0%	0.605	0.087	9	100.0%	14	100.0%	11	73.3%	0	0.0%	0.019	0.384*
	Feminino	1	12.5%	1	5.9%	2	18.2%	0	0.0%			0	0.0%	0	0.0%	4	26.7%	0	0.0%		
Estado civil	Casado	4	50.0%	7	41.2%	9	81.8%	0	0.0%	0.239	-0.285	6	66.7%	4	28.6%	10	66.7%	0	0.0%	0.879	-0.083
	Solteiro	2	25.0%	2	11.8%	2	18.2%	0	0.0%			0	0.0%	5	35.7%	1	6.7%	0	0.0%		
	Divorciado	2	25.0%	8	47.1%	0	0.0%	0	0.0%			3	33.3%	5	35.7%	4	26.7%	0	0.0%		
	Viúvo	0	0.0%	0	0.0%	0	0.0%	0	0.0%			0	0.0%	0	0.0%	0	0.0%	0	0.0%		
Nível de escolaridade	Sem escolaridade	0	0.0%	0	0.0%	0	0.0%	0	0.0%	0.997	0.013	0	0.0%	0	0.0%	0	0.0%	0	0.0%	0.316	0.022
	1.º ciclo	3	37.5%	6	35.3%	4	36.4%	0	0.0%			4	44.4%	3	21.4%	8	53.3%	0	0.0%		
	2.º ciclo	2	25.0%	5	29.4%	3	27.3%	0	0.0%			3	33.3%	6	42.9%	1	6.7%	0	0.0%		
	3.º ciclo	2	25.0%	1	5.9%	2	18.2%	0	0.0%			1	11.1%	3	21.4%	1	6.7%	0	0.0%		
	secundário	1	12.5%	1	5.9%	1	9.1%	0	0.0%			0	0.0%	1	7.1%	2	13.3%	0	0.0%		
	Ensino superior	0	0.0%	4	23.5%	1	9.1%	0	0.0%			1	11.1%	1	7.1%	3	20.0%	0	0.0%		
Problemas de saúde	não	7	87.5%	13	76.5%	9	81.8%	0	0.0%	0.829	0.037	7	77.8%	11	78.6%	13	86.7%	0	0.0%	0.546	-0.099
	Sim	1	12.5%	4	23.5%	2	18.2%	0	0.0%			2	22.2%	3	21.4%	2	13.3%	0	0.0%		
Estádio TNM	0	0	0.0%	0	0.0%	0	0.0%	0	0.0%	0.081	-0.109	0	0.0%	0	0.0%	0	0.0%	0	0.0%	0.427	0.031
	IA	0	0.0%	0	0.0%	0	0.0%	0	0.0%			0	0.0%	0	0.0%	0	0.0%	0	0.0%		
	IB	0	0.0%	0	0.0%	0	0.0%	0	0.0%			0	0.0%	0	0.0%	0	0.0%	0	0.0%		
	II	0	0.0%	0	0.0%	2	18.2%	0	0.0%			0	0.0%	2	14.3%	1	6.7%	0	0.0%		
	IIIA	0	0.0%	0	0.0%	0	0.0%	0	0.0%			0	0.0%	0	0.0%	0	0.0%	0	0.0%		
	IIIB	0	0.0%	0	0.0%	0	0.0%	0	0.0%			0	0.0%	0	0.0%	0	0.0%	0	0.0%		
	IV	0	0.0%	0	0.0%	0	0.0%	0	0.0%			0	0.0%	0	0.0%	0	0.0%	0	0.0%		
	Benigno/sem doença	0	0.0%	0	0.0%	0	0.0%	0	0.0%			0	0.0%	0	0.0%	0	0.0%	0	0.0%		
	IVa	4	50.0%	15	88.2%	5	45.5%	0	0.0%			6	66.7%	10	71.4%	9	60.0%	0	0.0%		
	IVb	1	12.5%	2	11.8%	0	0.0%	0	0.0%			1	11.1%	0	0.0%	2	13.3%	0	0.0%		
	III	3	37.5%	0	0.0%	2	18.2%	0	0.0%			2	22.2%	2	14.3%	1	6.7%	0	0.0%		
	I	0	0.0%	0	0.0%	2	18.2%	0	0.0%			0	0.0%	0	0.0%	2	13.3%	0	0.0%		
Traqueostomia	Não	8	100.0%	15	88.2%	11	100.0%	0	0.0%	0.823		9	100.0%	12	85.7%	15	100.0%	0	0.0%	0.675	
	Sim	0	0.0%	2	11.8%	0	0.0%	0	0.0%			0	0.0%	2	14.3%	0	0.0%	0	0.0%		

		GRBAS_G										GRBAS_R									
		normal		ligeiro		moderado		severo		*p*	Correlação	normal		ligeiro		moderado		severo		*p*	Correlação
		N	%	N	%	N	%	N	%			N	%	N	%	N	%	N	%		
Esvaziamento ganglionar cervical	Não	0	0.0%	0	0.0%	0	0.0%	0	0.0%			0	0.0%	0	0.0%	0	0.0%	0	0.0%		
	Sim	8	100.0%	17	100.0%	11	100.0%	0	0.0%			9	100.0%	14	100.0%	15	100.0%	0	0.0%		
QT por CH&N	Não	0	0.0%	0	0.0%	2	20.0%	0	0.0%	0.020		0	0.0%	1	8.3%	1	6.7%	0	0.0%	0.750	
	Sim	8	100.0%	16	100.0%	8	80.0%	0	0.0%			9	100.0%	11	91.7%	14	93.3%	0	0.0%		
Tempo término tratamento RT											0.103										0.340*
Medicação diária	Não	5	62.5%	1	5.9%	2	18.2%	0	0.0%	0.056	0.323	3	33.3%	2	14.3%	3	20.0%	0	0.0%	0.566	0.094
	Sim	3	37.5%	16	94.1%	9	81.8%	0	0.0%			6	66.7%	12	85.7%	12	80.0%	0	0.0%		
Disfonia	Não	8	100.0%	16	94.1%	9	81.8%	0	0.0%	0.146	0.246	9	100.0%	11	78.6%	15	100.0%	0	0.0%	0.603	-0.086
	Sim	0	0.0%	1	5.9%	2	18.2%	0	0.0%			0	0.0%	3	21.4%	0	0.0%	0	0.0%		
Terapia	Não	7	87.5%	8	47.1%	5	45.5%	0	0.0%	0.102	0.282	5	55.6%	5	35.7%	10	66.7%	0	0.0%	0.390	-0.080
	Sim	1	12.5%	9	52.9%	6	54.5%	0	0.0%			4	44.4%	9	64.3%	5	33.3%	0	0.0%		

Tabela 159 - Medidas descritivas, análise de correlação e diferenças estatísticas entre as variáveis sociodemográficas e clínica e a avaliação áudio-percetiva com escalas para item B (soprosidade) e A (astenia).

		GRBAS_B										GRBAS_A									
		normal		ligeiro		moderado		severo		*p*	Correlação	normal		ligeiro		moderado		severo		*p*	Correlação
		N	%	N	%	N	%	N	%			N	%	N	%	N	%	N	%		
Idade											-0.176										-0.017
Sexo	Masculino	24	92.3%	10	83.3%	0	0.0%	0	0.0%	0.408	0.136	8	80.0%	19	95.0%	5	83.3%	0	0.0%	0.613	-0.085
	Feminino	2	7.7%	2	16.7%	0	0.0%	0	0.0%			2	20.0%	1	5.0%	1	16.7%	0	0.0%		
Estado civil	Casado	13	50.0%	7	58.3%	0	0.0%	0	0.0%	0.696	-0.040	4	40.0%	11	55.0%	5	83.3%	0	0.0%	0.189	-0.218
	Solteiro	5	19.2%	1	8.3%	0	0.0%	0	0.0%			3	30.0%	3	15.0%	0	0.0%	0	0.0%		
	Divorciado	8	30.8%	4	33.3%	0	0.0%	0	0.0%			3	30.0%	6	30.0%	1	16.7%	0	0.0%		
	Viúvo	0	0.0%	0	0.0%	0	0.0%	0	0.0%			0	0.0%	0	0.0%	0	0.0%	0	0.0%		
Nível de escolaridade	Sem escolaridade	0	0.0%	0	0.0%	0	0.0%	0	0.0%	0.574	-0.111	0	0.0%	0	0.0%	0	0.0%	0	0.0%	0.335	-0.293
	1.º ciclo	9	34.6%	6	50.0%	0	0.0%	0	0.0%			1	10.0%	10	50.0%	2	33.3%	0	0.0%		
	2.º ciclo	7	26.9%	3	25.0%	0	0.0%	0	0.0%			3	30.0%	5	25.0%	2	33.3%	0	0.0%		
	3.º ciclo	5	19.2%	0	0.0%	0	0.0%	0	0.0%			1	10.0%	3	15.0%	1	16.7%	0	0.0%		
	secundário	2	7.7%	1	8.3%	0	0.0%	0	0.0%			2	20.0%	1	5.0%	0	0.0%	0	0.0%		
	Ensino superior	3	11.5%	2	16.7%	0	0.0%	0	0.0%			3	30.0%	1	5.0%	1	16.7%	0	0.0%		
Problemas de saúde	não	20	76.9%	11	91.7%	0	0.0%	0	0.0%	0.282	-0.177	9	90.0%	15	75.0%	5	83.3%	0	0.0%	0.592	0.090
	Sim	6	23.1%	1	8.3%	0	0.0%	0	0.0%			1	10.0%	5	25.0%	1	16.7%	0	0.0%		
Estádio TNM	0	0	0.0%	0	0.0%	0	0.0%	0	0.0%	0.145	0.031	0	0.0%	0	0.0%	0	0.0%	0	0.0%	0.076	-0.037
	IA	0	0.0%	0	0.0%	0	0.0%	0	0.0%			0	0.0%	0	0.0%	0	0.0%	0	0.0%		
	IB	0	0.0%	0	0.0%	0	0.0%	0	0.0%			0	0.0%	0	0.0%	0	0.0%	0	0.0%		
	II	1	3.8%	2	16.7%	0	0.0%	0	0.0%			0	0.0%	1	5.0%	1	16.7%	0	0.0%		
	IIIA	0	0.0%	0	0.0%	0	0.0%	0	0.0%			0	0.0%	0	0.0%	0	0.0%	0	0.0%		
	IIIB	0	0.0%	0	0.0%	0	0.0%	0	0.0%			0	0.0%	0	0.0%	0	0.0%	0	0.0%		
	IV	0	0.0%	0	0.0%	0	0.0%	0	0.0%			0	0.0%	0	0.0%	0	0.0%	0	0.0%		
	Benigno/sem doença	0	0.0%	0	0.0%	0	0.0%	0	0.0%			0	0.0%	0	0.0%	0	0.0%	0	0.0%		
	IVa	19	73.1%	6	50.0%	0	0.0%	0	0.0%			8	80.0%	13	65.0%	3	50.0%	0	0.0%		
	IVb	2	7.7%	1	8.3%	0	0.0%	0	0.0%			0	0.0%	2	10.0%	1	16.7%	0	0.0%		
	III	4	15.4%	1	8.3%	0	0.0%	0	0.0%			0	0.0%	4	20.0%	1	16.7%	0	0.0%		
	I	0	0.0%	2	16.7%	0	0.0%	0	0.0%			2	20.0%	0	0.0%	0	0.0%	0	0.0%		
Traqueostomia	Não	24	92.3%	12	100.0%	0	0.0%	0	0.0%	0.330		10	100.0%	18	90.0%	6	100.0%	0	0.0%	0.758	
	Sim	2	7.7%	0	0.0%	0	0.0%	0	0.0%			0	0.0%	2	10.0%	0	0.0%	0	0.0%		
Esvaziamento ganglionar cervical	Não	0	0.0%	0	0.0%	0	0.0%	0	0.0%			0	0.0%	0	0.0%	0	0.0%	0	0.0%		
	Sim	26	100.0%	12	100.0%	0	0.0%	0	0.0%			10	100.0%	20	100.0%	6	100.0%	0	0.0%		
QT por CH&N	Não	1	4.0%	1	9.1%	0	0.0%	0	0.0%	0.179		1	10.0%	1	5.0%	0	0.0%	0	0.0%	0.798	

		GRBAS_B										GRBAS_A									
		normal		ligeiro		moderado		severo		*p*	Correlação	normal		ligeiro		moderado		severo		*p*	Correlação
		N	%	N	%	N	%	N	%			N	%	N	%	N	%	N	%		
	Sim	24	96.0%	10	90.9%	0	0.0%	0	0.0%			9	90.0%	19	95.0%	4	100.0%	0	0.0%		
Tempo término tratamento RT											0.088										-0.255
Medicação diária	Não	6	23.1%	2	16.7%	0	0.0%	0	0.0%	0.657	0.073	4	40.0%	4	20.0%	0	0.0%	0	0.0%	0.062	0.316
	Sim	20	76.9%	10	83.3%	0	0.0%	0	0.0%			6	60.0%	16	80.0%	6	100.0%	0	0.0%		
Disfonia	Não	24	92.3%	11	91.7%	0	0.0%	0	0.0%	0.946	0.011	10	100.0%	18	90.0%	5	83.3%	0	0.0%	0.225	0.205
	Sim	2	7.7%	1	8.3%	0	0.0%	0	0.0%			0	0.0%	2	10.0%	1	16.7%	0	0.0%		
Terapia	Não	13	50.0%	7	58.3%	0	0.0%	0	0.0%	0.637	-0.042	9	90.0%	10	50.0%	1	16.7%	0	0.0%	0.004	0.435*
	Sim	13	50.0%	5	41.7%	0	0.0%	0	0.0%			1	10.0%	10	50.0%	5	83.3%	0	0.0%		

Tabela 160 - Medidas descritivas, análise de correlação e diferenças estatísticas entre as variáveis sociodemográficas e clínica e a avaliação áudio-percetiva com escalas para item S (tensão) e avaliação da ressonância do texto variável hipernasalidade.

		GRBAS_S										Avaliação ressonância - texto - hipernasalidade									
		normal		ligeiro		moderado		severo		*p*	Correlação	normal ou ausente		discreto		moderado		severo ou moderado		*p*	Correlação
		N	%	N	%	N	%	N	%			N	%	N	%	N	%	N	%		
Idade											0.099										-0.258
Sexo	Masculino	13	92.9%	17	85.0%	3	100.0%	0	0.0%	0.783	0.046	26	89.7%	5	100.0%	3	75.0%	0	0.0%	0.823	0.037
	Feminino	1	7.1%	3	15.0%	0	0.0%	0	0.0%			3	10.3%	0	0.0%	1	25.0%	0	0.0%		
Estado civil	Casado	7	50.0%	10	50.0%	3	100.0%	0	0.0%	0.623	-0.160	15	51.7%	3	60.0%	2	50.0%	0	0.0%	0.295	0.050
	Solteiro	2	14.3%	4	20.0%	0	0.0%	0	0.0%			6	20.7%	0	0.0%	0	0.0%	0	0.0%		
	Divorciado	5	35.7%	6	30.0%	0	0.0%	0	0.0%			8	27.6%	2	40.0%	2	50.0%	0	0.0%		
	Viúvo	0	0.0%	0	0.0%	0	0.0%	0	0.0%			0	0.0%	0	0.0%	0	0.0%	0	0.0%		
Nível de escolaridade	Sem escolaridade	0	0.0%	0	0.0%	0	0.0%	0	0.0%	0.381	-0.281	0	0.0%	0	0.0%	0	0.0%	0	0.0%	0.357	-0.250
	1.º ciclo	4	28.6%	7	35.0%	3	100.0%	0	0.0%			9	31.0%	3	60.0%	3	75.0%	0	0.0%		
	2.º ciclo	4	28.6%	6	30.0%	0	0.0%	0	0.0%			9	31.0%	1	20.0%	0	0.0%	0	0.0%		
	3.º ciclo	1	7.1%	4	20.0%	0	0.0%	0	0.0%			4	13.8%	1	20.0%	0	0.0%	0	0.0%		
	secundário	2	14.3%	1	5.0%	0	0.0%	0	0.0%			3	10.3%	0	0.0%	0	0.0%	0	0.0%		
	Ensino superior	3	21.4%	2	10.0%	0	0.0%	0	0.0%			4	13.8%	0	0.0%	1	25.0%	0	0.0%		
Problemas de saúde	não	12	85.7%	15	75.0%	3	100.0%	0	0.0%	0.844	0.033	23	79.3%	4	80.0%	4	100.0%	0	0.0%	0.463	-0.121
	Sim	2	14.3%	5	25.0%	0	0.0%	0	0.0%			6	20.7%	1	20.0%	0	0.0%	0	0.0%		
Estádio TNM	0	0	0.0%	0	0.0%	0	0.0%	0	0.0%	0.279	-0.259	0	0.0%	0	0.0%	0	0.0%	0	0.0%	0.705	0.059
	IA	0	0.0%	0	0.0%	0	0.0%	0	0.0%			0	0.0%	0	0.0%	0	0.0%	0	0.0%		
	IB	0	0.0%	0	0.0%	0	0.0%	0	0.0%			0	0.0%	0	0.0%	0	0.0%	0	0.0%		
	II	1	7.1%	2	10.0%	0	0.0%	0	0.0%			2	6.9%	0	0.0%	1	25.0%	0	0.0%		
	IIIA	0	0.0%	0	0.0%	0	0.0%	0	0.0%			0	0.0%	0	0.0%	0	0.0%	0	0.0%		
	IIIB	0	0.0%	0	0.0%	0	0.0%	0	0.0%			0	0.0%	0	0.0%	0	0.0%	0	0.0%		
	IV	0	0.0%	0	0.0%	0	0.0%	0	0.0%			0	0.0%	0	0.0%	0	0.0%	0	0.0%		
	Benigno/sem doença	0	0.0%	0	0.0%	0	0.0%	0	0.0%			0	0.0%	0	0.0%	0	0.0%	0	0.0%		
	IVa	7	50.0%	14	70.0%	3	100.0%	0	0.0%			20	69.0%	4	80.0%	1	25.0%	0	0.0%		
	IVb	2	14.3%	1	5.0%	0	0.0%	0	0.0%			2	6.9%	0	0.0%	1	25.0%	0	0.0%		
	III	2	14.3%	3	15.0%	0	0.0%	0	0.0%			4	13.8%	1	20.0%	0	0.0%	0	0.0%		
	I	2	14.3%	0	0.0%	0	0.0%	0	0.0%			1	3.4%	0	0.0%	1	25.0%	0	0.0%		
Traqueostomia	Não	13	92.9%	19	95.0%	3	100.0%	0	0.0%	0.650		27	93.1%	5	100.0%	4	100.0%	0	0.0%	0.429	
	Sim	1	7.1%	1	5.0%	0	0.0%	0	0.0%			2	6.9%	0	0.0%	0	0.0%	0	0.0%		
Esvaziamento ganglionar cervical	Não	0	0.0%	0	0.0%	0	0.0%	0	0.0%			0	0.0%	0	0.0%	0	0.0%	0	0.0%		
	Sim	14	100.0%	20	100.0%	3	100.0%	0	0.0%			29	100.0%	5	100.0%	4	100.0%	0	0.0%		
QT por CH&N	Não	1	7.1%	1	5.6%	0	0.0%	0	0.0%	0.975		2	7.4%	0	0.0%	0	0.0%	0	0.0%	0.326	

		GRBAS_S										Avaliação ressonância - texto - hipernasalidade									
		normal		ligeiro		moderado		severo		*p*	Correlação	normal ou ausente		discreto		moderado		severo ou moderado		*p*	Correlação
		N	%	N	%	N	%	N	%			N	%	N	%	N	%	N	%		
	Sim	13	92.9%	17	94.4%	3	100.0%	0	0.0%			25	92.6%	5	100.0%	4	100.0%	0	0.0%		
Tempo término tratamento RT											-0.255										0.327*
Medicação diária	Não	5	35.7%	3	15.0%	0	0.0%	0	0.0%	0.088	0.284	5	17.2%	2	40.0%	1	25.0%	0	0.0%	0.348	-0.154
	Sim	9	64.3%	17	85.0%	3	100.0%	0	0.0%			24	82.8%	3	60.0%	3	75.0%	0	0.0%		
Disfonia	Não	13	92.9%	18	90.0%	3	100.0%	0	0.0%	0.975	-0.005	26	89.7%	5	100.0%	4	100.0%	0	0.0%	0.326	-0.162
	Sim	1	7.1%	2	10.0%	0	0.0%	0	0.0%			3	10.3%	0	0.0%	0	0.0%	0	0.0%		
Terapia	Não	10	71.4%	10	50.0%	0	0.0%	0	0.0%	0.039	0.298	16	55.2%	2	40.0%	2	50.0%	0	0.0%	0.609	0.098
	Sim	4	28.6%	10	50.0%	3	100.0%	0	0.0%			13	44.8%	3	60.0%	2	50.0%	0	0.0%		

Tabela 161 - Medidas descritivas, análise de correlação e diferenças estatísticas entre as variáveis sociodemográficas e clínica e a avaliação da ressonância do texto variável hiponasalidade e de vogais variável hipernasalidade.

		Avaliação ressonância - texto - hiponasalidade										Avaliação ressonância - vogais - hipernasalidade									
		normal ou ausente		discreto		moderado		severo ou moderado		*p*	Correlação	normal ou ausente		discreto		moderado		severo ou moderado		*p*	Correlação
		N	%	N	%	N	%	N	%			N	%	N	%	N	%	N	%		
Idade											-0.359*										-0.248
Sexo	Masculino	30	90.9%	4	80.0%	0	0.0%	0	0.0%	0.465	0.120	27	90.0%	5	83.3%	2	100.0%	0	0.0%	0.893	0.022
	Feminino	3	9.1%	1	20.0%	0	0.0%	0	0.0%			3	10.0%	1	16.7%	0	0.0%	0	0.0%		
Estado civil	Casado	18	54.5%	2	40.0%	0	0.0%	0	0.0%	0.288	0.165	15	50.0%	3	50.0%	2	100.0%	0	0.0%	0.397	-0.061
	Solteiro	6	18.2%	0	0.0%	0	0.0%	0	0.0%			6	20.0%	0	0.0%	0	0.0%	0	0.0%		
	Divorciado	9	27.3%	3	60.0%	0	0.0%	0	0.0%			9	30.0%	3	50.0%	0	0.0%	0	0.0%		
	Viúvo	0	0.0%	0	0.0%	0	0.0%	0	0.0%			0	0.0%	0	0.0%	0	0.0%	0	0.0%		
Nível de escolaridade	Sem escolaridade	0	0.0%	0	0.0%	0	0.0%	0	0.0%	0.724	-0.126	0	0.0%	0	0.0%	0	0.0%	0	0.0%	0.538	-0.212
	1.º ciclo	12	36.4%	3	60.0%	0	0.0%	0	0.0%			10	33.3%	3	50.0%	2	100.0%	0	0.0%		
	2.º ciclo	9	27.3%	1	20.0%	0	0.0%	0	0.0%			9	30.0%	1	16.7%	0	0.0%	0	0.0%		
	3.º ciclo	5	15.2%	0	0.0%	0	0.0%	0	0.0%			4	13.3%	1	16.7%	0	0.0%	0	0.0%		
	secundário	3	9.1%	0	0.0%	0	0.0%	0	0.0%			3	10.0%	0	0.0%	0	0.0%	0	0.0%		
	Ensino superior	4	12.1%	1	20.0%	0	0.0%	0	0.0%			4	13.3%	1	16.7%	0	0.0%	0	0.0%		
Problemas de saúde	não	26	78.8%	5	100.0%	0	0.0%	0	0.0%	0.261	-0.185	24	80.0%	5	83.3%	2	100.0%	0	0.0%	0.596	-0.087
	Sim	7	21.2%	0	0.0%	0	0.0%	0	0.0%			6	20.0%	1	16.7%	0	0.0%	0	0.0%		
Estádio TNM	0	0	0.0%	0	0.0%	0	0.0%	0	0.0%	0.223	0.034	0	0.0%	0	0.0%	0	0.0%	0	0.0%	0.752	0.086
	IA	0	0.0%	0	0.0%	0	0.0%	0	0.0%			0	0.0%	0	0.0%	0	0.0%	0	0.0%		
	IB	0	0.0%	0	0.0%	0	0.0%	0	0.0%			0	0.0%	0	0.0%	0	0.0%	0	0.0%		
	II	2	6.1%	1	20.0%	0	0.0%	0	0.0%			2	6.7%	1	16.7%	0	0.0%	0	0.0%		
	IIIA	0	0.0%	0	0.0%	0	0.0%	0	0.0%			0	0.0%	0	0.0%	0	0.0%	0	0.0%		
	IIIB	0	0.0%	0	0.0%	0	0.0%	0	0.0%			0	0.0%	0	0.0%	0	0.0%	0	0.0%		
	IV	0	0.0%	0	0.0%	0	0.0%	0	0.0%			0	0.0%	0	0.0%	0	0.0%	0	0.0%		
	Benigno/sem doença	0	0.0%	0	0.0%	0	0.0%	0	0.0%			0	0.0%	0	0.0%	0	0.0%	0	0.0%		
	IVa	23	69.7%	2	40.0%	0	0.0%	0	0.0%			21	70.0%	3	50.0%	1	50.0%	0	0.0%		
	IVb	2	6.1%	1	20.0%	0	0.0%	0	0.0%			2	6.7%	0	0.0%	1	50.0%	0	0.0%		
	III	5	15.2%	0	0.0%	0	0.0%	0	0.0%			4	13.3%	1	16.7%	0	0.0%	0	0.0%		
	I	1	3.0%	1	20.0%	0	0.0%	0	0.0%			1	3.3%	1	16.7%	0	0.0%	0	0.0%		
Traqueostomia	Não	31	93.9%	5	100.0%	0	0.0%	0	0.0%	0.577		28	93.3%	6	100.0%	2	100.0%	0	0.0%	0.461	
	Sim	2	6.1%	0	0.0%	0	0.0%	0	0.0%			2	6.7%	0	0.0%	0	0.0%	0	0.0%		
Esvaziamento ganglionar cervical	Não	0	0.0%	0	0.0%	0	0.0%	0	0.0%			0	0.0%	0	0.0%	0	0.0%	0	0.0%		
	Sim	33	100.0%	5	100.0%	0	0.0%	0	0.0%			30	100.0%	6	100.0%	2	100.0%	0	0.0%		
QT por CH&N	Não	2	6.5%	0	0.0%	0	0.0%	0	0.0%	0.488		2	7.1%	0	0.0%	0	0.0%	0	0.0%	0.360	

		Avaliação ressonância - texto - hiponasalidade										Avaliação ressonância - vogais - hipernasalidade									
		normal ou ausente		discreto		moderado		severo ou moderado		*p*	Correlação	normal ou ausente		discreto		moderado		severo ou moderado		*p*	Correlação
		N	%	N	%	N	%	N	%			N	%	N	%	N	%	N	%		
	Sim	29	93.5%	5	100.0%	0	0.0%	0	0.0%			26	92.9%	6	100.0%	2	100.0%	0	0.0%		
Tempo término tratamento RT											0.423**										0.241
Medicação diária	Não	6	18.2%	2	40.0%	0	0.0%	0	0.0%	0.271	-0.181	5	16.7%	2	33.3%	1	50.0%	0	0.0%	0.190	-0.216
	Sim	27	81.8%	3	60.0%	0	0.0%	0	0.0%			25	83.3%	4	66.7%	1	50.0%	0	0.0%		
Disfonia	Não	30	90.9%	5	100.0%	0	0.0%	0	0.0%	0.488	-0.114	27	90.0%	6	100.0%	2	100.0%	0	0.0%	0.360	-0.150
	Sim	3	9.1%	0	0.0%	0	0.0%	0	0.0%			3	10.0%	0	0.0%	0	0.0%	0	0.0%		
Terapia	Não	17	51.5%	3	60.0%	0	0.0%	0	0.0%	0.727	0.000	16	53.3%	3	50.0%	1	50.0%	0	0.0%	0.869	0.056
	Sim	16	48.5%	2	40.0%	0	0.0%	0	0.0%			14	46.7%	3	50.0%	1	50.0%	0	0.0%		

Tabela 162 - Medidas descritivas, análise de correlação e diferenças estatísticas entre as variáveis sociodemográficas e clínica e avaliação da ressonância de vogais, variável hiponasalidade e o tempo máximo de fonação (TMF) para a vogal /a/.

		Avaliação ressonância - vogais - hiponasalidade										TMF_a						
		normal ou ausente		discreto		moderado		severo ou moderado		*p*	Correlação	Média	Mediana	DP	25	75	*p*	Correlação
		N	%	N	%	N	%	N	%									
Idade											-0.423**							0.359*
Sexo	Masculino	30	90.9%	4	80.0%	0	0.0%	0	0.0%	0.465	0.120	10	7.5	6.9	4.7	14.2	0.366	-0.149
	Feminino	3	9.1%	1	20.0%	0	0.0%	0	0.0%			6	5.9	2.7	3.9	8.1		
Estado civil	Casado	17	51.5%	3	60.0%	0	0.0%	0	0.0%	0.586	-0.008	10	7.8	7.0	6.2	14.1	0.421	-0.207
	Solteiro	6	18.2%	0	0.0%	0	0.0%	0	0.0%			8	6.4	7.0	4.3	7.8		
	Divorciado	10	30.3%	2	40.0%	0	0.0%	0	0.0%			9	4.9	6.3	3.7	15.1		
	Viúvo	0	0.0%	0	0.0%	0	0.0%	0	0.0%									
Nível de escolaridade	Sem escolaridade	0	0.0%	0	0.0%	0	0.0%	0	0.0%	0.269	-0.219						0.370	0.205
	1.º ciclo	11	33.3%	4	80.0%	0	0.0%	0	0.0%			8	6.0	5.1	3.5	9.1		
	2.º ciclo	10	30.3%	0	0.0%	0	0.0%	0	0.0%			11	7.5	7.9	5.6	18.8		
	3.º ciclo	5	15.2%	0	0.0%	0	0.0%	0	0.0%			10	7.1	5.7	6.7	14.2		
	secundário	3	9.1%	0	0.0%	0	0.0%	0	0.0%			6	4.7	1.8	4.5	7.7		
	Ensino superior	4	12.1%	1	20.0%	0	0.0%	0	0.0%			14	10.0	9.3	6.8	21.6		
Problemas de saúde	não	26	78.8%	5	100.0%	0	0.0%	0	0.0%	0.261	-0.185	9	7.2	6.4	4.7	13.9	0.865	0.028
	Sim	7	21.2%	0	0.0%	0	0.0%	0	0.0%			11	7.1	8.3	3.8	17.8		
Estádio TNM	0	0	0.0%	0	0.0%	0	0.0%	0	0.0%	0.223	0.034						0.230	0.134
	IA	0	0.0%	0	0.0%	0	0.0%	0	0.0%									
	IB	0	0.0%	0	0.0%	0	0.0%	0	0.0%									
	II	2	6.1%	1	20.0%	0	0.0%	0	0.0%			6	6.4	1.8	3.5	6.7		
	IIIA	0	0.0%	0	0.0%	0	0.0%	0	0.0%									
	IIIB	0	0.0%	0	0.0%	0	0.0%	0	0.0%									
	IV	0	0.0%	0	0.0%	0	0.0%	0	0.0%									
	Benigno/sem doença	0	0.0%	0	0.0%	0	0.0%	0	0.0%									
	IVa	23	69.7%	2	40.0%	0	0.0%	0	0.0%			10	7.7	7.2	4.7	14.0		
	IVb	2	6.1%	1	20.0%	0	0.0%	0	0.0%			9	6.0	6.3	4.6	16.2		
	III	5	15.2%	0	0.0%	0	0.0%	0	0.0%			13	13.9	6.1	8.0	14.2		
	I	1	3.0%	1	20.0%	0	0.0%	0	0.0%			5	4.6	0.1	4.5	4.7		
Traqueostomia	Não	31	93.9%	5	100.0%	0	0.0%	0	0.0%	0.577		9.8	7.2	6.8	4.7	14.1	0.472	
	Sim	2	6.1%	0	0.0%	0	0.0%	0	0.0%			5.8	5.8	2.8	3.8	7.8		
Esvaziamento ganglionar cervical	Não	0	0.0%	0	0.0%	0	0.0%	0	0.0%									
	Sim	33	100.0%	5	100.0%	0	0.0%	0	0.0%			10	7.2	6.7	4.7	14.0		
QT por CH&N	Não	2	6.5%	0	0.0%	0	0.0%	0	0.0%	0.488		5.6	5.6	1.5	4.5	6.7	0.343	

		Avaliação ressonância - vogais - hiponasalidade										TMF_a						
		normal ou ausente		discreto		moderado		severo ou moderado		*p*	Correlação	Média	Mediana	DP	25	75	*p*	Correlação
		N	%	N	%	N	%	N	%									
	Sim	29	93.5%	5	100.0%	0	0.0%	0	0.0%			9.8	7.5	6.9	4.7	14.2		
Tempo término tratamento RT											0.341*							-0.180
Medicação diária	Não	7	21.2%	1	20.0%	0	0.0%	0	0.0%	0.951	0.010	7	4.8	4.3	4.6	10.6	0.267	0.182
	Sim	26	78.8%	4	80.0%	0	0.0%	0	0.0%			10	7.7	7.1	5.0	16.2		
Disfonia	Não	30	90.9%	5	100.0%	0	0.0%	0	0.0%	0.488	-0.114	10	7.2	6.9	4.6	14.2	0.935	0.013
	Sim	3	9.1%	0	0.0%	0	0.0%	0	0.0%			8	6.7	2.0	6.4	10.0		
Terapia	Não	18	54.5%	2	40.0%	0	0.0%	0	0.0%	0.549	0.112	9.7	7.0	6.7	4.7	14.1	0.838	-0.066
	Sim	15	45.5%	3	60.0%	0	0.0%	0	0.0%			9.4	7.4	6.8	4.3	14.0		

Tabela 163 - Medidas descritivas, análise de correlação e diferenças estatísticas entre as variáveis sociodemográficas e clínica e o tempo máximo de fonação (TMF) para as vogais /i/ e /u/.

		TMF_i							TMF_u						
		Média	Mediana	DP	25	75	*p*	Correlação	Média	Mediana	DP	25	75	*p*	Correlação
Idade								0.212							0.221
Sexo	Masculino	11	7.8	12.8	4.8	13.3	0.405	-0.137	11	7.2	12.1	5.1	12.9	0.775	-0.047
	Feminino	6	7.1	2.9	4.4	8.5			8	7.3	5.6	4.4	11.9		
Estado civil	Casado	10	7.9	6.1	5.8	15.1	0.501	-0.106	10	7.4	6.6	5.7	13.9	0.641	-0.080
	Solteiro	8	5.8	5.0	4.0	11.4			10	6.4	11.2	4.0	7.1		
	Divorciado	14	8.2	20.2	5.0	12.5			13	9.1	17.6	5.1	12.9		
	Viúvo														
Nível de escolaridade	Sem escolaridade						0.536	0.130						0.882	0.074
	1.º ciclo	13	7.3	18.6	4.7	11.9			13	7.0	16.5	5.1	15.7		
	2.º ciclo	10	9.2	5.5	4.8	15.5			10	7.1	8.4	5.5	12.2		
	3.º ciclo	8	7.9	3.7	5.3	9.7			8	8.2	4.1	4.9	11.1		
	secundário	6	6.3	1.6	4.7	7.9			7	7.2	1.3	5.1	7.5		
	Ensino superior	12	12.0	5.4	8.2	17.0			13	11.5	7.8	6.5	15.6		
Problemas de saúde	não	11	7.7	13.2	5.3	13.0	0.611	-0.084	12	7.1	12.6	5.1	13.0	0.679	-0.068
	Sim	9	7.9	5.6	4.0	13.3			8	8.2	4.2	4.0	12.2		
Estádio TNM	0						0.181	0.122						0.132	0.196
	IA														
	IB														
	II	5	5.3	0.5	4.8	5.7			6	5.5	0.9	4.9	6.8		
	IIIA														
	IIIB														
	IV														
	Benigno/sem doença														
	IVa	12	8.6	14.6	4.7	13.0			12	7.2	13.1	5.1	12.9		
	IVb	5	4.8	1.2	4.7	6.7			6	5.1	1.0	5.1	6.8		
	III	13	13.3	4.8	7.9	16.1			16	11.1	10.5	8.2	20.5		
	I	6	6.3	0.0	6.3	6.3			7	7.0	0.7	6.5	7.5		
Traqueostomia	Não	11.2	7.9	12.4	5.1	13.1	0.214		11.5	7.2	11.8	5.3	12.9	0.214	
	Sim	5.1	5.1	2.9	3.0	7.1			4.7	4.7	3.4	2.3	7.1		
Esvaziamento ganglionar cervical	Não														
	Sim	11	7.8	12.2	4.8	13.0			11	7.2	11.6	5.1	12.9		
QT por CH&N	Não	5.8	5.8	0.7	5.3	6.3	0.203		6.2	6.2	1.8	4.9	7.5	0.291	
	Sim	11.3	7.9	12.8	4.8	13.3			11.6	7.2	12.1	5.1	12.9		
Tempo término tratamento RT								0.074							0.099

		TMF_i							TMF_u						
		Média	Mediana	DP	25	75	*p*	Correlação	Média	Mediana	DP	25	75	*p*	Correlação
Medicação diária	Não	8	5.8	5.3	4.7	12.3	0.452	0.124	8	6.1	5.6	5.1	9.3	0.334	0.159
	Sim	12	7.9	13.4	5.3	13.0			12	7.2	12.6	5.7	12.9		
Disfonia	Não	11	7.9	12.6	4.8	13.3	0.607	-0.085	11	7.2	12.0	5.1	12.9	0.401	-0.138
	Sim	7	5.3	4.0	4.8	12.0			7	5.5	3.6	4.9	11.5		
Terapia	Não	9.1	8.4	4.9	4.7	12.6	0.918	-0.010	10.0	7.0	7.1	5.1	13.0	0.872	0.001
	Sim	12.9	7.5	17.0	5.3	13.0			12.4	7.2	15.2	5.5	12.2		

Tabela 164 - Medidas descritivas, análise de correlação e diferenças estatísticas entre as variáveis sociodemográficas e clínica e o as variáveis da análise acústica - *shimmer*, *jitter* e F_0.

		Shimmer							*Jitter*							F_0						
		Média	Mediana	DP	25	75	*p*	Correlação	Média	Mediana	DP	25	75	*p*	Correlação	Média	Mediana	DP	25	75	*p*	Correlação
Idade								0.227							-0.019							0.190
Sexo	Masculino	4	2.8	3.6	1.8	5.8	0.775	-0.047	1	0.5	0.6	0.4	0.8	0.981	-0.004	131	124.1	38.4	114.3	138.6	0.775	-0.047
	Feminino	5	2.4	6.1	1.5	8.5			1	0.7	0.9	0.3	1.6			134	115.4	52.6	98.8	168.5		
Estado civil	Casado	4	2.9	2.6	1.8	5.3	0.526	0.024	1	0.5	0.7	0.4	0.8	0.664	0.081	132	127.5	31.8	110.0	151.6	0.663	-0.079
	Solteiro	3	2.6	1.7	1.5	2.8			1	0.4	0.7	0.3	1.0			116	120.7	18.2	114.7	126.4		
	Divorciado	6	3.3	5.7	1.6	7.5			1	0.5	0.6	0.5	0.8			139	120.6	55.6	100.6	154.0		
	Viúvo																					
Nível de escolaridade	Sem escolaridade						0.911	-0.084						0.118	-0.283						0.295	-0.237
	1.º ciclo	5	3.1	5.1	1.8	5.8			1	0.5	0.8	0.5	1.0			142	127.7	48.5	105.7	159.8		
	2.º ciclo	3	2.8	1.8	2.5	4.6			1	0.8	0.6	0.4	1.0			121	125.5	18.5	116.7	132.5		
	3.º ciclo	3	1.8	2.6	1.6	2.7			0	0.3	0.2	0.3	0.3			143	117.0	52.7	114.7	188.0		
	secundário	4	2.6	3.0	1.8	7.4			0	0.5	0.1	0.4	0.5			138	130.1	28.3	114.3	169.3		
	Ensino superior	5	3.5	4.2	1.2	7.9			1	0.5	0.3	0.3	0.8			104	96.4	16.3	92.8	115.8		
Problemas de saúde	não	4	2.8	3.1	1.5	4.9	0.376	0.145	1	0.5	0.6	0.4	0.8	0.910	-0.019	129	123.6	34.6	105.7	134.4	0.807	0.040
	Sim	6	2.9	6.2	1.8	7.6			1	0.7	0.7	0.3	1.7			142	126.4	57.8	86.9	209.8		
Estádio TNM	0						0.239	-0.331*						0.090	-0.334*						0.779	0.022
	IA																					
	IB																					
	II	4	2.7	2.4	2.3	6.6			1	0.5	0.5	0.3	1.2			146	127.8	36.8	121.2	188.0		
	IIIA																					
	IIIB																					
	IV																					
	Benigno/sem doença																					
	IVa	5	3.5	4.3	2.5	6.0			1	0.7	0.7	0.4	1.0			129	120.1	42.9	101.6	138.6		
	IVb	3	1.5	3.5	1.0	7.4			1	0.5	0.1	0.5	0.8			131	123.6	35.4	99.5	169.3		
	III	2	1.8	1.5	1.6	2.7			0	0.3	0.1	0.3	0.5			138	117.0	40.7	116.7	129.3		
	I	2	1.9	1.0	1.2	2.6			0	0.4	0.1	0.3	0.5			129	128.7	2.1	127.2	130.1		
Traqueostomia	Não	3.9	2.8	3.0	1.7	5.3	0.395		0.7	0.5	0.6	0.3	0.8	0.624		128.9	122.4	36.6	104.6	136.5	0.102	
	Sim	10.9	10.9	11.8	2.5	19.2			1.0	1.0	0.9	0.4	1.7			181.7	181.7	69.5	132.5	230.8		
Esvaziamento ganglionar cervical	Não																					
	Sim	4	2.8	3.8	1.8	5.8			1	0.5	0.6	0.4	0.8			132	124.1	39.3	105.7	138.6		
QT por CH&N	Não	2.6	2.6	0.1	2.6	2.7	0.808		0.4	0.4	0.1	0.3	0.5	0.705		159.1	159.1	40.9	130.1	188.0	0.151	
	Sim	4.3	2.8	4.0	1.6	5.8			0.8	0.5	0.6	0.4	0.8			130.5	122.4	40.3	103.5	138.6		
Tempo término tratamento RT								-0.137							0.267							0.322*

		Shimmer							*Jitter*							F_0						
		Média	Mediana	DP	25	75	*p*	Correlação	Média	Mediana	DP	25	75	*p*	Correlação	Média	Mediana	DP	25	75	*p*	Correlação
Medicação diária	Não	4	2.7	2.4	2.1	5.5	0.914	0.018	1	0.5	0.2	0.4	0.7	0.543	0.100	130	120.8	25.5	115.0	149.7	0.830	-0.035
	Sim	4	2.9	4.1	1.8	5.8			1	0.5	0.7	0.4	0.9			132	125.0	42.5	103.5	138.6		
Disfonia	Não	4	2.9	3.9	1.8	5.8	0.645	-0.076	1	0.5	0.6	0.4	0.8	0.303	-0.169	131	123.6	39.7	103.5	138.6	0.432	0.129
	Sim	3	2.7	2.9	1.1	6.6			1	0.3	0.5	0.3	1.2			144	127.8	38.7	115.8	188.0		
Terapia	Não	4.1	2.9	3.3	1.6	6.7	0.965	0.058	0.9	0.5	0.8	0.4	0.9	0.578	-0.079	117.9	116.9	24.2	97.8	128.7	0.047	0.418**
	Sim	4.4	2.8	4.4	1.8	4.9			0.6	0.5	0.4	0.4	0.8			146.9	128.6	47.2	114.7	159.8		

Tabela 165 - Medidas descritivas, análise de correlação e diferenças estatísticas entre as variáveis sociodemográficas e clínica e o as variáveis da análise acústica - intensidade, *harmonics-to-noise-ratio* (HNR) e índice de severidade de disfonia (ISD).

		Intensidade							HNR							ISD						
		Média	Mediana	DP	25	75	*p*	Correlação	Média	Mediana	DP	25	75	*p*	Correlação	Média	Mediana	DP	25	75	*p*	Correlação
Idade								-0.178							-0.133							0.112
Sexo	Masculino	67	68.2	9.0	61.1	71.0	0.849	-0.031	19	19.4	4.9	14.3	22.2	0.634	0.078	0	0.6	5.2	-0.5	2.1	0.794	0.043
	Feminino	69	67.9	6.4	64.0	73.0			19	20.9	10.5	11.0	26.3			0	0.9	3.2	-1.9	2.3		
Estado civil	Casado	67	68.9	9.2	61.2	71.2	0.119	-0.111	19	19.5	5.0	16.0	23.7	0.381	-0.166	-2	0.3	6.5	-1.0	1.0	0.024	0.354*
	Solteiro	71	70.7	2.6	69.3	71.3			20	20.6	5.1	15.4	25.6			0	-0.4	2.1	-1.4	-0.1		
	Divorciado	66	66.2	9.7	57.8	67.6			17	18.3	6.3	11.8	21.7			2	1.6	1.1	1.0	2.8		
	Viúvo																					
Nível de escolaridade	Sem escolaridade																					
	1.º ciclo	66	64.4	8.4	58.0	69.8	0.364	0.034	18	18.4	5.6	15.6	22.2	0.550	0.124	0	0.9	4.3	-0.3	2.7	0.771	-0.166
	2.º ciclo	71	70.5	4.9	68.8	71.0			18	18.5	4.5	13.7	21.7			1	-0.1	1.9	-0.5	2.1		
	3.º ciclo	69	69.2	13.0	62.7	76.2			21	24.1	5.8	20.6	24.3			-3	1.7	11.5	-1.4	2.7		
	secundário	66	68.6	7.3	57.6	71.4			21	24.2	5.8	14.3	24.5			1	0.6	0.1	0.6	0.9		
	Ensino superior	63	67.3	11.6	52.8	67.4			18	17.2	7.8	13.4	22.2			-1	-1.0	3.3	-1.0	0.6		
Problemas de saúde	não	67	67.4	8.3	61.4	70.8	0.693	0.065	19	19.2	5.4	15.4	23.3	0.693	-0.065	0	0.6	3.3	-0.5	1.4	0.692	0.065
	Sim	67	69.2	11.0	56.6	71.3			18	19.5	6.4	11.4	24.1			-2	1.7	9.7	-2.6	3.0		
Estádio TNM	0																					
	IA																					
	IB																					
	II	67	67.8	3.9	62.7	70.4			18	20.6	4.4	13.4	21.2			1	1.0	1.4	-0.1	2.7		
	IIIA																					
	IIIB						0.840	0.141						0.030	0.465**						0.736	0.075
	IV																					
	Benigno/sem doença																					
	IVa	66	67.3	8.8	61.1	71.0			17	17.5	5.4	13.7	21.7			0	-0.1	3.7	-1.0	1.7		
	IVb	68	64.3	12.5	57.6	81.8			20	21.9	5.0	14.3	23.7			1	0.6	1.5	-0.3	2.7		
	III	69	69.3	10.8	69.2	69.8			23	24.1	3.3	22.2	24.3			-3	1.2	11.7	0.9	3.3		
	I	73	72.7	5.8	68.6	76.8			27	26.5	2.9	24.5	28.6			1	0.6	0.0	0.6	0.6		
Traqueostomia	Não	67.3	68.2	8.8	62.0	71.1	0.647		18.8	19.4	5.4	14.8	23.4	0.433		-0.5	0.6	5.1	-0.7	1.9	0.794	
	Sim	63.6	63.6	9.9	56.6	70.6			15.1	15.1	9.3	8.6	21.7			1.3	1.3	2.5	-0.5	3.0		
Esvaziamento ganglionar cervical	Não																					
	Sim	67	68.2	8.7	61.4	71.0			19	19.4	5.5	14.3	23.3			0	0.6	5.0	-0.5	2.1		
QT por CH&N	Não	65.6	65.6	4.2	62.7	68.6	0.935		22.6	22.6	2.7	20.6	24.5	0.808		1.7	1.7	1.4	0.6	2.7	0.626	

		Intensidade							HNR							ISD						
		Média	Mediana	DP	25	75	*p*	Correlação	Média	Mediana	DP	25	75	*p*	Correlação	Média	Mediana	DP	25	75	*p*	Correlação
	Sim	67.1	68.3	9.2	61.1	71.3			18.8	19.4	5.5	15.4	23.3			-0.5	0.7	5.3	-1.0	2.1		
Tempo término tratamento RT								-0.106							0.357*							0.131
Medicação diária	Não	69	69.2	9.0	62.0	73.5	0.591	-0.088	19	17.3	4.9	14.8	24.4	0.734	-0.056	-2	0.6	8.7	-0.9	0.8	0.390	0.141
	Sim	67	67.6	8.7	61.4	71.0			19	20.1	5.7	13.7	22.2			0	0.9	3.5	-0.5	2.5		
Disfonia	Não	67	68.6	9.0	61.1	71.3	0.808	-0.040	19	19.2	5.6	14.3	23.5	0.892	-0.022	-1	0.6	5.2	-1.0	1.7	0.304	0.169
	Sim	67	67.3	3.9	62.7	70.4			19	20.6	4.7	13.4	22.2			2	2.5	1.5	-0.1	2.7		
Terapia	Não	67.9	68.7	9.6	63.9	71.0	0.599	-0.157	18.1	17.5	5.6	14.3	22.1	0.539	0.081	-1.8	0.6	6.5	-1.8	1.3	0.160	0.258
	Sim	66.2	66.9	7.7	61.1	71.0			19.2	21.4	5.5	15.6	23.5			1.1	1.0	1.7	-0.5	2.7		

Tabela 166 - Medidas descritivas, análise de correlação e diferenças estatísticas entre as variáveis da avaliação vocal e as escalas funcionamento físico, desempenho e dispneia do questionário da EORTC QLQ-C30.

		EORTC QLQ-C30 Funcionamento Físico									EORTC QLQ-C30 Desempenho									EORTC QLQ-C30 Dispneia								
		N	%	Média	Mediana	DP	25	75	*p*	Correlação	N	%	Média	Mediana	DP	25	75	*p*	Correlação	N	%	Média	Mediana	DP	25	75	*p*	Correlação
GRBAS_G	normal	8	22.2%	87.5	86.7	8.3	83.4	93.3	0.474	0.023	8	22.2%	95.8	100.0	11.8	100.0	100.0	0.498	-0.187	8	22.2%	0.0	0.0	0.0	0.0	0.0	0.358	0.159
	ligeiro	17	47.2%	76.5	80.0	21.7	66.7	100.0			17	47.2%	92.2	100.0	12.0	83.3	100.0			17	47.2%	7.8	0.0	14.6	0.0	0.0		
	moderado	11	30.6%	83.0	93.3	20.5	66.7	100.0			11	30.6%	87.9	100.0	18.4	66.7	100.0			11	30.6%	9.1	0.0	21.6	0.0	0.0		
	severo	0	0.0%								0	0.0%								0	0.0%							
GRBAS_R	normal	9	23.7%	86.7	86.7	11.5	80.0	93.3	0.113	0.135	9	23.7%	100.0	100.0	0.0	100.0	100.0	0.089	-0.220	9	23.7%	7.4	0.0	14.7	0.0	0.0	0.854	-0.085
	ligeiro	14	36.8%	71.9	80.0	23.7	53.3	86.7			14	36.8%	88.1	100.0	16.6	83.3	100.0			14	36.8%	7.1	0.0	19.3	0.0	0.0		
	moderado	15	39.5%	87.5	93.3	14.2	80.0	100.0			15	39.5%	91.1	100.0	13.9	83.3	100.0			15	39.5%	4.4	0.0	11.7	0.0	0.0		
	severo	0	0.0%								0	0.0%								0	0.0%							
GRBAS_B	normal	26	68.4%	78.5	80.0	20.2	66.7	93.3	0.119	0.256	26	68.4%	92.3	100.0	14.3	83.3	100.0	0.753	-0.052	26	68.4%	7.7	0.0	17.1	0.0	0.0	0.385	-0.143
	ligeiro	12	31.6%	88.3	93.3	14.2	86.7	96.7			12	31.6%	91.7	100.0	13.3	83.3	100.0			12	31.6%	2.8	0.0	9.6	0.0	0.0		
	moderado	0	0.0%								0	0.0%								0	0.0%							
	severo	0	0.0%								0	0.0%								0	0.0%							
GRBAS_A	normal	10	27.8%	93.3	100.0	10.9	86.7	100.0	0.012	-0.490**	10	27.8%	93.3	100.0	11.7	83.3	100.0	0.929	-0.059	10	27.8%	3.3	0.0	10.5	0.0	0.0	0.772	0.080
	ligeiro	20	55.6%	78.7	80.0	18.8	70.0	90.0			20	55.6%	91.7	100.0	14.8	83.3	100.0			20	55.6%	8.3	0.0	18.3	0.0	0.0		
	moderado	6	16.7%	67.8	63.3	22.5	53.3	93.3			6	16.7%	88.9	100.0	17.2	66.7	100.0			6	16.7%	5.6	0.0	13.6	0.0	0.0		
	severo	0	0.0%								0	0.0%								0	0.0%							
GRBAS_S	normal	14	37.8%	84.8	86.7	12.6	73.3	93.3	0.939	-0.037	14	37.8%	92.9	100.0	10.8	83.3	100.0	0.521	0.094	14	37.8%	4.8	0.0	12.1	0.0	0.0	0.654	-0.001
	ligeiro	20	54.1%	78.0	86.7	23.5	60.0	100.0			20	54.1%	90.0	100.0	16.6	75.0	100.0			20	54.1%	8.3	0.0	18.3	0.0	0.0		
	moderado	3	8.1%	86.7	86.7	6.7	80.0	93.3			3	8.1%	100.0	100.0	0.0	100.0	100.0			3	8.1%	0.0	0.0	0.0	0.0	0.0		
	severo	0	0.0%								0	0.0%								0	0.0%							
Av ressonância texto hipernasalidade	normal ou ausente	29	76.3%	77.9	80.0	20.1	66.7	93.3	0.079	0.370*	29	76.3%	90.8	100.0	14.5	83.3	100.0	0.320	0.180	29	76.3%	8.0	0.0	17.0	0.0	0.0	0.342	-0.239
	discreto	5	13.2%	92.0	93.3	8.7	86.7	100.0			5	13.2%	100.0	100.0	0.0	100.0	100.0			5	13.2%	0.0	0.0	0.0	0.0	0.0		
	moderado	4	10.5%	95.0	93.3	3.4	93.3	96.7			4	10.5%	91.7	100.0	16.7	83.4	100.0			4	10.5%	0.0	0.0	0.0	0.0	0.0		
	severo ou moderado	0	0.0%								0	0.0%								0	0.0%							
Av ressonância texto hiponasalidade	normal ou ausente	33	86.8%	79.4	86.7	19.4	66.7	93.3	0.034	0.349*	33	86.8%	91.9	100.0	13.9	83.3	100.0	0.725	0.058	33	86.8%	7.1	0.0	16.1	0.0	0.0	0.306	-0.168
	discreto	5	13.2%	96.0	93.3	3.7	93.3	100.0			5	13.2%	93.3	100.0	14.9	100.0	100.0			5	13.2%	0.0	0.0	0.0	0.0	0.0		
	moderado	0	0.0%								0	0.0%								0	0.0%							
	severo ou moderado	0	0.0%								0	0.0%								0	0.0%							

		EORTC QLQ-C30 Funcionamento Físico									EORTC QLQ-C30 Desempenho									EORTC QLQ-C30 Dispneia								
		N	%	Média	Mediana	DP	25	75	*p*	Correlação	N	%	Média	Mediana	DP	25	75	*p*	Correlação	N	%	Média	Mediana	DP	25	75	*p*	Correlação
Av ressonância vogais hipernasalidade	normal ou ausente	30	78.9%	78.7	83.4	20.1	66.7	93.3	0.199	0.295	30	78.9%	91.1	100.0	14.3	83.3	100.0	0.523	0.177	30	78.9%	7.8	0.0	16.8	0.0	0.0	0.398	-0.222
	discreto	6	15.8%	92.2	93.3	7.8	86.7	100.0			6	15.8%	94.5	100.0	13.6	100.0	100.0			6	15.8%	0.0	0.0	0.0	0.0	0.0		
	moderado	2	5.3%	93.3	93.3	0.0	93.3	93.3			2	5.3%	100.0	100.0	0.0	100.0	100.0			2	5.3%	0.0	0.0	0.0	0.0	0.0		
	severo ou moderado	0	0.0%								0	0.0%								0	0.0%							
Av ressonância vogais hiponasalidade	normal ou ausente	33	86.8%	79.6	86.7	19.6	66.7	93.3	0.076	0.291	33	86.8%	91.9	100.0	13.9	83.3	100.0	0.725	0.058	33	86.8%	7.1	0.0	16.1	0.0	0.0	0.306	-0.168
	discreto	5	13.2%	94.6	93.3	3.0	93.3	93.3			5	13.2%	93.3	100.0	14.9	100.0	100.0			5	13.2%	0.0	0.0	0.0	0.0	0.0		
	moderado	0	0.0%								0	0.0%								0	0.0%							
	severo ou moderado	0	0.0%								0	0.0%								0	0.0%							

Tabela 167 - Medidas descritivas, análise de correlação e diferenças estatísticas entre as variáveis da avaliação vocal e as escalas dor, fadiga e insónia do questionário da EORTC QLQ-C30.

		EORTC QLQ-C30 Dor									EORTC QLQ-C30 Fadiga									EORTC QLQ-C30 Insónia								
		N	%	Média	Mediana	DP	25	75	*p*	Correlação	N	%	Média	Mediana	DP	25	75	*p*	Correlação	N	%	Média	Mediana	DP	25	75	*p*	Correlação
GRBAS_G	normal	8	22.2%	8.3	0.0	12.6	0.0	16.7	0.720	-0.089	8	22.2%	9.7	5.6	11.0	0.0	22.2	0.148	0.286	8	22.2%	8.3	0.0	23.6	0.0	0.0	0.094	0.261
	ligeiro	17	47.2%	11.8	0.0	18.4	0.0	16.7			17	47.2%	24.2	22.2	23.0	11.1	33.3			17	47.2%	31.4	33.3	30.0	0.0	33.3		
	moderado	11	30.6%	6.1	0.0	11.2	0.0	16.7			11	30.6%	25.2	22.2	21.1	11.1	33.3			11	30.6%	27.3	33.3	25.0	0.0	33.3		
	severo	0	0.0%								0	0.0%								0	0.0%							
GRBAS_R	normal	9	23.7%	13.0	16.7	13.9	0.0	16.7	0.497	-0.179	9	23.7%	11.1	11.1	12.4	0.0	22.2	0.037	-0.025	9	23.7%	22.2	33.3	23.6	0.0	33.3	0.528	-0.119
	ligeiro	14	36.8%	10.7	0.0	19.2	0.0	16.7			14	36.8%	30.9	27.8	23.5	22.2	33.3			14	36.8%	31.0	33.3	33.2	0.0	66.7		
	moderado	15	39.5%	6.7	0.0	10.5	0.0	16.7			15	39.5%	15.5	11.1	18.7	0.0	22.2			15	39.5%	17.8	0.0	24.8	0.0	33.3		
	severo	0	0.0%								0	0.0%								0	0.0%							
GRBAS_B	normal	26	68.4%	10.3	0.0	17.0	0.0	16.7	0.746	0.053	26	68.4%	25.2	22.2	21.9	11.1	33.3	0.019	-0.385*	26	68.4%	24.4	16.7	29.2	0.0	33.3	0.918	-0.017
	ligeiro	12	31.6%	8.4	8.4	8.7	0.0	16.7			12	31.6%	9.3	0.0	13.2	0.0	16.7			12	31.6%	22.2	16.7	26.0	0.0	33.3		
	moderado	0	0.0%								0	0.0%								0	0.0%							
	severo	0	0.0%								0	0.0%								0	0.0%							
GRBAS_A	normal	10	27.8%	5.0	0.0	8.1	0.0	16.7	0.707	0.085	10	27.8%	11.1	5.6	13.8	0.0	22.2	0.019	-0.437**	10	27.8%	23.3	16.7	27.5	0.0	33.3	0.582	0.112
	ligeiro	20	55.6%	11.7	0.0	18.0	0.0	16.7			20	55.6%	20.0	22.2	18.9	5.6	27.8			20	55.6%	21.7	16.7	24.8	0.0	33.3		
	moderado	6	16.7%	8.3	0.0	13.9	0.0	16.7			6	16.7%	42.6	33.3	23.8	22.2	66.7			6	16.7%	38.9	33.3	39.0	0.0	66.7		
	severo	0	0.0%								0	0.0%								0	0.0%							
GRBAS_S	normal	14	37.8%	14.3	16.7	18.3	0.0	16.7	0.255	-0.257	14	37.8%	14.3	11.1	14.7	0.0	22.2	0.224	0.141	14	37.8%	23.8	16.7	27.5	0.0	33.3	0.996	0.010
	ligeiro	20	54.1%	6.7	0.0	12.6	0.0	8.4			20	54.1%	26.7	22.2	24.0	5.6	33.3			20	54.1%	25.0	16.7	30.4	0.0	33.3		
	moderado	3	8.1%	5.6	0.0	9.6	0.0	16.7			3	8.1%	11.1	11.1	11.1	0.0	22.2			3	8.1%	22.2	33.3	19.2	0.0	33.3		
	severo	0	0.0%								0	0.0%								0	0.0%							
Av ressonância texto hipernasalidade	normal ou ausente	29	76.3%	10.9	0.0	16.2	0.0	16.7	0.582	-0.099	29	76.3%	24.5	22.2	21.7	11.1	33.3	0.028	-0.437**	29	76.3%	27.6	33.3	29.6	0.0	33.3	0.325	-0.245
	discreto	5	13.2%	3.3	0.0	7.5	0.0	0.0			5	13.2%	8.9	11.1	9.3	0.0	11.1			5	13.2%	13.3	0.0	18.2	0.0	33.3		
	moderado	4	10.5%	8.4	8.4	9.6	0.0	16.7			4	10.5%	2.8	0.0	5.6	0.0	5.6			4	10.5%	8.3	0.0	16.7	0.0	16.7		
	severo ou moderado	0	0.0%								0	0.0%								0	0.0%							
Av ressonância texto hiponasalidade	normal ou ausente	33	86.8%	10.1	0.0	15.6	0.0	16.7	0.824	-0.037	33	86.8%	22.5	22.2	21.2	0.0	33.3	0.037	-0.343*	33	86.8%	26.3	33.3	28.6	0.0	33.3	0.132	-0.248
	discreto	5	13.2%	6.7	0.0	9.1	0.0	16.7			5	13.2%	4.4	0.0	6.1	0.0	11.1			5	13.2%	6.7	0.0	14.9	0.0	0.0		
	moderado	0	0.0%								0	0.0%								0	0.0%							
	severo ou moderado	0	0.0%								0	0.0%								0	0.0%							
	normal ou ausente	30	78.9%	10.6	0.0	16.1	0.0	16.7	0.529	-0.088	30	78.9%	23.7	22.2	21.8	0.0	33.3	0.076	-0.357*	30	78.9%	27.8	33.3	29.1	0.0	33.3	0.176	-0.277

		EORTC QLQ-C30 Dor									EORTC QLQ-C30 Fadiga									EORTC QLQ-C30 Insónia								
		N	%	Média	Mediana	DP	25	75	*p*	Correlação	N	%	Média	Mediana	DP	25	75	*p*	Correlação	N	%	Média	Mediana	DP	25	75	*p*	Correlação
Av ressonância vogais hipernasalidade	discreto	6	15.8%	8.4	8.4	9.1	0.0	16.7			6	15.8%	5.6	5.6	6.1	0.0	11.1			6	15.8%	5.6	0.0	13.6	0.0	0.0		
	moderado	2	5.3%	0.0	0.0	0.0	0.0	0.0			2	5.3%	11.1	11.1	15.7	0.0	22.2			2	5.3%	16.7	16.7	23.5	0.0	33.3		
	severo ou moderado	0	0.0%								0	0.0%								0	0.0%							
Av ressonância vogais hiponasalidade	normal ou ausente	33	86.8%	10.1	0.0	15.6	0.0	16.7	0.824	-0.037	33	86.8%	22.2	22.2	21.3	0.0	33.3	0.079	-0.288	33	86.8%	25.2	33.3	28.9	0.0	33.3	0.437	-0.128
	discreto	5	13.2%	6.7	0.0	9.1	0.0	16.7			5	13.2%	6.7	0.0	9.9	0.0	11.1			5	13.2%	13.3	0.0	18.2	0.0	33.3		
	moderado	0	0.0%								0	0.0%								0	0.0%							
	severo ou moderado	0	0.0%								0	0.0%								0	0.0%							

Tabela 168 - Medidas descritivas, análise de correlação e diferenças estatísticas entre as variáveis da avaliação vocal e as escalas perda de apetite, náusea e vómito e obstipação do questionário da EORTC QLQ-C30.

		EORTC QLQ-C30 Perda de apetite									EORTC QLQ-C30 Náusea e vómito									EORTC QLQ-C30 Obstipação								
		N	%	Média	Mediana	DP	25	75	*p*	Correlação	N	%	Média	Mediana	DP	25	75	*p*	Correlação	N	%	Média	Mediana	DP	25	75	*p*	Correlação
GRBAS_G	normal	8	22.2%	4.2	0.0	11.8	0.0	0.0	0.655	0.152	8	22.2%	0.0	0.0	0.0	0.0	0.0	0.699	0.139	8	22.2%	12.5	0.0	35.4	0.0	0.0	0.829	-0.065
	ligeiro	17	47.2%	5.9	0.0	13.1	0.0	0.0			17	47.2%	1.0	0.0	4.1	0.0	0.0			17	47.2%	5.9	0.0	13.1	0.0	0.0		
	moderado	11	30.6%	12.1	0.0	22.5	0.0	33.3			11	30.6%	1.5	0.0	5.0	0.0	0.0			11	30.6%	3.0	0.0	10.0	0.0	0.0		
	severo	0	0.0%								0	0.0%								0	0.0%							
GRBAS_R	normal	9	23.7%	7.4	0.0	14.7	0.0	0.0	0.863	0.011	9	23.7%	1.9	0.0	5.6	0.0	0.0	0.470	-0.201	9	23.7%	0.0	0.0	0.0	0.0	0.0	0.116	0.008
	ligeiro	14	36.8%	4.8	0.0	12.1	0.0	0.0			14	36.8%	1.2	0.0	4.5	0.0	0.0			14	36.8%	9.5	0.0	15.6	0.0	33.3		
	moderado	15	39.5%	8.9	0.0	19.8	0.0	0.0			15	39.5%	0.0	0.0	0.0	0.0	0.0			15	39.5%	6.7	0.0	25.8	0.0	0.0		
	severo	0	0.0%								0	0.0%								0	0.0%							
GRBAS_B	normal	26	68.4%	6.4	0.0	13.4	0.0	0.0	0.944	-0.012	26	68.4%	1.3	0.0	4.5	0.0	0.0	0.330	-0.160	26	68.4%	7.7	0.0	21.7	0.0	0.0	0.538	-0.101
	ligeiro	12	31.6%	8.3	0.0	20.7	0.0	0.0			12	31.6%	0.0	0.0	0.0	0.0	0.0			12	31.6%	2.8	0.0	9.6	0.0	0.0		
	moderado	0	0.0%								0	0.0%								0	0.0%							
	severo	0	0.0%								0	0.0%								0	0.0%							
GRBAS_A	normal	10	27.8%	13.3	0.0	23.3	0.0	33.3	0.557	-0.151	10	27.8%	0.0	0.0	0.0	0.0	0.0	0.439	0.052	10	27.8%	0.0	0.0	0.0	0.0	0.0	0.105	0.086
	ligeiro	20	55.6%	5.0	0.0	12.2	0.0	0.0			20	55.6%	1.7	0.0	5.1	0.0	0.0			20	55.6%	11.7	0.0	24.8	0.0	16.7		
	moderado	6	16.7%	5.6	0.0	13.6	0.0	0.0			6	16.7%	0.0	0.0	0.0	0.0	0.0			6	16.7%	0.0	0.0	0.0	0.0	0.0		
	severo	0	0.0%								0	0.0%								0	0.0%							
GRBAS_S	normal	14	37.8%	9.5	0.0	20.4	0.0	0.0	0.713	-0.023	14	37.8%	0.0	0.0	0.0	0.0	0.0	0.417	0.139	14	37.8%	2.4	0.0	8.9	0.0	0.0	0.431	0.091
	ligeiro	20	54.1%	5.0	0.0	12.2	0.0	0.0			20	54.1%	1.7	0.0	5.1	0.0	0.0			20	54.1%	10.0	0.0	24.4	0.0	0.0		
	moderado	3	8.1%	11.1	0.0	19.2	0.0	33.3			3	8.1%	0.0	0.0	0.0	0.0	0.0			3	8.1%	0.0	0.0	0.0	0.0	0.0		
	severo	0	0.0%								0	0.0%								0	0.0%							
Av ressonância texto hipernasalidade	normal ou ausente	29	76.3%	9.2	0.0	17.6	0.0	0.0	0.275	-0.262	29	76.3%	1.2	0.0	4.3	0.0	0.0	0.727	-0.130	29	76.3%	8.0	0.0	21.2	0.0	0.0	0.420	-0.215
	discreto	5	13.2%	0.0	0.0	0.0	0.0	0.0			5	13.2%	0.0	0.0	0.0	0.0	0.0			5	13.2%	0.0	0.0	0.0	0.0	0.0		
	moderado	4	10.5%	0.0	0.0	0.0	0.0	0.0			4	10.5%	0.0	0.0	0.0	0.0	0.0			4	10.5%	0.0	0.0	0.0	0.0	0.0		
	severo ou moderado	0	0.0%								0	0.0%								0	0.0%							
Av ressonância texto hiponasalidade	normal ou ausente	33	86.8%	8.1	0.0	16.7	0.0	0.0	0.262	-0.184	33	86.8%	1.0	0.0	4.0	0.0	0.0	0.577	-0.092	33	86.8%	7.1	0.0	20.0	0.0	0.0	0.357	-0.151
	discreto	5	13.2%	0.0	0.0	0.0	0.0	0.0			5	13.2%	0.0	0.0	0.0	0.0	0.0			5	13.2%	0.0	0.0	0.0	0.0	0.0		
	moderado	0	0.0%								0	0.0%								0	0.0%							
	severo ou moderado	0	0.0%								0	0.0%								0	0.0%							

		EORTC QLQ-C30 Perda de apetite									EORTC QLQ-C30 Náusea e vómito									EORTC QLQ-C30 Obstipação								
		N	%	Média	Mediana	DP	25	75	*p*	Correlação	N	%	Média	Mediana	DP	25	75	*p*	Correlação	N	%	Média	Mediana	DP	25	75	*p*	Correlação
Av ressonância vogais hipernasalidade	normal ou ausente	30	78.9%	8.9	0.0	17.4	0.0	0.0	0.330	-0.243	30	78.9%	1.1	0.0	4.2	0.0	0.0	0.760	-0.121	30	78.9%	7.8	0.0	20.9	0.0	0.0	0.475	-0.200
	discreto	6	15.8%	0.0	0.0	0.0	0.0	0.0			6	15.8%	0.0	0.0	0.0	0.0	0.0			6	15.8%	0.0	0.0	0.0	0.0	0.0		
	moderado	2	5.3%	0.0	0.0	0.0	0.0	0.0			2	5.3%	0.0	0.0	0.0	0.0	0.0			2	5.3%	0.0	0.0	0.0	0.0	0.0		
	severo ou moderado	0	0.0%								0	0.0%								0	0.0%							
Av ressonância vogais hiponasalidade	normal ou ausente	33	86.8%	8.1	0.0	16.7	0.0	0.0	0.262	-0.184	33	86.8%	1.0	0.0	4.0	0.0	0.0	0.577	-0.092	33	86.8%	7.1	0.0	20.0	0.0	0.0	0.357	-0.151
	discreto	5	13.2%	0.0	0.0	0.0	0.0	0.0			5	13.2%	0.0	0.0	0.0	0.0	0.0			5	13.2%	0.0	0.0	0.0	0.0	0.0		
	moderado	0	0.0%								0	0.0%								0	0.0%							
	severo ou moderado	0	0.0%								0	0.0%								0	0.0%							

Tabela 169 - Medidas descritivas, análise de correlação e diferenças estatísticas entre as variáveis da avaliação vocal e as escalas diarreia, funcionamento cognitivo e emocional do questionário da EORTC QLQ-C30.

		EORTC QLQ-C30 Diarreia									EORTC QLQ-C30 Funcionamento cognitivo									EORTC QLQ-C30 Funcionamento emocional								
		N	%	Média	Mediana	DP	25	75	*p*	Correlação	N	%	Média	Mediana	DP	25	75	*p*	Correlação	N	%	Média	Mediana	DP	25	75	*p*	Correlação
GRBAS_G	normal	8	22.2%	4.2	0.0	11.8	0.0	0.0	0.496	-0.178	8	22.2%	87.5	91.7	14.8	75.0	100.0	0.842	0.082	8	22.2%	82.3	87.5	18.6	70.8	95.9	0.705	-0.023
	ligeiro	17	47.2%	3.9	0.0	11.1	0.0	0.0			17	47.2%	85.3	100.0	19.4	66.7	100.0			17	47.2%	85.8	91.7	17.1	75.0	100.0		
	moderado	11	30.6%	0.0	0.0	0.0	0.0	0.0			11	30.6%	90.9	100.0	11.5	83.3	100.0			11	30.6%	81.0	83.3	17.9	58.3	100.0		
	severo	0	0.0%								0	0.0%								0	0.0%							
GRBAS_R	normal	9	23.7%	3.7	0.0	11.1	0.0	0.0	0.343	-0.195	9	23.7%	90.7	100.0	12.1	83.3	100.0	0.948	-0.046	9	23.7%	85.2	100.0	19.0	66.7	100.0	0.918	-0.050
	ligeiro	14	36.8%	4.8	0.0	12.1	0.0	0.0			14	36.8%	88.1	100.0	15.2	66.7	100.0			14	36.8%	83.3	87.5	18.5	66.7	100.0		
	moderado	15	39.5%	0.0	0.0	0.0	0.0	0.0			15	39.5%	86.7	100.0	19.1	83.3	100.0			15	39.5%	85.0	91.7	16.1	75.0	100.0		
	severo	0	0.0%								0	0.0%								0	0.0%							
GRBAS_B	normal	26	68.4%	3.8	0.0	10.8	0.0	0.0	0.226	-0.199	26	68.4%	85.9	100.0	18.1	66.7	100.0	0.347	0.155	26	68.4%	83.0	87.5	17.9	66.7	100.0	0.471	0.119
	ligeiro	12	31.6%	0.0	0.0	0.0	0.0	0.0			12	31.6%	93.0	100.0	8.6	83.3	100.0			12	31.6%	87.5	95.9	16.1	79.2	100.0		
	moderado	0	0.0%								0	0.0%								0	0.0%							
	severo	0	0.0%								0	0.0%								0	0.0%							
GRBAS_A	normal	10	27.8%	0.0	0.0	0.0	0.0	0.0	0.280	0.065	10	27.8%	90.0	91.7	11.7	83.3	100.0	0.730	-0.103	10	27.8%	87.5	87.5	13.8	83.3	100.0	0.770	-0.122
	ligeiro	20	55.6%	5.0	0.0	12.2	0.0	0.0			20	55.6%	88.3	100.0	15.4	66.7	100.0			20	55.6%	82.9	87.5	18.4	66.7	100.0		
	moderado	6	16.7%	0.0	0.0	0.0	0.0	0.0			6	16.7%	80.5	83.3	24.5	83.3	100.0			6	16.7%	79.2	79.2	20.3	58.3	100.0		
	severo	0	0.0%								0	0.0%								0	0.0%							
GRBAS_S	normal	14	37.8%	2.4	0.0	8.9	0.0	0.0	0.832	-0.005	14	37.8%	92.9	100.0	10.8	83.3	100.0	0.380	-0.232	14	37.8%	88.7	95.9	16.2	83.3	100.0	0.346	-0.154
	ligeiro	20	54.1%	3.3	0.0	10.2	0.0	0.0			20	54.1%	85.0	91.7	18.7	66.7	100.0			20	54.1%	80.4	83.3	17.2	66.7	100.0		
	moderado	3	8.1%	0.0	0.0	0.0	0.0	0.0			3	8.1%	83.3	83.3	16.7	66.7	100.0			3	8.1%	86.1	100.0	24.1	58.3	100.0		
	severo	0	0.0%								0	0.0%								0	0.0%							
Av ressonância texto hipernasalidade	normal ou ausente	29	76.3%	2.3	0.0	8.6	0.0	0.0	0.508	0.042	29	76.3%	86.2	83.3	16.7	83.3	100.0	0.338	0.242	29	76.3%	81.9	83.3	17.6	66.7	100.0	0.218	0.280
	discreto	5	13.2%	6.7	0.0	14.9	0.0	0.0			5	13.2%	93.3	100.0	14.9	100.0	100.0			5	13.2%	91.7	100.0	18.6	100.0	100.0		
	moderado	4	10.5%	0.0	0.0	0.0	0.0	0.0			4	10.5%	95.8	100.0	8.4	91.7	100.0			4	10.5%	93.8	95.9	8.0	87.5	100.0		
	severo ou moderado	0	0.0%								0	0.0%								0	0.0%							
Av ressonância texto hiponasalidade	normal ou ausente	33	86.8%	3.0	0.0	9.7	0.0	0.0	0.488	-0.114	33	86.8%	86.9	100.0	16.5	83.3	100.0	0.188	0.217	33	86.8%	82.8	83.3	17.8	66.7	100.0	0.176	0.222
	discreto	5	13.2%	0.0	0.0	0.0	0.0	0.0			5	13.2%	96.7	100.0	7.5	100.0	100.0			5	13.2%	95.0	100.0	7.5	91.7	100.0		
	moderado	0	0.0%								0	0.0%								0	0.0%							
	severo ou moderado	0	0.0%								0	0.0%								0	0.0%							

		EORTC QLQ-C30 Diarreia									EORTC QLQ-C30 Funcionamento cognitivo									EORTC QLQ-C30 Funcionamento emocional								
		N	%	Média	Mediana	DP	25	75	*p*	Correlação	N	%	Média	Mediana	DP	25	75	*p*	Correlação	N	%	Média	Mediana	DP	25	75	*p*	Correlação
Av ressonância vogais hipernasalidade	normal ou ausente	30	78.9%	3.3	0.0	10.2	0.0	0.0	0.655	-0.150	30	78.9%	86.7	91.7	16.6	83.3	100.0	0.364	0.208	30	78.9%	82.5	83.3	17.6	66.7	100.0	0.080	0.200
	discreto	6	15.8%	0.0	0.0	0.0	0.0	0.0			6	15.8%	91.7	100.0	13.9	83.3	100.0			6	15.8%	97.2	100.0	6.8	100.0	100.0		
	moderado	2	5.3%	0.0	0.0	0.0	0.0	0.0			2	5.3%	100.0	100.0	0.0	100.0	100.0			2	5.3%	75.0	75.0	23.6	58.3	91.7		
	severo ou moderado	0	0.0%								0	0.0%								0	0.0%							
Av ressonância vogais hiponasalidade	normal ou ausente	33	86.8%	3.0	0.0	9.7	0.0	0.0	0.488	-0.114	33	86.8%	86.9	100.0	16.5	83.3	100.0	0.188	0.217	33	86.8%	84.1	91.7	17.5	66.7	100.0	0.839	0.033
	discreto	5	13.2%	0.0	0.0	0.0	0.0	0.0			5	13.2%	96.7	100.0	7.5	100.0	100.0			5	13.2%	86.7	91.7	17.3	83.3	100.0		
	moderado	0	0.0%								0	0.0%								0	0.0%							
	severo ou moderado	0	0.0%								0	0.0%								0	0.0%							

Tabela 170 - Medidas descritivas, análise de correlação e diferenças estatísticas entre as variáveis da avaliação vocal e as escalas funcionamento social, dificuldades financeiras e estado geral de saúde do questionário da EORTC QLQ-C30.

		EORTC QLQ-C30 funcionamento social									EORTC QLQ-C30 Dificuldades financeiras									EORTC QLQ-C30 Estado geral de saúde								
		N	%	Média	Mediana	DP	25	75	*p*	Correlação	N	%	Média	Mediana	DP	25	75	*p*	Correlação	N	%	Média	Mediana	DP	25	75	*p*	Correlação
GRBAS_G	normal	8	22.2%	95.8	100.0	11.8	100.0	100.0	0.518	-0.192	8	22.2%	12.5	0.0	24.8	0.0	16.7	0.840	0.089	8	22.2%	67.7	66.7	26.2	45.8	91.7	0.881	0.064
	ligeiro	17	47.2%	95.1	100.0	9.8	100.0	100.0			17	47.2%	15.7	0.0	31.4	0.0	0.0			17	47.2%	73.0	75.0	14.9	66.7	83.3		
	moderado	11	30.6%	90.9	100.0	13.7	83.3	100.0			11	30.6%	18.2	0.0	31.1	0.0	33.3			11	30.6%	72.0	75.0	21.5	50.0	83.3		
	severo	0	0.0%								0	0.0%								0	0.0%							
GRBAS_R	normal	9	23.7%	92.6	100.0	12.1	83.3	100.0	0.498	0.187	9	23.7%	18.5	0.0	29.4	0.0	33.3	0.338	-0.210	9	23.7%	64.8	66.7	17.6	58.3	75.0	0.362	0.017
	ligeiro	14	36.8%	92.9	100.0	12.6	83.3	100.0			14	36.8%	21.4	0.0	36.1	0.0	33.3			14	36.8%	76.2	79.2	20.6	66.7	100.0		
	moderado	15	39.5%	96.7	100.0	9.3	100.0	100.0			15	39.5%	6.7	0.0	18.7	0.0	0.0			15	39.5%	68.3	66.7	19.2	50.0	83.3		
	severo	0	0.0%								0	0.0%								0	0.0%							
GRBAS_B	normal	26	68.4%	94.9	100.0	10.3	100.0	100.0	0.800	-0.042	26	68.4%	11.5	0.0	26.6	0.0	0.0	0.180	0.220	26	68.4%	73.4	70.9	17.8	66.7	83.3	0.215	-0.204
	ligeiro	12	31.6%	93.1	100.0	13.2	91.7	100.0			12	31.6%	22.2	0.0	32.8	0.0	33.3			12	31.6%	63.9	62.5	22.0	50.0	83.3		
	moderado	0	0.0%								0	0.0%								0	0.0%							
	severo	0	0.0%								0	0.0%								0	0.0%							
GRBAS_A	normal	10	27.8%	93.3	100.0	11.7	83.3	100.0	0.618	-0.026	10	27.8%	6.7	0.0	21.1	0.0	0.0	0.025	0.399*	10	27.8%	67.5	66.7	19.4	50.0	83.3	0.575	0.177
	ligeiro	20	55.6%	95.8	100.0	9.2	100.0	100.0			20	55.6%	10.0	0.0	19.0	0.0	16.7			20	55.6%	71.7	75.0	21.5	58.3	83.3		
	moderado	6	16.7%	88.9	100.0	17.2	66.7	100.0			6	16.7%	50.0	50.0	46.0	0.0	100.0			6	16.7%	77.8	79.2	10.1	66.7	83.3		
	severo	0	0.0%								0	0.0%								0	0.0%							
GRBAS_S	normal	14	37.8%	96.4	100.0	9.6	100.0	100.0	0.568	-0.167	14	37.8%	7.1	0.0	19.3	0.0	0.0	0.382	0.202	14	37.8%	62.5	62.5	19.5	50.0	75.0	0.098	0.358*
	ligeiro	20	54.1%	92.5	100.0	12.6	83.3	100.0			20	54.1%	21.7	0.0	34.7	0.0	33.3			20	54.1%	75.4	79.2	19.0	66.7	87.5		
	moderado	3	8.1%	94.4	100.0	9.6	83.3	100.0			3	8.1%	11.1	0.0	19.2	0.0	33.3			3	8.1%	80.5	83.3	4.8	75.0	83.3		
	severo	0	0.0%								0	0.0%								0	0.0%							
Av ressonância texto hipernasalidade	normal ou ausente	29	76.3%	92.5	100.0	12.3	83.3	100.0	0.174	0.305	29	76.3%	17.2	0.0	31.7	0.0	33.3	0.859	-0.084	29	76.3%	72.1	75.0	19.5	58.3	83.3	0.018	-0.198
	discreto	5	13.2%	100.0	100.0	0.0	100.0	100.0			5	13.2%	6.7	0.0	14.9	0.0	0.0			5	13.2%	80.0	83.3	7.4	83.3	83.3		
	moderado	4	10.5%	100.0	100.0	0.0	100.0	100.0			4	10.5%	8.3	0.0	16.7	0.0	16.7			4	10.5%	45.8	50.0	8.4	41.7	50.0		
	severo ou moderado	0	0.0%								0	0.0%								0	0.0%							
Av ressonância texto hiponasalidade	normal ou ausente	33	86.8%	93.4	100.0	11.7	83.3	100.0	0.191	0.215	33	86.8%	16.2	0.0	30.2	0.0	33.3	0.635	-0.078	33	86.8%	73.5	75.0	18.6	66.7	83.3	0.010	-0.421**
	discreto	5	13.2%	100.0	100.0	0.0	100.0	100.0			5	13.2%	6.7	0.0	14.9	0.0	0.0			5	13.2%	50.0	50.0	11.8	50.0	50.0		
	moderado	0	0.0%								0	0.0%								0	0.0%							
	severo ou moderado	0	0.0%								0	0.0%								0	0.0%							

		EORTC QLQ-C30 funcionamento social									EORTC QLQ-C30 Dificuldades financeiras									EORTC QLQ-C30 Estado geral de saúde								
		N	%	Média	Mediana	DP	25	75	*p*	Correlação	N	%	Média	Mediana	DP	25	75	*p*	Correlação	N	%	Média	Mediana	DP	25	75	*p*	Correlação
Av ressonância vogais hipernasalidade	normal ou ausente	30	78.9%	92.8	100.0	12.1	83.3	100.0	0.222	0.284	30	78.9%	16.7	0.0	31.3	0.0	33.3	0.060	-0.014	30	78.9%	72.5	75.0	19.2	58.3	83.3	0.488	-0.197
	discreto	6	15.8%	100.0	100.0	0.0	100.0	100.0			6	15.8%	0.0	0.0	0.0	0.0	0.0			6	15.8%	63.9	58.4	16.4	50.0	83.3		
	moderado	2	5.3%	100.0	100.0	0.0	100.0	100.0			2	5.3%	33.3	33.3	0.0	33.3	33.3			2	5.3%	58.3	58.3	35.4	33.3	83.3		
	severo ou moderado	0	0.0%								0	0.0%								0	0.0%							
Av ressonância vogais hiponasalidade	normal ou ausente	33	86.8%	93.4	100.0	11.7	83.3	100.0	0.191	0.215	33	86.8%	15.2	0.0	30.2	0.0	0.0	0.655	0.073	33	86.8%	73.0	75.0	18.5	66.7	83.3	0.042	-0.334*
	discreto	5	13.2%	100.0	100.0	0.0	100.0	100.0			5	13.2%	13.3	0.0	18.2	0.0	33.3			5	13.2%	53.3	50.0	18.3	50.0	50.0		
	moderado	0	0.0%								0	0.0%								0	0.0%							
	severo ou moderado	0	0.0%								0	0.0%								0	0.0%							

Tabela 171 - Medidas descritivas, análise de correlação e diferenças estatísticas entre as variáveis da avaliação vocal e as escalas resultado total e categorial do questionário da EORTC QLQ-C30.

		QLQ-C30 resultado total									C30 categorial					
		N	%	Média	Mediana	DP	25	75	*p*	Correlação	N	%	N	%	*p*	Correlação
GRBAS_G	normal	8	22.2%	92.4	92.6	6.2	87.9	98.3	0.471	-0.120	3	17.6%	5	26.3%	0.769	-0.041
	ligeiro	17	47.2%	87.9	90.0	8.1	79.4	94.9			9	52.9%	8	42.1%		
	moderado	11	30.6%	88.4	91.5	9.0	86.2	93.8			5	29.4%	6	31.6%		
	severo	0	0.0%								0	0.0%	0	0.0%		
GRBAS_R	normal	9	23.7%	91.4	91.2	7.2	89.8	97.7	0.194	0.095	4	23.5%	5	23.8%	0.867	0.052
	ligeiro	14	36.8%	86.5	89.8	8.8	78.8	93.8			7	41.2%	7	33.3%		
	moderado	15	39.5%	91.3	94.2	7.3	82.9	98.2			6	35.3%	9	42.9%		
	severo	0	0.0%								0	0.0%	0	0.0%		
GRBAS_B	normal	26	68.4%	88.3	90.5	8.7	80.4	95.0	0.221	0.201	13	76.5%	13	61.9%	0.343	0.156
	ligeiro	12	31.6%	92.3	92.9	5.7	89.4	97.4			4	23.5%	8	38.1%		
	moderado	0	0.0%								0	0.0%	0	0.0%		
	severo	0	0.0%								0	0.0%	0	0.0%		
GRBAS_A	normal	10	27.8%	92.4	92.9	6.3	90.0	96.6	0.139	-0.331*	3	17.6%	7	36.8%	0.120	-0.323
	ligeiro	20	55.6%	88.6	91.1	9.0	80.7	95.0			9	52.9%	11	57.9%		
	moderado	6	16.7%	84.9	84.6	4.9	80.4	88.7			5	29.4%	1	5.3%		
	severo	0	0.0%								0	0.0%	0	0.0%		
GRBAS_S	normal	14	37.8%	91.1	91.1	6.7	87.2	97.7	0.560	-0.081	6	35.3%	8	40.0%	0.832	-0.017
	ligeiro	20	54.1%	87.6	89.8	9.2	79.9	94.6			10	58.8%	10	50.0%		
	moderado	3	8.1%	92.3	92.0	2.5	90.0	95.0			1	5.9%	2	10.0%		
	severo	0	0.0%								0	0.0%	0	0.0%		
Av ressonância texto hipernasalidade	normal ou ausente	29	76.3%	87.5	89.8	8.0	80.4	93.8	0.006	0.525**	17	100.0%	12	57.1%	0.010	0.497**
	discreto	5	13.2%	95.7	95.0	2.8	94.9	97.7			0	0.0%	5	23.8%		
	moderado	4	10.5%	96.7	98.2	3.5	94.9	98.5			0	0.0%	4	19.0%		
	severo ou moderado	0	0.0%								0	0.0%	0	0.0%		
Av ressonância texto hiponasalidade	normal ou ausente	33	86.8%	88.4	90.0	7.9	82.6	94.3	0.008	0.437**	17	100.0%	16	76.2%	0.033	0.350*
	discreto	5	13.2%	97.2	98.2	3.2	98.2	98.8			0	0.0%	5	23.8%		
	moderado	0	0.0%								0	0.0%	0	0.0%		
	severo ou moderado	0	0.0%								0	0.0%	0	0.0%		
Av ressonância vogais hipernasalidade	normal ou ausente	30	78.9%	87.8	89.9	8.0	80.4	94.2	0.009	0.497**	17	100.0%	13	61.9%	0.018	0.462**
	discreto	6	15.8%	96.6	98.0	2.9	95.0	98.2			0	0.0%	6	28.6%		
	moderado	2	5.3%	95.4	95.4	4.8	92.0	98.8			0	0.0%	2	9.5%		
	severo ou moderado	0	0.0%								0	0.0%	0	0.0%		
Av ressonância vogais hiponasalidade	normal ou ausente	33	86.8%	88.6	90.0	8.1	82.6	94.9	0.038	0.341*	17	100.0%	16	76.2%	0.033	0.350*

discreto	5	13.2%	95.7	98.2	3.7	92.0	98.2	0	0.0%	5	23.8%
moderado	0	0.0%						0	0.0%	0	0.0%
severo ou moderado	0	0.0%						0	0.0%	0	0.0%

Tabela 172 - Medidas descritivas, análise de correlação e diferenças estatísticas entre as variáveis da avaliação vocal e as escalas dor de cabeça e pescoço, problemas em engolir e problemas com os dentes, do questionário da EORTC QLQ-HN43.

		EORCT-HN43 dor de cabeça e pescoço									EORCT-HN43 Problemas em engolir									EORCT-HN43 Problemas com os dentes								
		N	%	Média	Mediana	DP	25	75	*p*	Correlação	N	%	Média	Mediana	DP	25	75	*p*	Correlação	N	%	Média	Mediana	DP	25	75	*p*	Correlação
GRBAS_G	normal	8	22.2%	4.2	0.0	8.9	0.0	4.2	0.401	0.202	8	22.2%	7.3	4.2	9.4	0.0	12.5	0.068	0.156	8	22.2%	13.9	0.0	21.2	0.0	27.8	0.536	0.118
	ligeiro	17	47.2%	10.3	0.0	14.3	0.0	16.7			17	47.2%	28.4	25.0	27.5	8.3	33.3			17	47.2%	26.1	11.1	29.4	0.0	44.4		
	moderado	11	30.6%	7.6	8.3	6.9	0.0	16.7			11	30.6%	19.7	16.7	23.4	0.0	25.0			11	30.6%	19.2	22.2	19.3	0.0	22.2		
	severo	0	0.0%								0	0.0%								0	0.0%							
GRBAS_R	normal	9	23.7%	8.3	0.0	13.2	0.0	16.7	0.093	-0.185	9	23.7%	14.8	8.3	23.9	0.0	16.7	0.275	0.152	9	23.7%	21.0	22.2	23.9	0.0	33.3	0.631	-0.064
	ligeiro	14	36.8%	12.5	8.3	13.4	0.0	16.7			14	36.8%	29.8	16.7	30.8	8.3	50.0			14	36.8%	29.4	27.8	30.1	0.0	55.6		
	moderado	15	39.5%	2.8	0.0	4.0	0.0	8.3			15	39.5%	17.2	25.0	12.4	0.0	25.0			15	39.5%	18.5	11.1	21.7	0.0	33.3		
	severo	0	0.0%								0	0.0%								0	0.0%							
GRBAS_B	normal	26	68.4%	8.7	0.0	12.4	0.0	16.7	0.615	-0.083	26	68.4%	21.8	16.7	27.3	0.0	25.0	0.406	0.137	26	68.4%	23.1	5.6	28.3	0.0	44.4	0.526	0.104
	ligeiro	12	31.6%	5.6	0.0	8.2	0.0	8.3			12	31.6%	20.1	20.9	13.5	8.3	25.0			12	31.6%	23.1	22.2	18.6	11.1	33.3		
	moderado	0	0.0%								0	0.0%								0	0.0%							
	severo	0	0.0%								0	0.0%								0	0.0%							
GRBAS_A	normal	10	27.8%	4.2	0.0	8.1	0.0	8.3	0.351	0.240	10	27.8%	14.2	12.5	12.5	0.0	25.0	0.867	0.090	10	27.8%	18.9	16.7	18.2	0.0	33.3	0.777	-0.078
	ligeiro	20	55.6%	9.6	4.2	13.0	0.0	16.7			20	55.6%	25.4	16.7	30.3	0.0	37.5			20	55.6%	25.6	11.1	30.0	0.0	50.0		
	moderado	6	16.7%	9.7	8.3	9.7	0.0	16.7			6	16.7%	18.1	16.7	13.3	8.3	33.3			6	16.7%	11.1	11.1	9.9	0.0	22.2		
	severo	0	0.0%								0	0.0%								0	0.0%							
GRBAS_S	normal	14	37.8%	6.5	0.0	12.3	0.0	8.3	0.610	0.166	14	37.8%	18.5	16.7	23.4	0.0	25.0	0.836	0.049	14	37.8%	25.4	16.7	28.7	0.0	44.4	0.536	-0.127
	ligeiro	20	54.1%	8.7	4.2	11.3	0.0	16.7			20	54.1%	24.2	16.7	25.9	4.2	33.3			20	54.1%	22.2	16.7	23.9	0.0	33.3		
	moderado	3	8.1%	8.3	8.3	8.4	0.0	16.7			3	8.1%	13.9	16.7	12.7	0.0	25.0			3	8.1%	7.4	0.0	12.8	0.0	22.2		
	severo	0	0.0%								0	0.0%								0	0.0%							
Av ressonância texto hipernasalidade	normal ou ausente	29	76.3%	9.2	8.3	12.1	0.0	16.7	0.170	-0.279	29	76.3%	23.0	16.7	26.3	0.0	33.3	0.325	0.016	29	76.3%	23.8	22.2	26.0	0.0	33.3	0.558	-0.030
	discreto	5	13.2%	5.0	0.0	7.5	0.0	8.3			5	13.2%	10.0	8.3	10.9	0.0	16.7			5	13.2%	13.3	0.0	19.9	0.0	22.2		
	moderado	4	10.5%	0.0	0.0	0.0	0.0	0.0			4	10.5%	22.9	25.0	4.2	20.9	25.0			4	10.5%	30.6	33.4	29.2	5.6	55.6		
	severo ou moderado	0	0.0%								0	0.0%								0	0.0%							
Av ressonância texto hiponasalidade	normal ou ausente	33	86.8%	8.8	8.3	11.6	0.0	16.7	0.043	-0.333*	33	86.8%	21.7	16.7	25.1	0.0	25.0	0.692	0.065	33	86.8%	21.5	11.1	25.3	0.0	33.3	0.303	0.169
	discreto	5	13.2%	0.0	0.0	0.0	0.0	0.0			5	13.2%	18.3	25.0	10.9	16.7	25.0			5	13.2%	33.3	44.4	26.1	11.1	55.6		
	moderado	0	0.0%								0	0.0%								0	0.0%							
	severo ou moderado	0	0.0%								0	0.0%								0	0.0%							

		EORCT-HN43 dor de cabeça e pescoço									EORCT-HN43 Problemas em engolir									EORCT-HN43 Problemas com os dentes								
		N	%	Média	Mediana	DP	25	75	*p*	Correlação	N	%	Média	Mediana	DP	25	75	*p*	Correlação	N	%	Média	Mediana	DP	25	75	*p*	Correlação
Av ressonância vogais hipernasalidade	normal ou ausente	30	78.9%	8.9	4.2	12.0	0.0	16.7	0.271	-0.197	30	78.9%	22.5	16.7	26.0	0.0	33.3	0.994	0.018	30	78.9%	23.0	16.7	25.9	0.0	33.3	0.761	0.003
	discreto	6	15.8%	1.4	0.0	3.4	0.0	0.0			6	15.8%	16.7	25.0	12.9	0.0	25.0			6	15.8%	27.8	27.8	27.0	0.0	55.6		
	moderado	2	5.3%	8.4	8.4	11.8	0.0	16.7			2	5.3%	16.7	16.7	0.0	16.7	16.7			2	5.3%	11.1	11.1	15.7	0.0	22.2		
	severo ou moderado	0	0.0%								0	0.0%								0	0.0%							
Av ressonância vogais hiponasalidade	normal ou ausente	33	86.8%	8.3	0.0	11.6	0.0	8.3	0.294	-0.172	33	86.8%	21.2	16.7	25.4	0.0	25.0	0.302	0.170	33	86.8%	22.2	11.1	25.6	0.0	33.3	0.502	0.110
	discreto	5	13.2%	3.3	0.0	7.5	0.0	0.0			5	13.2%	21.7	25.0	4.5	16.7	25.0			5	13.2%	28.9	22.2	25.6	11.1	55.6		
	moderado	0	0.0%								0	0.0%								0	0.0%							
	severo ou moderado	0	0.0%								0	0.0%								0	0.0%							

Tabela 173 -Medidas descritivas, análise de correlação e diferenças estatísticas entre as variáveis da avaliação vocal e as escalas abertura de boca, boca seca e saliva espessa e problemas com os sentidos, do questionário da EORTC QLQ-HN43.

		EORCT-HN43 Abertura de boca									EORCT-HN43 Boca seca e saliva espessa									EORCT-HN43 Problemas com os sentidos								
		N	%	Média	Mediana	DP	25	75	*p*	Correlação	N	%	Média	Mediana	DP	25	75	*p*	Correlação	N	%	Média	Mediana	DP	25	75	*p*	Correlação
GRBAS_G	normal	8	22.2%	4.2	0.0	11.8	0.0	0.0	0.239	0.060	8	22.2%	18.8	16.7	18.8	0.0	33.3	0.169	0.089	8	22.2%	18.8	8.4	25.9	0.0	33.4	0.835	-0.101
	ligeiro	17	47.2%	23.5	0.0	32.8	0.0	33.3			17	47.2%	39.2	33.3	27.6	16.7	66.7			17	47.2%	22.5	0.0	35.8	0.0	33.3		
	moderado	11	30.6%	9.1	0.0	15.6	0.0	33.3			11	30.6%	27.3	33.3	21.4	0.0	33.3			11	30.6%	13.6	0.0	29.6	0.0	16.7		
	severo	0	0.0%								0	0.0%								0	0.0%							
GRBAS_R	normal	9	23.7%	14.8	0.0	29.4	0.0	0.0	0.972	0.029	9	23.7%	31.5	33.3	26.9	16.7	50.0	0.545	-0.145	9	23.7%	18.5	0.0	34.8	0.0	16.7	0.345	0.168
	ligeiro	14	36.8%	16.7	0.0	31.4	0.0	33.3			14	36.8%	34.5	33.3	28.1	0.0	66.7			14	36.8%	13.1	0.0	29.4	0.0	0.0		
	moderado	15	39.5%	11.1	0.0	16.2	0.0	33.3			15	39.5%	23.3	16.7	21.6	0.0	33.3			15	39.5%	22.2	16.7	31.3	0.0	33.3		
	severo	0	0.0%								0	0.0%								0	0.0%							
GRBAS_B	normal	26	68.4%	17.9	0.0	28.6	0.0	33.3	0.207	-0.207	26	68.4%	31.4	33.3	25.5	16.7	33.3	0.538	-0.101	26	68.4%	16.7	0.0	30.2	0.0	16.7	0.676	0.069
	ligeiro	12	31.6%	5.6	0.0	13.0	0.0	0.0			12	31.6%	25.0	25.0	25.1	0.0	50.0			12	31.6%	20.8	0.0	33.4	0.0	33.4		
	moderado	0	0.0%								0	0.0%								0	0.0%							
	severo	0	0.0%								0	0.0%								0	0.0%							
GRBAS_A	normal	10	27.8%	6.7	0.0	14.0	0.0	0.0	0.571	0.118	10	27.8%	35.0	33.3	20.0	16.7	50.0	0.289	-0.237	10	27.8%	30.0	8.4	37.5	0.0	66.7	0.286	-0.259
	ligeiro	20	55.6%	20.0	0.0	31.3	0.0	33.3			20	55.6%	33.3	33.3	28.1	8.4	58.4			20	55.6%	18.3	0.0	31.5	0.0	25.0		
	moderado	6	16.7%	11.1	0.0	17.2	0.0	33.3			6	16.7%	16.7	16.7	18.2	0.0	33.3			6	16.7%	2.8	0.0	6.8	0.0	0.0		
	severo	0	0.0%								0	0.0%								0	0.0%							
GRBAS_S	normal	14	37.8%	14.3	0.0	25.2	0.0	33.3	0.999	0.006	14	37.8%	32.1	33.3	27.3	0.0	50.0	0.824	-0.091	14	37.8%	23.8	8.4	35.6	0.0	33.3	0.580	-0.164
	ligeiro	20	54.1%	15.0	0.0	27.5	0.0	33.3			20	54.1%	30.0	33.3	25.7	0.0	33.3			20	54.1%	15.8	0.0	29.9	0.0	16.7		
	moderado	3	8.1%	11.1	0.0	19.2	0.0	33.3			3	8.1%	22.2	16.7	9.6	16.7	33.3			3	8.1%	11.1	0.0	19.2	0.0	33.3		
	severo	0	0.0%								0	0.0%								0	0.0%							
Av ressonância texto hipernasalidade	normal ou ausente	29	76.3%	17.2	0.0	27.6	0.0	33.3	0.318	-0.241	29	76.3%	33.9	33.3	25.4	16.7	50.0	0.134	-0.329*	29	76.3%	21.3	0.0	34.2	0.0	33.3	0.695	-0.091
	discreto	5	13.2%	6.7	0.0	14.9	0.0	0.0			5	13.2%	16.7	16.7	16.7	0.0	33.3			5	13.2%	6.7	0.0	14.9	0.0	0.0		
	moderado	4	10.5%	0.0	0.0	0.0	0.0	0.0			4	10.5%	12.5	0.0	25.0	0.0	25.0			4	10.5%	8.4	8.4	9.6	0.0	16.7		
	severo ou moderado	0	0.0%								0	0.0%								0	0.0%							
Av ressonância texto hiponasalidade	normal ou ausente	33	86.8%	16.2	0.0	26.5	0.0	33.3	0.136	-0.254	33	86.8%	32.3	33.3	24.6	16.7	50.0	0.055	-0.315	33	86.8%	19.7	0.0	32.7	0.0	33.3	0.764	-0.049
	discreto	5	13.2%	0.0	0.0	0.0	0.0	0.0			5	13.2%	10.0	0.0	22.4	0.0	0.0			5	13.2%	6.7	0.0	9.1	0.0	16.7		
	moderado	0	0.0%								0	0.0%								0	0.0%							
	severo ou moderado	0	0.0%								0	0.0%								0	0.0%							

		EORCT-HN43 Abertura de boca									EORCT-HN43 Boca seca e saliva espessa									EORCT-HN43 Problemas com os sentidos								
		N	%	Média	Mediana	DP	25	75	*p*	Correlação	N	%	Média	Mediana	DP	25	75	*p*	Correlação	N	%	Média	Mediana	DP	25	75	*p*	Correlação
Av ressonância vogais hipernasalidade	normal ou ausente	30	78.9%	16.7	0.0	27.3	0.0	33.3	0.444	-0.205	30	78.9%	33.9	33.3	24.9	16.7	50.0	0.088	-0.351*	30	78.9%	20.6	0.0	33.8	0.0	33.3	0.908	-0.057
	discreto	6	15.8%	5.6	0.0	13.6	0.0	0.0			6	15.8%	11.1	0.0	20.2	0.0	16.7			6	15.8%	8.3	0.0	13.9	0.0	16.7		
	moderado	2	5.3%	0.0	0.0	0.0	0.0	0.0			2	5.3%	16.7	16.7	23.5	0.0	33.3			2	5.3%	8.4	8.4	11.8	0.0	16.7		
	severo ou moderado	0	0.0%								0	0.0%								0	0.0%							
Av ressonância vogais hiponasalidade	normal ou ausente	33	86.8%	16.2	0.0	26.5	0.0	33.3	0.136	-0.245	33	86.8%	31.3	33.3	25.3	16.7	50.0	0.238	-0.194	33	86.8%	19.7	0.0	32.7	0.0	33.3	0.764	-0.049
	discreto	5	13.2%	0.0	0.0	0.0	0.0	0.0			5	13.2%	16.7	0.0	23.6	0.0	33.3			5	13.2%	6.7	0.0	9.1	0.0	16.7		
	moderado	0	0.0%								0	0.0%								0	0.0%							
	severo ou moderado	0	0.0%								0	0.0%								0	0.0%							

Tabela 174 - Medidas descritivas, análise de correlação e diferenças estatísticas entre as variáveis da avaliação vocal e as escalas tosse, imagem corporal e comer em público, do questionário da EORTC QLQ-HN43.

		EORCT-HN43 Tosse									EORCT-HN43 Imagem corporal									EORCT-HN43 Comer em público								
		N	%	Média	Mediana	DP	25	75	*p*	Correlação	N	%	Média	Mediana	DP	25	75	*p*	Correlação	N	%	Média	Mediana	DP	25	75	*p*	Correlação
GRBAS_G	normal	8	22.2%	0.0	0.0	0.0	0.0	0.0	0.687	0.144	8	22.2%	6.9	0.0	11.8	0.0	11.1	0.442	0.087	8	22.2%	6.3	0.0	14.6	0.0	4.2	0.191	0.286
	ligeiro	17	47.2%	2.0	0.0	8.1	0.0	0.0			17	47.2%	14.4	11.1	15.1	0.0	22.2			17	47.2%	19.6	8.3	26.0	0.0	33.3		
	moderado	11	30.6%	6.1	0.0	20.1	0.0	0.0			11	30.6%	14.1	0.0	21.1	0.0	22.2			11	30.6%	17.4	16.7	18.1	0.0	25.0		
	severo	0	0.0%								0	0.0%								0	0.0%							
GRBAS_R	normal	9	23.7%	0.0	0.0	0.0	0.0	0.0	0.723	0.093	9	23.7%	11.1	11.1	11.1	0.0	11.1	0.966	-0.008	9	23.7%	16.7	8.3	25.7	0.0	16.7	0.937	0.054
	ligeiro	14	36.8%	4.8	0.0	17.8	0.0	0.0			14	36.8%	15.1	0.0	22.0	0.0	22.2			14	36.8%	16.7	4.2	23.3	0.0	33.3		
	moderado	15	39.5%	2.2	0.0	8.6	0.0	0.0			15	39.5%	11.1	11.1	11.9	0.0	22.2			15	39.5%	16.1	8.3	17.7	0.0	25.0		
	severo	0	0.0%								0	0.0%								0	0.0%							
GRBAS_B	normal	26	68.4%	3.8	0.0	14.4	0.0	0.0	0.330	-0.160	26	68.4%	13.7	11.1	17.9	0.0	22.2	0.868	-0.027	26	68.4%	15.7	0.0	23.5	0.0	33.3	0.255	0.187
	ligeiro	12	31.6%	0.0	0.0	0.0	0.0	0.0			12	31.6%	10.2	11.1	11.1	0.0	16.7			12	31.6%	18.1	16.7	16.2	4.2	25.0		
	moderado	0	0.0%								0	0.0%								0	0.0%							
	severo	0	0.0%								0	0.0%								0	0.0%							
GRBAS_A	normal	10	27.8%	0.0	0.0	0.0	0.0	0.0	0.399	0.217	10	27.8%	8.9	5.6	11.5	0.0	11.1	0.825	0.103	10	27.8%	9.2	0.0	14.4	0.0	16.7	0.565	0.150
	ligeiro	20	55.6%	3.3	0.0	14.9	0.0	0.0			20	55.6%	13.9	11.1	18.7	0.0	22.2			20	55.6%	18.7	8.3	24.6	0.0	33.3		
	moderado	6	16.7%	5.6	0.0	13.6	0.0	0.0			6	16.7%	14.8	11.1	16.7	0.0	33.3			6	16.7%	18.1	8.4	22.6	0.0	41.7		
	severo	0	0.0%								0	0.0%								0	0.0%							
GRBAS_S	normal	14	37.8%	0.0	0.0	0.0	0.0	0.0	0.417	0.139	14	37.8%	14.3	11.1	16.0	0.0	22.2	0.718	-0.096	14	37.8%	17.3	8.3	21.6	0.0	25.0	0.367	-0.016
	ligeiro	20	54.1%	5.0	0.0	16.3	0.0	0.0			20	54.1%	11.7	0.0	17.5	0.0	22.2			20	54.1%	14.6	0.0	22.8	0.0	25.0		
	moderado	3	8.1%	0.0	0.0	0.0	0.0	0.0			3	8.1%	11.1	11.1	11.1	0.0	22.2			3	8.1%	22.2	16.7	17.4	8.3	41.7		
	severo	0	0.0%								0	0.0%								0	0.0%							
Av ressonância texto hipernasalidade	normal ou ausente	29	76.3%	3.4	0.0	13.6	0.0	0.0	0.727	-0.130	29	76.3%	15.3	11.1	17.2	0.0	22.2	0.123	-0.308	29	76.3%	17.0	8.3	23.2	0.0	33.3	0.482	0.081
	discreto	5	13.2%	0.0	0.0	0.0	0.0	0.0			5	13.2%	2.2	0.0	5.0	0.0	0.0			5	13.2%	11.7	0.0	18.3	0.0	16.7		
	moderado	4	10.5%	0.0	0.0	0.0	0.0	0.0			4	10.5%	5.6	5.6	6.4	0.0	11.1			4	10.5%	18.8	20.9	8.0	12.5	25.0		
	severo ou moderado	0	0.0%								0	0.0%								0	0.0%							
Av ressonância texto hiponasalidade	normal ou ausente	33	86.8%	3.0	0.0	12.8	0.0	0.0	0.577	-0.092	33	86.8%	13.8	11.1	16.7	0.0	22.2	0.243	-0.192	33	86.8%	16.7	8.3	22.5	0.0	33.3	0.586	0.089
	discreto	5	13.2%	0.0	0.0	0.0	0.0	0.0			5	13.2%	4.4	0.0	6.1	0.0	11.1			5	13.2%	15.0	16.7	10.9	8.3	25.0		
	moderado	0	0.0%								0	0.0%								0	0.0%							
	severo ou moderado	0	0.0%								0	0.0%								0	0.0%							
	normal ou ausente	30	78.9%	3.3	0.0	13.4	0.0	0.0	0.760	-0.121	30	78.9%	14.8	11.1	17.1	0.0	22.2	0.188	-0.283	30	78.9%	16.4	4.2	23.0	0.0	33.3	0.753	0.124

		EORCT-HN43 Tosse									EORCT-HN43 Imagem corporal									EORCT-HN43 Comer em público								
		N	%	Média	Mediana	DP	25	75	*p*	Correlação	N	%	Média	Mediana	DP	25	75	*p*	Correlação	N	%	Média	Mediana	DP	25	75	*p*	Correlação
Av ressonância vogais hipernasalidade	discreto	6	15.8%	0.0	0.0	0.0	0.0	0.0			6	15.8%	5.6	5.6	6.1	0.0	11.1			6	15.8%	18.1	20.9	16.2	0.0	25.0		
	moderado	2	5.3%	0.0	0.0	0.0	0.0	0.0			2	5.3%	0.0	0.0	0.0	0.0	0.0			2	5.3%	12.5	12.5	5.9	8.3	16.7		
	severo ou moderado	0	0.0%								0	0.0%								0	0.0%							
Av ressonância vogais hiponasalidade	normal ou ausente	33	86.8%	3.0	0.0	12.8	0.0	0.0			33	86.8%	13.8	11.1	16.7	0.0	22.2			33	86.8%	16.2	0.0	22.7	0.0	33.3		
	discreto	5	13.2%	0.0	0.0	0.0	0.0	0.0	0.577	-0.092	5	13.2%	4.4	0.0	6.1	0.0	11.1	0.243	-0.192	5	13.2%	18.3	16.7	7.0	16.7	25.0	0.212	0.205
	moderado	0	0.0%								0	0.0%								0	0.0%							
	severo ou moderado	0	0.0%								0	0.0%								0	0.0%							

Tabela 175 - Medidas descritivas, análise de correlação e diferenças estatísticas entre as variáveis da avaliação vocal e as escalas problemas de fala, contacto social e problemas com a sexualidade, do questionário da EORTC QLQ-HN43.

		EORCT-HN43 Problemas de fala									EORCT-HN43 Contacto social									EORCT-HN43 Problemas com a sexualidade								
		N	%	Média	Mediana	DP	25	75	*p*	Correlação	N	%	Média	Mediana	DP	25	75	*p*	Correlação	N	%	Média	Mediana	DP	25	75	*p*	Correlação
GRBAS_G	normal	8	22.2%	6.7	6.7	6.2	0.0	13.3	0.725	0.088	8	22.2%	0.0	0.0	0.0	0.0	0.0	0.412	0.070	8	22.2%	25.0	16.7	33.3	0.0	33.3	0.551	-0.120
	ligeiro	17	47.2%	21.2	6.7	30.0	0.0	33.3			17	47.2%	7.8	0.0	18.7	0.0	0.0			17	47.2%	11.8	0.0	17.4	0.0	33.3		
	moderado	11	30.6%	9.7	6.7	8.1	0.0	20.0			11	30.6%	3.0	0.0	10.0	0.0	0.0			11	30.6%	13.6	0.0	19.5	0.0	33.3		
	severo	0	0.0%								0	0.0%								0	0.0%							
GRBAS_R	normal	9	23.7%	11.8	13.3	11.9	0.0	13.3	0.928	-0.029	9	23.7%	3.7	0.0	11.1	0.0	0.0	0.271	0.222	9	23.7%	11.1	0.0	16.7	0.0	33.3	0.712	0.132
	ligeiro	14	36.8%	21.0	6.7	31.4	0.0	20.0			14	36.8%	2.4	0.0	8.9	0.0	0.0			14	36.8%	14.3	8.4	15.8	0.0	33.3		
	moderado	15	39.5%	13.3	6.7	15.9	0.0	20.0			15	39.5%	20.0	0.0	37.4	0.0	33.3			15	39.5%	21.1	0.0	29.2	0.0	33.3		
	severo	0	0.0%								0	0.0%								0	0.0%							
GRBAS_B	normal	26	68.4%	17.2	6.7	24.9	0.0	20.0	0.846	-0.032	26	68.4%	5.1	0.0	15.5	0.0	0.0	0.245	0.191	26	68.4%	17.3	0.0	23.8	0.0	33.3	0.793	-0.043
	ligeiro	12	31.6%	12.8	10.0	14.9	0.0	20.0			12	31.6%	19.4	0.0	38.8	0.0	16.7			12	31.6%	13.9	0.0	18.6	0.0	33.3		
	moderado	0	0.0%								0	0.0%								0	0.0%							
	severo	0	0.0%								0	0.0%								0	0.0%							
GRBAS_A	normal	10	27.8%	6.0	0.0	8.6	0.0	13.3	0.259	0.176	10	27.8%	0.0	0.0	0.0	0.0	0.0	0.110	0.329*	10	27.8%	6.7	0.0	16.1	0.0	0.0	0.238	0.177
	ligeiro	20	55.6%	19.3	10.0	26.8	3.4	23.4			20	55.6%	3.3	0.0	10.2	0.0	0.0			20	55.6%	20.0	16.7	24.5	0.0	33.3		
	moderado	6	16.7%	12.2	6.7	16.0	0.0	20.0			6	16.7%	16.7	0.0	27.9	0.0	33.3			6	16.7%	13.9	0.0	22.1	0.0	33.3		
	severo	0	0.0%								0	0.0%								0	0.0%							
GRBAS_S	normal	14	37.8%	19.1	13.3	26.1	0.0	20.0	0.552	-0.165	14	37.8%	7.1	0.0	26.7	0.0	0.0	0.550	0.163	14	37.8%	16.7	8.4	18.5	0.0	33.3	0.316	-0.169
	ligeiro	20	54.1%	13.3	6.7	20.6	0.0	16.7			20	54.1%	6.7	0.0	17.4	0.0	0.0			20	54.1%	17.5	0.0	25.6	0.0	33.3		
	moderado	3	8.1%	8.9	13.3	7.7	0.0	13.3			3	8.1%	11.1	0.0	19.2	0.0	33.3			3	8.1%	0.0	0.0	0.0	0.0	0.0		
	severo	0	0.0%								0	0.0%								0	0.0%							
Av ressonância texto hipernasalidade	normal ou ausente	29	76.3%	16.1	6.7	23.9	0.0	20.0	0.341	0.083	29	76.3%	4.6	0.0	14.7	0.0	0.0	0.071	0.319	29	76.3%	18.4	0.0	23.7	0.0	33.3	0.105	-0.124
	discreto	5	13.2%	6.7	6.7	6.7	0.0	13.3			5	13.2%	6.7	0.0	14.9	0.0	0.0			5	13.2%	0.0	0.0	0.0	0.0	0.0		
	moderado	4	10.5%	25.0	30.0	19.1	10.0	40.0			4	10.5%	50.0	50.0	57.7	0.0	100.0			4	10.5%	20.8	25.0	15.9	8.4	33.3		
	severo ou moderado	0	0.0%								0	0.0%								0	0.0%							
Av ressonância texto hiponasalidade	normal ou ausente	33	86.8%	15.2	6.7	22.6	0.0	20.0	0.504	0.110	33	86.8%	5.0	0.0	14.7	0.0	0.0	0.066	0.302	33	86.8%	16.2	0.0	23.0	0.0	33.3	0.718	0.059
	discreto	5	13.2%	20.0	20.0	20.0	0.0	40.0			5	13.2%	40.0	0.0	54.8	0.0	100.0			5	13.2%	16.7	16.7	16.7	0.0	33.3		
	moderado	0	0.0%								0	0.0%								0	0.0%							
	severo ou moderado	0	0.0%								0	0.0%								0	0.0%							

		EORCT-HN43 Problemas de fala									EORCT-HN43 Contacto social									EORCT-HN43 Problemas com a sexualidade								
		N	%	Média	Mediana	DP	25	75	*p*	Correlação	N	%	Média	Mediana	DP	25	75	*p*	Correlação	N	%	Média	Mediana	DP	25	75	*p*	Correlação
Av ressonância vogais hipernasalidade	normal ou ausente	30	78.9%	15.6	6.7	23.7	0.0	20.0	0.447	0.110	30	78.9%	4.4	0.0	14.5	0.0	0.0	0.030	0.299	30	78.9%	17.8	0.0	23.5	0.0	33.3	0.772	-0.118
	discreto	6	15.8%	20.0	16.7	16.9	6.7	40.0			6	15.8%	38.9	16.7	49.1	0.0	100.0			6	15.8%	11.1	0.0	17.2	0.0	33.3		
	moderado	2	5.3%	6.7	6.7	9.4	0.0	13.3			2	5.3%	0.0	0.0	0.0	0.0	0.0			2	5.3%	8.4	8.4	11.8	0.0	16.7		
	severo ou moderado	0	0.0%								0	0.0%								0	0.0%							
Av ressonância vogais hiponasalidade	normal ou ausente	33	86.8%	14.7	6.7	22.8	0.0	20.0	0.167	0.227	33	86.8%	5.0	0.0	14.7	0.0	0.0	0.066	0.302	33	86.8%	16.2	0.0	23.0	0.0	33.3	0.718	0.059
	discreto	5	13.2%	22.7	20.0	17.4	13.3	40.0			5	13.2%	40.0	0.0	54.8	0.0	100.0			5	13.2%	16.7	16.7	16.7	0.0	33.3		
	moderado	0	0.0%								0	0.0%								0	0.0%							
	severo ou moderado	0	0.0%								0	0.0%								0	0.0%							

Tabela 176 - Medidas descritivas, análise de correlação e diferenças estatísticas entre as variáveis da avaliação vocal e as escalas problemas nos ombros, edema no pescoço e problemas de pele, do questionário da EORTC QLQ-HN43.

		EORCT-HN43 Problemas nos ombros									EORCT-HN43 Edema no pescoço									EORCT-HN43 Problemas de pele								
		N	%	Média	Mediana	DP	25	75	*p*	Correlação	N	%	Média	Mediana	DP	25	75	*p*	Correlação	N	%	Média	Mediana	DP	25	75	*p*	Correlação
GRBAS_G	normal	8	22.2%	0.0	0.0	0.0	0.0	0.0	0.010	-0.076	8	22.2%	0.0	0.0	0.0	0.0	0.0	1.000		8	22.2%	1.4	0.0	3.9	0.0	0.0	0.738	-0.045
	ligeiro	17	47.2%	16.7	0.0	24.3	0.0	33.3			17	47.2%	0.0	0.0	0.0	0.0	0.0			17	47.2%	5.9	0.0	13.1	0.0	0.0		
	moderado	11	30.6%	0.0	0.0	0.0	0.0	0.0			11	30.6%	0.0	0.0	0.0	0.0	0.0			11	30.6%	2.0	0.0	6.7	0.0	0.0		
	severo	0	0.0%								0	0.0%								0	0.0%							
GRBAS_R	normal	9	23.7%	7.4	0.0	16.9	0.0	0.0	0.790	-0.098	9	23.7%	0.0	0.0	0.0	0.0	0.0	1.000		9	23.7%	1.2	0.0	3.7	0.0	0.0	0.941	0.028
	ligeiro	14	36.8%	10.7	0.0	24.1	0.0	0.0			14	36.8%	0.0	0.0	0.0	0.0	0.0			14	36.8%	4.8	0.0	12.1	0.0	0.0		
	moderado	15	39.5%	4.4	0.0	11.7	0.0	0.0			15	39.5%	0.0	0.0	0.0	0.0	0.0			15	39.5%	3.7	0.0	10.0	0.0	0.0		
	severo	0	0.0%								0	0.0%								0	0.0%							
GRBAS_B	normal	26	68.4%	10.9	0.0	21.1	0.0	16.7	0.051	-0.321*	26	68.4%	0.0	0.0	0.0	0.0	0.0	1.000		26	68.4%	4.3	0.0	10.9	0.0	0.0	0.521	-0.106
	ligeiro	12	31.6%	0.0	0.0	0.0	0.0	0.0			12	31.6%	0.0	0.0	0.0	0.0	0.0			12	31.6%	1.9	0.0	6.4	0.0	0.0		
	moderado	0	0.0%								0	0.0%								0	0.0%							
	severo	0	0.0%								0	0.0%								0	0.0%							
GRBAS_A	normal	10	27.8%	0.0	0.0	0.0	0.0	0.0	0.153	0.199	10	27.8%	0.0	0.0	0.0	0.0	0.0	1.000		10	27.8%	2.2	0.0	7.0	0.0	0.0	0.884	0.082
	ligeiro	20	55.6%	12.5	0.0	22.9	0.0	16.7			20	55.6%	0.0	0.0	0.0	0.0	0.0			20	55.6%	3.9	0.0	10.4	0.0	0.0		
	moderado	6	16.7%	5.6	0.0	13.6	0.0	0.0			6	16.7%	0.0	0.0	0.0	0.0	0.0			6	16.7%	5.6	0.0	13.6	0.0	0.0		
	severo	0	0.0%								0	0.0%								0	0.0%							
GRBAS_S	normal	14	37.8%	2.4	0.0	6.1	0.0	0.0	0.669	0.147	14	37.8%	0.0	0.0	0.0	0.0	0.0	1.000		14	37.8%	2.4	0.0	6.4	0.0	0.0	0.762	-0.031
	ligeiro	20	54.1%	10.8	0.0	23.1	0.0	0.0			20	54.1%	0.0	0.0	0.0	0.0	0.0			20	54.1%	5.0	0.0	12.2	0.0	0.0		
	moderado	3	8.1%	11.1	0.0	19.2	0.0	33.3			3	8.1%	0.0	0.0	0.0	0.0	0.0			3	8.1%	0.0	0.0	0.0	0.0	0.0		
	severo	0	0.0%								0	0.0%								0	0.0%							
Av ressonância texto hipernasalidade	normal ou ausente	29	76.3%	8.6	0.0	19.7	0.0	0.0	0.614	-0.124	29	76.3%	0.0	0.0	0.0	0.0	0.0	1.000		29	76.3%	4.6	0.0	10.9	0.0	0.0	0.421	-0.214
	discreto	5	13.2%	6.7	0.0	14.9	0.0	0.0			5	13.2%	0.0	0.0	0.0	0.0	0.0			5	13.2%	0.0	0.0	0.0	0.0	0.0		
	moderado	4	10.5%	0.0	0.0	0.0	0.0	0.0			4	10.5%	0.0	0.0	0.0	0.0	0.0			4	10.5%	0.0	0.0	0.0	0.0	0.0		
	severo ou moderado	0	0.0%								0	0.0%								0	0.0%							
Av ressonância texto hiponasalidade	normal ou ausente	33	86.8%	8.6	0.0	19.2	0.0	0.0	0.264	-0.184	33	86.8%	0.0	0.0	0.0	0.0	0.0	1.000		33	86.8%	4.0	0.0	10.3	0.0	0.0	0.358	-0.151
	discreto	5	13.2%	0.0	0.0	0.0	0.0	0.0			5	13.2%	0.0	0.0	0.0	0.0	0.0			5	13.2%	0.0	0.0	0.0	0.0	0.0		
	moderado	0	0.0%								0	0.0%								0	0.0%							
	severo ou moderado	0	0.0%								0	0.0%								0	0.0%							

		EORCT-HN43 Problemas nos ombros									EORCT-HN43 Edema no pescoço									EORCT-HN43 Problemas de pele								
		N	%	Média	Mediana	DP	25	75	*p*	Correlação	N	%	Média	Mediana	DP	25	75	*p*	Correlação	N	%	Média	Mediana	DP	25	75	*p*	Correlação
Av ressonância vogais hipernasalidade	normal ou ausente	30	78.9%	8.3	0.0	19.5	0.0	0.0	0.777	-0.091	30	78.9%	0.0	0.0	0.0	0.0	0.0	1.000		30	78.9%	4.4	0.0	10.7	0.0	0.0	0.475	-0.199
	discreto	6	15.8%	5.6	0.0	13.6	0.0	0.0			6	15.8%	0.0	0.0	0.0	0.0	0.0			6	15.8%	0.0	0.0	0.0	0.0	0.0		
	moderado	2	5.3%	0.0	0.0	0.0	0.0	0.0			2	5.3%	0.0	0.0	0.0	0.0	0.0			2	5.3%	0.0	0.0	0.0	0.0	0.0		
	severo ou moderado	0	0.0%								0	0.0%								0	0.0%							
Av ressonância vogais hiponasalidade	normal ou ausente	33	86.8%	8.6	0.0	19.2	0.0	0.0	0.264	-0.184	33	86.8%	0.0	0.0	0.0	0.0	0.0	1.000		33	86.8%	4.0	0.0	10.3	0.0	0.0	0.358	-0.151
	discreto	5	13.2%	0.0	0.0	0.0	0.0	0.0			5	13.2%	0.0	0.0	0.0	0.0	0.0			5	13.2%	0.0	0.0	0.0	0.0	0.0		
	moderado	0	0.0%								0	0.0%								0	0.0%							
	severo ou moderado	0	0.0%								0	0.0%								0	0.0%							

Tabela 177 - Medidas descritivas, análise de correlação e diferenças estatísticas entre as variáveis da avaliação vocal e as escalas perda de peso, ansiedade e problemas na cicatrização de feridas, do questionário da EORTC QLQ-HN43.

		EORCT-HN43 Perda de peso									EORCT-HN43 Ansiedade									EORCT-HN43 Problemas na cicatrização de feridas								
		N	%	Média	Mediana	DP	25	75	*p*	Correlação	N	%	Média	Mediana	DP	25	75	*p*	Correlação	N	%	Média	Mediana	DP	25	75	*p*	Correlação
GRBAS_G	normal	8	22.2%	4.2	0.0	11.8	0.0	0.0	0.271	0.113	8	22.2%	22.9	25.0	17.7	8.4	33.3	0.480	0.056	8	22.2%	4.2	0.0	11.8	0.0	0.0	0.883	-0.032
	ligeiro	17	47.2%	17.6	0.0	20.8	0.0	33.3			17	47.2%	18.6	16.7	22.7	0.0	33.3			17	47.2%	3.9	0.0	16.2	0.0	0.0		
	moderado	11	30.6%	18.2	0.0	34.5	0.0	33.3			11	30.6%	28.8	16.7	27.0	16.7	50.0			11	30.6%	3.0	0.0	10.0	0.0	0.0		
	severo	0	0.0%								0	0.0%								0	0.0%							
GRBAS_R	normal	9	23.7%	18.5	0.0	24.2	0.0	33.3	0.562	-0.058	9	23.7%	22.2	33.3	14.4	16.7	33.3	0.624	-0.049	9	23.7%	3.7	0.0	11.1	0.0	0.0	0.339	-0.192
	ligeiro	14	36.8%	11.9	0.0	28.1	0.0	0.0			14	36.8%	20.3	16.7	27.9	0.0	16.7			14	36.8%	7.1	0.0	19.3	0.0	0.0		
	moderado	15	39.5%	13.3	0.0	21.1	0.0	33.3			15	39.5%	22.2	16.7	23.3	0.0	50.0			15	39.5%	0.0	0.0	0.0	0.0	0.0		
	severo	0	0.0%								0	0.0%								0	0.0%							
GRBAS_B	normal	26	68.4%	15.4	0.0	25.3	0.0	33.3	0.590	-0.089	26	68.4%	21.8	16.7	24.8	0.0	33.3	0.806	0.040	26	68.4%	2.6	0.0	13.1	0.0	0.0	0.202	0.210
	ligeiro	12	31.6%	11.1	0.0	21.7	0.0	16.7			12	31.6%	20.8	16.7	19.0	8.4	33.3			12	31.6%	5.6	0.0	13.0	0.0	0.0		
	moderado	0	0.0%								0	0.0%								0	0.0%							
	severo	0	0.0%								0	0.0%								0	0.0%							
GRBAS_A	normal	10	27.8%	13.3	0.0	23.3	0.0	33.3	0.534	-0.062	10	27.8%	21.7	16.7	20.9	0.0	33.3	1.000	-0.002	10	27.8%	3.3	0.0	10.5	0.0	0.0	0.727	-0.093
	ligeiro	20	55.6%	18.3	0.0	27.5	0.0	33.3			20	55.6%	23.3	16.7	25.0	0.0	33.3			20	55.6%	5.0	0.0	16.3	0.0	0.0		
	moderado	6	16.7%	5.6	0.0	13.6	0.0	0.0			6	16.7%	22.2	16.7	22.8	0.0	50.0			6	16.7%	0.0	0.0	0.0	0.0	0.0		
	severo	0	0.0%								0	0.0%								0	0.0%							
GRBAS_S	normal	14	37.8%	16.7	0.0	21.7	0.0	33.3	0.279	-0.070	14	37.8%	27.4	25.0	24.1	16.7	33.3	0.446	-0.197	14	37.8%	7.1	0.0	19.3	0.0	0.0	0.529	-0.187
	ligeiro	20	54.1%	11.7	0.0	27.1	0.0	0.0			20	54.1%	19.2	16.7	23.1	0.0	25.0			20	54.1%	1.7	0.0	7.4	0.0	0.0		
	moderado	3	8.1%	22.2	33.3	19.2	0.0	33.3			3	8.1%	16.7	16.7	16.7	0.0	33.3			3	8.1%	0.0	0.0	0.0	0.0	0.0		
	severo	0	0.0%								0	0.0%								0	0.0%							
Av ressonância texto hipernasalidade	normal ou ausente	29	76.3%	17.2	0.0	26.2	0.0	33.3	0.261	-0.263	29	76.3%	24.1	16.7	22.5	16.7	33.3	0.215	-0.284	29	76.3%	4.6	0.0	14.7	0.0	0.0	0.612	-0.162
	discreto	5	13.2%	6.7	0.0	14.9	0.0	0.0			5	13.2%	10.0	0.0	14.9	0.0	16.7			5	13.2%	0.0	0.0	0.0	0.0	0.0		
	moderado	4	10.5%	0.0	0.0	0.0	0.0	0.0			4	10.5%	16.7	0.0	33.4	0.0	33.4			4	10.5%	0.0	0.0	0.0	0.0	0.0		
	severo ou moderado	0	0.0%								0	0.0%								0	0.0%							
Av ressonância texto hiponasalidade	normal ou ausente	33	86.8%	16.2	0.0	25.2	0.0	33.3	0.113	-0.261	33	86.8%	22.7	16.7	22.0	0.0	33.3	0.132	-0.248	33	86.8%	4.0	0.0	13.8	0.0	0.0	0.489	-0.114
	discreto	5	13.2%	0.0	0.0	0.0	0.0	0.0			5	13.2%	13.3	0.0	29.8	0.0	0.0			5	13.2%	0.0	0.0	0.0	0.0	0.0		
	moderado	0	0.0%								0	0.0%								0	0.0%							
	severo ou moderado	0	0.0%								0	0.0%								0	0.0%							

		EORCT-HN43 Perda de peso									EORCT-HN43 Ansiedade									EORCT-HN43 Problemas na cicatrização de feridas								
		N	%	Média	Mediana	DP	25	75	*p*	Correlação	N	%	Média	Mediana	DP	25	75	*p*	Correlação	N	%	Média	Mediana	DP	25	75	*p*	Correlação
Av ressonância vogais hipernasalidade	normal ou ausente	30	78.9%	16.7	0.0	25.9	0.0	33.3	0.378	-0.255	30	78.9%	23.3	16.7	22.6	0.0	33.3	0.383	-0.227	30	78.9%	4.4	0.0	14.5	0.0	0.0	0.656	-0.150
	discreto	6	15.8%	5.6	0.0	13.6	0.0	0.0			6	15.8%	16.7	0.0	27.9	0.0	33.3			6	15.8%	0.0	0.0	0.0	0.0	0.0		
	moderado	2	5.3%	0.0	0.0	0.0	0.0	0.0			2	5.3%	8.4	8.4	11.8	0.0	16.7			2	5.3%	0.0	0.0	0.0	0.0	0.0		
	severo ou moderado	0	0.0%								0	0.0%								0	0.0%							
Av ressonância vogais hiponasalidade	normal ou ausente	33	86.8%	16.2	0.0	25.2	0.0	33.3	0.113	-0.261	33	86.8%	22.2	16.7	22.3	0.0	33.3	0.345	-0.155	33	86.8%	4.0	0.0	13.8	0.0	0.0	0.489	-0.114
	discreto	5	13.2%	0.0	0.0	0.0	0.0	0.0			5	13.2%	16.7	0.0	28.9	0.0	16.7			5	13.2%	0.0	0.0	0.0	0.0	0.0		
	moderado	0	0.0%								0	0.0%								0	0.0%							
	severo ou moderado	0	0.0%								0	0.0%								0	0.0%							

Tabela 178 - Medidas descritivas, análise de correlação e diferenças estatísticas entre as variáveis da avaliação vocal e as escalas problemas neurológicos, resultado total e categorial, do questionário da EORTC QLQ-HN43.

		EORCT-HN43 Problemas neurológicos									QLQ-HN43 Resultado total									Categorial QLQHN43					
																				alterado		normal			
		N	%	Média	Mediana	DP	25	75	*p*	Correlação	N	%	Média	Mediana	DP	25	75	*p*	Correlação	N	%	N	%	*p*	Correlação
GRBAS_G	normal	8	22.2%	16.7	0.0	25.2	0.0	33.3	0.311	-0.135	8	22.2%	8.5	8.6	5.6	3.9	10.5	0.288	0.064	2	11.8%	6	31.6%	0.294	-0.113
	ligeiro	17	47.2%	23.5	33.3	25.7	0.0	33.3			17	47.2%	16.5	12.6	12.3	6.4	25.9			10	58.8%	7	36.8%		
	moderado	11	30.6%	9.1	0.0	15.6	0.0	33.3			11	30.6%	11.7	7.7	9.5	5.2	18.4			5	29.4%	6	31.6%		
	severo	0	0.0%								0	0.0%								0	0.0%	0	0.0%		
GRBAS_R	normal	9	23.7%	14.8	0.0	24.2	0.0	33.3	0.561	0.149	9	23.7%	12.2	7.7	11.4	3.2	19.8	0.726	0.130	3	15.8%	6	31.6%	0.238	-0.274
	ligeiro	14	36.8%	14.3	0.0	25.2	0.0	33.3			14	36.8%	14.7	8.9	13.3	4.7	29.1			6	31.6%	8	42.1%		
	moderado	15	39.5%	20.0	33.3	21.1	0.0	33.3			15	39.5%	12.8	11.4	6.3	7.7	16.6			10	52.6%	5	26.3%		
	severo	0	0.0%								0	0.0%								0	0.0%	0	0.0%		
GRBAS_B	normal	26	68.4%	19.2	0.0	23.4	0.0	33.3	0.254	-0.187	26	68.4%	14.0	9.2	11.9	4.8	23.5	0.851	0.031	11	57.9%	15	78.9%	0.168	-0.226
	ligeiro	12	31.6%	11.1	0.0	21.7	0.0	16.7			12	31.6%	11.8	12.0	5.8	7.4	15.3			8	42.1%	4	21.1%		
	moderado	0	0.0%								0	0.0%								0	0.0%	0	0.0%		
	severo	0	0.0%								0	0.0%								0	0.0%	0	0.0%		
GRBAS_A	normal	10	27.8%	13.3	0.0	23.3	0.0	33.3	0.703	0.140	10	27.8%	10.2	10.2	6.9	4.7	12.6	0.626	0.013	5	29.4%	5	26.3%	0.763	0.090
	ligeiro	20	55.6%	18.3	0.0	22.9	0.0	33.3			20	55.6%	15.4	10.5	12.3	6.2	26.3			10	58.8%	10	52.6%		
	moderado	6	16.7%	22.2	16.7	27.2	0.0	33.3			6	16.7%	11.1	6.8	8.9	4.8	18.4			2	11.8%	4	21.1%		
	severo	0	0.0%								0	0.0%								0	0.0%	0	0.0%		
GRBAS_S	normal	14	37.8%	16.7	0.0	25.3	0.0	33.3	0.794	0.076	14	37.8%	14.1	11.7	9.5	7.7	22.0	0.811	-0.105	8	44.4%	6	31.6%	0.680	0.145
	ligeiro	20	54.1%	16.7	0.0	22.9	0.0	33.3			20	54.1%	13.1	8.9	11.8	4.8	18.5			9	50.0%	11	57.9%		
	moderado	3	8.1%	22.2	33.3	19.2	0.0	33.3			3	8.1%	10.5	7.7	5.3	7.1	16.6			1	5.6%	2	10.5%		
	severo	0	0.0%								0	0.0%								0	0.0%	0	0.0%		
Av ressonância texto hipernasalidade	normal ou ausente	29	76.3%	20.7	0.0	24.3	0.0	33.3	0.118	-0.337*	29	76.3%	14.9	11.4	10.9	7.1	22.0	0.099	-0.258	15	78.9%	14	73.7%	0.252	0.026
	discreto	5	13.2%	6.7	0.0	14.9	0.0	0.0			5	13.2%	6.1	2.3	6.3	2.2	7.1			1	5.3%	4	21.1%		
	moderado	4	10.5%	0.0	0.0	0.0	0.0	0.0			4	10.5%	11.1	13.1	5.7	7.0	15.3			3	15.8%	1	5.3%		
	severo ou moderado	0	0.0%								0	0.0%								0	0.0%	0	0.0%		
Av ressonância texto hiponasalidade	normal ou ausente	33	86.8%	19.2	0.0	23.6	0.0	33.3	0.062	-0.307	33	86.8%	13.9	9.6	10.7	6.4	19.8	0.450	-0.124	16	84.2%	17	89.5%	0.636	-0.078
	discreto	5	13.2%	0.0	0.0	0.0	0.0	0.0			5	13.2%	9.4	10.9	6.3	3.1	15.3			3	15.8%	2	10.5%		
	moderado	0	0.0%								0	0.0%								0	0.0%	0	0.0%		
	severo ou moderado	0	0.0%								0	0.0%								0	0.0%	0	0.0%		
Av ressonância vogais hipernasalidade	normal ou ausente	30	78.9%	20.0	0.0	24.1	0.0	33.3	0.194	-0.296	30	78.9%	14.5	10.5	10.9	6.4	22.0	0.298	-0.218	15	78.9%	15	78.9%	0.273	0.027
	discreto	6	15.8%	5.6	0.0	13.6	0.0	0.0			6	15.8%	10.4	13.1	6.6	2.3	15.3			4	21.1%	2	10.5%		
	moderado	2	5.3%	0.0	0.0	0.0	0.0	0.0			2	5.3%	5.1	5.1	2.9	3.1	7.1			0	0.0%	2	10.5%		
	severo ou moderado	0	0.0%								0	0.0%								0	0.0%	0	0.0%		

		EORCT-HN43 Problemas neurológicos									QLQ-HN43 Resultado total									Categorial QLQHN43					
																				alterado		normal			
		N	%	Média	Mediana	DP	25	75	*p*	Correlação	N	%	Média	Mediana	DP	25	75	*p*	Correlação	N	%	N	%	*p*	Correlação
Av ressonância vogais hiponasalidade	normal ou ausente	33	86.8%	19.2	0.0	23.6	0.0	33.3	0.062	-0.307	33	86.8%	13.8	9.6	10.8	5.2	19.8	0.697	-0.064	16	84.2%	17	89.5%	0.636	-0.078
	discreto	5	13.2%	0.0	0.0	0.0	0.0	0.0			5	13.2%	10.3	10.9	5.3	7.1	15.3			3	15.8%	2	10.5%		
	moderado	0	0.0%								0	0.0%								0	0.0%	0	0.0%		
	severo ou moderado	0	0.0%								0	0.0%								0	0.0%	0	0.0%		

Tabela 179 - Medidas descritivas, análise de correlação e diferenças estatísticas entre as variáveis da avaliação vocal e o resultado total e por nível de severidade do VHI-9i.

		VHI-9i Resultado total									VHI-9i - nível de severidade									
											<= 7.0		8.0 - 16.0		17.0 - 26.0		27.0 - 36.0			
		N	%	Média	Mediana	DP	25	75	*p*	Correlação	N	%	N	%	N	%	N	%	*p*	Correlação
GRBAS_G	normal	8	22.2%	5.4	0.0	9.7	0.0	10.5	0.257	0.062	6	27.3%	0	0.0%	2	28.6%	0	0.0%	0.182	-0.082
	ligeiro	17	47.2%	11.2	12.0	10.6	0.0	17.0			7	31.8%	5	100.0%	4	57.1%	1	50.0%		
	moderado	11	30.6%	6.3	3.0	10.4	0.0	4.0			9	40.9%	0	0.0%	1	14.3%	1	50.0%		
	severo	0	0.0%								0	0.0%	0	0.0%	0	0.0%	0	0.0%		
GRBAS_R	normal	9	23.7%	9.0	4.0	12.3	0.0	12.0	0.956	0.041	5	22.7%	2	40.0%	1	14.3%	1	25.0%	0.964	0.030
	ligeiro	14	36.8%	9.4	5.0	10.1	0.0	20.0			8	36.4%	2	40.0%	4	57.1%	0	0.0%		
	moderado	15	39.5%	10.3	3.0	12.9	0.0	18.0			9	40.9%	1	20.0%	2	28.6%	3	75.0%		
	severo	0	0.0%								0	0.0%	0	0.0%	0	0.0%	0	0.0%		
GRBAS_B	normal	26	68.4%	9.7	5.0	10.9	0.0	17.0	0.796	-0.042	14	63.6%	5	100.0%	5	71.4%	2	50.0%	0.805	-0.040
	ligeiro	12	31.6%	9.6	2.0	13.1	0.0	21.5			8	36.4%	0	0.0%	2	28.6%	2	50.0%		
	moderado	0	0.0%								0	0.0%	0	0.0%	0	0.0%	0	0.0%		
	severo	0	0.0%								0	0.0%	0	0.0%	0	0.0%	0	0.0%		
GRBAS_A	normal	10	27.8%	3.9	0.5	7.4	0.0	3.0	0.234	0.287	8	36.4%	1	20.0%	1	14.3%	0	0.0%	0.267	0.272
	ligeiro	20	55.6%	9.5	5.0	10.8	0.0	17.0			11	50.0%	4	80.0%	4	57.1%	1	50.0%		
	moderado	6	16.7%	12.2	10.5	12.4	2.0	18.0			3	13.6%	0	0.0%	2	28.6%	1	50.0%		
	severo	0	0.0%								0	0.0%	0	0.0%	0	0.0%	0	0.0%		
GRBAS_S	normal	14	37.8%	7.9	2.0	10.8	0.0	14.0	0.830	0.064	9	40.9%	2	40.0%	2	28.6%	1	33.3%	0.683	0.043
	ligeiro	20	54.1%	10.3	4.0	11.8	0.0	19.0			11	50.0%	2	40.0%	5	71.4%	2	66.7%		
	moderado	3	8.1%	6.0	4.0	7.2	0.0	14.0			2	9.1%	1	20.0%	0	0.0%	0	0.0%		
	severo	0	0.0%								0	0.0%	0	0.0%	0	0.0%	0	0.0%		
Av ressonância texto hipernasalidade	normal ou ausente	29	76.3%	9.7	4.0	11.0	0.0	18.0	0.321	-0.022	16	72.7%	4	80.0%	7	100.0%	2	50.0%	0.321	-0.021
	discreto	5	13.2%	3.6	0.0	6.1	0.0	4.0			4	18.2%	1	20.0%	0	0.0%	0	0.0%		
	moderado	4	10.5%	16.8	17.5	17.7	1.5	32.0			2	9.1%	0	0.0%	0	0.0%	2	50.0%		
	severo ou moderado	0	0.0%								0	0.0%	0	0.0%	0	0.0%	0	0.0%		
Av ressonância texto hiponasalidade	normal ou ausente	33	86.8%	9.1	4.0	10.6	0.0	17.0	0.740	0.055	19	86.4%	5	100.0%	7	100.0%	2	50.0%	0.629	0.080
	discreto	5	13.2%	13.4	3.0	17.0	0.0	32.0			3	13.6%	0	0.0%	0	0.0%	2	50.0%		
	moderado	0	0.0%								0	0.0%	0	0.0%	0	0.0%	0	0.0%		
	severo ou moderado	0	0.0%								0	0.0%	0	0.0%	0	0.0%	0	0.0%		
Av ressonância vogais hipernasalidade	normal ou ausente	30	78.9%	9.4	4.0	11.0	0.0	18.0	0.655	0.000	17	77.3%	4	80.0%	7	100.0%	2	50.0%	0.426	-0.025
	discreto	6	15.8%	13.5	8.5	15.2	0.0	32.0			3	13.6%	1	20.0%	0	0.0%	2	50.0%		
	moderado	2	5.3%	2.0	2.0	2.8	0.0	4.0			2	9.1%	0	0.0%	0	0.0%	0	0.0%		
	severo ou moderado	0	0.0%								0	0.0%	0	0.0%	0	0.0%	0	0.0%		

Av ressonância vogais hiponasalidade	normal ou ausente	33	86.8%	8.9	4.0	10.7	0.0	17.0	0.375	0.146	19	86.4%	5	100.0%	7	100.0%	2	50.0%	0.629	0.080
	discreto	5	13.2%	14.2	4.0	16.3	3.0	32.0			3	13.6%	0	0.0%	0	0.0%	2	50.0%		
	moderado	0	0.0%								0	0.0%	0	0.0%	0	0.0%	0	0.0%		
	severo ou moderado	0	0.0%								0	0.0%	0	0.0%	0	0.0%	0	0.0%		

Tabela 180 - Análise de correlação entre as variáveis da avaliação vocal, TMF das vogais /a/, /i/ e /u/ e variáveis acústicas (*shimmer*, *jitter*, F_0, intensidade, HNR e ISD) e as escalas funcionamento físico, desempenho, dispneia, dor, fadiga, insónia, perda de apetite, náusea e vómito, obstipação, diarreia e funcionamento cognitivo, do questionário da EORTC QLQ-C30.

	EORTC QLQ-C30 Funcionamento Físico	EORTC QLQ-C30 Desempenho	EORTC QLQ-C30 Dispneia	EORTC QLQ-C30 Dor	EORTC QLQ-C30 Fadiga	EORTC QLQ-C30 Insónia	EORTC QLQ-C30 Perda de apetite	EORTC QLQ-C30 Náusea e vómito	EORTC QLQ-C30 Obstipação	EORTC QLQ-C30 Diarreia	EORTC QLQ-C30 Funcionamento cognitivo
TMF a	-0.335*	-0.029	0.272	0.178	0.097	0.122	0.188	0.161	0.134	0.129	-0.253
TMF i	-0.132	0.095	0.120	0.223	-0.053	0.041	0.195	0.075	0.015	0.254	-0.074
TMF u	-0.161	0.042	0.114	0.138	-0.086	0.072	0.210	-0.054	0.123	0.307	-0.081
Shimmer	0.062	0.157	0.077	-0.217	-0.029	0.047	-0.267	-0.021	0.177	0.022	0.133
Jitter	0.072	0.141	-0.001	-0.143	0.112	-0.150	-0.361*	-0.086	0.101	-0.093	0.031
F0	-0.069	-0.162	-0.054	0.225	-0.003	0.095	0.113	0.279	-0.082	-0.049	0.016
Intensidade	0.139	0.035	-0.265	0.230	-0.007	-0.060	0.106	0.011	-0.420**	0.022	-0.177
HNR	-0.003	-0.199	0.008	0.023	-0.089	-0.028	0.345*	0.075	-0.130	-0.089	-0.036
ISD	-0.105	-0.101	0.214	0.133	-0.082	0.287	0.187	0.231	0.141	0.240	-0.039

TMF = tempo máximo de fonação

Tabela 181 - Análise de correlação entre as variáveis da avaliação vocal, TMF das vogais /a/, /i/ e /u/ e variáveis acústicas (*shimmer*, *jitter*, F0, intensidade, HNR e ISD) e as escalas funcionamento emocional, social, dificuldades financeiras, estado geral de saúde, resultado total e categorial do questionário da EORTC QLQ-C30.

	EORTC QLQ-C30 Funcionamento emocional	EORTC QLQ-C30 funcionamento social	EORTC QLQ-C30 Dificuldades financeiras	EORTC QLQ-C30 Estado geral de saúde	QLQ-C30 resultado total	C30 categorial
TMF a	-0.011	-0.333*	-0.052	0.035	-0.360*	-0.437**
TMF i	0.150	-0.241	-0.198	-0.115	-0.165	-0.316
TMF u	0.103	-0.131	-0.215	-0.034	-0.205	-0.348*
Shimmer	0.052	-0.178	0.172	-0.002	0.101	0.014
Jitter	0.099	-0.148	0.235	0.091	0.106	0.024
F0	0.123	-0.229	0.168	-0.210	-0.058	-0.138
Intensidade	0.173	0.019	0.016	0.057	0.052	0.075
HNR	-0.048	0.282	-0.213	0.026	-0.011	0.150
ISD	-0.146	-0.147	-0.010	-0.078	-0.223	-0.167

Tabela 182 - Análise de correlação entre as variáveis da avaliação vocal, TMF das vogais /a/, /i/ e /u/ e variáveis acústicas (*shimmer*, *jitter*, F0, intensidade, HNR e ISD) e as escalas dor de cabeça e pescoço, problemas em engolir, problemas com os dentes, abertura de boca, boca seca e saliva espessa, problemas com os sentidos, tosse, imagem corpora, comer em público e problemas de fala, do questionário da EORTC QLQ-HN43.

	EORCT-HN43 dor de cabeça e pescoço	EORCT-HN43 Problemas em engolir	EORCT-HN43 Problemas com os dentes	EORCT-HN43 Abertura de boca	EORCT-HN43 Boca seca e saliva espessa	EORCT-HN43 Problemas com os sentidos	EORCT-HN43 Tosse	EORCT-HN43 Imagem corporal	EORCT-HN43 Comer em público	EORCT-HN43 Problemas de fala
TMF a	0.091	-0.174	-0.296	0.104	0.119	-0.062	0.135	0.334*	0.091	0.034
TMF i	-0.101	-0.205	-0.332*	-0.120	-0.061	-0.197	0.090	0.278	0.122	0.139
TMF u	-0.079	-0.197	-0.309	-0.058	-0.087	-0.130	0.024	0.275	0.180	0.188
Shimmer	0.108	0.313	0.087	0.064	-0.126	0.113	0.145	-0.204	0.022	-0.135
Jitter	0.024	0.089	-0.094	0.103	-0.185	0.028	-0.035	-0.265	-0.228	-0.236
F0	0.249	0.242	0.037	0.328*	-0.072	0.184	0.030	0.259	0.272	0.036
Intensidade	-0.017	-0.316	-0.351*	-0.115	0.116	-0.215	-0.266	-0.097	-0.264	-0.149
HNR	-0.133	-0.183	-0.015	-0.005	0.157	-0.097	-0.167	0.125	0.093	0.213
ISD	0.105	0.154	0.410*	0.091	0.268	0.289	0.017	0.302	0.279	0.243

TMF = tempo máximo de fonação

Tabela 183 - Análise de correlação entre as variáveis da avaliação vocal, TMF das vogais /a/, /i/ e /u/ e variáveis acústicas (*shimmer*, *jitter*, F0, intensidade, HNR e ISD) e as escalas contacto social, problemas com a sexualidade, edema no pescoço, problemas de pele, perda de peso, ansiedade, problemas na cicatrização de feridas e problemas neurológicos do questionário da EORTC QLQ-HN43.

	EORCT-HN43 Contacto social	EORCT-HN43 Problemas com a sexualidade	EORCT-HN43 Problemas nos ombros	EORCT-HN43 Edema no pescoço	EORCT-HN43 Problemas de pele	EORCT-HN43 Perda de peso	EORCT-HN43 Ansiedade	EORCT-HN43 Problemas na cicatrização de feridas	EORCT-HN43 Problemas neurológicos
TMF a	-0.023	0.111	0.181		0.085	0.281	0.353*	0.235	0.419**
TMF i	0.213	0.217	-0.081		0.102	0.145	0.209	0.175	0.244
TMF u	0.225	0.320	-0.080		0.176	0.129	0.241	0.191	0.275
Shimmer	0.200	-0.159	0.074		0.317	0.104	-0.168	-0.194	-0.133
Jitter	0.265	-0.198	0.205		0.179	-0.008	-0.358*	-0.229	0.086
F0	0.084	0.015	0.107		-0.098	0.143	0.047	0.078	0.235
Intensidade	-0.141	-0.270	-0.101		-0.330*	-0.109	0.053	-0.006	0.107
HNR	-0.178	0.294	-0.102		-0.297	-0.030	0.171	0.166	-0.009
ISD	-0.017	0.273	0.156		0.104	0.171	0.125	0.211	0.058

TMF = tempo máximo de fonação

Tabela 184 - Análise de correlação entre as variáveis da avaliação vocal, TMF das vogais /a/, /i/ e /u/ e variáveis acústicas (*shimmer*, *jitter*, F0, intensidade, HNR e ISD) e as escalas resultado total e categorial do questionário da EORTC QLQ-HN43 e o resultado total e por níveis de severidade do VHI-9i.

	QLQ-HN43 Resultado total	Categorial QLQHN43	VHI-9i Resultado total	VHI-9i - nível de severidade
TMF a	0.165	-0.026	0.093	0.186
TMF i	0.064	0.000	0.171	0.259
TMF u	0.154	-0.120	0.197	0.287
Shimmer	0.029	-0.060	-0.124	-0.136
Jitter	-0.085	-0.034	-0.039	-0.020
F_0	0.181	-0.156	0.134	0.146
Intensidade	-0.298	0.247	-0.117	-0.125
HNR	0.024	-0.012	0.165	0.127
ISD	0.362*	-0.250	0.241	0.316

TMF = tempo máximo de fonação